



This is a digital copy of a book that was preserved for generations on library shelves before it was carefully scanned by Google as part of a project to make the world's books discoverable online.

It has survived long enough for the copyright to expire and the book to enter the public domain. A public domain book is one that was never subject to copyright or whose legal copyright term has expired. Whether a book is in the public domain may vary country to country. Public domain books are our gateways to the past, representing a wealth of history, culture and knowledge that's often difficult to discover.

Marks, notations and other marginalia present in the original volume will appear in this file - a reminder of this book's long journey from the publisher to a library and finally to you.

Usage guidelines

Google is proud to partner with libraries to digitize public domain materials and make them widely accessible. Public domain books belong to the public and we are merely their custodians. Nevertheless, this work is expensive, so in order to keep providing this resource, we have taken steps to prevent abuse by commercial parties, including placing technical restrictions on automated querying.

We also ask that you:

- + *Make non-commercial use of the files* We designed Google Book Search for use by individuals, and we request that you use these files for personal, non-commercial purposes.
- + *Refrain from automated querying* Do not send automated queries of any sort to Google's system: If you are conducting research on machine translation, optical character recognition or other areas where access to a large amount of text is helpful, please contact us. We encourage the use of public domain materials for these purposes and may be able to help.
- + *Maintain attribution* The Google "watermark" you see on each file is essential for informing people about this project and helping them find additional materials through Google Book Search. Please do not remove it.
- + *Keep it legal* Whatever your use, remember that you are responsible for ensuring that what you are doing is legal. Do not assume that just because we believe a book is in the public domain for users in the United States, that the work is also in the public domain for users in other countries. Whether a book is still in copyright varies from country to country, and we can't offer guidance on whether any specific use of any specific book is allowed. Please do not assume that a book's appearance in Google Book Search means it can be used in any manner anywhere in the world. Copyright infringement liability can be quite severe.

About Google Book Search

Google's mission is to organize the world's information and to make it universally accessible and useful. Google Book Search helps readers discover the world's books while helping authors and publishers reach new audiences. You can search through the full text of this book on the web at <http://books.google.com/>



Über dieses Buch

Dies ist ein digitales Exemplar eines Buches, das seit Generationen in den Regalen der Bibliotheken aufbewahrt wurde, bevor es von Google im Rahmen eines Projekts, mit dem die Bücher dieser Welt online verfügbar gemacht werden sollen, sorgfältig gescannt wurde.

Das Buch hat das Urheberrecht überdauert und kann nun öffentlich zugänglich gemacht werden. Ein öffentlich zugängliches Buch ist ein Buch, das niemals Urheberrechten unterlag oder bei dem die Schutzfrist des Urheberrechts abgelaufen ist. Ob ein Buch öffentlich zugänglich ist, kann von Land zu Land unterschiedlich sein. Öffentlich zugängliche Bücher sind unser Tor zur Vergangenheit und stellen ein geschichtliches, kulturelles und wissenschaftliches Vermögen dar, das häufig nur schwierig zu entdecken ist.

Gebrauchsspuren, Anmerkungen und andere Randbemerkungen, die im Originalband enthalten sind, finden sich auch in dieser Datei – eine Erinnerung an die lange Reise, die das Buch vom Verleger zu einer Bibliothek und weiter zu Ihnen hinter sich gebracht hat.

Nutzungsrichtlinien

Google ist stolz, mit Bibliotheken in partnerschaftlicher Zusammenarbeit öffentlich zugängliches Material zu digitalisieren und einer breiten Masse zugänglich zu machen. Öffentlich zugängliche Bücher gehören der Öffentlichkeit, und wir sind nur ihre Hüter. Nichtsdestotrotz ist diese Arbeit kostspielig. Um diese Ressource weiterhin zur Verfügung stellen zu können, haben wir Schritte unternommen, um den Missbrauch durch kommerzielle Parteien zu verhindern. Dazu gehören technische Einschränkungen für automatisierte Abfragen.

Wir bitten Sie um Einhaltung folgender Richtlinien:

- + *Nutzung der Dateien zu nichtkommerziellen Zwecken* Wir haben Google Buchsuche für Endanwender konzipiert und möchten, dass Sie diese Dateien nur für persönliche, nichtkommerzielle Zwecke verwenden.
- + *Keine automatisierten Abfragen* Senden Sie keine automatisierten Abfragen irgendwelcher Art an das Google-System. Wenn Sie Recherchen über maschinelle Übersetzung, optische Zeichenerkennung oder andere Bereiche durchführen, in denen der Zugang zu Text in großen Mengen nützlich ist, wenden Sie sich bitte an uns. Wir fördern die Nutzung des öffentlich zugänglichen Materials für diese Zwecke und können Ihnen unter Umständen helfen.
- + *Beibehaltung von Google-Markenelementen* Das "Wasserzeichen" von Google, das Sie in jeder Datei finden, ist wichtig zur Information über dieses Projekt und hilft den Anwendern weiteres Material über Google Buchsuche zu finden. Bitte entfernen Sie das Wasserzeichen nicht.
- + *Bewegen Sie sich innerhalb der Legalität* Unabhängig von Ihrem Verwendungszweck müssen Sie sich Ihrer Verantwortung bewusst sein, sicherzustellen, dass Ihre Nutzung legal ist. Gehen Sie nicht davon aus, dass ein Buch, das nach unserem Dafürhalten für Nutzer in den USA öffentlich zugänglich ist, auch für Nutzer in anderen Ländern öffentlich zugänglich ist. Ob ein Buch noch dem Urheberrecht unterliegt, ist von Land zu Land verschieden. Wir können keine Beratung leisten, ob eine bestimmte Nutzung eines bestimmten Buches gesetzlich zulässig ist. Gehen Sie nicht davon aus, dass das Erscheinen eines Buchs in Google Buchsuche bedeutet, dass es in jeder Form und überall auf der Welt verwendet werden kann. Eine Urheberrechtsverletzung kann schwerwiegende Folgen haben.

Über Google Buchsuche

Das Ziel von Google besteht darin, die weltweiten Informationen zu organisieren und allgemein nutzbar und zugänglich zu machen. Google Buchsuche hilft Lesern dabei, die Bücher dieser Welt zu entdecken, und unterstützt Autoren und Verleger dabei, neue Zielgruppen zu erreichen. Den gesamten Buchtext können Sie im Internet unter <http://books.google.com> durchsuchen.

199.1

HARVARD UNIVERSITY



**LIBRARY OF THE
MINERALOGICAL
LABORATORY
UNIVERSITY MUSEUM**

2. H.
Dr. Bennett E. Davenport

Handbuch

der

Mineralogie

von

Fr. Aug. Quenstedt,
Professor zu Tübingen.

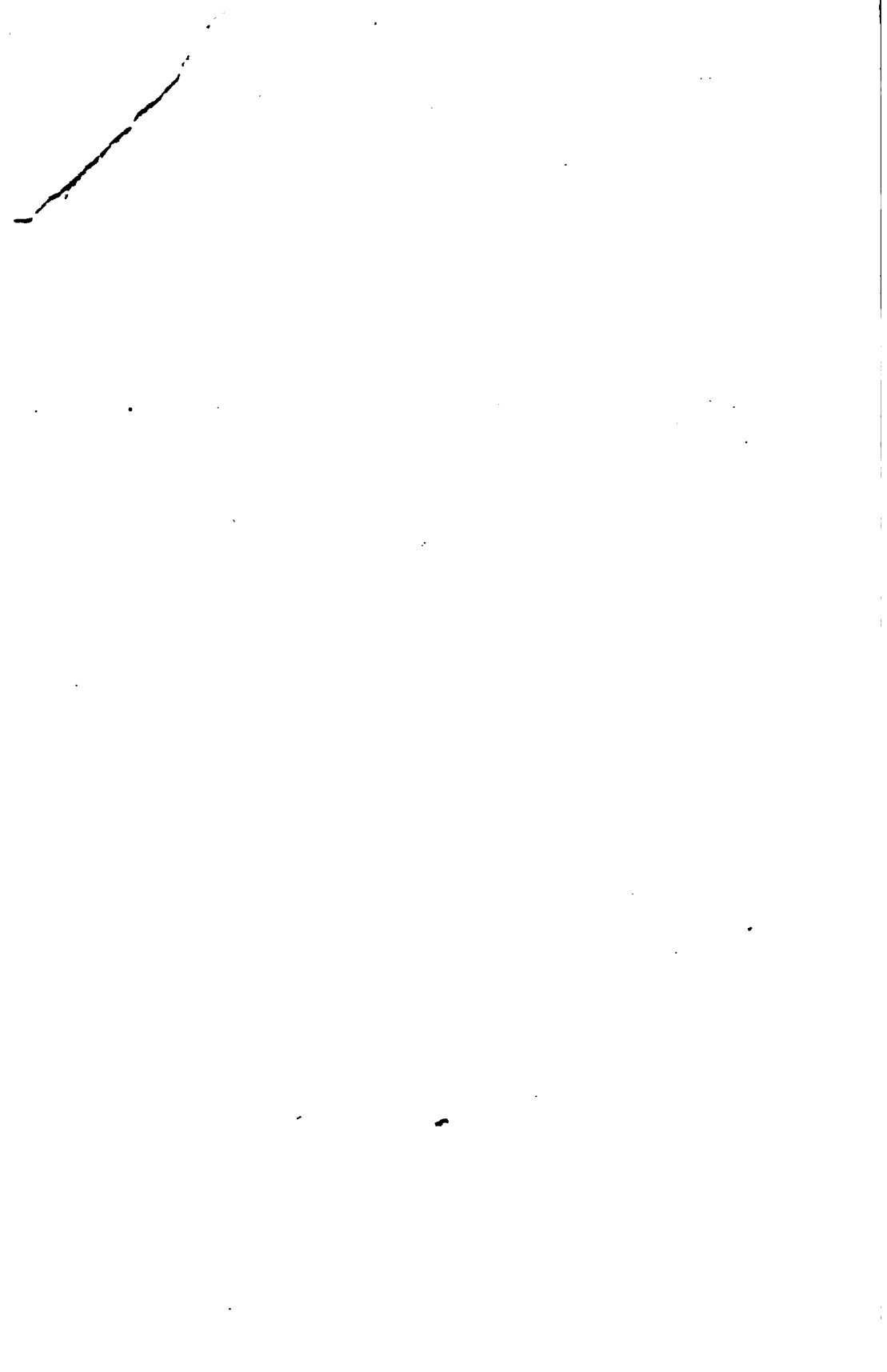
Zweite verbesserte Auflage.

Mit gegen 700 Holzschnitten.

Tübingen, 1863.

Verlag der J. Neumann'schen Buchhandlung.

— Neumann & Nebe. —



Handbuch
der
M i n e r a l o g i e

von

Fr. Aug. Quenstedt,
Professor zu Tübingen.

Zweite verbesserte Auflage.

Mit vielen Holzschnitten.

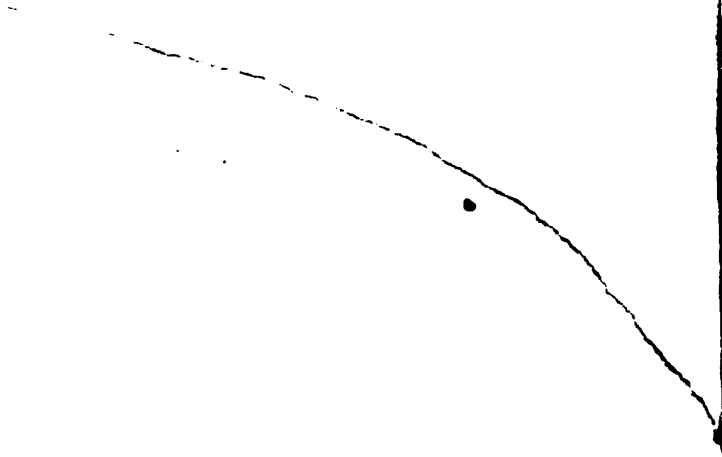
Tübingen, 1863.

Verlag der H. Laupp'schen Buchhandlung.

— Laupp & Siebel. —

#199.1

MINERALOGICAL LABORATORY



Druck von G. Laupp Jr. in Lüdingen.

13 31

V o r r e d e.

Zur ersten Auflage. November 1854.

Nicht ohne Zögern habe ich mich an ein Werk gewagt, bei dessen Entwurf ich mir schon gestehen mußte, daß über einen in so vielen Lehr- und Handbüchern längst durcharbeiteten Stoff sonderlich Neues zu sagen, wenigstens unser in mineralogischer Hinsicht so large Ausbeute lieferndes Schwabenland nicht der Ort sei. Dennoch bin ich als öffentlicher Lehrer der Mineralogie alljährlich berufen, mit der Entwicklung der Wissenschaft Schritt zu halten, und einer Anzahl zum Theil eifriger Zuhörer den Weg zur Sache zu zeigen, was bekanntlich gerade in der Gesteinskunde seine eigenthümliche Schwierigkeit hat, wenn man nicht ganz auf der Oberfläche bleiben will, wie leider heutiges Tages eine Reihe von Büchern es sich förmlich zur Aufgabe machen. Dazu kommt die übergroße Verschiedenheit der Methoden: so daß ich mich vergeblich nach einem Buche umseh, welches ich meinen Vorlesungen hätte zu Grunde legen können.

Ich selbst habe das Glück gehabt, den ersten mineralogischen Unterricht aus der lautersten Quelle zu schöpfen. Allein diese Quelle war nur den Zuhörern zugänglich, da es der Lehrer, wie einst Werner, stets ablehnte, etwas Zusammenhängendes über das ganze Gebiet durch den Druck zu veröffentlichen. Dieser Umstand hat wesentlich mit beigetragen, daß die scheinbar leichtere Methode von Mohs so schnellen Eingang fand: aber lasse ich auch gern der Concinnität des Ausdrucks, der Schärfe der Bestimmung und der Eleganz der Figuren alles Lob widerfahren, naturgemäß ist die Darstellung schon deshalb nicht, weil sie auf Umwegen schwieriger Symbole ohne alle Deduction an die Sache tritt, welche durch die Weißsche Methode so unmittelbar einleuchtet. Nun hat zwar Naumann gleich nach Mohs vieles Krystallogra-

phische zu verbessern und zu erleichtern gesucht, es bleibt aber hier auch immer noch versteckt, was unmittelbarer heraus gelehrt sein sollte.

Wir müssen daher einfach zu den Azenausdrücken, zur Zonenlehre und ihrer Deduction zurückkehren. Letztere zu übersehen, ist eine Projection nöthig, die öfter beigelegt wird, und woraus meist der Azenausdruck unmittelbar folgt. Diese Projectionenlehre ist vollständig dargestellt. Wer mehr darüber will, muß meine „Methode der Krytallographie“ lesen, welche 1840 bei Oslander herausgekommen ist. Auch die Art mit der Projection zu rechnen wird auseinander gesetzt. Eine akademische Broschüre vom Jahr 1848 handelt darüber etwas weitläufiger, aber sie ist nicht in den Buchhandel gekommen. Neumann's Projectionsmethode ist nur kurz gegeben. Uebrigens halte ich es auch für verfehlt, wenn Miller in England darauf abermals eine Bezeichnungswiese gründete. Das gibt immer nur wieder neue Schwierigkeiten.

In diesem Kampfe der Ansichten ist mir der Muth gewachsen, mit Nachfolgendem hervorzutreten. Das Ziel, was ich mir in chemischer, physikalischer und mathematischer Rücksicht stellte, war folgendes:

1) Jedes Mineral muß mit dem geringsten Aufwande chemischer Versuche und zwar schnell, erkannt werden.

Wenn die Mineralogie überhaupt eine wissenschaftliche Disciplin sein soll, so darf sie sich nicht ganz in das Schlepptau der Chemie nehmen lassen. Sie muß möglichst selbstständig ihren Weg verfolgen. Auch darf das nackte Wissen um den Stoff nicht ihr höchstes Ziel sein, wenn gleichwohl es bei allen irdischen Dingen das letzte ist. Der Mineraloge hat daher nicht nur den Reichthum der Stoffe in der Natur schlechthin aufzuweisen, sondern vor Allem die Art der Anhäufung ins Auge zu fassen, und durch kurze chemische Diagnosen zu bestimmen: welche letztern im Verein mit den übrigen Kennzeichen meist ebenso wenig irre leiten, als die strengste chemische Analyse. Die Ausführung der Analyse selbst gehört nicht in das mineralogische Gebiet. Doch ist es umgekehrt ungründlich, wenn man zu ihr schreitet ohne die mineralogischen Hilfsmittel erschöpft zu haben. Das macht so viele Analysen gänzlich unbrauchbar.

2) Die physikalischen Kennzeichen sollen von geschärften Sinnen aufgenommen, höchstens durch kleine Experimente unterstützt, sogleich zur naturhistorischen Erkennung führen.

Wir dürfen es zwar nicht verschmähen, die genauesten Bestimmungen

über Härte, Gewicht, optische, magnetische, elektrische 2c. Eigenschaften, die der Physiker vom Fach oft mit dem größten Aufwand von Apparaten, mühsam herausbrachte, aufzunehmen, aber immer doch nur zu dem Zweck, um die Sinne dadurch zu schärfen, ein möglichst treues naturhistorisches Bild selbstständig auffassen zu lernen. Erst dadurch wird die Mineralogie zur besten Lehrmeisterin für die Beobachtungskunst überhaupt. Sie ist die nothwendige Schule, in welcher sämmtliche unorganische Körper zum weiteren Experiment geistig vorbereitet werden, ja man sieht es selbst den tüchtigsten chemischen und physikalischen Versuchen nicht selten zu ihrem Nachtheil gar zu deutlich an, wenn diese Vorschule nicht durchgemacht ist. Dabei kommt es nicht auf ein minutiöses Mehr oder Weniger in dem Abwägen der Eigenschaften an, sondern vielmehr auf die ganze Art des Totaleindrucks. Die Eindrücke berühren uns aber nicht, wenn wir ihren Werth nicht vorher tüchtig würdigen gelernt haben: so kann der Schimmer an irgend einem Punkte des Krystalls, das Dunkel- oder Hellwerden bei der Wendung einer Fläche 2c. augenblicklich auf die richtige Spur leiten, während alle andern Hilfsmittel, wenn auch die Exactität ihrer Ausführung noch so glänzend erscheint, höchstens auf Umwegen dahin führen. Es ist wahrlich kein geringer Vortheil, sogleich beim bloßen Anschauen eines Körpers, um die Möglichkeiten den engsten Kreis ziehen zu können. Aber das ist die Aufgabe der Mineralogie, die sie bereits mit vielem Glück gelöst hat.

3) Die Krystallographischen Hilfsmittel dürfen gerade keine tieferen mathematischen Kenntnisse erfordern, die Zonenlehre und ein schnelles Winkelmessen mit dem Handgoniometer müssen in den meisten Fällen ausreichen.

Die Krystallographie könnte man eine verkörperte Mathematik nennen. Aber sie ist ohne Leben, wenn sie nicht über die verkündigten Symbole hinausgeht, und zur Zonenlehre fortschreitet. Die Zonenlehre an der Hand der Projection gibt uns allein das tiefere Verständniß. Das ist eine so einfache Wahrheit, daß es verwundert, warum sie so lange um ihre allgemeine Anerkennung ringen muß. Es bedarf dabei nicht jener übermäßigen Genauigkeit im Winkelmessen, die vielen Arbeiten den Schein von Gründlichkeit gibt, sondern Augenmaß und Anschauung reichen hin, aber nur dann, wenn der Beobachter die für Manchen allerdings harte Übungsschule einer gründlichen Projectiionslehre durchgemacht hat. Die dadurch erworbene Fertigkeit im

Erkennen der Krystalle ist der Segen, welcher die darauf verwendete Mühe reichlich lohnt. Und wenn überhaupt das Bewußtsein, eine Wissenschaft gegründet zu haben, den Geist erhebt und verebelt, so läuft hier noch ein practisches Interesse neben her. Denn es wird mit jedem Jahre klarer, daß nicht blos der chemische Gehalt, sondern auch die krystallographische Form bei der Analyse der Stoffe eine wesentliche Rolle spielt.

Wie weit der Verfasser diesem Ziele nahe gekommen ist, hängt nicht blos vom Urtheil der Sachkenner, sondern auch der Anfänger ab, welche dem Buche sich zuwenden, um dadurch in das weitläufige mit vielen Schwierigkeiten durchwobene Gebiet eingeführt zu werden. Gar Manches wird als Ferment wirken, was endlich zu der Einsicht führen dürfte, wie Noth es thue, daß wir uns über eine gemeinsame Sprache einigen, die auch dem ferner stehenden Naturforscher die Formenlehre genießbar mache. An Figuren, die öfter Copien bekannter Werke sind, ist nicht gespart. Doch fehlt es auch nicht an neuen, wobei mir einer meiner jüngern Freunde, Hr. Dr. Doppel behilflich war, dessen Talente im Wiedergeben von Formen ich schätzen gelernt habe. Bei der Darstellung wurde stets auf das Nützliche hingewiesen, und eine Form gewählt, die es dem Leser ermöglicht, wenigstens viele Capitel in laufender Rede zu genießen. Freilich kommen auch Punkte vor, die nicht ohne tieferes und wiederholtes Nachdenken selbst Kopfbrechen überwunden werden dürften: der Geübte wird sie hochschätzen, und dem Ungelübten bringen sie wenigstens keine Nachtheile, da zwischenhinein das Leichtere immer wieder ein Ganzes bildet.

V o r r e d e.

Zur zweiten Auflage.

Nur selten gelangen bei uns wissenschaftliche Lehr- und Handbücher der Mineralogie von diesem Umfange zu einer zweiten Auflage. Mit der Gunst des Erfolges schwanden die Bedenken, welche bei dem ersten Unternehmen mich beunruhigten: ich kam einem Bedürfnisse entgegen, und dieses zu befriedigen, will ich nach Kräften mich weiter bemühen. Wie wahr die alten Worte „docendo discimus“ seien, erkennt keiner mehr als der Schriftsteller, welcher zum zweiten Male an dasselbe Werk Hand anlegen soll. Er hat es nicht bloß mit den neuen Fortschritten zu thun, die leider mehr in die Breite als in die Tiefe gehen, sondern es gibt auch das längst Bekannte und Durchforschte immer wieder neue Seiten kund. Wie manches erscheint wenn gleich nicht geradezu falsch, so doch bei weiterem Nachdenken in einem andern Lichte: es muß der Inhalt auf Kosten der Form geändert werden. Das gelingt nicht immer. Dennoch glaube ich im Ganzen dieses umgearbeitete Werk als extensiv reichhaltiger und intensiv besser den Freunden des Faches empfehlen zu dürfen. Die Bogenzahl stieg von 46 auf 51, und die Figuren wurden um 90 vermehrt. Nicht bloß haben die optischen Eigenschaften wesentlich größere Berücksichtigung erfahren, sondern ich bin auch kystallographischen Erweiterungen gefolgt, soviel es der Umfang des Buches nur zuließ, wie Bergkry stall, Feldspath, Epidot &c. beweisen. Die chemischen Analysen wurden theilweis bis zum Spektroskop verfolgt; Geschichte, Geo-

Erkennen der Krystalle ist der Segen, welcher die darauf verwendete Mühe reichlich lohnt. Und wenn überhaupt das Bewußtsein, eine Wissenschaft gegründet zu haben, den Geist erhebt und verebelt, so läuft hier noch ein practisches Interesse neben her. Denn es wird mit jedem Jahre klarer, daß nicht bloß der chemische Gehalt, sondern auch die krystallographische Form bei der Analyse der Stoffe eine wesentliche Rolle spielt.

Wie weit der Verfasser diesem Ziele nahe gekommen ist, hängt nicht bloß vom Urtheil der Sachkenner, sondern auch der Anfänger ab, welche dem Buche sich zuwenden, um dadurch in das weitläufige mit vielen Schwierigkeiten durchwobene Gebiet eingeführt zu werden. Gar Manches wird als Ferment wirken, was endlich zu der Einsicht führen dürfte, wie Noth es thue, daß wir uns über eine gemeinsame Sprache einigen, die auch dem ferner stehenden Naturforscher die Formenlehre genießbar mache. An Figuren, die öfter Copien bekannter Werke sind, ist nicht gespart. Doch fehlt es auch nicht an neuen, wobei mir einer meiner jüngern Freunde, Hr. Dr. Doppel behilflich war, dessen Talente im Wiedergeben von Formen ich schätzen gelernt habe. Bei der Darstellung wurde stets auf das Nützliche hingewiesen, und eine Form gewählt, die es dem Leser ermöglicht, wenigstens viele Capitel in laufender Rede zu genießen. Freilich kommen auch Punkte vor, die nicht ohne tieferes und wiederholtes Nachdenken selbst Kopfbrechen überwunden werden dürften: der Geübte wird sie hochschätzen, und dem Ungelübten bringen sie wenigstens keine Nachtheile, da zwischenhinein das Leichtere immer wieder ein Ganzes bildet.

V o r r e d e.

Zur zweiten Auflage.

Nur selten gelangen bei uns wissenschaftliche Lehr- und Handbücher der Mineralogie von diesem Umfange zu einer zweiten Auflage. Mit der Gunst des Erfolges schwanen die Bedenken, welche bei dem ersten Unternehmen mich beunruhigten: ich kam einem Bedürfnisse entgegen, und dieses zu befriedigen, will ich nach Kräften mich weiter bemühen. Wie wahr die alten Worte „docendo discimus“ seien, erkennt keiner mehr als der Schriftsteller, welcher zum zweiten Male an dasselbe Werk Hand anlegen soll. Er hat es nicht bloß mit den neuen Fortschritten zu thun, die leider mehr in die Breite als in die Tiefe gehen, sondern es gibt auch das längst Bekannte und Durchforschte immer wieder neue Seiten kund. Wie manches erscheint wenn gleich nicht geradezu falsch, so doch bei weiterem Nachdenken in einem andern Lichte: es muß der Inhalt auf Kosten der Form geändert werden. Das gelingt nicht immer. Dennoch glaube ich im Ganzen dieses umgearbeitete Werk als extensiv reichhaltiger und intensiv besser den Freunden des Faches empfehlen zu dürfen. Die Bogenzahl stieg von 46 auf 51, und die Figuren wurden um 90 vermehrt. Nicht bloß haben die optischen Eigenschaften wesentlich größere Berücksichtigung erfahren, sondern ich bin auch kristallographischen Erweiterungen gefolgt, soviel es der Umfang des Buches nur zuließ, wie Bergkry stall, Feldspath, Epidot &c. beweisen. Die chemischen Analysen wurden theilweis bis zum Spektroskop verfolgt; Geschichte, Geo-

graphie, Geognosie, Lithurgie u. zu Hilfe genommen, wo es sich darum handelte, vollständigere Bilder zu entwerfen, und dem Leser zu zeigen, daß unsere Wissenschaft es nicht mit sterilen Formen, sondern mit einem reichen Inhalt zu thun habe, der unter den Gebildeten bei Jung und Alt zünden sollte.

Tübingen im September 1862.

Quenstedt.

Geschichte der Mineralogie.

Das Wort **Mineral** kommt von mina Schacht, aus der Wurzel des Mittellateinischen „menare betreiben“ (Diez, etym. Wörterbuch der romanischen Sprachen 1853, pag. 229). Nach Agricola (de ortu et causis Subterraneorum lib. IV. 514) nannte schon Avicenna jene verborgene Kraft, welche die Dinge in der Erde versteinern, Grubenkraft (vim externo vocabulo mineralium nominat), und bald darauf um die Mitte des 11ten Jahrhunderts soll der englische Mönch Joh. de Garlandia ein liber de mineralibus geschrieben haben (Pfaff, Grundriß der Mineralogie 1860, pag. 1). Die Alten liebten die Steine als Schmucksachen, welche besonders von den Aegyptiern verfertigt wurden. Schon das Gewand des Hohenpriesters schmückten 12 Edelsteine, 2. Mos. 28, 17 u. 39, 10. Zwar nennt Homer außer Bernstein (ζάκρον Odys. 18. 100) keine Namen, allein die schlauen Phönicier brachten den Griechen „tausenderlei Spielzeug“ (Odys. 15. 415) aus den fernsten Gegenden, worunter auch Steine waren (Krause, Pyrgoteles oder die edlen Steine der Alten 1856, pag. 3). Gar merkwürdig ist ein altes dem Priester Onomakritos (500 v. Chr.) zugeschriebenes Gedicht *Ὀρφεὺς περὶ λίθων*, worin die Gemmen als Talismane (ἀλεξυφάρμακα) besungen werden. Es beginnt mit dem „strahlenden Krystall,“ durch den die Sonne dürres Holz zu einem heiligen Feuer entflamme. Zu Homers Zeit bedeutete κρύσταλλος (Odys. 14. 477) noch Eis, was jetzt passend auf Quarz übertragen wird (Dr. Marr, Geschichte der Krystallkunde 1825). Außerdem lernen wir noch eine Menge Namen wie Opal, Jaspis, Topas, Achat, Obsidian, Gagat, Magnet u. zum ersten Male kennen. Herodot (II, 44; III, 128) erzählt uns bereits von Smaragden, Plato vom Diamant (ἀδάμας), der ihm ein „Goldknoten“ (χρυσὸν ὄζος) war, worin sich das edelste aller Metalle gleichsam verklärt hatte. Aber erst Aristoteles (384—322) gab eine bündige Einteilung, ὄρυκτά und μεταλλεύτα (Steine und Erze), jene durch feuchten Dunst, diese durch trocknen Rauch entstanden (Meteorologica 3. 7). Das Wort ὄρυκτά (fossilia) gab seit Werner den geläufigen Ausdruck für die Wissenschaft: Orpognosie. Gleich nach Aristoteles schrieb sein Schüler Theophrast (310—225 v. Chr.) ein besonderes kleines Buch *περὶ τῶν λίθων*, worin man viele Namen aus der Beschreibung wieder erkennt, wie Gyps, Obsidian, Sapphir (Safirstein) u.

Welche unvollkommene Vorstellung die Alten über Bildung der Minerale hatten, beweist am besten der Bergkry stall. Schon 30 v. Chr. Geb. behauptet Diodorus Siculus (II, 52. pag. 163. Weß.) von den Kry stallen Arabiens, sie beständen aus reinem Wasser, das nicht durch Kälte, sondern durch die Kraft eines göttlichen Feuers fest geworden sei. Auch Seneca (Quaest. nat. 3. 20) meinte, daß der Kry stall aus Eis entstehe: wenn nämlich das himmlische Wasser frei von allen erdigen Theilen erhärte, so werde es durch die Hartnäckigkeit längerer Kälte immer dichter, bis es endlich nach Ausschluß aller Luft gänzlich in sich zusammengepreßt, und was vorher Feuchtigkeit war, in Stein verwandelt sei. Plinius der ältere († 79 n. Chr.) wiederholt dieß in seiner Historia naturalis lib. 33—37, hebt sogar einzelne Kry stallformen etwas schärfer hervor. Doch sind seine Mineralbeschreibungen so unvollkommen, daß wir nur wenige mit Sicherheit deuten können. Der Namen aber sind uns viele überliefert und in unsern Compendien aufs Neue verwendet.

Nun trat eine große Lücke ein; zwar theilte der Arabische Arzt Avicenna (980—1036 n. Chr.) die Minerale in 4 Klassen: Steine, brennliche Fossilien, Salze und Metalle. Abul-Nihau Albirouny bestimmte sogar um jene Zeit viele spezifische Gewichte auffallend genau (Poggendorfs Ann. 107. 352). Allein es waren Gelehrte und wurzelten nicht im Boden der Erfahrung. Diese mußte auf mühsamere Weise gewonnen werden. Der deutsche Bergbau brach dazu die Bahn.

Nach Refersstein (Geschichte und Litteratur der Geognosie. Halle 1840) beginnt schon im 6ten Jahrhundert ein reger Bergbau der Slaven und Wenden in Böhmen und Mähren; 920 wurde bereits der Kupferschiefer bei Frankenberg in Hessen; 935 der Erzstock des Rammelsberges bei Goslar entdeckt; im 12ten Jahrhundert das Erzgebirge von Sachsen in Angriff genommen. Ohne mineralogische Kenntniß konnte ein solcher ausgedehnter Bergbau gar nicht stattfinden, allein die Bergleute schrieben nichts nieder, sie waren „Männer vom Leder, und nicht von der Feder“. Wenn auch einiges den Gelehrten zu Ohren und Augen kam, wie dem Schwaben Albertus Magnus (1193—1280), der 5 Bücher de mineralibus et rebus metallicis schrieb, so sahen sie es doch immer im Spiegel alter Autoren.

Das Bergbüchlein, die erste deutsch geschriebene Mineralogie, schöpfte zuerst aus der reinen Quelle praktischer Erfahrung. **Vasilius Valentin**, den man weiter nicht kennt, soll der Verfasser sein, aber wahrscheinlich haben mehrere daran gearbeitet. Doch waren es jedenfalls nicht classisch gebildete Bergleute, die etwa um das Jahr 1500 niederschrieben, was bis dahin die Erfahrung gelehrt hatte, denn sonst wäre es nicht deutsch! Neue, dem Alterthum unbekannte Namen, wie Quarz, Spath, Schiefer, Kies etc. treten uns hier zum ersten Male entgegen, die wir dann wieder bei **Georg Agricola** (1490—1555) de natura fossilium 1546 beschrieben finden. Dieser war Arzt zu Joachimsthal und Chemnitz, wo er von Bergwerken rings umgeben reiche Kenntnisse sammeln konnte, welche ihn beim Deuten alter Autoren leiteten. Werner nennt ihn den „Vater aller metallurgischen Wissenschaften“,

der allerdings schon mit Gestalt, Blättrigkeit, Härte, Schwere, Farbe, Glanz u. der Minerale in einer Weise beschäftigt war, wie vor ihm keiner. Johann Renntmann zu Torgau (1518—1568) heist der erste Sammler in Deutschland, wozu wahrscheinlich die Eisleibischen Bergwerke veranlaßten und Conrad Gesner de rerum fossilium figuris Zürich 1565 liefert uns die ersten Abbildungen. Im 17ten Jahrhundert geschah zwar nicht sonderlich viel, doch verlor sich der erwachte Sinn für das Fach nicht wieder. Boetius de Boot schreibt eine Gemmarum et Lapidum historia 1609, leitet die Form der Krystalle von beigemischten Salzen ab, und sucht schon auf geometrischem Wege die Sechseckigkeit des Quarzes zu erklären. Besonderes Aufsehen erregte der Doppelspath, welchen der Däne Erasmus Bartholin (Experimenta Crystalli islandici diadactylastici 1670) auf Island entdeckte, durch seine doppelten Bilder. Bartholin bestimmte die ebenen Winkel der Rhomboeder-Flächen durch Messung zu 101° und 79° , und fand die Kante durch Rechnung $103^{\circ} 40'$. Schon früher hatte er eine Abhandlung de figura nivis 1661 geschrieben, worin er die Meinung des Cartesius vertheidigt: die Schneesterne entstünden dadurch, daß sechs Wasserbläschen genau ein siebentes central gelagertes umgaben. Die Formen wurden von nun an Gegenstand gründlicheren Nachdenkens. Der berühmte Huygens († 1695) maß die Doppelspathkante schon sehr genau auf 105° , und suchte den blättrigen Bruch zu erklären. Boyle († 1691) weist den blättrigen Bruch noch bei vielen andern Krystallen nach, und war einer der ersten, der den Grund zum heutigen Chemismus legte (Kopp, Ueber die Verschiedenheit der Materie. Akad. Rede 1860. 10). Der Däne Steno, welcher in Italien lebte, hat durch sein Werk de solido intra solidum naturaliter contento 1669 Epoche gemacht. Er spricht beim Bergkrystall nicht blos von 6seitigen Säulen und 6seitigen Pyramiden an den Enden, sondern behauptet auch, daß trotz der Verziehung der einzelnen Theile eine Constanz der Winkel stattfindet (non mutatis angulis). Er zeigt weiter, daß man durch Abstumpfen eines Würfels sämtliche Flächen des Eisenglanzes ableiten könne, und weist die dreifache Streifung der Würfel Flächen am Schwefelkies nach. So eilen einzelne Männer ihrer Zeit voraus! In der ersten Hälfte des 18ten Jahrhunderts machte besonders Hentzels Pyritologia oder Kieß-Historie 1725 Aufsehen. Vielfache Erfahrungen hatten den praktischen Bergmann gelehrt, daß die Steine aus Wasser entstünden, die Metalle aber, und darunter besonders der Kieß („hans in allen Gassen“ pag. 733), aus erzführenden Dünsten. Allein es fehlt dem Werke wesentlich an systematischer Ordnung, ein Mangel, der auch bei Schröter (Vollständige Einleitung in die Kenntniß und Geschichte der Steine und Versteinerungen 1774) noch zu rügen ist, obgleich hierin vieles, was die Vorgänger über Steine wußten, in einer anziehenden Weise zusammengestellt wurde.

Erst in der Mitte des vorigen Jahrhunderts liegen die Reime derjenigen drei Richtungen, die noch heute neben einander fortlaufen. Die **krystallographische** ist unter ihnen die älteste und naturgemäße. Zwar muß man ihre Anfänge in das 17te Jahrhundert setzen, doch war der berühmte Linné

(1707—1778) der erste, welcher die Krystalle zum Eintheilungsgrunde nahm, das ist für jene Zeit kein geringer Ruhm, *Systema naturae sive tria regna* 1735. Imper. fol. Befangen in der alten Vorstellung, daß die Salze Krystallbildner seien, nannte er sie geradezu Väter, welche in den Gebirgsarten (Müthern) die Krystalle erzeugten. Er wählte nun unter den künstlichen Salzen einige Hauptformen heraus: *Muria* Kochsalz zeigte ihm Würfel, deshalb setzte er die Würfel des Flußspathes dahin; Alumen Alaun Oktaeder, daher war der Diamant ein Alumen adamas, aber auch der oktaedrische Flußpath Alumen! Nitrum Salpeter zeigte eine sechsseitige Säule, und nun wurden die Säulen des Quarzes, Kalkspathes u. dazu gestellt. Uebrigens unterscheidet er sehr gut drei Klassen:

Petrae (Felsen), Mineræ (Minerale), Fossilia (Versteinerungen).

Jedenfalls wurde **Romé de Vislé** (*Essai de Cristallographie* 1772, p. XII) durch solch originelle Betrachtungsweise auf die Wichtigkeit der Krystalle geleitet. Dieser anspruchslose Mann brachte sich bald in den Besitz der reichsten Krystallsammlung, welche damals existirte. Er erkannte die Beständigkeit der Winkel, unterschied schon Grundformen von den abgeleiteten, und ließ sogar die Figuren in Thon und Holz modelliren, also Krystallmodelle machen. Ein Künstler Carangeot führte das aus, und kam dabei auf die Idee des Anlegegoniometer, weil ohne Winkelmaß die Modelle nicht richtig wurden. Welch gewaltige Fortschritte Vislé machte, zeigt seine *Cristallographie ou description de formes propres à tous les corps du règne minéral*. 1783. Aber um diese Zeit kam

René Just Haüy, geb. 1743 zu St. Just in der Picardie, † 1. Juni 1822 zu Paris, einer der größten Naturforscher seiner Zeit, der alle Mineralogen neben sich verdunkelte. Sein *Essai d'une théorie sur la structure des cristaux* erschien 1784 unter dem Privilegium der Académie. Schon der schwedische Chemiker Torbern Bergman († 1784) hatte gefunden (*Act. Upsal.* 1779, Vol. I, 154), daß man aus allen Kalkspathkrystallen eine Primitivform (*forma primitiva*) herauschälen könne, und leitete durch Aufschichtung dann die andern Flächen ab. Ohne davon zu wissen, kam Haüy auf die gleiche Idee. Als er eines Tages bei DeFrance eine Kalkspathdruse besichtigte, brach eine reguläre sechsseitige Säule mit Grabendfläche ab. Diese zeigte in einer Endflante einen Blätterbruch (*poli de la Nature*), und Haüy brachte durch Versuche zu Hause glücklich ein Rhomboeder heraus (*Essai* pag. 10). Jetzt lag der Gedanke nahe, daß durch Aufschichtung kleiner Rhomboederchen auf die Flächen der Kerngestalt andere Formen abgeleitet werden könnten. So verfiel er auf das Gesetz der Decreescenzen und alle die glänzenden Entdeckungen, welche seinen Namen verewigt haben. Nun konnten die Winkel nicht bloß mit dem Anlegegoniometer gemessen, sondern auch berechnet werden, und diese Rechnungen führte er so scharfsinnig durch, daß in seinem *Traité de mineralogie* 1801 die Krystallographie ihrem Inhalte nach als eine fest abgeschlossene Wissenschaft dasteht, wenn auch ihre Form in Deutschland später ein ganz anderes Gewand bekam. Freilich waren nur talentvolle mathematische Köpfe befähigt, sie zu lesen, aber diese legen noch heute das Buch nicht ohne

Bewunderung aus den Händen. Daraus läßt sich allein erklären, warum die Franzosen bis heute die Methode nicht ganz verlassen haben. Die 2te Auflage 1822 blieb schon gegen ihre Zeit zurück.

Die chemische Richtung ging ebenfalls von Schweden aus. Schon Wallerius (*Mineral-Riket* 1747) stellt die Stoffe an die Spitze, vor allem aber brach Axel von Cronstedt (1722—1765) Berghauptmann in Stockholm die Bahn. Sein »Försök til Mineralogie« erschien 1758. Hier wurde das Löthrohr zuerst angewendet, aber nicht genannt, doch beschreibt es Engström 1765 in der englischen Uebersetzung. Von da an kam es dann durch Bergman und Jahn in den weitesten Gebrauch. Cronstedt stellt jeder Klasse und Ordnung die chemischen Kennzeichen voran, überhaupt zeichnet sich sein Büchelchen so vortheilhaft durch Kürze und Schärfe aus, daß er sich „weit über sein Zeitalter erhob.“ Der berühmte Bergman, „das Orakel unserer modernen Chemiker“, schrieb selbst eine *Sciagraphia regni mineralis, secundum principia proxima digesti* 1782, die, in verschiedene Sprachen übersetzt, als das erste vollständige chemische System angesehen wird. Freilich könnte man das kleine Büchelchen, das auf den Wunsch Ferber's gedruckt wurde, eher eine Chemie nennen. Nachdem ferner durch Bauquelin und Klaproth (Beiträge zur chemischen Kenntniß der Mineralkörper. 6. Bd. 1796—1816) eine Menge trefflicher Analysen gewonnen waren, trat die Wichtigkeit der Chemie für Mineralogie immer in helleres Licht.

Den naturhistorischen Weg, gegen dessen Popularität die beiden genannten weit zurückblieben, eröffnete Abraham Gottlob Werner, 25. September 1750 zu Wehrau in der Oberlausitz geboren, 30. Juni 1817 zu Dresden gestorben (Lebensbeschreibung A. G. Werner's von Dr. Zisch 1825). Gleich seine erste kleine Schrift „von den äußerlichen Kennzeichen der Fossilien“ 1774 zeigt die Größe des aufgehenden Sternes. Welche Klarheit und Bestimmtheit im Ausdruck, und welch feiner Sinn für Auffassung der Kennzeichen, verbunden mit logischer Ordnung! Die Kennzeichen selbst werden in vier Abtheilungen gebracht: äußere, innere, physikalische und empirische, darunter spielen aber die äußern, welche „zu ihrer Auffassung nur allein unsere Sinne nöthig haben“, die Hauptrolle. Denn ein Messer, Feuerstahl und Feile zur Prüfung der Härte, ein Magnet, ein Vergrößerungsglas und ein Fläschchen mit Scheidewasser bildeten sein mineralogisches Bestck. „Will man dazu noch ein Löthroßrgen thun, um damit in der Geschwindigkeit einige kleine Feuerversuche mit Fossilien anstellen zu können, so ist man zum Ueberfluß versehen.“ Farbe ist das erste, was in die Sinne fällt, Zusammenhang (cohaesio) das zweite: hier wird dann auch der regelmäßigen Gestalten oder Krystallisationen gedacht, sie werden treulich und oft sehr naturgemäß beschrieben, doch war Werner nicht Mathematiker und konnte daher auch zur tiefern Formenkenntniß nur wenig beitragen, dagegen wird Glanz, Bruch, Strich, Härte, Klang u. in der besten Weise hervorgehoben. Auch das Anfühlen, die Kälte, Schwere, selbst der Geruch und Geschmack müssen zur Vervollständigung des Bildes beitragen. Ostern 1775 bekam er schon einen Ruf als Lehrer der Mineralogie und Bergbaukunst an die Bergakademie

von Freiberg, wo er 42 Jahre mit einem Erfolg wirkte, wie sich nur Wenige rühmen können. Anfangs wurden Mineralogie und Bergbaukunst bei den Vorträgen vereinigt gelassen, doch schon im nächsten Jahre trat das Bedürfnis der Trennung ein. Etwa um 1779 schied er auch die Gebirgslehre, welche er in einer erweiterten Form zum ersten Male 1785 unter dem Namen Geognosie las, während schon 1780 die Mineralogie in ihrer Abgränzung gegen die Gebirgslehre vorgetragen wurde. Leider hat Werner wenig geschrieben, bei seinen Vorlesungen legte er Cronstedt's *Försök til Mineralogie* zu Grunde, von der er 1780 den ersten Theil des ersten Bandes übersetzt und vermehrt herausgab. Sein vollständiges System schrieb zuerst Emmerling (Lehrbuch der Mineralogie 1798), aber gegen seinen Willen, später mit seinem Willen Hoffmann (Handbuch der Mineralogie 1811—13, fortgesetzt von Breithaupt 1815—17). Am Ende des 4ten Bandes findet sich „Werner's letztes Mineralsystem“ 1817, das sich nach seinem Tode unter seinen Schriften fand. Es enthält 317 meist wohl begründete Arten. Auf den Schultern dieses berühmten Lehrers erhoben sich die Mineralogen unseres Jahrhunderts. Sein „vorzüglichster Schüler“ war

Christian Samuel Weiß, geboren 26. Febr. 1780 zu Leipzig, also in demselben Jahre, wo zum ersten Mal auf einem deutschen Lehrstuhle die Mineralogie in ihrem selbstständigen Inhalte vorgetragen wurde. Gestorben 1ten October 1856 zu Eger in Böhmen. Er ging bald über Werner hinaus und Haüy zog ihn an, den er in Paris frühzeitig aufsuchte, dessen Lehrbuch über Physik und Mineralogie er übersezte und mit Anmerkungen versah. Uns interessirt hauptsächlich das „Lehrbuch der Mineralogie von Bürger Haüy in 4 Bänden 1804—1810“, woran Karsten nur anfangs Theil hatte. Eine merkwürdige Abhandlung über die „dynamische Ansicht der Krystallisation“ finden wir I. pag. 365. Weiß polemisirt hier gegen die atomistische Lehre Haüy's, und weist nach, daß nicht bloß den Flächen der Kerngestalt Blätterbrüche parallel gehen, sondern daß auch den sekundären ein versteckter Durchgang der Blätter entspreche, daß mit einem Worte die Blätterbrüche das ganze Innere des Krystalls beherrschen. Sie hingen von gewissen „Krystallisationsrichtungen“ ab, welche im Innern des Krystalls wirken. Der Feldspath (Haüy Mineral. II, 711) wurde bereits 1804 in seiner naturgemäßen Stellung erkannt, und der Zusammenhang seiner Flächen nach Zonen gruppiert! Ja bei dem schon damals richtig gedeuteten Epidot (III, 14) steht klar ausgesprochen, daß durch das Fallen einer Fläche in zwei Zonen ihre Lage geometrisch bestimmt sei (1806). Hierin liegen offenbar die Reime für die spätere Deductionslehre. 1808 zum ordentlichen Professor der Physik nach Leipzig berufen, wird bereits in einer lateinischen Dissertation, *de indagando formarum crystallinarum caractere geometrico principale* 1809, die neue Anordnung der Krystalle auseinander gesetzt. Wir finden nicht nur die Bedeutung der Axen hervorgehoben: *axis vero linea est omnis figurae dominatrix, circa quam omnia aequabiliter sunt disposita. Eam omnia spectant, eaque quasi communi vinculo et communi inter se contactu tenentur*, sondern das ganze System in seinen Grundzügen angedeutet; die Haüy'schen Primitiv-

formen werden auf das reguläre Octaeder, Rhomboeder und Dihexaeder, Quadrat- und Oblongoktaeder zurückgeführt, nur Feldspath, Epidot, Gyps u. nicht untergebracht, sondern auf eine spätere Behandlung verwiesen, als zu den genannten vier Systemen nicht gehörig. Schon durch Cabinetsordre vom 6ten September 1810 wurde Weiß auf lebhaftes Andringen von L. v. Buch an die neu errichtete Universität Berlin gerufen, wo er 46 Jahre als geliebter Lehrer wirkte. Den Eintritt in die Akademie der Wissenschaften 1815 feierte er mit dem Abschluß seines Systems „übersichtliche Darstellung der verschiedenen natürlichen Abtheilungen der Krystallsysteme“: 1) reguläres, 2) viergliedriges, 3) zweiundzweigliedriges, 4) zweiundeingliedriges, 5) einundeingliedriges, 6) sechsgliedriges nebst dreiunddreigliedrigem System werden unterschieden, und beim regulären das Tetraedrische und Pentagonodoksaedrische hervorgehoben. Damit war der wundervolle Bau der Krystalle in seinen Grundgesetzen erkannt. Eine Reihe monographischer Abhandlungen, welche nun alljährlich in jenen akad. Schriften folgten, haben uns mit den tiefen Verhältnissen bekannt gemacht. Prof. Neumann in Königsberg (Beiträge zur Krystallogonomie 1823) trat in die Fußtapfen seines Lehrers und zeigte, wie man die Zonen und Richtungen in einem Bilde durch eine besondere Art von Projektion deutlich machen könne. Wie großen Werth der Lehrer selbst auf solche Darstellung legte, dieß zeigen seine Arbeiten seit dem Jahre 1834, wo durch eine Projektionsfigur der Abhandlung stets ihre letzte Vollenendung gegeben wird. Es ist dieß der einzige wahre Weg zur Erkenntniß der Sache. Das wird man um so mehr erkennen, je mehr wahre mineralogische Bildung überhaupt Wurzel schlägt.

Während so die mathematische Richtung, ich möchte sagen, zum Abschluß kam, waren die Chemiker überaus thätig, auch ihrerseits das Nöthige beizutragen. Genaue Untersuchungen lehrten, daß die Stoffe nach bestimmten Äquivalentzahlen sich untereinander verbinden, Berzelius führte daher geradezu für jedes Element ein Symbol ein. So konnte dann die Zusammensetzung eines Minerals durch eine chemische Formel ausgedrückt werden. Diese Formeln werden freilich vielfach mißbraucht, daß aber im Ganzen die Sache dadurch gefördert wurde und wird, wer wollte das läugnen. Berzelius (Journ. Chem. et Phys. Bd. XV) selbst stellte schon im Jahre 1815 ein vollständiges chemisches Mineralsystem nach seinem electro-chemischen Princip auf, freilich auf Kosten aller naturhistorischen Verwandtschaften. Dem Chemiker, welcher die Minerale bloß der Stoffkenntniß wegen studirt, mag eine solche Zusammenstellung willkommen sein, der Mineralog sehnt sich aber immer wieder nach einem naturhistorischen Bande. Auch sind die Chemiker trotz ihres festen Princips unter sich ebensowenig einig geworden als die andern. Eines der letzten stammt von Gustav Rose (das crysalllo-chemische Mineralsystem 1852), der sich immer mit Vorliebe der chemischen Richtung zuwendet, worin er so viel geleistet hat. Die chemischen Formeln gewannen sehr an Einfachheit, seit Prof. Fuchs darauf aufmerksam machte (Schweigger's Journ. für Chem. 1816. XV, 333), daß gewisse Stoffe andere vertreten könnten. Daraus entstand dann der Isomorphismus von Prof. Mitscherlich (Abh. der Berl. Akad. 1818, 428).

von Freiberg, wo er 42 Jahre mit einem Erfolg wirkte, wie sich nur Wenige rühmen können. Anfangs wurden Mineralogie und Bergbaukunst bei den Vorträgen vereinigt gelassen, doch schon im nächsten Jahre trat das Bedürfnis der Trennung ein. Etwa um 1779 schied er auch die Gebirgslehre, welche er in einer erweiterten Form zum ersten Male 1785 unter dem Namen Geognosie las, während schon 1780 die Mineralogie in ihrer Abgränzung gegen die Gebirgslehre vorgetragen wurde. Leider hat Werner wenig geschrieben, bei seinen Vorlesungen legte er Cronstedt's *Försök til Mineralogie* zu Grunde, von der er 1780 den ersten Theil des ersten Bandes übersetzt und vermehrt herausgab. Sein vollständiges System schrieb zuerst Emmerling (*Lehrbuch der Mineralogie* 1798), aber gegen seinen Willen, später mit seinem Willen Hoffmann (*Handbuch der Mineralogie* 1811—13, fortgesetzt von Breithaupt 1815—17). Am Ende des 4ten Bandes findet sich „Werner's letztes Mineralsystem“ 1817, das sich nach seinem Tode unter seinen Schriften fand. Es enthält 317 meist wohl begründete Arten. Auf den Schultern dieses berühmten Lehrers erhoben sich die Mineralogen unseres Jahrhunderts. Sein „vorzüglichster Schüler“ war

Christian Samuel Weiß, geboren 26. Febr. 1780 zu Leipzig, also in demselben Jahre, wo zum ersten Mal auf einem deutschen Lehrstuhle die Mineralogie in ihrem selbstständigen Inhalte vorgetragen wurde. Gestorben 1ten Oktober 1856 zu Eger in Böhmen. Er ging bald über Werner hinaus und Haüy zog ihn an, den er in Paris frühzeitig aufsuchte, dessen Lehrbuch über Physik und Mineralogie er übersetzte und mit Anmerkungen versah. Uns interessiert hauptsächlich das „Lehrbuch der Mineralogie von Bürger Haüy in 4 Bänden 1804—1810“, woran Karsten nur anfangs Theil hatte. Eine merkwürdige Abhandlung über die „dynamische Ansicht der Krystallisation“ finden wir I. pag. 365. Weiß polemisiert hier gegen die atomistische Lehre Haüy's, und weist nach, daß nicht blos den Flächen der Kerngestalt Blätterbrüche parallel gehen, sondern daß auch den sekundären ein versteckter Durchgang der Blätter entspreche, daß mit einem Worte die Blätterbrüche das ganze Innere des Krystalls beherrschen. Sie hingen von gewissen „Krystallisationsrichtungen“ ab, welche im Innern des Krystalls wirken. Der Feldspath (Haüy Mineral. II, 711) wurde bereits 1804 in seiner naturgemäßen Stellung erkannt, und der Zusammenhang seiner Flächen nach Zonen gruppiert! Ja bei dem schon damals richtig gedeuteten Epidot (III, 141) steht klar ausgesprochen, daß durch das Fallen einer Fläche in zwei Zonen ihre Lage geometrisch bestimmt sei (1806). Hierin liegen offenbar die Reime für die spätere Deductionslehre. 1808 zum ordentlichen Professor der Physik nach Leipzig berufen, wird bereits in einer lateinischen Dissertation, de indagando formarum crystallinarum caractere geometrico principale 1809, die neue Anordnung der Krystalle auseinander gesetzt. Wir finden nicht nur die Bedeutung der Axen hervorgehoben: *axis vero linea est omnis figurae dominatrix, circa quam omnia aequabiliter sunt disposita. Eam omnia spectant, eaque quasi communi vinculo et communi inter se contactu tenentur*, sondern das ganze System in seinen Grundzügen angedeutet; die Haüy'schen Primitiv-

formen werden auf das reguläre Octaeder, Rhomboeder und Dihedraeder, Quadrat- und Oblongoctaeder zurückgeführt, nur Feldspath, Epidot, Gyps u. nicht untergebracht, sondern auf eine spätere Behandlung verwiesen, als zu den genannten vier Systemen nicht gehörig. Schon durch Cabinetordre vom 6ten September 1810 wurde Weiß auf lebhaftes Andringen von L. v. Buch an die neu errichtete Universität Berlin gerufen, wo er 46 Jahre als geliebter Lehrer wirkte. Den Eintritt in die Akademie der Wissenschaften 1815 feierte er mit dem Abschluß seines Systems „übersichtliche Darstellung der verschiedenen natürlichen Abtheilungen der Krystallsysteme“: 1) reguläres, 2) viergliedriges, 3) zweiundzweigliedriges, 4) zweiundeingliedriges, 5) einundeingliedriges, 6) sechsgliedriges nebst dreiunddreigliedrigem System werden unterschieden, und beim regulären das Tetraedrische und Pentagonobolbedrische hervorgehoben. Damit war der wundervolle Bau der Krystalle in seinen Grundgesetzen erkannt. Eine Reihe monographischer Abhandlungen, welche nun alljährlich in jenen akad. Schriften folgten, haben uns mit den tiefen Verhältnissen bekannt gemacht. Prof. Neumann in Königsberg (Beiträge zur Krystallonomie 1823) trat in die Fußtapfen seines Lehrers und zeigte, wie man die Zonen und Richtungen in einem Bilde durch eine besondere Art von Projektion deutlich machen könne. Wie großen Werth der Lehrer selbst auf solche Darstellung legte, dieß zeigen seine Arbeiten seit dem Jahre 1834, wo durch eine Projektionsfigur der Abhandlung stets ihre letzte Vollendung gegeben wird. Es ist dieß der einzige wahre Weg zur Erkenntniß der Sache. Das wird man um so mehr erkennen, je mehr wahre mineralogische Bildung überhaupt Wurzel schlägt.

Während so die mathematische Richtung, ich möchte sagen, zum Abschluß kam, waren die Chemiker überaus thätig, auch ihrerseits das Nöthige beizutragen. Genaue Untersuchungen lehrten, daß die Stoffe nach bestimmten Aequivalentzahlen sich untereinander verbinden, Berzelius führte daher geradezu für jedes Element ein Symbol ein. So konnte dann die Zusammensetzung eines Minerals durch eine chemische Formel ausgedrückt werden. Diese Formeln werden freilich vielfach mißbraucht, daß aber im Ganzen die Sache dadurch gefördert wurde und wird, wer wollte das läugnen. Berzelius (Journ. Chem. et Phys. Bd. XV) selbst stellte schon im Jahre 1815 ein vollständiges chemisches Mineralsystem nach seinem electro-chemischen Princip auf, freilich auf Kosten aller naturhistorischen Verwandtschaften. Dem Chemiker, welcher die Minerale bloß der Stoffkenntniß wegen studirt, mag eine solche Zusammenstellung willkommen sein, der Mineralog sehnt sich aber immer wieder nach einem naturhistorischen Bande. Auch sind die Chemiker trotz ihres festen Princips unter sich ebensowenig einig geworden als die andern. Eines der letzten stammt von Gustav Rose (das crysallo-chemische Mineralsystem 1862), der sich immer mit Vorliebe der chemischen Richtung zuwendet, worin er so viel geleistet hat. Die chemischen Formeln gewannen sehr an Einfachheit, seit Prof. Fuchs darauf aufmerksam machte (Schweigger's Journ. für Chem. 1816. XV, 393), daß gewisse Stoffe andere vertreten könnten. Daraus entstand dann der Isomorphismus von Prof. Mitscherlich (Abh. der Berl. Akad. 1818, 428).

Nimmt man dazu noch die Fortschritte, welche „durch die Anwendung des Röthrohres in der Chemie und Mineralogie (1ste Aufl. 1821, vierte 1844)“ von Berzelius gemacht sind, so kann man sich nicht wundern, daß über die Mineralanalysen allein umfangreiche Werke erscheinen, wie das Handwörterbuch des chemischen Theils der Mineralogie von Rammelsberg 1841, mit 5 Supplementen 1843—1853, die in seinem Handbuch der Mineralchemie 1860 in systematischer Anordnung erscheinen. Demungeachtet darf der Mineraloge vom Fach, wenn er seinen Blick nicht trüben will, die Chemie nur als Helferin betrachten, die ihm beispringt, wenn seine andern Mittel nicht mehr ausreichen. Endlich ist auch

die naturhistorische Richtung scharfer ausgebildet, insonders von solchen, die weder mit chemischen noch mathematischen Kenntnissen ausgerüstet den populärsten Mittelweg suchten. Vor allem war es Mohs, dessen Talent in dieser Beziehung Bahn brach, der aber leider auch auf Nebendinge ein ungehörliches Gewicht legte. Schüler und Nachfolger Werner's, lieferte er schon 1804 „van der Kull's Mineralienkabinet, geordnet und beschrieben“ in 3 Bänden, hält sich darin aber durchaus auf dem Werner'schen Standpunkte. Wichtiger „die Charakteristik des naturhistorischen Mineralsystems. Dresden 1820 (2te Aufl. 1821)“ und besonders der „Grundriß der Mineralogie. 2 Bde. 1822—24“, von Haidinger ins Englische übersezt (Treatise on Mineralogie 1825), woran die Krystallzeichnungen namentliches Verdienst haben. Mohs vernachlässigt das Chemische und hält sich blos an äußere Kennzeichen, stellt unter andern eine Härtescala auf, faßt bei den Krystallen Grundformen heraus, legt Gewicht auf die Reihen der stumpfern und scharfern Körper, die in seiner Bezeichnung eine Hauptrolle spielen. Doch ist sein Krystallsystem ganz dem von Weiß entnommen (Edinb. phil. Journ. 1823. VIII, pag. 103 u. 275), nur schloß er sich den scharfern Messungen an, welche seit der Erfindung des Reflexionsgoniometer durch Wollaston 1809 möglich wurden. Bei den Messungen war ihm besonders Haidinger behülflich, und es stellte sich heraus, daß die zweiundeingliedrigen und eingliedrigen Systeme schiefwinklige Axen haben müßten, die Mohs zuerst (Grundriß 1824. 2ter Band pag. VI) anführt. Allein schon Kupfer (Pogg. Ann. 1826. Band 8. pag. 75) zeigte, daß man die „Abweichung“ vom rechten Winkel öfter meiden könne, und jedenfalls verdienen wenigstens die Axen, welche sich den rechten möglichst nähern, vor den willkürlich schief angenommenen den Vorzug. Denn die Einfachheit der Axenausdrücke kann in solchen Fällen doch nicht allein entscheiden, sonst könnte man unter Umständen den allerschiefsten Stellungen den Vorzug geben wollen, wie die Zonenlehre beweist. Haidinger, der berühmteste Schüler von Mohs, wandte sich mit Vorliebe und großem Glück auch dem physikalischen Theile zu, wie seine vielfachen interessanten Arbeiten über Dichroismus zc. beweisen (Poggendorff's Annalen 65. 1; 68. 205; 71. 221). In seinem Handbuche der bestimmenden Mineralogie, Wien 1845, ist der allgemeine Theil ausführlich behandelt, der specielle kommt aber zu mager weg, die übermäßige Concinnität führte Mohs und seine Schüler zu solchen Unbequemlichkeiten. Das Handbuch der Mineralogie von Hausmann, Göttingen 1828 und 1847, belehrt

uns besonders mit litterarischen Ausweisen, führt aber leider auch wieder eine besondere krystallographische Sprache. Reich an Litteratur ist Leonhard's Handbuch der Oryktognosie 1826, 2te Aufl. E. F. Raumann in Leipzig erwarb sich durch sein gediegenes Lehrbuch der Mineralogie, Berlin 1828, das freilich in Mohs eine wesentliche Stütze fand, und durch sein Lehrbuch der reinen und angewandten Krystallographie, Leipzig 1830, einen solchen Ruf, daß nicht bloß seine Elemente der Mineralogie, 1846, schon 1859 die fünfte Auflage erlebten, sondern auch die meisten deutschen Mineralogen sich seiner Methode zuwenden. Leider ist sie zu abstrakt mathematisch, aber könnte man einiges unwesentliche Beiwerk abstreifen, so würde sie der Methode des Meisters in der Krystallographie ziemlich nahe treten. Mag auch die Sprache der Krystallographen noch so verschieden sein, so wird doch endlich das gemeinsame Gute sich herausklären. Die Weiß'schen Axiome müssen zuletzt siegen.

Structurlehre.

Pflanzen und Thieren gegenüber steht als Mineralindividuum der Krystall. Derselbe wird nicht bloß von Ebenen begränzt, sondern den äußern Ebenen gehen innen mehr oder weniger deutliche **Blätterdurchgänge** (Blätterbrüche) parallel, welche das Ganze beherrschen. Andere nach Werner bezeichnen es minder passend mit „Theilbarkeit oder Spaltbarkeit“, die alten Vergleute mit Spath, was dem sanskritischen Spathion spaltbarer Steine verwandt ist. Solche **Blätterbrüche** geben sich beim Schlage durch einen spiegelglatten Sprung kund, der für die Bestimmung der Substanz von größter Wichtigkeit ist, und zugleich das wesentlichste Unterscheidungsmerkmal von der organischen Schöpfung liefert. Mit ihrer Betrachtung muß um so mehr begonnen werden, als sie uns in ein Gebiet führt, das der Anschauung den reichsten Stoff bietet und das vernachlässigt bei vielen Zweigen der Naturwissenschaften sich bitter straft. Schon Werner (Neuß. Kennz. Joss. 1774. pag. 227) hat die Gestalt der Bruchstücke des „blättrichen Bruches“ scharfsinnig hervorgehoben.

Betrachtung eines Blätterbruchs.

Nimmt man ein Stück Glimmer oder Talc, so lassen sich durch schnelles Zerbrechen davon so dünne Scheiben ablösen, daß sie im reflectirten Lichte rothe, selbst blaue Regenbogenfarben zurückwerfen, wie die feinsten Glasblasen. Schon Haüy berechnete die Dicke dieser Blättchen auf weniger als $\frac{1}{100000}$ Zoll. Trotz der Leichtigkeit, mit welcher man die Blätter von einander trennt, bilden sie doch zusammen eine compacte ungesonderte Masse; die Sonderung tritt erst mit dem Schlage oder Drucke ein. Glimmer wird in dieser Hinsicht von keinem andern Mineral an Deutlichkeit übertroffen; man kann etwa folgende Stufen unterscheiden:

a) Glimmerbruch, Maximum von Perlmutterglanz. Diatlag, Blätterzeolith, Gyps, Diaspor, Graphit nähern sich ihm.

b) Topasbruch läßt sich selbst an diesem harten Edelstein noch leicht darstellen, steht aber dem Gyps schon entschieden nach. Kalispath, Blende, der erste Feldspath- und Eufasbruch zeigen gleiche Deutlichkeit.

c) Apatitbruch läßt sich noch gut darstellen und leicht durch seinen Glanz erkennen. Flußspath, der 2te Feldspathbruch, Schwerspath, Diamant, Korund und andere sind meist noch etwas deutlicher, stehen aber dem Topasbruch entschieden nach.

d) Beryllbruch liegt schon recht versteckt, er kann daher nicht mehr als wichtiges Merkmal genommen werden, obgleich man ihn zumal beim Kerzenlicht nicht übersehen kann.

e) Quarzbruch ist noch versteckter und kaum wahrzunehmen, durch Erhitzen und plötzliches Abkühlen läßt er sich aber noch darstellen. Von praktischem Nutzen ist diese Eigenschaft jedoch nicht mehr. Und wie wir schon angeführt haben, so geht wahrscheinlich jeder Fläche eines Krystalls irgend ein Grad von Blätterdurchgang parallel.

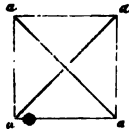
Mathematisch haben wir an solchen blättrigen Platten, wie Glimmer, Gyps, Topas zc. nichts festzuhalten, als daß rings um die Platte der Raum noch nicht geschlossen und nur nach einer Richtung eine der Dicke nach sehr variable Gränze stattfindet. Ob dick oder dünn, der Parallelraum (Krystallraum) zwischen den beiden Spiegeln ist für uns immer der gleiche. Dieses veränderliche Element macht dem Anfänger viel zu schaffen, es muß gleich von vorn herein durch die Art der Darstellung besiegt werden, Methode der Krystallographie 1840. pag. 3.

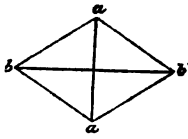
Betrachtung zweier Blätterbrüche.

Sie bilden stets eine vierseitige Säule (Prisma) mit vier Flächen und vier Kanten. Alle Kanten sind untereinander parallel (machen eine Zone), die Flächen zu je zwei liegen einander gegenüber, ebenso die abwechselnden Kanten. Durch Verrücken der Blätterbrüche (wenn die Parallelräume dicker oder dünner werden) wird keine der Parallelitäten gestört, auch die Neigung der Flächen in den Kanten (Kantenwinkel) nicht. Parallelität und Winkel bleiben also constant, nur die Flächenbreite variiert. Flächen und Kanten nennt man die Glieder der Säule. Die Säule ist bereits nach zwei Dimensionen geschlossen, aber variabel dick, nur nach einer noch offen. Ihre gegenüberliegenden Winkel (aa und bb) sind einander gleich, und da $a + b = 2R$, so ist sie durch einen gemessenen Winkel bestimmt, die Messung muß aber bekanntlich in einer Ebene stattfinden, die auf einer (und folglich auf allen vier) Kanten senkrecht steht (Querschnitt).

Nur nach dem Princip der Gleichheit und Ungleichheit kann die Einteilung gemacht werden: Flächen sind aber gleich, wenn sie gleiche physikalische Beschaffenheit haben: Blätterdurchgang, Glanz, Streifung, Härte, Elasticität zc. muß die gleiche sein; Kanten sind gleich, wenn sie bei gleicher Zahl von Graden durch gleiche Flächen (und zwar in derselben Ordnung) erzeugt werden. Hiernach kann es nur viererlei vierseitige Säulen geben:

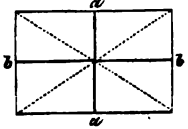
a) Flächen und Kanten gleich: **Quadratische Säule.** Aus Holz geschnitten macht man die Seiten congruent, dann ist der Querschnitt ein Quadrat, folglich sämtliche Kanten rechte Winkel (a). Es gibt unter den deutlichen Blätterbrüchen keine recht guten Beispiele: Rutil, Zirkon, Stapolith zc. In der Natur ist freilich auch diese Säule meist zu einem Oblongum verzogen.



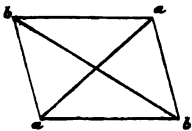
b) Flächen gleich und Kanten ungleich: **Rhombische Säule.**

Man schneidet die Flächen gewöhnlich congruent, dann ist der Querschnitt ein Rhombus mit zwei stumpfen (a) und zwei scharfen Winkeln (b). Hornblende. Schwer-spath. In der Natur meist zu einem Rhomboid verzogen.

c) Flächen ungleich und Kanten gleich.



Oblonge Säule. Die eine Fläche dehnt sich mehr in die Breite als die andere, und da die Winkel rechte sein müssen, so ist der Querschnitt ein Oblongum: Feldspath und Eufas liefern im 2+1gliedrigen, Strahlzeolith und Olivin im 2gliedrigen Systeme gute Beispiele.

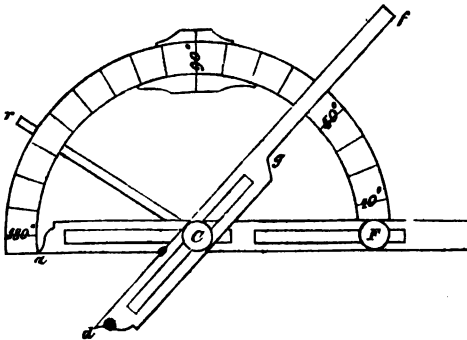


d) Flächen und Kanten ungleich: **Rhomboidische Säule.** Hier ist alles ungleich, folglich der Querschnitt ein Rhomboid: Cyanit, Epidot, der muschelige und faserige Bruch des Gyps etc. Uebrigens kommt diese Säule immer vor, wo sich zwei ungleiche Flächen schief schneiden.

Man macht sich die Sache leicht an den beistehenden Querschnitten klar: die quadratische Säule hat rechtwinklige und gleiche Axen (Diagonalen); die rhombische rechtwinklige und ungleiche Axen; die oblonge schiefwinklige und gleiche, doch kann man durch den Mittelpunkt auch rechtwinklige ungleiche ziehen; die rhomboidische schiefwinklige und ungleiche. Hier sind gar keine rechtwinkligen Axen möglich. In der Natur beobachtet man meist nur eine Kante der Säule: sind in dieser Kante die Flächen gleich und rechtwinklig, so ist sie quadratisch; gleich und schiefwinklig, rhombisch; ungleich und rechtwinklig, oblong; ungleich und schiefwinklig, rhomboidisch.

Der Säulenwinkel wird auf zweierlei Weise gemessen: mittelst des Anlegegoniometer, hierbei kann man jedoch um mehrere Grade irren; dagegen nähert man sich mittelst des Reflexionsgoniometer der Wahrheit bis auf wenige Minuten.

Das Anlegegoniometer (Handgoniometer) fand der Künstler Caran-



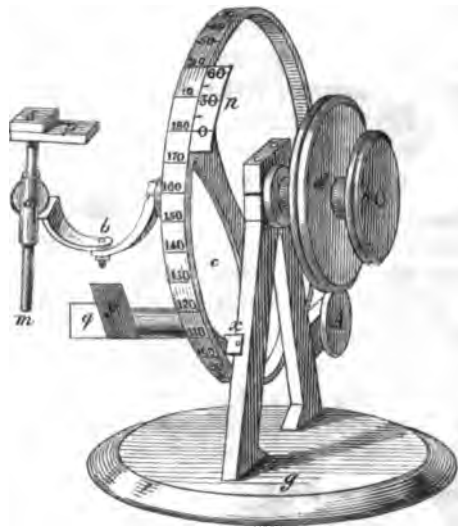
geot, welcher Modelle machte. Haug hat es dann noch etwas verbessert. Dasselbe besteht aus einem gradirten Halbkreis (Rapporteur), in dessen Centrum C sich zwei Alhidaden befinden. Die eine df ist um C beweglich, die andere af steht fest. Will man nun einen Kantenwinkel messen, so legt man die Kantenlinie senkrecht gegen die Ebene des gradirten Halbkreises, und liest den

Winkel an der Linie *sg* der beweglichen Alhidade ab. Denn da die Linie *sg* über *g* hinaus verlängert genau in das Centrum *C* trifft, und da *ao* dem Durchmesser von Null nach 180° und do dem Radius *sg* parallel gehen, so muß der Kantwinkel *aod* in unserem Falle 46° haben, was die Alhidade zeigt. Der Nullpunkt liegt im Mittelpunkte der Schraube *F*, er ist nicht angezeigt, da wegen der Breite der Alhidadenarme überhaupt nur Winkel bis auf 15° Größe gemessen werden können. Um kleinen Krystallen leichter beizukommen, sind beide Alhidaden in den Schrauben *C* und *F* verschiebbar, auch hat der Halbkreis bei 90° ein Charnier, mittelst welchem man die linke Hälfte von 90° — 180° zurückschlagen kann, um so in die Krystallbrusen hineinzulangen. Zur Befestigung dieser beweglichen Hälfte dient daher noch ein Arm *Cr*. Wenn es nöthig ist, schnell an Krystallen sich durch die Größe der Winkel zu orientiren, so liefert das Carangeot'sche Goniometer ein sehr gutes Hilfsmittel, wofern die Winkel von einander wenigstens einige Grade Unterschied haben. Jedenfalls ist es zur Verfertigung der Holzmodelle sehr wichtig. Das Goniometer von Abelmann ist im Princip das Gleiche, nur steht hier der getheilte Halbkreis senkrecht und befestigt, darüber ein horizontales Lineal, gegen welches der Krystall orientirt wird. Dient daher auch als unvollkommenes Reflexionsgoniometer (Wollaston Phil. Trans. 1809. pag. 253). Es gehört einige Uebung dazu, sich seiner zu bedienen, liefert dann aber auch viel schärfere Resultate. Wir unterscheiden viererlei:

1) Das Gestell *g* ist unbeweglich, kann bei complicirten auch wohl durch Schrauben nivellirt werden. Oben vorn ist daran ein Nonius *n* befestigt, welcher mit seinem Nullpunkt die Grade anzeigt.

2) Der getheilte Kreis *c* steht am Gestell vertikal und kann mittelst der Scheibe *d* um seine Axe mit allem was daran hängt gedreht werden. Aber nur nach einer Richtung (nach vorn) hin, indem unten bei *x* eine Feder einschnappt, den Kreis einseitig arretirt und auf Null stellt.

3) Der Krystallträger *krbamp* durchbohrt mit seiner Axe *kr* die Axe des eingetheilten Kreises *c*, und ist in ihr mittelst der Scheibe *k* so leicht drehbar, daß dadurch die Ruhe desselben nicht gestört werden kann. Links ist an der Axe der erste Bogen *rb* fest, der zweite Bogen *ab* bewegt sich dagegen bei *b* um eine Axe, die senkrecht auf Axe *kr* steht. Mittelfst dieser Drehung nach zwei Zonen kann ich zwar der Kante eines Krystalls schon



jede beliebige Richtung im Raume geben, dennoch ist nochmals der Stift bei *a* in einem kurzen Gelenk parallel dem Charnier bei *b*, also auch senkrecht auf die Aze *kr*, beweglich. Senkrecht auf der Drehungsaxe von *a* ist eine Hülse befestigt, worin ein Stift *m* läuft, an dessen Ende eine kleine Platte *p* haftet, die senkrecht gegen die Aze des Stiftes *m* steht, und worauf der Krystall mit Wachs geklebt wird. Daneben liegt ein kleiner Spiegel *s*, der Platte *p* parallel. Da dieser ganze Apparat *krbamps* eine selbstständige Bewegung hat, so kann ich den Krystall in jede Lage bringen.

4) Der Sextantenspiegel *gy* (Vegen, Pogg. Annal. 1833. 27. 687), am Hinterfuße des Gestells befestigt, läßt sich um eine Aze *A* parallel der des eingetheilten Kreises drehen; *q* ist der schwarze Spiegel, in welchem man einen horizontalen Fensterrahmen oder eine noch fernere Horizontallinie mit dem Auge fixirt, *y* die senkrecht neben dem Spiegel sich erhebende Blendung, die das Auffinden der im Spiegel fixirten Linie auf der Fläche des Krystalls erleichtert. Wer einmal mit diesem vortrefflichen Instrumente gemessen hat, wird alle andern in den verschiedenen Lehrbüchern beschriebenen unpraktischer finden.

Das Messen. Die größte Schwierigkeit bildet das Einstellen des Krystalles. Gewöhnlich geschieht das durch Hin- und Herprobiren. Allein sobald an unserem Instrument der Spiegel *s* genau senkrecht gegen den Stift *m* steht, so darf ich nur den Krystall mit einer seiner Flächen parallel demselben aufkleben, was bei herausgenommenem Stift durch Einspiegeln mit *s* sehr leicht bewerkstelligt werden kann. Fixire ich jetzt den Fensterrahmen auf der Krystallfläche, so wird er mit dem Bilde des Spiegels *q* im Allgemeinen nicht parallel gehen, diese Parallelität ist aber sogleich durch Bewegung des kurzen Charnieres *a* hergestellt, wovon man sich durch Drehung an der Scheibe *k* überzeugt, indem man die Rahmen zum Decken bringt. Dieses Einspielen ist der Beweis, daß Spiegel und Krystallfläche der Drehungsaxe *kr* parallel gehen. Da nun aber der Stift *m* bei dieser Stellung senkrecht gegen die Krystallfläche steht, so muß er auch senkrecht gegen *kr* stehen, und wenn man jetzt den Krystall um die Aze des Stiftes *m* dreht, so wird die Parallelität der Fensterrahmen nicht gestört, was zu gleicher Zeit wieder ein Beweis ist, daß der Spiegel *s* senkrecht gegen den Stift steht. Ist dieß geschehen, so drehe ich mit der Drehscheibe *k* die zweite Fläche dem Auge zu, sie wird das Bild des Rahmen nicht mit dem Spiegelbilde parallel stehen lassen, allein durch die Drehung des Stiftes *m* ist die Parallelität sogleich hergestellt. Da nun durch diese Drehung die erste Fläche nicht aus ihrer Parallelität mit der Aze *kr* der Drehscheibe herauskommen kann, so ist der Krystall mit mathematischer Sicherheit eingestellt. Ich darf jetzt nur das Instrument auf Null einstellen, das Rahmenbild des Sextantenspiegels mit dem einer Fläche des Krystalls zusammenfallen lassen, sodann bei *d* drehen und auf der zweiten Krystallfläche wieder zusammenfallen lassen, und auf dem Theilkreise die Grade ablesen.

Ueber verschiedene Abänderungen von Mitscherlich, Mohs, Babinet zc. siehe Dufrenoy (Traité Minér. I, 192) und H. Karsten (Lehrb. der Krystallographie

1861. pag. 118). Malus stellte die Meßscheibe horizontal und fixirte die Richtung des Sehens durch ein schwaches Fernrohr. Mittsicherlich wendete das Fernrohr auf die verticale Meßscheibe an und orientirte den Krystall durch Schlitten und Schrauben. Vabinet verband zwei Fernrohre mit einer großen horizontalen Meßscheibe, in deren Centrum der Krystall aufrecht steht. Die Axen der Fernrohre mit Fadenkreuz gehen der Scheibe parallel: das Fadenkreuz des 2ten (festen) Fernrohres vertritt blos die Stelle des zu spiegelnden Gegenstandes, wozu man passender einen Lichtspalt (Collimator) wählt, weil das Fadenkreuz zu schwach beleuchtet zu fein pflegt. Man kann damit, wie mit dem Goniometer von Charles (Ann. Chim. phys. 1850. XXIII. 171) zugleich die Brechungscoefficienten bestimmen. Häidinger (Sitzungsber. Wien. Akad. 1855, XXIII. 110) construirte ein aufschraubbares „Universalgoniometer“, mit welchem sich Krystallwinkel, Brechungscoefficienten und optische Axen feststellen lassen. Für feinere Untersuchungen empfiehlt Heuser (Pogg. Ann. 87. 455) Theodolithen mit excentrischem Fernrohr, in dessen Centrum der Krystall aufrecht steht. Da hier der Winkel doppelt gemessen wird, so kann bei einer Kreiseinteilung zu 10 Minuten der Messungsfehler bis auf 2—3 Secunden eingeschränkt werden.

Auch an Mikroskopen hat Brewster Vorrichtungen zu Winkelmessungen gemacht: es handelt sich dabei aber lediglich um Bestimmung ebener Winkel, aus welchen die Kante berechnet werden muß. Ein Fadenkreuz im Ocular mit einer horizontalen Meßscheibe in Verbindung gebracht genügt. Sollen die Schenkel des Winkels mit dem Faden zusammenfallen, so kann man das Ocular oder die Unterlage drehen. Versteht sich, daß der Krystall gehörig centrirt sein muß. Reeson stellte sinniger Weise ein doppeltbrechendes Prisma (Kalkspath) auf das Ocular, so daß die einen Schenkel beider Bilder in gerade Linie fallen, dreht dann, bis die andern Schenkel das Gleiche thun, und erlangt damit den Winkel oder sein Supplement.

Hat man sich nun durch Messung überzeugt, ob die Kante 90° oder nicht habe, so weiß ich erst, ob die Säule gleichwinklig (quadratisch oder oblong) oder ungleichwinklig (rhombisch oder rhomboidisch) sei. Die weitere Bestimmung folgt lediglich aus der physikalischen Beschaffenheit der Flächen, die man entweder mit bloßem Auge beurtheilt, oder wozu man sich folgender drei Sätze (Symmetriesätze) bedient:

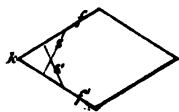
Erster Grundsatz. Tritt zu einer Säule eine dritte Fläche, so muß diese die gleichen Glieder in gleicher (gerade abkumpfen), und die ungleichen in ungleicher Weise treffen (schief abkumpfen). Man kann den Satz auch umkehren, aber der rechte Winkel erleidet Ausnahmen. Habe ich z. B. eine quadratische Säule fl , so muß die dritte hinzukommende Fläche s jede der l unter gleichen Winkeln (135°) treffen. Wäre die Säule eine oblonge fg , so muß nun s die Fläche g unter anderer Neigung schneiden als die l , eben weil beide verschieden sind. Oft ist der Unterschied nur sehr unbedeutend, aber er scheint nach scharfen Messungen da zu



sein. So stumpft beim Feldspath n die rechtwinklige Kante der Oblongsäule P/M zwar fast unter gleichen Winkeln ab, doch haben genaue Messungen einen kleinen Unterschied ergeben, beim glasigen Feldspath beträgt P/n $135^{\circ} 16'$ und M/n $134^{\circ} 44'$. Haüy legte ein großes Gewicht darauf, daß beim Kalkspath der blättrige Bruch P die Endkante a^1/e^2 der regulären sechseckigen Säule gerade abstumpfe, obgleich die Grabenfläche a^1 sich wesentlich von e^2 unterscheidet. Allein er berechnete unter dieser Annahme den Endantenwinkel des Rhomboeders zu $104^{\circ} 28'$, während später schärfere Messungen entschieden $105^{\circ} 5'$, also reichlich $\frac{1}{2}^{\circ}$ mehr fanden, und auch Messungen den Winkel P/a^1 $135^{\circ} 23'$ und P/e^2 $134^{\circ} 36'$ ergaben. Der rechte Winkel macht eine Ausnahme. Beim Gyps schneidet der erste Blätterbruch die einander ungleichen muscheligen und faserigen unter rechten Winkeln.

Zweiter Grundsatz. Wird ein Glied beschnitten, so muß jedes ihm gleiche Glied in gleicher Weise beschnitten werden, wenn keine hemiedrischen Verhältnisse obwalten. Ist also bei der quadratischen und oblongen Säule ein k geschnitten, so muß nothwendig auch das andere ebenso geschnitten sein. Wird dagegen bei der rhombischen und rhomboidischen die scharfe getroffen, so nicht nothwendig auch die stumpfe.

Dritter Corollarsatz. Trifft daher eine Fläche gleiche Glieder in verschiedener Weise, so erfordert sie nothwendig eine Gegenfläche, welche diese Ungleichheit wieder hebt. Wäre z. B. sl' die scharfe Kante einer rhombischen Säule, und würde diese von einer Fläche s unter ungleichen Winkeln getroffen, so muß nothwendig eine Gegenfläche s' kommen, welche sie unter entgegengesetzter Ungleichheit trifft, so daß $s/s' = s'/s$, und $s'/s' = s/s$ ist. Dadurch ist die Symmetrie vollständig hergestellt. Man sagt, s und s' schärfen die Kante k zu, obgleich die dadurch entstandene neue Kante s/s' stumpfer ist, als die alte weggenommene k . Man hätte ebenfögt zu stumpfen sagen können.



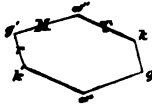
Betrachtung dreier Blätterbrüche.

Hier gibt es nothwendig zwei Fälle:

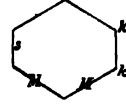
a) Die drei Flächen schneiden sich in einer Säule, dieselbe ist sechseckig (sechseckige Säule) und hat sechs parallele Kanten. Man kann sie als eine vierseitige Säule mit abgestumpfter Kante betrachten. Abgestumpft heißt also eine Kante T/r , wenn die dritte hinzutretende Fläche M dieselbe so schneidet, daß die neu entstehenden Kanten M/r und M/T einander parallel gehen. Die Säule hat im allgemeinen dreierlei Winkel; sind zwei davon gemessen, so läßt sich der dritte durch Rechnung finden. Denn die Winkel im Querschnitt liegen in einem Sechseck, und betragen $(2 \cdot 6 - 4)R = 8R$. Da nun Winkel $w = w'$, $k = k'$ und $g = g'$ sein muß, so ist $w + k + g = 4R$. Die quadratische und oblonge Säule sind Einer Abstumpfung nicht fähig, folglich kann es nur dreierlei sechseckige Säulen geben:

1) Die unsymmetrische Säule M/T mit schiefer Abstumpfung r ;

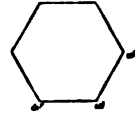
Schief heißt sie, weil Winkel r/M von Winkel r/T verschieden ist und sein muß, da Flächen T und M ungleiche Glieder sind. Der Epidot liefert ein gutes Beispiel: M/T macht $115^\circ 24'$, r/T dagegen $128^\circ 18'$, folglich $M/r = 360^\circ - 243^\circ 42' = 116^\circ 18'$.



2) Die symmetrische Säule M/M mit gerader Abstumpfung s der scharfen Kante; **gerade**, weil die Winkel k und k gleich sein müssen. Ich brauche daher nur einen Winkel zu messen. Der Schwerspath liefert ein gutes Beispiel, M/M bilden einen Winkel von $101^\circ 42'$, folglich ist $k+k = 360^\circ - 101^\circ 42' = 258^\circ 18'$, also $k = 129^\circ 9'$.



3) Die **reguläre sechseckige Säule**. Dieß ist der interessante Fall, wo alle Flächen und folglich alle Kanten einander gleich werden, also $3w=360^\circ$, $w=120^\circ$. Im drei- und sechsgliedrigen Systeme sehr häufig.

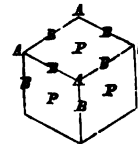


Bei den vier- und sechseckigen Säulen kommen wir bloß auf die Gliederzahlen 1, 2 und 3, sie sind daher zur Systematik noch nicht geeignet. Das wird nun aber anders im Falle

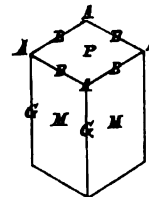
b) Die drei Flächen schneiden sich in drei Säulen, dann bekommen wir ein **Geräid** (Parallelopiped) mit dreierlei Flächen (Parallelogrammen), sechserlei Kanten, und viererlei Ecken. Hierin stecken die drei Grundzahlen 3, 4, 6. Man verschafft sich diesen Körper leicht, wenn man an die vierseitigen Säulen sich Endflächen schneidet.

Wir sind hiermit bei den Haüy'schen Primitivformen angekommen, und können nichts Besseres thun, als dem alten Meister folgen. Greifen wir daher die sechs folgenden heraus. Haüy bezeichnet die Flächen mit PMT (PriMiTiivform), der Reihe nach die Ecken mit den Vokalen, und die Kanten mit den Konsonanten. Wie die Glieder nun einander gleich werden, so bezeichnete er sie mit gleichen Buchstaben. Man kann die Sache nicht klarer darstellen.

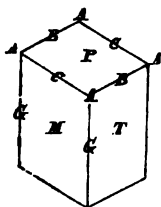
1) **Würfel** im Gleichgewicht hat drei congruente Flächen P (Quadrate), sechs rechtwinklige Kanten B , und vier dreikantige Ecken A , also bezeichnen die Grundzahlen 3, 4, 6 gleiche Glieder, daher **gleichgliedriges** oder **reguläres System Weiss**. Auch **sphäroedrisches**, weil man eine Kugel darum schreiben kann.



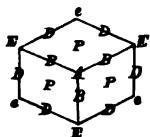
2) **Quadratische Säule** M/M mit Geradenfläche P , welche M und G unter rechten Winkeln schneidet. Im Gleichgewicht ist P ein Quadrat, MM sind Rechtecke, doch bleibt die Länge GG unbestimmt. Die 3 Flächen zerlegen sich also in $2+1$ Flächen; die rechtwinkligen Kanten werden $4B+2G$, und die Ecken bleiben $4A$. Es herrscht die 4 vor, daher **viergliedriges** System Weiss. Weil man die Flächen MM ins Gleichgewicht bringen d. h. congruent machen kann, so ist der Name quadratisches System auch nicht unpassend.



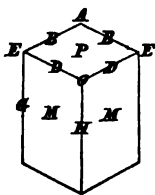
- 3) **Oblonge** Säule M/T mit Geradenfläche P. Alle drei sind verschiedene Rechtecke, das Gleichgewicht bleibt unbestimmt; die rechtwinkligen Kanten zerlegen sich in $2B+2C+2G$, die Ecken bleiben noch $4A$. Es herrscht die 2 vor, daher zwei und zweigliedriges Weiss oder kurzweg **zweigliedriges** System. Gewöhnlich schiebt man M und T so weit, daß sie eine passende ungleiche Ausdehnung haben, daher ist ihr Querschnitt ein Oblongum AAAA.



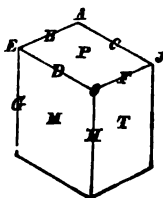
- 4) **Rhomboeder** im Gleichgewicht hat 3 congruente Flächen P (Rhomben), die schiefwinkligen Kanten zerlegen sich in $3B+3D$, und die Ecken in $3E+1A$. In der Ecke A (Endung) laufen drei gleiche Kanten (dreikantige Ecke), und in den E (Seitencken) $2D+B$ Kanten ($2+1$ kantige Ecken) zusammen. Es herrscht die 3 vor, daher **dreigliedriges** System Weiss.



- 5) **Endrhoeder** Weiss, d. h. rhombische Säule M/M mit Schiefenfläche P ($2+1$ Flächner), welche auf die Säulenkannte H gerade aufgesetzt, weil $D=D$, aber schief aufgesetzt ist, weil D keiner echten Winkel sind. Die Kanten zerlegen sich in $2B+2D+H+G$, also in $2+2+1+1$ Kanien, und die Ecken in $2E+O+A$, der Kristall ist daher links wie rechts, aber vorn anders als hinten. Da weder 2 noch 1 herrscht, heißt es **zweiundeingliedriges** System Weiss. Es ist dieses eines der interessantesten. Feldspath.



- 6) **Endhenoeeder** d. h. rhomboidische Säule M/T mit doppelschiefer Endfläche P ($1+1$ Flächner), da Kante D von F verschieden ist: P ist auf die Säulenkannte H schief auf und aufgesetzt (doppelschief). Kein Glied dem andern mehr gleich, daher einundeingliedriges Weiss oder kurzweg **eingliedriges** System. Es kommt nicht häufig vor, und eine Gruppe darunter, die des Albits, lehnt sich durch ihre scheinbare Symmetrie noch ganz an die des Feldspaths an.



Stellen wir in nachfolgender Rubrik die Zahlen übersichtlich zusammen:

System	Flächen	Kanten	Ecken
1) Gleichgliedriges	3	6	4
2) Viergliedriges	$2+1$	$4+2$	4
3) Zweigliedriges	$1+1+1$	$2+2+2$	4
4) Dreigliedriges	3	$3+3$	$3+1$
5) Zweiundeingliedriges	$2+1$	$2+2+1+1$	$2+1+1$
6) Eingliedriges	$1+1+1$	$1+1+1+1+1+1$	$1+1+1+1$

Außer 5 sind alle Zahlen von 1—6 möglich. Es gibt jedoch noch mehrere andere Hexaïde, ich habe nur diese 6 gewählt, weil 2 und 3 mit dem Würfel in einem ähnlichen Zusammenhange stehen, als 5 und 6 mit dem Rhomboeder, denn 2 ist ein nach einer Richtung lang gezogener

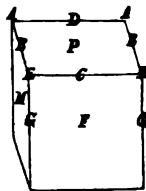
Würfel, wie 5 ein ebenso lang gezogenes Rhomboeder; 3 dagegen ein nach zwei Dimensionen verzogener Würfel, wie 6 ein ebenso verzogenes Rhomboeder. Nur mit dem Unterschiede, daß man bei 5 und 6 die Kantenwinkel nicht gleich denken darf.

Um jetzt die möglichen Hexaide zu überschauen, müssen wir auf die vierseitigen Säulen zurückgehen, eine dritte Fläche daran legen, dürfen aber dabei unsere Symmetriefälle pag. 15 nicht verlegen. Im Allgemeinen lassen sich an jede Säule dreierlei Endflächen legen: Geradendfläche (Nr. 2), Schiefendfläche (Nr. 5), und Doppelschiefendfläche (Nr. 6), es entsteht dadurch eine gerade, schiefe und doppelschiefe Säule. Dies angewendet kann die

Quadratsäule gerade sein, weil die Geradendfläche alles in gleicher Weise unter rechten Winkeln trifft: das gibt uns das gleich- und viergliedrige System (Nr. 1 und Nr. 2). Auch eine Quadratsäule mit Schiefendfläche (Nr. 7) ist möglich (Selbstopath $n \times n$), gibt aber wie die schiefe Rhombsäule (Nr. 5) ein $2+1$ gliedriges System. Doppelschiefe Quadratsäule undenkbar.

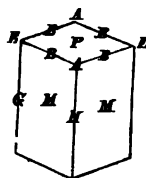
Oblongsäule kann gerade sein, weil der rechte Winkel eine Ausnahme macht (Nr. 3). Da M und T verschieden sind, so darf P gegen M rechtwinklig bleiben und P gegen T schiefwinklig werden, das gibt die **schiefe Oblongsäule** (Nr. 8), zum $2+1$ gliedrigen System gehörig, d. h. vorn anders als hinten, aber links wie rechts. Auch die **doppelschiefe Oblongsäule** (Nr. 9) ist gut denkbar, aber vollständig eingliedrig. Zwar könnte es den Anschein gewinnen, als wären die rechten Winkel G und G noch kristallographisch gleich, worauf sogar das sogenannte siebente Witscherlich'sche Krystallsystem (diklinometrisches) gegründet ist. Allein die Doppelschiefendfläche P wird in diesem Falle ein Rhomboid, das ungleichen Säulenwinkeln correspondiren muß. Auch hier zeigt sich der rechte Winkel als Ausnahme.

Nr. 8.



Rhombsäule kann gerade (Nr. 10) sein, und kommt als solche häufig im 2gliedrigen System vor. Denn wir haben hier $2+1$ Fläche = M M P; $4+1+1$ Kante = B B B B G H; $2+2$ Ecken = A E, also die Zahlen 421 des 2gliedrigen Systems. Die schiefe zeigt Nr. 5, eine doppelschiefe ist unmöglich, weil die Doppelschiefendfläche P die gleichen Glieder M M ungleich scheiden müßte.

Nr. 10.



Rhomboidsäule mit Geradendfläche ist die gewendete schiefe Oblongsäule (Nr. 8), gibt also das sogenannte gewendete $2+1$ gliedrige System; die doppelschiefe (Nr. 6) liefert das 1gliedrige System in seiner unbestrittensten Form, und eine schiefe ist nicht denkbar.

Die zehn möglichen Hexaide begründen also nicht mehr als 6 Krystallsysteme. Außer Würfel und Rhomboeder habe ich gerade und schiefe Quadratsäulen und Rhombsäulen, und gerade und doppelschiefe Oblongsäulen und Rhomboidsäulen. Diese 2mal 4 Fälle schließen alle Möglichkeiten ein: der Kreis um die Quadratsäule, die Ellipse um die Oblongsäule, eine Symmetriecurve um die Rhomb-

und die Symmetrielosigkeit der Rhomboidsäule mögen uns die 4 Säulensysteme sofort veranschaulichen.

Das 3zweigligedrige System hat das rechtwinklige Heraid PMT Nr. 3 und die rhombische Säule mit Geradendfläche MMP Nr. 10 in sich. Setzen wir ihre Zahlen hin:

PMT hat: Flächen $1+1+1$; Kanten $2+2+2$; Ecken 4

MMP hat: Flächen $2+1$; Kanten $4+1+1$; Ecken $2+2$

Da nun beide Heraide in dem gleichen Systeme stecken, so muß dieses seine 1, 2 und 4 eben dahin legen, wo jenes die seinen hat, denn sonst gäbe es keine Symmetrie. Hüllen wir daher das eine in das andere, so mögen sie z. B. die Geradendfläche P gemein haben, dann müssen sich aber die Säulen so gegen einander legen, daß die $1+1$ Kante der rhombischen in die $1+1$ Fläche der oblongen, die $2+2$ Ecken und 2 Flächen jenes wie die $2+2+2$ Kanten von diesem liegen, und die 4 Kanten sich den 4 Ecken gegenüberstellen, kurz es müssen die Flächen der oblongen Säule die Kanten der rhombischen abstumpfen. Schwerspath liefert ein gutes Beispiel.

Das zweiundeingliedrige System hat die rhombische Säule mit Schiefendfläche Nr. 5, und die oblonge mit Schiefendfläche Nr. 8 in sich. Da wir hier nur $2+1$ haben, so sind verschiedene Einschachtelungen denkbar. Einen Fall sieht man leicht ein, nämlich den: läßt man die Schiefendfläche P in beiden zusammenfallen, so müssen die Flächen der oblongen wie die Kanten der rhombischen liegen. So viel 1 wir aber auch haben, so liegt nur eine einzige links und rechts, nämlich G in Nr. 5 und M in Nr. 8, alle andern liegen in der Vertikalzone von vorn nach hinten, also entweder vorn, oben oder hinten. Wenn nun beide zusammentreten sollen, so muß die seitliche 1 in beiden unter jeder Bedingung zusammenfallen, die 1 in der Vertikalzone können sich aber mehrfach gruppieren.

Beispiel. Der Feldspath hat im Hendhoeder MM nur wenig dagegen P außerordentlich blättrig. Die Ecke o könnte das Auge leicht für ein Rhomboeder A nehmen, da $D=112^{\circ}16'$ von $H=118^{\circ}48'$ nur reichlich 6° verschieden ist, was das Auge kaum bemerkt, allein wegen des ausgezeichneten Blätterbruchs P muß die Ecke O nicht bloß $2+1$ flächig, sondern auch $2+1$ kantig, also $2+1$ gliedrig sein. Wäre diese Structurdifferenz nicht da, so könnte man sich leicht im Systeme irren. Der Eisenvitriol bildet eine rhombische Säule $H=82^{\circ}21'$, die Schiefendfläche P, auch blättrig, macht hinten einen Winkel $B=80^{\circ}37'$. Da die Differenz nur $1^{\circ}44'$ beträgt, so scheint die hintere Ecke A einem scharfen Rhomboeder anzugehören. Daher beschreiben Haüy und Mitscherlich ihn rhomboedrisch, erst scharfe Messungen von Mohs zeigten die $2+1$ kantige Ecke und mithin das $2+1$ gliedrige System.

Gyps bricht außerordentlich leicht in rhomboidischen Platten ($113^{\circ}46'$) mit muscheligen und faserigen Bruch, gegen welche der Hauptblätterbruch senkrecht steht. Die Glieder treten nur zu $2+1$ auf. Nehmen wir in Nr. 8 M als den Hauptblätterbruch, T als den muscheligen, und P als den faserigen, so liegen alle 1 in der Vertikalzone P/T, nämlich P, T, C, D, nur eine einzige M liegt links und rechts, wenn man die T oder irgend eine andere 1 der

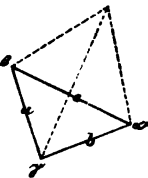
Vertikalzone vor sich nimmt. Unter jeder Bedingung muß also der Hauptblätterbruch aufrecht links und rechts sich erheben, er stumpft die scharfe Säulenkante des Hendyoeber im Feldspath ab, läßt man nun T die stumpfe wegnehmen, so kann die faserige P noch auf der hintern oder vordern Seite eine Schiefendfläche bilden.

Das eingliedrige System hat die rhomboidische Säule mit doppelschiefer Endfläche Nr. 6, zuweilen sogar eine oblonge mit doppelschiefer Endfläche (Nr. 9). Arzinit und Kupfervitriol liefern für Hendyoeber gute Beispiele. Professor Mitscherlich (Pogg. Annalen 8. 427) wies bei der unterschwefligsauren Kalkerde $\text{CaS} + 6\text{H}$ eine oblonge Säule mit doppelschiefer Endfläche nach. Man machte daraus fälschlich ein 7tes Krystallsystem, das jedoch keine Existenz hat, da auch nicht einmal die rechtwinkligen Kanten der oblongen Säule wegen der doppelschiefen Endfläche darüber gleich sein können.

Für den würflichen Blätterbruch bieten Steinsalz und Bleiglanz ausgezeichnete Beispiele, für das Rhomboeder Kalkspath, man muß hier die 3kantigen und 2+1kantigen Ecken wohl von einander unterscheiden. Die scheinbar würflichen Brüche des Anhydrits sind alle drei physikalisch verschieden, und daher zweigliedrig. Ueberhaupt laufen alle Untersuchungen der Hexaëde auf die einer einzigen ihrer Ecken, eines körperlichen Dreiecks, hinaus, da den drei Flächen PMT und den drei Kanten dieser Ecke alle andern Glieder parallel laufen.

Betrachtung des körperlichen Dreiecks.

Nennen wir in einem körperlichen Dreieck die Winkel in den Kanten $\alpha \beta \gamma$, und die Winkel in den Ebenen (schlecht-hin Seiten) beziehungsweise $a b c$, so wird in der sphärischen Trigonometrie bewiesen, daß wenn von diesen 6 Stücken drei beliebige bekannt sind, sich die übrigen drei durch Rechnung finden lassen. Der Astronom kann die ebenen Winkel (Seiten) genauer messen als die in den Kanten; bei dem Krystallographen ist es umgekehrt. Pfaff (Pogg. Ann. 102. 467) gibt ein Instrument zur Messung ebener Krystallwinkel an. Allein wenn man bedenkt, daß der Astronom heute am Himmel bis auf $\frac{1}{10}$ Sekunde (d. h. $\frac{1}{10}$ der Dicke eines Menschenhaars in gewöhnlicher Entfernung) geht, so bleibt der Krystallmesser noch weit zurück. Um die körperliche Ecke zu kennen, müssen wir also drei Kantenwinkel $\alpha \beta \gamma$ gemessen haben, dann ist:



$$\sin \alpha : \sin \beta : \sin \gamma = \sin a : \sin b : \sin c$$

$$\cos a = \frac{\cos \alpha + \cos \beta \cdot \cos \gamma}{\sin \beta \cdot \sin \gamma}$$

$$\cos b = \frac{\cos \beta + \cos \alpha \cdot \cos \gamma}{\sin \alpha \cdot \sin \gamma}$$

$$\cos c = \frac{\cos \gamma + \cos \alpha \cdot \cos \beta}{\sin \alpha \cdot \sin \beta}$$

für Logarithmen $\frac{1}{2} (\alpha + \beta + \gamma) = S$ und $\frac{1}{2} (a + b + c) = s$ gesetzt:

$$1) \operatorname{tg} \frac{1}{2} a = \sqrt{\frac{-\cos S \cos (S-\alpha)}{\cos (S-\beta) \cos (S-\gamma)}}, \text{ bekannt } \alpha \beta \gamma.$$

$$2) \operatorname{tg} \frac{1}{2} \alpha = \sqrt{\frac{\sin(s-b) \sin(s-c)}{\sin s \sin(s-a)}}, \text{ bekannt } a, b, c.$$

$$3) \begin{cases} \operatorname{tg} \frac{1}{2} (b+c) = \frac{\cos \frac{1}{2} (\beta-\gamma)}{\cos \frac{1}{2} (\beta+\gamma)} \operatorname{tg} \frac{1}{2} a \\ \operatorname{tg} \frac{1}{2} (b-c) = \frac{\sin \frac{1}{2} (\beta-\gamma)}{\sin \frac{1}{2} (\beta+\gamma)} \operatorname{tg} \frac{1}{2} a, \text{ bekannt } a, \beta, \gamma. \end{cases}$$

$$4) \begin{cases} \operatorname{tg} \frac{1}{2} (\beta+\gamma) = \frac{\cos \frac{1}{2} (b-c)}{\cos \frac{1}{2} (b+c)} \cot \frac{1}{2} \alpha \\ \operatorname{tg} \frac{1}{2} (\beta-\gamma) = \frac{\sin \frac{1}{2} (b-c)}{\sin \frac{1}{2} (b+c)} \cot \frac{1}{2} \alpha, \text{ bekannt } \alpha, b, c. \end{cases}$$

$$5) \sin a = \frac{\sin \alpha \sin c}{\sin \gamma}, \text{ bekannt } \alpha, \gamma, c.$$

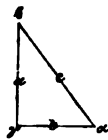
$$6) \sin \alpha = \frac{\sin a \sin \gamma}{\sin c}, \text{ bekannt } a, c, \gamma.$$

Die Formeln sind vollkommen symmetrisch, knnen daher leicht umgestellt werden.

Ist $\alpha = \beta = \gamma = R$, so ist $\cos a = \cos b = \cos c = 0$, also $a = b = c = 90^\circ$.

Ist $\beta = \gamma = R$, so ist $\cos b = \cos c = 0$, also $b = c = 90^\circ$;
dagegen $\cos a = \cos \alpha$.

Ist $\gamma = R$, so ist $\cos \gamma = 0$, $\sin \gamma = 1$, also



- 1) $\cos c = \cot \alpha \cos \beta$
- 2) $\cos c = \cos a \cos b$
- 3) $\operatorname{tg} a = \sin b \operatorname{tg} \alpha$
- 4) $\sin a = \sin c \sin \alpha$
- 5) $\cos \alpha = \sin \beta \cos a$
- 6) $\operatorname{tg} b = \cos \alpha \operatorname{tg} c.$

Damit ist die Rechnung der bei γ rechtwinkligen krperlichen Ecke beendet.

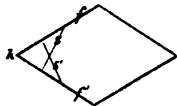
Ist $\alpha = \beta = \gamma$, wie beim Rhomboeder, so wird

$$\operatorname{tg} \frac{1}{2} a = \sqrt{\frac{\cos \frac{1}{2} \alpha}{\cos \frac{1}{2} \alpha}}.$$

Betrachtung von vier Bltterbrgen.

Hier sind drei Flle mglich:

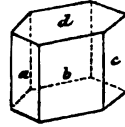
- a) Die vier Ebenen liegen in einer Sule. Das gibt eine **atseitige** Sule. Π' ist der Querschnitt einer geschobenen Sule, stumpfen nun s und s' die scharfe Kante k ab, so entsteht zwischen s/s' eine neue Kante. Man sagt, die Kante k ist durch ss' zugeshrft, und die entstandene Sule $\Pi'ss'$ ist 8seitig. So kann man 5, 6 ... n Bltterbrge verbinden,



den, das gibt dann 2nseitige Sulen.

- b) Die vier Ebenen schneiden sich in vier Zonen, d. h. die vierte hinzukommende stumpft eine Kante des Heraldes ab. Dadurch entsteht

eine sechsseitige Säule mit Endfläche, oder ein **Bierzonenkörper**. Eine Zone abc ist sechsseitig, und die drei Zonen ad , bd , cd sind vierseitige. Da wir nun dreierlei sechsseitige Säulen haben pag. 16, so richten sich darnach auch die Bierzonenkörper:



Die reguläre sechsseitige Säule kann nur mit Geradenfläche gedacht werden, da $a=b=c$ sein und d alle in gleicher Weise schneiden muß; d ist ins Gleichgewicht gebracht ein reguläres Sechseck.

Die rhombische Säule mit gerader Abstumpfung kann eine Geraden- und eine Schiefenfläche haben, erstere entsteht aus der geraden rhombischen Säule Nr. 10 pag. 19, letztere aus dem Hendyoeder Nr. 5 pag. 18.

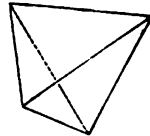
Endlich die rhomboidische Säule mit schiefer Abstumpfung kann auch eine gerade oder eine doppelt schiefe Endfläche haben. Erstere gehört dem 2+1gliedrigen Systeme an, wie man leicht sieht.

Die Bierzonenkörper kommen also im drei-, zwei-, zweiundein- und eingliedrigen Systeme vor, und ergeben sich aus den Hexaiden unmittelbar.

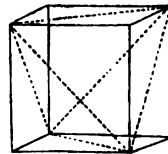
c) Die vier Ebenen schneiden sich in 6 Zonen, und bilden folglich das

Oktaid.

Nimmt man eine Rübe oder Kartoffel, und macht vier beliebige Schnitte, von denen keiner dem andern parallel geht, so bekommt man ein **Tetraid**, jenen einzigen Körper unter den Krystallen, der sich immer im Gleichgewicht befindet. Das Tetraid wird von 4 Dreiecken begrenzt, hat 6 Kanten, von denen keine der andern parallel geht. Durch die Halbierungspunkte der Kanten lassen sich drei Linien ziehen, welche je zwei gegenüberliegende Kanten verbindend sich in der Mitte des Körpers in einem Punkte halbieren (den Beweis unten). Wir haben also auch hier wieder die Grundzahlen 3, 4, 6. Außerdem noch 4 Ecken, in welchen je drei Kanten und Flächen zusammenlaufen.



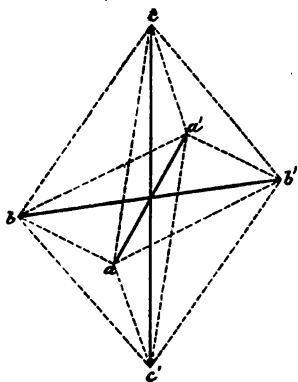
Man kann in jedes Hexaid ein Tetraid einschreiben. Seine Kanten bilden die Hälften der 12 Flächen diagonale, in jeder Hexaidfläche liegt eine Tetraidekante; seine Flächen liegen wie die abwechselnden Ecken, stumpfen also, wenn sie zusammen auftreten, diese ab. Da alles hälftig getheilt ist, so folgt von selbst, daß es ein Gegentetraid gibt, dessen Kanten mit der übrigen Hälfte der Diagonalen zusammenfallen. Denkt man sich jetzt das Hexaid weg, so hat man zwei durchwachsene (einander umgekehrt gleiche) Tetraide, deren Kanten sich gerade so schneiden müssen als die Hexaid diagonale. Das beiden gemeinschaftliche Stück liefert das gesuchte Oktaid. Hieraus leuchtet unmittelbar der Zusammenhang der Hexaide mit den Oktaiden hervor.



Oder einfacher: Haben wir ein beliebiges Tetraid geschnitten und legen es auf eine seiner Flächen, so steht eine dreiseitige Pyramide mit drei-

eckiger Basis vor uns. Halbiren wir die drei Endkanten der Pyramide, legen durch die drei Halbierungspunkte eine Ebene, so geht diese der Basis parallel, bildet also mit ihr den einen Krystallraum. Schneiden wir nun die Ecke über der Parallelfäche weg, und behandeln alle vier Ecken in gleicher Weise, so haben wir das Tetraïd in sein zugehöriges Oktaïd verwandelt. Kurz wir halbiren sämtliche Kanten und verbinden die Halbierungspunkte, nehmen die Ecken weg, so ist das Oktaïd da, und immer im Gleichgewicht. Die Flächen des Oktaïdes und Tetraïdes sind einander der Reihe nach ähnlich, nur ist die Oktaïdfläche viermal kleiner als die des Tetraïdes, weil sie in diese eingeschrieben ist.

Das Oktaïd hat 4 parallele Paare von Dreiecken abc , $ab'c$, $a'bc$, $a'b'c$,

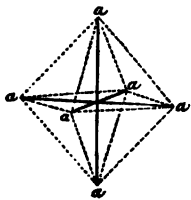


von denen je eines mit der Tetraïdfläche zusammenfällt; 6 (respective 3) vierkantige Ecken $a \cdot b \cdot c$, die in den Mittelpunkten der Tetraïdkanten liegen; und 6 parallele Paare Kanten ca , cb , ca' , cb' , ab , ab' , welche die eingeschriebenen Dreiecke der Tetraïde bilden, also vier, sechs und drei Glieder. Die 12 Kanten gruppiren sich zu drei Parallelogrammen (Basalschnitten), die Diagonalen dieser Parallelogramme müssen sich halbiren; also im Basalschnitte $aba'b'$ halbiren sich aa' und bb' ; im Basalschnitte $aca'c'$, aa' und cc' , folglich müssen die Axen aa' , bb' und cc' sämtlich sich im Mittelpunkte halbiren. Da die Punkte

abc $a'b'c'$ in den Mittelpunkten der Kanten des zugehörigen Tetraïdes liegen, so müssen auch für dieses dieselben Axen Statt haben, was oben nicht bewiesen war.

Die Axen, auf welche Weiß schon im Jahre 1809 aufmerksam machte, liefern die naturgemäße Bezeichnungsart. Rechnen wir ihre Längen vom Mittelpunkte an, so drückt das Zeichen einer Fläche $a : b : c$ oder kurz abc das wesentliche Verhältniß aus: die Fläche läßt sich bei gegebenen Axen ihrer Lage nach im Raume bestimmen.

Die Eintheilung der Oktaïde hebt die Systeme schärfer hervor, als die der Hexaïde. In der „Methode der Krystallographie“ habe ich es nach mehreren abstrakten Principien versucht. Hier bleiben wir jedoch nur bei den concreten Fällen stehen, welche uns der bisherige Gang der Untersuchung an die Hand gibt. Darnach zeichnen wir neuerlei aus mit denselben Zahlenverhältnissen, wie die Hexaïde.

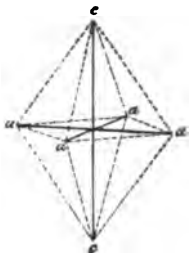


1) Das reguläre Oktaëder hat drei gleiche rechtwinklige Axen $a : a : a$, folglich Quadrate zu Basalschnitten; 4 gleichseitige einander congruente Dreiecke; 6 gleiche Kanten $109^\circ 28' 16''$, und 3 vierkantige Ecken. Schreiben wir auf eine Fläche 0, und auf die drei anliegenden 1 u., so fallen auf 4 Flächen 0, auf die vier abwechselnden 1. Läßt man z. B. die Eins wachsen, so

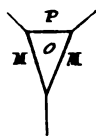
bekommt man ein Tetraeder, und läßt man die Nullen, ein Gegentetraeder. Beide sind congruent und regulär, sie haben 4 gleichseitige Dreiecke, 4 dreikantige Ecken, und 6 Kanten $70^{\circ} 31' 44''$, das Supplement zum Okttaederwinkel. Schreiben wir in den Würfel sein Tetraeder ein, so entsteht ein reguläres, weil alle Diagonalen der Würfelflächen einander gleich sind, daraus folgt, daß das Okttaeder die Würfeldecken so abstumpfen muß, daß die Okttaederfläche o ein gleichseitiges Dreieck bildet, und umgekehrt muß die Würfelfläche P die Okttaedercke so abstumpfen, daß beim Okttaeder im Gleichgewicht ein Quadrat P entsteht.



2) Das viergliedrige Okttaeder hat $2+1$ rechtwinklige Axen $a:a:c$, folglich zwei einander congruente Rhomben $acac$, und ein Quadrat $aaaa$ (daher Quadratofttaeder) zum Basalschnitt; 4 gleichschenklige einander congruente Dreiecke; $4+2$ Kanten, von denen 4 den rhombischen Basalschnitten (Endkanten) und 2 den quadratischen (Seitenkanten) angehören. $2+1$ Ecken: die 1 ist die aufrecht gedachte 4kantige Ecke, durch welche die Hauptaxe c geht; die 2 sind die $2+2$ kantigen Seitenecken.

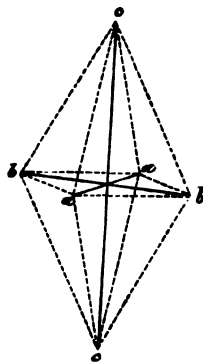
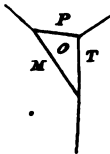


Das viergliedrige Tetraeder machen wir aus dem viergliedrigen Hexaeder Nr. 2 pag. 17, indem wir das zugehörige Tetraid einschreiben, es hat $4+2$ Kanten, folglich $2+1$ kantige Ecken. Die Mittelpunkte der 2 Kanten werden durch die Axe c verbunden. Daraus geht hervor, daß das zugehörige Okttaeder die Ecken des viergliedrigen Hexaides so abstumpft, daß ein gleichschenkliges Dreieck o entsteht, welches den Flächen des Okttaeders ähnlich ist. Stumpft das Hexaid die Ecken des Okttaeders ab, so entstehen Schnitte, die den Basalschnitten ähnlich sind, also an den Endecken ein Quadrat, an den Seitenecken zwei congruente Rhomben.



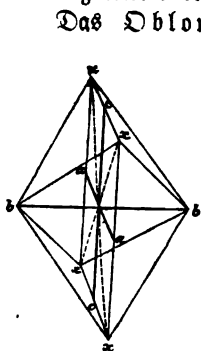
3) Von den zweigliedrigen Okttaedern hat das Rhombenokttaeder $1+1+1$ rechtwinklige Axen $a:b:c$, folglich drei einander nicht congruente Rhomben $abab$, $acac$, $bcbc$ zu Basalschnitten; 4 ungleichseitige einander congruente Dreiecke abc ; $2+2+2$ Kanten, und $1+1+1$ Ecken, in welchen $2+2$ Kanten zusammenlaufen.

Das zugehörige zweigliedrige Tetraeder machen wir aus dem 2gliedrigen Hexaeder Nr. 3, pag. 18. Es ist $2+2+2$ kantig, mit ungleichkantigen Ecken und muß die Hexaidecken so abstumpfen, daß ein ungleichseitiges Dreieck o entsteht, während die Hexaidflächen PMT an den Okttaedercken Rhomben bilden.



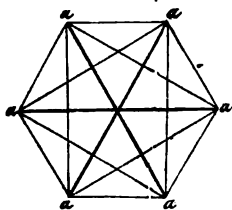
Vorstehende drei Okttaeder und Tetraeder sind die einzigen mit con-

gruente Flächen und rechtwinkligen Axen. Das gleicharige $a : a : a$ hat keine Hauptstellung, man kann es nach jeder Axe a aufrecht stellen. Wird nun aber eine Axe a länger oder kürzer zu c gemacht, so entstehen viergliedrige Oktaeder, mit einer Hauptstellung, indem c wegen der Symmetrie immer aufrecht genommen werden muß. Ist c länger als a , so ist der Seitenkantenwinkel größer als der Endkantenwinkel, und das Oktaeder schärfer als das reguläre; ist dagegen c kürzer als a , so ist der Seitenkantenwinkel kleiner als der Endkantenwinkel, und das Oktaeder stumpfer als das reguläre. Stellte man das viergliedrige Oktaeder nach einer seiner Seitenaxen a aufrecht, so wären die Endkanten $2+2$, und könnten dann für zweigliedrig gehalten werden. Sind endlich alle drei Axen verschieden lang, so ist die Stellung wieder dreideutig, weil sich keine Axe vor der andern auszeichnet.



Das Oblongoktaeder hat $2+2$ gleichschenklige Dreiecke, daher muß ein Basalschnitt, auf welchem sich die Basen der Dreiecke erheben, ein Oblongum mit gleichen aber schiefwinkligen Axen xx sein; die beiden übrigen Basalschnitte $bxbx$ sind congruente Rhomben, deren Diagonalen sich rechtwinklig schneiden, daher steht die dritte Axe b auf den beiden schiefen x senkrecht. Die Kanten sind $4+1+1$, und die Ecken $2+1$, also zweigliedrig. Das zugehörige Tetraëd entsteht aus der geraden rhombischen Säule Nr. 10, pag. 19, es ist gleichfalls $2+2$ flächig, $4+1+1$ kantig, und $2+2$ eckig. Da man die schiefen Axen gerne meidet, so darf man im oblongen Basalschnitt nur die Seiten halbiren, und die Halbierungspunkte durch aa und cc verbinden, die auf einander senkrecht stehen; bb nach den Spigen der Dreiecke gezogen steht ohnehin senkrecht. Dadurch bekommen die Flächen nicht mehr den Ausdruck $x : x : b$, sondern die zweierlei $a : b : \infty$ und $b : c : \infty$, es sind 2 rhombische Säulen, die man auch aus dem Rhombenoktaeder (und umgekehrt) ableiten kann, wie wir später sehen werden.

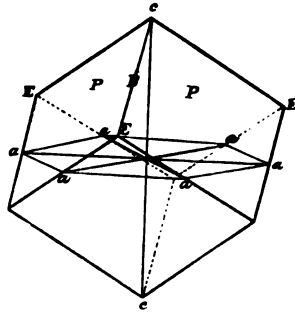
4) Das dreigliedrige Oktaeder ist $3+1$ flächig, die eine Fläche ist gleichseitig, und die drei Flächen sind gleichschenkl.



Man macht es sich leicht, indem man an irgend einem Rhomboeder im Gleichgewicht durch je 3 Seiten-ecken Flächen legt, welche die Endecke gerade abstumpfen. Es muß dann diese neue Fläche ein gleichseitiges Dreieck bilden, während die Rhomboederflächen zu gleichschenkligen werden. Die drei Basalschnitte sind drei congruente Oblongen, daher haben wir $3+3$ Kanten, und drei gleiche Axen $a : a : a$, die sich aber unter gleichen schiefen Winkeln schneiden. Die drei gleichen Ecken sind $2+2$ kantig und $2+1+1$ flächig.

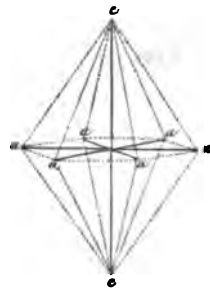
Wollen wir zu einem Rhomboeder das zugehörige dreigliedrige Oktaeder suchen, so schreiben wir das dreigliedrige Tetraeder ein, dasselbe ist $3+3$ kantig, denn es hat ein gleichseitiges Dreieck zur Basis, auf welchem sich

drei gleichschenklige Dreiecke als Pyramide erheben, und aus diesem schneidet man dann das Oктаeder. Wir lassen die Sache, weil sie zur Darstellung des Systems nicht nothwendig ist. Denn da das Rhomboeder vermöge der Congruenz der Flächen ins Gleichgewicht gebracht werden kann, so genügt es zur Bestimmung der drei gleichen und schiefen Axen $a : a : a$, welche von Mittelpunkt zu Mittelpunkt der Flächen gehen, wie die Axen der Würfel. Da aber durch diese Stellung die Symmetrie des Bildes gestört wird, und da ferner im Rhomboeder eine einzige 1 steht, welche die Ecken A (Nr. 4, pag. 18) verbindet, so stellt man den Krystall nach dieser Linie AA aufrecht, und nimmt dieselbe als Hauptaxe cc , gegen welche die drei Flächen P und drei Endkanten B eine gleiche Neigung haben. Die Seitenkanten mit den Seitenecken liegen dann im Zickzack. Durch die Mitte der Zickzackanten kann man ein reguläres Sechseck legen, denn jede Seite aa desselben geht der Diagonale EE parallel, ist also halb so groß, und da die drei horizontalen Diagonalen EE ein gleichseitiges Dreieck bilden, so muß das Sechseck regulär sein. Seine drei Diagonalen aa , einander gleich, halbiren und schneiden sich im Mittelpunkt unter 60° . Die Rhomboederfläche geht also von $a : a : \infty a : c$. Die Axe c steht senkrecht gegen die Axenebene der a . Im Allgemeinen ist die Hauptaxe c von a verschieden, wenn jedoch das Rhomboeder einen Endkantenwinkel $98^\circ 12' 48''$ hätte, so müßte $c = a$ sein, ein nicht undenkbarer Fall.



Macht man sich ein Axengestell dieses $3 + 1$ axigen Systems, so treten die Rhomboederflächen nur in den abwechselnden Sextanten auf, die andere Hälfte bleibt leer; erst durch Füllung dieser entsteht das

Dihæraeder mit 6 parallelen Paaren gleichschenkliger Dreiecke, deren Basen $a : a$ in der Ebene der Axen a liegen; 6 Endkanten gehen von $a : c$, so daß die Hauptecke in der Axe c 6flächig und 6kantig ist, die 6 Seitenecken sind $2 + 2$ kantig. Man kann daher das Rhomboeder als den Halbflächenner des Dihæraeder ansehen, und deshalb ist das dihexaedrische System auch wohl dirhombodrisches genannt, worauf Weiß schon 1809 aufmerksam machte. Schreibt man demnach auf eine Fläche 0, auf die anliegenden 1 u., so geben die wachsenden Nullen und Eins je ein Rhomboeder, beide unterscheidet man in den Zeichen $a : a : \infty a : c$ und $a' : a' : \infty a : c$. Da der

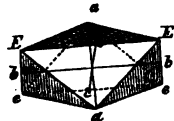


Würfel als ein Rhomboeder angesehen werden kann, dessen Endkanten den Seitenkanten gleich sind, so darf man ihn nur nach einer Ecke cc aufrecht stellen, die Zickzackanten in a halbiren, so sind ca die Endkanten und aa die Seitenkanten des eingeschriebenen Dihæraeders. Diese gefällige Di-

hexaederform hat Endkante $131^{\circ} 48' 37''$ (Winkel der gebrochenen Oktaederkante des Leucitoeder $a : a : \frac{1}{2}a$) und Seitenkante $109^{\circ} 28' 16''$ (Winkel des regulären Oktaeder). Der Name Dihexaeder (Doppelwürfel) kann daher auch auf diesen Ursprung anspielen, und jedenfalls ist das die leichteste Weise, sich den Körper zu schneiden. Nach unserm Gange der Entwicklung, den ich auch in der Methode der Krysstallographie eingeschlagen habe, sollte man das Dihexaeder als ein Dirhomboeder ansehen. Doch kommen andererseits beim Pyramidenwürfel $a : \frac{1}{2}a : \infty a$ und bei mehreren 48flächnern selbstständige dihexaedrische Ecken vor. Auch sind beim Quarz und andern die Flächen so

gleichartig, daß Weiß den Namen Quarzoeder (Abh. Berl. Ak. 1814, pag. 324) für den Körper vorschlug. Später ist jedoch durch die Haidinger'schen Quarzzwillinge die Ansicht wieder erschüttert. Auch mischt sich andererseits das Rhomboeder so auffallend mit dem Dihexaeder (Eisenglanz, Korund), daß zwischen dreigliedrigem und sechsgliedrigem Systeme keine scharfe Gränze gezogen werden kann.

5) Die zweiundeingliedrigen Oktaeder sind auch wieder zweierlei Art, $2+2$ flächig oder $2+1+1$ flächig. Das $2+1+1$ flächige (schiefes Oblongoktaeder) hat noch einen oblongen Basalschnitt, aber die Dreiecke darüber sind dreierlei: die gleichschenkligen $1+1$ (EaE) haben EE zur gemeinsamen Basis, aber die Schenkel des einen sind länger als die des andern, die 2 (Eae) dagegen sind ungleichseitig und congruent. Stellt man das Oblongoktaeder nach seiner 4kantigen Ecke (a) aufrecht, und bewegt die Axe a in der Axenebene ac aus ihrer senkrechten Stellung ein wenig heraus, so kommt das verlangte Oktaeder. Wenn es sich bloß um die Existenz und nicht um die Entwicklung desselben handelt, so darf man nur an der schiefen rhombischen Säule (Nr. 5) die hintere Ecke A durch x so abstumpfen, daß $x/M = x/M$, beide aber verschieden von $P/M = D$ sind. Wir haben dann einen oblongen Basalschnitt EEee, in welchem sich die Axen bb und cc rechtwinklig schneiden, dagegen die beiden andern Basalschnitte congruente Rhomboide bilden.



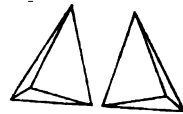
Daraus folgt die Symmetrie des Krystalles von links und rechts, und eine Ebene acac muß senkrecht auf dem oblongen Basalschnitt EEee stehen, folglich auch b auf die Axen a und c. Dagegen zeigt die Rechnung, daß a und c sich unter schiefen Winkeln schneiden. Wir haben also drei verschiedene Axen abc, von denen je zwei ba und bc auf einander rechtwinklig, ac dagegen schiefwinklig stehen. Den stumpfen Winkel kehrt man gewöhnlich auf die Vorderseite a, und den scharfen auf die hintere a'. (In der Figur ist Axe cc etwas aus der Lage nach rechts gerückt, weil sie sonst nicht sichtbar würde, wenn man sie parallel Ee zeichnete, wie sie in der Natur geht.)

Das $2+2$ flächige Oktaeder pag. 24 leitet man aus der rechtwinkligen Säule mit Schiefendfläche Nr. 8, pag. 19 ab: da die vordern Ecken

EE andere sind als die hintern AA, so können die vier Flächen nicht mehr congruent sein, wie man leicht aus dem zugehörigen Tetraide sieht. Jedes Paar Ecken gibt ein Paar Flächen $a : b : c$ vorn und $a' : b' : c'$ hinten (Augit-artige Paare Weiß, Diöber de l'Isle), sämtliche Dreiecke ungleichseitig, weil die drei Kanten des Hexaides ungleich lang sind. Die von Ecke zu Ecke gehenden Oktaederaxen gehen den Kanten des zugehörigen Hexaides parallel, schneiden sich also wie diese unter zwei rechten und einem schiefen Winkel. Die Basalschnitte selbst sind zwei verschiedene Rhomben $aba'b$ und $ebc'e'$, und ein Rhomboid $aca'c'$. Auch dieses Oktaeder bleibt noch nach links und rechts symmetrisch, wird nur vorn anders als hinten, und jede zwei Augitpaare müssen ein solches geben, wofür sie nicht in einer Zone liegen.

6) Das eingliedrige Oktaeder hat weder zwei gleiche Flächen, noch zwei gleiche Kanten, alles tritt nur einzig auf, versteht sich immer, daß man das Parallele nicht mitzählt. Zwar läßt sich aus der Oblongsäule mit doppelschiefer Endfläche noch ein Oktaeder ableiten, an dem die zwei der oblongen Säule entsprechenden Arenebenen senkrecht stehen, allein einen Einfluß kann das auf die Zahl nicht üben.

Betrachten wir die Tetraide für sich, so zerfallen sie in zwei merkwürdige Gruppen, in symmetrische und unsymmetrische. Zu den symmetrischen gehören das reguläre, viergliedrige, dreigliedrige, und von den zwei- und zweiundeingliedrigen die aus dem geraden und schiefen Oblongoktaeder. Hier sind beide das Tetraid und Gegentetraid einander congruent. Anders ist es dagegen bei den unsymmetrischen. Schneidet man sich aus der Oblongsäule mit Geradenfläche (Nr. 3) beide Tetraide, so sind sie zwar von gleichen Flächen und Kanten begrenzt, man kann sie aber nicht parallel neben einander stellen, sondern wenn man sie auf eine Fläche neben einander legt, so schaut das eine mit seiner Spitze nach links, das andere nach rechts: das eine ist also dem andern umgekehrt gleich und congruent. Ähnliche Unsymmetrie findet sich bei dem Tetraide der Oblongsäule mit Schiefenfläche (Nr. 8), es ist $2 + 2$ flächig. Endlich auch bei den $1 + 1 + 1 + 1$ flächigen. Naumann nennt die nicht regulären Sphenoide, Häubinger das unsymmetrisch zweigliedrige Tartaroid, weil es beim Weinstein (Tartarus) selbstständig vorkommt.



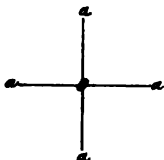
Aren.

Nachdem wir uns überzeugt haben, daß aus je vier beliebigen sich in 6 Zonen schneidenden Flächen ein Oktaid entsteht, in welchem drei Linien (Aren) sich im Mittelpunkte halbiren, so können wir nun von diesen Linien sprechen. Die Aren gehen entweder alle drei von Ecke zu Ecke, oder nur eine von Ecke zu Ecke, die andern beiden den Seiten eines Basalschnittes parallel. Wie alles am Krystall beweglich gedacht werden muß, so auch diese Linien: es sind Richtungen, die in jedem Punkte des Krystalls wirken. Von ihrer Kenntniß, die wir lediglich dem verstorbenen Weiß verdanken, datirt eine Epoche der Krystallographie. Alles, was Spätere

darin modelten, hat den Kern der Sache nur wieder verhüllt. Die Arenrichtungen allein sind die wirkenden Kräfte, als deren Resultanten die Flächen gedacht werden müssen; namentlich darf man auch nicht Arenebenen an ihre Stelle setzen.

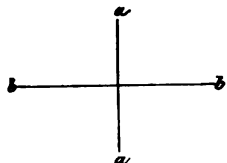
I. Alle drei Aren wirken auf einander rechtwinklig (orthometrisch):

- 1) Gleiche Aren $a:a:a$ bestimmen uns das **reguläre** Oktaeder: man darf sich nur zwei gleiche Linien aa und aa , die sich in o halbiren, auf das Blatt zeichnen, und dann eine dritte gleich lange Linie oa in o senkrecht gegen das Blatt erheben, so hat man die einfachste Anschauung vom regulären Oktaeder. Das Zeichen $a:a:a$ ist so einfach, daß es weiter keiner Symbole bedarf, auch liegt darin von selbst, wegen der vier gleichen Quadranten, die Vierdeutigkeit des Zeichens.



- 2) $2+1$ Are $a:a:c$ bestimmen uns das **viergliedrige** Oktaeder: man darf sich nur die aufrechte Are c (Hauptaxe) größer oder kleiner als a denken, so haben wir die Anschauung. Das Zeichen deutet gleich an, daß die Seitenkanten $a:a$ von den Endkanten $a:c$ verschieden seien, und daß die Dreiecke congruent und gleichschenkelig sein müssen.

- 3) $1+1+1$ Are $a:b:c$ bestimmen uns das **zweigliedrige** Oktaeder: die aufrechte Hauptaxe nennt Weiß immer c , die nach vorn gehende a und die seitliche b . Wir ersiehten daraus, daß die dreierlei Kanten $a:b$ (Seitenkante), $a:c$ (vordere Endkante) und $b:c$ (seitliche Endkante) von einander verschieden, und folglich die vier Flächen ungleichseitige congruente Dreiecke sein müssen.

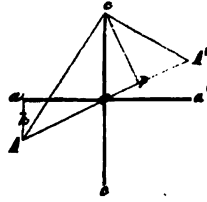


Anmerkung. Leider herrscht in der Benennung der Aren bei den Krystallographen keine Uebereinstimmung. Mohs und Naumann heißen die aufrechte Are a (unser c), dagegen stimmt b Naumann mit b Weiß, aber mit c Mohs, und c Naumann mit a Weiß und b Mohs. Bei $2+1$ -gliedrigen Systemen nennt Naumann dann wieder die sogenannte Klinodiagonale $b=1$, welche consequenterweise c heißen müßte. Der Mathematiker wird übrigens leichter die aufrechte Are als c merken, weil sie in der Coordinaten-Theorie der Are der z entspricht, a und b dagegen der x und y . Abgesehen davon, daß beim viergliedrigen System die Symmetrie mit dem regulären verlangt, die beiden gleichen Aren noch $a:a$ zu nennen und die aufrechte c . Und warum denn von der Bezeichnung des Begründers abweichen?

II. Nicht alle drei Aren wirken auf einander rechtwinklig (klinometrisch). Die Frage, ob die unbedeutende Schiefe einzelner Aren auf einander, welche nach scharfen Messungen anzunehmen man öfter gezwungen ist, nur von Störungen in der Ausbildung herrühre oder im tiefern Innern des Krystalls ihren Grund habe, ist noch nicht entschieden.

Jedenfalls erwächst mit schiefen Axen eine größere Mühe des Rechnens: wo man daher rechtwinklige Axen nehmen kann, verdienen sie unbedingt den Vorzug. Sind dagegen schiefe Winkel unumgänglich, so wähle man die Axen wenigstens den rechtwinkligen möglichst nahe. So machte es Weiß. Mohs und Naumann dagegen sagen, da nun einmal schiefwinklige Axen gefunden werden, so nehmen wir sie auch recht schief. Dadurch erleiden die Flächen eine sehr verschiedene Bezeichnung, was das Verständniß außerordentlich erschwert.

Die ungleichen Axen $A : b : c$ weichen in der Axenebene Ac nur um Weniges vom rechten Winkel ab, **zweigliedriges Oктаeder**. Man stellt das Oктаeder gern so, daß der stumpfe Winkel coA nach vorn schaut, dann liegt der scharfe coA' hinten. Natürlich ist nun Kante $A : c$ vorn von $A' : c$ hinten verschieden, während die beiden seitlichen Endkanten $b : c$ und die beiden Seitenkanten $A : b$ links und rechts je einander noch gleich bleiben. Die Oктаederflächen theilen sich daher in $2 + 2$ ungleichseitige Dreiecke (Abc vorn und $A'bc$ hinten), das System kann es nicht mehr zu vier gleichen Gliedern bringen. Da Axe b senkrecht auf Axenebene Ac bleibt, so müssen boc und boA noch rechte Winkel sein. Behufs der Rechnung ziehe man eine Linie aa' senkrecht gegen cc und Aa parallel cc , so kann man mit der rechtwinkligen Axe oa rechnen, indem man das kleine Perpendikel $aA = x$ als Correction in die Formel einführt. Der Winkel aoA zeigt die Abweichung vom rechten an. Mohs fällt dagegen ein Perpendikel op auf AA' , und nennt den Winkel $pco (= AoA)$ die Abweichung.



Man könnte sich bei diesem monoklinometrischen System zwei Axen, ja selbst alle drei einander gleich denken, und doch könnte es wegen der schiefen Axen zu keiner größern Gleichheit der Glieder als 2 kommen.

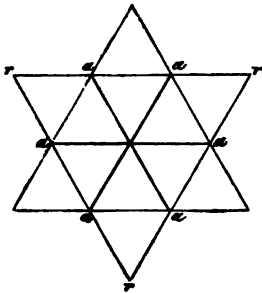
5) Von den ungleichen Axen $A : B : c$ können je zwei Ac und Bc oder sogar alle auf einander schief stehen, **eingliedriges Oктаeder**. Hier muß alles ungleich sein. Zwar könnte man meinen, wenn noch ein Axenpaar AB auf einander senkrecht stünde, müßten beide Kanten AB links und rechts einander noch gleich bleiben. Allein man sieht sogleich, daß sie gegen die aufrechte c , welche auf Ebene AB doppelschief steht, nicht mehr symmetrisch liegen, folglich auch nicht mehr gleich sein können.

Naumann unterscheidet noch ein diklinometrisches System, schiebt statt der linearen Dimensionen die Axenebenen unter: es muß dabei noch ein Paar Axenebenen z. B. Ebene AB auf Bc senkrecht stehen. Auf die Symmetrie des Krystalls hat das gar keinen Einfluß, und merkwürdiger Weise kann bei diesem Naumannschen System von den drei Lineardimensionen $A : B : c$ keine auf der andern senkrecht bleiben. Man macht sich dieses leicht an einer Oblongsäule mit doppelschiefer Endfläche pag. 19 klar, an welcher keine der Kanten auf einander senkrecht stehen kann. Und umgekehrt, wenn ein Paar der Kanten auf einander rechtwinklig steht, so kann kein Paar der Axen-

ebenen einen rechten Winkel bilden. Das ist ein merkwürdiger Widerspruch! Method. Kryst. pag. 129.

III. Drei und einaxige Systeme. Die eine Hauptaxe c steht aufrecht und senkrecht gegen die drei gleichen Nebenaxen aaa , welche sich unter 60° schneiden.

6) a. **Sechsgliedriges System.** Denkt man sich die Axe c aufrecht, so kann man durch $c : a : a : ooa$ eine Fläche legen, die sechsmal wiederkehrt, also ein Dihexaeder bilden muß. Die Seitenkanten $a : a$ sind von den Endkanten $a : c$ verschieden.

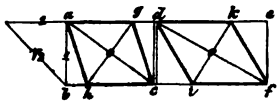


6) b. **Dreigliedriges System.** Denkt man sich dagegen nur die abwechselnden Sextanten ausgefüllt, so entsteht in c eine rhomboedrische Ecke. Man sieht leicht ein, daß die Ausfüllung der andern Hälfte ein Gegenrhomboeder rrr geben muß, das sich nur durch seine Stellung vom ersten unterscheidet. Bezeichnet man das eine mit $\frac{1}{2} (c : a : a : ooa)$, so das andere $\frac{1}{2} (c : a' : a' : ooa)$. Die Sache wird klar, wenn man das vergleicht, was oben pag. 27 beim Rhomboeder gesagt wurde. Wo es selbstverständlich ist, lasse man das $\frac{1}{2}$ weg.

Verfertigung der Oktaide.

Da sich in jedes Hexaïd ein Tetraïd einschreiben läßt, aus diesem aber das Oktaïd folgt, so könnte man auf solche Weise sich leicht alle Oktaïde verschaffen, wenn man dazu nicht zu viel Holz brauchte, abgesehen davon, daß die Schnitte der Hexaïde wieder verloren gehen. Zweckmäßiger ist es daher, aus der Säule.

Säulen von gegebenem Verhältniß werden auf folgende Weise verfertigt:



Man hobelt einen Parallelraum $aefb$, nennt die Dicke $ab=1$, und construirt im rechtwinkligen Dreieck 11 die $\sqrt{2}$; punktirt ferner das Oblongum $abcd$, worin $ad=\sqrt{2}$, errichtet im Mittelpunkt o auf der Diagonale ac das Perpendikel gh , zieht von g nach c und von h nach a , so ist $agch$ ein Parallelogramm mit dem Oktaederwinkel $1:\sqrt{2}$, denn das Dreieck cog ist dem Dreieck adc ähnlich. Macht man $de=bd=\sqrt{3}$, und errichtet im Mittelpunkte des Oblongum $cdel$ wieder ein Perpendikel ik auf df , so ist aus denselben Gründen $dkfi$ ein Parallelogramm $1:\sqrt{3}$ mit 120° . Auf diese Weise kann man jeden beliebigen Winkel construiren, und zur Verfertigung der Modelle verwerten, ohne einen unnöthigen Hobelschnitt zu machen. Auch kommt stets der möglich größte Umfang heraus.

Das reguläre Oktaeder entsteht aus der geraden rhombischen Säule von $109\frac{1}{2}^\circ$ ($1:\sqrt{2}$), da dies der Oktaederwinkel ist. Zu dem Ende trage man die kurze Diagonale AA nach AH , mache $EG=AH$, halbire diese in C ,

ziehe von C nach den vier Punkten AAHH, so entsteht das Oktaeder CAAHHC. Der Beweis ist leicht zu führen.

Viergliedrige Oktaeder entstehen aus geraden rhomboischen Säulen von einem Winkel, der den Seitenanten des verlangten Oktaeders entspricht. Man verfährt bei der Bereitung ganz wie vorhin. Legt man die kurze Diagonale AA nach AH, so entsteht ein scharfes, legt man dagegen die lange Diagonale EE nach EG, so entsteht ein stumpfes Oktaeder.

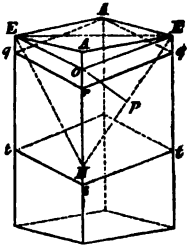
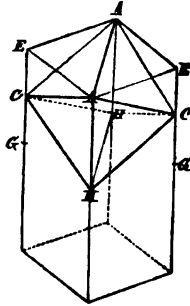
Würde man AH länger oder kürzer als AA machen, und $EG=AH$ in C halbiren, so entstünde ein Oblongoktaeder.

Dreigliedrige Oktaeder macht man aus dem Rhomboeder.

Das Rhomboeder aber am besten aus der geraden rhomboischen Säule: zu dem Ende trägt man EE nach EH, errichtet im Halbierungspunkt p ein Perpendikel op, so ist oEEH die Enddecke eines Rhomboeders von dem Endkantenwinkel der Kante H. Da die Rhomboederfläche oEE erst durch den Mittelpunkt der Geradenfläche AEAE geht, so kann man sie leicht durch das hintere A legen, man macht nur vorn $Ao=or=Eq$, so geht die Rhomboederfläche durch Aqrq. Mache ich dann ferner $Hs=Ao$, und ziehe durch s Parallelen, so ist stqrqtA das verlangte Rhomboeder.

Zweigliedrige Oktaeder macht man aus rhomboischen Säulen mit Schiefendfläche. Wäre AEAE eine solche, so trüge man wieder AA nach AH, machte $EG=AH$, halbire in C, und zöge das Oktaeder CAAHHC.

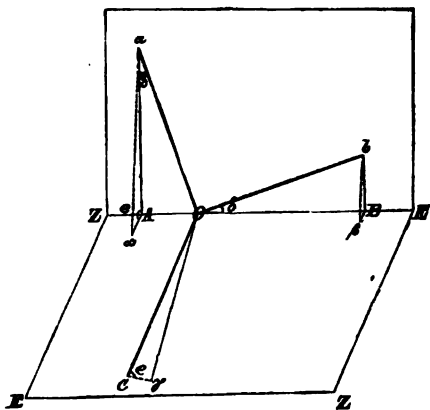
Ein zweiundeingliedriges käme, sobald man AH größer oder kleiner als AA machte; das eingliedrige auf die gleiche Weise, nur muß statt der schiefen eine doppelschiefe Endfläche genommen werden.



Die Zeichnung der Oktaide

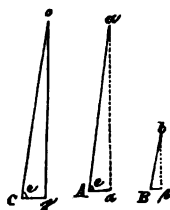
ist gewöhnlich eine geometrische d. h. eine orthographische Projection: man fälle von den Ecken der Oktaide Senkrechte auf die Zeichnungsebene, verbinde die Orte durch die erforderlichen 12 Kanten, so ist das Bild fertig. Denkt man das Auge im Unendlichen und so gegen Krystall- und Zeichnungsebene gestellt, daß ein Gesichtsstrahl durch den Mittelpunkt des Krystalls senkrecht gegen die Zeichnungsebene steht, so sieht man den Krystall in unserem geometrischen Bilde. Dasselbe erscheint zwar etwas verzogen, aber alle parallelen Kanten bleiben sich parallel. Da die Ecken der Oktaide den Endpunkten der drei Axen entsprechen, so fällt die Aufgabe mit der Projection der drei Axen abc zusammen. Wir wollen den einfachsten Fall annehmen, wo dieselben auf einander rechtwinklig stehen und gleich sind. Die Zeichnungsebene denkt man sich gewöhnlich durch den Mittelpunkt gelegt, sie muß dann den Krystall halbiren, die Kanten der vorderen Hälfte zeichne man mit dickern, die der hinteren Hälfte mit dünnern Linien, wodurch das Bild

durchsichtig wird. Liegt die Zeichnungsebene in den Seitenaxen ab, so gibt das die Horizontalprojection: in diesem Falle erscheint c als Mittelpunkt, weil alle Gesichtsstrahlen (Perpendikel) der Axe c parallel gehen, und a und b erscheinen in ihrer natürlichen Größe. Ähnlich die Bilder in den Axenebenen ac und bc (Vertikalprojectionen). Nicht so leicht bekommt man



die schiefe Projection. Zu dem Ende lege Hauptaxe c in die Zeichnungsebene ZZ, die in der Ebene des Papiers gedacht ist, und drehe die Seitenaxen ab so lange um die Hauptaxe c, bis die Projection von b (oB) um rmal länger ist als die von a (oA). Nennen wir dann den Drehungswinkel, welchen b mit der Zeichnungsebene ZZ macht, δ , so ist die Projection von a = oA = $\sin \delta$, von b = oB = $\cos \delta$, folglich $r \cdot \sin \delta = \cos \delta$, $r = \cotg \delta$. Jetzt drehen wir

das ganze Axensystem um die Schnittlinie ZE der Projectionsebenen so lange, bis der Projectiionspunkt der Axe a (α) um $\frac{1}{s}$ Länge der ersten Projection (also $\frac{1}{s} oA = A\alpha$) von ZE absteht. Der Winkel, welchen die Axenebene ab mit der Zeichnungsebene macht, heiße dann e. Benennen wir den



Ort von b mit β , so haben wir zwei ähnliche Dreiecke aA α und bB β mit dem Winkel e. Da weiter die Axe c sich um $90^\circ - e$ von der Zeichnungsebene entfernt, so ist ihre Projection $oy = \sin e$, und das Dreieck ocy ebenfalls den ersten beiden ähnlich. Es ist aber $aA = \cos \delta$, $bB = \frac{\cos \delta}{r}$; ferner wurde $A\alpha = \frac{\sin \delta}{s}$ angenommen.

Da nun $Aa : A\alpha = Bb : B\beta$, so ist

$$\cos \delta : \frac{\sin \delta}{s} = \frac{\cos \delta}{r} : B\beta, \quad B\beta = \frac{\sin \delta}{rs}. \quad \text{Ferner}$$

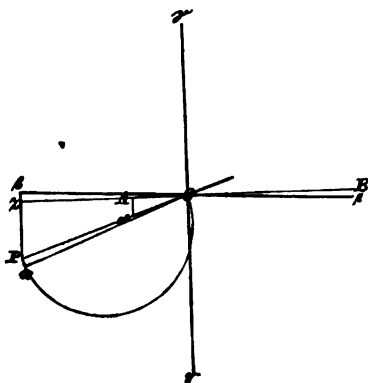
$$co : cy = Aa : A\alpha, \quad \text{oder}$$

$$1 : cy = \cos \delta : \frac{\sin \delta}{s}, \quad cy = \frac{\tg \delta}{s}, \quad \tg \delta = \frac{1}{r}, \quad \text{also}$$

$$cy = \frac{1}{rs}, \quad oy = \sqrt{1 - \frac{1}{r^2 s^2}} = \frac{1}{rs} \sqrt{r^2 s^2 - 1}$$

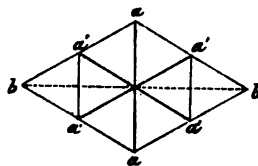
$$\frac{oy}{cy} = \tg e = \sqrt{r^2 s^2 - 1}.$$

Construction: setzen wir $r = s = 3$, dann ist $\delta = 18^\circ 26''$
 $e = 83^\circ 37'$. Ziehe eine beliebige Linie
 $zB = 2 \cos \delta$, theile sie in 6 Theile, und
errichte das Perpendikel $zP = \frac{1}{2}zB = \sin \delta$,
ziehe von P nach dem Mittelpunkte o,
so ist $o\alpha = \frac{1}{2}oP$ die Axe a, weil $\alpha A =$
 $\frac{1}{2} \sin \delta$. Mache ferner $z\beta = \frac{1}{2}A\alpha =$
 $\frac{1}{2} \sin \delta$, so ist $o\beta$ die zweite Seitenaxe.
Da $(oP)^2 = (oz)^2 + (zP)^2 = \cos^2 \delta + \sin^2 \delta$
 $= 1$, und die dritte Axe $c = oy$
 $= \sqrt{1 - \frac{1}{r^2 s^2}}$ ist, so darf ich über
oP nur einen Halbkreis beschreiben, und
 $Px = z\beta = \frac{1}{2} \sin \delta$ hineintragen, so ist im
rechtwinkligen Dreiecke oPx, $(ox)^2 = (oP)^2 - (Px)^2$, $ox = \sqrt{1 - \frac{1}{r^2}}$. Mache
ich dann $ox = oy$ senkrecht auf zB , so sind $\alpha\beta\gamma$ die verlangten Projektions-
linien. Da ox immer nur $\frac{1}{r}$ von oP abweicht, so kann ich auch $oP = oy$
nehmen, ohne einen wesentlichen Fehler zu begehen. Bei $r = s = 2$ wäre
 $ox = \sqrt{1 - \frac{1}{4}}$ schon viel wesentlicher unterschieden.



Wir haben $a=b=c$ angenommen. Wenn die Axen nun aber ungleich
sind, so setzen wir die Hauptaxe $c = 1$, und suchen für a und b die Pro-
portionalen. Beim Schwefel z. B. ist $a : b = 0,427 : 0,527$, nehme ich
also etwa $a = 0,4\alpha$ und $b = 0,5\beta$, so kommen die Axen des verlangten
Rhombenoktaeders.

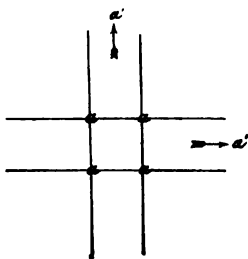
Das Dihexaedr sehe man als ein Rhom-
benoktaeder $a : b : c$ nebst einem Paar $c : \frac{1}{2}b : \infty a$
an, $b = a\sqrt{3}$, construire erst das Rhombenoktaeder
 $a : b : c$, halbire dann die Kante ab in a' , so bestim-
men die Verbindungslinien $a'a'$ die gesuchten beiden
andern Nebenaxen. Es ist für diese Stellung nicht
unvortheilhaft, wenn man $r = 3$ und $s = 2$ nimmt, dann ist Winkel $e = 80^\circ 25'$.



Projectionslehre.

Wer von Krystallen schnell ein klares Bild bekommen will, muß sich
vor allem mit der Projection vertraut machen. Ich habe sie in meiner
„Methode der Krystallographie 1840“ weitläufiger auseinander gesetzt. Sie
besteht darin, daß ich alle Flächen durch einen Punkt (Scheitelpunkt) lege,
und dieselben dann eine beliebige Ebene (Projectionsebene) schneiden lasse.
Wenn ich aber alle Flächen durch einen Punkt lege, so müssen nothwendig
die Parallelen zusammenfallen. Jeder zwischen zwei Parallelebenen liegende
Raum (Krystalraum, Parallelraum) wird also durch eine Ebene (Reduc-
tionsebene) vertreten. Jede Reductionsebene muß die Projectionsebene in
einer geraden Linie (Sectionslinie) schneiden, nur die eine nicht, welche der

Projectionsebene parallel geht. Ferner müssen die Flächen einer Zone durch eine gemeinsame Linie (Zonenaxe) gehen. Die Zonenaxen selbst strahlen alle vom Scheitelpunkte aus, treffen die Projectionsebene unter Punkten (Zonenpunkten), in welchen sich sämmtliche Sectionslinien der zugehörigen Zone schneiden.



Beispiel. Legen wir durch die Basis des Quadratoftaeders eine Ebene $aaaa'$, und verlängern dann die Seiten des Quadrats ins Beliebig, so liefern die vier sich kreuzenden Linien das Projectionsebild auf der zugehörigen Hexaidsfläche. Der Endpunkt c wird in der Mitte über der Projectionsebene gedacht, von hier strahlen die vier Endkanten ca aus, so daß $aaaa$ ihre vier Zonenpunkte sind. Die Punkte $a'a'$ liegen im Unendlichen, ihre Zonenaxe ca' geht also der Projectionsebene parallel.

Denken wir jetzt die vier Oктаederflächen über sich hinaus verlängert, aber fest in ihrer Lage, und bewegen nun die Projectionsebene beliebig dagegen, so muß im Allgemeinen das Projectionsebild $aaaa'a'$ entstehen, worin $aaaa$ noch die Endkanten, und $a'a'$ die Seitenkantenzonepunkte bezeichnen. Man macht sich dieses leicht klar, wenn man vom Oктаeder die Endecke beliebig wegschneidet, ohne daß eine Endkante der andern gleich getroffen wird. Diese Fläche wird dann das Trapezoid $aaaa$ sein, dessen Seiten über sich hinaus verlängert zu den Zonenpunkten der Seitenkanten ($a'a'$) führen. Der Endpunkt c hat immer außerhalb der Projectionsebene irgendwo in einem festen Punkte seine Lage, von dem dann alle Zonenaxen (in diesem Falle Oктаederkanten) nach den 6 Zonenpunkten hinstrahlen. Dieß eingesehen können wir wieder einen ganz allgemeinen Gang einschlagen.

Eine Fläche ist durch eine Linie dargestellt, so lange sie der Projectionsebene P nicht parallel geht.

Zwei Flächen erzeugen ein Kreuz, solange die Projectionsebene die Zonenaxe schneidet; läuft dagegen die P der Zonenaxe parallel, so müssen die Sectionslinien auch einander parallel gehen, der Zonenpunkt a muß im Unendlichen liegen. Geht endlich P einer der Flächen parallel, so bleibt nur noch eine Sectionslinie.



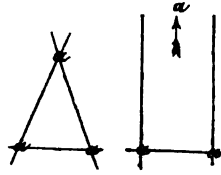
Drei Flächen bilden entweder eine



sechseckige Säule, und zeichnen sich dann durch ein dreilinigtes Kreuz oder drei Parallelen aus, solange P eine vierte hinzutretende Ebene ist; oder ein

Hexaid, dieses muß im Allgemeinen drei Zonenpunkte haben, wovon einer im Unendlichen liegen kann, wenn die P einer Hexaidkante parallel läuft, wie das in der zweiten Figur der Fall ist,

woran der Pfeil den im Unendlichen liegenden dritten Punkt anzeigt. Wird dagegen eine Hexaidfläche zur Projectionsebene, d. h. geht P einer Hexaidfläche parallel, so bleibt für das Projectionssbild nur ein einfaches Kreuz, weil die dritte Ebene nicht zum Schnitt kommt.

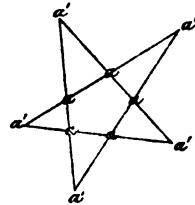


Vier Flächen geben dreierlei:

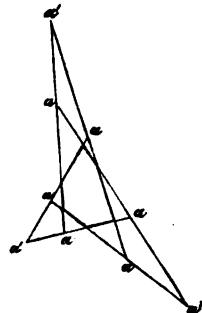
- eine 8seitige Säule, durch ein vierlinigtes Kreuz, oder auch durch 4 Parallelen dargestellt;
- einen Vierzonkörper $aaab$, worin die 4te Ebene ab die Kante des Hexaides aab abstumpft. Es bezeichnet das offenbar nur eine sechsseitige Säule b mit Endfläche aaa . Endlich
- ein Oktaid, den allgemeinsten Fall: die vier Linien müssen sich in $1+2+3=6$ Punkten schneiden, weil nirgends drei in eine Zone fallen. Wir sind damit bei unserm obigen Projectionssbilde wieder angelangt, wo das Oktaid auf eine ganz beliebige Fläche projectirt wurde.



Fünf Flächen schneiden sich im Allgemeinen in $1+2+3+4=10$ Punkten, wovon fünf $aaaaa$ in einem Fünfeck, und fünf $a'a'a'a'$ außerhalb des Fünfecks liegen. Es würde uns das zu jenem merkwürdigen Pentagonal-systeme führen, was zwar in der Krystallographie keine Existenz hat, das aber bei der Gebirgslehre durch E. de Beaumont mit so vielem Scharfsinne Anwendung fand (Epochen der Natur pag. 229). Man kann diese Figur mit einem Federzuge (Druidenfuß) darstellen. Es entwickelt sich hie alles hauptsächlich nach der Zahl fünf. Vergleiche übrigens die pentagonalen Flächen beim Buntbleierz und Zink.



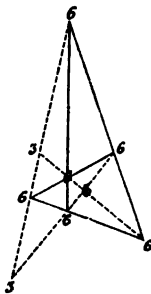
Sechs Flächen schneiden sich im Allgemeinen in $1+2+3+4+5=15$ Punkten, wovon sechs in einem Sechseck, sechs ($aaaaaa$) symmetrisch außerhalb des Sechsecks liegen, und die übrigen drei $a'a'a'$ sich symmetrisch auf dem andern Raume vertheilen. Hierin entwickelt sich alles nach der Zahl 6, und man könnte es als den Ausgangspunkt des sechsgliedrigen Systems nehmen wollen, wenn dieß nicht zweckmäßiger aus dem regulären System selbst entwickelt würde. So ließe sich ins Unendliche fortfahren, für jede n te Linie würde zugleich die Zahl n die Hauptrolle spielen. Doch sind das nur abstracte mathematische Sätze, die höchstens Schlaglichter auf das Wesen der Zahl in den Krystallen werfen.



Deduction.

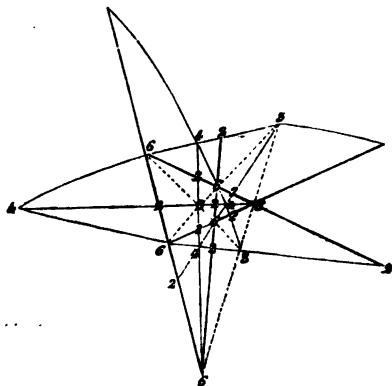
Darunter verstand Weiß das Ableiten von Flächen aus gegebenen Zonen. Ohne diese Entwicklung ist gar kein tieferes Verständniß der Sache möglich.

Die Flächen zeigen sich hierdurch als Resultanten von gegebenen Kräften. Säule, Hexaid und Bierzonenkörper lassen keine weitere Ableitung zu, weil die Zonenpunkte durch ihre eigenen Flächen schon alle untereinander verbunden sind. Erst beim Oktaide wird die Ableitung möglich, und deßhalb ist damit auch das ganze krystallographische System gegeben, wir dürfen nicht zu fünf oder gar mehr Flächen fortschreiten.



Das zugehörige Hexaid entsteht durch Verbindung der (6) Oktaidekanten. Es gibt das die drei neuen punktierten Linien, welche sich untereinander wieder in drei (3) neuen Punkten, den Kantenpunkten des Hexaides, schneiden. Da wir oben sahen, daß das Hexaid durch drei Linien, die sich in drei Punkten schneiden, dargestellt ist, so muß unser neuer Körper ein Hexaid sein. Zwei der Hexaidflächen verbinden die Punkte der abwechselnden Endkanten des Oktaides, müssen ihnen also parallel gehen, wie die dritte den Seitenkanten. Mit jedem beliebigen Oktaide ist daher auch ein auf diese Weise zugehöriges Hexaid gegeben. Jede Hexaidfläche muß am Oktaide als ein Parallelogramm erscheinen, weil sie nur in zwei Oktaidekanten liegt.

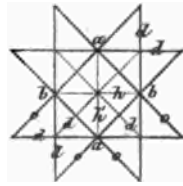
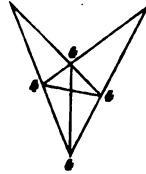
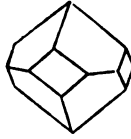
Das zugehörige Dodekaid verbindet die Hexaid- mit den Oktaidekanten, also die drei mit den sechs. Es sind nur sechs solcher neuen Linien möglich, daher hat der neue Körper auch nur sechs Parallelräume. Die sechs Linien schneiden sich in vier dreiliniigen Zonenpunkten, mithin müssen die den Linien zugehörigen Flächen hier sechsseitige Säulen bilden. Außerdem schneidet jede Dodekaidlinie noch zwei Oktaidelinien in neuen noch nicht vorhandenen Punkten. Die Sektionslinien der drei Körper Hexaid, Oktaid und Dodekaid, zusammen $3 + 4 + 6 = 13$ Linien, geben $3 + 6 + 4 + 12 = 25$ Zonenpunkte: die 3 entsprechen den Hexaidekanten; die 6 den Oktaidekanten; die 4



den Dodekaidkanten, und die 12 den Diagonalzonen des Oktaides, welche in jedem Oktaiddreiecke von der Spitze nach dem Halbierungspunkt der gegenüber liegenden Kante gezogen werden. Da jedes Dreieck drei solcher Diagonalen hat, so müssen $3 \cdot 4 = 12$ vorhanden sein. Wir sind damit bei den schon oben pag. 18 erwähnten Grundzahlen 3, 4, 6, der Krystallsysteme angelangt, und man sieht auf diese Weise zugleich ein, daß die Sache nicht anders sein kann.

Verzeichnen wir das Dodekaid besonders, so besteht es aus einem Oktaid 4444 mit zwei zugehörigen Hexaidflächen, welche die Seitenecken abstumpfen.

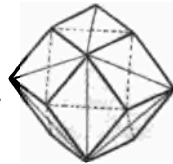
Daraus folgen alle seine wesentlichen Eigenschaften. Das nebenstehende Dodekaid macht dieß deutlich. Will man endlich die Areneindrücke finden, so darf man nur das ganze Dreikörpersystem auf eine der Hexaidflächen projiciren, um sogleich zu sehen, daß die Sectionslinien der beiden zugehörigen Hexaidflächen hh' zu Azen genommen, das Oktaid o den Ausdruck $a : b : c$, das Dodekaid d den Ausdruck $a : c : oob$, $b : c : ooa$ habe. Nur über die Ausdrücke der Flächen h und d des Mittelpunktes könnte man im Zweifel sein. Allein man darf die Flächen d z. B. nur parallel mit sich verrücken, so muß ihre Sectionslinie, sobald sie durch a gelegt ist, auch durch b gehen, und da d in der Aze c liegt, so muß sie bei dieser Verrückung der c parallel bleiben, also $a : b : ooc$ sein. h dagegen bekommt den Ausdruck $a : oob : ooc$, und $h' = b : ooa : ooc$, wenn man jede parallel mit sich verrückt und durch die Areneinheiten a und b legt. Ehe wir weiter gehen, wird es gut sein, auch die



Dodekaide

einer kurzen Betrachtung zu unterwerfen. Zunächst muß das Dodekaid ins Gleichgewicht gebracht werden! Zu dem Ende dürfen wir nur sein Oktaid ins Gleichgewicht bringen, so daß sämtliche Flächen Dreiecke sind. Alsdann lege die beiden Hexaidflächen durch die Mitte der Seitenkanten dieses Oktades, und das Dodekaid im Gleichgewicht ist fertig. Hierauf beruht zu gleicher Zeit die Weise der Verfertigung. Beim Granatoeder z. B. ist das Oktaid viergliedrig mit rechtwinkligen Seitenkanten: ich darf mir daher nach Anleitung von pag. 32 nur aus der quadratischen Säule ein viergliedriges Oктаeder machen, die Seitenecken durch zugehörige Hexaidflächen abstumpfen, und das Granatoeder im Gleichgewicht ist gemacht.

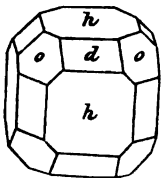
Das Dodekaid im Gleichgewicht wird von 6 Parallelogrammen begrenzt (die parallelen nicht gezählt), die sich in 3 vierkantigen Ecken, den Endpunkten der Azen entsprechend, und in 4 dreikantigen Ecken schneiden. Da jede Fläche in der Hexaid- und Oktaidkante zugleich liegt, so entspricht die (feine) Diagonale, welche die vierkantigen Ecken verbindet, den Oktaidkanten, und die (punktirte), welche die dreikantigen verbindet, den Hexaidkanten. Man kann also in jedes Dodekaid das zugehörige Hexaid und Oktaid einschreiben. Daraus geht von selbst hervor, daß das Oktaid die dreikantigen und das Hexaid die vierkantigen Ecken abstumpft. Und wieder kann es nur so vielerlei Dodekaide geben, als entsprechende Hexaide oder Oktaide möglich sind.



Das reguläre Dodekaid oder Granatoeder ist ein solches, in welches man einen Würfel und ein reguläres Oктаeder einschreiben kann, die

Diagonalen sämmtlicher Flächen sind daher einander gleich, und folglich die Flächen congruent. Da die Kanten in vier sechsseitigen Säulen liegen, so müssen diese Säulen regulär sein, folglich Kanten von 120° . Der stumpfe ebene Winkel der Rhomben beträgt $109^\circ 28' 16''$, ist also so groß als die Kanten des Oктаeders. Das Paar, welches derselben Axe parallel geht, schneidet sich unter rechten Winkel; daher hat das Oктаeder des Granatoeders in den Seitenkanten rechte Winkel, worauf seine Anfertigung beruhte.

Oктаeder, Würfel und Granatoeder treten öfter zusammen auf (Eisenglanz, Gold etc.): man mache einen Würfel h , stumpfe die Ecken durch das Oктаeder o ab, indem man gleiche Kantenlängen wegschneidet, wodurch gleichseitige Dreiecke werden. Nimmt man dann mit dem Granatoeder d die

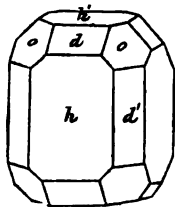


Würfelkanten so weg, daß in ihm Rechtecke entstehen, was beweist, daß d in der Zone o/o und h/h liegt, so ist der Körper gemacht. Es sind in diesem merkwürdigen Modelle alle möglichen Zahlenverhältnisse des regulären Systems gegeben. Die 3 bildet den Würfel h mit achtseitigen Flächen; die 4 das Oктаeder o mit sechsseitigen Flächen; die 6 das Granatoeder d mit viereckigen Flächen.

Die Kante h/d ist 12mal da (die diametral gegenüber liegenden nicht mitgezählt), in ihnen liegen alle möglichen Pyramidenwürfel, d. h. sie werden durch die Pyramidenwürfel abgestumpft; die Kante h/o nochmals 12mal, in ihnen liegen alle möglichen Leucitoide; die Kante o/d abermals 12mal, in ihnen liegen alle möglichen Pyramidenoktaeder; endlich bleiben noch die 24 Ecken, jede von den drei Flächen hdo und von den dreimal 12 Kanten begrängt, auf ihrem Gipfel balanciren alle möglichen Acht- und vierzig-Flächner. Eine andere Zahl und ein anderer Körper ist nicht denkbar.

Das viergliedrige Dodekaid ist ein solches, in welches man ein viergliedriges Oктаeder einschreiben kann. Daher müssen sich die Flächen in $4+2$ zerlegen: die 4 untereinander congruenten Rhomben bilden das nächste stumpfere Oктаeder, und die 2 eine quadratische Säule, welche die Seitenecken des viergliedrigen Oктаeders abstumpft. Weil die Flächen zweierlei sind, so pflegt man nicht von einem viergliedrigen Dodekaide zu sprechen, man denkt es immer in seine Theile zerlegt.

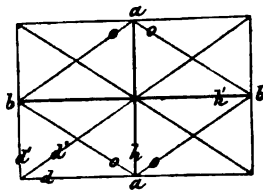
Wir können nun ganz wie beim regulären System die drei Körper miteinander verbinden. Zu dem Ende nehme man eine quadratische Säule h' , stumpfe die Ecken durch das Oktaid o so ab, daß die



Flächen gleichschenklige Dreiecke bilden pag. 25, und lasse dann die Dodekaidflächen d die Kanten des Oktoides und Hexaides zugleich abstumpfen. Dann haben wir das viergliedrige Hauptoktaeder $o=a:a:c$, an welchem das Oктаeder des Dodekaides die Endkanten abstumpft, also das 1ste stumpfere Oктаeder $d=a:c:ooa$ bildet; während $d'=a:a:ooe$ die erste quadratische Säule macht, welche die Seitenkanten von o ; und $h=a:ooa:ooe$ die zweite

quadratische Säule, welche die Seitenecken von o abstumpft; während $h' = c : \infty a : \infty a$ nur ein einziges Mal vorhanden als Geradensfläche auftritt.

Das zweigliedrige Dodekaëd ist ein solches, in welches man ein zweigliedriges Oktaëder einschreiben kann. Es müssen daher die Flächen sich in drei Paare $2+2+2$ zerlegen. Das vordere Paar d geht von $a:c:oo$; das seitliche d' von $b:c:oo$; das dritte d° (die rhombische Säule) $a:b:oo$. Wir könnten hier nun wieder ganz in derselben Weise wie vorhin verfahren, und müßten dann von der Oblongsäule mit Geraden ausgehen. Je zwei Paare zusammen genommen bilden ein Oblongoktaëder pag. 26, an welchem das dritte zugehörige Paar die Seiten ecken so abstumpfen muß, daß die Flächen Parallelogramme werden. Alles das leuchtet aus nebenstehender **Projectionsfigur** auf die **Geradenfläche** sogleich hervor, in welcher Axe c aufrecht gedacht wird. Das Bild stimmt vollkommen mit dem des regulären und viergliedrigen Systems überein, nur daß die Axen ungleich geworden sind.



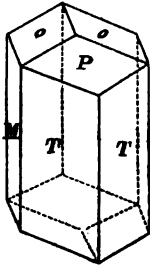
Man kann übrigens zu einem andern ($4+1+1$ flächigen) zweigliedrigen Dodekaeder noch in der Weise gelangen, daß man zwei beliebige Ecken eines zweigliedrigen Oктаeders durch eine Oblongsäule abstumpft, weil in dieselbe sich ein Oblongoktaeder einschreiben läßt. Strahlzeolith, Kreuzstein etc. liefern dazu gute Beispiele.

Das dreigliedrige Dodekaëd ist ein solches, in welches man ein dreigliedriges Oktaëder einschreiben kann. Es muß also eine der vier sechsseitigen Säulen regulär bleiben, während die andern drei untereinander gleiche rhombische Säulen mit gerader Abstumpfung bilden. Denn da das dreigliedrige Oktaëder 3 + 3kantig ist, so muß das zugehörige Dodekaëd auch 3 + 3flächig sein. Man macht sich das leicht durch eine Projection der Körper auf eine Oktaëdfläche klar. Wir wollen dabei vom regulären System ausgehen. Wählen wir irgend eine Fläche des regulären Oktaëders als Projectionsebene, und denken uns die drei an diese Flächen anliegenden ausge- dehnt, so müssen sich dieselben in einem Punkte schneiden, diesen Punkt nehmen wir als Scheitelpunkt der Projection. Dann gibt das gleichseitige Dreieck ooo die Sectionslinie der drei Oktaëder- flächen, während die vierte durch den Scheitelpunkt der Projectionsebene parallel gehen muß, weil wir sie als Projectionsebene gewählt haben. Die sechs Zonenagen des Oktaëders strahlen also zu drei vom Scheitelpunkte nach den Ecken des Dreiecks ooo, aber die andern drei treffen die Zonenage nicht, sie liegen in der Richtung der Sectionslinien 666 im Unendlichen, was der Pfeil bezeichnen soll. Das Oktaëder ist als ein Rhomboëder mit Geradenfläche betrachtet. Das Hexaëd hhh muß eine 6 des Dreiecks mit einer im Unendlichen liegenden 6 verbinden, also ein umschriebenes Dreieck geben, was ein nächstes stumpferes Rhombo-

The diagram illustrates the projection of a three-membered octahedron onto an octahedral face. It shows a large equilateral triangle with internal lines and points labeled with letters like 'o', 's', 'z', '6', and 'h'. Arrows indicate directions towards infinity.

eder bezeichnet. Endlich kommt das Granatoeder d, welches zunächst durch ein weiter umschriebenes Dreieck die Hexaiblanke 3 mit der im Unendlichen liegenden 6 verbindet und ein zweites stumpferes Rhomboeder liefert; sodann die Verbindung der 3 mit der 6 des Oктаederdreiecks, was eine reguläre sechsseitige Säule gibt. Das ganze System zerlegt sich also in dieser Stellung in $1+3+3+3+3$ Flächen. Denkt man sich nun statt des regulären Oктаeder ein dreigliedriges pag. 26, so werden drei Flächen gleichförmig, die vierte bleibt gleichseitig, und nehmen wir diese als Projectionsebene, so bleibt das Projectionsbild ganz das Gleiche, und die Flächen sind dennoch in drei Rhomboeder, eine reguläre sechsseitige Säule und eine Geradenfläche zerlegt. Das Ganze dieser Behandlungsweise ist so elementar, und führt zugleich so tief in das Wesen der Sache, daß ein anderer leichter Weg nicht wohl gedacht werden kann.

Das zweiundeingliedrige Dodekaid ist ein solches, in welches man ein $2+1$ gliedriges Oктаeder einschreiben kann. Man bekommt dieses wieder auf zweierlei Weise: 1) Läßt man von den drei Paaren eines zwei-



gliedrigen Dodekaides eins different werden, so haben wir noch eine geschobene Säule mit einem seitlichen Augitartigen Paare, nur das dritte Paar zerlegt sich in eine Schiefenfläche und hintere Gegenfläche. Man kann darin ein $2+2$ flächiges Oктаeder einschreiben. Das 2) Dodekaid hat ein schiefes Oblongoktaeder pag. 28 als eingeschriebenen Körper. Es kommt unter andern schön bei Hornblende vor: dieselbe bildet eine geschobene Säule T/T, deren scharfe Kante durch M gerade abgestumpft wird. Das Ende in der $2+1$ flächigen

Säule bildet die Schiefenfläche P mit dem Augitartigen Paare o/o. Da P auf M senkrecht steht, so bilden sie eine Oblongsäule, über welcher ein $2+2$ flächiges Oктаeder o/o und T/T sich erhebt, man kann also in dieser Stellung ein $2+1+1$ flächiges Oктаeder einschreiben.

Die eingliedrigen Dodekaide kann man entweder nach zwei Paaren different denken, dann muß auch das dritte Paar different sein; oder wenn man beim Hornblende-Dodekaid o links von o rechts verschieden macht, so kann auch T links nicht mehr T rechts gleich sein.

Wenn die Dodekaide nach einer ihrer sechsseitigen Säulen sich in die Länge ziehen, so entstehen keine versteckten Kanten, und doch ist der Körper nicht im Gleichgewicht. Man sieht das an je einem Oктаide des Dodekaids, das gehörig ausgebehnt gedacht immer versteckte Kanten hat. Versteckte Kanten sind solche, die den drei Hauptaxen parallel gehen. Sorgt man dafür, daß die Oктаide keine versteckten Kanten haben, so ist auch das Gleichgewicht des Dodekaides vorhanden. An diesen Fall habe ich „Methode der Krystallogr. pag. 47, § 55“ nicht gedacht, denn man kann nicht sagen, das Dodekaid sei im Gleichgewicht, sobald nur die Kanten der 4 sechsseitigen Säulen sichtbar sind.

gerade so neigt, als d' auf der Vorderseite, die Axen stehen daher bei ihm sämmtlich auf einander rechtwinklig. Das Bleibende in allen den verschiedenen Axenbezeichnungen sind die Zonen.

Durch die Projection des Hexaides, Oktaides und Dodekaides sind uns so viele Punkte gegeben, daß wir daraus eine beliebige Menge von neuen Flächen ableiten können. Bevor wir dazu schreiten, möge das Wichtigste gesagt werden über die

Berechnung.

Einiges habe ich darüber in Poggendorf's Annal. 1835, XXXIV. 503, XXXVI. 245 und in den „Beiträgen zur rechnenden Krystallographie 1848“, Ab.-Programm der philos. Fakultät zu Tübingen, das nicht im Buchhandel erschienen ist, gesagt.

I. Sind die Axenelemente sammt den Flächenausdrücken eines Krystals bekannt, so werden daraus die Winkel auf folgende Weise berechnet:

Zonenpunktformel.

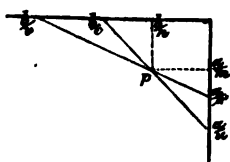
Sind die Sectionslinien $\frac{a}{\mu} : \frac{b}{\nu}$ und $\frac{a}{\mu} : \frac{b}{\nu}$ gegeben, so ist ihr Zonen-

$$\text{punkt } p = \frac{a}{m}, \frac{b}{n} = \frac{\nu, -\nu}{\mu\nu, -\mu, \nu} a, \frac{\mu - \mu,}{\mu\nu, -\mu, \nu} b.$$

$$p = ma, nb = \frac{\mu\mu, (\nu - \nu,)}{\mu, \nu - \mu\nu,} a, \frac{\nu, (\mu - \mu)}{\mu, \nu - \mu\nu,} b.$$

sofern wir die Sectionslinien $\mu a : \nu b$ und $\mu, a : \nu, b$ setzen. Denn für μ ist dann $\frac{1}{\mu}$ etc. zu substituiren.

Der Punkt p sei durch die Coordinaten $\frac{a}{m}, \frac{b}{n}$ gegeben, gleichgültig ob



die Axen rechtwinklig oder schiefwinklig sind. Es verhält sich aber

$$\frac{a}{\mu} : \frac{a}{m} = \frac{b}{\nu} : \frac{b}{n} - \frac{b}{n}; \frac{a}{\mu, m} = \frac{b}{\nu, n} - \frac{b}{n}, \text{ folglich}$$

$$\frac{a}{m} = \frac{a}{\mu} \left(\frac{b}{\nu} - \frac{b}{n} \right) \cdot \frac{\nu}{b} = \frac{a}{\mu,} \left(\frac{b}{\nu,} - \frac{b}{n} \right) \cdot \frac{\nu,}{b}$$

$$\frac{\nu}{\mu} \left(\frac{1}{\nu} - \frac{1}{n} \right) = \frac{\nu,}{\mu,} \left(\frac{1}{\nu,} - \frac{1}{n} \right)$$

$$\frac{1}{\mu} - \frac{\nu}{n\mu} = \frac{1}{\mu,} - \frac{\nu,}{n\mu,}$$

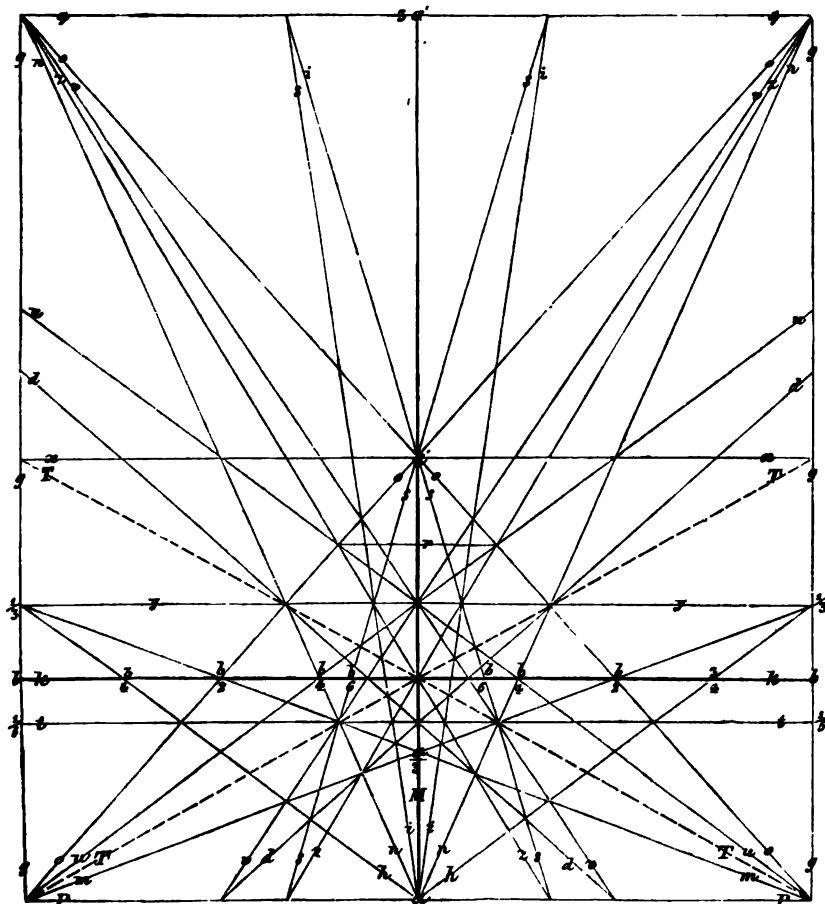
$$\frac{\nu,}{n\mu,} - \frac{\nu}{n\mu} = \frac{1}{\mu,} - \frac{1}{\mu} = \frac{\mu - \mu,}{\mu, \mu}$$

$$\frac{1}{\mu} = \frac{\mu - \mu,}{\mu, \mu} \cdot \frac{\mu, \mu}{\mu\nu, -\mu, \nu} = \frac{\mu - \mu,}{\mu\nu, -\mu, \nu}. \text{ Da nun nach oben sich verhält}$$

$$\frac{1}{\mu} : \frac{1}{m} = \frac{1}{\nu} : \frac{1}{n} - \frac{\mu - \mu,}{\mu\nu, -\mu, \nu} = \frac{1}{\nu} : \frac{\mu\nu, -\mu, \nu - \mu\nu + \mu, \nu}{\nu (\mu\nu, -\mu, \nu)}; \text{ so ist}$$

$$\frac{1}{m} = \frac{\mu\nu, -\mu\nu}{\nu(\mu\nu, -\mu, \nu)} \cdot \frac{\nu}{\mu} = \frac{\nu, -\nu}{\mu\nu, -\mu, \nu}.$$

Weil μ, ν , rationale Größen sind, so müssen auch die Coordinaten der Zonenpunkte rationale Theile der Axen sein.



Beispiel. Suchen wir beim Feldspath im hintern rechten Quadranten den Zonenpunkt $o/u = p$, so ist zu substituiren für

$$\frac{a}{\mu} : \frac{b}{\nu} = o = \frac{a'}{1} : \frac{b}{2} \text{ und } \frac{a}{\mu} : \frac{b}{\nu} = u = \frac{a'}{3} : -\frac{b}{4}, \text{ also}$$

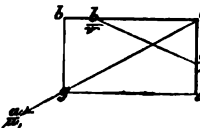
$$\mu = 1, \nu = 2, \mu_1 = 3, \nu_1 = -4, \text{ folglich}$$

$$p = \frac{-4-2}{1 \cdot 4-3 \cdot 2} a : \frac{1-3}{1 \cdot 4-3 \cdot 2} b = \frac{-6}{-10} a : \frac{-2}{-10} b = \frac{3}{5} a : \frac{1}{5} b.$$

Besonderer Fall. Gienge $\frac{a}{\mu} : \frac{b}{\nu}$ der Aze b parallel, so wäre

$$\nu = 0, \text{ also } p = \frac{0-\nu}{0-\mu, \nu} a, \frac{\mu-\mu_1}{0-\mu, \nu} b = \frac{a}{\mu}, \frac{\mu-\mu_1}{\mu, \nu} b = \frac{a}{m} : \frac{b}{n}.$$

Rantenzonengesetz. Rantenzonenpunkte sind die Punkte der Sectionslinie der Säule $a:b:\infty$, diese haben nämlich die Eigenschaft, daß $m=n$ wird. Gegeben ist wieder die allgemeine Linie $\frac{a}{\mu}:\frac{b}{\nu}$, construiren wir nun

 aus den als bekannt angenommenen Areneinheiten a und b das Parallelogramm $aobg$, so ist og die Sectionslinie der Säule, in welcher die Rantenzonen liegen, denn alle Punkte sind hierin um gleiche Vorzeichen von den Aren a und b entfernt. $\frac{a}{\mu}:\frac{b}{\nu}$ ist

jetzt $\frac{a}{1\cdot\infty}:-\frac{b}{1\cdot\infty}$ oder $-\frac{a}{1\cdot\infty}:\frac{b}{1\cdot\infty}$ geworden, wir müssen daher μ , $=+\infty$ und $\nu, =-\infty$ setzen, gibt

$p = \frac{+\infty-\nu}{\mu++\infty+\infty\cdot\nu} a$, $\frac{\mu+\infty}{\mu++\infty+\infty\cdot\nu} b = \frac{a}{\mu+\nu}, \frac{b}{\mu+\nu}$. Dieses überraschend einfache Parallelogrammgesetz macht man sich leicht auch durch einen geometrischen Beweis klar.

Beispiel. In der ersten Rantenzone $P/T = a, b$ des Feldspathes pag. 45 ist für $P\dots 1-0=1$, für $m\dots 3-2=1$, für $u\dots 4-3=1$, für $o\dots 2-1=1$. Fläche $n = a:\frac{1}{4}b$ schneidet die T zwischen den Aren a und b in $\frac{1}{4}a, \frac{1}{4}b$, weil $4+1=5$, die zwischen b und a' in $\frac{1}{4}a', \frac{1}{4}b$, weil $4-1=3$. Denn über die positiven und negativen Vorzeichen glaube ich hier nicht sprechen zu dürfen, da sie zu den Elementen der Mathematik gehören.

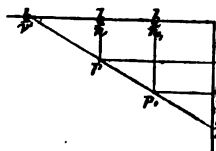
Sectionslinienformel.

Sind die Zonenpunkte $p = \frac{a}{m}, \frac{b}{n}$ und $p, = \frac{a}{m}, \frac{b}{n}$, gegeben, so wird der Ausdruck der darin liegenden Flächen:

$$\frac{a}{\mu}:\frac{b}{\nu} = \frac{m,n-mn,}{mm,(n-n,)} a:\frac{m,n-mn,}{nn,(m-m,)} b.$$

$$\mu a:\nu b = \frac{mn,-m,n}{n,-n} a:\frac{mn,-m,n}{m-m,} b$$

sofern man die Zonenpunkte $p = ma,nb$ und $p = m,a,n,b$ setzt. Denn für m ist dann $\frac{1}{m}$ etc. zu substituiren. Aus nebenstehender Figur folgt:



$$\frac{a}{\mu}:\frac{a}{m} = \frac{b}{\nu}:\frac{b}{n}; \quad \frac{a}{\mu}:\frac{a}{m} = \frac{b}{\nu}:\frac{b}{n},$$

$$\frac{a}{\mu} = \frac{a}{m} \cdot \frac{b}{\nu}:\left(\frac{b}{\nu}-\frac{b}{n}\right) = \frac{a}{m} \cdot \frac{b}{\nu}:\left(\frac{b}{\nu}-\frac{b}{n}\right)$$

$$\frac{a}{m} \cdot \left(\frac{b}{\nu}-\frac{b}{n}\right) = \frac{a}{m} \cdot \left(\frac{b}{\nu}-\frac{b}{n}\right)$$

$$\frac{b}{\nu} \left(\frac{a}{m}-\frac{a}{m,}\right) = \frac{a}{m} \cdot \frac{b}{n} - \frac{a}{m,} \cdot \frac{b}{n}$$

$$\frac{b}{\nu} \cdot \frac{m,-m}{mm,} = \frac{m,n-mn,}{mm,nn,} b$$

$$\frac{b}{v} = \frac{m, n - mn,}{nn, (m, -m)} b. \text{ Dieß substituirt in}$$

$$\frac{a}{\mu} = \frac{a}{m} \cdot \frac{b}{v} : \left(\frac{b}{v} - \frac{b}{n} \right) = \frac{a}{m} \cdot \frac{n}{n-v} = \frac{na}{m(n - \frac{nn, (m, -m)}{m, n - mn,})}$$

$$= \frac{n \cdot (m, n - mn,) a}{mm, nn - mmmn, - mm, nn, + mmmn,} = \frac{m, n - mn,}{mm, (n - n,)} a.$$

Beispiel. n Feldspath liegt hinten rechts im Zonenpunkte $x/u = p = a', \frac{1}{2}b$, und vorn rechts in $m/z = p, = \frac{1}{2}a, \frac{3}{2}b$. Nehmen wir den hintern rechten Quadranten als den positiven, $m = 1, n = 2$, so ist $m, = -\frac{7}{3}, n, = 7$, denn $\frac{1}{(\frac{1}{2})} = \frac{3}{7}$, folglich

$$\frac{a}{\mu} : \frac{b}{v} = \frac{-\frac{7}{3} \cdot 2 - 1 \cdot 7}{1 \cdot -\frac{7}{3} (2 - 7)} a : \frac{-\frac{7}{3} \cdot 2 - 1 \cdot 7}{2 \cdot 7 (-\frac{7}{3} - 1)} b = - a : \frac{b}{4}.$$

Besondere Fälle. Läge p , in der Rantenzone, so wäre $m, = n,$, folglich

$$\frac{a}{\mu} : \frac{b}{v} = \frac{m, n - mm,}{mm, (n - m,)} a : \frac{m, n - mm,}{nm, (m, - m)} b = \frac{n - m}{m(n - m,)} a : \frac{n - m}{n(m, - m)} b.$$

Läge ferner p in einer anliegenden Rantenzone, so wäre $+m = +n$,

$$\frac{n - m}{m(n - m,)} a : \frac{n - m}{n(m, - m)} b = \frac{-m - m}{m(-m - m,)} a : \frac{-m - m}{-m(m, - m)} b$$

$$= \frac{2a}{m + m,} : \frac{2b}{m, - m,}.$$

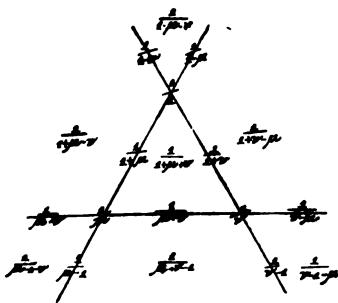
Beispiel. m Feldspath liegt links in der ersten Rantenzone a, b , rechts in der dritten Rantenzone $\frac{1}{2}a, \frac{1}{2}b$, folglich wird die zwischenliegende Are a in $\frac{2}{5+1} = \frac{1}{3}$, und die außerhalb liegende b in $\frac{2}{5-1} = \frac{1}{2}$ geschnitten. Es ist der umgekehrte Rantenzonensatz, und nicht minder wichtig.

Anwendung des Rantenzonengesetzes.

In den Abhandlungen der Berl. Akad. der Wissensch. 1818, pag. 270 bewies Weiß nachstehende ausführliche Bezeichnung der Krystallflächen:

Wenn eine Fläche das allgemeine Zeichen $1 : \frac{1}{\mu} : \frac{1}{v}$ hat, bezogen auf die drei Hauptaxen des Oktaides, welche von Ecke zu Ecke gehen, so kann man sich zwischen diesen tetragonalen Hauptaxen 6 diagonale Zwischenaxen ziehen, die, wenn sie Rantenzonen sind, in $\frac{1}{1+\mu}$

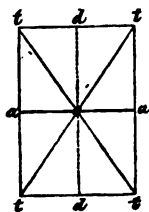
$$\frac{1}{1+v} \quad \frac{1}{\mu+v} \quad \frac{1}{v-1} \quad \left(\text{oder} \quad \frac{1}{1-v} \right)$$

$$\frac{1}{\mu-1} \quad \left(\text{oder} \quad \frac{1}{1-\mu} \right), \quad \frac{1}{\mu-v} \quad \left(\text{oder} \quad \frac{1}{v-\mu} \right)$$


geschnitten werden müssen. Zieht man nun zwischen den tetragonalen und digonalen Axen die 4 **trigonalen** Zwischenaxen, so müssen sie als Kanten-
 zonen in $\frac{1}{1+\mu+\nu}$ $\frac{1}{1+\mu-\nu}$ $\frac{1}{\mu+\nu-1}$ $\frac{1}{1+\nu-\mu}$ geschnitten werden. Wir
 haben also nur zu beweisen, daß die digonalen und trigonalen Axen Kanten-
 zonen sind, so ist die Richtigkeit des Satzes ersichtlich. Der Satz gilt ganz
 allgemein für rechtwinklige und schiefwinklige, gleiche und ungleiche Axen.
 Wir wollen ihn aber hier nur für das reguläre System ausführen, woraus
 dann die Allgemeinheit von selbst folgt.

Am Würfel im Gleichgewicht gehen die drei Hauptaxen (tetragonale)
 durch die Mittelpunkte der Flächen, die 6 digonalen durch die Mittelpunkte
 der Kanten, die 4 trigonalen durch die Ecken, und alle halbiren sich im
 Mittelpunkt des Würfels. In jeder Ebene der Würfel-
 fläche liegen zwei digonale Axen d und zwei tetragonale a .
 Setzen wir $oa=1$, so ist $od=\sqrt{2}$. Aus der Projection
 leuchtet unmittelbar ein, daß die Sectionslinien dd die
 Kantenzone für a sind. Eine Linie $\frac{a}{\mu}:\frac{a}{\nu}$ muß also die

zwischenliegende d in $\frac{d}{\mu+\nu}$, und die außerhalb liegende in $\frac{d}{\mu-\nu}$ oder $\frac{d}{\nu-\mu}$
 schneiden, je nachdem sie auf einer Seite liegt. Und dieß sagt der Weißsche
 Satz. Projiciren wir jetzt den gleichen Würfel auf seine



Dodekaiderfläche, welche den Würfel halbirend durch zwei
 gegenüberliegende Kanten und Diagonalen des Würfels
 geht, so geht in dieser Projection dd der Diagonale und
 aa der Kante parallel. Für $oa=1$ war $od=\sqrt{2}$, fol-
 glich $ot=\sqrt{3}$, tt die trigonalen Zwischenaxen bilden dann
 aber offenbar die Kantenzone für die Axen aa und dd .

Da nun jede allgemeine Fläche $\frac{a}{1}:\frac{a}{\mu}:\frac{a}{\nu}$ die Kantenzone d
 mit der Summe oder Differenz im Nenner schneiden muß, so muß also auch
 unser d z. B. unter einem Zeichen $\frac{d}{\mu+\nu}$, $\frac{d}{\mu-\nu}$, $\frac{d}{1+\mu}$ oder irgend einem

andern von der allgemeinen Fläche geschnitten sein, woraus die Addition der
 drei Zeichen folgt. Die tetragonalen Axen schneiden sich unter 90° , die di-
 gonalen unter 60° , die trigonalen unter $109^\circ 28' 16''$ (Oktaederwinkel). In
 der Würfelebene schneiden sich zwei digonale mit zwei tetragonalen unter 45° ,
 in der Oktaederfläche liegen bloß drei digonale 60° , in der Granatoederfläche
 liegen alle drei: eine tetragonale und digonale 90° und 2 trigonale, die digo-
 nale unter $35^\circ 15' 52''$ ($\frac{1}{2}$ Tetraederwinkel) und die tetragonale unter
 $70^\circ 31' 44''$ schneidend. Die tetragonale entspricht der Würfelkante, die
 digonale der Oktaederkante, die trigonale der Granatoederkante.

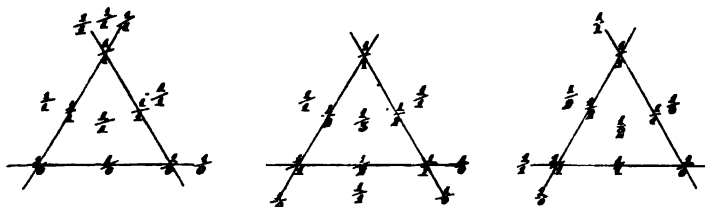
Die drei Linien sind insofern auch gut für das allgemeine Zeichen ge-
 wählt, als sie uns gleich die Orte am Oktaeder andeuten, wo sie zum
 Schnitt kommen.

Beispiel. Das Oktaeder hat das Zeichen $a:a:a$, folglich ist $\mu = \nu = 1$, die der Oktaederfläche anliegenden digonalen Axen werden daher in $\frac{1}{2}$ geschnitten, die drei übrigen aber in $\frac{1}{1-1} = \frac{1}{0} = \infty$, sie gehen der Oktaederfläche daher parallel. Die zwischenliegende trigonale Axe wird in $\frac{1}{1+1+1} = \frac{1}{3}$ geschnitten, die drei außerhalb liegenden aber in $\frac{1}{1+1-1} = 1$. Das Granatoeder: $a:a:\infty a$ hat $\nu = 0$, folglich die zwischenliegende digonale Axe (das Perpendikel auf die Fläche) $\frac{1}{2}$, die der Fläche anliegenden trigonalen Axen $\frac{1}{1+1-0} = \frac{1}{1+1+0} = \frac{1}{2}$. Setzen wir die Zeichen der drei Körper neben einander:

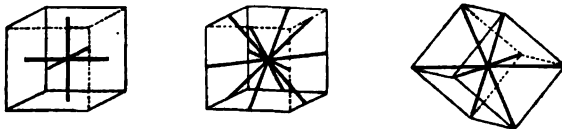
Würfel.

Oktaeder.

Granatoeder.



Wenn die drei Körper an einander treten, so fallen ihre Axenrichtungen zusammen, wenn also beim Würfel die mittlere trigonale Axe in 1 geschnitten wird, so beim Oktaeder in $\frac{1}{2}$, d. h. das Perpendikel vom Mittelpunkte auf die Fläche beträgt nur den dritten Theil von der Linie, welche vom Mittelpunkte nach der Ecke des umschriebenen Würfels gezogen wird; beim Granatoeder die Hälfte, die trigonale Axe geht hier vom Mittelpunkte nach den dreikantigen Ecken. Stellt man den Würfel nach einer seiner 4 trigonalen Axen aufrecht, und legt durch je drei der Zickzackdecken eine Oktaederfläche, so müssen diese die Axe in drei Theile theilen. Da die Sätze allgemein sind, so muß eine solche Dreitheilung der Axe auch für das Rhomboeder gelten. Dieser Satz ist daher für Rechnung und Zeichnung der Krystalle von größter Wichtigkeit und Einfachheit. Denn hat der Anfänger die erste Schwierigkeit überwunden, so ist kein elementarerer Satz in seiner Anwendung denkbar. Wir haben in diesen 3, 4, 6 Axen wieder die Grundzahlen der Krystallographie, pag. 18, wie man z. B. am Würfel sieht.



Rechnung mit dem Mittelpunkt.

Liegt einer der beiden Zonenpunkte, z. B. p, im Mittelpunkte, so ist $m, = n, = \infty$, denn es muß $\frac{1}{m} = \frac{1}{n} = 0$ werden, folglich

$$\frac{a}{\mu} : \frac{b}{\nu} = \frac{\infty \cdot n - m\infty}{m\infty(n-\infty)} a : \frac{\infty \cdot n - m\infty}{n\infty(\infty-m)} b = \frac{m-n}{m\infty} a : \frac{n-m}{n\infty} b$$

$$= \frac{-a}{m\infty} : \frac{b}{n\infty}.$$

Beispiel. z Feldspath pag. 45 geht durch den Mittelpunkt und durch Punkt $n \cdot m = (\frac{2}{3}a, \frac{1}{3}b)$, folglich $m = \frac{2}{3}$, $n = \frac{1}{3}$, gibt $\frac{a}{\mu} : \frac{b}{\nu} = -\frac{7-\frac{2}{3}}{\frac{2}{3}\infty} a : \frac{7-\frac{1}{3}}{\frac{1}{3}\infty} b = -\frac{2a}{\infty} : \frac{2b}{3\infty}$. Würde ich eine Fläche $2a : \frac{2}{3}b$ an das Arentkreuz und dieser die Fläche z parallel durch den Mittelpunkt legen, so wäre die Bedingung erfüllt. Statt $2a : \frac{2}{3}b$ könnte ich aber auch die Fläche $a : \frac{1}{3}b$ wählen, die Parallele würde zu der gleichen z führen. Ich darf daher bei der Mittelpunktsleichung die 2 im Zähler, oder allgemein $n - m$ durch Division entfernen. Das Minus deutet bloß an, daß wenn beim Herausrücken von z die Aze b im positiven Quadranten liegt, a nothwendig ein negatives Vorzeichen haben müsse.

Allgemeine Anwendung der Zonenpunkt- und Sectionsklinienformeln.

Haben wir die Flächen eines Systems auf eine beliebige Ebene projectirt, so kann man sämtliche Sectionsklinien und Zonenpunkte auf die Azen desjenigen Octaides beziehen, aus welchem die Flächen deducirt sind. Gehen wir von dem Octaide 1 bis 4 aus, und setzen ganz allgemein

$$1 = \frac{1}{\mu} : \frac{1}{\nu}; 2 = \frac{1}{\mu} : \frac{1}{\nu_1}; 3 = \frac{1}{\mu_1} : \frac{1}{\nu}; 4 = \frac{1}{\mu_1} : \frac{1}{\nu_1}.$$

Der Orientirung wegen haben wir die Azen mit $aa'bb'$ bezeichnet, sie sind aber in der Rechnung durchaus nicht nothwendig und = 1 zu denken.

Die Heraidsflächen 5 und 6 sind die Azen, auf welchen $\frac{1}{\mu} \frac{1}{\nu} \frac{1}{\mu_1} \frac{1}{\nu_1}$ abgetragen wurden.

Die dritte Heraidsfläche 7 fällt nun in die Zonenpunkte $2 \cdot 3$ und $1 \cdot 4$. Für 2 ist $\mu = \mu$, $\nu = -\nu$, und für 3 $\mu_1 = -\mu_1$, $\nu_1 = \nu_1$; das gibt

$$\text{den Zonenpunkt } 2 \cdot 3 = \frac{\nu + \nu_1}{\mu\nu - \mu_1\nu_1} a, \frac{\mu + \mu_1}{\mu\nu - \mu_1\nu_1} b. \text{ Für 1 ist } \mu = \mu, \nu = -\nu_1.$$

$$\text{und 4 } \mu_1 = -\mu_1, \nu_1 = \nu_1, \text{ das gibt den Zonenpunkt } 1 \cdot 4 = \frac{\nu + \nu_1}{\mu\nu_1 - \mu_1\nu} a,$$

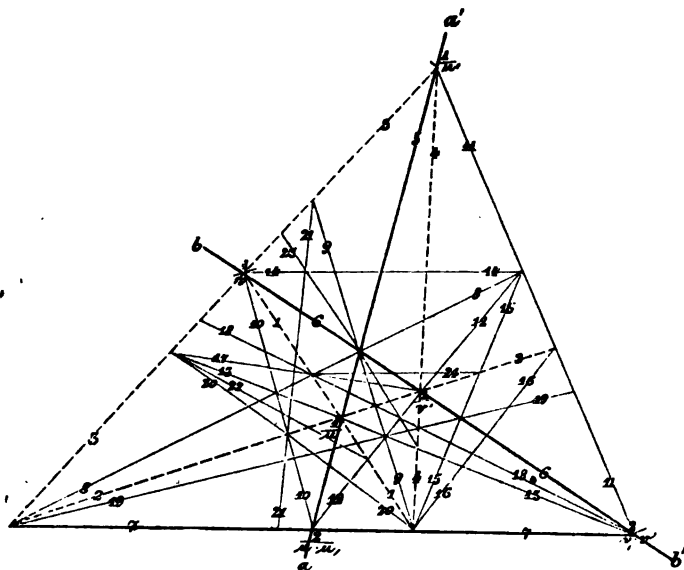
$$\frac{\mu + \mu_1}{\mu\nu_1 - \mu_1\nu} b. \text{ Für Fläche 7 wird also } m = \frac{N}{\nu + \nu_1}, n = \frac{N}{\mu + \mu_1}; m_1 = \frac{N}{\nu + \nu_1},$$

$$n_1 = -\frac{N}{\mu + \mu_1}, \text{ worin } N = \mu\nu - \mu_1\nu_1, \text{ und } N_1 = \mu\nu_1 - \mu_1\nu \text{ gesetzt ist, das gibt}$$

$$7 = \frac{2a}{\mu - \mu_1} : \frac{2b'}{\nu_1 - \nu}.$$

Für die Dodekaidsfläche 8 im Punkte $2 \cdot 3$ und dem Mittelpunkte $5 \cdot 6$ gelegen ist $m = n = \infty$; $m = \frac{N}{\nu + \nu_1}, n = \frac{N}{\mu + \mu_1}$, gibt

$$\begin{aligned}
 8 &= -\frac{v+v, -(\mu+\mu_1)}{(\mu+\mu_1)\infty} a : \frac{v+v, -(\mu+\mu_1)}{(v+v_1)\infty} b \\
 &= -\frac{a}{(\mu+\mu_1)\infty} : \frac{b}{(v+v_1)\infty} = -\frac{0}{\mu+\mu_1} a : \frac{0}{v+v_1} b,
 \end{aligned}$$



denn man darf bei Mittelpunktsrechnungen den gleichen Zähler in beiden Gliedern wegd dividiren. Ebenso findet man $9 = \frac{a}{(\mu+\mu_1)\infty} : \frac{b'}{(v+v_1)\infty}$. Die übrigen Obedafidflächen 10—13 kann man ablesen. Im Punkt 1 • 6 und 8 • 12 liegt $14 = \frac{2a'}{3\mu+\mu_1} : \frac{b}{v}$; im Punkt 8 • 12 und 1 • 4 liegt $15 = \frac{4a}{\mu-3\mu_1} : \frac{4b'}{3v,-v}$; im Punkt 1 • 4 und 2 • 11 liegt $16 = \frac{3a}{\mu-2\mu_1} : \frac{3b'}{2v,-v}$; im Punkt 1 • 8 und 2 • 4 liegt $17 = \frac{a}{2\mu+\mu_1} : \frac{b'}{v}$; im Punkt 1 • 8 und 6 • 7 liegt $18 = \frac{2a}{3\mu+\mu_1} : \frac{2b'}{v,-v}$; im Punkt 2 • 3 und 9 • 12 liegt $19 = \frac{4a}{3\mu-\mu_1} : \frac{4b'}{3v,-v}$; im Punkt 3 • 13 und 1 • 4 liegt $20 = \frac{3a}{2\mu-\mu_1} : \frac{3b}{2v,-v}$; im Punkt 3 • 9 und 2 • 10 liegt $21 = \frac{4a}{\mu-3\mu_1} : \frac{4b}{5v+v}$; im Punkt 3 • 13 und 2 • 18 würde Fläche $25 = \frac{3a}{4\mu+\mu_1} : \frac{3b}{2v,-v}$ liegen etc.

Alle diese Zeichen, welche verschiedenen Körpern angehören, etwas näher ins Auge gefaßt findet man bald folgendes merkwürdige Gesetz: fangen wir bei der Säule $8 = \frac{0}{\mu + \mu}$ an, so folgt dann $17 = \frac{1}{2\mu + \mu}$, $18 = \frac{2}{3\mu + \mu}$, $25 = \frac{3}{4\mu + \mu}$, $21 = \frac{4}{5\mu + \mu}$, $1 = \frac{1}{\mu} = \frac{\infty}{(\infty + 1)\mu + \mu}$ bildet die Gränze. Darüber hinaus schlägt das Gesetz um, und beginnt wieder mit $\frac{1}{\mu} = \frac{\infty}{(\infty - 1)\mu - \mu}$, $19 = \frac{4}{3\mu - \mu}$, $20 = \frac{3}{2\mu - \mu}$, $18 = \frac{2}{\mu - \mu}$. Unter unsern Zahlen ist keine einzige, welche diesem Gesetze erster Ordnung nicht folgte, denn die Zeichen $21 = \frac{4}{\mu - 3\mu}$ u. sind $= -\frac{4}{3\mu - \mu}$, machen also keine Ausnahme. Eine solche überraschende Einfachheit hätte man bei der Complicität der Rechnung nicht erwartet. Setzt man $\mu = \mu, \nu = \nu, = 1$, so gehen die gewöhnlichsten Zahlen hervor, welche bei Axenschnitten vorzukommen pflegen, c. dabei immer in der Einheit geschnitten gedacht. Das reguläre System liefert dazu ein vortreffliches Beispiel.

Suchen wir jetzt die Flächen im Punkt $3 \cdot 13$ und $1 \cdot 12$ gibt $22 = \frac{5a}{4\mu + \mu} : \frac{5b}{3\nu - 2\nu}$; im Punkt $5 \cdot 6$ und $4 \cdot 13$ gibt $23 = \frac{a}{(2\mu + 2\mu)\infty} : \frac{b}{(\nu + \nu)\infty} = \frac{0}{2\mu + 2\mu} a : \frac{0}{\nu + \nu} b$; im Punkt $2 \cdot 15$ und $1 \cdot 8$ gibt $24 = \frac{2a}{5\mu + 3\mu} : \frac{2b}{3\nu + \nu}$ u., so erkennen wir darin weitere Ordnungen, einzelne Glieder stimmen noch mit dem Gesetze erster Ordnung. Das Gesetz zweiter Ordnung beginnt aber mit $\frac{0}{2\mu + 2\mu}$, $\frac{1}{3\mu + 2\mu}$, $\frac{2}{4\mu + 2\mu}$,; . . . $\frac{5}{3\mu - 2\mu}$, $\frac{4}{2\mu - 2\mu}$, $\frac{3}{\mu - 2\mu}$. Die dritte Ordnung heißt $\frac{0}{3\mu + 3\mu}$, $\frac{1}{4\mu + 3\mu}$, $\frac{2}{5\mu + 3\mu}$,; . . . $\frac{7}{4\mu - 3\mu}$, $\frac{6}{3\mu - 3\mu}$, $\frac{5}{2\mu - 3\mu}$ u.

Rantenwinkelformel

$$\operatorname{tg} = ab \sqrt{m^2 n^2 + n^2 a^2 + m^2 b^2} : mab^2 - nva^2$$

gilt bei ungleichen rechtwinkligen Axen ab für einen Zonenpunkt $p = \frac{a}{m}, \frac{b}{n}$ und eine Sectionslinie $\frac{a}{\mu} : \frac{b}{\nu}$, und zwar ist immer der Winkel gemeint,

$$\cos : 1 = g : \sqrt{1+g^2}, \cos = \frac{g}{\sqrt{1+g^2}}.$$

$$\sin : \cos = \operatorname{tg} = \frac{mnabg}{m\mu b^2 - nva^2} : \frac{g}{\sqrt{1+g^2}} = mnab\sqrt{1+g^2} : m\mu b^2 - nva^2,$$

da nun $g = \sqrt{\frac{a^2}{m^2} + \frac{b^2}{n^2}}$, so ist

$$\operatorname{tg} = ab \sqrt{m^2 n^2 + n^2 a^2 + m^2 b^2} : m \mu b^2 - n \nu a^2, \text{ oder}$$

$$\operatorname{tg} = \mu_{ab} \sqrt{1 + m^2 a^2 + n^2 b^2} : nb^2 - m\mu a^2$$

Beispiel. Nehmen wir mit Weiß die Aren des Feldspathes pg. 45 rechtwinklig $a : b = \sqrt{\frac{1}{3}} : \sqrt{13}$, und suchen den Winkel T/o in der ersten Rantenzone, so ist $p = \frac{a}{m}, \frac{b}{n} = \frac{a}{1}, \frac{b}{1}$, folglich $m = n = 1$, und

$$0 = \frac{a}{\mu} : \frac{b}{\nu} = \frac{b}{2} : \frac{a'}{-1}; \quad -1 \text{ weil die Sectionslinie in einen andern}$$

Quadranten greift als wo der Brennpunkt liegt, folglich $\mu = -1$ und $\nu = +2$, daher $\lg = \sqrt{\frac{1}{3} \cdot 13^2} \sqrt{1 + \frac{1}{3} + 13} : -13 - 2 \cdot \frac{1}{3}$

$$= \frac{13}{3} \sqrt{3+13+3 \cdot 13} : - \frac{5 \cdot 13}{3} = - \frac{1}{3} \sqrt{55} = - \sqrt{\frac{11}{3}}.$$

Für den Winkel T/m bleibt $m = n = 1$, aber es wird $\mu = 3$ und $\nu = -2$, folglich $\text{tg} = \frac{1}{3} \sqrt{55} : 3 \cdot 13 + 2 \cdot \frac{1}{3} = + \sqrt{\frac{5}{11}}$. Das + und - ist gar nicht weiter zu berücksichtigen, es zeigt blos an, daß die Winkel auf verschiedenen Seiten der Mittelpunktschene T liegen.

In manchen Fällen ist es wünschenswerth, den ganzen Winkel ω zweier beliebigen Ebenen zu finden. Das geschieht am besten mittelst Coordinaten.

Die Flächen $\frac{a}{\mu} : \frac{b}{\nu} : c$ und $\frac{a}{\mu_1} : \frac{b}{\nu_1} : c$ durch den Mittelpunkt gelegt erhalten

die Coordinatengleichung $\frac{\mu x}{a} + \frac{\nu y}{b} + z = 0$ und $\frac{\mu, x}{a} + \frac{\nu, y}{b} + z = 0$, daraus folgt nach der bekannten Coordinatenformel

$$\cos \omega = - \frac{a^2 b^2 + \mu \mu, b^2 + \nu \nu, a^2}{\sqrt{a^2 b^2 + \mu^2 b^2 + \nu^2 a^2} \sqrt{a^2 b^2 + \mu,^2 b^2 + \nu,^2 a^2}} \quad (\text{Cosinusformel}).$$

Durch Substitution lassen sich wieder allerlei Unterfälle ableiten: für die **Oblongoktaeder** wird $\mu, = \nu = 0$, folglich $\cos \omega = - \frac{ab}{\sqrt{a^2 + \mu^2} \sqrt{b^2 + \nu,^2}}$.

Suche ich die Neigung gegen eine Geradenfläche, so kommt der halbe Kantenwinkel der Oktaeder z. B. für $\frac{a}{\mu} : \frac{b}{\nu}$ gegen $b : \infty a$ wird $\mu, = 0$, $\nu, = -\infty$,

$$\text{gibt } \cos \frac{1}{2} \omega = \frac{\nu a}{\sqrt{a^2 b^2 + \mu^2 b^2 + \nu^2 a^2}}. \quad \text{Das einfache Oktaeder } \cos \frac{1}{2} (a : c) = \frac{a}{\sqrt{a^2 b^2 + a^2 + b^2}}, \quad \cos \frac{1}{2} (b : c) = \frac{b}{\sqrt{a^2 b^2 + a^2 + b^2}}. \quad \text{Die dritte Formel}$$

$$\cos \frac{1}{2} (a : b) = \frac{\sqrt{a^2 + b^2}}{\sqrt{a^2 b^2 + a^2 + b^2}} \quad \text{gibt das Complement, also die Neigung}$$

$$\text{zur Axe c. Die ganzen Winkel } \cos (a : c) = - \frac{a^2 b^2 + b^2 - a^2}{a^2 b^2 + a^2 + b^2}; \quad \cos (b : c) = - \frac{a^2 b^2 - b^2 + a^2}{a^2 b^2 + a^2 + b^2}; \quad \cos (a : b) = - \frac{a^2 b^2 - b^2 - a^2}{a^2 b^2 + a^2 + b^2}.$$

Wenn in der allgemeinen Formel die zweite Fläche durch den Mittelpunkt geht, so ist $\mu, = \mu, \infty$ und $\nu, = -\nu, \infty$, folglich

$$\cos = \frac{\nu \nu, a^2 - \mu \mu, b^2}{\sqrt{a^2 b^2 + \mu^2 b^2 + \nu^2 a^2} \sqrt{\mu,^2 b^2 + \nu,^2 a^2}}.$$

In dieser Formel bezeichnet \cos denselben Winkel, wie oben tg ; μ , entspricht m und ν , der ν . Nur dürfen wir bei der Anwendung nicht die Zonenpunkte, sondern die Sectionslinien in's Auge fassen.

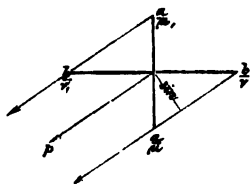
Zweigliedriges System.

$$\text{tg} = ab \sqrt{m^2 n^2 + n^2 a^2 + m^2 b^2} : \mu \mu b^2 - \nu \nu a^2$$

Daraus lassen sich mit Leichtigkeit die besondern Formeln ableiten. Für die Kantenzone ist $n = m$, folglich $\text{tg} = ab \sqrt{m^2 + a^2 + b^2} : \mu b^2 - \nu a^2$

$$\left. \begin{array}{l} \text{Okttaeder} \\ \frac{a}{\mu} : \frac{b}{\nu} \end{array} \right\} \begin{array}{l} \text{vordere Endkante} \quad \text{tg} = b \sqrt{\mu^2 + a^2} : \nu a \quad (m = \mu, n = \infty); \\ \text{seitliche Endkante} \quad \text{tg}, = a \sqrt{\nu^2 + b^2} : \mu b \quad (m = \infty, n = \nu); \\ \text{Seitenkante} \quad \text{tg}_0 = \sqrt{\nu^2 a^2 + \mu^2 b^2} : ab \quad (m = \mu_0, n = \nu_0). \end{array}$$

Für die Neigung der Fläche $\frac{a}{\mu} : \frac{b}{\nu}$ gegen Axe c bildet das Perpendikel auf die Sectionslinie den \sin , während Axe c = $\cos = 1$. Aus der Ähnlichkeit der rechtwinkligen Dreiecke folgt so gleich



$$\sin : \cos = \frac{a}{\mu} : \frac{b}{\nu} : \sqrt{\frac{a^2}{\mu^2} + \frac{b^2}{\nu^2}}$$

= $ab : \sqrt{\nu^2 a^2 + \mu^2 b^2} = \text{tg}$. Da die Neigung zur Axe den halben Seitenkantenwinkel zu 90° ergänzt, so ist $\text{tg}_0 = \sqrt{\nu^2 a^2 + \mu^2 b^2} : ab$.

Aenformel: Oктаeder $a:b:c$ hat

vord. Endf. $tg = \frac{b}{a} \sqrt{a^2 + 1}$; seitl. Endf. $tg_s = \frac{a}{b} \sqrt{b^2 + 1}$; Seitenfante

$$tgo = \sqrt{\frac{1}{a^2} + \frac{1}{b^2}}.$$

Aus je zweien können wir die Aen a und b bestimmen, wir bekommen:

$$a = \sqrt{\frac{tg^2 tg_s^2 - 1}{tg^2 + 1}} = \sqrt{\frac{tg^2 + 1}{tg^2 tgo^2 - 1}} = \sqrt{\frac{tg_s^2 + 1}{tgo^2 + 1}}$$

$$b = \sqrt{\frac{tg_s^2 tg^2 - 1}{tg_s^2 + 1}} = \sqrt{\frac{tg_s^2 + 1}{tg_s^2 tgo^2 - 1}} = \sqrt{\frac{tg^2 + 1}{tg^2 tgo^2 - 1}}.$$

Beispiel. Schwefel. Nach Mitscherlich (Abh. Berl. Akad. 1822. pg. 45) ist am zweigliedrigen Schwefel die vordere Endfante $106 \cdot 38$ ($tg = tg 53 \cdot 19$), die seitliche Endfante $84 \cdot 58$ ($tg_s = tg 42 \cdot 29$), die Seitenfante $143 \cdot 16$ ($tgo = tg 71 \cdot 38$).

$tg^2 = 0,25577 \dots$ num $1,8021$, $tg^2 tg_s^2 = 0,17937 \dots$ num. $1,5114$
 $tg_s^2 = 9,92360 \dots$ — $0,8387$, $tg^2 tgo^2 = 1,21347 \dots$ — $16,348$
 $tgo^2 = 0,95770 \dots$ — $9,0719$, $tg_s^2 tgo^2 = 0,88130 \dots$ — $7,6084$.
 Dieß in die Formeln gesetzt gibt $la = 9,63064$ und $lb = 9,72213$.
 Mitscherlich hat den dritten Winkel aus zweien berechnet; würde man den dritten zur Kontrolle messen und nach allen dreien berechnen, so kämen bessere Durchschnittswerthe.

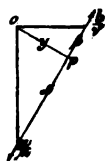
Aenschnitte. Sind von einer Oктаederfläche zwei Winkel bekannt: $tg = b \sqrt{\mu^2 + a^2}$: νa und $tg_s = a \sqrt{\nu^2 + b^2}$: μb , so findet sich durch einfache Elimination

$$\mu = a \sqrt{\frac{1 + tg^2}{tg^2 tg_s^2 - 1}} \text{ und } \nu = b \sqrt{\frac{1 + tg_s^2}{tg_s^2 tg^2 - 1}}.$$

Sie können aus den Aenformeln abgelesen werden. Beim Oктаeder s des Schwefels messen die Endfanten vorn $127 \cdot 30$ und seitlich $113 \cdot 11$. $tg 63 \cdot 45$ und $tg_s 56 \cdot 35$ geben $\mu = \nu = 0,33 = \frac{1}{3}$, also $s = 3a : 3a : c$. Gewöhnlich kennt man eine Zone, dann braucht nur 1 Winkel gemessen zu werden: z. B. ω Schwefel liegt in der Zone $b : c$, hat also $\nu = 1$; ω macht mit der Geradenfläche $c 116^\circ$, also die halbe Seitenfante 64° . Nach $tg_0 64^\circ = \sqrt{\nu^2 a^2 + \mu^2 b^2}$: ab , wird $\nu = 1$ und $\mu = \frac{a}{b} \sqrt{b^2 tg_0^2 64 - 1} = 0,333 \dots$, $\omega = b : c : 3a$. Uebrigens bietet die Projection mittelst sphärischer Dreiecke so viel Hilfsmittel, daß ich mich dabei nicht aufhalten will.

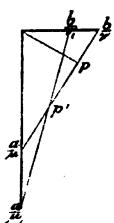
Die ebenen Winkel lassen sich meistens von der Projection unmittelbar ablesen, da sie alle im Scheitelpunkte liegen. Hätte ich eine Fläche

$\frac{a}{\mu} : \frac{b}{\nu}$, und suchte den Winkel der Ebene im Scheitelpunkte c ,
 so fälle das Perpendikel op , welches den Winkel in zwei α und β
 correspondirende Theile zerlegt. $y = \frac{a}{\mu} \cdot \frac{b}{\nu} : \sqrt{\frac{a^2}{\mu^2} + \frac{b^2}{\nu^2}}$.



Setzen wir $\alpha + \beta = \sqrt{\frac{a^2}{\mu^2} + \frac{b^2}{\nu^2}} = l$, so ist $\cos = \sqrt{y^2 + 1} = \cos$
 $= \sqrt{\frac{a^2 b^2}{\mu^2 \nu^2 l^2} + 1}$. Nun verhält sich $\alpha : \beta = \frac{a^2}{\mu^2} : \frac{b^2}{\nu^2}$, oder
 $\alpha + \beta : \frac{a^2}{\mu^2} + \frac{b^2}{\nu^2} = \alpha : \frac{a^2}{\mu^2}$, $l : l^2 = \alpha : \frac{a^2}{\mu^2}$, $\alpha = \frac{a^2}{\mu^2 l}$, $\beta = \frac{b^2}{\nu^2 l}$; α und
 β sind aber die sin. des getheilten ebenen Winkels. Der cos ist allen ebenen
Winkeln auf der Sectionslinie $\frac{\alpha}{\mu} : \frac{\beta}{\nu}$ gemein.

Alle Stücke zwischen zwei Zonenpunkten sind rationale
Multipla oder Submultipla von l . Ist wieder $\frac{a}{\mu} : \frac{b}{\nu}$ gegeben,
und wird diese von $\frac{a}{\mu} : \frac{b}{\nu}$ in p , geschnitten, so ist nach der Zonenpunkt-
formel $p = \frac{\nu, -\nu}{\mu\nu, -\mu, \nu} a, \frac{\mu - \mu,}{\mu\nu, -\mu, \nu} b$. Es ist aber das Stück



$$p \dots \frac{a}{\mu} = \sqrt{\left(\frac{1}{\mu} - \frac{\nu, -\nu}{\mu\nu, -\mu, \nu}\right)^2 a^2 + \left(\frac{\mu - \mu,}{\mu\nu, -\mu, \nu} b\right)^2}$$

$$= \frac{\nu(\mu - \mu,)}{\mu\nu, -\mu, \nu} \sqrt{\frac{a^2}{\mu^2} + \frac{b^2}{\nu^2}} = \frac{\nu(\mu - \mu,)}{\mu\nu, -\mu, \nu} l.$$

Da der Faktor von l aus lauter rationalen Zahlen μ, μ, ν, ν ,
besteht, so ist der Satz bewiesen.

Beispiel. Feldspath $a : b = \sqrt{\frac{1}{3}} : \sqrt{13}$. Wir suchen den ebenen
Winkel der Rhombenfläche o , welcher zwischen x und P liegt. Die Basis
des Winkels geht also von a' bis zum ersten Kantenzonenpunkte P/T . Da
 $o = a' : \frac{1}{2} b$, so ist $\mu = 1$, $\nu = 2$, folglich

$$l = \sqrt{a^2 + \frac{1}{4} b^2} = \sqrt{\frac{91}{12}}, \text{ und } \cos = \sqrt{\frac{a^2 b^2}{\mu^2 \nu^2 l^2} + 1} = \sqrt{\frac{13^2}{91} + 1}$$

$$= \sqrt{\frac{13}{7} + 1} = \sqrt{\frac{20}{7}}. \text{ Neben } a' \text{ liegt } \alpha = \frac{a^2}{\mu^2 l} = \frac{1}{3} \sqrt{\frac{1}{3}} = \sqrt{\frac{1}{21}},$$

und neben $\frac{1}{2} b$ liegt $\beta = \frac{b^2}{\nu^2 l} = \frac{13 \sqrt{12}}{4 \sqrt{91}} = \sqrt{\frac{5}{21}}$. Zu diesem zweiten sin. gehört
aber noch das Stück zwischen $\frac{1}{2} b$ und Zonenpunkt PT , welches gleich l ist,
das gibt $\beta + l = \sqrt{\frac{5}{21}} + \sqrt{\frac{91}{12}} = \frac{5 \sqrt{13}}{\sqrt{21}}$, folglich

$$\sin \alpha : \cos = \text{tg} = \sqrt{\frac{1}{21}} : \sqrt{\frac{20}{7}} = \sqrt{\frac{1}{14}} \dots \text{Winkel } 42 \cdot 57;$$

$$\sin(\beta + l) : \cos = \text{tg} = \frac{5 \sqrt{13}}{\sqrt{21}} : \sqrt{\frac{20}{7}} = \sqrt{\frac{5}{2}} \dots \text{Winkel } 66 \cdot 45;$$

gibt den Rhombus $109^\circ 42'$, fast wie beim Granatoeder.

Durch die Zerlegung in zwei Winkel wird die Sache etwas weitläufig.
Daher kann man auch direkt das Dreieck $a' \cdot c \cdot P/T$ der Rechnung zu Grunde
legen. Denn sind in einem Dreiecke ABC die drei Seiten bekannt, so ist

der gesuchte Winkel $\cos \alpha = \frac{A^2 + B^2 - C^2}{2AB}$. $A = a'c = \sqrt{1 + \frac{1}{4}}$, $B = c \cdot P/T = \sqrt{1 + 13 + \frac{1}{4}}$, $C = a' \cdot P/T = \sqrt{4a^2 + b^2} = \sqrt{4 \cdot \frac{1}{4} + 13}$.
 Woraus $\cos \alpha = -\sqrt{\frac{1}{4}}$ folgt. Da die unmittelbare Anschauung der Figur genügt, so gewähren allgemeine Formeln keinen Nutzen.

Viergliedriges System.

$$\operatorname{tg} = \frac{\sqrt{m^2 n^2 + (m^2 + n^2) a^2}}{m\mu - n\nu},$$

denn wir dürfen in der zweigliedrigen Kantenwinkelformel nur $a = b$ setzen.

$$a^2 = \frac{\operatorname{tg}^2 (m\mu - n\nu)^2 - m^2 n^2}{m^2 + n^2}.$$

Kantenzone: $\operatorname{tg} = \frac{\sqrt{m^2 + 2a^2}}{m - \nu}$, weil $n = m$ wird.

$$\left. \begin{array}{l} \text{Oktaeder} \\ \frac{a}{\mu} : \frac{a}{\mu} \end{array} \right\} \begin{array}{l} \text{Endkante} \quad \operatorname{tg} = \frac{1}{\mu} \sqrt{\mu^2 + a^2} \\ \text{Seitenkante} \quad \operatorname{tgo} = \frac{\mu \sqrt{2}}{a} \end{array}$$

denn ich darf nur für die Endkante $\mu = \nu = m$, und $n = \infty$ setzen; für die Seitenkante dagegen $\mu = m = n$, und $\mu = \mu$, $\nu = -\mu$. Uebrigens folgt es unmittelbar aus der Formel der Seitenkante im zweigliedrigen System pag. 54, wenn man $\mu = \nu$ und $a = b$ setzt.

Oktaeder $a : a$ hat

$$\operatorname{tg} = \sqrt{1 + a^2}, \quad a = \sqrt{\operatorname{tg}^2 - 1}; \quad \operatorname{tgo} = \frac{\sqrt{2}}{a}, \quad a = \frac{\sqrt{2}}{\operatorname{tgo}}.$$

$$\left. \begin{array}{l} \text{Oktaeder} \\ \frac{a}{\mu} : \infty a \end{array} \right\} \begin{array}{l} \text{Endkante} \quad \operatorname{tg} = \frac{1}{\mu} \sqrt{\mu^2 + 2a^2}; \quad a^2 = \frac{\mu^2 (\operatorname{tg}^2 - 1)}{2} \\ \text{Seitenkante} \quad \operatorname{tgo} = \frac{\mu}{a}; \quad a = \frac{\mu}{\operatorname{tgo}}. \end{array}$$

Denn ich darf für die Endkante nur $m = n = \mu$ und $\mu = \mu$, $\nu = 0$ setzen.

Das erste stumpfere Oktaeder $a : \infty a$ hat $\operatorname{tg} = \sqrt{1 + 2a^2}$ u. $\operatorname{tgo} = \frac{1}{a}$.

Neigung der Fläche $\frac{a}{\mu} : \frac{a}{\nu}$ gegen die Axe c ist $\operatorname{tg} = a : \sqrt{\mu^2 + \nu^2}$,

denn ich darf nur $m = \mu \cdot 0$ und $n = -\nu \cdot 0$ setzen.

Beispiel. Birton nach Phillips $84^\circ 20'$ in den Seitenkanten des Oktaeders, daher $a = \sqrt{2 \cotg 42 \cdot 10} = 1,561$. Der Endkantenwinkel wird $123^\circ 15'$ angegeben, darnach $a = \sqrt{\operatorname{tg}^2 61 \cdot 37 \frac{1}{2} - 1} = 1,588$. Nimmt man von beiden Axen das Mittel, so ist $a = 1,559$. Nach dem ersten a würde der Endkantenwinkel $123^\circ 19'$ betragen, also um $4'$ größer sein.

$$\cos \omega = -\frac{a^2 + \mu\mu + \nu\nu}{\sqrt{a^2 + \mu^2 + \nu^2} \sqrt{a^2 + \mu^2 + \nu^2}} : \text{für Oktaeder Endkante}$$

$$a : c \text{ ist } \mu = \nu = \mu, = 1, \nu = -1, \text{ gibt } \cos \omega = -\frac{a^2}{a^2 + 2}, \quad a^2 = -\frac{2 \cos \omega}{1 + \cos \omega}$$

$= -\frac{\cos \omega}{\cos \frac{1}{2}\omega^2}$; für Seitenkante $a : a$ ist $\mu = \nu = 1$, $\mu = \nu = -1$, gibt $\cos \omega = \frac{2-a^2}{2+a^2}$, halbe Endkante $\cos \frac{1}{2}\omega = \sqrt{\frac{1}{a^2+2}}$ und halbe Seitenkante $\cos \frac{1}{2}\omega_0 = \sqrt{\frac{2}{a^2+2}}$; ergibt sich sofort aus den 2gliedrigen Formeln, wenn man $b = a$ setzt.

Reguläres System.

$$\operatorname{tg} = \sqrt{m^2n^2 + m^2 + n^2} : m\mu - n\nu,$$

denn wir dürfen nur in der zweigliedrigen Winkelformel $a = b = 1$ setzen. Eine Axe ist hier nicht mehr zu bestimmen.

Axenpunkte $\operatorname{tg} = \sqrt{m^2+1} : \nu$, denn $m = \mu$ und $n = \infty$ zu setzen.

Rantenzone $\operatorname{tg} = \sqrt{m^2+2} : \mu - \nu$, denn $m = n$ zu setzen.

Für die Granatoederkantenzone $m = 1$, folglich $\operatorname{tg} = \sqrt{3} : \mu - \nu$. Für die Granatoederkante selbst $\mu = 1$ und $\nu = 0$, folglich $\operatorname{tg} = \sqrt{3} = 60^\circ$.

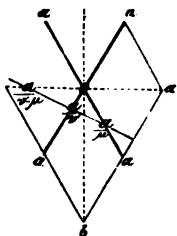
Für die Neigung der Flächen gegen die Axenebene ist $\operatorname{tg} = \frac{1}{\nu} \sqrt{\mu^2+1}$, denn $m = \mu$, und $n = \infty$. Für das Oktaeder, darin $\mu = \nu = 1$, gibt $\operatorname{tg} = \sqrt{2} = 54^\circ 44'$.

$\cos = -\frac{1+\mu\mu+\nu\nu}{\sqrt{1+\mu^2+\nu^2} \sqrt{1+\mu^2+\nu^2}}$. Die Rechnungen werden auch hiermit elegant: Oktaeder $\mu = \nu = 1$, $\nu = -1$ gibt $\cos = -\frac{1}{2}$; Granatoeder $\mu = \nu = 1$, $\mu = \nu = 0$ gibt $\cos = -\frac{1}{2}$; Leucitoeder $\mu = \nu = \frac{1}{2}$, $\nu = -\frac{1}{2}$ gibt $\cos = -\frac{1}{2}$. Halber Oktaederwinkel $\cos \frac{1}{2}\omega = \sqrt{0,333}$; halber Granatoederwinkel $\cos \frac{1}{2}\omega = \frac{1}{2}$.

Dreieindeiniges System.

$$\operatorname{tg} = \sqrt{3} \sqrt{m^2n^2 + (3m^2 + n^2)a_2} : 3m\mu - n\nu.$$

Es sei uns ein Axentkreuz aa gegeben, das sich unter 60° schneidet, construire ich dazu durch Parallelogramme die Rantenzone ob und oa , so wird die Rantenzone oa im stumpfen Winkel gleich der Axe a sein, im scharfen Winkel dagegen ist $ob = b = a\sqrt{3}$. Ziehe ich nun eine beliebige $\frac{a}{\mu} : \frac{a}{\nu}$, so muß diese nach dem Rantenzone-



gesetz die dritte a des stumpfen Winkels in $\frac{a}{\nu - \mu}$ schneiden, die zwischenliegende b im scharfen Winkel in

$\frac{b}{\mu + \nu}$. Das Zeichnen der Linie ist also $\frac{a}{\mu} : \frac{a}{\nu} : \frac{a}{\nu - \mu}$, und da ich nun zwischen je zwei a eine Zwischenaxe b , also im Ganzen dreimal, legen kann, so werde ich die Schnitte in b durch einfache Addition der Nenner von a

finden. Zwischen $\frac{a}{\nu}$ und $\frac{a}{\nu-\mu}$ liegt $\frac{b}{2\nu-\mu}$, zwischen $\frac{a}{\nu-\mu}$ und $\frac{a}{\mu}$ liegt $\frac{b}{\nu-2\mu}$,

die hier jenseits $\frac{a}{\mu}$ fällt. Das vollständige Zeichen der Linie ist also

$$\frac{a}{\mu} : \frac{b}{\mu+\nu} : \frac{a}{\nu} : \frac{b}{2\nu-\mu} : \frac{a}{\nu-\mu} : \frac{b}{\nu-2\mu}.$$

Bei der Rechnung haben wir nur eines der b mit einem der a auszuzeichnen, die aber wie die punktierten Linien unserer Figur auf einander senkrecht stehen müssen. Die allgemeine Linie in unserem Fall ist also durch das Zeichen

$\frac{a}{\nu-\mu} : \frac{b}{\mu+\nu}$ gegeben. Wollen wir mit diesem Zeichen rechnen, so ist in der

zweigliedrigen Kantenwinkelformel $b = a\sqrt{3}$ zu setzen, woraus obige hervorgeht. Hauptsache bei allen solchen Betrachtungen bleibt immer, daß man sich eine gute Projectionsfigur mache. Für unsere gewählten rechtwinkligen Axen bilden alsdann die zwischenliegenden a die Kantenzone, will ich aber ihren Schnitt nach dem Kantenzonengesetz finden, so muß ich den gefundenen Ausdruck mit 2 multipliciren, um ihn auf die Axe beziehen zu können:

z. B. die Axe zwischen $\frac{a}{\nu-\mu}$ und $\frac{b}{\mu+\nu}$ hätte nach dem Kantenzonengesetz $\frac{a}{2\nu}$, auf die Axe a bezogen aber $2 \cdot \frac{a}{2\nu} = \frac{a}{\nu}$.

$$\text{Rhomboceder} \left\{ \begin{array}{l} \text{Endkante } \text{tg} = \sqrt{\frac{1}{3} + \frac{a^2}{\mu^2}}, \quad a = \mu \sqrt{\text{tg}^2 - \frac{1}{3}} \\ \frac{a}{\mu} : \frac{a}{\mu} : \infty a \quad \text{Neigung gegen die Axe } \text{tg}_0 = \frac{a}{\mu} \sqrt{\frac{3}{4}}. \end{array} \right.$$

Bei der Rechnung wählen wir am geschicktesten immer diejenige Rhombocederkante, welche in der Axe b liegt, für diese ist aber $m = \infty$, $n = \mu$.

Da nun ferner eine Rhombocederfläche

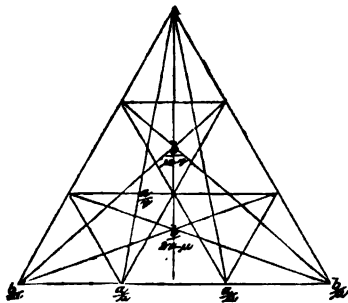
$\frac{a}{\mu} : \frac{a}{\mu} : \infty a$ die Axe b ebenfalls in $\frac{b}{\mu}$

schneiden muß, ihr Zeichen auf recht-

winklige Axen bezogen also $\frac{a}{\mu} : \frac{b}{\mu}$ wird,

so ist $\nu = \mu$ zu setzen, woraus die End-

kantenformel folgt. Für die Neigung gegen Axe c ist $\sin = \frac{b}{2\mu}$ und $\cos = 1$.



Beispiel. Bitterspath von Snarum (MgC) mißt $107^\circ 28'$ in der Endkante, folglich (bei $\mu = 1$) $a = \sqrt{\text{tg}^2 53^\circ 44' - \frac{1}{3}} = \sqrt{1,5244} = 1,235$. Für die Neigung gegen die Axe $\text{tg}_0 = a \sqrt{\frac{3}{4}} = 46^\circ 55'$.

$$\text{Dihexaeder} \quad \left\{ \begin{array}{l} \text{Endkante} \quad \text{tg} = \sqrt{3} \sqrt{1 + \frac{a^2}{\mu^2}}; \quad a = \mu \sqrt{\frac{1}{3} \text{tg}^2 - 1}. \\ \frac{a}{\mu} : \frac{a}{\mu} : \infty a \\ \text{Seitenkante} \quad \text{tgo} = \frac{\mu}{a} \sqrt{\frac{4}{3}}; \quad a = \frac{\mu}{\text{tgo}} \sqrt{\frac{4}{3}}. \end{array} \right.$$

Da eine Endkante in dem Axenpunkte $\frac{a}{\mu}$ liegen muß, so ist für diese $m = \mu$, $n = \infty$ und $\mu = \nu$. Die Seitenkante ergänzt die Neigung zur Axe c zu 90° .

Beispiel. Das Quarzdihexaeder hat nach Kupfer in der Seitenkante $103^\circ 35'$ in der Endkante $133^\circ 44'$, folglich (für $\mu = 1$)

$$a = \frac{2}{\text{tgo} 51^\circ 47\frac{1}{2}'} \sqrt{\frac{2}{3}}; \text{tg} \frac{2}{\sqrt{3}} = 0,06247, \quad a = 0,9089 = \sqrt{0,8262}.$$

$$\text{Gibt } \text{tg} = \sqrt{3} \sqrt{1,8262} = 66^\circ 52'.$$

$$\text{Dreikantner} \quad \left\{ \begin{array}{l} \text{stumpfe Endf. } \text{tg} = \frac{1}{\mu} \sqrt{\frac{1}{3} (2\nu - \mu)^2 + a^2}. \\ \frac{a}{\mu} : \frac{a}{\nu} : \frac{a}{\nu - \mu} \\ \text{scharfe Endf. } \text{tg} = \frac{1}{\nu - \mu} \sqrt{\frac{1}{3} (\mu + \nu)^2 + a^2}. \\ \frac{b}{\mu + \nu} : \frac{b}{2\nu - \mu} : \frac{b}{\nu - 2\mu} \\ \text{Seitenkante } \text{ctgo} = \frac{1}{\nu} \sqrt{\frac{1}{3} (\nu - 2\mu)^2 + a^2}. \end{array} \right.$$

Zu dem Ende projectiren wir den Dreikantner, so liegen die dreierlei Winkel in der Axe b . Die stumpfe Endkante tg dem Projectionsmittelpunkte am nächsten liegend hat $m = \infty$, $n = \nu = 2\nu - \mu$; die scharfe Endkante tg , vom Mittelpunkte etwas entfernter hat $m = \infty$, $n = \nu = \mu + \nu$ und $\mu = \nu - \mu$; endlich die entfernteste scharfe tgo hat $m = \infty$, $n = \nu = \nu - 2\mu$ und $\mu = \nu$, doch finde ich durch diese Formel die Neigung der Fläche zur Hauptaxe, welche das Complement zum halben Seitenkantenwinkel bildet, daher cotg .

Beispiel. Kalkspath $a = \sqrt{1,3702}$. Suchen wir die Winkel des gewöhnlichen Dreikantner $c : a : \frac{1}{2} a$, so ist $\mu = 1$, $\nu = 3$, $\nu - \mu = 2$, $\mu + \nu = 4$, $2\nu - \mu = 5$, $\nu - 2\mu = 1$, folglich

$$\text{tg} = \sqrt{\frac{1}{3} \cdot 5^2 + a^2} = \sqrt{9,7035}, \quad \text{lg } \text{tg} = 0,49346 \dots 72^\circ 12'.$$

$$\text{tg} = \frac{1}{2} \sqrt{\frac{1}{3} \cdot 4^2 + a^2} = \sqrt{1,6759}, \quad \text{lg } \text{tg}_1 = 0,11212 \dots 52^\circ 19'.$$

$$\text{ctgo} = \frac{1}{1} \sqrt{\frac{1}{3} + a^2} = \sqrt{0,1893}, \quad \text{lg } \text{ctgo} = 9,63857 \dots 66^\circ 30'.$$

Die ebenen Winkel findet man mittelst der Projection ohne Mühe.

Für die Rhomboeder $\frac{a}{\mu} : \frac{a}{\mu} : \infty a$ beträgt der halbe Winkel an der Enddecke

$$\text{tg} = 3a : \sqrt{4\mu^2 + 3a^2}. \quad \text{Gibt für das Kalkspathrhomboeder}$$

$$\text{tg} = 3a : \sqrt{4 + 3a^2} \dots 50^\circ 52\frac{1}{2}'.$$

$$\cos \omega = - \frac{3a_2 + 3\mu\mu + \nu\nu}{\sqrt{3a^2 + 3\mu^2 + \nu^2} \sqrt{3a^2 + 3\mu^2 + \nu^2}}$$

gibt für Rhomboeder-

$$\text{fanten } (\mu = \nu = \nu, = 1, \mu, = -1) \cos \omega = \frac{2 - 3a^2}{4 + 3a^2}; \quad \text{Dihexaederendkanten}$$

$$(\mu = \nu = \mu, = +1, \nu = -1) \cos \omega = -\frac{2+3a^2}{4+3a^2}; \text{ halbe Rhomboederendkante}$$

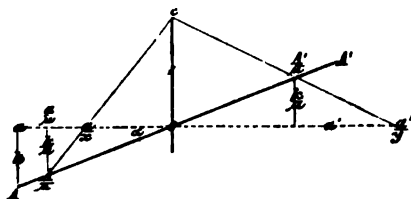
$$(\mu = \nu = 1, \mu = -\infty, \nu = 0) \cos \frac{1}{2} \omega = \sqrt{\frac{3}{3a^2+4}}; \text{ halbe Dihexaeder-}$$

$$\text{endkanten } (\mu = \nu = 1, \mu = 0, \nu = -\infty) \cos \frac{1}{2} \omega = \sqrt{\frac{1}{3a^2+4}}.$$

Zweigliedriges System.

$$\lg = ab \sqrt{n^2(m+k)^2 + n^2a^2 + m^2b^2} : m(\mu \pm k)b^2 - nva^2.$$

Da die Axe b auf c und A senkrecht steht, und bloß A gegen c sich schief neigt, so wollen wir die Arenebene Ac zu Papier bringen, worin oA und oA' die Einheiten der schiefen Axen bezeichnen, substituieren wir dafür eine andere



Areneinheit oa und oa', welche rechtwinklig gegen c steht, so möge eine beliebige Zonenaxe c $\frac{A}{\mu}$ die rechtwinklige a in $\frac{a}{x}$ schneiden. Setzen wir nun die senkrechte Abweichung Aa = k und Winkel A/a = α , so ist $k = A \cdot \sin \alpha$. Ferner verhält sich

$$1 : \frac{k}{\mu} = \frac{a}{x} : \frac{a}{\mu} - \frac{a}{x} \text{ oder } 1 + \frac{k}{\mu} : \frac{a}{\mu} = 1 : \frac{a}{x}, \frac{a}{x} = \frac{a}{\mu+k} \text{ und hinten}$$

$\frac{a'}{y} = \frac{a'}{\mu-k}$. Eine beliebige Fläche $\frac{A}{\mu} : \frac{b}{\nu}$ hat also den neuen Ausdruck $\frac{a}{\mu+k} : \frac{b}{\nu}$ und $\frac{A'}{\mu} : \frac{b}{\nu}$ den Ausdruck $\frac{a'}{\mu-k} : \frac{b}{\nu}$. Wenn man aber das Zeichen für rechtwinklige Axen hat, so könnte man mit der Kantenwinkelformel des zweigliedrigen Systems rechnen.

Beispiel. Feldspath pag. 45. Suchen wir den Winkel o/T, so ist $o = \frac{a'}{1-k} : \frac{b}{2}$, folglich nach dem Kantenzonengesetz die erste Kantenzone o/T = $\frac{a}{2-(1-k)} = \frac{a}{1+k}$, also $m=n=1+k$, $\mu = -(1-k) = k-1$, $\nu = 2$, dieß in die zweigliedrige Kantenwinkelformel gesetzt, gibt

$$\lg = ab \sqrt{(1+k)^2 + a^2 + b^2} : (k-1)b^2 - 2a^2.$$

Suchten wir in der Diagonalzone von P den Winkel M/n, so wäre $n = \frac{a}{1+k} : \frac{b}{4}$, also $m = 1+k$, $n = \infty$, $\mu = 1+k$, $\nu = 4$, folglich

$$\lg = \frac{b}{4a} \sqrt{(1+k)^2 + a^2}.$$

Für den Anfänger ist dieß der unmittelbarste Weg zum Ziele, einfacher wird es jedoch, wenn man sich gleich die allgemeine Formel hinstellt.

für $m = 1$ haben wir die erste Rantenzone; für den Winkel o/T ist dann $\mu = -1$ und $\nu = 2$, folglich wie oben

$$\operatorname{tg} = ab \sqrt{(1+k)^2 + a^2 + b^2} : (k-1)b^2 - 2a^2.$$

Wir müssen von $m+k$ das Zeichen $+$ wählen, weil der Zonenpunkt vorn liegt. Für P/T wird $\mu = 1$, $\nu = 0$, folglich

$$\operatorname{tg} = a \sqrt{(1+k)^2 + a^2 + b^2} : (1+k)b.$$

Für die Diagonalzonen $\frac{A}{m}, \frac{b}{\infty}$ der Schiefendflächen ist $m = \mu$,

und $n = \infty$, folglich $\operatorname{tg} = b \sqrt{(\mu+k)^2 + a^2} : \nu a$.

Beispiel. Feldspath hat:

$$a : b : k = 2,128 : 3,598 : 0,04334 = \sqrt{4,529} : \sqrt{12,949} : \sqrt{0,001878};$$

$$\lg a = 0,32800, \lg b = 0,55612, \lg k = 8,63689.$$

Suchen wir den Winkel M/n , so ist $\mu = 1$, $\nu = 4$, folglich

$$\operatorname{tg} = b \sqrt{(1+k)^2 + a^2} : 4a = \frac{b}{4a} \sqrt{5,617} \text{ gibt } 45^\circ 3', \text{ n stumpft also die rechtwinklige Kante zwischen P/M fast gerade ab, indem sie mit P den Winkel } 180^\circ - 45^\circ 3' = 134^\circ 57' \text{ macht.}$$

Auf der Hinterseite ist für Winkel o/M $\mu = 1$, $\nu = 2$ zu setzen, und da hinten das Zeichen $-$ gilt, $\operatorname{tg} = b \sqrt{(1-k)^2 + a^2} : 2a$.

Die Zonenpunkte $\frac{A}{\infty}, \frac{b}{n}$ geben die Neigung der Flächen gegen die Axenebene bc , für sie ist $m = \infty$, $n = n$, also $\operatorname{tg} = a \sqrt{n^2 + b^2} : (\mu+k)b$.

Neigung gegen Axc hat $\operatorname{tg} = ab : \sqrt{(\mu+k)^2 b^2 + \nu^2 a^2}$. Denn habe ich eine allgemeine Sectionslinie $\frac{a}{\mu+k} : \frac{b}{\nu}$, so ist das Perpendikel vom

Mittelpunkt darauf gefällt $\sin = \frac{a}{\mu+k} \cdot \frac{b}{\nu} : \sqrt{\frac{a^2}{(\mu+k)^2} + \frac{b^2}{\nu^2}}$, und $\cos = c = 1$. Oder ich kann auch in der allgemeinen Formel des zweigliedrigen Systems $m = (\mu+k)o$, $n = \nu \cdot o$, $\mu = \mu+k$, $\nu = -\nu$ setzen. Für die Neigung der Schiefendflächen gegen Axc ist $\nu = 0$, folglich vorn $\operatorname{tg} = a : \mu+k$ und hinten $\operatorname{tg} = a' : \mu-k$.

Neigung von g/M ist $\operatorname{tg} = ab : \sqrt{k^2 b^2 + a^2}$. Denn da $g = b : \infty A = b : \frac{A}{0}$, so wird dies in der rechtwinkligen Projectionsebene $b : \frac{a}{o+k}$, und das Perpendikel vom Mittelpunkt auf diese Linie ist der \sin für $\cos = c = 1$.

Oder allgemein für eine Linie $\frac{b}{\nu} : \frac{a}{\mu+k}$ ist

$$\operatorname{tg} = ab : \sqrt{k^2 b^2 + \nu^2 a^2}.$$

Die Rechnung der Axenelemente a, b, k wird am einfachsten, wenn man den Säulenwinkel und die Winkel zweier Augitartigen Paare mißt. Hätten wir z. B. beim Feldspath den Säulenwinkel $T/T = 118^\circ 48'$, $n/n = 90^\circ 6'$ und $o/o = 126^\circ 14'$ gefunden, so heiße $\operatorname{tg} = \operatorname{tg} 59^\circ 24'$, $\operatorname{tg}_o = \operatorname{tg} 45^\circ 3'$ und $\operatorname{tg}_o = \operatorname{tg} 63^\circ 7'$. Nun ist aber

für $m = 1$ haben wir die erste Rantenzone; für den Winkel o/T ist dann $\mu = -1$ und $\nu = 2$, folglich wie oben

$$tg = ab \sqrt{(1+k)^2 + a^2 + b^2} : (k-1)b^2 - 2a^2.$$

Wir müssen von $m+k$ das Zeichen $+$ wählen, weil der Zonenpunkt vorn liegt. Für P/T wird $\mu = 1$, $\nu = 0$, folglich

$$tg = a \sqrt{(1+k)^2 + a^2 + b^2} : (1+k)b.$$

Für die Diagonalzonen $\frac{A}{m}, \frac{b}{\infty}$ der Schiefendflächen ist $m = \mu$,

und $n = \infty$, folglich $tg = b \sqrt{(\mu+k)^2 + a^2} : \nu a$.

Beispiel. Feldspath hat:

$$a : b : k = 2,128 : 3,598 : 0,04334 = \sqrt{4,529} : \sqrt{12,949} : \sqrt{0,001878};$$

$$lga = 0,32800, lgb = 0,55612, lgk = 8,63689.$$

Suchen wir den Winkel M/n , so ist $\mu = 1$, $\nu = 4$, folglich

$$tg = b \sqrt{(1+k)^2 + a^2} : 4a = \frac{b}{4a} \sqrt{5,617} \text{ gibt } 45^\circ 3', \text{ n stumpft also die rechtwinklige Kante zwischen P/M fast gerade ab, indem sie mit P den Winkel } 180^\circ - 45^\circ 3' = 134^\circ 57' \text{ macht.}$$

Auf der Hinterseite ist für Winkel o/M $\mu = 1$, $\nu = 2$ zu setzen, und da hinten das Zeichen $-$ gilt, $tg = b \sqrt{(1-k)^2 + a^2} : 2a$.

Die Zonenpunkte $\frac{A}{\infty}, \frac{b}{n}$ geben die Neigung der Flächen gegen die Axenebene bc , für sie ist $m = \infty$, $n = n$, also $tg = a \sqrt{n^2 + b^2} : (\mu+k)b$.

Neigung gegen Axc hat $tg = ab : \sqrt{(\mu+k)^2 b^2 + \nu^2 a^2}$. Denn habe ich eine allgemeine Sectionslinie $\frac{a}{\mu+k} : \frac{b}{\nu}$, so ist das Perpendikel vom

Mittelpunkt darauf gefällt $\sin = \frac{a}{\mu+k} \cdot \frac{b}{\nu} : \sqrt{\frac{a^2}{(\mu+k)^2} + \frac{b^2}{\nu^2}}$, und $\cos = c = 1$. Oder ich kann auch in der allgemeinen Formel des zweigliedrigen Systems $m = (\mu+k)o$, $n = \nu \cdot o$, $\mu = \mu+k$, $\nu = -\nu$ setzen. Für die Neigung der Schiefendflächen gegen Axc ist $\nu = 0$, folglich vorn $tg = a : \mu+k$ und hinten $tg = a' : \mu-k$.

Neigung von g/M ist $tg = ab : \sqrt{k^2 b^2 + a^2}$. Denn da $g = b : \infty A = b : \frac{A}{0}$, so wird dies in der rechtwinkligen Projectionsebene $b : \frac{a}{o+k}$, und das Perpendikel vom Mittelpunkt auf diese Linie ist der \sin für $\cos = c = 1$. Oder allgemein für eine Linie $\frac{b}{\nu} : \frac{a}{\mu+k}$ ist

$$tg = ab : \sqrt{k^2 b^2 + \nu^2 a^2}.$$

Die Rechnung der Axenelemente a, b, k wird am einfachsten, wenn man den Säulenwinkel und die Winkel zweier Augitartigen Paare mißt. Hätten wir z. B. beim Feldspath den Säulenwinkel $T/T = 118^\circ 48'$, $n/n = 90^\circ 6'$ und $o/o = 126^\circ 14'$ gefunden, so heiße $tg = tg 59^\circ 24'$, $tg = tg 45^\circ 3'$ und $tg_o = tg 63^\circ 7'$. Nun ist aber

Gebrauch. Nach den eingeschriebenen Buchstaben ist

$$\begin{aligned} A : \sin \varphi &= c : \sin (\omega + \varphi) \\ A' : \sin \varphi' &= c : \sin (\omega - \varphi') \end{aligned} \quad \left\{ \begin{aligned} \frac{\sin \varphi}{\sin (\omega + \varphi)} &= \frac{\sin \varphi'}{\sin (\omega - \varphi')} \end{aligned} \right.$$

oder

$\sin \varphi \cdot \sin \omega \cdot \cos \varphi' - \sin \varphi \cos \omega \cdot \sin \varphi' = \sin \varphi' \sin \omega \cdot \cos \varphi + \sin \varphi' \cos \omega \cdot \sin \varphi$
 $\sin \varphi \cdot \sin \omega \cdot \cos \varphi' - \sin \varphi' \cdot \sin \omega \cdot \cos \varphi = 2 \sin \varphi \cdot \sin \varphi' \cdot \cos \omega$. Der Satz bleibt derselbe, wenn man unter $\varphi \varphi'$ die Winkel gegen Axe AA' versteht.

In unserm Falle wird $\varphi = M = 63^\circ 53'$ und $\varphi' = M' = 65^\circ 47'$, folglich $\text{tg } \omega = 88^\circ 50'$. Da φ größer als φ' ; so liegt der stumpfe Winkel $\omega = 91^\circ 10'$ auf der Vorderseite. Die Abweichung von R beträgt also $\omega - 90^\circ = \alpha = 1^\circ 10'$. Jetzt verhält sich $A : \sin 63^\circ 53' = c : \sin 24^\circ 57'$ ($2R - (63^\circ 53' + 91^\circ 10')$), also $1A = 0,32809$, $a = A \cdot \cos 1^\circ 10' = 2,128$; $k = A \cdot \sin 1^\circ 10' = 0,0434$; $b = a \cdot \text{tg } 59^\circ 24' = 3,598$.

Die Basalformel läßt sich leicht verallgemeinern: nähmen wir vorn eine Fläche $c : \frac{a}{\mu}$ hinten $c : \frac{a'}{\mu'}$ so wäre $\text{tg } \omega = \frac{(\mu + \mu') \sin \varphi \cdot \sin \varphi'}{\mu \sin \varphi' \cdot \cos \varphi - \mu' \cos \varphi' \cdot \sin \varphi}$,
 $= \frac{\mu + \mu'}{\mu \cot \varphi - \mu' \cot \varphi'}$. Hätte man die Neigung der Schiefendfläche gegen

Axe A und A' respective φ und φ' gesetzt, so würde

$$\text{tg } \omega = \frac{(\mu + \mu') \sin \varphi \cdot \sin \varphi'}{\mu \sin \varphi' \cos \varphi - \mu' \cos \varphi' \sin \varphi} = \frac{\mu + \mu'}{\mu \cot \varphi - \mu' \cot \varphi'}$$

Für den Fall $\mu = \mu' = 1$ geht alles in die einfache Basalformel über.

$$\cos \omega = - \frac{a^2 b^2 + (\mu + k)^2 b^2 + \nu^2 a^2}{\sqrt{a^2 b^2 + (\mu + k)^2 b^2 + \nu^2 a^2} \sqrt{a^2 b^2 + (\mu + k)^2 b^2 + \nu^2 a^2}}$$

Für n Feldspath wird $\mu = \mu' = 1$, $\nu = 4$, $\nu' = -4$ gibt

$$\cos n/n = \frac{a^2 b^2 + (1+k)^2 b^2 - 16a^2}{a^2 b^2 + (1+k)^2 b^2 + 16a^2} = 89^\circ 53\frac{1}{4}'$$

Halbe Winkel liegen nur in der Medianebene, für diesen Fall ist $\mu = 0$, $\nu = \infty$ gibt

$$\cos \frac{1}{2} \omega = \frac{\nu a}{\sqrt{a^2 b^2 + (\mu + k)^2 b^2 + \nu^2 a^2}}$$

für Mn wird $\mu = 1$, $\nu = 4$ folgt

$$\cos M/n = \frac{4 a}{\sqrt{a^2 b^2 + (1+k)^2 b^2 + 16a^2}}$$

Das eingliedrige System kommt selten vor, auch scheint es nicht sonderlich praktisch, hier anders als mit trigonometrischen Formeln zu rechnen. Will man jedoch, so substituirt man am besten rechtwinklige Axen, indem man die Axenzeichen irrational macht, wie ich das in den Beiträgen zur rechnenden Krystallographie pag. 20 auseinandergesetzt habe.

Kurze Darstellung der Systeme.

Reguläres System.

Tessular-Syst. Werner (Tessela-Würfeln), Tesseral-System Naumann. Cubic S.

Gleichgliedriges, gleichaxiges, sphäroedrisches. Isometrisches Hausmann.

Holoedrie (Vollzähligkeit).

1) **Oktäeder** mit $109^{\circ} 28' 16''$ in den Kanten und gleichseitigen Dreiecken;

2) **Würfel** mit 90° in den Kanten und quadratischen Seiten;

3) **Granatoeder** mit 120° in den Kanten und Rhomben von $109^{\circ} 28' 16''$ wurden pag. 40 kennen gelehrt.

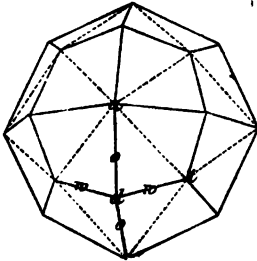
Setzen wir im Würfel die Hauptaxe von Mittelpunkt zu Mittelpunkt der Flächen d. h. die Kante = 1, so sind die sechs digonalen Axen zwischen den Mittelpunkten der Kanten = $\sqrt{2}$, und die vier trigonalen = $\sqrt{3}$. Im Oktäeder die Hauptaxen = 1, die digonalen zwischen den Mittelpunkten der Kanten = $\frac{1}{2}\sqrt{2}$, die trigonalen zwischen den Mittelpunkten der Flächen $\frac{1}{2}\sqrt{3}$. Im Granatoeder die Hauptaxen = 1, die digonalen zwischen den Mittelpunkten der Flächen = $\frac{1}{2}\sqrt{2}$, die trigonalen zwischen den dreikantigen Ecken = $\frac{1}{2}\sqrt{3}$.

4) **Leucitoeder** (Fosfitetraeder, Trapezoeder) $a : a : \frac{1}{2}a$ mit 12 Krystallräumen entsteht durch gerade Abstumpfung der Granatoederkanten. Man kann daher ein Granatoeder einschreiben, dessen Kanten den Längsdiagonalen entsprechen. Auf der Projection pag. 38 entsteht es durch Verbindung der Granatoederkanten (4) mit den Oktäederkanten (6). Die Flächen sind symmetrische Trapezoide (Deltoiden), welche durch die Granatoederkante halbiert werden. Die Kanten zweierlei: gebrochene Oktäederkanten o,

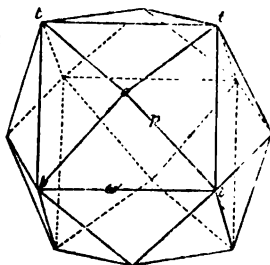
$131^{\circ} 48' 37''$, wie die Kanten des eingeschriebenen Oktäeders, und gebrochene Würfelkanten ω , $146^{\circ} 26' 34''$, wie die Kanten des eingeschriebenen Würfels liegend. Setzt man die Hauptaxen = 1, welche die vierkantigen Ecken verbinden, so sind die die 2-2kantigen Ecken verbindende digonalen = $\frac{2}{3}\sqrt{2}$, und die die dreikantigen Ecken verbindenden trigonalen Axen = $\frac{1}{2}\sqrt{3}$.

Es gibt, wiewohl seltener, auch Leucitoide $a : a : \frac{1}{2}a$, $a : a : \frac{1}{2}a$ 2c., sie haben die typische Form der Leucitoeder, aber andere Dimensionen. Das Leucitoide $a : a : \frac{1}{2}a$ kommt sehr ausgezeichnet beim Gold und Silber vor, die gebrochenen Oktäederkanten o $144^{\circ} 54'$, die gebrochenen Würfelkanten ω $129^{\circ} 31'$, letztern Winkel machen auch die in einer Oktäederecke sich gegenüber liegenden Flächen.

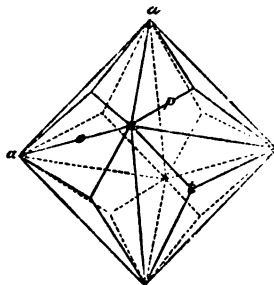
5) **Pyramidenwürfel** (Tetrakishezaeder) mit 12 Krystallräumen haben einen eingeschriebenen Würfel utt , auf dessen Flächen sich je eine vierseitige Pyramide mit gleichschenkligen Dreiecken erhebt: daher acht Würfel- ω und $4 \cdot 6$ Pyramidenkanten p ; ferner acht Würfel- t und 6 vierkantige Pyramiden-



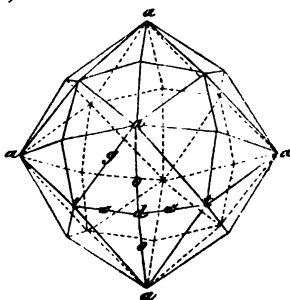
ecken a. Der gewöhnlichste Pyramidenwürfel $a : 2a : \infty a$ hat merkwürdiger Weise lauter gleiche Kantenwinkel von $143^\circ 7' 48''$, die Würfecken t bilden also eine dihexaedrische Ecke, und man kann ihn als vier Dihexaeder ansehen, die sich durchwachsen haben. Setzen wir die die Pyramidenecken a verbindende Hauptaxe = 1, so ist die die Mittelpunkte der Würfelkanten verbindende diagonale Axe = $\frac{2}{3}\sqrt{2}$, die die Würfecken verbindende trigonale Axe = $\frac{2}{3}\sqrt{3}$. Da die Hauptaxe die vierkantigen Endecken der Pyramiden miteinander verbindet, so beträgt die Höhe einer jeden Pyramide $\frac{1}{2}$. Der Pyramidenwürfel entsteht durch Zuschärfung der Würfelkanten. Der von $a : 2a : \infty a$ findet sich selbstständig beim Kupfer und Golde. Außerdem kommen noch vor mit $\frac{2}{3}a$, $\frac{5}{3}a$, $3a$, $5a$ u.



6) **Pyramidenoktaeder** (Triaiksoctaeder) mit 12 Krystalräumen haben ein eingeschriebenes Oktaeder aaa, auf dessen Flächen sich je eine dreiseitige Pyramide mit gleichschenkligen Dreiecken erhebt, daher 12 Oktaeder = o und $3 \cdot 8$ Pyramidenkanten p; ferner sechs 4+4kantige Oktaederecken a und acht dreikantige Pyramidenecken t. Man führt dreierlei an: $a : a : \frac{2}{3}a$, zu $2a$ und zu $3a$, sie kommen aber kaum anders als untergeordnet vor, indem sie die Oktaederkanten zuschärfen. Nehmen wir den mittlern $a : a : 2a$ als Musterform, so hat die Oktaederkante $141^\circ 3'$ und die Pyramidenkante $152^\circ 44'$. Setzen wir an ihr die die 4+4kantigen Oktaederecken verbindende Hauptaxe $a = 1$, so ist die die Mittelpunkte der Oktaederkanten o verbindende diagonale Axe = $\frac{1}{2}\sqrt{2}$, und die die Pyramidenecken t verbindende trigonale Axe = $\frac{2}{3}\sqrt{3}$. Da die trigonale Axe des Oktaeder = $\frac{1}{2}\sqrt{3}$ ist, so beträgt die Höhe der Pyramiden $\frac{1}{3}\sqrt{3}$.



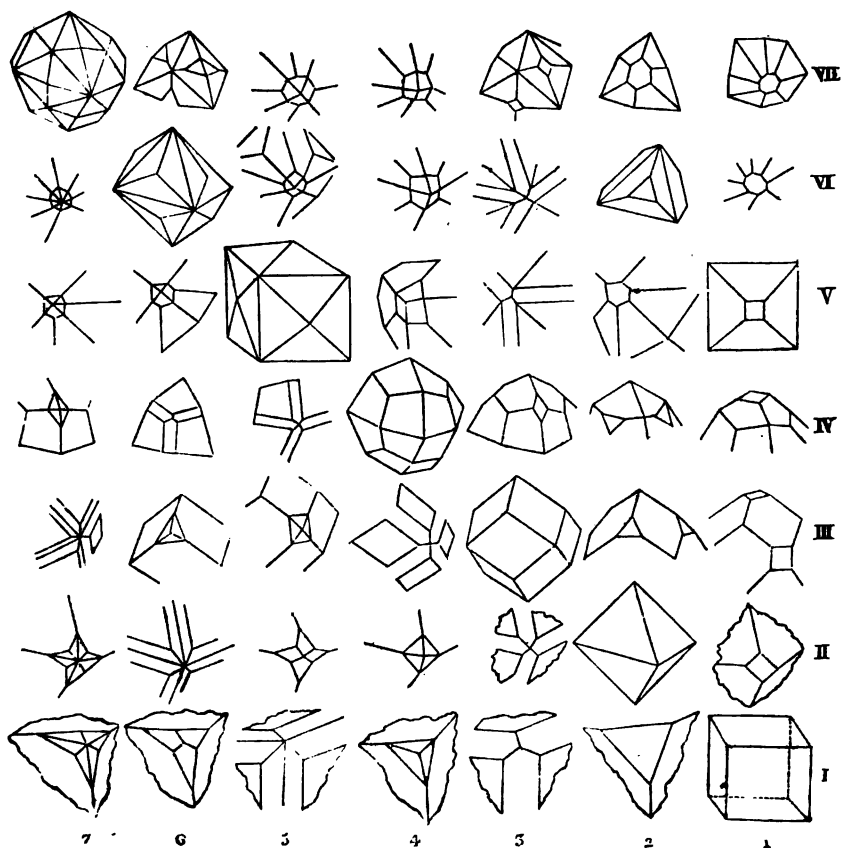
7) **Achtundvierzigflächner** (Hexakisoktaeder) mit 24 Krystalräumen werden von 48 ungleichseitigen Dreiecken begrenzt. Der gewöhnliche darunter ist das Pyramidengranatoeder $a : \frac{1}{2}a : \frac{1}{2}a$, was durch Zuschärfung der Granatoederkanten entsteht, es erhebt sich daher auf jeder Granatoederfläche atat eine 2+2kantige Pyramide von ungleichseitigen Dreiecken. Sie haben dreierlei Kanten: 24 Granatoederkanten g $158^\circ 13'$, dem eingeschriebenen Granatoeder angehörig; 24 gebrochene Oktaederkanten o 149° , und 24 gebrochene Würfelkanten ω $158^\circ 13'$. Es bilden also g und ω wiederum eine dihexaedrische Ecke. Die dreierlei Ecken sind: 4+4kantige Oktaederecken a, durch welche die Hauptaxen = 1 gehen; 2+2kantige Pyramidenecken d, in den diagonalen Axen = $\frac{2}{3}\sqrt{2}$, und 3+3kantige Würfecken t in den trigo-



nales $\Delta = \frac{1}{2} \sqrt{3}$. Es kommt noch ein zweites Pyramidengranatoeder $a : \frac{1}{2} : \frac{1}{2} a$ vor, die übrigen bilden keine Pyramidengranatoeder.

Die 48-Flächner mit dreierlei Ecken und dreierlei Kanten enthalten die größtmögliche Zahl von gleichen Flächen. Nennen wir die Hauptaxen a , die diagonalen d , und die trigonalen t , so liegen die 4+4kantigen Ecken in den Endpunkten von a , die 2+2kantigen von d und die 3+3kantigen von t . Die Granatoederkanten gehen von a nach t , die gebrochenen Oktaederkanten von a nach d , und die gebrochenen Würfelkanten von d nach t . Beim Pyramidenoktaeder fehlen die gebrochenen Würfelkanten dt und folglich die Ecken in d ; beim Pyramidenwürfel fehlen die gebrochenen Oktaederkanten ad und folglich auch die Ecken in d ; beim Leucitoeder fehlen die Granatoederkanten at , aber alle drei Ecken bleiben. Beim Granatoeder fehlen die gebrochenen Würfel- und Oktaederkanten ad und dt , folglich die Ecken in d ; beim Oktaeder fehlen die Granatoeder- und gebrochenen Würfelkanten, folglich die Ecken in d und t ; beim Würfel endlich fehlen die Granatoeder- und gebrochenen Oktaederkanten, folglich die Ecken in a und d . Ein anderer Fall ist nicht möglich.

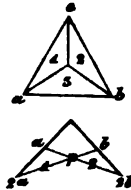
Die sieben Körper treten nun öfter aneinander untergeordnet auf. Das läßt sich am leichtesten in nachstehendem Schema von $7 \cdot 7 = 49$ Figuren übersehen, worin die sieben Körper die Diagonale bilden.



Gehen wir die untere Horizontalreihe I durch, so beginnt sie mit dem Würfel I. 1; dann kommt I. 2 Würfel mit Oктаeder, das die Ecken wie 1:1:1 abstumpft; dann I. 3 Würfel mit Granatoeder, was die Kanten wie 1:1:1 gerade abstumpft; dann I. 4 Würfel mit Leucitoeder, welches die Ecken wie 2:2:1 dreiflächig zuschärft, und zwar Fläche auf Fläche aufgesetzt; I. 5 Würfel mit Pyramidenwürfel, welcher die Kanten im Verhältniß 1:2 zweiflächig zuschärft; I. 6 Würfel mit Pyramidenoktaeder, welches die Ecken dreiflächig im Verhältniß 2:1:1 zuschärft, daher Fläche auf Kante aufgesetzt; endlich I. 7 Würfel mit Pyramidengranatoeder, welches die Ecken im Verhältniß $1:\frac{2}{3}:3$ sechsfächig zuschärft.

Nr. II. 1 ist Oктаeder mit Würfel, welcher die Oктаederecken wie 1:1:1 gerade abstumpft; II. 2 ist das Oктаeder selbst; II. 3 Oктаeder mit Granatoeder, welches die Kanten wie 1:1: ∞ gerade abstumpft u. In der Reihe III herrscht das Granatoeder, in IV das Leucitoeder, in V der Pyramidenwürfel, in VI das Pyramidenoktaeder, in VII das Pyramidengranatoeder. Außerdem kommt jeder Körper noch untergeordnet in einer der Vertikalreihen vor, in der er selbst liegt. Den Mittelpunkt nimmt das Leucitoeder IV. 4 ein, einzig unter allen dastehend.

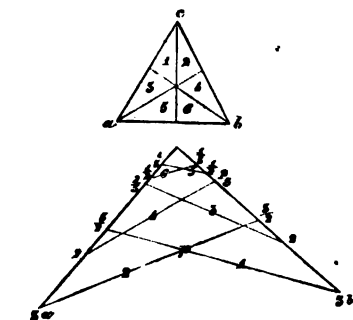
Wenn zwei Körper sich miteinander verbinden, so fallen ihre dreierlei Axen (a d t) zusammen; weitere Einsicht zu bekommen, muß man projeciren. Suchen wir VI. 4, wie das Leucitoeder $a:a:\frac{1}{2}a$ am Pyramidenoktaeder $a:a:2a$ auftritt. Wegen der Unterscheidung haben wir die drei gleichen Axen mit cba bezeichnet, c ist die aufrechte Axe. Wir brauchen nur einen Oktanten ins Auge zu fassen: die Fläche $1 = c:a:2b$ und $2 = c:b:2a$, beide müssen sich im Kantenzonepunkt $p = \frac{2}{3}$ schneiden, folglich würde eine Fläche $\frac{2}{3}a:\frac{2}{3}b:c$ die Kante p gerade abstumpfen. Nun geht aber die Leucitoederfläche von $c:2a:2b = \frac{2}{3}c:\frac{4}{3}a:\frac{4}{3}b$, folglich müssen die Pyramidenkanten des Pyramidenoktaeders vom Leucitoeder unter Kanten geschnitten werden, welche von der Axe t nach a divergiren. In IV. 6 stumpft ein Pyramidenoktaeder die gebrochene Würfelkante des Leucitoeders $a:a:\frac{1}{2}a$ ab, die Kante geht $c:\frac{1}{2}d (= \frac{1}{2+1})$, folglich hat das Pyramidenoktaeder $c:\frac{2}{3}a:\frac{2}{3}b = \frac{2}{3}a:a:a$, wie aus seiner Projection sogleich ersichtlich ist.



Projeciren wir das Pyramidengranatoeder VII. 7 = $a:\frac{1}{2}a:\frac{1}{2}a$, und unterscheiden wieder die Axen in abc, so ist

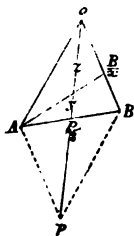
$$\begin{aligned} 1 &= c:\frac{2}{3}a:3b = \frac{1}{3}c:\frac{1}{2}a:b; \\ 2 &= c:\frac{2}{3}b:3a = \frac{1}{3}c:\frac{1}{2}b:a; \\ 3 &= a:\frac{2}{3}c:3b = \frac{2}{3}a:c:2b; \\ 4 &= b:\frac{2}{3}c:3a = \frac{2}{3}b:c:2a; \\ 5 &= a:\frac{2}{3}b:3c = \frac{1}{3}a:\frac{1}{2}b:c; \\ 6 &= b:\frac{2}{3}a:3c = \frac{1}{3}b:\frac{1}{2}a:c, \end{aligned}$$

woraus sich die darunter stehende Projection des betreffenden Oktanten sogleich



brochene Oктаederkante, worin 1 liegt, geht von $c: \frac{2}{3}a$, der Pyramidenwürfel aber von $c: 2a$, also müssen die Kanten von d nach a divergiren VII. 5.

Um diese Körper aus Holz modelliren zu können, schicken wir einige Sätze voraus. Den ersten höchst eleganten verdanken wir Weiß über die



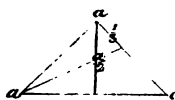
Theilung des Dreiecks. Gegeben ist ein beliebiges Dreieck AOB; wir ziehen vom Anfangspunkte o nach dem Halbierungspunkte der AB in $\frac{1}{2}p$ eine Linie, und wird diese von einer beliebigen A: $\frac{B}{x}$ geschnitten, so ist das Stück

$y = \frac{x-1}{x+1} \cdot \frac{p}{2}$. Denn die Linie o nach $\frac{p}{2}$ ist die Kantenzone der Axen oA und oB, folglich

$$z = \frac{p}{1+x}, \text{ und } y = \frac{p}{2} - \frac{p}{1+x} = \frac{1+x-2}{1+x} \cdot \frac{p}{2} = \frac{x-1}{x+1} \cdot \frac{p}{2}.$$

Nehmen wir $\frac{p}{2}$ als Axeneinheit, so folgt $y = \frac{x-1}{x+1}$ und $\frac{1}{x} = \frac{1-y}{1+y}$.

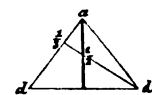
Anwendung. Wollen wir an das Oктаeder den Pyramidenwürfel $a: \frac{1}{2}a: \infty a$ schneiden, so machen wir uns den Basalschnitt des Oктаeder aaa. Der Pyramidenwürfel geht von $a: \frac{1}{2}a$,



folglich muß er die gegenüberliegende Kante in $\frac{1}{x} = \frac{1-2}{1+2} = \frac{1}{3}$

schneiden, die vier Oктаederkanten werden also im Verhältniß $1: \frac{1}{2}: \frac{1}{3}: \frac{1}{2}$ geschnitten. Für den Pyramidenwürfel $a: \frac{1}{2}a: \infty a$ ist $\frac{1}{x} = \frac{1-3}{1+3} = \frac{1}{4}$, also

schneidet dieser die Kanten im Verhältniß $1: \frac{1}{2}: \frac{1}{4}: \frac{1}{2}$. Für das Leucitoeder machen wir uns den Aufriß in der Granatoederfläche (Medianebene des Oктаeder senkrecht auf die Kante), $a: a: \frac{1}{2}a$ schneidet dann die Oктаederkanten $1: 1: \frac{1}{2}: \frac{1}{2}$, d. h. scharft die Oктаedercken zu. Das Pyramidenoktaeder geht von $a: a: 2a$, folglich muß es die Kante zuscharfen: wir stellen zu dem Ende im Aufriß der Granatoederfläche die diagonale Axe d nach oben, so wird die gegenüberliegende Kante wieder in $\frac{1}{2}$, folglich die Seitencke wie $1: \frac{1}{2}: \frac{1}{2}: \infty$ geschnitten, denn



$\frac{1}{2}d$ bezeichnet an der Kante $\frac{1}{4}$. Diese Sätze sind ebenso einfach wie elegant.

Allgemeine Lösung. Gegeben sei eine Fläche $c: \frac{a}{\mu} : \frac{b}{\nu}$, und eine Zonenaxe $c:p$ ($p = \frac{a}{m}, \frac{b}{n}$). Legt man nun die Fläche durch den Mittelpunkt, so ist das abgeschnittene Stück der Zonenaxe $l = \frac{mnk}{mn - \mu n - m\nu}$, worin k die Länge der Zonenaxe von c bis p bezeichnet. Zum Beweise verbindet man p mit dem Mittelpunkte o , und verlängert op bis p' , so ist $op = p = \sqrt{\frac{a^2}{m^2} + \frac{b^2}{n^2}}$, und setzen wir in der Zonenpunktformel pag. 44 $\mu = \infty m$ und $\nu = \infty n$; $\mu = \mu$ und $\nu = \nu$; so ist Zonenpunkt $p = \left(\frac{na}{\mu n + \nu m}, \frac{mb}{\mu n + \nu m} \right)$, folglich

$$op = p = \frac{\sqrt{n^2 a^2 + m^2 b^2}}{\mu n + \nu m} = \frac{mnp}{\mu n + \nu m}.$$

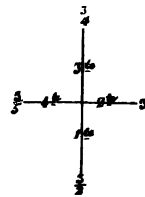
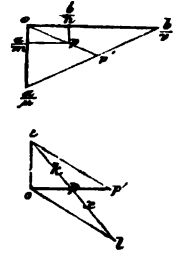
Machen wir jetzt einen Aufriß durch $copp$; legen die Fläche $\frac{a}{\mu} : \frac{b}{\nu}$ durch den Mittelpunkt o , so muß sie die verlängerte Zonenaxe cp in l schneiden, sobald die Zonenaxe innerhalb der Ebene liegt, welchen Fall wir nun zu betrachten haben. Es verhält sich

$$\begin{aligned} x:p &= k:p, \quad -p; \quad x = \frac{pk}{p-p}; \quad cl = l = x+k = \frac{pk}{p-p} + k \\ &= \frac{p, k}{p-p} = \frac{mnp}{\mu n + \nu m} \quad k: \left(\frac{mn}{\mu n + \nu m} - 1 \right) p = \frac{mnk}{mn - \mu n - m\nu}; \\ k &= \sqrt{1 + \frac{a^2}{m^2} + \frac{b^2}{n^2}}. \end{aligned}$$

Beispiele. Fragen wir, wie die Fläche $a: \frac{1}{2}a: \frac{1}{2}a$ die Oktaederkanten schneidet, so betrachten wir die 4 Kanten als Zonenachsen k , die sämtlich untereinander gleich als Einheit genommen werden, denn wir wollen ja nur das Verhältniß des Schnittes finden. Da die Fläche des 48-Flächner im kleinsten a ($\frac{1}{2}a$) zum Schnitt in der Ecke kommt, so müssen wir das Zeichen in $3a: \frac{1}{2}a: a$ umwandeln, also $\mu = \frac{1}{2}$

und $\nu = \frac{2}{3}$ setzen, gibt die Formel $\frac{mnk}{mn - \frac{1}{2}n - \frac{2}{3}m}$. Läge die Fläche im vordern rechten Quadranten, so wäre für die erste Kante $m = 1, n = \infty$, gibt $\frac{2}{3}k$; für die 3te $n = \infty, m = -1$ gibt $\frac{2}{3}k$; für die 2te $n = 1, m = \infty$ gibt $3k$; $n = -1, m = \infty$ gibt $\frac{2}{3}k$, also werden die Kanten der Reihe nach geschnitten $\frac{2}{3}:3:\frac{2}{3}:\frac{2}{3} = \frac{1}{2}:1:\frac{1}{2}:\frac{1}{2}$.

Um die Lage des Schnittes zu ermitteln, können wir nach pag. 47 zuvor die Ausdrücke in den dreierlei Arten adt suchen. So hat z. B. das



Leucitoeder $a : 2a : 2a$ in seinem Oktanten $a : \frac{2}{3}d : \frac{1}{3}t$, und der 48-Flächner $a : 3a : \frac{2}{3}a$ bekommt $a : \frac{2}{3}d : \frac{1}{3}t$, also haben beide die Granatoederkante $a : \frac{1}{3}t$ gemein, und da $\frac{2}{3}d$ kleiner ist als $\frac{2}{3}d$, so muß der 48-Flächner die 2+2-kantige Ecke des Leucitoeders 4flächig zuschärfen. Die Pyramide des 48-Flächners erhebt sich auf der eingeschriebenen Granatoederfläche $\frac{2}{3} - \frac{1}{3} = \frac{1}{3}$, das Leucitoeder $\frac{2}{3} - \frac{1}{3} = \frac{1}{3}$. Nehmen wir die Pyramidenhöhe $\frac{1}{3}$ als Einheit, so hat der 48-Flächner $\frac{2}{3}$, folglich nach dem Satze der Theilung des Dreiecks $\frac{5-3}{5+3} = \frac{1}{4}$, also werden die Kanten über dem eingeschriebenen Granatoeder im Leucitoeder wie $1 : 1 : \frac{1}{4} : \frac{1}{4}$ geschnitten.

Nach diesen Vorbereitungen wird es leicht, die Körper zu machen. Der Pyramidenwürfel wird aus dem Würfel verfertigt, indem wir die Kante im Verhältniß von 2:1 zuschärfen, wir zeichnen die Linien alle vor, und legen den Schnitt von 2 durch den Mittelpunkt der Würfelfläche, damit die Pyramidencke dahin falle. Das Pyramidenoktaeder erhalten wir durch Zuschärfung der Oktaederkanten, indem wir die Ecke wie $1 : \frac{1}{4} : \frac{1}{4} : \infty$ wegnehmen, d. h. die Kante zuschärfen, den Schnitt von 1 legen wir durch den Mittelpunkt der Oktaederfläche, damit die Pyramiden Spitze dort hinein falle. Das Pyramidengranatoeder machen wir aus dem Granatoeder, indem wir die dreikantige Ecke des Granatoeders in dem Verhältniß von $1 : \frac{1}{4} : \infty$ wegnehmen, d. h. die Kante zuschärfen, den Schnitt 1 legen wir durch den Mittelpunkt der Granatoederfläche, damit die Pyramiden Spitze dorthin falle. Das Leucitoeder kann man durch gerade Abstumpfung der Granatoederkanten erhalten, indem man die Abstumpfungsfächen durch den Mittelpunkt zweier anliegenden Granatoederflächen legt. Am leichtesten und mit dem geringsten Holzaufwande macht man es aus der regulären sechsseitigen Säule. Man zeichnet darin die Deltoiden nach ihrem diagonalen Verhältniß ein, dann hat man zu beiden Seiten die nothwendigen Punkte für den 3+3-Kantner, woran dann oben das Endrhomboeder abgemessen werden kann.

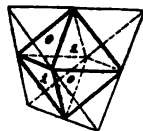
Hemiedrie.

Darunter versteht man (im Gegensatz von Holloedrie) ein hälftiges Auftreten der Flächen, und zwar nach folgendem einfachen Gesetze: schreibe auf eine Fläche 0 und auf die anliegenden 1, auf die anliegenden von 1 wieder 0 u. c., so wird die eine Hälfte der Flächen mit 0, die andere mit 1 beschrieben sein, läßt man dann die 0 verschwinden und die 1 wachsen, oder umgekehrt, so kommt der hälftflächige Körper. Würfel und Granatoeder sind keiner Hemiedrie fähig, wie man aus dem Einschreiben von 0 und 1 leicht ersieht. Es gibt dreierlei Hemiedrien:

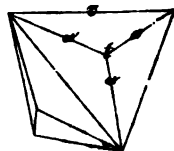
tetraedrische, pyritoeedrische, ghaedrische.

1) **Tetraedrische Hemiedrie.** Die Flächen gehen einander nicht parallel (geneigtflächige Hemiedrie). Das Tetraeder entsteht aus dem Oktaeder und zwar aus jedem zwei: eines den 1111, das andere (Gegentetraeder)

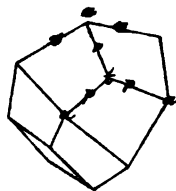
den 0000 angehörig. Man kann es in den Würfel schreiben, weil seine Kanten mit den Diagonalen der Würfelflächen zusammenfallen. Der Würfel stumpft daher die 6 Tetraederkanten ab, das Gegentetraeder die 4 Ecken. Das Granatoeder schärft die Ecken dreiflächig zu, Fläche auf Fläche aufgesetzt, tritt daher wie der Würfel vollflächig auf. Der Pyramidenwürfel schärft die Ecken sechsflächig zu, erscheint daher auch vollflächig.



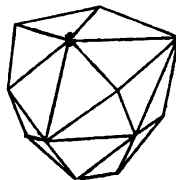
Das Leucitoeder gibt ein **Pyramidentetraeder** (Trigondodetaeder). Zu dem Ende muß man die drei Flächen im Oktanten eines Oktaeders mit 0 beschreiben, die der anliegenden mit 1, es entstehen dann in der Oktaederdecke Tetraederkanten τ , und über den verschwindenden Oktanten 3+3-kantige Ecken. Die Deltoiden verwandeln sich also in Dreiecke, deren Ecken den trigonalen Aren entsprechen, die Würfelkanten ω bleiben. Man verfertigt sich den Körper leicht durch Zuschärfung der Tetraederkanten.



Das Pyramidenoktaeder gibt ein **Deltoiddodetaeder** (Delloeder). Läßt man hier die drei Flächen der abwechselnden Oktanten verschwinden, so muß über jedem verschwindenden eine dreikantige Ecke entstehen, in jeder Oktaederdecke dagegen eine gebrochene Tetraederkante τ . Die Flächen schärfen also die Tetraederdecken dreiflächig zu, wie das Granatoeder, nur in andern Winkeln. Die Pyramidenkanten p bleiben, die gebrochenen Tetraederkanten τ entstehen.

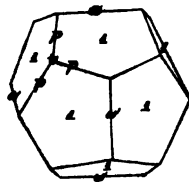
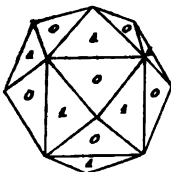


Der 48-Flächner gibt ein **gebrochenes Pyramidentetraeder** (Hexakistetraeder). Da wir die 48-Flächner als gebrochene Leucitoeder oder gebrochene Pyramidenoktaeder ansehen können, so muß bei gleicher Behandlung wie vorhin der allgemeinste Körper dieser Hemiedrie entstehen, welcher die Tetraederdecken 6flächig zuschärft.

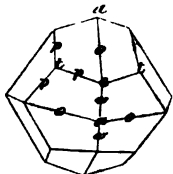


2) **Pyritoedrische Hemiedrie.** Die Flächen gehen einander parallel (parallelschichtige Hemiedrie). Nur der Pyramidenwürfel und 48-Flächner ist dieser fähig, die 5 übrigen Körper treten daran vollflächig auf.

Das **Pyritoeder** (Pentagondodetaeder) entsteht aus dem Pyramidenwürfel. Läßt man die 0 verschwinden, so liegen jeder 1 fünf andere 1 an, die Flächen müssen daher zu symmetrischen Fünfecken werden: symmetrisch, weil eine der fünf sich von den übrigen durch ihre Lage unterscheidet. Man sieht es leicht ein, wenn man in das Pyritoeder den zugehörigen Würfel einschreibt. Es treten dann 6 Wür-

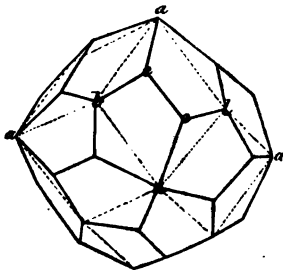


felstanten ω hervor, die die Kanten des Daches, das sich über jeder Würfel-
fläche erhebt, bilden; außerdem zählen wir $3 \cdot 8$ Kanten p in den Ecken t des
Würfels. Die 8 Würfecken sind 3kantig, und die 12 Ecken an beiden
Enden der Dachkanten ω 2+1kantig. Jedes Fünfeck ist durch eine Diago-
nale halbirt, die von der Mitte der Würfelkante (Dachkante) nach der gegen-
überliegenden Ecke geht. Man macht es aus dem Würfel, wie beim Pyra-
midenwürfel, nur muß die Hälfte der Flächen weggelassen werden. Der
Würfel stumpft die 6 Dachkanten ab; das Oktaeder die 8 dreikantigen Wür-
fecken, sie bilden deshalb gleichseitige Dreiecke, und verwandeln durch ihren
Schnitt die Pyritoederflächen in gleichschenklige Dreiecke. $12+8$ Dreiecke
sehen dem Ikosaeder der Geometrie ähnlich. Das Granatoeder stumpft
die zwölf 2+1kantigen Ecken ab. Leucitoeder und Pyramidenoktaeder kom-
men selten und dann immer vollständig vor, sie müssen in den dreikantigen
Würfecken auftreten.



Das **gebrochene Pyritoeder** (Dyakisbodekaeder) ent-
steht aus dem 48-Flächner. Da man diesen als einen
gebrochenen Pyramidenwürfel ansehen kann, so muß man
auf je zwei Flächen 0 und auf die drei anliegenden Paare 1 zc.
schreiben. Der Körper kommt sehr schön selbstständig und
untergeordnet beim Schwefellies vor. Die 8 Würfecken
 t bleiben 3kantig, und da diese oft durch das Oktaeder abgestumpft werden,
so kann man sich nach dem gleichseitigen Dreieck desselben leicht orientiren.
Ueber der Mitte der Würfelflächen entsteht eine 2+2kantige Ecke a , und
die übrigen 12 Ecken e sind 2+1+1kantig. Sämmtliche Flächen bilden
2+1+1kantige Trapezoide, mit der gebrochenen Würfelkante ω , der Pyrito-
toederkante p und der Mediankante o . Das gewöhnliche $a : \frac{1}{2}a : \frac{1}{2}a$ macht man
aus dem Granatoeder, indem man die Hälfte des gebrochenen Pyramiden-
würfels wegläßt.

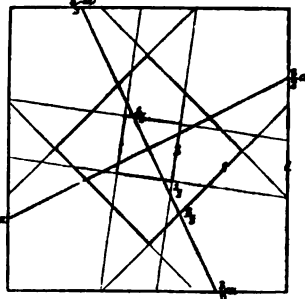
3) **Gyroedrische Hemiedrie** (gedrehte). Geneigtflächig und in der
Natur noch nicht bekannt. Der 48-Flächner ist nicht bloß der beiden ge-
nannten Hemiedrien fähig, sondern auch (unter allen allein) noch dieser:
schreibt man nämlich auf ein beliebiges Dreieck 0 , und auf die drei anliegen-
den 1 zc., so werden, wenn wir das gewöhnliche Pyramidengranatoeder neh-
men, von den 4 Pyramidenflächen auf jeder Fläche



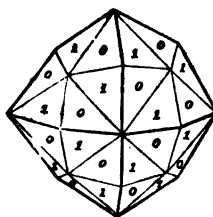
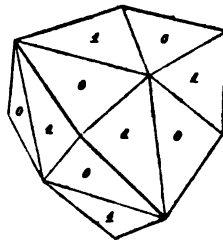
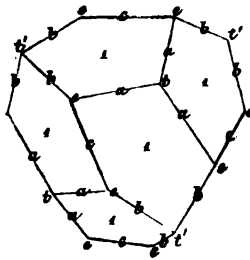
des eingeschriebenen Granatoeders zwei in der
Ecke einander gegenüberliegende verschwinden und
die andern beiden wachsen. Wie in das Pyri-
toeder einen Würfel, so kann man in das Gyro-
eder ein Granatoeder einschreiben, wenn es aus
dem Pyramidengranatoeder entstanden ist. Die
Flächen stehen gegen die des eingeschriebenen Kör-
pers etwas gedreht, und sind unregelmäßige
2+2+1kantige Fünfecke. Von den Ecken sind

die 6 Oktaederecken a 4kantig, die 8 Würfecken t 3kantig, die übrigen 24 e
neben den Dachkanten $1+1+1$ kantig. Wir haben daher im Ganzen

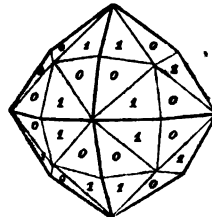
3 + 4 + 12 paarige Ecken, und 12 + 24 + 24 Kanten. Auffallender Weise müssen daran alle übrigen sechs regulären Körper vollflächig auftreten: der Würfel stumpft die 6 vierkantigen Oктаeder-ecken a ab; das Oктаeder die 8 dreikantigen Würfecken t ; das Leucitoeder die 24 Ecken e , worin an den Enden der Dachkanten die drei ungleichen Kanten zusammenstoßen; das Granatoeder stumpft die Dachkanten ab; ein vollständiger Pyramidenwürfel $9a : 5a : \infty a$ würde die 4 • 6 Kanten in den Oктаederecken abstumpfen, dann blieben für das Pyramidenoktaeder $a : \frac{7}{2} a$ noch die übrigen 3 • 8 Kanten in den Würfecken. Alles das macht man sich durch eine Projection der **obern Hälfte** auf die Würfel-**fläche** klar. Dann erscheinen drei Oктаederhälften (1, 2, 3), die gegen die Aren a verdreht stehen, woher der Name Gyroeder. Die Granatoederkanten zonen werden 3flächig.



Tetartoedrie, Viertelflächigkeit. Wir kommen bei der Hemiedrie auf dreierlei Vierundzwanzigflächner: gebrochene Pyramidentetraeder, gebrochene Pyritoeder, Gyroeder. Jedes ist abermals einer Hemiedrie fähig, wie schon Mohs (Leichtfällige Anfangsgründe der Naturgeschichte des Mineralreichs. 2. Aufl. 1836. 83) auseinanderlegte, und die Hädinger **Tetartoide** nannte: es sind Dodekaeder von tetraedrischem Habitus mit 2 + 2 + 1 flächigen Pentagonen, 4 + 4 + 12 Ecken und 6 + 12 + 12 Kanten. Die stumpfen trigonalen Ecken t mit den gleichen Kanten a liegen über den Flächen, und die scharfen trigonalen Ecken t' mit den gleichen Kanten b über den Ecken des Tetraeders; es bleiben dann noch die Dachkanten c , welche wie beim Gyroeder die 1 + 1 + 1 kantigen Ecken e verbinden. Wie am Gyroeder die holoebrischen, so treten am Tetartoeder die tetraedrischen Körper vollflächig auf. Vollflächig bleibt ferner Würfel und Granatoeder, nur Pyramidenwürfel kann in den Ecken t nicht mehr vollflächig, sondern nur hälftflächig als Pyritoeder auftreten. Es folgt das aus der einseitigen Drehung des Rhomboeder in den trigonalen Ecken. Ohnehin darf man die Pyramidenwürfel als gebrochene Pyramidentetraeder stellen, wie sich schon aus unserer Entwicklung pag. 23 folgern läßt. Aus dem Einschreiben von 0 und 1 geht klar hervor, daß wir nicht bloß beim tetraedrischen, sondern auch beim



gyroedrisch.

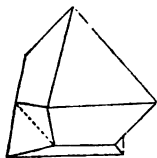


pyritoedrisch.

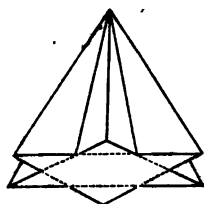
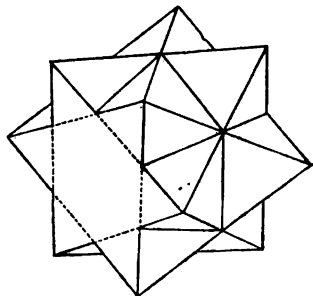
pyritoedrischen und gyroedrischen System zu denselben Tetartoedern gelangen müssen, falls wir hier nur die abwechselnden Oktanten wachsen lassen. Bloss im pyritoedrischen erscheinen die Zahlen beim Tetartoeder und Gegenetartoeder wie Bild und Spiegelbild. Die Projection der Tetartoeder stimmt vollständig mit der halben Gyroeder überein, woraus ebenfalls eine Drehung nach links oder nach rechts gegen die Axen einleuchtet. Hr. Rammelsberg (Pogg. Ann. 90. 16) beobachtete am Würfel des chlorfauren Natrons NaOClO_5 tetraedrische und pyritoedrische Abstumpfungen, und Hr. Naumann (Pogg. Ann. 95. 465) hat das als Tetartoedrie gedeutet. Da Dr. Marbach (Pogg. Ann. 91. 482) auch wirklich Circularpolarisation nach links wie nach rechts nachwies, so verdient die Sache Beachtung.

Zwillingsgesetz.

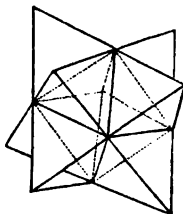
Es kann nur eins geben: zwei Oктаeder haben eine Fläche gemein, und liegen umgekehrt. Halbire ich das Oктаeder parallel einer Fläche, so bildet die Halbirungsfläche ein reguläres Sechseck, verdrehe ich nun die beiden Hälften gegeneinander um 60° , so entsteht der Zwilling. Es ist das Folge des Gesetzes. Nehme ich nämlich zwei gleiche Oктаeder, und lege sie mit zwei ihrer Flächen so



gegen einander, daß sich die Flächen decken, so finden sich die Individuen in Zwillingsstellung. Drehe ich sie dagegen so weit, daß sich die Dreiecke symmetrisch kreuzen, so liegen die Individuen einander parallel, bilden daher nur ein Ganzes und keinen Zwilling. Da dieß die beiden möglichen symmetrischen Lagen sind, so ist das Wort umgekehrt unzweideutig, und drückt das Wesen besser aus als die Drehung. Die Oктаeder liegen meist aneinander, verkürzen sich aber nach der sogenannten Zwillingsaxe, d. h. nach einer trigonalen Axe t , die senkrecht auf der gemeinsamen Ebene (Zwillingsebene) steht. Zuweilen kommen auch **Durchwachsungen** vor (große Figur rechts). Das Tetraeder hat scheinbar zweierlei Zwillingsgesetze: nach dem einen



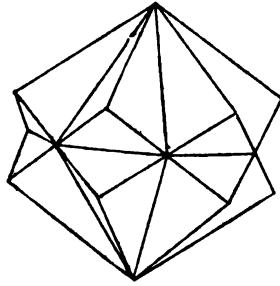
kreuzen sich die Kanten rechtwinklig, und der gemeinsame Kern ist ein Oктаeder. Das ist aber nur die Wiederherstellung des Gleichgewichts (Fig. rechts). Dagegen können sich zwei Tetraeder zu einem wirklichen Zwilling verbinden (Fig. links), indem sie eine Fläche gemein haben,



und die übrigen drei sich kreuzen, dann ist das eine um 60° gegen das andere verdreht. Es entspricht das vollkommen dem Oктаedergesetz.

Die Würfel durchwachsen sich gewöhnlich, der gemeinsame Kern ist dann ein Dizeaeder, und die Flächen des einen Individuums schneiden die

Eden des andern im Kantenverhältniß 1 : 1 : 2. Flußpath und Salmiak liefern vorzügliche Beispiele. Man sieht auch hier leicht ein, daß die gemeinsame Fläche die des Oктаeders ist, in welcher sich die Würfel gegen einander um 60° verdreht haben.

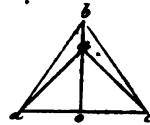


Die Granatoeder durchwachsen sich vorzüglich bei der Blende. Beim Silber tritt ein Leucitoid als Zwilling auf. Oft wiederholen sich Individuen unzählige Mal, so daß die ungeraden Stücke dem einen, und die geraden Stücke dem andern Individuum angehören. Es können sich auch Drillinge, Vierlinge und Fünflinge bilden, in letzterm Falle setzt sich auf jede der 4 Oктаederflächen ein Individuum in Zwillingstellung. Alles dieß sind aber nur Wiederholungen ein und desselben Gesetzes.

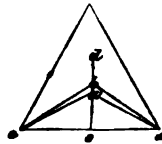
N e t z e.

Es ist bequem, wenn auch nicht so lehrreich, sich die regulären Körper aus Pappe oder Kartenpapier zu machen. (Kreuzer, leichtfällige Anleitung zum Zeichnen der Kry stallflächen und Netze und zur Anfertigung der Kry stallmodelle aus Pappe. 1868). Zu dem Ende muß man sich die Flächen construiren. Das Tetraeder aus 4 und das Oктаeder aus 8 gleichseitigen Dreiecken ergibt sich leicht.

Gleichschenklige Dreiecke hat: der Pyramidenwürfel, der Endspitzenwinkel seiner Flächen liegt zwischen 90° (Würfel-
fläche) und $70^\circ 31\frac{1}{4}'$ (Granatoederfläche). Construiren wir uns also einen rechten Winkel $\sin : \cos = 1 : 1 = oa : oa$, so ist $aa = \sqrt{2}$, machen wir $ob = aa = \sqrt{2}$, so ist Winkel $b = 70^\circ 31\frac{1}{4}'$ der Winkel der Granatoederfläche.

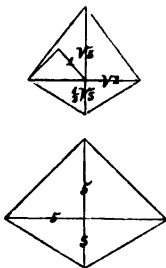


Alle Dreiecke zwischen diesen beiden geben Pyramidenwürfel. Der gewöhnliche $a : 2a : ooa$ hat Dreiecke, worin die halbe Basis zur Höhe $= 2 : \sqrt{5}$, wie aus der Projection leicht folgt. Mache ich also ein rechtwinkliges Dreieck, worin die Katheten sich wie 2 : 1 verhalten, so ist die Hypotenuse $\sqrt{5}$. Die Endspitzenwinkel der Pyramidenoktaeder liegen zwischen 120° und $109^\circ 28\frac{1}{4}'$. Ziehe ich in einem gleichseitigen Dreieck nach dem Mittelpunkt a, so hat das Dreieck cac 120° , folglich $\sin : \cos = co : ao = 1 : \sqrt{\frac{1}{3}}$; die eine Gränge. Macht man jetzt $od = oc$, so ist $cd = \sqrt{2}$, trägt man $\frac{1}{2}cd = \sqrt{\frac{1}{2}}$ nach ob, so ist ebc die andere

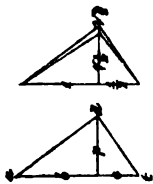


Gränge. Zwischen a und b liegen also die Spitzen sämtlicher möglichen Dreiecke. Die Kanten der Pyramidenoktaeder $a : a : 2a$ haben das Verhältniß 5 : 3, wie man aus der Projection leicht abliest. Die Pyramidentetraeder liegen zwischen 120° und 90° , der halbe Endkantenwinkel hat $\sin : \cos = 2\sqrt{2} : \sqrt{3}$, ein leicht zu findendes Verhältniß.

Der Rhombus des Granatoeders hat $\sqrt{2} : 1$. Die Deltoides des

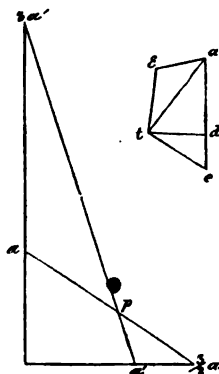
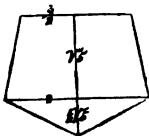


$$= 1 : \frac{1}{2} : \frac{1}{4} \sqrt{14}$$



Leucitoeders $a : a : \frac{1}{2}a$ haben im scharfen Winkel der Oктаederecken $\sqrt{2} : \sqrt{3}$, und im stumpfen der Würfel-ecke $\sqrt{2} : \frac{1}{2}\sqrt{3}$, eine leicht zu construierende Größe. Die Flächen des Deltoidtetraeders $a : a : 2a$ haben im stumpfen Winkel wie oben 5 : 3, im scharfen Winkel dagegen 5 : 5, folglich hat die 3kantige Tetraederecke rechte Winkel, wie die Rechnung des Winkels lehrt. Ein etwas unerwartetes Verhältniß.

Die ungleichseitigen Dreiecke des Pyramidengranatoeders $a : \frac{1}{2}a : \frac{1}{2}a$ pag. 67 sind durch drei Linien $b : c : p = 1 : \frac{1}{2} : \frac{1}{4} \sqrt{14}$ gegeben, worin p das Perpendikel von der 2+2kantigen Pyramidenecke d auf die Basis der Granatoederkante at ist. Denn die Pyramide erhebt sich $(\frac{1}{2} - \frac{1}{4})\sqrt{2} = \frac{1}{4}\sqrt{2}$ über der Granatoederfläche, die Kante des Granatoeders $at = \frac{1}{2}\sqrt{3}$, die gebrochene Oктаederkante $ad = \frac{1}{4}\sqrt{13}$. Uebrigens liegen die Dreiecke sämtlicher Pyramidengranatoeder zwischen den Dreiecken der Granatoederfläche von der Höhe $\sqrt{\frac{1}{2}}$, und der Leucitoederfläche von der Höhe $\sqrt{\frac{1}{2}}$. Da nun beide bekannt sind, so darf man nur ein beliebiges Zwischenstück wählen, um ein Pyramidengranatoeder zu bekommen, da ein jedes für die Anschauung genügt. Wenn die Zahlen für die Construction etwas unbequem werden, wie beim gebrochenen Pyramidentetraeder $a : \frac{1}{2}a : \frac{1}{2}a$, so darf ich in diesem Falle nur das Dreieck des zugehörigen 48-Flächners hinzeichnen, die gebrochene Würfelkante daran verlängern, und den Winkel an der gebrochenen Oктаederkante suchen, er ist $\text{tg} = \sqrt{6,6666} = 68^\circ 50'$. Trage ich diesen mit dem Transporteur an das andere Ende der Granatoederkante an, so ist das Dreieck gefunden.

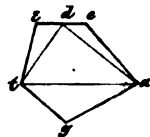


Das gewöhnliche Pyritoeber $a : \frac{1}{2}a : \infty a$ hat beistehende Diagonalen. $2 : \sqrt{5}$ sind bereits durch den zugehörigen Pyramidenwürfel bestimmt, die übrigen Linien finde ich leicht, indem ich nur einen Aufriß durch 4 Pyramidenecken lege.

Die Fläche des gebrochenen Pyritoeber pag. 74 $a : \frac{1}{2}a : \frac{1}{2}a$ entwickeln wir aus dem Dreieck des gleichnamigen 48-Flächners, was wir kennen, wir brauchen dann außer der gebrochenen Würfelkante ω nur die Mediankante o des gebrochenen Pentagons zu kennen, welche durch Verlängerung der gebrochenen Oктаederkante der 48-Flächner $= \frac{1}{4}\sqrt{13}$ entsteht. Machen wir uns den Aufriß in der Würfelfläche, so geht die Mediankante o von $a : \frac{3}{2}a$, ihr kommt von unten die Kante $\omega = a' : 3a'$ entgegen, daraus ergibt sich der Zonenzpunkt $p = (\frac{3}{2}a, \frac{3}{2}a)$, da Kante $a\frac{3}{2}a = \frac{1}{2}\sqrt{13}$ ist, so muß $ap : \frac{1}{2}\sqrt{13} = \frac{3}{2} : \frac{3}{2}$, $ap = \frac{3}{2}\sqrt{13}$ sein. Ebenso leicht findet man die gebrochene Würfelkante $a'p = \frac{1}{4}\sqrt{10}$. Verzeichnen

wir uns also das Dreieck adt des 48-Flächners, so ist die Kante $ad = \frac{1}{2}\sqrt{13}$, der Punkt t in der Würfeldecke bleibt, folglich verlängern wir ad über d um das Stück $(\frac{2}{3} - \frac{1}{2})\sqrt{13} = \frac{1}{6}\sqrt{13}$ hinaus, beschreiben wir nun mit $ae = ap$ um e und mit te um t Kreisbögen, so wird der Punkt e bestimmt, und das $2+1+1$ antige Trapezoid $aets$, worin $te = ts = p$ ist gefunden.

Die $2+2+1$ antigen Fünfecke des Gyroeder $a:\frac{1}{2}a:\frac{1}{2}a$ knüpfen wir ebenfalls an das Dreieck des zugehörigen 48-Flächner. Die Dachkante verhält sich zur Granatoberkante wie $2:5$, denn die Flächen der Dachkante gehen nach $\frac{2}{3}d$, und die quer gegen die Dachkante liegenden nach $\frac{1}{3}d$, woraus das Verhältniß folgt. Zeichne nun das Dreieck adt , lege durch d die Dachkante $es = \frac{2}{3}at$ und zwar so, daß sie in d halbiert wird. Beschreibe dann mit ae um a und te um t Kreisbogen, so ist ~~also~~ das gesuchte Fünfeck.

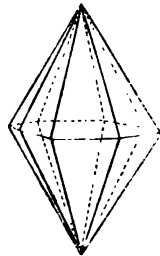


Fortschritt zu den folgenden Systemen. 1) Die Körper des regulären Systems haben nach ihren Hauptaxen eine dreifache Stellung; 2) stellen wir jetzt das Oktaeder nach Einer Axe aufrecht, d. h. legen wir es auf die Würfeldecke, so haben wir die 4gliedrige Ordnung; 3) auf die Oktaederfläche gelegt kommt die 3gliedrige Ordnung; 4) auf die Granatoederfläche gelegt zeigt sich zweigliedrige Ordnung; 5) auf Leucitoeder-, Pyramidenoktaeder- oder Pyramidenwürfeldecke gelegt kommt $2+1$ gliedrige Ordnung, endlich 6) auf eine Fläche der 48-Flächner gelegt ist eingliedrige Ordnung. So führt uns jedes folgende System zugleich zur tiefern Einsicht in das reguläre.

Viergliedriges System.

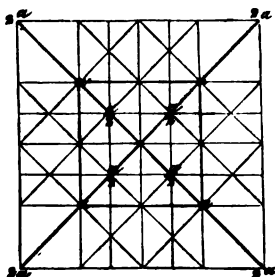
Pyramidales S. Moßs, tetragonales Raum., monodimetrisches Hausmann.

Die Hauptaxe c wird länger oder kürzer als die Nebenaxen aa , wir bekommen dann scharfe oder stumpfe Oktaeder pag. 25. Das zugehörige Hexaid (viergliedriger Würfel) zerfällt in eine quadratische Säule (zweite Säule) $a:\infty a:\infty c$ mit Geradenfläche $c:\infty a:\infty a$. Das zugehörige Dodekaid pag. 40 gibt eine weitere quadratische Säule $a:a:\infty c$ (erste Säule) mit dem nächsten stumpfern Oktaeder $a:c:\infty a$. Das Leucitoeder gibt das zweite stumpfere Oktaeder $c:2a:2a$, darunter liegt ein **Bierundvierkantner** (schlecht hin Vierkantner) $c:a:\frac{1}{2}a$, daran gehen 4 Kanten von $c:a$ und vier von $c:\frac{1}{2}d$, jene die scharfen, diese die stumpfen Endkanten bildend. Acht ungleichseitige Dreiecke bilden das Maximum gleicher Flächen in diesem System. Selbstständig kommt ein solcher Körper kaum vor, man kann ihn als ein gebrochenes Oktaeder ansehen. Das Pyramidenoktaeder zerfällt in einen obern Vierkantner $c:a:2a$, und in ein zweites schärferes Oktaeder $c:\frac{1}{2}a:\frac{1}{2}a$. Der Pyramidenwürfel gibt ein drittes stumpferes Oktaeder $c:2a:\infty a$, ein nächstes schärferes Oktaeder $c:\frac{1}{2}a:\infty a$, und eine vier und vierkantige Säule $a:2a:\infty c$, welche die quadratische



Säule des Würfels zuschärft. Endlich gibt der 48-Flächner dreierlei Vierkantner: zwei oberste dem gebrochenen Leucitoide, zwei unterste dem gebrochenen Pyramidenoktaeder entsprechend, und die zwischenliegenden beiden geben das dritte.

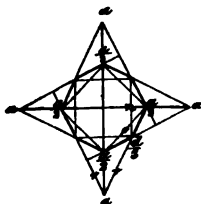
Häufig entwickeln sich die Oktaeder in einer fortlaufenden Reihe von stumpfern und schärfern, wie die nebenstehende Projection zeigt: Mohs wählte daraus ein Grundoktaeder, und gründete darauf eine nicht sonderlich zweckmäßige Bezeichnung, indem er $a : a : c = P$ setzt, mit $+n$ das n te schärfere und mit $-n$ das n te stumpfere Oktaeder bezeichnet. Sein Schüler Haidinger gab das unbequeme Zeichen wieder auf, und nähert sich dem Naumann'schen Symbol. Beide legen die Oktaeder durch die Einheit a , und setzen der P den Arenschnitt von c vor. So einfach die Sache auch sein mag, so entschwindet sie doch immer wieder dem Gedächtniß. Hätte Naumann mit uns $c=1$ gesetzt, da sie die einzige Are ist, so wären die Zeichen viel leichter zu behalten.



Beiß.	Mohs.	Haid.	Naum.
$a : a = c : a : a = P$	$= P$	$= P$	$= P$
$a : ooa = c : a : ooa = P-1$	$= P-1$	$= P'$	$= Poo$
$2a : 2a = \frac{1}{2}c : a : a = P-2$	$= P-2$	$= \frac{1}{2}P$	$= \frac{1}{2}P$
$\frac{1}{2}a : ooa = 2c : a : ooa = P+1$	$= P+1$	$= 2P'$	$= 2Poo$
$\frac{1}{2}a : \frac{1}{2}a = 2c : a : a = P+2$	$= P+2$	$= 2P$	$= 2P$
$oa : oa = ooc : a : a = P+\infty$	$= P+\infty$	$= \infty P$	$= \infty P$
$oa : a = ooc : a : ooa = (P+\infty)$	$= (P+\infty)$	$= \infty P'$	$= \infty Poo$
$ooa : ooa = c : ooa : ooa = P-\infty$	$= P-\infty$	$= oP$	$= oP$

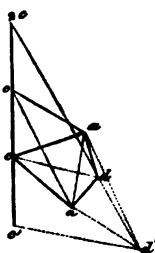
Sobald bei Mohs die Oktaeder nicht in diese Reihe gehören, so denkt er ebenfalls c verlängert und schreibt dann $a : a : mc = Pm$, entwickelt aber wieder darnach Reihen, so daß z. B. $Pm-1 = mc : a : ooa$, d. h. das nächste stumpfere von Pm ist!

Vierkantner bilden alle Ausdrücke, welche die Aren a ungleich schneiden. Da das, was einer der 2 Aren a geschieht, auch der andern geschehen muß, so gehören nothwendig jedem Quadranten zwei Sectionslinien an. Jede der vier gleichen Endkanten bestimmen ein Oktaeder. Hätten wir z. B. $v = a : \frac{1}{2}a$, so läge in den Endkanten $c : \frac{1}{2}a$ das Oktaeder $o = \frac{1}{2}a : \frac{1}{2}a$, und in der Endkante $c : \frac{1}{2}d$ das Oktaeder $n = \frac{1}{2}a : ooa$. Die abwechselnden Flächen



des Vierkantners haben ein Quadrat zur Basis, schließen daher ein Oktaeder ein. Naumann nimmt $\frac{1}{2}a : \frac{1}{2}a = 2P$ als Grundoktaeder, und leitet daraus den Vierkantner ab, indem er dahinter das Vorzeichen der größern Are a setzt, also $c : a : \frac{1}{2}a = 2c : 2a : a = 2P2$. Die vier und vierkantige Säule $ooc : a : \frac{1}{2}a = ooc : 2a : a = ooP2$. Viel unnatürlicher ist das Zeichen von

Mohs. Es beruht auf folgender Darstellung: man hat ein beliebiges Grundoktaeder $c : a : a$, construirt aus dem Dreieck der Oктаederfläche das Parallelogramm $caad'$, indem man ad' wechselseitig der ac parallel zieht, dann ist $c'd'$ die diagonale Zwischenaxe d . Verlängert man die Axe oc bis $2c$, so bestimmt die Linie $2cd'$ in der Ebene oaa einen Punkt d , welcher dem gesuchten Vierundvierkantner angehört. Es verhält sich aber $c'd' : od = 3c : 2c$, $od = \frac{2}{3}d$, folglich muß nach dem Kantenzonengesetz der Vierkantner $a : 2a$ gehen, da $1 + \frac{1}{3} = \frac{4}{3}$ ist. Haidinger gibt diesem Körper $2c : a : 2a$ das Zeichen Z_2 und Mohs das allgemeine $(P+n)^2$, worin $P+n$ allgemein das Oktaeder bezeichnet, und 2 die Zahl, um welche ich die Axe c verlängert habe. Allgemein



$$1) (P+n)^m = a : ma : m \cdot 2^{\frac{1}{2} + \frac{n}{2}} c; \quad 2) qP+n = a : a : q \cdot 2^{\frac{1}{2} + \frac{n}{2}} c;$$

$$3) (qP+n)^m = a : ma : m \cdot q \cdot 2^{\frac{1}{2} + \frac{n}{2}} c.$$

Beispiel. i Bessuvian = $(P-2)^3$, folglich nach erster Formel $m=3$ u. $n=-2$, oder $i = a : 3a : 3 \cdot 2^{-1} c = a : 3a : \frac{3}{2} c = \frac{1}{2} a : \frac{1}{2} c$; z Bessuvian = $(P-1)^3$, folglich $m=3$, $n=-1$, oder $z = a : 3a : 3 \cdot 2^{-\frac{1}{2}} c = \frac{1}{2} a \sqrt{2} : a \sqrt{2} : c$. Es ist aber $a \sqrt{2}$ die diagonale Zwischenaxe d , daher $z = \frac{1}{2} d : d : c$, woraus sich leicht mittelst der Sectionslinienformel pag. 46 die Axenschnitte a berechnen lassen, nämlich $\frac{2}{3+1} a : \frac{2}{3-1} a : c = \frac{1}{2} a : a : c = z$. Beim Anatas ist $r = \frac{1}{2} P - 4$, folglich in der 2ten allgemeinen Formel $q = \frac{1}{2}$, $n = -4$ zu setzen gibt $r = a : a : \frac{1}{2} \cdot 2^{-\frac{1}{2}} c = a : a : \frac{1}{2} c$; für die kleine Vierkantnerfläche an brasilianischen Krystallen $s = (\frac{1}{2} P - 7)^4$ ist nach der dritten Formel $q = \frac{1}{2}$, $n = -7$, $m = 4$, folglich $s = a : 4a : 4 \cdot \frac{1}{2} \cdot 2^{-\frac{7}{2}} c = a : 4a : 4 \cdot \frac{1}{2} \cdot \frac{1}{8 \cdot \sqrt{2}} c = \frac{1}{2} a \sqrt{2} : 2a \sqrt{2} : \frac{1}{2} c = \frac{1}{2} d : 2d : \frac{1}{2} c = \frac{2}{2+\frac{1}{2}} a : \frac{2}{2-\frac{1}{2}} a : \frac{1}{2} c = \frac{4}{5} a : \frac{4}{3} a : \frac{1}{2} c$.

Wollte man ein kurzes und unzweideutiges Symbol für die Flächen, so müßte c , da sie einzig ist, = 1 gesetzt werden, aber nicht eines der a .

1) Oktaeder erster Ordnung $c : ma : ma = mam$;

zweiter Ordnung $c : ma : ooa = ma \infty$.

2) Säulen: 1ste Säule $a : a : ooc = oa : oa : c = oao$;

2te Säule $a : \infty a : ooc = oa : a : c = oal$.

3) Geradenfläche $c : ooa : ooa = oao$.

4) Vierundvierkantige Säulen $a : ma : ooc = oa : \frac{ma}{\infty} : c = oamo$.

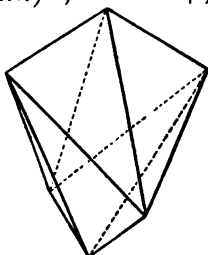
5) Vierundvierkantner $c : ma : na = man$.

Es ist dabei ganz gleichgültig, welchen Buchstaben man vor- oder hinter-
Cuensteht, Mineralogie. 2. Aufl.

setze, denn man darf nur $c=1$ und a hinten hinzudenken, so kommt immer das volle Zeichen. Gerade so bezeichnet man die Flächen des regulären Systems. Wir benötigen diese Symbole nicht, weil wir sie überhaupt nicht für sonderlich nothwendig halten. Wenn man aber einmal Symbole macht, so kann nur auf diese Weise dem Irrthume des Gedächtnisses vorgebeugt werden.

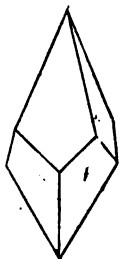
Hemiedrie. Ist zwar nicht mehr so wichtig, wie im regulären System, doch kommen einige interessante Fälle vor:

a) **Tetraedrische Hemiedrie.** Das viergliedrige Tetraeder (Sphenoid) haben wir schon oben pag. 25 kennen gelernt, es ist $4+2$ kantig.

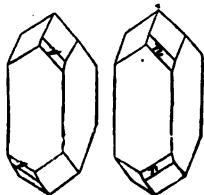


Die Geradenfläche stumpft die 2 Kanten, die 2e quadratische Säule die 4 Kanten und die erste quadratische Säule die 4 Ecken ab. Der Vierkantner muß natürlich ein **gebrochenes Tetraeder** (Disphen, tetragonales Stalenoeder) geben. Es wird von 8 ungleichseitigen Dreiecken eingeschlossen, hat daher $4+4+4$ Kanten, von denen keine der andern parallel geht. Beim Kupferkies kommt diese Hemiedrie schön vor.

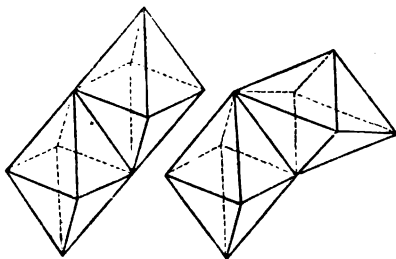
b) **Pyritoedrische Hemiedrie** würde aus dem Vierkantner ein zweigliedriges Oktaeder machen, und aus den Oktaedern zweigliedrige Paare. Zweigliedrige Oktaeder, worin b ein rationales Multiplum von a ist, könnten unter gewissen Umständen für hemiedrisch genommen werden.



c) **Gyroedrie.** Kommt ausgezeichnet bei Vierkantnern vor. Ich darf nur auf eine Fläche 0 schreiben, und auf die anliegende 1 u. Den Körper hat Naumann **Trapezoeder** genannt. Es sind zwei an beiden Enden gegen einander verdrehte Oktaederhälften, wodurch an den Ecken $4+4$ Zickzackanten entstehen. Man kann übrigens den Vierkantner auch in zwei viergliedrige Oktaeder von Zwischenstellung (die nicht zu den beiden Ordnungen von Oktaedern gehören) zerlegen, diese erzeugen dann keine Drehung. Sowie auch die vierundvierkantige Säule



in zwei quadratische Säulen von Zwischenstellung zerfällt. Beispiele Lungstein und Scheelbleierz. Es kommen die Flächen nur selten untergeordnet vor. Man macht sich die Sache am besten am **viergliedrigen Dodekaeder** klar: v zeigt die gedrehte Hemiedrie, und n die nicht gedrehte; letztere gibt ein Oktaeder von Zwischenstellung.



Zwillinge. Nimmt man zwei gleiche Oktaeder und legt sie mit ihren Endkanten in symmetrischer Lage aneinander, so sind zwei Stellungen möglich: entweder liegen die Oktaeder parallel (1), oder nicht parallel und umgekehrt (2), letzteres ist der Zwilling. Statt der Endkanten lassen sich

auch die Flächen des nächsten stumpferen Oktaeders denken. Mathematisch ausgedrückt: beide Individuen haben die Fläche des nächsten stumpferen Oktaeders gemein, und sind 180° um eine Linie (Zwillingsaxe) verdreht, die senkrecht auf der gemeinsamen Fläche steht. Bei diesen Zwillingen spiegeln zwei Flächen ein, welche eine geschobene Säule bilden, die andern beiden Flächen machen einspringende Winkel, wie die augitartigen Paare bei den Schwalbenschwanzzwillingen des Gypses. Beim Kupferkies, Scharfmanganerz u. kommen als Maximum Fünflinge vor, indem an jede der vier Endkanten des Hauptoktaeders sich ein Individuum legt. Siehe Zinnstein, Rutil.

Dreiuundeinzigste Systeme.

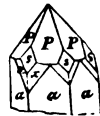
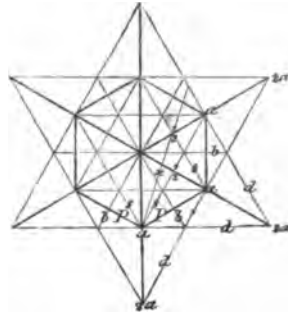
Heragonalisyst. Raum., monotrimetrisches Hausmann.

Es gibt deren zwei: dreigliedriges und sechsgliedriges System pag. 26. Beide gehen jedoch ineinander über, wie ihre Entwicklung aus dem regulären System beweist.

a) Sechsgliedriges System.

Dihexaedrisches S.

Es geht aus dem Dihexaeder $P = a : a : \infty a : c$ pag. 27 hervor. Die Endseite wird durch die Geradendfläche $c : \infty a : \infty a : \infty a$ gerade abgestumpft, welche wir zur Projectionsebene wählen. Die erste sechseckige Säule $a : a : \infty a : \infty c$ stumpft die Seitenkanten gerade ab, ihre Sectionslinien fallen mit den Axen a zusammen; die 2te sechseckige Säule $b = a : \frac{1}{2}a : a : \infty c$ stumpft die Seitenecken ab, und ihre Sectionslinien fallen mit den Zwischenaxen b zusammen. Alle Zwischenlinien von a und b im Mittelpunkt gehören 6 + 6 kantigen Säulen an, sie schneiden die sämtlichen a ungleich, und gehen der Axe c parallel. Stumpft man die Endkanten des Dihexaeders durch das nächste stumpfere Dihexaeder ab, so ergibt sich der Flächenausdruck $d = 2a : a : 2a : c$. Häufiger kommt das nächste schärfere $s = a : \frac{1}{2}a : a : c$ vor, welches in zwei abwechselnde Endkanten des Dihexaeders fällt. Construiren wir uns aus Pas bestehenden Körper, so leuchtet ein, daß die Kanten P/s und s/a an jedem Ende des Krystalls 12mal vorhanden sind. Wird die Kante s/a durch $x = a : \frac{1}{2}a : \frac{1}{2}a : c$ abgestumpft, so muß diese Fläche in jedem Sextanten zweimal auftreten, also die größtmögliche Flächenzahl, einen Sechsunndsechskantner (kurz Sechskantner, dihexagonale Pyramide) geben. Denselben kann man als ein gebrochenes Dihexaeder ansehen, woran 6 Endkanten den Flächen und 6 den Endkanten des eingeschriebenen Dihexaeders entsprechen. Beim Beryll kommt eine solche Vollzähligkeit aber nur untergeordnet vor, man hat daher diese Körper mit 24 ungleichseitigen Dreiecken auch Beryllode genannt. Gewöhn-



lich geht man von ihnen als dem allgemeinsten Flächenausdruck

$$c : \frac{a}{m} : \frac{a}{n} : \frac{a}{n-m} \text{ aus, und gelangt durch Theilflächigkeit zu}$$

dem dreigliedrigen System. Zunächst ist wie bei dem Vierkantner bestehende doppelte Hemiedrie möglich. Schreibt man nämlich auf eine Fläche des Sechskantners 1 und auf die anliegende 0, so bilden die wachsenden 1 eine Gyroedrie, wie beim Quarze, wo die Trapezflächen x oben und unten an einer Säulen-
kante nicht mit einander correspondiren: die obere Dihexaeder-
hälfte ist gegen die untere um weniger als 60° ver-
dreht; oder es correspondiren, wie beim Apatit, die
Häuftflächner u. miteinander, dann ist es ein ein-
faches Dihexaeder von Zwischenstellung, das sämt-
liche Aren a ungleich schneidet. Denn aus der Pro-
jection des Sechskantners geht hervor, daß er aus
zwei Dihexaedern von Zwischenstellung besteht, die
sich symmetrisch kreuzen.

Theilen wir uns den
Sechskantner nach dem
eingeschriebenen Dihexa-
eder, d. h. schreiben wir
auf eine Dihexaederfläche
0, auf die anliegenden
1 x , so geben die wach-
senden 1 einen Drei-
und dreikantner (kurz
Dreikantner oder gebro-
chenes Rhomboeder), und wie aus der Projection
folgt, so kann man jeden Sechskantner aus zwei
durchwachsenen Dreikantnern 1 und 0 entstanden
denken: Dreikantner und Gegendreikantner, dieser
ergänzt jenen zu einem Sechskantner. Auf dieselbe
Weise kann man endlich das Rhomboeder als den
Häuftflächner eines Dihexaeders ansehen pag. 27.

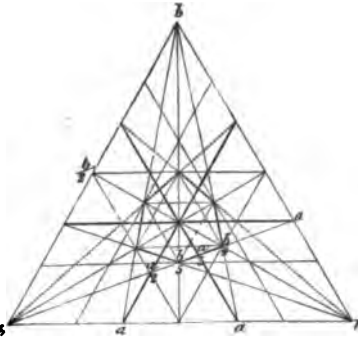
b) Dreigliedriges System.

Rhomboedrisches S.

Dasselbe hat zum allgemeinsten Körper obigen **Dreikantner** (Staleno-
eder) von 12 ungleichseitigen Dreiecken begrenzt, in der 3+3kantigen Enddecke
laufen die drei stumpfen und drei scharfen Endkanten zusammen, während
die sechs 2+1+1kantigen Seitenecken im Zickzack durch die Seitenkanten
verbunden werden. Projiciren wir uns z. B. den gewöhnlichen des Kalk-
spathes

$$c : a : \frac{b}{4} : \frac{a}{3} : \frac{b}{5} : \frac{a}{2} : b,$$

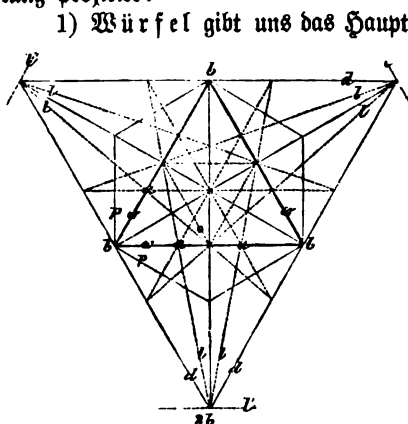
so geht die scharfe Endkante $c : \frac{1}{2}b$, die stumpfe $c : \frac{1}{2}b$, die Seitenkante $c : b$. Eine Fläche $b : b$ durch die Seitenkanten gelegt gibt das Hauptrhomboeder $a : a : \infty a$; eine weitere durch die scharfen Endkanten $\frac{1}{2}b : \frac{1}{2}b$ gibt $\frac{1}{2}a : \frac{1}{2}a : \infty a$; endlich durch die stumpfen $\frac{1}{2}b : \frac{1}{2}b$ gibt $\frac{1}{2}a : \frac{1}{2}a : \infty a$. Würde man diese dreierlei Kanten gerade abstumpfen, so gäbe die Abstumpfung der Seitenkanten die zweite sechsseitige Säule $b = a : \frac{1}{2}a : a : \infty$; die Abstumpfung der scharfen Endkante $\frac{1}{2}b$ gäbe $\frac{1}{2}a : \frac{1}{2}a :$



∞a , und der stumpfen $\frac{1}{2}b$ gäbe $\frac{2}{3}a : \frac{2}{3}a : \infty a$, so daß mit jedem Dreikantner außer der Säule und dem Hauptrhomboeder noch vier weitere Rhomboeder gegeben sind, die sich leicht aus dem Zeichen ableiten lassen. Da nun aber die Azenausdrücke der Körper des dreigliedrigen Systems nur die Hälfte der Sextanten füllen, so setzen viele dem Ausdrucke $\frac{1}{2}$ vor, so daß also der Dreikantner $\frac{1}{2}(c : a : \frac{1}{2}a : \frac{1}{2}a)$ und das Rhomboeder $\frac{1}{2}(c : a : a : \infty a)$ geschrieben werden müßte. Wir lassen die Zahl $\frac{1}{2}$, so oft keine Irrungen möglich sind, weg, denn diese versteht sich im Systeme von selbst, dagegen muß die Lage im Sextanten mit Sorgfalt angedeutet werden. Zu dem Ende gibt man dem Rhomboeder in den Seitenkanten des Dreikantners das Zeichen $a : a : \infty a$, und alle Rhomboeder, die ihre Fläche wie dieses liegen haben, also $\frac{2}{3}a : \frac{2}{3}a : \infty a$ und $\frac{1}{2}a : \frac{1}{2}a : \infty a$ läßt man ungestrichelt. Davon ist nun aber nothwendig die zweite Ordnung der Rhomboeder zu unterscheiden, welche ihre Fläche wie die Kanten des Hauptrhomboeders legen, diese strichelt man, also: $\frac{1}{2}a' : \frac{1}{2}a' : \infty a$ und $\frac{1}{2}a' : \frac{1}{2}a' : \infty a$.

Am schwierigsten ist die Unterscheidung der beiden Ordnungen von Dreikantnern: alle erster Ordnung, welche ihren stumpfen Endkantenwinkel wie die Fläche des Hauptrhomboeders legen, werden nicht gestrichelt; dagegen bekommen diejenigen 2ter Ordnung Striche, welche ihren stumpfen Winkel, wie die Kanten des Hauptrhomboeders legen. Weiß (Abhandl. Berliner Akad. Wissensch. 1823, pag. 217) unterscheidet außerdem an jedem Rhomboeder, also auch am Hauptrhomboeder, 3 Abtheilungen. Die erste Abtheilung schärft die Seitenkanten des Rhomboeders zu, sie müssen also ihre Sectionslinien innerhalb des Dreiecks ω/ω haben, und alle diese sind ungestrichelt, denn ihr stumpfer Endkantenwinkel liegt wie ω . Die beiden andern Abtheilungen schärfen die Endkanten des Hauptrhomboeders zu, unter diesen bildet das Dihexaeder (mit gleichen Endkantenwinkeln), welches ebenfalls die Endkante von ω zuschärft, den Wendepunkt: alle Dreikantner, deren Sectionslinien zwischen Rhomboeder ω und Dihexaeder p liegen, haben ihren stumpfen Winkel noch wie ω , sie gehören also der ungestrichelten 2ten Abtheilung an. Dagegen müssen alle außerhalb des Dihexaeders p gelegenen, welche also die in ω/ω liegenden drei Endkanten des Dihexaeders zuschärfen, ihren stumpfen Winkel wie die Kanten von ω legen, also der gestrichelten 3ten

Abtheilung angehören. Man sagt daher kurz: die beiden ersten Abtheilungen zwischen 2ter Säule und Dihexaeder sind in Beziehung auf Rhomboeder ω erster Ordnung, die zwischen Dihexaeder und nächstem stumpfen Rhomboeder aber 2ter Ordnung. Es versteht sich daraus von selbst, daß am gestrichelten Rhomboeder die Dreikantner der beiden ersten Abtheilungen ebenfalls gestrichelt sein müssen, nur die dritte Abtheilung nicht gestrichelt wird. Am besten wird das Verhältniß klar, wenn man wieder auf das reguläre System zurückgeht, und sich die Hauptfläche in dreigliedriger Stellung projectirt:



1) Würfel gibt uns das Hauptrhomboeder $\omega = a : a : \infty a$ mit rechten Winkeln in den Endkanten.

2) Oktaeder zerfällt in die Geradenfläche und das nächste schärfere $o = \frac{1}{2}a' : \frac{1}{2}a' : \infty a$, denn sein Rhomboeder hat die Endkantenwinkel des Tetraeders, muß also vom Würfel abgestumpft werden. Die Geradenfläche $c : \infty a : \infty a : \infty a$ haben wir zur Projectionsebene gewählt.

3) Granatoeder liefert das erste stumpfere Rhomboeder $d = 2a' : 2a' : \infty a$, und die 2te sechsseitige Säule $h = a : \frac{1}{2}a : a : \infty c$, weil

es die Kante des Würfels abstumpft.

4) Leucitoeder, die Kanten des Granatoeders abstumpfend, muß die erste Säule $a = a : a : \infty a$ und das 2te stumpfere Rhomboeder $l' = 4a : 4a : \infty a$ geben. Außer diesen bleibt aber noch der Dreikantner $l = a' : \frac{2}{3}a' : 2a'$, gestrichelt, weil er in der ersten Abtheilung der Kantenzone des nächsten stumpferen Rhomboeders liegt, und seinen scharfen Winkel wie ω hat.

5) Pyramidenwürfel $a : \frac{1}{2}a : \infty a$ bildet oben an seiner Enddecke ein Dihexaeder $p = 3a : \frac{2}{3}a : 3a$, und darunter liegt der beim Kalkspath so gewöhnliche Dreikantner $p' = a : \frac{1}{2}a : \frac{1}{2}a$, denn er schärft ja die Zickzackanten des Würfels zu.

6) Pyramidenoktaeder $a : a : \frac{2}{3}a$ stumpft die gebrochenen Würfelkanten des Leucitoeders ab, daher muß das obere Rhomboeder $t = 8a' : 8a' : \infty a$, das darunter liegende $t' = \frac{1}{2}a' : \frac{1}{2}a' : \infty a$ haben, denn dieses stumpft die stumpfe Endkante $c : \frac{2}{3}b$ des Dreikantners l ab. Jetzt bleibt nur noch der Dreikantner $t'' = 2a' : \frac{1}{2}a' : \frac{2}{3}a'$ über, der z. B. beim Kalkspath (Nro. 38) schon vorkommt.

7) Pyramidengranatoeder $a : \frac{1}{2}a : \frac{1}{2}a$ gibt uns oben ein Dihexaeder $g = 6a : 3a : 6a$; darunter liegt Dreikantner $g' = 4a' : a' : \frac{2}{3}a'$; dann folgt $g'' = a' : \frac{2}{3}a' : \frac{2}{3}a'$; endlich die 6 + 6kantige Säule $g'' = a : \frac{1}{2}a : \frac{1}{2}a : \infty c$.

Denkt man sich also am regulären System irgend eine der trigonalen Aren etwas länger oder kürzer als die übrigen drei, so muß sogleich das System dreigliedrig werden, obgleich der Zonenzusammenhang gleich bleibt. Jedenfalls gelangen wir auf diese Weise zu folgender Einteilung:

1) Rhomboeder 1ster Ordnung $ma : ma : \infty a : c = mam$; 2ter Ordnung $ma' : ma' : \infty a' : c = ma'm$.

2) Sechseckige Säulen: 1ste Säule $a : a : \infty a : \infty c = oao$; 2te Säule: $a : \frac{1}{2}a : a : \infty c = oa\frac{1}{2}o$.

3) Geradenbüschel $c : \infty a : \infty a : \infty a = \infty a \infty$.

4) Sechsendsechskantige Säulen $a : \frac{a}{m} : \frac{a}{m-1} : \infty c = oa \frac{0}{m}$.

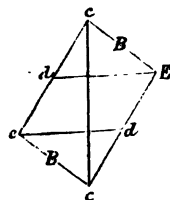
5) Dreikantner: 1ster Ordnung $\frac{a}{m} : \frac{a}{n} : \frac{a}{n-m} : c = \frac{1}{m} a \frac{1}{n}$;

2ter Ordnung $\frac{a'}{m} : \frac{a'}{n} : \frac{a'}{n-m} : c = \frac{1}{m} a' \frac{1}{n}$.

6) Dihexaeder $ma : \frac{1}{2}ma : ma = ma \frac{1}{2}m$.

Blos der 6+6 Kantner kann aus dem regulären System nicht abgeleitet werden. Man gelangt zu ihm nur durch ein rhomboedrisches System. Siehe unten beim Zwilling.

Rhomboeder. Legt man eine Horizontalebene durch je drei der Zickzackeden, so theilen diese die ganze Axe c in drei gleiche Theile pag. 49. Es gilt diese Dreitheilung übrigens ganz allgemein für jedes Parallelepiped. Häufig spricht man auch noch von seinen Hauptschnitten, d. h. drei Ebenen, welche respective den Flächen der zweiten sechseckigen Säule parallel gehen, also in der Axe c , der Endkante B und der schiefen Diagonale d liegen. Die Linien dE und de bilden die Durchschnitte obiger Horizontalebenen mit den Hauptschnitten, theilen daher cc in drei gleiche Theile und werden selbst im Verhältniß 1:2 geschnitten.



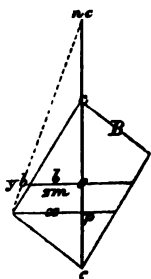
Mohs und Naumann bezeichnen nun die Rhomboeder so, daß sie alle in unserer Projection durch die Einheiten $a : a$ gelegt denken, und dann das Verhältniß beischreiben, unter welchem Axe c geschnitten wird. R bedeutet das Grundrhomboeder. Also

$$mR = a : a : \infty a : mc = \frac{a}{m} : \frac{a}{m} : \infty a : c.$$

Dies Zeichen ist wenigstens nur insofern zweideutig, als man immer merken muß, daß die Axe c und nicht die a verlängert gedacht werde. Da nach wäre ein Zeichen $\frac{1}{m}a$ besser. Mohs hat nun aber unglücklicherweise noch die Reihen hineinverwoben. Ein Rhomboeder $3c : a : a : \infty a = 3R$ schreibt er $\frac{3}{2}R + 2$, das soll heißen, das 2te schärfere von einem Rhomboeder $\frac{3}{2}R$. $R' = a' : a' : \infty a : c$ bezeichnet er mit $-R$, so ist also ein Rhomboeder $-R - 1 = \frac{1}{2}R = 2a : 2a : \infty a : c$, d. h. das nächste stumpfere vom Gegenrhomboeder.

Dreikantner (Skalenoeder). Hier wird das Mohs'sche Zeichen wahrhaft hieroglyphisch, seine Schüler haben es daher verlassen, und sich dem Naumann'schen zugewendet. Dieser geht vom eingeschriebenen Rhomboeder

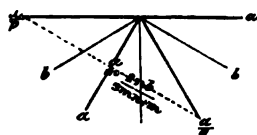
der Seitenkanten des Dreikantners aus, verlängert die Hauptaxe c , und legt durch diesen Punkt und die Zickzackkanten Flächen. Das Symbol mRn bedeutet daher ein Rhomboeder $mR = \frac{a}{m} : \frac{a}{m} : \infty a : c$, dessen Hauptaxe c bis nc verlängert ist, und von diesem Punkte nc werden 6 Flächen nach den Zickzackkanten des Rhomboeders mR gelegt. Leider sind durch dieses Zeichen für



die Fläche nur zwei Axenpunkte $nc : \frac{a}{m}$ unmittelbar festgestellt, wir müssen also den dritten Ausdruck für die stumpfe Endkante $nc : yb$ des Dreikantners suchen. Es verhält sich $x : \frac{b}{2m} = pc : oc = \frac{1}{2}c : c$, $x = \frac{2}{3m}b$; ferner $\frac{2b}{3m} : yb = p \cdot nc : o \cdot nc = (n + \frac{1}{2})c : nc$,

$$yb = \frac{2nb}{3m(n + \frac{1}{2})}, \quad y = \frac{2n}{3mn + m}.$$

Wir haben also damit die drei Punkte $nc : \frac{a}{m} : \frac{2nb}{3mn + m}$. Projiciren wir dies, so findet sich



$$q = \left(\frac{3mn + m}{2n} - m \right) = \frac{mn + m}{2n}, \text{ und}$$

$$p = \left(m - \frac{mn + m}{2n} \right) = \frac{mn - m}{2n}, \text{ folglich}$$

$$\frac{a}{p} : \frac{a}{m} : \frac{a}{q} : nc = \frac{2n}{mn - m} : \frac{a}{m} : \frac{2n}{mn + m} : a : nc = \frac{2a}{mn - m} : \frac{a}{mn} : \frac{2a}{mn + m} : c = mRn.$$

Beispiel. Für R_3 ist $m = 1$, $n = 3$, gibt $a : \frac{1}{2}a : \frac{1}{2}a : c$, den gewöhnlichen Dreikantner; $\frac{1}{2}R_3$, $m = \frac{1}{2}$, $n = 3$, gibt $4a : \frac{1}{2}a : 2a : c = a : \frac{1}{4}a : \frac{1}{2}a : \frac{1}{2}c$. Raumann bezeichnet ferner ein Dihexaeder $a : a : \infty a : c = P$, und $a : a : \infty a : mc = mP$. Den Sechskantner, welcher die Endkanten von mP zuschärft, schreibt er $mPn = mc : a : na : \frac{n}{1-n}a$. Dieses Zeichen läßt

uns doch wenigstens den Axenausdruck ablesen, indem m die Verlängerung von c , und n die Verlängerung des 2ten a bezeichnet. Der Ausdruck $mP_2 = mc : a : 2a : -2a = mc : 2a : a : 2a$ bezeichnet das nächste stumpfe Dihexaeder von mP . Haubinger setzt statt P den Buchstaben Q (Quarzoide).

Der Zusammenhang zwischen den allgemeinen Zeichen von Mohs und Weiß ist einfach folgender: Das allgemeine Zeichen von Weiß ist

$$\frac{a}{\mu} : \frac{b}{\mu + \nu} : \frac{a}{\nu} : \frac{b}{2\nu - \mu} : \frac{a}{\nu - \mu} : \frac{b}{\nu - 2\mu} : \frac{c}{\lambda}$$

worin b die Zwischenaxen pag. 58 bezeichnet. Wenn von diesen Zeichen außer $\frac{c}{\lambda}$ zwei beliebige gegeben sind, so kann man die übrigen vier durch einfache Addition oder Subtraction der Nenner finden. Ist z. B. $\frac{a}{\mu}$ und $\frac{a}{\nu}$

gegeben, so findet sich der Nenner des dritten a daraus durch Subtraction $\nu - \mu$. Der Nenner von je zwei einem a anliegenden b ist stets $\frac{1}{2}$ der Summe, also $\nu = \frac{1}{2}(\mu + \nu + 2\nu - \mu)$, $\nu - \mu = \frac{1}{2}(2\nu - \mu + \nu - 2\mu)$,

$\mu = \frac{1}{2}(\mu + \nu - (\nu - 2\mu))$. Die Nenner von b finden sich durch Addition der Nenner von den anliegenden a . Es ist die Folge des Kantenzonengesetzes pag. 47.

Das allgemeine Mohs'sche Zeichen ist $(P \pm n)^m$, und wenn man dieses auf unser Zeichen zurückführen will, so findet der Zusammenhang Statt:

$$(P \pm n)^m = \frac{1}{2}(-2)^{\pm n} c : \frac{b}{3m-1} : \frac{b}{3m+1}. \text{ Aus dem gegebenen } c \text{ und beiden}$$

b kann man dann das volle Weiß'sche Zeichen leicht entwickeln.

Beispiel. Im Dreikantner des Kalkspathes $b^3 = (P-2)^3$ ist $n = -2$ und $m = 3$, gibt

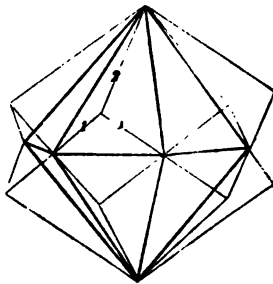
$$\frac{1}{2}(-2)^{-2} c : \frac{b}{9-1} : \frac{b}{9+1} = \frac{c}{8} : \frac{b}{8} : \frac{b}{10}.$$

Zwischen den beiden b muß $\frac{a}{\frac{1}{2}(8+10)} = \frac{a}{9}$ liegen, folglich muß vor $\frac{1}{2}b$ ein $\frac{1}{2}a$ stehen, weil $6+2=8$ ist, also folgt das Zeichen

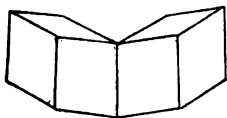
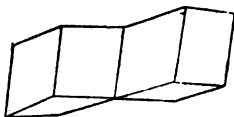
$$\frac{c}{8} : \frac{a}{2} : \frac{b}{8} : \frac{a}{6} : \frac{b}{10} : \frac{a}{4} : \frac{b}{2} = \frac{c}{4} : a : \frac{a}{4} : \frac{b}{3} : \frac{a}{5} : \frac{b}{2}.$$

Für $e_3 = (P-1)^3$ ist $n = -1$ und $m = 3$, also $\frac{1}{2}(-2)^{-1} c = -\frac{1}{2}c$, daher ist der Dreikantner $\frac{1}{2}c : \frac{1}{2}b : \frac{1}{2}b$ zweiter Ordnung. Auf dieses Vorzeichen muß man deßhalb sehr achten. Wenn also $n = 0$ ist, wie in den Zeichen $(P)^3 = \frac{1}{2}c : \frac{1}{2}b : \frac{1}{2}b$, so muß die Ordnung noch durch ein besonderes Vorzeichen angedeutet werden, es ist daher $-(P)^3$ der Gegendreikantner von denselben Arenausdrücken.

Zwillinge. Nimmt man zwei gleiche dreigliedrige Octaeder pag. 26 und legt sie mit ihrem gleichseitigen Dreieck auf einander, so gibt das das erste Hauptzwillingsgesetz. Die Rhomboeder haben in dieser Weise die Hauptaxe c gemein, und sind gegen einander um 60° im Azimuth verdreht. Beim Kalkspath sind die beiden Zwillingeindividuen über einander gewachsen: es correspondiren dann beim Rhomboeder Flächen und Kanten an beiden Enden mit einander; beim Dreikantner die stumpfen mit den stumpfen, die scharfen mit den scharfen Endkanten. In den meisten Fällen verrathen auch einspringende Winkel die Zwillinge gränze. Durchwachsen sich die Rhomboeder, so stehen die Zickzackkanten des einen über die Flächen des andern hervor, die Kanten werden im Verhältniß $1:1:2$ geschnitten, und das gemeinsame Kernstück ist ein Dihexaeder. Würden sich zwei Dreikantner durchwachsen (Dreikantner und Gegendreikantner), so entstünde ein $6+6$ Kantner. Legen wir obige dreigliedrigen Octaeder mit ihren gleichschenkligen Dreiecken an einander, so kommt



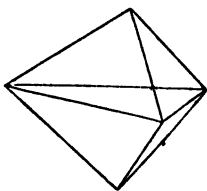
das 2te Zwillingsgesetz. Man kann auch zwei gleiche Rhomboeder nehmen. Legt man diese mit ihren Endkanten in symmetrischer Lage



an einander, so sind nur zwei Stellungen möglich: entweder liegen sie einander parallel, oder um 180° gegen einander verdreht (man sagt umgekehrt). Letztere eindeutige Stellung gibt den Zwilling. Gewöhnlich sind beide Rhomboeder verkürzt, man darf daher nur ein Rhomboeder parallel der Fläche des nächsten stumpfern Rhomboeders halbiren, und beide Stücke auf der Halbirungsebene um 180° gegen einander verdrehen, so ist der Zwilling fertig.

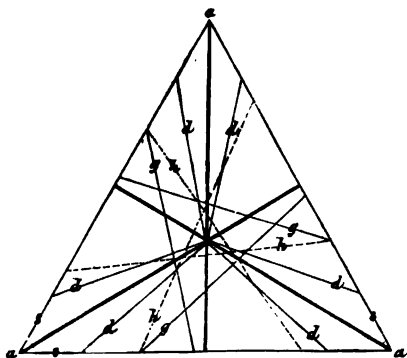
Es wird dadurch im Krystall eine zweigliedrige Ordnung hergestellt. Das steht in auffallender Analogie mit dem Zwilling des viergliedrigen Systems, der auch eine zweigliedrige Ordnung erzeugt, nur ist statt der Schiefenfläche ein augitartiges Paar auf der gemeinsamen Säule pag. 82. Oft wiederholen sich zahllose Platten über einander, die ungeraden gehören dem einen, die geraden dem andern Individuum an. Kalkspath liefert ein gutes Beispiel. Dihexaedrische Systeme sind weniger zu Zwillingsbildungen geneigt. Das erste Hauptgesetz kann hier gar keinen Zwilling geben, weil die Sextanten durch die Flächen schon gleichmäßig ausgefüllt sind. Nur wenn, wie bei manchen Quarzen, die abwechselnden Dihexaedrerflächen glänzend und matt sind, entstehen jene höchst eigenthümlichen Quarzzwillinge.

Gyroedrie. Nimmt man das Gyroeder pag. 74 in seiner 3gliedrigen Stellung, so bilden die drei obersten Flächen und die aufrechte trigonale Axe ein sogenanntes **Trigonoeder**, d. h. ein Rhomboeder, woran wie am



Kalkspathzwilling die untere Hälfte gegen die obere um 60° verdreht steht. Der Körper ist also eine Folge der Drehung, ohne daß man ihm Drehung ansieht. Die darunterliegenden Flächen geben zweierlei dreigliedrige Gyroide (Plagieder), Raumann's enantiomorphe Trapezoeder (Leonhard's Jahr. 1856. 150): ein links und ein rechts gewundenes. Das Gyroid besteht

aus zwei Rhomboederenden, die gegen einander weniger als 60° im Azimuth verdreht sind. Endlich kommt eine 3 + 3kantige Säule. Merkwürdiger Weise glaubt



Hr. G. Rose (Abh. Berl. Akad.-Wiss. 1844) beim Quarz eine solche Anordnung der Flächen nachweisen zu können. Das wäre eine der glänzendsten Errungenschaften der Krystallographie. Geht man, wie gewöhnlich, vom Sechskantner pag. 83 aus, so entsteht ein sechsgliedriges Gyroid (Diplagieder). Dieß läßt sich wegen seiner vierseitigen Flächen zwar nicht mehr mit 0 und 1 behandeln, allein

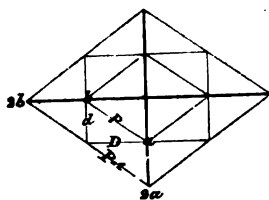
man kann es doch auch als aus zwei Plagiedern entstanden denken, dann gäbe es einen tetartoedrischen Körper, wie Hr. Naumann will. Organischer scheint mir, es an das Gyroeder des regulären Systems anzuschließen. Man darf sich zu dem Ende nur die Hälfte projiciren, um sogleich einzusehen, daß im Trigonoeder s , ein Gyroid g , ein Gegengyroid h , und eine 3 + 3kantige Säule d , welche die abwechselnden Kanten der regulären sechsseitigen Säule abstumpft, entsteht. Es ist im Ganzen Quarzordnung.

Zweigliedriges System.

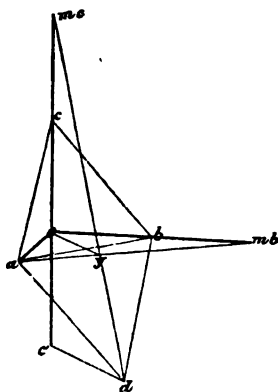
Prismatisches oder orthotypes S. Mohs, rhombisches Naumann, trimetrisches Hausmann.

Es hat drei ungleiche rechtwinklige Axen abc , daher auch einundein-axiges System genannt. Axe c wird immer aufrecht gedacht und Hauptaxe genannt, während von den Nebenaxen a und b zugekehrt von vorn nach hinten und b von links nach rechts geht. Es ist hier nur von geringem Nutzen, aus dem regulären System die Körper abzuleiten, da wir es zu keiner vielseitigern Form als zum Oктаeder $a : b : c$ pag. 25 bringen. Mögen wir die Axen auch schneiden, wie wir wollen, das allgemeinste Zeichen $ma : nb : c$ kann nur mit vier Linien projicirt werden. Allen Oктаedern ist ein einziges rechtwinkliges Hexaid gemein: $c : ooa : oob$, $b : ooa : ooc$ und $a : oob : ooc$, es sind die dreierlei Flächen, welche die 2 + 2kantigen Ecken abstumpfen. Nur diese drei Ecken sind im Systeme möglich. Dagegen hat jedes Oктаeder drei ihm zugehörige Paare, von denen nur eins verschiedenen Oктаedern gemeinsam sein kann. Jedes dieser Paare bildet eine rhombische Säule, deren Kante einer der drei Axen parallel geht, daher muß es drei Systeme von Paaren geben: 1stes System geht der Axe c parallel, also $a : nb : ooc$. und darunter bildet $a : b : ooc$ die Säule, von der man ausgeht; 2tes S. geht der b parallel, also $c : ma : oob$, und ist auf die vordere (stumpfe) Säulenkante gerade aufgesetzt; 3tes S. $c : nb : ooa$. Haben wir also ein Oктаeder $a : b : c$, so bilden $a : b : ooc$, $a : c : oob$ und $b : c : ooa$ die drei zugehörigen Paare, die für sich ein zweigliedriges Dodekaëd pag. 41 mit dreierlei Parallelogrammen geben. Je zwei Paare davon bilden ein Oblongoктаeder. Wir bringen es also bloß zu drei einzelnen Flächen, drei Systemen von Paaren (Säulen) und zahlreichen Oктаedern.

Das allgemeine Symbol einer Fläche könnte man man oder nbm schreiben, wo dort am Ende b und hier a weggelassen gedacht würde, stets $c = 1$ gesetzt. Naumann bezeichnet das Hauptoktaeder mit einem Buchstaben P (Pyramide), ein Zeichen $mP = mc : a : b$, und $oP = oc : a : b$. Ist nun eine solche mP festgestellt, so verlängert er die b (Macrodiagonale) bis nb , und zeigt dieß durch einen Querstrich über P an, also $mP^{\bar{}} = mc : nb : a$. Das andere Mal denkt er die a (Brachydiagonale) bis na verlängert, und zeigt das durch ein Häkchen über P an, also $mP^{\bar{}} = mc : na : b$. Freilich vergißt man die Bedeutung des Häkchens und Striches immer wieder. Noch ungleich gesuchter ist die Mohs'sche Weise: dieser geht auch vom Grundoktaeder $P = a : b : c$ aus, denkt sich dann als nächstes stumpferes das zu-



gehörige Oblongoktaeder d und D , und schreibt um dieses wieder ein Oktaeder $2a:2b:c$, dem er das Symbol $P-1$ gibt, dann muß $P-2 = 4a:4b:c = a:b:2^{-2}c$, und $P+n = a:b:2^{+n}c$ sein. Die Paare bezeichnet er mit $Pr = \text{Prisma}$, so daß $Pr+n = a:ob:2^{+n}c$ und $\bar{Pr}+n = b:oa:2^{+n}c$ die zwei zugehörigen Paare zum Oktaeder $P+n$ bilden. Zur Ableitung weiterer Oktaeder wird nun wie beim viergliedrigen System pag. 81 verfahren. Es sei eine allgemeine Oktaederfläche abc gegeben, wir construiren das Parallelogramm $cadb$,



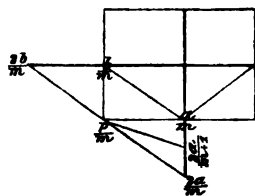
so ist $c'd$ die diagonale Zwischenaxe. Axe oc bis mc verlängert, und von diesem Punkte nach d gezogen, muß die Linie $mc:d$ die Ebene aob in einem Punkt y treffen, der durch die Proportion $c'd:yo = (m+1)c:mc$ bestimmt werden kann. Es ist aber $c'd$ gleich der diagonalen

Zwischenaxe d , folglich $y = \frac{m}{m+1}d$; weil ferner y in der Kantenzone liegt, so muß eine Linie von a nach $\frac{m}{m+1}d$ gezogen die Axe b in mb schneiden. Das abgeleitete Oktaeder hat also den Ausdruck $a:mb:mc = (P)m$. Ganz auf dieselbe Weise finden wir das andere Oktaeder $ma:b:mc = (\bar{P})m$, weil dort die lange und hier die kurze Nebenaxe verlängert ist. Hätten wir statt des Oktaeders P ein Oktaeder $P+n$ gewählt, so wäre $(P+n)^m = a:mb:2^{+n}mc$ und $(\bar{P}+n)^m = ma:b:2^{+n}mc$ (Charakter. pag. 33). Mohs geht aber noch weiter, er leitet auch aus den Kanten der Oblongoktaeder andere Oktaeder ab. Haben wir demnach zwei Paare

$$Pr+n = a:ob:2^{+n}c \text{ und } \bar{Pr}+n = b:oa:2^{+n}c,$$

und nehmen wir $2^{+n}c$ als die Axeneinheit c , so werden die Endkanten dieses Oblongoktaeders in der Kantenzone (a, b) liegen. Jetzt verlängern wir $2^{+n}c$ um m mal, dann müssen die Projectionslinien dieser Flächen durch $\frac{a}{m}$ und $\frac{b}{m}$

gehen für die aufrechte Axe $2^{+n}c$. Endlich die Oktaederfläche $\frac{2a}{m}:\frac{2b}{m}$ gezo-



gen, muß die Linie $\frac{2a}{m+1}$ zwischen $\frac{a}{m}$ und $\frac{2a}{m}$ legen die Axe b in $\frac{2b}{m-1}$ schneiden, weil $\frac{m+1}{2} + \frac{m-1}{2} = m$ ist, nach dem bekannten Kantenzonengesetz, so daß ein Zeichen

setzt, so daß ein Zeichen

$$(\underline{Pr}+n)^m = \frac{2}{m+1} a : \frac{2}{m-1} b : 2^{+n} c,$$

$$(\underline{Pr}+n)^m = \frac{2}{m-1} a : \frac{2}{m+1} b : 2^{+n} c \text{ wird. (Charakteristil}$$

pag. 35.)

Beispiele. Zur Uebertragung der Mohs'schen in die Weiß'schen Formeln braucht man nur folgende 4 allgemeinste Ausdrücke:

$$1) (q\underline{P}+n)^m = a : mb : mq2^{+n}c.$$

$$2) (q\underline{P}+n)^m = ma : b : mq2^{+n}c.$$

$$3) (q\underline{Pr}+n)^m = \frac{2}{m+1} a : \frac{2}{m-1} b : q2^{+n}c.$$

$$4) (q\underline{Pr}+n)^m = \frac{2}{m-1} a : \frac{2}{m+1} b : q2^{+n}c.$$

An Braunnmanganerz (Pogg. Ann. 7. 225) ist

$$g = (\frac{1}{2}\underline{P}-2)^3, \text{ folgl. } q = \frac{1}{2}, n = -2, m = 3,$$

gibt nach (1) $g = a : 3b : 3 \cdot \frac{1}{2} \cdot 2^{-2}c = a : 3b : c.$

$m = P + 1$, folglich $q = m = n = 1$, deßhalb geben Formel (1 und 2)

$$m = a : b : 2c.$$

$h = (\underline{Pr}-1)^3$, folglich in Formel (3) $q = 1, n = -1, m = 3$, gibt

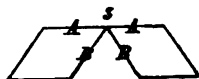
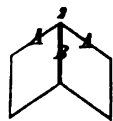
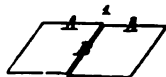
$$h = \frac{2}{3+1} a : \frac{2}{3-1} b : 2^{-1}c = \frac{1}{2}a : b : \frac{1}{2}c.$$

$c = (\frac{1}{2}\underline{Pr}-1)^3$, folglich in Formel (4) $q = \frac{1}{2}, n = -1, m = 3$, gibt

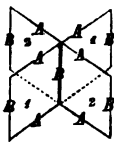
$$c = \frac{2}{3-1} a : \frac{2}{3+1} b : \frac{1}{2} \cdot 2^{-1}c = a : \frac{1}{2}b : \frac{1}{2}c.$$

Gemiedrie kommt zwar selten im zweigliedrigen Systeme vor, allein es gibt doch eine ausgezeichnete tetraedrische beim weinsteinsäuren Kali (Weinstein, Tartarus), Häubinger nennt die zweigliedrigen Tetraeder pag. 25 daher **Tartaroid**, Naumann Rhombische **Sphenside**. Vergleiche auch Zinkvitriol, Bittersalz, Braunnmanganerz u. Pyritöedrische kann nicht vorkommen, weil überhaupt nur Paare parallel einer der Axen gehen.

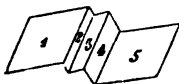
Zwillinge spielen eine ausgezeichnete Rolle, sie richten sich gewöhnlich nach den rhombischen Säulen: die Krystalle haben irgend eine Säulenfläche gemein, und liegen umgekehrt, sie wachsen in dieser Stellung entweder aneinander, oder durcheinander. Man macht sich am leichtesten die Sache mit zwei einfachen rhombischen Säulen klar: Im Falle 1 liegen beide parallel nebeneinander, und das ist kein Zwilling; im 2ten Falle haben sie B gemein, und A liegt umgekehrt, oder man sagt auch, das eine Individuum sei um das andere um 180° verdreht; im dritten Falle haben sie A gemein, d. h. dieselben spiegeln, und die B liegen umgekehrt. Da aber im zweigliedrigen System $A=B$ ist, so sind die Fälle 2 und 3 nicht von einander verschieden. Die



Symmetrie bringt es mit sich, daß in der Ausdrucksweise „umgekehrt“ nichts Zweideutiges liegt.

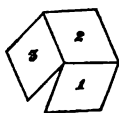
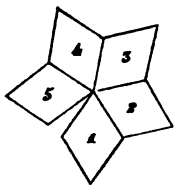


Wachsen die Individuen in ihrer Zwillingsstellung durch einander, so fallen die Unterscheidungsmerkmale der beiden Fälle ganz weg, es ist ein und dasselbe Zwillingsgesetz.



Häufig reihen sich die Individuen in großer Zahl an einander, aber so daß die ungerader Zahl 1357 denen gerader Zahl 2468 parallel gehen. Es sind im Grunde nur zwei Individuen, welche sich in einander schränken. Nicht selten verengen sich die zwischenliegenden stark, sind oft so fein, daß sie nur an Streifungen erkannt werden, und zu der Meinung verleiten, man habe nur ein Individuum vor sich. Der Arragonit liefert vortreffliche Beispiele.

Drillinge bilden nur eine einfache Fortsetzung des Hauptgesetzes, und es hängt lediglich von der Größe des Säulenwinkels ab, wie viele sich um einen Punkt schaaren können. Beim Arragonit beträgt z. B. der Säulen-



winkel 116° und 64° : schaaren sich also mit dem stumpfen Winkel drei Individuen, so bleibt noch ein Raum von $360 - 3 \cdot 116 = 12^\circ$, in welches kein vollständiges viertes mehr geht; mit dem scharfen Winkel können sich dagegen 5 an einander legen, und es bleibt noch ein

Raum von $360 - 5 \cdot 64 = 40^\circ$, in welchen kein vollständiges sechstes hinein paßt. Siehe noch den Binarkies. Uebrigens brauchen die Individuen sich nicht bloß um einen Punkt anzuheufen, sondern jedes kann wieder zu neuen Anlagerungen Anlaß geben, sie durchwachsen sich, und legen uns so eine Menge Schwierigkeiten in den Weg, die wir nicht immer zu durchschauen im Stande sind. Beträgt der stumpfe Säulenwinkel 120° , oder kommt er diesem nahe, so füllen drei Individuen mit ihren stumpfen Winkeln den Raum vollkommen aus, und verwischen sich die Zwillingsgränzen, so entsteht dann eine reguläre sechsseitige Säule, und eine vollständige sechsgliedrige Entwicklung des Systems. So ist es z. B. beim Silberkupferglanz, Arsenikfies, Chrysoberyll. Es wird dann auch hier durch den Drilling eine höhere Symmetrie hingestellt. Selten kommt es bei einem Systeme vor, daß sich nach verschiedenen Säulen Zwillingsverwachsungen zeigen, wie z. B. beim Arsenikfies und Binarkies.

Eine eigenthümliche Bewandniß hat es mit dem Kreuzstein und Staurolith, die dort nachzusehen sind.

Zweiundeingliedriges System.

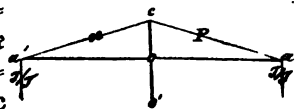
Hemiprismatisches oder hemiorthotypes S. Moßs, Monoklinoebrisches Naumann, hemirhombisches, Klinorhombisches, Augitisches.

Hier bleiben nur noch Paare und Einzelflächen, daher die passendste Benennung von Weiß. Wie wir pag. 31 sahen, steht die Hauptaxe c

häufig etwas schief gegen A, aber noch rechtwinklig auf b. Dreht man daher die Krystalle um die Axe b, so bleiben sie links wie rechts, sind aber vorn anders als hinten. Insofern ist die Richtung b einzig, dagegen können die Axen A und c in der Axenebene Ac, welche den Krystall symmetrisch halbt, verschieden gewählt werden. Unter diesen verschiedenen finden sich aber gewöhnlich zwei, welche vom senkrechten nur wenig abweichen, und diese wählte Weiß zuerst als Axen, bis dann Spätere davon abgingen, und ganz schiefe an ihre Stelle setzten. Daher die Verschiedenheit der Darstellung, welche das Verständniß nicht wenig hemmt.

Bei der Weiß'schen Axenwahl ist der Winkel Aoa immer nur ein sehr kleiner, wir dürfen daher in den Symbolen die Unterschiede ganz vernachlässigen und statt der Fläche $\frac{A}{\mu}$ die alte Bezeichnung $\frac{a}{\mu}$ beibehalten, ob-

gleich wir nach Anleitung von pag. 61 $\frac{a}{\mu+k}$ setzen müßten. Die rohe Beschreibung leidet unter dieser Vertauschung nicht. Vor allem steht die Medianebene $b: \infty a: \infty c$ (Längsfläche) fest, und sämtliche gegen sie senkrechte Flächen treten nur ein einziges Mal auf, sie gehen der b parallel. Dazu gehören $a: \infty b: \infty c$, $c: \infty a: \infty b$, die vordern Schiefendflächen $c: ma: \infty b$ und die hintern Gegenflächen $c: ma': \infty b$. Alles was die Medianebene unter schiefen Winkeln schneidet, also symmetrisch dagegen liegt, tritt doppelt auf, bildet augitartige Paare (kurz Augitpaare). Nur eines dieser Paar-Systeme geht der Hauptaxe parallel, daraus wird die Säule $a: b: \infty c$ genommen, von der man gewöhnlich ausgeht. Auch in der Wahl der Säule weichen die Schriftsteller selten von einander ab, weil in der Regel dieselbe sich vor allen andern Augitpaaren ausdehnt, doch liegt im Allgemeinen kein genügender Grund vor, welches Paar man zur Säule wählen soll. Steht also die Medianebene, welche den Krystall symmetrisch theilt, und die Säule fest, so ist damit die Richtung der Axe b (senkrecht auf die Medianebene) und der Axe c (der Säulenkaute von $a: b: \infty c$ entsprechend) gegeben, nur in der dritten a ist noch verschiedene Wahl möglich. Diese a hängt lediglich von den Schnitten ab, in welchen die Schiefendflächen und Augitpaare die Medianebene treffen. Wir dürfen daher die Schnitte nur auf der Medianebene ziehen, um von der Sache eine klare Vorstellung zu gewinnen, z. B. Feldspath: derselbe bildet eine geschobene Säule $T/T = a: b: \infty c$, deren Kante der Richtung von cc' entspricht; der zweite Blätterbruch (Medianebene) $M = b: \infty a: \infty c$ stumpft die scharfe Säulenkaute gerade ab, folglich steht Axe b senkrecht auf M und Axe c. Die Schiefendfläche $P = a: c: \infty b$ entspricht dem ersten Blätterbruch und ist vorn, die hintere Gegenfläche $x = a': c: \infty b$ ist hinten auf die stumpfe Säulenkaute gerade aufgesetzt. Macht man sich nun den Aufriß in der Medianebene M, so muß die Axe cc' der Säulenkaute T/T parallel gehen. Die Linien P und x sind die Schnitte der Endflächen mit der Medianebene, durch Rechnung findet man ihre Neigung gegen die Axe c

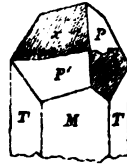


pag. 64: P zu c macht $63^{\circ} 53'$ und x zu c $65^{\circ} 47'$. Wären beide Neigungen gegen Axe c gleich, so würde aa' gegen cc' senkrecht gezogen im Punkte o halbirt werden. Jetzt aber muß der Winkel aoc etwas größer sein als a'oc, sonst kann die Linie in o nicht halbirt sein. Das ganze Problem läuft also auf folgenden einfachen Satz hinaus: sind mir in der Medianebene zwei beliebige Linien ac und a'c gegeben, und ziehe ich im Winkel aca' eine beliebige Hauptaxe cc', so kann ich durch einen beliebigen Punkt o eine Axe aa' d. h. eine Linie aa' legen, die in o halbirt wird. Naumann wählt beim Feldspath das vordere Augitpaar m, und das hintere o, deren Mediananten sehr verschieden gegen die Hauptaxe geneigt sind, weshalb die Axe a hinten mit c einen Winkel von $63^{\circ} 53'$ macht, also um $26^{\circ} 7'$ von einem rechten Winkel abweicht, während unsere Axenwahl hinten mit einem Winkel von $88^{\circ} 50'$ nur um $1^{\circ} 10'$ vom rechten abweicht. Nun werden zwar bei der Naumann'schen Axenwahl die Ausdrücke der Flächen etwas einfacher, weil Schiefendfläche P Basis c: ooa: oob ist, allein da das Feldspathsystem ganz die gleiche Entwicklung wie Hornblende, Augit, Epidot zeigt, wo die Weiß'schen Axen, wenn etwa, so doch nur um ein Minimum von der Rechtwinkligkeit abweichen, so wird man den großen Vortheil, den rechte Winkel gewähren, nicht gegen die vagen schiefwinkligen aufgeben wollen. Denn vag sind die schiefwinkligen, weil ich mit demselben Rechte und Vortheil auch ganz andere als Naumann nehmen dürfte, während die Weiß'sche Wahl meist nur ein einziges Mal getroffen werden kann, und insofern etwas Zwingendes hat. Von der Priorität und den zahllosen lehrreichen Beziehungen gar nicht zu reden, welche Weiß gerade im Feldspath mit so viel Genialität uns dargelegt hat.

Mohs nennt, wie wir pag. 31 sahen, den Winkel, welchen das Perpendikel von c auf a gefällt mit der Axe c macht, die Abweichung. Das ist nun zwar ganz gegen die gewöhnliche Vorstellung, es ist aber glücklicher Weise die gleiche Winkelgröße, um welche der Axenwinkel ac von einem rechten abweicht. Naumann nennt das 2 + 1gliedrige Ottaeder mit 2 Augitpaaren klinometrische Pyramide $\pm P$; —P bezeichnet das vordere und +P das hintere Paar. Man sollte hier auch wieder nach Vorgängen von Hauy und Weiß die umgekehrte Bezeichnung erwarten. $+mP = mc : a' : b$, und $-mP = mc : a : b$; $+mPn = mc : a' : nb$, $-mPn = mc : a : nb$; $+(mPn) = mc : na' : b$ und $-(mPn) = mc : na : b$. Die Axen abc sind hier wie bei Weiß gedacht, nur mit dem Naumann'schen Axenwinkel ac. Wollen wir es daher auf die Weiß'schen Zeichen zurückführen, so müssen wir uns in den einzelnen Fällen eine Projection entwerfen, und darauf irgend einem Ottaeder, aus welchem man deduciren kann, die Weiß'schen Axen unterlegen, woraus dann die andern Zeichen von selbst folgen, und umgekehrt. Beispiele siehe beim Feldspath, Epidot, Titanit.

Zwillinge. Das Hauptgesetz beruht darauf, daß die Zwillinge die zweigliedrige Symmetrie herstellen: die Krystalle haben also die Säule gemein und liegen mit ihren Enden umgekehrt. Es spiegelt dann alles ein, was in der Säulenzone liegt, namentlich auch die Medianebene beider Individuen,

und es ist dabei gleichgültig, ob die Individuen durch einander wachsen, oder sich mit dieser oder jener Fläche aus der Säulenzone an einander legen. In Drusen des Granites der Fuchsberge bei Striegau in Schlesien kommen prachtvolle **Feldspathzwillinge** mit Periklin und Epidot vor, woran am Ende der einseitigen Säulenflächen TMT die Flächen P und x ein so vollkommen ausgeglichenes Dach bilden, daß man das Mineral für 2gliedrig halten würde, wenn nicht die matten xx' und glänzenden PP' auf die richtige Spur führten. Man möchte sagen, Natur weise hier mit Fingern darauf hin, daß P analog den 2gliedrigen Paaren (und nicht deren Geradenflächen) zu nehmen sei. Ähnliches wiederholen Hornblende, Augit, Gyps. Zuweilen haben die Individuen eine der Schiefenflächen gemein (Epidot, Charnit, Titanit), es spielt dann aber immer noch die Medianebene ein. Bloss bei dem Bavenoer Zwillingsgesetz des Feldspath spielt die Medianebene nicht ein, diese Verwachsungen haben aber immer eine Neigung zur Vierlingsbildung, wodurch sogar eine viergliedrige Ordnung erreicht wird. Siehe Feldspath, Schwefel.



Eingliedriges System.

Anorthotypes S. Mohs, Diikino- und Triflinoedrisches Raumann, Tetartoprismatisches, Tetartorhombisches.

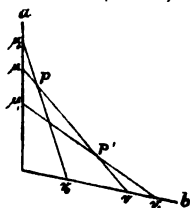
Hier bleibt nun keine Fläche der andern mehr gleich, und wir müssen die Axen mit $a a'$ $b b'$ auszeichnen, um die Lage in den viererlei Oktanten ausdrücken zu können. Mit dem Worte „Fläche“ ist Alles bezeichnet, und es bedarf nicht der schwülstigen Kunstsprache Tetartopyramiden, Hemidoma, Hemiprisma zc. Arginit und Kupfervitriol liefern die unsymmetrischsten Beispiele, wiewohl man erstern, weil $M/P 90^\circ 5'$ bildet, als diiklinometrisch nehmen könnte. Die eingliedrigen Feldspäthe (Albit, Labrador zc.) haben durch ihre Analogie mit dem 2+1gliedrigen Kalifeldspath noch ein besonderes Interesse, da sie häufig als Zwillinge mit Wiederholung der Individuen vorkommen. Dieselben stellen zunächst eine 2+1gliedrige Ordnung her. Letztere Ordnung verwächst dann wieder nach den Zwillingsgesetzen des gewöhnlichen Feldspath, so gelangen wir zuletzt zur zweigliedrigen, ja selbst viergliedrigen Ordnung. Die Substitution rechtwinkliger Hilfsaxen ist nicht mehr practisch, und es scheint am besten, die Winkel mittelst Trigonometrie auszurechnen.

Sann's Bezeichnungsweise.

Sie ist noch heute in Frankreich und England die gangbarste, und beruht auf der Eigenschaft, daß sämtliche Kanten eines Krystalls von einer beliebigen Krystallfläche unter rationalen Verhältnissen geschnitten werden. Beweisen wir diesen Satz allgemein für **rechtwinklige Axen**.

Kantenschnittformel. Gegeben sei eine beliebige Linie $\mu a : \nu b$, diese werde von $\mu_0 a : \nu_0 b$ und $\mu, a : \nu, b$ in p und p' geschnitten, so ist das Stück zwischen pp, =
$$\frac{\mu\mu_0\nu, (\nu_0 - \nu) + \mu_0\mu, \nu (\nu - \nu_0) + \mu\mu, \nu_0 (\nu - \nu,)}{(\mu_0\nu - \mu\nu_0) (\mu, \nu - \mu\nu,)} \sqrt{\mu^2 a^2 + \nu^2 b^2}.$$

Denn es ist nach der Zonenpunktformel pag. 44



$$p = \frac{\mu\mu_0(v-v_0)}{\mu_0v-\mu v_0} a, \quad \frac{v v_0(\mu_0-\mu)}{\mu_0v-\mu v_0} b = ma, nb;$$

$$p = \frac{\mu\mu_0(v-v_0)}{\mu_0v-\mu v_0} a, \quad \frac{v v_0(\mu_0-\mu)}{\mu_0v-\mu v_0} b = m, a, n, b.$$

$$pp = \mu v - \mu p - v p, \quad \mu v = \sqrt{\mu^2 a^2 + v^2 b^2}.$$

$$\mu p = \sqrt{n^2 b^2 + (\mu - m)^2 a^2} = \frac{v_0(\mu_0 - \mu)}{\mu_0 v - \mu v_0} \sqrt{\mu^2 a^2 + v^2 b^2};$$

$v p = \sqrt{m, a^2 + (v - n)^2 b^2} = \frac{\mu, (v - v_0)}{\mu, v - \mu v_0} \sqrt{\mu^2 a^2 + v^2 b^2}$, woraus sich pp , wie oben ergibt. Es ist darin nur das Grundverhältniß der Linie μv irrational, das Vorzeichen derselben rational.

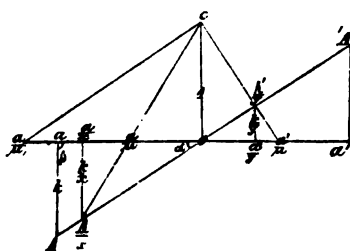
Gewöhnlich braucht man die Formel in dieser Allgemeinheit nicht, sondern setzt $v_0 = 0$, dann fällt p mit dem Punkte μ zusammen, und

$$\mu p = \frac{v, (\mu_0 - \mu)}{\mu, v - \mu v_0} \sqrt{\mu^2 a^2 + v^2 b^2}. \text{ Setzen wir darin } \mu = v = 1, v_0 = -1, \text{ so}$$

ist $\mu p = \frac{1 - \mu}{1 + \mu} \sqrt{a^2 + b^2}$, der bekannte Satz über die Theilung des Dreiecks pag. 70. Diese rationalen Schnitte sind Folge der Deduction.

Nimmt man nun z. B. ein beliebiges Hexaëd, so wird das Octaëd die Kanten der Ecke unter irgend einem irrationalen Grundverhältniß $A:B:C$ abstumpfen, jede andere deducirte Fläche muß diese irrationalen unter rationalen Verhältnissen schneiden. Die ganze Aufgabe läuft daher darauf hinaus, zu bestimmen, wie eine Fläche, welche drei bekannte Kanten unter bekannten Verhältnissen schneidet, die den Kanten zugehörigen Azen schneidet. Zur Lösung bedient man sich mit Vortheil folgenden Satzes über die Vertauschung der Projectionsebene:

Wollen wir Flächen, die auf die Geradenfläche projectirt sind, auf eine beliebige andere Fläche projectiren, so legen wir die neue Projectionsebene durch den Mittelpunkt des Krystalls, und verfahren wie beim 2+1gliedrigen System



pag. 61. Soll die Kante $c: \frac{a}{\mu}$ auf die

Fläche $c: \frac{a}{\mu}$ projectirt werden, so lege diese

durch den Mittelpunkt o nach oA , ziehe x der Aze c parallel, so ist $x = A \sin \alpha$,

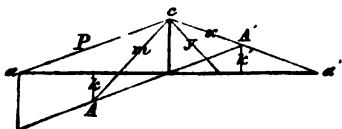
falls Aze c auf a rechtwinklig steht; falls schiefwinklig $x = \frac{A \sin \alpha}{\sin \beta}$. Folglich

$\frac{x}{x} : \frac{a}{\mu} = 1 : \frac{a}{\mu}$; $x = \mu - x$; hinten $y = \mu + x$. Ebenso findet man

in der Aze b die $x = v \mp \lambda$. Eine Fläche $\frac{a}{\mu} : \frac{b}{v}$ hat also in der neuen Pro-

jectionsebene $\frac{A}{\mu+x} : \frac{B}{v+\lambda}$, und umgekehrt eine Fläche $\frac{A}{\mu} : \frac{B}{v}$ wird $\frac{a}{\mu+x} : \frac{b}{v+\lambda}$

Beispiel. Feldspath. Naumann nimmt den Blätterbruch P als Basis, setzt die hintern $o = +P = A:B':C$ und die vordern $m = -P = A:B:C = 0,844 : 1 : 1,518 = 1 : 1,185 : 1,8$; $P/c = 63^\circ 53'$. Man darf nicht übersehen, daß jetzt gegen die Ordnung im Zweigliedrigen die Klinodiagonale B, und die Orthodiagonale C (Naumann, Lehrbuch der Mineralogie 1828, tab. II. fig. XXII.) heißt. Nach Weiß'schen Azen ist $a/c = 91^\circ 10'$, folglich $\alpha = 24^\circ 57'$, $\beta = 88^\circ 50'$, gibt $x = \frac{1,185 \cdot \sin 24^\circ 57'}{\sin 88^\circ 50'} = \frac{1}{2}$. Da für diesen



Fall $\lambda = 0$, so wird $o = \frac{a'}{1-\frac{1}{2}} : b : c = 2a' : b : c$; $m = \frac{a}{1+\frac{1}{2}} : b : c = \frac{2}{3}a : b : c$;

$n = (2P\infty) = 2A : C : \infty B = 2C : B : \infty A (W.) = C : \frac{1}{2}B : \infty A = c : \frac{1}{2}b : \frac{a}{o+\frac{1}{2}}$

$= c : \frac{1}{2}b : 2a$; $x = P\infty = A : B' : \infty C = A' : C : \infty B (W.) = \frac{a'}{1-\frac{1}{2}} : c : \infty b =$

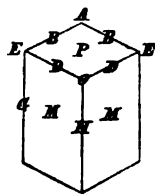
$2a' : c : \infty b$; $y = 2P\infty = 2A : B' : \infty C = 2C : A' : \infty B (W.) = \frac{1}{2}A' : C : \infty B =$
 $\frac{a'}{2-\frac{1}{2}} : c : \infty b = \frac{2}{3}a' : c : \infty b$; $t = -2P\infty = 2A : B : \infty C = 2C : A : \infty B (W.)$

$= \frac{1}{2}A : C : \infty B = \frac{a}{2+\frac{1}{2}} : c : \infty b = \frac{2}{3}a : c : \infty b$; $P = oP = A : \infty B : \infty C =$

$C : \infty A : \infty B (W.) = c : \frac{a}{o+\frac{1}{2}} : \infty b = c : 2a : \infty b$ zc. Daraus leuchtet ein,

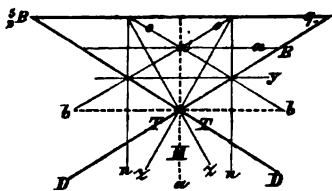
daß A (Naumann) $= c$ (Weiß), $C(N) = \frac{1}{2}b(W.)$ und $B(N) = \frac{1}{2}a(W.)$ zu setzen sei, um die Weiß'schen Azenzeichen zu bekommen.

Franzosen und Engländer gehen beim Feldspath vom Hendyhoeder MMP aus, und bezeichnen die Kanten und Ecken wie Haüy, aber mit kleinen Buchstaben. Der Uebelstand ist nur der, daß man leicht vergißt, auf welche Kantenschnitte ihr Symbol deute. Weist ist die aufrechte Kante G unserer Aze c entsprechend in der Einheit gedacht. Es bedeutet also a^1 den Kantenschnitt

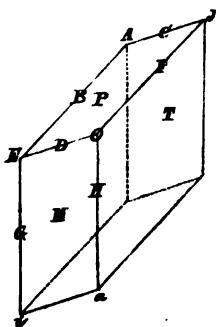


$B : B : H$ in der Ecke A; $a^{\frac{1}{2}} = \frac{1}{2}B : \frac{1}{2}B : H$, $a^{\frac{5}{2}} = \frac{3}{2}B : \frac{3}{2}B : H$; $g^1 = B : D : \infty G$, $g^2 = D : \frac{1}{2}B : \infty G$ oder $\frac{1}{2}D : B : \infty G$, denn in diesen Zeichen der Säule ist keine Verwechslung

möglich; $b^{\frac{1}{2}} = H : \frac{1}{2}B : \infty B$, $e^{\frac{1}{2}} = G : \frac{1}{2}B : \frac{1}{2}D$ zc. Um nun diese Ausdrücke auf Azen zu beziehen, dürfen wir nur das Hendyhoeder auf P projectiren, wir bekommen dann sofort die Naumann'schen Azenausdrücke. Denn in den Linien BD liegen jetzt die Kanten B und D, und in der aufrechten Aze c die G und H. Fläche $x = a^1$ schneidet $B : B$; $y = a^{\frac{1}{2}}$ schneidet $\frac{1}{2}B : \frac{1}{2}B$; $q = a^{\frac{3}{2}}$ schneidet $\frac{3}{2}B : \frac{3}{2}B$; $M = g^1$ hat Aze aa' zur Sectionslinie; $z = g^2$ schneidet



bole empfehlen sich durch ihre Einfachheit, und sind mindestens nicht schwieriger zu verstehen, als die Symbole mehrerer deutschen Mineralogen. Ja wenn Einfachheit der Axen allein entscheiden würde, worauf Hr. Frankenheim (Pogg. Ann. 1855, 95. 247 u. 97. 207) ein übermäßiges Gewicht legt, so müßte man diese unbedingt den Naumann'schen vorziehen.



Hauy ging übrigens nicht vom Hendhoeder, sondern von den drei Blätterbrüchen PMT aus, welche ein Hendhoeder bilden, machte aber auf die Symmetrie der Krystalle wohl aufmerksam. Fläche $y = \frac{1}{2}C:F:G$, Axe c entspricht also den Kanten GH, Axe a fällt mit Kante PM zusammen, und nur die Kante PT, der Sectionslinie von T entsprechend, fällt außerhalb der dritten Axe. Hauy nahm also c als Einheit, $\frac{1}{2}a$ für die Kantenlängen

MP, und $\frac{1}{2}B$ für die von PT. Daher muß $x = \frac{1}{2}J = G : 2C : 2F$ durch Axe a' gehen; $q = \frac{1}{2}J = G : 3C : 3F$ durch $\frac{1}{2}a'$; $n = \frac{1}{2}C = G : F : \infty C$. Versteht man also das Zeichen, so ist durch einen bloßen Linienzug auf der Projection die Aufgabe gelöst, mehr kann man nicht wünschen. Nur das Zeichen macht einige Schwierigkeiten. Doch sind wir es dem Gründer der Krystallographie schuldig, der Auseinandersetzung ein Wort zu widmen.

Hauy unterscheidet zweierlei Formen. 1) *Formes primitives* (Kernformen), es waren sechs: Parallelepiped (Hexaid), Octaeder, Tetraeder, reguläre sechsseitige Säule, Granatoeder und Dihexaeder. Besonders spielten die ersten beiden mit ihren verschiedenen Winkeln eine Hauptrolle. Er wurde in der Wahl hauptsächlich durch den Blätterbruch geleitet: so ging er beim Flußspath nicht vom Würfel, sondern vom Octaeder, bei der Blende vom Granatoeder aus, bloß wegen der Blättrigkeit. 2) *Intégrantes Molecule* (M. intégrantes) sind dreierlei: die 4flächigen Tetraeder; das 5flächig dreiseitige Prisma mit Geradenfläche; die sechsflächigen Parallelepiped. Es sind die einfachsten Raum umschließenden Körper, auf welche man durch weitere Theilung der Primitivformen kommt. So zerfällt z. B. das Rhomboeder durch die drei Hauptschnitte, welche der 2ten sechsseitigen Säule parallel gehen, in 6 Tetraeder. Das Granatoeder durch 6 von den vierkantigen Ecken aus bis zum Mittelpunkt geführte Spalte in 4 congruente Rhomboeder. Die Spalte müssen den 6 Krystallräumen parallel geführt werden. Die *Molécules intégrantes* haben übrigens nur eine theoretische Bedeutung. Dagegen ist noch eine weitere Benennung, die *Molécules*

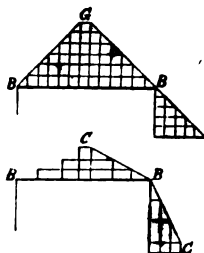
$\infty C : B : \frac{1}{2}D$; $o = b^{\frac{1}{2}}$ schneidet $\frac{1}{2}B : \infty B$;

$n = e^{\frac{1}{2}}$ schneidet $\frac{1}{2}B : \frac{1}{2}D$ u. Man sieht leicht ein, es sind statt der Axen a und b die Linien BD, in welchen die Säulenflächen T die P schneiden, genommen. Die Sym-

soustractives, von praktischer Wichtigkeit, es sind Parallelepipede meist der Primitivform ähnlich, oder doch darin steckend, durch deren Aufstümmung auf die Flächen der Primitivform er sich die secundären Flächen entstanden dachte.

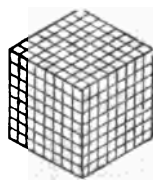
Hauy sah nun den Krystall als einen Complex von lauter unter sich gleichen integrierenden Moleculen an, die sich zu subtractiven gruppieren. Letztere liegen alle unter einander parallel, und erzeugen so den Blätterbruch. Die integrierenden müssen außerordentlich klein gedacht werden, in ihnen haben nur noch die *Molécules élémentaires* Platz, aus welchen die chemischen Stoffe bestehen. Den Keim eines Krystalls bildet ein einziges *M. soustractive*, sein Fortwachsen ist nur ein paralleles Anhäufen solcher unter sich gleichen Atome. Die Bestimmung dieses subtractiven Moleculs und die Weise, wie sie sich an einander reihen, ist Aufgabe der Krystallographie. Machen wir es an einigen Beispielen klar.

Bleiglanz, Steinsalz u. haben einen dreifach blättrigen Bruch von gleicher Beschaffenheit, die sich unter rechten Winkeln schneiden, daher die Primitivform ein Würfel, und die subtractiven Moleculs Würfeln. Durch Decrescenzen (*décroissements*) auf den Kanten entstehen alle Körper der Kantenzone (Granatoeder und Pyramidenwürfel). Hauy dachte sich lauter kleine Würfeln parallel der Kernform aufgestümt, wie man aus dem Aufriß bestehender Würfelfläche leicht sieht. Durch Decrescenzen um eine Reihe in die

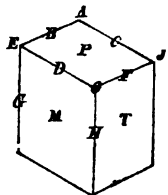


Höhe und Breite \hat{B} entsteht die Granatoederfläche BG. Er dachte sich dabei in jeder höhern Schicht eine Reihe weniger, der Effect ist offenbar derselbe, als wenn ich die Würfelfanten im Verhältniß $B : B : \infty B$ schneide; durch Decrescenzen um 2 Reihen in die Breite und eine in der Höhe B^2 entstehen die Pyramidenwürfel Fläche $BC = 2B : B : \infty B$; durch Decrescenzen um 3 Reihen in die Breite und 2 in der Höhe entsteht die Fläche $3B : 2B : \infty B$ u. Die Decrescenzen auf den Ecken kann man doppelt nehmen: symmetrisch oder unsymmetrisch gegen eine Kante. Hauy dachte sich die Sache auch durch Aufstümmen, doch macht man es sich besser

durch Wegnahme der Würfeln klar. Das Zeichen \hat{A} bedeutet, daß man ein Würfeln von der Ecke wegzunehmen habe, der Effect wird die Oktaederfläche $B : B : B$ sein, sie berührt die drei Ecken der folgenden Würfelschicht, nehme ich diese drei, so ruht die Fläche auf 6, dann auf 10, 15 u. auf, immer behält sie aber die gleiche Lage. \hat{A}^2 bedeutet eine Reucitoederfläche $2B : 2B : B$, und zwar werden die zwei Kanten links in 2 geschnitten; \hat{A}^3 bedeutet $B : 3B : 3B$ und zwar 3B in den zwei Kanten rechts. Für die unsymmetrischen Flächen mußten drei Buchstaben in der Klammer genommen werden: ($\hat{A}^2 B B B^3$) bezeichnet $2B : B : 3B$. Beim regu-



lären System kann man nicht leicht irren, bei den übrigen muß man sich jedoch vorsichtig vor Kantenverwechslungen hüten. Wiederholen wir daher am allgemeinen Hexaid nochmals kurz die Zeichen:



An den Kanten BCDF können die Decreescenzen darüber (auf P) oder darunter (auf M und T) stattfinden, auf den Kanten G und H nur links oder rechts, daher die vier Stellungen der Zahlen an den Consonanten oben, unten, links oder

rechts: $\overset{m}{D}$ heißt eine Decreescenz um m Reihen in die Breite auf P, also $mF:H:\infty D$. Bei Brüchen bezieht sich der Zähler auf die Reihen der Breite, der Nenner auf die der Höhe, das liegt schon im allgemeinen Zeichen,

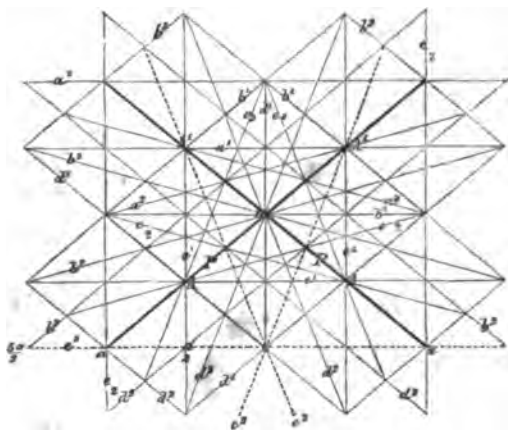
da m ganze Zahlen wie Brüche bedeutet; $H^n = nF:D:\infty H$. An die Vokale der Ecken kann ich die Zahlen oben links und rechts setzen, man denkt sich dabei den Krystall so gestellt, daß die in Rede stehende Ecke unmittelbar

vor mir steht: $\overset{m}{O} = mD:mF:H$; $O^m = mF:mH:D$; $\overset{m}{O} = mD:mH:F$, die Decreescenz um m Reihen in der Breite findet also auf derjenigen Fläche der Ecke statt, wohin der Buchstabe m an O gestellt ist. Ein Symbol A^m bedeutet $mB:mH:C$, denn man muß sich den Krystall so lange herumgedreht denken, bis A vor uns steht, deßhalb ist $\overset{m}{E} = mB:mG:D$. Intermediäre Decreescenzen sind solche, worin alle drei Kanten der Ecke ungleich geschnitten werden, oder wenn die Decreescenz über die Kanten hinüber neigt, dazu wurden drei Buchstaben mit Klammer genommen: $(\overset{1}{O}D^1F^2) = H:D:2F$; $(\overset{1}{O}D^4F^1) = \frac{1}{4}H:4D:F = H:\frac{1}{4}D:3F$.

Hauy legte auf die Entwicklung des rhomboëdrischen Systems ein besonderes Gewicht, wir wollen daher zum Schluß noch einige Erläuterungen darüber geben, namentlich erweist sich darin auch die Wichtigkeit der Projection in ihrer großartigen Einfachheit. Zu dem Ende projecire sämtliche Flächen auf eine der P des blättrigen Bruchs, dann kann man die Kanten des Rhomboëders als Axeneinheiten AAA nehmen, welche sich unter gleichen schiefen Winkeln von $101^\circ 55'$ und $78^\circ 5'$ schneiden. Denken wir uns die aufrechte dritte A nach vorn geneigt, so bildet $a^1 = A':A'$ die Geradenfläche und die drei $e^1 = A:A$ und $A:A'$ bilden das erste schärfere Rhomboeder; $b_1 = A':\infty A'$ und $A':A':\infty A$ gehören dem ersten stumpfern Rhomboeder, $d^1 = A:\infty A$ und $A:A':\infty A$ der zweiten sechsseitigen Säule an. Die Flächen P bilden also das dreigliedrige Hexaid, a^1 und e^1 das zugehörige Oktaid, und b^1 mit d^1 das zugehörige Dodekaid.

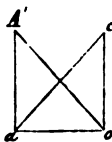
Das Leucitoeder $e^2 = A':\frac{1}{2}A$ und $2A:2A$ führt uns zur ersten sechsseitigen Säule, durch welche auf der Geradenfläche a^1 die dreigliedrigen Axen bestimmt werden, ich habe sie deßhalb punktiert; $a^2 = 2A':2A'$ und $A':\frac{1}{2}A'$ liefert das zweite stumpfere Rhomboeder. Der Dreikantner $e_2 = A:\frac{1}{2}A$, $A:\frac{1}{2}A'$ und $2A:2A'$ ist zweiter Ordnung $\frac{1}{2}c:a':\frac{1}{2}a'$, weil er seine stumpfen Endkanten wie die Kanten des Hauptrhomboëders legt. Nehmen wir, um die Figur nicht zu überladen, noch das Pyramidenrhomboeder, so

liefert uns das den Dreikantner $d_2 = \frac{1}{2}A : \infty A$, $A' : \frac{1}{2}A : \infty A$, $2A : \infty A$ und Dihex. $b^2 = \frac{1}{2}A' : \infty A$, $A' : \frac{1}{2}A' : \infty A$, $2A' : \infty A$. So können wir mit Bechtigkeit alle Hauy'schen Zeichen eintragen, sie führen uns zu den Zeichen des regulären Systems, und liefern den Beweis, daß der einfachste Flächenausdruck nicht immer der beste sei. Wir müssen vielmehr die Zeichen auf 3 und 1 Aze zurück-



führen, auf $aaac$. Die punktierten Linien ee geben in ihren Durchschnitten mit a^1 die drei neuen Azen a . Regen wir daher die a^1 durch den neuen Azenmittelpunkt o (Durchschnitt der $e^2e^2e^2$), so fällt dieselbe mit der Linie $\frac{3a}{2} : \frac{a}{2} = e^2$ zusammen, von ihr kann man also die neuen Azenausdrücke unmittelbar ablesen. Auch die Aze c , welche auf a_1 senkrecht steht, ist allen gemein. Wir brauchen also nur noch eines der beiden andern a zu finden, welche in der gegen Aze c senkrechten Ebene a^1 den oA' und $oA'(e^2)$ correspondiren. Nach unserem obigen Satze pag. 98 muß aber eine Zonenaze $c : \frac{a}{\mu}$ die schiefe Aze oA' in $\frac{A'}{\mu+x}$ schneiden, das + gilt, wenn die schiefe Aze A unter der rechtwinkligen a liegt. Aus der Betrachtung des Rautspatrhomboeders folgt, daß die Kante des Rhomboeders $mA = \frac{2}{3}\sqrt{3a^2+1}$ (m der Durchschnittspunkt P/P), die Querdiagonale $AA' = 2a$, die schiefe Diagonale $om = \frac{2}{3}\sqrt{3a^2+4}$, folglich $oA' = \sqrt{4a^2+4}$. Wir müssen uns nun erinnern, daß unsere neue Aze $co = c$ die ganze Hauptaxe von Ecke zu Ecke des Rhomboeders P bezeichnet, folglich muß als a auch das doppelte a genommen werden. Wählen wir nun die von c zur Hälfte der oA' gehende Linie als die, welche die Aze a zu bestimmen hat, so ist $aA' = x = 1$, wie beistehender **Aufriß** durch coA' zeigt.

Nennen wir jetzt in unserer Projection $oa = a$, $oA' = A'$, und suchen aus ihren Ausdrücken die neuen für die Azen a , so muß das Rhomboeder $P = a : \frac{1}{2}A' : A' = a : \frac{1}{2-1}a : \frac{1}{1-1}a$



$= a : a : \infty a$ sein. Die Geradendfläche $a_1 = A' : A' : \infty a = \frac{1}{1-1}a : \frac{1}{1-1}a : \infty a$
 $= \infty a : \infty a : \infty a$; $b^1 = 2a : A' : 2A' = 2a : \frac{1}{1-1}A' : \frac{1}{\frac{1}{2}-1}A' = 2a : 2a' : \infty a$;

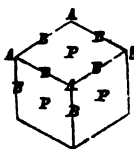
$$d^2 = a : \frac{1}{2}A : A = a : \frac{1}{2+1}a : \frac{1}{1+1}a = a : \frac{1}{3}a : \frac{1}{2}a \text{ der gewöhnliche}$$

Dreikantner. Also auch diese Uebertragung ist nicht mehr als ein Ablesen. Die Bestimmung von x bedarf übrigens gar keiner Rechnung. Denn wenn a^1 zur Projectionsebene werden soll, so muß ihr Ausdruck $A' : A' : \infty a$ zu $\infty a : \infty a : \infty a$ werden, dieß kann aber nur sein, wenn die Bedingungs-
gleichung $1 - x = 0$, d. h. $x = 1$ ist. Eben so einfach ist der Satz um-
gedreht, aus dem drei- und einaxigen Flächenausdruck die Kantenschnitte zu
finden, was wir dem Leser überlassen.

Lévy's Bezeichnung.

Die neuern Franzosen und Engländer sind im Ganzen zwar bei der
Bezeichnung Haüy's stehen geblieben, doch bedient man sich jetzt allgemein
der einfacheren Symbole von Lévy. Es wird das Lesen der Schriften er-
leichtern, wenn ich hier kurz die Zeichen zusammenstelle.

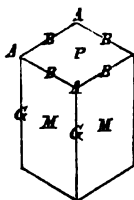
1) Reguläres System.



Wenn dasselbe auf die Kanten des Würfels BBB basiert ist, so ist mit dem Verständniß des Zeichens auch der Weiß'sche Axenausdruck gegeben. Die Würfelfläche selbst hat den Buchstaben P als Zeichen. Oktaeder $a^1 = B : B : B = a : a : a$; Granatoeder $b^1 = B : B : \infty B = a : a : \infty a$. Leucitoeder $a^2 = B : 2B : 2B = a : 2a : 2a$; Leucitoide $a^n = B : nB : nB$. Pyramidenoktaeder $a^{\frac{1}{2}} = B : \frac{1}{2}B : \frac{1}{2}B = a : \frac{1}{2}a : \frac{1}{2}a$, $a^{\frac{1}{n}} = B : \frac{1}{n}B : \frac{1}{n}B$. Pyramidenwürfel $b^2 = B : 2B : \infty B = a : 2a : \infty a$, $b^n = B : nB : \infty B$. 48flächner $b^1 b^{\frac{1}{2}} b^{\frac{1}{3}} = a : \frac{1}{2}a : \frac{1}{3}a$, $bb^m b^n = a : \frac{1}{m}a : \frac{1}{n}a$.

Wenn man vom Oktaeder (Flußpath, Diamant) oder Granatoeder (Blende) ausgeht, ist die Sache gar nicht so einfach, jedoch reicht unser Kantenschnittsatz pag. 97 dazu völlig aus.

2) Viergliedriges System.



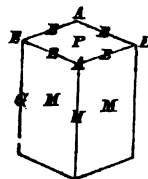
Wenn die Zeichen so gewählt sind, daß die quadratische Säule MM in der Primitivform unserer zweiten quadratischen Säule entspricht, wie z. B. Dufrenoy beim Vesuvian angenommen hat, so stimmt die Auslegung des Zeichens mit den Axen. Correspondirt dagegen M/M der ersten Säule, wie z. B. beim Zirkon, dann muß der Kantenzonensatz zu Hilfe genommen werden.

	2te Säule	1ste Säule
$g^1 = B : B : \infty G$	gibt $a : a : \infty c$	oder $a : \infty a : \infty c$.
$g^2 = 2B : B : \infty G$	— $2a : a : \infty c$	— $\frac{1}{2}a : a : \infty c$.
$g^3 = 3B : B : \infty G$	— $3a : a : \infty c$	— $\frac{1}{3}a : a : \infty c$.
$g_n = B : \frac{1}{n}B : \infty G$	— $a : \frac{1}{n}a : \infty c$	— $\frac{a}{n+1} : \frac{a}{n-1} : \infty c$.

$b^1 = B : G : \infty B$	gibt $a : c : \infty a$	— $a : a : c$.
$b^{\frac{1}{2}} = \frac{1}{2} B : G : \infty B$	— $\frac{1}{2} a : c : \infty a$	— $\frac{1}{2} a : \frac{1}{2} a : c$.
$b^2 = 2B : G : \infty B$	— $2a : c : \infty a$	— $2a : 2a : c$.
$b^n = nB : G : \infty B$	— $na : c : \infty a$	— $na : na : c$.
$a^1 = B : B : G$	— $a : a : c$	— $\frac{1}{2} a : \infty a : c$.
$a^2 = 2B : 2B : G$	— $2a : 2a : c$	— $a : \infty a : c$.
$a^n = nB : nB : G$	— $na : na : c$	— $\frac{1}{2} na : \infty a : c$.
$a_2 = B : 2B : 2G$	— $\frac{1}{2} a : a : c$	— $\frac{1}{2} a : a : c$.
$a_3 = B : 3B : 3G$	— $\frac{1}{3} a : a : c$	— $\frac{1}{3} a : \frac{1}{3} a : c$.
$a_n = B : nB : nG$	— $\frac{1}{n} a : a : c$	— $\frac{a}{n+1} : \frac{a}{n-1} : c$.
$b^{\frac{1}{2}} b^{\frac{1}{3}} g^1 = \frac{1}{2} B : \frac{1}{3} B : G$	— $\frac{1}{2} a : \frac{1}{3} a : c$	— $\frac{a}{5} : a : c$.
$b^{\frac{1}{m}} b^{\frac{1}{n}} g^p = \frac{1}{m} B : \frac{1}{n} B : pG$	— $\frac{1}{m} a : \frac{1}{n} a : pc$	— $\frac{a}{m+n} : \frac{a}{m-n} : pc$.

3) Zweigliedriges System.

Wenn Oblongfäule mit Geradenfläche PMT Primitivform ist, so stimmen die Zeichen mit unsern Axen. Wenn dagegen die bestehende gerade Rhombfäule MMP den Ausgang bildet, so muß man, wie im zweiten Fall des viergliedrigen Systems, das Kantenzonengesetz zur Bestimmung der Axen zu Hilfe nehmen.



$g^1 = B : B : \infty G$	gibt $b : \infty a : \infty c$	} in der scharfen Säulen- kante gelegen.
$g^2 = B : \frac{1}{2} B : \infty G$	— $\frac{1}{2} b : a : \infty c$	
$g^n = B : \frac{1}{n} B : \infty G$	— $\frac{b}{n+1} : \frac{a}{n-1} : \infty c$	

$h^1 = B : B : \infty H$	gibt $a : \infty b : \infty c$	} in der stumpfen Säulen- kante gelegen.
$h^2 = B : \frac{1}{2} B : \infty H$	— $\frac{1}{2} a : b : \infty c$	
$h^n = B : \frac{1}{n} B : \infty H$	— $\frac{a}{n+1} : \frac{b}{n-1} : \infty c$	

$b^1 = B : G : \infty B$	— $a : b : c$	} Topas liefert ein gutes Bei- spiel. Man muß stets vorsichtig untersuchen, was als Einheit von c anzunehmen ist.
$b^2 = 2B : G : \infty B$	— $2a : 2b : c$	
$b^3 = 3B : G : \infty B$	— $3a : 3b : c$	
$b^n = nB : G : \infty B$	— $na : nb : c$	

$a^1 = B : B : H$	— $\frac{1}{2} a : \infty b : c$	} Bilden Paare auf die stumpfe Säulenkannte aufgesetzt.
$a^2 = 2B : 2B : H$	— $a : \infty b : c$	
$a^n = nB : nB : H$	— $\frac{1}{2} na : \infty b : c$	

$e^1 = B : B : G$	— $\frac{1}{2} b : \infty a : c$	} Bilden Paare auf die scharfe Säulenkannte aufgesetzt.
$e^2 = 2B : 2B : G$	— $b : \infty a : c$	
$e^n = nB : nB : G$	— $\frac{1}{2} nb : \infty a : c$	

$$\begin{aligned} e_2 &= \frac{1}{2}B : B : G & - \frac{1}{2}b : a : c & \quad \text{Es sind Oктаeder, die in der} \\ e_3 &= \frac{1}{3}B : B : G & - \frac{1}{3}b : \frac{1}{3}a : c & \quad \text{Diagonalzone des Hauptoktaeders} \\ e_n &= \frac{1}{n}B : B : G & = \frac{b}{n+1} : \frac{a}{n-1} : c & \quad \text{liegen.} \end{aligned}$$

$$a_2 = \frac{1}{2}B : B : H = \frac{1}{2}a : b : c$$

$$a_n = \frac{1}{n}B : B : H = \frac{a}{n+1} : \frac{b}{n-1} : c$$

$$x \text{ Topas} = b^1 b^2 g^{\frac{1}{2}} = B : 3B : \frac{1}{2}G = \frac{3}{2}b : \frac{3}{2}a : \frac{1}{2}c = 3a : \frac{3}{2}b : c; \text{ allgemein}$$

$$b^{\frac{1}{m}} b^{\frac{1}{n}} g^p = \frac{1}{m}B : \frac{1}{n}B : pG = \frac{b}{m+n} : \frac{a}{m-n} : pc,$$

$$b^{\frac{1}{m}} b^{\frac{1}{n}} h^p = \frac{1}{m}B : \frac{1}{n}B : pH = \frac{a}{m+n} : \frac{b}{m-n} : pc.$$

4) Zweiundbeingliedriges System.

Ist völlig analog, nur kommen auf diese Weise die schiefen Mohs'schen Axen, die man dann weiter auf die Weiß'schen nach pag. 99 zurückführt; wenn man es nicht vorzieht, sie gleich nach der Projection zu deduciren.

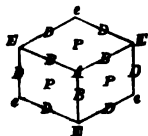
$$\text{Feldspath: } z = g^2 = D : \frac{1}{2}B : \infty G = B : \frac{1}{2}D : \infty G = a : \frac{1}{2}b : \infty c;$$

$$x = a^1 = B : B : H = a' : c : \infty b; \quad y = a^{\frac{1}{2}} = \frac{1}{2}B : \frac{1}{2}B : H = \frac{1}{2}a' : c : \infty b;$$

$$q = a^{\frac{3}{2}} = \frac{3}{2}B : \frac{3}{2}B : H = \frac{3}{2}a' : c : \infty b; \quad o = b^{\frac{1}{2}} = \frac{1}{2}B : H : \infty B = a' : b : c;$$

$$n = e^{\frac{1}{2}} = \frac{1}{2}B : \frac{1}{2}D : G = \frac{1}{2}b : c : \infty a \text{ u.}$$

5) Dreigliedriges System.



Die Rhomboeder entstehen durch Decreascenzen auf den Ecken E und A, Gränzfälle bilden die Geradendfläche, erste sechsseitige Säule und das nächste stumpfere Rhomboeder:

$$e^{\frac{1}{2}} = \frac{1}{2}D : \frac{1}{2}D : B = a' : a'$$

$$e^1 = D : D : B = \frac{1}{2}a' : \frac{1}{2}a'$$

$$e^2 = 2D : 2D : B = oa : oa$$

$$e^3 = 3D : 3D : B = \frac{1}{2}a : \frac{1}{2}a$$

$$e^4 = 4D : 4D : B = \frac{2}{3}a : \frac{2}{3}a$$

$$e_n = nD : nD : B = \frac{n-2}{n+1}a : \frac{n-2}{n+1}a$$

$$a^{\frac{1}{2}} = \frac{1}{2}B : \frac{1}{2}B : B = 5a' : 5a'$$

$$a^1 = B : B : B = \infty a : \infty a$$

$$a^2 = 2B : 2B : B = 4a : 4a$$

$$a^n = nB : nB : B = \frac{n+2}{n-1}a : \frac{n+2}{n-1}a$$

$n > 2$ gibt positive Vorzeichen, d. h. Rhomboeder erster Ordnung ohne Strich; $n < 2$ negative, d. h. Rhomboeder zweiter Ordnung mit Strich. $e^{\frac{1}{2}}$ ist Gegenrhomboeder.

$n > 1$ gibt positive Vorzeichen, d. h. Rhomboeder erster Ordnung; $n < 1$ zweiter Ordnung. $a^1 =$ Geradendfläche; $n = 0$ gibt das erste stumpfere Rhomboeder.

$$\begin{aligned} b^1 &= B : B : \infty B = 2a' : 2a' & \text{Dreikantner in den Endkanten des Rhom-} \\ b^2 &= 2B : B : \infty B = 3a : \frac{3}{2}a & \text{boeders sind zweiter Ordnung, sobald} \\ b^3 &= 3B : B : \infty B = 4a : \frac{4}{3}a & n < 2 \text{ und } n > 1. \text{ } b^2 \text{ ist Dihexaeder. Da} \\ b^{\frac{1}{2}} &= \frac{1}{2}B : B : \infty B = \frac{3}{2}a' : \frac{3}{2}a' & 2B : B : \infty B = B : \frac{1}{2}B : \infty B, \text{ so ist } b^2 = \\ b^n &= (n+1)a : \frac{n+1}{n}a : \frac{n+1}{n-1}a & b^{\frac{1}{2}}, \text{ oder allgemein } b^n = b^{\frac{1}{n}}. \end{aligned}$$

$$\begin{aligned} d^1 &= D : \infty D : B = 0a : \frac{0}{2}a = . & \text{zweite Säule. Auch hier ist Zeichen } d^{\frac{m}{n}} = d^m. \\ d^2 &= 2D : \infty D : B = a : \frac{1}{2}a & \text{Die Dreikantner sind sämtlich 1ster} \\ d^3 &= 3D : \infty D : B = 2a : \frac{1}{3}a & \text{Ordnung und gehören der Seitenkanten-} \\ d^n &= (n-1)a : \frac{n-1}{n+1}a : \frac{n-1}{n}a & \text{zone des Rhomboeders an.} \end{aligned}$$

$$\begin{aligned} e_{\frac{1}{2}} &= B : D : 2D = \frac{1}{2}a' : \frac{1}{2}a' & \text{Dreikantner aus der Diagonalzone, } n < 3 \\ e_2 &= B : D : \frac{1}{2}D = a' : \frac{3}{2}a' & \text{gibt gestrichelte, } n=3 \text{ ein Dihexaeder, folg-} \\ e_3 &= B : D : \frac{1}{3}D = \frac{3}{2}a' : \frac{3}{2}a' & \text{lich } n > 3 \text{ ungestrichelte. Das volle Zeichen} \\ e_4 &= B : D : \frac{1}{4}D = 2a : \frac{3}{4}a & \text{von } e_{\frac{1}{2}} = \frac{1}{2}a' : \frac{1}{2}a' : -a' = a' : \frac{1}{2}a' : \frac{1}{2}a'. \\ e_n &= \frac{n}{2}a' : \frac{n}{n+1}a : \frac{n}{n-1}a & \text{Diese Umfegung eines Arenausdrucks mit -} \\ & & \text{auf die andere Seite mit + leuchtet aus} \\ & & \text{pag. 88 ein. Man muß die Zeichen } e^n \text{ oben wohl von } e_n \text{ unten unterscheiden!} \end{aligned}$$

$$d^{\frac{1}{m}} d^{\frac{1}{n}} b^{\frac{1}{p}} = mD : nD : pB = \frac{p - (m+n)}{n-m}a : \frac{p - (m+n)}{n+p}a : \frac{p - (m+n)}{m+p}a$$

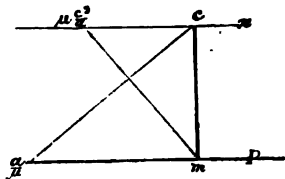
Siehe über diese allgemeinen Zeichen Weiß Abh. Berl. Akad. Wissensch. 1840 pag. 32 und 1822 pag. 261.

Neumann's graphische Methode.

Sie ist in dessen „Beiträge zur Krystallonomie“, Berlin und Bosen 1823, auseinander gesetzt. Leider erschien davon nur das erste Heft. Neumann hat uns hier zuerst mit der Idee von Projectionen vertraut gemacht, die aber in Deutschland lange ignorirt wurde. Dagegen haben die Engländer Whewell (Philosoph. Transact 1825. 87) und Miller (Treatise on Crystallography, Cambridge 1839) die Bezeichnung sich angeeignet, und namentlich gründete Miller in der neuen Ausgabe von der „Elementary introduction to Mineralogy by the late William Philipps. London 1852“ Symbole und Rechnung darauf.

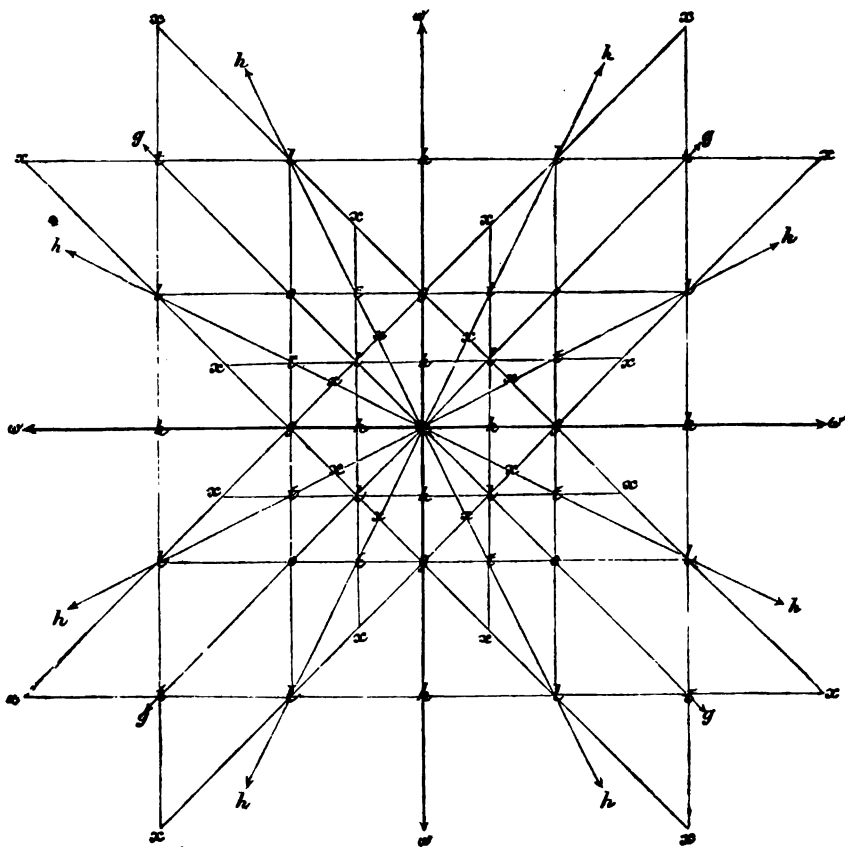
Die Neumann'sche Projection beruht auf folgender Anschauungsweise: Denken wir uns ein System von Flächen in ihrer Projectionslage, wie es pag. 35 auseinander gesetzt ist, legen eine Fläche π durch den Scheitelpunkt c parallel unserer Projectionsebene P , und fällen nun vom Mittelpunkt m des System's je ein Perpendikel auf die Flächen, so wird dieses Perpendikel über die Fläche hinaus verlängert die Projectionsebene π in einem Punkte schneiden. Dieser Punkt ist der „Flächenort“, aus welchem die Zonenverhältnisse hervorgehen. Was bei unserer Projection durch eine Linie darge-

stellt ist, wird hier einfacher durch einen Punkt gegeben. Alle Flächen, die in einer Zone liegen, haben dann auf der Projectionsebene π ihre Flächenorte ebenfalls in einer Linie. Habe ich also eine Kante $c : \frac{a}{\mu}$ auf die



Projectionsebene π nach der Neumann'schen Methode zu projectiren, so ist ihr Ort $\frac{\mu}{a}c^2$ von c entfernt. Denn heiße der Ort x , so verhält sich $\frac{a}{\mu} : c = c : x$, also $x = \frac{\mu}{a} \cdot c^2$. Für $c = 1$ wird der Ort von $\frac{a}{\mu}$ einfach zu $\frac{\mu}{a}$, und

von $\frac{a}{\mu} : \frac{b}{\nu} : c$ zu $\frac{\mu}{a} \frac{\nu}{b} c$. Daraus ergibt sich von selbst, daß wenn ich die Projectionsebene π nicht durch die Einheit von c , sondern durch $\frac{c}{\lambda}$ lege, eine Fläche $\frac{a}{\mu} : \frac{b}{\nu} : \frac{c}{\lambda} = \frac{\lambda a}{\mu} : \frac{\lambda b}{\nu} : c$ den Ort $\frac{\mu}{\lambda a} \frac{\nu}{\lambda b} c = \frac{\mu}{a} \frac{\nu}{b} \frac{\lambda}{c}$ haben muß. Miller



setzt nun statt des wirklichen Axenausdrucks $\frac{a}{\mu} : \frac{b}{\nu} : \frac{c}{\lambda}$ einfach die Symbole $\mu\lambda$, und zwar immer in der gleichen Reihenfolge von abc, so daß sich aus ihnen für uns die Axenausdrücke sogleich ablesen lassen würden, wenn er in der Axenlegung mit Weiß übereinstimmte, was leider nicht immer der Fall ist. Eine Weiß'sche Fläche $a : \frac{1}{2}b : \frac{1}{3}c$ bekommt dann das einfachere Symbol 123, wobei man nur den Zähler 1 und die Axenfolge zu merken hat. Die Sache wird noch klarer, wenn wir auf die Entwicklung einer Projection selbst eingehen, wir wählen dazu das reguläre System, unterscheiden aber des Verständnisses wegen die Axen abc, welche den regulären aaa correspondiren.

Sämmtliche Flächen sind auf die Würfeläche w projicirt. Von den drei

Würfelächen hat die horizontale ihren Ort im Mittelpunkte c der Projection, die beiden Vertikalen haben ihre Orte dagegen im Unendlichen ww. Die Orte der

Granatoederflächen $g = a : c : \infty b$ etc. ergeben sich ebenfalls einfach, denn es sind die Orte Perpendikel vom Mittelpunkt m auf die Kante $c : a$ etc. gefällt. Zwei g davon haben ihre Orte im Unendlichen, allein die Ermittlung ihrer Lage macht keine Schwierigkeit, da sie in der Mitte zwischen den Unendlichen ww liegen müssen. Die Orte der

Oktaederfläche o finde ich, indem ich die Punkte von g mit w verbinde, deren Durchschnitt dann oooo gibt. Denn ziehe ich von diesem o nach dem Mittelpunkte des Krystalls m, der unter der Projectionsebene gedacht wird, so muß diese senkrecht auf $a : b : c$ stehen, da oogg die Ecken eines Würfels sind, der seine o gegenüber liegende Ecke im Mittelpunkte m hat. Das Symbol der Fläche $o = 111$ bedeutet weiter nichts, als die Entfernung des Ortes o von den drei Axenebenen ab, ac, bc: so bestimmt man die Wirkung dreier Kräfte im Raum. Um also ganz allgemein den Ort einer Fläche $\frac{a}{\mu} : \frac{b}{\nu} : c$ zu bestimmen, suche ich die Flächenorte von $\frac{a}{\mu} : c : \infty b$ und $\frac{b}{\nu} : c : \infty a$, errichte aus beiden Punkten Perpendikel gegen die respectiven Axen, so ist der Durchschnittspunkt der verlangte Flächenort $\frac{\mu}{a} \frac{\nu}{b} c$. Das

Leucitoeder $l = a : a : \frac{1}{2}a$ liegt mit gg und oc in einer Zone, daher geben die Durchschnitte dieser Linien den Ort l, die übrigen acht Flächen liegen ebenfalls im Durchschnitt der Linien gg und ow. Den

Pyramidenwürfel $h = a : \frac{1}{2}a : \infty a$ kann man zwar unmittelbar durch Rechnung bestimmen, allein er liegt auch in Zone ll und gc achtmal, und viermal in ll und der unendlichen gw. Das

Pyramidenoktaeder $t = a : a : 2a$ liegt in hl und go und der

Achtundvierzigflächner $x = a : \frac{1}{2}a : \frac{1}{3}a$ in gg und ll. Vermöge seines Axenausdrucks muß das Symbol 123 sein, und die 4 äußersten x links und rechts sind auch 1 von der Axenebene ab, 2 von der Axenebene bc, und 3 von der ac entfernt. Dasselbe gilt für die übrigen x, wenn man je

die kleinste Distanz 1 nennt: denn z. B. das mittlere x unten rechts hat $\frac{1}{2}b \frac{1}{2}a c = \frac{1}{2} \frac{1}{2} 1 = 132$.

Diese Neumann'sche Punktmethode ist zwar compendiöser, als die Linearmethode, allein sie kommt nicht so unmittelbar zur Anschauung. Da die Flächen, deren Orte in eine Linie fallen, in einer Zone liegen, so gewährt sie den Vortheil, daß man mit dem Lineal in der Hand die Zonen heraussuchen kann, ohne sie vorher durch Linien versinnlichen zu müssen, aber man kann deßhalb auch leichter etwas übersehen.

Um die Figuren weniger auszudehnen, hat Neumann auch die Punkte auf einer Kugeloberfläche gezeichnet, wo alle Flächenorte einer Zone in ein und denselben größten Kreis fallen. Indessen entfernt man sich damit immer mehr von dem Zwecke, den die Projectionen eigentlich haben sollen: nämlich die Anschauung unmittelbar zu unterstützen. Doch hat gerade Miller dieser den Vorzug gegeben. Solche Kreisfiguren können nur nützen, wenn möglichst viel Zonen durch größte Kreise angedeutet sind; denn hier läßt sich mit dem Lineal in der Hand nur wenig forschen.

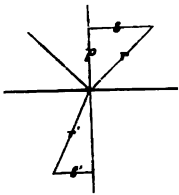
Auch für die Rechnung bietet diese Projection manche Bequemlichkeit: so sieht man leicht ein, daß der Winkel zwischen den Perpendikeln den Kantewinkel der beiden zugehörigen Flächen zu 180° ergänzt, Miller gibt daher auch immer diese Supplementwinkel an, was gerade nicht anschaulich ist; doch kommt bei derartigen Betrachtungen viel auf Gewohnheit an.

Optische Eigenschaften.

Da dieselben sich der Structurlehre eng anknüpfen, so wollen wir gleich hier das Wichtigste darüber sagen. Hauptquellen sind: **Herschel**, Vom Licht, aus dem Englischen übersetzt von Dr. Schmidt. 1831. Dr. **Beer**, Einleitung in die höhere Optik. 1853. Besonders klar **Pouillet's** Lehrbuch der Physik und Meteorologie, überarbeitet von Dr. Müller. Braunschweig 1843. 4te Aufl. 1853. Brewster, a Treatise on Optics. London 1853.

Einfache Strahlenbrechung.

Tritt das Licht aus einem Medium in ein anderes, so wird es auf der Gränze plötzlich von seinem Wege abgelenkt, gebrochen, im dichtern Medium dem Perpendikel zu. Einfallswinkel heißt der, welchen Strahl r mit Perpendikel p macht. Einfallender, reflectirter und gebrochener Strahl liegen mit



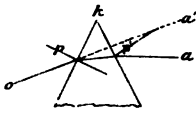
dem Perpendikel in einer Ebene. Der Einfallswinkel ist dem Reflexionswinkel gleich. Auf diesem Gesetz beruht das Reflexionsgoniometer pag. 13. Macht man r des einfallenden Strahls $= r'$ am gebrochenen, und fällt von r und r' die Sinus s und s' auf Perpendikel p , so ist der Brechungsexponent $s : s' = \sin$. Einfallswinkel: \sin . Brechungswinkel eine constante Größe (**Brechungs-**

exponent): Wasser $= 4 : 3 = 1,336$; Crown Glas $= 1,533$; Quarz $= 1,548$; Flintglas $= 1,6$; Sapphir $= 1,768$; Granat $= 1,815$; Diamant $= 2,47$; Rothbleierz $= 2,926$. Je größer der Brechungsexponent, desto bedeutender ist auch die Vergrößerungskraft des Minerals, daher wurden von englischen Optikern früher Granat- und Diamantlinsen sehr empfohlen. Letzterer zeigt auch eine viel geringere sphärische und chromatische Aberration als ihm gleiche Linsen von Glas, was den Werth noch sehr erhöhen würde, wenn nur die Verfertigung nicht so außerordentlichen Schwierigkeiten unterworfen wäre (Mohl Mikrophographie pag. 47).

Wenn beim Wasser der Einfallswinkel 90° beträgt, so ist der Brechungswinkel erst $48\frac{1}{2}^\circ$, alles Licht, was unter einem größern Winkel aus Wasser in die Luft heraus will, wird im Wasserspiegel total reflectirt. Daher nennt man $48\frac{1}{2}^\circ$ den Gränzwinkel. Diamant hat sogar einen Gränzwinkel von $23^\circ 53'$, daher kann kaum mehr als der vierte Theil des Lichtes direct heraus, das übrige wird zuvor an der Oberfläche zurück- und im Steine hinein- und hergeworfen, in Farben zerlegt, worauf vorzugsweise die Pracht seines Anblicks beruht.

Wenn schon durch parallele Flächen gesehen der Gegenstand etwas von seinem Orte rückt, so ist das noch in höherm Grad durch geneigte Flächen

(Prisma) der Fall. Die brechende Kante k verschiebt die Sachen um so mehr, je größer ihr Winkel ist, und zwar nach der Gegend hin, wo sie liegt.

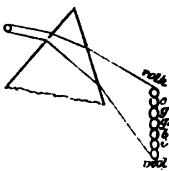


Fällt z. B. ein Lichtstrahl o auf die Fläche des Prismas, so muß er beim Eintritt dem Perpendikel p zu, beim Austritt von p' ab gebrochen werden, also eine doppelte Ablenkung erfahren, und das Auge o meint nun den Gegenstand a in a' zu sehen: bei

horizontaler nach oben gerichteter Kante k wird das a bedeutend gehoben, bei vertikaler bedeutend zur Seite geschoben.

Anwendung. Nimm einen Arinitzkristall in die linke Hand und lege eine seiner scharfen Kanten aufrecht gegen einen Finger der rechten Hand: siehst du nun direkt gegen das Fensterlicht, so ist das Prisma dunkel, so wie du aber rechts um vom Fenster weg siehst, so wird es plötzlich ganz durchleuchtet, weil erst bei dieser schiefen Stellung zum Fenster das Licht direkt ins Auge treten kann. Oder sieh durch die Endflächen eines brillantirten Quarzes senkrecht gegen ein Licht, so kannst du den Brillant leicht so stellen, daß in der Mitte nur ein einziges Licht wahrgenommen wird, bei jeder Wendung des Kopfes treten dann erst Reihen von Lichtern ins Auge. Zwillingssanten sind oft so stumpf einspringend oder ausspringend, daß man sie sehr vorsichtig im Lichtreflex untersuchen muß, man legt dann die brechende Kante horizontal, geht in den Hintergrund des Zimmers, und sieht nun gegen die Helle. Auch das Kerzenlicht ist dazu sehr günstig.

Zerstreuung des Lichtes findet stets Statt, sobald es durch das Prisma gegangen ist. Es entsteht ein Spectrum mit den bekannten sieben Farben, aus welchen das weiße Sonnenlicht besteht. Man sieht diese Farben nicht bloß durch das Prisma, sondern man kann sie auch auf eine Wand fallen lassen. Das Lichtbündel zeigt sich dann in die Länge gezogen. Das Spectrum wird um so länger, je größer der Einfallswinkel und Brechungswinkel und je ferner die Wand vom Prisma ist. Dann ist aber auch die Mineralsubstanz noch von wesentlichem Einfluß.

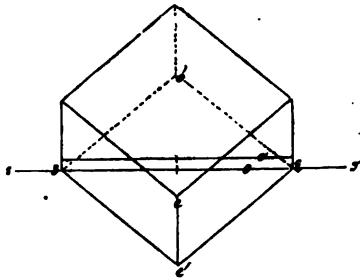


Das Roth, unter allen die brennendste Farbe, wird am wenigsten gebrochen, muß also allemal der brechenden Kante zu liegen. Die stärkste Brechung widerfährt dem Violett am entgegengesetzten Ende, dazwischen liegen vom rothen zum violetten Pole Orange, Gelb, Grün, Blau, Indigo. Grün und Blau stechen darunter am stärksten hervor. Diese prismatischen Farben sind einfache (homogene) Farben, und werden durch ein zweites Prisma angesehen nicht wieder zerlegt. Das Prisma ist daher ein treffliches Instrument, um zu untersuchen, welche Farben der Minerale homogene sind oder nicht. Auch die Wärmestrahlen sind im Spectrum sehr ungleich vertheilt, die meiste Wärme liegt noch über dem Rothem, wo das Auge keine Farbe mehr sieht. Die geringste Wärme liegt dagegen unter dem Violett, wo jedoch die unsichtbaren Strahlen noch chemisch wirken (chemische Strahlen). Aus der Länge des Spectrum geht hervor, daß die Farben der Lichtstrahlen verschieden

gebrochen werden. Da nun aber die verschiedenen Substanzen in dieser Beziehung sehr verschieden sich verhalten, so gibt man immer die Differenz der Brechungsexponenten für rothes und violettes Licht an, und bekommt damit die totale Dispersion, die man wohl von der partiellen unterscheiden muß, welche einzelne sich näher liegende Farben haben. So hat Wasser für Violett 1,3309, für Roth 1,3441, also 0,0132 tot. Disp.; Flintglas 0,04, Diamant 0,056, Rothbleierz sogar 0,388—057. Diese starke Dispersion erhöht daher noch das schöne Farbenspiel geschliffener Gemmen. Die Verschiedenheit der totalen und partiellen Dispersion in verschiedenen Körpern hat den Achromatismus möglich gemacht: man kann zwei Prismen von Flint- und Crown Glas so construiren, daß sie den Lichtstrahl blos ablenken und nicht zerstreuen.

Doppelte Strahlenbrechung.

Alle Minerale, welche nicht im regulären System krystallisiren, zeigen dieselbe, d. h. man sieht durch sie statt eines zwei Bilder. Diese Bilder (Strahlen) sind beim 1gl., 2+1gl. und 2gl. Systeme beide außerordentlich (extraordinär); beim 4gl., 3gl. und 6gl. dagegen bleibt eines ordentlich (ordinär). Die merkwürdige Eigenschaft der Doppelbrechung entdeckte Bartholin pag. 3 am durchsichtigen Kalkspath von Island, welcher darnach Doppelspath genannt wurde. Derselbe bildet noch heute das wichtigste Hilfsmittel zum Studium. Lege ein solches Rhomboeder mit seiner Fläche $c'e'o'$ auf einen mit einem Punkt versehenen Strich ST, dann wirst du im Allgemeinen 2 Bilder sehen: ein ordinäres o, was höher liegt, als das extraordinäre e. Bringe ich das Auge senkrecht über die Fläche, so fällt das ordinäre Bild o genau in die Verlängerung der äußern unbedeckten Linie ST. Halte das Auge in dieser senkrechten Lage und drehe das Mineral im Azimuth, so bewegt sich das tiefer liegende extraordinäre Bild e gegen das feststehende ordinäre. Geht Linie ST der langen Diagonale ee' der Rhomboederfläche parallel, so ist die Entfernung der beiden Linien ein Maximum, bei der Drehung des Krystalls nähern sie sich und decken sich in dem Augenblicke, wo die ST der kurzen Diagonale ($c'e'$) parallel geht. In diesem sogenannten Hauptschnitte pag. 87 liegen also o und e in einer und derselben Ebene, eine vollkommene Deckung der Bilder findet aber noch nicht Statt, weil die kleinen Querstriche der Linien noch auseinander fallen. Soll auch dieß geschehen, so muß ich den Krystall heben und die Ecke c so gegen das Auge heraus drehen, daß ich parallel der Hauptaxe cc' durchsehe, dann fallen auch die Striche und folglich beide Bilder o und e genau zusammen. Diese Richtung cc' , welche der Hauptaxe des Krystalls entspricht, ist nur ein einziges Mal zu finden, es ist die Richtung der optischen Axe, welche also genau mit der krystallographischen Haupt-



axe zusammenfällt. Sentrecht gegen diese Axe, also in der Ebene der krystallographischen Nebenaxen a , gesehen treten die Bilder am weitesten auseinander: hier wird der außerordentliche Strahl $e = 1,483$ und der ordentliche $o = 1,654$ (Differenz $= 0,171$) gebrochen. Je größer bei einem Mineral diese Differenz, und je dicker der Krystall, desto weiter treten die Bilder auseinander. Aus beiden Gründen ist der Kalkspath besonders geschickt. Beim Bergkrystall ist $o = 1,548$, und $e = 1,548$ bis $1,558$, also die Differenz $= 0,01$ nur $\frac{1}{10}$ von der des Kalkspathes. Die Stücke müssen 17mal dicker sein, wenn sie gleiche Wirkung wie beim Kalkspath hervorbringen sollen.

Das Prisma läßt die Bilder weiter auseinander treten, um so mehr, je größer der brechende Winkel und je entfernter der zu betrachtende Gegenstand. Es beruht dieß auf denselben Gründen, wie die Erzeugung des Spectrums pag. 112 auf der verschiedenen Brechbarkeit der sieben Farben. Das gewährt ein treffliches Mittel, Gläser von Gemmen zu unterscheiden. Nimmt man z. B. einen geschliffenen Bergkrystall und sieht damit nach einem entfernten Lichte, so zeigt jede Facette eine doppelte Flamme, das Glas aber nur eine einfache.

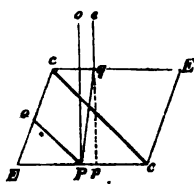
Optische Axen.

Darunter versteht man diejenigen Richtungen im Krystall, nach welchen gesehen die beiden Bilder sich decken. Da nun im regulären System überhaupt keine doppelte Brechung vorkommt, so kann man hier auch von keiner optischen Axe reden. Brewster (Gilberts Ann. 1821. 69. 1) hat zuerst den Zusammenhang mit der Krystallform nachgewiesen:

Optisch einaxige Krystalle

sind alle im 4gl., 3- und 6gl. Systeme. Optische Axe fällt hier mit Hauptkrystallaxe c zusammen. Man kann zweierlei Fälle unterscheiden:

1) Kalkspathgesetz — (repulsiv oder negativ), der ordentliche Strahl



wird stärker gebrochen als der außerordentliche. Betrachte ich einen Punkt P im Hauptschnitte $cEcE$ des Kalkspathes, so gehe der ordinäre Strahl Po sentrecht hinauf ins Auge, dann macht der außerordentliche e den Weg Pq , geht aber bei seinem Heraustreten mit o parallel, und das Auge meint ihn in p zu sehen. Zieht man nun durch P die Axe des Krystalls PQ parallel cc , so leuchtet ein, daß der ordentliche Strahl o stärker gebrochen wird, als der außerordentliche e . Zu dieser Gruppe gehört Glimmer, Beryll, Turmalin, Corund, Vesuvian, Apatit, Buntbleierz, Anatas, Honigstein, Rothgülden, Gheslenit, Nephelin etc.

2) Quarzgesetz (attraktiv oder positiv), hier wird umgekehrt der außerordentliche Strahl e stärker gebrochen, als der ordentliche o , er muß also innerhalb des Winkels QPo fallen, wird daher von der Axe PQ angezogen, und nicht zurückgestoßen, wie vorhin. Zu dieser Gruppe gehört Brucit, Chlorit, Chabasit, Dioptas, Eisenglanz, Zirkon, Zinnstein, Rutil, Eis, Phenatit,

Zinnober *zc.* Ichthyophthalm ist + und —: Descloizeaux (*Ann. des mines.* XI. 295) zählt 71 negative und 38 positive. Nach Fresnel fällt die optische Aze bei den **negativen** mit der **größten** Elasticität des Aethers, bei den **positiven** mit der **kleinsten** zusammen.

Optisch zweiaxige Krystalle

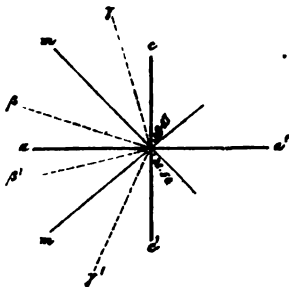
sind alle im 2gl., 2 + 1gl. und 1gl. Systeme. Nur zuweilen werden bei laxigen scheinbare Ausnahmen wahrgenommen z. B. gelbes Blutlaugensalz, Kalkuranglimmer vom Aetna, Honigstein, Turmalin. Die optischen Axen fallen zwar mit den krystallographischen nicht zusammen, stehen aber damit in symmetrischer Lage, und vollständiger Abhängigkeit. Fresnel unterschied statt zwei nun drei Elasticitätsaxen: 1) optische **Mittellinie** (bissectrice) halbirt den scharfen Winkel der optischen Axen; 2) optische **Senkrechte** halbirt den stumpfen Winkel der optischen Axen (daher auch 2te Mittellinie genannt), und steht in der Ebene derselben senkrecht auf die 1ste; 3) optische **Queraxe** (schlechthin Normale), steht senkrecht auf die Ebene der optischen Axen. Sie ist stets die Aze der mittlern Elasticität, während die größte und kleinste in der Ebene der optischen Axen liegt: fällt die **kleinste** Elasticitätsaxe mit der Mittellinie zusammen, so heißt der Krystall **positiv** + (Albit, Topas, Olivin, Gyps, Schwefspath, Eis *zc.*); mit der **größten** **negativ** — (Feldspath, Glimmer, Talk, Dichroit, Arragonit, Borax, Zucker *zc.*). Am einfachsten sind die Erscheinungen beim

Zweigliedrigen S. Die Elasticitätsaxen fallen hier mit den krystallographischen zusammen, beide optische Axen müssen daher in denen der drei Axenebenen (Hauptschnitt) liegen. Ich brauche also diese nebst der optischen Mittellinie nur zu nennen, um sogleich orientirt zu sein. So bilden z. B. am Weißbleierz die — optischen Axen 8° , liegen in der Axenebene *ac*, und *c* ist Mittellinie, folglich *b* Queraxe; bei dem damit isomorphen — Arragonit mit 18° liegen sie in der Axenebene *bc*, Aze *c* bleibt zwar Mittellinie, aber *a* wird Queraxe; beim + Schwefspath $36^\circ 48'$ halbirt *a* den Winkel, ist daher Mittellinie, *ac* Axenebene und *b* Queraxe; beim — Bittersalz $50^\circ 52'$ halbirt *b* den Winkel, und *ab* ist Ebene der optischen Axen, folglich die aufrechte *c* Queraxe. Wollte man ein Symbol, was jeder mit den gewöhnlichen Axen vertraute Mineraloge sogleich verstünde, so müßte man sagen: Weißbleierz — *c*, *ac* 8° ; Arragonit — *c*, *bc* 18° ; Schwefspath + *a*, *ac* $36^\circ 48'$; Bittersalz — *b*, *ba* $50^\circ 52'$. Denn mit der Angabe der Mittellinie (— *c*, — *b*, + *a*) und der Ebene der optischen Axen (*ac*, *bc*, *ab*), ist die Lage des Winkels selbstverständlich. Durch die Mittellinie muß in der Ebene stets der **scharfe** Winkel halbirt werden, und zwar für alle Farben. Denn wenn auch bald das Roth (*ρ*) bald das Blau (*ν*) stärker gebrochen werden, also die Axen von Roth ($\rho > \nu$) oder von Blau ($\rho < \nu$) einen größeren Winkel machen, so wird doch in der Symmetrie nichts geändert, die Farben gruppieren sich um die Mittellinie links wie rechts, und vorn wie hinten. Anders ist es beim

Zweiundeingliedrigen S., wo die Symmetrie jedenfalls zwischen vorn

und hinten aufgehoben wird. Zunächst muß man zwei Hauptfälle auseinanderhalten (Pogg. Ann. 81. 181):

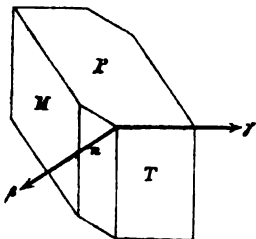
a) optische Axen liegen in der **Medianebene** $b : ooa : ooc$, welche den Krystall in eine linke und rechte Hälfte theilt. Krystallaxe b bleibt also in allen Fällen **Oerage**, und steht senkrecht auf der Ebene der optischen Axen. Diese haben aber in ihrer Ebene zu den krystallographischen Axen ac eine unsymmetrische Lage, was eigentlich krystallonomisch gar nicht anders sein kann. Es ist das der gewöhnliche Fall, wie es beim Diopsid, Eufkas, Titanit, Gyps, Realgar zc. angetroffen wird. Um die Lage der optischen Axen zu bezeichnen, muß man den Winkel der Mittellinie m zur krystallographischen c angeben: also **Augit** $+mc\ 38^\circ 54'$, $\beta\gamma\ 58^\circ 58'$, d. h. der Krystall ist



positiv, und m tritt auf der Vorderseite nach oben heraus, wie die beiden optischen Axen $\beta\gamma$, deren Winkel durch m halbiert ($29^\circ 29'$) wird. Würde man den **Eufkas** in der Haupt'schen Weise stellen, wo P nach vorn liegt, so hätten wir $+mc'\ 49^\circ 17'$, $\beta'\gamma'\ 49^\circ 38'$, welchen Winkel die Mittellinie m halbiren muß. Die Mittellinie mit den Axen $\beta'\gamma'$ tritt also jetzt **unten**, oder was dasselbe **hinten** heraus, wie die Striche andeuten sollen. Wenn bei dem

2gl. **S.** die optischen Axen noch physikalisch gleich ($\beta=\gamma$) waren, so kann das hier nicht mehr der Fall sein, was auch die Vertheilung der Farben bestätigt.

b) optische Axen liegen in einer **Schiefendfläche**. In diesem Falle kann entweder die Medianlinie (Klinodiagonale A Feldspath) oder Axe b (Vorax) Mittellinie sein. Da nun alle Schiefendflächen der b parallel gehen, so ist ihre Lage durch die Neigung zur Axe c gegeben. Für die mediane Mittellinie m brauche ich nur den Winkel zur Axe c zu wissen: also Feldspath $-mc'\ 63^\circ 53'$, d. h. die optischen Axen liegen in P , welche mit c den gleichen Winkel macht. In diesem Falle ist wieder $\beta=\gamma$, $\beta\beta\ 70^\circ$, d. h. die optischen Axen schneiden sich unter 70° , und sind selbstverständlich jederseits von der Mittellinie m 35° entfernt. Beim Vorax macht die Schiefendfläche der optischen Axen etwa 55° gegen c , aber $-b$ ist optische Mittellinie. Es ist in solchen Fällen immer besser, eine kleine Beschreibung statt kurze Symbole zu geben, die man doch nur vergißt. Gänzlich unregelmäßig verhält sich endlich das



Eingliedrige S. Gleich beim Albit, der dem Feldspath entgegen positiv $+$ ist, fällt die Mittellinie ungefähr in die Axenebene bc , und schneidet die aufrechte c etwa unter 79° . Das beste leicht zu controlirende Beispiel bietet **Kupfervitriol**. Da entwirft man schnell eine kleine Figur, worin am Henschenoeder **PMT** die Fläche T so leicht am rechten ebenen Winkel $-(88^\circ 48')$

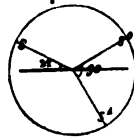
erkannt wird, und gerade diese Kante P/T entspricht der einen optischen Axe γ ; die andere β liegt auf n , welche die Säule M/T $122^\circ 31'$ abstumpft, und halbirt fast genau den ebenen Winkel von P/n mit T/n ($112^\circ 56'$). Kann man die Abstumpfungssfläche der scharfen Säulenkante r benützen, so darf man nur im Krystalle mit dem Federmesser ihr parallel eine Furche ziehen, ein Stück abbrechen, auf einem gewöhnlichen Stein abschleifen, und in der Hand glatt reiben, um nach Verlauf von ein Paar Minuten wenigstens ein rohes Bild der Axe γ im Polarisationsapparat zu sehen. Mehr braucht von Mineralogen nicht erwartet zu werden, das Feinere muß dem Physiker bleiben.

Merkwürdiger Weise fallen beim Erwärmen des Gypses um 70° R. beide optische Axen zusammen, so daß der Krystall optisch einaxig wird (Pogg. Ann. 8. 530). Die Geschwindigkeit, mit welcher sie sich gegen einander bewegen, ist jedoch bei beiden sehr verschieden (Pogg. Ann. 35. 88). Ueber 70° hinaus treten die Axen zwar wieder auseinander, aber in der Axenebene $h\ c$, welche gegen die Medianebene senkrecht steht. Bei Gypsen, wo das Paar $l = \frac{1}{2}a \frac{1}{2}b$ stark entwickelt ist (Felshausen bei Nagold), kann man eine Axe durch l im Polarisationsmikroskop sehen. Man darf solche nur mit Gummi auf Glas kitten, alsdann auf einer heißen Platte erwärmen, so gewahrt man eine Lemniscate, die sich beim Abkühlen zu einem lauzigen Bilde zusammenzieht, und dann rechtwinklig entgegengesetzt wieder auseinander geht. Vollständig erkaltet sieht man bloß noch das Ringsystem einer der Axen. Auch Natriumsulfuret und besonders Glauberit zeigen nach Descloizeaux das Phänomen.

Polarisiertes Licht.

Der eigenthümliche Name Polarisation rührt von Malus her, welcher 1808 zufällig mit einem doppelt brechenden Prisma das von den Fenstern des Palastes Luxemburg in Paris zurückgeworfene Licht der untergehenden Sonne betrachtete, und mit Staunen bemerkte, daß eines der doppelten Bilder bei der Drehung des Prismas trüber werde. Aber nicht bloß der Reflex, sondern auch Krystalle und organische Gewebe polarisiren, was bei letztern so weit geht, daß die Stärkezellen selbst noch im Staube der Aegyptischen Gräber es zeigen. Wir unterscheiden hier hauptsächlich 2 Fälle:

1) Wenn ein Lichtstrahl s so einfällt und von einem durchsichtigen Mittel nach s^0 so zurückgeworfen wird, daß der Strahl des durchgehenden Lichts s^1 auf den reflectirten s^0 senkrecht steht. Für Quarz beträgt der Einfallswinkel 33° , Glas $35^\circ 25'$, Kalkspath $31^\circ 9'$, Diamant $21^\circ 59'$. Der Lichtstrahl s ist also dann in zwei polarisirte Strahlen s^0 und s^1 zerlegt.

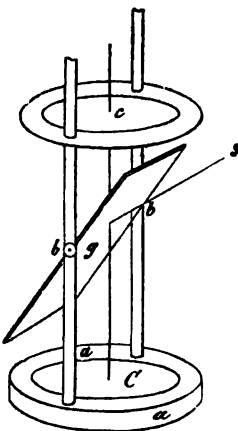


2) Wenn der Lichtstrahl durch ein krystallisiertes Mittel von doppeltbrechender Kraft geht. Daher sind die beiden Strahlen der optisch einaxigen und zweiaxigen Krystalle polarisirt.

Mittel, das polarisirte Licht vom unpolarisirten zu unterscheiden, gibt es vorzüglich drei:

a) In gewissen Lagen der Einfallsebene wird bei einem bestimmten

Einfallswinkel, der Strahl von einem polirten Mittel nicht reflectirt. Man macht sich das am besten durch zwei Brettchen (Spiegel) bb klar, die mittelst eines Stabes a , welcher den Strahl vorstellt, verbunden sind. Schneidet man den Stab senkrecht gegen seine Ase bei a durch, und hülft das eine Stück in das andere ein, so gehen die Bretter bei der Drehung der Hülse a im Azimuth aus ihrer Parallelität. Nur in zwei Fällen, bei der Parallelität und bei einer Drehung um 180° wird das Licht s vollkommen auf beiden Spiegeln nach s' reflectirt; bei einer Drehung um 90° und 270° dagegen auf dem einen Spiegel nicht, und in allen Zwischenstellungen unvollkommen.



Nörrenberg'scher Polarisationsapparat: auf dem Fußgestell aa befindet sich ein horizontaler Spiegel C , darauf erheben sich zwei senkrechte Stäbe, zwischen welchen eine Glasplatte g (am besten von geschliffenem Spiegelglase) um zwei horizontale Zapfen bb beweglich ist. Oben befindet sich ein Ring c , welcher mit einer Glasplatte bedeckt, den zu betrachtenden Mineralen als Unterlage dient. Drehe ich nun das Glas g so, daß es verlängert den horizontalen Spiegel unter $54^\circ 35'$ (dem Complement des Polarisationswinkels) schneiden würde, so wird ein Theil des Lichtstrahls s , der unter dem Polarisationswinkel von $35^\circ 25'$ auffällt, senkrecht gegen den Spiegel C reflectirt. Der Spiegel wird also von polarisirtem Licht erleuchtet, und da nun die Gläser g und c durchlassen, so kann ein Mineral bei c im polarisirten Lichte beschaut werden. Näheres Pouillet Müller Lehrb. Phys. 1843. II. 266. Die Buchstaben aa , bb und cC sind orientirt, wie die gleichnamigen Axen eines Krystalls. Der polarisirte Strahl Cc schwingt parallel bb . (Reusch, Pogg. Ann. 1864. 92. 220).

b) Der polarisirte Strahl wird in gewissen Lagen, wo der unpolarisirte zerlegt wird, nicht mehr durch doppelt brechende Minerale zerlegt.

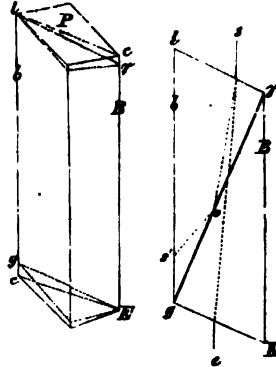
Lege auf das Glas c des eingestellten Polarisationsapparates ein durchstochenes Kartenblatt, betrachte es parallel Cc durch die horizontale Fläche eines Kalkspathrhomboeders, so wird im Allgemeinen der Punkt zwar doppelt erscheinen, allein in vier Lagen einfach, und zwar so oft die Ebene der langen und kurzen Diagonalen des Kalkspaths senkrecht gegen die Glasplatte g steht.

c) Der polarisirte Strahl ist unfähig, in einer bestimmten Lage durch eine Turmalinplatte (Serpenthin) oder ein Nicol'sches Prisma zu gehen.

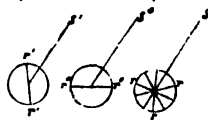
Schleift man nämlich aus grünem oder braunem Turmalin eine Platte längs der Säulenaxe c , und sieht damit nach jenem Punkte polarisirten Lichtes im Kartenblatt, so wird der Punkt dunkel, so bald die Ase der Turmalinplatte in der Längsrichtung der Glasplatte g , d. h. in der Medianebene aa des Apparats, liegt, drehe ich dagegen Turmalinaxe c in die Quer-

are bb des Apparats, so ist der Punkt am hellsten. Zwei solcher gegen einander verdrehbarer Platten bilden die bekannte Turmalinze. Mit parallelen Axen c gegen einander gelegt sind sie durchsichtig, mit senkrecht gekreuzten Axen dagegen undurchsichtig, vorausgesetzt, daß die Platten die gehörige Dicke haben.

Nicol'sches Prisma. Nimm einen länglichen Isländischen Doppelspath, woran c die gleichantige Endfläche, durch welche die Hauptaxe geht, bezeichnet; B und b sind die stumpfen Kanten von $105^{\circ}5'$ der beiden ausgebreiteten Blätterbrüche. Bringt man sie durch Spaltung ins Gleichgewicht, so bildet darin der dritte Bruch P eine auf die stumpfe Kante B aufgesetzte Schiefendfläche. Dann ist Fläche $lcBEcb$ ein Hauptschnitt des Rhomboeders mit dem stumpfen Winkel $P/B = lcB = 109^{\circ}4'$ und dem scharfen $P/b = Plb = 70^{\circ}56'$. Statt P muß eine neue Schiefendfläche in der Richtung ly und Eg geschliffen werden, welche senkrecht gegen den Hauptschnitt gelegen mit b 68° folglich mit B 112° macht, also von dem Blätterbruch P um nicht ganz 3° abweicht. Jetzt durchsäge den Krystall so, daß die Schnittfläche senkrecht auf dem Hauptschnitt und zugleich senkrecht auf der Linie ly steht, soll dieß mittelst eines Schnittes yg geschehen, so muß der Krystall so weit gespalten werden, daß $ly : lg = 1 : 2,67$. Man kittet beide Stücke wieder mit canadischem Balsam zusammen, wie nebenstehender Hauptschnitt zeigt. Kommt nun ein Strahl s , so wird derselbe in zwei Strahlen o und e zerlegt. So lange s die ungefähre Richtung der Rhomboederkanten b und B hat, ist der Winkel soy kleiner als 22° , für die Parallelität beträgt er sogar $14\frac{1}{2}^{\circ}$, und in diesem Falle wird der ordentliche Strahl, der jedenfalls einen größern (1,654) Brechungscoefficienten als die Balsamschicht (1,536) hat, total nach s' reflectirt und von der schwarzen Firnißbede, womit man die Seitenflächen überzieht, verschluckt. Ganz anders verhält sich dagegen der außerordentliche Strahl e , der für diese Richtung ungefähr denselben Brechungscoefficienten wie die Balsamschicht hat, jedenfalls keinen größern, sondern einen kleinern (bis 1,483), er geht also durch die Balsamschicht durch, und mit diesem beobachtet man. Die Aethertheilchen schwingen parallel dem Hauptschnitt. Durch seine Farblosigkeit hat das Prisma Vorzug vor einer Turmalinplatte, und wird besonders auch bei Mikroskopen angewendet. Foucault (Pogg. Ann. 1857. 102. 642) gibt ein noch einfacheres Verfahren an.



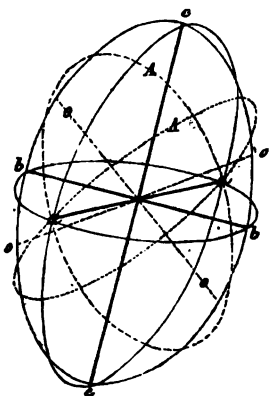
Erklärung. Man denkt sich, daß die Aethertheilchen eines unpolarisirten Lichtstrahles s senkrecht gegen den Strahl nach allen Richtungen, bei den polarisirten s' und s'' dagegen entweder nach der einen Richtung $r^0 r^0$ oder nach der andern $r^1 r^1$ zu schwingen gezwungen seien. Beide



Richtungen r^0 und r' stehen aufeinander senkrecht, man sagt, die Strahlen s^0 und s' seien senkrecht zu einander polarisirt. Wenden wir dieß an:

Bei optisch einaxigen Krystallen construirte Fresnel um die beiden Elasticitätsaxen ca , die ihrer Richtung nach mit den gleichnamigen krystallographischen zusammenfallen, eine Ellipse, und drehte diese um die Ase cc . Sie gränzt ein Revolutionsellipsoid ab, dessen Querschnitt $aaaa$ ein Kreis ist, parallel, welchem die Elasticität im Krystall nach allen Richtungen die gleiche bleibt. Da der ordinäre Strahl o überall nach dem gleichen Gesetz gebrochen wird, so müssen seine Aethertheilchen parallel dem Querschnitte aa des Revolutionsellipsoides schwingen, denn nur so finden sie gleichen Widerstand; während die Ungleichheit des Widerstandes nach jeder andern Richtung das variable Gesetz des außerordentlichen Strahles bedingt. Nur wenn das Licht parallel der Ase c geht, liegen die Aetherschwingungen beider Strahlen o und e der Asebene $aaaa$ parallel, dieß gibt daher die Richtung der optischen Axen.

Bei optisch zweiaxigen Krystallen sind drei verschiedene Elasticitätsaxen a, b, c vorhanden. Construiert man damit die drei aufeinander senkrechten elliptischen Ebenen ab, ac und bc , so kann man in diesem elliptischen Sphäroid mit der mittlern Elasticitätsaxe (d. h. der Ase von mittlerer Länge, die a sein mag) zwei Kreise aaa construire. Nur zwei solcher Kreise sind möglich, welche durch die Ase a gehen und symmetrisch gegen b und c liegen, senkrecht auf diese Kreisebenen stehen die beiden optischen Axen oo . Ihr scharfer Winkel wird entweder durch die kürzeste b (positiv) oder die längste Elasticitätsaxe c (negativ) halbirt, je nach der Beschaffenheit der Ellipsen. Jeder Kreis mit seiner senkrechten



Ase oo bildet das Analogon eines optisch einaxigen Krystalls. Daher muß die optische Queraxe a die Ase mittlerer Elasticität sein, während die Wirtellinie die kürzeste oder längste Elasticitätsaxe sein kann.

Sehe ich durch eine Turmalinplatte gegen das Doppelbild im Kalkspath pag. 113, so schwindet bei aufrechter Turmalinaxe c das ordentliche Bild, und nur das außerordentliche bleibt sichtbar, folglich gehen in dieser Stellung die außerordentlichen Strahlen, welche schief zur Ase c schwingen, durch die Turmalinplatte durch. Lege ich dagegen c horizontal und die Asebene aa aufrecht, so schwindet das außerordentliche Bild, es können nur die Strahlen, welche parallel aa schwingen, durch. Das ist nun auch der Grund, warum in der Turmalinzange mit gekreuzten Axen Dunkelheit entsteht: die eine Platte läßt nur die ordentlichen, die andere die außerordentlichen durch, folglich kann keines von beiden durch beide Platten zugleich gehen.

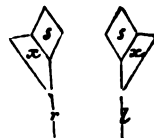
Farbige Ringsysteme.

Nachdem Arago schon 1811 dem französischen Institute die merkwürdigen Farbenerscheinungen dünner Glimmer- und Gypsblättchen, wie sie die Natur unmittelbar bietet, im polarisirten Lichte mitgetheilt hatte, fand Brewster (Philosoph. Transact. 1813. 101) ähnliche Erscheinungen an geschliffenen Krystallplatten, wenn polarisirtes Licht in schiefer Richtung durchgeht. Man hatte nun bald in zwei Turmalinplatten (Turmalinzange) kleine Polarisationsapparate gefunden. Aber mangelhaft. Erst durch das **Polarisationsmikroskop** von Amici, und besonders von Nörrenberg, welches Grailich (Kryst.-opt. Unterf. pag. 43) beschrieb, ist dem Mineralogen ein practisches Instrument geboten. Die kleinsten Splitter reichen hier oft hin, um die Lage der Axenebenen zu finden, und nach den umfassenden Zusammenstellungen von Hrn. Descloizeaux (Annales des mines 1858. XIV) darf auch der Mineraloge solche wichtige Kennzeichen nicht übersehen, obgleich sie auf der Gränze zur Physik hin stehen.

Optisch einaxige Krystalle. Schleift man einen Kalkspath senkrecht gegen die Hauptaxe c , und nimmt das Stück in eine Turmalinzange mit gekreuzten Axen, so erscheinen gegen das Tageslicht gesehen schönfarbige Kreise mit einem dunkeln Kreuz. Das schwarze Kreuz entspricht den Schwingungsebenen der Aethertheilchen im Turmalin. Bei parallelen Turmalinaxen ist die Erscheinung nicht so schön, das Kreuz wird hell und die Farben schlagen in Complementärfarben um. Je dicker die Platte und je stärker die Differenz der Brechungsponenten beider Strahlen, desto schmaler die Ringe. Daher sieht man bei dünnen Platten, namentlich wenn die Masse nicht stark doppelt bricht, wie z. B. das Eis, die Ringe nicht oder doch sehr breit. Im homogenen Lichte (Weingeist mit Steinsalz auf den Docht gestreut) schwinden die Farben, die Ringe sind blos dunkel und hell. Wenn die Minerale nach der Geradendfläche einen blättrigen Bruch zeigen, wie z. B. der prachtvoll bei einer Temperatur von 15° — 20° krystallisirte viergliedrige Nickelvitriol $NiS + 7H$ (Pogg. Ann. 12. 144), das gelbe Blutlaugensalz, der einaxige Glimmer $2c$, so darf man sie nur spalten und unter das Polarisationsmikroskop bringen, um sofort die Erscheinung zu sehen.



Circularpolarisation. Bergkrystall zeigt zwar auch Ringe mit einem schwarzen Kreuz, allein in der Mitte fehlen sie, und statt dessen stellt sich eine gleichmäßige Färbung ein, welche bei der Drehung des Analysators alle prismatischen Farben durchläuft. Bringt man solche Platten auf den Polarisationsapparat, wo ihn nur Strahlen, die parallel der optischen Axe gehen, treffen, also auch außen keine Ringe erscheinen, so zeigt durch ein Nicol'sches Prisma angesehen die ganze Fläche eine prachtvolle gleichartige Färbung, falls sie gut parallel geschliffen ist. Gehen diese Farben bei rechter Drehung des Nicol'schen Prismas oder der Turmalinplatte von

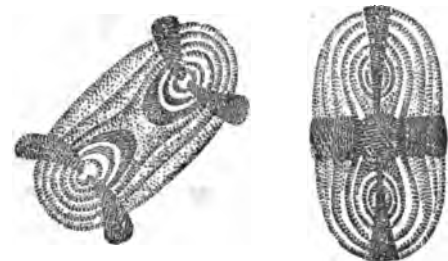


Roth durch Orange, Gelb, Grün, Blau und Violett, so heißen sie rechts drehend, und zeigen sie dieselbe Farbenfolge bei linker links drehend. Auf fallender Weise richtet sich das nach den Trapezflächen x ; l ist ein links und r ein rechts drehender Krystall. Nach Hrn. Descloizeaux zeigen Zinoberkrystalle 15—17mal stärkere Drehungskraft als Bergkrystall. Solche Circularpolarisation hat Pasteur (Pogg. Ann. 80. 137) auch bei Lösungen von Krystallen nachgewiesen, wie z. B. der Rechts- und Links-Traubensäure, deren Flächen man es schon ansieht, wohin ihre Flüssigkeiten drehen werden! Schwefelsaures Strichnin, chlorsaures Natron (Pogg. Ann. 91. 424 und 94. 413) verhalten sich ähnlich. Bekanntlich ist Zuckerlösung rechts und Terpentinöl links drehend.

Optisch zweiaxige Krystalle zeigen senkrecht zu einer der optischen Axen geschnitten etwas elliptische Farbenringe mit einem schwarzen Strich, z. B. Arragonit. Bei der Drehung der Krystallplatte dreht sich auch der Strich, aber nach der entgegengesetzten Seite hin. Oft braucht man nicht ein Mal zu schleifen, z. B. farblose Topasgeschiebe von Brasilien darf man

nur in der Richtung einer optischen Axe zwischen die Turmalin-

zange bringen, um die schöne Erscheinung zu sehen. Wenn der Winkel der optischen Axen scharf ist, wie beim Weißbleierz $5^{\circ} 15'$, Salpeter $5^{\circ} 20'$ u., so sieht man senkrecht gegen die optische Mittellinie geschnitten, zwei Curven-



systeme, welche die Eigenschaften der Lemniscaten haben, und deren Form sich bei Drehung der Krystallplatte nicht ändert, wohl aber wird die Lage der beiden schwarzen Curven gegen die Lemniscaten stets eine andere. Eine Linie, welche die Centra der beiden Kreise verbindet, entspricht der Lage der optischen Axen. Wenn diese 45° von den aufeinander senkrechten Polarisations Ebenen entfernt sind, so ist die Mitte schön gefärbt, und die schwarzen Striche bilden nach außen offene Hyperbeln, so wie sie dagegen mit einer der Polarisations Ebenen zusammenfallen, so erzeugt sich ein schwarzes Kreuz, was die Mitte gänzlich verbunkelt.

Hierin liegt ein praktisches Mittel, optisch einaxige Minerale von optisch zweiaxigen zu unterscheiden. Denn einaxige bleiben zwischen gekreuzten Turmalinplatten bei jeder Drehung dunkel, zweiaxige werden dagegen bei einer Kreisbrehung zwei Mal dunkel und zwei Mal hell. Noch bequemer hat man es auf dem Polarisationsapparate. Glimmer, Topas u. liefern gute Beispiele. Besonders interessant ist der Glimmer, weil darunter sich auch optisch einaxige Blätter finden.

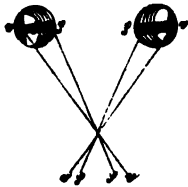
„Den Character der optischen Axen, ob selbe positiv oder negativ seien, findet man durch Kreuzung mit einer Platte von bekanntem Character. Werden die Ringe kleiner, so besitzen beide Substanzen gleichen Character, denn

das Plattenpaar wirkt wie eine einzige dickere Platte. Werden die Ringe größer, so besitzen sie verschiedene Charactere, denn das Plattenpaar wirkt wie eine dünnere Platte.“ Indessen gibt es auch noch andere Mittel. Zur Bestimmung der optisch einaxigen bedient sich Grailich eines 2axigen Glimmerblättchens von einer Viertelundulation ($\frac{1}{4}\lambda$), woran die Lage der optischen Axen (Hauptschnitte) durch einen Strich bezeichnet ist. Legt man dasselbe am Nörrenberg'schen Polarisationsmikroskop unter den obern Nicol (Analyseur), so wird das schwarze Kreuz bleiben, so oft der Hauptschnitt des Glimmerblattes mit einer der Polarisations Ebenen zusammenfällt, in der Zwischenstellung löst sich jedoch das Kreuz in zwei schwarze Punkte auf; liegen die Punkte im Hauptschnitt des Glimmers, so ist das Mineral negativ (—), liegen sie senkrecht dagegen positiv (+): also **negativ drin, positiv draußen**. Bei optisch zweiaxigen bediente sich schon Biot der Quarzplatten, senkrecht gegen die Hauptaxe geschnitten, wie man sie zur Demonstration der Circularpolarisation zur Hand hat. Stellt man nun die Lemniscate möglichst schönfarbig ein, was bekanntlich der Fall ist, wenn ihre Längs- und Queraxe 45° von den Schwingungsebenen des Polarisationsmikroskop entfernt stehen, und legt eine Quarzplatte unter den Analyseur, so kommen an negativen Mineralien mitten in der Lemniscate sehr lebhaft hyperbolische Interferenzkurven, wenn man die Quarzplatte um die Längsaxe der Lemniscaten dreht; an positiven dagegen bei der Drehung um die Queraxe: also **negativ längs, positiv quer**.

Axenzzerstreuung macht man sich vorläufig am besten wieder durch eine Zeichnung der Axenebene klar: es ist dabei hauptsächlich auf die beiden extremen Farben des Spectrums **Roth** (ρ) mit **größern** und **Violett** (ν) mit **kleinern** Lichtwellen Rücksicht zu nehmen. Das Violett schwindet häufig im Blau, man spricht daher von Roth und Blau. Wählen wir z. B. aus dem

Zweiggliedrigen System eine Lemniscate von **Salpeter**, und lassen die Polarisationssebene zusammenfallen. Ist die Platte nicht

dünn genug, so darf man nur im Polarisationsmikroskop das Linsensystem heraus nehmen, und die Platte unmittelbar unter den Nicol (Analyseur) halten. In den beiden Augen, welche den Axenpunkten entsprechen, liegt links blau, grün, roth und rechts roth, grün blau. Sich die Axen hinzudenkend, sieht man sogleich, daß roth (ρ) einen kleinern Winkel als blau (ν) mache ($\rho < \nu$). Beim



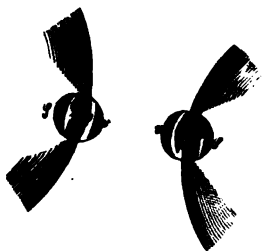
Seignette-Salz

$\text{K Na T}^2\text{A}^8$ liegt umgekehrt das roth (ρ) außen, und das blaue (ν) innen ($\rho > \nu$), weil der Winkel der rothen Axen um 20° größer ist, als der der blauen. Die Sache ist so augenfällig, daß man im kleinern Gesichtsfelde bei bekannter Farbenfolge sogleich weiß, wo die 2te Axe zu suchen sei. Sind die Winkel der rothen und blauen Axen nur einigermaßen anders, wie z. B. beim Weißbleierz, so kann die ganze Reihe der Regenbogenfarben zwischen ρ und ν unterschieden werden. Nur bei einigen Salzen, wie z. B. beim **schwefelsauren Kali** K S vertheilen sich die Farben in beiden Augen gleich, und ich mag nicht



entscheiden, ob nach Brailich $\varrho < v$ oder nach Descloizeaux $\varrho > v$ sei. Mittheilungen meines Collegen Reusch zufolge bezeichnet Hr. Mörenberg diesen Fall 1, während 2 **Salpeter** nebst Arragonit, Bleivitriol, Cölestin, Schwefspath, Anhydrit, Chlorit, Strontianit, Struvit, Schwefel und 3 **Seignettesalz** nebst Topas, Chrysoberyll, Glimmer, Epidolith, Staurolith, Weißbleierz, Witherit, Kieselzinkerz, Brookit haben würden: Zeichen, die im Hinblick auf die kleinen violetten und die großen blauen Richtwellen selbstverständlich sind.

Die geschliffenen Platten im Azimuth gedreht ändert die Lage der Farben, und bei 45° gewahrt man im Centrum des **Auges** zu beiden Seiten der dunkeln **Hyperbeln** ein Spectrum und Gegenspectrum. Beim **Seignettesalz** legt sich zunächst der Hyperbel roth ϱ



außerhalb und violett v (grün) innerhalb. Ein Blick zeigt auch hier, daß das Symbol $\varrho v v \varrho$ sei. Sieht man bloß auf die ϱv neben den Hyperbeln, so hat es den Anschein, als wenn die Winkel von v größer wären als die von ϱ . Hr. Descloizeaux (Ann. min. 1858. XIV) sagt daher *bleue à l'extérieur et rouge à l'intérieur*, und setzt dann gleich hinzu, factisch sei aber die Sache

umgekehrt. Wir halten uns jedoch besser nur an die innern Spectra der Lemniscaten, und nicht zugleich an die äußern Gegenspectra. Zur Controle ist die Verdrehung um 45° sehr zu empfehlen. Beim zweigliedrigen System liegen die Kreuzfarben, mögen sie zerstreut sein wie da wolle, stets symmetrisch (nach vorn, hinten, links und rechts) gegen die Mittellinie; beim

Zweieindeingliedrigen System können dagegen die Farben sich nur noch nach links und rechts symmetrisch zeigen, nach vorn und hinten müssen sie unsymmetrisch gegen die Mittellinie vertheilt sein. Liegen die

4) **Kreuz in der Medianebene** (dispersion inclinée), wie bei Gyps, Zucker, Diopsid, Euklas, schwefelsaurer Ammoniak-Magnesia, Titanit, Wollastonit, Rauschroth, so ist das allgemeine Symbol $\varrho v \varrho v$, d. h. der Kreuzwinkel der rothen und blauen Farben werden nicht durch ein und dieselbe Mittellinie halbirt, eben weil der Krystall vorn anders als hinten ist. Schon der Unterschied in der Lebhaftigkeit der Bilder zeigt das, ein Kreissystem ist etwas

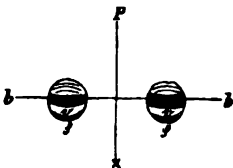


bleicher als das andere. Untersucht man z. B. die beiden **Augen** im **Gyps**, so ist das eine prachtvoll rothgrün (vorn Reusch), das andere (hintere) verwischt gelbblau, die gleichen Farben sind folglich nach **einer** Seite geschoben. Allerdings fallen auch bei der Disp. inclinée meist die blauen Farben innerhalb der rothen oder umgekehrt, allein der Abstand $v \varrho$ bleibt nicht mehr gleich. Heusser (Pogg. Ann. 1854. 91. 495) hat das an dem Diopsid auseinander gesetzt. Darnach würden wieder eine Reihe von Fällen unterschieden werden können:

v	q	q	v
q	v	v	q
v	q	v	q
q	v	q	v

die alle den Unterschied von vorn und hinten beweisen. In der Angabe sollte übrigens nicht vernachlässigt sein, welches Bild vorn und hinten hin-
fällt. Nur bei den Zwillingen ist vorn und hinten gleich, wie das Hr. Ewald
für den Diopsid nachgewiesen hat. Aber schon der Mangel an Lemniscaten
zeigt, daß man es nicht mit einem Individuum zu thun habe.

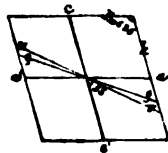
5) **Axen in der Schiefendfläche** (dispersion horizontale). Fällt die Mit-
tellinie in die Medianebene, wie beim **Adular**, so bleiben natürlich beide Augen
links und rechts einander gleich, aber jegliches Auge
ist vorn anders als hinten. In unserer Stellung
zeigt sich vor dem dunkeln Strich ein lebhaftes Blau v ,
und am vordern Kreisrande ein lebhaftes Roth q , die
hintere Hälfte bleibt dagegen ganz matt. Bei der
Drehung um 45° sieht man ferner, daß $q > v$ ist.



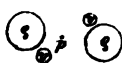
Wie es beim Zweigliedrigen nur annähernd eine centrale Farbenstellung gab
(Schwefelsaures Kali), so gibt es auch hier eine lineale nur annähernd, indem
die verschiedenen Farben in verschieden gegen Axe c geneigten Schiefendflächen
liegen. Am **Rörrenberg'schen Symbol** werden also im Allgemeinen v und q
auf verschiedenen Linien stehen, aber stets gegen eine Median-
ebene symmetrisch, wie das Zweimbeingliedrige System noth-
wendig verlangt. Denn auch im 2ten Falle, wo die Mittel-
linie mit Axe b zusammenfällt, die Krystalle also senkrecht gegen b geschliffen
werden müssen, wenn man Lemniscaten bekommen will, haben wir das 2 + 1-
gliedrige System nur in seiner gewendeten Stellung. Die Farben zeigen
natürlich eine Drehung (Dispersion croisée ou tournante), weil die Form
von einer andern Richtung (quer gegen die Medianebene) als der Feldspath
angesehen werden muß. Der **Dorax** liefert ein vortreffliches Beispiel, zumal
da er nach dieser Richtung leicht spaltbar ist.



Verzeichnen wir die Lage der **Axenebenen** auf die
Medianebene $b : ooa : ooc$, so macht bekanntlich
 $k = a : oob : ooc$ mit $P = a : c : oob$ einen Winkel von
 $106 \cdot 35$, oder $P/c = 73^\circ 25'$; $q/c' = 55^\circ$ und
 $v/c' = 53^\circ$, d. h. die Ebene der rothen Farben als Schief-
endfläche gedacht fällt 18° unter die Schiefendfläche des
Krystalls, und die Ebene der blauen liegt noch 2° darunter.
Der scheinbare Winkel der rothen Axen beträgt $59^\circ 30'$
der blauen $56^\circ 50'$. Im Polarisationsmikroskop sieht man
bei **medianer** Stellung der Polarisationsebene einen gelben
Farbenbüschel q unten rechts und oben links, einen blauen v
dagegen unten links und oben rechts, auch bei einer
Drehung um 180° bleibt die Lage gleich. Legt man da-



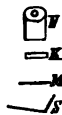
gegen die Kehrseite der Platte oben hin, so kehrt sich das Verhältniß um. In den Ringen sind überhaupt die Farben unregelmäßig vertheilt, und das Auge spaltet sich in vier Quadranten, jeglicher mit einer andern Farbentinte, namentlich liegt bei dünnen Platten das Blau unsymmetrisch. Wir sind damit bei der eingliedrigen Ordnung angekommen, die nach der Nörrenbeig'schen Bezeichnung das **Symbol** erhalten würde, worin der kleinere Winkel des Blau nebst der



Drehung durch die Stellung der Zeichen angedeutet ist. Da aber die Kreise von einem Zwischenpunkte p noch gleich weit entfernt sind, so lassen sie sich auf die 2 + 1gliedrige Ordnung zurückführen, was bei den **Eingliedrigen** nicht mehr geht. Man kann sich davon am **Ampferbitriol** leicht überzeugen. Das Auge ist hier immer mehr oder weniger in vier Farbensfelder getheilt, und bei einer Zwischenstellung von 45° gewahrt man blau, roth, gelb und grün; $q < v$. Zur Symmetrie gelangt man bei keiner Lage. Die Farben des Auges sind also vorn anders als hinten, und links anders als rechts; bei den 2 + 1gliedrigen vorn anders als hinten, und links wie rechts; bei den 2gliedrigen vorn wie hinten und links wie rechts; bei den 4- und 3gliedrigen dagegen im Kreise gleich. Ein anderer Fall ist nicht möglich.

Nimmt man bei dem Schleifen einige Rücksicht auf die Hauptflächen des Krystalls, so läßt sich die Lage der Axenebenen leicht controliren: beim **Topas** bedarf es z. B. blos eines geschlagenen Blättchens mit Spuren der Seitenflächen, um sogleich an der Lage der Lemniscaten zu erkennen, daß die Axenebene mit a c und nicht mit b c zusammenfalle. Der **Borax** läßt sich leicht nach $M = b : \infty a : \infty c$ spalten, k und P machen daran Rhomboide von $106^\circ 35'$. Würde die Ebene der optischen Axen mit P zusammen fallen, wie **Descloizeaux** (Ann. des min. XI 220) angibt, so müßte der Hauptschnitt der Lemniscaten der Rhomboidlinie P parallel gehen, allein er schneidet sie ungefähr unter 18° , die Axenebene macht also nicht 73° , sondern 55° gegen Ax c. Man sieht sogar für diese Stellung, daß die Axen der Blau noch darunter liegen. So gibt es eine Reihe von Krystallen, besonders unter den künstlichen, die man nur unter das Polarisationsmikroskop legen darf, um sofort die Lage der Axenebene an dem schwarzen Streif zu erkennen. Reicht dieß nicht aus, so greift man zu **Hrn. v. Kobell's**

Stauroskop (Gelehr. Anzeig. Münch. Acad. 1855. Bd. 40. 145; Bd. 41. 60; 1856. Bd. 42. 78), d. h. man nimmt aus dem Polarisationsmikroskop das Einsenssystem, behält blos den Nicol N und die Polarisationspiegel S



bei, legt unter den Nicol einen rechtwinklig gegen die Hauptaxe geschliffenen Kalkspath K, so sieht man bei gekreuzten Polarisations-ebenen ein dunkles Kreuz. Man kann den Kalkspath auch weglassen, und sich die Polarisations Ebenen durch ein Fadent Kreuz fixiren.

Dann ist bei gekreuzten Polarisations Ebenen das Gesichtsfeld dunkel. Legt man nun die Fläche eines doppeltbrechenden Minerals M dazwischen, so wird die Stelle im Allgemeinen hell oder farbig erscheinen, nur in zwei Lagen, wo die Polarisations Ebenen mit denen des Instrumentes zusammenfallen, ist Dunkelheit. In diesen Lagen sieht man das Kalkspathkreuz durch das Mi-

neral. Daß Platten regulärer Krystalle keinen Einfluß haben, versteht sich von selbst; ebenso die Geradenflächen optisch einaxiger Krystalle (4, 3 und 6gl.), das Kreuz bleibt bei jeder beliebigen Drehung der Platte dunkel. Bei allen symmetrisch halbzbaren Flächen fällt ein Arm des Kreuzes mit der Halbierungslinie zusammen. Rhomboederflächen lassen sich nach der schiefen Diagonale symmetrisch halbiren, und diese Linie nimmt ein Arm ein, folglich der andere die horizontale Diagonale; beim Dreiecke des Dipyraeder und Quadratoctaeder liegt einer im Perpendikel von der Spitze zur Basis; bei den Schiefenflächen des 2+1gliedrigen Systems in der Medianlinie (Klinodiagonale), also senkrecht auf Axe b. Das gibt ein vortrefflich Mittel, um das gewendete 2+1gliedrige (Epidot) vom 1gliedrigen (Ghanit) zu unterscheiden. Nimm eine Pistaciengrüne Epidotnadel, wie man sie am Rosenlaugletscher kauft, so bleibt sie dunkel in ihrer Längs- oder Querlage, in der Zwischenlage wird sie sogleich hell; eine Säule von Ghanit dagegen ist in dieser Lage vollkommen hell, und erst in der Zwischenstellung dunkel. Er hat keine Medianlinie, folglich kann er nicht gewendet 2+1gliedrig sein. Die Säulenflächen des 2gliedrigen Systems sind halbzbare Paare irgend eines Oblongoctaeder, folglich muß ein Kreuzarm der Axe parallel gehen, wie man sich beim Arragonit leicht überzeugt. Für die Säulen und Augitpaare des 2+1gliedrigen Systems gilt das nicht, sie sind nicht halbierbar, bleiben daher hell, wenn sie der Länge nach an einem dunkeln Kreuzarm liegen, und werden erst in einer bestimmten Lage der Zwischenstellung dunkel. Außer Gyps sind die kleinen Abularsäulen vom Zillerthal hier sehr brauchbar. Nur bei der Abstumpfungsfäche der vordern Seitenkante ($k = a : \infty b : \infty c$) geht der dunkle Kreuzarm der Axe c parallel, wie Zucker und Weinsäure zeigt. Der zweite blättrige Bruch M verhält sich dagegen gänzlich unsymmetrisch, wie man an den kleinen glasigen Feldspathen der Sommaauswürflinge so leicht beweisen kann, hier ist Dunkelheit, so oft die rechtwinklige Kante P/M im Kreuzarme liegt, denn diese bestimmt ja die Lage der optischen Axen. Noch leichter kann man den ersten Blätterbruch des Gypses präpariren, wo ein Kreuzarm etwa 20° mit dem safrigen und 47° mit dem muscheligen Bruch macht. Diese wenigen practischen Andeutungen mögen genügen. Grailich (kryst.-opt. Unterf. pag. 26) hat die Theorie mathematisch entwickelt.



Ghanit

Epidot

Störungen durch Druck und Lamellentextur kommen gar nicht selten vor. Brewster hat das schon längst beim Boracit, Analcim, Steinsalz, Amethyst, Apophyllit u. nachgewiesen, was Biot Polarisation lamellaire nannte. Manche optisch einaxigen (Turmalin, Beryll, Apatit, gelbes Blutlaugensalz u.) zeigen bei der Drehung im Polarisationsmikroskop ein Auseinandergehen des schwarzen Kreuzes, was auf Zweiaxigkeit mit kleinen Axenwinkeln hinweist. Hr. Breithaupt (Leonhard's Jahrb. 1860. 241) führt die Ursache auf kleine Winkelunterschiede zurück, und gründet darauf 7 neue Krystallsysteme, wodurch er die Gesamtzahl auf 13 zu erheben meint. So sollen beim Almandin im

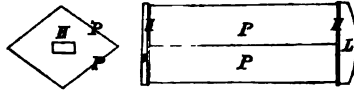
Leucitoeder die 4 Winkel um eine Oктаederecke von den 8 in den übrigen um 6 Minuten abweichen, derselbe sei also „tetragonisirt“; Boracit dagegen „hexagonisirt“, indem die Winkel um eine der trigonalen Ecken von den übrigen dreien sogar bis auf 46 Minuten abweichen. Beide erwiesen sich daher richtig geschliffen optisch einaxig. Der piemontesische Vesuvian sei optisch zweiaxig, weil das Oктаeder eine 2 + 1gliedrige („monasymmetrische“) Ordnung zeige: die vordere Fläche mache gegen Axe c $52^{\circ} 55'$, die hintere $52^{\circ} 47'$, und die seitlichen $52^{\circ} 50'$. Hr. v. Kokscharow stimmt dem nicht bei. Am Anatas wird sogar eingliedrige („diasymmetrische“) Ordnung angenommen, indem alle vier Oктаederflächen sich verschieden gegen die Hauptaxe c neigten. Man sieht sofort ein, daß eine solche auf Nebenerscheinungen basirte Einteilung noch viel weiter führen müßte. Darf man auch Bemerkungen des großen Gesetzes nicht von vornherein gänzlich verwerfen, so werden sie doch nie als besondere Systeme sich Geltung verschaffen, sondern nur beweisen, daß in der Natur die absolute Vollkommenheit nirgends erreicht wird.

Farben dünner Krystallblätter. Schleift man optisch einaxige Krystalle parallel der optischen Axen, oder optisch zweiaxige parallel mit der Ebene der optischen Axen in dünne Blättchen, so zeigen sich im polarisirten Licht prachtvolle Farbenerscheinungen. Am besten eignet sich in dieser Beziehung Gyps, weil sein deutlich blättriger Bruch parallel der optischen Axenebene liegt. Gleich dicke Blättchen erscheinen einfarbig (verändern aber ihre Farbe beim Erwärmen), ungleich dicke mehrfarbig: Beweis, daß die Farbe von der Dicke abhängt. Bei senkrecht gekreuzten Schwingungsebenen des Polarisationsapparates sind die Blättchen farblos, so bald die optische Mittellinie des Blättchens mit einer der Schwingungsebenen zusammenfällt. Dreht man das Gypsblatt im Azimuth aus dieser Stellung nach der einen oder andern Seite hin, so werden die Farben immer lebhafter, am lebhaftesten bei 45° . Ist auf diese Weise die lebhafteste Farbe eingestellt, so entstehen dann bei der Drehung des Nicol'schen Prismas um 45° die Complementärfarben. Kreuzt man zwei gleichfarbige Gypsblättchen so, daß die ungleichnamigen Axen zusammenfallen, so wird die gedeckte Stelle entfärbt. Dickere Gypsplatten werden beim Drehen nur hell und dunkel, zeigen aber gegen homogenes Licht gesehen dunkle hyperbolische Streifen, in der Lage, wo dünne Blättchen die schönsten Farben sehen lassen.

Dichroismus.

Schon im bloßen Lichte zeigen manche Minerale Zweifarbigkeit, der Dichroit hat sogar seinen Namen darnach bekommen. Merkwürdiger jedoch ist die Verschiedenheit der Farben beider Bilder doppeltbrechender Mittel. Schon Brewster zeigte, daß von den beiden Kalkspathbildern das außerordentliche eine tiefere weniger leuchtende Farbe habe, als das ordentliche. Sieht man nun vollends durch Kalkspath einen Rubin an, so wird für gewisse Stellungen das eine Bild auf Kosten des andern rother. Im Maximum findet der Unterschied senkrecht gegen die Axe gesehen Statt, wo bekanntlich die Bilder am weitesten auseinander treten. Haidinger über Pleochroismus

(Bogg. Ann. 65. 1) hat zu diesem Zweck ein kleines Instrument, **Dichroskop**, construirt. In seiner einfachsten Gestalt bedeckt man zwei Rhomboederflächen des Isländischen Doppelspathes mit schwarzem Firniß, schleift vorn und hinten eine Fläche H an, welche senkrecht gegen die Endkanten P/P des Rhomboeders steht: vorn klebt mit Canadabalsam eine Vergrößerungslinse L, damit beide Bilder durch schwache Vergrößerung etwas deutlicher werden, hinten ein Spiegelglas s. Außerdem verzieht man die Hinterseite mit einer Blendung, worin eine kleine oblonge Lichtöffnung geschnitten wird, damit bei Beschauung größerer Krystalle zwei Farbenfelder scharf getrennt sind, und die Farben deutlicher hervortreten. Die lange Seite des Oblongums legt man der langen Diagonale der Schnittfläche H parallel, und die kurze Seite macht man so lang, daß die beiden Bilder mit ihrer langen Seite aneinander stoßen. Durchsehend gewahren wir zwei Bilder: ein ordinäres o nach der langen Seite, und ein extraordinäres e nach der kurzen Seite schwingend. Um zu sehen, welches Bild e oder o sei, dürfen wir nur einen schwarzen Fleck auf weißes Papier machen, o ist dann glatt, ohne sichtbare Papierfasern, an e sieht man nicht bloß die Papierfaser, sondern es hat auch einen sehr deutlichen gelben und blauen Saum, die beide einander gegenüber liegen.

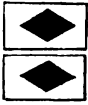


Nehmen wir jetzt einen kleinen Rubin von Ceylon, der in regulären sechsseitigen Säulen mit 3- und 6gliedrigen Endflächen krystallisiert, und kleben ihn horizontal der Axe c mit Wachs auf einen Nadelknopf: parallel der Axe c durchgesehen, also senkrecht gegen die **Geradendfläche** (Farbe der Basis), bleiben beide Bilder unverändert purpurroth, ihre Schwingungen gehen senkrecht gegen die Axe c, die Farben sind daher nicht verschieden, von Kleinigkeiten abgesehen. Legen wir jetzt die Rubinaxe c quer, d. h. der Schwingungsebene von o parallel, so wird o ganz bleich, e bleibt aber intensiv roth (Arenfarbe), wie vorher, die Schwingungen parallel der Rubinaxenebene aa fallen hier mit denen von o zusammen. Stellen wir daher die Rubinaxe c **aufrecht**, so muß sich umgekehrt e entfärben, und o roth bleiben. Eine Folge davon ist, daß bei **schiefen** Stellung der Rubinaxe c gegen die lange Oblongseite, wenn die Drehung 45° beträgt, beide Bilder gleich aussehen, aber bleicher. Es macht sich bei dieser Drehung aus der horizontalen oder verticalen Arenstellung in die schiefe gerade so, als wenn das eine Bild sich auf Kosten des andern färbte, daher erscheinen im Gleichgewicht von 45° beide blasser. Die Farbe der Basis und Arenfarbe sind bei den optisch einaxigen Mineralen sehr wenig von der Farbe im bloßen Licht verschieden. Das Interesse liegt mehr in der Differenz der Farben beider Bilder, in welcher Beziehung sich die einzelnen Minerale nicht gleich verhalten. Man sagt daher, sie wirken mehr oder weniger auf das Dichroskop.

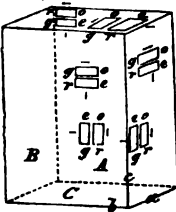


Nehmen wir jetzt einen brasilianischen Topas, wo möglich lilafarbig, der 2gliedrig in geschobenen Säulen von 124° mit sehr blättriger Geradend-

fläche krystallisirt. Die Säulenkaute geht der Aze c parallel, die kurze Diagonale des Blätterbruchs entspricht der a , und die lange der b . Sehen wir jetzt mit dem Dichroskop **parallel** c senkrecht gegen den blättrigen Bruch, so ist o schön lilafarbig, e lichtweingelb, vorausgesetzt, daß b der langen Oblongseite in der Blendung parallel liegt; umgekehrt ist aber e lila und o gelb, sobald die kurze Aze a der langen Oblongseite parallel geht.



Gleichfarbig werden dagegen beide Bilder für die **Zwischenstellung**, sobald eine der Säulenflächen ungefähr der langen Oblongkaute parallel geht, und in diesem Falle schwächt sich das Lila ab, indem es sich unter beide Bilder gleichmäßig vertheilt. Gegen die scharfe Säulenkaute gesehen, ist bei horizontaler Lage der langen Oblongkaute o gelb und e roth, bei verticaler dagegen o roth und e gelb. Gegen die stumpfe Säulenkaute gesehen, tritt zwar der Unterschied nicht so scharf hervor, allein im richtigen Licht betrachtet ist doch das obere Bild entschieden blasser, als das untere, und beim Anschleifen möchte vielleicht der Unterschied noch stärker hervortreten. Zur Veranschaulichung dieser sechs Fälle mache man sich eine **Oblongsäule mit Geradenfläche**, deren Kanten respective den drei Azen a b c entsprechen, trage die Schwingungsrichtungen durch Striche ein. Dann sieht man, daß auf den Säulenflächen AB alle rothen Bilder r parallel der Aze c schwingen; auf BC alle gelben g parallel der Aze a w . Will man jedoch kleine Unterschiede festhalten, so sind auf jeder Fläche für die verticale und horizontale Stellung des dichroskopischen Sechloßs zwei Farben zu unterscheiden auf A gelb parallel b und roth parallel c schwingend; auf B gelb parallel a und roth parallel c schwingend; auf C roth parallel b und gelb parallel a schwingend. Für die Zwischenstellung des Sechloßs ändern aber die Farben, jedoch gehört das Detail davon in die feineren Untersuchungen der Optik.



Für die Zwischenstellung des Sechloßs ändern aber die Farben, jedoch gehört das Detail davon in die feineren Untersuchungen der Optik.

Irisiren finden wir besonders bei blättrigen Mineralien: auf Klüften zeigen sich sehr schönfarbige Ringsysteme (Newtonianische Farbenringe), ihr Dasein bloß einer dünnen Luftschrift dankend, die Interferenzen der Lichtwellen erzeugt. Am blättrigen Gyps zeigen sie sich häufig, bewegen sich sogar beim Druck, sind im reflectirten Lichte am sichtbarsten, und bleichen beim durchgehenden. Die brillanten Farben dünner Blättchen, wie sie sich besonders beim Zerreißen des Talkes zeigen, finden auch durch Interferenz ihre Erklärung. Die Regenbogenachate von Oberstein irisiren beim durchfallenden Lichte, da hängt es wesentlich mit der Gesteinstruktur zusammen. Granaten von Piemont zeigen nach der Entdeckung von Sisonnda auf ihren Flächen feine Streifen, welche Regenbogenfarben erzeugen, taucht man sie ins Wasser, so schwindet die Farbe so lange, bis sie wieder trocken sind.

Das Anlaufen erzeugt ebenfalls nicht selten Regenbogenfarben, die in einem dünnen Niederschlage oder einer dünnen Zersetzungsschicht ihre Erklärung finden. Prachtvoll bunt angelaufen und zwar pfauenfchweifig

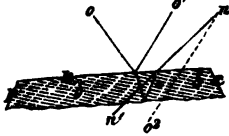
findet sich: Steinkohle, Eisenglanz, Brauneisenstein, Kupferkies zc.; taubenhäufig gebiegen Wismuth; regenbogenfarbig Grauspießglanz zc. Man kann die Ursache oft leicht verfolgen. Wenn man z. B. einen glänzenden Schwefelkies wiederholt befeuchtet und trocknen läßt, so überzieht er sich bald mit einer irisirenden Schicht in Folge chemischer Zersetzung. Vergleiche hier die künstlichen Nobili'schen und Böttcher'schen Farben auf Metallplatten, die Färbung des Wismuths (Pogg. Ann. 74. 500), Kupferkies zc. Die Schicht kann auch einfarbig sein, so läuft Silber gelb an zc. Ein einfaches Verschließen der Oberflächenfarbe kommt besonders bei opaken Erzen vor, Magnet-eisen hat auf alten Bruchflächen eine etwas andere Farbe als innen, Buntkupfererz läuft an frischer Bruchfläche schon nach wenigen Tagen mehr roth an zc.

Ein inneres eigenthümliches von der Structur herrührendes Farbenspiel zeigen viele Minerale: die brennenden Farbentinten im Innern edler Opale; der milde Schein der Faserstructur des Gypses und Aagenauges; das wogende Licht des Sternsaphirs und Chrysoberylls: die prangenden Farben fossiler Perlmutter (Muschelmarmor von Kärnthen). Namentlich überraschen die beweglichen Farben im Innern der verschiedenen Feldspathe: nach Brewster gehen die Reflexe unter dem Mikroskop von kleinen viereckigen Blättchen aus, die entweder leer oder mit Materie geringerer Brechkraft erfüllt sein müssen. Peß (Rafner's Archiv für Naturf. 1826. X. 275) und N. Nordenfjöld (Pogg. Ann. 1830. 19. 170) haben sich damit vergeblich beschäftigt, erst meinem Colleggen Reusch ist es gelungen, den wahren Zusammenhang mit der Krystallform nachzuweisen. Im

Abular vom Zillertal sieht man den bläulichen Lichtschein auf zwei Flächen $k = a : oob : ooc$ und $y = c : \frac{1}{2}a' : oob$. Ungefähr parallel y müssen die Krystalle geschliffen werden, um die Ringsysteme zu sehen. Legt man eine solche Platte auf ein dunkles Tuch, so daß x an der Oblongsäule P/M vordere Schiefendfläche bildet, und erhebt das Auge senkrecht darüber, so sehen wir jenen bläulichen Schein. Drehen wir jetzt die Platte 180° um Linie P, so bleibt der Schein; drehen wir dagegen um M, so verschwindet er, weil dann x hintere Schiefendfläche wird. Drehen wir nun aber in dieser Lage, wo wir nichts sehen, die Platte um Linie P, bis etwa k horizontal sein würde, so kommt das Licht wieder, während wir bei solcher Manipulation nichts sehen, wenn wir von der ursprünglichen Lage der Platte ausgehen. Bringen wir nun die Platte nahe ans Auge, und sehen wir im Spiegel nach einem Lichte, so löst sich der blaue Schein in ein begränztes „Nebelbild“ auf. Man kann dazu auch die öfter vorkommende Fläche k benutzen: ist I der Reflex eines Kerzenlichtes, so liegt darüber das kreisförmige Nebelbild, in welchem man kaum die Stelle der Flamme unterscheidet. Entfernt man dann das Stück vom Auge, so bedeckt das Nebelbild die ganze Fläche, und erregt jenen bekannten bläulichen Lichtschein. Also Nebelbild in der Nähe und Lichtschein bei Entfernung der Platte. Welch wesentliche Rolle die Richtung spielt, von welcher ich sehe, zeigt der prachtwolle Farbenschilder beim



labradorisirenden Feldspath von Norwegen in seinen „Karlsbader Zwillingen“: obgleich k darin ein spiegelt, so sieht man doch bei horizontalen k und medianer Stellung den Schiller nur auf einem Individuum. Alles das führte zu der bestimmten Vermuthung, daß das Nebelbild seine Existenz inneren Ungleichheiten danke, welche etwa nach der Fläche δ des Murchisonit (δ/k etwa 10°) streichen: ein Strahl o wird dann auf der Oberfläche k nach o' reflectirt,



im Innern aber von δ nach n . Das Auge in n sieht also zwei Bilder: ein Reflexbild o' und darüber das Nebelbild n' . Schleift man den Adular parallel δ an, so fallen Reflex- und Nebelbild zusammen. Labrador hat seinen herrlichen Farbenschein (Labradorisiren) ebenfalls auf 2 Flächen M und τ , die aber ganz unsymmetrisch liegen, wie es das 1gliedrige System erfordert: lege ich M horizontal, τ hinten, und den stumpfen Winkel P/M links, so nimmt das Auge senkrecht darüber die schönsten Regenbogenfarben wahr. Drehe ich dann aus dieser Stellung das Stück um Axe M/τ gegen das Licht, so geht der Farbenschein auf τ über. Nehme ich dagegen umgekehrt τ horizontal nach vorn, und den stumpfen Winkel P/M rechts, so hat bei senkrechtem Auge τ die Farbe, welche bei der Drehung wieder auf M springt. Man ist übrigens im Stande, jede der Flächen so zu drehen, daß die Farben immer wenn auch nicht in gleicher Intensität bleiben. Die senkrechte beschreibt dann eine Kegeloberfläche. Auch der kupferfarbige Schiller von Hypersthen gehört zu den Nebelbildern: man darf nur den Blätterbruch poliren, das Auge nahe daran halten und gegen ein Licht sehen, dann sieht man die Kupferfarbe an einer Stelle. Entfernt man dann das Stück vom Auge, so nimmt nach und nach der Kupferschiller (Nebelbild) die ganze Fläche ein. Die Nebelbilder, wovon zwar schon Brewster beim Achat spricht, sind eine wichtige Errungenschaft, deren wahre Bedeutung wir erst Hrn. Neusch danken.

Fluorescenz (Fluoriren) hat vom Cumberlandischen grünen Flußspathe den Namen, welche Farbe eigenthümlich ins Blau schillert. Die Differenz der Farbe wird besonders deutlich erkannt, wenn man mittelst einer convexen Linse von einigen Zoll Brennweite einen Lichtkegel darauf fallen läßt, der dann sehr schön blau gefärbt erscheint (Prof. Hch., IV. Bericht Naturf.-Gesellsch. Bamberg. 1859. 38). Auch rohes Schieferöl, Aufgüsse von Kastanienrinde, schwefelsaures Chinin, Uranglas u. zeigen das merkwürdige Phänomen. Stokes (Philos. Transact. 1825) meint, daß die unsichtbaren Strahlen jenseits des äußersten Violett, durch eine im Innern dieser Körper vor sich gehende Zerstreuung, in andere Strahlen verwandelt werden, welche in die Gränze der Brechbarkeit fallen, für welche die Netzhaut empfindlich ist.

Glanz.

wird durch Reflexion der Lichtstrahlen hervorgebracht. Bildet übrigens eine complicirte optische Erscheinung, die neuerlich Gegenstand vieler physikalischer Experimente geworden ist. Haidinger, Sitzungsberichte der Kais. Akad. Wissensch. 1849. Heft IV. pag. 137; Brücke daselbst 1861. XLIII; Wundt, Heidelberg. Jahrb. 1861. LIV. 1861.

Der Grad des Glanzes: ob stark glänzend, glänzend, wenig glänzend, schimmernd (Feuerstein), oder matt (Kreide), hängt meist von der Ebenheit der Oberfläche und bei Gemengen von der Größe des Korns ab. Wichtiger ist .

die Art des Glanzes, welche von der Strahlenbrechung und Polarisation abhängen soll: 1) Metallglanz ist der intensivste und stets mit völliger Undurchsichtigkeit des Körpers verbunden. Gold, Silber, Kupfer, Bleiglanz u. 2) Diamantglanz tritt mit der Durchscheinheit ein. Sowie Blende, Zinnstein, Rothgülden u. durchsichtig werden, geht ihr zweifelhafter Metallglanz in Diamantglanz über. Diamant und Weißbleierz die schönsten Beispiele. 3) Fettglanz gleicht Körpern mit fetten Oelen bestrichen. Gläolith und Balthstein liefern Muster. 4) Glasglanz, der Glanz des Glases und Bergkrystalls, findet sich bei den bei weitem meisten Mineralen, die nicht metallisch sind. Perlmutterglanz, von entfernter Aehnlichkeit mit Perlmutter, wird beim Blätterzeolith, Gyps, Glimmer u. durch die Lagerung der Blätter, und Seidenglanz beim Weißbleierz, Faserkalk, schillernden Asbest u. durch die Faserstructur erzeugt. Durchsichtige Substanzen mit geringer Strahlenbrechung zeigen Glasglanz, mit stärkerer Diamantglanz. Früher schrieb man den Metallen die höchste Brechkraft zu, und brachte damit die Eigenthümlichkeit des Glanzes in Verbindung, was jetzt nicht mehr angenommen wird. Jamin über die Farben der Metalle Pogg. Ann. 74. 590. Von Spiegeln der Flächen hängt die Deutlichkeit der Bilder ab, welche man im reflectirten Lichte darauf sieht. Diese Bilder werden in eigenthümlicher Weise verändert, sobald man z. B. einen Alaunkrystall ins Wasser taucht, abtrocknet, und wieder darauf sieht, oder wenn man Flußspath mit Schwefelsäure, Kalkspath mit verdünnter Salpetersäure behandelt, Brewster in Fechners Centralblatt für Nat. und Anthropol. 1853. No. 42. Leuchten, Spiegeln und Glänzen hält Dr. Wundt scharf auseinander.

Durchsichtigkeit

hängt von der Menge durchgehender Lichtstrahlen ab. Dabei muß die Gleichartigkeit der Masse wohl berücksichtigt werden, denn durch Risse und Sprünge können selbst die klarsten Minerale sich trüben. Wenn der Körper Lichtstrahlen zerstreut und verschluckt, so spielt natürlich auch die Dicke ein wesentliches Moment. Durchsichtig heißen Minerale, wenn man durch sie scharfe Umrisse erkennt, z. B. lesen kann: Edelsteine, Bergkrystall, Kalkspath, Gyps. Eine rauhe Oberfläche hindert diese Durchsichtigkeit zwar leicht, allein will man sie nicht durch Schleifen und Poliren entfernen, so darf man nur an gegenüberstehenden Enden Glasplatten mit kanapischen Balsam aufkleben. Für optische Versuche ein wichtiges Hilfsmittel. Halb durchsichtige Minerale dürfen polirt nur verwischene Umrisse zeigen, Durchscheinende lassen nur noch in dünnern Stücken einen Lichteindruck wahrnehmen, dieß endigt endlich mit der Durchscheinheit an den Ranten, wie im Hornstein, Kalkstein. Undurchsichtig heißen die Erze und Metalle, welche

selbst an den kantigen Bruchstücken keinen Lichtschimmer mehr zeigen. Zwar weiß man, daß selbst die opaksten Körper, wie z. B. Gold, als dünner Schaum von wenigstens $\frac{1}{200,000}$ Zoll Dicke zwischen Glasplatten gelegt ein grünlisches Licht durchfallen lassen, feine Eisenglanzblättchen scheinen blutroth durch u., doch nennt der Mineralog das alles undurchsichtig.

Farbe

spricht das Auge am unmittelbarsten an, daher legte auch Werner ein großes Gewicht darauf. Die Körper scheinen einen Theil der farbigen Lichtstrahlen zu verschlucken, und die übrigen müssen dann ebenfalls farbig zurückgeworfen werden. Das Studium der feineren Farbenshattirungen macht zwar große Mühe, wer jedoch mit Farbenmischungen überhaupt sich abgegeben hat, findet sich leicht durch. Bekanntlich nimmt der Künstler nur drei Grundfarben an: Roth, Gelb und Blau, weil er daraus alle andern mischen, und durch Zusatz von Weiß und Schwarz auch alle Töne hervorbringen kann. Braun ist nur ein dunkler Ton von Gelb, denn das ziemlich reine Gelb der Gummigutt sieht auf trockner Oberfläche braun aus. Stellt man die drei Grundfarben in einen Kreis, so liegen dazwischen die drei Mischfarben Orange (gelbroth), Violet (blauroth), und Grün; letzteres eine so vollkommene Durchdringung von Blau und Gelb, daß darin das Auge keine der Grundfarben wieder erkennt. Also:

Roth
Orange Violet
Gelb Blau
Grün.

Das sind, wie Göthe bemerkt, eigentlich die Farben des Spectrums; Newton nahm zwar sieben an (Indigo), allein mehr aus theoretischen Gründen, um in der Zahl Uebereinstimmung mit den 7 Tönen der Oktave zu bekommen. Da nun ferner zwischen Weiß und Schwarz das Grau liegt, so sollte man 9 Hauptfarben unterscheiden, nämlich 5 Grundfarben (Weiß, Schwarz, Blau, Gelb, Roth) und 4 Mischfarben (Grau, Grün, Violet, Orange). Die mineralogische Sprache hat aber auf Violet und Orange kein Gewicht gelegt, statt dessen hebt sie Braun hervor, und so kam Werner zu folgenden 8 Hauptfarben:

- 1) Schneeweiß: carrarischer Marmor, Alabaster, Schnee;
- 2) Aschgrau: Asche, Joisit, Schieferthon;
- 3) Sammtschwarz: Obsidian, Steinkohle, Turmalin;
- 4) Berlinerblau: Sapphir, Cyanit, Steinsalz;
- 5) Smaragdgrün: Smaragd, Malachit, Dioptas, Uwarowit;
- 6) Zitronengelb: Kauschgelb, Uranocer, Flußspath, Bernstein;
- 7) Carminroth: Rubin, Kupferblüthe, Zinnober;
- 8) Kastanienbraun: Kalkiesel.

Jede Farbe hat nun ihre Schattirungen (Varietäten), dieser wird es natürlich so viele geben, als man überhaupt mischen kann, und da treten

dann die Schwierigkeiten der sichern Bestimmung ein. Werner unterscheidet beim

1. Weiß: schnee-, röthlich-, gelblich-, grünlich-, blaulich- (milchweiß), graulich weiß. Aber eben so gut kann man von violettig- und orangeweiß sprechen, die beim Quarz schön vorkommen. Das Schneeweiß hängt wesentlich von der Structur ab: farblose Krystalle zu Pulver gestoßen, geben undurchsichtiges Weiß, wie sich also Schnee zum klaren Eise, so verhält sich weißer Statuenmarmor zum wasserhellen Doppelspath, Alabafter zum Frauen-eis. Auch durch Verwitterung entstehen bei dem wasserhellen Zeolith Schnee-farben, indem durch Wasserverlust ihre Atome gelockert werden. Am

2. Grau hebe ich nur das Perlgrau ein violettiges Grau (Porzellanjaspis) und Rauchgrau ein bräunlich Grau (Feuerstein) hervor.

3. Schwarz verdanken die Steine häufig kohligen und bituminösen Theilen oder Beimengungen von Magneteisen. Rabenschwarz hat einen Stich ins Grün, Pechschwarz einen Stich ins Gelb, was besonders am Pulver hervortritt.

4. Blau steht dem Schwarz am nächsten, besonders durch Kobalt, Eisen &c. erzeugt. Da es neben Roth und Grün steht, so bilden diese hauptsächlich seine Nuancen. Das Lasurblau des Lasursteins hat einen Stich ins Roth, und beim Violblau des Amethystes und Flußpathes ist Roth und Blau ins Gleichgewicht getreten. Im Lavendelblau des Porzellanjaspis erkennt man Violblau mit viel Aschgrau. Pflaumenblau im Zirkon, Spinell &c. ist ein röthlich Violblau. Smalteblau am Anhydrit ein reines Blau mit Weiß. Indigblau ein schwarzes Blau mit einem Stich ins Grün, Vivianit, Entenblau ein schwarzes Blau mit viel Grün im dunkelfarbigen Talk. Himmelblau ein weißes Blau mit Grün, Sineserz, Türkis.

5. Grün hauptsächlich durch Chrom, Nickel, Kupfer, Eisen erzeugt. Aus Blau und Gelb bestehend streift es besonders nach diesen Seiten hin. Spangrün hat viel Blau in der Kupferfärbung des Amazonensteins. Seladongrün ist in der Grünerde vom Monte Baldo Spangrün mit Grau. Berggrün ein blasses Spangrün mit viel Grau, Farbe der grünen Keupermergel. Lauchgrün im Prasem von Breitenbrunn hat viel Schwarz. Apfelgrün im nickelgefärbten Chrysopras von Kosmütz ein reines blasses Grün, kaum mit einem Stich ins Gelb. Grasgrün ein reines Grün mit wenig Gelb, Strahlstein, Diopsid, Buntbleierz. Geht leicht ins Spargelgrün, Blaugrün mit viel Gelb, Apatit im Talk von Tyrol. Pistaciengrün, im Epidot von Arendal, das ächte Sanftgrün der Maler, ein schwarzes Grün mit viel Gelb. Olivengrün im Olivin ist nicht so dicht, und hat auch Grau. Delgrün im Pechstein hat auch viel Grau und Gelb. Zeisiggrün ein reines liches stark gelbliches Grün, Kalkuranglimmer.

6. Gelb besonders durch Eisenoxydhydrat erzeugt, Grün und Roth als Nebenfarben. Schwefelgelb ein liches Gelb mit einem entschiedenen Stich ins Grün. Strohgelb blasses Gelb mit Grau, Karpholith. Wachsgelb ist graubraun, Gelbbleierz. Honiggelb ist dunkel mit einem Stich

ins Roth, Honigstein, Bernstein, Flußspath. Ocher gelb ist röthlichbraun. Weingelb ist blos mit einem Stich ins Roth, Topas vom Schneckenstein. Isabellgelb hat viel Grau, Natrolith von Hohentwiel. Draniengelb die Farbe der reifen Pommeranzen, Strich des Realgar.

7. Roth rührt häufig von Eisenoxyd her. Gelb und Blau als Nebenfärben. Morgenroth ein hohes Feuerroth mit Gelb, Realgar, Rothbleierz. Hyacinthroth ist das reine Gemisch von Gelb und Roth (Orange), hat aber im Hyacinth schon etwas Schwarz. Ziegelroth hat viel Schmutzgrau, Farbe des Eisenoxyds in den gebrannten Ziegeln. Scharlachroth ist hochroth mit einem starken Stich ins Gelb, Zinnober. Fleischroth ist blaß gelbroth am Feldspath. Blutroth die Farbe des Pyrop's mit Gelb. Rosenroth ein blasses reines Roth, Rosenquarz. Pfirsichblüthroth im Lepidolith von Mähren hat viel Blau. Kolombinroth im edlen Granat ist dunkel mit deutlichem Blau. Kirschroth neigt ins Schwarze beim Rothspießglanz.

8. Braun. Das Nellenbraun im Rauchtupas und Arinit zieht sich ins Violblau, das Haarbraun im Holzzinn ins Gelblichgrau, das Leberbraun im Granat von Dramiza ins Grün zc.

Die Wichtigkeit der Farben ist bei verschiedenen Mineralen sehr verschieden, und namentlich muß man wohl unterscheiden, ob die Masse als solche farbig oder gefärbt

sei. Die Masse der gefärbten (wie die meisten Silicate und Salinischen Steine) ist an sich farblos oder weiß, und bekommt erst ihre Tinten durch eine fremdartige (metallische) Beimischung, die mehr oder weniger zufällig wegen ihrer Kleinheit noch nicht einmal überall bestimmt ermittelt werden konnte. Deshalb pflegen dann auch die verschiedensten Farben vorzukommen: so möchte beim Quarz, Flußspath, bei den Edelsteinen zc. keine Farbe fehlen, und wenn sie noch nicht gefunden ist, so darf man sie in Zukunft erwarten. Ganz anders verhalten sich die farbigen Massen mit ihrer

Characterfarbe, die nicht blos in ihren Mischungen enger begrenzt ist, sondern die Masse als solche kann gar nicht anders als bestimmfarbig erscheinen: Kupferlasur ist immer blau, Malachit grün, Bleiglanz grau zc. Hier hat dann die Farbe eine ganz andere Bedeutung, und ihr genaues Studium ist für das Erkennen unerläßlich.

Die Qualität der Farbe muß noch ganz besonders hervorgehoben werden, denn sie zeichnet sich trotz aller Zufälligkeiten doch nicht selten in so specifischen Unterschieden aus, daß der Scharfblick eines Kenners mit Tact zu sondern weiß, was der Ungeübte kaum für möglich halten würde. Vor allem übt der Glanz einen Einfluß: so wird durch den feuchten Glasglanz des Flußspathes die bunte Farbe in einer Weise modificirt, daß man sie überall wieder herauskennt; der halbmatalische Schimmer des Diallag's und seiner Verwandten läßt die Mannigfaltigkeit der Farben in einem allen gemeinsamen Schiller leuchten, der freilich oft sehr versteckt liegt. Besonders aber verdienen vor den nicht- und halb-metallischen Farben

die Metallfarben Auszeichnung, deren eigenthümlicher Eindruck offen-

bar durch den Glanz bedingt ist. Es sind alles Charakterfarben, und wenn auch das Brennende und Extreme fehlt, so sind selbst die feinsten Abstufungen wichtig, da sie scharf der Substanz innewohnen, vorausgesetzt, daß ihr Gefüge keine Veränderung erleidet.

1. Roth. Kupferroth, die Farbe des Kupfers auf frischem Strich, enthält bedeutend Gelb, aber nur wenig Grau. Weniger Roth sind die glimmerartigen Blätter des Antimonnickel von Andreasberg, bleicher mit mehr Gelb und Grau der Kupfernickel. Das Roth im Buntkupfererz ist schon so gelbgrau, daß man es tombakbraun nennen kann. Das schönste

Tombakbraun kommt halbmatalisch bei verwitterten Glimmern (Kagengold) vor, es ist die Farbe der Messinglegirung mit viel Kupfer und wenig Zink, wobei also neben Graugelb immer noch ein Stich ins Roth bleibt. Sternbergit soll nach Zippe ausgezeichnet tombakbraun sein. Magnetkies hat zwar schon viel Gelb, aber doch immer einen solchen Stich ins Roth, daß man ihn noch zum Tombakbraun stellen darf. Blende, Hauertit etc. haben zwar auch viel Roth, sind aber kaum halbmatalisch.

2. Gelb. Speisgelb, Gelb mit Grau, ausgezeichnet beim Schwefelkies; der Binarthies scheint schon etwas lichter. Messinggelb, die ausgezeichnete Farbe des Kupferkieses, hat gegen Schwefelkies gehalten einen entschiedenen Stich ins Grün. Goldgelb ist das reinste metallische Gelb, in seiner intensivsten Farbe erinnert es mehr an Ocher- als Zitronengelb. Da dünne Goldblättchen grün durchscheinen, so mag daraus zum Theil die messinggelbe Farbe der Siebenbürgischen Goldblättchen sich erklären. Durch Legirung mit Silber folgen dann alle Stufen der Verblässung.

3. Weiß. Silberweiß, die Farbe des Silbers auf frischem Strich, hat einen entschiedenen Stich ins Gelb. Der Arsenikkies steht ihm zwar nahe, hat aber mehr Grau statt Gelb. Wismuth und Glanzkobalet von Unaberg sind dagegen röthlichsilberweiß; Zinnweiß hat einen Stich ins Blau, Quecksilber, Antimon, Speiskobalet.

4. Grau hält die Mitte zwischen Weiß und Schwarz, und die Grenzen sind unsicher, so nennen Einige das Platin noch Weiß, Andere schon Grau. Das normale Grau ist

Bleigrau, die Farbe des frischen Bleies, sie ist bei den Erzen so verbreitet, und selbst in ihren feinern Abstufungen so wichtig, daß man es nicht unterlassen muß, die Hauptabänderung zur Vergleichung sich zusammen zu stellen:

Weißlichbleigrau ist das gediegene Arsenit auf frischer Bruchfläche.

Gemeinbleigrau ist das Grauspießglang, es hat einen Stich ins Blau, und unterscheidet sich dadurch von Stahlgrau.

Frischbleigrau, die brennende Farbe des Bleiglanges, zeigt einen entschiedenen Stich ins Roth, noch rother ist Molybdän.

Schwarzlichbleigrau ist das gemeine Bleigrau mit viel Schwarz, Glaserz, Kupferglas.

Stahlgrau ein fahles Grau ohne Blau: Zinckenit, Schriftez, Wismuthglanz, die lichten Färlerze.

5. Schwarz. Eisenschwarz mit viel Grau, Magneteisen, Eisenglanz.

Das entschiedene Blau und Grün fehlt also, beide treten aber häufig beim Anlaufen der Metallfarben auf.

Farbenzeichnung. Die Farben sind nicht immer im Minerale gleichmäßig vertheilt. Ausdrücke wie punktiert, gefleckt, gewolkt, geflammt, gestreift, marmorirt sind von selbst verständlich. Höchst eigenthümlich erscheinen die dendritischen Zeichnungen in Achaten und Kalksteinen, deren schwarze Mangansuperoxydfärbung sich wie Bäumchen verzweigt, welche namentlich in den Solinhofer Schieferu den alten Petrefactologen viel zu schaffen machten. Die Färbung vertheilt sich darin nach dem Gesetz der Haarröhrchen. Aber auch in Krystallen sind öfter ungleiche Färbungen am Diopsid, Turmalin von Elba zc. sehr auffallend, sie verschwimmen gegenseitig in unregelmäßigen Gränzen, beim Smaragd scheiden sie sich dagegen zuweilen genau nach der Geradenfläche der sechsseitigen Säule.

Strich. Die Farbe des Pulvers ist namentlich bei Erzen nicht selten auffallend anders als die des unverletzten Minerals. Man nimmt das schon wahr bei einfachem Ritzen mit dem Messer. Deutlicher wird die Sache, sobald man über die rauhe Fläche einer Biscuit-Platte hinfährt, wozu die Hinterseite einer porzellanenen Abdampfschüssel benützt werden kann. Die Alten wetzten sie naß auf Schleifsteinen, wobei die Farben am lebendigsten hervortreten, so verfiel man auf die Namen Blutstein (Hämatites), Milchstein (Galaktites) zc.

Specifisches Gewicht (Dichtigkeit).

Darunter versteht man das Verhältniß der Masse zum Volumen. Als Einheit wird destillirtes Wasser bei seiner größten Dichtigkeit genommen. Ein Cubiccentimeter Wasser wiegt dann 1 Gramm, und Quarz ist 2,65mal schwerer. Bei rohen Wägungen geht man jedoch blos von der gewöhnlichen Temperatur aus. Obgleich der Araber Abul Rihan im 11ten Jahrhundert das spec. Gewicht von Metallen und Edelsteinen auffallend genau bestimmte, so hat doch erst unsere Zeit dieses wichtige Kennzeichen gehörig benützt (Böttger Tabellarische Uebersicht der specifischen Gewichte der Körper. 1837).

Das absolute Gewicht g durch das Gewicht eines gleichen Volumens Wassers g dividirt gibt das specifische Gewicht. Man bedient sich dabei der gewöhnlichen Wage der Chemiker, die bei 100 Gramm Belastung noch 0,5 Milligramm, also $\frac{1}{200,000}$ Theil, angibt. Zu Röhrohrproben hat man feine Hebelwagen, die bei 2 Decigrammen Belastung 0,1 Milligramm noch deutlich anzeigen. 1 Quentchen = 3,6 Gramm. Steinheil (Abh. Münch. Akad. Wissensch. IV. 199) konnte sogar bei der Verfertiung des Normal-Kilogramm von Bergkrystall, welches die Neapolitanische Regierung ankaupte, noch 0,2 Milligramm, also den 10 Millionentel Theil (es wog 2 Kilogr.) angeben.

Beispiel. Ein Topas wog in der Luft 8,75 Grm. = g ; jetzt befestigte

man ihn an einem Coconfaden oder einem andern feinen Haar und wiege ihn unter Wasser, er wird dann um so viel leichter sein, als er Wasser verdrängt, also 6,25 Grm. = γ wiegen. . Das Gewicht des gleichen Volumen Wasser muß daher $g - \gamma = 2,5$ Grm. betragen, folglich das specifische Gewicht $\frac{g}{g - \gamma} = \frac{8,75}{2,5} = 3,5$. Raimondi (Pogg. Ann. 1856. 99. 339) hat das Verfahren auf ingenieße Weise abgeändert, indem er beim Wägen im Wasser den Körper außerhalb der Wage befestigt, und so nach dem Archimedes'schen Princip gleich das Gewicht des verdrängten Wassers findet.

Klaproth wog auch in einem Fläschchen mit eingeriebenem Stöpsel, der oben ein Loch hat: zuerst bringe das mit Wasser gefüllte Fläschchen auf der Wage ins Gleichgewicht, wirf das Mineralstück in die Flasche, so wird es gerade so viel Wasser verdrängen, als es groß ist, also γ wiegen. In der Luft gewogen war es aber g , woraus das Resultat erwächst. Solche kleine Flacons hat man im Handel vorrätzig (Zenzsch Pogg. Ann. 99. 151).

Ist das Mineral im Wasser löslich, so wiegt man z. B. Steinsalz in Terpentinöl (0,872), Gyps in Alkohol. Man muß dann aber die gefundene Zahl mit dem specifischen Gewicht der Flüssigkeit, in welcher man gewogen hat, multipliciren. Gadolin (Pogg Ann. 106 213) bestimmte mit Hülfe der Hebellänge; Schiff (Journ. prakt. Chem. 75. 333) mißt die verdrängte Flüssigkeit, und was der Abänderungen mehr sind.

So einfach das Verfahren auch erscheint, so stellen sich der genauen Ausführung doch Hindernisse aller Art entgegen. Namentlich spielt die Adhäsion des Wassers eine Rolle, sie macht fein vertheilte Niederschläge bald schwerer bald leichter als derbe Stücke (Osann Pogg. Ann. 73. 606). Man hat daher neuerlich Benzin empfohlen, worin die Luft weniger abhärirt. Pulverisirte Minerale geben gewöhnlich sicherere Resultate, als ganze Stücke und haben diese ein sehr hohes specifisches Gewicht, so muß man sie möglichst groß wählen, weil Fehler im Wiegen dann geringern Einfluß haben. „Streng genommen sind die spec. Gewichte nur bei Anwendung gleicher Massen und gleicher Vertheilung vergleichbar.“

Zum **Merken** denke an das spec. Gew. der Erde, welches Laplace 4,76, Reich 5,5 setzte. Nehmen wir im Mittel 5fach, so wäre es das der gewöhnlichsten Eisenerze: Eisenglanz, Magneteisen, Schwefelkies zc.

Am schwersten sind die gediegenen Metalle: Iridium 23,6, Osmiridium 21,12, Platin gemünzt 22,1 und Gold 19,3, beide letztere in ihrem natürlichen Vorkommen aber immer leichter.

Wolfram 17,6, Quecksilber 13,6, Blei 11,39, Silber krystallisirt 10,8, Kupfer 8,96, Meteoreisen 7,79.

Hier schließen sich schon Erze an: Zinnober 8, Bleiglanz 7,5, Glaserz 7,2, Wolfram, Zinnstein 7, Weißbleierz 6,5 zc., die also alle über das Gewicht der Erde hinausreichen.

Das hohe Steingewicht bleibt dagegen immer unter dem 5fachen: Schwefspath 4,5, Zirkon 4,4, Granat 4,3, Korund 4, Diamant 3,5.

Das gemeine Steingewicht sinkt auf die Hälfte des Erdgewichtes

herab: Kalkspath 2,7, Quarz 2,65, Feldspath 2,58. Was darunter geht, sind schon

leichte Steine, wie Gyps 2,3, Blätterzeolith 2,2, Schwefel 2, Steinkohle 1,7 und leichter, Bernstein 1,1.

Eichenholz 0,93, Tannenholz 0,55, Kork 0,24.

Schwefelsäure 1,85, Naphtha 0,75, Eupion 0,65.

Atmosphärische Luft 0,001299, Wasserstoff 0,00008937. Folglich Trid: Wasserstoff = 1:0,0000033. Obiegen Tridium wäre also dreihunderttausendmal schwerer als Wasserstoff. 1 Cubiccentimeter Wasser wiegt bei + 4°,1 C. im Vacuum 1 Gramm, 1 Cubiccentimeter Luft bei 0° und 28" Barometerstand 0,001299 Gramm. Die feinern Hülfsmittel müssen bei der Chemie und Physik studirt werden.

Cohäsionsverhältnisse.

Die Atome (Molecule) hängen untereinander auf verschiedene Art zusammen, namentlich unterscheidet der Physiker drei Aggregatzustände

a) Gasförmig oder elastischflüssig. Atmosphärische Luft dringt in alle Räume der Erde. Kohlensäure bricht besonders mit Quellen und Vulkanen hervor. Kohlenwasserstoff, Schwefelwasserstoff u. fehlen der Erde zwar nicht, allein sie fallen mehr dem Gebiete der Chemie anheim.

b) tropfbarflüssig. Meer, Seen und Flüsse mit ihren Quellen, die unter Umständen eine feste Form annehmen, fallen schon mehr in unser Gebiet. Quecksilber und Steinöl, als von festen Theilen der Erde eingeschlossen, sind nie bestritten worden.

c) fest, die Theile fließen nicht von selbst auseinander, sondern ihre Verschiebung setzt einen Widerstand entgegen, der bei verschiedenen Körpern sehr verschieden ausfällt, und ein wesentliches Kennzeichen abgibt. Man nennt es Härtegrade, der nach Brailich wesentlich von der Größe der Elasticität abhängt. Die alten Practiker bedienten sich der Feile, des Messers und des Stahles. So namentlich Werner. Erst Haug drückte in seinem *Traité de mineralogie* die relative Härte durch Ritzen der Körper mit einander aus: „Kalkspath ritzt den Gyps, wird aber vom Flußspath geritzt“. Was dann Mohs zur bekannten Härtescala führte. Den Widerstand, welchen ein Körper dem andern beim Ritzen entgegenstellt, genau quantitativ zu messen, hat seine eigenthümliche noch nicht überwundene Schwierigkeit. Der jüngere Seebach kam 1833 zuerst auf die Idee eines belasteten Hebels, was Dr. Franz (Pogg. Ann. 1860. 80. 77) weiter verfolgte, und endlich in dem ziemlich complicirten Sklerometer von Brailich und Bekárel (Sitzungsab. Wien. Akad. 1854. XIII. 410) zu einem gewissen Abschluß kam. Für Ermittlung feinerer physikalischen Eigenschaften sind solche complicirten Instrumente schon gut, für den practischen Mineralogen haben sie jedoch nicht die Bedeutung, die man ihnen wohl hin und wieder beilegt. Für die Vergleichung der verschiedenen Härtegrade ist die Mohs'sche

Härtescala allgemein eingeführt:

- 1) Talk, der grünlich weiße aus den Alpen.
- 2) Steinsalz, blättriges, hat genau die Härte des Fingernagels, während der blättrige Gyps noch deutlich mit dem Nagel geritzt werden kann.
- 3) Kalkspath, besonders der blättrige von Erzgängen, läßt sich sehr leicht mit dem Messer ritzen. Freilich verschieden an verschiedenen Stellen.
- 4) Flußspath bei gehörigem Druck noch genügend angreifbar.
- 5) Apatit hat ungefähr Glashärte, läßt sich daher mit dem Messer bereits schwer beschädigen.
- 6) Feldspath, besonders der klare aus den Alpen, gibt mit dem Stahle schon glühende Funken, wenn auch nicht stark zündend.
- 7) Quarz mit dem Stahle gute Funken gebend.
- 8) Topas, mit ihm beginnt die Edelsteinhärte.
- 9) Korund ist der härteste unter den Gemmen, weit davon folgt
- 10) Diamant, der daher bloß in seinem eigenen Pulver geschliffen werden kann.

Gewöhnlich setzt man bei Härteangaben bloß die Zahl hin, doch darf man darin keine mathematischen Abstufungen vermuthen, wozu die Decimalbrüche mancher Schriftsteller verleiten könnten. Zwischen Korund und Diamant soll bei weitem der größte Abstand sein, was der Schleifer vor allem aus der Art, wie dieser beim Schleifen angegriffen wird, wahrnimmt. Der ächte Smirgel ist Korund, und deßhalb findet er beim Schleifen harter Steine hauptsächlich Anwendung. Quarz ist unter den gemeinen Steinen der härteste, was über ihn hinausgeht, zählt schon zur Edelsteinhärte. Unter dem Quarze stellt sich Zinnstein 7—6, Eisenglanz 6, Eisen 6—5 π -ein. Die meisten gediegenen Metalle sind unter Kalkspathhärte, werden aber durch Legiren etwas härter.

Wenn man die Härte mit der Feile prüft, so wird vom Feldspath = 6 die Feile zwar schon polirt, allein aus Ton, Pulvermenge und Politur der Feile kann man dennoch auf die Härte zurückschließen.

Härteverschiedenheiten kommen öfter an ein und demselben Minerale vor, wie das in so auffallender Weise der Epanit zeigt, der auf dem Blätterbruch 5 und auf den Säulenkanten 7 hat. Auf dem blättrigen Bruche des Gypses kann man die Unterschiede schon mit der Feder wahrnehmen. Wenn man damit über die Spiegelfläche hinfährt, so dringt sie am leichtesten senkrecht gegen den Faserbruch ein. Beim Kalkspath fällt es gar mit dem Federmesser auf, was bereits Huyghens wußte: ritzt man nemlich den blättrigen Bruch längs der kurzen Diagonale von stumpfem Winkel zu stumpfem Winkel, so bekommt man kein rechtes Pulver, wenn man an der Endedecke c ansetzt, und hinabfährt, entgegengesetzt von der Seitenedecke aus umgibt sich der Strich dagegen sogleich mit viel Pulver. Auch greift die Feile die Hauptdecke leichter an, als die Seitenedecken. Beim Bleiglanz kann man die Sache mit bloßer Hand nicht mehr wahrnehmen, doch soll die Masse parallel den Würfelkanten etwas härter sein, als parallel den Diagonalen. Franz stellt als allgemeines Gesetz auf, daß die härteste Richtung im Krystall den Blätterbrüchen parallel gehe, die weichste aber darauf senkrecht stehe.

Frankenheim de crystallorum cohaesione 1829 und Baumgärtner's Zeitschrift für Physik. 9. 24. Seebeck in Hartmann's Jahrbüchern der Mineral. und Geol. 1. 123.

Qualitative Härte (Tenacität).

1) Spröde, lassen sich schwer beugen, aber leicht zerreißen. Will man von dem Mineral mit dem Messer etwas trennen, so fliegen die Theilchen mit Geräusch fort. Edle und halbedle Steine, Kalkspath 2c.

2) Biegsam, lassen sich leicht beugen, aber schwer zerreißen: elastischbiegsam der Glimmer, welcher in seine vorige Lage zurückspringt, gemeinbiegsam der Talk, welcher das nicht thut.

3) Milde, die Minerale lassen sich zu Staube oder Blättchen krügen, die Stückchen bleiben aber auf dem Messer liegen. Gyps, Talk, Grauspießglanz 2c.

4) Geschmeidig, es lassen sich zerbrechliche Späne abschneiden, Wismuth, Glaserz, Hornsilber.

5) Dehnbar, die abgeschnittenen Späne sind streckbar (lassen sich zu Draht ziehen) und hämmerbar (lassen sich zu Blech ausplatten): Gold, Silber, Platin, Eisen, Kupfer (Zink, Zinn), Blei. Vergoldete Silbermünzen scheinen auf frischer Schnittfläche vergoldet zu sein, weil sich eine Goldhaut über den Schnitt legt. Zu den Lyoner Treffen macht man aus einer Unze Gold 60 Meilen lange Fäden (Reaumur Mém. Acad. 1713. 144). Platin-draht innerhalb eines Silberbarren ausgebehnt, das Silber alsdann mit Salpetersäure gelöst, gibt Platinfäden, die das bloße Auge nicht sieht, und wovon 140 auf einen Coconfaden gehen. Ein Kilogramm Wollastonscher Platindrähte reicht drei Mal um den Aequator.

6) Zersprengbarkeit ist sehr schwer, schwer, leicht oder sehr leicht. Dehnbare Metalle lassen sich gar nicht zerschlagen, sondern nur zerreißen. Hornblendegesteine, Gyps, Talk lassen sich schwer zerschlagen, Obsidian dagegen sehr leicht. Die Trennungsfläche, gleichsam „die Gestalt der innern Oberfläche“, heißt Bruch: man unterscheidet blättrigen, fasrigen und dichten. Vom blättrigen haben wir schon pag. 10 geredet, da er innig mit der Krystallform zusammenhängt. Der fasrige zeigt nicht selten den prachtvollsten Seidenglanz. Es ist versteckte Krystallanhäufung, worin jede Faser der gleichen Art zu entsprechen pflegt. Auch der dichte Bruch soll oft noch kryptokrystallinisch sein, wie dünngeschliffene Platten unter dem Mikroskop beweisen. Für das bloße Auge jedoch erscheint er auf der Sprungfläche

a) muschelig, vom Schlagpunkte gehen regelmäßige concentrische Wellen aus, welche man nicht unpassend mit einer Muschel verglichen hat. Nach der Art des Glanzes kann er Glas-, Opal- oder Feuersteinbruch sein.

b) splittrig, auf der mehr oder weniger muscheligen Schlagfläche reißen sich grobe oder feine Splitter los: Serpentin, Hornstein, Chalcedon. Durchscheintheit hebt die Schieferchen deutlich hervor.

c) eben. Große Continuität, aber die Substanz schlammig, gewisse Kalksteine. Bleischweif, Lydischer Stein, Carniol.

d) uneben, bei erdigen Massen, aber auch Zinnstein, Kupferkies, Fahlerz u. stellt Werner dahin, was man jetzt besser kleinschellig nennt.

e) hackig, kommt nur durch Zerreißen geschmeidiger Metalle zum Vorschein, es ziehen sich dabei Fäden, welche am gebrochenen Ende etwas einbiegen. Stabeisen.

7) Zerreißbarkeit wird mit Stangen oder Drähten mittelst Gewicht geprüft. Eisen am haltbarsten.

8) Tragkraft besonders für Bausteine wichtig. Ein Porphyrykinder von einem Quadratfuß Fläche kann 5000 Ctr. tragen, Granit 1800, Marmor 450, Bimsstein 71.

9) Porosität. Die Substanz enthält Zwischenräume, sogar Blasen mit Flüssigkeiten und Gas gefüllt. Manche Minerale kleben an der Zunge, entwickeln unter der Luftpumpe Gas, nehmen färbende Mittel auf (Achat). Eine Goldkugel mit Wasser angefüllt bekommt bei starkem Druck auf der Oberfläche thauähnliche Tropfen (Atad. zu Florenz 1661).

10) Zusammendrückbarkeit. Fundamente großer Gebäude drücken sich zusammen. Münzen erhalten durch den Stoß des Stempels ein Gepräge, wobei das Volumen kleiner, folglich das specifische Gewicht größer wird.

11) Elasticität, der zusammengedrückte Körper nimmt sein ursprüngliches Volumen wieder ein. Die Elasticitätsaxen ergeben sich besonders durch den Klang und die Klangfiguren. Höchst interessant ist in dieser Beziehung eine Abhandlung von Savart (Pogg. Ann. 16. 227) über die Schallschwingungen des Bergkrystalls. Er schnitt kreisförmige Platten von einer Linie Dicke und 24 bis 27 Linien Durchmesser. Wären diese homogen wie Glas, so müßten sie alle unter gleichen Bedingungen gleiche Knotenlinien und gleiche Töne geben. Das war aber nicht der Fall, sondern die Töne auf den verschiedenen Flächen konnten um eine Quarte von einander abweichen. Alle Flächen mit gleichem krystallographischen Ausdruck verhalten sich gleich, nur mit der Ausnahme, daß am Dihexaeder die drei des einen Rhomboeder anders tönen, als die drei des andern, woraus hervorgehen würde, daß der Bergkrystall rhomboedrisch sei. Auch Kalkspath und Spatheisenstein wurden in die Untersuchung hineingezogen.

Magnetismus.

Die Hauptrolle spielt in der Natur das dichte Magneteisen, von den Alten ausschließlich Magnet genannt. Wenn dasselbe einige Zeit der Verwitterung ausgesetzt war, so zieht es Eisenfeilspäne an, bekommt einen Bart, wirkt also polar (attractorisch), aber immerhin nur schwach. Gegen künstlichen Magnetismus verhält es sich wie gehärteter Stahl (Greiß Pogg. Ann. 98. 478). Die Krystalle von Tyrol verhalten sich dagegen wie weiches Eisen, und werden nur vom künstlichen Magnete angezogen (retractorisch), sie können damit z. B. aus dem Sande in großen Mengen ausgeschieden werden. Noch schwächer ist Magnetkies, das fast einfache Schwefeleisen. Wenn man daher eisenhaltige Minerale in der Desoxydationsflamme des Löthrohrs zu kleinen

Kugeln schmilzt, so werden diese magnetisch, weil sich Magneteisen oder Magnetkies bildet. Unter den künstlich gewonnenen, gebiegenen Metallen zeichnen die Physiker außer Eisen noch Nickel, Mangan, Kobalt, Chrom aus. Dr. Wöhler hat ein magnetisches Chromoxyd Er^2Er künstlich dargestellt.

Schwachen Magnetismus zeigen noch eine Menge von Mineralen. Diese zu erkennen fand Haüy ein ingeniöses Mittel in der Methode des doppelten Magnetismus. Nähert man nämlich im magnetischen Meridian einer Magnetnadelspitze den gleichnamigen Pol eines Magnetstabes sehr vorsichtig, so stellt sich die Nadel senkrecht gegen den magnetischen Meridian. In dieser Nadelstellung bewirkt die Nähe eines nur wenig magnetischen Körpers am Pole sogleich ein Umschlagen der Nadel. Fournet und Delessé (Ann. de Chimie et Phys. 1849. 3 sér. 25. 194) haben sehr genaue Untersuchungen angestellt, und bestätigt, daß auch Eisenglanz und rother Glasfopf polarmagnetisch werden, wenn man sie mit starken Magneten in Berührung bringt. Eisenglanz von Elba fein pulverisirt kann man mit einem starken Magnet bis auf das letzte Körnchen wegnehmen, Beweis, daß das etwa beigemengte Magneteisen nicht der Grund sein kann. Blücker (Pogg. Ann. 74. 248) hat sogar die Intensität verschiedener Eisen-, Nickel- und Manganerze in Zahlen auszudrücken gesucht. Wenn selbst Felsen, wie Basalt, Serpentin, Thoneisenstein von Aalen u. sich magnetisch zeigen, so verdanken sie dieß entweder dem beigemischten Magneteisen, oder der Einwirkung des Erdmagnetismus. Schon Trebra entdeckte an den Schnarcher Klippen auf dem Brocken, Humboldt am Serpentin des Haidberges im Fichtelgebirge eine Ablenkung der Magnetnadel. Delessé behauptet, daß der polare Magnetismus von den Krystallaxen unabhängig sei.

Diamagnetismus. Obgleich Brugmans schon 1778 erkannte, daß eine Wismuthnadel zwischen die Pole eines Magnets gebracht so abgestoßen wird, daß sie senkrecht gegen die Verbindungslinie beider Pole steht, so fand doch erst Faraday (Pogg. Ann. 69. 289), daß alle Körper an einem Coconfaden zwischen die kräftigen Pole eines Elektromagneten gebracht entweder angezogen (axial) oder abgestoßen (aequatorial) werden. Körper die sich axial stellen, heißen magnetisch, und die sich äquatorial diamagnetisch. Für diese ist Wismuth, was für jene Eisen. Blücker (Pogg. Ann. 81. 115) zeigte weiter, daß diese Einwirkung bei Krystallen in eigenthümlicher Weise modificirt werde: es zeigen sich magnetische Axen, die im Allgemeinen mit den optischen zusammenfallen. Wismuth, Antimon, Arsenik stellen sich mit ihrer rhomboedrischen Hauptaxe als diamagnetische Körper äquatorial. Selbst geschmolzenes Wismuth langsam erkaltend und krystallisirend soll seine rhomboedrische Hauptaxe äquatorial stellen. Äquatorial stellte sich ferner die Hauptaxe des isländischen Doppelspath. Andere Kalkspathe verhielten sich freilich entgegengesetzt, Beweis genug für die Schwierigkeit dieser feinen Untersuchungen, welche hier zu verfolgen zu weit gehen würde. Schon der Erdmagnetismus kann beim Charnit öfter eine Axenstellung der Säule nach Norden bewirken.

Elektricität.

Hat ihren Namen vom Bernstein (*ήλεκτρον*), der gerieben kleine Körper anzieht und abstößt, was schon die syrischen Frauen wußten, aber erst im 17ten Jahrhundert erfuhr man, daß auch andere Harze, Schwefel, Glas 2c. diese Eigenschaft haben.

Elektroskope dienen zur Wahrnehmung der Elektricität. Sehr einfach ist das elektrische Pendel, Hollundermark an einem Coconfaden aufgehängt, den man sich aus aufgedrehter Seide herauszieht. Noch empfindlicher sind Coconfäden, Ragenhaare 2c. mit Wachs oder Siegelack an einen gläsernen Stabe befestigt. Haug (Ann. du Mus. 1810. XV. 1) bediente sich der elektrischen Nadel, ein Messingdraht an beiden Enden zu einer Kugel verdrickt schwingt horizontal in einem Glashüttchen auf einer feinen Stahlspitze nach Art der Magnetenadel. Behrens Goldblatt-Elektrometer (Gilbert's Annal. 23. 24) verbessert von Bohnenberger (ebenso 51. 100) und Fehner (Pogg. Annal. 41. 220) benutzte Rieß zu seinen Untersuchungen, auch Coulombs Drehwage kann zu einem sehr empfindlichen Apparat gemacht werden.

Leiter und Nichtleiter. Metalle und geschwefelte Erze sind gute Leiter, auch salinische Erze isoliren nur unvollkommen. Salinische Steine und Silikate isoliren dagegen im Allgemeinen gut, wie auch Glas, Schwefel und Harze. Seide und trockne Luft isoliren, Wasser und Wasserdampf leiten. Daher ein feuchter Zustand der Luft dem Experiment hinderlich. Uebrigens weist Wiedemann (Pogg. Ann. 76. 404) auf sinnreiche Weise nach, daß die Krystalle die Elektricität nach verschiedenen Richtungen verschieden leiten: bestreut man eine Glas- oder Harzfläche mit schlechtleitendem Pulver (*Lycopodium*), befestigt senkrecht darauf eine feine Nadel, so wird bei Annäherung mit einer Leidener Flasche das Pulver von der elektrisirten Nadelspitze aus nach allen Seiten hin gleichmäßig zerstreut. Wendet man statt des Glases z. B. ein Gyps- oder anderes Krystallblatt an, so zerstreut sich das Pulver ungleich, am meisten nach zwei diametral einander entgegengesetzten Richtungen, am wenigsten senkrecht darauf. Es bildet sich um die Nadelspitze nicht ein Kreis sondern eine Ellipse, deren lange Axe senkrecht gegen den muscheligen Bruch steht. Es soll die Elektricität sich nach der Richtung am schnellsten verbreiten, in welcher das Licht sich relativ am schnellsten fortpflanzt.

Reibungselektricität ist positiv (Glaselekt.) oder negativ (Harzelekt.). Schwefel, Bernstein, Honigstein, Asphalt isoliren, zeigen daher in bloßer Hand gerieben Harzelektricität. Edelsteine nebst Diamant, Quarz, Glimmer, Feldspath, Hornblende und Augit, Zeolith, Granat, Kalkspath, Gyps, Flußspath, Schwefspath, Weißbleierz, Steinsalz 2c. isoliren ebenfalls, zeigen aber Harzelektricität. Malachit, Kupferlasur, Buntbleierz, Eisen- und Kupfervitriol, Rutil, Rothkupfererz 2c. isoliren nur unvollkommen und zeigen gerieben Harzelektricität. Graphit, Steinkohle, Magneteisen, Wolfram, Schwefelfies, Kupferfies, Bleiglanz, Fahlerz müssen isolirt gerieben werden, um Harzelektricität zu zeigen, weil die bloße Hand leitet, und die erregte Elektricität sogleich zur Erde führt.

Da gleiche Elektricitäten sich abstoßen, ungleiche anziehen, so darf man

die Elektroskope nur mit bekannter Elektricität laden, um sogleich die Art der Elektricität zu erkennen. Beim Erfolge des Reibens kommt es freilich auch wesentlich auf die Beschaffenheit der geriebenen Fläche an: an ein und demselben Krystalle werden matte Flächen negativ, glatte positiv elektrisch. Beim Spanit zeigen sich sogar einige Krystalle positiv, andere negativ, ohne daß man einen äußern Grund in dem Aussehen der Flächen angeben könnte. Das führt dann zu feinen Distinctionen. Glatter Doppelspath wird sogar schon durch Druck zwischen den Fingern positiv elektrisch, und zeigt diese Elektricität noch nach vielen (11) Tagen, ebenso Arragonit, Flußspath, Topas. (Haüy Ann. Chin. Phys. 1817. V. 95.) Am Glimmer zeigt bei der Spaltung die eine Hälfte sich positiv, die andere negativ elektrisch.

Thermoelektricität (Pyroelektricität). Wenn man edle Turmalinkrystalle erhitzt, so bekommen sie die merkwürdige Eigenschaft, kleine Körper anzuziehen und abzustößen, was schon die Indier lange wissen sollten, von denen es die Holländer in Erfahrung brachten. Haüy hat sich besonders Verdienste darum erworben. Er führt Turmalin, Boracit, Topas, Kieselzinkerz, Faserzeolith, Brehnit, Arinit, Sphen als thermoelektrisch auf. Brewster (Pogg. Ann. 2. 207) fügte noch mehrere hinzu, worunter Zucker und Weinsäure zu erwähnen ist. Dieser experimentirte sehr einfach, indem er bloß kleine Stücke der innern Membran von *Arundo Phragmites* die gewärmten Krystalle anziehen ließ. Später haben Köhler (Pogg. Ann. 17. 202), G. Rose (Pogg. Ann. 39. 225 und 59. 253) und Hanke (Pogg. Ann. 49. 422; 50. 227 und 61. 202) die Sache mit vollkommenen Instrumenten begründet.

Die Elektricität häuft sich besonders an den Ecken und Ranten an, und bei Aenderung der Temperatur treten beide Elektricitäten am entgegengesetzten Ende auf. Die Linie, welche diese Pole verbindet, heißt elektrische Axe, sie fällt mit einer krystallographischen meist zusammen. Aber nicht die Wärme als solche, sondern die Veränderung der Wärme erregt die Elektricität. Man kann daher einen thermoelektrischen Krystall erwärmen, hält man ihn aber immer auf gleicher Temperaturhöhe, so zeigt sich nichts, erst bei zu- oder abnehmender Wärme tritt die Wirkung ein. Auch darf die Temperatur nicht zu hoch steigen. Gewöhnlich untersucht man bei abnehmender Wärme, und nennt dann den Pol mit Harzelektricität negativ (—), mit Glaselektricität positiv (+); bei zunehmender schlagen dagegen beide um, der + wird — und der — wird +. Rose und Rieß haben daher den negativen Pol auch analog genannt, weil bei abnehmender Temperatur Pol und Wärme das gleiche Vorzeichen (—) bekommen, der positive heißt dann antilog, weil die Elektricität ein anderes Zeichen (+) hat, als die abnehmende Wärme (—). Gewöhnlich faßt man die Krystalle in einer (isolirenden) Zange und erhitzt sie in der Weingeistlampe. Gauguin (Compt. rend. 1856. 42. 1204; 43. 918, 1122) umwickelte die Turmaline an beiden Enden mit Platindrähten, und brachte einen Draht mit der Erde, den andern mit dem Elektroskop in Verbindung, stellte sogar ganze Batterien von Krystallen auf, um die elektrische Stärke zu messen.

1) Terminalpolar mit 1 Axe, die Krystalle zeigen nur eine elek-

trische Axe, welche mit der Krystallaxe c zusammenfällt: Turmalin, Kieselzinkerz, Faaserzolith. Beide erstere sind zugleich hemiedrisch, und meist kann man schon aus der Gruppierung der Flächen auf die Art des Poles schließen. Kieselzinkerz zeigt sich bereits bei gewöhnlicher Temperatur elektrisch. Mit Ragenhaar läßt sich das schon zeigen.

2) Terminalpolar mit 4 Axen: Boracit, die glänzenden Tetraederflächen + (antilog). Vielleicht auch Helvin.

3) Terminalpolar mit 2 Linien, davon die eine an beiden Enden analog, die andere antilog ist: Arinit.

4) Centralpolar, die Enden der Axe a sind beide + (antilog), das Centrum aber — (analog); Topas und Prehnit.

Galvanismus heißt die Elektricität, welche bei der Berührung verschiedener Körper rege wird. Es zeigt sich besonders bei Metallen, und im Gebirge mögen gar manche chemische Prozesse dadurch Erklärung finden. Berzelius hat darauf seine berühmte elektromagnetische Theorie gegründet, und die Stoffe nach diesem Gegensatze aneinander gereiht, wobei Sauerstoff den negativen und Kalium den positiven Pol bildet.

Phosphorescenz.

Hat ihren Namen von einem Leuchten, was an das des Phosphors erinnert, aber auf keine bekannte Lichtquelle zurückgeführt werden kann. Placidus Heinrich (die Phosphorescenz der Körper, Nürnberg 1811) hat sich um die Kenntniß verdient gemacht. Die Versuche gehörig anzustellen, ist ein finsternes Zimmer nothwendig, in welchem man sich $\frac{1}{2}$ —1 Stunde und noch länger aufhalten muß, um die Netzhaut für solche Eindrücke empfänglich zu machen. Albertus Magnus wußte schon um das Leuchten des Diamants. Aufsehen erregte jedoch erst die Entdeckung eines Schusters von Bologna 1604, welcher die dortigen Schwerspathknollen (Bologneser = Spath) durch Glühen mit Tragantfchleim leuchtend machte. Mechanikus Geißler in Bonn füllte solche gepulverten Dinge in verschlossene Glasröhren, welche nur des Sonnenblicks bedürfen, um einen ganz zauberhaften Effect im Finstern hervorzubringen.

1) Durch mechanische Gewalt. Wenn man zwei Bergkrystalle an einander reibt, oder Glimmerblätter heftig zerreißt, so zeigen sich Funken. Zerklopft man Abends Zucker, so kann man die Erscheinung kaum übersehen, ebenso beim Dolomit und Marmor. Die gelbe Blende von Rapnik mit dem Messer geschabt leuchtet außerordentlich schön, und die Sache ist um so merkwürdiger, als andere ganz ähnliche Blenden von Ungarn das Phänomen nicht zeigen, es muß hier also ein ganz besonderes Verhältniß Statt finden.

2) Durch Insolation. Man darf gewisse Diamanten nur kurz dem Sonnenlicht aussetzen, so leuchten sie im Finstern. Besonders auch der grüne Flußpath, Kalkspath, Arragonit, Schwerspath. Silikate leuchten dagegen nicht. Brennen erhöht die Eigenschaft noch, wie namentlich die Austerfchalen beweisen. Auch durch starke elektrische Funken kann das Leuchten, an den Stellen, wo der Funken durchging, erzeugt werden.

3) Durch Erwärmen. Flußspath (grüner), Chilenischer Asurstein, gewisse farbige Apatite (Phosphorit von Spanien) sind hier von hohem Interesse. Die eisenoxyd-rothen Apatittafeln von Schlackenwald entwickeln schon am Tage vor dem Löthrohr eine prachtvolle grüne Farbe, die bei zu starker Feuerung über den Splitter hinzieht und verlöscht. Die Erscheinung hat mit dem sogenannten Aufglühen des Gadolinites Aehnlichkeit. Am grünen Flußspath kann man eigenthümliches Leuchten in gleicher Weise wahrnehmen, auch er verliert mit der Farbe die phosphorescirende Eigenschaft. Auffallenderweise soll er aber durch elektrische Schläge theilweis seine Farbe und damit seine phosphorescirende Kraft wieder bekommen (Pogg. Ann. 22. 585). Wenn man übrigens die Körper nur schwach, z. B. in Del erhitzt, so geht die phosphorescirende Eigenschaft nicht verloren. Bei sehr hoher Temperatur fangen Kalkspathe und andere Minerale stark zu leuchten an, doch dürfte das wieder eine etwas andere Erscheinung sein. So eigenthümlich und interessant auch dieses Leuchten im Dunkeln sein mag, so gehört doch eine große Geduld und Aufmerksamkeit dazu, namentlich wenn die Eigenschaft sich nur schwach zeigt, auch mögen nicht alle Augen dazu gleich organisirt sein.

Wärme.

1. Wärmestrahlung. Die Wärmestrahlen werden wie die Lichtstrahlen von krystallisirten Mitteln reflectirt, gebrochen und polarisirt. Beim Brechen durch ein Prisma erleiden auch die Wärmestrahlen eine Zerstreuung: der Punkt größter Wärme liegt bei verschiedenen Mitteln verschieden, häufig noch außerhalb des Spectrums jenseits dem violetten Licht, so z. B. beim Steinsalzprisma, ein Beweis, daß Wärmestrahlen im Sonnenlicht stärker gebrochen werden, als Farben. Polarisation hat Melloni mit 2 Glimmerblättchen nachgewiesen: er ließ mittelst einer Steinsalzlinsse darauf Wärmestrahlen fallen, es gingen dann immer bei gekreuzten Polarisations Ebenen der Blättchen weniger Wärmestrahlen durch, als bei parallelen. Höchst eigenthümlich ist die Verschiedenheit in Rücksicht auf das Durchlassen der Wärmestrahlen: Steinsalz läßt die Wärmestrahlen bei weitem besser durch, als der klarste Bergkrystall, es ist für die Wärmestrahlen fast vollkommen durchsichtig (*diatherman*); Alaun und Eis lassen dagegen nur äußerst wenige durch, sie sind für Wärmestrahlen undurchsichtig (*atherman*). Auch Analogie mit der Färbung, also Wärmefärbung (*Thermanismus*), läßt sich nicht verkennen. Das Steinsalz hat keine Wärmefärbung, denn es läßt alle Strahlen mit gleicher Intensität durch, der Alaun dagegen läßt zwar die durch eine Glasplatte gegangenen Wärmestrahlen nicht durch, die durch eine Platte von Citronensäure gefallenen aber vollkommen. Wie also grüne Farben von grünen Gläsern durchgelassen, von rothen absorbirt werden, ähnlich hier mit der Wärme.

2. Wärmeleitung. Die durch Berührung mitgetheilte Wärme wird von verschiedenen Körpern verschieden geleitet. Es hängt mit der Dichtigkeit zusammen: je schwerer, desto leitender. Metalle sind sehr gute Wärmeleiter, sie fühlen sich kalt an: Gold kälter als Eisen, dieses kälter als Blei. Noch

schlechter leiten die Steine, aber unter diesen sind die Edelsteine kälter als Quarz. Deshalb hauchen die Juweliere geschliffene Gemmen an, die edlern davon nehmen den Hauch (Wasserniederschlag) nicht nur schwerer an (weil sie schneller warm werden), sondern verlieren ihn auch schneller. Gyps fühlt sich entschieden weniger kalt an als Marmor, noch weniger kalt Harze und Kohle, was einen auf den ersten Griff z. B. Bernstein von ähnlich aussehenden Chalcedonen unterscheiden läßt.

Die Wärmeleitungsfähigkeit ist sogar auch nach den verschiedenen Krystallaxen verschieden. Senarmont (Pogg Ann. 73. 191; 74. 100 u. 75. 50) überzog einfach eine homogene Glasplatte mit einer dünnen Wachsschicht, durchbohrte sie mit einem Loch, in welches ein schwach konisches Silberrohr eingetrieben wurde. Wurde nun dieses Silberrohr erwärmt, so gab das Schmelzen des Waxes graphisch den Gang der Wärme an, beim Glase war es ein Kreis. Nimmt man eine Gypsplatte, welche als schlechter Wärmeleiter besonders scharfe Schmelzkurven gibt, so bekommt man Ellipsen, deren längste Axe etwa 50° mit dem fasrigen Bruch macht, Große Axe: Kleinen Axe = 125:100. Der Versuch gelingt ganz roh angestellt: man nehme eine dünne Gypsplatte mit freigelegtem muscheligen und fasrigen Bruch, überziehe sie mit Wachs, mache einen zugespitzten Meißel glühend, und halte die glühende Spitze an die unbedeckte Seite der Gypsplatte, so bekommt man eine zierliche Schmelzellipse, deren lange Axe nicht genau dem muscheligen Bruche parallel geht. Senarmont fand, daß Kalkspath auf der Geradenfläche c:00a:00a:00a nur Wachstreife gebe, auf dem Blätterbruch dagegen Ellipsen die lange Axe parallel der kurzen Diagonale des Rhombus gestellt. Der Quarz hat auf der Säulenfläche Ellipsen von 10:13 in den Axen, die lange Ellipsenaxe steht parallel der Hauptaxe des Quarzes. An regulären Krystallen, wie z. B. beim Flußpath, konnten keine Unterschiede in der Wachskurve bemerkt werden. Hr. Pfaff in Erlangen (Sitzungsber. Münch. Akad. 1860. 655) hat die Sache direct durch Erwärmen von Wasser gemessen, und beim Bergkrystall längs der Axe c ein Leitungsvermögen gefunden, was „nur von wenigen Metallen betroffen wird“. Man spürt das schon, wenn man Bergkrystallsäulen bloß ins Feuer hält.

3) Wärmecapacität (specifische Wärme). Um einen gewissen Temperaturgrad zu erlangen, bedürfen die einen Körper weniger zuströmende Wärme als die andern: 1 \mathcal{R} Wasser von 36° gemischt mit 1 \mathcal{R} Wasser von 0° geben 2 \mathcal{R} Wasser von 18° ; aber 1 \mathcal{R} Eisen von 36° mit 1 \mathcal{R} Wasser von 0° , 2 \mathcal{R} von 4° , das Wasser entzieht dem Eisen 32° , um sich auf 4° zu erhöhen, also 8mal mehr, daher Eisen nur $\frac{1}{8}$ der specifischen Wärme des Wassers. Gyps 0,272, Topas 0,203, Feldspath 0,191, Quarz 0,188, Eisenglanz 0,169, Schwefelkies 0,128, Zinnstein 0,093, Graupießglanz 0,087. Neumann Pogg. Ann. 23. 1; Regnault Pogg. Ann. 51. 44 u. 52; 53. 60 u. 244. Nach Dulong umgekehrt proportional den Atomgewichten.

4. Latente Wärme. Wenn ein fester Körper in einen andern Aggregatzustand übergeht, so bindet er Wärme, welche für das Gefühl förmlich verschwindet; und umgekehrt wird Wärme frei. Wenn Eis thaut,

braucht es Wärme, wenn aber Wasser friert, gibt es Wärme. Beim Krystallisiren der Körper wird daher immer Wärme frei, und wenn man 1 \mathcal{R} Schnee mit 1 \mathcal{R} Wasser von 75° C. mischt, so bekommt man 2 \mathcal{R} Wasser von 0° , alle Wärme des heißen Wassers ist also für das Thermometer spurlos verschwunden.

5. Wärme dehnt die Körper aus und schmilzt sie endlich. Auf der gleichmäßigen Ausdehnung des Quecksilbers beruht bekanntlich das Thermometer, das von -35° bis $+350^{\circ}$ einen richtigen Gang hat, weiter kann man nicht gehen, weil bei -40° C das Quecksilber erstarrt, und bei 400° siedet. Die Ausdehnung beträgt beim Quecksilber zwischen 0° — 100° $\frac{1}{11}$, Zink $\frac{1}{110}$, Blei $\frac{1}{110}$, Silber $\frac{1}{117}$, Kupfer $\frac{1}{117}$, Gold $\frac{1}{117}$, Platin $\frac{1}{117}$. Trotz dieser geringen Dimensionsveränderungen hat Mitscherlich dennoch mit Hilfe der Winkel an Krystallen nachgewiesen, daß die Ausdehnung nach verschiedenen Azen verschieden ist. Beim Kalkspath (Pogg. Ann. 10. 187) fand sich bei 100° C. eine Volumensvergrößerung von 0,00196. Ein Krystall wurde in einem Quecksilberbade mit einem Reflexionsgoniometer in Verbindung gebracht, so daß er gemessen werden konnte, und hier fand sich bei 100° eine Verminderung des Endkantenwinkels um $8\frac{1}{2}$ Minute, er mußte sich also in Richtung der Hauptaxe c schneller ausdehnen, als in den NebenaZen a. Die Rechnung würde eine Ausdehnung von 0,0034 nach der Hauptaxe geben. Da dieß mit der Volumensvergrößerung nicht stimmt, so zeigten direkte Messungen, daß die Krystalle, während sie sich nach c ausdehnen, nach a sogar zusammenziehen. Hr. Pfaff, (Pogg. Ann. 107. 160), der ein besonderes Instrument zur Messung construirte (Pogg. Ann. 104. 171), fand die Ausdehnungskoeffizienten in c + 0,002626, in a — 0,000310, folglich die cubische Ausdehnung $0,002626 - 2 \cdot 0,000310 = 0,002$. Denn bekanntlich ist bei regulären und unkrystallinischen Körpern der cubische Ausdehnungskoeffizient dreimal so groß, als der lineare (Pouillet's Lehrb. Phys. 1842. I. 118). Bei den andern krystallinischen Körpern dürfen wir uns bloß Würfel parallel den Azebenen schneiden, um sogleich einzusehen, daß man auch hier nur die drei Ausdehnungskoeffizienten addiren dürfe. Genau kann die Sache zwar nicht sein, denn es müssen an den Würfelflächen flache Curven entstehen. Doch lassen wir dieß bei Seite. Beim Gyps wird der Winkel des Augitpaares l/l um $8\frac{1}{2}'$, und die Säule f/f um 11 Minuten stumpfer. Am Schwalbenschwanz-Zwilling (Pogg. Ann. 41. 118) konnte Mitscherlich senkrecht gegen Aze c geschliffen die Veränderung sogar von 10° zu 10° mit bloßem Auge verfolgen, indem die geschliffenen Geradendflächen je $1\frac{1}{2}$ Minuten aus ihrem horizontalen Niveau wichen, was nur Folge einer ungleichen Ausdehnung sein kann. Die Ausdehnungskoeffizienten (nach a 0,001559, b 0,003628, c 0,002275, cubische 0,0075) sind hier so groß, daß sie sogar die der meisten Metalle übertreffen. Kopp (Pogg. Ann. 1852. 86. 166).

Schmelzbarkeit.

Durch Wärme kann wahrscheinlich jeder Körper aus dem festen in den flüssigen selbst gasförmigen Zustand überführt werden. Viele Substanzen

bleiben bis zu einem gewissen Temperaturgrade fest, und gehen dann plötzlich in den tropfbarflüssigen Zustand über. Andere aber, wie Glas, Eisen u., zeigen noch einen Mittelzustand, in welchem sie sich knetbar wie Wachs zeigen, also leicht gemischt (geschweißt) werden können. Zersetzen sich die Körper beim Schmelzen, wie der Kalkspath, so kann auch hier die Schmelzung in verschlossenem Gefäße bewerkstelligt werden. In Beziehung auf die Höhe der Temperatur findet jedoch große Verschiedenheit Statt: um zu schmelzen braucht Kohlen säure — 100° C., Quecksilber — 39°, Eis 0°, Phosphor + 43°, Schwefel 109°, Zinn 230°, Wismuth 256°, Blei 334°, Zink 360°, Antimon 432°, Silber 1000°, graues Gußeisen 1200°, Gold 1250°, weiches Eisen 1500°, gehämmertes Eisen 1600°, Platin 2500° Cels. Gediegen Eisen und Platin nennt der Mineraloge schon unschmelzbar, weil er es in gewöhnlicher Luft kaum zum Schmelzen bringen kann, obgleich das Platin mit Leuchtgas und Sauerstoff im großen verhüttet werden kann, und im Knallgebläse von Sauerstoff und Wasserstoff sogar verdampft, selbst Thon- und Kiesel-erde noch schmilzt. Der Schmelzraum im Bunsen'schen Gasbrenner 2300° C.

Zum Schmelzen der Minerale bedient man sich des Löthrohrs, was durch Berzelius (die Anwendung des Löthrohrs in der Chemie und Mineralogie, 4te Aufl. 1844) und Plattner (die Probierkunst mit dem Löthrohre, 8te Aufl. 1853) so bekannt geworden ist. Plattner brachte damit eine Oxydationsflamme hervor, die ein Platindraht von 0,1 Millimeter Dicke am vordern Ende zum Kugeln schmolz. Nach Pisani soll 6 Vol. Alkohol in 1 Vol. Terpentinöl und wenigen Tropfen Aether das beste Lampenmaterial geben. Zu kleinen Versuchen, die auch Handlanger leicht anstellen können, ist es nicht unpraktisch, einen gewöhnlichen Glasblasetisch mittelst Anschrauben einer passenden feinen Spitze zur Erzeugung der Flamme zu benützen. Die Flamme ist an der vordern Spitze, wo Reductions- und Oxydationsflamme sich trennen, am heißesten. Man erkennt diesen Punkt an dem stärksten Erleuchten der Löthrohrprobe. Wenn man z. B. ein feines Platindraht hinein hält, so ist nur eine kleine Stelle, wo es weiß glüht. Die Probe legt man auf die lange Seite von Fichtenkohle, wo Jahresringe hervorstehen, oder faßt sie mit der Platinpincette. Plattner unterscheidet dreierlei Schmelzbarkeiten:

- 1) zu Kugeln schmelzbar, und zwar a) leicht, b) schwer;
- 2) an den Ranten schmelzbar, und zwar a) leicht, b) schwer;
- 3) unschmelzbar.

Freilich kommt es bei diesen Unterscheidungen wesentlich auch auf die Größe der Probe an. Kobell (Grundzüge der Mineralogie pag. 104) nimmt 6 Grade an:

- 1) Graupießglanz, schmilzt sehr leicht in der bloßen Lichtflamme.
- 2) Natrolith vom Hohentwiel schmilzt in feinen Nadeln noch an dem untern hellblauen Saume der Lichtflamme. Vor der Löthrohrflamme kann man ihn dagegen in großen stumpfen Stücken noch zu Kugeln schmelzen.
- 3) Rother Granat aus dem Zillerthal schmilzt selbst in feinen

Stücken nicht mehr an der Lichtflamme, aber kugelt sich noch vor dem Löthrohr auf Kohle.

4) Strahlstein vom Zillertal ist nicht mehr zur Kuglung zu bringen, doch schmilzt an dünne Splitter ein rundes Köpfchen.

5) Feldspath kann noch an den Ranten kleiner Stücke deutlich zur Schmelzung gebracht werden.

6) Bronzit vom Kupferberg im Fichtelgebirge läßt sich zu haarfeinen Splintern spalten, die noch eine Schmelzung zulassen. Wäre dieß nicht der Fall, so würde man ihn schon zu folgendem zählen.

7) Quarz unschmelzbar.

Chemische Kennzeichen.

Sie sind für das Erkennen der Minerale am wichtigsten, ohne sie könnte vieles nicht getrennt werden, was getrennt worden ist. Der Mineraloge kann daher nicht umhin, sich der chemischen Hilfsmittel zu bedienen, nur muß er dabei eingedenk sein, daß das Erkennen der Stoffe als solche ihm nicht Selbstzweck, sondern nur Beimittel zur Bestimmung sein soll. Dann wird er von selbst die gebührende Gränze sich stecken.

Stöchiometrie (*στοιχείον* Element, *μετρεῖν* messen). Das wichtigste chemische Gesetz ist, daß die Stoffe sich mit einander nach bestimmten Zahlenwerthen, die man Atomgewicht (Mischungsgewicht) nennt, verbinden (Ab. Strecker, Theorien und Experimente zur Bestimmung der Atomgewichte. 1859). Dieselben sind durch Versuche in folgender Weise ermittelt:

1)	Al	Aluminium	28	Al
2)	Sb	Antimonium	120	Sb, Sb, Sb
3)	As	Arsen	75	As, As, As
4)	Ba	Baryum	68	Ba
5)	Be	Beryllium	14	Be
6)	Pb	Blei	103	Pb, Pb, Pb
7)	B	Bor	11	B
8)	Br	Brom	80	
9)	Cd	Cadmium	56	Cd
10)	Ca	Calcium	20	Ca
11)	Cl	Chlor	35,5	
12)	Ce	Cerium	46	Ce, Ce Oxyd
13)	Cr	Chrom	26	Cr, Cr, Cr
14)	Di	Didym	48	Di
15)	Fe	Eisen	28	Fe, Fe, Fe, Fe, Fe
16)	Fl	Fluor	19	
17)	Au	Gold	197	Au Cl, Au Cl ₃ .
18)	J	Jod	127	
19)	Ir	Iridium	99	
20)	K	Kalium	39	K
21)	Co	Kobalt	30	Co, Co, Co, Co, Co
22)	C	Kohlenstoff	6	C, C, C

23)	Cu	Kupfer	31,7	Cu, Cu, Cu
24)	La	Lanthan	46	La
25)	Li	Lithium	7	Li
26)	Mg	Magnesium	12	Mg
27)	Mn	Mangan	27	Mn, Mn, Mn, Mn
28)	Mo	Molybdän	48	Mo, Mo
29)	Na	Natrium	23	Na
30)	Ni	Nickel	29	Ni, Ni, Ni, Ni, Ni
31)	Nb	Niobium	49	Nb
32)	Os	Osmium	100	Os, Os, Os
33)	Pd	Palladium	53	Pd, Pd
34)	Pt	Platin	99	Pt Cl ₂
35)	Hg	Quecksilber	100	Hg
36)	Rh	Rhodium	52	Rh
37)	Ru	Ruthenium	52	Ru, Ru, Ru, Ru
38)	O	Sauerstoff	8	
39)	S	Schwefel	16	S
40)	Se	Selen	39	Se
41)	Ag	Silber	108	Ag, Ag
42)	Si	Silicium	21	Si
43)	N	Stickstoff	14	N, N
44)	Sr	Strontium	44	Sr
45)	Ta	Tantal	68,8	Ta Säure
46)	Te	Tellur	64	Te
47)	Th	Thorium	60	Th
48)	Ti	Titan	25	Ti Säure
49)	U	Uran	60	U, U Oxid
50)	V	Vanadium	68,5	V, V, V
51)	H	Wasserstoff	1	H
52)	Bi	Bismuth	208	Bi, Bi
53)	W	Wolfram	92	W
54)	Y	Yttrium	32	Y
55)	Zn	Zink	32	Zn, Zn
56)	Sn	Zinn	59	Sn, Sn
57)	Zr	Zirkonium	67	Zr

Belopium ist nur eine Oxydationsstufe des Niobium; Erbium und Therbium kommt an die Yttererde gebunden vor; Dianium in den Tantaliten.

Da die Spectralanalysen haben zwei neue Alkalien zu Tage gefördert: Cäsium Cs aus 44,000 Kilogramm des Dirckheimer Wassers, und Rubidium aus 150 Kilogr. sächsischen Ypidoliths dargestellt. Der Strich durch das Symbol bedeutet ein Doppelatom. Manche haben sich in neuern Zeiten daran gewöhnt, denselben wegzulassen, das kann aber leicht zu Verwechslungen in der Atomzahl führen. Der Sauerstoff wird durch Punkte, der Schwefel durch Striche bezeichnet.

Chemische Formeln.

Feldspath enthält nach Berthier 64,2 Kieselerde, 18,4 Thonerde, 16,95 Kali.

Die Atomzahlen sind von:

Si = 21 + 3 · 8 = 45; Al = 28 + 3 · 8 = 52; K = 39 + 8 = 47.

Da sich die Stoffe nur proportional ihrer Atomzahl verbinden können, so muß der Feldspath enthalten:

$$\frac{64,2}{45} = 1,4 \text{ Si}; \quad \frac{18,4}{52} = 0,36 \text{ Al}; \quad \frac{16,95}{47} = 0,36 \text{ K.}$$

Oder 0,36 = 1 gesetzt, und da 4 · 0,36 = 1,4:



Man liebt es nämlich, nicht die Atome bloß neben einander zu setzen, sondern sie auch als mutmaßliche Salze zu gruppiren. Will man die Kiesel-erde statt Si mit Si bezeichnen, so erhalten wir 6 Si-statt 4 Si, weil 12 Atome Sauerstoff vorhanden sind.

Kupferkies enthält nach H. Rose 35,87 Schwefel, 34,4 Kupfer, 30,47 Eisen; folglich

$$\frac{35,87}{16} = 2,24 \text{ S} + \frac{34,4}{31,7} = 1,08 \text{ Cu} + \frac{30,47}{28} = 1,08 \text{ Fe},$$

oder $1 \text{ Fe} + 1 \text{ Cu} + 2 \text{ S} = \text{Fe} + \text{Cu} = 2 \text{ Fe} + 2 \text{ Cu} + 4 \text{ S} = \text{Cu}^{\text{II}} \text{Fe}.$

Da die Symbole bloße Zahlen bedeuten, so kann man aus ihnen leicht auf die procentische Zusammensetzung zurück schließen. Denn der Kupferkies = $\text{Fe Cu S}^2 = 28 + 32 + 32 = 92$, also

92 Kupferkies enthalten 28 Fe, folglich 100 Kupferkies 30,4 Fe u.

Zu allen diesen einfachen Rechnungen sind die ganzen Zahlen H = 1 gesetzt bequemer, als die Decimalbrüche O = 100, und dabei wenigstens zur schnellen Controle vollkommen ausreichend. Denn es liegt in der Natur der Sache, daß selbst die genauesten Wägungen nur Näherungswerthe bieten.

Zur Ermittlung der Formel benützt man auch den Sauerstoff, und wenn man sich ein für allemal die Sauerstoffprocente der wichtigsten Basen und Säuren ausrechnet, so ist die Ausföhrung nur wenig unbequemer. Im obigen Feldspath K Al Si_4 hat Si 51,33 p. C., Al 46,2 p. C. und K 16,98 p. C. Sauerstoff, das gibt die Proportionen:

$$100 : 51,33 = 64,2 : x, x = 34,22;$$

$$100 : 46,2 = 18,4 : y, y = 8,50;$$

$$100 : 16,9 = 16,9 : z, z = 2,85;$$

$x : y : z = 12 : 3 : 1$. Wenn also K 1 Sauerstoff hat, so kommen auf Thonerde 3, gibt 1 Atom Al , und Kieselersde 12 oder 4 Atome Si .

Sind in dem Minerale vicarirende Bestandtheile, so darf man dieselben bei der Rechnung nur alle zusammen addiren. Enthält z. B. ein Bitterspath 45,4 Kohlensäure, 34,8 Kalkerde, 12,4 Magnesia, 7,4 Eisenorydul, so beträgt seine atomistische Zusammensetzung:

$$\frac{45,4}{22} = 2,06 \text{ C}; \quad \frac{34,8}{28} = 1,24 \text{ Ca}; \quad \frac{12,4}{20} = 0,62 \text{ Mg}; \quad \frac{7,4}{36} = 0,2 \text{ Fe}.$$

Es kommen also auf 2,06 Säure $1,24 + 0,62 + 0,2 = 2,06$ Basis, das Salz besteht daher aus $R\dot{C}$, worin R bedeutet Ca , Mg oder Fe . Wollte statt des Fe mehr Mg auftreten, so müßten es $\frac{2}{3} \cdot 7,4 = 4$ p. C. Mg sein, weil $\frac{4}{20} = 0,2$ ist, oder in Ca 5,6 p. C. Je kleiner die Atomzahl, desto weniger vicarirender Masse bedarf es. Es ist leicht einzusehen, daß die Rechnung auch mit dem Sauerstoff ausgeführt werden kann, wir dürfen ihn bloß von sämmtlichen R addiren.

Die Deutung der Symbole ist einfach: $K^3 Si^2 = 3 K + 2 Si$; $3 Al Si^2 = 3 Al + 6 Si$, folglich Recit $K^3 Al^3 Si^8 = K^3 Si^2 + 3 Al Si^2$ mit $3 + 9 + 24 = 36$ Atome Sauerstoff.

Bournonit besteht aus $Pb^2 \dot{Cu}^{\text{III}} \text{Sb}$, man construirt daraus die weitläufigere Salzformel $Pb^4 \text{Sb} + \dot{Cu}^2 \text{Sb} = Pb^4 Cu^2 Sb^2 S^{12}$, indem man sämmtliche Symbole mit 2 multiplicirt.

Die vicarirenden Symbole stellt man wohl übereinander, das gibt aber ein großes Gesperr, daher ist es zweckmäßig, sie durch ein Komma getrennt neben einander zu setzen. Der Braunsphat z. B. hat neben der $Ca\dot{C}$ einen wesentlichen Gehalt an Bittererde, Eisen- und Manganorydul, die sich in den mannigfaltigsten Verhältnissen vertreten, man schreibt ihn daher $(Ca, Mg, Fe, Mn) \dot{C}$. Dester vertreten sich die einzelnen Stoffe unter bestimmten Verhältnissen, z. B. beim achten Dolomit findet sich $Ca\dot{C} + Mg\dot{C}$, hier kann man die \dot{C} , wie in der Mathematik mittelst Klammer herausziehen, also $(Ca + Mg) \dot{C}$ schreiben. Die Klammern behandelt man ganz wie mathematische Zeichen. So schreibt G. Rose den Bournonit $(2 Pb + \dot{Cu})^2 \text{Sb}$. Röst man die Klammer, so kommt $2 Pb^2 \text{Sb} + \dot{Cu}^2 \text{Sb} = Pb^4 \dot{Cu}^2 \text{Sb}^2 = Pb^2 \dot{Cu}^2 \text{Sb}$, wie oben. Wo Formeln einfache Verhältnisse so verstecken, scheint es zweckmäßiger, die bloßen Atomsymbole neben einander zu stellen.

Chemische Constitution.

Die Symbole müssen möglichst einfach sein. Außerdem nimmt man Isomorphie, specifische Wärme und specifisches Gewicht der Elemente im gasförmigen Zustande als leitende Wegweiser. Je weniger Sauerstoff desto basischer, je mehr desto saurer pfllegt der Körper zu reagiren.

Nur wenige Minerale sind einfache Stoffe, wie die Klasse der

gebiegenen Metalle, welche mit Gold, Silber, Platin zc. beginnt, oder ausnahmsweise der Diamant. Häufiger trifft man dagegen schon

Verbindungen erster Ordnung (binäre), worin sich zwei Stoffe, ein elektropositiver und elektronegativer, chemisch durchdrungen haben. Es entstehen dadurch Basen und Säuren. Der elektronegative Bestandtheil ist in den meisten Fällen Sauerstoff oder Schwefel, daher hat Berzelius mit Recht für jenen Punkte (\cdot), für diesen Striche (\cdot) als Zeichen eingeführt, die man über die Symbole setzt. Unter den Sauerstoffverbindungen zeichnen sich aus: Al, Fe, Mn, Sb, As, Si, Sn, Ti, Mn, seltener Pb, Cu, Zn, Mg, weil diese zu starke Basen sind. Noch wichtiger sind die selbstständigen Schwefelverbindungen Pb, Zn, Hg, As, Mn, Cd, Ni, Cu, Ga, Fe, Mn, Mo, Sb, As, Bi.

Wie Schwefel, so verhalten sich merkwürdiger Weise auch Selen, Tellur, Arsenit und Antimon, die vollkommen die Stelle des Schwefels zu vertreten scheinen. Beispiele liefern: Pb Se, Ag Se, Cu Se; Pb Te, Ag Te; Fe As², Ni As, Ni As³, Co As², Mn As; Ni Sb. Wenn sich Metalle mit Metallen verbinden, wie Au mit Ag, Pt mit Fe, Ag mit Hg zc., so pflegt dieß in den verschiedensten, nicht stöchiometrischen Verhältnissen zu geschehen, und man unterscheidet das als Legirungen.

Endlich erzeugen die sogenannten Salzbilder Cl, Fl, Br, I binäre Verbindungen, die in ihren Eigenschaften bereits den Salzen gleichen: Na Cl, Hg² Cl, Pb Cl, Ag Cl, Ca Fl; Ag Br; Ag I.

Verbindungen zweiter Ordnung (doppeltbinäre, einfache Salze). Zwei binäre Verbindungen, wovon die eine elektropositiv und die andere elektronegativ, vereinigen sich zu einem Salze, z. B. Ca C. Dasselbe hat also immer dreierlei Stoffe: das basische Radical Ca, das saure Radical C und die beiden gemeinsame Substanz Sauerstoff. Beispiele sind Mg Al, Fe Fe, H Mn zc. Wegen der sie verbindenden Substanz heißen sie Sauerstoffsalze. Ganz ähnlich constituiren sich die Schwefelsalze Ag³ As, Pb Sb, Cu Fe mit einer Sulphobase und Sulphosäure, worin der Schwefel das verbindende Glied macht. Im Kryptolith $3 \text{ Na Fl} + \text{Al Fl}^3$ spielt sogar das Fluor den Vermittler. Nur ausnahmsweise ist das Radical gemeinsam, wie im Rothspießglanz Sb Sb, Matlockit Pb Cl PbO.

Verbindungen dritter Ordnung (Doppelsalze). Ein normales Doppelsalz ist der Feldspath $\text{K Si} + \text{Al Si}^3$, worin das erste Salz K Si ohne Zweifel mehr basisch, das zweite Al Si³ mehr sauer ist. Zu einfachen und Doppelsalzen gesellt sich nicht selten noch Wasser. Freilich kann es dann der Isomorphismus theilweis zweifelhaft machen, wie man die Sache ansehen soll.

Beachtung verdienen die Resultate, welche Dr. Bödecker (Die Beziehungen zwischen Dichte und Zusammensetzung. 1860) ausfindig machte, was eine einfache Vergleichung folgender Zahlen zeigt.

Es wiegen	1 Cub.Cent.	9 Cub.C.	Atomgewicht
Wasser	1 Gramm	9 Gramm	9
Platin	22	198	99
Blei	11,5	103,5	103
Zink	7,2	64,8	32
Strontium	2,5	22,5	44
Magnesium	1,75	15,75	12
Lithium	0,59	5,3	7
Kalium	0,865	7,78	39

Multiplieirt man also die specifischen Gewichte mit 9, so stimmt das Atomgewicht von Wasser und Blei vollständig, Platin und Zink darf man nur halbiren, Strontium verdoppeln, Kali mit 5, Magnesium mit $\frac{2}{3}$ und Lithium mit $\frac{1}{3}$ multipliciren. Ob die Ansicht für die Mineralogie practische Folgen habe, wird die Zeit lehren.

Isomorphismus.

Ueber den Zusammenhang von Form und Inhalt wissen wir zwar wenig, doch scheint durch die Untersuchungen von Mitscherlich (Abhandl. Berl. Akad. Wissensch. 1819. pag. 427) wenigstens ein Anfang gemacht zu sein. Hauy behauptet noch, daß Substanzen verschiedener Natur nie dieselbe Form annehmen, das reguläre System ausgenommen. Später hatte Bernhardt (Wehlen's Journ. Chem. Phys. VIII. 2) gefunden, daß, wenn nur wenig Eisenvitriol zum Zinkvitriol gemischt werde, ein Salz entstehe von der Form des Eisenvitriols, wenn Kupfervitriol so die Form des Kupfervitriols. Man war daher der Meinung, daß eine Substanz so bedeutende Krystallisationskraft besigen könne, um selbst bei geringer Quantität dem Ganzen die Form vorzuschreiben. Auf diese Weise suchte man sogar die rhomboedrischen Formen des Spatheisens, Galmei's zc. zu erklären, weil sie alle nicht ganz frei sind von Ca C. Mitscherlich leitete dagegen die Ansichten darüber auf ein ganz anderes Feld. Er zeigte, daß bei den Vitriolen der Wassergehalt der Grund sei, und daß überhaupt Verbindungen von gleicher chemischer Constitution geneigt seien, in gleicher Form aufzutreten. Sehrreich sind die Versuche von Hrn. Rammelsberg (Poggend. Annal. 91. 221), woraus zu folgen scheint, daß bei isomorphen Mischungen die Form des unlöslichen Salzes sich zuerst geltend mache. Einige ausgezeichnete Beispiele im Mineralreiche sind folgende:

Rorund Al, Eisenglanz Fe, Chromoxyd Cr, Beryllerde Be, sämmtliche im rhomboedrischen System von nahe gleichen Winkeln.

Antimon Sb, Arsenik As, Tellur Te, Wismuth Bi, zum Theil ausgezeichnet rhomboedrisch blättrig.

Kalkspath Ca C, Bitterspath Mg C, Spatheisen Fe C, Manganspath Mn C, Galmei Zn C von der rhomboedrischen Form des Kalkspaths.

Arragonit Ca C, Weißbleierz Pb C, Witherit Ba C, Strontianit Sr C zweigliedrig mit häufiger Zwillingsebildung.

Schwefspath Ba S, Cölestin Sr S, Bleivitriol Pb S zweigliedrig ohne Zwillingbildung. Vielleicht auch Anhydrit Ca S.

Magneteisen Fe Fe, Chromeisen Fe Cr, Spinell Mg Al 2c. dem regulären System angehörig.

Wenn auch die Uebereinstimmung der Form keine absolute sein mag, so liegen doch nicht bloß die Winkel nahe, sondern auch das ganze Ansehen ist gewöhnlich ein so verwandtes, daß man über die Deutung nicht zweifelhaft sein kann.

Etwas weiter greift schon das System der vicarirenden Bestandtheile, worauf bereits Fuchs (Schweigger's Journ. Chem. Phys. 1815. XV. 202) bei Gelegenheit des Gahlenits aufmerksam machte. Bei Salzen kommt nämlich häufig eine ganze Reihe von Stoffen vor, die sich gegenseitig proportional ihrer Atomzahl ersetzen, ohne in der Form wesentliche Veränderung herbeizuführen. Vor allem passiv beweisen sich die Basen. Kalkerde Ca kann nicht bloß durch Mg, Fe, Mn, Zn, Pb ersetzt werden, sondern man nimmt es auch nicht schwer, Ba, Sr, Cu, Co, Ce, Y an ihre Stelle zu setzen, so daß unter Umständen sämtliche basische Radicale von der Form R sich vertreten könnten. In dieser Allgemeinheit verliert das Gesetz offenbar an Bedeutung, denn die Substanz wird dadurch für die Form immer wirkungsloser. Activer greifen dagegen die Säuren ein: P und As liefern bei natürlichen und künstlichen Salzen viele Beispiele; für S, Se und Cr hat Mitscherlich (Pogg. Ann. 12. 107 u. 18. 100) ganze Reihen von Salzen nachgewiesen. Unter den Sulphosäuren zeichnen sich Sb, As und Bi vor allen aus, die nicht bloß für sich isomorph krystallisiren, sondern auch für einander häufig vicariren.

Mosander meinte schon im Jahr 1829 (Pogg. Ann. 19. 210) beim Titan-eisen das Fe mit Fe Ti isomorph setzen zu dürfen, wo im Radical statt ein Atom Fe sich ein Atom Ti abgelagert habe. Damit war die mit so vieler Vorsicht begründete Mitscherlich'sche Hypothese auf ein viel unsichereres Feld gespielt, die dann consequent zu Scheerer's polymeren Isomorphismus führte (Pogg. Ann. 68. 210), wornach 3 H mit Mg isomorph sein sollen. Diese Vermuthung wird nur durch Beispiele aus der Gruppe der Serpentine und verwitterten Dichroite belegt, die als Afterskrystalle gar nicht zu Beweisen geeignet sein dürften.

Atomvolumen heißt das Atomgewicht dividirt durch das specifische Gewicht des Körpers. Fe = 350 Atomg., 7,8 spec. G., also $\frac{350}{7,8} = 44$ Atomvolumen. Kopp glaubte nun (Pogg. Ann. 52. 202) zwischen Krystallformen und Atomvolumen bei isomorphen Mineralen einen entschiedenen Zusammenhang gefunden zu haben.

	Enklante	Are c	Atomvolumen
Kalkspath	105° 5'	0,854	632 : 2,73 = 231.
Dolomit	106° 15'	0,833	583 : 2,88 = 202.
Manganspath	106° 51'	0,822	722 : 3,59 = 201.

	Endkante	Are c	Atomvolumen
Spatheisen	107°	0,819	715 : 3,8 = 188.
Mefitinspath	107° 14'	0,815	625 : 3,36 = 186.
Bitterspath	107° 25'	0,812	535 : 2,95 = 181.
Galmei	107° 40'	0,807	779 : 4,45 = 175.

Mit der Größe der Hauptaxe c nimmt das Atomvolumen ziemlich regelmäßig ab, so ist es auch bei der isomorphen Schwerspathreihe. Hr. Schröder (Ueber die Abhängigkeit zwischen chemischer Zusammensetzung, specif. Gew. u. Krystallform bei den Carbonspathen, Schulprogramm Gymn. Hildesheim 1855) hat die Sache noch weiter mit dem Calcul verfolgt.

Da es nun aber oft vorkommt, daß Minerale von ungleicher Zusammensetzung dennoch ähnliche Krystallformen zeigen, so sind die Zahlen der Atomvolumen zwar nicht gleich, aber doch stehen sie öfter in einem einfachen Zahlenverhältniß, und dieß sind manche Naturforscher geneigt, als Grund der ähnlichen Formen zu nehmen. Dana (Silliman American Journal 2. ser. 1850. IX. 220. 407) dividirte sogar in solchen Fällen die Atomvolumenzahl entweder mit der Zahl der Säuren und Basen, oder mit der Anzahl der Elementar-atome, und erhielt so allerdings öfter nahe liegende Zahlen, z. B. der zweigliedrige

$$\text{Olivin} \quad \text{Mg}^3 \text{Si} = 1327 \text{ Atg., } 3,35 \text{ Spg., } \frac{390}{10} = 39$$

$$\text{Chrysoberyll} \quad \text{Be Al}^3 = 2284 \text{ — } 3,9 \text{ — } \frac{617}{16} = 39.$$

Eine auffallende Formverwandtschaft findet Statt zwischen

$$\text{Arragonit} \quad \text{Ca C} \quad 626 \text{ Atg., } 2,93 \text{ Spg., } \frac{214}{5} = 43$$

$$\text{K Salpeter} \quad \text{K N} \quad 1264 \text{ — } 1,94 \text{ — } \frac{651}{8} = 81$$

$$\text{Bournonit} \quad \text{Pb}^2 \text{Cu Sb} \quad 5996 \text{ — } 5,77 \text{ — } \frac{1087}{11} = 94.$$

Es verhält sich 43 : 81 : 94 = 1 : 2 : 2. Die rhomboedrische Reihe

$$\text{Ralkspath} \quad \text{Ca C} \quad 626 \text{ Atg., } 2,72 \text{ Spg. } \frac{230}{5} = 46$$

$$\text{Na Salpeter} \quad \text{Na N} \quad 1066 \text{ — } 2,2 \text{ — } \frac{485}{8} = 61$$

$$\text{Rothgülden} \quad \text{Ag}^3 \text{Sb} \quad 6866 \text{ — } 5,82 \text{ — } \frac{1180}{10} = 118.$$

Die Zahlen verhalten sich etwa wie 2 : 3 : 5.

Es haben ferner Schwefel 97, Storodit 48; Cölestin 52, Binarcties 53; Zirkon 46, Rutil 39; Anatas 43, Vesuvian 47; Quarz 54, Beryll 52, Chabasit 52, Feldspath 63, Albit 58, Oligoklas 57, Labrador 57, Anorthit 60.

Wenn nun schon bei diesen einfachen Fällen die Thatsache nicht schlagend ist, so verliert sie vollends an Bedeutung, sobald man fremdartige Minerale mit einander vergleicht: so haben Quarz und Schwerspath genau die Zahl 54, Staurolith und Zinkvitriol 44, Turmalin und Storodit 48. Ueberhaupt liegen nach Dana's Methode die gewonnenen Zahlen unter einander so nahe, daß man sie bei der Complication der Rechnung eher als ein Spiel des Zufalls als für etwas anderes ansehen kann. Dennoch wagt

sich Hermann noch weiter (Erdmann's Journal prakt. Chem. 43. 22. 21): er meint, daß namentlich bei complicirten Silicaten, wie Turmalin, Glimmer, Epidot &c. eine Heteromerie Statt finde, d. h. es seien darin Verbindungen von gleicher Form, aber verschiedener chemischer Constitution zusammen krystallisirt. Das wird ihm schwer werden, nachzuweisen! Auch Hr. Rammelsberg geht in neuern Zeiten weiter als früher.

Im Ganzen scheinen demnach über den Isomorphismus noch keine wichtigen Aufschlüsse gewonnen zu sein, die uns erlaubten weiter fortzuschreiten. Daß dieser Isomorphismus keine vollkommene Uebereinstimmung in den Winkeln nach sich zieht, liegt in der Natur der Sache. Hier bleibt vielmehr für die einzelnen Substanzen ein Spielraum. Aber gerade dieser Spielraum erlaubt bei den Rhomboedern der Kalkspathgruppe einen Rückschluß auf den Inhalt, wie das am Ende des Kalkspath's auseinander gesetzt ist.

Dimorphismus .

Ist die Eigenschaft einer Mineralmasse in zweierlei Systemen zu krystallisiren. Lange wußte man, daß Kalkspath und Arragonit aus der gleichen Masse Ca C bestehen, und doch waren sie in Beziehung auf ihre mineralogischen Eigenschaften so verschieden, daß Thenard (Gilbert's Ann. 31. 207) den Arragonit als den einzigen Körper ansah, in welchem ein wirklicher Widerspruch zwischen der chemischen Analyse und der Krystallform bestehe. Der Triumph Stromeyers im Februar 1813 (Gilbert's Ann. 43. 221) war daher kein geringer, als derselbe in den Krystallen von Dax und Molina 4 p. C. Sr C nachwies, und diesen nach damaliger Ansicht für den Krystallbildner hielt, welcher die übrige Masse „gleichsam zwingen kann“, die gleiche Krystallform anzunehmen. Erst Mitscherlich zeigte 1823 am Schwefel bessere Gründe (Ann. de Chim. XIV. 224, Abh. Berl. Akad. Wiss. 1823. pag. 43). Der Schwefel nämlich krystallisirt bei der Sublimation 2gliedrig, bei der Schmelzung 2 + 1gliedrig, ist also ohne Widerrede zweiförmig (dimorph). Nun war der Widerspruch gelöst. G. Rose meinte sogar später, daß Arragonit sich nur aus warmen, Kalkspath aus kalten Lösungen bilde. Jedenfalls muß der Grund ihrer verschiedenen Krystallisation in den verschiedenen Einflüssen gesucht werden, unter welchen sie wuchsen. Gute Beispiele für Dimorphismus sind außer Schwefel und Kalkspath:

Kohlenstoff (Diamant und Graphit), arsenige Säure As und Antimonoxyd Sb , beide isomorph und dimorph regulär und zweigliedrig; Kupferglas Cu zweigliedrig und regulär; Schwefel- und Binarkies Fe ; Salpeter K N zweigliedrig und rhomboedrisch. Früher meinte man auch Kalkgranat und Vesuvian; aber auf so complicirte Silicate ausgedehnt mußte die Sache mehr hypothetisch bleiben. Sogar

Trimorphie scheint bei der Titansäure Ti vorzukommen, wo der viergliedrige Rutil mit dem viergliedrigen Anatas nicht gut in Uebereinstimmung gebracht werden kann, und außer dem der Brookit ausgezeichnet zweigliedrig ist. Vergleiche auch Kauschgelb As .

Nickelvitriol $\text{NiS} + 7\text{H}$ ist viergliedrig und zweigliedrig, mit Eisenvitriol zusammen fñgt er sich sogar in die $2 + 1$ gliedrige Form. Allein wenn man die vicarirenden Substanzen zu Hilfe nehmen will, dann greift das Gesetz wieder weit über die Grenzen. Mit dem Dimorphismus scheint das

Umstehen der Substanzen (**Paramorphose**) in engster Verbindung zu stehen. Bekannt ist die Erscheinung beim Zucker: die frischen Bonbons sind amorph, zeigen einen glasartigen Bruch, nach einigen Wochen werden sie krystallinisch-fasrig, bröckeln und lösen sich leichter. Aus denselben Gründen wird die glasige arsenige Säure durch längeres Stehen porcellanartig trüb. Die durch Schmelzung erhaltenen $2 + 1$ gliedrigen Schwefelkrystalle verlieren nach wenigen Stunden ihre Durchsichtigkeit, man meint, daß sie zu einem Aggregat von 2gliedrigen Krystallen umstehen. Der zweigliedrige Nickelvitriol wird am Licht (besonders an directem Sonnenlicht) trübe, verwandelt sich in ein Aggregat von Quadratoctaedern. Schön ist die Erscheinung beim Quecksilberjodid (Pogg. Ann. 28. 118): die gelben zweigliedrigen durch Sublimation erhaltenen Krystalle werden vorsichtig behandelt beim Erwärmen, ja sogar bei Berührung, ruckweis roth, indem sie zur viergliedrigen Form umstehen. Arragonit zerfällt im Glascolben erhñt zu Pulver, da das Pulver einen größern Raum einnimmt, so scheint es aus kleinen Kalkspathrhomboedern zu bestehen. (Scheerer, der Paramorphismus und seine Bedeutung in der Chemie, Mineralogie u. Geognosie. 1854.)

Chemische Analyse.

Der Mineraloge soll chemische Hilfsmittel erst dann anwenden, wenn er mit den mineralogischen nicht zum Ziele kommt, und je virtueller er in seinem Fache sich ausbildet, desto weniger wird er ihrer bedürfen. Ja in vielen Fällen ist es um das Wissen, ob dieser oder jener Stoff dem Minerale beigemischt sei, eine fast gleichgültige Sache. Jedenfalls ist nicht zu vergessen, daß in dem Augenblicke, wo wir das Feuer und die Säure zur Hand nehmen, wir in ein fremdes Gebiet hinüberstreichen, und wenn dieses voreilig geschieht, so können wir leicht und nicht ungestraft in Wege gerathen, die der tüchtige Mann des Faches nicht gehen sollte. Mohs hat daher die Chemie gänzlich unbeachtet gelassen.

Indeß ist praktisch genommen der Stoff wieder überaus wichtig und inniger mit den Eigenschaften der Minerale verwoben, als es bei Pflanzen und Thieren zu sein scheint. Man wird sich daher um so lieber mit den Mitteln vertraut machen, welche zu dieser Kenntniß führen, als wir gehörig mineralogisch vorbereitet meist nur der kleinsten Apparate bedürfen. Von diesen kann daher auch nur hier die Rede sein, das weitere muß dem Chemiker von Fach überlassen bleiben. Denn wenn es sich ein Mal nicht mehr um die Kenntnisse der Minerale, sondern um ihre letzten Stoffe handelt, so kann der Chemiker allein mit allen Mitteln seiner Wissenschaft uns Hilfe bringen, deren Resultate wir historisch aufzunehmen haben.

Beide, Mineralogen und Chemiker, werden um so mehr von einander lernen, je besser sie es verstehen, ihre Gebiete zu sondern.

Untersuchung auf trockenem Wege.**Ohne Zuschläge.**

Dazu gebraucht man das allbekannte Röthrohr pag. 151 und die Weingeistlampe. Als besten Führer nehmen wir Plattner (Probierk. pag. 82). Kleine Proben erhitzt über der Weingeistlampe, was man auch durch Blasen mit dem Röthrohr noch verstärken kann:

1) In einerseits verschlossener Glasröhre: das Wasser entweicht, und setzt sich im Halse wieder ab; flüchtige Säuren geben sich namentlich bei stärkerer Hitze durch Röthen des Lackmuspapieres zu erkennen; Schwefel- und Kupferkies geben Schwefel ab, heiß braun, kalt gelb aussehend; Arsenikkies, Speiskobalt sublimiren Arsenik unter Knoblauchgeruch; viele Minerale decrepitiren sehr stark, wie Spath Eisenstein, was sich dabei in Magneteisen verwandelt; Zinnober sublimirt zc.

2) In beiderseits offener Glasröhre. Setzt die Probe hart an den Feuerrand, und wenn sie decrepitirt, pulverisirt. Durch Neigen der Röhre hat man den Luftzug ganz in der Hand. Schwefel in den Schwefelmetallen verflüchtigt sich als schweflige Säure; Selenmetalle riechen nach Rettig; Arsenmetalle geben meist ein Sublimat von arseniger Säure in kleinen Otkaedern; Antimonverbindungen geben sich durch einen weißen Rauch, Antimonoxyd, zu erkennen; ebenso Tellur. Quecksilber setzt sich in Kügelchen an die Röhrenwand.

3) Auf Kohle mit der Röthrohrflamme erkennt man Schwefel, Selen und Arsen meist durch den Geruch. Achte besonders auf die Beschläge! Antimon und Arsenik geben einen weißen Beschlag von Antimonoxyd und arseniger Säure; ersterer ist weniger flüchtig als letzterer, legt sich daher näher bei der Probe nieder, der ähnliche Tellurbeschlag färbt die Reductionsflamme grün; Wismuth beschlägt mit Oxyd, heiß und kalt gelb; der Beschlag des Bleies ist schwefelgelb und verflüchtigt sich in der Reductionsflamme mit blauem Schein; Zinkbeschlag ist heiß gelb, wird beim Erkalten weiß und leuchtet beim Daraufblasen; Cadmium ist flüchtiger und gibt weiter von Zinkoxyd weg einen gelben bis braunen Beschlag; ja an der äußersten Gränze kann die Kohle davon bunt (pfauenschweifig) anlaufen.

4) In der Platinzange oder am Platindraht untersucht man kleine Splitter, die man sich durch Zerbrechen in Papier oder Erhitzen im Kolben verschafft. Decrepitiren sie zu Pulver, so reibt Berzelius dasselbe mit Wasser an, tröpfelt etwas auf die Kohle, woraus sich beim Daraufblasen eine dünne Platte bildet, die man in die Pincette nehmen kann. Man kann das Pulver auch feucht in der Hand anmachen. Dabei hat man vor allem auf die

Färbung der Flamme zu sehen. Natronsalze färben sie gelb, wenn man damit die Spitze der blauen Flamme berührt, Kalisalze violet, doch darf weder Natron noch Lithion zugegen sein. Lithion, Strontian und Kalk geben rothe Flammen. Das schöne Purpurroth der Lithionglimmer und Lithionfeldspathes ist eine sehr ausgezeichnete Reaction, aber das Natron

kann auch hier, wie beim Amblygonit, die Farbe decken. Strontianit und Cölestin färben auch gut, zu viel Baryt hindert aber. Die Farbe der Kasse ist minder schön roth, kommt aber bei Kalspath, Flusspath, Gyps, Tafelspath vor. Gelblichgrün färbt Schwerspath und Witherit, ähnlich Wollbän MS². Prachtvoll ist die smaragdgrüne Flamme von Kupfersalzen, Malachit, Dioptas, selbst wenn Kupfer unwesentlich ist, wie im Türkis. Phosphorsaure Salze erzeugen öfter schon für sich eine blaßblaugrüne Färbung, besonders wenn man sie in Schwefelsäure taucht, oder gar gepulvert mit Schwefelsäure einen Teig anrührt und in das Dehr eines Platindrahts streicht. Den etwaigen Wassergehalt entfernt man vorher durch Rösten. Vorsäure im Dehre eines Platindrahts gibt eine zeisiggrüne Flamme, selbst der natronhaltige Borax gibt auf Kohle entwässert, dann fein gepulvert und stark mit Schwefelsäure befeuchtet auf Platindraht noch intensive grüne Färbung, so lange freie Schwefelsäure vorhanden. Azurblau färbt Chlorkupfer in der äußern Flamme, wird aber dann grün von gebildetem Kupferoxyd. Selen auf Kohle verflüchtigt sich auch mit azurblauem Schein, Bleisalze auf Platindraht oder in der Pincette geben ein schön blaues Licht, mit bläulichem Licht entweichen die Beschläge von Bleioxyd, Antimonoxyd und arseniger Säure. Die Intensität der Flammenfarben kann durch Chlorsilber verstärkt werden, wenn man die Probe damit mischt.

Spectralanalysen von Kirchhoff und Bunsen (Pogg. Ann. 1860. CX. 121) machen in jüngster Zeit mit Recht großes Aufsehen. Der Apparat besteht aus zwei schwachen Fernrohren, die ihre Objectivlinsen einem senkrecht gestellten Prisma zukehren. Statt des hintern Ocular findet sich eine enge aufrechte Spalte. Fällt dadurch Sonnenlicht ein, so sieht man durch's vordere Ocular ein horizontales Spectrum mit den Frauenhofer'schen Linien, links das rothe und rechts das violette Ende. Wendet man jetzt den Spalt gegen eine nicht leuchtende Böhrohrflamme, in welche Steinsalz gehalten wird, so tritt im gelben Felde (an der Stelle von D Frauenhofer) eine markirte feuerartige Linie auf: es ist die Natronlinie Alpha ($\text{Na } \alpha$), die fast keinem Spectrum fehlt, da Natron überall in der Luft verbreitet ist. Diese einzige Linie dient daher zum sichersten Anhaltspunkte. Links davon kommt im rothen Felde eine ausgezeichnete rothe Lithion α , während die schwach gelbe Li β auch links leicht übersehen wird. Das Kali gibt sich an den äußersten Enden durch roth $\text{Ka } \alpha$ links, und schwach violet $\text{Ka } \beta$ rechts zu erkennen. Man sieht besonders auf die rothe links, die noch weit hinter Li α liegt. Strontian hat ebenfalls ein ganzes System rother Linien, aber auch eine breite Orange $\text{Sr } \alpha$ noch links von $\text{Na } \alpha$, und weit rechts eine schmale blaue $\text{Sr } \delta$. Auch Kalk hat Orange $\text{Ca } \alpha$, aber dann noch eine markirte grüne $\text{Ca } \beta$, Baryt dagegen ein ganzes System grüner Linien. Die Erscheinung ist so markirt, daß man bei einiger Uebung die Stoffe, auch wenn sie nebeneinander vorkommen, unterscheiden lernt. Mit der kleinen Böhrohrflamme oder Weingeistlampe geht es freilich nur unvollkommen, es gehört viel mehr Gas mit dem bekannten Bunsen'schen Brenner (Pogg. Ann. 100. 22) dazu, was sehr heiß ist, dennoch wie eine Wasserstoffflamme nicht leuchtet, und die Färbung der

hineingehaltenen Stoffe unverändert mittheilt. Auf diese Weise können kleine Mengen von Stoffen nachgewiesen werden, wie durch kein anderes Hilfsmittel: Sithion fand sich nicht nur in Mineralen und Gesteinen vieler Art, sondern auch in der Pflanzenasche, in Tabacksblättern, Weinreben und Milch der Kühe, welche solche Pflanzen fraßen. Strontian kam in den Kalksteinen der verschiedensten Formationen, was schon die Cölestinkrystalle in den Ammonitenkammern erwarten ließen. Unerwarteter Weise entdeckte Bunsen sofort zwei neue Alkalien Cäsium und Rubidium pag. 155, von denen man bisher keine Ahnung gehabt hatte. Selbst die Hoffnung der chemischen Analyse des Sonnen- und Sternlichtes wird angeregt. Denn sogar die edelsten Metalle geben verschiedene Spectra: befestigt man an den Drahtenden (Electroden) eines Ruhmkorff'schen Inductionsapparates Spitzen von Platin, Gold, Silber, Kupfer, Zink u., so gibt der stetig überspringende elektrische Funken die herrlichsten Spectra, jedes mit andern Farbenlinien. Die Electricität befördert, wenn auch im Minimum, das Verdampfen der Metalle. Steinhell in München verfertigt kleine Apparate um 33 fl., die für den Mineralogen genügen.

Veränderungen der Proben im Feuer sind verschieden: Granat schmilzt ruhig zu einer Kugel; Zeolithe schäumen und krümmen sich. Borax bläht sich Blumentohlartig, eben so Epidot, es scheint von der Entwicklung eines Gases zu kommen, was man jedoch nicht kennt; Roheisen und oxydirte Eisenerze sprühen Funken, Salpeter auf Kohle verpufft. Das Schmelzproduct wird ein durchsichtiges Glas, ein porcellanartiger Email oder eine Schlacke, so heißt der poröse löcherige Körper. Durch Reduction auf Kohle erzeugt sich bei Blei, Zinn, Wismuth, Kupfer, Silber eine Metallkugel (Regulus). Am Phosphorfauren Blei, Steinsalz u. bedecken sich die Perlen mit Facetten (krystallisiren). Der Schmelzproceß hängt bei Eisenerzen wesentlich mit der Oxydation zusammen. Bringt man z. B. eine feine Nadel von rothem Glaslopf (Fe) in die äußere Flamme, so ist sie unschmelzbar, in der innern dagegen fängt sie an zu schmelzen und Funken zu sprühen, weil sich das Eisen in der Reductionsflamme in Magneteisen $Fe\ Fe$ verwandelt. Schwefel- und Arsenmetalle in der äußern Flamme besonders in Pulverform auf Kohle behandelt rösten, d. h. sie geben etwas Schwefel und Arsen ab und verwandeln sich in schwefelsaure und arsensaure Metalloxyde, die dann in der innern Flamme öfter gänzlich von Schwefel- und Arsengehalt reducirt werden können. Bei Gegenwart von Eisen folgen die Kugeln dem Magnet. Wenn so die Prüfung im bloßen Feuer beendet ist, schreitet man zur

Prüfung mit Zuschlägen.

Borax, Phosphorsalz, Soda, Kobaltsolution sind die wichtigsten Röthrohrreagentien. Borax und Phosphorsalz nimmt man gewöhnlich mit dem Haken eines Platindrahtes, seltener auf Kohle. Man darf das Draht nur erhitzen und in die Salze tauchen, so hängt sich sogleich die gehörige Menge an, die erhitzt zu einem farblosen

Gläse schmilzt, welches bei der Untersuchung die Dienste leistet. Ist zu viel färbendes Mittel hinzugethan, so stößt man den größten Theil der Perle ab und taucht das Draht von Neuem ins Salz, wonach dann lichtere Farbe kommt. Auch kann man die Perle leicht mit der Pincette pressen, um so die dünnere Masse durchsichtiger zu machen. Durch stoßweises Darauflaufen (Flattern) werden die Perlen öfter unklar. Auch muß man vorsichtig zwischen Reductions- und Oxydationsflamme unterscheiden.

Vorax $\text{Na B}^2 + 10 \text{H}$ erhitzt bläht sich wurmförmig, das Wasser entweicht und die überschüssige Vorsäure wirkt lösend, indem sie schwache Säuren austreibt, sich mit Oxyden verbindet und mit dem Na B^2 klare Doppelsalze bildet. Wenn sich leicht reducirbare Oxyde von Zink, Cadmium, Blei, Wisnuth, Nickel, Kupfer, Silber u. darin befinden, deren Metalle sich mit Platin legiren könnten, so muß die Reduction auf Kohle vorgenommen werden.

Phosphorsalz (HAm Na) $\text{P} + 8 \text{H}$, bei der Hitze entweicht Wasser und Ammoniak, es bleibt metaphosphorsaures Natron NaP , die freie feuerbeständige P hat eine stark lösende Kraft, nur die Kiesel-erde bleibt als ungelöstes Skelett zurück, und die Farben sind meist etwas anders als mit Vorax, öfter sogar deutlicher.

Soda NaC ein weißes Pulver, das man mit Speichel anfeuchtet, und im Ballen der Hand mit der Probe mischt. Vorzüglich dient es auf Kohle zur Reduction der Metalloxyde von Molybdän, Wolfram, Antimon, Arsen, Tellur, Kupfer, Wisnuth, Zinn, Blei, Zink, Cadmium, Nickel, Kobalt, Eisen sammt den edlen Metallen. Die Masse zieht sich zwar in die Kohle, allein man bricht das Stück aus, zerstoßt und schlämmt, und sucht dann die Metallblättchen mit der Loupe. Die Reduction geschieht erst in der Kohle, durch Kohlenoxydgas, was daselbst entwickelt wird. Noch leichter reduciren neutrales Oxalsaures Kali und Chantalium, letzteres breitet sich aber zu stark auf der Kohle aus, und zerstreut daher die Metallkörner zu sehr. Ferner wichtig ist Soda als Schmelzmittel: die Kiesel-erde schmilzt unter Drausen damit zusammen, und bildet über der Kohle eine klare Perle, wenn nicht zu viel Soda zugelegt wird. Rutil Ti gibt zwar auch eine Perle, die aber undurchsichtig wird. Die Verbindungen von Wolfram- und Molybdänsäure gehen in die Kohle. Ebenso die Salze von Baryt- und Strontianerde, welche auch mit Soda zusammen schmelzen. Die meisten Kalkerde-salze dagegen werden, so fern ihre Säure stärker als Kohlen-säure ist, zersezt, das gebildete Natronsalz zieht sich in die Kohle, und die Kalk-erde bleibt auf der Kohle zurück. Als Aufschließungsmittel der Silicate gibt Soda an Kiesel-säure Natron ab, es entstehen klare Gläser, so lange es einfache Silicate sind, aber bei größerem Zusatz von Soda werden die schwächern Basen durch das Na ausgeschieden, die Masse wird unklar und unschmelzbar. Will man z. B. Feldspath auf Kali untersuchen, so mischt man den gepulverten Feldspath mit 1 Theil Soda und 1 Theil Vorax, schüttet ihn in eine kleine Kapsel von Filtrirpapier, das man mit Soda getränkt hat, und erhitzt das in einer Grube auf Kohle, bis es im Oxydationsfeuer zu einer durchsichtigen

blasenfreien Kugel geschmolzen ist, diese gibt dann gehörig behandelt auf nassem Wege mit Platinchlorid die Reaction auf Kali.

Kobaltsolution Co^{N} eine nicht zu concentrirte Auflösung von Salpetersaurem Kobaltoxydul in Wasser. Befeuchtet man damit die erhitzte Probe, und bläst wieder darauf, so zeigt sich Thonerde durch eine schöne blaue, Tonerde durch rosenrothe Farbe an. Beryllerde wird hellbläulichgrau, Zirkonerde schmutzig violett, Zinkoxyd in den meisten seiner Salze nicht zu heftig geglüht und auch als Beschlag auf Kohle grün. In einzelnen Fällen ist es gut bei der Hand zu haben:

Salpeter K^{N} in dünnen Säulen um in Glasflüssen Metalloxyde auf höchste Stufe der Oxydation zu bringen, man berührt die schmelzende Perle mit einer Salpeternadel.

Doppeltchwefelsaures Kali zur Entdeckung von Lithion und Borsäure. Man pulvert das Mineral und mengt es mit 1 Theil Flußspath und $1\frac{1}{2}\text{KS}^2$ mit wenig Wasser zum Teige und streicht davon auf das Rohr eines Platindrahtes. Auch Brom, Jod, Fluor u. läßt sich damit erkennen.

Berglaste Borsäure zur Auffindung von Phosphorsäure. Man löst darin die Probe auf Kohle und schiebt ein feines Eisendraht hinein. Das Eisen oxydirt sich auf Kosten der Phosphorsäure, es entsteht phosphorsaures Eisenoxydul und Phosphoreisen, welches letzteres zu einer brüchigen Kugel schmilzt. Freilich dürfen in der Probe keine Bestandtheile sein, die das Eisen reduciren könnten.

Zinn in Form von Stanniolstreifen, um das Reduciren von Metalloxyden zu erleichtern, man darf die glühende Perle nur damit berühren, aber dann nicht mehr zu lange darauf blasen.

Zuletzt wachsen freilich die Hilfsmittel zu einem förmlichen Laboratorium an, denn wer möchte die Grenzen ziehen, wenn man vollends noch weiter schreitet, zur

Untersuchung auf nassem Wege.

In Beziehung auf Löslichkeit kann man dreierlei unterscheiden:

1) In Wasser lösliche Minerale, dahin gehören außer dem Steinsalz eine Menge Salze, die gewöhnlich Kunst besser darzustellen vermag als Natur, wie z. B. die Vitriole. Ja wenn sie sich auch irgendwo im Schoße der Erde einmal erzeugt haben sollten, so waren sie wegen der Circulation des Wassers überall den größten Gefahren ausgesetzt. Selbst Massen, wie Steinsalz, konnten vor solcher Gefahr nicht immer schützen. Auch Safforin und Arsenitblüthe sind löslich.

2) In Säuren lösliche. Gewöhnlich versucht man es mit Stücken, bei schwer löslichen ist aber Pulverisiren und sogar Schlämmen nothwendig, damit das Lösungsmittel möglichst viele Angriffspunkte bekomme, auch muß mit Erwärmen nachgeholfen werden. Für Erden, Eisen- und Manganverbindungen nimmt man Salzsäure. Zuweilen darf die Säure nicht concen-

trirt' sein, wie beim Witherit. Löst sich die Substanz mit Brausen und ohne Geruch, so ist Kohlensäure darin. Bei Mn oder Mn kann aber auch Chlor frei werden. Schwefelwasserstoff gibt sich durch seinen Geruch kund, und schwärzt ein mit Bleizuckerlösung befeuchtetes Streifchen Papier. Metallische Verbindungen lösen sich leichter in Salpetersäure. Bei manchen Silicaten findet sich nur ein Theil löslich, der Rückstand wird dann behandelt wie

3) In Säuren unlösliche. Gewöhnlich Silicate. Dieselben müssen auf Kohlen in Sodapapier pag. 166 oder besser in einem Platintiegel mittelst starkem Feuer aufgeschlossen werden. Zu dem Ende wird die Probe fein gerieben und mit dem 3—4fachen Gewicht von Kohlensaurem Kali oder Natron oder 5—6fachen von Kohlensaurem Baryt gemischt. Das Kali tritt dann an die Si, die C entweicht unter Brausen, es entsteht ein basenreicheres Salz, was sich nun in Salzsäure aufschließen läßt. Die Si läßt sich an der Gallertbildung erkennen, welche bei langsamem Abdampfen der Flüssigkeit entsteht. Bei Thonerdereichen Edelsteinen wird saures schwefelsaures Kali zum Aufschließen empfohlen.

Ist das Mineral aufgeschlossen, so ist der Gang der Untersuchung der gleiche, welchen H. Rose (Ausführliches Handbuch der analytischen Chemie 1851) zuerst für die analytische Chemie überhaupt aufgestellt hat. Ein kleineres Werk schrieb Fresenius, Anleitung zur qualitativen chemischen Analyse. Braunschweig 1863. 8te Auflage.

Wichtigste Reactionen.

Kali = K. Blaue Flamme auf Platindraht, aber Natron und Lithion verdecken die Farbe. Da es sich jedoch leichter verflüchtigt als Na, so muß man die Probe dem Dochte zu bewegen. Schmilzt man Borax mit etwas Vorsaure versetzt am Draht und setzt so viel Nickelorydul hinzu, daß das Glas beim Erkalten bräunlich erscheint, so bekommt es durch Kalisalz einen blauen Schein. Platinchlorid erzeugt in neutralen und sauren Lösungen einen gelben krystallinischen schweren Niederschlag von Kaliumplatinchlorid.

Natron = Na färbt die Löthrohrflamme gelb, selbst bei Gegenwart von Kali und Lithion, allein die Flamme ist dem gewöhnlichen Lampenlicht so ähnlich, daß man sich vor Täuschung hüten muß. Auf nassem Wege suche man sich kleine Salzwürfel (NaCl) zu verschaffen.

Lithion = Li färbt die Löthrohrflamme purpurroth, nur hindert das Natron. Schwaches Feuer besser als starkes. Das gepulverte Lithionsilicat mit 1 Theil CaFl und $1\frac{1}{2}$ Theile KS^2 zu einem Teige angemacht und auf das Platinoehr gestrichen zeigt bei Lithionturmalin und Skapolith noch rothe Flamme.

Baryterde = Ba. Schwefelsäure und alle löslichen schwefelsauren Salze (Gypsolution) erzeugen in den verdünntesten Barytlösungen sogleich einen feinen weißen Niederschlag von Schwerspath, der in Säuren und Alkalien unlöslich. Baryterde färbt die Löthrohrflamme gelblichgrün.

Strontianerde = Sr. Gibt langsamer einen Niederschlag von Cöle-

stein, aber färbt die Böhrohrflamme sehr schön roth. Chlorstrontium löst sich in absolutem Alkohol, Chlorbaryum nicht.

Kalkerde = Ca. Oxalsäure bringt selbst in verdünnten neutralen Kalklösungen einen weißen Niederschlag von oxalsaurem Kalk hervor. Man muß aber Ba und Sr zuvor durch schwefelsaures Kali getrennt haben. Viele Kalkerde-salze leuchten vor dem Böhrohr stark; zersetzen die Soda und Kalkerde bleibt auf der Kohle pag. 166.

Talkerde = Mg wird weder durch Schwefelsäure noch Oxalsäure gefällt, wohl aber bei Gegenwart von Ammoniak durch Phosphorsaures Natron, indem sich basisch phosphorsaure Ammoniak-Talkerde (Struvit) als weißes krystallinisches Pulver ausscheidet. Kobaltsolution erzeugt öfter rothe Farbe im Feuer pag. 167.

Thonerde = Al läßt sich in ihren Verbindungen häufig daran erkennen, daß sie mit Kobaltsolution eine sehr schöne Berlinerblaue Farbe annimmt. Kali fällt aus Auflösungen der Thonerde voluminöses Thonerdehydrat, das im Ueberschuß des Fällungsmittels leicht löslich. Ammoniak oder Salzmiahl fällen sie wieder.

Beryllerde = Be löst sich in großer Menge im Borax zu klarem Glase, das bei völliger Sättigung durch Flattern milchweiß wird. Kohlen-saures Ammoniak fällt die Beryllerde, löst sie aber wieder im Ueberschuß zugefetzt, die Thonerde dagegen nicht. Aus der verdünnten Auflösung von Kali fällt sie durchs Kochen, kann also so von der Thonerde getrennt werden.

Yttererde = Y, Erbiumoxyd = E und Terbiumoxyd = Tr verhalten sich vor dem Böhrohr unter einander gleich und wie Beryllerde. Kali fällt sie, löst sie aber nicht wieder im Ueberschuß.

Zirkonerde = Zr auf Kohle leuchtet stärker, als irgend ein anderer Körper, mit Kobaltsolution wird sie schmutzig violett.

Thorerde = Th im Borax in geringer Menge zu klarem Glase löslich, das unter der Abkühlung milchweiß wird.

Cerorydul = Ce, Lanthanoryd = La, Didymoryd = Dkomen meist zusammen vor, im Borax und Phosphorsalz außen rothe oder dunkelgelbe Gläser, je nach dem man mehr oder weniger zusetzt; in der innern Flamme wird die Phosphorsalzperle farblos, und die Boraxperle kann emailweiß geflattert werden.

Mangan = Mn färbt Boraxglas intensiv violett, was sich kalt mehr röthet, in der Reductionsflamme kann es auf Kohle (besonders auf Zusatz von Zinn) farblos geblasen werden (Mn). Phosphorsalz wird nicht so stark gefärbt. Auf Platindraht oder Platinblech mit Soda zusammen geschmolzen heiß grün und durchsichtig, kalt blaugrün und undurchsichtig (Na Mn). Die kleinsten Mengen werden so erkannt, besonders auf Zusatz von Salpeter.

Eisen = Fe gibt mit Borax in der äußern Flamme dunkelrothe Gläser, die kalt gelb werden, in der innern grüne (Oxyd-Oxydul). Die Oxyde reduciren sich auf Kohle zu magnetischer Kugel. * Schwefel- und

Eiseneisen muß vorher geröstet werden, sie geben ebenfalls eine magnetische Schlacke. Fe wird von Kali gefällt und im Ueberschuß nicht gelöst und dadurch leicht von Al getrennt.

Kobalt = Co gibt in beiden Salzen smalteblaue Gläser. Geringe Mengen schmelzen mit Soda zu schwach rosenrother Masse, die kalt grau wird. Arsen- und schwefelhaltige Kobalterze muß man vorher rösten.

Nickel = Ni stark magnetisch. Borax im Oxydationsfeuer erhält heiß violette Farbe, die unter der Abkühlung rothbraun wird (Ni). Im Reduktionsfeuer wird das Glas vom fein vertheilten Nickelmetall dunkel, die Theilchen ballen sich endlich, und das Glas wird klar.

Zink = Zn gibt auf Kohle einen Beschlag von Zinkoxyd, heiß gelb und kalt weiß aussehend, derselbe leuchtet stark beim Glühen. Kobaltsolution färbt den Beschlag grün. Mit Borax im Oxydationsfeuer heiß eine gelbe Perle, die kalt farblos wird, aber emailartig geflattert werden kann.

Kadmium = Cd ist flüchtiger als Zink, beschlägt die Kohle rothbraun in dünnen Lagen orangefarbig, besonders wenn man das Pulver mit Soda mengt, und kurze Zeit reducirt.

Blei = Pb. Reducirt sich aus seinen Verbindungen leicht unter Brausen auf Kohle, und bedeckt dieselbe mit einem schwefelgelben Beschlag von Oxyd, der immer nahe der Probe liegt. Schwefelsäure gibt in den Lösungen einen weißen Niederschlag von Bleiätrioxyd, Ammoniaksalze hindern die Fällung.

Zinn = Sn auf Platindraht im Oxydationsfeuer mit Soda unter Brausen zu einer unschmelzbaren Masse aufschwellend, auf Kohle reducirt, gibt einen weißen Beschlag, der sich nicht vertreiben läßt.

Wismuth = Bi gibt auf Kohle einen Beschlag von Oxyd, heiß orangengelb, kalt citronengelb; ohne farbigen Schein kann man ihn von einer Stelle zur andern treiben. Außerhalb des gelben befindet sich ein weißer Beschlag von kohlen-saurem Wismuth. Mit Borax in der Oxydationsflamme ein opalartiges Glas.

Uran = U gibt mit Phosphorsalz im Oxydationsfeuer ein gelblich-grünes Glas, im Reduktionsfeuer ein rein grünes.

Kupfer = Cu im Oxydationsfeuer mit Borax grünes Glas, das kalt ins blaue sich zieht, im Reduktionsfeuer (besonders mit Zinn) wird es farblos, nimmt aber unter der Abkühlung eine rothe Farbe an (Cu). Auf Kohle kann das Kupfer metallisch ausgefällt und das Glas farblos werden. Die Verbindungen geben auf Kohle häufig ein Kupferorn.

Quecksilber = Hg reducirt und verflüchtigt sich leicht auf Kohle, schon im Kolben sublimiren die Erze, mit Soda oder Zinn gemischt, Metall.

Silber = Ag reducirt sich aus vielen seiner Verbindungen leicht auf Kohle. Mit Borax in der Oxydationsflamme zum Theil reducirt, zum Theil macht es das Glas opalartig. Enthalten die Proben nur wenig, so wird es mit Boraxglas und Blei aufgenommen und dann auf Knochenasche im Oxydationsfeuer abgetrieben.

Platin = Pt, Palladium = Pd, Rhodium = R, Iridium

= Ir, Ruthenium = Ru, Osmium = Os kommen zusammen mit gediegenem Platin oder auf dessen Lagerstätten vor. Das Osmium greift im Feuer die Augen an, gibt sich mit Salpeter vor dem Böhrohr durch seinen Gestank zu erkennen, und macht schon die Weingeistlampe leuchtend wie bläuliches Gas.

Gold = Au reducirt sich leicht, bildet aber mit Kupfer und Silber oft Legierungen, die seine Farbe etwas ändern.

Titan = Ti, das Oxyd Ti mit Soda auf Kohle unter Drausen zum dunkelgelben Glase löslich, welches aufglüht und unter der Abkühlung krySTALLISIRT. Mit Phosphorsalz im Reductionsfeuer gelbes Glas, das kalt schön violet wird. Bei Gegenwart von Eisen tritt das Violet erst auf Zusatz von Zinn oder besser Zink hervor.

Tantal = Ta und Niobium = Nb. Ihre Säuren in Borax gelöst geben ein Glas, das nach Behandlung im Reductionsfeuer unklar geflattert werden kann. Schmilzt man die fein gepulverte Masse mit doppeltchwefelsaurem Kali, so scheiden sich bei der Behandlung im Wasser Tantal-, Niob- und Unterniobsäure aus. Das Tantal-, Niob- und Unterniobsaure Kali in Wasser gelöst, mit Salzsäure angesäuert und Galläpfeltinktur verfest, gibt für Ta hellgelben, Nb orangengelben und Nb dunkelorange-rothen Niederschlag. Niobsäure Nb kam bis jetzt in der Natur noch nicht mit Sicherheit vor (Pogg. Ann. 1861. 113. 201).

Antimon = Sb schmilzt und verdampft leicht auf Kohle und umgibt sich dabei mit weißem krystallinischem Antimonoxyd Sb. In der Glasröhre bildet sich Antimonrauch, der sich an die Röhre ansetzt, und durch Anwärmen von einer Stelle zur andern getrieben werden kann.

Arsen = As verflüchtigt sich auf Kohle mit Knoblauchgeruch, und beschlägt die Kohle mit arseniger Säure. Der Beschlag ist weiß und liegt ferner von der Probe als der Antimonbeschlag.

Wolfram = W. Die Wolframsäure gibt mit Phosphorsalz im Oxydationsfeuer ein gelblich Glas, im Reductionsfeuer wird es beim Abkühlen schön blau, aber Gegenwart von Eisen macht die Probe braunroth.

Molybdän = Mo mit Borax im Oxydationsfeuer ein braunes Glas, mit Phosphorsalz ein grünes. Verpufft mit Salpeter auf Platinblech.

Vanadin = V mit Borax oder Phosphorsalz im Oxydationsfeuer ein gelbes, im Reductionsfeuer ein grünes Glas.

Chrom = Cr gibt ein prachtvolles smaragdgrünes Glas. Mit Salpeter zusammengeschmolzen bildet sich Chromsaures Kali, was mit essigsaurem Blei einen gelben Niederschlag von chromsaurem Blei gibt.

Tellur = Te schmilzt und verflüchtigt sich leicht, beschlägt die Kohle in weiter Entfernung mit telluriger Säure. Der Beschlag ist weiß, hat aber einen rothen Saum, mit der Oxydationsflamme läßt er sich von einer Stelle zur andern blasen, in der Reductionsflamme verschwindet er mit grünem Schein. Der Beschlag in offener Glasröhre ändert sich bei starkem Erhitzen zu telluriger Säure, die sich zu durchsichtigen Tröpfchen ballt. Concentrirte Schwefelsäure wird beim ersten Anwärmen schön roth gefärbt.

Sauerstoff = O und **Wasserstoff** = H geben zusammen **Wasser** H, was sich beim Erhitzen im Glaskolben am obern Ende als feuchter Beschlag zu erkennen gibt.

Stickstoff = N kommt besonders in der Salpetersäure und im Ammoniak vor. Erstere im Kolben erhitzt gibt salpetrige Säure, leicht am Geruch erkennbar, oder verpufft in schmelzbaren Salzen auf Kohle; dieses verräth sich beim Erhitzen durch seinen Geruch besonders im Kolben mit Soda behandelt, es sublimirt sich dann kohlen-saures Ammoniak, welches geröthetes Lackmuspapier bläut.

Kohle = C gepulvert verpufft mit Salpeter gemischt im Feuer. Die kohlen-sauren Salze brausen in Salz- oder Salpetersäure. Die entweichende Kohlen-säure trübt Kalkwasser.

Bor = B. Borsäure färbt die Böhrohrflamme grün, besonders wenn die Perle mit Schwefelsäure befeuchtet wird. Bei kleinen Mengen muß man das Pulver mit Flußpath und saurem schwefelsauren Kali zu einem Teige gemischt aufs Oehr des Platindrahtes streichen. Chloride können täuschen.

Silicium = Si. Kieselsäure gibt auf Kohle mit Soda eine klare Perle von Kieselsaurem Natron. Phosphorsalz kann dagegen die Kieselerde nicht lösen, sie zieht nur die Gasen aus, und die Kieselerde bleibt als ein Skelet zurück, was man heiß in der Perle schwimmen sieht, wobei man jedoch öfters die Loupe zur Hand nehmen muß.

Schwefel = S gibt sich beim Erhitzen häufig durch seinen Geruch nach schwefeliger Säure zu erkennen. Ein kleiner Schwefelgehalt kann durch Zusammenschmelzen mit Soda und Kieselerde erkannt werden, wobei sich die Perle gelb oder braun durch Schwefelnatrium färbt. Das Pulver der Probe mit 2 Soda und 1 Borax auf Kohle im Reductionsfeuer geschmolzen und auf blankem Silber mit Wasser befeuchtet, beschlägt das Silber gelb von Schwefelsilber.

Selen = Se. Selenverbindungen auf Kohle mit der Drydationsflamme zur Rothglühitze gebracht und sogleich unter die Nase gehalten riechen nach verfaultem Rettig. Auf Kohle ein stahlgrauer Beschlag. In offener Glasröhre geröstet setzt sich das Selen in rother Farbe ab.

Phosphor = P. Phosphorsäure färbt die Böhrohrflamme grün, besonders wenn das Salz in Schwefelsäure getaucht wird. Empfindlich ist auf nassem Wege die Reaktion mit molybdän-saurem Ammoniak.

Chlor = Cl. Löst man in Phosphorsalz Kupferoxyd und setzt die Probe zu, so kommt eine kasurblaue Flamme von Chlorkupfer. Brom zeigt dieselbe Reaktion. Chlorsalze in Salpetersäure gelöst geben mit Salpetersaurem Silber einen Niederschlag von Chlorsilber. Chloride von Alkalien und Metallen verflüchtigen sich leicht im Feuer.

Brom = Br unterscheidet sich vom Chlor, wenn man seine Salze im Glaskolben mit doppelt schwefelsaurem Kali zusammenschmilzt, der Kolben füllt sich sodann mit stinkenden rothgelben Dämpfen.

Jod = J mit Phosphorsalz und Kupferoxyd behandelt erzeugt eine

schön grüne Farbe, mit KS^2 im Glascolben erhitzt violette Dämpfe. Die blaue Farbe des Jod-Amphlums ist bekanntlich das empfindlichste Mittel.

Fluor = Fl greift wegen seiner starken Verwandtschaft zur Kiesel-erde das Glas an. Manche Glimmer und Hornblendes darf man nur in Glascolben erhitzen, so entweicht Fluorkiesel, der durch Wasserdämpfe zerlegt einen Ring Kiesel-erde ablagert und Fernambulpapier strohgelb färbt. Uebergießt man die pulverisirte Probe im Platintiegel mit concentrirter Schwefelsäure, so wird beim Erwärmen Quarz geätzt.

Krysallobildung.

Wenn Körper aus flüssigem oder gasförmigem Zustand in festen übergehen, sondern sich ihre Atome symmetrisch, falls kein teigartiger Zwischenzustand stattfindet, wie beim Glase, und die Theile Zeit haben sich zu ordnen. Sonst entstehen amorphe Massen. Folglich sind die Krysalte chemische Produkte, welche sich im Schoße der Erde auf natürlichem Wege durch Juxtaposition der Molecule gebildet haben. Dabei nimmt es freilich oft Wunder, wie in dem Complex so vieler Zufälligkeiten sich dennoch Formen bilden konnten, die keine chemische Kunst bis jetzt auch nur annähernd nachzubilden vermag. Wer staunt nicht über die Pracht der Bergkrysalte und Feldspäthe in den Klüften der Schneeanpen, über die Reinheit der Granaten, Staurolithen, Epaniten zc. mitten im Schiefer, über den Formenreichtum der Drusenräume auf Erzgängen, ja selbst in den Kalk- und Thonschlamm der jüngsten Flözgebirge fanden die schönsten Individuen von Schwefelkies, Kalkspath, Schwer-
spath, Cölestin zc. ihre Wege. Die Natur zeigt sich auch hier als eine Lehrmeisterin, welcher zu folgen wir kaum die ersten Spuren gefunden haben. Daher der unaufhörliche Streit und die widersprechendsten Theorien, zum Glück ist aber davon die Kenntniß der Sache bis auf einen gewissen Grad unabhängig. Wir haben daher nur wenige Hauptpunkte zu berühren.

1) Bei der Bildung auf nassem Wege darf nicht übersehen werden, daß im Grunde kein Stoff absolut unlöslich im Wasser ist, und daß die Krysalisation um so vollkommener vor sich geht, je langsamer der Ausscheidungsproceß stattfindet. Masse und Zeit konnten daher Produkte liefern, die unsern beschränkten Mitteln beim ersten Anblick unglaublich erscheinen.

a) Durch Lösung und Verdunsten pflegen sich die in Wasser löslichen Minerale gebildet zu haben, welche in der Erde keine sonderlich Rolle spielen, und die man künstlich häufig viel schöner machen kann. Löst man z. B. Kupfervitriol, Eisenvitriol, Alaun zc. in reinem Wasser, und läßt es verdunsten, so bleibt ein krysalisirter Rückstand. Freilich spielt dabei die Temperatur eine wichtige Rolle. Krysalte, die sich in einer Sommernacht vergrößerten, schwinden am Tage zum Theil wieder, weil das wärmere Wasser mehr löst, als das kältere. Daher ist vor allem eine gleichmäßige Wärme nöthig, und ein Keller für kältere Prozesse sehr geeignet. Zu dem Ende wähle man einzelne wohlgebildete Individuen aus, und lege oder hänge sie an einem Faden in die Lösung. Die liegenden muß man öfter umwenden, damit sich die Flächen alle möglichst gleichmäßig ausdehnen. Je langsamer

das Wasser verdunstet, desto mehr gelingt der Prozeß; daher ein Vortheil, wenn man mit großen Massen arbeitet (chemische Fabriken). Mulder empfiehlt sehr hohe Gefäße, weil das Wachsen auf einem herunterfallenden Strom beruhe, welcher seinen Ueberschuß auf die Krystalle absetze, und dann wieder steige. Deshalb bekomme man in flachen Gefäßen viele aber kleine Krystalle. Bagen (Comt. rend. 34. 519) will einen Circulirapparat.

Nimmt man einen Tropfen solcher Lösung unter das Mikroskop (Pogg. Ann. 36. 228), so entsteht plötzlich ein fester Punkt, welcher schnell wächst, ohne daß man in der Nähe des Krystalls eine Bewegung oder Trübung erkennt, seine Umrisse bleiben immer scharf, von etwaigen Atomen, die sich hinzu bewegten, ist nirgends etwas erkennbar. Doch hat Knop (Erdmanns Journ. 1847. 41. 81) gezeigt, daß bei heiß gesättigten Alaunlösungen an den Gefäßrändern die größern Octaeder kleine als Stäubchen erscheinende anziehen, die sich aber alle parallel an einander lagern. Es kann dieß wohl nur Folge der Anziehungskraft des Größern sein.

Die Form hängt wesentlich von der Temperatur ab, aber wie es scheint ~~war~~ deshalb, weil der Krystall bei höherer Wärme genöthigt ist, weniger Krystallisationswasser aufzunehmen als bei niederer, wie das Haidinger zuerst am schwefelsauren Natron nachwies, der von 33° C an ohne Wasser krystallisirt. Mittheillich hat dieß dann (Pogg. Ann. 11. 222) bei einer großen Menge namentlich von schwefel- und selen-sauren Salzen wieder erkannt. Die Krystalle setzen sich auch lieber an rauhen als glatten Flächen an, daher legt man unter Umständen Fäden, Stäbe zc. hinein.

b) Durch Lösung und Ausscheidung mittelst Verwandtschaft sind ohne Zweifel viele Minerale entstanden. In der Erde circuliren Wasser nach allen Seiten, sie führen hauptsächlich diejenigen Substanzen, welche sie auf ihrem Wege zur Lösung vorfinden. Wenn nun zwei oder mehrere solcher Strömungen von verschiedenen Seiten her mit verschiedenem Gehalt in einem hohlen Raume zusammen kommen, so müssen dieselben ihre Stoffe gemäß der Verwandtschaft gegenseitig austauschen. Es fällt z. B. immer auf, daß der Gyps niemals auf Gängen oder Drusenräumen eine Rolle spielt, oder wenn er vorkommt, so ist er ein entschieden secundäres Produkt durch Zersetzung von Schwefelmetallen. Und doch ist keine Lösung in den Flözformationen gewöhnlicher, als Gypswasser. Nun kann man in manchen Schichten der Juraformation keinen Ammoniten durchschlagen, der nicht in seinen Kammern krystallisirten Ralkspath Ca C und Schwerspath Ba C führte. Auf nassem Wege müssen die Sachen hineingeführt sein, denn sie liegen mitten im unveränderten Schlammgebirge, aber der schwefelsaure Baryt ist das unlöslichste aller Salze. Nehmen wir an, daß von einer Seite Gyps-, von anderer kohlensaure Wasser mit Baryterde kamen, so mußten diese beim Zusammenfluß Schwerspath fallen lassen; wenn Gypswasser mit Lösungen von kohlensauren Alkalien sich mischen, entsteht Ralkspath zc. Bischof (Leonhard's Jahrb. 1844. 267) hat auf solche Weise die Erfüllung der Erzgänge, jener Hauptfundgrube von Krystallen, zu erklären gesucht. Fließen Bicarbonate von Eisen, Mangan, Zink und Kalk mit kiesel-sauren Alkalien zu-

sammen, so geht kohlenjaures Alkali in Lösung fort, Quarz, Spath Eisen, Manganspath, Bitterspath und Kalkspath scheiden sich aus. Da in allen Schwefelquellen sich Schwefelalkalien finden, und in diesen sich Schwefelantimon und Schwefelarsenit zc. lösen, so könnte das der Weg sein, auf welchem dieselben so häufig in die Erzgänge geführt wurden.

Glücklicher Weise ist es in neuerer Zeit auch gelungen, die Sache zum Theil auf künstlichem Wege nachzuweisen: Masé (Compt. rend. XXXVI. 525; machte Schwerspath, Bleivitriol zc. durch doppelte Zersetzung, indem er sehr verdünnte Lösungen auf einander einwirken ließ, z. B. in Salpetersaures Blei ließ er an einem Faden langsam schwefelsaures Eisenoxydul eindringen zc. Noch einfacher gelangte Drevermann (Liebig, Ann. Chem. Pharm. 1853. 87. 120) zu seinem Zweck: er brachte je ein pulverförmiges Salz (neutrales chromsaures Kali und salpetersaures Bleioxyd) auf den Boden zweier ziemlich langer Glaschylinder, füllte sie sorgfältig mit Wasser, und stellte sie neben einander in ein größeres Becherglas, in welches soviel Wasser geschüttet wurde, daß dieses über beide Cylinder hinaus stand. Durch die nach oben stattfindende Diffusion war nach einigen Monaten das salpetersaure Bleioxyd in das Becherglas gelangt, und es bildeten sich am Rande des mit chromsaurem Kali gefüllten Cylinders schöne Krystalle von Rothbleierz, Melanochroit, Weißbleierz. Auf ähnliche Weise wurde Kalkspath und Arragonit (S. Rose Monatl. Akad. Wiss. 1860. 572) gemacht. Ja er hofft sogar durch Diffusion zweier Lösungen von Kiesel- und Thonerde in Kali zu einander Feldspath zu erhalten! Nicht so einfach ist das Verfahren von Bohl (l. c. 88. 114).

c) Auch der Einfluß schwacher Galvanischer Ströme scheint nach Becquerel's vielfachen Versuchen die Krystallisationskraft wesentlich zu unterstützen (Compt. rend. 20. 1509; 34. 29 und 572). Aus einer concentrirten Lösung von Kupfervitriol und Steinsalz, mit 3 Volumen Wasser verdünnt, worin er ein mit Platindraht umwundenes Stück Bleiglanz eintauchte, hatte sich nach 7 Jahren Chlorblei in Würfeln abgeschieden. Wenn Bleiglanz allein auf die Lösung einwirkte, so erzeugten sich große Steinsalzkryrstalle, Chlorblei in Würfeln, Bleivitriol zc. In der den Chemikern wohlbekannten Zerlegungszelle von Bird (Grahams Lehrb. Chem. 1840. I. 412) kann aus einer Auflösung der Chloride von Eisen, Kupfer, Zinn, Zink, Wismuth, Antimon, Blei, Silber das Metall mit vollkommenem Metallglanze und meist schön krystallisirt ausgeschieden werden, selbst die Kieselerde erscheint aus den wässerigen Lösungen des Fluorkiesels in krystallinischen Anfängen, ja Desprez glaubt mit einer schwachen galvanischen Batterie von Platindraht kleine Diamantkrystalle erzeugt zu haben.

Bei diesen Bildungen auf nassem Wege ist nicht zu übersehen, daß unter einem höhern Druck die chemischen Prozesse anders werden können, wie das Morlot am Dolomit nachzuweisen versucht hat. Senarmont (Ann. Chim. 1851. 32. 122) bekam in verschlossenen Glasröhren bei Erhitzung von 200°—300° Quarzkrystalle und Daubré (Études sur le métamorphisme 1860. p. 88.) löste und krystallisirte durch überhitzte Wasser Silicate verschiedenster Art.

2) Durch Sublimation entstehen in Vulkanen fortwährend noch

viele Krystalle. Nicht bloß einfache Stoffe wie Schwefel, Arsenik, Quecksilber, Jod u. können sich verflüchtigen, und in den Höhlen der kalten Gesteine wieder verdichten, sondern vor allen sind die so sehr verbreiteten Chlorverbindungen ins Auge zu fassen. Chlornatrium, Chlorkalium und Chlorammonium verflüchtigen sich bekanntlich in allen Vulkanen, und setzen sich in den Kratern, nicht selten in großen Mengen, krystallinisch ab. Eisenglanz und Magneteisen erscheinen nicht bloß in Vulkanen, sondern in Töpferöfen und Salzsiedereien: sie sind als Chlorverbindungen verflüchtigt und dann durch heiße Wasserdämpfe zerlegt. Ähnlich könnte man aus Zinnchlorid und Titanchlorid den Zinnstein und Rutil entstanden denken. Selbst die Kiesel-erde wird von heißen Wasserdämpfen fortgerissen, wie der Versuch von Jeffreys beweist: derselbe ließ durch einen Fayence-Ofen eine große Menge Wasserdämpfe streichen, die am Ausgangsloch mehrere Pfunde Kiesel-erde in Gestalt von Schnee absetzten. Beweis dafür bildet auch die schneeweiße, seidenglänzende oder mehlsartige Kiesel-erde (Eisenamianth) der Hochöfen (Pogg. Ann. 85. 402). Hr. Daubrée (Compt. rend. 1854. XXXIX. 17. Juli) ließ Chloride dampfförmig oder rothglühend auf Vasen aller Art wirken, und erzielte dadurch höchst merkwürdige Resultate: Chlorkiesel gab dihexaedrische Krystalle von Quarz! Enthielten die Vasen Kali und Thonerde, so entstand sogar Feldspath; Cyanit, Granat, Beryll, Euklas, Korund u., selbst Turmalin konnten künstlich erzeugt werden, das wäre mehr als man noch vor wenigen Jahren zu erwarten wagte. Deville (Compt. rend. 1858. 46. 704) erlangte ähnliche Erfolge mit flüchtigen Fluormetallen, und bekam besonders die Edelsteine Korund, Chrysoberyll, Spinell, Zirkon in ungewöhnlicher Deutlichkeit und Farbenpracht. Es scheinen diese Versuche gewissen Feuertheorien sehr zu statten zu kommen.

3) Durch Schmelzung lassen sich mit Leichtigkeit viele Stoffe krystallinisch darstellen. Schon längst bekannt ist das Verfahren beim gediegenen Schwefel und Wismuth: man schmilzt wo möglich größere Mengen, und läßt sie langsam erkalten, es setzt sich sofort die Masse ringsum krystallinisch ab. Wird dann die Decke durchgestoßen, das noch Flüssige abgegossen, so kommt beim Wismuth eine prachtvolle Druse, beim Schwefel ein zelliges Gewebe.

Manroß (Wiebig's Ann. Pharm. 82. 200) schmolz 12 Theile schwefelsaures Kali mit 52 Chlorbarium zusammen, und bekam so Krystalle von Schwespath, ebenso konnte er Cölestin und dreifachblättrigen Anhydrit erzeugen; Wolframsaures Natron mit Chlorcalcium oder Chlorblei gaben Krystalle von Lungstein und Scheelbleierz; Molybdänsaures Natron mit Chlorblei die schönsten durchsichtigen 2 Millimeter großen Tafeln von Gelbbleierz u. Erzeugung gewisser Krystalle gelingt besonders durch einen Zusatz von Kochsalz.

Ingenieur ist das Verfahren von Ebelmen (Compt. rendus 1851. XXXII. 220): derselbe wählte Borax als Lösungsmittel, und setzte die Masse wochen- ja monatelang dem Feuer des Porzellanofens aus, der Borax verflüchtigt sich dann zum großen Theil, und die unverflüchtbare Masse bleibt krystallisirt zurück. So konnte er die werthvollsten Edelsteine, Korund und Sapphir, Spinell, Chrysoberyll u. in meßbaren Krystallen darstellen.

Durch diese und andere Mittel ist der Chemiker im Stande, immer mehr Licht über die Krystallbildung zu verbreiten, und kann er auch bis jetzt nur geringe Nachahmungen zeigen, so könnte doch vielleicht dereinst die Zeit kommen, wo die Natur in den meisten Formen von der Kunst erreicht, ja übertroffen würde. Dann wird man zwischen Mineralien und Chemikalien keine so bedeutende Scheidewand mehr ziehen wollen, als Mancher bis jetzt noch zu meinen scheint. Auch das

Wachsen der Krystalle bietet manche interessante Erscheinungen. Bei Quarz, Kalkspath, Schwerspath zc. findet man oftmals eine Anlagerung neuer Substanz auf alten verwitterten Ecken. Lösliche Salze an Ecken oder Kanten verstümmelt heilen in ihre Mutterlauge gelegt wieder, es findet dabei an verletzten Stellen eine besondere Thätigkeit statt. Alaun eignet sich dazu vorzüglich (Jordan, Müller's Archiv 1842. 46.). Pasteur (Pogg. Ann. 1857. 100. 157) zeigte es am doppelt apfelsauren Ammoniak, wobei er es in der Hand hatte hemiedrische und holuedrische Flächen zu bekommen. Bei isomorphen Lösungen kann man sogar die Krystalle in verschiedenen Schichten aufbauen, den Kalialaun mit Chromalaun überfangen. Nach Hr. v. Hauer (Jahrb. geol. Reichsanst. 1859. Verhandl. 104) eignen sich besonders die schwefelsauren Doppelsalze der Magnesiumgruppe dazu, „die Reihenfolge, in welcher diese Ueberbildungen Statt finden können, hängt von dem relativen Löslichkeitsgrade ab.“ Es kann dabei die Schwefelsäure durch Selenensäure, selbst Chromsäure ersetzt werden. Solche „Episomorphie“ wäre auch bei Mineralen denkbar. Wenn die Petromerie pag. 161 begründet wäre, so sollte man auch verschiedene Substanzen derselben Form übereinander ablagern können, wie das reguläre System Beispiele bietet, allein das ließ sich bisher nicht erzielen. Hr. Dr. Scharff (aus der Naturgeschichte der Krystalle 1855) schreibt der Krystallbildung sogar gewisse Lebenskraft zu, nimmt ein theilweises Wachsen von Innen nach Außen an: junge Krystalle glänzen frisch, alte erscheinen wie abgestorben, die Tafeln des Schwerspaths gruppiren sich sogar mit „einem gewissen Selbstgefühl“: Ausdrücke, die wir dem sinnigen Betrachter nicht verargen wollen. Die

Ausbildung der Krystalle zeigt sich im Gebirge und an Handstücken sehr verschieden. Zu den vollkommensten gehören die eingesprengten Krystalle. Sie liegen in einer nachgiebigen Grundmasse, in welcher sie ringsum wachsen konnten. Zerschlägt man diese Grundmasse oder verwittert sie, so fallen die Individuen heraus. Die sogenannten porphyrischen Granite mit den grauen Feldspäthen, welche in allen Granitgebirgen eine so wichtige Rolle spielen; der Gyps mit den rothen Quarzen von Spanien oder mit den Voraciten von Lüneburg; die alten Raven vom Vesuv voller Leucite liefern gute Beispiele. In den Alpen zeichnen sich besonders die Talf- und Chloritiefiefer mit Granaten, Magnet Eisen, Staurolith, Turmalin zc. aus. So oft ein Krystall ringsum gebildet ist und keine Ansatzstelle zeigt, muß er in einem Muttergestein seine Ausbildung erlangt haben. Die ältern Mineralogen, unter ihnen Linné, legten auf diese Erscheinung ein übergroßes Gewicht, sie betrachteten die Gebirge geradezu als die Mütter (matres), welche

von den männlichen Salzen (*patres*) befruchtet wären. Man kann die Sache auch künstlich nachbilden: eine Alaunlösung mit Thon gemischt ist nachgiebig genug, um die Ausbildung der Oktaeder in ihrem ganzen Umfange nicht zu stören.

Krystalldrüsen setzen sich dagegen in Höhlen und Spalten des Muttergesteins ab. Sie haben gewöhnlich eine Unterlage, die aus gleicher Substanz wie der Krystall besteht, gleichsam eine Wurzel, worauf die Individuen frei auswachsen. Das ansetzende Ende kann daher gar nicht oder doch unvollkommener ausgebildet sein, als die freie Spitze. Die Bergkrystalle in den Alpen und die vielen Krystallisationen auf Erzgängen sind zu bekannt, als daß wir darüber viel sagen dürften. Zuweilen kann der Ansetzpunkt so unbedeutend sein, daß man Mühe hat ihn zu finden, wie einzelne Bleiglanz- und Bournonitkrystalle von Neudorf auf dem Unterharz, oder Adulare in dem Alpengebirge. Aber schon die Kleinheit ihrer Oberfläche deutet die Bildung im freien Raume entschieden an. Es war das oft nicht ohne Einfluß auf die Form. So findet man z. B. die Feldspäthe des Bavenoer Geseßes immer auf Drüsen, die des Karlsbader stets eingesprengt; die Titanite in Drüsen neigen zur Zwillingbildung, bei den eingesprengten im Syenit findet sich nie ein solcher Zwilling.

Gestörte Bildung findet Statt bei eingesprengten, wenn die Mutter nicht nachgiebig genug war, bei Drüsen, wenn es an hohlem Raum fehlte. Die Krystalle konnten dann zwar nicht zur gehörigen äußern Ausbildung kommen, allein die innere Structur hat darunter nicht gelitten, wie man das besonders deutlich an späthigen Mineralen erkennt, man sagt die Masse ist krystallinisch. Hauptsächlich gibt es zweierlei: das körnige und strahlige. Für das körnige bietet Cararischer Marmor, Dolomit, Magneteisengestein, Granit u. die schönsten Beispiele. Es haben sich die zahllosen Individuen so gedrängt, daß jedes dem andern den Platz streitig macht, und da es gänzlich am Muttergestein fehlt, so konnte keines zur Form gelangen, obgleich alle krystallinisch wurden. Endlich werden die Körner so klein, daß die Frage entsteht, ob man die Masse noch krystallinisch ansehen solle oder nicht. Wenn das Körnige dem Eingesprengten entspricht, so das Strahlige der Drusenform. Die Krystalle drängten sich in ihrem Streben nach freier Ausbildung so, daß sie sich gegenseitig der Länge nach drückten: der strahlige Kalkspath in Spalten der Kalkgebirge, die strahligen Quarze und Gypse in Gangtrümmern, viele Zeolithe u. erläutern das Gesagte. Endlich werden die Strahlen zur feinsten Faser. Mit dem Fasrigen ist gar häufig eine halbkugelförmig gekrümmte Oberfläche verbunden, gegen welche die Fasern vom Centrum aus senkrecht strahlen. Unter den Eisenerzen zeigen der braune und rothe Glaslopf treffliche Beispiele. Kleinere Rundflächen nannte Werner traubig, größere nierenförmig. Es ist in dieser Glaslopfstructur, sowie in dem Fasrigen überhaupt ein letztes Verkümmern der Krystallbildung gar nicht zu verkennen, die dann durch zahllose Uebergänge von kugeligen, knolligen, garbenförmigen, rosettenförmigen und anders verkommenen Krystallhaufen sich an das deutlich Krystallinische anschließen.

Bei Metallen und Erzen, welche in Dendriten, Blechen, zahn- und drahtförmig, in Platten und Klumpen anschießen, kann die Entscheidung, ob krystallinisch oder unkrystallinisch, öfter unmöglich werden. Werner war in Beschreibung aller dieser zufälligen äußern Gestalten sehr genau, indessen ergeben sie sich bei Beschreibung des Einzelnen so unmittelbar, daß wir darüber uns nicht weitläufig auszusprechen haben.

Asterkrystalle (Pseudomorphosen).

Werner unterschied abgedrückte und incrustirte, welchen Braithaupt (Ueber die Richtigkeit der Krystalle 1818) noch die metamorphischen hinzufügte, wozu besonders Brauneisenstein nach Schwefelfies und Speckstein nach Quarz den Anstoß gaben. Nehmen wir die incrustirten nur mit Vorsicht auf, so zerfallen die Dinge hauptsächlich in zwei wesentlich verschiedene Klassen: in chemisch veränderte und mechanisch erfüllte Formen. Da nun aber der Erfüllung stets eine chemische Zerstörung vorausgehen muß, so sind Mittelformen nothwendig (Epochen der Natur pag. 101).

Die chemische Veränderung kann bei dimorphen Körpern zunächst ein einfaches „Absterben“ sein, wobei weder Stoff zu- noch wehtkommt, die chemischen Atome gruppiren sich blos anders (Paramorphose). Leicht kann man es bei amorphem Zucker (Bonbon) beobachten, derselbe wird nach wenigen Wochen strahlig und bröcklig, die Strahlen gehen von außen nach innen, werden also in der Mitte getrennt. Aehnlich die arsenichte Säure. Die Krystalle des durch Schmelzen erhaltenen Schwefels trüben sich beim Stehen schnell, weil sie bei gewöhnlicher Temperatur in die Sublimationsform übergehen. Ebenso verändert sich das 2gliedrige schwefelsaure und seltensaure Nickeloryd am Licht in lauter kleine Quadratoctaeder. Das gelbe Quecksilberjodid wird durch Berührung roth. Im Basalte von Schlackenwerth in Böhmen kommen Arragonite vor, die den Blätterbruch des Kalispathes zeigen.

Gewöhnlicher ist ein Verlust an Stoff: haben die Minerale Wasser, so geben sie leicht einen Theil dieses Wassers ab, und trüben sich. So sind z. B. die Zeolithe wasserhell, allein ein geringerer Wasserverlust macht sie schneeweiß. Laumonit zerfällt zu Mehl. Eine Menge künstlicher Krystalle werden durch Wasserverlust unbrauchbar. Die Tagewasser laugen die Salze aus: so sind wenige Feldspäthe frisch und wohl erhalten, sie haben meist eine Trübung in Folge von Verlust des am leichtesten löslichen Kalisalzes, endlich zerfallen sie ganz zu Mehl (Porzellanerde). Einer der extremsten Fälle ist der, wo Rothgülden in Waserz verwandelt wird, wie Marx ein Beispiel von der Grube „Jungfer Lazarus“ bei Marienberg, Blum von der Grube Churprinz bei Freiberg anführt, doch scheint dieß schon kein reiner Fall mehr zu sein.

Veränderung durch Aufnahme von Stoffen zeigt sich vortreflich beim Anhydrit, der durch Verbindung mit Wasser zu Gyps wird. Gediegene Metalle können sich leicht oxydiren, wie Kupfer zu Kupferoxydul, und dieß kann dann weiter zum Malachit fortschreiten, wie so häufig bei

den Kupfermassen im Ural geschieht. Der Martit von Brasilien scheint nichts weiter als Magneteisen zu sein, das durch Aufnahme von Sauerstoff zu Eisenoxyd ward. Eisenglanz wird leicht zu Brauneisenstein, die Manganerze haben meist eine Tendenz mehr Sauerstoff aufzunehmen. Wenn Vitriol die Stelle von Bleiglanz einnimmt, so scheint dieß zunächst nur eine einfache Aufnahme von Sauerstoff zu sein, die freilich nicht unvermittelt vor sich gehen konnte.

Ein Austausch von Stoffen fand am häufigsten Statt. Kann auch der Weg der Veränderung nicht immer sicher angedeutet, so doch häufig eine Möglichkeit construirt werden. Bei zu heterogenen Stoffen ist es immer gerathener, die Sache für mechanische Erfüllung zu halten. Außerordentlich häufig findet man Schwefelkieskrystalle in Brauneisenstein verwandelt. Das Doppelschwefeleisen Fe S^2 verwandelt sich dabei immer erst in Eisenvitriol $\text{Fe S} + 6 \text{H}$; das Fe wird dann zu Fe , wie das so häufig bei Vitriollösungen geschieht. Eisenoxyd ist aber eine schwächere Basis als Oxydul, kann daher durch Kalk leicht seiner Schwefelsäure beraubt werden, wodurch dann $\text{Fe H} = \text{Brauneisenstein}$ entsteht. Besonders leicht verwandelt sich auch Spath-eisenstein Fe C an der bloßen Atmosphäre zu Fe H , die Lösungskraft des Wassers scheint hier allein das gelöste kohlensaure Eisen zur höhern Oxydation zu disponiren. Die verschiedenen Manganerze, besonders Mn H , sind immer zu höhern Oxydationen auf Kosten des Wassers geneigt. Complicirter werden die Verhältnisse schon bei Verwandelung des Olivins $\text{Mg}^2 \text{Si}$ in Serpentin $\text{Mg}^2 \text{Si}^4 \text{H}^6$, und doch kann diese Veränderung nicht mehr geläugnet werden, denn wie sollte ein so normal amorpher Körper, wie Serpentin die Fähigkeit zum Krystallisiren erlangt haben. Bei Vergleichung der Formeln sieht man leicht, daß 4 Atome Olivin $= \text{Mg}^{12} \text{Si}^4$ zu Serpentin werden können, wenn dazu 6 H treten, und 3 Mg ausgeschieden werden, die als Mg C sich zwischen den Asterkrystallen abgesetzt haben. Wasserdämpfe reichen also zur Verwandelung hin, aber trotz der Einfachheit ist dieser Weg wohl nicht eher bewiesen, als bis Versuche ihn nachgeahmt haben werden. Die kiesel-saure Magnesia spielt überhaupt eine große Rolle bei der Asterbildung. Da sie unter den alkalischen Erden die am schwersten lösliche ist, so wurde sie überall fallen gelassen, wo die Wasser andere Stoffe aufzunehmen die Gelegenheit hatten. Bei Göpfersgrün ist selbst der Quarz verschwunden, und Speckstein an die Stelle der deutlichen Krystalle getreten. Noch auffälliger als alles dieses ist jedoch in vielen Fällen

Die mechanische Ausfüllung (Pleromorphosen). Der aus Hornstein bestehende Saptorit kommt in einer Schönheit und Größe vor, die Verwunderung erregt, seine Form ist die des Datoliths, und da auf denselben Gängen zugleich Kalkspath und andere Minerale in Hornstein verändert sind, so kann man hier kaum an einen chemischen Proceß mehr denken. Auch auf sächsischen Gängen (Schneeberg) stecken glattschichtige Kalkspathasterkrystalle unter einer rauen Kruste. Hier wurde offenbar durch Umhüllung des ursprünglichen Krystalles eine Form gebildet, welche die später folgende Kieselsubstanz mechanisch ausfüllte. In ähnlicher Weise füllt bei Ilmenau das

Graumanganerz Mn , oder im Uebergangsstadium von Sundwig Quarz und Rotheisenstein die Formen von Dreikantnern des Kalkspathes. Am letztern Orte kann man die Formen, welche ausgefüllt wurden, noch abheben. Fremdartige Ueberzüge auf Krystallen sind auf Gängen eine so gewöhnliche Erscheinung, daß auf diese Weise Matrizen von den verschiedensten Krystallformen erzeugt werden konnten; man hat sie sogar Umhüllungs pseudomorphosen (Perimorphosen) genannt, was nicht passend ist. Sind es dünne Hüllen, so zeigen sie freilich die Form des unterstützenden Krystalls, wie z. B. kleine Braunsparthrhomboider häufig die Oberfläche großer Dreikantner von Kalkspath bedecken. Manchmal scheint die Hülle auch Folge der Zersetzung zu sein, wie z. B. die Kupferkieschicht über dem Fahlerz von Zellerfeld angesehen werden könnte; das sind aber Ausnahmen. Uebrigens kommt häufig die Verlegenheit, ob man eine Bildung als mechanische oder chemische Ausfüllung ansehen soll. Könnten die Zinnsteinkörner in den Feldspathen von Cornwall nicht gar zu sicher von dem beigemischten Quarz unterschieden werden, zwischen welchen das Erz eindrang, so würde man hier eine Vermischung beider Geseze vermuthen. Andererseits muß man wieder die Sicherheit bewundern, mit welcher Formen selbst der löslichsten Substanzen sich ausfüllten. Einzig in dieser Art ist der sogenannte krystallisirte Sandstein auf der Unterseite der Sandsteinplatten und Steinmergel des Keuper, jene bekannten Würfel mit ihren eingedrückten Seiten sind ohne Zweifel Steinsalz gewesen, aber wie konnte in einem Schlamm die Ausfüllung mit solcher Bestimmtheit vollendet werden? (Epochen der Natur pag. 109.) Etwas sehr Auffallendes haben die Kernkrystalle (Leonhard's Jahrb. 1860. 22) aus dem Marmor von Arendal, woran nicht selten papierdünne frische Granathüllen von der Form des Granatoeders ein Durcheinander von Marmor, Quarz, Epidot, Skapolith 2c. umhüllen.

Eitheilung.

Leider hat man sich über die Eitheilung der Minerale noch weniger vereinigen können, als über die der Pflanzen und Thiere. Das System hat hier aber auch geringere Bedeutung. Die ältern Mineralogen gruppirten mehr nach äußern Kennzeichen, und dieses Princip werden wir wohl nicht aufgeben können, wenn die Mineralogie mehr sein soll, als eine bloße Domaine der Chemie. Den Umfang betreffend, so rechnete Mohs zum Mineralreich alles, was nicht Pflanze noch Thier ist, namentlich also Luft und Gase. Doch was kann ein Mineraloge weiter über diese sagen, als was der Physiker und Chemiker lehrt, zumal da man sie nicht sieht. Werner schloß sogar auch das Wasser aus. Dann bliebe weiter nichts als der feste Theil der Erde über. Darin sind vor allen die eigentlichen Steine von den figurirten Steinen (Petrefakten) zu trennen, welche letztere in der Petrefaktenkunde (Handbuch der Petrefaktenkunde. Tübingen 1852) abgehandelt werden. Die alte Klasse der Inflammabilien (brennlichen Fossilien), wenn man davon den acht mineralischen Schwefel abzieht, ist eigentlich auch ein Fremdling, denn Kohle, Harze, Oele sind Producte des Pflanzen- und

Thierreichs. Man kann sie sich höchstens als unwichtigen Anhang gefallen lassen. Das Uebrige bilden dann die Gebirgsarten und Mineralspecies: erstere handelt die Petrographie, letztere die Mineralogie ab. Freilich kommt man dabei oft in den Fall des Zweifels, was man Felsen, was Mineral nennen soll, doch sei dabei nicht zu engherzig, was thut's, wenn du etwas beiläufig beschreibst, das streng genommen nicht hingehört. Das ächte Mineral soll eine chemische Verbindung sein, die in allen ihren Punkten gleichartig (derb) ist. Die Gleichartigkeit gibt sich am sichersten durch den Krystall kund, und daher bilden die Krystalle den hauptsächlichsten Gegenstand. Freilich kommen neben den Krystallen auch safrige und dichte Massen von solcher Gleichartigkeit vor, daß man nicht umhin kann, sie als Species aufzuführen, doch leidet hier nicht selten die Sicherheit der Bestimmung, und ohne chemische Hilfe kommt man dann nicht zum Ziele.

Bei der Eintheilung darf vor Allem auch das Pädagogische nicht aus den Augen gelassen werden, denn das System soll uns hauptsächlich in die Sache auf dem besten Wege einführen. Wenn man daher mit dem Unwichtigsten unter allen, mit den Gasen oder mit dem Wasser anfängt, so scheint mir das sehr unpädagogisch. Da machte es Werner besser, er stellte gleich den König der Edelsteine, den Diamant, an die Spitze.

Werner schied überhaupt vier Klassen:

I. Erdige Fossilien. 1) Demant. 2) Zirkon. 3) Kieselgeschlecht. Hierunter handelt er die wichtigsten Silicate, wie Augit, Granat, Spinell, Korund, Beril, Pistazit, Quarz, Zeolith, Feldspath zc. ab. 4) Thon. 5) Talc. 6) Kalkgeschlecht, worunter Kalkspath, Apatit, Fluß, Gips, Barazit zc. begriffen wird. 7) Barit. 8) Stronthian. 9) Kryptolith.

II. Salzige Fossilien, begreift nur Soda, Salpeter, Steinsalz, Salmiak, Vitriol, Glaubersalz, Bittersalz.

III. Brennliche Fossilien. Schwefel, Erdöl, Kohlen, Graphit, Bernstein.

IV. Metallische Fossilien, werden nach ihrem Metallgehalt classificirt. 1) Platin. 2) Gold. 3) Quecksilber. 4) Silber. 5) Kupfer. 6) Eisen. 7) Blei. 8) Zinn. 9) Wismuth. 10) Zink. 11) Spiesglas. 12) Silvan. 13) Mangan. 14) Nickel. 15) Kobold. 16) Arsenik. 17) Molybdän. 18) Scheel. 19) Menak. 20) Uran. 21) Chrom. 22) Cerin. Auch

Haüy hat in seinem *Traité de minéralogie* Paris 1802 wesentlich dasselbe System mit 4 Klassen.

I. Säurehaltige Körper. 1) Kalk, und zwar wird mit dem Kalkspath begonnen, welcher Haüy mitten in sein System führt. 2) Varyt. 3) Strontianit zc.

II. Erdartige Fossilien: Quarz, Zirkon, Telesin, Chymophan zc.

III. Unmetallische brennbare Körper: Schwefel, Diamant, Bitumen, Kohle, Bernstein, Honigstein.

IV. Metallische Substanzen, ähnlich wie bei Werner nach den Metallen zusammengestellt.

Den Systemen dieser beiden Meister schließt sich das von **Weiß** am engsten an (Karsten's Archiv für Min. Geogn. Bergb. u. Hüttenk. 1829, Bb. I. pag. 5). Es werden 7 Ordnungen unterschieden.

1) **Oxydische Steine oder Silicate**, denn hier spielt die Kiesel-erde die Hauptrolle. Sie gehören unbedingt an die Spitze des Reiches, nicht bloß weil sie auf der Erde die wichtigste Rolle spielen, sondern weil sie sich auch am meisten von den chemischen Kunstproducten entfernen, und der Nachahmung die größte Schwierigkeit in den Weg legen. Obenan der Quarz, die reine Kiesel-erde, denn durch kein anderes kann uns der Begriff eines Minerals deutlicher vorgeführt werden, als durch diesen. Feldspath, Glimmer, Hornblende führen uns sogleich zu den wichtigsten Felsgesteinen, während Granat den Uebergang zu den Edelsteinen vermittelt.

2) **Salinische Steine** und

3) **Salinische Erze** umfassen beide sämtliche Basen mit Säuren, welche nicht Kiesel-säure sind. Erz (Metallbasis) und Stein (Erdbasis) kann wegen des Isomorphismus nicht gut auseinander gehalten werden, daher muß man in vielen Fällen beide mit einander vermischen. Am Ende finden das Wasser und die künstlichen Salze ihren besten Platz.

4) **Gediegene Metalle** sind die einzigen einfachen Stoffe, welche in der Natur vorkommen.

5) **Oxydische Erze** begreifen Metalle mit Sauerstoff und Wasser, ohne eine Säure.

6) **Geschwefelte Metalle** haben statt des Sauerstoffs Schwefel, es sind also Verbindungen von Sulphosäuren mit Sulphobasen. Statt des Schwefels kann aber auch Selen, Arsen, Antimon, Tellur auftreten.

7) **Inflammabilien**. Es ist gut, hierin nur das zusammenzustellen, was entschieden organischen Ursprungs ist. Namentlich scheide ich den Schwefel und Diamant davon. In dieser Weise bilden sie eine sehr natürliche Ordnung, die aber mehr der Geognosie als der Mineralogie angehört.

Im Ganzen kommen alle naturhistorischen Systeme wenigstens in vielen Gliedern immer wieder auf diese Eintheilung zurück. Denn Einzelnes ist darin zu natürlich, als daß davon abgewichen werden könnte. Wo aber abgewichen wird, da trifft es meist gleichgültige Sachen. Am wenigsten zu billigen sind diejenigen Anordnungen, worin durch eine Menge neugeschaffener Worte das Gedächtniß beschwert wird.

Von rein chemischen Systemen sind die von **Bergelius** am bewährtesten. Sein erstes wurde 1816 durch Schweigger's Journal XV. 497 in Deutschland bekannt. Es ist nach dem elektropositiven Bestandtheile in zwei sehr ungleiche Klassen geordnet. 1ste Klasse enthält sämtliche Mineralien, 2te Klasse die Inflammabilien nebst den Ammoniaksalzen. Das System beginnt:

A. Sauerstoff.

B. Brennbare Körper.

1ste Ordnung. Metalloide: Schwefel und seine Verbindungen mit Sauerstoff; . . . Kohlenstoff und Kohlen-säure u.

2te Ordnung. Elektronegative Metalle: Arsenit nebst Oxyden und Sulphureten; . . . Antimon, Rutil . . .

3te Ordnung. Elektropositive Metalle: Iridium, Platin, Gold nebst seinen Tellureten . . . Silber nebst Sulphureten, Antimonieten etc.

Blei: Sulphurete, Tellurete, Oxyde etc.

Aluminium: Sulphate, Silicate, Hydrate. . . .

Magnesium: Sulphate, Carbonate, Borate, Silicate. . .

Calcium: Sulphate, Phosphate, Fluat, Carbonate, . . . Silicate.

Zuletzt Kalium mit Sulphaten, Nitraten und Silicaten.

Berzelius fühlte bald, daß durch den Isomorphismus der Basen sich doch trotz der scheinbar großen Consequenz ein sehr unangenehmer Spielraum der Stellung ergab. Er fügt daher gleich den Vorschlag zu folgendem andern bei, welches nach der elektronegativen Substanz eintheilt:

1ste Ordnung. Nichtoxydirte Körper:

1) Giebigene; 2) Sulphureta; 3) Arsenieta; 4) Stibieta; 5) Tellureta; 6) Osmieta; 7) Aurota; 8) Hydrargyreta.

2te Ordnung. Oxydirte Körper:

1) Oxyde mit oder ohne Wasser, a) Säuren, b) Basen; 2) Sulphate; 3) Nitrate; 4) Muriate und Muriocarbonate; 5) Phosphate; 6) Fluat und Fluosilicate; 7) Borate und Borosilicate; 8) Carbonate; 9) Arseniate; 10) Molybdate; 11) Chromate; 12) Wolframiate; 13) Tantalate; 14) Titanate; 15) Silicate; 16) Aluminate.

Die Sache wurde später in Poggendorf's Annalen 1828. XII. 1 weiter ausgeführt, und neuerlich ist Rammelsberg (Pogg. Ann. 1847. 71. etc.) wieder darauf zurückgekommen. Dennoch hat es bei den Mineralogen von Fach keine Wurzel schlagen können, weil die äußern Aehnlichkeiten doch zu wenig hervortreten.

Eben so wenig ist eine Eintheilung nach der bloßen Form naturgemäß, so angenehm sie für die Uebersicht der Krystalle auch sein mag. G. Rose, das krystallochemische Mineralsystem, Leipzig 1852, sucht zwar beides zu verbinden, aber doch nur so weit, als der Isomorphismus zur Zusammenstellung nöthigt. Im Ganzen stimmt dessen Anlage mit dem zweiten System von Berzelius überein:

I. Einfache Körper, 30 Nummern.

II. Schwefel-, Selen-, Tellur-, Arsenit-, Antimon-Verbindungen, die in 51 Binäre und 36 Doppelbinäre gruppiert werden.

III. Chlor-, Fluor-, Jod- und Brom-Verbindungen, 13 Nummern.

IV. Sauerstoffverbindungen, diese zerfallen nun zwar in 26 Binäre und Doppelbinäre, allein für letztere bleiben mehr als 400 Nummern, also mehr als 2½fach aller übrigen. Das ist eine große Ungleichheit. Aber noch ungleicher ist die Eintheilung von Mohs

I. Klasse: Gase, Wasser, Säuren, Salze (Soda, Glaubersalz, Salpeter, Steinsalz, Vitriol etc.).

II. Klasse: Haloiden (Gyps, Khyolith, Flußpath, Kalkpath); Ba-

ryte (Spatheisen, Schwerspath, Weißbleierz u.); Kerate (Horn-
erz); Malachite; Glimmer (Kupferglimmer, Vivianit, Graphit,
Tall, Glimmer); Spathe (Schillerspath, Cyanit, Spodumen, Zeo-
lithe, Feldspath, Augit, Basurstein); Gemmen (Andalusit, Corund,
Demant, Topas, Smaragd, Quarz, Borazit, Granat, Gadolinit);
Erze (Titanit, Rothkupfererz, Zinnstein, Magneteisen, Brauneisen-
stein, Manganerze); Metalle; Riese; Glanze (Glaserz, Blei-
glanz); Blenden (Blende, Rothgülden); Schwefel.

III. Klasse: Harze, Kohlen.

Im Ganzen gehen die Systeme nicht so weit auseinander, daß nicht eine Vereinigung aller auf eines in endlicher Aussicht stünde. Das wird aber nicht eher geschehen, bis irgend eines bei weitem die größte Anhängerzahl gefunden haben wird. Freilich können dazu nur innere Gründe führen. Allein wenn man einmal erkannt hat, daß in der Anordnung allein nicht das Wesen beruht, so wird man gern dem Vortheil nicht entgegen sein, welchen es gewähren muß, wenn alle Lehrer und Lehrbücher den gleichen Gang befolgen. Möge das bald kommen.

Erste Klasse.

Silicate oder eigentliche Steine.

Ob man Kieselersde Si oder Si schreibe, liegt gegenwärtig wieder im Streit. Berzelius nahm Si, weil Feldspath dadurch eine einfache dem wasserfreien Alaun entsprechende Formel erhält. Kopp (Pogg. Ann. 1856. 510) kam durch den Siedepunkt des flüssigen Chlorkiesel zur gleichen Ansicht. Dagegen bewies Marignac (Compt. rend. 1858. 46. 554), daß Fluosilicate mit Fluostannaten isomorph seien, darnach sollte Kieselersde (Si) wie Zinnoryd (Sn) geschrieben werden. G. Rose (Pogg. Ann. 107. 602) macht es sogar wahrscheinlich, daß Zirkon mit Zinnstein isomorph sei. Dann würde Zirkon, als Zr Si geschrieben, die Si in viergliedriger Form enthalten. Auch nach der Dampfdichte des Fluor- und Chlorasiliciums sollte man Si schreiben. Wir müssen es daher im Auge behalten und gelegentlich darauf Rücksicht nehmen. Da es aber in der Sache nichts ändert, und man nur die Sauerstoff-Atome (Feldspath $KAlSi^4 = KAlSi^6$; Augit $R^2Si^2 = R^2Si^3 = RSi$) zu berücksichtigen hat, so ist es für den Mineralogen in vielen Fällen gleichgültig.

Die Verbindungen mit Kieselersde spielen unbedingt auf der Erdoberfläche die erste Rolle, daher kann man mit keinem Minerale wohl passender anfangen, als mit der Kieselersde selbst (Quarz). Auf zweiter Linie steht die Thonerde Al, isomorph mit Fe, Mn, Cr. Im Feuer bildet sie gegen Si immer die Base, wenn es aber an Kieselersde fehlt, so mag sie auch wohl die Rolle der Säure übernehmen. Auf dritter Linie folgen: Ka; Na, Li, Mg, Ca, Fe, Mn u., die nur als Basen erscheinen. Alle diese Stoffe verbinden sich mit der Kieselersde in so mannigfaltigen Verhältnissen, daß letztere darin alle anorganischen Säuren weit übertrifft (Rammelsberg Pogg. Ann. 72. 66), und da es bis jetzt von den wenigsten Silicaten gelungen ist, die Bedingungen ihrer Erzeugung künstlich, eben so vollkommen wie die Natur, herbeizuführen, so entfernen sie sich von den gewöhnlichen Chemikalien am weitesten, und mahnen uns mehr an organische Producte, welche gleichfalls chemische Kunst nicht wachsen lassen kann. Auch das haben sie mit dem organischen Körper gemein, daß nur wenige Stoffe zur wunderbaren Mannigfaltigkeit ihrer Krystalle beitragen.

Kieselersde kennt man in zwei Modificationen: die krystallinische, in der Natur am häufigsten, von 2,6 Gew. ist im Wasser und in Säuren unlöslich, nur Flußsäure wirkt kräftig darauf ein; die amorphe von 2,2 Gew. findet sich gelöst in Quellen, Flüssen und Meeren: die Geysersquelle auf Island hat $\frac{1}{1000}$, das Meer 3 Hunderttausendel, der Rhein ein

4 Hunderttausendel. Heißes Wasser löst mehr als kaltes, und die Gegenwart von Säuren und Alkalien befördert ihre Lösung. Die Zeolithe enthalten sie im festen Zustande. Merkwürdiger Weise kann sie aber leicht durch Glühen in die unlösliche Modification übergeführt werden. Da nun die Si auf nassem Wege nur die Rolle einer schwachen Säure spielt, auf trockenem dagegen alle übrigen Säuren austreibt, so hat man wohl Grund zu vermuthen, daß die Masse der Silicate unserer Erdrinde dem Feuer ihren Ursprung verdanken, wenn es auch noch nicht gelang, die krystallinische 2,6 durch Schmelzung (Pogg. Ann. 108), wohl aber durch überheiztes Wasser pag. 175 darzustellen. So feuerbeständig die Kiesel Erde sein mag, so wird sie doch, ähnlich der Bor säure, durch heiße Wasserdämpfe mit fortgerissen, wie der Versuch von Jeffreys beweist pag. 176. Kocht man die unlösliche Modification mit kohlensauren Alkalien, so geht sie allmählig in die lösliche über, ohne daß sie Kohlensäure austreibt. Daraus läßt sich dann leicht einsehen, daß bei Verwitterungsprozessen die Tagewasser, wenn sie in langer Berührung mit der unlöslichen Modification sind, dieselbe in die lösliche umsetzen und aufnehmen können. Die Natur zeigt sich hier nachgiebiger, als man nach unsern künstlichen Gesetzen erwarten sollte.

Von den natürlichen Silicaten ist keines in Wasser löslich, nur künstliche mit viel Alkali lösen sich. Dagegen kann man mehrere in Salzsäure aufschließen, das geht um so leichter, je feiner man sie pulverisirt. Die Kiesel Erde scheidet sich dabei aus, oder ist doch nur in vielem Wasser löslich, während die Basen als Chlormetalle gelöst bleiben. Oft dienen auch andere Säuren. Läßt sich auf diese Weise nur ein Theil lösen, so muß man den Rückstand wie die unlöslichen behandeln. Zu dem Ende schmilzt man das Pulver mit dem 3fachen KC (oder NC, Ba C zc.) zusammen, es entweicht dann C, das zurückbleibende Glas läßt sich wegen des stärkern basischen Gehalts mit Säure auflösen. Für Aluminate ohne Kiesel Erde führt ein Zusammenschmelzen mit KS^2 zum Zweck; Zirkon und Cyanit können durch Kalihydrat im Silbertiegel aufgeschlossen werden. Um die Basen zu bestimmen, bedient man sich mit Vortheil der Flußsäure, aus Flußspath dargestellt. Beim Zusatz von concentrirter Schwefelsäure verflüchtigt sich dann in der Hitze der größte Theil der Kiesel Erde als Fluorkiesel (SiF^4) und Kiesel fluorwasserstoffsäure. Für die künstliche Darstellung der Silicate wird von Hrn. Daubrée pag. 176 besonders die farblose flüchtige Flüssigkeit des Chlorkiesels $SiCl^4$ empfohlen.

Mit Weiß unterschieden wir folgende zehn zum Theil sehr natürliche Familien: 1) Quarz; 2) Feldspath; 3) Glimmer; 4) Hornblende; 5) Granat; 6) Edelsteine; 7) Zeolithe; 8) Stapolithe; 9) Haloidsteine; 10) Metallsteine.

I. Quarze.

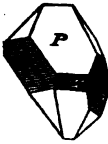
Das Wort Quarz (Querz, vielleicht aus Gwarz?) kommt bei Griechen und Römern nicht vor, es ist ein bergmännischer Ausdruck des Mittelalters (Agricola Bormannus pag. 695 und 701), womit der gemeine Quarz auf den

Erzgängen bezeichnet wurde. Weiß nahm das Wort im weitern Sinn, und begriff darunter Krystalle, Chalcedone und Opale. Dann kann ihnen aber an Mannigfaltigkeit kein zweites zur Seite gesetzt werden, welches so viel Licht über das Wesen eines Minerals verbreitete. Insofern wird man vergeblich nach einem bessern Ausgangspunkte des Systems suchen.

Krystallsystem 3 + 1axig mit entschiedener Neigung zum dihexaederischen. Dihexaeder $P = a : a : \infty a : c$ $133^{\circ} 44'$ Endf., $103^{\circ} 34'$ Seitent., Rhomboeder $94^{\circ} 15'$ gibt

$$c : a = 1,1 : 1 = 1 : 0,9089 = 1 : \sqrt{0,8262}; lga = 9,95853.$$

Der ebene Winkel an der Spitze der gleichschenkligen Dreiecke 78° . Die Flächen meist sehr verzogen und mit allerlei unregelmäßigen Zeichnungen versehen, ihr Blätterbruch sehr versteckt und kaum bemerkbar. Dazu gesellt sich beständig die erste reguläre sechsseitige Säule $r = a : a : \infty a : \infty c$, welche sich an ihrer Querstreifung parallel der Axe a stets leicht erkennen läßt. Diese Streifen stehen immer senkrecht gegen r/r , der Richtung der Axe c . Auch den Säulenflächen entspricht kein sonderlich wahrnehmbare Blätterbruch.

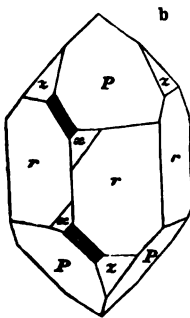
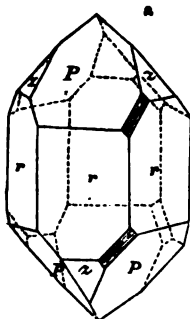
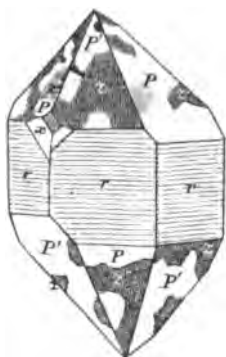


Hauy nahm das Dihexaeder als Rhomboeder: einmal war es ihm für seine Decreescenzen bequemer; dann findet man aber auch z. B. bei den sogenannten Scepterquarzen von Ungarn ein Rhomboeder gegen das andere vorherrschend. Bestehende kleine gelbe Bergkrystalle im Eisenglanz von Elba zeigen auf der Säule nur rhomboederische Endigung, ja in der Dauphiné kommen sogar Dihexaeder vor, deren abwechselnde Flächen mit einiger Bestimmtheit matt und glänzend erscheinen. Da nun auch die Klangfiguren von Sanart auf einen Unterschied beider Rhomboeder hinweisen, und Leydolt (Sitzungsab. Wien. Akad. 1855. XV. 50) bei Aetzung mit Flußsäure verschiedene Streifungen hervorbrachte, so verdient die Sache nicht aus den Augen gelassen zu werden, wollte man auch auf Hauy's Behauptung, daß das Hauptrhomboeder P blättriger sei, als das Gegenrhomboeder z , bei der Undeutlichkeit seiner Blätterbrüche überhaupt kein sonderliches Gewicht legen. Aber auch die Zwillinge sprechen für Rhomboeder. Schon Weiß machte 1816 (Magazin Gesellsch. naturf. Freunde zu Berlin VII. 100) auf merkwürdige Durchkreuzungszwillinge aus den Mandelsteinen der Farberinseln aufmerksam, woran die Flächen des Hauptrhomboeders P von den Ecken eines andern durchbrochen werden: es haben beide Krystalle die Säulen gemein, und ihre Rhomboeder sind um 60° gegen einander im Azimuth verdreht. Dasselbe kommt in Riesellugeln von Missouri zc. vor. Dieses Geseß fand eine erfreuliche Bestätigung durch die Dauphinéer Zwillinge (Haidinger in Brewster's Journal of science 1824. Vol. I. pag. 322), welche in ihrer Art zu den merkwürdigsten krystallographischen Erscheinungen gehören, die wir kennen. Sie finden sich gern mit Epidot. Es sind Dihexaeder mit Säulen, auf den Dihexaederflächen gewahrt man aber sehr ausgezeichnete matte Platten, welche mit glänzenden zwar sehr unregelmäßig abwechseln, allein in den Ranten entspricht ohne Ausnahme der matten Stelle einerseits eine glänzende



andererseits. Bei dieser großen Gesetzmäßigkeit kann man die Sache kaum anders als durch Zwilling erklären: denke man sich ein Dihexaeder mit drei glänzenden Flächen P und drei matten z , aber beliebig durchlöchert; in die Löcher lege sich nun ein zweites Individuum P' und z' doch so hinein, daß dieses seine matte Fläche z' habe, wo jenes seine glänzende P hatte, so ist das das gewöhnliche Weiß'sche Zwillingsgesetz. Einmal aufmerksam gemacht fanden sich die Zwillinge obgleich undeutlicher auch andern Orts, namentlich zahlreich in einem Quarzgang des Granits von Järschau bei Striegau im Riesengebirge. Darnach erklärte G. Rose pag. 90 das unregelmäßige Auftreten der Rhomben- und Trapezflächen durch allgemeine Zwillingbildung.

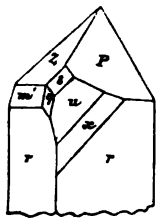
Rhombenflächen $s = a : \frac{1}{2}a : a : c$ liegen in zwei abwechselnden Endkantenzonen des Dihexaeders, stumpfen also die Kanten zwischen der Säule und dem Dihexaeder ab. Häufig zeigen dieselben eine Streifung, und diese geht nur der Kante P/r , und niemals der z/r parallel. In der Dauphiné finden sich öfter Exemplare, woran die s abwechselnde Ecken von rr Pz abstumpfen, also wirkliche Rhomboeder bilden, darnach müßte man sie für rhomboedrische Ordnung halten. Allein unter den klaren ringsum ausgebildeten aus dem Marmaroscher Komitat in Oberungarn, besonders aber unter den noch schönern aus dem Uebergangstakt von New-York trifft man einzelne Exemplare, wo die Rhombenfläche an den beiden Enden der abwechselnden Säulenlanten sich wiederholt, wie in beistehenden Figuren. Dieses nimmt nun Rose als Normalfall. Wenn die Streifen der Rhombenflächen beobachtbar sind, so kann man sogar rechte und linke unterscheiden: die s der rechten sind von oben rechts nach links unten (Fig. a) und die der linken von oben links nach rechts unten gestreift (Fig. b). Alle Exemplare, wo die Rhombenflächen nicht in dieser Ordnung folgen, hält Rose für Zwillinge, wenn schon der Beweis nicht immer streng geführt werden kann; auch verwachsen, was man nicht erwarten sollte, nur zwei rechte oder zwei linke mit einander, wie aus der Streifung der Rhombenfläche folge. Doch fand Nauck (Zeitschr. deutsch. geol. 1854. VI. 664) im Dolomit des Strahlenberges bei Redwitz auf dem Fichtelgebirge häufig links und rechts gewundene mit einander verwachsen. Wenn nun das eine Zwillingseindivuum seine abgestumpfte Ecke hinlegt, wo das andere die nicht abgestumpfte hat, so können bei Verschiedenheit der Ausdehnung möglicher Weise alle Ecken, einige oder auch keine abgestumpft erscheinen. Wer bei dieser Annahme, wie ich selbst früher, Anstoß haben



solte, daß die Rhomboederhälften s oben und unten um 60° gegen einander verdreht sind, ein Trigonoeder bilden, der wird durch die Gyroedrie vollständig befriedigt.

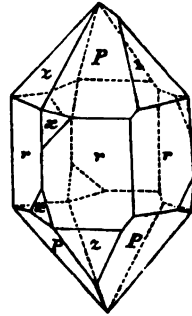
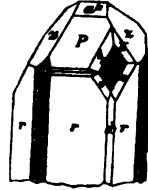
Trapezflächen $x = a : \frac{1}{2}a : \frac{1}{2}a : c$ stumpfen eine der untern Kanten zwischen s/r ab, liegen also nur in einer Kantenzone des Dihexaeder, in welcher sie die Kante $x/r = 168^\circ$ machen. Mit wunderbarer Gesetzmäßigkeit liegen sie. unter P (nie unter z) und stumpfen entweder nur die linke oder die rechte Rhombenflächenkante ab, und darnach zerfallen die Krystalle in rechts- (r) und links- gewundene (l) (Weiß): rechts gewundene, wenn man von der Rhombenfläche oben rechts quer über die Kantenzone der Trapezfläche zur Säule gelangt, oder wenn der

Beobachter sich in den Mittelpunkt des Krystalls denkt und auf die Rhombenfläche sieht, so wird die Kante der rechten Seite abgestumpft; x kommt häufig ohne Rhombenfläche vor, und folgt auffallender Weise nicht der Streifung der Rhombenfläche. Darüber findet sich öfter eine zweite $u = a : \frac{1}{2}a : \frac{1}{2}a$ rauh punktiert und matter als x , die Säulenfläche r unten $161^\circ 31'$ schneidend, öfter auch selbstständig. Man hat sogar zwischen u und x noch eine schmale Abstumpfung $y = a : \frac{1}{2}a : \frac{1}{2}a$ und zwischen x und r $v = a : \frac{1}{2}a : \frac{1}{2}a$ unterschieden. Von scharfer Bestimmung kann aber bei solchen Flächen nicht immer die Rede sein. Doch geht Fr. Descloizeaux (Ann. Chim. et Phys. 1855. XLV. 220) noch viel weiter: er fand besonders bei Exemplaren von Carrara und Brasilien unter v noch eine ganze Reihe von steilern „Blagiedern“ $n = \frac{1}{12}a : \frac{1}{12}a : \frac{1}{12}a$, $v_2 = \frac{1}{12}a : \frac{1}{12}a : \frac{1}{12}a$, $v_3 = \frac{1}{12}a : \frac{1}{12}a : \frac{1}{12}a$, $v_4 = \frac{1}{12}a : \frac{1}{12}a : \frac{1}{12}a$; $v_4/r = 178^\circ 7'$, $v_3/r = 177^\circ 9'$, was sich nur durch eine sehr stumpfe Kante von der Säule unterscheiden läßt. Alle gehören zur Reihe der Haupttrapeze, und nur nach ihnen richtet sich die Drehung. Sie liegen gegen die Streifung von s . Aber auch mit der Streifung correspondiren zuweilen kleine Gegentrapeze, welchen die optische Drehung nie folgt. So sieht man an den complicirten Schweizer Krystallen gar nicht selten die schon von Wackernagel bestimmte $q = a' : \frac{1}{11}a' : \frac{1}{11}a'$; wegen ihrer Streifung und Kleinheit läßt sie sich ge-

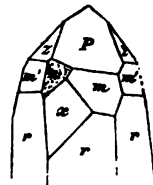


wöhnlich nicht messen, allein sie geht der Streifung von s parallel, und stumpft die Kante zwischen $m'u$ ab, woraus sich ihr complicirter Ausdruck ergeben würde. Nun kommen in dieser Zonenrichtung s/q wieder eine ganze Reihe von Flächen vor, worunter auch eine Gegen- $u' = a' : \frac{1}{2}a' : \frac{1}{2}a' : c$, und Gegen- $n' = a' : \frac{1}{12}a' : \frac{1}{12}a'$ nebst den einfachen $o' = a' : \frac{1}{2}a' : \frac{1}{2}a'$, welche der Haupttrapezreihe fehlt. Viele sind zu klein, als daß sie sich durch Messung bestimmen ließen, daher das Ungewisse, und vielleicht auch die vermeintliche Menge: Fr. Descloizeaux erhob ihre Zahl auf 16, darunter an einem riesigen Krystall von Piemont $n_2 = c : a' : \frac{1}{12}a' : \frac{1}{12}a'$, die mittelst Abdruck in Siegellack gemessen werden konnte. Zu dieser Reihe gehören noch die obern Trapezflächen, Kante s/P abstumpfend. Länger bekannt ist $t = a : \frac{2}{3}a : \frac{2}{3}a : c$, sie kommt häufig zwischen den Feldspathzwillingen von

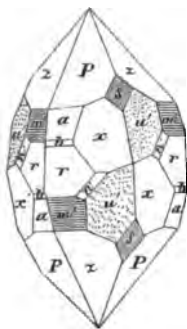
Baveno vor, zumal wenn die kleinen glänzenden Bergkrystalle mit Flußspath einbrechen. Descloizeaux hat nicht bloß in dieser Zone, die im Sinne der Streifung liegt, sechs neue t , bis t_6 bestimmt, sondern auch an der Gegenkante eine ganze Reihe von τ besonders von Traversella aufgeführt, die bis dahin noch gar nicht beachtet waren: $\tau = a' : \frac{2}{3}a' : 3a' : c$ und $\tau_7 = a' : \frac{1}{4}a' : 17a' : c$ bilden die Gränzglieder, letztere $\tau_{7/2} = 177^\circ 21'$ liegt dem Dihexaeder übermäßig nahe. Ob sie gleich den Streifen der Rhombenflächen s gegenständig liegen, so müssen die Aenausdrücke doch gestrichelt werden, weil als Dreikantner gedacht der stumpfe Winkel wie der scharfe bei den Haupttrapezflächen liegt. Dieser Widerspruch ist für die systematische Darstellung nicht angenehm. Alle diese untergeordneten Flächen gruppieren sich ausschließlich um die Rhombenfläche s . Descloizeaux zeichnet sogar einen merkwürdigen Krystall aus **Brasilien**, woran s von 4 Flächen umgeben wird $v = \frac{1}{2}a : \frac{1}{2}a$, $w = \frac{2}{3}a' : \frac{2}{3}a'$, $t_2 = \frac{2}{3}a : 2a$, $\tau = \frac{2}{3}a' : 3a'$. Die Streifung der s genügt, ihn zu den rechts drehenden zu zählen. Der Krystall ist übrigens noch durch ein stumpferes Rhomboeder $a^4 = 2a : 2a : a : c$ ausgezeichnet; ferner wie bei Carrara mit den hemiedrischen Säulenflächen $d = a : \frac{1}{2}a : a : \infty c$ und $k, = a : \frac{1}{2}a : \frac{1}{2}a : \infty c$. In Bezug auf die Zahlverhältnisse der Trapezflächen glaubt G. Rose auch wieder nur drei an jedem Ende des einfachen Krystalls annehmen zu sollen, die an den Enden der abwechselnden Säulentanten auftreten, und allerdings findet man z. B. bei den Rauchtöpfen der Grimsel und des Chamounithales diese Anordnung in auffallender Weise bestätigt. Freilich kommen dann immer wieder Individuen vor, die dem Gesetze sich nicht fügen, aber dann zur Erklärung doch wenigstens zwillingsartige Gränzen zeigen. Auch hier muß es auffallen, daß nur Individuen der gleichen Drehung mit einander verwachsen, selten erscheinen Krystalle mit linken und rechten Trapezflächen. Interessant ist in dieser Beziehung ein brasilianischer Amethyst, der unter den Flächen P einen vollständigen Dreiunddreikantner x hat, dennoch konnte G. Rose daran nicht die Spur einer Zwillingsgränze wahrnehmen.



Schärfere Dihexaeder kommen eine ganze Reihe vor, nach Descloizeaux von $a : a : \frac{2}{3}c$ bis $a : a : 46c$, und an ihnen läßt sich die rhomboedrische Ordnung am besten nachweisen, wiewohl auch hier wieder die geringe Deutlichkeit der Flächenausbildung sich hinderlich in den Weg stellt. Bei den Schweizern ist die Fläche $m = \frac{1}{2}a : \frac{1}{2}a : c : \infty a$ unterhalb P stark glänzend, sie fällt mit der Trapezfläche y in eine Zone; unter z liegt dagegen eine m' mit feinen aber markirten Horizontalstreifen. Sie ist häufig durch einen Horizontalstrich in 2 Theile getheilt: der untere $\frac{2}{3}a' : \frac{2}{3}a' : \infty a : c$, der obere dagegen $\frac{1}{2}a' : \frac{1}{2}a' : \infty a : c$, daher nahmen Haug und viele Spätere es geradezu mit $\frac{1}{2}a : \frac{1}{2}a$ für Dihexaeder. Manchmal



gewinnen diese schärfern Flächen bedeutende Ausdehnung, dann kann ein förmliches Rhomboeder entstehen: wie am St. Gotthardt mehrere quergestreifte, von G. Rose als $\frac{1}{2}a' : \frac{1}{2}a' : \infty a : c$ und $\frac{1}{11}a' : \frac{1}{11}a' : \infty a : c$ bestimmte; gestrichelt, da sie immer unter z liegen. An den so complicirten



mit Sphen bei Dissentis lagernden Krystallen hat schon Haibinger $a = \frac{1}{2}a : \frac{1}{2}a : \infty a : c$ bestimmt, G. Rose noch $b = \frac{2}{11}a : \frac{2}{11}a : \infty a : c$. Es sollen ferner unter P $\frac{1}{2}a : \frac{1}{2}a : \infty a$, $\frac{1}{2}a : \frac{1}{2}a : \infty a$, unter z $\frac{1}{2}a' : \frac{1}{2}a' : \infty a$ an andern Orten vorkommen, so daß es nicht an Menge wohl aber an Zonenverhältnissen mangelt. Daß diese Flächen alle rhomboedrisch auftreten, geht zuweilen aus den Zwillingen hervor. Denn man findet öfter die Rhomboederfläche plötzlich durch eine Gränze unterbrochen, über welche hinaus sie nicht fortgeht, was sich namentlich zwischen m und m' öfter ziemlich sicher entscheiden läßt. G. Rose geht aber noch weiter: bei Schweizerkrystallen ist oft die dreifach schärfere m (oder wenigstens in ihrer Region) mit matten fein quergestreiften Flecken bedeckt, die durch ihr Aussehen an das von $m' = \frac{2}{3}a' : \frac{2}{3}a'$ lebhaft erinnern. Dies sollen daher Zwillinge sein, woran das eine Individuum seine m' in den Sextanten vom m des andern legt. Auffallender Weise treten alle rhomboedrischen Modificationen meist zwischen Dihexaeder und

Säule. Nur in seltenen Fällen kommen stumpfere Dihexaeder vor, welche die Spitze zuspitzen: lange waren die Krystalle aus den schwarzen Rassen von Quebeck $a' : a' : \frac{1}{2}c$ die einzigen, sie stumpfen die Endante des Hauptrhomboeders P ab; dazu fand dann Descloizeaux in Brasilien das Gegenstück $a : a : \frac{1}{2}c$, und $a : a : \frac{2}{3}c$ und $\frac{1}{12}c$ als große Seltenheiten. Am aller-

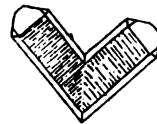
unsichersten möchte jedoch die

- Geradenfläche sein, alles was davon angegeben wird, kann mit Grund angezweifelt werden, selbst die Beispiele von Desc. l. c. Fig. 59 und 60.
- Der Quarz hat nämlich die unvermuthete Eigenschaft, auf fremden Krystallen (Flußpath, Kalkspath, Schwerspath etc.) leicht zu haften, und diese stören seine Krystallisation dergestalt, daß die Ansatzflächen nicht selten glatt und glänzend wie Krystallflächen erscheinen: so kauft man in Amstäg Krystalle aus dem Maderanenthale, welche in ihrem Wachsthum durch die dortigen Kalkspathtafeln plötzlich und vollständig behindert sind. In diesen zahllosen Störungen kommen auch Kalkspathe mit ihrer dreiseitig gestreiften Geradenfläche genau senkrecht gegen die Hauptaxe c des Quarzes zu liegen, und um die Täuschung voll zu machen, orientiren sich sogar die Spathstreifungen gegen die Nebenaxen des Quarzes, was vielleicht auch in einer gewissen Anziehung beider seinen Grund hat. Auf den Sächsischen Erzgängen gibt besonders der Flußpath Eindrücke und Astersflächen: die kleinen Bergkrystalle sitzen so leicht auf, daß man sie mit geringem Druck unverletzt abheben kann, wobei dann die Astersflächen zum Vorschein kommen, die zuweilen glänzende

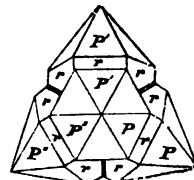
Geradenflächen nachahmen. Zu Beralston in Devonshire scheint Flußspath mit Quarz zugleich krystallisirt zu sein, wodurch treppenförmige Krystalle entstanden, die unter dem Namen Babelquarz (G. Rose Pogg. Ann. C. 142) schon Hauy irre leiteten.

Ein nächstes stumpferes Dihexaeder $f = 2a : a : 2a : c$ erwähnt Hauy an den Amethysten in den Achattugeln von Oberstein, aber klein und selten. Uebergehen wir die Zuschärfungen der Dihexaederkanten, die besonders Weibsthy (Pogg. Ann. 99. 207) bestimmte, so bleiben nur die **hemiedrischen Säulen** über, wozu besonders der Marmor von Carrara die Exemplare lieferte. Zuweilen fällt zwar die Hemiedrie sehr auf, wie z. B. am obigen Brasilianer Krystall pag. 191. Die zweite Säule hat das Zeichen $a : \frac{1}{2}a : a : \infty c$, und zu der längst bekannten 6 + 6kantigen Säule $d = a : \frac{1}{2}a : \frac{1}{2}a : \infty c$ ist jetzt noch eine ganze Reihe freilich viel unsicherer kleinerer Abstumpfungen gekommen, wie $\infty c : \frac{1}{2}a : \frac{1}{2}a$, $\frac{1}{2}a : \frac{1}{2}a$, $\frac{1}{2}a : \frac{1}{2}a$, $\frac{1}{2}a : \frac{1}{2}a$, $\frac{1}{2}a : \frac{1}{2}a$, $\frac{1}{2}a : \frac{1}{2}a$ etc.

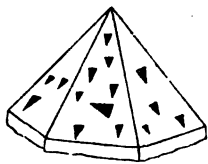
Zwillinge. Am häufigsten die schon genannten Dauphiner, und wenn das unvollzählige Auftreten der Rhomben- und Trapezflächen Folge von Zwillingbildung wäre, so würde nur der geringste Theil der edlen Quarze zu den einfachen Krystallen gehören. Als große Seltenheit hat schon Weiß (Abh. Berl. Akad. 1829. 21) aus der Dauphiné einen Zwilling beschrieben, woran die Individuen das nächste stumpfere Dihexaeder $f = 2a : a : 2a : c$ gemein hatten und umgekehrt lagen, es spiegelt also von den Säulenflächen r nur eine ein, und die Hauptaxen c müßten sich unter $84^\circ 33'$ schneiden. Unerwartet häufig fand ihn Fenzsch (Zeitschr. deutsch Geol. Ges. 1854. VI. 246) auf Arsenikkies von **Munzig** (zwischen Meißen und Siebenlehn), woran die Schärfe und Menge entschieden für das Gesetz spricht.



Hr. Sella (Memor. Acad. Torino 1856. XVII.) führt vortreffliche Beispiele aus den Magneteisenlagern von Traversella auf. Bemerkenswerth ist dabei, daß die Rhomboeder P und z in den Zwillingindividuen nicht miteinander correspondiren. Auch wird ein Dihexaederzwilling (l. c. tab. V Fig. 48—50) abgebildet, welcher wie beim Kalkspath das nächste stumpfere Rhomboeder $a' : a' : \frac{1}{2}c$ gemein hat. G. Rose (Pogg. Ann. 83. 461) wurde durch eine unscheinbare Quarzdruse aus dem Serpentin von Reichenstein in Schlesien überrascht, worauf sich Vierlinge fanden, an welchen die Dihexaederflächen PP' , $P'P'$ und $P''P''$ einspiegeln, und zwar hatten sich in rhomboedrischer Ordnung drei Nebenindividuen $PP'P''$ an ein viertes Centralindividuum gelegt, außer der Spiegelung einer P würde noch eine Fläche der zweiten sechsseitigen Säule einspiegeln, wenn sie vorhanden wäre. Die Axen c müssen sich unter $103^\circ 34'$ schneiden. Vergleiche die Einwendungen von Hesseberg (Jahrbuch 1854. 200).



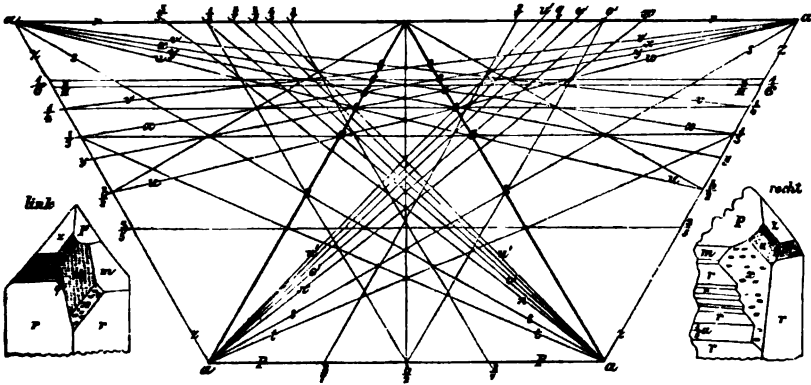
Dreieckige Vertiefungen finden sich auf allen Quarzen, besonders schön auf Amethysten. Gewöhnlich sind es kleine gleichschenklige Dreiecke mit



den Winkeln der Dihexaederfläche, die aber umgekehrt stehen: ihre Basis entspricht dem Durchschnitt der Säule mit dem Dihexaeder, die Schenkel den Dihexaederkanten. Sind die Vertiefungen ungleichschenkelig, so bleibt eine Seite immer noch der Basis parallel, von den andern entspricht eine der Dihexaeder-, die zweite der Rhomboederkante. Es kommen Formen vor, die mit solchen Eindrückungen ganz übersät sind, zum Beweise, daß die Krystalle nicht aus einem Guß bestehen. Bei den sogenannten Rappquarzen sieht man junge in den alten mehrfach in einander geschachtelt, kein Wunder, daß beim Aetzen mit verdünnter Flußsäure dann allerlei Zeichnungen hervortreten. Auch die Parallelität der Individuen im Schriftgranit muß hier in Erwägung gezogen werden: gern erinnere ich an die prachtvollen Bergkrystalle von Komnig zwischen Hirschberg und Schmiedeberg im Riesengebirge, wo auf einer handgroßen Fläche des Feldspaths über hundert Individuen ihre Köpfe hervor strecken, alle parallel. Rhomben und Trapezflächen weisen an unserm Stücke (Epochen pag. 115) zwar nur auf linke Windung, allein ich habe auch andere Exemplare, worauf linke und rechte hervorschauen. In der Schweiz endigen dicke Säulen mit zahlreichen Dihexaederspitzen wie gothische Kirchen. Schwierig sind die dreieckigen Linien zu erklären, welche sich auf den Dihexaederflächen in zarten Linien erheben (Vang Sitzungsber. Wien. Akad. XX. 1861). Hr. Berggrath (zur Theorie des Quarzes 1861. Publication Königl. Preuss. Akad. Erfurt) hält es für Folge von ungleichen Neigungen der Flächen P und z gegen A₂ c. Er knüpft ausführlich an die Breithaupt'schen Ideen pag. 127 an, und erklärt daraus sogar die Circularpolarisation. Die Litteratur über die Quarzkrystallisation ist im letzten Decennium so vermehrt, daß ich die Grenzen weit überschreiten müßte, sollte ich auch nur das Wichtigste davon anführen. Am ausführlichsten handelt darüber Hr. Dr. E. Weiß (Abh. Nat. Gesellsch. Halle 1860. V. 22), und zwar ganz im Sinne seines verstorbenen Onkels. Hier werden 62 verschiedene Rhomboeder, 52 Trapeze 2c., zusammen 179 verschiedene Formen besprochen. Rechnet man ohne die Parallele nur jede mit 3 Flächen, so gibt das eine übermäßige Zahl, zu welcher besonders Hr. Descloizeaux pag. 190 durch Herbeiziehung der complicirten Formen aus dem Marmor von Carrara, dem Magneteisen zu Traversella und den Achaten von Brasilien 2c. das Material lieferte. Mancher fühlt sich überwältigt, doch will ich an der Hand der Projection zeigen, wie leicht bei einiger Uebung Kritik zur Einsicht führt. Zur

Projection bedarf es nur eines halben Sechsecks, aber möglichst groß, mit einer dicken P und zwei dünnen z: dann liegen links die linken Rhomben und Haupttrapeze, rechts die rechten, wornach die optischen Eigenschaften sich richten. Die linken und rechten Gegentrapeze fallen dazwischen neben P. Nur diese viererlei hat man je nach dem Bedürfniß einzutragen, dazu dann die zwei Ordnungen von Rhomboedern, wo man sie braucht.

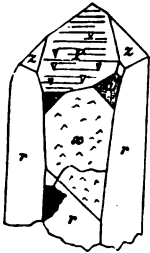
1. **Vinter Bergkrystall** von Wallis. Die drei Flächen P, m und x glänzen stark und geben $P/m = 156^\circ$ $m/x = 169^\circ$, wornach sich $m = \frac{1}{2}a \frac{1}{2}$



erweist, und da $x m z$ rechts eine Zone bilden, so ist $x = \frac{1}{4}a \frac{1}{2}$ abgeleitet. Es zeigt im Mikroskop horizontal gestellte elliptische Punkte, während $u = \frac{1}{4}a \frac{1}{2}$ eigenthümlich facettirte Warzen hat und überdies mit Säule r links und Dihexaeder m rechts in eine Zone fällt. Unter $m = \frac{1}{4}a \frac{1}{2}$ kommen noch zwei mikroskopische Dihexaeder vor, schärfer und stumpfer als $\frac{2}{11}a \frac{2}{11}$, in dessen Diagonalzone x fallen müßte. Unter z liegen zwei Rhomboeder, das untere $m' = \frac{2}{3}a \frac{2}{3}$ erkennt man schon durch seine zarte Horizontalstreifung, auch gab die Messung $m'/z = 154^\circ 25'$. Gemäß dieser Bestimmung muß die zarte Abstumpfung zwischen m' u der rechten Gegentrapezfläche $q = \frac{3}{11}a' \frac{3}{11}$ angehören, ihre Streifung folgt der Streifung von s . Aus der Streifung folgt mit Sicherheit, daß wir einen links gewundenen Krystall vor uns haben, wie ich mich an andern Exemplaren überzeugte. Obgleich dieser Ausdruck von $q = c : a' : \frac{3}{11}a' : \frac{3}{11}a'$ sich nicht durch Einfachheit empfiehlt, so ist er doch unter den Gegentrapezen bei Schweizer Krystallen der gewöhnlichste. Viel seltener kommt die Abstumpfung von Kante x/m' welche sich durch ihren reichlichen Zonencomplex sogleich als $u' = \frac{1}{4}a' \frac{1}{2}$ ergeben würde. Zwischen q und s liegt noch eine kleine rhombische Abstumpfung; ist die schmale Rhomboederfläche über $m' \frac{1}{4}a' \frac{1}{2}$, wie es den Anschein hat, so ist die Trapezfläche $\omega = \frac{2}{10}a' \frac{2}{10}$. Gewöhnlich lassen sich solche kleine Dinge nicht sicher messen, sie haben daher auch keinen besondern wissenschaftlichen Werth.

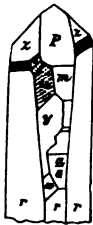
2. Der **rechte Bergkrystall** von Wallis läßt sich nach Betrachtung des linken schon mit einem Blick übersehen. Das Mikroskop ist für u und x sogleich entscheidend, facettirte Warzen (u) und horizontale elliptische Punkte (x) lassen gar keinen Zweifel, trotzdem daß beide dem bloßen Auge fast gleich matt erscheinen. lege ich die Säule mit voriger parallel, so spiegeln $m = \frac{1}{4}a \frac{1}{2}$ und $m' = \frac{2}{3}a' \frac{2}{3}$ in beiden ein, so daß es mit Rücksicht auf ihr Ansehen keiner besondern Messung bedarf. Das linke Gegentrapez $q = \frac{3}{11}a' \frac{3}{11}$ zwischen m' und u ist damit gegeben. Jetzt bleibt nur noch das Rhomboeder $\frac{1}{2}a \frac{1}{2}$, welches die breite Säule r treppenförmig macht, zum Messen sich schlecht eignet, aber mit x/r in eine Zone fällt.

3. **Kantstoppaß** aus der Schweiz mit rechten und scheinbar linken Haupttrapezen. Man bekommt das, sobald eine Trapezfläche die ganze Breite



auf P weisen auf verschiedene Individuen.

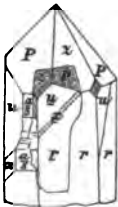
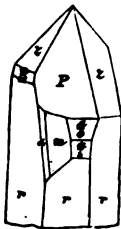
4. **Nachttopas** mit drei linken Trapezflächen $u y x$; u läßt sich durch ihr Ansehen und y durch Parallellegen gleich erkennen; x/y maß $2^\circ 34'$, woraus sich $y = \frac{1}{2}a \frac{1}{2}$ ergibt. Das obere Dihexaeder in der Zone r um muß $m = \frac{1}{2}a \frac{1}{2}$ sein, darunter aber sind viele Absätze, gegen welche y bauchig abschneidet, nur einer davon liegt entschieden mit yr in einer Zone, woraus sich der für die Projection sehr gefügige Ausdruck $\frac{1}{2}a \frac{1}{2}$ ergibt. Unter z liegen die horizontal gestreiften $\frac{2}{3}a' \frac{2}{3}$. Ein Strich über u deutet zwar noch eine höhere Trapezfläche an, aber sie läßt sich nicht messen, und bietet wenig Interesse.



5. **Gyroidflächen**, die in keine der Endkantenzonen des Dihexaeder fallen, waren früher nur wenig bekannt. Erst Hr. Descloizeaux hat sie nachgewiesen. Dahin gehört z. B. $\alpha = c : \frac{1}{2}a' : \frac{1}{2}a' : \frac{1}{2}a'$, zwischen x und r gelegen: $\alpha/r = 176 \cdot 31$, $\alpha/x = 131 \cdot 53$. Man kann eine solche Fläche kaum noch eintragen. Nach der Zeichnung fällt sie zugleich mit dem Rhomboeder $\frac{1}{2}a \frac{1}{2}$ in eine Zone, wodurch wenigstens ein Zonenpunkt unmittelbar festgestellt ist. Solcher „Faces isolées“ werden eine ganze Menge angeführt, um x allein 9, zwischen x/P , $x/\frac{a}{13}$, $x/\frac{a}{16}$ und $x/\frac{a}{26}$ gelegen. Wie unpaßend ihre Ausdrücke werden können, zeigt die Brasilianische

$$O = d^1 d^{\frac{1}{2}} b^{\frac{9}{8}} = \frac{1}{1}c : \frac{1}{2}a' : \frac{1}{2}a' : \frac{1}{2}a'$$

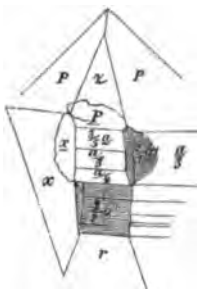
Wir können sie daher füglich übergehen.



6. **Zwillings-Andeutungen** findet man sehr oft, doch bleibt dabei meist einige Unsicherheit. Unser Exemplar aus dem **Wallis** zeigt drei auf einander folgende linke Trapezflächen $u u u$. Die mittlere u mit den Nachbarflächen $z p x r$ ist durch Streifen und dunkle Stellen derartig abgegränzt, als wäre sie zwischen die beiden andern u aufgeklebt. Gerade die kleine glänzende Rhomboederfläche $\frac{a}{3}$, die ich vergrößert darunter setze, ist sehr merkwürdig durch einen matten Nebestreif von $\frac{2}{3}a' \frac{2}{3}$. Mit bloßen Augen nimmt man den schmalen Streif kaum wahr, allein unter dem Mikroskop außerordentlich deutlich. Daraus

ergibt sich auch die Fläche $q = \frac{1}{11} a' \frac{1}{2}$. Würde man diese Streifen übersehen, so müßte man sie in die Zone $\frac{a}{3}/u$ stellen, und es käme dann $\omega = \frac{1}{10} a' \frac{1}{2}$. Zwar gibt Wackernagel eine solche Lage an, allein wenn der Quarz hemiedrisch ist, so kann das gar nicht sein. Ist Fläche x im Mikroskop erkannt, so ergibt sich Rhomboeder $\frac{1}{2} a \frac{1}{2}$ aus der Zone x/r .

7. **Krystall** abwechselnd mit drei rechten Trapezflächen x , drei matten Rhomboedern $\frac{2}{3} a' \frac{1}{2}$, drei glänzenden Rhomboedern $\frac{1}{2} a \frac{1}{2}$, und dreimal zwischen $\frac{1}{2} a$ und $\frac{2}{3} a'$ eine zarte Abstumpfung $\omega = \frac{1}{10} a' \frac{1}{2}$. Dabei herrscht P als Rhomboeder, kurz das Ganze zeigt dreigliedrige Ordnung, nur ein einziges mal unterhalb z , die sich durch die matte $\frac{2}{3} a' \frac{1}{2}$ sicher bekundet, kommen drei glänzende Rhomboeder $\frac{2}{3} a \frac{1}{2}$, $\frac{1}{2} a \frac{1}{2}$ und $\frac{1}{2} a \frac{1}{2}$, welche auf diese Seite nicht hingehören. Zugleich liegt links neben $\frac{2}{3} a'$ die schmale $\omega = \frac{1}{10} a' \frac{1}{2}$, ebenso rechts zwischen $\frac{2}{3} a$ und $\frac{2}{3} a'$. Aber auch in letzterer bemerkt man mit der Loupe wieder ein Stückchen der gestrichelten $\frac{2}{3} a' \frac{1}{2}$, woraus bestimmt hervorgehen dürfte, daß das umkreiste Stückchen unter z fremdartig als Zwilling daran steht, und den Krystall aus seiner rhomboedrischen Ordnung brachte. Zwischen $\frac{2}{3} a$ und der darunter folgenden $\frac{2}{3} a'$ ist daher auch ein einspringender Winkel.

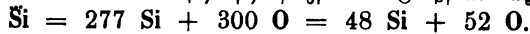


Optisch einaxig, attractiv + d. h. der ordentliche Strahl wird schwächer gebrochen als der außerordentliche, $o = 1,5484$, $e = 1,5582$. Circularpolarisation pag. 121, nur dünne Platten zeigen in der Turmalinzange ein Kreuz, dickere blos farbige Flächen. Auch im Polarisationsmikroskop bleibt innen ein farbiger Fleck, wo das schwarze Kreuz nicht hinreicht. Dreht man den Nicol rechts, so durchlaufen die rechts gewundenen blau roth gelb, die links gewundenen blau gelb roth. Dieß hängt, wie schon Herschel bemerkte, von der Lage der Haupttrapezflächen u x ab, welche mit der Streifung von s in engster Verbindung stehen. Die Gegen-trapeze scheinen ohne Einfluß. Legt man zwei gleich dicke links und rechts drehende Platten übereinander, so sieht man im Polarisationsmikroskop die bekannten Airy'schen Spiralen. Nach Dorn (Pogg. Ann. 40. 614) gibt es auch an den Individuen mit linken und rechten Haupttrapezen Stellen, wo man Airy'sche Spiralen sieht, das würde dann der directeste Beweis für ihre Zwillingnatur sein. Bei Brasilianischen Amethysten sieht man die Spiralen häufig. Auch die fortificationsartig gestreiften Quarze zeigen unregelmäßig concentrische Platten, welche abwechselnd zu den links und rechts drehenden gehören. Brewster Treatise on Optik pag. 286. Klare Bergkrystalle finden in der Optik mehrfache Anwendung.

Härte 7, Gew. 2,65, aber bei fremdartiger Beimischung darüber oder auch darunter gehend. Das Steinheil'sche Normalkilogramm pag. 138 hat 2,6509. Es ist krystallinische Kiesel-erde, die durch Erhitzen in die amorphe von 2,2 Gew. übergeführt werden kann (Pogg. Ann. 108. 1). Viele schöne

Farben und besondere Klarheit zeichnen ihn aus. Reibt man Bergkrystalle leicht an einander, so geben sie in der Finsterniß leuchtende Funken. Gerieben zeigen sie Glaselectricität. Diamagnetisch.

Vor dem Löthrohr unschmelzbar, allein im Knallgebläse kann man ihn zu amorphen Tropfen schmelzen, die ins Wasser fallend nicht zerspringen, durchsichtig bleiben, dem Hammer großen Widerstand leisten, und ihre optischen Eigenschaften verlieren. Man hat sie zu mikroskopischen Linsen vorgeschlagen (Gaudin *Compt. rend.* 1839. 711). Mit Soda (Na C) auf Kohle unter Draußen eine klare Glasperle, wenn man genug Quarz hinzusetzt (Ti verhält sich zwar ähnlich, gibt aber eine unklare Perle). Setzt man nicht genug hinzu, so wird die Kohlensäure nur unvollständig ausgetrieben und die Perle deshalb nicht klar. Kiesel-erde im Ueberschuß wird dagegen gelöst, falls man die Masse nur noch schmelzen kann. Das Glas ist in Wasser löslich, erst wenn man noch eine andere Basis Ca , Pb u. hinzusetzt, wird es unlöslich. Von Phosphorsalz wird Kiesel-erde nicht angegriffen, diese schwimmt unverändert in der Phosphorsalzsäure. Flußsäure ätzt Quarz.



Bildung findet auf dreierlei Weise Statt: 1) auf organischem Wege. Die Asche von Fahren der Vogelfedern besteht mehr als $\frac{1}{4}$ aus Kiesel-erde (Pogg. Ann. 70. 386); in den Seeschwämmen findet man oft große Mengen eigenthümlicher Kieselnadeln, die sich im Gebirge vortrefflich erhalten haben (Handbuch der Petrefactenk. pag. 667). Unter den Pflanzen erzeugen besonders die Equiseten und Gräser Mengen, die sich in den Knoten einiger Bambusrohre in porösen krystallinischen Klumpen ansammeln (Tabascheer Poggendorf Ann. 13. 322). Auch die Oberhaut abdorrender Baumblätter, die Stacheln der Brennnesseln u. enthalten ein zusammenhängendes Gewebe amorpher Kiesel-erde. Besondere Bedeutung haben jedoch die kleinen Kieselpanzer, welche Ehrenberg zu den Thieren, Andere aber zu den Diatomeen unter den Pflanzen stellen. Wenn diese Dinge coaguliren, so könnten sie allerdings zu Kieselknollen Veranlassung geben. 2) Auf nassem Wege haben sich nicht bloß Kieselmassen angehäuft, sondern auch die schönsten Krystalle gebildet: dafür liefern z. B. die Bergkrystalle in den Kammern von Ammoniten des Biaz den schönsten Beweis. Man findet nicht selten Krystalle mitten im Knollen des Feuersteins, der in der weißen Kreide sein Lager hat, wo von Feuerwirkung gewiß nicht die Rede sein kann. Zwar bekam Senarmont (*Ann. Chim.* 1851. XXXII. 142) in verschlossenen Glasröhren bei Erhitzung des Wassers auf 200° bis 300° kleine Krystalle, allein dennoch bleibt noch Natur unsere Lehrmeisterin, denn es ist mehr als wahrscheinlich, daß jene prachtvollen zum Theil riesenhaften Krystalle auf den Spalten der Hochalpen ein Niederschlag aus wässriger Lösung sind. 3) Auf trockenem Wege kann man zwar krystallinische Bildung nicht ganz läugnen, wie unter andern die Quarzpartikeln in den Graniten und Porphyrn, wenn anders dieselben heiße Laven bildeten, nur Feuerprodukte sein können, indessen die Masse der Krystalle verdankt dem Feuer keineswegs ihr Dasein. Ohne Zweifel haben auch überheizte Wasserdämpfe beim Absatz in Spalten der Vulkane eine Rolle

gespielt, wie noch in unsern Höhlen Kieselersde in mehrlartigen Massen oder kleinen dendritischen Anflügen von 2,3 Gew., aber nicht in Kry stallen vorkommt. Vergleiche den schneeweißen seidenglänzenden Eisenamiant (Pogg. Ann. 85. 402. Gurkt, Pyrogenete künstl. Mineral. 1857. 40). Bedenklich scheint mir das Kry stallisiren von natürlicher Quarzmasse in Sammlungen (Leonhard's Jahr. 1859. 440).

Die Verbreitung der Quarze von verschiedenstem Aussehen ist außerordentlich, namentlich im Ur- und Flözgebirge. Da er unter den gewöhnlichen Gesteinen der härteste ist, und sich allen chemischen Zersetzungen auf das hartnäckigste widersetzt, so tritt er als Geschiebe, Kies und Sand nicht selten massenhaft in den jüngern Formationen auf. Seiner großen Härte wegen wird er als Reib- und Glättstein, Mühlstein, Polirmittel ac. gesucht. Bei Schmelzprocessen bildet er mit Fe und Ca eine Schlacke, die leicht vom Metall abfließt. Porzellan und Steingut, Glas und Smalte hängen in ihrem Werth von der Beschaffenheit des Quarzes wesentlich ab, der Anwendung als Halbedelsteine nicht zu gedenken.

Fuchs (Pogg. Ann. 31. 577) theilt die Quarze chemisch in drei Theile: In Kalilauge unlösliche, dahin gehört der kry stallisirte, nebst Hornstein und Kieselstiefer, man hat diese beiden auch wohl für versteckt kry stallinisch (kryptokry stallinisch) gehalten; in Kalilauge lösliche, das ist der Opal; endlich die Mischung aus löslicher und unlöslicher Kieselersde, Chalcodon, Feuerstein. Nach Kammelsberg (Pogg. Ann. 112. 177) nicht ganz begründet.

A. Kry stallinische Quarze.

Sie haben innerlich Glasglanz (Quarz hyalin) und einen glasartigen (muscheligen) Bruch, woran man sie auch verunreinigt leicht erkennt.

1. Bergkry stall, *κρύσταλλος*, Eis, Plinius hist. nat. 37. 9 gelu vehementiore concreto; non alibi certe reperitur quam ubi maxime hibernae nives rigent; *glaciemque esse certum est*.... laudata in Europae alpium jugis... E caelesti humore puraque nive id fieri necesse est; ideo caloris inpatiens, nisi in frigido potu abdicatur. Quare sexangulis nascatur lateribus non facile ratio inveniri potest.... ita absolutus laterum laevor est ut nulla id arte possit aequari.... nos liquido adfirmare possumus in cautibus Alpium nasci adeo inviis plerumque ut fune pendentes eam extrahant.... (Scheuchzer Naturg. Schweizland. III. 80. Saussure Alpenreise III. 107). Diese und andere merkwürdige Worte des Plinius beweisen deutlich, daß die Römer mit dem Alpinischen Vorkommen sehr bekannt waren, und großen Luxus damit trieben. Als Nero vom Verluste seiner Herrschaft hörte, zerbrach er im Zorn seine zwei Kry stallbecher, „um sein Jahrhundert damit zu strafen, daß nicht ein anderer daraus trinken könnte.“ Die römischen Aerzte bedienten sich der Kry stallkugeln nach Art der Brenngläser, um damit die Wunden auszubrennen, Orpheus pag. 1. In den Alpen sind besonders zweierlei auszuzeichnen: wasserklare und schwarzbraune, man meint durch flüchtige organische Substanz gefärbt (sogenannter *Καυτός*, (Morion Plin. 37. 68). Die gelben heißen schon beim Agricola

(704) **Citrin**, sind aber nicht häufig (Cairngorm auf Arran); im Handel kommen sie zwar oft von schönster weingelber Farbe vor, doch mögen das meist gebrannte Amethyste von Brasilien oder Rauchtopase von Schlefien sein.

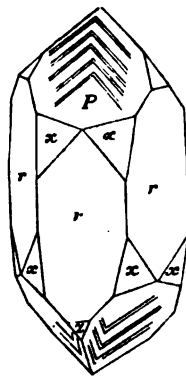
Merkwürdig sind die häufigen Einschlüsse von Chlorit, Strahlstein, Turmalin, Asbest, Rutil zc. Die grüne Farbe der Nadeln gleicht oft einem ins Eis eingeschlossenen Grase (Scheuchzer Naturg. Schweizerlandes III. 69), was die Alten in ihrer Vorstellung vom Eise sehr bestärken mußte; die von New-York enthalten sogar Stücke bituminöser Kohle. Noch auffallender als die festen sind die flüssigen und gasförmigen Einschlüsse. Schon Claudian machte 7 Egidramme de crystallo, cui aqua inerat. Die Flüssigkeit läßt sich an einer beweglichen Luftblase erkennen, und besteht aus Wasser oder blattiger Substanz, 15 bis 20mal expansibeler als Wasser (Davy Ann. Chim. XXI. 122), Simmler (Pogg. Ann. 105. 460) vermuthet sogar liquide Kohlen säure. Erwärmt man daher die Kry stallen ein wenig, so kann die Blase verschwinden. Auf Madagaskar kommen Stücke vor, die auf einem Quadrat Zoll Fläche wohl an Tausend feiner Blasen zeigen, dieselben könnten den emphysematischen Geruch erklären, welchen man beim Aneinanderreiben wahrnimmt (Dufrenoy Trait Minér. II. 92).

Die klaren werden zu Kronenleuchtern, Ringsteinen (Mahländer, Böh-mische Steine), Brillengläsern zc. verschliffen, unter letztern im Handel vor-kommenden sollen immer viel mehr links- als rechtsdrehende sein (Pogg. Ann. 40. 610). Durch gehörige Verbindung verschiedener Prismen kann man sogar Distanzen und Höhen messen (Rochon's Micrometer). Jene mit eingeschlos-senen grauen faserigen Kry stallen (Haarsteine) machen einen besonders schönen Effekt, und wenn auf den Sprüngen Regenbogenfarben vorkommen, so heißen sie irisirender Quarz, während Plinius 37. 52 unter dem Namen Iris Bergkry stallsäulen versteht, durch welche man wie durch ein Glasprisma ein Spectrum erzeugen könne. Früher stand Bergkry stall in bedeutend hö-herem Werth als jetzt. Zunächst drückten die Bergkry stallen von Madagaskar den Preis herab, wo man im Gebirge Befoure wasserhelle Kry stallen von 26 Fuß im Umfange findet (Annales des voyages 1809. II. pag. 88)! Auch in Oberstein trifft man bei den Steinschleifern Fässer voll der klarsten Geschiebe aus Brasilien. Silliman (Amer. Journ. XV. 34) erwähnt bei Waterbury 2 Fuß lange Säulen von 175 \mathcal{R} Schwere. Da klingt es heute ganz fabelhaft, wenn im Jahre 1735 ein „Kry stallkeller“ am Zytkenstock im Berner Oberlande für 45,000 fl. nur 1000 Etr. Kry stallen lieferte. Im Bisepthal von Oberwallis fan-den sich Prismen von 1400 \mathcal{R} (Gruner Versuch eines Verzeichniß der Mineralien des Schweizerlandes 1775. pag. 56) und noch heute stellen die zahlreichen Händler im Chamouni am Mont Blanc die prachtvollsten Kry stallen zum Verkauf aus, die aber immerhin zu hohen Preisen weggehen. Denn sie pflegen in den unwegsamsten Gegenden der Hochgebirge vorzukommen, wo sie nur mit großer Mühe und Lebensgefahr von sogenannten Strahlern gewonnen werden (Saus-sure, Voy. Alp. III. 202). Quarzgänge, wulstförmige Hervorragungen und hohler Klang deuten die Keller im Innern an. Kleinere Kry stallen bringen die Gletscher in großer Zahl mit herab. Erwähnung verdienen die klaren Drusen

im schneeweißen Marmor von Carrara, und die losen „Marmaroscher Diamanten“ im Mergeln und Sandsteine der Karpathen. Außer dem Riesengebirge sind unsere niedern deutschen Urgebirge arm an solchen Bildungen, nur daß man sie hin und wieder selbst von großer Klarheit in den Kalksteinen und Mergeln der Flözgebirge findet, und zwar meist um und um krystallisirt.

2. Amethyst, Plinius 37. 40, *αμethystος* nicht trunken, *causam nominis afferunt, quod usque ad vini colorem accedens priusquam eum degustet in violam desinit fulgor*.... Man muß bei dieser blauen Färbung aber an die rothen italienischen Weine denken. Es werden dann fünferlei aufgezählt, *quintum ad viciniam crystalli descendit*. Die schöne blaue Farbe des Amethystes muß man wohl als das wesentlichste Kennzeichen ansehen, man leitet sie von Mn ab, was nebst etwas Fe, Al &c. ihn verunreinigt. Im Feuer verliert er seine schöne Farbe, geht durchs Gelbe und Grüne ins Farblose. Von dieser merkwürdigen Eigenschaft machen die Steinschneider Gebrauch, so daß viele der geschliffenen „Aquamarine und Goldtopase“ nichts weiter als entfärbte Amethyste sind, denn in Oberstein kann man große Fässer mit solchen bunt durcheinander geworfenen Bruchstücken gefüllt sehen. Weil eisenfaures Kali K Fe satt amethystblau gefärbt ist und sich der Amethyst sehr leicht farblos brennt, so hat man auch wohl an Eisenfärbung gedacht. Indes da Mangan nur in der äußern Flamme violblaue, in der innern dagegen farblose Gläser gibt, das Eisen aber außen gelbe, innen grüne, und da ferner die Farbe des Mangans schon verschwunden ist, wenn die gelbe Eisensfarbe sich noch zeigt, so ist obiger Farbenwechsel auch bei Manganfärbung chemisch leicht erklärlich. Freilich behauptet Heintz (Pogg. Ann. 60. 525) in einem intensiv gefärbten Brasilianischen nur $\frac{1}{100}$ p. C. Mangan gefunden zu haben, was zur Färbung nicht hinreichen könnte. Vergleiche auch die Entfärbung des Glases durch Braunstein.

Der Amethyst gehört seiner Klarheit nach noch zu den halbedeln Gemmen, auch sind die Säulen gewöhnlich kurz und ihr Ende einfache Dihexaederspitzen. Eigenthümlich sind fortificationsartige Streifungen, die bei Brasilianischen besonders deutlich hervortreten, und welche nach Brewster wechselnde links und rechts drehende Platten anzeigen (Schweigger-Seidel Journ. Chem. 1831. LXI. 1), so daß derselbe optisch alle diejenigen Quarze zu den Amethysten stellen wollte, welche diese Eigenschaft haben, mögen sie gefärbt oder nicht gefärbt sein, was mineralogisch aber nicht angeht. Schon auf den Krystallflächen werden die Kapseln durch lichtere und dunklere Streifen angedeutet, die auf den Rhomboederflächen P den Endanten P/P parallel gehen. Außer dieser Oberflächensreifung sieht man auch im Innern noch dunklere und lichtere Streifen, welche alle dieser Richtung folgen. Das Dichroskop zerlegt zwar die Farben nach vielen Richtungen des Krystalls in Blau und Roth (Pogg. Ann.



70. 551), doch ist die Erscheinung nicht bei allen in gleicher Weise auffallend. Bemerkenswerth sind die linken und rechten Trapezflächen x , welche in Brasilien und auf den Färöer Inseln sehr regelmäßig wie bei Dreikantnern auftreten. Sie zeigen daher stellenweis auch Airy'sche Spiralen, was sie optisch höchst interessant macht.

Früher standen Amethyste in bedeutendem Ansehen, allein in unserm Jahrhundert hat sie Brasilien in zu großer Menge geliefert, als daß sich die Preise hätten halten können, es müßten daher ihnen auch nur wenig Glasflüsse untergeschoben werden. Hauptfundorte liefern in Achattugeln: Oberstein, Theiß in Tyrol, der Schwarzwald bei Baden und Oppenau, auch die Brasilianischen gehören großen Achattugeln an, und die von Nertschinsk finden sich wenigstens mit Chalcedon. Sehr blaß sind die von Mursinsk aus Quarzgängen im Granit, bei Chemnitz in Ungarn kommen sie häufig auf Erzgängen vor. Am schönsten gefärbt sind die Geschiebe von Ceylon, sehr blaß dagegen die Haaramethyste von Botanybay in Neuhollland. Ueberhaupt verbreitet sich die Farbe oft unregelmäßig in der Masse, so daß dunkle Stellen an lichtern wolfig absetzen.

3. G e m e i n e r Q u a r z. Halb durchsichtig, kurze Säulen, aber scharfe dihexaedrische Enden. Die ungefärbten schaaren sich zu prächtigen Drusen, welche auf Erzgängen ein gewöhnliches Gangmittel bilden. Bekannt sind die schönen Gersdorfer die dortigen Flußspäthe überzuckend, ähnlich kommen sie auf der Grube Clara bei Schappach auf Schwefelspath vor, der Buntefandstein ist in manchen Gegenden des Schwarzwaldes (Bulach) von den Drusen ganz durchzogen, rein schneeweiß kommen sie in Chalcedonhöhlen des Mühlsteins von Waldshut im südlichen Schwarzwalde vor. Wie colossal die Bildungen auch hier noch werden, zeigen die Quarzgänge in der Grauwacke am Streitfelde bei Eschach ohnweit Usingen in Nassau, die Köpfe der einzelnen Dihexaeder erreichen wohl einen Fuß Dicke, statt der Säule sind Absonderungen mit fortificationsartigen Streifen da, einzelne sehr unreine Lagen zeigen das allmähliche Wachsen deutlich an. Wenn der gemeine Quarz sich färbt, so hat er allerlei Namen bekommen:

P r a s e m (*πράσιος* lauchgrün) Plinius. 37. 24 vilioris est turbae Prasius. Werner glaubte ihn in einem durch Strahlstein gefärbten Quarz mit Fettglanz von Breitenbrunn zwischen Schwarzenberg und Johanneorgenstadt wieder zu erkennen. Man findet ihn als Laubwerk am Mosaik.

Rother Eisenkiesel, besonders im Gyps von Südfrankreich und Spanien eingesprenkt, daher um und um krystallisirt, außer Säule und Dihexaeder kommt gar keine Fläche vor, diese aber in außerordentlicher Regelmäßigkeit. Wegen ihrer durch Eisenoxyd ziegelrothen Farbe von den ältern Mineralogen fälschlich Hyacinthen von Compostella genannt, weil sie zu St. Jago di Compostella in besonderer Schönheit vorkommen. Trotz ihrer Einfachheit zeigen sie nach Hr. Descloizeaux im polarisirten Lichte Zwillingverwachsungen, wie der Amethyst (Ann. Chim. 1855. XLV. 99).

Gelber Eisenkiesel, durch Eisenoxydhydrat intensiv ochergelb, am schönsten in den Salbändern eines Kalkspathganges im Uebergangskalk von

Isferlohn, wo er dreifingerdicke Platten von beliebiger Größe bildet. Die derben und unkrystallisirten können kaum noch wegen der Zufälligkeit ihrer Mischung Gegenstand mineralogischer Untersuchung sein.

Rauchquarz hat man wohl die rauchgrauen Krystalle aus dem mittlern Muschelfalk des Schwarzwaldbrandes genannt, wo sie ringsum gebildet bei Deschelbronn zwischen Baihingen und Pforzheim sparsam auf den Aedern aufgefunden werden. Schon die *Selecta Phys. oecon* 1754. III. 108 erwähnen sie, und nach Breithaupt (*Paragenesis* pag. 27) sollen sie etwas Schwefel enthalten. Ja bei Chanteloub (Haute Vienne) zeichnet man sogar einen bituminösen „Stinkquarz“ aus.

Derbe meist nicht austrystallisirte aber doch noch krystallinische Quarze finden sich besonders eingesprenkt im Granit. Diese Körner können stellenweis sehr groß werden, namentlich wenn der (Gang-) Granit überhaupt sehr grobkörnig wird, wie z. B. zu Zwiesel bei Bodenmais im Baierschen Walde, wo sich der bekannte Rosenquarz von schönster rosenrother Farbe ausscheidet, die Farbe soll nach Berthier vom Bitumen, nach Fuchs von 1,5 Ti herriühren. Katharinenburg. Milchquarz hat viel Trübes und einen starken Stich ins Blau. Sapphirquarz (Siderit) bildet im Gyps von Golling (Salzburg) mit Strahlstein und unreinem Kalkspath indigblaue Aern, und ist von einer matten, graublauen erdigsafrigen Substanz durchzogen. Häufig haben diese derben einen Fettglanz, und heißen dann Fettquarz, wie bei Bodenmais, wo er aber leicht mit Dichroit verwechselt werden kann. Lichtgrün in den Achaten von Brasilien. Lévy (*Descr. miner.* I. 225) erwähnt sogar aus Peru smaragdgrüne. Aventurin wird viel genannt, aber findet sich selten schön: es ist ein durch Sprünge zum Körnigen sich neigender Quarz, meist röthlich. Von den Sprüngen her zeigen sich leuchtende Punkte. Geschiebe in Spanien. Zu Katharinenburg wird ein solcher Quarzfelsen von Koliwanst im Altai zu großen Vasen verschliffen. Der Name kommt aus dem Französischen aventure, weil man durch Zufall ähnliche Glasstücke fand. Berühmt unter den künstlichen ist der röthliche von der Insel Murano bei Venedig, der neuerlich wieder viel in den Handel kam, dessen Darstellungsweise man aber nicht mehr kennt (Wöhler in *Pogg. Ann.* 58. 226). Es flimmern daraus zahlreiche kleine Octaeder von Kupfer hervor, welche sich im Glasflusse gebildet haben. Mit der Loupe erkennt man sehr deutlich gleichseitige Dreiecke an den kleinen Kryställchen. Wahrscheinlich durch Eisen reducirtes Kupferoxydul (*Dingler Polyt. Journ.* 1846. 99. 465). Bessan (*Zenisch Pogg. Ann.* 106. 227) soll ein eingliedriger Fettquarz aus dem Melaphyr von Zwickau sein. 99,5 Kieselersde enthaltend kann er mit allen seinen Eigenschaften nur zum Quarz gestellt werden. Leider macht die Seltenheit guter Krystalle die Thatsache noch unsicher.

Ragnauge hat man einen krystallinischen Quarz inwendig mit parallelen (Amianth-) Fasern durchzogen genannt. Diese Fasern zeigen einen schönen Seidenglanz, der aus dem Innern der krystallinischen Masse reflectirt. Am liebsten gibt man dem Steine einen muggelichen Schliff von der Form einer Kaffeebohne. Bei der Bewegung spielt das Licht nach Art des Lichts

im Auge der Ragen. Die Singalesen (Ceylon) sind auf ihre grünlichen sehr stolz, auch kommen allerlei trübe rothe, braune, gelbliche Farben vor. Es mag wohl sein, daß ihn Plinius 37. 47 schon unter *Asteria* (*inclusum lucem pupilla quadam continet*) begreift. Dem Indischen ähnliche schillernde Quarze werden aus dem Serpentin von Trefseburg im Bodethal und aus einem Hornblendegestein von Hof angeführt. Doch hat hier der Charakter schon sehr verloren, es ist nur gemeiner Quarz, worin etwas Asbest steckt oder geradezu Asbest, den etwas Quarz durchzieht.

Faserquarz. Zu strahligen und fasrigen Bildungen zeigt zwar der Quarz gar keine besondere Neigung, doch kommen zu Issoir (Auvergne) fasrige Amethyste vor. Die Steinkohle von Löbjeun bei Halle durchziehen stellenweis weiße fasrige Schnüre, die wie Fasergyps aussehen, aber aus Kiesel-erde bestehen. Ähnlich die Braunkohle von Trepitz. Am ausgezeichnetsten sind die lichtgelblichen Quarzschnüre im kieseligen Brauneisenstein von Katakoo am Dranje River: fingerbreite Schnüre, die Faser senkrecht gegen das Salzband, wie der schönste Fasergyps. Werners Faserkiesel (Fibrolith) gehört hier nicht hin, denn er enthält wesentlich kiesel-saure Thonerde.

B. Chalcedone (Glasopfsquarze).

Chalcedonier Luther Off. Joh. 21, 19. Der Name stammt im Mittelalter von Chalcedon in Kleinasien (Byzanz gegenüber), von wo er in den Handel kam, da er am Fuße des Olympus bei Brussa gefunden wird. Der Stein selbst schon den ältesten Völkern unter verschiedenen Namen bekannt.

Eine dichte matt durchscheinende Quarzmasse mit fein splittrigem Bruch, versteckter Faserung, und schönen wenn auch getrübten Farben. Verbindet Hornstein mit Opal, und soll daher nach Fuchs ein Gemisch aus beiden sein, indem sich mit Kalilauge Opalmasse ausscheiden lasse. Dafür scheint auch die Art seiner Verwitterung zu sprechen, indem er Schichtenweis ganz matt wird, fogar an der Zunge klebt; das kann nur durch Verlust von Substanz geschehen. Aber gerade diese Stücke sind für die Steinschleifer am wichtigsten, denn sie können auf das schönste mit färbenden Mitteln getränkt werden, was ihren Werth erhöht, den Mineralogen aber auch täuscht. Die meisten Chalcedone in Vulkanen und Mandelsteinen mögen wohl nur ein Produkt des Wassers sein.

Ungeistreifter Chalcedon bildet ausgezeichnete nierenförmige, traubige und zapfenförmige Gestalten, eine Neigung zur undeutlichen Faserstructur ist oft zu erkennen, während die concentrische Schichtung ganz zurücktritt. Von besonders zartem etwas graulichweißem Ansehen finden sie sich in Drusenräumen der Vulkanischen Gesteine auf Island und den Färöer Inseln, in Ungarischen Erzgängen überfintern sie die feinsten Nadeln von Grauspießglanz, dessen leichte Schmelzbarkeit an Bildung auf heißem Wege gar nicht denken läßt. Ausgezeichnet smalteblaue kennt man von Trefzhan in Siebenbürgen, dabei kommen auch sehr schöne scheinbar würfelförmige Krystalle vor, die man ziemlich allgemein für Aetherkrystalle hält. Allein wenn man bedenkt, wie gern gerade in Chalcedonkugeln der Amethyst sich rhomboedrisch ausbildet,

wo über die Deutung der würfelig scheinenden Krystalle gar kein Zweifel sein kann, so ist es mehr als wahrscheinlich, daß auch die blauen das Rhomboeder des Quarzes seien, um so mehr als schon der glänzende Bruch eher auf krystallinischen Quarz als Chalcedon deutet.

Gestreifter Chalcedon, der berühmte Achates, Plinius 37. 54, in magna fuit auctoritate nunc in nulla. Reperta primum in Sicilia juxta flumen ejusdem nominis, postea plurimis in terris numerosa varietatibus; vocatur enim jaspachates, cerachates, zmaragdachates, haemachates, leucachates, dendrachates.

Große öfter mehrere Centner schwere Kugeln bestehen aus concentrischen Schichten, die wie die Anwachsstreifen von Holz mit bloßem Auge leicht erkannt werden. Zwischen diesen Schichten gewahrt man bei dünngeschliffenen Platten schon mit bloßem Auge äußerst gedrängte wellige Linien, die offenbar nichts als Niederschläge bedeuten. Daher verhält sich auch Achat nicht indifferent gegen das Licht (Philos. Transact. 1814. 107). Gefühlte Glasplatten im polarisirten Licht zeigen durch ihn gesehen ein Kreuz. Nach Hr. Prof. Reusch hat die zarte Streifung auch die Wirkung der Gitter. Brewster zählte 17,000 Schichten auf 1 Zoll Dicke (Pogg. Ann. 61. 120). Viele dieser Achatkugeln führen nach Innen Anhäufungen von Amethyst, der aber niemals in die Mischung der Achatmasse als solche eingeht, und außerdem zeigen sie noch hohle Räume. Die Kiesel Erde muß sich von Innen her allmählig niedergeschlagen haben, so daß die innern Schichten jünger sind als die äußern. So lange die Kugelwand dünn war, kann man sich das Eindringen von Quarzsubstanz wohl erklären, allein je dicker die Wände, desto schwieriger die Sache, doch findet man häufig einen röhrenförmigen Zugang, der gewöhnlich zuletzt durch Amethyste als dem letzten der Niederschläge verstopft wird. Große Kugeln haben viele solcher Zugänge (Einspritzlöcher). Sie waren ursprünglich (wahrscheinlich durch Gasblasen gebildete) hohle Räume, gern an einer Seite schneidig, oder zu zwei und mehreren zusammengefloßen. Solche hohlen Kugeln mit einer papierdicken Achatwand und einer innern Amethystdruse finden sich bei Idar und Oberstein in ungeheurer Menge. Je nachdem die Ausfüllung nun vor sich ging, hat man den Abänderungen Namen gegeben, womit seit alter Zeit viel Spielerei getrieben ist. Die Phantasie erkannte darin allerlei Figuren: so spricht schon Plinius 37. 3 von einem im Alterthum hochberühmten Stein des Pyrrhus, in qua novem Musae et Apollo citharam tenens spectarentur. Im Mittelalter wurden es Heiligenbilder (Athan. Kircher Mundus subterraneus II. pag. 31) und heute beschäftigt uns wenigstens noch ihr feiner wunderbarer Bau: die prachtvollen Regenbogenachate vom Weisselberge bei Oberkirchen ohnweit St. Wendel zeigen in dünnen Platten gegen das Licht gesehen die schönsten Regenbogenfarben, indem jeder Anwachsstreifen besondere Farben durchläßt, darin schwimmen schichtenweis zahllose rothe Punkte von Eisenkiesel. Da eine durchgeschnittene Kugel gestreift erscheint, wie das Bild einer Bastion, so nannte Werner dieselben Fortificationsachat. Besonders grellfarbig mit Weiß und Roth setzen die Streifen auf jenen mächtigen sächsischen Achatgange bei

Schlottwitz ohnweit Glashütte ab, daher heißt derselbe *Banda chat*, zumal da in kleinen Stücken die Streifen wenig Krümmung zeigen. Wo dieser Gang zertrümmert wird, haben sich zahllose scharfgedigete Bruchstücke gebildet, die von schönem blauem krystallinischem Amethystr wieder zusammengefügt sind, *Trümmerschat* (Epochen der Natur pag. 258). Gar lieblich ist das weißgestreifte Smalteblau der Indischen (Leonhard's Jahrb. 1858. 221), welche man in Oberstein bekommt. Die Muscheln des Quadersandsteins von Blackdown (Devonshire) sind oft in den feinsten, selbst gestreiften, Chalcedon verwandelt.

Onyx (Onyxel, *Onyx Nagel*) heißen Theophrast und Plinius 37. 24 geschnittene Steine, die aus zwei bis drei Lagen bestehen, was die Vergleichen mit dem Nagel auf dem Fleische veranlaßte. Die Schönheit ihrer Farbe ist jedoch lediglich Kunstprodukt. Daher sind gerade die matten und verwitterten Kugeln für die Steinschneider am werthvollsten. Arabischer *Onyx* Plinius 37. 24. Eine kohl-schwarze Schicht wird von einer schneeweißen gedeckt. Sie dienen hauptsächlich zu Cameen oder Intaglien, d. h. aus der weißen Lage wird eine erhabene oder vertiefte Figur geschnitten, die sich prachtvoll auf der schwarzen Unterlage ausnimmt. Es sind uns viele davon aus dem Alterthume überkommen. Brasilien führt sie neuerlich in großer Menge aus, der Centner Cameenstein davon in Oberstein roh schon mit 2500 fl. bezahlt. Zugesechnittene Steine werden in mit Wasser verdünnten Honig gelegt, mehrere Wochen lang auf dem Ofen warm erhalten und dann in Schwefelsäure auf glühende Kohlen gestellt. Nach wenigen Stunden wird eine Lage schwarz, ohne Zweifel in Folge von Ausscheidung der Kohle des Honigs, die andere schneeweiß: ein schlagender Beweis von der innern Verschiedenheit der Schichten. Freilich ist in Beziehung auf Reinheit der Werth der einzelnen außerordentlich verschieden. Die schönsten macht man aus dem Brasilianischen.

Carneol (caro Fleisch) nach seiner gelblichrothen Farbe genannt, die durch Glühen bedeutend erhöht wird, wahrscheinlich weil sich das färbende Eisenoxydhydrat in Eisenoxyd verwandelt. Uebrigens gehören nicht alle Carneole zu den gestreiften. Der Name entstand im Mittelalter (Agricola 624), die Alten nannten ihn *Sarda* Plinius 37. 31: *primum Sardibus reperta . . . laudatissima circa Babyloniam, cum lapicidinae quaedam aperirentur, haerens in saxo cordis modo*. Das erinnert lebhaft an die schneidige Form der Kugeln. Auch die Alten behandelten ihn schon mit Oelen und Säuren. *Sardonix* Plinius 37. 23 *Romanis hanc gemmam fuisse celeberrimam . . . veluti carne ungui hominis inposita*, er bestand also aus einer rothen und weißen Lage. Der berühmte Ring des Polykrates war ein solcher, Plinius 37. 2, Augustus legte ihn in einem goldnen Horn auf dem Altar der Concordia nieder. Besonders schön sind die vom Weisselberge, welche aus drei Lagen bestehen: oben ziegelroth, in der Mitte schneeweiß, unten milchweiß mit feinen Punkten von Eisentiesel. Auch diese Färbung wird künstlich erzeugt oder doch verschönert. Die dritte Lage wurde häufig zum Haare der Camee verwendet. Gegenwärtig schleift man einfarbigen *Carneol*

häufig zu Pettschaften. Das Hebräische *Odem roth* 2 Mos. 28, 17 übersetzt Luther durch *Sarder*, so ausgezeichnet war der Stein im Alterthum!

Zwischen gestreiften und ungestreiften Chalcedonen ist zwar kein scharfer Gegensatz, doch nähern sich letztere durch die Feuersteine leichter dem Hornstein, und nehmen dabei allerlei bunte Farben an. *Mocha steine* (nach dem Arabischen Hafen, von wo man sie früher bezog) oder *Moosachat* nennt man die Stücke mit schwarzen Dendriten, von eingedrungenem Manganoryd herrührend, diese sind aber Algen und Moosen oft so täuschend ähnlich, daß die Frage noch gar nicht entschieden ist, ob nicht organische Einschlüsse sich darunter befinden. Im *Carneol* hielt man sogar lange das Färbende für organische Substanz (Pogg. Ann. 26. 552). Feinz widerlegt das zwar, allein es finden sich doch viele Achaten unter Verhältnissen im Gebirge, wo organische Einschlüsse leicht denkbar wären. Göppert (Karsten's Archiv 1850. XXIII. 107) fand bei Oberstein nichts Organisches.

Plasma nannte Werner nach Vorgang der Antiquare auch bis berggrüne Gemmen aus den Ruinen Roms. Solche Massen kommen heute noch aus Calcutta nach Oberstein, auch hat man mehrere grüne Chalcedone z. B. die bekannten vom Hausstopf bei Oppenau im nördlichen Schwarzwalde so genannt. *Heliotrop* ist ein Plasma mit rothen Chalcedon-Punkten, die durchsichtiger sind als die grüne Masse. Die orientalischen nehmen eine sehr schöne Politur an. Die Schottischen haben schon einen halbmatten *Jaspisbruch*. *Heliotropum* Plinius 37. 60 *porraceo colore, zangueineis venis destincta* konnte freilich ein ganz anderer Stein sein. *Achatjaspis* (oder schlechtthin schon *Jaspis*) nennen die Steinschneider die unreinern stark gefärbten Achatmassen. Solcher (rother) *Jaspis* kommt unter andern ausgezeichnet in den grauen Dolomiten unter dem Buntensandstein des Schwarzwaldes vor (Schramberg, Alpirsbach), im Weißen Keupersandstein von Schmiedefeld bei Sulzbach (Rocher). *Cacholong* (der Name soll mongolischer Abstammung sein, *Cacholonius* Wallerius Miner. 272) heißt der veränderte, welcher schichtenweis ganz matt wie Steinmark wird. Es ist Folge von Verwitterung, denn Fuchs (Pogg. Ann 31. 577) hat gezeigt, daß gestreifter Chalcedon durch Kalilauge ähnliche matte Schichten bekomme. *Sarder Inseln*, *Hüttenberg* auf verwittertem Spatheisenstein. Sie kleben an der Zunge (Schroter Einleitung Geschichte der Steine I. 504).

Enhydros Plinius 37. 73 *semper rotunditatis absolutae in candore est laevis, sed ad motum fluctuat intus in ea veluti in ovis liquor*. Hier sind ohne Zweifel die kleinen Nußgroßen grauweißen Chalcedonkugeln im verwitterten Mandelstein vom Monte Tondo in den M. Berici südlich Vicenza verstanden, deren innere Höhle mit Flüssigkeit erfüllt ist, die durch die Wände durchscheint. Fortis fand sie wieder, aber schon Fanjas St. Fond. (*Essai de Géologie* 1809. 551) klagt, daß der Besitzer des Grundstückes nur äußerst schwierig Erlaubniß zum Nachgraben gebe. Solche Flüssigkeit (Urwasser) kommt zwar auch in den größern hohlen Achatkugeln vor, allein sie kann wegen der Undurchsichtigkeit der Wände darin äußerlich nicht sichtbar gemacht werden.

Künstliche Färbung der Chalcedone. Die Sache scheint uralt

zu sein (Möggerath, Leonhard's Jahrb. 1847. 478). Plinius 37. 54 sagt von einem Achat in ollam plenam olei conjectu cum pigmentis intra duas horas subservescenda unum colorem ex omnibus faciat minii. Noch auffallender lib. 37. 74 Cochlides (ohne Zweifel Achatfugeln) . . . fiunt verius quam nascuntur, in Arabia repertis ingentibus glaeis, quas melle excoqui tradunt septenis diebus noctibusque sine intermissione. Dabei kämen dann so viel Zufälligkeiten zum Vorschein, daß man sie Naturspiel (physes) hieße, weil man nicht allen Namen geben könne. In Italien mag sich diese Kunst durch Tradition forterhalten haben, denn früher kamen die sogenannten „Romaner“ nach Oberstein und kauften die gestreiften ungefärbten aber zugeschnittenen Steine auf, um ihnen in Rom erst die gehörige Färbung zu geben, bis endlich vor etwa 30 Jahren ein Achat Händler von Idar hinter das Geheimniß kam. Die matten, welche zum Theil die Feuchtigkeit so stark auffaugen, daß sie etwas an feuchter Lippe kleben, sollen am geeignetsten sein. Wie der arabische Onyx durch Honig und Schwefelsäure schwarz und weiß wird, so kann man den ungestreiften durch bloße Salzsäure schön Citrongelb machen. Besonders gelingt das Blaufärben vom reinsten Sapphirblau bis zu allen Schattirungen des Türkis hinab. Dadurch haben die Schleifereien zu Oberstein und Idar im Oldenburgischen Fürstenthum Birkenfeld, wo längs des Flüsschens Idar mehr als 100 Achatmühlen stehen, jede mit 4—5 Rädern (Collini Journal d'une Voyage 1776), ein Rad schon eine Familie nährend, großen Aufschwung bekommen. Eine der merkwürdigsten Industrien Deutschlands. Alles was zur Familie des Quarzes gehört: Bergkrytall, Amethyst, Achat, Jaspis u., wird hier geschliffen, polirt, gefärbt, und durch Handelsleute über die ganze Erde verbreitet. Besonders bildet die Schweiz einen wichtigen Markt: in den ärmlichsten Sennhütten (Col de Balin u.) findet man davon reiche Niederlagen, die von leichtgläubigen Lustreisenden als Produkte des Chamounithales und Berner Oberlandes fleißig ausgetauft werden. Jene allein zu Cameen brauchbaren Onyx, womit das Alterthum so ungeheuren Luxus trieb, und wovon uns herrliche Ueberbleibsel überliefert sind, wurden früher (schon 1497 im Gange) bloß in einem fast pechsteinartigen Gebirge des Weißelberges bei Oberkirchen gewonnen. Neuerlich kommen sie aber aus Brasilien (Monte Video) in solchen Mengen daß 1846 allein für 200,000 fl. rohe Steine in Oberstein versteigert sind. Die Alten machten auch Gefäße daraus, wie die berühmte Mantuanische Vase aus Onyx. Schon Agricola (bei Lehmann III. 26) war der Meinung, daß die Vasa murrhina des Plinius hist. nat. 37. 8 eher in diese Sippschaft gehörten, als wo anders hin; besonders wenn man an die Regenbogenachate denkt, die in den schönsten Farben schillern.

Jaspis ein uraltes Wort, denn 2 Mos. 28, 10 heißt der 12te Stein im Amtsschildlein des Hohenpriesters Jasphe. Plinius hist. nat. 37. 37 zählt eine ganze Menge schönfarbiger auf, darunter den Türkis (aeri similem), aber ohne Zweifel auch Quarze. Selbst Werner begriff darunter sehr verschiedene Dinge. Daher geht man am besten vom

Rugeljaspis Steffens aus, 2,6 Gew. Dieß sind offenbar feuer-

steinartige Kugelbildungen, aber durch Eisenoxyd intensiv ziegelroth, durch Eisenoxydhydrat ochergelb bis Kastanienbraun gefärbt. Die Farben bilden Streifen und Flammen als Folge von Oberflächenerosion. Der vollkommen muschelige Bruch hat einen eigenthümlichen matten Schimmer (ächten Jaspisbruch), und die Analyse gibt außer Eisenoxyd und Thonerde immerhin reichlich 95 Proc. Kieselersde an. Der braune Jaspis mit concentrisch lichtern und dunkeln Streifen, die ungefähr der Kugeloberfläche parallel gehen, findet sich in großer Menge als Geschiebe im Nil (Nilliesel) und im Sande der Wüste. Bei Kairo bildet er ein Conglomerat, das wahrscheinlich der Kreideformation angehört. Seine große Politurfähigkeit und Menge im Geburtslande des Moses mußte früh die Aufmerksamkeit auf sich ziehen, und daher könnten die Juden unter Jasphe wohl diesen Stein verstanden haben, wenn es nicht etwa edler Opal war. Der rothe Jaspis kommt auf dem Amdinger Stollen zu Auggen bei Mühlheim im Breisgau in großer Menge vor, er liegt in den dortigen Bohnerzen, und schon die Menge eingesprengter Polythalamien deutet entschieden auf einen Ursprung wie Feuerstein hin.

Gemeiner Jaspis meist roth und braun, findet sich auf Erz-, besonders aber auf Eisensteingängen. Man findet darunter zwar noch mit ächtem Jaspisbruch, doch kann man häufig die Gränze einerseits zu dem Hornstein andererseits zum ungestreiften Chalcedon nicht sicher ziehen. Achatjaspis und Opaljaspis unterscheiden sich dagegen durch ihr Vorkommen.

Bandjaspis entbehrt gänzlich des Glanzes im Bruch, und ist immer lagerhaft. Wenn er mit Porphyr vorkommt, wie bei Gnauldstein in Sachsen, so besteht er aus kieselreichem Thonstein; wenn er dagegen zur obern Thonschiefer- und Grauwackenformation gehört, wie am Ural und auf dem Oberharz, so nähert er sich den Kieselstiefeln. Auf Schichtung deutet schon die Streifung von Roth und Berggrün hin. Der Werner'sche Porzellanjaspis von lavendelblauer Farbe ist ein gebrannter Schiefertthon im Steinkohlengebirge, oder ein gebrannter Thon in der Braunkohlenformation. Die Masse ist mehr gefrittet als geschmolzen.

Feuerstein (Flint) 2,6 Gewicht lagert in Knollen im Rastgebirge. Sein sehr gleichartiger Bruch ist wie Jaspis, aber schimmert bei den guten etwas stärker. Die graue bis schwarze Farbe rührt in der Kreide blos von organischen Stoffen her, denn sie geben mit Kupferoxyd geglüht Kohlensäure und Wasser, und sind nach dem Brennen vollkommen weiß. Ehrenberg will sie sogar für coagulirte Kieselpanzer von Infusionsthieren ansehen, und hat ihre Spuren auch darin nachgewiesen. Doch muß man dabei nicht vergessen, daß die Kieselersde überhaupt sich gern zu Kugeln zusammenzieht, und fremde Gegenstände durchdringt. Daher wickelt auch der Feuerstein allerlei Petrefakten ein, und wenn man erwägt, wie mannigfaltig die Abänderungen der Kieselknollen in den verschiedenen Formationen sich zeigen, so hat im Allgemeinen die Concretion auf chemischem Wege größere Wahrscheinlichkeit. Verwitterung erzeugt auf der Oberfläche ein Kieselmehl. Die weiße Kreide liefert die feinsten Feuersteine. So lange diese ihre Bergfeuchtigkeit haben, kann man sie durch geschickte Hammerschläge in beliebige Formen bringen, eine Kunst, die schon die alten Deutschen trefflich verstanden, da sie bei

Unkenntniß passender Metalle ihre Pfeile und andere Waffen meist aus Feuerstein schlugen, die man in ihren Gräbern („Stein- und Beininformation“) findet. Daraus läßt sich der niedrige Preis erklären, denn ein geschickter Arbeiter kann in drei Tagen 1000 Flintensteine schlagen. 98 p. C. Kiesel-erde enthaltend, wird er namentlich in England zu einem vortrefflichen Glase (Flintglas) und Steingut (Flintware) verwendet. Der englische Pudding-stone besteht aus schwarzen Feuersteingeschieben, die durch einen stark gefritteten Kiesel-sandstein mit einander verbunden sind (Alttertiär, Epochen der Natur. 671). Das Gestein nimmt eine schöne Politur an und wird daher häufig geschliffen. Einzelne Geschiebe darunter gehen schon in den Kugeljaspis über. Dies zeigt sich noch mehr beim Feuerstein des obern weißen Jura. Bei Rehlheimwinzer unterhalb der Einmündung der Altmühl in die Donau findet sich derselbe in den ausgezeichnetsten Kugeln von der Größe und Rundung einer Kanonenkugel, außen schneeweiß, porös und mit Cäment verwechselbar. Dabei finden sich Stücke mit sehr regelmäßig concentrischen grauen und weißen Streifen, namentlich schön in der Fränkischen Schweiz bei Gailenreuth, die nur zu deutlich beweisen, wie nahe der Kugeljaspis mit Feuerstein verwandt sei.

Chrysopras im Serpentin von Schlefien, wo er am schönsten bei Gläsendorf nördlich Frankenstein in der „großen Chrysoprasader“ von drei Meilen Länge (Meincke über den Chrysopras 1806. 14) vorkommt, apfelgrün durch 1 Proc. Nickeloryd. Sein splitttriger Bruch namentlich der weißen ungefärbten Masse hält die Mitte zwischen Chalcedon und Hornstein. Er nimmt eine schöne Politur an, doch leidet die Farbe wenn man ihn nicht in feuchter Baumwolle aufbewahrt. Auch darf er beim Schleifen nicht zu heiß werden. Der Name kommt Offenb. Joh. 21, 20, auch bei Plinius 37. 78 nach einer Lesart vor. Lehmann (Mémoires Acad. Berlin 1756. 202) trug ihn auf diesen Stein über. Schon in der St. Wenzelskapelle (14. Jahrh.) von Prag findet man große geschliffene Platten, (Agricola, Lehmann IV. 28 heißt sie Smaragd), 1740 wurde ein Preussischer Officier bei der Windmühle von Rosemütz am Nordende der Ader wieder auf ihn aufmerksam, seinen Ruf bekam er durch Friedrich den Großen, welcher Sansouci damit schmückte. Da im Frankensteiner Serpentinegebirge zugleich Chalcedon und Opal bricht, so wird auch dieser durch Nickel apfelgrün gefärbt. Die Steine liegen sehr oberflächlich, werden sogar durch den Pflug zu Tage gefördert, und verwittern hier zu einer steinmarkartigen Masse (Chrysopraserde, Pimelith), welche nach Klaproth 35 Si, 38 H, 5 Al, 15,6 Ni enthält. Fühlt sich etwas fettig an, und kann fast mit dem Nagel geritzt werden. Die Zufälligkeit der Färbung nimmt den Analysen ihre Bedeutung.

Der Uebergang vom Chalcedon durch den Feuerstein in den Hornstein läßt sich in ausgezeichneteter Weise unter andern im Muschelstall des südlichen Schwarzwaldes (Adelhausen) erkennen: es scheiden sich dort im Kalle mehr als Kopfbüchse sehr regelmäßige Feuerstein-Knollen aus, dieselben gleichen stellenweis dem schönsten Chalcedon, innen aber einem musterhaften grauen

Hornstein (Chert). Ein alter bergmännischer Name Agricola pag. 701 : onge durissimum est, quod ex cornu cujus colorem non raro referre

videtur nominatum, Latini silicem appellant. Doch versteht Plinius 36. 49 unter *silex* die verschiedensten Quarze. Werner unterschied zweierlei: einen splittrigen Hornstein, 2,6 Gew., durch seine todte einfache Farbe, den splittrigen Bruch und die Art der Durchscheinheit dem Horn gleichend. So findet er sich auch zuweilen auf Erzgängen, hauptsächlich bildet er die Grundmasse gewisser Porphyre, Hornsteinporphyre, die freilich nicht frei vom Feldspath sind. Endlich rechnete Werner noch ausdrücklich die Feuersteine des obern Jurä dahin, die in Franken und Schwaben sich in großer Menge finden, doch scheint es naturgemäßer, solche Kieselconcretionen beim Feuerstein zu lassen, die Gruppen werden dadurch natürlicher. Der muschelige Hornstein führt zum Jaspis, und läßt sich kaum feststellen. Holzstein hieß Werner die verkieselten Hölzer, welche nicht in Opal verwandelt sind. Sie liegen in den Sandsteinen aller Flözgebirge, auch hier ist die Holzstructur wichtiger als die Quarzsubstanz für die Bestimmung. Nach Fuchs enthält der Hornstein keine lösliche Kiesel Erde (Opal). Auch das hohe Gewicht deutet mehr auf krystallinische als auf amorphe Aggregate.

Afterkrystalle. Wie die Kiesel Erde Pflanzen und Thierreste durchdringt, so bildet sie auch ausgezeichnete Afterkrystalle, und darunter spielt Hornstein eine Rolle. Der Hagtorit von Devonshire hat die Form des Datoliths, mit glänzenden Flächen und meßbaren Winkeln. Die Gypslinsen aus den tertiären Süßwassermergeln von Passy bei Paris haben sich zu großen Haufen in Quarz verwandelt, bricht man sie von einander, so sind sie innen zwar häufig hohl, aber die äußere Gränze hat sich vollkommen erhalten. Im Rotheisenstein von Schwarzenberg in Sachsen sind ausgezeichnete Würfel eingesprenkt, sie bestehen durch und durch aus Quarz, der seine Form dem Flußspath dankt. Besonders war früher das Schneeberger Revier durch seine Hornsteinafterkrystalle von Kalkspath berühmt: manche darunter sind nur roh überrindet, innen hohl oder schlecht ausgebildet; bei andern aber steckt unter einer leicht wegnehmbaren Kruste ein so wohlgebildeter Krystall mit glänzenden Flächen, daß es uns recht klar wird, wie schwierig in einzelnen Fällen die Entscheidung werden kann, ob Afterkrystall oder nicht. Die Aftersbildung beginnt bei den Quarzen meist mit Ueberfinterung, welche der Verwitterung stärker widersteht, als der eingehüllte Krystall. Wird letzterer dann ganz oder theilweis weggeführt, so entstehen hohle Räume in der Quarzmutter, und diese geben die scharfe Form des Krystalls, während die Ueberfinterung nur rohe Umrisse erzeugt, und eigentlich nicht als Afterkrystall angesehen werden sollte, wie so häufig geschieht. Freilich läßt sich nicht immer sicher unterscheiden, was der Ueberfinterung und was der Ausfüllung genau angehöre. Besonders sind die Erzgänge reich an Beispielen, doch treffen wir auch in den Kieselconcretionen an: so findet man in dem rothen Kugeljaspis von Auggen sehr deutliche hohle Würfel (Würfeleindrücke); im Feuerstein des Muschelkalles auf dem Aischfelde zwischen Alpirsbach und Dornhan theils Eindrücke, theils wirkliche Würfel von Feuerstein im Feuerstein: war das Kalkspath?

Kieselstiefer heißen die dichten gemeinen Quarze, welche ganze

Rager im obern Thonschiefergebirge und untern Kohlenkalksteine machen. Der gemeine graue ist ganz hornsteinartig, aber plattet sich gut nach der Schichtung. Der edlere durch Kohle schwarz gefärbte, gern mit weißen Quarzadern durchzogene, soll der cotricula (Probierstein) oder Lapis Lydius sein, weil er nach Teophrast (Cap. 78—80) im Fluß Imolus in Sydien als Geschiebe gefunden wurde, auch lapis Heraclius genannt. Plinius hist. nat. 38. 48. Die Probiersteine waren früher wichtiger als heute, wo die chemische Kunst sie theilweis ersetzt: sie müssen hart und dunkelfarbig sein, durch den Schliff zubereitet sich sammtartig anfühlen, und von Säuren nicht angegriffen werden: his coticulis periti, cum e vena ut lima rapuerunt experimentum, protinus dicunt quantum auri sit in ea, quantum argenti vel aeris, scripulari differentia mirabili ratione non fallente. Freilich liefen hier auch viele Verwechslungen unter, namentlich mit Basalt (βάσας), den Agricola bei Stolpe in Sachsen wieder fand, und den Rentmann duritie adamantina beschreibt!

Mühlstein (Meulière) hat man vorzugsweise in Frankreich die unregelmäßigen Quarzlager im Süßwasserkalk des Tertiärgebirges bei Fertsous-Jouarre und Montmirail genannt, sie sind porös, die Poren öfter mit Quarz erfüllt, und es soll keinen besseren Mühlstein als diesen geben. (Epochen der Natur pag. 683.)

C. Opale (von ὄψ Auge).

Amorphe Kieselserde. Der vollkommen muschelige Bruch glänzt wie Gallerte oder Harz (Quarz résinite). Spröde, trübe Farben, und alle Grade der Durchscheinheit, mit einem zwischen 3—12 pC. schwankenden Wassergehalt. Ein wenig weicher (Feldspathhärte) und leichter (2,1 Gew.) als Quarz, weil er zu der amorphen Abänderung gehört. In Kalilauge löslich. Besonders in Vulkanischen Gesteinen zu finden, man sieht sie als eine erstarrte Kieselgallerte an, die zufällig mehr oder weniger Wasser beibehält.

1) Edler Opal Plinius 37. 21 India sola et horum mater . . . est enim in his carbunculi tenuior ignis, est amethysti fulgens purpura, est zmaragdi virens mare, cuncta pariter incredibili mixtura lucentia. Agricola vergleicht ihn schön mit dem Farbenglanz der Halsfedern erzürnter Truthähne. Möglich daß auch der Name Jaspis Off. Johann. 4, 1 auf diesen man möchte sagen schönsten aller Steine zu deuten sei.

Farbe milchblau, aber aus der trüb durchscheinenden Masse leuchten spielend die brennendsten Regenbogenfarben, worunter sich besonders Grün, Roth und Blau auszeichnen. Nach Klaproth 10 pC. A. Die milchige Trübe und das Farbenspiel ist offenbar erst Folge von Veränderung, denn es gibt Stücke von großer Klarheit, die sich allmählig trüben und zuletzt undurchsichtig (gemeiner Opal) werden. Haüy suchte den Farbenreflex durch kleine Sprünge, Brewster durch Zwischenräume von regelmäßigerer Gestalt zu erklären. Der Werth hängt von der Reinheit der Masse und von der Schönheit des Farbenspiels ab. Plinius erzählt uns von dem im Alter-

thum so hochgeschätzten Opal des Nonius, der zwar nur von der Größe einer Haselnuß dennoch nach einer Lesart auf 800,000 Rthlr. geschätzt wurde. Hasselquist (*Resa til Levanten*, deutsch. Uebers. 1762. pag. 546) meinte, er sei in den Ruinen von Alexandrien wiedergefunden. Daher führte ihn Cronstedt (*Werner's Uebers.* 126) als Nonius-Opal besonders auf. Im Kaiserlichen Schatze zu Wien findet sich ein ganz reiner von der Größe einer Mannesfaust (34 Loth), man sagt 2 Mill. Gulden Werth. Die Napoleoniden hatten für Opal eine ganz besondere Vorliebe, Murat's Gemahlin besaß den schönsten Opalschmuck der Welt. Man schleift ihn mit gerundeter Oberfläche. Die berühmtesten Opalbrüche finden sich beim Dorfe Czerweniga zwischen Kaschau und Eperies, wo sie in Schnüren und Nestern auf einem grauen sehr unansehnlichen Trachyt-Luff (Opalmutter genannt) vorkommen. Nach Deubant soll sich sogar die Kieselweichigkeit zuweilen noch weich finden. Sie werden dort bergmännisch gewonnen, in den Orient ausgeführt, von wo sie unter dem Namen „Orientalischer Opal“ wieder zu uns gelangen. Nach Hädinger (*Berichte* III. 212) sind die Gruben um 10,650 fl. verpachtet, und 100—150 Arbeiter thätig. Neuerlich kommen sie auch aus Guatemala von Gracias a Dios in Handel. Zu Hubertsburg in Sachsen findet er sich in einem schieferigen Thongestein, derselbe ist aber durch starken Wasserverlust ganz matt und undurchsichtig geworden, klebt an der Zunge, hat starken Thongeruch und zeigt nur geringes Farbenspiel. Legt man ihn aber ins Wasser, so wird er nicht bloß vollkommen durchscheinend, sondern gewinnt auch an Farbenspiel. Daher nannten ihn die ältern Mineralogen *Lapis mutabilis* oder *oculus mundi* (Weltauge), während die ohne Farbenspiel *Hydrophan* heißen. Das eingefogene Wasser verdunstet aber bald, und dann nehmen sie sofort ihre matte Undurchsichtigkeit wieder an. In Oel gelocht sollen sie jahrelang das Farbenspiel zeigen, und mit Wachs oder Ballrath getränkt, werden sie im Feuer durchsichtig (*Pyrophan*), weil dann das Wachs schmilzt. Zum Theil sind solche Dinge schwimmend leicht wie Tabasheer.

2) Gemeiner Opal durch alle Uebergangsstufen auf das Engste mit dem Edlen verbunden, nimmt außer der Mischbläue allerlei andere trübe Töne an, und in vielen Abänderungen noch bedeutende Durchscheinendheit. Das Farbenspiel verschwindet gänzlich. Zu den bekannteren Varietäten gehört der *Opal* in Porphyrergängen eines schwarzen Kalksteins in Mexico mit blaßtrüber hyacinthrother Farbe, die bei starkem Feuer ins Feuergelbe spielt, woher der Name. Ein anderer Opal aus den verlassenen Goldgruben von Telschbanya in Ungarn, der viel Licht durch, ein Muster für die Kunst, ist sehr schön an der Oberfläche in Folge von Rinde, dieselbe klebt stark an der Zunge, wird aber nicht durchsichtig, sondern matt. Solche matten Rinden finden sich auch in anderen Opalen, man nennt sie auch wohl *Opal*. Zuweilen die apfelgrüne Farbe des *Opal* stein in Mähren, er verdankt seine

Farbe wie der mitvorkommende Chrysopras dem Nickel. Ueberhaupt ist das Serpentinegebirge von Frankenstein in Schlefien reich an schönen Opalen, worunter der bläulich bis grünlich weiße Milchopal von Rosemühl hervorsticht. Ein rosenrother Opal im Süßwasserkalk von Mehun und Quincq soll seine Farbe organischer Substanz verdanken. Die bittererdehaltigen heißen Quincq.

3) Halbopal nannte Werner die zwischen Kugelaspis und gemeinem Opal mitten inne stehenden Abänderungen, nur an den Ranten durchscheinend, wenig Glanz und trübe Farbe meist von weiß, grau und braun. Schon 1803 wurde durch Jordan der weiß und braungestreifte Halbopal von Steinheim bei Hanau bekannt, der nach Leonhard auf Gängen im körnigen Basalte (Anamesit) vorkommt. Er kann zwar als Muster dienen und doch geht er öfter in einem einzigen Handstück in Chalcedon und Hornstein über, Beweis genug, wie unsicher die Unterscheidung werden muß. Im Klingsteintuff von Hohentwiel am Bodensee kommen Blöcke von leberbrauner Farbe vor, die an Holzstructur erinnern. Vor allem reich sind jedoch die Trachyt- und Porphyrtruffe von Ungarn, namentlich in der Gegend von Tokaj und Telschbanya, an Farbe intensiv grün, wachsgelb, braun zc. Namentlich geben diese Opale auch das Mittel zu den versteinerten Hölzern, welche Werner

Holzopal nannte, in demselben findet sich meist ein Gemisch von gemeinem und Halb-Opal, und die Holzstructur hat nicht selten auf die ungleiche Vertheilung der Masse wesentlich eingewirkt. Besonders interessant durch das intensive Braun ihrer Farbe sind die Hölzer im Bimsteintuff von Schaiba: die gemeine Opalmasse gleicht hier im Aussehen der erstarrten Brühe von stark gebratenem Kalbfleisch. Jaspopal heißen die von unorganischem Gefüge.

Wenn Halbopale stark durch Eisen gefärbt sind und dabei zum Matten neigen, so nannte sie Werner Opaljaspis. Auch der zeisiggrüne Chloropal von Ungwar (Ungwarit) mit serpentinarartigem Ansehen gehört zu den unreinen Opalen, die durch Verwitterung leicht leiden, wie Hausmann (Leonh. Jahrb. 1868. 660) im Basalt am Meuser Steinberge zwischen Göttingen und Münden nachgewiesen hat. Analysen haben da nur einen localen Werth. Die Farbe erinnert auffallend an den ochrigen Hypochlorit (Grüneisenerde) von Schneeberg, der aber 13 Wismuthoxyd und 9,6 Phosphorsäure enthält. Wie die Opale nun auch wirklich zum Feuerstein überspielen, zeigt der

4. Menilit Wr. vom Ménilmontant bei Paris, wo er Knollen (Knollenstein) im Klebschiefer bildet. Es sind offenbar allerlei unförmliche Kieselconcretionen, die sich nach Art des Feuerstein gebildet haben. Sie neigen etwas zur Schieferung, haben aber im Querbruch ganz den Glanz eines ausgezeichneten Halbopals, von welchen sie sich jedoch durch ihr geognostisches Vorkommen leicht unterscheiden. Am schönsten sind die leberbraunen der Pariser Gegend, namentlich auch ausgezeichnet durch ihre sonderbar verworrene Knotung. Klaproth gibt darin 85,5 Si, 11 B zc. an. Zu Argentueil sind die Knollen grau, brausen aber nicht mit Säure. Bei St. Ouen liegen dagegen Süßwassermuscheln darin, diese werden dann nicht bloß matt, sondern brausen auch, es sind Kieselmergel. Der bekannte und früher

so berühmte Schwimmstein von St. Duen ist nichts weiter als das Kieselstelet dieser Muschelenilite, denn der *Bulimus pusillus* sitzt noch unverändert darin. Wirft man ihn auf das Wasser, so zischt er stark und sinkt nach wenigen Minuten unter. Es gibt zwar auch nichtzischende, die gar nicht untersinken, diese scheinen aber künstlich mit einem fetten Thon überschmiert zu sein, der die Oberfläche der Poren verstopft hat. Kieselmergelknollen bilden die Vermittelungsstufe zwischen ächtem Feuerstein und Menilit. Auch die Quarzconcretionen im Süßwasserkalk zeigen eine entschiedene Annäherung zum opalartigen Glanz, und doch sind sie oft ganz von *Planorbis* und *Paludina* species durchwoben. Von höchst regelmäßiger Runzelung und auffallender Formenbildung sind die Kieselmergel aus dem Muschellalk von Leufelingen in der Schweiz, die dann weiter sich an die Mergelknollen anschließen, worin die Kieselsäure schon stärker zurücktritt. Wer hier bloß nach mineralogischen Kennzeichen scheidet, geht in der Irre.

Ehrenberg (Pogg. Ann. 38. 455) sucht den Beweis zu führen, daß alle diese Kiesel (er nennt sie Halbopale) aus dem Polirschiefer, namentlich die von Bilin und Ruzschitz in Böhmen, „durch formlose Kieselmasse cämentirte Infusorienchalen“ seien. Kieselpanzer von *Gaillonella varians*, *Navicula viridis* etc. kommen wenigstens in großer Menge im Tripel und Polirschiefer vor, so daß diese Kiesel Erde förmliche Infusorienlager (Handbuch der Petrefacten. pag. 691) bildet. Tripel (terra Tripolitana), eine gelbe magere Erde mit 90 Si, kommt über Tripoli aus Nordafrika in den Handel.

Polirschiefer lagern besonders ausgezeichnet im Tertiärgebirge bei Paris, in der Nachbarschaft der Basalte bei Bilin in Böhmen, am Habichtswalde bei Cassel etc. Sie haben einen thonigen Geruch, man könnte sie ihrem Aussehen nach für graue Mergel halten, allein mit Säure brausen sie durchaus nicht. Die compacten kleben so stark an der Zunge (Klebschiefer von Paris), daß sie beim Wegreißen schmerzen. Unsere deutschen zerfallen leicht zu Mehl, nur lagern ranhe Platten dazwischen (Saugschiefer), die zuletzt zu Menilitartigen Opalen werden. Der mehligte Schiefer fühlt sich sehr sanft an. Bei Randan am Puy de Dôme kommt eine gelbliche Erde vor (Randanit), die sich in Säuren löst (lösliche Kiesel Erde), sie hat ungefähr die Consistenz der Kreide, läßt sich aber mit dem Finger zu einem unaussprechlich feinen Mehl zerdrücken, welches bei der geringsten Bewegung die Luft mit feinen Staubwolken erfüllt: das sind Panzer von Infusionsthieren, wie sie sich an vielen Hundert Orten bis in die jüngsten Formationen herauf gefunden haben. Mit $\frac{1}{10}$ Thon gemischt und gebrannt geben sie die bei den Alten so berühmten schwimmenden Ziegeln, die 1791 Fabroni aus dem Bergmehl von Santa Fiora in Toscana wieder herstellte (Pogg. Ann. 26. 505). Sie schwimmen wie Kork auf Wasser!

5. Hyalith Br. wurde von Müller in den Höhlen basaltischer Gesteine der Umgegend von Frankfurt a. M. gefunden (Erlenbach) und daher lange wegen seines glasartigen Aussehens Müller'sches Glas genannt. Er bildet kleintraubige Ueberzüge, die man wegen ihrer Klarheit nicht zum Opal stellen würde, wenn Buchholz nicht 6,3 H darin gefunden hätte, und ihr

Gewicht (2,1) so leicht wäre. Mikroskopische Schliffe zeigen sehr vollkommen concentrische Schichtung, womit auch seine negative doppelte Strahlenbrechung zusammenhängt. Schulze (Jahrb. 1861. 555). Im Basalt von Walsch in Böhmen, im Serpentin von Schlefien (Bobten, Jordansmühle), auch in den Laven von Ischia u. findet er sich. Nach Humboldt tragen die Ameisen von Santjago in Neuspanien Steinchen der Art mit ganz besonderer Auswahl im Haufen zusammen. Er hat einen ähnlichen Ursprung wie Kieselgips an den heißen Quellen Islands, dessen perlartige Oberfläche bald schimmernd bald mattweiß aussieht. Besonders lieblich ahmt der Perlstein von St. Fiora in Toscana auf traubiger Oberfläche den Schein der Perlen nach. Kieselguhr nennt man die weißen oder die Eisenoxydhydroxyd gefärbten Massen von Reitanes in Südisland, welche noch Wellenschläge zeigen, gleich dem Karlsbader Sprudelstein. Kieseluff heißen dagegen die unregelmäßigen Kieselmassen, welche sich um die Mündung des Geysers, der ein 1850tel Kieselgeröl gelöst enthält, abgelagert haben, Moos, Blätter, Thierreste u. einwickelnd. Auch die schneeweißen Klüfte (Bianchetto) der Fumarolen entstehen nach Rammelsberg (Zeitschr. deutsch. geol. Gesellsch. XI. 440) aus reiner amorpher Kieselgeröl mit Wasser. Bleibt doch selbst in der Ackertrume auf kieselhaltigen Kalkböden nur Kieselgeröl als Verwitterungsproduct zurück.

Gefritteter Quarz kommt auf mannigfache Weise vor. Im Tertiärgebirge von Paris, im Braunkohlengebirge Norddeutschlands u. nehmen die Sandsteine oft ein Aussehen an, als wären die Quarzkörner zusammengegeschmolzen. Wo der Basalt glühend heiß den Bunten Sandstein in Hessen (Wildenstein) durchbrach, hat er denselben nicht bloß entfärbt und zu Säulen abgefordert, sondern förmlich angeschmolzen, wie die Gesteine im Hochofen. Das merkwürdigste jedoch sind die Blitzröhren, die sich im Quader Sandstein auf der Sennerhaide in Westphalen, bei Dresden, Blankenburg am Harz u. finden. Der einschlagende Blitz hat lange verzweigte Röhren gebildet, die außen rauh von anhaftenden Sandkörnern, innen aber einen spiegelnden Glanz von einer ausgezeichneten Quarzfritte haben. Man kennt sie schon seit 1761 von Massel bei Breslau, Dr. Fiedler hat sie über 16 Fuß tief in die Erde verfolgt (Gilbert's Ann. 1822. Bd. 61. 301), und Wicke (Pogg. Ann. 106. 155) sah sie in Oldenburg unmittelbar nach dem Einschlagen des Blitzes.

II. Feldspäthe.

Feldspath gehört zwar zu den verbreitetsten Mineralen im Urgebirge, dennoch finden wir im Alterthum keinen Namen dafür. Agricola scheint ihn auf der letzten Seite seiner Werke unter Spatum saxum zu begreifen. Erst seit Denso 1750 in der Uebersetzung von Wallerius Mineral. pag. 87 wird der Name Feldspath gebäuchlich. Unter den Späthen der härteste, daher Spatum scintillans, die Härte leitete Linne von ein wenig Eisenbeimischung her. Während die andern Späthe auf Gängen im Gebirge versteckt liegen, findet sich dieser in allen Urgebirgsfelsen und auf deren Feldern. Seine

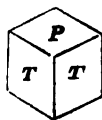
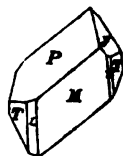
Krystallisation hat zwar Haüy schon richtig erkannt, doch verdanken wir Weiß (Abh. der Berl. Akad. 1816, 1820, 1835 und 1838) eine Reihe von Abhandlungen, die uns mit den Fundamentalverhältnissen der Zonenlehre bekannt machen und die ganze Sache in dieser Beziehung zum Abschluß bringen. Nur rüch-sichtlich der Winkel und Zusammensetzung fand G. Rose 1823 (Gib. Ann. 73. 172) Abweichungen, und Kupfer bewies 1828, daß auch der Aulular schiefe Aren habe. (Pogg. Ann. 13. 200).

1. Feldspath.

Uebersicht. P 101, M 010, T 110, x 1'01, y 3'01, q 1'03, t 501, r 3'05, l 4'03, k 100, o 1'21, n 141, z 130, g 011, m 321, u 3'41, v 3'81, h 343, s 1'61, d 581, i 1.12.1, μ 1'11, f 16'.3.12, 11.0.1, δ 13'.0.1, π 47'.0.1, T/T 118.48, T/x 140.40, T/y 134.19, P/T 112.16, P/k 116.7, P/x 129.40, P/y 99.38, P/q 145.47, P/t 139, P/n 135.3, P/o 134.42, M/z 150.35, o/o 126.14, n/n 90.7, n/o 136.15, x/o 153.7, P/g 150.52, M/u 123, k/y 144.15.

$$a : b : k = 2,1276 : 3,5977 : 0,043; A/c \ 91^{\circ} 10'.$$

Unter Feldspath schlechthin wird vorzugsweise **Kalifeldspath** verstanden, ein ausgezeichnetes 2 + 1gliedriges Krystallsystem, aber mit manchen Eigenthümlichkeiten. Der erste Blätterbruch $P = a : c : \infty b$ macht mit dem etwas weniger deutlichen 2ten $M = b : \infty a : \infty c$ 90° (**Orthoklas**), das ist das wesentlichste Kennzeichen; P gibt sich häufig durch Sprünge und Newtonianische Farben zu erkennen. P gegen Are c $63^{\circ} 53'$. Die geschobene Säule $T = a : b : \infty c$ macht $118^{\circ} 48'$, M stumpft nicht bloß ihre scharfe Kante gerade ab, sondern P ist auch gerade auf die stumpfe Kante aufgesetzt, denn P/T beträgt vorn links und rechts $112^{\circ} 16'$. Und doch hatte der scharfsinnige Haüy schon richtig erkannt, daß von den beiden Säulenflächen T die eine blättriger sei als die andere, man sieht es bei dem Amazonenstein vom Ural sehr deutlich, deshalb nannte er die blättrigste von beiden T, die andere weniger blättrige l, wodurch jene einundeinfantige Primitivform P M T pag. 100 entstand. Doch da man sich nicht bei allen Feldspathen von diesem Unterschiede überzeugen kann, so muß man wohl bei dem Weiß'schen Symmetriebilde stehen bleiben, was auch die strengsten Messungen fordern. Die hintere Gegenfläche $x = a' : c : \infty b$ dehnt sich zwar gern aus, ist aber gänzlich unblättrig, und macht die Winkel x zur Are c $65^{\circ} 47'$, woraus nach pag. 64 folgt:



$$a : b : x = \sqrt{4,529} : \sqrt{12,949} : \sqrt{0,001878},$$

Weiß nahm $x = o$ (dann fällt A mit a zu rechtwinkligen Aren zusammen), T/T = 120° und P/T = P/x = 112° , woraus sich das schöne Arenverhältniß

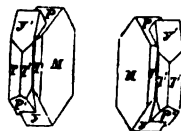
$$a : b : c = \sqrt{13} : \sqrt{3 \cdot 13} : \sqrt{3}$$

fand, das zu so vielen interessanten Betrachtungen ihm Veranlassung gab.

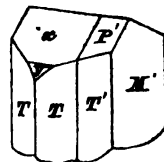
Aus den 5 Flächen P M T T x (Projectionsfigur pag. 45) wurden so-dann alle deducirt: das hintere Augitpaar $o = a' : \frac{1}{2}b : c$ fällt in die Dia-

Der Feldspath kommt übrigens häufiger in Zwillingform als einfach vor, und zwar nach folgenden zwei Gesetzen.

1. **Karlsbader Zwillinge:** zwei Individuen haben die sechsseitige Säule TTM gemein und liegen mit ihren Endflächen P und x (y) umgekehrt, so daß das x des einen mit P im andern Individuum fast spiegelt pag. 97. Es ist dadurch eine völlige zweigliedrige Ordnung in den Flächen eingetreten. Gewöhnlich legen sie sich mit dem 2ten Blätterbruch M an einander, und nach ihm werden auch die Säulen tafelartig



zusammengedrückt. Da am Ende $P/y = 99^\circ 38'$ zu herrschen pflegt, so dringt dieser Kopf des einen durch den Blätterbruch des andern durch, doch so, daß entweder auf der linken (linke) oder auf der rechten Seite (rechte Zwillinge) das P spiegelt. Die Sache wird besonders klar, wenn man die Zwillinge parallel von P quer durchschlägt. Diese Zwillinge sind in den porphyrischen Graniten aller Gegenden in Menge eingesprenkt und kommen fast nie in Drusen vor. Wenn die Grundmasse verwittert, so fallen die Krystalle heraus und man kann sie in großer Menge auf den Feldern (Karlsbad und Einbogen) zusammenlesen. Aehneln die Granite dem Porphyr, wie bei Neubau und Fichtelberg an der Südostseite des Ochsenkopfes im Fichtelgebirge, oder am Berge Four-Tabroux in der Auvergne, so kann man sie nicht bloß heraus schlagen, sondern sie sind auch noch viel schärfer und schöner als im Granit. Auch der Trachyt, besonders vom Drachensfels am Rhein, Bonn gegenüber, liefert treffliche von glasigem Feldspath. Aelter Krystalle mit Glimmer, sogar mit feinkörnigem Zinnstein und Quarz erfüllt kommen zu St. Agnes x. in Cornwall vor, die fahlfarbigem in verwitterten Porphyr von Ilmenau im Thüringer Wald haben fast genau die Hälfte Ca C, so daß von Feldspathmasse wenig zurückblieb. Wenn P gegen Axe c $63^\circ 53'$, und x gegen c $65^\circ 47'$ machen würde, so könnte x des einen mit P' im andern Individuum nicht einspiegeln, sondern beide müßten sich parallel der Axe b unter einem Winkel von $181^\circ 54'$ schneiden. Nun kommen freilich bei St. Pietro auf Elba sehr glänzende schneeweiße Zwillinge mit T M P x y vor, an denen x mit P' vollständig einzuspiegeln scheint, allein leider ist x zu matt, als daß sich die Frage scharf entscheiden ließe.



Wenn an den einfachen Krystallen P und M zu einer langen Oblongsäule sich ausdehnen, so pflegen sie einfach zu sein, obgleich sie in denselben Felsen sowohl im Porphyr als auch Granit und Trachyt neben obigen Zwillingen sich eingesprenkt finden. Das ist eine sehr auffallende Thatsache. Stehen dagegen diese Oblongsäulen in Drusenräumen, so bilden sie

2. **Davener Zwillinge,** besonders schön zu Daveno am Süden des Lago Maggiore, Warmbrunn im Riesengebirge, und beim Adular der Alpen. Diese Zwillinge haben n gemein und liegen umgekehrt, d. h. es spiegelt die fast quadratische Säule n/n bei beiden ein, nur legt der eine sein P hin, wo der andere sein M hat. Die Individuen 1 und 2 sind dann im

Unkenntniß passender Metalle ihre Pfeile und andere Waffen meist aus Feuerstein schlugen, die man in ihren Gräbern („Stein- und Beininformation“) findet. Daraus läßt sich der niedrige Preis erklären, denn ein geschickter Arbeiter kann in drei Tagen 1000 Flintensteine schlagen. 98 p. C. Kieselerde enthaltend, wird er namentlich in England zu einem vortrefflichen Glase (Flintglas) und Steingut (Flintware) verwendet. Der englische Pudding-stone besteht aus schwarzen Feuersteingefchieben, die durch einen stark gefritteten Kiesel sandstein mit einander verbunden sind (Alttertiär, Epochen der Natur. 671). Das Gestein nimmt eine schöne Politur an und wird daher häufig geschliffen. Einzelne Gefchiebe darunter gehen schon in den Kugelsjaspis über. Dies zeigt sich noch mehr beim Feuerstein des obern weißen Jura. Bei Kehlheimwinger unterhalb der Einmündung der Altmühl in die Donau findet sich derselbe in den ausgezeichnetsten Kugeln von der Größe und Rundung einer Kanonenkugel, außen schneeweiß, porös und mit Cäment verwechselbar. Dabei finden sich Stücke mit sehr regelmäßig concentrischen grauen und weißen Streifen, namentlich schön in der Fränkischen Schweiz bei Gailenreuth, die nur zu deutlich beweisen, wie nahe der Kugelsjaspis mit Feuerstein verwandt sei.

Chrysopras im Serpentin von Schlesiens, wo er am schönsten bei Gläserndorf nördlich Frankenstein in der „großen Chrysoprasader“ von drei Meilen Länge (Meincke über den Chrysopras 1805. 14) vorkommt, apfelgrün durch 1 Proc. Nickeloxyd. Sein splittiger Bruch namentlich der weißen ungefärbten Masse hält die Mitte zwischen Chalcedon und Hornstein. Er nimmt eine schöne Politur an, doch leidet die Farbe wenn man ihn nicht in feuchter Baumwolle aufbewahrt. Auch darf er beim Schleifen nicht zu heiß werden. Der Name kommt Offenb. Joh. 21, 20, auch bei Plinius 37. 78 nach einer Lesart vor. Lehmann (Mémoires Acad. Berlin 1755. 202) trug ihn auf diesen Stein über. Schon in der St. Wenzelskapelle (14. Jahrh.) von Prag findet man große geschliffene Platten, (Agricola, Lehmann IV. 38 heißt sie Smaragd), 1740 wurde ein Preussischer Officier bei der Windmühle von Rosemütz am Nordende der Ader wieder auf ihn aufmerksam, seinen Ruf bekam er durch Friedrich den Großen, welcher Sansouci damit schmückte. Da im Frankensteiner Serpentinegebirge zugleich Chalcedon und Opal bricht, so wird auch dieser durch Nickel apfelgrün gefärbt. Die Steine liegen sehr oberflächlich, werden sogar durch den Pflug zu Tage gefördert, und verwittern hier zu einer steinmarkartigen Masse (Chrysopraserbe, Pimelith), welche nach Klaproth 35 Si, 38 A, 5 Al, 15,6 Ni enthält. Fühlt sich etwas fettig an und kann fast mit dem Nagel geritzt werden. Die Zufälligkeit der Zersetzung nimmt den Analysen ihre Bedeutung.

Der Uebergang vom Chalcedon durch den Feuerstein in den Hornstein läßt sich in ausgezeichneter Weise unter andern im Muschelkalk des südlichen Schwarzwaldes (Adelhausen) erkennen: es scheiden sich dort im Kalle mehr als Kopfdicke sehr regelmäßige Feuerstein=Knollen aus, dieselben gleichen stellenweis dem schönsten Chalcedon, innen aber einem musterhaften grauen

Hornstein (Chert). Ein alter bergmännischer Name Agricola pag. 701: onge durissimum est, quod ex cornu cujus colorem non raro referre

videtur nominatum, Latini silicem appellant. Doch versteht Plinius 36. 49 unter silcx die verschiedensten Quarze. Werner unterschied zweierlei: einen splittrigen Hornstein, 2,6 Gew., durch seine todte einfache Farbe, den splittrigen Bruch und die Art der Durchscheinheit dem Horn gleichend. So findet er sich auch zuweilen auf Erzgängen, hauptsächlich bildet er die Grundmasse gewisser Porphyre, Hornsteinporphyre, die freilich nicht frei vom Feldspath sind. Endlich rechnete Werner noch ausdrücklich die Feuersteine des obern Jura dahin, die in Franken und Schwaben sich in großer Menge finden, doch scheint es naturgemäßer, solche Kieselconcretionen beim Feuerstein zu lassen, die Gruppen werden dadurch natürlicher. Der muschelige Hornstein führt zum Jaspis, und läßt sich kaum feststellen. Holzstein hieß Werner die verkieselten Hölzer, welche nicht in Opal verwandelt sind. Sie liegen in den Sandsteinen aller Flözgebirge, auch hier ist die Holzstruktur wichtiger als die Quarzsubstanz für die Bestimmung. Nach Fuchs enthält der Hornstein keine lösliche Kieselcrde (Opal). Auch das hohe Gewicht deutet mehr auf krystallinische als auf amorphe Aggregate.

Aftcrkrystalle. Wie die Kieselcrde Pflanzen und Thierreste durchdringt, so bildet sie auch ausgezeichnete Aftcrkrystalle, und darunter spielt Hornstein eine Rolle. Der Hahtorit von Devonshire hat die Form des Datoliths, mit glänzenden Flächen und meßbaren Winkeln. Die Gypslinsen aus den tertiären Süßwassermergeln von Passy bei Paris haben sich zu großen Haufen in Quarz verwandelt, bricht man sie von einander, so sind sie innen zwar häufig hohl, aber die äußere Gränze hat sich vollkommen erhalten. Im Rotheisenstein von Schwarzenberg in Sachsen sind ausgezeichnete Würfel eingesprengt, sie bestehen durch und durch aus Quarz, der seine Form dem Flußspath dankt. Besonders war früher das Schneeberger Revier durch seine Hornsteinaftcrkrystalle von Kalkspath berühmt: manche darunter sind nur roh überrindet, innen hohl oder schlecht ausgebildet; bei andern aber steckt unter einer leicht wegnehmbaren Kruste ein so wohlgebildeter Krystall mit glänzenden Flächen, daß es uns recht klar wird, wie schwierig in einzelnen Fällen die Entscheidung werden kann, ob Aftcrkrystall oder nicht. Die Aftcrbildung beginnt bei den Quarzen meist mit Uebersinterung, welche der Verwitterung stärker widersteht, als der eingehüllte Krystall. Wird letzterer dann ganz oder theilweis weggeführt, so entstehen hohle Räume in der Quarzmutter, und diese geben die scharfe Form des Krystalls, während die Uebersinterung nur rohe Umrisse erzeugt, und eigentlich nicht als Aftcrkrystall angesehen werden sollte, wie so häufig geschieht. Freilich läßt sich nicht immer sicher unterscheiden, was der Uebersinterung und was der Ausfüllung genau angehöre. Besonders sind die Erzgänge reich an Beispielen, doch treffen wir auch in den Kieselconcretionen an: so findet man in dem rothen Kugeljaspis von Auggen sehr deutliche hohle Würfel (Würfelcindrücke); im Feuerstein des Muschelkalles auf dem Aischfelde zwischen Alpirsbach und Dornhan theils Eindrücke, theils wirkliche Würfel von Feuerstein im Feuerstein: war das Kalkspath?

Kieselstiefer heißen die dichten gemeinen Quarze, welche ganze

Lager im obern Thonschiefergebirge und untern Kohlenkalksteine machen. Der gemeine graue ist ganz hornsteinartig, aber plattet sich gut nach der Schichtung. Der edlere durch Kohle schwarz gefärbte, gern mit weißen Quarzadern durchzogene, soll der coticula (Probierstein) oder Lapis Lydius sein, weil er nach Theophrast (Cap. 78—80) im Fluß Imolus in Lydien als Geschiebe gefunden wurde, auch lapis Heraclius genannt. Plinius hist. nat. 33. 42. Die Probiersteine waren früher wichtiger als heute, wo die chemische Kunst sie theilweis ersetzt: sie müssen hart und dunkelfarbig sein, durch den Schliß zubereitet sich sammtartig anfühlen, und von Säuren nicht angegriffen werden: his coticulis periti, cum e vena ut lima rapuerunt experimentum, protinus dicunt quantum auri sit in ea, quantum argenti vel aeris, scriptulari differentia mirabili ratione non fallente. Freilich liefen hier auch viele Verwechselungen unter, namentlich mit Basalt (βάσας), den Agricola bei Stolpe in Sachsen wieder fand, und den Rentmann duritie adamantina beschreibt!

Mühlstein (Meulière) hat man vorzugsweise in Frankreich die unregelmäßigen Quarzlager im Süßwasserkalk des Tertiärgebirges bei Fertsous-Jouarre und Montmirail genannt, sie sind porös, die Poren öfter mit Quarz erfüllt, und es soll keinen besseren Mühlstein als diesen geben. (Epochen der Natur pag. 688.)

C. Opale (von ὄψ Auge).

Amorphe Kiesel Erde. Der vollkommen muschelige Bruch glänzt wie Gallerte oder Harz (Quarz résinite). Spröde, trübe Farben, und alle Grade der Durchscheintheit, mit einem zwischen 3—12 pC. schwankenden Wassergehalt. Ein wenig weicher (Feldspathhärte) und leichter (2,1 Gew.) als Quarz, weil er zu der amorphen Abänderung gehört. In Kalilauge löslich. Besonders in vulkanischen Gesteinen zu finden, man sieht sie als eine erstarrte Kieselgallerte an, die zufällig mehr oder weniger Wasser beibehält.

1) Edler Opal Plinius 37. 21 India sola et horum mater . . . est enim in his carbunculi tenuior ignis, est amethysti fulgens purpura, est smaragdi virens mare, cuncta pariter incredibili mixtura lucentia. Agricola vergleicht ihn schön mit dem Farbenglanz der Halsfedern erzürnter Truthähne. Möglich daß auch der Name Jaspis Off. Johann. 4, 1 auf diesen man möchte sagen schönsten aller Steine zu deuten sei.

Farbe milchblau, aber aus der trüb durchscheinenden Masse leuchten spielend die brennendsten Regenbogenfarben, worunter sich besonders Grün, Roth und Blau auszeichnen. Nach Laproth 10 pC. H. Die milchige Trübe und das Farbenspiel ist offenbar erst Folge von Veränderung, denn es gibt Stücke von großer Klarheit, die sich allmählig trüben und zuletzt undurchsichtig (gemeiner Opal) werden. Haug suchte den Farbenreflex durch kleine Sprünge, Brewster durch Zwischenräume von regelmäßigerer Gestalt zu erklären. Der Werth hängt von der Reinheit der Masse und von der Schönheit des Farbenspiels ab. Plinius erzählt uns von dem im Alter-

thum so hochgeschätzten Opal des Konius, der zwar nur von der Größe einer Haselnuß dennoch nach einer Lesart auf 800,000 Rthlr. geschätzt wurde. Hasselquist (*Resa til Levanten*, deutsch. Uebers. 1762. pag. 546) meinte, er sei in den Ruinen von Alexandrien wiedergefunden. Daher führte ihn Cronstedt (Werner's Uebers. 126) als Konius-Opal besonders auf. Im Kaiserlichen Schatz zu Wien findet sich ein ganz reiner von der Größe einer Mannesfaust (34 Loth), man sagt 2 Mill. Gulden Werth. Die Napoleoniden hatten für Opalschmuck der Welt. Man schleift ihn mit gerundeter Oberfläche. Die berühmtesten Opalbrüche finden sich beim Dorfe Ezerwenitza zwischen Kaschau und Eperies, wo sie in Schnüren und Nestern auf einem grauen sehr unansehnlichen Trachyt-Luff (Opalmutter genannt) vorkommen. Nach Deubant soll sich sogar die Rieselfeuchtigkeit zuweilen noch weich finden. Sie werden dort bergmännisch gewonnen, in den Orient ausgeführt, von wo sie unter dem Namen „Orientalischer Opal“ wieder zu uns gelangen. Nach Haubinger (*Berichte III. 119*) sind die Gruben um 10,650 fl. verpachtet, und 100—150 Arbeiter thätig. Neuerlich kommen sie auch aus Guatemala von Gracias a Dios in Handel. Zu Hubertsburg in Sachsen findet er sich in einem schieferrigen Thongestein, derselbe ist aber durch starken Wasserverlust ganz matt und undurchsichtig geworden, klebt an der Zunge, hat starken Thongeruch und zeigt nur geringes Farbenspiel. Legt man ihn aber ins Wasser, so wird er nicht bloß vollkommen durchscheinend, sondern gewinnt auch an Farbenspiel. Daher nannten ihn die ältern Mineralogen *Lapis mutabilis* oder *oculus mundi* (Weltauge), während die ohne Farbenspiel *Hydrophan* heißen. Das eingefogene Wasser verdunstet aber bald, und dann nehmen sie sofort ihre matte Undurchsichtigkeit wieder an. In Oel gekocht sollen sie jahrelang das Farbenspiel zeigen, und mit Wachs oder Balstrath getränkt, werden sie im Feuer durchsichtig (*Pyrophan*), weil dann das Wachs schmilzt. Zum Theil sind solche Dinge schwimmend leicht wie Tabakheer.

2) Gemeiner Opal durch alle Uebergangsstufen auf das Engste mit dem Edlen verbunden, nimmt außer der Milchbläue allerlei andere trübe Farben an, und besitzt in vielen Abänderungen noch bedeutende Durchscheinheit. Das Farbenspiel verschwindet gänzlich. Zu den bekannteren Vorkommnissen gehören Feueropal in Porphyrergängen eines schwarzen Kalksteins von Zimapan in Mexico mit blaßtrüber hyacinthrother Farbe, die bei durchscheinenden Stücken stark in das Feuergelbe spielt, woher der Name. Der wachsgelbe Opal aus den verlassenen Goldgruben von Tellebanga (Kaschau) läßt in zollbicken Stücken noch viel Licht durch, ein Muster für Opal. Wie der Feuerstein überzieht er sich an der Oberfläche in Folge von Verwitterung mit einer dicken weißen Rinde, dieselbe klebt stark an der Zunge und nimmt mit Zischen Wasser auf, wird aber nicht durchsichtig, verhält sich also ganz anders als *Hydrophan*. Solche matten Rinden finden sich noch bei andern gemeinen und Halb-Opalen, man nennt sie auch wohl *Cacholong* pag. 207. Prachtvoll ist zuweilen die apfelgrüne Farbe des *Prasopal* von Rosemütz und Bernstein in Mähren, er verdankt seine

Farbe wie der mitvorkommende Chrysopras dem Nickel. Ueberhaupt ist das Serpentinegebirge von Frankenstein in Schlesien reich an schönen Opalen, worunter der bläulich bis grünlich weiße Milchopal von Rosemütz hervorsticht. Ein rosenrother Opal im Süßwasserkalk von Mehun und Quincq soll seine Farbe organischer Substanz verdanken. Die bittererdehaltigen heißen Quincq.

3) Halbopal nannte Werner die zwischen Augelsjaspis und gemeinem Opal mitten inne stehenden Abänderungen, nur an den Ranten durchscheinend, wenig Glanz und trübe Farbe meist von weiß, grau und braun. Schon 1803 wurde durch Jordan der weiß und braungestreifte Halbopal von Steinheim bei Hanau bekannt, der nach Leonhard auf Gängen im körnigen Basalte (Anamesit) vorkommt. Er kann zwar als Muster dienen und doch geht er öfter in einem einzigen Handstück in Chalcedon und Hornstein über, Beweis genug, wie unsicher die Unterscheidung werden muß. Im Klingsteintuff von Hohentwiel am Bodensee kommen Blöcke von leberbrauner Farbe vor, die an Holzstructur erinnern. Vor allem reich sind jedoch die Trachyt- und Porphyrtruffe von Ungarn, namentlich in der Gegend von Tokaj und Telschbanya, an Farbe intensiv grün, wachsgelb, braun etc. Namentlich geben diese Opale auch das Mittel zu den versteinerten Hölzern, welche Werner

Holzopal nannte, in demselben findet sich meist ein Gemisch von gemeinem und Halb-Opal, und die Holzstructur hat nicht selten auf die ungleiche Vertheilung der Masse wesentlich eingewirkt. Besonders interessant durch das intensive Braun ihrer Farbe sind die Hölzer im Bimsteintuff von Schaiba: die gemeine Opalmasse gleicht hier im Aussehen der erstarrten Brühe von stark gebratenem Kalbfleisch. Jaspopal heißen die von unorganischem Gefüge.

Wenn Halbopale stark durch Eisen gefärbt sind und dabei zum Matten neigen, so nannte sie Werner Opalsjaspis. Auch der zeisiggrüne Chloropal von Ungwar (Ungwarit) mit serpentinarartigem Ansehen gehört zu den unreinen Opalen, die durch Verwitterung leicht leiden, wie Hausmann (Leonh. Jahrb. 1868. 660) im Basalt am Meensfer Steinberge zwischen Göttingen und Münden nachgewiesen hat. Analysen haben da nur einen localen Werth. Die Farbe erinnert auffallend an den ochrigen Hypochlorit (Grüneisenerde) von Schneeberg, der aber 13 Wismuthoxyd und 9,6 Phosphorsäure enthält. Wie die Opale nun auch wirklich zum Feuerstein überspielen, zeigt der

4. Menilit W. vom Ménilmontant bei Paris, wo er Knollen (Knollenstein) im Klebschiefer bildet. Es sind offenbar allerlei unförmliche Kieselconcretionen, die sich nach Art des Feuerstein gebildet haben. Sie neigen etwas zur Schieferung, haben aber im Querbruch ganz den Glanz eines ausgezeichneten Halbopals, von welchen sie sich jedoch durch ihr geognostisches Vorkommen leicht unterscheiden. Am schönsten sind die leberbraunen der Pariser Gegend, namentlich auch ausgezeichnet durch ihre sonderbar verworrene Knotung. Klaproth gibt darin 85,5 Si, 11 B etc. an. Zu Argentueil sind die Knollen grau, brausen aber nicht mit Säure. Bei St. Ouen liegen dagegen Süßwassermuscheln darin, diese werden dann nicht bloß matt, sondern brausen auch, es sind Kieselmergel. Der bekannte und früher

so berühmte Schwimmstein von St. Ouen ist nichts weiter als das Kieselstelet dieser Muschelmenilite, denn der *Bulimus pusillus* sitzt noch unverändert darin. Wirft man ihn auf das Wasser, so zischt er stark und sinkt nach wenigen Minuten unter. Es gibt zwar auch nichtzischende, die gar nicht unter sinken, diese scheinen aber künstlich mit einem fetten Thon überfächert zu sein, der die Oberfläche der Poren verstopft hat. Kieselmergelnollen bilden die Vermittelungsstufe zwischen ächtem Feuerstein und Menilit. Auch die Quarzconcretionen im Süßwasserkalk zeigen eine entschiedene Annäherung zum opalartigen Glanz, und doch sind sie oft ganz von *Planorbis* und *Paludina* species durchwoben. Von höchst regelmäßiger Runzelung und auffallender Formenbildung sind die Kieselmergel aus dem Muschelschale von Leufelingen in der Schweiz, die dann weiter sich an die Mergelnollen anschließen, worin die Kieselsäure schon stärker zurücktritt. Wer hier bloß nach mineralogischen Kennzeichen scheidet, geht in der Irre.

Chrenberg (Pogg. Ann. 38. 466) sucht den Beweis zu führen, daß alle diese Kiesel (er nennt sie Halhopale) aus dem Polirschiefer, namentlich die von Bilin und Luschitz in Böhmen, „durch formlose Kieselmasse cämentirte Infusorien-schalen“ seien. Kieselpanzer von *Gaillonella varians*, *Navicula viridis* etc. kommen wenigstens in großer Menge im Tripel und Polirschiefer vor, so daß diese Kiesel-erde förmliche Infusorienlager (Handbuch der Petrefacten. pag. 691) bildet. Tripel (terra Tripolitana), eine gelbe magere Erde mit 90 Si, kommt über Tripoli aus Nordafrika in den Handel.

Polirschiefer lagern besonders ausgezeichnet im Tertiärgebirge bei Paris, in der Nachbarschaft der Basalte bei Bilin in Böhmen, am Habichtswalde bei Cassel etc. Sie haben einen thonigen Geruch, man könnte sie ihrem Aussehen nach für graue Mergel halten, allein mit Säure brausen sie durchaus nicht. Die compacten kleben so stark an der Zunge (Klebschiefer von Paris), daß sie beim Wegreißen schmerzen. Unsere deutschen zerfallen leicht zu Mehl, nur lagern rauhe Platten dazwischen (Saugschiefer), die zuletzt zu Menilitartigen Opalen werden. Der mehligte Schiefer fühlt sich sehr sanft an. Bei Randan am Puy de Dôme kommt eine gelbliche Erde vor (Randanit), die sich in Säuren löst (lösliche Kiesel-erde), sie hat ungefähr die Consistenz der Kreide, läßt sich aber mit dem Finger zu einem unaussprechlich feinen Mehl zerdrücken, welches bei der geringsten Bewegung die Luft mit feinen Staubwolken erfüllt: das sind Panzer von Infusorienthieren, wie sie sich an vielen Hundert Orten bis in die jüngsten Formationen herauf gefunden haben. Mit $\frac{1}{10}$ Thon gemischt und gebrannt geben sie die bei den Alten so berühmten schwimmenden Ziegeln, die 1791 Fabroni aus dem Bergmehl von Santa Fiora in Toscana wieder herstellte (Pogg. Ann. 26. 505). Sie schwimmen wie Kork auf Wasser!

5. Hyalith Br. wurde von Müller in den Höhlen basaltischer Gesteine der Umgegend von Frankfurt a. M. gefunden (Erlenbach) und daher lange wegen seines glasartigen Aussehens Müller'sches Glas genannt. Er bildet kleintraubige Ueberzüge, die man wegen ihrer Klarheit nicht zum Opal stellen würde, wenn Buchholz nicht 6,3 H darin gefunden hätte, und ihr

Gewicht (2,1) so leicht wäre. Mikroskopische Schliffe zeigen sehr vollkommen concentrische Schichtung, womit auch seine negative doppelte Strahlenbrechung zusammenhängt. Schulze (Jahrb. 1861. 333). Im Basalt von Walsch in Böhmen, im Serpentin von Schlesien (Zobten, Jordansmühle), auch in den Laven von Ischia u. findet er sich. Nach Humboldt tragen die Ameisen von Santjago in Neuspanien Steinchen der Art mit ganz besonderer Auswahl in Haufen zusammen. Er hat einen ähnlichen Ursprung wie Kieselgips an den heißen Quellen Islands, dessen perlartige Oberfläche bald schimmernd bald mattweiß aussieht. Besonders lieblich ahmt der Perlstein von St. Fiora in Toscana auf traubiger Oberfläche den Schein der Perlen nach. Kieselguhr nennt man die weißen oder die Eisenoxydrothgefärbten Massen von Reitanes in Südisland, welche noch Wellenschläge zeigen, gleich dem Karlsbader Sprudelstein. Kieselstuf heißen dagegen die unregelmäßigen Kieselmassen, welche sich um die Mündung des Geysers, der ein 1850tel Kieselgeröl enthält, abgelagert haben, Moos, Blätter, Thierreste u. einwickelnd. Auch die schneeweißen Klüfte (Bianchetto) der Fumarolen entstehen nach Rammelsberg (Zeitschr. deutsch. geol. Gesellsch. XI. 333) aus reiner amorpher Kieselgeröl mit Wasser. Bleibt doch selbst in der Ackertrume auf kieselhaltigen Kalkböden nur Kieselgeröl als Verwitterungsproduct zurück.

Gefritteter Quarz kommt auf mannigfache Weise vor. Im Tertiärgelbe von Paris, im Braunkohlengelbe Norddeutschlands u. nehmen die Sandsteine oft ein Aussehen an, als wären die Quarzkörner zusammengeschmolzen. Wo der Basalt glühend heiß den Buntensandstein in Hessen (Wildenstein) durchbrach, hat er denselben nicht bloß entfärbt und zu Säulen abgefordert, sondern förmlich angeschmolzen, wie die Gesteine im Hochofen. Das merkwürdigste jedoch sind die Blitzröhren, die sich im Quaderandstein auf der Sennerhaide in Westfalen, bei Dresden, Blankenburg am Harz u. finden. Der einschlagende Blitz hat lange verzweigte Röhren gebildet, die außen rauh von anbackenden Sandkörnern, innen aber einen spiegelnden Glanz von einer ausgezeichneten Quarzfritte haben. Man kennt sie schon seit 1761 von Massel bei Breslau, Dr. Fiedler hat sie über 16 Fuß tief in die Erde verfolgt (Gilbert's Ann. 1822. Bd. 61. 301), und Wicke (Pogg. Ann. 106. 133) sah sie in Oldenburg unmittelbar nach dem Einschlagen des Blitzes.

II. Feldspäthe.

Feldspath gehört zwar zu den verbreitetsten Mineralen im Urgeberge, dennoch finden wir im Alterthum keinen Namen dafür. Agricola scheint ihn auf der letzten Seite seiner Werke unter Spatum saxum zu begreifen. Erst seit Denso 1750 in der Uebersetzung von Wallerius Mineral. pag. 87 wird der Name Feldspath gebräuchlich. Unter den Späthen der härteste, daher Spatum scintillans, die Härte leitete Sinn von ein wenig Eisenbeimischung her. Während die andern Späthe auf Gängen im Gebirge versteckt liegen, findet sich dieser in allen Urgebirgsfelsen und auf deren Feldern. Seine

Krystallisation hat zwar Haüy schon richtig erkannt, doch verdanken wir Weiß (Abh. der Berl. Akad. 1816, 1820, 1835 und 1838) eine Reihe von Abhandlungen, die uns mit den Fundamentalverhältnissen der Zonenlehre bekannt machen und die ganze Sache in dieser Beziehung zum Abschluß bringen. Nur rück-sichtlich der Winkel und Zusammensetzung fand G. Rose 1823 (Sib. Ann. 73. 170) Abweichungen, und Kupfer bewies 1828, daß auch der Adular schiefe Axen habe. (Pogg. Ann. 13. 200).

1. Feldspath.

Uebersicht. P 101, M 010, T 110, x 1'01, y 3'01, q 1'03, t 501, r 3'05, l 4'03, k 100, o 1'21, n 141, z 130, g 011, m 321, u 3'41, v 3'81, h 343, s 1'61, d 581, i 1.12.1, μ 1'11, f 16'.3.12, 11.0.1, δ 13'.0.1, π 47'.0.1, T/T 118.48, T/x 140.40, T/y 134.19, P/T 112.16, P/k 116.7, P/x 129.40, P/y 99.38, P/q 145.47, P/t 139, P/n 135.3, P/o 134.42, M/z 150.35, o/o 126.14, n/n 90.7, n/o 136.15, x/o 153.7, P/g 150.52, M/u 123, k/y 144.15.

$$a : b : k = 2,1276 : 3,5977 : 0,043; A/c \ 91^\circ 10'.$$

Unter Feldspath schlechthin wird vorzugsweise **Kalifeldspath** verstanden, ein ausgezeichnetes 2 + 1gliedriges Krystallsystem, aber mit manchen Eigenthümlichkeiten. Der erste Blätterbruch $P = a : c : \infty$ macht mit dem etwas weniger deutlichen 2ten $M = b : \infty a : \infty$ 90° (**Orthoklas**), das ist das wesentlichste Kennzeichen; P gibt sich häufig durch Sprünge und Newtonianische Farben zu erkennen. P gegen Axe c $63^\circ 53'$. Die geschobene Säule $T = a : b : \infty$ macht $118^\circ 48'$, M stumpft nicht bloß ihre scharfe Kante gerade ab, sondern P ist auch gerade auf die stumpfe Kante aufgesetzt, denn P/T beträgt vorn links und rechts $112^\circ 16'$. Und doch hatte der scharfsinnige Haüy schon richtig erkannt, daß von den beiden Säulenflächen T die eine blättriger sei als die andere, man sieht es bei dem Amazonenstein vom Ural sehr deutlich, deßhalb nannte er die blättrigste von beiden T, die andere weniger blättrige l, wodurch jene einundeinkantige Primitivform P M T pag. 100 entstand. Doch da man sich nicht bei allen Feldspathen von diesem Unterschiede überzeugen kann, so muß man wohl bei dem Weiß'schen Symmetriebilde stehen bleiben, was auch die strengsten Messungen fordern. Die hintere Gegenfläche $x = a' : c : \infty$ beugt sich zwar gern aus, ist aber gänzlich unblättrig, und macht die Winkel x zur Axe c $65^\circ 47'$, woraus nach pag. 64 folgt:

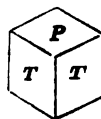
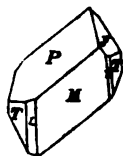
$$a : b : x = \sqrt{4,529} : \sqrt{12,949} : \sqrt{0,001878},$$

Weiß nahm $x = o$ (dann fällt A mit a zu rechtwinkligen Axen zusammen), T/T $= 120^\circ$ und P/T $= P/x = 112^\circ$, woraus sich das schöne Axenverhältniß

$$a : b : c = \sqrt{13} : \sqrt{3 \cdot 13} : \sqrt{3}$$

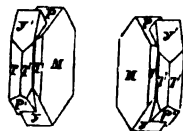
fand, das zu so vielen interessanten Betrachtungen ihm Veranlassung gab.

Aus den 5 Flächen P M T T x (Projectionsfigur pag. 45) wurden so-dann alle deducirt: das hintere Augitpaar $o = a' : \frac{1}{2}b : c$ fällt in die Dia-

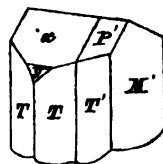


Der Feldspath kommt übrigens häufiger in Zwillingform als einfach vor, und zwar nach folgenden zwei Gesetzen.

1. **Karlsbader Zwillinge:** zwei Individuen haben die sechsseitige Säule TTM gemein und liegen mit ihren Endflächen P und x (y) umgekehrt, so daß das x des einen mit P im andern Individuum fast spiegelt pag. 97. Es ist dadurch eine völlige zweigliedrige Ordnung in den Flächen eingetreten. Gewöhnlich legen sie sich mit dem 2ten Blätterbruch M an einander, und nach ihm werden auch die Säulen tafelartig zusammengebrückt.

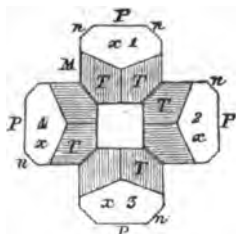


Da am Ende $P/y = 99^\circ 38'$ zu herrschen pflegt, so dringt dieser Kopf des einen durch den Blätterbruch des andern durch, doch so, daß entweder auf der linken (linke) oder auf der rechten Seite (rechte Zwillinge) das P spiegelt. Die Sache wird besonders klar, wenn man die Zwillinge parallel von P quer durchschlägt. Diese Zwillinge sind in den porphyrischen Graniten aller Gegenden in Menge eingesprengt und kommen fast nie in Drusen vor. Wenn die Grundmasse verwittert, so fallen die Krystalle heraus und man kann sie in großer Menge auf den Feldern (Karlsbad und Einbogen) zusammenlesen. Aehneln die Granite dem Porphyr, wie bei Neubau und Fichtelberg an der Südostseite des Ochsenkopfes im Fichtelgebirge, oder am Berge Four-Labroux in der Auvergne, so kann man sie nicht bloß heraus schlagen, sondern sie sind auch noch viel schärfer und schöner als im Granit. Auch der Trachyt, besonders vom Drachensfels am Rhein, Bonn gegenüber, liefert treffliche von glasigem Feldspath. Afterskrystalle mit Glimmer, sogar mit feinkörnigem Zinnstein und Quarz erfüllt kommen zu St. Agnes zc. in Cornwall vor, die fahlfarbigem in verwitterten Porphyr von Ilmenau im Thüringer Wald haben fast genau die Hälfte Ca C, so daß von Feldspathmasse wenig zurückblieb. Wenn P gegen Axe c $63^\circ 53'$, und x gegen c $65^\circ 47'$ machen würde, so könnte x des einen mit P' im andern Individuum nicht einspiegeln, sondern beide müßten sich parallel der Axe b unter einem Winkel von $181^\circ 54'$ schneiden. Nun kommen freilich bei **St. Pietro** auf Elba sehr glänzende schneeweiße Zwillinge mit T M P x y vor, an denen x mit P' vollständig einzuspiegeln scheint, allein leider ist x zu matt, als daß sich die Frage scharf entscheiden ließe.

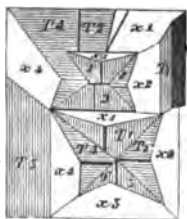


Wenn an den einfachen Krystallen P und M zu einer langen Oblongsäule sich ausdehnen, so pflegen sie einfach zu sein, obgleich sie in denselben Felsen sowohl im Porphyr als auch Granit und Trachyt neben obigen Zwillingen sich eingesprengt finden. Das ist eine sehr auffallende Thatsache. Stehen dagegen diese Oblongsäulen in Drusenräumen, so bilden sie

2. **Bavenoer Zwillinge,** besonders schön zu Baveno am Süden des Lago Maggiore, Warmbrunn im Riesengebirge, und beim Adular der Alpen. Diese Zwillinge haben n gemein und liegen umgekehrt, d. h. es spiegelt die fast quadratische Säule n/n bei beiden ein, nur legt der eine sein P hin, wo der andere sein M hat. Die Individuen 1 und 2 sind dann im



Azimuth der Geradenfläche von der quadratischen Säule n/n um 90° gegen einander verdreht. Sie fordern zu ihrer Vollständigkeit noch zwei andere 3 und 4, welche den ganzen Kreis zu einer vollkommen viergliedrigen Ordnung schließen (Weiß Abhandl. Berl. Akad. 1835). Ganz besonders regelmäßig zu Stohnsdorf östlich Warmbrunn und Schilbau. Von diesem Vierlinge stehen immer je zwei anliegende in Zwillingstellung, Folge davon ist, daß je zwei gegenüberstehende (1 und 3, 2 und 4) den ersten Blätterbruch P gemein haben und umgekehrt liegen. Einige nehmen dieß als ein drittes Zwillingsgesetz. Im Vierlinge legen daher immer je zwei Individuen ihr M wie die andern zwei ihr P haben, und wenn das erste seine Säulenante T/T nach Süd richtet, so das 2te nach West, das 3te nach Nord, und das 4te nach Ost. Man kann diese Individuen nur durcheinander schieben, wie man will, wenn sie nur

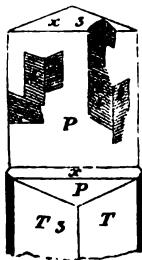


mit sich parallel bewegt werden, so bleibt es der unveränderte Vierling. Ja unter den Abularvierlingen am St. Gotthardt kommt nicht selten ein ganzes Gewirr von Individuen vor, aber man darf nur eines davon nach der Himmelsgegend orientiren, so ergeben sich die andern sogleich von selbst: mehr als ein Vierling kann es unmöglich werden. Im Grunde ist es nichts weiter als das Zwillingsgesetz des 2gl. Systems, wenn man

n/n als rhombische Säule denkt.

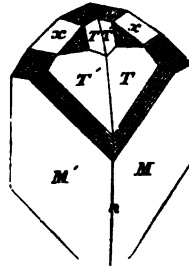
Daß die Ordnung viergliedrig sei, sieht man leicht ein. Denn n/n geben die erste, und P mit M die 2te quadratische Säule, alle übrigen im 2+1-gliedrigen System ein Mal auftretenden Flächen (y , x , k etc.) bilden ein Quadratoctaeder, und alle Paare (T, o, m etc.) Vierundvierkantner.

Die Ausdehnung der Flächen ist freilich so verschiedenartig, daß der Feldspath dadurch zu einem der lehrreichsten Systeme wird. So zeigt z. B. bestehender Abular in seinem Hauptumriß das Individuum 3 mit P T M x z, allein an allen Seiten und in unserer Figur auch auf P brechen die grau gestreiften M des 2ten. und 4ten Individuums heraus, die vollkommen mit P einspiegeln und sich unter einander mit ihrem P begränzen, das senkrecht gegen P des Individuums 3 steht. Das 1ste Individuum pflegt man auf der Fläche der quadratischen Säule nicht wahrzunehmen. Wenn bloß zwei Individuen zum Zwilling

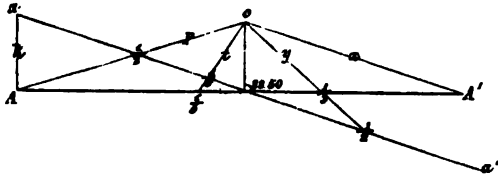


an einander treten, wie das bei Baveno, Warmbrunn und in den Alpen so häufig der Fall ist, so pflegt eine der n sich stark auszudehnen: man stellt die Sache so dar, als wenn ein Krystall diagonal der Oblongsäule PM durchgeschnitten und beide Hälften um 180° gegen einander verdreht wären, obgleich auch hier die Natur freier und erfinderischer in ihren Formen sich zeigt als die Kunst. Bei Baveno erscheint P wie gewaschen, M dagegen mit Chlorit be-

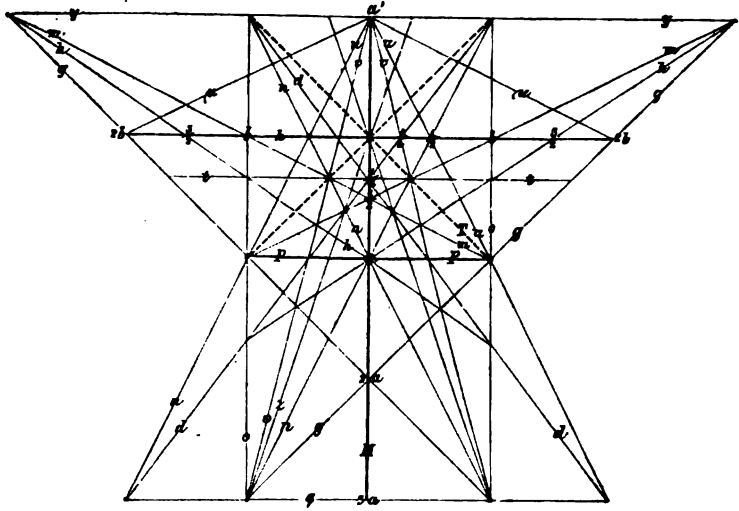
schmugt. Mit Chlorit bedeckt sind ferner T, z, o, die hintere Gegenfläche x nicht. Häufig orientirt der Albit, der sich nur auf die Flächen zTM lagert, und zwar immer parallel den Säulenlanten. Afterskrystalle mit feinkörnigem Glimmer erfüllt finden sich im grünen Busch des Hirschberger Thals (Pogg. Ann. 80. 122), der Glimmer soll sich hier auf nassem Wege gebildet haben.



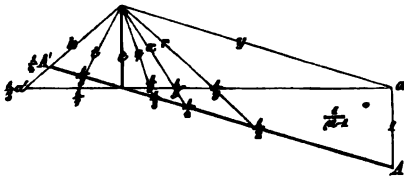
Bemerkung zum Feldspathsystem. Leider weichen seit Mohs die meisten kristallographischen Schriftsteller von unserer Weiß'schen Stellung ab, und meinen damit die Sache verbessert zu haben, während sie in der That nur gründlich verschlechtert ist. Wer einen Krystall gut entwickeln will, muß von gewöhnlich vorhandenen Flächen ausgehen, und das sind beim Feldspath $PMTTxy$, aber nicht o geschweige m, welches man fast nie beobachtet. Ist $o = a' : b : c$ und $m = a : b : c$, so kommen zwar einfachere Zahlenausdrücke pag. 99: $P\ 001, M\ 010, k\ 100, T\ 110, x\ 1'01, y\ 2'01, t\ 201, n\ 021, q\ 2'03, r\ 4'03, z\ 130, h\ 023, i\ 061, u\ 2'21, v\ 2'41, g\ 1'12, s\ 1'31, d\ 241, \mu\ 4'12$, allein ich habe keinen solchen Ausgangspunkt, wie beim Ohtaide $PxTT$, das fast stets vorhanden ist, und woran mittelst der Medianebene M sofort alle Verhältnisse klar deducirt werden können. Namentlich sieht man aus der kleinen Abweichung $A/a = 1^\circ 10'$ sogleich ein, daß schiefe Axen stattfinden müssen, während bei der größern von $26^\circ 7'$ erst durch Rechnung festzustellen ist, daß keine Substitution rechtwinkliger Axen möglich sei. Wollte von der alten Stellung durchaus abgewichen werden, so lägen die Flächen P und y, welche bei den Karlsbader Zwillingen eine so bevorzugte Endigung machen, jedenfalls näher. Man braucht in solchen Fällen nur einen **Aufriß** in der Medianebene M zu machen, und die Durchschnitte der Schiefendflächen einzutragen, dann wird $x = c : ooa : oob$ zur Basis, $y = \frac{1}{4}A' : c = \frac{1}{3-1}a' : c, t = \frac{1}{4}A : c =$



$\frac{1}{5+1}a : c$. Alles kann sofort hingeschrieben werden: $P = \frac{1}{2}a : c : oob, o = ooa : \frac{1}{2}b : c, n = \frac{1}{2}a : \frac{1}{2}b : c, m = \frac{1}{2}a : \frac{1}{2}b : c$ etc. Dann leuchtet weiter ein, daß die Axen a und b hälftig genommen die Ausdrücke an Einfachheit gewinnen, wie nachstehende **Projection** zeigt: $x\ 001, M\ 010, k\ 100; P\ 101, y\ 1'01, T\ 110, o\ 011; n\ 121, m\ 211, g\ 112, u\ 1'21; z\ 130, q\ 103, t\ 301, s\ 031; v\ 1'41, \mu\ 2'12, i\ 161, h\ 323, d\ 341$. Wir haben hier ein zweites System von Bezeichnungen mindestens so einfach, als die Mohs'schen, aber naturgemäßer, weil ihr eine „Grundform“ unterliegt, die an allen Krystallen sich darbietet. Andererseits ladet der Bavenoer Zwilling zu einer nach der Oblongsäule P/M aufrechten Stellung ein. Weiß (Abh. Berl. Akad. Wissensch. 1835) hat dieses Problem schon sehr gründlich abgehandelt. Da n/a



eine quadratische Säule bildet, so haben wir nicht nur den Vortheil gleicher Nebenaxen, sondern es fällt auch die optische Mittellinie fast genau mit der aufrechten Axe c zusammen. Blicken wir nun auf die zahllosen einfachen Oblongsäulen im Trachyt des Drachensfelsens, und in den porphyrischen Graniten des Fichtelgebirges (Neubau), so hat eine solche Deutung allerdings vieles für sich. Weiß nahm in diesem Falle $a : b : c = \sqrt{39} : \sqrt{39} : 1$, dann ist P 100, M 010, n 110, y 101, k 3'01, x 501, r 301, q 901, t 7'01, T 3'41, o 541, z 3'•12•1, u 141, v 181, m 11'•4•1, s 5•12•1, d 7'81, g 13•4•1. Die Symbole erscheinen zwar verwickelt, allein wenn man projicirt, so ergeben sie sich mit wunderbarer Einfachheit und Eleganz, so daß man sie so lieb gewinnt, wie nachstehende einfachsten. Diese lassen sich sofort

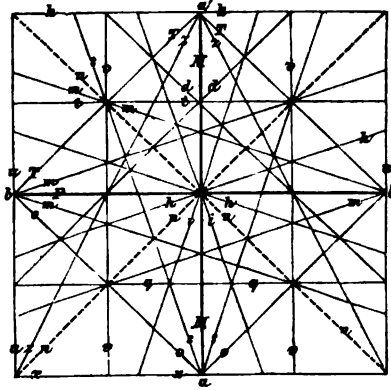


beim Anblick nebenstehenden **Auf-
risses** niederschreiben, woran y als
Basis, x und k als gleichlautende
Schiefendflächen vorn und hinten
gewählt sind: $k = \frac{1}{4}A' : c : \infty b$,
 $x = \frac{1}{4}A : c : \infty b$, $r = \frac{1}{2}A : c : \infty b$,
 $q = \frac{1}{3}A : c : \infty b$, $t = \frac{1}{4}A' : c : \infty b$,

$T = \frac{1}{4}A' : \frac{1}{2}b : c$, $o = \frac{1}{4}A : \frac{1}{2}b : c$, $z = \frac{1}{4}A' : \frac{1}{2}b : c$, $u = c : \frac{1}{2}b : \infty A$,
 $v = c : \frac{1}{2}b : \infty A$, $m = \frac{1}{2}A' : \frac{1}{2}b : c$, $s = \frac{1}{4}A : \frac{1}{2}b : c$, $d = \frac{1}{4}A' : \frac{1}{2}b : c$,
 $g = \frac{1}{2}A : \frac{1}{2}b : c$ u. Fast in allen A und b steckt der Divisor 4, ich darf
also bei gleichen c nur mit 4 multipliciren, um sofort nachstehende **einfache
Projection** mit y 001, P 100, M 010; T 1'11, o 111; x 101, k 1'01, n 110,
u 011; q 201, t 2'01, v 021, r 102; s 131, z 1'31, g 311, m 3'11;
d 2'21; h 310, i 130; μ 041 u. entwerfen zu können. Ein kleines Quadrat
reicht hin, um alle diese schönen Verhältnisse vor Augen zu legen. Keine
andere Azenwahl kann sich in Beziehung auf Einfachheit (Hexaid, Oktaid,

Dodekaëd, Pyramidenherald, Leucitoid etc.) damit messen. Dabei haben wir als Säule, Schiefenflächen, Oktaëde gerade die handgreiflichsten Flächen, welche bei jeglicher Demonstration uns stets entgegen treten: und doch dürfen wir sie nicht wählen, weil die Weiß'sche ursprünglich und unzweideutiger als alle ist.

Optisch spielt Feldspath pag. 125 keine Rolle, da es schwer hält, klare Stücke zu bekommen. Die Schiefenfläche P scheint der optischen Axenebene ungefähr zu entsprechen, deren schiefe Diagonale $a : c$ die Mittellinie (m) bildet, welcher zu beiden Seiten die optischen Axen symmetrisch anliegen, Winkel von 57° bis 70° umschließend. Da der stumpfe ebene Winkel auf P $113^\circ 16'$ beträgt, so würde das Perpendikel vom Mittelpunkt auf die Kanten P/T gefällt ungefähr ihre Lage bezeichnen. Wir hätten also — m, $mc' 63^\circ 53'$. Hr. Descloizeaux gibt beim Adular die Ebene noch 5° unter P an, also $mc' 58^\circ 53'$. Auffallender Weise fand Heuser (Pogg. Ann. 91. 514) den Axenwinkel am glasigen Feldspath der Eifel viel kleiner, und Descloizeaux vermuthet sogar, daß bei ihm die optischen Axen in die Medianebene M fallen könnten, natürlich bei gleicher Lage der Mittellinie. Auffallen muß es ferner, daß die eingliedrigen Feldspäthe zum + Systeme gehören, während der 2+1gl. — ist.



Ein äußerst merkwürdiger Lichtschein von bläulicher Farbe zeigt sich besonders ausgezeichnet beim Adular vom Zillertal auf k und y. Beim Mondstein von Ceylon ist es mehr ein silberglänzender, perlmutterartiger Schimmer, und beim labradorisirenden Feldspath von Friedrichswärn spielen die schönsten Farben pag. 131.

Härte 6, Gew. 2,58, aber durch Verwitterung leichter werdend, weil sie Stoffe verlieren und statt dessen Wasser aufnehmen. Trübe Farbe bis farblos. Glasglanz, auf dem ersten Blätterbruch aber Perlmutterglanz und viele Newtonianische Farben.

$K Si + Al Si^3$ mit etwa 16,6 K; 18,1 Al; 65,2 Si, doch ist ein Theil des Kali durch Natron oder Kalkerde ersetzt. Alex. Mitscherlich (Erdmann's Journ. 1860. 81. 114) fand 0,45 Baryterde im St. Gottshardter Adular und 2,33 Ba im glasigen Feldspath von Nieden bei Bonn. Vor dem Röthrohr schmilzt er schwer zu einem blasigen Glase, und gibt mit Kobaltsolution blaue Ranten an den Proben. In Soda lösen die gebildeten Silicate den Ueberfluß der Thonerde. Das Kali färbt (wenn kein Natron zugegen ist) die innere Röthrohrflamme violett, in Folge einer Reduction und Wiederoxydation des gebildeten Kaliums. Löst man im Boraxglase Nickeloryd und setzt Kalifeldspath zu, so wird die Perle bläulich, bei Natronfeldspath behält sie ihre braune Farbe. Man schließt ihn mit K C oder Ba C

auf. Der Fluß löst sich in Salzsäure, indem sich die Kiesel-erde in Gallertform ausscheidet. Aus der abfiltrirten Flüssigkeit fällt Ammoniak Thonerdehydrat, das bei Gegenwart von Kali- und Natronsalzen im Fällungsmittel ganz unlöslich ist. Etwas Kiesel-erde fällt zugleich mit der Thonerde. Die Flüssigkeit mit oxalsaurem Ammoniak behandelt gibt häufig etwas Ca. Das Uebrige ist Kali- und Natronsalz. Die alten Chemiker waren über die Schmelzbarkeit höchlich verwundert, da sie neben der Si nur Thon-, Talk-, Baryt-, Kalkerde finden konnten, bis endlich Vauquelin (*Journal des mines* 1799. Nr. XLIX. 20) am grünen Feldspath von Sibirien einen Verlust von 16 p. C. nachwies, der in Kali bestand. Es war nach Leucit und Lepidolith das dritte Kalihaltige Mineral. Nun kam auch Valentin Rose (*Scherrer Allg. Journ. der Chemie* 1802. VII. 244) mit dem gemeinen fleischrothen Feldspath von Romnik, der 12 p. C. Kali enthielt, jetzt giengen den Leuten die Augen auf, und man fängt sogar an, das Kali technisch auszubeuten, indem man Feldspath mit Fluß- und Kalkspath zusammenschmilzt, und mit heißem Wasser auslaugt (*Dingler Polyt. Journ.* 150. 217).

Künstlicher Feldspath. Einfache Ca Si oder Fe Si krystallisiren leicht, setzt man aber Kalisilikat hinzu, so verlieren sie die Eigenschaft zu krystallisiren gänzlich, Thonerdesilikat vermindert diese noch mehr, man bekommt nur ein Glas, das andere Silicate im Ueberschuß löst. Ja Silicate von Kali und Thonerde sind so zähflüssig, daß beim Erkalten weder die Masse noch der darin gelöste Körper krystallisirt. Daher glaubte auch Werner, Feldspath könne nur auf nassem Wege entstanden sein. Doch hatte schon Reaumur 1739 gefunden, daß Glas langsam erkaltet krystallinisch werde (entglase) und steinartige Eigenschaften bekomme: es wird nämlich 1) schwerer schmelzbar; 2) härter; 3) schwerer; 4) Leiter der Electricität; 5) bildet es mit Säure eine Gallerte. Hall hat dargethan, daß alle Silicate geschmolzen Gläser geben, langsam erkaltet aber wieder Minerale. Die Verschiedenheit des Gewichtes ist so groß, daß ein Feldspathkrystall von 2,55 Gew. als Glas nur 1,92, also 0,63 Differenz gibt. Demungeachtet wollte es Mitscherlich nach den umfassendsten Versuchen (*Pogg. Ann.* 33. 240) nicht gelingen, Krystalle aus dem Feldspathglase zu bekommen. Endlich fand Hr. Heine 1834 (*Pogg. Ann.* 34. 221) beim Ausblasen eines Kupferferrohofens zu Sangerhausen auf Ofenbruch von schwarzer Blende kleine glasige farblose bis amethystblaue Krystalle von mehreren Linien Größe. Sie bilden sehr deutliche sechsseitige Säulen TTM, an welchen der erste Blätterbruch P allein herrscht. Beide Blätterbrüche P und M lassen sich erkennen, auch sind jetzt beiderlei Zwillinge bekannt: Die Analyse wies Kiesel-erde, Thonerde und Kali nach. Hausmann (*Hdb. Miner.* 221) führt ein zweites Vorkommen aus dem Eisenhohofen zu Josephshütte bei Stolberg auf dem Unterharz an, Prechtel fand einige große Krystalle bei Glasätzen, und Hr. Daubrée stellt ihn sogar willkürlich mittelst Chlorkiesel dar, so daß an einer Bildung auf heißem Wege kaum gezweifelt werden kann. Auf Ergängen fehlt er daher. Obgleich bei Baveno, wo er mit Quarz, Glimmer, und Feldspath bricht, die Quarze auf einer Seite mit einer dünnen Feldspathmasse überzuckert sind, wie wenn es aus

Wasser niedergeschlagen wäre, so ist die Sache doch nicht deutlich. Dagegen werden im Todtliegenden und Porphyrconglomerate von Ober-Wiesla an der Straße von Chemnitz nach Freiberg Abulare mit Bergkry stall und Flußspath aufgeführt, die Knop und Volger (Leonhard's Jahrb. 1859. 500 und 1861. 7) als Bildungen auf nassem Wege ansehen. Auch kommt nach Whitney (Erdmann's Journ. prakt. Chem. 1860. 79. 504) in den Geoden mit Zeolithen auf den Kupfergruben von Keweenaw Point Orthoklas vor.

Verwitterung findet beim Feldspath oft statt, er entfärbt sich, wird matt, weich, leicht, und zerfällt endlich zu Porzellanerde, die in ihrem reinsten Zustande ein schneeweißes mehlintiges Pulver bildet $Al^3 Si^4 H^6$. Würde man statt des Wassers $K^3 Si^3$ setzen, so hätte man wieder $3 K + 3 Al + 12 Si = 3$ Feldspath, daher scheint Wasser blos das lösliche Kalisilicat auszulaugen: Seilitz bei Meissen, Aue bei Schneeberg, Morl und Trotha bei Halle, St. Yrieux bei Limoges.

A. **Frischer Feldspath**, hat nicht das Rauhe des Glasigen, trübe Farben, ein frischfeuchtes Aussehen. Bildet im Urgebirge die Hauptmasse der Granite, Gneise und rothen Porphyre. Auf Klüften und Ganggraniten schießt er nicht selten zu riesigen Kry stallen an.

1. **Adular**. Vater Pini in Mailand entdeckte ihn auf dem Berge Sella zwischen Val Canaria und Hospiz am St. Gotthardt (Bergm. Journ. 1790. III. 1 pag. 265), den er fälschlich für den Mons Adula hielt. Es ist der klarste unter allen, der in prachtvollen Zwillingen, Drillingen und Vierlingen in Begleitung von Bergkry stallen bricht, namentlich ausgezeichnet auch im Zillertal. Flächen z und M mit Chlorit bedeckt, matt ist z immer. Ganz klare und meßbare Kry stallen selten. Kupfer benützt zu seinen Messungen die kleinen Kry stallen vom Schwarzenstein im Zillertal. Jener innere bläuliche Lichtschein pag. 131 öfter bemerkbar; solche Stücke rundlich geschliffen kommen im Handel als Mondstein vor. Sie sollen von Ceylon in Geschrieben schon den Alten bekannt gewesen sein, doch zeigt sich bei diesen nicht das innere bläuliche Licht, sondern überhaupt ein innerer Silberschein wie bei der Perlmutter. Auf M entdeckt Reusch zarte Streifen, welche Axe c unter 10° schneiden, und d correspondiren. Der Sonnenstein zeigt ein Farbenspiel zwischen gelb und roth. Letztern glaubt Dr. Fiebler an der Selenga in Sibirien (Pogg. Ann. 46. 189) wieder entdeckt zu haben, Scheerer (Pogg. Ann. 64. 189) beschreibt darunter einen Oligoklas von Ivedestrand. Jedenfalls ist das blaue Licht der alpinischen Abulare (Schweiz und Tyrol) eine prachtvolle Erscheinung, die uns aber nur bei zwei Richtungen überrascht, sonst kaum bemerkt wird. Hyalophan aus dem Dolomit des Binnenthal's im Oberwallis, 2,8 Gew., gleicht sonst dem Adular vollkommen, soll aber 14 p. C. Baryterde enthalten (Sart. v. Waltershausen Pogg. Ann. 1855. 94. 115, Renngott Uebers. Miner. Forsch. 1856. 107). Breithaupt's Poroklas (Pogg. Ann. 1846. 67. 410) in Kaltspath von Hammond (New-York) mit Graphit gleicht dem Adular mit geflossener Oberfläche.

2. Labradorisirender Feldspath kommt in ausgezeichnete Weise im Jirton-Syenit von Friedrichswärn im südlichen Norwegen vor.

Der Feldspath ist graulich, röthlich 2c., sein innerer Farbenschein brennend grün und blau, ähnlich dem Labrador, mit dem er daher auch noch von Werner (Goffmann, Handb. Miner. 1812. II. 204) verwechselt wurde. Allein das Lichtspiel liegt auf k und y und nicht auf M. Der Murchisonit von Greter soll auf δ schillern. Ein eigenthümlicher Seidenglanz auf T kommt bei Zinnwald vor (Leonhard's Jahrb. 1856. 40).

3. Amazonenstein fand sich zuerst in Geschieben vom Amazonasstrom in Brasilien, dann lernte man ihn an der Ostseite des Amazonas bei Miasik in ausgezeichneten Krystallen kennen. Er hat eine schöne spangrüne Farbe, die von einer zufälligen Spur von Kupferoxyd herrührt, was sich beim Schmelzen mit Soda auf Kohle reducirt. Pulverisirt man die Perle, so findet sich im Pulver eine kleine Kupferplatte (G. Rose). Der schönen Farbe wegen wird er in Katharinenburg vielfach verschliffen. Auffallend ist an ihm, daß eines der T entschieden blättriger ist, als das andere, trotzdem daß Dufrenoy fälschlich versichert (Traité Minér. III. 227), es existire bei den Kalifeldspathen ein solcher Unterschied gar nicht. Er soll zuweilen Albitkrystalle in nicht unbeträchtlicher Menge einschließen, woraus ein ähnlicher Natrongehalt leicht zu erklären wäre.

4. Gemeiner Feldspath mit allerlei trüben Farben, worunter hauptsächlich Roth vorherrscht. Aber selbst bei diesen fleischrothen gewahrt man zuweilen einen Lichtschein, sofern sie nur einigermaßen Durchscheintheit besitzen. Als Gemengtheil des Granites außerordentlich verbreitet. Wird der Granit in Gängen oder andern Ausscheidungen grobkörnig, so wachsen die Feldspäthe nicht selten zu riesiger Größe an, so zu Rabenstein bei Bodenmais; die wohl ausgebildeten Krystalle von Alabaster bei Mursinsk erreichen über 1 Fuß im Durchmesser; bei Miasik setzt die Flucht der Blätterbrüche P und M so regelmäßig und weit fort, daß ein ganzer Steinbruch in einem einzigen Krystall stehen soll. Die mitbrechenden Quarzkrystalle erzeugen gewöhnlich Schriftgranit. Zwillinge, welche die Säule MT gemein haben, finden sich im Granit vom mittlern Korn immer eingesprengt, dagegen bilden sich die mit gemeinsamer Säule n/n immer auf Drusenräumen aus. Breithaupt's Mikroklin von Baveno am Süden des Lago Maggiore und dem Krötenloch bei Schwarzbach im Hirschberger Thal des Riesengebirges: ihre Säulenflächen an beiden Orten mit glasklaren Albitkrystallen bedeckt, die wie aus der Feldspathmasse herausgeschwigt erscheinen, und doch hatte der Hirschberger noch 5 p. C. Natron, der Bavenoer 1,25 Na (G. Rose Pogg. Ann. 80. 124). Letzterem sieht man namentlich die Verwitterung an, er ist matt und leichter (Gew. 2,39) geworden. Gar lieblich sind die milchweißen Krystalle mit Turmalin auf Elba brechend, Pegmatolith Breith. Der reine gemeine Feldspath, wo er in größern Mengen vorkommt, bildet einen Gegenstand des Bergbaues, besonders für die Glasur des Porzellans wichtig. Bei Siebenlehn in Sachsen sehr schön blumigblättrig. Der graue im Kalkspath von Arendal hat ein geflossenes Ansehen, ganz wie Paragast, und doch sitzt er satt im Kalke.

B. Glasiger Feldspath, Rose's Sanidin (s. Tafel, Klaproth Beiträge V. 14),

ist spröder und meist ungefärbt, man findet ihn nur in vulkanischen Gesteinen, und seine Uebereinstimmung mit dem künstlichen in Hochöfen gebildeten fällt auf. Der reinste möchte Werner's Eispath sein, der sich besonders schön mit kohlschwarzen Hornblend-Nadeln in körnigen Blöcken an der Somma des Vesuvius findet. Wie wohl darunter auch andere farblose Dinge verwechselt wurden, woran jene Laven so reich sind. Einzelne Krystalle in kleinen Drusenräumen haben wahrhafte Edelsteinklarheit, daher sieht die Masse auch schneeweiß aus. Am Racher See sind die Auswürflinge zwar sehr deutlich, aber nicht so klar und grauer. Ihre Zusammensetzung stimmt mit den reinsten fast gänzlich natronfreien Abularabänderungen (G. Rose Pogg. Ann. 28. 147). Dagegen enthalten die großen im Tracht von Drachensfels am Rhein bei Bonn eingesprengten Krystalle 8 K und 4 Na, und trotzdem ist der Winkel der beiden Blätterbrüche ein rechter. G. Rose l. c. 151 hat sogar bei Eispathen vom Vesuv, die mit schwarzem Augit und Glimmer nebst derben Nephelin brachen, 10,5 Na auf 5,9 K gefunden, und schlug dafür den Namen *Rhyacolith* (ῥιαξ Lavaström) vor, weil der Säulenwinkel T/T $119^{\circ} 21'$, also $32'$ größer war als beim Abular, doch stehen die Blätterbrüche P und M noch auf einander senkrecht, und das scheint das entscheidende Moment zu sein. Zwar gaben die Analysen weniger Kiesel-erde, doch zweifelt G. Rose (Krystallogem. Mineral. pag. 88) neuerlich selbst an der Richtigkeit dieser Angabe. Bei Dürkweiler in der Eifel kommen späthige Stücke von vielen Pfund Schwere vor, solche könnte man leicht mit Abular verwechseln, doch zeigen sie niemals chloritischen Anflug. Glocker's Saccarit von Frankenstein ist ein derber feinkörniger Feldspath von zuckerweißem Ansehen; Forchhammer's Baulit (Krablit) vom Baulaberge am Krabla mit 80 p. C. Kiesel-erde ein mit Quarz gemengter Feldspath (Bunsen).

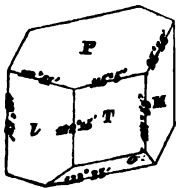
Dichter Feldspath (Feldstein). Hat den splittrigen Bruch und das Aussehen eines ächten Hornsteins, allein er schmilzt an den Ranten, was der reine Quarz nicht thut. Durch Verwitterung erzeugt sich matter Thonstein. Die Analysen geben 70—80 p. C. und noch mehr Kiesel-erde an. Daher hat man vielleicht mit Recht den Feldstein nicht sowohl für einen dichten Feldspath, als vielmehr für einen dichten Granit gehalten, worin der freie Quarz den höhern Gehalt an Kiesel-erde erklären würde. Da nun Feldstein häufig die Grundmasse der rothen Porphyre bildet, so würden Feldstein, rothe Porphyre und Granit aus gleicher chemischer Substanz bestehen und nur durch ihre Structur sich von einander unterscheiden. In Schweden ist er unter dem Namen *Fälleflinta* bekannt, so kommt er ausgezeichnet neben den Magneteisensteinlagern von Dannemora u. vor, besonders lieblich sind die dortigen fleischrothen. Ebenso gleicht Obsidian einem geschmolzenen und schnell erkalteten Trachyt.

2. Natronfeldspath.

Lange war nur ein solcher bekannt, den G. Rose nach der weißen Farbe *Albit* (Cleavelandit Brooke) nannte (Silber's Ann. 73. 186). Er hat

ganz die Feldspathformel, nur Statt K enthält er Na. 1824 machte Breithaupt den **Periklin** von Zöblitz bekannt, in welchem Ch. Gmelin 10 Na und 2,4 Ka fand, und da er bald darauf auch so vortrefflich krystallisirt in den Alpen vorkam (Pogg. Ann. 8. 88), so war man über diese Mittelspecies zwischen Albit und Feldspath sehr erfreut. Mochten auch spätere Analysen das Kali für unwesentlich halten, so verdient er doch wegen seines so verschiedenen Aussehens immerhin neben dem Albit genannt zu werden. 1826 gefesselte Breithaupt (Pogg. Ann. 8. 128) **Oligoklas** von Arendal hinzu, den Berzelius schon vorher aus dem Granit von Stockholm als Natronspodumen untersucht hatte, und der einige Procent Kieselerde weniger gab als Albit. Uebergehen wir außerdem die vielen kleinlichen Unterscheidungen, welche man versucht hat, so ist vielleicht noch Abich's **Andesin** (Pogg. Ann. 51. 128) zu erwähnen, in den Trachyten (Buch's Andesiten) der Anden in Amerika die Hauptrolle spielend, und zu der glasigen Abänderung gehörend. Uebrigens ist es sehr merkwürdig, daß alle diese theilweis schon von ältern Mineralogen ausgezeichneten Minerale dem

1 + 1 gliedrigen System angehören, aber mit ihrer Form unterschieden dem Feldspath analog bleiben (Neumann, Abh. Berl. Akad. Wissensch. 1830. 120). Der gut meßbare Albit hat eine rhomboidische Säule $T/l = 122^\circ 15'$, $T = a : b : \infty$ ist beim trüben Periklin nach seinem Perlmutterglanz zu schließen mindestens so blättrig als $M = b : \infty a : \infty$, während $l = a : b' : \infty$ bloß Glasglanz zeigt. Beim Albit hat zwar T nicht den Perlmutterglanz, aber einen Unterschied von l kann man auch nachweisen. Dieser Ungleichheit der Säulenflächen entsprechend stumpft nun M die scharfe Säulenkante ungleich ab, indem $M/T = 117^\circ 53'$, und $M/l = 119^\circ 52'$ beträgt.



Der erste Blätterbruch $P = a : c : \infty$ ist doppelt schief, $P/T = 115^\circ 5'$ und $P/l = 110^\circ 51'$, folglich stehen auch die beiden Blätterbrüche $P/M = 93^\circ 36'$ nicht mehr auf einander senkrecht, worin das wesentlichste Kennzeichen besteht. Will man diese Winkel auf ein Modell eintragen, so muß man sie so schreiben, daß die stumpfere Endkante P/T an die stumpfe Kante P/M stößt, wie in nebenstehender Figur. Schon Breithaupt weist einen 4ten Blätterbruch $o' = a' : \frac{1}{2}b' : c$ nach, $o/P 122^\circ 23'$ $o/M 112^\circ 11'$, gründet darauf seinen Namen **Tetartin** ($PMT o'$ sind blättrig), und allerdings läßt sich das bei etwas größern Krystallen, wie z. B. von Schmirn im Zillerthal, wo o' mindestens so blättrig ist als T, erkennen. Es liegen PTo' in einer Zone, so daß T den scharfen Winkel von $P/o' = 57^\circ 37'$ abstumpft. Hiermit ist auch die Streifung auf P erklärt, die schief darüber hingeht, stets der Kante P/T und nie der P/l parallel, da in letzterer keine blättrige o' liegt. Wohl kommen öfter P/l parallel sehr eigenthümlich feine schwarze Furchen vor, die man aber nicht mit der Streifung verwechseln darf. Häufig stumpft $g' = b' : c : \infty a$ die Kante P/o' ab; $x = a' : c : \infty$, $y = \frac{1}{2}a' : c : \infty$, vorn $n' = a : \frac{1}{2}b' : c$, und von der zehnsseitigen ist sowohl $z = a : b : \infty$ als $z' = a : b' : \infty$ vorhanden. Kurz wer die

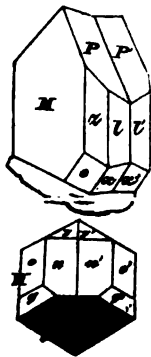
Flächen des Feldspaths kennt, kann auch diese eingliedrigen Krystalle leicht entziffern. Was die Rechnung betrifft, so verfährt man am besten nach der sphärischen Trigonometrie, nur findet hier der Uebelstand statt, daß man schrittweis trianguliren muß, und nicht jeden beliebigen Winkel sogleich finden kann. Wer dieß will, muß den Weg einschlagen, welchen ich (Beiträge zur rechnenden Krystallogr., Tübingen 1848. Universitätsprogramm pag. 21) ausgeführt habe. Man kann da ganz allgemein nach den Gesetzen der Zonenlehre sämtliche Flächen auf rechtwinklige Azen ($A = B = C = 1$), aber mit irrationalen Ausdrücken beziehen. Stricheln wir wie oben die Aze A hinten und die B links,

$$\begin{aligned} \text{so ist } P &= \frac{A}{0,5} : \frac{B}{0,07}; T = \frac{A}{0,992} : \frac{B}{0,525} : \infty C : 1 = \frac{A}{0,992} : \frac{B'}{0,569} \\ &: \infty C; x = \frac{A'}{0,491} : \frac{B}{0,093}; y = \frac{A'}{1,483} : \frac{B}{0,115}; o = \frac{A'}{0,491} : \frac{B}{0,64}; o' = \\ &\frac{A'}{0,491} : \frac{B'}{0,454}; n = \frac{A}{0,5} : \frac{B}{1,165}; n' = \frac{A}{0,5} : \frac{B'}{1,023}; g' = \frac{A}{0,004} : \frac{B'}{0,191} \\ g &= \frac{A}{0,004} : \frac{B}{0,37}; z' = \frac{A}{0,992} : \frac{B'}{1,663}; z = \frac{A}{0,992} : \frac{B}{1,619}. \end{aligned}$$

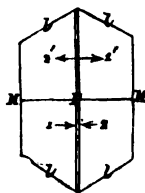
Wir haben die Buchstaben A B C blos gesetzt um zu orientiren. Das Rechnen geschieht nun mit der Winkelformel des regulären Systems pag. 58.

Zwillinge sind fast sämtliche Krystalle. Wir danken darüber Hrn. Dr. Kasper (Pogg. Ann. 34. 100) eine scharfsinnige Auseinandersetzung. Man spricht dabei viel von den Diagonalen der Schiefendfläche P im Senkenoeder PTI: die lange entspricht der Aze b, die kurze dagegen der Naumann'schen Klinodiagonale, die wir α oder kurzweg schiefe Diagonale nennen wollen, sie geht der Kante PM parallel.

1. Albitzwilling. Zwei Individuen haben M (c und α) gemein und liegen umgekehrt. Zu dem Ende mache man sich zwei gleiche Modelle PTIM aus Holz. Daraus bildet M ein Parallelogramm. Weider M decken sich dann auf zweierlei Weise: ein Mal spiegeln alle 4 Paralleldräume, die Individuen liegen also parallel; das andere Mal spiegelt blos M ein und P/P' machen einen aus- oder einspringenden Winkel von $172^\circ 48' = 2 \cdot 86^\circ 24'$. Eine Folge davon ist, daß in den Zwillingindividuen die Aze c und schiefe Diagonale α einander parallel gehen. Derselbe Zweck wird erreicht, wenn man ein Individuum in der Mitte parallel M durchsägt, und die Hälften um 180° gegen einander verdreht. Durch den Zwilling ist jetzt eine höhere 2 + 1gliedrige Ordnung hingestellt. Beim Oligoklas und Labrador setzen sich ganze Reihen von Individuen (8) aneinander, woran je die P aller geraden und aller ungeraden mit einander einspiegeln. Es wird das durch Streifungen auf P angedeutet, die der schiefen Diagonale α parallel gehen, aber oft so fein sind, daß sie nur der höchsten Aufmerksamkeit nicht entgehen. Diese „Zwillinge“ zu



nennen scheint nicht ganz passend. Beim Zählen der Lamellen muß man übrigens sehr vorsichtig sein: denn häufig spiegeln z. B. 1 • 2 mit ihrem P ein, dann muß der Strich dazwischen, so zart er auch sein mag, einer dritten Lamelle angehören, die sowohl zu 1 als zu 2 in Zwillingstellung sich findet. Statt 1 • 2 ist dann 1 • 3 zu zählen, da 2 in den Strich fallen muß.

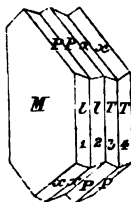


Durchkreuzungen dürfen nicht irre leiten. So kommen in einem dolomitischen Kalk des Col du Bon homme südwestlich vom Mt. Blanc kleine ringsum gebildete Krystalle vor, die Hr. Hefenberg (Sendenbergsche Nat. Gesellsch. 1858. II. pag. 163) vortrefflich beschrieben hat: auf P gewahrt man vor der Querlinie MM einen einspringenden, und dahinter einen auspringenden Winkel, während 1 mit 1' und 2 mit 2' ein spiegelt. Mit vier Holzmodellen macht man sich leicht klar, daß es nur zwei Individuen nach dem gewöhnlichen Zwillingsgesetz sein können.

2. Albit analog dem Karlsbader Zwillingsgesetz: Die Individuen haben die Säule MTL gemein, und liegen umgekehrt, d. h. der eine hat seinen Blätterbruch P hinten, der andere vorn. Liegen die Individuen wie gewöhnlich mit M aneinander, so kreuzen sich entweder die stumpfen Winkel P/M (rechte, weil der Blätterbruch P rechts liegt), oder die scharfen, linke. Also ganz die Abtheilungen wie beim Feldspath. Man kommt zu der Stellung, wenn man den einen um die Axe c (Säulenkante) 180° dreht.

Kayser macht noch auf einen zweiten Fall aufmerksam: sie drehen sich 180° um eine Linie, die im M senkrecht auf Axe c steht, dann hätten die Individuen nur M aus der Säule gemein (c parallel und α gekreuzt), die andern Säulenflächen T und L würden widersinnig liegen und nicht ein spiegeln, auch würden sich die ungleichnamigen Kanten P/M in M kreuzen. Die Streifung P/T scheint zu beweisen, daß dieß beim einfachen Zwilling nicht vorkommt.

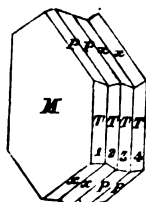
Vierling. Oft sind solche Zwillingseindividen schon Zwillinge nach dem ersten Gesetz. Man kann die Sache einfach so ansehen, daß sich an dem Karlsbader Albitzwilling (2 und 3) jederseits noch ein Individuum (1 und 4) nach dem gewöhnlichen Albitgesetz angelagert habe. Statt P haben wir dann an einem Ende einspringende, am andern auspringende Winkel. Wie die Individuen 2 und 3, so haben auch 1 und 4 die Säule MTL gemein, und nur die Enden liegen umgekehrt.



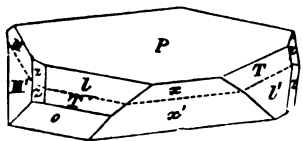
Folge davon ist, daß Individuum 1 • 3 und 2 • 4 ihre Säulen widersinnig legen, wenn dann aber z. B. zwischen 1 und 3 das zwischensliegende 2 verschwindend klein werden würde, welche Art Drillinge allerdings vorkommen, so würde das obigen 2ten Fall Kayser's vom Karlsbader Albitzwillingsgesetz geben.

Es kommt z. B. bei Schmirner Vierlingen sehr schön vor, daß die

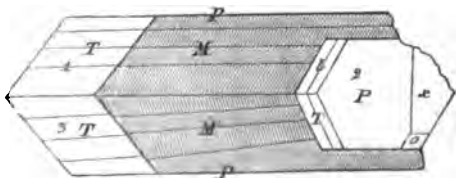
Individuen 1 • 3 und 2 • 4 ihre Säulen gemein haben, dann liegen in den Säulen vorn alle T und hinten alle l, und die beiden Individuen 1 und 2 haben oben vorn ihren auspringenden Winkel P/P, 3 und 4 aber hinten ihren einspringenden. Auf diese Weise ist die zweigliedrige Ordnung am vollkommensten erreicht, indem auch beide Enden des Vierlings gleich sind, und sich nicht ein Mal durch Aus- und Einspringen mehr unterscheiden. Wie sehr übrigens solche Vierlinge an den Karlsbader Zwilling sich anlehnen, das zeigen die schönen Stücke vom grünen Busche bei Hirschberg: dort überzieht Albit die ganze Vorder- und Hinterseite der Zwillingssäule von Kalifeldspath, so daß am Kalifeldspath die einfache P und x stets analogen Zwillingssäulen am Albit entsprechen.



3. Periklinzwillinge (Oligoklas, Labrador): die Individuen legen sich mit P so aneinander, daß die schiefe Diagonale α beiden gemein ist, und auf M aus- und einspringende Winkel entstehen. Die Säulenflächen Tl liegen dabei widersinnig. Mathematisch kommt man dazu, wenn man ein Individuum 180° um eine Linie dreht, die in P senkrecht auf $\alpha = P/M$ steht. Der Periklin kommt dem Albit entgegen immer in so kurzen Säulen vor, daß sich statt der stumpfen Säulenkante T/l die Schiefendflächen P/x in einer scharfen horizontalen Kante schneiden. Es findet sich kaum ein einfacher Krystall, sondern alle zeigen M aus- oder einspringend nach Querlinien geknickt, die ungefähr der Kante P/M parallel gehen. Oft klemmen sich bloß Zwillingstücke ein, so daß auch hier wieder eine Reihenentwicklung Statt findet, worin alle geraden und ungeraden Zahlen einander parallel gehen. Daß bei so eingeklemmten Stücken die Säulenflächen widersinnig liegen, kann man deutlich beobachten, da T sehr blättrig ist, Perlmutterglanz und newtonianische Farben zeigt.



4. Periklin (Albit) analog dem Bavenoer Zwillingesgesetz. Im Pfunders-Thal (zwischen Sterzing und Brunneden) kommen weiße Krystalle von $\frac{1}{2}$ Fuß Länge mit Chlorit bedeckt vor, dieselben zeigen viele Knicke und Streifen, was entschieden auf Zwillingbildung deutet. Solche Zwillinge legen sich nun zu zwei mit ihrem P aneinander und so gegenüber, wie die Individuen 1 und 3 beim Bavenoer-Gesetz. Es scheint P beiden so gemein zu sein, daß sowohl b als α aufeinander fallen, es müssen daher in ihrer umgekehrten Lage T und l beide mit einander correspondiren. Dann entsteht auf M hüben ein auspringender und drüben ein einspringender Winkel. Man drehe also bloß ein Individuum auf P um 180° . Würden T und l nicht correspondiren, d. h. würde man ein Individuum 180° um α drehen, so



gäbe es auf M weder aus- noch einspringende Winkel, was nicht der Fall. Nun legt sich dagegen ein dritter Zwilling (2), welcher seinen ersten Blätterbruch ungefähr so legt, wie die beiden ersten (1 und 3) ihren 2ten hatten. Wenn dazu nun ein 4tes käme, so wäre der Achtling geschlossen. Die Kristalle sind durch den Chlorit zu undeutlich, als daß man ihre Lage genau ermitteln könnte. Auch sind im Ganzen derartige Untersuchungen so minutiös, daß von einer mathematischen Sicherheit überhaupt nicht die Rede sein kann. Aber aus der Gruppirung geht hervor, daß hier durch den Achtling eine vollkommene viergliedrige Ordnung hergestellt ist. Da auf den Säulen Bavenoer Zwillinge häufig Albit ausschwigt, so stehen auch diese nach dem Zwillingsgesetze. Uebrigens kommt der Albit von Schmirn, obgleich selten, so doch schon darin vor, was Neumann schon gemessen und abgebildet hat. Daran hängen aber nicht selten Stücke nach dem gewöhnlichen Albitgesetz (1).

a) Albit mit obigen Winkeln, Härte 6, Gew. 2,63. Spaltet man die Kristalle von Schmirn parallel M, so kommt im Polarisationsmikroskop das Bild einer Aze zum Vorschein. Nach Hrn. Senarmont liegt die optische Azebene ähnlich wie beim Kalifeldspath pag. 223., aber b ist die Mittellinie; Albit ist +, von großer Klarheit mit Bergkrytall am St. Gotthardt, zu Bourg d'Oisans, mit Mesitinspath am Hainzenberg im Zillertal, und besonders schön im Schmirner Thal (östlich des Brenner Paß), wo er mit Kalkspath in Klüften eines grauen Dolomites bricht. Schon L. v. Buch brachte das Ausschwigen an Säulen der Bavenoer Zwillinge zur Sprache, was sich dann bei Hirschberg, Saar in Mähren zc. ausgezeichnet wiederholt, und zwar stehen die klaren Individuen auf beiden Seiten der eisenküssigen Säulenflächen Zwillingartig gegen einander gekehrt (Epochen der Natur pag. 87). Zu Township in Canada soll er nach Hunt regelmäßig (sogar lamellenweis) mit Adular verwachsen. Ganz besonders merkwürdig sind die sattelförmig gekrümmten Drusen des Schriftgranits von Komitz. Man weiß da gar nicht mehr, was man Feldspath und was Albit nennen soll, und man würde die krummen Flächen des Feldspaths kaum richtig deuten, wenn nicht vorn an der Stirn die kleinen Albitsäulen die Anschauung leiteten. Rechter Albit soll sich mehr auf Gangartiges Vorkommen beschränken, während die eingesprengten im Granit mit trüben Farben neuerlich zum Oligoklas gestellt werden. Freilich bleibt es um die sichere Bestimmung eine mißliche Sache. $\text{Na Si} + \text{Al Si}^2$, schwer schmelzbar wie Feldspath, färbt aber die Flamme gelb, das Gelb eines ruhig brennenden Kerzenlichtes. 69,3 Si, 19,1 Al, 11,6 Na.

b) Periklin in den Alpen leicht durch seine trübe Farbe und seine niedrigen Säulen vom Albit zu unterscheiden, wenn man auch auf die kleinen Winkelunterschiede ($T/\text{I} = 120^\circ 37'$, $P/\text{M} = 86^\circ 41'$) gar kein Gewicht legen will. Der Kaligehalt von 2,5 p. C. kann freilich nichts beweisen, da man heute weiß, wie leicht sich Natron und Kali austauschen. Vorzüglich gern mit Chlorit bedeckt im Tyroler Hochgebirge.

c) Oligoklas (*ὀλιγος* wenig), weil Breithaupt T und o weniger blättrig als beim Albit fand. Bei Ytterby in Schweden kommt er in weißen groß-

blättrigen Parthien vor, welche auf P eine Menge Zwillingstreifen zeigen. Er steht übrigens dem Albit so nahe, daß man ihn mineralogisch kaum trennen kann, daher wurde er auch lange nach Breithaupt's Bestimmung immer noch für Albit angesprochen. Doch ist er etwas kieseldeärmer und kalkreicher als Albit, vielleicht auch etwas schwerer 2,68 Gew., und jedenfalls etwas schmelzbarer. Scheerer fand im Sonnenstein von Tvedestrand 61,3 Si, 23,8 Al, 4,8 Ca, 8,5 Na, 1,3 K, darnach $(\text{Na}, \text{Ca}) \text{Si} + \text{Al Si}^2$, so daß die Formel im 2ten Gliede abweicht. Im Granite vom Riesengebirge, Schwarzwald 2c. ganz gewöhnlich klein beigemengt (Pogg. Ann. 56. 217); in dem zum Bauen viel verwendeten Granite von Finnland (Napakiivi, Trebernstein) umgibt er die großen Feldspathkrystalle mit einer grünen Hülle; der bekannte grüne antike Porphyry (Lapis Lacedaemonius) enthält ihn. Jedemfalls begeht man keinen bedeutenden Fehler, wenn man solche Minerale noch zum Albit stellt. Ja der ursprünglich sogenannte Oligoklas im Kalkspath von Arendal einer trüben Masse von Seifenartigem Ansehen gleichend möchte Hr. Hesseberg ausdrücklich wieder zum Albit gestellt wissen. Der Sonnenstein von Tvedestrand und Kragerö gleicht einem „Avanturinfeldspath“ mit rothen Eisenoryzblättchen. Er ist durchsichtig und mit zahllosen Zwillingstreifen bedeckt. Sein prächtiger rother Schiller erscheint auf dem 1ten Blätterbruch P, wenn man die Zwillingstreifen median und das Auge senkrecht darüber stellt; 180° im Azimuth gedreht verschwindet er, und tritt erst bei einer starken Neigung wieder hervor. Die Risse, welche den Schiller bedingen, kreuzen und accomodiren sich der ersten Rantenzone P/T.

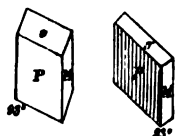
d) **Andesin** nannte Abich den glasigen Albit aus den Trachyten der Anden, die L. v. Buch mit so vielem Nachdruck als ein besonderes Gestein (Andesit) von unsern europäischen Trachyten, die nur glasigen Feldspath enthielten, geschieden wissen wollte (Pogg. Ann. 37. 100). Allein auch dieser Albit wurde heutiges Tages ein Pseudo-Albit von der Formel $(\text{Na}, \text{Ca})^3 \text{Si}^2 + 3 \text{Al Si}^2$ mit 59,6 Si, 24,3 Al, 1,6 Fe, 5,8 Ca, 1,1 Mg, 1,1 K, 6,5 Na. Mineralogisch hielt man ihn früher allgemein für ächten Albit. Andere Chemiker haben darüber wieder anders geurtheilt, und allerdings kann bei so verwandten Dingen die Analyse allein kaum entscheiden. Hunt (Jahrb. 1858. 202) stellt sie zum Oligoklas, der in Canada sogar schön blau vorkommt.

3. Kalkfeldspäthe.

Die kieseldeärmsten kommen meist mit Augit zusammen in glasigen wie frischen Gesteinen vor. Zwar sind sie nicht ganz frei von Natron und Kali, wie umgekehrt auch die Kali- Natronfeldspäthe nicht ganz der Kalkerde entbehren, allein die Kalkerde herrscht entschieden vor. Können durch bloße Säuren aufgeschlossen werden. Denkt man sie sich mit Wasser verbunden, so entstehen die Formeln einiger ausgezeichneten Zeolithe, was zu manchen Wechselwirkungen dieser beiden Mineralabtheilungen führte.

Labrador. Wegen seines schönen Farbenspiels wurden die Missionäre der deutschen Brüdergemeinde auf der St. Paulinsel an der Labradorküste schon im vorigen Jahrhundert (1775) auf ihn aufmerksam. Er findet sich

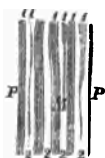
dasselbst in Geschieben, auf ganz gleiche Weise wie in der germanisch-sarmatischen Ebene (an der Pulkowka bei Petersburg). Obgleich schon Klaproth darin 11 p. C. Kalkerde nachwies, so verwechselte ihn Werner doch noch mit dem labradorisirenden Feldspath von Norwegen, erst seit G. Rose (Gilbert's Ann. 1823. 73. 194) wird diese Verwechselung allgemein vermieden. Kry- stallisirt wie Albit und fast mit den gleichen Winkeln P/M $86^{\circ} 30'$, P/T 115° , M/T 119° . Seit Hessel (Taschenbuch Miner. 1826. 298) meinte man, der dritte Blätterbruch T liege nicht wie beim Albit an der stumpfen, sondern an der scharfen Kante P/M , so daß sich Albit und Labrador wie links und rechts verhielten. Allein der blättrige Säulenbruch T ist beim Labrador kaum zu erkennen. Der dritte Blätterbruch fällt vielmehr mit der 2ten Schillerfläche



Albit.

Labrador.

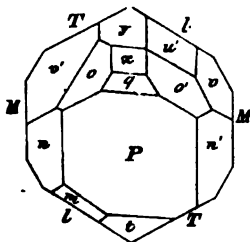
τ pag. 132 zusammen, M/τ 134° , P/τ 108° . Fläche τ steht dem 4ten Blätterbruch σ beim Albit analog: stellt man nach diesen parallel, so liegt allerdings der scharfe Winkel P/M beim Albit rechts, beim Labrador links. Das schöne Farbenspiel von Blau, Grün und Roth findet vorzugsweis auf M und τ Statt, wodurch sich die Stücke leicht vom labradorisirenden Feldspath unterscheiden. P hat meist zahllose zarte Zwillingstreife nach der



Klinodiagonale $a : c$ gemäß dem Albitgesetz; M seltener gebänderte Streifen gemäß dem Periklingesetz: stellt man die Bänder ungefähr median, so tritt bei horizontalem M und senkrechtem Auge das Farbenspiel der einen (1) hervor; kehrt man dann M gegen das Licht, so schwinden sie und die andern (2) werfen ihren Glanz. Dreht man das horizontale M 180° im Azimuth, so tritt nun umgekehrt die Farbe auf 2 heraus u. Es ist das eine der interessantesten Vermischungen von zweierlei Zwillingsgesetzen. Hessel nannte sie uneigentlich Drillinge. Dünne Blätter scheinen stark durch, Farbe gewöhnlich schwarzgrau. Gew. 2,7 und Feldspathhärte. Er schmilzt etwas leichter als Feldspath, und besteht aus $(Ca, Na) Si + Al Si$, etwa 54,6 Si, 27,9 Al, 12 Ca, 5,4 Na. Die schönsten stark farbespielenden kommen zum Theil in großen Blöcken von der nordamerikanischen Klippe Labrador. Nordenskjöld (Pogg. Ann. 1830. 19. 170) machte seine Betrachtungen über das Farbenspiel an sehr klaren Stücken aus den Eisengruben von Djamo bei Sojo in Finnland. Die meisten andern Vorkommen zeigen kein Farbenspiel: so der wesentliche Gemengtheil augitischer Gebirgsarten, frisch in der Gabbro von Le Prese im Veltlin mit vielen Streifen auf P und Zwillingen analog dem Karlsbadergesetz; glasig in den Augitlaven, von besonderer Schönheit im Val del Bove am Aetna. Der Skapolithähnliche Ersbyit von Ersby in Finnland (Zährb. 1858. 212) soll nach Nordenskjöld ein reiner Kalklabrador $Ca Al Si^2$ sein.

Anorthit (*Ανορθος* nicht rechtwinklig) G. Rose Gilbert's Ann. 73. 197, Christianite und Biotina Monticelli 1825 Mineralogia Vesuviana 438, aus den Kalkblöcken oder den ihnen anhängenden Glimmerfelsen mit grünem Augit, welche zerstreut an den Abhängen der Somma liegen (Zährb. 1853. 257).

Kleine aber wohl gebildete glasige Krystalle mit großem Glanz und vielen Flächen. P/M $85^\circ 48'$, T/l $120^\circ 30'$, M/T $117^\circ 28'$, P/T $110^\circ 57'$, P/l $= 114^\circ 22'$. Die Flächen der P sind blättrig, dagegen ist T glänzender als l, obgleich über die Blättrigkeit derselben nicht entschieden werden kann. Da der Winkel P/T kleiner ist als P/l , so läge T, umgekehrt wie beim Albit, der scharfen Kante der Blätterbrüche P/M an. Das scheint unwahrscheinlich, daher wäre es passender gewesen, G. Rose hätte die Buchstaben T und l vertauscht, und nicht gegenständig mit den Albitwinkeln genommen. Mit der Formenkenntnis des Feldspath sind diese überaus zierlichen Krystalle oft leichter als die Natronfeldspäthe zu entziffern. Außer $PMTlk$ kommen die Schiefenflächen xyq und vorn die beim Feldspath so seltene $t = \frac{1}{2}a : c : \infty b$ vor; ferner analoge Augitpaare oo' , nn' , uu' , vv' und die Säule zz' . Vorn sieht man auch öfter $mm' = \frac{1}{2}a : \frac{1}{2}b : c$, kurz alles ahmt Feldspath nach. Häufig kommt der Albitzwilling mit einspringenden Winkeln von $171^\circ 36'$ auf P. Gew. 2,76. Auf der Säulenfläche tritt im Polarisationsmikroskop ein sehr deutlicher Farbkreis auf. Die chemische Formel $Ca^2 Si + 3 Al Si$ weicht freilich von den gewöhnlichen Feldspathformeln wesentlich ab, was bei seiner Formenähnlichkeit unangenehm auffällt, doch fand Abich (Pogg. Ann. 51. 222) 44 Si, 35 Al, 19 Ca, aber bemerkt auch ausdrücklich, wie schwer es halte, reine Substanz zu bekommen. Shepard in Südcarolina (Silliman's Americ. Journ. 2. ser. II. 281) beweist, daß das weiße Mineral mit Feldspathform und einspringenden Winkeln auf P im Meteorstein von Juvenas Anorthit sei. Bournon's Indianit (Phil. Transact. 1802. 223) nach Brooke eine blättrige Säule von $95^\circ 15'$, in Indien das Muttergestein des Korunds bildend, scheint auch nach der Analyse hierhin zu gehören. Patrobit (Chr. Smelin, chem. Unterf. Diplois 1825, von der Insel Amitot bei Labrador bildet blaß-rosenrothe 1gl. blättrige Hexaide mit Winkeln von $93 \cdot 30$, $101 \cdot 45$, 109° . Gew. 2,7, Härte 5—6.



Saussurit wurde von dem berühmten Alpenreisenden in Gesehien am Genfersee, bei Turin u. gefunden. Er hieß es Jade, die sich leicht an dem grünen mitvorkommenden Diassag erkennen läßt. Eine graue, sehr zähe, hornsteinartige Substanz, 3,2 Gew. und Feldspathhärte. Schmilzt schwer an feinen Ranten. Klaproth gab darin 44 Si, 30 Al, 6 Na, 4 Ca an. Gewöhnlich belegt man die dichte Feldspathmasse in den Gabbrogesteinen mit diesem Namen, vielleicht verhält sie sich zum Labrador, wie der Feldstein zum Feldspath.

Schlussbemerkung. Selten bilden Minerale eine so natürliche Familie, wie Feldspäthe. Winkel und Substanz sind daher auch Gegenstand vielfacher Untersuchungen gewesen, die zuletzt sich ganz im Kleinlichen verlieren. Hr. Breithaupt (Berg- und Hüttenm. Zeit. 1861. 72) liebt es besonders, den geringsten Differenzen nachzuspüren. Man kann darüber verschiedener Meinung sein, doch hatte mein College Zsch die Güte, mittelst Calcul die

Messungen der 9 Winkel am glasigen Feldspath vom Vesuv (Pogg. Ann. XV. 302) zu prüfen, und fand das unerwartete Resultat, daß der wahrscheinliche Fehler eines einzelnen beobachteten Winkels noch keine volle Minute ($0', 82$) betrage. Es beträgt die

Neigung gegen Hauptaxe c beim:

	P	x	Differenz
1) Periklin	62 . 2	65 . 44	3 . 42
2) Tetartin	63 . 25	63 . 58	0 . 33
3) Mikroklin	63 . 26	66 . 8	2 . 42
4) Logopas	63 . 38	65 . 37	1 . 59
5) Anorthit	63 . 46	64 . 41	0 . 55
6) Pegmatolith	63 . 46	65 . 26	1 . 40
7) Oligopas	63 . 46	unbekannt.	
8) Sanidin	63 . 53	64 . 41	0 . 46
9) Abular	64 . 1	65 . 44	1 . 43

Bei allem ist P steiler als x, bis auf den Abular sogar absolut steiler. Von den unzählbaren chemischen Abänderungen, die zu entwirren naturhistorisch unmöglich scheint, gibt Hr. Scherer (Jahrb. 1854. 300) eine lange Tabelle.

4. Lithionminerale.

Das Lithion findet sich in nicht sonderlicher Menge, und wird häufig schon durch purpurrothe Färbung der Flamme erkannt, besonders „wenn man an glühende Splitter in der Pincette saures schwefelsaures Kali anschnilt und weiter darauf bläst.“ Auch scheint es keine eigentlichen Lithionfeldspäthe zu geben. Doch nennen wir hier vor allem den

Petalit (*πέταλον* Blatt). Andrada (Scherer's Journ. Chem. IV. 80) beschreibt ihn schon 1800 von der Insel Utö südlich Stockholm, aber man blieb darüber lange ungewiß, bis endlich wieder gefunden Arfvedson darin 1818 das Lithium (*Λιθιον* steinern), ein dem Steinreich ausschließlich angehöriges Alkali, entdeckte.

Krystallsystem unbekannt: Zwei ungleiche Blätterbrüche bilden ungefähr einen Winkel von 141° , der erste davon ist deutlich, der zweite kann im dunkeln Zimmer noch zum ungefähren Messen benützt werden. Ein dritter freilich oft kaum bemerkbarer stumpft die scharfe Säulenkante der rhomboidischen Säule schief ab, und soll mit 1 etwa 170° , folglich mit 2 etwa 102° bilden. Der Querbruch eigenthümlich matt erinnert an den Querbruch vom Diassag. Milchweiß, öfter ein Stich ins röthliche durch Mangan, wie der mitvorkommende Lithionglimmer. Feldspathhärte. Gewicht aber nur 2,43.

Vor dem Löthrohr schmilzt er leichter als Feldspath und färbt dabei die innere Flamme sehr schön purpurroth. Von Säuren wird er nicht angegriffen. 3 (Li, Na) $\text{Si}^2 + 4 \text{Al Si}^3$, etwa 77 Si, 18 Al, ältere Analysen gaben reichlich 5 Li an, allein Hagen (Pogg. Ann. 48. 301) hat bewiesen, daß dasselbe aus 2,7 Li und 2,3 Na bestehe. Das Mineral kommt in großen körnigen Massen mit Spodumen und Lithionglimmer in Granitgängen vor,

welche die Magneteisen-Lagerstätten von Utö durchsetzen. Breithaupt's *Rea-*st o r aus Drusenräumen des Albits von Elba, von quarzartigem Aussehen, scheint nach G. Rose (Pogg. Ann. 79. 189) *Betalit* zu sein, aber ohne Natron, 2,7 Li. Vergl. auch den äußerst seltenen *Zygadit* (Pogg. Ann. 69. 441) von *Katharina* Neufang bei Andreasberg mit albitartigen Zwillingen.

Spodumēn Andrada (von *σποδιω*?) Hauy's *Triphyen* nach seinem 3fachen Blätterbruch, zwei undeutliche Blätterbrüche schneiden sich unter 87° und 93° , die scharfe Kante stumpft der erste blättrige Bruch gerade ab, nach welchem das Mineral gern strahlig und schaalig wird. Diese Winkel stimmen mit *Augit*, und neuerlich entdeckte Hartwall in den Quarzadern des Glimmerschiefers von Norwich in Massachusetts fußlange Strahlen und $1\frac{1}{2}$ Zoll dicke Krystalle, deren Bildung dem *Augit* vollkommen zu entsprechen scheint (Silliman Americ. Journ. 2. ser 10. 119 und 120). Berggrüne Farbe. Härte 6 bis 7, Gew. 3,2. Man kann die Strahlen namentlich auch wegen ihrer schaaligen Absonderung leicht mit gewissem *Diopsid* und *Epidot* verwechseln, aber vor dem Löthrohr färbt er die Flamme purpurroth, da kleine Splitter leicht schmelzen.

(Li, Na)³ Si² + 4 Al Si² mit 65 Si, 29 Al, 5,5 Li, 0,46 Na.

Eine solche Zusammensetzung läßt sich mit *Augit* schwer vereinigen, und doch bringt Rammelsberg (Pogg. Ann. 85. 522) das Atomvolumen 44 heraus, was genau das doppelte von *Augit* sei, wodurch man den Isomorphismus erklären will. Auf Utö kommt er in einem granitischen Gemenge mit rothem Feldspath vor, in Tyrol zu *Baltigl* bei *Sterzing*, *Lisens*, *Killiney* bei *Dublin* etc.

Hauptmineral für Gewinnung des *Lithion* ist der *Lithionglimmer* von *Rozena* 3,6 Li. Es haben der seltene *Amblygonit* 6 Li, *Triphylin* 3,4 Li, *Lithionturmalin*, *Rhodizit*.

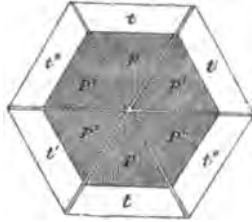
III. Glimmer.

Ist ohne Zweifel von den Alten gekannt, aber man findet den Namen nicht, *Agricola* 696 begreift ihn unter *mica et selium argentum*, *Ragen-*silber, weil seit alter Zeit in den gläsernden Blättchen der gemeine Mann Silber vermuthete. Von diesem Glänzen (Glimmern) stammt auch der alte Bergmännische Name (*mica Krume*, *micare Glizen*). Mineralogisch ist man selten im Zweifel, was man zur Glimmergruppe stellen soll, denn alle haben einen so ausgezeichneten Blätterbruch mit Perlmutterglanz, daß sie in dieser Beziehung von keinem andern Minerale erreicht geschweige denn übertroffen werden. Ueber das

Krystallsystem herrschen noch Zweifel. Hauy beschreibt ihn als rhombische Tafeln $M = a : b : \infty$ von 120° , deren scharfe Kante durch $r = b : \infty a : \infty c$ abgestumpft wird. Die Geradenfläche $P = c : \infty a : \infty b$ bildet den Blätterbruch, schwache Neigung zum Brechen nach den Säulen ist zuweilen durch Streifung auf *P* angedeutet. Solche rhombischen Tafeln finden sich im *Granit* von *Zwiesel* und *Lam* in *Bayern*, man kann hier an der Rechtwinklichkeit der Säule zum Blätterbruch kaum zweifeln. Vom *Baikal-*see erwähnt *Dufrénoy* *Rhombenoktaeder* $b^2 = a : b : c$, welche mit *P* unge-



macht P mit Hauptaxe c $62^{\circ} 51'$ und $a:b:c = 1:1,732:1,477$, P 001, r 010, g 110, M 1'11, m 2'23, u 221, x 401, i 1'01, y 2'03, t 041, v 130, s 1'32. Sehr lehrreich sind die Zwillinge und **Drillinge**, welche auch bei andern Glimmern namentlich von Zinnwalde ausgezeichnet vorkommen, man erkennt sie an der Streifung längs der Axe b, gefüllt sich dann t hinzu, so entsteht ein förmliches Dihexaeder. Das deutet entschieden auf zweigliedriges System, was auch die Farben der Lemniscaten zu beweisen scheinen, worin man zwischen vorn und hinten keine Verschiedenheit wahrnimmt. Die Unsymmetrie der Seiten, wie sie z. B. bei Monroe nördlich New-York (Kengott Pogg. Ann. 73. 608) in großen Tafeln vorkommt, darf uns nicht beirren, der Character solcher Flächen ist ohnehin nicht einmal scharf. Dagegen erscheint Pennin vom Monte Rosa und Ripidolith aus dem Zillertal wieder ausgezeichnet Rhomboedrisch mit $63^{\circ} 15'$ in den Endkanten. Aber selbst hier erregt das optische Verhalten Verdacht, denn sie sind versteckt zweiaxig. Als Endresultat dürfte sich vielleicht ergeben, daß keine Glimmersorte dem schiefaxigen Systeme angehöre, sondern zwischen 2- und 3gliedrigen Systemen spiele.



Optisch unterscheidet man längst ein- und zweiaxige Glimmer, jene müßten 3-laxigen, diese mindestens 2gliedrigen Systemen angehören. Allein schon ein kleiner Versuch mit den schönen braunen Platten von Westpoint nördlich New-York genügt, das Mißliche dieses Merkmals einzusehen: eine dünne Platte zeigt freilich bloß ein einaxiges Kreuz, allein sowie man sie etwas dicker nimmt, so ändert das Centrum bei der Drehung zwischen Turmalinplatten oder besser im Nörrenberg'schen Polarisationsmikroskop. Ja schon Dove hat nachgewiesen, daß wenn man gekühltes Glas im polarisirten Lichte durch die dünnsten Blättchen vom laxigen Glimmer betrachtet, so erscheint bei der Drehung des Blättchens auf dem Glase abwechselnd ein dunkles und helles Kreuz, was auf versteckte Zweiaxigkeit hinweist. Nach Hr. Senarmont (Ann. Chim. et Phys. 1852. XXXIV. pag. 171) ist hier eben so wenig Sicherheit zu erwarten, als bei der Krystallform. Wenn man dennoch vom laxigen Glimmer (Biotit) spricht, so meint man eben 2axige mit möglichst kleinen Axenwinkeln. Gewöhnlich liegt die Ebene der optischen Axen in a c, welche zwei gegenüberliegende Winkel der sechsseitigen Tafeln verbindet. Zuweilen kommen jedoch nach Senarmont auch Blätter vor, wo diese Ebene senkrecht gegen die Seitenflächen steht, was man nach der Streifung auf P beurtheilen kann, sie müßte dann in b c liegen. Die allermerkwürdigste Thatsache, durch eine Bemerkung Senarmont's beim Zusammenkrystallisiren isomorpher Salze veranlaßt, hat Nörrenberg nachgewiesen: schneidet man sich aus dünnen Blättchen ($\frac{1}{4}$ Undulation) des zweiaxigen Glimmers kleine quadratische Täfelchen, und schichtet sie wechselsweise um 90° verdreht aufeinander, so daß also alle geraden und alle ungeraden krystallographisch parallel stehen und ihre optischen Axenebenen sich rechtwinklig kreuzen, so bekommt

man schon bei 12 + 12 Platten statt des 2zigen ein vollständig 1ziges Bild! Sechsgliedrig gedacht wäre dieß nichts weiter als eine Zwillingungsverwachsung! Die Optiker sprechen viel von Glimmerplatten mit $\frac{1}{4}$ Undulation ($\frac{1}{4}\lambda$ pag. 123): dieselben verschafft man sich durch Probiren an bekannten Krystallen im Polarisationsmikroskop. Thun 2 Blättchen übereinander dieselbe Wirkung, so haben sie $\frac{1}{2}\lambda$ u. Vergleichs auch Blasse Silliman Amer. Journ. 2. ser. 12. 6 und Dove Pogg. Ann. 89. 222. $H. = 1 - 3$, Gew. 2,78—3. Starker Perlmutterglanz auf dem blättrigen Bruch, quer kann man ihn gar nicht brechen. Trübe Farbe aber viel Durchscheintheit bis zur Farblosigkeit. Durchsichtige Blättchen zwischen den Fingern gerieben werden leicht elektrisch, und behalten die Electricität lange.

Vor dem Löthrohr leicht und schwer schmelzbar bis fast zum unschmelzbaren. Von Säuren bald wenig, bald stark angegriffen. Si, Al, Ka, Mg, Li, Fe, H. Ein Fluorgehalt nimmt mit dem Eisengehalt zu und ab, und soll die Stelle des Sauerstoffs vertreten.

Der Glimmer spielt eine wichtige Rolle seit den ältesten Urgebirgssteinen bis in unsere brennenden Vulkane hinein. Die neuern sind ein wenig spröder und nicht so frisch als die ältern. Mitscherlich (Abh. Berl. Akad. Wiss. 1822. pag. 36) hat sogar eine glimmerartige Substanz nachgewiesen, die sich früher in den Kupferschlacken von Garpenberg in Schweden gebildet hat. Deßhalb müssen wohl die meisten Glimmerarten auf heißem Wege entstanden sein, wenngleich Andeutungen für nasse Bildung pag. 221 vorkommen, und namentlich die Talle auf eine großartige Metamorphose durch circulirende Gewässer hinzuweisen scheinen.

Nur wenige Minerale bilden eine so natürliche Gruppe durch ihr Aussehen, als die Glimmer, woran besonders der ausgezeichnete blättrige Bruch die Schuld trägt. Man kann die Masse schon mit dem bloßen Finger und nicht selten in so feine Blättchen theilen, daß sie wie die Oberfläche der Seifenblasen die brennendsten Regenbogenfarben reflectiren. Und doch sind diese Blättchen ihrem Inhalte nach so verschieden, daß man alle möglichen Hypothesen versucht hat, um sie in ein Gesamtbild zu bringen. Chemiker, denen dieß nicht gelang, haben die einzelnen Arten, in sehr unnatürlicher Weise, an verschiedenen Stellen untergebracht. Das heißt aber der Sache Gewalt anthun. Während andererseits die an dem Rande eines Abgrundes zu stehen scheinen, welche durch „heteromere“ Formeln (Hermann in Erdmanns Journ. pract. Chem. 1851. Bd. 53. pag. 1) ein Licht aufzustecken meinen.

1. **Kaliglimmer** — optisch 2zig (Muskowit), unter allen bei weitem der verbreitetste, daher Mica Agricola 608 in lapidibus, marmoribus, arenis lucet metallici nostri nominant vocabulo ex fele et argento composito. Unter Marmor muß man hier den Granit verstehen. Plinius 36. 46 sagt: in Arabia quoque esse lapidem vitri modo translucidum, quo utantur pro specularibus, das mag wohl der Glimmer sein, obgleich man vor der Verwechslung mit Gyps nicht sicher ist, wie noch heute das Volk beide unter dem Namen Marienglas begreift.

In hohem Grade elastisch biegsam. Härte 2—3, Gew. 2,8—3. Graue,

gelbe, grüne, braune, röthliche u. Farben. Häufig scheinbar ganz undurchsichtig, aber mache man die Blätter nur dünne genug, so lassen sie Licht durch. Durch Verwitterung oder künstliches Glühen nehmen die schwarzen öfter ein tombakbraunes halbmetalliches Ansehen an (Ragengold).

Wird weder von Schwefel- noch Salzsäure angegriffen, schmilzt im allgemeinen schwer, doch täuscht die Dünne der Blättchen leicht. Als ein wesentlicher Bestandtheil der Granite und Gneise nähert er sich unter allen Glimmerarten am meisten dem Feldspath, daher hat H. Rose schon in Schweigger's Journ. 21. 282 die Formel $KSi + 4 AlSi$ aufgestellt, die Analyse gab im Glimmer von Utö 47,5 Si, 37,2 Al, 3,2 Fe, 9,6 K, 0,56 Fl, 2,6 H. Ein brauner von Cornwall enthält sogar nach Turner 2,7 Fl. Freilich geben einzelne Analysen einen viel geringern Thonerdegehalt an.

In Sibirien kommen so große und klare Abänderungen vor, daß man dieselben in Rußland als Fensterglas benutzt, daher Russisches Glas genannt. Man kann sie schneiden und nähen, sie überfrieren im Winter nicht, zerspringen nicht bei starken Lufterstütterungen. Die grobkörnigen Granite von Bodenmais, Aschaffenburg, Schweden liefern auch große Platten. Meist sind jedoch die Blätter klein, nehmen in derben Stücken zuweilen ein blumig blättriges Gefüge an (Bresburg). Eigenthümliche Glimmertugeln liegen auf jumpfigen Wiesen von Hermansschlag in Mähren, woran brauner Glimmer mit safrigem Strahlstein concentrisch wechsellagert.

2. **Lithionglimmer** schmilzt mit Aufwallen und färbt dabei die Flamme schön purpurroth. Die pfirsichblüthrothen — optisch 2axigen Blätter aus dem Granit von Chursdorf schmelzen schon im bloßen Kerzenlicht. Bunsen stellte daraus Rubidium dar, obgleich es nur 0,2 pC. (Seibels. Jahrb. der Litter. 1861. LIV. 574) nebst Spuren von Cäsium enthält. Ch. Smelin machte zuerst auf Lithion im Glimmer aufmerksam (Gilbert's Ann. 64. 571), zugleich sind es die reichsten an Fluor, das bei denen von Mursinsk auf 10,4 pC. steigen soll. Ueber die Formel schwebt man noch im Unsichern. Für die Fluorreichsten schlägt Rammelsberg vor, $(Li, Na, Ka) Fl + (Al, Mn) Si^2$. Concentrirte Schwefelsäure greift ihn schon an. Man kann hauptsächlich zweierlei Varietäten unterscheiden

a) **Lepidolith**, pfirsichblüthroth durch etwas Manganoxyd, bildet derbe körnige Massen im Urgebirge, meist mit andern Lithionmineralen zusammen. Der erste für die Darstellung des Lithion so wichtige (Dingler polyt. Journ. 142. 227) kam vom Berge Gradisko bei Rozna (sprich Roschna) Herrschaft Pernstein in Mähren (Bergmänn. Journ. VI. 1. pag. 285), und wurde nach seiner Farbe auch wohl Lilalith genannt; über ein Kloster mächtig begleitet er einen den Gneis durchsetzenden Ganggranit. Sehr schön großblättrig zu Chursdorf, Utö, Scheitansel und Mursinsk am südlichen Ural, Paris im Staate Maine mit grünem Turmalin. Letztere geben gewöhnlich im Polarisationsmikroskop verworrene Bilder.

b) **Zinnwaldit** nannte Haibinger die grauen auf den Zinnsteingängen von Sachsen, sie sind optisch 2axig, und kommen in sechsseitigen Tafeln vor,

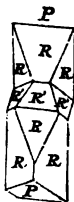
welche mit den Kanten aufwachsen. Der blättrige Bruch zeigt öfter eine federartige Streifung, was mit Zwillingungsverhältnissen zusammenhängt, wie Grailich (Sitzungsber. Wien. Akad. XXVII. 4.) direct nachweist. Mit Alkohol



hat Stein aus Stücken von Altenberg organische Substanz ausgezogen. Interessant sind die grünschuppigen Säulen zwischen weißen Quarzkristallen von Rozna, dieselben gleichen innen auf dem Blätterbruch einem Bergglimmer mit scharfen Umrissen der sechsseitigen Säule, um welche sich ein Kranz von schuppigen Strahlen angelegt hat.

3. **Magnesiaglimmer**, meist — optisch einaxig (**Diotit**). Obgleich seltener, ist doch der lauchgrüne (im reflectirten Lichte schwarze) aus dem Granit (Miascit) des Almgebirges am Südrural sehr bekannt. Rose gibt davon Krystalle von 6" Höhe und 9" Breite an, es kommen Platten von $3\frac{1}{4}'$ Durchmesser vor, ja Haug erwähnt schon von 25 Quadratfuß. Merkwürdiger Weise stimmen chemisch die schwarzgrünen Krystalle in den Auswürflingen der Somma mit dem besten Magnesiaglimmer (Chodnew Pogg. Ann. 61. 551), und doch sind es mineralogisch die einzig meßbaren von 2 + 1-gliedrigem Typus, der 2gliedrig bedeutet wird; wonach sie nicht 1axig sein können. Der Axenwinkel beträgt oft kaum 1° . Man mag daher immer noch von einaxigen sprechen, mit dem gehörigen Vorbehalt. Also in diesem Sinne Einaxig sind ferner die dunkelfarbigten Glimmer aus den Basaltischen Tuffen von Bilin (Rubellan), vom Rachersee, der schwäbischen Alp u., denn die kleinsten durchsichtigen Splitter genügen zur Untersuchung im Norrenberg'schen Polarisationsapparat. Da sie nun auch im Kalkstein von Bargas, bei Sala, Monroe, in Grönland vorkommen, so fehlt es gerade nicht an ihrer Verbreitung. Außerlich kann man sie von den vorigen nicht unterscheiden, allein von concentrirter Schwefelsäure werden sie zerseht, nur die Kiesel Erde bleibt in dünnen Blättchen zurück. Der Sibirische enthält nach H. Rose (Mg, Fe, Ka)³ Si + (Al, Fe) Si, etwa 40 Si, 19 Fe, 12,6 Al, 15,7 Mg, 5,6 K, Flußsäure, die alpinischen häufig etwas Titanhaltig. Die Besuvischen haben 24,5 Mg, von Baikalsee sogar 26 Mg. Der große Talkerdegehalt führt uns zum

4. **Chlorit**, *χλωρός* grün, von Werner nach seiner schwärzlich grünen (Berggrünen) Farbe passend genannt. Da er in den Alpengegenden ausgezeichnet auftritt, so wurde schon von Saussure (Voyag. Alp. 1786. III. 105) auf ihn hingewiesen. In Beziehung auf seine äußern Kennzeichen hält er durchaus die Mitte zwischen dem eigentlichen Glimmer und Talk, daher ist die Ent-



scheidung öfter nach einer der beiden Seiten hin nicht möglich. Durch sein Vorkommen neigt er sich mehr zum Talk. Die schönsten scheinbar rhomboedrischen und daher — optisch einaxigen Krystalle von entenblauer Farbe stammen aus den Penninischen Alpen bei Zermatt im Hintergrunde des Matterthales am Fuße des Monte Rosa (Fröbel's **Pennin.** Pogg. Ann. 50. 552). Ihre scharfen Rhomboeder $63^\circ 15'$ in den Endkanten bilden öfter Zwillinge, welche den blättrigen Bruch gemein haben. Besonders bemerkenswerth ist ihr aus-

gezeichneter Dichroismus, indem sie quer gegen die Hauptaxe lichtgelb oder braun durchscheinen, wie man sich an kleinen Krystallen besonders aber durch geschliffene Platten überzeugt. Bei einer Stellung werden die gelben Platten im polarisirten Lichte wieder grün. Ganz derselbe Dichroismus zeigt sich beim **Alinochlor**, der aber + optisch 2axig ist. Daher erhielt er bei Chester in Pennsylvanien diesen Namen, der dann auf diesseitige übergetragen wurde. Optisch scheint Werner's entenblauer Talf von Taberg (Tabergit) ebenfalls dahin zu gehören. Kobell's Ripidolith (*kurze Fächer*) vom Schwarzenstein im Zillerthal hat ebenfalls den schönsten Dichroismus, wird aber 1axig und 2axig gefunden. Ebenso der violblaue bis röthliche Kämmererit, der in Begleitung des Uwarowit bei Bissersk auf Chromeisenstein vorkommt (Schriften Russ. Kais. Mineral. Gesellsch. Petersb. 1842. I. pag. LXXX) und insofern dem Rhodochrom (G. Rose Reise Ural. II. 107) von Ryschtimsk und Baltimore gleicht. Der gelblichweiße Leuchtenbergit von Slatoust ist wieder + 1axig. Es mögen darunter schon Dinge stecken, die in Talf und Serpentin hinüberspielen. Das merkwürdigste in unsern Alpen sind jene **wurmförmigen** sechsseitigen Säulen, Volger's Helminth: im **Alathal** (Piemont) mit Granat und Diopsid sind sie lichtgrün, und so wohl gebildet, daß man ihre optische Zweiaxigkeit leicht erkennt; am St. Gotthardt werden sie sehr bauchig und dunkel, am Grispalt im Tavetschthal kann man selbst den feinsten chloritischen Staub, der namentlich die Bergkrystalle bedeckt, unter dem Mikroskop als schnörkelförmig gekrümmt erkennen. So leicht uns einzelne solche Erscheinungen leiten, so schwer wird es doch wieder alles sicher zu ordnen, namentlich auf der Gränze zum Talf hin.



Dieselbe und vielleicht noch größere Schwierigkeit tritt chemisch ein. Vor dem Löthrohr brennen sie sich weiß oder doch lichter, schmelzen aber schwer. Im wesentlichen sind es wasserhaltige Talfglimmer, die ihre Färbung Eisen verdanken. Die Oxydationsstufe des Eisens läßt sich jedoch nicht mit Sicherheit bestimmen. Nach Rammelsberg (Pogg. Ann. 77. 426) gehört zu den eisenärmern daher lichtfarbigern Kobell's Ripidolith (nicht Rose's) $3 \text{ Mg}^3 \text{ Si} + \text{Al}^3 \text{ Si} + 9 \text{ H}$ mit 31,5 Si, 16,7 Al, 3,4 Fe, 3 Fe, 32,6 Mg, 12,4 H, wovon sich der Pennin und Leuchtenbergit nicht unterscheidet. Der eisenreichere und daher dunkelfärbigere Chlorit, den G. Rose umgekehrt Ripidolith zu nennen vorschlug, $3 (\text{Mg}, \text{Fe})^3 \text{ Si} + (\text{Al}, \text{Fe})^3 \text{ Si} + 9 \text{ H}$, unterscheidet sich nur durch den größern Gehalt an K: 25,4 Si, 18,5 Al, 13,2 Fe, 16,9 Fe, 17,1 Mg, 8,9 H. Der Chlorit von Mauléon in den Pyrenäen ist ganz eisenfrei, daher sehr hellgrün, wie die wurmförmigen Säulen im Alathal, und enthält nach Delesse 32,1 Si, 18,5 Al, 36,7 Mg, 12,1 H. Tabergit ist im wesentlichen $2 \text{ Mg}^3 \text{ Si} + \text{Al Si} + 5 \text{ H}$. Auch der durch Chromoxyd smaragdgrün gefärbte Fuchsit, welcher am Greiner im Zillerthal ganz feinkörnigen Schiefer bildet, muß hier verglichen werden.

Der schuppigkörnige Chlorit mit Magneteisen im Zillerthal und als Chloritschiefer an so vielen Orten der Hochalpen, wo sie besonders in gewaltigen Blöcken durch die Gletscher herabgeschoben werden, ist seinem Aus-

sehen nach ein ausgezeichnete Chlorit, obgleich auch hier die Analysen abweichen. Ebenso der erdige Chlorit, so häufig auf Bergkristallen und Abularen einen staubartigen Anflug bildend. Hier kann man auch der eisen-schüßigen Gr^ün-
e r d e erwähnen, die in den Mandelsteinen des Monte Baldo bei Verona als Handelsartikel (Veronesische Erde, Deleseite) gewonnen wird, und bereits den Römern bekannt war, denn man fand sie im Laden eines Farbenhändlers von Pompeji noch vor. Schon Bauquelin erkannte sehr richtig darin 52 Si, 7 Al, 23 Fe, 6 Mg, 7,5 Ka, 4 H. Sie erscheint in vielen Mandelsteinen als ein thoniges Verwitterungsproduct (Augitkristalle), das kiesel-saurem Eisen-
oxydul seine seladongrüne Farbe dankt. So muß man auch das färbende Princip der grünen Keupermergel, besonders aber der sogenannten chloritischen Punkte im Grünsand und Grobkalk ansehen (Glaufonit). Berthier gibt in denen des Grünsands von Havre 49,7 Si, 6,9 Al, 19,5 Fe, 10,6 K, 12 H an. In Amerika düngt man damit. Der Metachlorit bildet schmale Trume im Schafstein.

5. Talf. Das Wort soll aus dem Arabischen Talfz stammen, und schon bei Avicenna vorkommen (Schröter Einleitung II. 225). Jedenfalls spielt das Mineral in der Medicin eine uralte Rolle. Agricola 705 schreibt es Talf oder Magnetis 605: non lapis ille, qui ferrum ad se trahit, sed similis argenti, etenim ex crustis, lapidum specularium (Gyps) modo constat, verum tenuissimis. Plinius hist. nat. 36. 25: quantum in Magnesia Asiae . . . deterrimus autem, candidus, neque attrahens ferrum. In der That ist der silberglänzende apfelgrüne bis entenblaue blättrige Talf vom Greiner im Zillertal, Briançon u. zwar trummblätrig und gemein biegsam, allein wenn man ihn zwischen den Fingern zerknickt, so trennen sich die Fliimmern so fein ab, daß sie rothe und grüne Regenbogenfarben reflectiren. Er ist — optisch 2axig (Axenwinkel $7^{\circ}24'$), fühlt sich mild und fettig an, läßt sich mit dem Nagel ritzen, Gew. 2,74. Mit Siegellack gerieben theilt er demselben sogar Glaselektricität (+) mit. Vor dem Löthrohr bringt man zwar dünne Splitter leicht zum Schmelzen, aber etwas dickere widerstehen gleich, mit Kobaltsolution bei starkem Feuer röthlich. Merkwürdiger Weise ist er frei von Thonerde, was schon Laproth bewies.

$Mg^6 Si^5 + 2 H$, mit 61,7 Si, 31,7 Mg, 1,7 Fe, 4,8 H.

Pyrophyllit (Hermann Pogg. Ann. 15. 502) in Quarzgängen des Granits von Beresowsk, Spaa, Westana Eisengrube in Schonen, — optisch 2axig. Gleicht vollkommen einem apfelgrünen excentrischstrahligen sehr blättrigen Talf, der sich aber vor dem Löthrohr außerordentlich aufblättert und mit Kobaltsolution blau wird. Unter den chinesischen Specksteinen sollen noch dichte Abänderungen stecken.

$Mg^3 Si^2 + 9 Al Si^2 + 9 H$, 59,7 Si, 29,5 Al, 1,8 Fe, 4 Mg, 5,6 H. Vergleiche auch den braunen Thermophyllit von Hopansuo Jahrb. 1859. 82. Die Dinge sind ihrem Aussehen nach talfig, ihrer Zusammensetzung nach chloritisch.

Talf kommt in schiefrigen Gesteinen der Hochalpen vor, blättert sich trummschlächtig, oder geht ins Schuppigblättrige und Dichte über. Immer fühlen sich jedoch die Stücke außerordentlich fettig an, so daß man das zu

Mehl geriebene Material zum Schmieren von Holzmaschinen, Glätten des Leders zc. anwenden kann. Besonders wohlthuend wirkt dieser erdige Talf auf die Haut, er dient daher zur Schminke, früher als Nervenstärkungsmittel. Sobald jedoch die kiesel-saure Magnesia zu größern Gebirgsstücken sich anhäuft, nennt man sie zwar auch noch Talfschiefer, die in den Alpen durch eingesprenkten Strahlstein, Asbest, Eyanit, Staurolith zc. sich so auszeichnen, allein diese sind dann nicht mehr rein, und es bleibt gewagt, wenn man solchen Sachen chemische Formeln gibt: wie Damourit das Muttergestein des Eyanits zu Morbihan oder Paragonit das des Eyanits vom St. Gotthardt. Oft kann man nicht entscheiden, ob man die Sache zum Chlorit oder Talf stellen soll, ein solches Gestein ist der berühmte

Topfstein, Scheuchzer's Lavezstein (lebes Topf), den schon Teophrast von Siphnos anführt; lapis Comensis Plinius 36. 44 cavatur tornaturque in vasa coquendis cibis utilia, quod et in Comensi Italiae lapide viridi accidere scimus. Plinius spielt hier vielleicht auf die Stadt Plurs nördlich vom Comersee an, die aus den Erträgen ihrer Topfsteinbrüche alljährlich 60,000 Dukaten einnahm. 1618 stürzte der unterwühlte Berg ein und begrub die Stadt mit Mann und Maus. Der feinkörnige Stein ist grünlich, mit grauem Strich, aber wegen seiner Milde nicht Politurfähig. Wird zu feuerfesten Töpfen gedreht. Im Wallis heißt er Giltstein, der sich besonders zu Platten eignet.

Agalmatolith (Bildstein) Klaproth Beiträge II. 184, wegen seines fetten Anfühlens chinesischer Speckstein genannt. Er hat einen feinsplittrigen Bruch, und ist härter als Talf. Klaproth unterscheidet einen grünlichen an den Ranten stark durchscheinenden mit 54,5 Si, 34 Al, 6,2 K, 4 H, das würde ihn also trotz seiner Serpentinartigen Beschaffenheit ganz vom Talfgeschlecht entfernen. Der andere ist röthlich und so stark fettig, daß der Mangel an Talferde sehr auffällt. Allein es sind Gebirgsarten, und ohnehin läuft in den Sammlungen vieles unter dem Namen Bildstein, was ächte Talfen sind. Die Chinesen verfertigen besonders Götzenbilder daraus, die nach Moschus duften, daher glaubte Veltheim (Ueber die Vasa Murrina 1791) darin das Material jener kostbaren Gefäße pag. 280 entdeckt zu haben. Umgekehrt verhält es sich mit dem

Meerschäum (vielleicht aus dem Natolischen Wort Myrzen entstanden), eine magere fast erdige Mg Si H, die aber in engster Beziehung mit Magnesit steht: Verwitterungsproducte, die Formeln widerstreiten. Bei Theben (Jahrb. 1850. 11.) kommen sie mit Serpentin als erdige Stücke vor, die innen sogar aus Halbopal bestehen. Er hängt an feuchter Lippe, wie das Melinum von Melos, ist schwer zersprengbar, aber nicht hart, und schwimmend leicht, so lange sich die Poren nicht mit Wasser gefüllt haben. Griechenland und Kleinasien das Hauptwaterland. Die berühmten Samischen Gefäße der Römer scheinen schon aus ihm gemacht zu sein. Diese Kunst setzte sich sodann auf die Türken fort, besonders in Beziehung auf Pfeifenköpfe. Zu dem Ende wird die Masse gestoßen, und mit Wasser digerirt läßt man sie in Gruben gähren. Sie kann dann geformt werden. Damit sie aber beim Anrauchen

Farbe bekomme, muß man die fertige Waare in Milch, Leinöl oder Wachs fieden. Jetzt macht man sie künstlich, indem man Stücke von kohlensaurer Magnesia mit Wasserglas tränkt (Dingler Pol. Journ. 147. 304). Vergleiche auch den Meerschäumähnlichen Aphrodit von Längsbanshytta $4 \text{ Mg}^3 \text{ Si}^2 + 9 \text{ H}$.

Speckstein (Steatit). Der weiße welliggeschichtete von Briançon gleicht vollkommen einem dichten erdigen Talk. Davon verschieden ist der Englische Seifenstein, der auf Klüften des Serpentin von Cap Vizard brechend zur Bereitung des Englischen Porzellans benutzt wird und nach Klaproth neben 20,5 Mg auch 14 Al enthält. Eine solche aber durch Nickel gefärbte Masse ist der schön apfelgrüne Pimelith von Rosemühl. Werner rechnet auch zum Speckstein die sich fett anführenden steinmarkartigen Massen aus den alten Zinnsteingängen. Bei Altenberg kommen diese in Austerkrystallen (Prosopit Pogg. Ann. 90. 515) vor, die nach Scheerer die Zusammensetzung normaler Porzellanerde haben sollen, aber aus mikroskopischen Schüppchen bestehen. Außerlich hält es schwer zwischen ihnen und den Talkerbehaltigen eine scharfe Gränze zu ziehen. In Deutschland trifft man die merkwürdigsten Specksteine in einem Lager auf der Gränze zwischen Glimmerschiefer und Granit bei Göpfersgrün, östlich Wunsiedel im Fichtelgebirge (Nauck Pogg. Ann. 75. 120). Schon nach Klaproth enthält er etwa 59,5 Si, 30,5 Mg, 5,5 H, ist daher im wesentlichen kiesel-saure Talkerde, obgleich manche Parthieen schon thonigen Bruch und Geruch nebst matter weißer Farbe zeigen. Auf Klüften glänzt jedoch häufig der fette Glanz des Talkes hervor. Durchs Brennen wird er hart, wie die Nürnberger Lava-Brenner (Elsner chem. techn. Mittheil. 1857. V. 120) beweisen, die jetzt allen andern Gasbrennern vorgezogen werden. Besonders interessant in jenem Specksteingebirge sind die Austerkrystalle von Bergkrystall: kleine federdicke quergestreifte Säulen oben mit dihexaedrischer Endung stecken mitten im Speckstein, und springen beim Zerschlagen heraus. Niemals beobachtet man sie in Drusenräumen. Seltener und nicht so auffallend finden sich kleine sattelförmige Rhomboeder vom Aussehen des Braumspathe, oder Oktaeder vom Flußspathe. In der grauliche von schwarzen Dendriten durchzogene Speckstein liegt so mitten zwischen Glimmerschiefer, Thonschiefer, Grünstein und Dolomit und frißt denselben so allseitig an, daß das Ganze dem Laien als ein großartiger Faulungsprozeß erscheint, der das Gebirge allmählig ergriffen hat. Schon Steffens (Handb. Drytognose. 1811. I. 207) hat dies trefflich dargethan, und Haug nennt den Hergang mystisch. Der chemische Grund soll nach Bischof darin liegen, daß das Magnesia-silicat unter den alkalischen Erden die schwerlöslichste und schwerzersetzbare sei. Kohlensäurehaltige Wasser wirken auf Quarz ein, dessen Kieseelerde sich mit Magnesiahydrat des Wassers verbindet, und Speckstein absetzt. Dann wird auch das häufige Vorkommen anderer Specksteinausterkrystalle, wie des Topases auf Zinnsteingängen von Ehrenfriedersdorf, des Spinells vom Fassathale u. chemisch erklärlich. Am großartigsten zeigen sich jedoch diese Austerbildungen im

Serpentin. Agricola 632 sagt: in Misena non longe ab arce Lautersteina juxta Zeblicium oppidulum effoditur marmor subcinereum,

hoc nostri appellant *Serpentariam* und hält ihn mit dem Griechischen *Ophites* Plinius 36. 11 cum sit serpentium maculis simile identisch. Fettigkeit und Milde, ein unkrystallinischer feinsplittriger Bruch, wie beim Hornstein, Durchscheinend an den Ranten, allerlei trübe Farben von Gelb, Roth, Grün, Weiß, aber selten einfarbig, sondern geflammt und geadert, daher der alte Vergleich mit einer Schlangenhaut. $H = 3$, Gew. = 2,6. Werner unterschied **edlen** und **gemeinen**. Grün ist zwar bei beiden Hauptfarbe, allein dieser bildet veruneinigte Felsen, jener dagegen nur beschränkte Gänge und Nester: zeisiggrün bis wachsgelb bei Modum; apfelgrün (Williamsit) zu Chester-County; dunkelölgrün bis smaragdgrün auf Corsica. Pikrolith bildet zarte Gänge, die hart auf Handstücken haften, und ein mattes jaspisartiges Ansehen haben. Dünn geschnittene Serpentinplatten sind wie Chalcedon gegen das Licht nicht indifferent (Webst, Zeitschr. deutsch. geol. Ges. 1858. X. 377). Serpentin = $Mg^2 Si^4 = Mg^2 H^2 Si^2$ brennt sich weiß, und schmilzt schwer, ein kleiner Chromgehalt pflegt ihn auszuzeichnen, daher auch die gewöhnliche Lagerstätte des Chromeisensteins.

Serpentin bildet sehr eigenthümliche isolirte Bergkuppen, die auf der ganzen Erde im krystallinischen Gebirge zerstreut liegen, in den Alpen namentlich in Begleitung von Talk- und Chloritgesteinen vorkommen. Im Serpentinfels von Erbdorf im Fichtelgebirge ist so viel Magneteseisen fein vertheilt, daß er wie die Basaltstufte polarischen Magnetismus zeigt; zu Reichenstein in Schlesien bildet Serpentin das Muttergestein vom dortigen goldhaltigen Arsenisalkies, ja das Platin im Ural soll in ihm eingesprengt sein. Der Pyrop in Böhmen hauptsächlich im Serpentin. Zu Böblitz im Erzgebirge wird er vielfach verarbeitet, früher besonders zu Reibschalen für Apotheken, weil er gegen das Gift wirken sollte, ja noch Milius behauptet, in Serpentinbrüchen gäbe es nie eine Kröte oder ein anderes giftiges Thier. Im besondern Grade nehmen die Afterskrystalle des edlen Serpentin von Snarum bei Modum westlich Christiania auf einem Quarzlager im Gneis die Aufmerksamkeit in Anspruch. Daß die Masse des Serpentin als solche nicht zu krystallisiren im Stande sei, scheint so gewiß als beim Speckstein, und doch kommen daselbst unmittelbar unter der Dammerde Afterskrystalle von Armbide und 1½' Länge (Tamnau Pogg. Ann. 42. 44) vor, welche genau mit Olivinform stimmen, sogar innen noch unzersehten Olivin haben! (Pogg. Ann. 36. 370). So viel nun auch an dieser Thatsache gedentelt sein mag, die chemische Untersuchung hat es bestätigt (G. Rose Pogg. Ann. 82. 511). Webst schloß Platten daraus, welche im polarisirten Licht die „pseudomorphe Structur aus allem Zweifel“ stellen. Am Monzoniberge im Fassathal kommen sie gleichfalls recht deutlich zuweilen von fast Zollgröße vor, ebenso könnte Dufrenoy's serpentinarthiger **Billarsit** (Olivinhydrat) aus den Magneteseisengruben von Traversella hier hingehören. Auch auf die grünen milden Aftersbildungen, welche sich in Granit eingesprengt finden, muß das Augenmerk gelenkt werden. Aber da Olivin hier nicht zu Hause ist, so wird die Vorstellung eher auf Dichroit geleitet. Uebrigens zeigt G. Rose, daß auch Augit, Hornblende, Pyrop 2c. in Serpentin übergehen, so daß der Serpentin,

mag er auch in noch so großen Massen vorkommen, gerade wie der Speckstein keine ursprüngliche Bildung sein dürfte. Wenn nun aber die Gewässer mit ihrem Talkerdegehalt so stark auf die Veränderung der Gebirge einwirken können, so verlieren dadurch die Analysen sehr an Bedeutung, man darf wenigstens nicht aus jeder Kleinigkeit ein besonderes Mineral machen. Scheerer (Pogg. Ann. 71. 388) hat gezeigt, daß auf der Eisengrube Aislak bei Arendal sowohl talkartige schuppige als dichte Substanzen, die er Neolith nennt, sich noch aus den Grubenwässern in Spalten des Gebirges bilden. Eine Analyse gab 52,3 Si, 31,2 Mg, 7,3 Al, 4 H 2c.

Schillernder Asbest (Chrysotil, *villos* Faser) bildet Schnüre im Serpentin, besonders von Reichenstein. Die sehr feine Faser steht senkrecht gegen das Salband, ist aber so compact, daß sie einen starken Seidenglanz zeigt, und sogar stellenweis bedeutende Durchscheinendheit besitzt. Bewährte Chemiker behaupten, er habe genau die Zusammensetzung des Serpentin, und der starke Glanz der Faser scheint anzudeuten, daß wir es hier mit wirklichen krystallinischen Anfängen zu thun haben, daher fehlt dann aber auch der Masse das serpentinarartige Ansehen durchaus. Davon verschieden ist der fasrige Serpentin, wozu er auf Ablösungsflächen große Neigung hat. Metargit von Reichenstein ist fasrig und keilsförmig, vorzüglich am Monte Rosa.

SchillerSPATH von der Baste (Bastit) bei Harzburg (Epochen der Natur pag. 142), auf den schon Trebra 1783 die Aufmerksamkeit lenkte, und den Apotheker Heyer in Braunschweig benannte (Köhler Pogg. Ann. 11. 102). Grüne glimmerartige Blätter mit einem messingfarbenen Schiller liegen in einem dunkelgrünen serpentinarartigen Gestein (Schillerfels) eingesprengt, ja die Blätter werden vielfach vom Schillerfels durchdrungen, und sind wie beim Diallag mit Augit regelmäßig verwachsen. Der Querbruch der Blättchen ist durchaus ohne Glanz, feinsplittrig, und gleicht daher vollkommen dem Muttergestein. Man möchte daraus um so mehr mit Bestimmtheit vermuthen, daß es krystallisirter Schillerfels sei, als auch die Analyse beider sehr nahe die gleichen Bestandtheile gab. $3 (\text{Mg, Fe}) \text{Si} + 2 (\text{Mg, Fe}) \text{H}^2$. Auch weicht die Formel so wenig von der des Serpentin ab, daß man sie ohne einen wesentlichen Fehler zu begehen für gleich halten könnte. Wenn man aber bedenkt, wie an der Baste der Schillerfels mit den dortigen Gabbrogesteinen in engster Beziehung steht, so gewinnt es auch hier sehr an Wahrscheinlichkeit, daß wir es bloß mit einem veränderten Gestein zu thun haben. Andern Orts lehren ähnliche Erscheinungen wieder. So treten z. B. im Schwarzwalde südlich vom Feldberge in den Umgebungen von Todtmoos viele Schillerfelskuppen mit bronzefarbigem Diallag hervor, manche erinnern durch ihre Härte und Schwärze an den Basalt, auf den Verwitterungsklüften werden sie aber milder, ja bei Altenstein kommt ein kleiner Punkt vor, der wie der mildeste Serpentin von Zöblitz zum Verschleifen eine Zeit lang gewonnen wurde. Auch der apfelgrüne Marmolith von Soboken (Nem-Dersch) wird als ein blättriger Serpentin beschrieben, doch zeigen die Blättchen im polarisirten Licht nur „äußerst geringe Reaction krystallinischer Structur“.

Es gibt übrigens noch ein ganzes Heer von Namen:

Perolith (Wachstein) $2 \text{ Mg}^3 \text{ Si}^2 + 9 \text{ H}$ vom Gumberge bei Frankenstein in Schlesien gleicht einem verwitterten Opal, der daselbst vorkommt. **Pikrosmin** Häidinger ($\pi\kappa\rho\acute{o}s$ bitter, $\delta\sigma\upsilon\eta$ Geruch) von der Eisengrube Engelsburg bei Bresniz in Böhmen gleicht dem dichten gemeinen grünen Asbest. $2 \text{ Mg}^3 \text{ Si}^2 + 3 \text{ H}$. Häidinger gibt eine blättrige Säule von $126^\circ 52'$ und ein blättriges Paar auf die stumpfe Kante aufgesetzt von $117^\circ 49'$ an, doch sticht die asbestartige Faser stärker als der Blätterbruch hervor. **Pikrophyll** von Sala $\text{Mg}^3 \text{ Si}^2 + 2 \text{ H}$ gleicht einem dunkelgrünen Salit, aber weich und verändert. Antigorit aus Piemont könnte auch an den dichten dunkelgrünen Asbest sich anschließen (Pogg. Ann. 49. 505). **Hydrophit** (Pogg. Ann. 51. 557) eine serpentinarartige Bergmasse von Taberg in Smaland, hat einen kleinen Gehalt von Vanadium, und soll etwas wasserreicher als Serpentin sein (daher Wasser-Ophit). **Monradit** $4 (\text{Mg}, \text{Fe})^3 \text{ Si}^2 + 3 \text{ H}$ von Bergensstift, eine feinkörnige Masse, aber $\text{H} = 6$, Gew. 3,27. **Gymnit** von Baltimore $\text{Mg Si} + \text{Mg H}^3$ orangengelb; gelblichweiß und opalartig glänzend im Feinsferthal. **Dermatin** $(\text{Mg}, \text{Fe})^3 \text{ Si}^2 + 6 \text{ H}$ aus dem Serpentin von Waldheim in Sachsen steht ihnen nahe. **Retinalith** mit Wachsglanz im Kalkstein von Grenville in Untercanada, $\text{Mg}^5 \text{ H}^4 \text{ Si}^2$. **Spadait** $4 \text{ Mg Si} + \text{Mg H}^4$ ein mildes röthliches weiches Fossil mit Wollastonit von Capo di Bove bei Rom.

6. Brucit Brucit, Native Magnesia (Bruce, American mineralogical Journ. I. 30). Einen ausgezeichneten blättrigen Bruch, schneeweiß bis farblos, daher anfangs für Gyps gehalten. Optisch einaxig, nach Dana rhomboedrisch mit $82^\circ 15'$ in den Endanten. Hermann's Texalith (Erdmann's Journ. prakt. Chem. 1861. 82. 500) von Texas in Pennsylvanien wird zwar 2 + 1gliedrig beschrieben, ist aber auch optisch 1axig, und daher ohne Zweifel das Gleiche, zumal da die Krystalle gern ein unrhomboedrisches Ansehen haben (Hessenberg Senkenb. Naturf. Ges. 1861. IV. 40). Härte = 2, Gew. 2,4, fettig. Vor dem Löthrohr schmilzt es nicht, löst sich aber in Säuren vollkommen, Magnesia-hydrat Mg H mit 70 Mg, 30 H, zieht auch wohl etwas Kohlensäure an. Im Serpentin von Hoboken (New-Yersey), zuweilen auch asbestartig zartfasrig (Nemalith), zu Swinaneß auf der Schottischen Insel Unst, Fischminst bei Beresowst, im Pfitschergrund in großen Massen von Asbest gegittert (Zepharovich Min.-Vericon. 76). Durch Aufnahme von Kohlensäure würde Magnesit entstehen. Das künstliche Kalkerdehydrat Ca H scheint damit isomorph zu sein.

Hydrotaisit gelblichweiße krummblättrige sich fettig anfühlende Masse aus dem Serpentin von Snarum hat neben 34 H und 39 Mg noch 16 Al und 10 C. Identisch mit Bölknerit von Elatouft. (Rammelsberg Pogg. Ann. 97. 500). Periklas von der Somma ist Talkerde ohne Wasser.

7. Margarit (Perlglimmer) Fuchs, bei Sterzing am Ausgang des Pfitschthals und Topsham in Maine: ein fast schneeweißer Glimmer vom stärksten Perlmutterglanz in Chlorit eingesprengt. Optisch 2axig mit ausgezeichneten Farben im polarisirten Lichte, härter und spröder als der gewöhnliche Glimmer. Hermann fand 32,5 Si, 49,2 Al, 1,3 Fe, 7,4 Ca,

3,2 Mg, 1,7 Na, 4,9 H, was etwa zur Formel $(Ca, Mg)^2 Si + 2 Al^2 Si + 2 H$ paßt. Auch der Diphanit aus den Smaragdgruben am Ural scheint das gleiche zu sein, sowie der Emeryllith im Smirgel von Nagos, der Corundellith mit Corund bei Unionville in Pennsylvanien und der Euphyllit von dort. Hermann nimmt diese als Typus seiner Margarite, und stellt dazu den

Chloritoid (Chloritspath) von Kosoibrod im Ural, wo er mit Diaspor und Smirgel in krummblättrigen Massen vorkommt, die dem Chlorit durch ihre dunkelgrüne Farbe zwar sehr gleichen, aber fast Feldspathhärte und ein Gewicht 3,5 haben. 24,5 Si, 30,7 Al, 17,3 Fe, 3,7 Mg, 6,4 H. Im Ansehen und Härte gleicht ihm der Sismondin aus dem granathaltigen Chloritschiefer von St. Marcel in Piemont vollkommen, etwas weniger der dunkel grünlich graue Masonit aus dem Chloritschiefer von Rhode-Island (Erdmann's Journ. prakt. Chem. 58. 99).

Ottrelit von Ottrez südlich Stavelot (Lüttich) bildet dunkelgrüne glänzende Blättchen von $\frac{1}{4}$ bis 1 Linien Durchmesser, die in zahlloser Menge in einen fettigen aber ganz unkrystallinischen grünlichgrauen Thonschiefer eingeprengt sind. Hat auch Feldspathhärte. Der lichte lauchgrüne

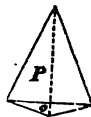
Brandisit vom Monzoniberge, wo er mit grünem Augit und schwarzem Spinell bricht, bildet Drusen von glimmerartigen sechsseitigen Tafeln, die nicht viel über Flußspathhärte haben. $Mg Si + 2 Mg^3 Al^2 + H$. Sein Aussehen mahnt in jeder Weise an Glimmer. Der röthlichbraune

Seybertit aus dem Kalkstein im Serpentin von Amity (New-York) hat einen glimmerartigen Bruch, $Mg Si + Mg^3 Al^2 + H$, die Magnesia durch Ca und Fe vertreten. G. Rose's wachsgelber

Xanthophyllit aus dem Talkschiefer von Slatoust mit Magneteisen hat Glas Härte und bei seinem glimmerartigen Aussehen nur 16,3 Si, 44 Al, 19,3 Mg, 13,3 Ca, 4,3 H, was sehr an den vorigen erinnert.

Melanglimmer nennt Haidinger passend folgende drei:

Cronstedtit Steinmann, von dem Silbererzgergne Abalbert zu Pzibram in Böhmen. Es sind kleine rabenschwarze Krystalle, die zuweilen nach einem Ende sich rhomboedrisch (P) endigen, während der deutlich blättrige Bruch o zwei Drittheil von der ganzen Rhomboederlänge wegschneidet. Gewöhnlich lagern sie sich excentrisch strahlig oder auf krummer Unterlage in gedrückten Säulen mit deutlichem Glimmerbruch nebeneinander. Härte = 2—3, Gew. 3,3. Sehr eisenreich. Robell schlägt die Formel $Fe^3 Si + Fe^3 H$ vor. Werneck's Sideroschistolith von Conghonas do Campo in Brasilien ist zwar Samtschwarz aber hat doch noch einen grünen Strich, und soll nach Hausmann von Cronstedtit kaum verschieden sein.



Stilpnomelan von Glocker wegen seines starken schwarzen Glanzes so genannt. Meist krummblättrig oder strahlig, mit grünlichem Strich. Härte = 3—4, Gew. 3,4. $2 Fe^3 Si^2 + Al Si^2 + 6 H$. Schmilzt ziemlich leicht. Von Obergrund bei Zuckmantel in Oesterreichisch Schlesien mit Kalkspath in einem Basaltähnlichen Thonschiefer. Auch der olivengrüne

Thuringit von Saalfeld könnte wegen seines deutlichen Blätterbruchs hierher gestellt werden. Rammelsberg bestimmte ihn chemisch als einen wasserhaltigen Givait $3 \text{Fe}^2 \text{Si} + \text{Fe}^2 \text{Si} + 9 \text{H}$.

Pyrosmalith Hausmann ($\delta\sigma\mu\eta$ Geruch, weil es auf Kohle erhitzt einen sauren Geruch verbreitet, obgleich nicht sonderlich auffallend). Längere reguläre sechsseitige Säulen, deren Geradenfläche fast glimmerartigblättrig. Brooke gibt zwei Dihexaeder übereinander an (Pogg. Ann. 42. 555), Leberbraun, Härte 4, Gew. 3. Vor dem Löthrohr brennt er sich schwarz, schmilzt in kleinen Stücken ziemlich leicht zu einer magnetischen Kugel. 35,4 Si, 32,6 Fe, 23 Mn 6,5 Wasser und Chlor. Mit Kalkspath und Hornblende im Magneteisenlager nur auf Bjelkesgrube bei Philipstad in Wermeland (Edmann's Journ. prakt. Chem. 1861. 83. 457).

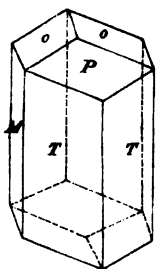
Nephrit ($\nu\epsilon\phi\rho\acute{o}\varsigma$ Niere) oder besser vielleicht von einem Nervenstärkenden Stein $\nu\epsilon\phi\rho\acute{\iota}\varsigma$, der bereits in den Lydicis des Orpheus vorkommt. Schon 1627 schrieb H. Clutius in Rostock eine Dissertatio lapidis nephritici. Man theilte ihm viele Heilkräfte zu, besonders auch gegen Hüftweh, daher lapis ischiaticus, pietra ischada, woraus das französische Wort Jade entstand. Freilich vermischte man vieles damit, aber im Allgemeinen verstand man darunter einen grünlichen serpentinarartigen Stein, der durch sein fettiges Anfühlen wohlthätig auf die Haut wirkt. Er kommt als Gebirgsart vor, und schon deshalb dürfte eine feste chemische Formel nicht zu erwarten sein. Sein Ansehen ist zwar Serpentinartig, aber er ist zäher, härter (Feldspath). Berühmt ist der Türkische, zu Säbelgriffen, Amuletten 2c. verschliffen, Rammelsberg gibt darin 54,7 Si, 26 Mg, 16 Ca, 2,1 Fe, 1,4 Mn an, ist also Wasserfrei. Die Neuseeländer verfertigen sich, wie das durch Forsters Reise um die Welt bekannt wurde, aus einem ähnlichen grünen sehr klangvollen Steine Waffen, wie unsere Vorfahren aus dem Feuerstein. Eine Abänderung wird von Rammelsberg als dichter Diopsid gedeutet, worauf allerdings schon die Farbe leiten könnte.

IV. Hornblenden.

Alkalien treten zurück, auch die Thonerde spielt nur eine Nebenrolle. Dagegen haben wir gern beide Basen Mg und Ca nebeneinander. Hornblende fehlt zwar in den ältern krystallinischen Gesteinen nicht, spielt aber erst in den neuern (Plutonischen und Vulkanischen) ihre Hauptrolle.

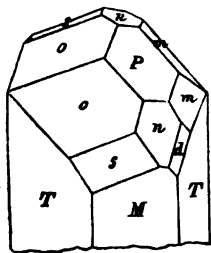
1. Hornblende.

Der Name ist nicht deutsch, sondern Cronstedt (Miner. § 88) nennt ihn zuerst. In Deutschland gebrauchte man dafür Hornfels, Schörl, Basalt 2c., Hany's Amphibol ($\alpha\mu\phi\iota\beta\omicron\lambda\omicron\varsigma$ zweideutig) d. h. mit Turmalin zu verwechseln.



2 + 1 gliedrig mit Feldspathartiger Entwicklung: $T = a : b : \infty c$ bildete eine sehr deutlich blättrige geschobene Säule von $124^\circ 30'$. $M = b : \infty a : \infty c$ stumpft ihren scharfen Winkel gerade ab, hat aber nur undeutlichen Blätterbruch und daher auch keinen innern Glanz, wie T. Die Schiefendfläche $P = a : c : \infty b$ ist gerade auf die stumpfe Kante aufgesetzt, und da $P/T = 103^\circ 1'$, so ist sie $75^\circ 10'$ gegen Axe c geneigt. Statt der hintern Gegenfläche findet sich immer das Augitpaar $o = a' : \frac{1}{2}b : c$ von $148^\circ 30'$ unter einander, folglich $P/o = 145^\circ 23'$, und die Kante o/o neigt sich auf der Hinterseite $73^\circ 37'$ gegen Axe c, hieraus findet sich $a : b : k = 3,579 : 6,803 : 0,052$

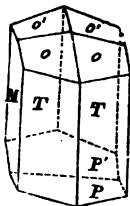
$$lga = 0,55378, lgb = 0,83269, lgk = 8,71641.$$



Der Axenwinkel A/c beträgt vorn $89^\circ 10'$, also neigt sich A dem Feldspath entgegen hinten etwas hinab. Diese einfachen Dodekaide $PMT o$ kommen ausgezeichnet ringsum ausgebildet in den Basalttuffen vor. Daran treten untergeordnet

$$\begin{aligned} n &= a : c : \frac{1}{2}b \text{ in Zone } P/M \text{ und } o/T; \\ s &= a' : \frac{1}{2}b \text{ in Zone } o/M \text{ und } n/T; \\ m &= \frac{1}{2}a : \frac{1}{2}b \text{ in Zone } P/T \text{ und } n/T; \\ d &= \frac{1}{2}a : \frac{1}{2}b \text{ in Zone } m/M \text{ und } n/T \text{ liegend.} \end{aligned}$$

Zwillinge nach dem Feldspathgesetz der Karlsbader kommen ausge-



zeichnet vor, die Krystalle haben die Fläche $k = a : \infty b : \infty c$ gemein und liegen umgekehrt. Häufig läßt sich auch nicht die Spur eines einspringenden Winkels, nicht einmal der Zwillingegränze entdecken, allein an einem Ende findet sich ein Paar P und P', am andern aber ein Oktaeder $o o o' o'$. Im letztern sind merkwürdiger Weise aller vier Winkel gleich, also $o/o = o'/o = 148^\circ 30'$.

Da es an klaren Hornblenden fehlt, so sind sie optisch schwer zu untersuchen. Doch tritt nach Hr. Descloizeaux (Ann. mines. 1858. XIV. 49) die optische Mittellinie (+ m) entgegengesetzt als beim Augit hinten zwischen $a'c$ hinaus, unter 15° gegen c, weicht also von der Mittellinie beim Augit $15^\circ + 38^\circ 54'$ ab. Die Ebene der optischen Axe liegt ebenfalls in M. Härte = 5—6, Gew. 2,8—3,2. Schwarze, grüne und weiße Farbe. Vor dem Löthrohr schmelzen sie nicht sonderlich schwer, die eisenhaltigen jedoch leichter. Man nahm sie bisher als $\frac{2}{3}$ Silicate $R^4 Si^3$, worin die Basis hauptsächlich aus Ca, Mg, Fe besteht. Hr. Rammelsberg (Pogg. Ann. 103. 311) will sie dagegen durchaus mit Augit $R^3 Si^2 = R Si$ gleichgestellt wissen. Sehr schwierig läßt sich gerade bei den verbreitetsten eine bedeutende Menge von kalihaltiger Thonerde erklären, mit deren Zunahme die Kieselersde abzunehmen pflegt. Daher hat schon Vonsdorf die Vermuthung geäußert, Al möchte in der Formel die Si isomorph ersetzen, und Rammelsberg spricht

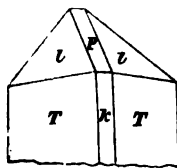
geradezu von Silicaten und Aluminaten, $(R^3, Fe)(Si, Al)^2$, wobei jedoch das Eisenoxyd zu den Basen gestellt wird. Ziemlich unerwartet kommt ein Gehalt an Flußsäure, der beim Pargasit auf 1,5 Proc. steigt.

Nach dem Vorkommen im Großen kann man vornehmlich dreierlei unterscheiden 1) im Vulkan- und Basaltgestein; 2) im granitischen Urgebirge; 3) im alpinischen Serpentin und Talkschiefer. Vorzügliche Abänderungen sind etwa folgende:

1) Basaltische Hornblende, pechschwarz, d. h. Lamellen zeigen einen Stich ins Braun, häufig mit gerundeten Kanten (geflossen). Umundum auskrySTALLISIRT bildet das 2 + 1gliedrige Dodekaëd gewöhnlich die Hauptform (Amphibol dodécaèdre), und da hieran die drei Endkanten von o o P nicht wesentlich von einander abweichen, so sahe sie Romé de l'Isle noch für rhomboëdrischen Schörl an, aber die beiden Blätterbrüche in der sechsseitigen Säule orientiren leicht. Beim Anhauchen zeigen sie einen bitteren Thongeruch. Gew. 3,27. Struve fand in denen aus dem Basalttuff von Bilin 40 Si, 11 Ca, 13,5 Mg, 13,7 Fe, (aber als Oxydul darin enthalten), 17,6 Al, 1,9 K, 1 Na, 1,1 Fl, Klaproth gibt sogar bei einer Fuldaischen 26 Al an. Es will zu diesen und andern Analysen keine Formel recht passen (Zeitsch. deutsch. geol. Ges. X. 22). Die Schwäbischen Basalttuffe z. B. bei Eningen, der Klingstein im Hührgau, der Trachyt des Siebengebirges, die vulkanischen Gesteine der Auvergne sind bekannte Fundorte. Am reichsten ist der gelbe Basalttuff von Wolfsberg nordwestlich Wies, am geflossensten die Krystalle von Dockweiler. In den Auswürflingen des Vesuvius und Racher Sees kommt sie in feinen schwarzen Nadeln vor.

2) Gemeine Hornblende, rabenschwarz, d. h. mit einem Stich ins Grün, die Farbe der Eisenoxydulsalze. Die krystallinische Masse zeigt Neigung zum Fasrigen. Den Säulen fehlt häufig die Abstumpfungsfäche der scharfen Kante (M), statt dessen kommt die der stumpfen $k = a : oob : ooc$ vor, wodurch die Strahlen ein schilfartiges stark längs gestreiftes Ansehen gewinnen. Als Endigung herrscht ein Paar $l = a : c : \frac{1}{2}b$ aus der Diagonalzone von P, welche letztere auch wohl ihre Mediankante von $148^\circ 16'$ abstumpft. Krystalle besonders schön bei Arendal. Die im Urgebirge eingesprenzte Hornblende, welche zur Bildung von Ehenit, Hornblendeschiefer; Grünstein, grünen Porphyren zc. beiträgt, gehört alle dieser Abänderung an. Höchst eigenthümlich sind die geflossenen Krystalle im Kalkpath von Pargas in Finnland (Pargasit) eingesprenzt, ihre Oberfläche erscheint wie angeschmolzen, und ihre Farbenänderungen gehen vom hellsten bis ins schwarzeste Grün. Auch in Amerika kommen ähnliche Körner vor. Bonsdorf gab darin 45,7 Si, 13,8 Ca, 18,8 Mg, 7,3 Fe, 12,2 Al, 1,5 Fl an, ebenso haben sich auch die Vorkommen anderer Gegenden Thonerdehaltig erwiesen, eine gute Formel hat man daher noch nicht aufstellen können. Scheerer (Jahrb. 1856. 222) nimmt zur Theorie des polymeren Isomorphismus Zuflucht.

Uralit nannte G. Rose (Pogg. Ann. 22. 242) die grünlichen Augitkrystalle



aus den Augitporphyren (Grünstein) vom Ural. Sie haben die Form des Augits aber den blättrigen Bruch der Hornblende, ja bei dem tartarischen Dorfe Muldakajewsk ohnweit Miasch führen die ringsumgebildeten Krystalle noch einen unveränderten Kern von Augit. Rose nahm es anfangs als Beweis, daß Hornblende und Augit identisch seien. Sie fanden sich darauf



balb sehr verbreitet, namentlich auch in großen aufgewachsenen Krystallen von Arendal in Norwegen, die mit Säure aus dem mitbrechenden Kalkspath herausgeätzt zu werden pflegen. Dieselben haben die 8seitige Säule $T T k M$ des Augits, $T/T = 87^{\circ} 6'$, endigen aber mit der Schiefendfläche P und dem bei der gemeinen Hornblende so gewöhnlichen Paare l . Die Flächen der Augitsäule spiegeln nicht, dreht man sie aber ein wenig um die Axe c , so tritt aus dem Innern ein lebhaftes Licht heraus, was die Blätterbrüche der Hornblendsäule zwischen k und T anzeigt. Die Unterbrechung des Lichtes deutet vielleicht an, daß die Ausfüllung der Augitform durch lauter kleine einander parallel liegende Hornblendekrystalle geschah, beide Hornblende- und Augitform haben sich genau symmetrisch in einander gefügt. Der Krystall müßte darnach zuerst als Augit gewachsen sein, dessen Atome sich später in Hornblende umgelagert haben (Paramorphose pag. 162). Dann wären es Austerkrystalle der Hornblende nach Augit. Am einfachsten könnte die Sache freilich scheinen, wenn man sie geradezu für Hornblendekrystalle hielte, an welchen die Augitsäule $T T$ zur Ausbildung gekommen wäre. Aber es kommen daselbst zugleich Augite von derselben Farbe vor, welche den Hornblendebruch nicht zeigen. So daß an Austerbildung wohl nicht gezweifelt werden kann.

3) Strahlstein Wr., Actinote Hy. Langstrahlige Säulen mit $T T M$, häufig tremolithartige Zwillinge, welche meist ohne Ende im Alpinischen Talschiefer liegen, auffallend spröden Querbruch zeigen, weshalb Werner die Alpinischen mit ihrer lichtgrünen Farbe und 3fachen Gew. glasigen Strahlstein nannte, im Gegensatz von den gemeinen excentrischstrahligen auf den Sächsischen Erzgängen (Breitenbrunn und Ehrenfriedersdorf). Werners körniger Strahlstein ist meist augitisch. Die schöngrüne Farbe rührt von etwas Eisenoxydulsalz her, doch fand Klaproth schon bei den fast smaragdgrünen von Teinach in Steyermark 1 pC. Chromoxyd. Sie sind entweder ganz frei von Thonerde, oder haben doch nur unbedeutende Procente, daher $Ca Si + Mg^3 Si^2$. Nach Laugier enthält der Zillerthaler 50 Si, 19 Mg, 9,7 Ca, 11 Fe, 5 Cr (?) u. G. Rose (Reise Ural II. 303) schmolz solche, ließ sie langsam erkalten, und bekam dann statt der Hornblende kleine Augitnadeln! Zu ähnlichen Resultaten war Mitscherlich schon mit dem Tremolith gekommen. Da auch diese Krystalle einen kleinen Gehalt an Flußsäure haben, so sind Verluste beim Schmelzen nicht ganz zu vermeiden, doch würde man ein solches Resultat nicht erwarten.

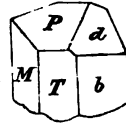
Tremolith nannte Vater Pini die grauen bis schneeweißen, fast gänzlich eisenfreien Strahlen im Dolomit von Campolongo am St. Gottardi. Pini wollte sie im Tremolathale gefunden haben, was man nicht direct bestreiten kann, wenn sie auch später da nicht wieder gefunden wurden.

Die grauen bilden lange schilfartige Säulen, und wenn man sie quer durchbricht, so nimmt man nicht selten eine Zwillingssgränze wahr, welche der Axe b entspricht, daher nannte sie Hauy Grammatit. Viele derselben sind hohl und mit Dolomit erfüllt. Die schneeweißen excentrischstrahligen werden zuletzt ganz Asbestartig. Schon Saussure erwähnt ihre Phosphorescenz beim Reiben mit einem Stahl π . Sie sind übrigens durch alle Grade mit dem grünfarbigen Strahlstein verbunden.

Anthophyllit (Anthophyllum Gewürznelke) nach ihrer nelfenbraunen Farbe genannt, sehr schön mit Kupferkies bei Snarum. Den blättrigen Bruch von $M = b : \infty a : \infty c$ kann man auch noch darstellen. Nicht zu verwechseln mit Bronzit. Reine Kalkerde, ein wenig schwerer schmelzbar als Strahlstein, $Fe\ Si + Mg^3 Si^2$, also eine ausgezeichnete Hornblendeformel, aber nach Hr. Descloizeaux deutet das optische Verhalten auf ein 2gliedriges System.

Arfvedsonit Brooke, kommt mit Eudyalit in Grönland vor. Trotz seiner eigenthümlichen Zusammensetzung hat er den deutlichen Blätterbruch der Hornblende, aber die Säule T/T bildet nur $123^\circ 55'$, rabenschwarz, $H = 6$, Gew. 3,44. Schmilzt schon im bloßen Kerzenlicht, enthält $Na\ Si + Fe^3 Si$, 49,3 Si, 36 Fe, 8 Na π . Hausmann gibt ihn auch im Zirkonspinit von Frederiksvärn und Magneteisensteinlager von Arendal an, wo er mit Hornblende verwechselt wurde.

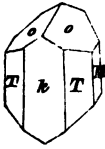
Babingtonit Levy (Pogg. Ann. 5. 189) von Arendal, gleicht einer rabenschwarzen Hornblende, an der Oberfläche aber glänzend wie schwarzer Turmalin, $H = 6$, Gew. 3,4. Eingliedrig: eine Säule M/T bildet $112^\circ 30'$, den Blätterbruch von T kann man in Splittern darstellen. Die scharfe Kante wird durch b sehr ungleich abgestumpft, so daß b mit dem Blätterbruch T etwa 160° bildet. Die stumpfe Kante nicht abgestumpft. Die Endfläche P sehr deutlich blättrig, daher brechen die Krystalle leicht nach ihr ab, $P/M = 92^\circ 34'$, $P/T = 92^\circ$. Niemals fehlt eine einseitige Endfläche d mit P $150\frac{1}{2}^\circ$ bildend. $(Ca + Fe)^6 Si^5$. Jngelström's große schön rosenrothe Säulen des Pajsbergit von der Pajsberger Eisengrube bei Philipstad mit 42 Mg sollen nach Dauber (Pogg. Ann. 94. 189) ebenfalls 1gl. sein. Ebenso Shepard's röthlichbrauner Fowlerit 3,6 Gew. von Franklin in New-Yersey, der Bustamit aus Mexico und ein Theil des Rhodonits. Rammelsberg (Zeitschr. d. g. Ges. X. 25) stellt sie schon zum Augittypus.



2. Augit W.

Augites Plinius 37. 54, Hauy's Pyroxen (dem Feuer fremd), weil man ihn in jener Zeit auf nassem Wege entstanden dachte. Schon Romé de l'Isle unterschied ihn richtig als Schorl noire en prisme octaèdre II. 189, was auf das Wesen seiner Form deutet.

2 + 1gliedrig mit hornblendartiger Entwicklung. Eine geschobene Säule $T = a : b : \infty c$ wendet ihren scharfen Winkel $87^\circ 6'$ nach vorn, sie ist zwar blättrig, aber viel undeutlicher als bei der Hornblende. Ihre scharfe

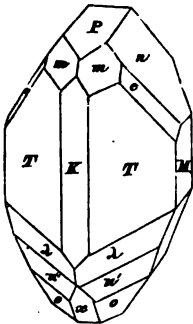
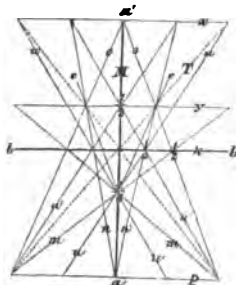


vordere Kante pflegt immer durch $k = a : \infty b : \infty c$ und ihre stumpfe durch $M = b : \infty a : \infty c$ gerade abgestumpft zu sein, wodurch eine sehr charakteristische achtseitige Säule entsteht, an deren Ende auf der Hinterseite ein Paar $o = a' : c : \frac{1}{2}b$ herrscht, das sich unter $120^\circ 39'$ schneidet, wonach Weiß den schief

gegen die Axe c geneigten Paaren $\left(\frac{1}{m}a : \frac{1}{n}b : c\right)$ überhaupt den passenden Namen augitartige Paare (kurz Augitpaare) gab. Die Schiefendfläche $P = a : c : \infty b$ macht 74° gegen Axe c , die hintere Gegenfläche $x = a' : c : \infty b$ dagegen $74^\circ 37'$ gegen c , es muß sich daher die Axe A nicht wie bei der Hornblende hinten, sondern wie beim Feldspath vorn etwas hinab neigen, und A/c vorn $90^\circ 20'$ machen. Daraus findet sich

$$a : b : k = 3,559 : 3,384 : 0,0207$$

$$lga = 0,55137, lgb = 0,52938, lgc = 8,31613.$$

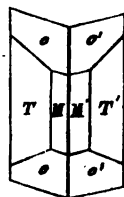


Augit ist an Flächen viel reicher als Hornblende, besonders zeichnen sich der lauchgrüne Fassait aus dem Fassait- und Broosithale und der Diopsid aus. Es herrscht darin die Fläche $n = a : c : \frac{1}{2}b$, $82^\circ 43'$ über P , in deren Diagonalzone sie fällt. Vorn stumpft $m = \frac{1}{2}a : \frac{1}{2}b : c$ die Kante P/T ab, m/m $131\frac{1}{2}^\circ$. Hinten herrscht dagegen außer o das untere Augitpaar $u' = \frac{1}{2}a' : \frac{1}{2}b : c$ mit $96^\circ 36'$ in der Mediankante, der zuweilen auch vorn ein Paar $u = \frac{1}{2}a : \frac{1}{2}b : c$ entsprechen soll, welche die Kante zwischen m und $e = \frac{1}{2}a : \frac{1}{2}b : c$ abstumpfen würde. Ein noch schärferes Paar auf der Hinterseite bildet $\lambda = \frac{1}{2}a' : \frac{1}{2}b : c$ $88^\circ 34'$. Diese drei untereinander liegenden Flächenpaare o u' λ sind wichtig für die Orientirung in Hinten, indem ihre Kante mit T die scharfe Säulenkante T/T unter scharfem Winkel schneidet. Selten entspricht der n vorn hinten eine $n' = a' : c : \frac{1}{2}b$. Zuweilen zeigen sich auch undeutliche Anfänge von einer Geradendfläche $c = c : \infty a : \infty b$. In der Säule stumpft $z = a : \frac{1}{2}b : \infty c$ die Kante M/T und $z' = \frac{1}{2}a : b : \infty c$ die Kante k/T ab. Auch die dreifach schärfere $y = \frac{1}{2}a' : c : \infty b$ findet sich

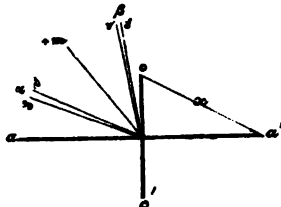
zuweilen. Hr. Hessenberg (Abh. Senck. Nat. Gesellsch. 1856. II. 178) gibt ein vollständiges Flächenverzeichnis: Geht man nach Naumann von dem 2 + 1gliedrigen Oктаeder $o o m m$ aus, so sind die schiefen Axen $a : b : c = 1 : 0,914 : 0,54$, und vorn $a/c = 74^\circ$. Hiernach ergibt sich m 111, o 1'11, T 110, P 001, M 010, k 100, c 1'02, x 1'01, n 021, n' 1'21, u 121, u' 2'21, λ 3'31, e 131, z 130, z' 310, y 2'01. Miller 011, 041, 3'01, 210, 120, 221, 4'83, 152. Hessenberg 1'12, 5'53, 3'13, 510, 3'12. Stellung und Buchstaben, wie beim Feldspath, wobei sich ganz die gleichen Ausdrücke

ergeben. Müller nennt leider beim Feldspath vorn, was er beim Augit als hinten bezeichnete.

Zwillinge verdienen besondere Aufmerksamkeit. Ihre Individuen setzen sich mit $k = a : \infty b : \infty c$ an einander und liegen umgekehrt. Die basaltischen ringsum ausgebildeten zeigen dann an einem Ende einspringende Winkel. Bei den Alpinischen greift nicht selten diese Zwillingsbildung so durch, daß man äußerst vorsichtig in der Deutung der Krystalle des Diopsides und Fassaits sein muß. Die Flächen m o u l aus der ersten Kantenzone leisten hier durch ihre Winkel an der medianen Säulenkante, die vorn stumpf, hinten scharf sind, die besten Dienste. Die Zwillingsgränze ist nicht selten so versteckt, daß die Optiker lange dadurch irre geführt wurden. Beim Strahlstein und Tremolith findet man mittelst Schliß sehr deutlich eine Querlinie.

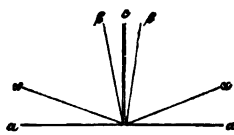


Die optischen Axen $\alpha \beta$ liegen in der Axenebene $a c$, also parallel M , und machen unter sich etwa $58^\circ 58'$. Da die Mittellinie (+ m) gegen Axe c $38^\circ 54'$ neigt, so ist $\beta/c = 38^\circ 54' - 29^\circ 29' = 9^\circ 25'$, beide optischen Axen $\alpha \beta$ müssen also auf der vordern Seite (nicht auf der hintern) zwischen a und c heraustreten. Heusser (Pogg. Ann. 1854. 91. 407) hat ihre Dispersion genau gemessen. Es gab



α	$pc \dots 68^\circ 49' 2''$	β	$pc \dots 9^\circ 41' 11''$
	$vc \dots 68^\circ 6' 16''$		$vc \dots 9^\circ 56' 20''$
	$42' 46''$		$15' 9''$

Die Farben sind daher der Folge nach zwar wie bei 2gliedrigen Krystallen vertheilt, aber in β einander genäherter als in α . Da man nun die Untersuchungen gewöhnlich an Diopsiden des Zillerthales anstellt, welche meist Zwillinge sind, so zeigt eine senkrecht gegen Axe c geschliffene Platte vorn dieselben Farbenkreise mit einem schwarzen Streif, wie hinten, was an zweigliedrige Ordnung erinnert. Allein der Geübte merkt schon an dem Mangel von Lemniscaten, daß es Folge vom Zwillings sein muß (Ewald Pogg. Ann. 56. 174): man sieht in diesem Falle die beiden gleichen Axen β , und die von α nicht, da ihr Winkel $136^\circ 46'$ beträgt. Durchsichtige Säulen zeigen auf k 100 schon unvorbereitet die beiden andern Bilder von α , aber auch ohne Lemniscaten. Es liefert das zugleich ein vortreffliches Mittel, Zwillinge zu unterscheiden.



H = 4—6, Gew. 3,2—3,5. Wird durchsichtiger als Hornblende, aber zeigt sonst die gleichen Varietäten. Mehr Neigung zu körnigen als strahligen Bildungen, wodurch sie sich äußerlich von der Hornblende öfter leicht unterscheiden.

Chemisch läßt sich ein sicherer Unterschied von Hornblende und Augit kaum festsetzen, namentlich gibt es auch Thonerdefreie und Thonerdehaltige Varietäten, Flußsäure konnte jedoch G. Rose darin nicht nachweisen. Da sie

aber im Allgemeinen etwas weniger Kiesel-erde als Hornblende enthalten, so gibt man ihnen wohl die Formel $R^3 Si^2 = R Si$, worin die Basis vorzüglich in Ca, Mg und Fe besteht. Nur darf man nicht vergessen, daß diesen hypothetischen Annahmen thatsächlich die Analysen oft durchaus nicht entsprechen (Rammelsberg Pogg. Ann. 83. 488)

Das Vorkommen ist fast nie in Gebirgsarten, die freien Quarz oder mit Kiesel-erde gesättigte Feldspäthe enthalten, sondern sie bilden vielmehr mit Labrador, Olivin, Leucit, Nephelin u. Augitporphyr, Gabbro, Basalt, Leucitophyre, Nephelingsgesteine u. Noch besonders bemerkenswerth ist ihr Vorkommen in den Hochofenschlacken: die schönsten grauen Krystalle mit Winkeln von ungefähr 87° hat schon Röggerath von der Eisenerz-Grube bei Bigge in Westphalen beschrieben und Rammelsberg analysirt (Pogg. Ann. 74. 108). Auch der schönen lavendelblauen Schlacken von Eisenerz-Gruben, die mit Coaks heizen (Neunkirchen bei Saarbrück), kann man hier erwähnen: in ihren Drusenräumen finden sich die schönsten achteitigen Säulen mit Geradenfläche.



Obgleich das Mat- und Bauchige der Flächen keine genaue Messung zuläßt, so scheint doch der Winkel der Hauptsäule nicht wesentlich vom rechten abzuweichen, deren Kanten gerade abgestumpft werden. Daher hat man die Säule quadratisch genommen und zum Humboldt'schen Corvelli's gestellt (Gurtl. künstl. Mineral. 68), dem auch die Zusammensetzung nicht widerspricht. Nach Bischoff auf dem Müggelsprung (Zeitschr. deutsch. Geol. Gesellschaft. V. 600) bilden sich die Krystalle hauptsächlich bei heftigem Ofengange. Wenn man dessen glühende Schlacke plötzlich durch kaltes Wasser abkühlt, so entsteht ein leichter zerreiblicher Bimstein; beim Abkühlen auf trockener Unterlage ein durchsichtiges Glas; unter einer schützenden Decke von trockenem Sande obige Krystalle; in einer Grube mit warmen Kohlengeflüß kommt ein feinstrahliges Gefüge, woran Säulen von 87° , 124° und andere Winkel erkennbar waren, was an Hornblende und Augit erinnert. In der Murg bei Freudenstadt finden sich ausgezeichnete strahlige Hochofenschlacken, die mit gewissen Strahlsteinen große äußere Ähnlichkeit haben. Hausmann (Götting. gelehrte Anzeigen. 1856. Nachr. pag. 201) hat solche als Chytrophylit- $[R(Si, Al)]$ und Chytrobitit- $[R^4(Si, Al)^3]$ unterschieden. Letztere stehen dem Hornblendetypus sehr nahe. Die Analyse der 8seitigen Säulen gab 41,1 Si, 10,9 Al, 20,6 Mn, 1,7 Fe, 23,7 Ca (Pogg. Ann. 74. 102).

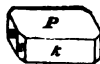
1. Basaltischer Augit (blättriger Augit Br.) kommt mit der basaltischen Hornblende zusammen in ringsum gebildeten schwarzen Krystallen TMko in Basalttuffen, Laven u. sehr ausgezeichnet vor. Am Pferdekopf in der Rhön stecken sogar zuweilen mitten in der Hornblende (Jahrb. 1869. 200). Die Bergmasse pflegt leichter zu verwittern, als die Krystalle, und dann kann man letztere in allen vulkanischen Gegenden in großer Menge sammeln. Sie liefern zugleich einen wesentlichen Bestandtheil der Basalte, Mandelsteine und basaltischen Laven selbst. Der Gehalt an Thonerde steigt zwar nicht so hoch als bei der gleichnamigen Hornblende, doch immerhin auf 5—6,6 pC. Sie bilden sich noch ausgezeichnet schön in den heutigen Laven (Epochen der Natur pag. 169), und haben daselbst meist eine grünliche Farbe. Die aus dem

Mandelstein des Fassathales zeigen eine Gerabendfläche, sonst findet sich außer der 8seitigen Säule als Endigung selten mehr als das Augitpaar o. Diese gehen hier durch Verwitterung (C) leicht in grüne Afterkristalle über, die Brocchi schon 1811 kannte. Interessant die Krystalle im Meteorstein von Juvenas.

2. Gemeiner Augit mit dunkelgrüner bis rabenschwarzer Farbe. Die Zusammensetzung entspricht häufig der Formel $(Ca, Mg, Fe)^3 Si^2$, dunkle enthalten nicht selten noch etwas Thonerde, wie die körnigen aus den Eisesteingruben von Arendal. Diesen sehr verwandt ist der rabenschwarze Jerserfonit von Sparta in New-Yersey, ein ausgezeichnete Augit, aber mit 4 pC. Zinkoxyd. Dem schwärzlichgrünen Hedenbergit von Tunaberg fehlt die Talkerde, er hat dagegen 28 Fe, daher auch das hohe Gewicht von 3,5 erklärlich. Gruner hat sogar einen asbestartigen Augit mit 52,2 Fe analysirt, was fast genau einen Eisen-Augit $Fe^3 Si^2$ von 3,7 Gew. geben würde. Mit dem Lichterwerden der Farbe nimmt der Eisengehalt ab. So enthält der lauchgrüne, körnig abgesetzte Kokolith Andrada (κόκκος Kern) nach Bauquelin 7 Fe. Er bildet in Südschweden Lager mit Kaltspath im Magneteisen. Kudernatsch gibt dagegen in dem dunkelgrünen Fassait neben 4,4 Al 12 Fe an. Besonders schön krystallisirt kommen sie bei Traversella in den Piemontesischen Alpen vor, quadratischen Säulen mit scharfen Endigungen gleichend. Die lichten vom Monzoniberg im Kaltspath mit schwarzem Spinell streifen schon an den Diopsid, ebenso der Baikalit an den Quellen der Sludjenka am Baikalsee.

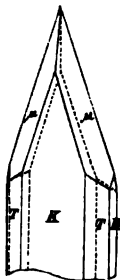
3. Diopsid $Ca^3 Si^2 + Mg^3 Si^2$, grün aber klar und durchsichtig, am Monte Rosa fast farblos, obgleich Exemplare zu optischen Versuchen brauchbar nicht zu den gewöhnlichen gehören. Der Hauy'sche Name soll nicht an die Durchsichtigkeit erinnern, sondern kommt von *als* doppelt und *δύς* Ansicht, weil man über die Kernform doppelte Ansicht haben könne. Es pflegt die Oblongsäule kM zu herrschen, während die Säulenflächen T deren Kanten nur schwach abstumpfen, k ist bauchig gestreift. Die matten Schiefendflächen P und x fehlen nie, sind aber klein, die Paare m und u' dagegen stark ausgedehnt. Mit einem Ende aufgewachsen, welches blasser gefärbt zu sein pflegt, als das freie. Schönste Krystalle mit Granat in Spalten des Serpentin der Alp de la Mussa in Piemont (Quellen der Stura). Arm-lange und dicke Säulen im Chlorit vom Schwarzenstein im Zillerthal. In den Sommalböden mit meßbaren Glimmern. Geht wie der Strahlstein in Asbest über. Auch als Hüttenproduct aus dem Eisenhochofen zu Gammelbo (Westmanland). Hr. Daubrée bekam sie bei Behandlung des Kaolin mit überhitztem Wasser in kleinen einfachen und Zwillingkrystallen (Etudes sur le Metamorph. 1860. 95).

4. Salit (Andrada Scheerer Journ. IV. 51) von der Salasilbergrube in Westmanland, berggrüne trübe strahlige Massen von der Zusammensetzung des Diopsides, aber in der Oblongsäule ist $k = a : oob : ooc$ entschieden blättrig, und dazu kommt eine noch deutlicher blättrige Schiefendfläche $P = a : c : oob$, welche auf M senkrecht steht.



Man hatte daher das Mineral lange mit Feldspath verwechselt, allein da es entschieden weicher ist, so nannte es Abilgaard Malakolith (*μαλακος* weich). Die blättrige k könnte man sich gefallen lassen, sie führt zum Diallag, aber die blättrige P überrascht, und doch darf man sie wegen ihres Glanzes kaum für Absonderungsfläche halten. Nicht blos in Schweden, sondern auch die berggrünen Strahlen in der Muffa-Alp (Muffit) und von Gefrees im Fichtelgebirge zeigen diesen merkwürdigen Querbruch.

5. Almit Verz. (nicht Almit von *αμύγ* Spitze) wurde von Ström im Quarz bei Eger ohnweit Rongsberg in fußlangen Strahlen eingewachsen gefunden (Pogg. Ann. V. 188), die dort sehr gemein sind. Schon die übermäßig gestreckten 8seitigen Säulen mit ihren Winkeln stimmen vollkommen mit Augit, k breiter als M, am Ende herrscht (außer $0 = a' : c : \frac{1}{2}b$) ein sehr scharfes Paar $\mu = \frac{1}{2}a' : \frac{1}{2}b : c$, und die Krystalle vorn wie hinten müssen Zwillinge sein, die Zwillingegränze in einer feinen Linie parallel



der breiten k im Querbruch leicht verfolgbar. Durch das Zerschlagen des Quarzes bekommt man Endflächen, nach Fr. v. Rath (Jahrb. 1860. 447) aber nur an einem Ende, das andere scheine aufgewachsen und dann erst vom Quarze umhüllt zu sein. Die bräunlich schwarzen Krystalle haben außen einen starken Flächen- glanz, innen sind sie dagegen gänzlich matt, wie stark veränderte Austerkrystalle. Daraus mag sich auch theilweis die von Augit abweichende Zusammensetzung $\text{Na Si} + \text{Fe Si}^2$ erklären lassen. Berzelius fand 55,2 Si, 31,2 Fe, 10,4 Na. Schmilzt leicht zu einer magnetischen Perle. Vergleiche mit der Form auch den Spodumen pag. 237.

6. Rother Mangankiesel (Rhodonit, *ρόδον* Rose) nach seiner Rosenfarbe, übrigens nicht mit Mn C zu verwechseln. Man findet ihn meist in derben feinkörnigen, hornsteinartigen Massen, doch kommt er zu Långbanshyttan in Wermeland blättrig im körnigen Eisenglanz vor mit dem Winkel der Augit säule, auch gab die Analyse von Berzelius Mn^2Si^2 . Der von Schabrowa bei Katharinenberg wird verschliffen, auch hier konnte G. Rose den Säulenwinkel messen. Nach Dauber sollen jedoch auch 1gsliebrige (Wabingtonit) darunter sein. Durch Verwitterung verlieren sie ihre Farbe, und bilden im Kiefelschiefer am Schebenholze bei Elbingerode ein schwarz, grün und roth gefärbtes Gestein, fast mit Jaspisbruch, woraus man sogar gewagt hat, verschiedene Mineralspecies zu machen. Die Schwärze entsteht offenbar durch Oxydation des Mangans. Der körnige rosenrothe Commingtonit von Massachusetts 3,4 Gew. ist auch im wesentlichen das Gleiche. Der rabenschwarze Aegirin (nach einem skandinavischen Meergotte) bricht mit Glacolith im Zirkonsphenit der äußersten Klippe (Ramb) des Brevig-Fiordes. Er hat Natron, aber die 8seitige Säule des Augits, dem er auch vor dem Löthrohre gleicht. Nach Rammelsberg $(\text{Ca}, \text{Na}, \text{Fe})^3\text{Si}^2 + \text{Fe Si}^2$.

3. Diallag (Blätteraugit).

Augit, woran $k = a : \infty b : \infty c$ blättriger ist als die Säule $T = a : b : \infty c$. Man hat mehrere Varietäten unterschieden. Sie spielen

in den Gabbrogesteinen eine auffallende Rolle, stets in Verbindung mit Labrador. Dahin gehören besonders folgende drei:

Hypersthen Haug (*ὕπερ* über, *σθένος* Kraft), weil er sich durch stärkern Glanz und stärkere Härte von Hornblende unterscheiden sollte, wozu ihn Werner (labradorische Hornblende) stellte. Als Haug den Unterschied von Hornblende nachgewiesen hatte, nannte ihn Werner Paulit von der St. Paulsinsel bei Labrador, von wo er damals einzig und allein bekannt wurde und zwar in Begleitung des prachtvoll farbespielenden Labrador's, welches Gestein den Namen Hypersthenfels führt (Pogg. Ann. 34. 10). Der deutliche Blätterbruch *k* zeigt einen halbmetalischen ins Kupferroth spiegelnden Schiller nach einseitiger Richtung; senkrecht dagegen steht der fasrige Bruch *M* = *b* : 00a : 00c. Versteckt liegen die Brüche der Augitischen Säule *T*. Nach Hr. Descloizeaux verhält er sich optisch zweiaxig, und zwar liegt die Ebene der optischen Aen nicht wie bei Augit in *ac*, sondern in *bc* (*petite diagonale*). Freilich läßt sich das mit dem einseitigen Schiller nicht in Einklang bringen. Braune Farbe gewöhnlich. Härte 6, Gew. 3,4. Vor dem Löthrohr schmilzt er schwer, $\text{Mg}^3\text{Si}^2 + \text{Fe}^3\text{Si}^2$. Verwächst gern mit Hornblende und enthält meist Titaneisen. Außer der St. Paulsinsel ist der Hypersthenfels von Elfdalen berühmt, welcher verschliffen wird, Nadeln von Apatit und Olivin enthält. Prachtvoll sind die großen Blätter von Wolpersdorf bei Neurode in Schlesien, der von Penig in Sachsen neigt schon zum krummblättrigen, ist aber noch Kupferroth, im Gestein von Le Prese (Vestlin) ist er bereits so blättrig, daß diesen G. Rose schon zum Diallag im engern Sinn stellt, obgleich die braune Farbe stark an Hypersthen erinnert. Harz, Hebriden, Amerika.

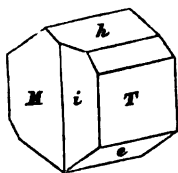
Bronzit Karsten (Klaproth's Beitr. V. 22) aus dem Serpentin von Kraubat in Steiermark, und später noch ausgezeichneter von Kupperberg auf dem Fichtelgebirge, in den Olivinmassen am Stempel bei Warburg 2c. Nach seiner lichten tomabbraunen Farbe genannt; da diese ins Nesselbraune geht, so nannte ihn Werner blättrigen Anthophyllit. Die Fläche *k* bildet zwar noch den deutlichsten unter den Blätterbrüchen, allein sie ist eigenthümlich krummflächig und fasrig, daher zeigt sich auch bei der Bewegung ein innerer Lichtschein, Gew. 3,27. Er steht an der Gränze der Schmelzbarkeit, aber da man von ihm leicht die feinsten Fasern spalten kann, so läßt sich an dieselben ein Köpfchen schmelzen. $3\text{Mg}^3\text{Si}^2 + \text{Fe}^3\text{Si}^2$, doch wechselt der Eisengehalt. Im Serpentin von Kupperberg wird er durch Verwitterung so weich wie Talc (Phästia), fühlt sich auch fettig an, ohne Lichtschein und Faserstructur aufzugeben. Eine höchst eigenthümliche Veränderung!

Diallag Haug (*διαλλαγή* Veränderung, eine sehr gesuchte Benennung, die auf die Ungleichheit der Blätterbrüche anspielen soll). Hauptsächlich mit Labrador in der Gabbro. Der blättrige Bruch *k* = *a* : 00b : 00c wird so ausgezeichnet, daß er häufig an Glimmer erinnert, der Säulenbruch *T* nicht mehr erkennbar, aber nach *M* = *b* : 00a : 00c springt er fasrig weg. Gern grüne Farbe, *H* = 4—5, Gew. 3,2—3,4. Vor dem Löthrohr schmilzt er leichter als Bronzit, aber schwerer als Augit. Man gibt ihm die Formel

des Augits ($3 \text{ Mg} + 2 \text{ Ca} + \text{Fe}$)² Si^2 , obgleich der Winkel der Säule noch nicht nachgewiesen wurde. Es ist hier auch der Schillerspath pag. 248 zu vergleichen. Als Normal-species sieht man den bronzefarbenen von Le Prese an, kleinblättriger sind die berggrünen von der Baste im Harzburger Forst, am Rande mit nelfenbrauner Hornblende verwachsen (Pogg. Ann. 18. 101). Die grünen sind meist verdächtig, denn gerade die schönsten fast smaragdgrünen im Saussurit von Turin und Corsica (Saussure's Smaragdit) sollen nach Haibinger Gemische von Hornblende und Augit sein (Gilbert's Ann. 1823, Band 75. 303). Beide nicht selten mit einander so verwachsen, daß ihre Achsen a b c respective zusammenfallen. Es erinnert an die Asterbildung des Uralits pag. 253 und ist um so merkwürdiger, da sich solche Verwachsungen bei der ganzen Diallaggruppe wiederholen. Gewöhnlich dringt die Hornblende in etwas anderer Farbe vom Rande her ein. Werner's

Omphacit (*ὀμπαξ* unreife Traube) nach der grünen Farbe genannt, kommt körnig in Begleitung von rothem Granat und blauem Cyanit besonders schön bei Hof im Fichtelgebirge und am Bacher in Unter-Steiermark vor. Auch hier ist Hornblende mit Augit unregelmäßig durcheinander gemischt. Am Bacher soll das zum Smaragdgrünen sich neigende Fossil Augit und das braunere Hornblende sein. Enstatit (*εγσταίτης* Gegner, Sitzungsbb. Kais. Akad. Wiss. XVI. 102) $\text{Mg}^2 \text{Si}^2$ vom Berge Zbjar bei Aloisthal in Mähren. Skapolithartig im Serpentin, jedoch von Kennigott Augitisch beschrieben, und insofern scheinbar ein Gegenstück zum Wollastonit. Allein unschmelzbar und optisch wie Hypersthen. Der asbestartige Grunerit wurde dem entsprechend für Eisenaugit $\text{Fe}^2 \text{Si}^2$ gehalten.

Wollastonit Haug (Breslau Geologie, deutsch. III. 300). Schon 1793 entdeckte ihn Stütz im Wiener Museum in den blauen Kalken mit braunen Granaten und Buntkupfererz von Cziflowa im Banat und nannte ihn Tafelspath, Werner Schalkstein und Klaproth Beitr. III. 303 lieferte die Analyse, welche auf $\text{Ca}^2 \text{Si}^2$ also augitische Zusammensetzung führte, allein das Krystallsystem kann damit nicht recht in Uebereinstimmung gebracht werden. Es scheint wie beim Epidot gewendet 2+1gliedrig. Die schneeweißen Strahlen von Finnland und dem Banat zeigen 4blättrige Brüche, denen auch nicht selten sehr deutliche Krystallflächen entsprechen. Die beiden deutlichsten



aber einander ungleichen Blätterbrüche M/T schneiden sich nach Phillips unter $95^\circ 20'$, nach der deutlicher blättrigen T werden die Massen breitstrahlig. Ein dritter Blätterbruch i stumpft die stumpfe Säulenkaute ungleich ab, $i/T = 135^\circ 30'$ und $i/M = 139^\circ 45'$. Auch ein 4ter, welcher die scharfe Säulenkaute von $84^\circ 40'$ abstumpft, schimmert öfter deutlich. Phillips gibt auch die Enden unsymmetrisch an $h/T = 126^\circ$, $e/T = 139^\circ 45'$. Später hat Brooke (Pogg. Ann. 23. 300) einen Krystall aus den Auswürflingen des Besuds gemessen, der ebenfalls 4 Blätterbrüche in einer Zone hatte, die Winkel sind aber (theils aus unvollkommener Angabe) mit den Banater nicht in Uebereinstimmung zu bringen. Darnach scheint aber das System 2+1gliedrig. Eine Säule

von $95^{\circ} 38'$ wird angegeben, deren vordere stumpfe Kante der erste Blätterbruch gerade abstumpft. Die blättrige Schiefendfläche P macht mit den Säulenflächen $104^{\circ} 48'$ und mit der Axe c $69^{\circ} 48'$; ein dritter Blätterbruch mit Axe $129^{\circ} 42'$. Bei den Krystallen von Capo di Bove liegen die optischen Axen in der Symmetrieebene, daher kann die Deutung von Rammeisberg (Pogg. Ann. 103. 282) nicht richtig sein. Vergleiche auch Kobell (Münch. Gelehr. Anz. 1843. II. 940) über den serpentinartigen Spadaït von Capo di Bove.

Härte 4—5, Gew. 2,8. Weiße bis schneeweiße Farbe, durch Reibung und Erwärmen phosphorescirend. Sehr brüchig.

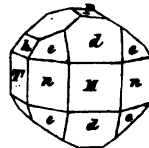
Vor dem Löthrohr schmilzt er ziemlich schwer zu einer klaren Perle, zeigt dabei eine von Kalt herrührende schwache rothe Färbung der Flamme. Salzsäure zerlegt ihn und bildet eine Gallerte: 51,4 Si, 47,4 Ca stimmt gut mit der Formel $\text{Ca}^2 \text{Si}^2$. Im körnigen Kalkspath im Banat und Finnland (Perheniemi). Bei Auerbach an der BerggstraÙe im späthigen Kalke mit Granat. Verschieden davon ist das Vorkommen im Mandelstein von Dumbarton, in der Lava von Capo di Bove, in den Auswürflingen des Basalts von Granat und Leucit begleitet. Eigenthümlich die dendritischen Ablagerungen im Kalkstein von Verggießhübel.

Dana's Danburit (Silliman's Amer. Journ. 1850. IX. 200) von Danbury in Connecticut im Feldspath mit Dolomit. Gelbliche Chondroitartige Krystalle mit 2 blättrigen Brüchen von 110° , scheinbar eingliedrig. $H=7$, Gew. 2,95, mit 9,2 Borsäure, 49,7 Si, 22,8 Ca, 9,8 Na, 4,3 Ka zc.

4. Olivin.

Werner schrieb 1790 im Bergmännischen Journal III. 2 pag. 54 eine besondere Abhandlung darüber, und hieß ihn nach seiner olivengrünen Farbe, schieb aber den edlen Olivin als Chrysolith ab, doch vereinigte sie Haupt wieder unter dem in Frankreich bei den Steinschleifern gebräuchlichen Namen Peridot. Chrysolithus beschreibt Plinius 37. 42 als einen goldgelben Stein (aureo fulgore), daher nimmt es Wunder, daß die Mineralogen vor Werner alle harten durchsichtigen gelblichgrünen Steine, wie Olivin, Turmalin, Chrysoberyll, Beryll, Brehnit, Apatit, Zirkon, Flußspath zc. darunter begriffen, während derselbe besser auf die gelbe Farbe des Topases gepaßt hätte. Man scheint hauptsächlich durch Wallerius Mineralogie in diesen Fehler gefallen zu sein.

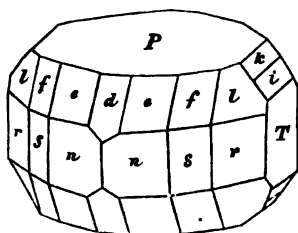
Zweigliedriges Krystallsystem: eine geschobene Säule $n = a : b : ooc$ bildet vorn den stumpfen Winkel von $130^{\circ} 2'$. Dieselbe wird aber meist tafelartig durch die längsgestreifte Fläche $M = a : oob : ooc$. Die matte $T = b : ooa : ooc$ ist nur sehr versteckt blättrig. Die Geradendfläche $P = c : ooa : oob$ gewinnt selten an Ausdehnung. Ein auf die stumpfe Säulenkante aufgesetztes Paar $d = a : c : oob$ $76^{\circ} 54'$ (in c) ist wegen des starken Glanzes leicht meßbar. Aus den Winkeln von n/n und d/d ergibt sich



$$a : b = 0,794 : 1,704 = \sqrt{0,6304} : \sqrt{2,908},$$

$$lga = 9,89983, lgb = 0,23148.$$

Die glänzenden Octaederflächen $e = a : b : c$ fehlen selten, ihre seitliche Endkante wird durch die rauhen $h = b : c : \infty a$ gerade abgestumpft, die sich unter $119^\circ 12'$ schneiden; rauh ist ferner $k = \frac{1}{2}b : c : \infty a$ $80^\circ 53'$, da nun auch in derselben Zone P und T matt war, so kann man sich darnach leicht in die



Stellung der Krystalle finden. Schöne deutliche Formen gehören übrigens zu den Seltenheiten, um so überraschender war es, als G. Rose (Pogg. Ann. 4. 185) aus dem Pallasischen Meteorereisen, worin schon Chladni 1794 Olivin nennt, die flächenreichsten Krystalle beschrieb, welche außer nPT, d, e, k noch $i = \frac{1}{2}b : \infty a : c$, $f = a : c : \frac{1}{2}b$, $l = a : c : \frac{1}{2}b$, $s = a : \frac{1}{2}b : \infty c$ und $r = a : \frac{1}{2}b : \infty c$ hatten. P war daran

stärker als gewöhnlich ausgedehnt und parallel der Axe a gestreift. Die Form des Olivins hat große Ähnlichkeit mit der des Chrysoberylls, aber Zwillinge kennt man kaum (am Vesuv), diese kommen jedoch bei den Austerkrystallen des Serpentin nach Olivin häufig vor pag. 247, sie haben $h = b : c : \infty a$ gemein. Ja bei diesen Austerkrystallen finden sich noch die Flächen $\delta = \frac{1}{2}a : c : \infty b$, $s = \frac{1}{2}a : b : c$, $\varphi = \frac{1}{2}a : \frac{1}{2}b : c$ und $\lambda = \frac{1}{2}a : \frac{1}{2}b : c$, welcher Reichthum an Sumit erinnert. Die Ebene der optischen Aren fällt in a b, +a die Mittellinie, wovon man sich sofort an dünnen Krystallen ziemlich sicher überzeugt. Dies und die Zwillinge haben einige veranlaßt, a als Hauptaxe zu nehmen. Härte 7, Gew. 3,35, Glasglanz, große Durchscheinendheit und gelblichgrüne Farbe.

Im Feuer bleibt er fast unverändert und schmilzt namentlich nicht vor dem Löthrohr, nur die mit starkem Eisengehalt werden angegriffen. Die Kalkerde ist ihm fremd, Mg^3Si , dagegen enthalten alle einen bedeutenden Gehalt an Fe^3 , auch etwas Nickeloxyd und Berzelius gibt bei den Pallasischen und Böhmischen bis 0,2 Kupfer- und Zinnoxyd an, noch merkwürdiger arsenige Säure (Kummel Pogg. Ann. 49. 591 und 84. 592). „Salzsäure greift ihn nicht merklich an, dagegen wird das Pulver von Schwefelsäure vollkommen zur Gallerte zerlegt.“ 41,2 Si, 50,3 Mg, 8,5 Fe. Der Basalt nebst Verwandten bildet fast die einzige Fundstätte, hier kommt er nicht bloß in einzelnen Körnern eingesprenkt vor, sondern auch in kugelförmigen Haufen von $\frac{1}{4}$ bis über 2' Durchmesser, wie am Dreier Weiher bei Dockweiler in der Eifel, zu Maurob bei Wiesbaden u. Solche Haufwerke sind schwer erklärlich, und erscheinen zumal bei der Unschmelzbarkeit wie fremdartige Einschlüsse. Im Hypersthenfels von Elfdalen erkannte G. Rose zuerst gelblichen Olivin, später fand er sich im Talkschiefer am Berge Itkul südlich Sgherd bei Katharinenburg in olivengrünen durchsichtigen Stücken, bis Faustgröße (Erdmann's Journ. prakt. Chem. 1849. Bd. 46. pag. 222). Ein ähnliches derbes Mineral im Talkschiefer von Rychtinsk hat man Glinit genannt, was „einigermaßen das Erscheinen des Serpentinkrystalls von Snarum erklärt“

(G. Rose Zeitschr. deutsch. geol. Ges. XI. 187). Auf die schönen Olivine in den Höhlungen des Pallasischen Meteorereisens wurde oben aufmerksam gemacht, schon Biot zeigte, daß es keine glasige Masse, sondern eine krystallinische Substanz mit zwei optischen Axen sei, und neuerlich beweist Edmessen (Erdmann's J. v. Gh. 1851. Bb. 54. pag. 162), daß man leicht gelbe durchsichtige Krystalle bekomme, wenn man in einem offenen Gefäß auf Platinblech $4,5 \text{ Si} + 6,1 \text{ Mg} + 6 \text{ B}$ mit einander schmelze, woraus die leichte Bildung in Basalten erklärlich erscheint. In neuern Lavas soll er dagegen nicht vorkommen, wohl aber erklärte Shepard (Silliman Amer. Journ. XXX. 1860) die perlgraue Masse des Meteorsteins 1. Mai 1860 von New-Concord in Ohio durchaus für Olivin.

Chrysolith (edler Olivin) wird vielfach verschliffen, und angeblich aus Egypten und Brasilien in rohen Körnern eingeführt. Die geschliffenen kann man leicht mit Vesuvian verwechseln.

Hyalosiderit Walchner de Hyalosiderite Diff. 1822 (Valos Glas) aus dem Mandelstein der Limburg bei Sasbach am Kaiserstuhl unmittelbar am Rhein. Ein Eisenolivin mit 29,7 Fe. Freilich haben die meisten stark durch Verwitterung gelitten, sie laufen dann ziegelroth an. Kleine Oktaeder mit den Flächen $k \pm n$. Schmilzt zu einer magnetischen Schlacke. Der Eulysit in Gneis von Tunaberg hat sogar 54,7 Fe.

Monticellit Brooke aus den Sommaauswürflingen ist wie der Forsterit daselbst ein farbloser Chrysolith, nach Scacchi aus $\text{Mg}^3 \text{Si} + \text{Ca}^3 \text{Si}$ bestehend. Der nach seiner Froschlaichähnlichen Farbe genannte Batrachit Breithaupts vom Rizoniberge in Südtirol, eine 2' mächtige Bank mit Kalkspath und schwarzem Spinell im Syenit bildend, soll die gleiche Zusammensetzung haben, nur noch 3 pC. Fe enthalten, obgleich er als rhombische Säule von 115° mit schwachem Blätterbruch beschrieben wird. Breithaupt's Tephroit von Sparta in New-Yersey mit Franklinit und Rothzinkerz könnte ein Manganchrysolith sein, $(\text{Mn}, \text{Fe})^3 \text{Si}$, allein die aschgraue körnige Substanz kennt man nicht krystallisirt. Vergleiche auch Knebelit. Der grüngelbe Boltonit von Massachusetts ist fast reine $\text{Mg}^3 \text{Si}$.

Eisenfrischschlacke (Fahalit). Bei dem Frischprozeß des Eisens (Hausmann in Woll's N. Jahrb. Berg. Hütt. 1812. III. 80) bilden sich sehr blättrige krystallinische Schlacken von eisenschwarzer Farbe mit einem Stich ins Gelbe. Mitscherlich (Abh. Berl. Akad. 1822. pag. 29) hat davon zuerst nachgewiesen, daß sie nicht bloß die Formel eines ausgezeichneten Eisenolivins ($\text{Fe}^3 \text{Si}$), sondern auch die Form haben. Es sind treppenförmige Oblongoktaeder (Karstendrusen) mit $n = a : b : \infty c \ 130^\circ 28'$ und $k = \frac{1}{2}b : c : \infty a \ 81^\circ 17'$, deren eine Ecke durch $T = b : \infty a : \infty c$ nicht selten so stark abgestumpft wird, daß es papierdünne Tafeln gibt. Solche Tafeln von Feldspathhärte haben aber immer Neigung sich zu zelligen Oblongoktaedern zu gruppieren, weshalb sie auch eine ausgezeichnete doppelte Streifung parallel T/n und T/k zeigen. Ein deutlicher Blätterbruch



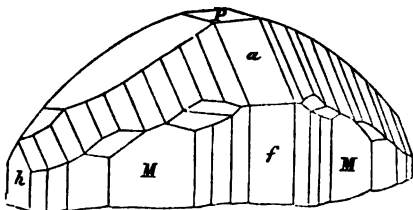
$P = c : \infty a : \infty b$ stumpft die scharfe Kante k/k gerade ab, auf demselben erkennt man öfter in ausgezeichnete Weise die Absonderungstreifen der Tafeln, so daß derbe körnige Stücke auf ihren Bruchflächen Figuren zeigen ähnlich den Widmannstätten'schen an geägtem Meteoreisen. Liegt T im Niveau der erkalteten Schlackenoberfläche, so zeigt sich eine merkwürdige **briefenvert-**artige Streifung. Auf der Hütte zu **Wasseraufingen** kommen gar liebliche



Stücke der Art vor, ganz überfät mit zahllosen wirr durcheinander liegenden „Couberten“ gelb in den Längs- und roth in den Querstreifen schillernd. Dazwischen lagern sich auch blaue **Schäcke**, deren Winkel von etwa 81° einen Durchschnitt nach $a : \infty b : \infty c$ verräth. Streifungen

vom Mittelpunkte scheinen auf Zwillinge zu deuten. Döndorff (Leob. Jahrb. 1860. ~~ooo~~) hat das alles vortrefflich auseinander gesetzt. Obgleich der Fayalit von der Azorischen Insel Fayal etwas leichter schmelzbar, härter und magnetischer ist als die Puddelschlacken im Allgemeinen, so ist doch sein Wesen so durchaus ähnlich, daß er wohl zweifelsohne zu den gleichen Kunstproducten gehört, welche die Schiffe dort als Ballast hinführten. Die Farbe mancher solcher Schlacken gleicht dem Eisenglanz, ihre Krystalle haben auch wohl einen gelblichen Schmelzüberzug, was lebhaft an die rothe Hülle des Hyalofiderits erinnert. Miller gibt viele seltene Flächen an T 010, P 001, a 100, n 110, k 021, d 101, h 011, i 041, u 230, s 120, r 130, v 150, e 111, f 120, l 131, die mit den gleichnamigen beim Olivin stimmen.

Sumit aus den Sommalöcken (1817 von Graf von Bournon nach dem damaligen Vicepräsidenten der Londoner geol. Gesellsch. genannt), wo er in kleinen braungelben mit viel Flächen überladenen Krystallen vorkommt, die man leicht mit Vesuvian verwechselt, Härte 6—7, Gew. 3,2. Die Formen lassen sich zwar nicht gut mit Olivin in Uebereinstimmung bringen, allein einen Theil der Schuld scheint das außerordentlich flächenreiche System zu tragen. Wir verdanken Marignac, besonders aber Scacchi in Neapel eine äußerst mühsame und gründliche Abhandlung (Pogg. Ann. Ergänzungsband III. 1853. pag. 161). Darnach ist das System wie beim Olivin 2gliedrig; auch Phillips beschrieb es so: eine geschobene Säule $M = a : b : \infty c$ 120° ($120^\circ 20'$ Sc.), deren stumpfe Kante durch $f = a : \infty b : \infty c$, und deren



scharfe durch den Blätterbruch $h = b : \infty a : \infty c$ gerade abgestumpft wird. Außerdem kommt eine Geradendfläche $P = c : \infty a : \infty b$ vor. Ein vorderes Paar $a = a : c : \infty b$ macht in c $129^\circ 40'$ ($130^\circ 24'$ Sc.). Dieser Winkel würde zwar gut mit der Säule n des Olivins stimmen, allein

man kann M nicht für h des Olivins nehmen, da M/M ihren stumpfen Winkel von 120° hinlegen, wo h/h ihren scharfen haben. Ist nun schon bei Phillips die Ueberladung der Flächen außerordentlich, so geht Scacchi noch weiter: er unterscheidet dreierlei Typen, deren Winkel etwas von einander

abweichen. Im ersten Typus geht derselbe von der Säule $e^6 = a : b : \infty c$ aus, die vorn $152^\circ 26'$ macht, und von $o^2 = c : 2a : \infty b$ in c sich unter $130^\circ 24'$ schneidend, daraus folgt für

Typus I.

$a : b : c = 0,2453 : 1 : 0,2271$.
Unter dieser Voraussetzung ist $i^5 = b : c : \infty a$, $i^3 = b : 3c : \infty a$,
 $i = b : 5c : \infty a$, $n^2 = a : b : c$,
 $n = a : c : \frac{1}{2}b$.

Im 2ten Typus geht Scacchi von $e^2 = a : b : \infty c$ $142^\circ 4'$ und $i = b : 2c : \infty a$ $115^\circ 2'$ aus, daraus folgt für

Typus II.

$a : b : c = 0,3438 : 1 : 0,3184$.
In diesem Falle ist $n^2 = a : b : c$,
 $n = a : c : \frac{1}{2}b$, $r^4 = a : b : \frac{1}{2}c$,
 $r^3 = a : \frac{1}{2}b : \frac{1}{2}c$, $m = \frac{1}{2}a : \frac{1}{2}b : \frac{1}{2}c$,
 $m^2 = b : \frac{1}{2}a : \frac{1}{2}c$.

Im dritten häufigsten Typus, der seines Flächenreichtums wegen wahrscheinlich mit Phillips schöner Figur stimmt, wornach $r^3/r^5 = a/a = 129^\circ 40'$ ist, geht man von $e^4 = a : b : \infty c$ $158^\circ 24'$ und $i^3 = b : 2c : \infty a$ 141° aus, dann folgt für

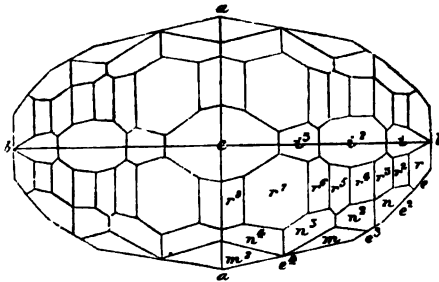
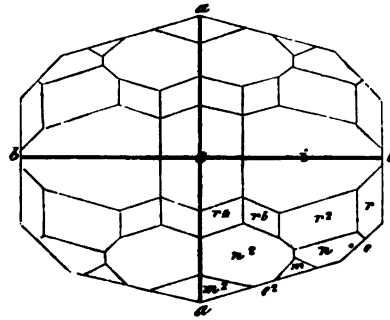
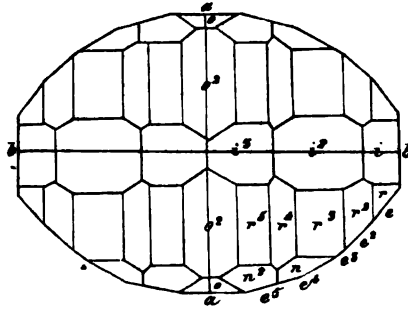
Typus III.

$a : b : c = 0,1907 : 1 : 0,1765$.
Jetzt ist nun $n^4 = a : b : c$,
 $n^3 = a : c : \frac{1}{2}b$, $n^2 = a : c : \frac{1}{2}b$,
 $n = a : c : \frac{1}{2}b$; $r^8 = a : \frac{1}{2}c : b$,
 $r^7 = a : \frac{1}{2}c : \frac{1}{2}b$, $r^6 = a : \frac{1}{2}c : \frac{1}{2}b$,
 $r^5 = a : \frac{1}{2}c : \frac{1}{2}b$, $r^4 = a : \frac{1}{2}c : \frac{1}{2}b$,
 $r^3 = a : \frac{1}{2}c : \frac{1}{2}b$, $r^2 = a : \frac{1}{2}c : \frac{1}{2}b$,
 $r = a : \frac{1}{2}c : \frac{1}{2}b$; $i^2 = b : 4c : \infty a$,
 $i = b : 6c : \infty a$; $e^3 = a : \frac{1}{2}b : \infty c$,
 $e^2 = a : \frac{1}{2}b : \infty c$, $e = a : \frac{1}{2}b : \infty c$; $m = a : \frac{1}{2}c : \frac{1}{2}b$, $m^2 = a : \frac{1}{2}c : 3b$.
Wertwürdig ist an diesen Azen, daß bei gleicher $b = 1$ die a und c sich der Reihe nach wie die Zahlen $7 : 5 : 9$ verhalten. Denn

$$a = 0,245 \cdot 7 = 0,343 \cdot 5 = 0,19 \cdot 9 = 1,717$$

$$c = 0,227 \cdot 7 = 0,318 \cdot 5 = 0,176 \cdot 9 = 1,59$$

Würde man daher von den Azen $a : b : c = 1,717 : 1 : 1,59$ ausgehen,



so blieben in allen Typen die Ausdrücke von b gleich, die a und c des ersten Typus mußte man aber mit 7, des zweiten mit 5 und des dritten mit 9 dividiren. Da alle Ausdrücke rational bleiben, so sollte man allerdings sämmtliche als einem System angehörig betrachten können. Dann hätte der Humit 50 verschiedene Flächenzeichen mit 3 Einzelflächen, 20 Paaren und 27 Oктаedern, Summa 151 Parallelräume.

Vergleichen wir nun diese Aren mit denen des Olivins, wo

$$a : b = 0,794 : 1,704 \text{ oder } 2a : b = 1,59 : 1,704$$

war, so stimmen sie vollkommen mit Humit, wenn man $2a$ (Ol.) = c (Hum.) und b (Ol.) = a (Hum.) setzt.

Scacchi weist nun auch Zwillinge und Drillinge nach, die sich ganz wie beim Chrysoberyll mit den Aren b unter 60° (ungefähr) durchwachsen, ein weiterer Beweis, daß b Humit = c Chrysoberyll sei. Oester zeigt sich auch eine Neigung zu Hemiedrie, indem von den Oктаederflächen sich 2 zu einer rhombischen Säule ausdehnen, daher wurden sie längere Zeit als 2 + 1-gliedrig angesehen, wie sie Miller (Mineral. pag. 352) noch beschreibt. Ich bin bei der Phillips'schen Darstellung geblieben (Hessenberg, Send. Nat.-Ges. 1858. II. 266). Scacchi nimmt dagegen den blättrigen Bruch h 010 als Geradenfläche, stellt also Are b aufrecht, und den scharfen Winkel von $a/a = 50^\circ. 20'$ nach vorn. Sie sollen nicht bloß häufig so aufgewachsen sein, sondern auch der 2 + 1-gliedrige Unterschied zwischen vorn und hinten nach dieser Stellung sich richten.

Vor dem Böhrohr unschmelzbar, im Wesentlichen $Mg^4 Si$ aber mit einem Gehalt an Fluor. Nach Kammelsberg

1ster Typus $27 Mg^4 Si + 4 Mg Fl + Si Fl^3$

2ter Typus $18 Mg^4 Si + 4 Mg Fl + Si Fl^3$

3ter Typus $36 Mg^4 Si + 4 Mg Fl + Si Fl^3$

Chondrobit $12 Mg^4 Si + 4 Mg Fl + Si Fl^3$ (χόνδρος Korn) Graf d'Ohsson Kongl. Vet. Acad. Handl. 1817. pag. 206. Wachsgelbe Körner eingesprenkt in den körnigen Kalk mit Graphit von Sparta in New-Yersey, mit Pargasit von Pargas in Finnland 2c. Gute Krystalle selten. Nach Dana 2 + 1-gliedrig: eine geschobene Säule von 68° , darauf ein vorderes Augitpaar von 89° und ein hinteres von 80° (in der Medianfante) aufgesetzt. Wegen der Zusammensetzung aber dennoch wahrscheinlich mit Humit stimmend, was auch Nordenskjöld (Pogg. Ann. 1865. 96. 119) zu beweisen sucht. Er fand bei den Finnländischen auch sehr viele Flächen mit Neigung zur Hemiedrie, aber vorherrschend war eine Säule $p = a : b : \infty$ vorn $65^\circ 22'$; $n = a : oob : \infty$ stumpft die scharfe und $m = b : ooa : \infty$ die stumpfe Säulenfante ab, $r = a : \frac{1}{2}b : \frac{1}{2}c$ bildet ein vorderes, $s = a : \frac{1}{2}b : c$ ein hinteres Augitartiges Paar; $b = a : c : oob$ kommt nur hinten, $a = a : \frac{1}{2}c : oob$ dagegen hinten und vorn vor. Aren $a : b : c = 1 : 0,642 : 1,036$.

5. Dichroit Cord.

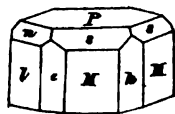
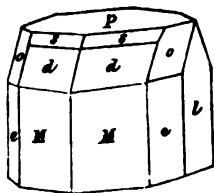
Man fand ihn zuerst am Cabo de Gata in Südspanien in Fündlingen mit rothen edlen Granaten, die von basaltischer Lava eingeschlossen werden,

Werner nannte diese Jolith (Zov Beilchen). Freilich kannten schon längst die Steinschleifer den Saphir d'eau (Euchtsaphir) von Ceylon, welchen Werner als Peliom (πελιωμα Farbe des unterlaufenen Bluts) unterschied. Cordier (Journ. de phys. 1809. 200) machte zuerst auf Krystallform und Dichroismus aufmerksam, daher nannte ihn Haüy Cordierit. Bis auf Mohs wurden sie für 6gl. gehalten. Tamnau (Pogg. Ann. 12. 100) hat die Krystallform am besten auseinander gesetzt. Sie sind ohne Zweifel

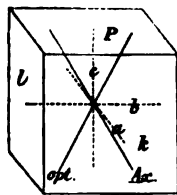
Zweigliedrig, aber die Krystalle nicht mit dem Goniometer meßbar. Die rhombische Säule $M = a : b : \infty c$ ist ungefähr 120° , und das Oktaeder $d = a : b : c$ macht mit der Säule M etwa einen Winkel $M/d = 140^\circ$. Daraus ergibt sich

$$a : b = \sqrt{0,9388} : \sqrt{2,8164} = 0,969 : 1,678, \\ lga = 9,98628, lgb = 0,22484.$$

Die Geradenfläche $P = c : \infty a : \infty b$ dehnt sich immer stark aus; $l = b : \infty a : \infty c$ fehlt selten und ist etwas blättrig, sie bildet mit M den Winkeln nach eine reguläre sechseckige Säule, da nun auch sämtliche gerade Abstumpfungen ihrer Kanten, $k = a : \infty b : \infty c$ und $e = a : \frac{1}{2}b : \infty c$, nicht fehlen, so nahm Haüy das System für 6gliedrig. Dazu kam nun noch, daß öfter das Oktaeder $s = a : b : \frac{1}{2}c$ mit $n = b : c : \infty a$ auftritt, welche auf der sechseckigen Säule eine förmliche dihexaedrische Endigung bilden, $s/M = 120^\circ 48'$. Die zweigliedrige Entwicklung spricht sich aber besonders durch $o = a : c : \frac{1}{2}b$, und durch den Mangel von Flächen über l aus, so daß, wenn auch die optischen Kennzeichen uns nicht zu Hilfe kämen, wir über das System heute nicht mehr in Zweifel sein würden.



Durch seinen sogenannten „Dichroismus“ ist das Mineral seit Cordier berühmt geworden. Besonders geeignet sind dazu jene schön blauen Geschiebe von Ceylon, die man unmittelbar untersuchen kann. Will man jedoch die Sache gründlich nehmen, so schleift man daraus einen nach den Axen orientirten Würfel, dessen Flächen den Pkl parallel gehen. Sieht man nun quer durch P , also parallel der Axe c , so haben wir das stärkste Blau, dunkel Indigblau; quer durch k , also parallel der Axe a , wird das Blau entschieden blasser; endlich quer durch l , also parallel der Axe b , schwindet das Blau oft gänzlich, der Krystall erscheint schmutzig gelb oder farblos. Das dunkelste Blau tritt in der Richtung der optischen Mittellinie, welche mit c zusammenfällt, hervor, und der Mangel an Farbe in der Richtung der mit b zusammenfallenden optischen Senkrechte. Die optischen Axen (—) liegen nämlich nach Haidinger in der Axenebene $b c$ und machen mit c einen Winkel von $31^\circ 25'$, nach Descloizeaux variirt er nach den Fundorten. Taucht man ein Ceylonisches Geschiebe in Terpenthinöl, so kann man sofort im Po-



larisationsmikroskop ein Azenbild wahrnehmen. Wie Turmalin absorbiert Dichroit polarisirtes Licht gänzlich, kann also ebenso benützt werden, allein da letzterer optisch 2axig ist, so wirken die Platten sowohl längs als quer der Hauptaxe c geschliffen (Pogg. Ann. 1820. V. 10).

Gewicht 2,56, Härte 7—8, Violblau, Grün, bis farblos, muscheligen Bruch, wie Quarz, aber zum Fettglanz geneigt.

Vor dem Löthrohr schmilzt er schwierig an den Kanten. $Mg^3 Al^3 Si^5$, aber meist ein bedeutender Gehalt an Fe vorhanden.

Die meisten kommen uns von Bodenmais im bayerischen Walde zu, wo sie mit Magnetkies in großen derben Massen im Granit brechen. Hier auch die schönsten Krystalle von grüner und blauer Farbe, aber außen schwärzlich. Besonders schön blau ist der von Orijärvi bei Abo in Finnland im Kupferkies, er soll 2,6 wiegen und ist Steinheilit genannt, ähnlicher auch zu Zwebstrand bei Brevig. In den Kupferkieslagern von Falun, dem Magnetkies von Arendal, im Granit von Grönland und Faddam. Aber nur die Ceylonischen Geschiebe eignen sich vorzugsweise zum Schleifen.

Dichroit zog in neuern Zeiten noch in hohem Grade die Aufmerksamkeit auf sich durch die Leichtigkeit, mit welcher er verwittert und in Folge dessen Wasser aufnimmt. Da seine Zusammensetzung nichts Ausgezeichnetes hat, und die Säulen mit Geradenfläche immer an 6gliedrige Krystalle mahnen, so erklärt das die Schwierigkeit der richtigen Deutung (Bischof Lehrb. chem. phys. Geologie II. 200).

Falunit Hisinger aus dem grünen Talkschiefer der Kupfergruben von Falun. Eine Serpentinartige ölgrüne Masse mit splittrigem Bruch bis auf Kalkspathhärte hinabgehend. Nach Hisinger überzieht er öfter noch unzerlegten Dichroit, der in denselben Gruben vorkommt. Einige davon sollen Blätterdurchgänge zeigen (Triclasit Wallmann's), aber schimmern auch nur wachsglänzend, Hausmann beschreibt auch diesen zweigliedrig, nennt einen Säulenwinkel von $120^\circ 32'$, so wenig auch die Beschreibung zum Dichroit passen mag. So soll auch der Weissit, Hausmann's schaliger Triclasit (Pogg. Ann. 14. 100) von dort 2 + 1gliedrig sein, sich aber sonst nicht unterscheiden lassen. Dagegen steht der harte Falunit dem unveränderten Dichroit schon näher, so daß in jenen berühmten Kupfergruben durch Aufnahme von Wasser (bis 14 H) eine ganze Reihe von Asterkrystallen sich zu bilden scheint. Der

Pinit Werner's fand sich zuerst im verwitterten Granit des Pinitstollens zu Schneeberg, der nach dem Pater Pini seinen Namen bekommen hatte, weil Bergmeister Bauer im Granit dieselben Feldspathe wie bei Baveno

fand. Die schwärzlichgrüne durch Eisenoxyd rothgefärbte Masse ist um und um krystallisirt, und bildet eine 12seitige Säule mit Geradenfläche. Die Winkel der Säule sind etwa 150° , daher nahm sie Haüy für die beiden regulären sechsseitigen Säulen. Dufrenoy will zwar die Sache anders bestimmt wissen, indessen scharfe Messungen sind nicht möglich, denn der Bruch und Glanz ist durchaus nur Serpentinartig. Die Geradenfläche sondert sich öfter schalig



ab, so deutlich, daß man es für Blätterbruch halten könnte, daher wurden sie auch lange zum Glimmer gestellt. Die Analysen geben zwar Si und Al etwa wie beim Dichroit, aber statt der Kalkerde finden wir 6—12 Kali, welches in Verbindung mit 4—8 H die Veränderung bewirkt zu haben scheint. Analysen haben bei solchen veränderten Mineralen nur ein sehr bedingtes Gewicht. Besonders ausgezeichnet findet man die Krystalle zu Morat und andern Orten der Auvergne in feinkörnigem Granit eingesprengt. Hier herrscht öfter eine oblonge Säule, und ihr ganzer Habitus erinnert in auffallendem Grade an Dichroit, ja es kommen auch oktaëdrische Abstumpfungen vor. Im Granit von Haddam in Connecticut findet sich Pinit mit Dichroit unter Verhältnissen zusammen, daß nach Shepard der eine aus dem andern entstanden zu sein scheint. Steht dieß einmal fest, so sind dann auch eine Menge Serpentinartiger derber und krystallisirter Stücke erklärlich, welche sich an so vielen Stellen des Urgebirges namentlich in verwitterten Graniten finden: bei Forbach im Murgthal (grün), im Gneis am Schloßberge bei Freiburg, im Thonporphyr von Geroldsau südlich Baden-Baden an der Dos (Dosit). Nordenskjöld's Gigantolith aus dem Granit von Lammella in Finnland, Pyrrargillit von Helsingfors, Thomson's Bunsdorffit von Abo, Erdmann's Praseolith im Gneis von Bräcke bei Brevig, der Esmarckit ebendaher, Scheerer's Aspasiolith von Kragerø, noch einen Kern von Dichroit enthaltend, der Chlorophyllit von Haddam in Connecticut, der Iberit von Montoval bei Toledo, der grünliche Kallinit aus den Granitgängen von Kalliney bei Dublin u., alle sind im allgemeinen 12seitig, grün und Serpentinartig, und kommen häufig noch in der Nähe vom Dichroit vor, umhüllen ihn sogar. Bischof findet den Grund dieser merkwürdigen Zersetzung in der schaaligen Bildung der Krystalle, zwischen deren Fugen das Wasser leicht eindringe, Kieselsäure und Magnesia entführe, und statt dessen Wasser, Kali, Kalk u. absetze; nur Al und Fe werden gewöhnlich nicht alterirt. Von chemischen Formeln kann bei solchen Veränderungen wohl kaum die Rede sein.

Die gelblichgrünen Krystalle des Giesekit's von Grönland und des Libenerit's von Predazzo, beide in einem rothen Feldspathporphyr, bilden reguläre sechsseitige Säulen mit Geradenfläche, das stimmt mit Nephelin besser als mit Cordierit. Da jedoch jener mehr in vulkanischen Gesteinen zu Hause ist, so hat man auch an diesen gedacht. Der Gehalt ist etwa 50 Si, 30 Al, 9 Ka, 5 H, Entscheidung ist hier nur durch Forschungen auf der Lagerstätte möglich. Optisch verhalten sich beide durchaus amorph. Vergleiche auch Pinitoid (Zschrb. 1859. 718).

Nach dem Gesagten scheint Dichroit für Urgebirge das zu sein, was Olivin für vulkanische Gesteine: beide gehen durch Verwitterung in eine Serpentinartige Masse über. Daher stellt man Dichroit auch besser hier hin, als an das Ende der Edelfeine.

Asbest.

"Asbestos" unzerstörbar, der Name aus dem Alterthum überliefert, in der goldenen Laterne der Minerva zu Athen war ein solcher Docht aus Karystischen Flachs wie Pausanias berichtet. Plinius 19. 4 handelt ihn als *Linum vivum* bei den Pflanzen ab: nascitur in desertis adustisque sole Indiae, ubi non cadunt imbres, inter diras serpentes, assueciturque vivere ardendo. Agricola 703 Federwis, pliant, salamanderhar.

Man begreift darunter verschiedene safrige Fossile, die besonders mit Hornblende und Augit, aber auch mit Glimmern und andern in Beziehung stehen, aber immer etwas Wasser enthalten. Die Faser ist bald spröde bald gemein biegsam, weiß mit einem Stich ins Grün. Vor dem Löthrohr schmelzen einzelne Fasern nicht sonderlich schwer, größere Mengen widerstehen aber dem gewöhnlichen Feuer.

Amiant (*asplavros* unbefleckt, schon von Dioscorides gebraucht). Plinius 36. 31 Amiantus alumini similis nihil igni deperdit. Agricola 609: quod ignis adeo non inquinat ipsius splendorem, ut etiamsi in eum conjicitur sordidus, nihil deperdens, nitidus et splendens extrahatur. Höchst zartfaserig häufig mit einem seidenartigen Schiller. Im Wasser gehen die Fasern so leicht auseinander und zeigen sich so biegsam, daß sie „der schönsten weißen Seide“ gleichen. Ihr Hauptlager ist wie beim Strahlstein und Diopsid im Talkschiefer, von dem sie auch die Milde angenommen haben mögen. Ein Asbest aus der Tarantaise hatte nach Wonsdorf Strahlsteinbestandtheile 58,2 Si, 22,1 Mg, 15,5 Ca, 3,1 Fe; ein anderer von Schwarzenstein Diopsidmasse 55,9 Si, 20,3 Mg, 17,8 Ca, 4,3 Fe, freilich mit unwesentlichen Unterschieden.

Der feine Asbest (Bergflachs) kann mit Flachs zusammen gesponnen und gewoben werden. Bei Newjansl im Gouv. Perm bildet er einen ganzen Berg, und wurde früher verarbeitet (Ausland 1858. 400). Im Feuer brennt dann blos der Flachs heraus, das Gewebe wird nicht zerstört. Die Alten sollen sich daher nach Plinius 19. 4 desselben zu Leichengewändern bedient haben, um beim Verbrennen die Asche der Todten von der des Holzes zu sondern. Die Gewänder, deren man mehrere wieder aufgefunden hat, waren aber so kostbar als Perlen. Kaiser Karl V. hatte davon ein Tischzeug, das er zur Belustigung seiner Gäste nach eingenommener Mahlzeit ins Feuer werfen ließ. Heutiges Tages gehört Amiant in den Hochgebirgen zu den gewöhnlichen Erfunden, schon Dolomieu sammelte auf Corsika so viel, daß er sich desselben statt Heu zum Verpacken der Minerale bedienen konnte.

Bergflork entsteht, wenn die Faser sich verfilzt. Manche davon fühlen sich fett und kalt an, sie mischen sich mit Talk (Bergfleisch); andere mager und warm, werden schwimmend leicht, und könnten mit Meeresschaum verwechselt werden. Auf Erzgängen und in den Hochalpen. Oft Asterbildungen.

Gemeiner Asbest, darunter versteht man die Abänderungen mit spröderer Faser, die Farbe meist grün, weil sie vom Strahlstein herkommt.

Einige dieser Massen werden fest und brechen zu langen gestreiften, krummschaligen oder geraden Splintern, die in Serpentinartige Dinge übergehen. Am Schneeberge bei Sterzing ohnweit Clausen in Tyrol werden dieselben in Folge von Verwitterung holzbraun, und da krummblättrige Stellen wie Aeste darin vorkommen, so nannte sie Werner Bergholz, aber trotz ihrer auffallenden Holzähnlichkeit besteht die Faser unter dem Mikroskop nur aus Kügelchen; die organische Zelle fehlt.

Es liegt in der Natur der Sache, daß der safrige und asbestartige Zustand einer Menge von Mineralien zukommen muß: denn die safrige Bildung beim Gyps, Arragonit, Weißbleierz u. hat offenbar dieselbe Bedeutung. Nur liefert bei Silicaten die Analyse keinen so sichern Anhaltspunkt, daher die Zweifel in einzelnen Fällen. Oft aber können nachbarliche Minerale entscheiden: so kommt in der Dauphiné Epidot asbestartig vor. Der sogenannte

Byssolith gleicht grauen und blondfarbigen Menschenhaaren, aber trotz dieser Feinheit bleibt er glasig spröde, weil er auf Spalten der Feldspathgesteine mit Adular und Bergkrysal in den Hochalpen einbricht. Ein ähnliches aber noch viel feinhaarigeres Fossil bildet der Breislakit, röthliche verworrene Fasern liegen in Drusenlöchern der Lava von Capo di Bove bei Rom und in der Lava della Scala am Vesuv. Nach Chapman's Messungen hat er die Winkel des Augits.

Krokydolith Hausmann ($\kappa\rho\omicron\upsilon\iota\varsigma$ Flocke) durchzieht zu Vataloo am Cap das Magnet- und Brauneisen, wie schillernder Asbest pag. 248 den Serpentin. Indigoblau, wie Vivianit, und viel zäher als Amiant kann man ihn zu den feinsten Fasern zerspalten, selbst feine Fäden verlangen zum Zerreißten noch einer merklichen Kraft, und die Rißfläche zersert sich gerade wie Pflanzensafer. Vor dem Röhrohr schmelzen die Stücke zwar leicht, kommen aber nicht so stark zum Fluß, daß sie sich kugeln. Wenn daher irgend ein Mineral auf die dem Alterthum so wichtige Eigenschaft des Asbestes Anspruch machen kann, so dieses. $50,3 \text{ Si}, 35 \text{ Fe}, 6,7 \text{ Na}, 2,2 \text{ Mg}, 5,8 \text{ H}, 3 \text{ Fe Si} + \text{R Si}^2 + 2 \text{ H}$. Eine erdige Abänderung brachte Lichtenstein von der roode gebroken Klip an den Ufern des Dranje River mit. Auch blaue Beschläge am Sapphirquarz pag. 203 hat man dafür gehalten, daher nannte es Leonhard safrigen Siderit, Klaproth Blaueisenstein. Im Zirkonphenit von Stavert im südlichen Norwegen verwachsen blaue Fasern innig mit Arfvedsonit pag. 255, der ihm durch seine Zusammensetzung gleicht.

V. Granaten.

Die Thonerde spielt in ihnen eine wichtige Rolle. Härte und Schönheit der Farbe nähert sie den Edelsteinen, als welche sie auch häufig ver-schliffen werden. Sie sind schon sparsamer im Gebirge zu finden, als die Hauptglieder der bisher abgehandelten 4 Familien.

1. Granat.

Die Alten kannten ihn unter dem Namen *Ἰσθαξ* Theophrast 31, Carbunculus Plinius 37. 25. Bei Albertus Magnus de mineral. II. 7 soll das Wort Granatus zuerst vorkommen, auch Agricola 625 erwähnt Carbunculi nigrioris aspectus, quos juniores vocarunt granatos, veteres Carchedonios. Durch Wallerius wird der Name geläufiger, man leitet ihn von der Farbe der Blüthe und Körner der Granatäpfel ab. Grénat Frnz., Garnet Engl.

Reguläres System. Rhombendodoeaeder vorherrschend, dasselbe daher passend Granatoeder genannt. Um und um krystallisirt, besonders ausgezeichnet eingesprenzt in die Chloritschiefer am St. Gotthardt, Zillertal, Falun. Niemals eine Ecke abgestumpft, daher Würfel und Octaeder lange gänzlich unbekannt, was das Erkennen sehr erleichtert. Erst neuerlich beschreibt Hr. Kranz (Jahrb. 1858. 70) förmliche Würfel im Kalkspath des Oberpfälzthales, G. Rose (Reise Ural II. 448) von Pyschminsk bei Veresowsk Verbindungen von Granatoeder, Octaeder und Würfel, Pfaff (Pogg. Ann. 111. 272) von Lissenz. Desto gewöhnlicher werden die Kanten durch das Leucitoeder $a : a : \frac{1}{2}a$ gerade abgestumpft. Sehr wohlgebildete Krystalle kommen im Glimmerschiefer von Zimatasta in Südtirol, Acading in Connecticut, beim Grossfular vom Wilui 2c. vor. Nach der langen Diagonale der Leucitoederflächen häufig gestreift, wodurch die Granatflächen eingefest werden. Die Verbindung von beiden findet sich in ausgezeichnete Weise bei den prachtvollen Krystallen der Mussa-Alp in Piemont, zu Achmatowsk am Ural, am St. Gotthardt, beim Melanit von Frascati 2c. Dazu gesellt sich häufig das sehr gestreifte Pyramidengranatoeder $a : \frac{1}{2}a : \frac{1}{3}a$, die Kante zwischen Leucitoeder und Granatoeder abstumpfend; bei den braunen Krystallen von Dramicza im Banat soll es $a : \frac{1}{2}a : \frac{1}{3}a$ sein, und beim honiggelben Topazololith von der Mussa-Alp sogar $a : \frac{1}{4}a : \frac{1}{4}a$. Haüy's Aptom (*απλόος* einfach) sind grüne Kalkgranaten von Breitenbrunn in Sachsen mit Streifung nach der kurzen Diagonale der Rhomben, was auf Würfel deuten würde (eine einfache Primitivform). An der Mussa-Alp soll auch zuweilen ein Leucitoid $a : a : \frac{1}{2}a$ in Verbindung mit dem Würfel brechen. Dasselbst fand Hr. Sismonda Krystalle, die auf ihren nach der Granatoederkante gestreiften Leucitoederflächen stark irisiren, die Farben verschwinden beim Naßmachen, und kommen nach dem Trocknen sogleich wieder zum Vorschein, Beweis, daß sie von der Interferenz des Lichtes durch die Streifung herrühren. Pyramidenwürfel $a : \frac{1}{2}a : \infty a$, $\frac{1}{2}a : \frac{1}{3}a : \infty a$ sind Seltenheiten. Am Granat von Pfiffisch stumpft das Pyramidenoctaeder $a : a : \frac{1}{2}a$ zuweilen die gebrochenen Würfelkanten des Leucitoeder ab.

Härte 7—8, Gew. 3,1—4,3. Sehr schöne Farben, starker Glanz, aben meist geringe Durchscheintheit.

Vor dem Löthrohr schmelzen sie im Durchschnitt nicht sonderlich schwer, die große Mannigfaltigkeit ihrer Zusammensetzung faßt man unter der Formel

$R^3 Si + R Si$

zusammen, worin $Ra = Ca, Mg, Fe, Mn$ und $R = Al, Fe, Cr$ bedeutet. „Einige Arten werden bereits durch Kochen mit Salzsäure zersetzt, wobei sich Kieselerde pulverförmig abscheidet. Die Kalkreichen müssen jedoch vorher einer starken Rothglühhitze ausgesetzt werden, dann aber bilden sie mit Säuren eine Gallerte; die übrigen müssen zu diesem Zwecke bis zum anfangenden Schmelzen geglüht, oder selbst geschmolzen werden.“

Ihre Fundstätte bilden hauptsächlich krystallinische Urgebirge, Urkalle und vulkanische Gesteine. Erzgänge lieben sie nicht, wohl aber bilden sie Platten in Erzlagern und Erzstöcken. Sehr merkwürdig sind auch Scheerer's Perimorphosen (Jahrb. 1858. 22): zu Arendal hüllen papierdünne Schalen von Granatsubstanz Marmor, Epidot, Hornblende, Magneteisen zc. ein, und bilden so eigenthümliche Asterkrystalle.

A. Edelr Granat.

Almandin, Eifenthongranat $Fe^3 Si^2 Al$, der von Falun enthält 39,7 Si, 19,7 Al, 39,7 Fe, 1,8 Mn, Laproth fand im orientalischen sogar 27,2 Al. Dunkelrothe Farbe häufig mit einem Stich ins Blau (Kolumbinroth), oder ins Gelb (Blutroth). Ueber Quarzhärte, Gewicht der Zillerthaler 4,1, von Habbam 4,2, der manganreiche 4,27. Vorzugsweise im Glimmerschiefer bei Falun und im Zillerthal bis zu Kopfgröße und darüber; viel genannt wird die Granatenwand an Granatenfogel (10,400') in den Detschthaler Fjerrern, ihm gegenüber liegt der Schneeberg, wo der Passerbach seine Quellen hat; klein im Gneise der Farbemühle bei Wittichen im Schwarzwalde. Besonders geschätzt sind die orientalischen oder sirischen (nach einer frühern Stadt Sirian in Pegu), der Carbunculus des Plinius 37. 26 „optimos vero amethystizontas hoc est quorum extremus igniculus in amethysti violam exeat.“ Neuere heißen sie Almandin (Agricola 625 corrupto vocabulo Almandini nominatur, quondam Alabandici, quod perficerentur Alabandis). „In den Römischen Ruinen hat man viele antike Granaten gefunden, theils rund, theils vertieft geschnitten.“ Letzteres sind die sogenannten Granatschlüsseln, die man auf der Unterseite rundlich auszuschießen pflegt, damit sie mehr Durchscheinheit bekommen.

Pyrop blutroth, bei der Granatenschenke (Bergm. Journ. V. 1 pag. 222) und bei Meronitz in Böhmen bergmännisch gewonnen, wo sie wie Erbsen im verwitterten Serpentin liegen, ebenso bei Zöblitz. Agricola 625 (quos Graeci, ut etiam Ovidius, Metam. II. 2, quia valde ardent, ab ignis aspectu pyropos appellant) kennt bereits diese Fundorte. Rundliche Körner, ohne deutliche Krystallflächen, auffallender Weise sollen zuweilen bauchige Würfelflächen vorkommen. Gew. 3,7. Schmilzt entschieden schwerer als der Almandin, erhitzt wird er schwarz und undurchsichtig, nimmt aber beim Erkalten seine Farbe und Durchscheinheit wieder an. Auffallend ist ein Talkerde- und Chromgehalt, welchen er ohne Zweifel von dem Muttergestein aufnahm. Nach Moberg (Erdmann's Journ. 1848. 43. 122) 41,3 Si, 22,3 Al,

9,9 Fe, 15 Mg, 5,3 Ca, 4,2 Cr (Oxydul), 2,6 Mn, also etwa die Formel $(\text{Mg, Fe, Mn, Cr})^3 \text{Si} + \text{Al Si}$. Die Pyrope bilden einen nicht unwichtigen Handelsartikel. Sie werden nach ihrer Größe sortirt, 32er, 40er, 70er, 100er, 165er und 400er, je nachdem so viel auf ein Loth gehen. Nicht häufig findet man Stücke von 16—24 auf ein Loth und Exemplare von $\frac{1}{4}$ Loth gehören schon zu den großen Seltenheiten.

Raneelstein, Ralkthongranat $\text{Ca}^3 \text{Si}^2 \text{Al}$, 40 Si, 23 Al, 30,6 Ca, 3,7 Fe. Hyacinthroth bis honiggelb, daher der Name (Raneel heißt Zimmt). Lange wurde er mit Hyacinth (Hoffmann Mineral. 1811. I. 430) verwechselt, Haüy nannte ihn daher Jessonit (*жесон* weniger, nämlich als Hyacinth). Er wird in edigen mit viel Rissen durchzogenen Bruchstücken von 3,6 Gew., Randsüßer gleichend, aus Ceylon eingeführt, wo er in ganzen Felsen ansteht. Sehr schön kommt die gleiche Farbe bei Granaten der Auswürflinge des Vesuvius vor. Schon Kobell bewies, daß die gelbrothen Krystalle mit Diopsid von Piemont und vom St. Gotthardt auch Ca als wesentlichen Gemengtheil enthalten, sie gehören in Beziehung auf Glanz und Durchsichtigkeit noch zu den edlen Sorten. Im Dolomit von Mexico kommen sie von schön rosenrother Farbe vor fast verwechselbar mit Spinell. Bei Auerbach an der Bergstraße werden sie sogar gänzlich farblos (weiß).

B. Gemeiner Granat.

Grossular, nach seiner grünen Stachelbeerfarbe genannt $\text{Ca}^3 \text{Si}^2 \text{Al}$, meist ein ausgezeichnete Ralkthongranat, und häufig in Gesellschaft von Vesuvian, mit dem er gleiche Zusammensetzung hat. Sehr wohl gebildete Leucitoeder und Granatoeder entdeckt Larmann 1790 am Bach Ahtaragda in den Wilufluß bei Irkutsk mit Vesuvian und Ahtaragdit. Klaproth Beitr. IV. 219 fand darin 44 Si, 33,5 Ca, 8,5 Al, 12 Fe. Im Asbest von Mt. Rosa werden sie fast smaragdgrün. Häufig bildet der grüne Granat größere Massen in Erzlagern, Serpentin und andern Gebirgen. Im Serpentin von Dobschaw in Oberungarn findet man wohlgebildete pistaciengrüne Krystalle, bei Miask bildet er den Kern eines ganzen Serpentinhügels. Die grüne Farbe geht zuletzt ganz ins Weiße, wie bei Slatoust (G. Rose Reise Ural II. 122) oder am Monzoniberge. Dichte Massen solcher Lager nannte d'Andrada (Scheerer's Journ. IV. 24) Allochroit (*αλλος* und *χρῶς* Hautfarbe), weil mit Phosphorsalz geschmolzen die Perle eine emailartige Oberfläche bekommt, welche beim Erkalten röthlichgelb, später grün, zuletzt gelblichweiß würde. Das gelblichgraue Gestein fand sich in der Wirumsgrube bei Drammen. Zu Wurlitz und Pfunders grün (Miner. Taschenb. 1829. 222), am Schwarzenstein smaragdgrün, auf dem Wildkreuzjoch eigenthümlich roth und jaspisartig.

Kolophonit heißen die gelblichbraunen körnigen, welche von Ralkspath durchdrungen Nester in den Magneteisenlagern bei Arendal bilden. Farbe und firnißartiger Glanz erinnern allerdings auffallend an Kolophonium. Gew. 3,4. Sie enthalten bis 29 Ca. Die schönen leberbraunen Krystalle

im blauen Kalkspath im Banat und viele andere schließen sich hier unmittelbar an.

Melanit Karsten ($\mu\epsilon\lambda\alpha\varsigma$ schwarz) aus den vulkanischen Tuffen von Frascati bei Rom, wo man die schönen Granatoeder mit abgestumpften Kanten auf den Feldern sammelt, $\text{Ca}^2 \text{Si}^2 \text{Fe}$, also ein Kalkeisengranat. Ihre schwarze Farbe erinnert an Spinell und Magneteisen. Ausgezeichnet glänzend finden sie sich in Drusenräumen der Sommacblöcke, in Tuffgesteinen von Oberbergen am Kaiserstuhl: 34,6 Si, 28,1 Fe, 31,8 Ca zc. Die schwarze Farbe rührt wahrscheinlich von Fe Fe her, denn es gibt auch braune und grüne Granaten mit einem gleichen Gehalt an Eisenoxyd, wie es überhaupt nicht möglich ist, aus der Farbe allein sicher auf die Zusammensetzung zu schließen. Auch haben Afterbildungen nicht selten auf die glänzendsten Krystalle ihren Einfluß geübt. So finden sich bei Arendal prächtige rothbraune Leucitoeder mit Pyramidengranatoeder, welche innen ganz hohl und mit den fremdartigsten Mineralen locker erfüllt sind, ohne daß man außen etwas merkt. Die Form steht hier über dem Inhalt, welcher letzterer bei der Mannigfaltigkeit isomorpher Substanzen an Bedeutung durchaus einbüßt.

Mangangranat $\text{Mn}^2 \text{Si}^2 \text{Al}$ aus dem Granit des Speffarts (Speffartin) bei Aschaffenburg, den Klaproth Beitr. II. 339 unter dem Namen granatförmiges Braunsteinerz (Braunsteinkiesel) analysirte, dunkel hyacinth-roth, Gew. 3,6. Klaproth gibt 35 Braunsteinkiesel an. Später fand er sich auch im Granit von Haddam und Broddbo. Talkgranat vorwaltend $\text{Mg}^2 \text{Si}^2 \text{Al}$, 13,4 Mg, Gew. 3,16, schwarz von Arendal.

Umarowit (Hef Pogg. Ann. 24. 333) auf Chromeisenstein von Scharnowskaja bei Wissest (Katharinenburg), ein ausgezeichnete Chromgranat $\text{Ca}^2 \text{Si}^2 \text{Cr}$, Gew. 3,4. Smaragdgrün, dem Dioplas gleichend. In wohlgebildeten kleinen Granatoedern. Wegen des Chromoxyds unschmelzbar, 22,5 Cr, 30,3 Ca. In Canada smaragdgrüner Grossular mit 6 Cr.

2. Vesuvian W.

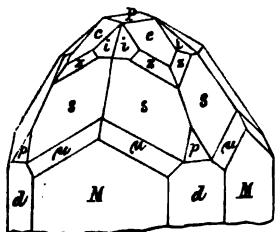
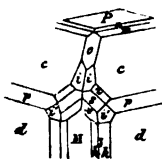
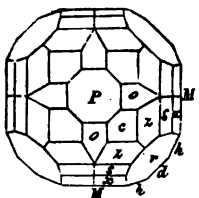
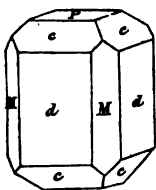
Wurde längst in Neapel als vesuvischer Edelstein verschliffen, Romé de l'Isle Crystall. II. 291 zählte ihn wegen seiner Form zum Hyacinth, und da derselbe auch mit Mejonit, Kreuzstein zc. Aehnlichkeit hat, so nannte ihn Haüy Idoctas ($\epsilon\iota\delta\omicron\varsigma$ Gestalt, $\mu\epsilon\lambda\alpha\varsigma$ Mischung). Er steckt häufig in den Auswürflingen, und kommt auffallender Weise in der Auvergne und Elise nicht vor.

Viergliedrig, Octaeder $c = a : b : c$ 129° 21' Endkanten und 74° 27' Seitenkanten gibt

$$a = 1,861 = \sqrt{3,465}, \lg a = 0,26987.$$

Flächenübersicht: P 001, M 100, d 110, f 120, h 130, o 101, u 201, c 111, m 112, n 113, z 121, s 131, x 141, v 151, i 132, y 133, w 221, p 331, r 441, i' 231, e 241, k 243.

Die Geradenfläche $P = c : ooa : oob$ nebst den beiden quadratischen Säulen



$d = a : a : ooc$ und $M = a : ooa : ooc$ fehlen nie, und wie die Haüy'schen Buchstaben andeuten, ist die 2te Säule M zwar nicht deutlich blättrig, aber entschieden blättriger als die erste d , die zwar vorzuherrschen pflegt, aber immer mit starker Längsstreifung bedeckt ist. $o = a : c : ooa$, $h = a : \frac{1}{2}a : ooc$ und $s = a : c : \frac{1}{2}a$ findet man nicht selten untergeordnet. Besonders reich mit Flächen bedeckt sind die Krystalle des Vesuv's. Schon Haüy zeichnete von dort ein ennéacontaédre (Neunzigfläch) aus, woran außer den genannten noch die Vierkantner $z = a : c : \frac{1}{2}a$ und $x = a : c : \frac{1}{2}a$, und das Octaeder $r = \frac{1}{2}a : \frac{1}{2}a : c$ vorkommen. Oftmals findet man die Kante P/c durch $n = 3a : 3a : c$ abgestumpft, auch eine $m = 2a : 2a : c$ kommt vor, Phillips führt sogar noch weitere unter c an, und namentlich $p = c : \frac{1}{2}a : \frac{1}{2}a$, nebst einem Vierkantner aus der Diagonalzone von o aber zwischen z und o gelegen. Lévy maß an den Vesuv'schen noch $h^3 = a : \frac{1}{2}a : ooc$, $i = b^1 b^{\frac{1}{2}} h^{\frac{1}{2}} = a : \frac{1}{2}a : \frac{1}{2}c$ und $i' = b^{\frac{1}{2}} b^{\frac{1}{2}} h^1 = c : \frac{1}{2}a : \frac{1}{2}a$, $e = c : \frac{1}{2}a : \frac{1}{2}a$, und Hessenberg $k = \frac{1}{2}a : \frac{1}{2}a : \frac{1}{2}c$, welche Kante i/c abstumpft. Auch Hr. v. Pokscharov (Materialien Mineral. Rußl. 1851. I. *) liefert uns vortreffliche Beiträge über die russischen Vesuviane. Die genauesten Messungen konnten an einem kleinen Krystall der Kamatschinskischen Berge bei Poljakowsk angestellt werden, welche in der Endflanke des Octaeder c/c $129^\circ 20\frac{1}{2}'$ ergeben: die starke Entwicklung von s 131 gibt dem Krystall ein ungewöhnlich 4 + 4kantiges Ansehen. Das Augenmerk ist besonders auf die Vierkantnerflächen μ zu richten, dem s so nahe liegend, daß Winkel $s/\mu = 179^\circ 45'$ gemessen wurden, welche von der Lage von s

nur 15 Minuten abweichen. **§** Trotzdem sind sie scharf ausgebildet und gut erkennbar. Sie würde etwa den ungewöhnlichen Ausdruck $100a : 303a : 303c$ geben. Wahrscheinlich sind es nur Störungen in der Bildung. Zu ähnlicher Erscheinung gehört auch die Menge von Längsstreifen in der Säule, welche die Krystalle nicht selten förmlich cylindrisch machen, und eine äußerliche Verwechselung mit Turmalin zulassen. Solche sondern sich gar gern schaalig ab, indem durch Schlag ein Krystall aus dem andern herausgeschält werden kann (Eger bei Rongsborg). Zwillinge kennt man nicht.

Härte 6—7, Gew. 3,4. Grüne, gelbe, braune Farben herrschen vor. Auf der Grube Achmatowsk, wo Gänge von Kalkspath mit Chloritischiefer in Berührung kommen, findet er sich sogar roth wie Granat.

Vor dem Löthrohr schmilzt er leicht unter Blasenwerfen und verhält sich wie ein gemeiner Kalkthongranat $Ca^2 Si + Al Si$, worin ein Theil der

Thonerde durch Fe vertreten ist. Man war früher der Granatgleichen Zusammensetzung so gewiß, daß man den gemeinen Kalkgranat sogar mit Vesuvian für dimorph hielt. Sind solche Behauptungen bei complicirten Silicaten immer nur mit größter Zweifelhafteit auszusprechen, so hat Kammelsberg (Handwörterbuch IV. Supplem. 252) gezeigt, daß die Sache nur dann gelte, wenn man alles Eisen als Oxyd nehme, sonst würde man besser $3\text{R}^3\text{Si} + 2\text{R}^2\text{Si}$ setzen. Die große Verwandtschaft der Mischung wird namentlich auch durch das häufige Zusammenvorkommen am Vesuv, im Fassathal, in Sibirien etc. mit Kalkgranat wahrscheinlich gemacht. Bemerkenswerth ist der Versuch von Magnus (Pogg. Ann. 20. 477), daß krystallisirter Vesuvian von 3,4 Gewicht zu Glas geschmolzen nur 2,9 wiegt; Magnus hatte sich ausdrücklich überzeugt, daß kein oder doch nur geringer Verlust dabei Statt gefunden, auch etwaige gebildete Blasen der Grund nicht sein konnten. Das Glas des Sibirischen vom Wilui war so schön geflossen, daß es seine Farbe durchaus nicht verändert hatte und noch zu Ringsteinen brauchbar blieb. Granat und Vesuvian sind zu diesen Versuchen, wegen ihres Wassermangels und leichter Schmelzbarkeit, besonders geeignet. Nach Fuchs wird das Glas von Salzsäure sogleich angegriffen und gesteht zu einer festen Gallerte, während das Pulver des ungeschmolzenen der Säure vollkommen widersteht.

Varietäten sind zwar nicht so mannigfach als beim Granat, doch gibt es allerlei Farben. Schwarzbraun bis Honiggelb kommen sie am Vesuv vor; braungrün sind die prachtvollen ringsum ausgebildeten Krystalle von 0,05 Meter am Wiluifluß (Wiluit), Endante $130^{\circ}2'$, wo sie mit Grossular entdeckt wurden; durchscheinender zu Eger bei Kongsberg zuweilen in vollständiger quadratischer Säule mit Geradendfläche; Grasgrüne mit 2,7 pC. Wasser im Serpentin der Mussa-Alp in Piemont werden in Turin verschliffen, und können dann leicht mit Diopsid, Olivin und Epidot verwechselt werden; Wachsgelbe mehr als zollgroße mit vorherrschenden Oктаederflächen brechen am Monzoniberge im Fassathal. An andern Punkten des Fassathals finden sich auch ringsum gebildete Krystalle von Zirkonartiger Farbe, die wegen der Verziehung ihrer Flächen schwer zu stellen sind. Eger an nannte Werner die braunen stark gestreiften Strahlen im körnigen Marmor des Granits von Haslau bei Eger in Böhmen, ähnliche Strahlen, aber mehr in dicken riesigen Krystallen finden sich zu Egg bei Christiansand. Cyprin des Berzelius mit rothen Thulit im Quarz von Souland bei Tellemarken hat durch Kupferoxyd eine schöne himmelblaue Farbe bekommen. Der Frugardit vom Frugård in Finnland hat 10,6 Talkerde, ist aber sonst wie der von Gökum in Roslagen in Schweden Vesuvian (Gökumit oder Voboit). Thomson's graulichgelber Xanthit körnig im Kalkstein von Amity soll drei blättrige Brüche und die Formel $2\text{Ca}^3\text{Si} + (\text{Al}, \text{Fe})^2\text{Si}$ haben, nach Dana stimmt dagegen die Form mit Vesuvian. Zu Sandford in Maine kommt ein mächtiges Lager von 200' zwischen Granit und Trapp vor (Jahrb. 1857. 187). Alle liegen vorzugsweise im Urkalk, sofern dieser krystallinische Gesteine begrenzt, wie bei Auerbach an der Bergstraße (Scheerer Zeitschr. deutsch. geol. Ges. IV. 21.).

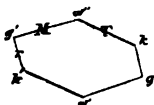
3. Epidot Hy.

Von *Épididymu* zugeben, weil Haüy nicht die rhombische, sondern die rhomboidische Säule mit Geradenfläche als Primitivform fand, also in der rhombischen Säule auf einer Seite zugeben mußte. De l'Isle Crist. II. 401 beschreibt und bildet ihn sehr deutlich ab als Schorl vert du Dauphiné, Saussure's Delphinite, Werner vermischte ihn mit Strahlstein, und Andrada (Scheerer Journ. Chem. IV. 20) beschreibt schon 5 8 schwere Krystalle aus den Eisensteingruben von Arendal unter dem Namen Akanthifone. Kotscharow, Hefenberg und Zepharovich (Sitzungsber. Wien. Akad. 1859. XXXIV. 480) untersuchten die Krystallformen.

Gewendet 2 + 1gliedrig, Weiß hat ihn bereits 1806 (Haüy's Lehrb. der Miner. III. 122) richtig erkannt, und in den Abh. Berl. Akad. 1818 pag. 242 ausführlich beschrieben. Aus dieser für alle Zeiten klassischen Darstellung geht hervor, daß die Krystalle nach ihren Schiefendflächen in die Länge gezogen sind, und daß diese also quer der Axe b parallel gelegt (gewendet) werden müssen, um sie mit dem Feldspath vergleichen zu können. Von diesen Schiefendflächen ist hinten $M = \frac{1}{2}a' : oob$ oft sehr deutlich blättrig und darstellbar, während vorn $T = \frac{1}{2}a : oob$ weniger deutlich bleibt, $r = a : oob : ooc$ ist gegen M schärfer geneigt als gegen T: wir haben also eine rhomboidische Säule M/T von $114\frac{1}{2}^\circ$, deren scharfe Kante durch r schief abgestumpft wird. Auf die Säule ist meist ein vorherrschendes Paar $n = a : b : ooc$ aufgesetzt, das sich unter dem Oktaederwinkel $109\frac{1}{2}^\circ$ schneidet. Die Winkelangaben weichen etwas von einander ab, nach

Mohs	M/T = 115 · 24,	M/r = 116 · 18,	T/r = 128 · 18,	n/n = 109 · 27
Phillips	... 115 · 41,	... 114 · 40,	... 129 · 39,	... 109 · 10
Kupfer	... 114 · 26,	... 116 · 12,	... 129 · 22,	... 109 · 20

Äxenverhältniß nach Weiß $a : b : c = \sqrt{150} : \sqrt{75} : 2$.



Legen wir der Rechnung die Kupfer'schen Messungen zu Grunde, so beträgt der Unterschied von rechtwinkligen Äxen a/c nicht eine volle halbe Minute, die Äxen kann man also im schärfsten Sinne des Wortes rechtwinklig nehmen, und

$$a : b = 6,097 : 4,322 = \sqrt{37,17} : \sqrt{18,68},$$

$$lga = 0,78510, lgb = 0,63569.$$

Die Flächen M T r n n treten gern selbstständig auf bei Krystallen von Arendal, die scharfe Säulenkante von $n/n = 70^\circ 33'$ liegt dann vorn, und auf sie sind die Schiefendflächen gerade aufgesetzt. In der Dauphiné herrscht am Ende der gewendeten Säule $P = b : ooa : ooc$ vor, sie stumpft die stumpfe Säulenkante von n/n gerade ab, man kann daran die Strahlen leicht von Hornblende unterscheiden, muß sich aber vor Verwechslung mit Vesuvian in Acht nehmen. In der „Methode der Krystallographie pag. 348, Tab. VII. Fig. 26—28“ habe ich außer diesen fünf noch folgende in das Bild gebracht:

$$g = a : oob, d = a : \frac{1}{2}b, u = \frac{1}{2}a : \frac{1}{2}b, z = \frac{1}{2}a : \frac{1}{2}b,$$

$$h = \frac{1}{2}a' : \frac{1}{2}b, o = \frac{1}{2}a' : \frac{1}{2}b, x = \frac{1}{2}a' : \frac{1}{2}b, y = \frac{1}{2}a : \frac{1}{2}b,$$

$$q = \frac{1}{2}a : \frac{1}{2}b, l = \frac{1}{2}a : oob, s = \frac{1}{2}a' : oob, e = a : 2b : ooc.$$

Wenn schon die Ausdrücke etwas complicirt sein mögen, so kann man doch bei der Demonstration kaum anders als von der Säule n/n ausgehen, um dann die Schiefenfläche T und hintere Gegenfläche M sofort folgen zu lassen. Wer einfachere Aenausdrücke suchen wollte, müßte jedenfalls bei der Säule n/n stehen bleiben, und schiefe Azen AA' von $80^{\circ}40'$ in der Schiefenfläche $g = a : c : oob$ legen.

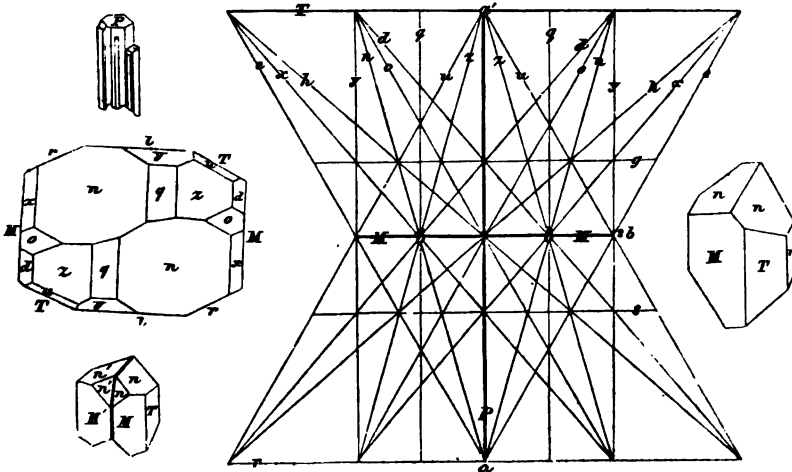
Dann wäre bei gleichen c und b , $A = 6,175$, und $k = c = 1$; die Uebertragung der Azen a in A geschähe nach der Formel

vorn $\frac{1}{\mu - k}$ und hinten $\frac{1}{\mu + k}$. Mit Hilfe unseres kleinen Schemas kann man sie ablesen:

$$\begin{aligned} g &= \infty A : oob, d = \infty A : \frac{1}{4}b, u = \frac{1}{4}A : \frac{1}{4}b, z = \frac{1}{4}A : \frac{1}{4}b, \\ h &= \frac{1}{4}A' : \frac{1}{4}b, o = \frac{1}{4}A' : \frac{1}{4}b, x = \frac{1}{12}A' : \frac{1}{4}b, y = \frac{1}{12}A : \frac{1}{4}b, \\ q &= \frac{1}{12}A : \frac{1}{4}b, l = \frac{1}{12}A : oob, s = \frac{1}{12}A' : oob, n = a : b : ooc. \end{aligned}$$

Die Ausdrücke sind jetzt Multipla von 4 geworden; würde man die Nebenaugen auf ein Viertheil herabsetzen $A : b = 1,514 : 1,08$, so kämen die einfachsten Zahlen: $r\ 100$, $g\ 001$, $P\ 010$; $M\ 1'01$, $T\ 101$, $n\ 110$, $d\ 011$; $u\ 111$, $h\ 1'11$; $z\ 121$, $o\ 1'21$; $e\ 210$; $l\ 301$, $s\ 3'01$; $y\ 321$, $x\ 3'21$; $q\ 341$. Vollständiges Hexaid, Dodekaid und Iktaid gehen voran, welchen dann die übrigen Ausdrücke der einfachsten regulären Körper folgen. Dies wäre ich möchte sagen der nothwendige Fortschritt gewesen. Statt dessen nahm

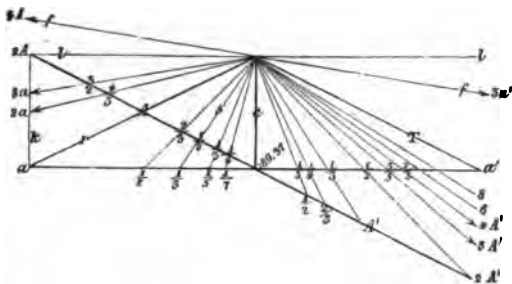
Rehs willkürlich $M = a : oob : ooc$ aufrecht, $r = a : c : oob$ und $T = a' : c : oob$ als Schiefenflächen, und $n = a : b : c$. Er verlor damit die schöne Säule n/n , welche nothwendig zu einer guten Demonstration gehört, und legte so den Grundstein zu jener endlosen Verwirrung. Zum Verständniß



diene **vorstehende Projection**. Nach den Rechnungen von Zepharovich würde vorn c/a $90^\circ 23'$ (Mohs $91^\circ 5'$) betragen, und $a:b:c = 2,055:0,628:1$.

Es bilden von obigen fünf Flächen $TMnn$ ein Oktaid, und r in den Zonen n/n und M/T nebst dem Paare $d = \frac{1}{2}a':b$ in T/n und M/n die drei zugehörigen Hexaidflächen. $P = b:00a:00c$ und $g = \frac{1}{2}a':00b$ sind zugehörige Dodekaidflächen; $o = a:2b:00c$ geht durch den Mittelpunkt P/M und durch die Oktaidkante T/n ; $y = 2b:00a$ liegt ebenfalls in T/n und ferner in o/r ; $z = a':b$ liegt in der Diagonalzone T/P und in o/r ; $u = a':2b$ abermals in T/P und weiter in d/r ; $l = c:00a:00b$ ist die Geradenfläche, auf welche alle projectirt sind, denn sie liegt in den beiden Zonen u/o ; $q = b:00a$ liegt in P/y und M/n ; $x = \frac{1}{2}a:b$ in M/n und o/r ; $h = a:4b:00c$ geht vom Mittelpunkte nach d/r ; $s = \frac{1}{2}a:00b$ liegt in T/r und n/o ; $e = a:2b$ in P/r und s/z . Aber hiermit nicht genug, hat

Miller abermals verstellt, nimmt T als Basis, und $A:b:c = 1,142:0,632:1$. Glücklicherweise



ist b bei beiden gleich, machen wir uns daher in der **Rechenebene** wieder einen **Aufriß**, so liege der scharfe Winkel $a/c = 89^\circ 37'$ hinten, dann ist AA' die neue Axe, $k = c = 1$. Um Mohs in Miller zu übertragen, gilt vorn $\frac{1}{\mu+k}$.

Leider correspondirt a dem $2A$, ich muß daher noch mit 2 multipliciren.

Also $T = a':c = 2 \cdot \frac{1}{1-k} A':c = \infty A:c$; $r = a:c = 2 \cdot \frac{1}{1+k} A:c = A:c$;

$s = \frac{1}{2}a:c = 2 \cdot \frac{1}{3+1} A:c = \frac{1}{2}A:c$ etc. Da auch alle übrigen Flächen in irgend eine Diagonalzone fallen müssen, wie $d = \frac{1}{2}a':b:c = 2 \cdot \frac{1}{3-1} A':b:c$

$= A':b:c$, so ist die Aufgabe bald zu lösen. Freilich verwirrt man sich leicht, indem der eine Schriftsteller vorn heißt, was der andere hinten, und in der Azenbenennung das bunteste Durcheinander herrscht. Man wird auch hier nicht anders zur Einheit gelangen, als zur ursprünglichen Weiß'schen Orientirung a vorn, b seitlich, c oben zurückzukehren.

Bereinigen wir übersichtlich, was Lévy (Minér. Heuland. II. 144), Marignac (de la Rives Archiv. Scienc. phys. 1847. IV. 146), Rosksharow, Hessenberg und Zepharovich zu den längst bekannten hinzufügten, so haben wir folgende ansehnliche Reihe:

	Weiß	D.	Mohs	Miller.	
g	101	001	3'01	1'01	
P	010	010	010	010	P/g 90°
r	100	100	101	101	r/g $98^\circ 41'$

	Beig	Ω.	Droh	Miller.	
M	3'01	1'01	100	100	M/r 115° 37'
T	501	101	1'01	001	T/M 116° 15'
d	141	011	3'11	1'11	d/d 96°
n	110	110	111	111	n/n 70° 40'
u	541	111	2'12	012	u/u 109°
h	3'41	1'11	410	210	h/h 101° 43'
f	901	201	1'03	103	f/M 98° 38'
π	7'01	2'01	501	301	
i	301	102	5'03	1'03	
e	210	210	212	212	e/M 111° 6'
7	120	120	121	121	
l	13 • 01	301	001	102	l/T 153° 59'
s	11' • 01	3'01	301	201	s/M 145° 39'
k	703	103	2'01	1'02	
m	1'03	1'03	5'01	2'01	
3	1 • 16 • 1	041	3'21	1'21	3/l 105° 47'
8	150	150	151	151	8/n 152° 59'
9	160	160	161	161	9/l 96°
α	5'03	2'03	11' • 01	5'01	α/T 126° 9'
λ	21 • 01	501	103	203	
τ	19' • 01	5'01	201	302	τ/r 109° 57'
σ	17' • 03	5'03	701	401	
μ	53 • 01	13 • 01	507	607	
β	29 • 01	701	102	304	
δ	25 • 0 • 13	3 • 0 • 13	104	508	
o	3'81	1'21	210	110	o/T 102° 59'
z	581	121	111	011	z/M 104° 16'
ε	1'21	1'12	7'11	3'11	
ρ	7'41	2'11	511	311	
ω	783	123	4'12	1'12	
v	1'83	1'23	5'11	2'11	
y	13 • 8 • 1	321	012	112	y/T 134° 55'
x	11' • 8 • 1	3'21	311	211	x/M 128° 5'
4	185	1'25	8'12	3'12	
φ	5 • 16 • 1	141	1'21	021	
1	5 • 40 • 1	1 • 10 • 1	1'51	051	
2	7 • 24 • 3	163	4'32	1'32	
q	13 • 16 • 1	341	011	122	q/q 115° 14'
Q	11' • 16 • 1	3'41	321	221	Q/M 66° 21'
R	7' • 16 • 1	2'41	521	321	R/P 140° 23'
N	19' • 24 • 1	5'61	432	332	N/z 169° 12'
6	29 • 16 • 1	741	112	324	
γ	9'83	3'23	610	310	
t	15 • 16 • 3	343	3'23	023	

	Weiß	D.	Noß	Müller	
5	7' 32.5	3'85	9'41	4'41	
D	17' 8.3	5'23	711	411	D/P 114° 7'
η	31.8.3	723	1'15	215	
φ	39.16.3	943	013	326	
z	59.32.7	13.8.7	2'25	3.4.10	

Zwillinge haben den 2ten Blätterbruch $T = \frac{1}{2}a:c:oo$ gemein und liegen umgekehrt, und da die Kante $n/n = 109^\circ 20'$ gewöhnlich das Dach bildet, so zeigt sich dann ein einspringender Winkel $n/n = 131^\circ 8'$ und der aus- und einspringende $M/M' = 129^\circ 12'$, dem Zwillingengesetz des Cyanits pag. 288 ähnlich, zumal wenn die Krystalle strahlglättig werden. Diese Zwillinge bewogen Marignac, den Epidot nach T aufrecht zu stellen, wodurch $T = a:oo:oo$ wird, $z = a:b:oo$, $M = \frac{1}{2}a:c:oo$ etc. Man hat dann den Vortheil, daß die zweigliedrige Ordnung sofort wie bei andern in die Augen springt. Siehe Buchlandit.

Große Neigung zu schaaliger Absonderung, so daß man bei Krystallen von Arendal Kappe auf Kappe abnehmen kann, woran jede die gleichen Krystallflächen hat. In den Alpen, dem Fichtelgebirge werden sie gern schilfartig strahlgl. Die optische Mittellinie fällt in der Medianebene ungefähr senkrecht auf l. Nach Renngott (Uebers. 1858. 88) brauchbar wie Turmalin zu optischen Versuchen. Härte 6—7, Gewicht 3,2—3,5, die größere Schwere hängt vom größern Eisengehalt ab. Farbe meist trübe: pistaciengrün, braun, aschgrau etc.

Vor dem Löthrohr schmelzen sie unter Blasen und Krümmen, allein die Schlacke erstarrt gleich, daher nannte sie Klaproth unschmelzbar. Ihre Formel $R^2Si + 2R^2Si$ soll mit Skapolith stimmen. Glühverlust 2 p. C., kein Fe (Bogg. Ann. 76. 88).

Epidot gehört zu den verbreiteten Mineralen, besonders in schmalen Gängen des Hochgebirges der Alpen. Hin und wieder spielt er auch in den Mandelsteinen eine Rolle, wie z. B. die mächtigen Gänge bei den Kupfergruben des Lake Superior beweisen, wo ein Amerikanisches Dorf Epidot heißt.

a) Pistacit Br. nach der saftgrünen Farbe der Pistaciennüsse genannt. Karstens Thallit. Dieses dunkle Pistaciengrün mit einem starken Stich ins Gelbe ist in der That auch so charakteristisch, daß man die feinsten Nadeln in den Mandelgesteinen an der Farbe wieder erkennt. Die schönsten Krystalle finden sich in den Magneteisengruben von Arendal (Mantihöne), und hier mit den meisten Flächen begabt. Dann kommen die feinstrahligten von Bourg d'Isans mit Geradenfläche P an der gewendeten Säule (Delphinit). Die Scorza der Wallachen in den Goldwäschern von Muska in Siebenbürgen ist sandig. Diese grünen verdanken ihre Farbe wohl dem Reichthum an Eisenoxyd $Ca^2Si + 2(Al, Fe)Si$. Bauquelin fand 24 Fe. Er schmilzt leicht zu einer blasigen Schlacke, die schnell unschmelzbar wird, und krümmt sich dabei etwas. Merkwürdig ein Gehalt an Zinnoxid, bei Finnländischen nahe 1 p. C. betragend. Atomvolumen 1268.

b) Kalkepidot $Ca^2Si + 2AlSi$. Zu ihm gehören unter den Kry-

fallen die braunen vom Montblancgebirge und die wachsgelb durchsichtigen vom Rothenkopf im Zillertal. Sie sind im Hochgebirge vereinzelt gar häufig zu finden. Aber noch verbreiteter ist der aschgraue strahlige, der in derben Stücken zu Weissenstein im Fichtelgebirge im Granit lagert, in den Alpen im Quarz etc. Sein erster Blätterbruch sondert sich schaalig ab. Vor dem Löthrohr schmilzt er in großen Blättern viel leichter als Pistacit, bläht sich dabei blumentohlartig auf, allein die poröse Schlacke wird eben so schnell unschmelzbar. Werner nannte diese *Zoisit*, da Baron v. Zois sie zuerst auf der Saualpe in Kärnthen (daher Saualpit) entdeckte, und Klaproth (Beitr. IV. 100) darin 21 Ca neben 3 Fe fand. Hr. Descloizeaux (Ann. des min. 1859. XVI.) beschreibt sie als 2gliedrige Säulen von $116^{\circ} 16'$, deren scharfe Kante durch den deutlich blättrigen Bruch gerade abgestumpft wird. In diesem Blätterbruch liegt die Ebene der optischen Axen mit der Mittellinie senkrecht gegen die stumpfe Säulenkante. Dasselbe Verhalten zeigt auch Thulit.

c) *Manganepidot*, Werner's piemontesischer Braunstein, von kirchrother Farbe. Cordier fand ihn bei St. Marcel im Aostathal. Seine Structur gleicht der vom Zoisit, aber er schmilzt noch leichter, schwellt nicht auf, und die Schlacke hält sich lange im Fluß, doch erstarrt sie zuletzt auch. Cordier fand 12 Mn und 19,5 Fe, spätere Analysen sogar 19 Mn, daher geben sie mit Borax, der sie löst, in der äußern Flamme ein amethystfarbiges Glas, das man in der innern leicht farblos bläst. $\text{Ca}^2 \text{Si} + 2 (\text{Al}, \text{Mn}, \text{Fe}) \text{Si}$, 0,4 kupferhaltiges Zinn.

Brooke's rosenrother Thulit, im Quarz mit spangrünem Vesuvian zu Tellmarken (Norwegen) soll die Blätterbrüche und Zwillinge des Epidot's haben, seine Farbe verdankt er 1,6 Mn, ein derber rosenrother von Arendal enthielt 0,22 Vanadinsäure. Vor dem Löthrohr brennt er sich weiß, und verhält sich durchaus wie Epidot. Brewster's Withamit in gelbrothen Krystallen aus den Mandelsteinen von Glencoe bildet unsymmetrische sechsseitige Säulen $\text{M/T} = 116^{\circ} 14'$ und $\text{T/r} = 128^{\circ} 20'$ mit dem Säulenpaare n/n aufgesetzt, entspricht daher ganz der gewöhnlichen Form. Der sogenannte schwarze Sphen von Achmatowsk, lange zum Bucklandit gestellt (Roschmarow Material. III. 200), ist ungewendet $2 + 1$ gliedr. Epidot.

Nach neuern Untersuchungen sollen auch Orthit (Allanit, Cerin etc.) die Krystallform des Epidots zeigen, und man hat sich daher bemüht, diesen complicirten Mischungen die einfache Formel des Epidots zu geben. Ihrem Aussehen nach gehören sie aber zu den Metallsteinen.

4. Staurolith.

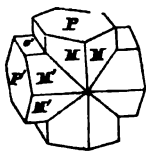
Σταυρός auf die kreuzförmigen Zwillinge anspielend, Abrovand und später de la Metherie bedienen sich bereits dieses Namens, welchen Haug in Staurolide änderte. L'Isle Cristall. II. 434 heißt ihn Schorl cruciforme ou pierres de croix, Cronstedt Miner. § 75 Basler Tauffstein. „Er gleicht einem Kreuze, und wird deswegen von den Katholiken getragen, und lateinisch lapis crucifer genennet.“ Wegen der rothen Granatfarbe hat man die von Cheronico am St. Gotthardt auch *Granatoid* genannt.

Zweigligedrig mit Winkeln, wie sie bei regulären Kristallen vorkommen, woraus Weiß (Abh. Berl. Akad. 1831. pag. 313) die ungewöhnlichen Zwillingbildungen begreifen lehrte. Einfache Kristalle machen eine geschobene Säule $M = a : b : \infty c$ $129^\circ 20'$, deren scharfe Kante durch den ziemlich deutlichen Blätterbruch $o = b : \infty a : \infty c$ gerade abgestumpft wird. Eine Geradenfläche $P = c : \infty a : \infty b$ fehlt nie. Solche MPo kommen in ungeheurer Zahl im glimmerigen Thonschiefer von Quimper in der Bretagne vor. Bei denen aus der Schweiz pflegt noch das Paar $r = a : c : \infty b$ zu sein, die sich über P unter $70^\circ 32'$, dem Winkel des regulären Tetraeder, schneiden. Daraus würden die Axen

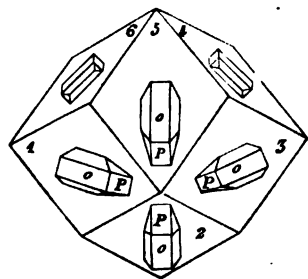
$$a : b : c = \sqrt{2} : 3 : 2$$

folgen. Nähme man o als Granatoberfläche, so würde P eine zweite, aber von o differente sein, stellt man diese oP einem rechtwinkligen Paare am Granatoeder parallel, so kann man statt den vordern Endkanten des Oktaeders am Granatoeder die M als Leucitoideflächen $a : a : \frac{1}{2}a$ ($129^\circ 31'$) und die r als Leucitoideflächen $a : a : \frac{1}{2}a$ (über P $70^\circ 31' 44'' =$ Tetraederwinkel) nehmen, dann wären von den 12 Parallelräumen dieser Körper je $\frac{1}{2}$ vorhanden, also eine Hektobrie. Halten wir also den Staurolithsäulenwinkel als $129^\circ 31' 16''$ und die Zuspärfung als $70^\circ 31' 44''$ fest, so haben wir

1sten Zwilling: zwei Individuen kreuzen sich rechtwinklig, die stumpfen Säulenkanten liegen im obern Niveau und würden beide durch



$a : \infty b : \infty c$ abgestumpft. Es spiegelt also der Blätterbruch o' des einen mit der Geradenfläche P des andern und umgekehrt ein. Die Blätterbrüche o/o bilden jetzt eine quadratische Säule, und stellt man diese einer der quadratischen Säulen des Granatoeders parallel, so bilden MM' das darauffstehende Oktaeder der zugehörigen Leucitoidefläche $a : a : \frac{1}{2}a$, daher muß der einspringende Winkel $M/M' = 144^\circ 54' 11''$ der Winkel der Oktaederkanten dieses Leucitoides sein. Die beiden Gränzebenen sind Würfelflächen, welche sich daher unter rechten Winkeln schneiden: am Staurolith würden sie den Ausdruck $b : \frac{1}{2}c : \infty a$ bekommen, darum sagt man auch, die Zwillingseindividen haben diese Fläche gemein, und liegen umgekehrt. Da nun das Granatoeder drei rechtwinklige Säulen

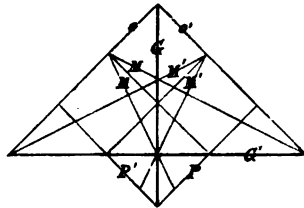
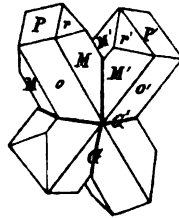


hat, so kann ich in dreierlei Weise die quadratische (o/o oder P/P) des Zwillings denselben parallel stellen. Drei Zwillinge in dieser Stellung durchdrungen gedacht müßte daher ein vollständiges Leucitoid mit Granatoederflächen bilden.

Dieses klar einzusehen lege man kleine Staurolithe mit ihrer Fläche o dergestalt auf die Granatoederflächen, daß noch P auf 1 mit 3, auf 2 mit 5, auf 3 mit 1, auf 4 mit 6, auf 5 mit 2 und auf 6 mit 4 spiegeln. Es haben dann die Staurolith-

individuen eine solche Lage, daß wenn man Individuum auf 1 mit dem auf 3, auf 2 mit 5 und auf 4 mit 6 zusammengewachsen denkt, der erste Zwilling mit rechtwinkligem Kreuz entsteht; denkt man dagegen zwei in einer Granatoederkante anliegende Krystalle, z. B. 1 und 2, 2 und 3, 3 und 5 u. mit einander verwachsen, so kommt der

2te Zwilling: die Individuen kreuzen sich unter 60° , es liegen aber die Kanten M/o im obern Niveau. Aus der Stellung am Granatoeder folgt, daß die Gränzebene G im scharfen Winkel Granatoederfläche sein muß, welche am Staurolith den Ausdruck $c : a : \frac{1}{2}b$ hat, die Zwillinge-individuen haben also diese Fläche gemein und liegen umgekehrt. Die zweite Gränzebene G' , von welcher schon Haüy bewiesen hat, daß sie ein reguläres Sechseck bildet, gehört der Oktaederfläche an. Man überzeugt sich davon am leichtesten, wenn man den Zwilling auf die Würfeläche projicirt, wie in nebenstehender Figur. Auch übersieht man dann alle diese verwickelten Verhältnisse mit einem Blicke. PP' und o/o' bilden den Granatoederkantenwinkel von 120° , er wird durch G halbirt; G halbirt ferner den einspringenden M/M' $129^\circ 31' 16''$ (oben neben G), und den darunter liegenden M/M' $62^\circ 57' 51'$, das Complement zum stumpfen ebenen Winkel des Leucitkörpers ($117^\circ 2' 9''$). An der Gränzebene G' ist $M/o' = M'/o = 148^\circ 31' 4'' = \frac{1}{2} (117^\circ 2' 9'') + 90$. Diese G' hat am Staurolith den Ausdruck $a : \frac{1}{2}c : ob$, ist also gerade auf die stumpfe Säulenlante aufgesetzt, und da sie ein reguläres Sechseck von 120° an der Staurolithsäule MMo bildet, so darf man auf ihr die Stücke nur um 120° gegen einander verdrehen, um auch zur Zwillingstellung zu gelangen.



Die optischen Axen $+ 85^\circ$ liegen in der Ebene $a : ob : ooc$, die also den scharfen Säulenwinkel halbirt, Axe c Mittellinie.

Härte 7—8, Gew. 3,7, röthlich braun, die Farbe erinnert sehr an blutrothen Granat, nur ist sie etwas dunkeler.

Blos im feinen Pulver kann er an den Kanten zu einer Schlacke geschmolzen werden, mit Soda unter Brausen eine gelbe Schlacke. Die Analyse führt zu verschiedenen Resultaten: von Cheronico 3,74 Gew. K^2 Si, 29 Si, 52 Al, 17,6 Fe; von Airolo 3,66 Gew. K^2 Si, 33,4 Si, 47,2 Al, 16,5 Fe; aus der Bretagne 3,53 Gew. K^2 Si⁴ 39,2 Si, 44,9 Al, 15,1 Fe. Man hat diese Schwierigkeit unter anderm dadurch zu erklären gesucht, daß Si mit Al isomorph sei. Hr. Kammelsberg (Erdmann's Journ. 1861. 63. ²²²) schreibt sie dagegen (K_2 Als) Si₂. Ein kleiner Tasserdegehalt fehlt nie.

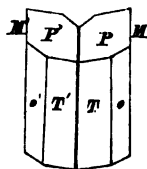
5. Cyanit Wr.

Kύανος blau. Saussure der jüngere beschreibt ihn 1789 als *Sappare*, welcher Name schon unter Jacob VI. (1600) in Schottland für ihn

geläufig war. Vor Werner (Bergm. Journ. 1790. III. 1, pag. 149) hieß er gewöhnlich blauer Schörl, Haüy nannte ihn Disthen ($\sigma\delta\epsilon\nu\sigma$ Kraft), doppelkräftig, weil manche Krystalle gerieben auf Flächen von gleicher Glätte positiv, andere negativ elektrisch würden.

Die Krystalle bilden lange Strahlen, nach Phillips Messungen: in der geschobenen Säule T/M $106^{\circ} 15'$, die breitere M sehr deutlich blättrig und glänzend, T zwar auch blättrig aber matt. Die scharfe Kante wird durch o schief abgestumpft, so daß M/o $131^{\circ} 25'$ und T/o $122^{\circ} 20'$ bildet. Untergeordnet und unsicher durch starke Längsstreifung pflegen die Abstumpfungen der stumpfen Säulenkante T/M zu sein, deren Haüy zwei k und l angibt. Das System muß also zum gewendeten 2 + 1gliedrigen oder ein- und eingliedrigen gehören. Eine blättrige Endfläche kommt zwar vor, sie soll in P/M $100^{\circ} 50'$ und in P/T $93^{\circ} 15'$ machen, leider spiegelt sie aber selten gut, jedoch erzeugt sie auf M eine ausgezeichnete Querstreifung, welche die Kante M/o unter $90^{\circ} 15'$ schneiden müßte, also fast senkrecht gegen die Säulenaxe stünde. Darnach scheint also das System eingliedrig und die von Haüy angegebenen Abstumpfungen von P/T zu beiden Seiten müßten dann ungleichwerthig sein.

Zwillinge kommen häufig vor, sie haben den Blätterbruch M gemein, und liegen umgekehrt. Nach Mohs gewöhnlich der, woran sowohl T/T' als P/P' einspringende Winkel bilden.



In diesem Falle müssen die Flächen M und M' so aneinander liegen, daß die Kante T/M mit T'/M' und die Kante P/M mit Kante P'/M' parallel geht, es ist also ein Gezeinhaben von M im vollsten Sinne des Wortes: der Zwilling entsteht, wenn man beide Individuen auf M um 180° gegen einander verdreht. Dagegen behauptet nun G. Rose (Kryst. chem. Mineral. pag. 79), daß eine

zweite Art, wo zwar T und T' auch einspringende Winkel bilden, aber P und P' scheinbar mit einander einspiegeln, gewöhnlicher sei. In diesem Falle muß man das eine Zwillingseindivuum 180° um die Axe P/M drehen. Da Kanten P/M und o/M auf M ein Parallelogramm von $90^{\circ} 15'$ bilden, so müssen sich, entweder wenn $M/P \neq M'/P'$ gedacht würde, die Säulenkanten M/o mit M'/o' unter 30° schneiden; oder wenn $M/o \neq M'/o'$, die Kanten P/M und P'/M' unter 30° . Die Unterschiede beider möglichen Fälle sind so gering, daß sich nicht leicht die Wahrheit wird ermitteln lassen. Endlich ist auch eine

dritte Art möglich: ein Individuum dreht sich 180° um die Säulenkante M/T, dann werden alle Säulenflächen einspiegeln, nur die Endflächen P unter 30° Kreuzung der Kanten P/M mit P'/M' einen einspringenden Winkel bilden. Da nun das Ende gewöhnlich fehlt, so erscheinen dem Auge solche Krystalle einfach, Plücker weist aber (Pogg. Ann. 82. ss) ein optisches Mittel nach, sie zu erkennen: es zeigen sich nämlich zwischen gekreuzten Turmalinplatten eigenthümliche hyperbolische Linien, welche sich bei einfachen Individuen niemals finden. Auch das Stauropop liefert ein treffliches Unter-

scheidungs mittel, denn Zwillinge werden bei der Drehung in gewissen Lagen nicht dunkel wie die einfachen Krystalle.

Die optische Mittellinie steht senkrecht gegen den Blätterbruch M, die Ebene der optischen Axe geht durch den stumpfen Winkel des Parallelogramms von $90^{\circ} 15'$ und schneidet die Kante M/T unter 30° . Die Axen selbst schneiden sich unter $81^{\circ} 48'$. Man kann sie ungeschliffen leicht untersuchen, und sofort den 1gl. Charakter beweisen pag. 127.

Auf das Dichroskop wirken die Krystalle sehr stark: senkrecht gegen den Blätterbruch sind die Bilder zwar kaum von einander verschieden, allein gegen T gesehen wird das eine Bild auf Kosten des andern prachtvoll blau, und zwar bei aufrechter Säulenaxe das ordinäre, bei liegender das extra-ordinäre. Hängt man den Krystall an einem Coconfaden in einer Papierschleife auf, so stellt er sich mit Declination und Inclination wie eine Magnetsnabel (Blüder Pogg. Ann. 77. 448), „er ist eine wahre Compagnabel“, und richtet dabei immer dasselbe Ende nach Norden! Zu diesem interessanten Experiment gehört jedoch eine vorsichtige Wahl der Individuen, bei allen glückt es nicht.

Nicht minder auffallend sind die großen Verschiedenheiten der Härte: auf dem Blätterbruch M läßt er sich parallel der Säulenlante M/T, also senkrecht gegen die Faserstreifung, mit einem gewöhnlichen Messer noch gut ritzen ($H = 4-5$), parallel der Faser, also senkrecht gegen die Kante, kommt man dagegen beim stärksten Druck nicht mehr hinein ($H = 6$), auf den übrigen Säulenflächen erreicht er sogar, besonders gegen die Säulenlante, die Härte des Quarzes = 7! Gew. 3,5—3,7. Blaue Farbe, ins Weißliche bis Farblose, seltener graulich.

Vor dem Löthrohr unschmelzbar, brennt sich aber weiß, mit Kobalt-solution stark geglüht schön blau. Zum Aufschließen eignet sich Natriumhydrat am besten. $Al^3 Si^2 = Al Si = 62,6 Al, 37 Si 1 Fe$, doch schwanken die Angaben etwas. Jedenfalls ist die Zusammensetzung Staurolithartig, daher verwachsen beide häufig der Länge nach mit einander, und zwar spiegelt gewöhnlich der blättrige Bruch M mit der ebenfalls blättrigen Abstumpfungsfläche der scharfen Säulenlante o am Staurolith (Germar Taschenb. Min. 1817. XI. 448): so bei den schönen Krystallen von Cheronico, die im weißen Glimmerschiefer auf dem Dolomit von Campolongo lagern (Studer Geol. Schweiz I. 407). Im Pfäferscher Thal bei Sterzing in Tyrol kommen breite blaue Strahlen im Quarz vor, die oft in auffallender Weise krummschalig werden. Sie zer Splitttern sich zu schmalen Strahlen von weißer, rother, grauer und schwarzer Farbe, was Werner Mählichkeit nannte.

Sillimanit Voven $Al^3 Si^2$, von der Zusammensetzung des Cyanit's, wird von vielen dafür gehalten. Die langstrahligen nellenbraunen Krystalle bilden Säulen von 98° , die mit o/s = $97^{\circ} 6'$ beim Cyanit stimmen, auch wird ihr stumpfer Winkel durch einen deutlichen Blätterbruch abgestumpft, aber die andern Blätterbrüche scheinen zu fehlen. Freilich ist er nach allen Richtungen gleich hart und das Gewicht beträgt bloß 3,24. Auf Gängen im Gneise bei Saybrook (Connecticut). Optisch verhält er sich 2gliedrig,

was mit Charnit nicht in Uebereinstimmung zu bringen ist. Daher wird er von Hr. Descloizeaux für ein besonderes Mineral gehalten, wozu nicht blos Wörthit (Ses. Pogg. Ann. 21. 72), der in strahligen Klumpen in den Nordischen Gesehien gefunden ward, und der ähnliche Monolith von Monroe zu gehören scheint, sondern vielleicht auch Buchholzit.

6. Andalusit.

Von Bournon 1789 Spath adamantin d'un rouge violet genannt, die Stücke stammten vom Gebirge Forez, Lamétherie soll ihn von Andalusien in Spanien erhalten haben, woher der Name.

Zweigliedrige wenig blättrige Säulen $M = a : b : \infty c$ von $90^\circ 50'$ (Haibinger, Pogg. Ann. 61. 298) mit Geradenfläche $P = c : \infty a : \infty b$, die ein quadratisches Aussehen haben, und von besonderer Schönheit mehrere Zoll dick und mehrfach länger im Quarzgestein von Eisens südwestlich Innsbruck brechen. Hin und wieder findet sich eine kleine Abstumpfung der Ecken über der stumpfen Säulenkante $a : c : \infty b$ $109^\circ 4'$ wornach

$$a : b = \sqrt{1,97} : \sqrt{2,03}$$

sich verhalten würde. Auch Zuschärfungen $b : c : \infty a$ auf die scharfe Säulenkante, sowie Abstumpfungs- und Zuschärfungsflächen der stumpfen Säulen- kante 2c. werden angegeben.

Gewöhnlich stark mit Glimmer bedeckt, welcher auch die Krystalle durchdringt, ihnen tauskartige Weichheit gibt 2c. Die frischen gehen etwas über Quarzhärte hinaus, 3,17 Gewicht. Meist trübe grüne, röthliche, graue Farbe mit geringer Durchscheintheit. Trotzdem wirken namentlich die rothen auf das Mikroskop. Besonders aber die grünen durchsichtigen aus Brasilien, welche grüne und rothe Bilder geben. Optisch +, a Mittellinie.

Vor dem Löthrohr unschmelzbar, wird mit Kobaltsolution schön blau, $Al \cdot Si^2$, Thonerde steigt bis auf 60 p. C.; ältere Analysen geben einen bedeutenden Gehalt von Kali, nach Vauquelin bei den spanischen sogar 8 p. C. Er kommt besonders in Quarzgesteinen vor, nicht blos in den Alpen, sondern von rother Farbe mit Fettglanz und großer Härte zu Golderstein in Mähren, Herzogau im Bayerischen Walde, Killiney bei Dublin. Auffallend ist es, daß die trüben so häufig steinmarkartig weich werden.

Buchholzit im Quarz von Eisens wurde für seinfasrigen Andalusit gehalten, der sehr an Katzenauge erinnert. Auch Bournon's Fibrolit mit Korund zu Carnatit in Ostindien wird dahin gerechnet. Im Quarz kommt ferner der Xenolith $Al \cdot Si$ von Peterhoff in Finnland und der Bamlit $Al^2 \cdot Si^2$ von Bamle in Norwegen vor, beide scheinen ohnedieß wegen ihrer fasrigen Bildung dem Buchholzit sehr nahe zu stehen. Ein viel höheres Interesse gewährt dagegen

Chiasolith (Karsten Mineral. Tabell. 1800. pag. 73), so genannt, weil im Innern der Thonschiefer den griechischen Buchstaben X bilbet, Macle R. de l'Isle Crist. II. 440, Aldrovand im Museum metall. 1648. pag. 881 bildet bereits die Spanischen von Santiago di Compostella in Galizien als

Lapis crucifer ab, und Werner gab ihm den nicht unpassenden Namen **Hohlspath**.

Er findet sich nur im Thonschiefer in Andalusitartigen Säulen von $91^{\circ} 50'$, die beim Zerschlagen einen ziemlich deutlichen Blätterbruch wahrnehmen lassen. Auf dem Querbruch nimmt man in günstigen Fällen ein Kreuz von Thonschiefer wahr (*crucem Domini salutis humanae symbolum*, *Mercati Metallotheca vaticana* 1717. pag. 237), das sich in der Mitte und in den 4 Kanten verdickt. Daher sehen die Kanten außen gewöhnlich schwarz aus. An ein und derselben Säule vermehrt sich dann nicht selten die Thonschiefermasse so, daß sie das ganze Innere eckig ausfüllt. Die Oberfläche glänzt bei den Französischen mit einer dünnen Glimmerschicht. Feldspathhärte, Gew. 3, halbdurchsichtig mit einem Stich ins Gelbe. Vor dem Löthrohr schmilzt er nicht. Arfvedson fand bei dem Bretagner sogar 11,3 Ka, deßhalb war man früher geneigt $K^2 Si^2$ in die Formel aufzunehmen, einen Theil der Schuld mag der niemals ganz kalifreie Thonschiefer tragen, denn Bunsen (Pogg. Ann. 47. 100) fand $Al^4 Si^3$, 39,1 Si, 58,7 Al und keine Spur von Kali in der reinen Masse.



In den Thonschiefen findet sich das Mineral öfters, zumal wo sie dem Urgebirge hart anlagern: in Deutschland sind besonders die dünnen Säulen von Gefrees im Fichtelgebirge bekannt, Leonhard gibt ihn auch im Thonschiefer bei Baden am Schwarzwalde an, Germar am Unterharze bei Bräunrode und Greifenhagen zc. Ebenso fein sind sie in einem röthlichen Thonschiefer vom Cap der guten Hoffnung eingeprengt. Viel dicker enthält sie der Thonschiefer der Bretagne von Salles de Rohan bei St. Brieux. In den Pyrenäen erreichen sie sogar fast Fußlänge und 2 Zoll Dicke, sie werden dort verschliffen und wegen ihrer Kreuzfigur seit langer Zeit als Amulette getragen. Die Amerikanischen von Chesterfield gleichen fingerdicken Cylindern, und man würde sie nicht für das halten, was sie sind, wenn nicht der Querschnitt die Kreuze zeigte.

Vergleiche wegen seines Aussehens auch Charpentier's Couzeranit aus den grauen krystallinischen Kalken der Pyrenäen, dessen lange vierseitige fast quadratischen Säulen innen öfter ebenfalls hohl und mit dem Muttergestein ausgefüllt sind. Freiesleben's Talksteinmark aus dem Porphyr von Rochlitz in Sachsen hat zwar die Zusammensetzung des Charnits $Al Si^2$, gehört aber seines Aussehens nach zu den Thonen. G. Rose führt hier auch den Agalmatolith pag. 245 als $Al Si^3$ auf.

VI. Edelsteine.

Die Gemmen bilden eine gute Gruppe unter den Silicaten, welche man nicht zerreißen sollte, wenn auch ihre Gränzglieder nur schwach verbunden sein mögen. Große Härte (es sind die härtesten irdischen Stoffe), hohes

Steingewicht, prächtige Farben und Klarheit, verbunden mit starkem Glanz, eine nicht gewöhnliche Zusammensetzung zeichnen sie aus. Den edlern unter ihnen fehlt die gemeinere Kiesel Erde ganz, und die Thonerde bekommt das Uebergewicht. Bergman vermuthete sogar einen besondern Stoff (Edelerde) darin. Ja die Krone derselben, der Diamant, besteht aus Kohlenstoff, und dennoch ist hier sein natürlicher Platz. Trotz ihres sparsamen Vorkommens sind die Edelsteine schon den ältesten Völkern bekannt, und ihre Namen uns überliefert, obgleich wir nicht immer wissen, was darunter verstanden wurde. Auch konnten die Alten bei dem mangelhaften Stande der Wissenschaft sich selbst über die Sachen nicht klar sein. Brückmann's Abhandlung von Edelsteinen 2te Aufl. 1773 ist noch jetzt sehr brauchbar.

1. Diamant.

Bei den Griechen *ἀδάμας* (unbezwingbar *δαμάω*), wie alles harte, arabisch *mas*, Jachalom Demant Luther 2 Mos. 28, 18. Plinius hist. nat. 37. 15 spricht über *adamas* sehr ausführlich: „den größten Preis unter den menschlichen Dingen hat der Diamant, lange nur den Königen und auch unter diesen bloß wenigen bekannt. . . . Nur im feinsten Golde erzeugt er sich . . . Sechs Arten sind bekannt . . . Darunter die Indischen und Arabischen von unaussprechlicher Härte, auf den Ambos gelegt, stoßen sie den Schlag so zurück, daß Eisen und Ambos in Stücke zerspringt, auch das Feuer besiegen sie, denn man hat ihn noch nicht verbrennen können (*numquam incalescens*) Diese Macht über Stahl und Feuer wird durch Boßsblut gebrochen, aber nur wenn sie durch frisches und warmes gebeizt sind, und auch so erst nach vielen Schlägen, und immer noch Ambos und Hammer sprengend Nur ein Gott kann dieses unermeßliche Geheimniß dem Menschen mitgetheilt haben Und wenn er nun glücklich zum Reißen gebracht wird, so zerspringt er in so kleine Stücke, daß man sie kaum sehen kann. Das war der Standpunkt des Alterthums. Im Mittelalter besingen Dichter (Parcival) das Wunder, und nach Albertus Magnus (*de miner. pag. 7*) wird das Blut um so wirksamer, wenn der Boß vorher Wein getrunken oder Petersilie gefressen habe.

Reguläres Krystallsystem, deutlich oktaedrisch blättrig, wovon die Steinschneider profitiren, indem es dadurch allein möglich gemacht ist, rauhe Stellen schnell wegzuspalten. Oktaeder $a : a : a$ bei den Ostindischen, Granatoeder $a : a : 3a$ bei den Brasilianischen gewöhnlich, aber stark gerundet und kaum meßbar. Die meisten Granatoeder nach der kurzen Diagonale (Kante des eingeschriebenen Würfels) der Rhomben geknickt, wodurch ein sehr verzogener Pyramidenwürfel entsteht. Seltener herrscht die Knickung nach der Längsdiagonale, was ein bauchiges Pyramidenoktaeder gibt.



Die Knickung nach beiden Diagonalen gibt ein Pyramidengranatoeder, das wegen der Flächenrundung sich der Kugel- und Eiform nähert. Eine gleiche Deutlichkeit beider, der gebrochenen Würfel- und Oktaederkanten, ist aber durchaus nicht gewöhnlich, in der Kugel prägt sich also das Oktaeder oder

Granatoeder vorherrschend aus, jenes der Ostindische, dieser der Brasilianische Typus. Würfel kommt selten vor, und Leucitoeder wird gar nicht angeführt. Dagegen trifft man häufig Zwillinge, stark nach der trigonalen Zwillingssaxe verkürzt. Sieht man daran den blättrigen Bruch, so macht er einspringende Winkel auf den Seiten, während drei der Zwillingssaxe parallel gehende Granatoederflächen in beiden Individuen einspiegeln, aber sich doch durch die verschiedene Streifung unterscheiden lassen. Mag daher auch, wie häufig geschieht, die Zwillingssgränze noch so stark verwachsen, so wird man doch leicht auf die Spur geführt. Geschliffene Platten zeigen öfter zahllose Zwillingstreifen, wie Labrador, es scheint das von neben einander gelagerten Lamellen herzukommen. Denn in gewissen Richtungen leuchten nach Brewster die einen Lamellen, die andern nicht. Unter den ersten Diamantlinsen gaben daher einige doppelte und dreifache Bilder. Auch im polarisirten Licht nimmt man öfter blaue Streifen wahr. Krystalle mit vertieften Kanten. Rauheiten der Flächen mit labyrinthischen Gängen und harzartigen Unebenheiten zc.



Härte 10, und zwar von allen Steinen bei weitem der härteste. Man rechnet, daß er beim Verarbeiten 50mal mehr Zeit in Anspruch nimmt, als der nächstharte Sapphir (Kluge Handb. Edelst. pag. 19). Nur der künstlich krystallisirte Bor scheint ihm gleich zu kommen. Daher wurde er früher bloß etwas polirt (Spizsteine), wobei man von der natürlichen Krystallform Nutzen zog. Die Akrasse des kaiserlichen Mantels Karls des Großen ist noch mit solchen ungeschliffenen Steinen besetzt. Erst Ludwig van Berquen aus Brügge in Flandern fand 1456, daß man ihn in seinem eigenen Pulver (Diamantbort) schleifen könne. Anfangs machte man Tafelsteine, d. h. stumpfte die Ostindischen Otaeder an zwei entgegengesetzten Ecken mehr oder weniger ab. 1520 kamen **Rosetten** (Kautensteine) auf. Ihr Schnitt richtet sich nach der rhomboedrischen Stellung: die untere flache Basis entspricht dem blättrigen Bruch, und die Spitze endigt mit 6 Sternfacetten, außer dem sind noch 18 Quersfacetten da, die sich zu $6 + 12$ gruppieren. Liegen die 6 unter den Flächen der Sternfacetten, so folgen im Rande 12, liegen aber die 6 unter den Kanten, so fallen die 12 zwischen die beiden 6. Besonders sind die Zwillinge zu solchen Rosetten brauchbar, man spaltet sie nur nach der Zwillingsebene, dann gibt die nach der kurzen Diagonale gebrochene Granatoederfläche den Anhaltspunkt für die 6 Sternfacetten. Cardinal Mazarin ließ zuerst **Brillanten** schleifen.



Ihr Schliff richtet sich nach der oktaedrischen Stellung: der flachere Obertheil (Krone) endigt mit einer Geradenfläche (Würfelst.); darunter folgen $8 + 8 + 8$, oder $8 + 8 + 16$ Facetten; der spitzere Untertheil ist dem obern ähnlich, aber am Unterende nur durch eine ganz feine Endfläche (Kalette) abgestumpft; der Gürtel (Rand) trennt beide Theile von einander. Ein guter Brillantenschliff weicht nie vom Zahlengesetz 8 ab. Die Brillanten faßt man meist à jour, d. h. man gibt ihnen keine Unterlage, wie den Rosetten. Das Schleifen ist sehr zeitraubend, und wenn man sie nicht mit feinen Meißeln



durch einen schnellen aber starken Schlag spalten kann, so muß man sie mit einem feinen Stahlbraht mittelst Diamantpulver und Del durchschleifen. Der Regent in der Krone Frankreichs wiegt 136 Karat, roh wog er 410 Karat, er hat also durch den Schliff, der 2 Jahre gewährt haben soll, $\frac{3}{4}$ an Größe verloren. Daß Diamanten Glas schneiden, daran ist die doppelte Krümmung der Krystallanten schuld, die einen einzigen Punkt zum Schnitt kommen läßt. (Wollaston in Gilbert's Ann. 58. 92.)

Gewicht 3,55, genau das des Topases, daher sind auch Brasilianische Topasgeschiebe damit verwechselt worden. Indische 3,521, Brasilianische 3,444. Farblos, doch nehmen sie eine schwarze, nestenbraune, graue, gelbliche, grünliche u. Färbung an, die wenn rein theuer gezahlt wird. Doch hat es damit eine eigene Bewandniß, das Auge wird getäuscht: namentlich zeigen die grünen unter dem Mikroskop häufig blos Flecken, wie Fliegenmist, oder Verzweigungen wie Conserven. Auch die nestenbraunen sind oft blos getüpfelt oder geflammt, statt durch und durch gefärbt. Solche Unsicherheit zeigt sich auch bei schwarzen, sie glänzen im reflectirten Licht, wie Graphit, und zeigen doch beim Durchsehen grasgrüne Stellen. Bei manchen schwefelgelben scheint sich die Färbung blos auf die Oberfläche zu concentriren.

Diamantglanz und starke Farbenzerstreuung, deßhalb zeigen die geschliffenen Facetten das lebhafteste Farbenspiel. Starke Strahlenbrechung 2,487, d. h. die vergrößernde Kraft der Diamant- zur Glaslinse wie 8 : 4, daher ist er auch zu mikroskopischen Linsen benützt worden, die aber sehr schwer vollkommen zu machen sind, so daß nur wenige gute existiren pag. 111. Newton schloß 1675 daraus, daß es eine brennbare Substanz sein müsse. Er machte nämlich zwei Klassen von Körpern: feuerbeständige und brennbare, bei beiden folgt die Brechungskraft einem eigenen Gesetze, aber so ziemlich nach dem Verhältniß zur Dichtigkeit. Nun verhält sich die Dichtigkeit vom Quarz zum Diamant = 3 : 4, aber die Brechungskraft = 3 : 8, daher konnte Diamant kein feuerbeständiger Stein sein. Merkwürdig sind die „Sterndiamanten“, welche auf der Oктаederfläche einen sechsstrahligen Lichtschein zeigen (Desclouzeaux Ann. Phys. 1845. XIV).

Bricht das Licht zwar nicht doppelt, polarisirt es also auch nicht, allein nach Brewster finden sich im Innern Luftblasen, um welche herum wie im Bernstein das Licht etwas verändert wird. Da nun außerhalb dieser Blasen-sphäre das Licht vollkommen unpolarisirt durchgeht, so scheint die Masse ursprünglich weich gewesen zu sein, so daß eingeschlossene Luft durch Expansion die ihr nächstliegenden Theile verändern konnte, wie man etwa durch Druck auf Glas und Harz ähnliche Erscheinungen hervorbringt! Die Höhlen haben öfter sehr bizarre Formen, sind sogar, wie schon Tavernier erzählt, mit einer schwarzen Materie (boue végétale) erfüllt. Manche sollen durch Insolation (Pogg. Ann. 64. 224) oder Bürsten phosphoresciren. Bose hat das 1745 in einer schwülstigen Rede (von dem Lichte der Diamanten im Finstern) vor dem durchlauchtigsten Churprinzen von Sachsen behandelt. Durch Reiben stets + elektrisch.

Reiner Kohlenstoff C, seine Oberfläche wird in der Oxydations-

flamme matt, durch langes Glühen „schwarz und undurchsichtig, was nur von einem Uebergange in den amorphen Zustand herrühren kann.“ Obgleich sein Pulver schon bei Anwendung einer Spirituslampe brennt, so kann er doch in Kohlenpulver verpackt der größten Hitze ausgesetzt werden, wie das die Pariser Steinschleifer schon 1771 wußten. Sobald aber Sauerstoff hinzutritt, so stößt er Gas aus (Boyle), und 1694 wurden auf Veranlassung Cosmus III. von Florenzer Akademikern die ersten Diamanten in einem großen Tschirnhaus'schen Brennspiegel verflüchtigt: sie behielten zwar ihre Form bei, wurden aber immer kleiner, und verschwanden zuletzt ganz. Schon Lavoisier fand, daß sie dabei Kohlen säure entwickeln; Guxton, daß sie mit Eisen zusammen geschmolzen (cémentirt) Stahl erzeugen. In Wien wollte Kaiser Franz I. 1750 im Ofenfeuer kleine zu einem großen zusammenschmelzen, aber die Sache gelang nicht. Peggold glaubte in kleinen Rückständen Kiesel erde mit Pflanzenzellen gefunden zu haben, auch Göppert (Pogg. Ann. 92. 688) bildet so etwas ab, aber Wöhler konnte das nicht bestätigen. Der Aschengehalt beträgt zuweilen bis 2 p. C. Vergleiche auch den Graphit, welcher es wahrscheinlich macht, daß die Kohle dimorph sei.

Bildung. Einige haben gemeint, er möchte sich auf organischem Wege gebildet haben, wie etwa Tabakher im Bambus, worauf auch die Polarisationsercheinungen hinweisen könnten, ganz abgesehen von den Zellen. Andere suchten ihn auf unorganischem Wege durch Schmelzen von Kohle darzustellen. Silliman und Cagniard de Latour bekamen so auch wirklich farblose Kügelchen, welche Glas ritzten, es war aber nach Thénard geschmolzene Kiesel erde. Auch die Viebig'sche Ansicht, sie als Verwesungsproduct anzusehen, soll nicht Stich halten. Semmler (Pogg. Ann. 105. 600) meint, Kohlenstoff in flüssiger Kohlen säure könnte Diamant werden. Dagegen verflüchtigte Desprez (Compt. rend. Sept. 1853. pag. 369) Kohle mittelst eines elektrischen Stroms über einen Monat hindurch. Es setzten sich an den Platindrähten kleine schwarze mikroskopische Oктаeder an, die Rubin polirten, was bekanntlich nur mit Diamantpulver geschieht. Leider ist Kohlenstoff ein zu schlechter Leiter der Elektricität.

Vorkommen. Lange kannte man ihn nur auf sekundären Lagerstätten: im tertiären „Diamantensandstein“ oder im lockern und harten Diluvialgebirge (sogenannte Diamantsaifen). Neuerlich hat man ihn jedoch nördlich Tejuco in Brasilien in einem glimmerhaltigen Quarzgestein (Itacolumit) gefunden, das mit Hornblendeschiefern in inniger Verbindung steht. Darnach scheint das Urgebirge die Bildungsstätte zu sein (Girard Leonh. Jahrb. 1843. pag. 308). Edle Metalle und Steine, wie Gold, Euklas, Topas, Chrysoberyll, durchsichtiger Andalusit, Turmalin, Amethyst, Anatas, Rutil, Granat, Diaspor, Zirkon, Zinnstein, Tantalit u. (Bull. géol. 1857. XIV. 442) sind häufige Begleiter.

Vorderindien der älteste und berühmteste Fundort. Nach Ritter (Asien 6, pag. 343) gibt es daselbst fünf Hauptpunkte: 1) Cuddapah am Pennar bis Gandicotta, die südlichste Gruppe; 2) die Mandial-Gruppe auf der Westseite der Nalla Malla-Berge, welche sich von Cuddapah

nördlich bis zur Kistna ziehen. Hier sollen die größten Indischen vorgekommen sein; 3) die Golconda-Gruppe (eine Bergfeste $\frac{1}{2}$ Stunde WNW von Hyderabad), sie hat keine Gruben, sondern ist nur der Markt, welcher durch den Franzosen Tavernier (*Six voyages en Turquie* 1669) so berühmt geworden ist. In der Gegend von Ellore an der untern Kistna waren allein 60,000 Menschen mit Bohren und Waschen eines harten eischüssigen Sandsteins beschäftigt, der bis zu 14' tief ausgebeutet wurde. Zu Raolconda war es ein Sandstein, wie bei Fontainebleau, in dessen kaum fingerbreiten Spalten ein feiner Sand sich findet, worin die Diamanten lagen. Da der Stein hart ist, so mußte der Sand mittelst zugespitzter Eisenstangen mühsam herausgeholt werden (*Voyages* II. 327); 4) die Sumbhulpur-Gruppe am mittlern Mahanadi, wo man sie hauptsächlich im Schlammbede der Nebenflüsse auf der nördlichen Seite sammelt; 5) die Panna-Gruppe in Bundelkhand zwischen Sonar und Sone (25° N. Br.) in eisenhaltigem Kiese über Buntensandstein bildet die nördlichste. Schon Ptolemäus erwähnt hier einen Adamasfluß. In heutiger Zeit hat das Suchen sehr abgenommen. Ceylon liefert trotz seines Edelsteinreichtums keine Diamanten, dagegen findet man sie an der Südostspitze von Borneo, Tanah Laut (Seeland) genannt, in einem rothen Thone von Gold und Platin begleitet. Der Thon ruht auf Serpentin- und Hornblendegestein (*Pogg. Ann.* 55. 336). Das Vorkommen in der alten Welt wurde durch

Brasilien überflügelt. In der Provinz Minas Geraes ist besonders die unwirthliche Serra do Frio mit dem Hauptort Tejuco, von welcher Stadt südöstlich sich der 5600' hohe Itambé erhebt, woran der Fluß Jequetinhonha in 2 Armen entspringt. Hier liegt die Hauptgrube Mandanga, in einem eischüssigen Kies (Cascalho) mit großen Quarzgeschieben, Topasen und Goldblättchen. Dieses secundäre Gestein ruht auf Itacolumit. 1727 erkannte ein Spanier die glänzenden Steine, während die Neger sie schon längst als Spielmarken benützt hatten. Später fand man sie tiefer im Innern im Flußgebiete des Rio San Francisco, aber erst 1839 auf der ältesten Lagerstätte in einem „glimmerhaltigen Sandsteine“ am linken Ufer der Corrego dos Reis in der Serra de Santo Antonio de Grammaoia, 36 Meilen nördlich Tejuco. Da dieser nach Claussen über der dortigen Grauwacke liegen soll (*Leonhard's Jahrb.* 1842. pag. 459), so wäre auch hiermit das ursprüngliche Lager nicht gefunden, so ähnlich nach Girard das Gestein dem Glimmerschiefer sein mag. Nach Heusser (*Zeitschr. deutsch. geol. Gesellsch.* 1859. XI. 464) soll jedoch gemäß den practischen Erfahrungen der Diamantensucher kaum Zweifel sein, daß nicht auch der Hornblendeschiefer zu den Muttergesteinen gehöre. Martius hat berechnet, daß in den 46 Jahren von 1772—1818 3 Millionen Karat = 1300 \mathcal{A} im Werthe von 70 Millionen Gulden nach Europa gekommen seien. Neuerlich werden auch die Sierra Madre südwestlich Acapulco in Mexico, die Itacolumitregion der Goldwäschchen des Hrn. Twitty in Nordcarolina, die von Georgien und Virginien, selbst Neu-Südwales (*Jahrb.* 1855. 327) als Fundgruben angegeben (*Pogg. Ann.* 70. 344).

Der Ural lieferte 1829 auf den Ländereien der Eisenwerke von Bissersk

in den Goldsaifen Presstowoschdwichenskoi unter dem 59° N. Br. auf der Europäischen Uralseite die ersten Diamanten (G. Rose, Reise Ural I. 482). Rose vermuthet, daß das Muttergestein Dolomit sei; Zerenner, Director der Gruben, nennt Itacolumit (Zeitschr. deutsch. geol. Ges. 1849. I. 482). Der Fund ist aber nur von wissenschaftlichem Interesse, da man bis 1848 bloß 72 Stück von $\frac{1}{4}$ bis $7\frac{7}{8}$ Karat gefunden hat (Dr. Zerenner Erdbunde Gouv. Perm. 1852. pag. 220).

Preis. Größe, Reinheit (vom 1sten, 2ten und 3ten Wasser) Farbe und Art des Schliffes bestimmen den Werth. Man rechnet nach Karat, deren 72 auf 1 Loth gehen. Roh kostet jetzt das Karat 150 Franken, über ein Karat steigt der Werth nach der Quadratzahl: Brillant früher 1 Karat 216 bis 288 Franken, jetzt 400 Fr., im Mittel $300 \cdot k^2$. Neuerlich hat der Vicekönig von Egypten einen von 49 Karat gekauft, derselbe sollte demnach $49^2 \cdot 300 = 720,300$ Fr. kosten, er wurde aber mit 760,000 Fr. bezahlt.

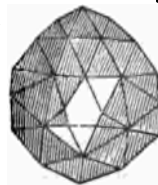
Größe. Steine von 12—20 Karat gehören schon zu den schönen, darüber bereits zu den Seltsamkeiten: so findet man im grünen Gewölbe von Dresden Diamanten von 38, 40 und 48 Karat. Ueber 100 Karat kennt man nur wenige. Der größte Brasilianische war lange einer von 120 Karat, es ist ein rohes ungeschliffenes Octaeder, neuerlich wurde jedoch zu Bagagem in Minas Geraes einer (L'étoile du Sud) von $247\frac{1}{2}$ k gefunden (Leonhard's Jahrb. 1853. 607), er soll vom reinsten Wasser sein. Die Berühmtesten stammen aus Ostindien.

Die französische Krone besitzt den Regent von $136\frac{1}{2}$ Karat, den schönsten unter allen großen, namentlich auch wegen seines Brillantenschliffes. Der unter dem Namen Regent bekannte Herzog von Orleans kaufte ihn von einem Engl. Gouverneur Pitt für Ludwig XV um $2\frac{1}{2}$ Million Franken. Zur Revolutionszeit wurde er in Berlin beim Kaufmann Treslow versteigert, schmückte dann aber wieder den Deggenknopf des Kaisers Napoleon I.



Der Oesterreichische Schatz enthält einen gut geformten von $139\frac{1}{2}$ Karat, derselbe fällt aber stark in das Citronengelbe. Er soll von Karl dem Kühnen stammen, der in der Schlacht bei Nancy 1477 blieb. Ein Soldat fand ihn im Helme des Herzogs, verkaufte ihn für 1 Kronenthaler an einen Geistlichen, bis er für 20,000 Ducaten in die Hände Papst Julius II. kam.

Ein besonderes Interesse bietet der Sancy $53\frac{1}{2}$ Karat, in der Rundung und Ausbildung einem Pyramidengranatoeder gleichend, vom reinsten Wasser. Er soll wie der Oesterreichische ebenfalls Karl dem Kühnen gehört haben, kam aber schon früh in die Hände eines französischen Grafen Nicolaus de Sancy, der 1589 sich in Verbungsangelegenheiten in Solothurn befand, zu einer Zeit, wo König Heinrich III. von Frankreich Unter-

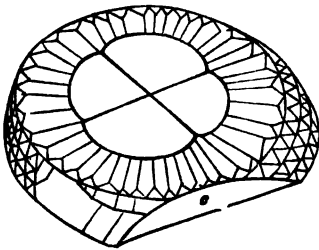


pfänder zu einer Anleihe bedurfte. Sanchy schickte einen Boten mit dem Juwel nach Paris, derselbe wurde aber von Räubern im Juragebirge erschlagen. Da nun Sanchy keine Antwort bekam, und von einem Ermordeten gehört hatte, so schöpfte er Verdacht: der Erschlagene war richtig sein treuer Diener, welcher aber zum Glück den Diamant verschluckt hatte, so daß er sich im Magen noch vorfand! Später war er unter den Edelsteinen Ludwig XIV. verschwunden jedoch bei der Revolution 1789, kam bei den Napoleoniden wieder zum Vorschein, und wurde von diesen 1830 für 500,000 Franken an den Kaiser von Rußland verkauft (Schriften Kais. Russ. Gesellsch. für Mineral. I. pag. LXIII).

Der Rajah von Mattan auf Borneo soll den größten besitzen, er wurde auf dieser Insel gefunden, eiförmig, von erstem Wasser, über 2 Unzen schwer, Blum sagt 363 Karat. Den größten Ruf genoß jedoch

der Diamant des Groß-Moguls in Delhi, der als Koh-i-noor (Berg des Lichtes) auf der Londoner Industrieausstellung eine Rolle spielte. Nach dem Official Catalogue of the Great Exhibition III. 688 geht bei den Indern die Legende, daß ihn bereits vor 5000 Jahren der Held Karna des Sonnengottes Sohn („eine Achilles- und Siegfriedgestalt“) in dem großen Kriege trug, welchen das Epos Maha-Bharata besingt. Jedenfalls erbeutete ihn der kühne Abenteurer Alaeddin 1306 vom Rajah von Malwa. Als 1665 Tavernier, Ecuyer Baron d'Aubonne (Voyages II. pag. 278), der 40 Jahre im Orient reiste, um Diamanten und Edelsteine zu kaufen, die Schätze des Groß-Moguls besichtigte, war das erste, was ihm seine goldfüßige Majestät höchst eigenhändig überreichte, der große Diamant von 280

Karat Gewicht, und von der Form eines in der Mitte durchschnittenen Eies. Er soll aber früher 793 $\frac{1}{2}$ Karat gewogen haben, ein ungeschliffener venetianischer Steinschleifer verstümmelte und verkleinerte ihn. Zwar stimmt die Abbildung von Tavernier l. c. II. 372. Nr. 1 nicht ganz mit der unsrigen, wie er in London ausgestellt war, doch seine Länge 1" 6 $\frac{1}{4}$ " ist die gleiche, die Höhe 7" geringer, und 1" 2 $\frac{1}{4}$ " die



Breite. Nadir Schach, der Eroberer von Delhi 1739, kam in seinen Besitz und gab ihm den heutigen Namen. Später ging er wieder an den Herrscher von Lahore, und als dieser Staat der englischen Compagnie einverleibt wurde, beschloß dieselbe, den Diamanten der Königin als Geschenk zu überreichen, was am 3. Juni 1850 geschah. Er wog damals noch 186 Karat. Nach der Ausstellung ist er abermals einem Schliff unterworfen, und auf 106 Karat reducirt, aber dafür ein wohlgeformter Brillant geworden. Seine Unterseite ist eben, und entspricht ohne Zweifel einem Blätterbruch, desgleichen die entstellende Fläche o, obgleich der Winkel beider untereinander am Modell etwas kleiner als 109 $\frac{1}{2}$ ° ist. Auffallender Weise hat der große Russische Diamant, welcher 194 $\frac{1}{2}$ Karat schwer die Spitze des russischen Scepters

schmückt (G. Rose Reise Ural I. pag. 50), gleichfalls unten eine ebene Fläche. Dieser soll nach der Sage das Auge eines Indischen Götzen gebildet haben, ist 10''' hoch und 1" 3¼''' lang, und fand sich mit einem andern großen im Thronessel des Schach Nadir von Persien, fiel bei dessen Ermordung in die Hände eines Armenischen Kaufmanns, der ihn in Amsterdam feil bot, und 1772 an Kaiserin Katharina für 450,000 Silberrubel, 4000 Rubel jährliche Leibrente und einen Adelsbrief verkaufte! Dr. Bese (Athenaeum 1851. 718) erzählt uns, daß 1832 bei der Eroberung von Coosha in Khorassan durch Abbas Mirza ein Diamantstück von 132 Karat erbeutet wurde, was früher ein armer Bewohner in seiner Familie als Feuerstein benützt hatte. Dabei wird die Vermuthung geäußert, daß er vermöge seiner Form ein Stück vom Koh-i-noor sein könnte. Tennant (Athenaeum 1852. 1948) wurde dadurch zu der Ansicht geleitet, daß nicht bloß dieser, sondern auch der Russische ein Stück des vielgenannten Groß-Moguls sein könnte, was er durch eine sorgfältige Nachahmung in Flußpath, der ja die gleichen Blätterbrüche hat, veranschaulicht. Dann hätte dieser gewaltige Diamant die Form eines eiförmigen Granatoeders gehabt, etwa von einer Größe, wie sie Tavernier angibt. Wäre er schon so viele Jahrtausende in den Händen der Menschen gewesen, wie die Legende sagt, so würde das der beste Beweis seiner Außerordentlichkeit sein, da es bis jetzt, trotz des vielen Suchens, nicht gelungen ist, einen zweiten auch nur von annähernder Größe zu finden. Vanquier Hope in Amsterdam besitzt als Unicum einen schön blauen Diamant von 77 Karat, und der König von Sachsen einen grünen.

Verworrene krystallinische Massen, die zu vollkommenen Kugeln sich formen, kommen besonders aus Brasilien. Sie haben graue Farbe und Durchscheinheit. Man darf diese nicht mit dem Carbonate aus dem Sande von La Chapada (Bahia) verwechseln, der graulich schwarz, matt, sogar porös und amorph aussieht. Minder spröde, als der krystallinische Diamant, läßt er sich zu beliebigen Stücken formen, die zum Durchbohren der Edelfeine sehr gesucht werden. Ich habe in Oberstein bei den Steinschleifern Stücke von einer Kinderfaust gesehen, wovon man das Karat mit 7 fl. zahlen mußte. Man hält diesen ich möchte sagen smirgelartigen Stein eher für gehärteten Coals als für Diamant. Ein neues Naturgeheimniß (Jahrb. 1853. 597; 1857. 525).

Bourguigne in Paris macht aus Straß Diamanten täuschend nach, namentlich auch geschliffene Otaeder. Sie pflegen aber durchsichtiger als die ächten zu sein, und verlieren nach kurzem Gebrauch Glanz und Glätte, abgesehen von der geringen Härte. Die Rieselerde dazu wird von Rhodé Island geholt.

2. Korund.

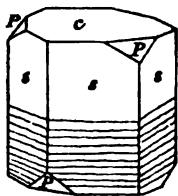
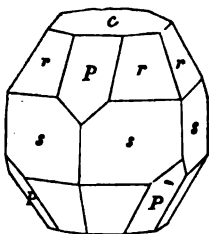
Graf Bournon Philos. Transact. 1802 vereinigte unter diesem Indischen Worte alle Mincrale, die unter dem Namen Sapphir, Rubin, Demantspath, Smirgel zc. zerstreut waren. Es sind darunter die werthvollsten Edelfeine begriffen, welche die Juweliere mit dem Beinamen „Orientalische“

auszuzeichnen pflegen. Nach der Intensität ihrer Farben theilt man sie seit ältester Zeit in männliche und weibliche: jene dunkeler, diese lichter. Ganz versuchte sogar für die edlen einen neuen Namen *Télésio* (vollkommener Körper) einzuführen.

Dreigliedriges Krystallsystem, mit stark dihexaedrischer Ausbildung, ganz wie der mit ihm isomorphe Eisenglanz: deutlich blättriges Rhomboeder P $86^{\circ} 6'$ in den Endkanten, daher

$$a = 0,7344 = \sqrt{0,5393}, lga = 9,86591.$$

Auffallender Weise sind von den drei Blätterbrüchen zwei meist deutlicher, als der dritte, oft kann man den dritten kaum finden, was schon Gann mußte. Die Stücke sehen dann Feldspathartig aus, haben aber auf den beiden deutlichen Brüchen eine Streifung, so daß sie einem Complex von kleinen rhombischen Säulen gleichen. Bei manchen kann man sich entschieden überzeugen, daß die Streifung mit Zwillingbildung zusammenhängt. Die edlen zeigen den Blätterbruch minder deutlich, dagegen nach der Geraden-



fläche $c = c : \infty a : \infty a : \infty a$ gern eine blättrige Absonderung ebenfalls mit Streifung, aber auch hier sucht man die dem dritten rhomboedrischen Blätterbruch entsprechende häufig vergebens. Sehr schöne dreigliedrige Oktaeder kommen beim Rubin vor, die man nicht mit Spinell verwechseln darf. Immer nur die 2te sechsseitige Säule $s = a : \frac{1}{2}a : a : \infty c$ mit Geradenfläche, woran das Rhomboeder die abwechselnden Ecken abstumpft, wird aber leicht stark bauchig. Sehr schön durch Zonen bestimmbar ist das Dihexaeder $r = c : \frac{2}{3}a : \frac{2}{3}a : \frac{2}{3}a$ ($128^{\circ} 3'$ Endkante), welches in der Diagonalzone des Rhomboeders liegt und zugleich die Endkante der 2ten Säule abstumpft. Die Rubine von Ceylon leicht daran zu erkennen. Wenn das Dihexaeder sich ausdehnt, so stumpft daran das Rhomboeder die abwechselnden Kanten ab. Dihexaeder $c : \frac{2}{3}a : \frac{2}{3}a : \frac{2}{3}a$, $c : \frac{1}{2}a : \frac{1}{2}a : \frac{1}{2}a$, $c : \frac{2}{3}a : \frac{1}{2}a : \frac{2}{3}a$.

Zwillinge. Beim grünlichen Korund von China kommen Stücke vor, die nach einer Flächenrichtung c deutliche Blättchen bilden, welche quer dagegen gespalten aus lauter lichten und dunkeln Streifen bestehen. Offenbar Zwillinge, doch kann ich die Stücke nicht so gegen das Licht drehen, daß die dunkeln Streifen lichter, und die lichten dunkel werden.

Härte 9, also nur vom Diamante übertroffen, und von keinem andern erreicht. Darauf beruht die Anwendung der schlechtern Sorten als Schleifmaterial. Gewicht 4 (blaue 3,98, rothe 3,91, weiße 3,98). Allerlei Farben und allerlei Grade von Durchscheinheit, wovon ihr Werth abhängt. Manche blaue sehen quer zur Hauptaxe grün aus, besonders mit dem Dichroskop. Strahlenbrechung 1,77, also stärker als bei Glas, daher auch wohl zu mikroskopischen Linsen vorgeschlagen, allein dann muß die Axe der Linsen genau mit der optischen zusammenfallen, weil sie nach andern Richtungen

doppeltbrechend wirken würden. Die Farbe hat etwas Einfluß auf die Strahlenbrechung. Optisch lazig, aber bei der Drehung geht das Kreuz auseinander.

Al = 53,3 Al und 46,7 Ox. Die ältern Analysen gaben etwas Kiesel-erde an, allein H. Rose hat gezeigt, daß er mit KS^2 zu einer im Wasser vollkommen löslichen Masse schmilzt, was bei Gegenwart von Kiesel-erde nicht der Fall sein könnte. Man muß ihn aber zu dem Ende in eisernen Mörsern stoßen, denn in Achatschalen reibt er Kiesel-erde ab, auch ist das angewandte Kalihydrat leicht Kiesel-erdehaltig. Das feine Pulver wird mit Kobalt-*solution* blau. Da Al in Kalilauge sich löst, und das mit ihr isomorphe Fe nicht, so kann man beide dadurch leicht trennen. Brewster fand zuweilen Flüssigkeiten darin.

Vorkommen. Die gemeinen findet man vorzugsweise in Tuff- und Hornblendgesteinen, die edlen in Vulkan-*gesteinen*, durch deren Verwitterung sie erst in das Schuttland kommen. So daß sie wohl ausschließlich Feuer-*producte* sind. Diese Ansicht wird durch die Darstellung auf künstlichem Wege sehr gestützt. Gaudin (*Compt rend.* 1837. *...*) bereitete sich aus Ammoniakalaun zunächst ein weißes Pulver von reiner Thonerde, schmolz es in einem Kienrußtiegel im Knallgebläse mit 2—3 p. C. saurem chromsaurem Kali: es floß anfangs zu grüner Masse, dann zu rubinrothen Kügelchen, die blättrigen Bruch zeigten und Topas ritzten. Wegen der Schnelligkeit der Krystallisation verloren sie aber alle Durchsichtigkeit. Gmelin (*Compt rend.* 1861. XXXII. *...*) mischte Thonerde mit Borax, und um der Masse mehr Festigkeit zu geben, setzte er Kiesel-erde oder Kohlen-sauren Baryt zu. Das Ganze wurde mehrere Monate lang der Hitze des Porcellan- oder Steingutofens ausgesetzt, und es erzeugten sich nun meßbare Krystalle, von großer Klarheit und schöner Edelsteinfarbe, roth, blau &c.! Deville verflüchtigte Fluoraluminium und Bor-säure in Kohlentiegeln, wo die Dämpfe sich be-*geggen*, entsteht Fluorbor und farbloser Korund. Fluorchrom in kleinen Mengen erzeugte Rubin und Sapphir, in größern gesättigte Smaragd-farbe.

Rubin, karmesinroth, aber gern mit weißen Flecken, die man jedoch durch vorsichtiges Glühen nehmen kann. Wirkt stark auf das Dichroskop. Vor dem Löthrohr zeigt er eine höchst merkwürdige Farbenwandlung, die besonders bei klaren Stücken auffällt: macht man nämlich kleine Krystalle glühend, was man dreist thun kann, da sie nicht zerspringen, so werden beim Erkalten dieselben farblos, dann grün, und zuletzt wieder schön roth. Der Spinell zeigt die grüne Farbe nicht. Unstreitig der werthvollste aller Edel-*steine*, und ohne Zweifel von Theophrast unter Anthrax inbegriffen, der vollkommen unverbrennbar gegen die Sonne gehalten einer glühenden Kohle gleiche, bei Plinius Indischer Carbunculus. Die dunkelfarbigen (männlichen), welche nach Agricola das Auge zittern machen, sind vollkommen rein theurer als Diamanten. Auf der Auction des Marquis de Drée in Paris wurde einer von $2\frac{1}{2}$ Karat für 14,000 Franken verkauft! Pegu in Sinterindien das Land der Rubine. Die Bewohner glauben, er reise in der Erde: anfangs sei er farblos und unreif, werde dann gelb, grün, blau und zuletzt

roth, als dem höchsten Punkt der Reife. Die kleinen von Ceylon sind blaß rosenroth (weiblich), man bekommt diese leicht in größern Mengen aus alten Sammlungen, weil sie früher officinel waren. Viele darunter sind so deutlich krystallisirt, daß man sie leicht von den mitvorkommenden Spinellen unterscheiden kann. Sie liegen im Schuttlande, als Muttergestein gibt Tenent den Dolomit von Dullatotte und Badulla an. Schon Marco Polo sah beim König von Ceylon spannenlange Rubine, welche nach dem Ausdrücke der Singalesen die Farbe des Taubenblutes haben müssen. Zu dem Ende sollen sie die bläulichen in gebrannten Kalk hüllen und stark erhitzen. Nach Stephen (Quaterl. Journ. geol. soc. 1854. X. 202) liefert auch Australien vortreffliche. Rubinglas findet man schon in Eistengravern, und Gläser lassen sich mit Goldpurpur ganz so färben.

Sapphir 2 B. Mosis 24, 10. Das Wort ohne Zweifel hebräischen Ursprungs, doch wurde von Griechen und Römern darunter der Lasurstein begriffen. Unfern nennt Plinius 37. 28 wegen seiner Farbe von Kornblumen *Cyanos*, und unterscheidet schon *mares* und *seminas*. Seine Farbe kann ihm durch Feuer entzogen werden, und dann steht er im Glanz den geschliffenen Diamanten am nächsten. Das Blau könnte von einem kleinen Eisengehalt herkommen, den schon Klaproth auf 1 p. C. *Fe* angab, wenn nicht auch Chrom die Eigenschaft hätte. Auf Ceylon noch häufiger als Rubin. Wir machen gegenwärtig die Farbe mit Kobalt täuschend nach. Die Alten wußten das aber nicht, und doch ist das dunkelblaue Glas der antiken Vase im brittischen Museum mit seinen blendendweißen Vasreliefs von unübertrefflicher Schönheit weltbekannt, auch sagt Plinius ausdrücklich *adulteratur maxime tinctura*, und schreibt diese Kunst des Nachmachens einem Egyptischen König zu.

Sternsapphir (Ragensapphir) von Ratnapura auf Ceylon zeigt symmetrisch über die Axc rundgeschliffen einen sechsstrahligen Lichtstern, der auf der Geradenfläche senkrecht gegen die Seiten steht, und nach Vabinet von einer dreifachen Streifung abhängt. Es kommen auch Rhomboeder vor, deren Endkanten leuchten. Geschiebe mit einfachem Lichtschein sind häufig, deutliche Sterne aber selten. Doch scheint schon Plinius hist. nat. 37. 48 ihn unter *Astrios* (Gütthe, über den *Astrios*-Edelstein. Denkschr. Münch. Akad. 1809). zu begreifen, denn die Worte in *India nascens intus a centro oeu stella lucet* passen vortrefflich auf ihn, und Hausmann suchte es wahrscheinlich zu machen, daß der *Meou-pho-lo-kiu-la-pho* der Buddhisten, welcher sich in den Topen der Indo-Baltischen Königsstraße findet, nicht Ragenauge, sondern Sternsapphir sei.

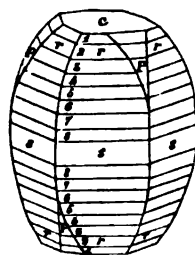
Sapphir spielt leicht in andere Farben über, aber meist blaß, wenn intensiv, so unterscheidet man orientalischen Amethyst, or. Topas, or. Hyacinth; der seltenste aller Steine, besonders mit gesättigter Farbe, ist orientalischer Smaragd 3,95 Gewicht, wahrscheinlich mit viel Chrom gefärbt.

Unter den trüben thun sich besonders die rothen und blauen aus dem Dolomit von Campo longo südlich vom St. Gotthardt hervor, gut krystallisirt, und oft an einem Krystall mit beiden Farben. Eine Seltenheit ist der

blaue Sapphir aus dem Basalt von Unkel und der Mülhsteinslava von Niedermendig, Glanz und Härte unterscheidet ihn leicht vom dortigen Haupn. Da sie öfter in eingewickelten Urgebirgsbrocken liegen, so können es Fremdlinge sein. Die Fierwiese im Riesengebirge, und der Vulkan Couper bei St. Eble (Haute Loire) liefert blaue und grüne Geschiebe. Letztere bilden wegen ihrer besondern Härte in Genf einen Handelsartikel zu Zapfenlagern in Taschenuhren. Bläuliche fast zum Schmucke taugliche Säulen kommen im Granit von Wolfshau bei Krummhübel in Schlesien, im Tals von Kirchmislau in Mähren, im Ural (1828 entdeckt) an verschiedenen Punkten besonders in den Umgebungen des Ilmensees bei Miasst vor. Blöcke von einem dichten bis feinkörnigen Gestein, das weiß und feldspathartig aussieht, aber mit Säure gelatinirt und eine Stapolithartige Zusammensetzung hat, liegen in den Goldsaifen von Barsowskoi bei Ryschtimsk südlich Katharinenburg. G. Rose (Reise Ural II. 150) nannte sie Barsowit. Darin sind lange sechsseitige Säulen von Korund bis zu 3 Decimeter Länge in großer Menge eingesprenkt.

Besonders berühmt seit Greville (Philos. Transact. 1798) sind die schönen einfachen Krystalle aus Ostindien und China. Werner begriff diese vorzugsweise unter dem einheimischen Namen

Korund. Es sind sehr scharf ausgebildete sechsseitige Säulen mit Geradendfläche, woran der Blätterbruch die Ecken abstumpft. Röthliche und bläuliche Farben bei den Ostindischen von Carnatit und Mysore, grünlliche mit der bekannten Streifung von Kanton. Letztere liegen im Indianit pag. 235 mit schwarzer Hornblende und sind sehr blättrig. Oft werden die Säulen auch bauchig, was sich theilweis durch über einander liegende



Dihexaeder erklärt. Phillips bildet nicht weniger als 8 solche an einem Krystalle ab. Die über einander gelagerten Blätter der Geradendflächen stehen nach Mohs öfter in abwechselnder Zwillingsstellung. Demantspath hieß Werner haarbraune Varietäten von China, die sich auf der Geradendfläche durch Streifen nach zwei Richtungen auszeichnen. Ihre Farbe danken sie lediglich der Verwitterung blauer Stücke.

Smirgel (σμίρς) heißt das feinkörnige bis dichte Vorkommen, was zu Pulver gestossen seit uralter Zeit als Schleifmittel dient. Das hebräische Wort Schamir Jerem. 17, 1 (die Sünde Juda sei in seines Herzens Tafeln mit einer Schamirspitze eingegraben) scheint schon auf diesen Stein zu deuten. Gewöhnlich verunreinigt durch Magneteisen 2c. Nazos (Jahrb. 1850. 101) war besonders berühmt, der Pflug fördert ihn dort zu Tage, und noch heute führt man die Blöcke als Ballast ein (Gemmis scalpendis atque limandis Naxium diu placuit ante alia, Plinius hist. nat. 36. 10). Am Ochsenkopf bei Schwarzenberg im Erzgebirge findet er sich in einen harten Talkstiefer eingesprenkt; den durch Eisenglanz verunreinigten von der Insel Guernsey, in Paris zur Spiegelfabrikation benützt, kann man noch kaum für Korund erkennen, wie es überhaupt mit vielen Smirgelsorten im Handel

der Fall ist. Der beste Smirgel wird aus dem Korund gemacht, doch ist auch dieser durch Verwitterung öfter weicher geworden, wie die schmutzig grünlich grauen faustgroßen Krystalle in einem verwitterten Barsowitartigen Gestein von Biella (Mozzo) in Piemont. Dieselben zeigen nicht die Spur von Structur mehr, sind also ganz im Alterbildungsprozeß begriffene Korunde, und oft so weich wie Speckstein.

Anhangsweise erwähnen wir hier auch der Hydrate von Thonerde:

a) Diaspor Hauy, AlH , isomorph mit Brauneisenstein. Von *diapnoles* zerstreuen, weil das Hauy'sche grünlich graue Exemplar unbekannten Fundortes vor dem Löthrohr in feine Stücke zersprang, die flimmernd in der Luft herum flogen. Dieses Stück des Pariser Museums war lange das einzige, bis sich gelblich blättrige Massen 1830 bei Katharinenburg in kleinen Gängen eines smirgelhaltigen Chloritschiefers fanden. Davon sehr verschieden scheinen zwar die klaren grünlich weißen Krystalle vom Kronprinz Ferdinand Erbfolgen bei Schemnitz zu sein, die im polarisirten Lichte Trichroismus zeigen (Pogg. Ann. 61. 311), allein auch hier stimmt die Analyse.

Hauy beschreibt sie als eine geschobene Säule p/p von 130° , deren scharfe Kante durch den deutlich blättrigen Bruch M gerade abgestumpft wird.



Besteter ist gern krummschalig, und gibt der Masse Ähnlichkeit mit breitschaligem Cyanit. Damit stimmt der Schemnitzer Winkel $129^\circ 54'$ (Haidinger) sehr gut, obgleich die Krystalle auf fallend sphärisch gekrümmt sind. Ueber Säule p/p liegt ein Oktaeder $n = a : b : c$, vorn in der Kante $a : c$ $151^\circ 54'$. Eine Zuschärfung der scharfen Säulenkante $s = a : \frac{1}{2}b : \infty c$ macht über dem Blätterbruch M $109^\circ 6'$, und darüber krümmt sich ein zweites Oktaeder o. Darnach würde das System 2gliedrig sein.

Die kleinen tafelartigen Krystalle von Kossobrod (Kosscharow Mater. Min. III. 179) haben das bestätigt. Sie messen p/p $129 \cdot 47$, n/n $151 \cdot 31$, woraus $a : b = 1,552 : 3,312$ folgt mit den Flächen: p 110, n 111, M 010, P 100, x 163, r 512, n 021, m 094, y 120, z 160, l 10 • 10 • 0. Höchst interessant ist das Vorkommen von perlmutterglänzenden weißen Tafeln, welche den Rubinkrystallen von Campo longo ankleben, und von Kenngott (Ueberf. Min. Forsch. 1859. 64) für Diaspor erklärt werden. Man darf sie nicht mit den dortigen optisch lazigen Berglismmern verwechseln. Auch Hr. v. Senarmont (Compt. rend. 1851. 32. 702) gelang es, beide, Korund und Diaspor, auf nassem Wege unter Druck darzustellen.

Härte 5—6, Gew. 3,4. Die Russischen durch Brauneisenoxyd braun gefärbt, derselbe läßt sich aber mit Säuren wegnehmen.

Vor dem Löthrohr anfangs zersplitternd, dann aber widersteht er, und schmilzt kaum an den feinsten Spitzen, die sich mit Kobaltsolution blau färben. Im Mittel 86 Al und 15 H. Die Schemnitzer theilweis ganz klar liegen in einer weißen Steinmarkartigen Gebirgsart, die man Dillnit nach dem Fundorte Dilln genannt hat (Pogg. Ann. 78. 577).

b) Hydrargillit G. Rose (Reise Ural II. 122), im Talkschiefer mit Magneteisen und Chlorospinell bei Slatoust am Ural. AlH^3 , 65,5 Al und

34,5 H. Dihexaedrische reguläre sechsseitige Säulen, mit blättriger perlmutterglänzender Geradenfläche. Ein Dihexaeder stumpft die Endkanten der Säule ab. Die Krystalle aber nur 1—2 Linien groß. Köstlich weiß, in dünnen Blättchen durchsichtig. Härte 2—3, Gew. 2,35. Gibbsit Emmons aus einer verlassenen Brauneisensteingrube von Richmond kommt in traubigen und stalactitischen Ueberzügen vor (Edinburgh phil. Journ. 1822. VII. 288). Er enthält nach Torrey's ausdrücklicher Untersuchung keine Phosphorsäure, sondern 34,7 H. Der Name von ὕδαρ Wasser und ἀργύλλος Thon ist indessen bezeichnender. Freilich wurde er schon von Davy (Phil. Transact. 1805. 102) für Wavellit vorgeschlagen.

3. Chriſtobernſt W.

Der Name kommt zwar schon bei Plinius hist. nat. 37. 20 vor, allein das war nicht der unsrige. Haüy nannte ihn nach seinem innern Lichtschein Eymophane (αὔμα Welle). Die ältern hielten ihn für Chrysolith, aber es ist der drithärteste Stein.

2gliedriges Krystallsystem. Geschobene Säule $z = a : b : \infty$
 $129^{\circ}38'$, der scharfe Säulenwinkel gerade abgestumpft, besonders wird die Fläche der stumpfen Säulenlante $M = a : oob : \infty$ stark längsgestreift, weil eine ganze Reihe von Säulenflächen auftreten, $T = b : ooa : \infty$ nur sehr wenig blättrig. Sehr bestimmt ist das Paar $i = b : c : ooa$ $119^{\circ}46'$ in der Axe c bildend. Legt man die Säulenwinkel z und i zu Grunde, so ist

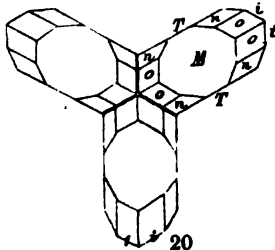
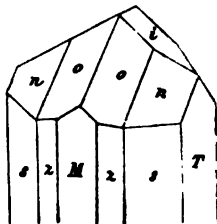
$$a : b = \sqrt{0,6571} : \sqrt{2,972},$$

$$la = 9,90881, lb = 0,23652.$$

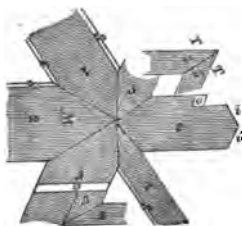
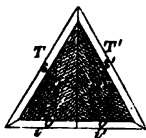
Zwei Oktaeder $o = a : b : c$ und $n = a : \frac{1}{2}b : c$ besonders bei den Sibirischen, zu letzterm bildet $s = a : \frac{1}{2}b : \infty c$ die zugehörige Säule. Schon Haüy erwähnt einer Fläche $f = a : b : \frac{1}{2}c$, auch kommt ein vorderes Paar $x = a : c : \infty b$ vor, so daß zum Oktaeder o alle drei Paare vorhanden sind: seltener m 203, r 130, t 270, v 211, w 122 zc. Lévy und nach ihm die Franzosen stellen die Säule i/i aufrecht.

Drillinge fanden sich in den Smaragdgruben an der Tatowaja von ausgezeichnete Schönheit. Dieselben haben $i = b : c :: o a$ gemein und liegen umgekehrt. Wäre der Winkel i/i genau 120° , wie Haug annahm, so würde beim Durchwachsen durch die Diæderflächen ooo ein vollkommenes Diæder von $86^\circ 16'$ in den Seiten- und $139^\circ 53'$ in den Endkanten entstehen. Die kleine Differenz von $22'$ macht aber, daß zwei anstoßende Flächen o/o nicht genau einspiegeln, sondern einen Winkel $179^\circ 31'$ bilden, ebenso knickt sich die Seitenkante des Diæders um $179^\circ 18'$ heraus, was aber das Auge bei der Rauhgigkeit der Flächen nicht wahrnimmt. (G.

Quenstedt, Mineralogie. 2. Aufl.



Rose Reise Ural II. 279). Wenn $i/i = 120^\circ$ ist, so bilden o 111 mit s 120 genau ein Dihexaeder. Dieser Typus macht sich besonders bei den grasgrünen von Gaddam geltend, die im Albit mit grauem Bergkry stall und rothen Leucitoedern von Granat liegen. Nebenstehende Figur bildet ein knieförmiges Stück, was aus dem gewöhnlichen Zwilling in Folge von Durchwachsung entsteht, wobei immer die Flächen o o' und ii' einspiegeln. Wenn dazu nun ss' kommt, so entsteht ein förmlich rhomboedrisches Ende, dessen federartige Streifung aber den Zwilling beweist.



Drillingen, aber es ist kein Theilchen da, was nicht einem der drei Individuen parallel ginge, wie man an der Streifung auf M leicht sieht. Die äußern Enden verlaufen sich oft unbestimmt im Gestein, und der Zaxige Glimmer legt sich gern in die Fugen von 60° . Durchsichtige Platten haben im polarisirten Lichte einen prächtigen Schein, der das Erkennen erleichtert. Die + optischen Axen liegen in $T = b : \infty a : \infty c$, machen $45^\circ 20'$, Axe c Mittel-

linie. In geschliffenen Ringsteinen gewahrt man die herrlichen Farbenringe mit einem tiefblauen Kreuze, und sehr deutlich $q > v$. Trichroismus (Pogg. Ann. 77. 220).

Härte 8—9, folgt auf Korund, Gew. 3,7 (3,73 Brasilien, 3,69 Sibirien). Strahlenbrechung 1,76.

Be Al³ mit 78 Al, 18 Be, 4,5 Fe. Ebenfalls gänzliche Abwesenheit von Kiesel-erde. Be scheint nach H. Rose (Pogg. Ann. 1848. Bd. 74. 422) mit Al isomorph zu sein, denn setzt man Kohlensäure Verryllerde dem Feuer des Porzellanofens aus, so bildet sich eine zerdrückbare Masse, die unter dem Mikroskop aus kleinen regulären sechsseitigen Säulen besteht, und Ebelmen (Compt. rend. 1851. XIX. 722 und XX. 520) hat sie sogar in Dihexaedern mit Säule und Geradenfläche dargestellt, indem er Kiesel-säure Verryllerde längere Zeit mit Kohlensäurem Kali schmolz. Die Seitenkanten der Dihexaeder maßen $122^\circ 44'$ (beim Korund $122^\circ 22'$). Schmilzt man dagegen Thonerde und Verryllerde mit Vorräure, so kommt zweigliedriger Chrysoberyll sowohl einfach als in Zwillingen. Darnach wären also die Erden isomorph und dimorph. Da Verryllerde mit Pulver von Kohlensäurem Baryt in der Kälte nicht gefällt wird, also eine stärkere Basis als Thonerde ist, so wollte man sie eine Zeit lang sogar für einatomig (Be) ansehen. Sie löst sich in kalter concentrirter Kalilauge, wie die Thonerde, scheidet sich aber in verdünnter durch Kochen aus, wodurch man sie von der Al trennt. Auch Salmiak löst.

a) Spargelgrüner (bis Olivengrüner) als Geschiebe von Ceylon und Brasilien (bis zu 16 Pfund schwer) längst bekannt, aber meist in einfachen Krystallen. Viele darunter zeigen ein bläuliches, wogendes Licht, besonders wenn man von der Axe b nach c hinauf sieht. Brewster fand auf $\frac{1}{4}$ Quadratzoll 30,000 feine Höhlungen, die wohl die Ursache sein könnten. Später fand er sich zu Haddam in Connecticut und in Gneissblöcken am Schinderhügel bei Marischendorf in Mähren, gewöhnlich in Zwillingstafeln und ohne Lichtschein.

b) Grasgrüner (bis Smaragdgrüner), am Tage der Volljährigkeit des russischen Thronfolgers in den Smaragdgruben an der Takowaja 180 Werste östlich Katharinenburg mit Phenakit im Glimmerschiefer gefunden, und da er auch die beiden militärischen Hauptfarben des russischen Reichs roth und grün zeigt, Alexandrit genannt (Schrift. Petersb. Mineral. Gef. 1842. I. pag. CXVI). Stets in Drillingen bis zu $2\frac{1}{4}$ Zoll Durchmesser. Durchscheinend, aber wegen der vielen Sprünge nicht zum Schleifen geeignet. Einem geringen Gehalt von 0,36 Cr verdankt er seine grüne am Tage sehr gefällige Farbe, beim Lichte Abends sieht er dagegen dunkelroth wie Pyrop aus, besonders wenn man parallel der Axe a quer durch M sieht. Das Mineral läßt nämlich nur rothe und grüne Lichtstrahlen durch, die senkrecht auf einander polarisirt sind. Im Tageslicht mischen sich die Farben, und das Grün bleibt überwiegend. Gegen die Flamme oder die untergehende Sonne gehalten, worin die rothen Strahlen vorherrschen, überwiegt dagegen das Roth.

4. Spinell.

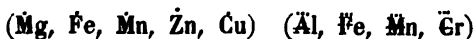
Der Name dieses geschätzten Edelsteins stammt aus dem Mittelalter, bei Leonardi (Speculum lapideum 1533. pag. 28) und Agricola pag. 625 finden wir ihn bereits.

Reguläres Krystallsystem wie Magneteisen. Kleine Oktaeder mit abgestumpften Kanten herrschen bei den edlen, namentlich häufig auch die Zwillinge, welche sich nach einer trigonalen Axe oft auf-fallend verkürzen. Beim schwarzen Ceylanit kommt das Leucitoid a : a : $\frac{1}{2}$ a vor, welches die Oktaederseiten vierflächig zuschärft, Fläche auf Fläche aufgesetzt. Selten das Pyramidenoktaeder a : a : 2a.



Härte 8, Gew. 3,5, Strahlenbrechung 1,8. In der Farbe und der Edelkeit findet eine solche Mannigfaltigkeit Statt, daß man die Sache nur nach ihren Varietäten festhalten kann.

Chemisch steht auf einem Pol die edle Mg Al, auf dem andern das unedle Magneteisen Fe Fe. Trotz dieses namentlich auch durch die Zwillinge begründeten Isomorphismus müssen wir letzteres doch bei den oxydischen Eisenerzen abhandeln. Die chemische Formel in ihrer ganzen Allgemeinheit wäre



a) Edler Spinell Mg Al, Bauquelin gab 5,2 Cr an, und Abich hat wenigstens 1,1 Cr nachgewiesen, woraus die rothe Farbe erklärt werden

könnte. Die Kiesel Erde soll auch hier nach H. Rose durchaus fehlen. Die ältern Analysen sind sehr ungenau, weil das Mineral den Reagentien starken Widerstand leistet. Klaproth mußte es durch zweimaliges Glühen mit der 10fachen Menge von kausischem und kohlensaurem Kali aufschließen, Professor Abich wandte zuerst kohlensauren Baryt mit Glück an, und fand 69 Al und 26 Mg. Die rothen Krystalle erhitzt werden zwar farblos, aber nicht grün, wie der Rubin; erkaltet nehmen sie ihre Farbe wieder an, bekommen jedoch leicht Risse.

Farblose Oктаeder können mit Diamanten verwechselt werden, haben aber nicht den starken Glanz, wohl aber das Gewicht 3,52.

Rubin-Spinell steht in Farbe dem Rubin nahe, kann zwar ganz dunkel werden, aber das Feuer erreicht er nicht, abgesehen von der geringern Härte.

Balas-Rubin (rubis balais) ist blaß roth, Ballagius a pallido colore, hat gern einen Stich ins Blau, was namentlich an den Kanten der Oктаeder hervortritt. Schon Marco Polo sammelte davon auf seiner Reise zum Großchan am Ende des 13ten Jahrhunderts in der Provinz Balaschia am obern Oxus, wo sie in der Erde gesucht wurden. Freilich mögen dabei auch Rubine gewesen sein.

Almandin-Spinell einen starken Stich ins Violette, aber blaß.

Rubicell hyacinthroth, verläuft sich nicht selten ganz ins Strohgelbe.

Man bekommt besonders die rothen sehr leicht, da sie früher officinell waren. Sie sollen meist aus dem Sande von Ceylon stammen, der mitvorkommende Rubin kann oft kaum von ihnen unterschieden werden. Die Oктаeder von allen Graden der Durchscheintheit haben meist nur 1—3''' Größe.

b) Blauer Spinell, nur halbedel, man kann an ihm den blättrigen Bruch des Oктаeders gut erkennen. Es ist ein mattes Blau. Er wurde zuerst bei Äters Eisenwerk in Södermanland gefunden, wo er in Kalkspath eingesprengt vorkommt. Berzelius gab darin 5,5 Si an. Nicht minder schön findet er sich in Suffex-County (New-York) ebenfalls im Kalkspath. Seine oktaedrische Form mit Zwillingen läßt keinen Zweifel über. Dagegen ist Gieseke's

Sapphirin aus dem Glimmerschiefer von Fiskenaes in Grönland unsicherer, denn er soll nach Stromeyer 14,5 Si enthalten. Seine blauen kurzen etwas blättrigen Strahlen sprechen auch nicht für reguläres System. Hausmann stellt ihn aber hier hin. 3 Mg Al + Al Si.

c) Schwarzer Spinell (Mg, Fe) Al (Ceylanit Br., Pleonast Hy.). Der Gehalt an Eisenorydul steigt zuweilen auf 20 p. C. Im reflectirten Licht sammtschwarz, Splitter zeigen aber oft einen Stich ins Grün. Das Gewicht steigt auf 3,8 und die Härte nimmt ein wenig ab. Zuerst lernte man mehr als Zollgroße Krystalle mit löcheriger Oberfläche aus dem Sande von Candy auf Ceylon (daher Candit) kennen. Bei uns sind die Fassathaler vom Monzoniberg am bekanntesten, auf Drusenräumen eingesprengt in grünen Augit. Die Oктаeder haben die Flächen a : a : $\frac{1}{2}a$. Es kommen hier After-

Krysalle von einer grauen Meerschäumartigen Masse vor, die 2 Zoll, während die frischen meist nur wenige Linien Durchmesser erreichen. Glasweg (Kerngott Ueberf. Min. Forsch. 1858. 157) hat sie analysirt, aber 31 Si, 30 Ca, 17 Al, 12 Mg, 6 H zc. gefunden. Das Fassungstein hat außerordentliche Aehnlichkeit mit den mehr glasigen Augitblöcken von der Somma am Vesuv, worin die ganz gleichen schwarzen Oктаeder sitzen. Man darf sie nicht mit den gleichglänzenden Granatoedern des Melanit verwechseln. Klein kommen sie in den glasigen Feldspathblöcken am Laacher See vor. Als Geschiebe auf der Fferwiese im Riesengebirge. Gehlanitoktaeder von Amity in New-York erreichen 3½ Zoll Durchmesser.

Chlorospinell G. Rose sind grasgrüne an den Ranten durchscheinende Oктаeder aus dem Talkschiefer mit Magneteisen von Slatoust im Ural. Härte 8, Mg (Al, Fe), kann bis 14,7 Fe enthalten, welches die Al vertritt, unwesentlich ein kleiner Gehalt an Kupferoxyd bis 0,62 Cu. Grüne Spinelle kommen in Mähren zc. vor.

d) Zinkspinell (Zn, Fe, Mg) Al mit 30 Zn, 5,8 Fe, 3,8 Mg, 55 Al. Eteberg entdeckte ihn auf der Eric Matts-Grube bei Falun, wo er in grünen Talkschiefer neben Blende und Bleiglanz eingesprenkt ist, und nannte ihn Automolit (*αὐτόματος* Ueberläufer), weil er zu den oxydischen Erzen führt, Hausmann's Gahnit. Die grünlich schwarzen Oктаeder zeigen einen gut erkennbaren Blätterbruch, sind der Härte nach (7—8) noch vollkommene Spinelle, das Gewicht geht bis auf 4,6. Sein Pulver mit Soda auf Kohle behandelt gibt einen Zinkrauch. In Nordamerika sind zu Haddam, Franklin zc. ähnliche gefunden. Den grünlich schwarzen von Sterling (New-Yersey) mit gelblich braunem Granat und Hornblende im Kalkspath hat Thomson Dysluit (*δυσλῖν* schwerlösen) genannt. Er enthält 16,8 Zn nebst Mangan und Eisen, also (Zn, Fe, Mn) (Al, Fe, Mn). Robell's Kreittpnit von Bodenmais (Zn, Fe, Mn, Mg) (Al, Fe) ist grünlich schwarz mit 26,7 Zn. Da wird es wohl nicht möglich, eine feste Gränze zu ziehen.

Zippe's grünlich schwarzer Hercinit von Hoslau ohnweit Ronsberg im Böhmerwald soll Fe Al sein. Blöcke von Trapp in der Dammerde enthalten ihn wie Smirgel eingesprenkt, als solcher wird er auch verkauft. Alle diese Oктаedrischen Minerale haben eine Edelsteinhärte, die über Quarz liegt, während das Magneteisen weit darunter bleibt.

Gbelmen hat gezeigt, wie man solche Varietäten künstlich bis ins Endlose vermehren könne (Compt. rend. 1851. XXXII. 220): derselbe setzte Al und Mg mit Vorsäure mehrere Tage in Platinkapseln dem Porzellanfeuer aus, und erhielt deutliche Spinelle. Den Zinkspinell Zn Al konnte er auf diese Weise ganz rein, farblos und durchscheinend darstellen und durch etwas Cr schön rubinroth machen. „Kein Zweifel über die Möglichkeit, den Rubin-spinell für den Handel zu fabriciren.“ Auf der Industrieausstellung zu Paris 1855 waren sie ausgestellt.

Die Leichtigkeit, mit welcher dieser Edelstein zu einer meerschäumartigen

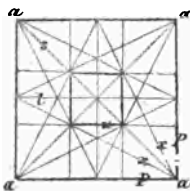
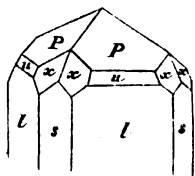
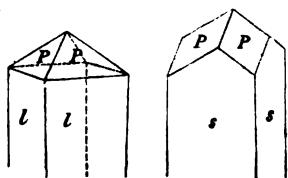
Masse verwittert, fällt auf: Hermann's Böttnerit von Slatoust, Shepard's Poughite mit 24 Al, 44 Mg, 26 H sollen solche Afterskristalle sein (Silliman Amer. Journ. 12. 361).

5. Zirkon.

Verstümmelt aus dem französischen Jargon (falscher Edelstein) weil er sich leicht farblos brennt, und dann Diamanten fälschlich untergeschoben wird. Werner erhob ihn zu seinem Zirkon-Geschlecht, und machte zwei Species Zirkon und Hyacinth daraus. Hyacinthos Plinius hist. nat. 37. 41 war jedoch ein amethystfarbiger Stein.

4gliedriges Krystallsystem. Das Quadratoctaeder $P = a : a : c$ hat $123^\circ 19'$ Endkanten- und $84^\circ 20'$ Seitenkantenwinkel, gibt

$$a = 1,561 = \sqrt{2,438}, \lg 0,19354.$$



Dauber (Pogg. Ann. 107. 275) fand nach vielen Messungen $123^\circ 20'$. Die Zirkonsäule $l = a : a : \infty c$ herrscht besonders bei den gemeinen Varietäten, während die Hyacinthsäule $s = a : \infty a : \infty c$ die edlen Oктаeder dem Grana-toeder ähnlich macht. Meist kommen beide Säulen an einem Oктаeder vor. Dazu tritt bei den gemeinen vom Ilimengebirge, Friedrichs-wärn u. noch das dreifach schärfere Oктаeder $u = 3c : a : a$. $P/u = 153^\circ 15'$, selten $v = 2c : a : a$. Hat man diese durch Messung bestimmt, so läßt sich der Vierkantner $x = c : a : \frac{1}{2}a$ leicht deduciren, weil er die Endkante des Oктаeders u zuschärft und zugleich in der Endkante des Hauptoktaeders liegt. Seltener sind die Vierkantner $y = a : \frac{1}{2}a$, $z = a : \frac{1}{2}a$, auch das nächste stumpfere Oktader $c : a : \infty a$ wird angegeben, die Geradenfläche $c : \infty a : \infty a$ erwähnt Kokscharow.

Härte 7—8, hohes Gewicht 4,68. Es kommen die verschiedensten trüben Färbungen vor, am gewöhnlichsten braungelb und hyacinthroth, aber im Feuer veränderlich. Die von Grpailly und Norwegen phosphoresciren.

Zr Si mit 66,4 Zr und 33,6 Si. Klaproth entdeckte darin 1789 die Zirkonerde, welche nach dem Mineral benannt wurde. Unschmelzbar, und selbst von wässriger Flußsäure nur wenig angegriffen. Auffallend ist die Leichtigkeit, mit welcher sich manche edle und unedle weiß brennen. Ceylonische Hyacinthen darf man nur aus der Ferne der Löthrohrflamme nahe bringen, so sind sie mit einem Ruck weiß, es sieht fast aus wie ein leichtes Auf-glühen, und Henneberg behauptet, ihr Gewicht steige dann von 4,61 auf 4,71. Es gibt eine lösliche α und eine unlösliche β Zirkonsäure, α wird in β durch Erhitzen übergeführt. Das erinnert an Eigenschaften der Kiesel-

säure pag. 186, und da 2 Vol. Chlorzirkoniumdampf 4 Vol. Chlor enthalten ($Zr Cl^4$), so will man jetzt Zr schreiben, also Zirkon = $Zr Si$.

Ueber die Verbreitung spricht sich Fr. Lamnau (Zeitschrift deutsch. geol. Ges. 1854. VI. 250) des weiteren aus, nimmt mindestens 100 primitive Lokalitäten an, die sich vorzugsweis auf Ur- und Vulkangebirge vertheilen.

a) *Hyacinth*, vielleicht *Pynturion* des Theophrast; doch hält es Dioscorides (Mater. med. 2. 100) für Bernstein. Orangefarbig, vom Granat durch stärkern Glanz und höheres Gewicht unterscheidbar. Im Feuer gewinnt er an Glanz, verliert aber auch Farbe, daher Jargon de Ceylon, weil solche gern Diamanten untergeschoben werden. Im Flussande von Ceylon mit Spinell und Rubin, auf der Pferdewiese in Böhmen, und besonders in einem Bache bei Expailly ohnweit Puy in der Auvergne, wo sie in einem vulkanischen Muttergestein liegen, doch schließt das Gestein auch Granitbrocken mit Krystallen ein (Gilbert's Ann. 69. 22). Im Basalt von Unkel und des Siebengebirges bei Bonn stecken vereinzelte Hyacinthkrystalle von schönster Farbe. Das fällt auf, da sie im Feuer sich so leicht weiß brennen.

b) Trübfarbige Geschiebe von Ceylon: gelblich, grünlich, bläulich, röthlich bis ins schwärzliche. Die gerundeten sind zwar schwer erkennbar, allein es finden sich darunter immer noch deutliche 1ste quadratische Säulen, auch wohl mit octaëdrischer Endigung, die uns in den Stand setzen, selbst das gänzlich Abgerollte glücklich zu sondern. Auch diese brennen sich vollkommen farblos. Besonders schön kommen ähnliche eingesprengt im Kalkspath des Urgebirges von New-York (Hammond) vor. Völlig klar und farblos sind die sogenannten weißen Hyacinthen vom Wildkreuzjoch im Pfiffersthal, wo sie auf Allochroit im Chloritschiefer mit Epidolithkrystallen sitzen.

c) Gemeiner Zirkon mit gelblich brauner Farbe, die zweite Säule von eigenthümlicher Rauhgkeit. Gew. 4,53. Eingesprengt in den Sphenit von Friedrichswärn, und im Eläolithgestein von Laurwig und des Ilmensees bei Miassk, die um und um gebildeten Krystalle können 17 Centimeter lang und 8½ Pfund schwer werden. Im Ural sehr verbreitet, daher auch in vielen dortigen Goldsaifen, zwar meist nur mikroskopisch, aber wegen ihres großen Glanzes doch leicht erkennbar. Ein höchst bemerkenswerthes Vorkommen bilden die blaßbläulichen Octaeder im glasigen Feldspathgestein mit Nephelin von der Somma und dem Rachersee. Letztere sollen am Tageslicht bleichen (Jahrb. 1845. 144). Daubrée fand kleine Krystalle im Sande der Mosel bei Metz, und im Granitgrus der Vogesen (Jahrb. 1852. 200 u. 1856. 244). Im Schriftgranit vom Berge Zbiar bei Böhmischem Eisenberg liegen schwarze Krystalle mit 110 und 111. Nesselbraun zu Kossie bei New-York mit Kalkspath und geflossenem Quarz.

Verstehtit Forchhammer (Pogg. Ann. 35. 200) auf Augit mit Titanit von Arendal scheint ein in Zersetzung begriffener gemeiner Zirkon, da Form, Glanz und gelbbraune Farbe ganz mit Zirkon stimmen, nur gibt er 5,5 H und hält neben 2 Mg, 2,6 Ca, 69 mit Titansäure gemischte Zirkonerde. Daher auch nur 3,6 Gewicht, und knapp Feldspathhärte. Scherer's

Malakon (Pogg. Ann. 62. 436) aus Granitgängen von Sitterde mit Gadolinit bildet sehr scharfe Krystalle 100 mit 111, hat aber 3 H, daher Gew. 3,9, Härte 6 (deshalb *μαλακος* weich genannt). Nach dem Glühen steigt das Gewicht auf 4,2. Innen die Farbe milchblau. Ohne Zweifel Verwitterungsproducte, obgleich Hr. Descloizeaux im Schriftgranit von Chanteloube (St. Vienne) kleine Krystalle mit $124^{\circ} 40'$ fand. Auch der Auerbachit $\text{Zr}^2 \text{Si}^3$ von Mariupol $122^{\circ} 43'$ scheint dem ächten Zirkon außerordentlich nahe zu stehen, wie der Ostranit von Brevig.

Zirkonerde kommt außerdem gern in Begleitung von Titansäure vor: Aeschinit $17,5 \text{ Zr}$, Wöhlerit $17,6 \text{ Zr}$, Eubalyt 17 Zr , Polymignyt 14 Zr , Polyfras, Tantalit von Chanteloube. Ewanberg (Pogg. Ann. 65. 317) glaubt, daß Zr aus mehreren Erden bestehe, eine davon nennt er Norerde (Nore der alte Name für Norwegen).

6. Topas.

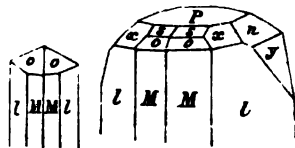
Der Name stammt aus dem Alterthum, Agatharchides 130 ant. Chr. (Periplus Rubri maris) nennt im Rothen Meere eine Schlangensinsel (*ὄφιδον*), da suche man Nachts auf Befehl des Königs den leuchtenden *τοπαζίον*; durchsichtig dem Glase ähnlich habe er in Gold gefaßt ein gar liebliches Ansehen. Plinius hist. nat. 37, 32 versteht darunter einen grünen Stein, der auf jener von Nebel eingehüllten Insel Topazos im Rothen Meere gefunden werde, und davon seinen Namen habe; topazin heiße in der Troglodyten-Sprache suchen. Man hat nun gemeint, dieser Edelstein (*suo virenti genere, cum reperta est, praelatae omnibus*) sei unser Chrysolith gewesen, dagegen Chrysolithus des Plinius (hist. nat. 37. 42 *aureo fulgore translucentes . . . in collatione aurum albicare quadam argenti facie cogunt*) unser heutiger Topas. Indes schon Agricola nat. foss. 623 sagt, *auri autem fulgor topazion a callaide pallidius virente separat*. Dionysius Periegetes (Vers 1121) heißt ihn bläulich und klar.

Zweigliedriges Krystallsystem von ausgezeichneter Entwicklung. Rhombische Säule $M = a : b : \infty c$ $124^{\circ} 20'$ ($124 \cdot 17$ Kofsch.) durch Längstreifung oft sehr entstellt. Der Geradenfläche $P = c : \infty a : \infty b$ entspricht ein Blätterbruch noch deutlicher als beim Kalkspath, derselbe verläßt sich gewöhnlich durch Quersprünge in der Säule, und wenn er wie gewöhnlich als Krystallfläche auftritt, so zeigt er eine auffallende Rauigkeit. Noch ausgedehnter als M/M ist häufig die Zuschärfungsfläche ihrer scharfen Kante $l = a : \frac{1}{2}b : \infty c$ mit $86^{\circ} 52'$ vorn. Wegen dieser Winkel nannte Weiß passend jene M/M Hornblendsäule, diese l/l Augitsäule. Da die Gipfel von den Krystallen wegen des Blätterbruchs gern wegspalten, so trifft man in Brasilien, Muska in Kleinasien u. gar gewöhnlich diese einfachen Formen. Bei den Schneckensteinern und Nertschinsk'schen herrscht am Ende ein etwas blättriges Paar auf die scharfe Kante aufgesetzt $n = b : c : \infty a$ $92^{\circ} 45'$ in der Kante über c . Legt man das Oblongoktaeder M in der Axenrechnung zu Grunde, so kommt

$$a : b = 0,5539 : 1,0492 = \sqrt{0,3069} : \sqrt{1,1008},$$

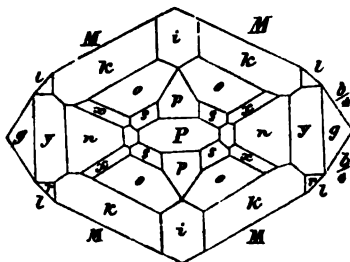
$$\lg a = 9,74347, \lg b = 0,02085.$$

Unter n findet sich meist noch das Paar $y = \frac{1}{2}b : c : \infty a$. Wenn man von diesen Achsen ausgeht, so bekommt freilich von den zwei die Kante P/M abstumpfenden Oktaedern das untere gewöhnliche, bei den Säulen von Brasilien, Muska zc. sogar oft bloß die



einzige Endigung bildend, den Ausdruck $o = c : 2b : 2a$, doch schließen sich daran das obere Oktaeder $s = c : 3b : 3a$, und das untere $k = c : b : a$ gut an, obgleich letzteres Hauptoktaeder nur selten beobachtet wird, ausgezeichnet am Ätnensee. Jene Moßsische Grundform o hat in der vordern Endkante $141^\circ 7'$, in der seitlichen Endkante $101^\circ 52'$, in der Seitenkante $90^\circ 55'$. Bei den Sächsischen ist $x =$

$c : 3a : \frac{1}{2}b$ häufig, sie stumpft die Kanten zwischen n/o und P/l ab. Nehmen wir dazu, was Kotzschmarow an Russischen Krystallen bekannt machte, so haben wir folgende Uebersicht: Hexaid $P 001$, $b 010$, die dritte, welche die stumpfe Säulenkante M/M abstumpfen würde, noch unbekannt; Oktaid $k 111$; Dodekaid $M 110$, $n 011$, $i 101$; Leucitoide $r 121$, $o 112$; $s 113$, $f 114$;



Pyramidenhexaide $l 120$, $y 021$, $\beta 012$; $u 130$, $p 103$; $z 230$, $e 023$, $\delta 032$; $v 140$, $g 041$; $\gamma 087$; $\mu 122$; $x 123$; $t 135$; $\pi 136$; $q 143$. Die Krystalle sind gewöhnlich mit dem einen Ende aufgewachsen, daher gehören um und um gebildete zu den Seltenheiten. Doch finden sie sich zu Abontschilon an beiden Enden gleich krystallisiert. Zwillinge unbekannt.

Topashärte 8, Gewicht 3,5 (3,56 Ruß., 3,52 Draf.), man sagt genau das des Diamantes, deshalb sind auch die klaren damit verwechselt worden, allein ihr Glanz entschieden geringer.

Reibungselektricität ist „besonders bei einigen sächsischen Topasen so beträchtlich, daß die geringste Reibung mit dem Finger schon hinreicht, eine kleine kupferne Nadel merklich anzuziehen.“ Thermoelektrisch und terminalpolar nach Hauptaxe c sind die Russischen (Hantel Pogg. Ann. 61. 280), centralpolar nach Seitenaxe a die Brasilianischen: und zwar liegen die antilogen Pole am Ende von a in dem stumpfen Kantenwinkel der Säule, die analogen in der Mitte des Blätterbruchs.

Doppelte Strahlenbrechung erkannte schon Hant: er benutzte die Fläche $n = b : c : \infty a$ und schloß die gegenüberliegende scharfe Säulenkante durch $b : \infty a : \infty c$ ab, dadurch bekam er ein Prisma mit dem ungefähren Brechungswinkel von 46° , das eine Nadel bei einigen Zoll Entfernung verdoppelte. Die Ebene der optischen Axen liegt in $a c$, Axe c bildet die + optische Mittellinie. Man darf sie nur nach dem Blätterbruch P spalten, um sofort Verniscaten im Polarisationsmikroskop zu bekommen.

Bei brasilianischen Geschieben kann man auch mit der Turmalinmange Ringssysteme erkennen. Der Axenwinkel variabel. Elasticitätsaxen $a : b : c = 1,00922 : 1,01186 : 1$. (Rudberg Pogg. Ann. 17. 1).

Vor dem Löthrohr unschmelzbar, nur in strengem Feuer sich mit kleinen Blasen überziehend. Analysen schwierig, weil man wegen eines starken Fluor-gehaltes leicht Verluste bekommt. Nach Forchhammer $5 \text{ Al Si} + 2 \text{ Al Fl}^s$; gibt, wenn man das Aluminium als Thonerde in Rechnung bringt, 55 Al, 35,5 Si, 17 Fl (Summa 107,5). Rammelsberg schreibt die Formel $6 \text{ Al}^s \text{ Si}^2 + (3 \text{ Al Fl}^s + 2 \text{ Si Fl}^s)$, worin im 2ten Theile der Formel der Sauerstoff von Aluminium und Silicium bloß durch Fluor vertreten ist.

Mit dem Topas beginnen wegen der Häufigkeit seines Vorkommens die Edelsteine mittlerer Sorte. Man kennt klare Krystalle von vielen Pfund schwer. Im krystallinischen Urgebirge, auf Erzgängen und in vulkanischen Gesteinen wird er gefunden, und ist von hier auch in das Schuttland gerathen. Nach Farbe und Klarheit macht man etwa folgende Unterabtheilungen:

1) Farblose, Pingos d'agua (Wassertropfen), von einer Klarheit und Politurfähigkeit, wie sie der Bergkrystall nicht erreicht, finden sich als Geschiebe im mittlern Gebiet des Rio Belmonte (Minas novas), und man weiß nicht wo sie anstehen. Sie haben häufig einen Stich ins Grün. Uebrigens muß man sie vorsichtig von ähnlichen Quarzgeschieben unterscheiden, der Blätterbruch leitet dabei öfter unmittelbar. Es gibt nichts Klareres als solche Wassertropfen, sie werden daher auch zu Brillengläsern zerpalten und geschliffen. Der öfter genannte Diamant im Schätze des Königs von Portugal von Hühnereigröße (1680 Karat) und auf 57 Mill. Pfund Sterling geschätzt soll nichts weiter als ein solches Topasgeschiebe sein. Auch in Neuholland kommen grünliche und gelbliche vor. Untersucht man Splitter von letztern, so zeigen sie bei starker Vergrößerung vielerlei Höhlen, aus welchen Flüssigkeiten über die Ebene der Bruchflächen fließen (Brewster Pogg. Ann. 7. 400). Die kleinen wasserhellen Topase von Miasik im Almenebirge „übertreffen durch ihren Flächenreichtum alle andern bekannten.“ Sie kommen im Granit mit Amazonenstein vor. Ähnliche auf den Bergen von Nertschinsk um und um krystallisirt.

2. Sibirische Topase von grünlicher Farbe (Aquamarin) und großer Klarheit. Je grüner, desto deutlicher wirken sie auf das Dichroskop. Sie werden in der Umgebung des Dorfes Mursinsk (Alabaska 13 Meil. nördlich Katharinenburg) im Granit gebrochen und in Katharinenburg verschliffen. Die Pracht und Größe ist unübertroffen. Im Gebirge Abontschilon 15 Meilen südlich Nertschinsk scheint die Mannigfaltigkeit am größten zu sein. Dort stammen die schönen Drusen mit Rauchtopas durchwoben her, deren schmutziggrünes Dach n/n am Ende vorherrscht. Den schwersten von $31\frac{1}{2}$ Z bewahrt die Sammlung des Bergcorps zu Petersburg. Besonders prachtvoll sollen die klaren wein- bis honiggelben von dort sein. In den Bergen des Flusses Uralga (Transbaitalien) wurde ein solcher von reichlich 10" Länge, 6" Breite und $25\frac{1}{2}$ Z Schwere gefunden, und vom Kaiser der

Sammlung übergeben. Der obere Theil ist vollkommen durchsichtig (Rof-scharow Mater. II. 222 u. III. 272).

3. Brasilianischer Topas, braungelbe Säule von verschiedener Klarheit, vorsichtig in Asche geglüht werden sie blaß lilafarbig und roth (Brasilianische Rubine), das färbende Eisenoxydhydrat könnte sich dabei in Eisenoxyd verwandeln, doch ist Brewster (Gilbert's Ann. 65. 14) gegen diese Erklärungsweise, und Delesse (Compt. rend. 1860. 51. 226) hält es sogar für Bitumen. Sie sind wegen ihres angenehmen Lichtes sehr geschätzt. Für das Dicrostoskop von hohem Interesse, wie wir pag. 130 sahen. Sie liegen in Steinmarktschnüren der Meiereien von Capão do Lana und Boa Vista bei Villa Rica, wo jährlich an 18 Ctr. bergmännisch gewonnen und in Rio Janeiro und Bahia verschliffen werden.

4. Sächsischer Topas, blaß weingelb, aber sehr politurfähig. In einem Walde auf dem Voigtlande bei Auerbach erhebt sich eine 80' hohe Gneisnadel, der Schneckenstein, worin Bauern (Fentel Acta physico-medica 1737. IV. pag. 216) den „Schnecken-topas“ längst kannten (Reyher Neueste Reise pag. 1312). Das Gestein ist ganz von Topasmasse durchdrungen, und Krystalle von wenigen Linien Größe liegen in Menge herum. Doch haben sich auch einzelne Individuen von 4" Länge und 2" Breite darunter gefunden. Im grünen Gewölbe von Dresden zeigt man davon die prachtvollsten Garnituren. Schon in gelindem Feuer brennen sie sich weiß, in starkem verlieren sie Glanz und Durchsichtigkeit, und mehrmals in kaltem Wasser abgelscht werden sie ganz mürbe. Werner nannte die flasrige Gebirgsart von körnigem Quarz und wenig schwarzem Turmalin durchzogen Topasfels, Breithaupt (Leonh. Jahrb. 1864. 107) zählt sie zur Zinnerzformation, Zinnstein kommt darin wenn auch selten vor. Wie schon Plinius von seinem Chrysolith sagt: funda includuntur perspicuae (à jour gefaßt), ceteris subijcitur aurichalcum, so legt man noch heute sächsischen Topasen eine Goldfolie unter. In Indien kommen saffrangelbe vor, besonders schöne zu Muckla in Kleinasien.

5. Bemerkenswerth aber zum Schlift meist unbrauchbar sind die Drusen auf Zinnsteinstöcken des Erzgebirges (Zinnwalde, Altenberg) und Cornwallis, im Lithionglimmer von Roschna, mit Zinnstein sogar in Auswürflingen des Besufs. Sie haben meist schmutzigweiße Farbe. Nordamerika, Schottland, das irländische Mourne-Gebirge u.

6. Gemeiner Topas. Verliert Klarheit und Schönheit der Farbe, aber der Blätterbruch bleibt immer noch deutlich, und derbe Massen gewinnen dann nicht selten ein Feldspathartiges Ansehen: am bekanntesten die graulich weißen mit Andeutungen von rohen Krystallflächen, welche Gahn im Ganggranit des Gneises von Finbo und auf dem mit erraticen Blöcken bedeckten Felde Broddbo bei Falun entdeckte. Es sind daselbst Stücke 27 & schwer gefunden. Die feinsten Splitter bedecken sich bei sehr starkem Feuer mit kleinen Blasen, welche zerplagen, daher Pyrophysalith genannt. Daubrée (Compt. rend. 1851. XXXII. 622) glückte es, künstliche Topase darzustellen.

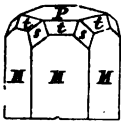
Phykit Haug (πυκνός dicht) wurde lange mit Beryll verwechselt (schörlartiger Beryll Wrn.). Er kommt in derben strahligen Massen mit grauen

Epithionglimmern gemengt auf Zinnsteinstöcken besonders zu Altenberg auf dem Erzgebirge vor. Derselbe ist grünlich gelb und stellenweis von Eisenoxyd roth geflammt. Den Blätterbruch senkrecht gegen die strahligen Säulen kann man zwar darstellen, allein er ist durch schiefe Quersprünge unkenntlich gemacht, und die spröde Masse läßt sich auf Härte nicht sicher prüfen. Er zeigt dabei fast genau die Zusammensetzung des Topases, nur gibt er vor dem Röthrohr leichter Blasen, wahrscheinlich wegen seines etwas größern Fluorgehaltes (18,5 Fl.). Ohne Zweifel ein in Zersetzung begriffener Topas.

7. Beryll.

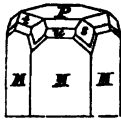
Beryllus Plinius hist. nat. 37. 20 poliuntur omnes sexangula figura artificum ingenio . . probatissimi ex iis sunt qui viriditatem maris puri imitantur. Daher nennen ihn die Steinschleifer noch heute vorzugsweise Aquamarin. *Βρυλλιον* Diodorus Siculus.

Sechsgliedriges Krystallsystem mit vollkommener Vollzähligkeit der Flächen, wie es zuweilen vorkommt. Die erste sechseckige Säule $M = a : a : \infty a : \infty c$ herrscht immer vor, mit starken Längsstreifen. Die zweite Säule $n = a : \frac{1}{2}a : a : \infty c$ stumpft öfter die Kanten der ersten bei den smaragdgrünen ab. Dagegen eine 6 + 6kantige Säule $i = a : \frac{1}{2}a : \frac{1}{2}a : \infty a$ nur selten bei sibirischen beobachtet. Durch die Fülle dieser Flächen werden die Säulen förmlich cylindrisch. Dagegen fehlt es meist an Endflächen. Der Geradenfläche $P = c : \infty a : \infty a : \infty a$ entspricht ein schwacher, aber doch gut erkennbarer Blätterbruch. Wenn außerdem Endflächen vor-



kommen, so ist es das Dihexaeder $t = a : a : \infty a : c$ mit den Rhombenflächen $s = a : \frac{1}{2}a : a : c$, die freilich auch nicht immer vollzählig auftreten. Da das Dihexaeder t $151^{\circ} 5'$ Endkanten und $59^{\circ} 53'$ Seitenkanten hat, so ist

$$a = 2,0057 = \sqrt{4,0139}, \lg a 0,30205.$$

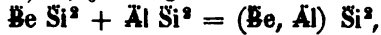


Ein zweites Dihexaeder $u = a : a : \infty a : \frac{2}{3}c$ liegt unter t in der Diagonalzone von s . Selten aber vollständig der 6kantner $x = a : \frac{1}{2}a : \frac{1}{2}a : c$, welcher die Kanten M/s an jedem Ende 12mal abstumpft. In dieser Kantenzone liegen ferner: $v = a : \frac{1}{2}a : \frac{1}{2}a : c$ u. $\omega = a : \frac{1}{3}a : \frac{1}{3}a : c$; über s die $o = a : \frac{1}{2}a : a : \frac{1}{2}c$. Dihexaeder $a : a : \infty a : 2c$, $a : a : \infty a : \frac{2}{3}c$; Sechskantner $k = a : \frac{1}{2}a : \frac{1}{2}a : 2c$, $z = a : \frac{1}{2}a : \frac{1}{2}a : \frac{2}{3}c$. Nertschinsk und Ural lieferten die flächenreichsten Krystalle. An beiden Enden auskrystallisirte gehören zu den größten Seltenheiten, und wenn sie vorkommen, so zeigen sie wie Turmalin Neigung zur Hemiedrie (Rosch. I. 187).

Seine Härte streift schon an die Quarzhärte 7—8, sie lassen sich sogar noch leichter als Bergkrystall durchschneiden, Gewicht 2,7, Glasglanz, und ob er gleich noch gemeiner als Topas ist, so nimmt er doch klare Färbungen an, die öfter auf das Dichroskop gut wirken. Das optische schwarze Kreuz öffnet sich etwas beim Drehen.

Vor dem Röthrohr schmilzt er schon wenn auch schwierig zu trübem

Glafe. Bauquelin entdeckte 1797 darin die Beryllerde. Nach vielem Schwanken gibt man ihm jetzt die Formel



da beide Basen mit einander isomorph sind. Etwa 13,4 Be, 16,8 Al, 69,7 Si. Beryllerde trennt sich nach Chr. Smelin aus ihrer verdünnten Auflösung in Kali durchs Kochen von Thonerde. Häufiger Begleiter des Topases, aber auch sonst reichlich im krystallinischen Urgebirge.

1. **Smaragd**, *σμάραγδος* Herodot., Theophrast, Plinius. Zamarrut der Araber. Eimeraude Franz., Emerald Engl. Verdankt seine smaragdgrüne Farbe einem Chromgehalt, der bis auf 3,5 Gr steigen kann. Mit Flußspath zusammen geschmolzen eine Türkisgrüne Perle. Daß die Alten den wirklichen Smaragd kannten, beweisen die in den Ruinen Roms gefundenen Zierrathen, auch kommen sie als Schmuck Aegyptischer Mumien vor, und Plinius sagt eruuntur circa Copton oppidum Thebaidis collibus excavatis, wo Cailaud im Gebirge Zabarah südlich Cossair sogar die alten Gruben wieder gefunden haben wollte. Doch scheint sich die Sache nicht ganz zu bestätigen (Beilage Allg. Zeitung 1844, Nro. 347). Dagegen hat Allen auf einer Insel im Rothen Meere Werkzeuge aus Sesostris Zeiten (1650 a. Ch.) gefunden (Kunngott Uebers. Mineral. Forsch. 1853. 103). Im Alterthum stand er nach Plinius hist. nat. 37. 16 im höchsten Ansehen: *tertia auctoritas* (1 Diamant, 2 Perlen) *zmaragdis perhibetur pluribus de causis, quippe nullius coloris adspectus jucundior est . . . nihil omnino viridius comparatum illis viret. Praeterea soli gemmarum contuitu implent oculos nec satiant . . . non sole mutati, non umbra non lucernis . . . Nero princeps gladiatorum pugnas spectabat in zmaragdo.* Nun werden aber eine Reihe grüner Steine angeführt, die offenbar nicht Smaragde waren, darunter auch die schon von Theophrast genannten Obeliskien in einem Aegyptischen Tempel, welche aus 4 Smaragden von 40 Ellen Länge und 2—4 Ellen Breite bestanden! Nach Herodot 3, 41 war der Ring des Polykrates pag. 206 ein Smaragd.

Im Mittelalter findet man ihn schon in alten Kirchenschätzen des 8ten Jahrhunderts, in der Tiara des Papstes eine Säule von 1 Zoll Länge und $\frac{1}{2}$ Zoll Dicke, die bereits zur Zeit Papst Julius des zweiten sich zu Rom befand. Erst durch die Entdeckung von Peru wurden sie häufiger, daher gewöhnlich *Peruanischer Smaragd* genannt. Die Incas verehrten einen in der Größe eines Straußenei's, aber die Spanier bekamen ihn nicht, auch konnten die ergiebigsten Fundorte im Mantathale bei Porto Biego nicht wieder aufgefunden werden. Die Hauptgruben finden sich heutiges Tages im Tunka-Thal (Quindiu- oder Neugranabafette zwischen Cauca und Magdalena ohnweit Carthago), wo er im Kalkspath bricht, der Gänge im Thonschiefer bildet. Eine Handgroße Druse mit noch nicht Fingerdicken Krystallen bedeckt wurde 1818 für 22,000 Rubel in Petersburg ausgebaut. Säulen von 22 Linien Länge und 20 Linien Dicke gehören schon zu den bedeutendsten. Daher war die Freude groß, als ein Köhler 1830 im Walddistrikt 12 Meilen nordöstlich Katharinenburg beim Ausgraben von Baumwurzeln im Glimmerschiefer an der Takomaja Smaragde entdeckte, die in Begleitung von Beryll,

Chrysoberyll und Phenakit bei tiefern Schürfen im schönsten Grün hervor-
kamen. Nun schienen die Worte des Plinius hist. nat. 37, 17 wahr: nobilissimi Scythici . . . nullis major austeritas, nec minus vitii. Quantum zmaragdi a gemmis distant, tantum Scythicus a ceteris zmaragdis. In der Sammlung des Kaiserl. Bergcorps findet sich ein Krystall von 8 Zoll Länge und 5 Zoll Dicke! Rokscharow gibt sie auf 40 Centimeter Länge und 25 Dicke an. Lévý (Compt. rend. 1857. 45. 877) leitet die Farbe der Peruanischen vom Bitumen her, wie die des dortigen grünen Gypses! Die Probe mit Flußspath scheint dem jedoch zu widersprechen. Es stimmt das Uralische Vorkommen vollkommen mit jenem an der Sedl-Alpe im Habachthale des obern Pinzgau (Salzburg), doch sind die Krystalle hier meist unrein und klein. Ville (Bulet. geol. Franc. 1855. XIII. 20) entdeckte Smaragdlager im Kalkstein des Harrachthals zu Algier.

Das Dichroskop zerlegt die Farbe deutlich in Smaragd- und Meergrün, wodurch man sie leicht von gefärbten Gläsern unterscheidet. Auch ist die Farbe in den Säulen oftmals schichtenförmig parallel der Geradenfläche so vertheilt, daß verschiedene Schichten weit schöner gefärbt sind, als die übrigen Stücke, und die Farben gränzen in scharfer Ebene ab. Der Werth hängt wesentlich mit von der Reinheit der Krystalle ab. Namentlich leiden sie sehr an Trübe und Sprüngen.

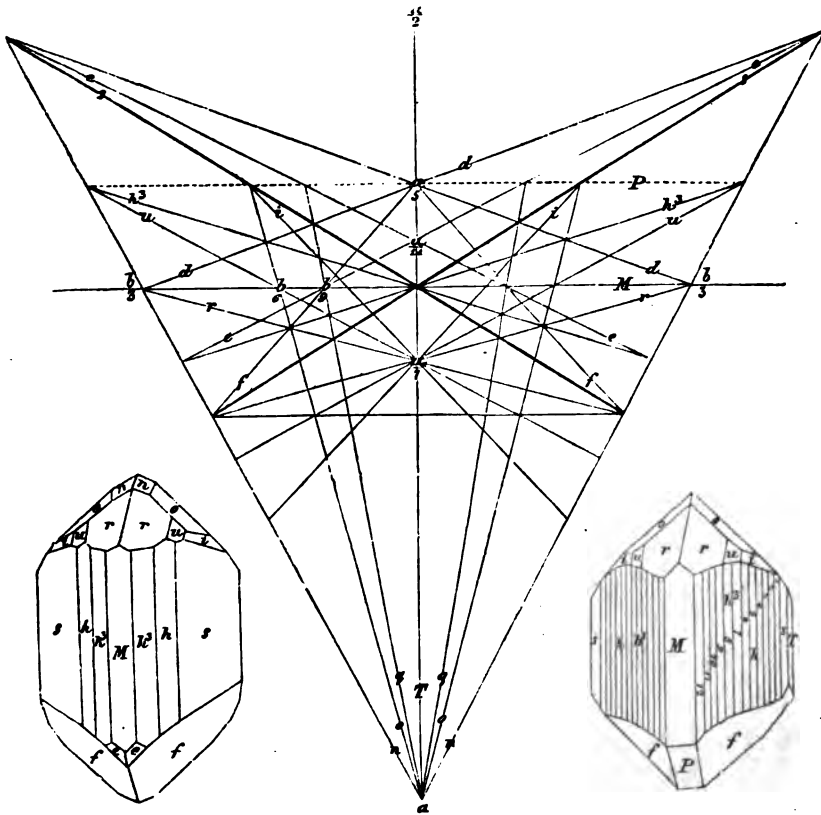


2. Edler Beryll, hauptsächlich von Meergrüner Farbe (daher Aquamarin von den Steinschleifern genannt) verläuft einerseits stark ins Blau, andererseits stark ins Gelb. Pallas machte besonders auf die prachtvollen Krystallsäulen des Gebirges Abontschilon aufmerksam, von woher ihn vielleicht schon die Alten über Bactrien holten. Seit 1723 werden sie im dortigen Granit geschürft, sind mit Eisenocker überzogen und vom Topas, schwarzen Bergkrystall, Arsenikkies, Wolfram u. begleitet. Die himmelblauen vom Altai zeichnen sich durch Größe (1 Meter lang) aber nicht durch Schönheit aus. Am Ural von gelber und Meergrüner Farbe sitzen die schönsten in Drusenräumen des Schriftgranits von Mursinsk neben Schörl und Topas; bei Schaitansk werden die kurzen Säulen rosenroth bis farblos, und neben den Topasen der Miasker Hütte liegen wieder große aber minder klare. Diese haben scharfe Dihedraeder $2a : a : 2a : mc$, die Hr. Rokscharow jedoch nicht genau bestimmen konnte. Solche „Bunten Steine“ sammeln die dortigen Bauern, und verkaufen sie an Schleifer und Mineralogen: 1828 wurde bei Mursinsk ein gelblich grüner vollkommen klarer Krystall gefunden von 10“ Länge und $11\frac{1}{4}$ “ Umfang. Er liegt in der Sammlung des Bergcorps und ist auf 42,830 Rubel Silber geschätzt! Das gibt für die Schleifereien zu Katharinenburg ein vortreffliches Material. Die Gemmen sind gewöhnlich länglich, indem man von der größern Ausdehnung der Säule profitirt. Bereits viel gemeiner als Topas. In Brasilien hat man eine durchsichtige Säule von 15 Z Schwere gefunden. Lévý (Descr. min. II. 87) rühmt die Grube Gangahum, im Distrikt Coimbatoo von Ostindien. Ein geschliffener Stein von 6 Unzen habe 500 Z Sterling gekostet, lasse aber in Beziehung auf Klarheit nichts zu wünschen über. Allerdings muß man ihre große Politur-

fähigkeit bewundern. Die stärker gefärbten wirken auch sichtlich auf das Dichroskop, und man kann mittelst desselben die Richtung der Hauptaxe selbst an geschliffenen Steinen noch bestimmen.

3. Gemeiner Beryll, zwar noch krystallisirt in einfachen Säulen mit Geradendfläche, aber vollkommen trüb, von schmutziger Farbe und häufig sehr rissig. In Deutschland sind besonders die grauen und ölgrünen Säulen im Quarz vom Rabenstein bei Bodenmais bekannt, die schon Flurl 1792 beschreibt (Beztl. Denkschr. Münch. Akad. 1809. 115). Aehnlich zu Rosenbach (Langenbielau) in Schlesien. Selten im Granit von Heidelberg. Zu Limoges in Centralfrankreich sind armdicke Krystalle, man benutzt sie zur Darstellung der Beryllerde, ihre Streifung läßt sie leicht mit Bysnit verwechseln. Blöcke von Brodabbo, Sätersberg bei Modum, Mournegeb. in Irland. Zu Ponserada in Gallicien sollen sie so kolossal sein, daß man die Krystalle wie Basaltsäulen zu Thürpfosten benutze, ja in den Granitadern von Grafton (N. Hampshire) finden sich Säulen mit Dihexaederen von 6' Länge, reichlich 1' Dicke und gegen 3000 Z. Schwere! Die gemeinen werden durch Verwitterung zu Rosenbach talkartig weich.

Gussas Haup, *szklaw* leichtbrechen, weil er wegen seines ausgezeich-



neten Blätterbruch leicht zerspringt. Wir verdanken Weiß eine ausführliche Darstellung dieses verwickelten 2 + 1gliedrigen Krystallsystem's (Abb. Berl. Akad. 1841. 240). Derselbe entwirft unabhängig von allen Winkeln eine Projectionsfigur, entwickelt ganz allgemein die Ausdrücke der Flächen mit Buchstaben bloß aus den Zonenverhältnissen, und zeigt dann, welchen Werth μ und ν haben müsse, um zu den einfachsten Arenausdrücken zu kommen. Damit ist der Beweis geführt, daß nicht Grundformen, sondern der Zonenzusammenhang der Flächen das Wesen bilden. Schabus (Denkschriften Wien. Akad. Wiss. 1852, Band VI. 57) liefert eine Monographie. Seine gefundenen Winkel weichen nur wenig von den bekannten ab.

Eine Säule $s = a : b : \infty c$ macht $114^\circ 50'$ (115° Schabus), ihr stumpfer Winkel vorn ist zwar durch viele Flächen zugespitzt, Phillips gibt allein 12 an, aber keine schärft den scharfen zu, dieser bleibt selbst mit dem Handgoniometer gut meßbar. Nur ein Blätterbruch $T = b : \infty a : \infty c$, deutlicher als beim Topas, stumpft die scharfe Säulenkante gerade ab. Haüy läßt ihn in Hinsicht auf Deutlichkeit auf Gyps folgen. Derselbe erzeugt einen starken innern Lichtschein. $M = a : \infty b : \infty c$ stumpft die stumpfe Säulenkante ab, allein die Neigung von Flächenbildung zwischen s und M ist so groß, daß man öfter auf ihr auch noch eine Knickung längs der Are c gewahrt. Von den 12 Flächen zwischen M und s zeichnet sich $h^3 = \frac{1}{2}a : b : \infty c$ öfter durch Größe und etwas rauhe Längsstreifung aus, sie macht vorn $144^\circ 33'$ in der Säule; $h = \frac{2}{3}a : b : \infty c$ $133^\circ 50'$ zc.

Am Ende steht auf der Hinterseite (nach Haüy die vordere) ein meist sehr ausgedehntes augitartiges Paar $f = \frac{1}{4}a' : \frac{1}{2}b : c$, seine schiefe Kante $c : \frac{1}{4}a'$ von 106° ($105 \cdot 49\frac{1}{2}$ Sch.) wird durch den nicht sonderlich deutlichen 2ten Blätterbruch $P = c : \frac{1}{4}a' : \infty b$ gerade abgestumpft. Meist kommt auf dieser Seite nichts weiter vor, nur selten findet sich eine Zuschärfung der Mediankante durch $d = c : \frac{1}{4}a' : \frac{1}{2}b$, oder wohl gar $e = \frac{1}{4}a' : \frac{1}{2}b : c$ die Kante M/f abstumpfend. Auf der Vorderseite herrschen dagegen zwei Reihen Paare über einander, die untere Reihe: $r = \frac{1}{2}a : \frac{1}{2}b : c$ ($156^\circ 12'$), $u = \frac{1}{2}a : \frac{1}{2}b : c$, $i = \frac{1}{2}a : \frac{1}{2}b : c$; die obere $n = a : \frac{1}{2}b : c$ ($143^\circ 50'$), $o = a : \frac{1}{2}b : c$, $q = a : \frac{1}{2}b : c$.

Legen wir bei der Berechnung der Arenemente den Säulenwinkel $s/s = 114^\circ 50'$, die stumpfen Winkel der Augitpaare $f/f = 106^\circ$ und $n/n = 143^\circ 50'$ zu Grunde, so ist $\text{tg } 57^\circ 25' = \frac{b}{a}$; $\text{tgo } 53 = \frac{b}{9a} \sqrt{(5 \pm k)^2 + a^2}$;

$\text{tg}_1 71^\circ 55' = \frac{b}{3a} \sqrt{(1 \pm k)^2 + a^2}$. Nach Anleitung von pag. 64 folgt

hieraus $\pm k = \frac{\frac{3}{2}\text{tg}_1^2 - \frac{2}{3}\text{tgo}^2}{\text{tg}^2} + 2$, $a^2 = \frac{9\text{tg}_1^2}{\text{tg}^2} - (1 \pm k)^2$, $b = a \text{tg}$.

Folglich

$a : b : k = 5,789 : 9,058 : 0,0178 = \sqrt{33,515} : \sqrt{82,049} : \sqrt{0,00317}$
 $\lg a = 0,76262$, $\lg b = 0,95704$, $\lg k = 8,25042$.

Da k positiv ist, so liegt der stumpfe Arenwinkel $A/c = 90^\circ 10\frac{1}{4}'$ auf der

Borberseite. Eine so unbedeutende Abweichung darf man ganz vernachlässigen. Dann ist es für die grobe Demonstration ganz passend, bei der Haupt'schen Stellung stehen zu bleiben: eine Säule s/s mit einer blättrigen Schiefenfläche P, und einer Abstumpfung der scharfen Kante durch T. P und T bilden die beiden auf einander senkrecht stehenden Blätterbrüche wie P/M beim Feldspath, nur daß beim Eufas umgekehrt T deutlicher ist als P. Da ferner die Augitpaare ff und r/r vorzugsweise herrschen, so würden diese schiefen Ären einen passenden Ausgangspunkt bieten. Dagegen folgen Schabus und Kotscharow (Pogg. Ann. 1858. 103. 247) dem Mohs, und gehen von r 111 und d 1'11 aus, dann ist $A : b : c = 0,971 : 3 : 1$, $A/c \ 79^{\circ} 44'$ auf der Borberseite. M 100, T 010, t 001; P 1'01, n 011, N 110; s 120, L 130, β 230, δ 320, l 340, ε 410, h 650, z 910, η $16 \cdot 1 \cdot 0$, o 021, q 031, 041, 061, g 102, z 1'04, a 1'12, 1'21, u 121, f 1'31, i 141, b 1'42, e 2'31, c 1'52, ω 1'73, x 1'82, ν 323, m 5'93, k 2' \cdot 23 \cdot 4, p 2 \cdot 14 \cdot 5, y 18' \cdot 29 \cdot 3. P/c 49 \cdot 8, Kante r/r zu Äre c $39^{\circ} 10\frac{1}{4}'$.

Härte 7—8, Gew. 3, Strahlenbrechung: gewöhnl. Strahl 1,64, ungewöhnl. 1,66. Farbe Meergrün, Werner sagt licht Berggrün. Wirkt ziemlich auf das Dichroskop.

Die optischen Ären liegen nach Biot im 1sten Blätterbruch, die Mittellinie geht der Kante P/T, also dem 2ten Blätterbruch P parallel. Ärenwinkel $49\frac{1}{2}^{\circ}$. Da Eufas nun fast so leicht als Gyps springt, so kann man sich die dünnsten Blätter verschaffen, welche die Farbe dünner Gypsblätter zeigen.

Vor dem Löthrohr wird er in starkem Feuer weiß, schmilzt an dünnen Kanten etwas blumenkohlartig an und schmilzt.

(Be + Al)⁴ Si³, 24 Be, 32,4 Al, 43,7 Si.

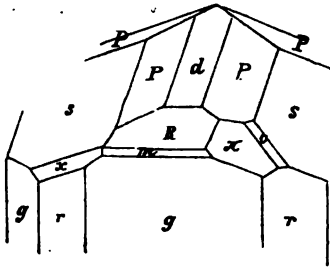
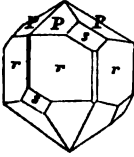
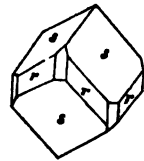
Nach Damour Be⁶ Al³ Si⁴ H³ und isomorph mit Datolith; auffallend 0,7 Zinnorpd. Dombey brachte ihn aus Peru, soll aber aus der Gegend von Villaricca in Brasilien stammen (Lévy Descr. Minér. II. 88), wo er in der Nachbarschaft der Topase auf besondern Steinmarktschnitten vorkommt. Denn in den Topasfäcken, welche die Londoner Juweliere aus Brasilien erhalten, finden sich zuweilen einzelne. Trumbull in Connecticut. Sehr merkwürdig ist der neuere Fund in den Goldsaifen (Kammeno-Pawlowskaja) am Flusse Sanarka Gouv. Orenburg, wo er wie in Brasilien mit gelben und rosenrothen Topasen, Rutilzwillingen 2c. vorkommt (Kotscharow Mater. III. 97).

Phenakit (φένας Eugner, weil man ihn anfangs für Quarz gehalten). Nordenskjöld (Pogg. Ann. 31. 57) erkannte ihn in den Smaragdgruben an der Tafowaja im Ural, Beyrich (Pogg. Ann. 34. 519 und 41. 522) zu Framont im obern Breuschtal im Brauneisenstein der Grube Mine jaune. Am Flächenreichsten sind die kleinen Krystalle von Miasl mit Amazonenstein. Vergleiche auch die Angabe von der Cerro del Mercado bei Durango (Jahrb. 1858. 788).

3 und 6gliedriges Krystallsystem. Ein etwas blättriges Rhomboeder $s = a : a : a$ von $116^{\circ} 40'$ ($116 \cdot 36$ Kotsch.) in den Endkanten würde

$$a = \sqrt{2,295} = 1,515, \lg a = 0,18040$$

geben. Daran stumpft stets die 2te Säule $r = a : \frac{1}{2}a : a : \infty c$ die Zickzackanten ab, während die erste $g = a : a : \infty a : \infty c$ nur ausnahmsweise und schwach auftritt. Solche einfachen Krystalle kommen von mehr als Faustgröße und rings ausgebildet im Glimmerschiefer des Urals vor. Bei den viel kleinern Bogefischen herrscht als Ende der Säulen ein mattes Dihexaeder $P = 3a : \frac{1}{2}a : 3a : c$ mit $156^\circ 46'$ in den Endkanten, welches die Endkanten des Rhomboeders zuspitzt. Niemals eine Geradenfläche vorgekommen, und da sich s zu P wie die Rhombenfläche zum Dihexaeder beim Quarz verhält, so ist eine auffallende Analogie zwischen beiden nicht zu verkennen. Beyrich glaubt sogar Trapezflächen beobachtet zu haben, was



die **Masster** Krystalle vollkommen bestätigen: außer den gewöhnlichen Flächen s 111, r 120, g 110, P 123, wieß Hr. Kotscharow (Water. II. 322) wirkliche Trapezflächen $x = a : \frac{1}{2}a : \frac{1}{2}a : c$ nach, die Kante r/s zur Linken abstumpfend, und in die Diagonalzone von $m = a' : a' : \infty a : 2c$ fallend. Auch das Gegenrhomboeder $R = a' : a' : \infty a : c$ ist da, und $d = a' : a' : \infty a : \frac{1}{2}c$ stumpft die abwechselnden Endkanten von P ab.

Fläche $\pi = a' : \frac{1}{2}a' : \frac{1}{2}a' : \frac{1}{2}c$ in Zone s/m und R/g kommt auch tetartoedrisch vor, höchstens bildet es mit seinem andern Viertel einen dreikantner 2ter Ordnung, der seine stumpfe Endkante wie die Flächen R liegen hat, dagegen wird $o = a' : \frac{1}{2}a' : a' : \frac{1}{2}c$ in Zone π/s und P/r nur viertelflächtig angegeben.

Zwillinge: zwei Individuen haben die Axe c gemein und durchgewachsen sich. Das Dihexaeder kann zwar in diesem Falle keinen Zwilling geben, aber die Rhomboeder zeigen einspringende Winkel. Zwillinge bei Framont häufig. Wollte man $P = a : a : \infty a$ und $s = a : \frac{1}{2}a : a$ wie beim Quarz schreiben, so müßte die Dihexaederaxe $A = a\sqrt{3} = \sqrt{6,885}$ sein, wie man leicht aus einer Projection sieht.

Härte 8, Gew. 2,98, gewöhnlich trübfarbig, bei Framont gelblich von Brauneisen, am Ural selten blaß rosenroth, wasserhelle haben starken Glanz.

Be Si mit etwa 55 Si und 45 Be, daher das schwererereichste Mineral.

Beryllerde (Wodjew Bogg. Ann. 56. 101) spielt außer in vorstehenden 3 Edelsteinen und dem Chrysoberyll mit 18 Be noch im Leucophan 11,5 Be, Selwin 10 Be, Gadolinit 9,6 Be eine Rolle.

8. Turmalin.

Sein Name soll Ceylanisch sein. In einem merkwürdigen Buche (Curiose Speculationes bey Schlaflosen Nächten — zu eigener nächtlicher Zeitverkürzung, aufgezeichnet von einem Liebhaber, der Immer Wern Speculiret. Leipzig 1708) wird erzählt, daß Anno 1703 die Holländer einen von

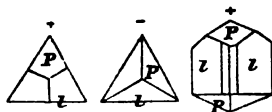
Beylan kommenden Edelstein, Turmalin oder Turmale genannt, nach Holland brachten, welcher die Eigenschaft habe, daß er die Turffasche auf der heißen Turffkohle nicht allein, wie ein Magnet das Eisen, an sich ziehe, sondern auch solche Asche zu gleicher Zeit wieder von sich stoße. Er wurde deswegen von den Holländern Aschentrecker genannt. Schörl ist der alte bergmännische Name, doch verstand man darunter auch Basalt, Hornblende u. Brückmann (Beitr. Edelst. 2te Forts. 1788. 100).

Rhomboedrisch. $P = a : a : \infty a$ $133^{\circ} 26'$ in den Endkanten nach Haüy gibt

$$a = \sqrt{5,077}.$$

Da aber die neuern Angaben zwischen $132^{\circ} 50'$ und $133^{\circ} 50'$ schwanken, so könnte man $a = \sqrt{5}$ setzen, was $133^{\circ} 10'$ geben würde. Blättriger Bruch kaum wahrnehmbar. Das nächste stumpfere und schärfere Rhomboeder $n = 2a' : 2a' : \infty a$ und $o = \frac{1}{2}a' : \frac{1}{2}a' : \infty a$ häufig; seltener das 2te schärfere $r = \frac{1}{2}a : \frac{1}{2}a : \infty a$; noch seltener aber die Gegenrhomboeder $z = a' : a' : \infty a$, und dessen stumpferes $g = 2a : 2a : \infty a$, doch gibt sie Haüy bei grünen Brasilianischen an. Bei einem Brasilianischen maß G. Rose $\frac{3}{2}a' : \frac{3}{2}a' : \infty a$, bei einem hyacinthrothen von Gouverneur in New-York $\frac{1}{2}a' : \frac{1}{2}a' : \infty a$. Geradenfläche $k = c : \infty a : \infty a : \infty a$ findet sich besonders ausgezeichnet bei den großen Krystallen von Zwiesel und Hörlberg im Bayerischen Walde. Beide Säulen $l = a : a : \infty a : \infty c$ und $s = a : \frac{1}{2}a : a : \infty c$ fehlen nie, allein sie werden häufig durch Streifung entstellt und cylinderförmig. Selten ist eine 6 + 6kantige Säule meßbar, wie $a : \frac{1}{2}a : \frac{1}{2}a : \infty c$ an norwegischen Turmalinen (Aphrizit). Dagegen kommen mehrere ausgezeichnete Dreikantner vor: $t = a : \frac{1}{2}a : \frac{1}{2}a$, $u = \frac{1}{2}a : \frac{1}{2}a : \frac{1}{2}a$, beide die Kante P/s abstumpfend und erster Abtheilung; $x = a' : \frac{3}{2}a' : 2a'$, $v = a' : \frac{1}{2}a' : \frac{1}{2}a'$, beide aus der Diagonalzone des Hauptrhomboeders P und zweiter Abtheilung.

Hemiedrie, schon von Haüy erkannt, bildet eine der merkwürdigsten Erscheinungen am Turmalin, und steht ohne Zweifel mit der Pyroelektricität in engstem Zusammenhange. Zunächst wird die 1ste sechsseitige Säule l dreiseitig, indem die parallelen fehlen und die 2te Säule nur untergeordnet auftritt. Kommt dazu dann das Hauptrhomboeder, so bildet dasselbe am analogen (—) Ende gleichschenklige Dreiecke, am antilogen (+) symmetrische Trapeze. Einen solchen Krystall beschreibt G. Rose von Ceylon. Häufig kommen schwarze von der gleichen einfachen Form zu Haddam in Connecticut und auf Rhode Island vor. Indes gilt das Gesetz nicht durchgreifend, wie die kleinen ringsum ausgebildeten Krystalle im Granit am

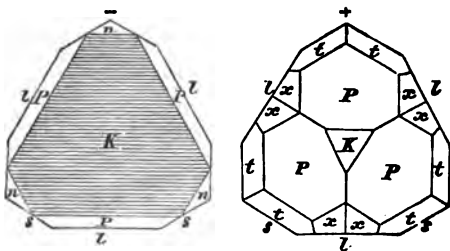


Sonnenberge bei Andreasberg beweisen. Man hat früher Bergbau darauf getrieben, weil man sie fälschlich für Zinnstein hielt. Hier herrscht nun zwar die 2te sechsseitige Säule s, allein bei vielen sind nur die abwechselnden Kanten durch l abgestumpft, welche in der Deutung der Pole leiten sollten. Aber hier



liegt umgekehrt der analoge Pol an dem Ende des drüsigen Hauptrhomboeders P, während der antilige dem flächenreichern Ende mit o und P, wozu öfter auch noch r kommt, angehört. Sobald nun Krystalle diesem ähnlich sind, wie die von Haddam in Connecticut, besonders aber die prachtvollen über Zoll großen von Bovey Trachy in Devonshire, so findet man leicht, unbekümmert um die dreiseitige Säule, das drüsige Ende mit P als dasjenige, welches dem negativen Pole entspricht.

Je complicirter die Krystalle, desto auffallender werden die Unterschiede



an beiden Enden. Beistehende Horizontalprojection gehört zu kleinen grünen Krystallen von **Chursdorf** in Sachsen P 111, k 001, l 110, s 120, n 1'12, t 131, x 2'32. Das analoge (—) Ende zeigt vorherrschend die Geradendfläche, welche sogar schon ein anderes Aussehen

hat, als die vom + Pole. Die scharfe Ausbildung der dreiseitigen Säule 1 leitet uns auch hier zur richtigen Beurtheilung. Haüy meint, daß das flächenreichere Ende stets + sei, und das trifft hier wie oben zu. Fast nur krystallinisch bekannt, aber mit der größten Neigung zum Strahligen und Fasrigen. Quarzhärte, etwas weicher, Gewicht 3—3,3. Farblos bis Sammtschwarz, dazwischen allerlei bunte Farben, und selbst an verschiedenen Theilen eines und desselben Krystalls verschieden gefärbt. Optische Axe negativ, das Kreuz spaltet sich bei der Drehung (Venzsch Pogg. Ann. 108. 645).

Gewisse Turmaline polarisiren das Licht vollkommen, daher früher Turmalinzingen pag. 121 so wichtig. Mit dem Dichroskop kann man die gut polarisirenden sogleich erkennen, von den gelben und grünen wird das eine Bild ganz dunkel und selbst undurchsichtig, bei farblosen und lichtgefärbten tritt nur eine lichtere Trübung ein, bei verschiedener Färbung. Auffallend ist auch der Grad der Durchsichtigkeit schon mit bloßem Auge: quer gegen die Hauptaxe c sind die Krystalle am durchsichtigsten, schief oder parallel der Hauptaxe werden sie trüb. Nimmt man z. B. eine Platte aus der Turmalinzinge, und dreht sie während des Durchsehens um die Axe c, so bleibt sie immer gleich durchsichtig, aber um eine Linie senkrecht darauf gedreht, wo man allmählig nach der Richtung c durchsieht, wird sie schnell dunkel. Es ist dieß das einfachste Mittel, um die ungefähre Richtung der optischen Axen zu finden, und geschliffene Gemmen sofort zu unterscheiden.

Pyroelectricität pag. 146. Turmalin erlangt zwar auch durch Reiben positive Electricität, allein wichtiger als dies ist die polare des edlen, welche viele Physiker beschäftigt hat. Schon Theophrast 50 spricht von einem Lynx , der wie Bernstein Stroh und kleine Spähne anziehen solle. Ob das Turmalin war? Wenigstens wird er auch feuerfarbig genannt, wie die Ceylanischen. Die Holländer hießen ihn 1703 Aschentrecker. Lémery (Histoire Acad. roy. scienc. 1717. pag. 7) nennt ihn zwar Magnet, hebt aber die Unter-

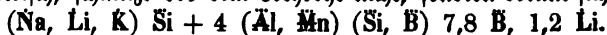
schiede von gewöhnlichem Magnet schon richtig hervor, Vinné gab 1747 zuerst den Namen Lapis electricus, und Aepinus (Brewster Pogg. Ann. 2. pag. 297) wies 1756 die Richtigkeit der Vinné'schen Benennung durch genauere Versuche nach. Haüy deutete bereits auf den Zusammenhang der Krystallform mit dieser Eigenschaft hin. In neuern Zeiten haben sich Köhler, Hanke und G. Rose (Pogg. Ann. 39. 200, Abh. Berl. Akad. Wissensch. 1843. 66) der Untersuchung zugewendet, und im allgemeinen den Haüy'schen Satz bestätigt, daß am flächenreichern Ende **positive**, am flächenärmern **negative Elektricität** entstehe, woraus denn auch hervorgeht, daß die elektrische Axe mit der krystallographischen c zusammenfällt. Uebrigens sind die farbigen, rissfreien, besonders die klaren (von Elba) viel stärker elektrisch, als die schwarzen rissigen. Werner unterschied daher gemeinen und elektrischen Schörl. Nach Haüy ist zwischen 30° — 80° R. die Elektricität am stärksten, weiter erhitzt hört alle Elektricität auf, was man leicht wahrnimmt. Natürlich muß, wie schon Bergman und Becquerel gezeigt haben, die Temperatur im Stein sich verändern, also entweder ab- oder zunehmen. Bricht man ihn während des Experiments entzwei, so ist jedes Stück gleich wieder polar-elektrisch. Gauguin (Ann. Chim. Phys. 57. *) zeigt, daß die Menge der Elektricität dem Querschnitt der Säule proportional sei, unabhängig von der Säulenlänge und Abkühlungszeit.

Vor dem Röthrohr verhalten sich die Varietäten verschieden: die schwarzen schmelzen leicht an, blähen sich aber zu einer unschmelzbaren Schlacke auf, die farbigen sind streng flüssig und selbst unschmelzbar. Schmilzt man Flußspath mit KaS^2 zusammen, und bedeckt die Oberfläche des Flusses mit Turmalinpulver, so wird beim ersten Zusammenschmelzen die Flamme grün, Reaction von Boräure, die in allen sich findet und von 1—8,5 B steigt. Thonerde 31—44 Al und Kieselerde 33—42 Si halten sich meist das Gleichgewicht. Dazu kommt aber ein Gehalt an Eisenoxydhydrat, der bis auf 23,5 Fe Fe steigend die Sammtschwarze Farbe erklärt, die Talkerde kann auf 14,9 Mg steigen, außerdem K, Na, Li, ein Fluorgehalt bis auf 2,5 Fl, der die Glühverluste erklärt. Wägbare Spuren von Phosphorsäure, die mit der Thonerde fällt, und durch Molybdänsaures Ammoniak sich nachweisen läßt. Es gibt Turmaline mit 14 verschiedenen Bestandtheilen, daher ist auch wie beim Glimmer eine chemische Deutung lange nicht geglückt. Schon Bergman und Wiegand haben sich an ihm versucht, aber erst 1818 fand Lampadius die B und 1820 Arfvedson das Li. Lange galten die Untersuchungen von Chr. Smelin 1815—1827 als Muster, und Rammelsberg (Pogg. Ann. 80. 440 und 81. 1) glaubt, gestützt auf Hundert eigene Analysen von 30 verschiedenen Fundorten, zu Formeln gelangt zu sein. Er fand, daß nach starkem Glühen das feine Turmalinpulver durch Flußsäure vollkommen gelöst werde, was die Analyse wesentlich erleichterte. Freilich konnten nicht alle unter eine Formel gebracht werden, doch richtet sich ihre Zusammensetzung im Ganzen nach den Farben. Nur ein durchgreifendes Gesetz spricht er aus: daß sich nämlich der Sauerstoff der Basen und Boräure $R + R + B$ zum Sauerstoff der Si verhalte = 4 : 3. Doch läßt sich nach den heutigen

Theorien der Chemie von dieser Eigenschaft kein Gebrauch bei den Formeln machen. Dana zeigte (Erdmann, Journ. prakt. Chem. 45. 100), daß das Atomvolumen durch die Atomenanzahl dividirt bei allen Formeln 44,2 gibt. Anderer Ansicht ist Hermann (Erdmann, Journ. prakt. Chem. 55. 451).

Vorkommen. Der edle findet sich im Flußsande der Tropen, ganz nach Art anderer Edelsteine, daher können wir ihn auch von den Edelsteinen nicht gut trennen. Der gemeine bildet oftmals einen untergeordneten Gemengtheil der Granite, Gneise, Glimmer-, Chlorit- und Talkschiefer, besonders in den Alpen. Dagegen scheint er in Augitischen und Bultangesteinen zu fehlen. Ein Versuch, sie künstlich darzustellen, wie andere Edelsteine, wollte daher nicht recht gelingen, nur Hr. Daubrée pag. 176 hat sie mit Chlorkiesel bekommen. Nach ihren Farben und Werth zeichnen sich etwa folgende aus:

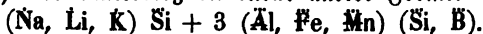
1. Farblose von St. Pietro auf Elba, im jüngern Ganggranit mit weißem Feldspath, Lithionglimmer, Beryll etc. Die Krystalle haben mannigfaltige Farben vom Schwarz, durchs Braun, Grün, Blau, Violet ins Roth. Im reflectirten Licht nicht selten anders farbig als im durchfallenden. Die Vertheilung der Farbe längs der Säule fällt auf: man kann an einem Krystalle oft drei- bis viererlei unterscheiden, die entweder wolkig in einander verschwimmen, oder scharf parallel der Geradenfläche absetzen, das Durchsichtige kann plötzlich ins Undurchsichtige übergehen. Klare (Hermann's Achroit) haben ein sehr edles Aussehen, wirken auf das Dichroskop, indem das eine Bild wenigstens dunkler wird, auch treten dann die verschiedenen Farbenstreifungen deutlicher hervor. Schaitansk im Ural, Paris in Maine. Stark elektrisch, schmilzt vor dem Löthrohr nicht, sondern brennt sich nur weiß.



Verwandt, aber nicht so edel ist

2. Rubellit, nach seiner rothen Farbe genannt, die er einem Gehalte von Mangan verdankt. Am bekanntesten sind die Pyritartigen Strahlen von Rozna im Fettquarz des Lepidoliths. Sie fangen auch hier öfter unten blau an, werden in der Mitte roth, und am obern Ende grün. Zuweilen findet sich ein blauer Kern, der von einer rothen Hülle umgeben wird. Aber die Masse ist trüb und weich mit vielen Quersprüngen, Folge anfangender Verwitterung. Paris in Maine, Granit von Penig, Granitgrus von Sarapulsk im Ural etc., überall mit Lithionglimmer.

3. Grüne. Vor allem gehört hierhin der sogenannte Brasilianische Smaragd, der am stärksten elektrisch besonders aus der Gegend von Villaricca in großer Menge eingeführt und verarbeitet wird, sein dunkles Grasgrün gibt im Dichroskop bei aufrechter Axe ein ganz opales ord. Bild. Hat neben etwas Mangan schon einen Gehalt von 7 Fe, aber auch noch Lithion. Trotzdem gibt ihm Rammelsberg die etwas andere Formel

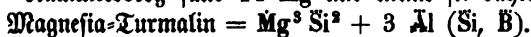


Schmilzt zwar schwer, bläht sich aber schon stärker auf als die vorigen. Der Lithiongehalt ist auch hier aus dem Vorkommen erklärlich. Bekannt sind die schönen grünen Krystalle zwischen Albittafeln (68,8 Si) von Chester-

fielb (Massachusetts), die einen rothen Kern haben, welchen man heraus-schlagen kann, und umgekehrt; merkwürdig die grasgrünen aus dem Dolomit von Campo longo südlich vom St. Gotthardt. Diese wirken nur wenig auf das Dichroskop.

In Brasilien gibt es auch blaue (Brasilianischer Sapphir). Manche Krystalle sollen sogar längs der Aze gesehen schön purpurroth, und quer sapphirblau aussehen. Am bekanntesten ist der Indicolith, Indigoblau, mit Lithionmineralen auf der Schwedischen Insel Utön, daher fand Arfvedson 4,3 Lithionhaltige Alkalien darin.

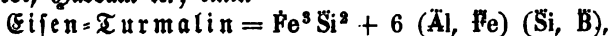
4. Braune. Dazu scheinen die ersten Ceylanischen gehört zu haben, denn die Curiöse Speculationes sagen, ihre Coleur sei Pomeranzenroth, mit Feuerfarbe erhöht, und gerade so war der Elynx des Theophrast. Zu Turmalinzangen sind es die besten, denn selbst sehr klare geben im Dichroskop schon ein opakes Bild. Sie finden sich auch ausgezeichnet in den Talk- und Chloritschiefern der Alpen (Zillerthal), worauf schon Müller (Nachricht von den in Tyrol entdeckten Turmalinen. Wien 1778) aufmerksam machte. Dieselben sehen öfter im reflectirten Lichte ganz schwarz und opak aus, indeß gegen das Sonnenlicht gehalten, oder mit dem Dichroskop untersucht, bekommt man ein durchsichtiges braunes Bild, Splitter parallel der Aze schmutzig bouteillengrün, in dünnen Platten smaragdgrün, ein auffallender Dichroismus, ähnlich dem Pennin. Rammelsberg fand 11 Mg und nennt sie daher



Der Talkgehalt ließe sich leicht aus der umgebenden Gebirgsmasse erklären. Auch die Nordamerikanischen braunen gehören hierhin, einer von Gouverneur (New-York) mit Strahlstein hatte sogar gegen 15 Mg.

5. Gemeiner Schörl, Sammtschwarz, nur in den dünnsten Splintern noch an den Ranten durchscheinend, leicht schmelzend und sich dabei wurmförmig krümmend, doch wird die Schlacke wie beim Epidot schnell hart. Rammelsberg gibt ihm zweierlei Formeln: einen

Magnesia-Eisen-Turmalin = $\text{Mg}^3 \text{Si}^2 + 4 (\text{Al}, \text{Fe}) (\text{Si}, \text{B})$, zu ihm gehört besonders der Grönländische im Glimmerschiefer, von Håvrebøl bei Krageroe, Haddam zc.; einen

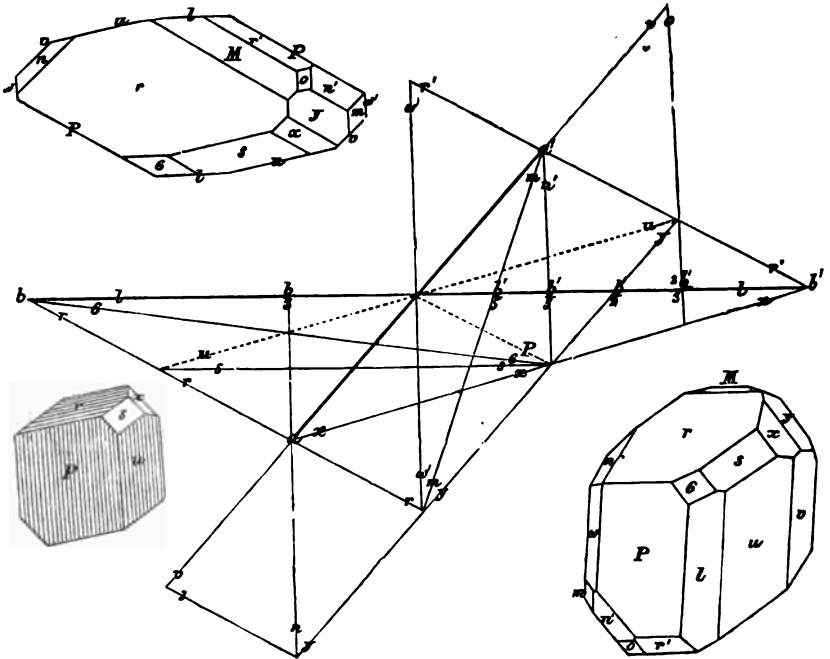


das Fe Fe steigt bei denen von Bovey Trach und vom Sonnenberge bei Andreasberg auf 19 p. C. Wahrscheinlich gehören zu ihm die meisten schwarzen, namentlich auch die in den Granit eingesprengten, deren Fundorte unzählbar sind, unter andern kamen Krystalle von mehr als Fuß Länge und drei Zoll Dicke im Quarz von Hörlberg im Bayerischen Walde vor, ganz wie im Quarz der Felspathbrüche von Rosenbach (Reichenstein-Franken-stein) mit Beryll. Mecklenburger Granitblöcke von Satow haben armdicke Krystalle geliefert, kleine mehr strahlige Massen auch der Granit des Schwarzwaldes bei Alpirsbach, des Odenwaldes bei Heidelberg zc.

9. Arinit Sp.

Asb. Beil, wegen seiner schneidenden Kanten. Saussure entdeckte ihn 1781 in Gängen der Hornblendeschiefer an der Valme d'Auris bei Bourg d'Oisan südöstlich von Grenoble, und Romé de l'Isle nannte ihn Schorl lenticulaire, weil er seine Krystalle fälschlich für rhomboedrisch hielt. Werner fand ihn bei Thum in Sachsen, daher der Name Thumerstein (Bergmänn. Journ. I. 1. 261).

Eingliedriges Krystallsystem, verwandt mit dem des Kupfervitriols. Neumann (Pogg. Ann. IV. 66) hat zwar versucht, das verwickelte System auf rechtwinklige Axen zurückzuführen, allein für die gemeine Vorstellung scheint es bequemer, die Flächen bloß nach ihrem Zonenverhältniß aufzufassen. Darnach haben wir eine rhomboidische Säule Pu von $135^{\circ} 24'$, beide Flächen sind (stark) gestreift parallel ihrer Kante, was vortrefflich zur Orientirung dient. Auch ist ihre scharfe Kante durch einen blättrigen Bruch v abgestumpft, mit P $102^{\circ} 30'$ machend. Derselbe gibt durch einen innern Lichtschein sich deutlich zu erkennen. Die Doppelschiefenfläche r parallel der Kante P/r gestreift, Winkel $r/P = 134^{\circ} 48'$, und $r/u = 115^{\circ} 39'$. Dieses eingliedrige Hexaid Pur bildet die vorherrschenden Flächen, und da die stumpfe Kante P/r niemals, die u/r aber meist durch eine sehr glänzende ungestreifte Fläche s abgestumpft ist, so erleichtert das die Erkennung der Krystalle außerordentlich. Häufig findet sich auch noch x , welche die scharfe Kante P/s sehr schief abstumpft. Ueber die Stellung sind die Schriftsteller nicht in Ueber-



einstimmung. Folgen wir Naumann, so bilden P/u die Säule, was deshalb practisch ist, weil beide die gleiche Streifung haben. Nehmen wir dazu die Einzelflächen r und x , so können wir von dem eingliedrigen Octaëd $Purx$ ausgehen. Zu diesem sind zwar die drei zugehörigen Hexaëdflächen Mvs vorhanden, Naumann nimmt aber nur M und v als Axenebenen, zur dritten wählt er die Dodekaëdfläche l . Projiciren wir nun das System auf M , so steht M auf P senkrecht, denn $M/P = 90^\circ 5'$ und $M/u = 97^\circ 46'$. Zur Anlegung der Figur müssen wir noch $P/l = 151^\circ$ und $v/u = 147^\circ$ kennen, dann ziehen wir die Sectionslinien P/u 135° gegen einander, machen $P/l = 151^\circ$ und $u/v = 147^\circ$. Nehmen wir nun einen beliebigen Axenpunkt b an, und ziehen dadurch r parallel P , so bestimmt diese Linie die Länge von a . Wir haben dann die Sectionslinie v als Axe der a , und l als Axe der b gewählt. Folglich $P = a : b : \infty c$; $u = a : b' : \infty c$; $r = a : b : c$; $x = a : b' : c$; $M = c : \infty a : \infty b$ die Projectionsebene; Blätterbruch $v = b : \infty a : \infty c$ stumpft die scharfe Kante deutlich ab, und fällt zugleich in die Zone r/x . Die ausgezeichnet glänzende $s = \frac{1}{4}a : c : \infty b$ liegt in r/u und P/x ; $l = a : \infty b : \infty c$ fällt in M/s und stumpft die stumpfe Säulenlante P/u ab, ist aber gewöhnlich durch viele Längsstreifen entstellt.

$$y = \frac{1}{2}b' : c : \infty a \text{ in Zone } x/s \text{ und } M/v, y/v \ 139 \cdot 9.$$

$$w = a : \frac{1}{2}b : \infty c \text{ in Zone } P/u \text{ und } y/r, w/y \ 123 \cdot 2.$$

$$n = a : \frac{1}{2}b : c \text{ in Zone } M/w \text{ und } v/r, v/r \ 93 \cdot 14.$$

$$o = 2a' : \frac{1}{2}b' : c \text{ in Zone } M/w \text{ und } u/y, u/y \ 130 \cdot 16.$$

$$r' = a' : b' : c \text{ in Zone } P/r \text{ und } l/x, P/r \ 134 \cdot 48.$$

$$n' = \frac{1}{2}b' : c : a' \text{ in Zone } v/r' \text{ und } P/s, P/s \ 146 \cdot 39.$$

$$m = a' : \frac{1}{2}b' : c \text{ in Zone } v/r' \text{ und } y/r, P/w \ 119 \cdot 50.$$

$$\sigma = b : \frac{1}{2}a : c \text{ in Zone } P/s \text{ und } l/r, P/\sigma \ 155 \cdot 27.$$

$$z = 2a : 2b : c \text{ in Zone } P/r \text{ und } n/y, M/x \ 115 \cdot 3.$$

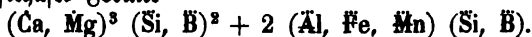
Die Axen sind ganz willkürlich gewählt, wie man sogleich aus der Projection sieht, das Wesen bleibt der Zonenzusammenhang. Man würde viel besser w als Axen der a nehmen.

Neumann hat sogar vorgeschlagen, dem Systeme rechtwinklige Axen unterzulegen. Denn da P/M nur $5'$ vom rechten Winkel abweicht, so nimmt er denselben rechtwinklig. Wählt man nun die Säulenlante P/u als Axe c ; die Senkrechte auf P als Axe b : so wird, a senkrecht gegen b und c gedacht, $P = b : \infty a : \infty c$, $u = a : b' : \infty c$, $M = a : c : \infty b$ und $y = \frac{1}{4}a' : \frac{1}{2}b : c$. Aus $PuyM$ kann ich aber leicht deduciren, denn $v \times r'$ sind die zugehörigen Dodekaëdflächen ic . $a : b : c = \sqrt{51} : \sqrt{49} : 1$. Die Flächen werden dann $v = \frac{1}{2}a : \frac{1}{2}b' : \infty c$; $w = \frac{1}{2}a : \frac{1}{2}b : \infty c$; $l = \frac{1}{2}a : \frac{1}{8}b' : \infty c$; $r = a : \frac{1}{2}b : c$; $r' = a : \frac{1}{2}b' : c$; $o = \frac{1}{2}a' : \frac{1}{2}b' : \frac{1}{2}c$; $n' = \frac{1}{2}a' : \frac{1}{2}b' : c$; $x = \frac{1}{2}a' : \frac{1}{2}b' : c$; $s = \frac{1}{2}a' : \frac{1}{8}b : c$; $\sigma = \frac{1}{2}a' : \frac{1}{8}b : c$; $n = \frac{1}{8}a : \frac{1}{2}b : c$; $m = \frac{1}{8}a' : \frac{1}{2}b' : c$.

Fast Quarzhärte, Gew. 3,2. Rauchgrau bis Violblau, die Alpinischen oft zufällig durch Chlorit gefärbt. Dauphinéer zeigen einen ziemlich deutlichen Trichroismus: stellt man die scharfe Säulenlante P/u aufrecht, und hält dieses Prisma schief gegen die Felle, damit das abgelenkte Licht gerade ins Auge falle, so ist der Krystall bis zur Kante r/u hin schön violblau; stellt

man dagegen die scharfe Kante P/r aufrecht, so ist bis zur Kante r/u kein Violblau zu finden. Das Dichroskop gibt ein prachtvolles violettes Bild, parallel mit Kante P/r schwingend, besonders senkrecht gegen Fläche r gerichtet. Auch die optische Mittellinie soll senkrecht gegen r stehen. Pyroelektrisch, aber nicht sonderlich stark, und merkwürdiger Weise mit zweierlei Azen; die an beiden Enden antilige Aze (+) geht von n zu n (stumpfe Ecke), die analoge (—) trifft in die scharfe Ecke des Krystalls, etwa wo u und x mit dem hintern P zusammen stoßen.

Vor dem Löthrohr schmilzt er leicht unter Aufblähen zu einem dunkelgrünen Glase, das in der äußern Flamme durch Mn schwarz wird. Die geschmolzene Masse wird durch Salzsäure zersezt, wobei sich Si gallertartig ausscheidet. Zeigt deutlich Reaction auf Vorsaure 5 B. Rammelsberg gibt ihm die zweifelhafte Formel



In den Alpen (Tyrol ausgenommen) sehr verbreitet, besonders mit Bergkrystall, Adular u. Die schönsten brechen zu Disans mit den Zwillingen von Bergkrystall, Epidot und Prehnit. Auf dem Harze und Taunus (Jahrb. 1859. 100) finden wir sie auch in derben krystallinischen Massen, die mit Prehnit Gänge im Grünstein bilden. In Cornwall auf der Grube Botallac mit Turmalin. In Sachsen auf Erzgängen mit Arsenikkies und Blende (Breithaupt Paragenesis 115).

VII. Zeolithhe.

Cronstedt erkannte sie schon 1756 (Abh. Schwed. Akad. der Wiss. pag. 120), nannte sie von *Léw* sieben, weil sie für sich leicht unter Aufschäumen zu einem Glase schmelzen, das aber wegen der Menge von Luftblasen schwer zur Klarheit zu bringen ist. Sie zeigen dabei eine eigenthümliche Phosphorescenz. Eine Feldspathartige Zusammensetzung aber mit Wasser, dessen Entweichen jedoch nicht die Veranlassung zum Schäumen sein soll (Berzelius), wie die ältern Mineralogen annahmen (Hoffmann Miner. II. a. pag. 245). Von Salzsäure werden sie vollkommen zersezt, wobei sich die Kieselserde als Gallerte oder schleimiges Pulver ausscheidet, was ihre Untersuchung auf nassem Wege erleichtert. Unverwitterte Krystalle besigen Edelsteinartige Klarheit, allein es tritt leicht eine Trübung ein, wahrscheinlich in Folge eines kleinen Wasserverlustes, und dann werden sie schneeweiß. Damour (Ann. Chim. Phys. 53. 438) zeigte, daß sie schon in trockner Luft gern Wasser verlieren, was sie in feuchter wieder aufnehmen können. Zur Aufnahme von Farbestoffen im höchsten Grade ungeeignet: denn wenn z. B. Eisenfärbung vorkommt, so sieht man nicht selten, wie diese die Substanz nur stellenweis durchtünchen konnte, und wenn der Krystall sich weiter von seiner durch Farbe getrübbten Unterlage entfernt, so kann er an seinem Oberende wieder ganz Wasserklar werden. Leider sind die Krystalle selten groß, auch übersteigen sie gewöhnlich nicht einmal die Glashärte, doch sind sie entschieden härter als Kalkspath. Sie gehören zu den leichtesten Steinen, denn sie bleiben wegen ihres Wasserge-

halts um das 2fache herum. Daher nannte sie Mohs Kuphonspathe (*κωφός* leicht). Die ältern Vulkanheerde, vor allem die Höhlen der Mandelsteine und Basalte, bilden ihre Hauptfundstätte. Von Island erhielt sie schon Cronstedt, nicht minder berühmte Faröer Inseln nördlich Schottland, in Deutschland Oberstein an der Nahe und das Fassathal in Südtirol. Bemerkenswerth das Vorkommen auf den Silbererzgängen von Przibram und Andreasberg, wo sie selbst bis auf die größten Teufen des Samson hinabgehen. Wegen ihres Wassergehaltes wird man sehr versucht, sie für secundäre Bildungen auf nassem Wege zu halten, zumal da sie gern in verwittertem Gebirge liegen, dem durch langjährige Auslaugung Stoffe mittelst Wasser entzogen sind, wie aus der Art des zerfallenden Tuff- und Wadengesteins deutlich hervorleuchtet. Auch Bischof hat dieß mehrfach zu begründen gesucht. Dagegen behauptet Bunsen (Leonhard's Jahrb. 1851. pag. 861), daß den Zeolithbildungen Island's weder rein neptunische, noch rein plutonische Vorgänge zu Grunde liegen. Vielmehr erlitten rein plutonische Gesteine von überbasischer (augitischer) Zusammensetzung eine neptunische Metamorphose zu Palagonit *) und palagonitischen Tuffen. Diese wurden nun abermals von Feuersteinen durchbrochen, und dadurch in zeolithische Mandelsteine verändert. Räthselhaft scheint es dabei, wie Hydrate sich bei so hoher Temperatur bilden konnten. Allein Bunsen glaubt auch das lösen zu können: Röstet man nämlich 0,2 Theile Ca, 1 Theil Si und 9 Aequale in einer Silberchale eine Zeit lang roth glühen und dann langsam erkalten, so findet sich darin nach dem Auflösen im Wasser ein Netzwerk von 4—5'' langen Krystallnadeln eines wasserhaltigen Silicates $\text{Ca}^3 \text{Si}^2 \text{H}$, das in der Glühhitze entstand und sich erhielt, das aber nach dem Abscheiden aus seiner Umgebung schon bei 109° vier Fünftel seines Wassers abgibt, und noch unter der Glühhitze alles Wasser wieder verliert. Hr. Daubrée (Bulletin géol. Franc. 1859. 16. 202) fand in den heißen Bädern von Plombières verschiedene kleine Krystalle (Zschthophthalm, Chabasit, Kreuzstein), welche sich in dem alten römischen Mauerwerk abgesetzt hatten. Kleine fasrige Warzen erhielten den Namen Plombiërit $\text{Ca}^3 \text{Si}^2 \text{H}^6$.

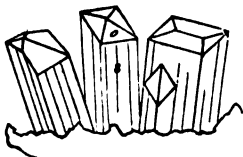
1. Faserzeolith Br.

Weil sie sich zu den feinsten Fasern zertheilen. Auch schlechthin Zeolith genannt, da er als der gewöhnlichste zuerst die Aufmerksamkeit Cronstedt's auf sich zog. Er kommt meist in excentrisch strahligen Massen vor, die an ihrem schmalen Ende ganz dicht werden, und bei Verwitterung zu

*) So nannte Sartorius von Waltershausen eine amorphe braune Substanz von Palagonia im Val di Noto südwestl. Catania, welche Bunsen auch auf Island fand (Ann. Chem. und Pharm. 61. 202). Die leicht zersprengbare Masse hat fast Glashärte, 2,43 Gew., und besteht aus $3 \text{R} + 2 \text{K} + 4 \text{Si} + 9 \text{H} = 37,42 \text{Si}, 14,16 \text{Fe}, 11,17 \text{Al}, 8,76 \text{Ca}, 6,04 \text{Mg}, 17,16 \text{H}, 4,12$ unlöslicher Rückstand, woraus man die Formel des Stapoliths mit Wasser, nämlich $\text{Ca}^3 \text{Si}^2 + 2 \text{AlSi} + 9 \text{H}$ construiren kann. Augitische Tuffe sollen oft von dieser Substanz durchdrungen sein.

Mehl zerfallen, daher Mehlzeolith Br. Die freien Krystallnadeln hieß Werner Nadelzeolith, Haüy Mesolith (Mittelgestalt), worin er die quadratische Säule mit Geradenfläche als Kernform nahm, die zwischen dem Würfel des Analcims und der Oblongsäule des Strahlzeoliths gleichsam mitten inne steht. Nach ihm wäre also das

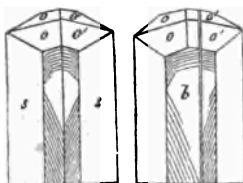
Krystallsystem 4gliedrig, und zwar meist eine einfache quadratische wenig blättrige Säule *s* mit oktaedrischer Endigung *o*. Später fand Gehlen,



daß die Säule nicht quadratisch, sondern **zweigliedrig** und ein wenig geschoben sei 91° (vorn), daraus folgen für das Oktaeder ebenfalls $2 + 2$ Endkanten, die nach Haibingers Messungen über der stumpfen Säulenkante $143^\circ 20'$ und über der scharfen $142^\circ 40'$, betragen, gibt die Aen

$$a : b = 2,79214 : 2,84108.$$

Zu diesem Systeme scheinen die Federkielbilden Krystalle aus der Auvergne (Buh de Marmant bei Clermont), von Auffig und Hohentwiel u. zu gehören. Ihre scharfe Säulenkante ist gewöhnlich nicht abgestumpft, auch kennt man sie nicht als Zwillinge. Merkwürdiger Weise stimmen damit die klaren Nadeln von Beruford auf Island nicht, welche Fuchs als Scolicit und Mesolith getrennt hat. G. Rose zeigt (Pogg. Ann. 28. 424), daß hier die seitlichen Endkanten $143^\circ 29'$ nur noch einander gleich bleiben, die vordere Endkante o/o $144^\circ 40'$ sich dagegen von der hintern $144^\circ 20'$ um $20'$ unterscheidet. Der vordere Säulenwinkel $91^\circ 35'$. Wir hätten also ein $2 + 1$ gl. System vorn mit einem stumpfen Winkel $90^\circ 54'$ der Aze *c* gegen *a*, und $a : b = 2,87 : 2,95$.



Die scharfe Säulenkante ist gewöhnlich stark abgestumpft durch $b : \infty a : \infty c$, und auf dieser Abstumpfungsfläche gewahrt man eine zarte Längslinie in der Richtung von *c*, welche eine Zwillingegränze andeutet. Es ist das Gesetz der Karlsbader Feldspathzwillinge pag. 252: beide Individuen haben die Säule gemein und liegen umgekehrt.

Geht die Zwillingegränze genau durch die seitlichen Endkanten des Oktaeders, dann wird eine förmliche $2 + 2$ gliedrige Ordnung hergestellt, indem das eine Individuum seine Vorderseite hinlegt, wo das andere seine hintere hat. Ofter geht aber die Zwillingegränze über die Fläche weg, und dann sieht man in der Zone der seitlichen Endkanten auf dem hintern Paare einen auspringenden Winkel von $178^\circ 28'$, am gegenüberliegenden Ende müßte der gleiche Winkel einspringen, allein dieß ist immer angewachsen. Umgekehrt ist die Sache am vordern Paare, hier wird oben der Winkel einspringend. Die Abstumpfungsfläche *b* zeigt häufig am abgebrochenen Ende der Krystalle eine federartige Streifung, welche beiderseits von der Zwillinglinie ausgeht und sich in scharfem Winkel nach oben lehrt. Davon muß man ein zweites viel schwerer sichtbares System von Federstreifen unterscheiden, was oben am austrystallisirten Ende beginnt und den vordern Endkanten der Oktaeder parallel geht. Blätterbruch der Säule nicht ausgezeichnet. Gew. 2,2; Härte 5.

Glasglanz auf dem kleinschalenigen Bruch sich etwas ins Fette neigend. In den Basalten Krystalle bis zu den feinsten Nadeln, welche aus einer dichten Masse von Glasopffstructur entspringen. Pyroelektrisch. Schon Haug fand, daß das freie Krystallende Glas- und das ausgewachsene Harzelektricität nach gelindem Erwärmen zeige, aber nicht bei allen Krystallen. Nach Rieß und Rose (Abh. Berl. Ak. Wiss. 1843. pag. 75) werden nur die Zwillinge (Scollecit) elektrisch, antilog am freien und analog am verwachsenen Ende.

Die chemische Zusammensetzung variiert zwar außerordentlich, doch sind sie im Wesentlichen Labrador mit Wasser. Kleine Abweichungen in der Form und Analyse haben zu vielen Zersplitterungen und lokalen Benennungen geführt.

a) Natrolith Klaproth Beitr. 5. 44 (vorzugsweise *Mesotop* genannt) $\text{Na Si} + \text{Al Si} + 2 \text{H}$, 47,2 Si, 25,6 Al, 16,1 Na, 8,9 H, 1,3 Fe, zuweisen ersetzt ein wenig Ca das Na. Er schmilzt ruhig zu einem Glase, ohne sich dabei aufzublähen, und bildet mit Salzsäure nach etwa 24 Stunden eine steife Gallerte. Vor allem bekannt sind die isabell-gelben daumendicken Platten, welche den unreinen Klingstein des Hohentwiel am Bodensee vielfach durchschwärmen. Die Platten zeigen ausgezeichnete Glasopffstructur mit fein concentrischer Streifung und excentrischer Faserung, zerspringen daher zu keilförmigen Stücken. Da sie eine gute Politur annehmen, so sind sie zur Tafelung von Zimmern im Königl. Schloß zu Stuttgart benutzt. Die Anwendung ist aber nur vereinzelt: wie einst Friedrich der Große seine besondere Freude am Schlesienschen Chrysopras hatte, so König Friedrich an diesem württembergischen Producte. Schon im vorigen Jahrhundert erregten sie die Aufmerksamkeit (Bergm. Journ. 1792. VI. 1. 100). Brevicit von Brevig; Bergmannit von Laurvig und Fredrikswärn, Spreustein und Radolith, sämmtlich in den dortigen Zirkonhyeniten von Südnorwegen strahlige Massen bildend, scheinen mit Natrolith zu stimmen. Von Brevicit zeichnet G. Rose Krystalle von $1\frac{1}{2}''$ Länge und $\frac{1}{2}''$ Dicke mit den Oктаedern $a : b : c$ und $a : \frac{1}{2}b : c$, deren Winkel gut stimmen. Ihres alten frischen Ansehens wegen nannte sie Scheerer (Pogg. Ann. 91. 100) Paläonatrolith. Nach Blum (Pogg. Ann. 105. 100) Asterkrystall von Nephelin und Oligoklas.

b) Scollecit Fuchs, *σκολεκίτης* wurmhöhlenförmig, weil er vor dem Schmelzen sich ziemlich bläht. Ein Kalkmesotop $\text{Ca Si} + \text{Al Si} + 3 \text{H}$, was mit Oxalsäure leicht nachzuweisen ist. Ein kleiner Natrongehalt zeigt sich durch Würfelchen von NaCl, welche sich nach einiger Zeit in der Gallerte der Lösung finden. Nur dieser soll pyroelektrisch und 2 + 1gliedrig sein, was auffällt. Schneeweiße excentrisch-strahlige Massen füllen besonders die Mandeln der vulkanischen Gesteine von Island und der Faröer-Inseln. In den Alpen am Biescher Gletscher (Jahrb. 1860. 700). Wo die Strahlen fein schneeweiß beginnen, zeigt sich die negative Elektricität, aber erst dann, wenn sie etwas dicker und getrennter werden. Die dicke Masse ist vollkommen unelektrisch. Je weiter die Strahlen zum positiven Ende fortlaufen, desto dicker werden sie, sie verlieren an Schneefarbe, und endigen nicht selten wasserhell. Brooke's Poonaalit $91^\circ 49'$ mit Ichthyophthalm und Strahl-

zeolith von Poona bei Bombay in Ostindien; Thomson's Antrimolith $92^{\circ} 13'$ und Harringtonit $90^{\circ} 54'$ aus den Basalten der Grafschaft Antrim sind alle reich an Kalk.

c) Mesolith Fuchs (Schweigger's Journ. Chem. 1816. 18. 18) steht chemisch zwischen Natrolith und Scolecit mitten inne, denn der aus dem hornblendehaltigen Basalt von Hauenstein bei Schönwald nordöstlich Schlackenwerth in Böhmen hat 7,1 Ca und 7,7 Na. Berzelius Mesole von den Färder-Inseln und andere zeigen ebenfalls diese zwei Basen, welche sich in den verschiedensten Verhältnissen gegen einander vertreten.

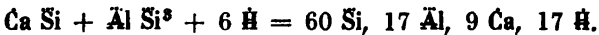
d) Comptonit Brewster (Edinburg. phil. Journ. IV. 181). Compton brachte ihn 1817 nach England, er fand sich in Höhlen Besuvischer Mandelsteine und scheint dem von Seeberg bei Kadon in Böhmen sehr ähnlich. Letzterer, in deutschen Sammlungen sehr verbreitet, bildet 1—2'' lange Oblongsäulen mit Geradenfläche, die häufig etwas bauchig wird. Die schmale Fläche der Oblongsäule glatt und schön, die breite aber garbenförmig aufgeblättert, ihr entspricht ein nicht sonderlich deutlicher Blätterbruch. Die Kanten der Oblongsäule durch eine rhombische Säule von $90^{\circ} 40'$ abgestumpft. Vor dem Röthrohr blättert er sich stark auf, und enthält 12 Ca neben 6,5 Na. Einstimmig wird Thomsonit, welchen Brooke in den schönsten faserzeolithischen Varietäten im Mandelstein der Kilpatrickhügel bei Dumbarton im südwestlichen Schottland fand, für das gleiche Mineral gehalten. Wenn dieser feinfaserig bis dicht wird, so hat man dafür den alten orpheischen Namen Galaktit hervorgezogen, der im Wasser geschliffen Milch gab (Jahrb. 1856. 448).

Optisch steht beim Comptonit die + Mittellinie senkrecht auf dem Blätterbruch, die Äxenebene fällt mit a b zusammen. Durchsichtige Kryställchen von der Größe einer Röthrohrprobe lassen sich daran sofort unterscheiden. Beim Mesotyp ist nach Descloizeaux die Mittellinie auch +, fällt aber mit Äxe c zusammen, und a c ist Äxenebene. Scolecit ist —, Äxenebene eine Schiefenfläche, welche mit c etwa 12° macht. Beim Mesolith verhindern eigenthümliche Zwillingsdurchwachsungen das Bestimmen der optischen Äxen.

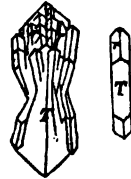
2. Strahlzeolith.

Die 2gliedrigen excentrischen Strahlen haben einen ausgezeichneten Längsblätterbruch, bleiben breiter und werden daher nicht so fasrig, als der vorige. Neigung zu strahligen Ablagerungen, was der eigentliche Blätterzeolith, mit dem er so oft verwechselt wird, nicht thut. Haüy nannte ihn *dodoeaëdrischen Stilbit* (*στυλβίτης* glänzend), weil das 2gliedrige Dodekaeder vorherrscht: denkt man sich nämlich das Granatoeder nach einer seiner drei rechtwinkligen Säulen in die Länge gezogen und breit tafelartig werdend, so hat man die richtige Vorstellung der gewöhnlichsten Krystalle. Oblongsäule wird ganz dünnblättrig und hat stets auf der breiten Fläche ihren deutlichen Blätterbruch M mit starkem Perlmutterglanz, die schmale Fläche T mit

Glasglanz blättert sich garbenförmig auf, einzelne Krystalle, namentlich auf den Erzgängen von Andreasberg, in den Mandelsteinen von Island z., gleichen dann Bündeln, worauf der Breithaupt'sche Name *Desmin* (*Desmuls* Bündel) anspielt. Wenn die Krystalle (durch Wasserverlust?) matt werden, so beginnt die Mattigkeit vom Blätterbruch aus, denn bei den Andreasbergern sieht man auf der Mitte der schmalen Oblongsäulenfläche T einen dunkeln glasigen Streifen, der seine Durchsichtigkeit noch bewahrt hat. Auch vor dem Röthrohr geschieht das Blättern immer garbenförmig, wobei der Blätterbruch unverkennbar eine Rolle spielt. Trotz der dicken Köpfe kann man am Oberende der Säule immer noch das Oktaeder erkennen, die seitlichen Endkanten messen 114° , die andern über dem blättrigen Bruch $119^\circ 15'$ (Brooke Edinb. Phil. Journ. VI. 114). Das gäbe die Axen $a : b = 1,2285 : 1,3232$. Oftmals findet sich die Geradenfläche $c : ooa : oob$, dagegen die Säulenflächen $a : b : ooc$ ($94^\circ 15'$) selten. Flußspathhärte 4, also entschieden weicher als der Faserzeolith, dagegen ebenfalls so schwer, Gew. 2,2. Axe c — optische Mittellinie, der blättrige Bruch Agenebene. Vor dem Röthrohr blättert er sich stark auf, krümmt sich wurmförmig und viel stärker als *Scolecit*. Berzelius gab ihm die Formel



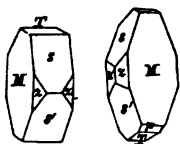
In Salzsäure wird Kiesel-erde als schleimiges Pulver ausgeschieden. Mit Faserzeolith zusammen. Ungewöhnlich ist ein Vorkommen auf Bergkrystall und Adular mit Chlorit am St. Gotthardt.



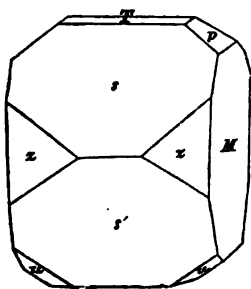
3. Blätterzeolith W.

Noch stärker blättrig als Strahlzeolith, gruppirt sich aber nur körnig, was ihn leicht unterscheiden läßt. Man wird durch den ausgezeichneten Perlmutterglanz an Glimmer erinnert, Werner konnte daher keinen bessern Namen wählen. Man hat ihn deshalb auch wohl *Euzeolith*, *Eustilbit* genannt, was wenigstens mehr bezeichnet als der Englische *Denlandit* (Brooke Edinb. Phil. Journ. VI. 115). Hauy nannte ihn *Stilbite anamorphe* z., und wegen des stärksten Perlmutterglanzes, der überhaupt bei Zeolithen vorkommt, hat man sich in Deutschland daran gewöhnt, ihn vorzugsweise unter *Stilbit* (Glänzer) zu verstehen (G. Rose, Raumann, Hausmann), während man in Frankreich und England umgekehrt den Strahlzeolith so heißt (*Dufrenoy*, *Phillips*). Diese Namenverwirrung ist um so störender, je näher sich beide chemisch und physikalisch stehen.

Hauy beschreibt ihn 2gliedrig: geschobene Säule s/s' mit Glasglanz mißt 130° in der vordern stumpfen Kante; Geradenfläche M Hauptblätterbruch; die vordere stumpfe Ecke durch ein Paar z, welche den blättrigen Bruch unter 112° schneiden, und die scharfe Säulenkante durch T abgestumpft. Diese einfachen Krystalle mit $sMTz$ kommen nach der Säule s langgezogen ausgezeichnet auf den Andreasberger Erzgängen vor. Die bekannten ziegelrothen vom Fassathal sind tafelförmig, da sich der blättrige Bruch sehr aus-



dehnt, allein es gesellt sich noch ein drittes Paar p dazu, welches mit z und s parallele Kanten bildet. Daher sind s, z, p drei zugehörige Paare $s = a : b : \infty c$, $z = a : c : \infty b$ und $p = b : c : \infty a$ ein zweigliedriges Dodekaeder, an welchem M und T je eine oktaedrische Ecke in c und b abstumpfen, nur die Ecke a zeigt sich nie abgestumpft. So weit wäre die Ordnung der Flächen durchaus zweigliedrig. Nun kommt aber bei Isländischen Exemplaren eine Fläche $u = c : \frac{1}{2}b : a$ vor; sie stumpft die Kante p/s ab, und läßt sich zuweilen auch deutlich durch die Zone T/z verfolgen. Man findet sie an Tausenden aber stets nur an einem Ende und zwar wenn vorn links, so rechts hinten, das ist entschieden $2 + 1$ gliedrige Ordnung. Scharfe Messungen haben dieß nun auch bestätigt: T stumpft die scharfe Kante s/s' nicht gerade ab, sondern schneidet s unter $116^\circ 20'$ und s' unter 114° . Eben so

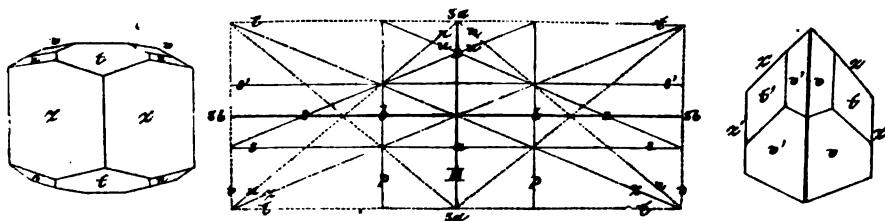


wenig bildet z ein gleichschenkliges auf die stumpfe Säulenkante gerade aufgesetztes Dreieck, sondern die beiden Schenkel sind etwas verschieden, weil der Kantenwinkel mit s (148°) etwas anders ist als mit s' ($146^\circ 30'$). Daher, wie Epidot, gewendet $2 + 1$ gliedrig. Wir müssen das Paar $z = a : b : \infty c$ zur Säule ($136^\circ 4'$) nehmen, dann stumpft der blättrige Bruch $M = b : \infty a$ die scharfe Säulenkante gerade ab; $s = a : \infty b$ vorn macht $24^\circ 54'$ und $s' = a' : \infty b$ hinten $25^\circ 26'$ gegen die Axe c , daher

$$a : b : k = 0,4698 : 1,1643 : 0,0529.$$

Der stumpfe Winkel der Axen a/c beträgt vorn $91^\circ 25'$; $p = b : \infty a$ und das Augitartige Paar $u = 2a' : 2b$. Härte = 4 und Gew. 2,2 stimmen vollkommen mit Strahlzeolith. Auch die chemische Zusammensetzung soll nach Rammelsberg (Pogg. Ann. 110. 555) die gleiche sein: $\text{Ca Si} + \text{Al Si}^3 + 6 \text{H}$, früher nahm man 5 Atom H an. Aber man darf nur ein durchsichtiges Blättchen abspalten, um im Polarisationsmikroskop Vermiscaten zu sehen: denn T ist die Ebene der optischen Axen, die — Mittellinie fällt mit Axe b zusammen, steht also senkrecht auf dem Blätterbruch M .

Epililbit (G. Rose Pogg. Ann. VI. 185) aus den Mandelsteinen vom Ufer des Verufjord am Fuße des Bulandstint und den Farber Inseln mit Blätterzeolith in ein und demselben Blasenraume. Es könnten dieß wohl Blätterzeolithkrystalle sein, welche sich nach der Säule z/z ausgedehnt haben. G. Rose gibt $z/z = 135^\circ 10'$, was von Brooke nur $20'$ abweicht, der erste Blätterbruch stumpft auch hier die scharfe Kante ab. Allein das Ende der Säule wird bestimmt 2gliedrig beschrieben: ein Paar $t = a : \infty b$ auf die stumpfe Kante, und ein anderes $v = b : \infty a$ auf die scharfe Kante aufgesetzt, und dann noch ein Oktaeder $n = a : \frac{1}{2}b$ aus der Diagonalzone des vordern Paares. Einfache Krystalle selten, gewöhnlich Zwillinge, welche wie beim Weißbleierz die Fläche z gemein haben und umgekehrt liegen. Das



ist zwar sehr ungewöhnlich, allein die Winkel der Endflächen passen zu gut, als daß man die Vereinigung läugnen möchte. Nimmt man nämlich $v = 3b : \infty a$ als die dreifach stumpfere von p am Blätterzeolith, so gibt das einen Winkel $v/o = 147^\circ 2'$, der von der Rose'schen Messung nur um $38'$ abweicht. Ebenso gibt $t = 3a : \infty b$ mit $t' = 3a' : \infty b$ einen Winkel von $108 \cdot 21$, den Rose $109 \cdot 46$ fand, $n = 3a : \frac{1}{2}b$. Beistehende Projection zeigt uns alle diese Flächen, die des Epistilbits sind punktirt. Die chemische Formel ist $(Ca, Na) Si + Al Si^3 + 5 H$, zeichnet sich nur durch etwas Na aus. Sartorius (Pogg. Ann. 99. 170) nennt noch einen Parastilbit von Island, Wallei einen zuckerförmigen Hypostilbit von Skye, Deudant die kleinen Zeolithkugeln von den Faröerinseln Sphaerostilbit.

Breunnerit (Brooke Edinb. Phil. Journ. IV. 111) von Strontian im westlichen Schottland. Hat ein Comptonit-artiges Ansehen, allein es ist ausgezeichnete Blätterbruch P da, so deutlich als beim Strahlzeolith mit einem bläulichen Lichtschein. Gespaltene Blättchen zeigen Lemniscaten, deren Axe schief gegen Axe c steht. Brooke gibt vielerlei Säulenflächen an, in der scharfen Kante sämtlich durch den Blätterbruch gerade abgestumpft. Darunter die Hauptsäule z/z 136° . Eine Endfläche, etwa so schief wie T , ist nach ihrer Diagonale unter einem Winkel von 172° geknickt, aber sie neigt sich oft zum bauchigen Ansehen. Im Ganzen dürfte das Krystallsystem nicht wesentlich vom Blätterzeolith abweichen. Dafür scheint auch die chemische Formel zu sprechen $(Sr, Ba) Si + Al Si^3 + 5 H$ (G. Rose Kryst. Chem. Miner. pag. 40), Thomson gibt 9 Sr, 6 Ba an, und nur 0,8 Ca. Er bläht sich vor dem Löthrohr stark auf, und blättert dabei nach der Richtung des Hauptblätterbruchs.



Lévy's gelblicher Beaumontit (Inst. 1839. 455) mit Haydenit zusammen in Baltimore vorkommend, scheint ein Blätterzeolith, wofür auch das optische Verhalten spricht. Zwar wird er als ein stumpfes Quadratoctaeder von $147^\circ 28'$ in den Endkanten beschrieben, dessen Seitenkanten durch die erste quadratische Säule $a : a : \infty c$ abgestumpft würden, allein es wird auffallender Weise hinzugesetzt, daß die eine Säulenfläche viel blättriger sei, als die andere. Wenn man nun bedenkt, wie nahe die Winkel des Blätterzeolith's $z/s = 148^\circ$ und $z/s' = 146^\circ 30'$ jenem Octaederwinkel stehen, so ließe sich der Irrthum leicht erklären. Die zierlich kleinen Krystalle sind um und um aus-



gebildet, was die Täuschung noch vermehrt. Hier steht auch Haibingers Edingtonit (Pogg. Ann. V. 188) aus dem Mandelstein der Kilpatrickhügel bei Dumbarton in Schottland. Raum 2''' große Krystalle liegen auf Thomsonit pag. 334. Auf einer blättrigen quadratischen Säule $m = a : a : \infty$ erheben sich zweierlei Flächen: $P = a : a : c$ und $n = 2a : 2a : c$.



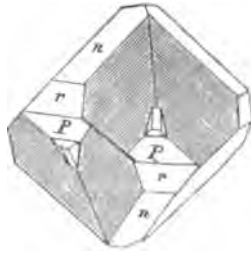
Man könnte diese als Oblongottaeder nehmen, und so beschreibt sie auch Descloizeaux. Allein die Messungen geben dann $m/P = 133^\circ 34'$ und $m/n = 115^\circ 26'$, daraus folgt $a : b = 1,05 : 2,1$, b ist also genau $2a$. Haibinger nahm daher P als ein viergliedriges Tetraeder vom Oктаeder $a : a : c$, das wegen der Aze $a = 1,05$ in den Endkanten $121^\circ 40'$ mißt, während dann n das Tetraeder vom zweiten stumpferen Oктаeder $2a : 2a : c$ sein muß. Die Sache würde ausgemacht sein, wenn das Unterende wirklich die andere Hälfte der Tetraeder zeigen würde, wie das Haibinger beschreibt. Hätte das Oктаeder 120° in den Endkanten, so wäre es das Oктаeder des Granatoeder's und würde dann mit dem regulären System in Verbindung stehen. Nach Heddele (Jahrb. 1856. 22) soll er 26,8 pC. Baryterde enthalten.

4. Chabasit.

Der Rhomboedrische Zeolith wurde in den Mandelsteinen bei Oberstein von einem Franzosen Bosc d'Antic gefunden und nach dem letztbesungenen Stein des Orpheus (*χαρσαλιον*) genannt. Dr. Tamnau (Leonhard's Jahrb. 1836. 622) hat eine Monographie davon geliefert, die von seiner großen Verbreitung zeugt. Das wenig blättrige Rhomboeder mit $94^\circ 46'$ (Phill.) in den Endkanten gibt $a = 0,92083 = \sqrt{0,84793}$, stimmt fast mit Quarz pag. 188. Kleine wasserklare Krystalle kommen in porösen Laven von Sicilien vor, man kann die einfachen Rhomboeder leicht für Würfel halten, daher auch der Name Cuboicit. Bei Oberstein und besonders zu Rübenbüffel bei Aussig in Böhmen, wo Krystalle von $\frac{1}{2}''$ — $1''$ Größe in Drusen eines Klingsteintuffs liegen, ist noch das nächste stumpfere und nächste schärfere Rhomboeder, die schöne Hauy'sche Trirhomboidale Varietät mit $P = a : a : \infty a$, $n = 2a' : 2a' :$ und $r = \frac{1}{2}a : \frac{1}{2}a : \infty a$. Höchst selten sind die Seitenkanten des Rhomboeders durch die 2te Säule $\infty c : 2a : a : 2a$ abgestumpft. Auch Dreiecksdreikantner erscheinen ungewöhnlich, doch kannte schon Hauy $B^4 = x = \frac{1}{2}c : a : \frac{1}{2}a : \frac{1}{2}a$; Tamnau Böhmisches mit $o = \frac{1}{2}c : a : \frac{1}{2}a : \frac{1}{2}a$ und vom Westerwalde mit einem Dihexaeder $t = \frac{1}{2}c : a : \frac{1}{2}a : a$. Alle liegen in der Endkantenzone des Rhomboeders. Bei den Krystallen von Oberstein zeigen die Rhomboederflächen eine ausgezeichnete Federstreifung, die einen sehr stumpfwinkligen Dreikantner andeutet. Phillips maß einen stumpfen Winkel von $173^\circ 46'$ an Krystallen von Giant's Causeway in Nordirland, das entspräche ungefähr einem Dreikantner $B^{12} = \frac{1}{2}c : a : \frac{1}{2}a : \frac{1}{2}a$ ($173^\circ 14'$).

Zwillinge die Aze c gemein und um 60° im Azimuth verdreht kommen ganz gewöhnlich vor. Beide Individuen durchwachsen sich in größter Unregelmäßigkeit. Gewöhnlich scheidet sich aus der Fläche des einen Individuums

die Seitenecke des andern hervor, dessen Kanten wie 2 : 1 geschnitten werden, d. h. nennen wir die Stücke der beiden scharfen Kanten 1, so ist die Länge der stumpfen doppelt so groß. Im Uebrigen ein ausgezeichnete Zeolith mit reichlich Flußpathhärte = 4 und Gew. 2,2.



Vor dem Löthrohr bläht er sich äußerst wenig, vielleicht weil es ihm an deutlichem Blätterbruch fehlt. Ueber seine chemische Formel ist man noch nicht ganz einig, ich wähle die einfachere $\text{Ca Si} + \text{Al Si}^2 + 6 \text{H}$, mit etwa 50 Si und 10 Ca, gewöhnlich enthalten sie auch etwas Na und Ka, was die Kalkerde in der Formel ersetzt. Bei Plombières hat er sich im Römischen Mauerwerk gebildet.

Phakolith Breith. (Linsenstein, *φακός*), aus den Basalten von Leipa und Lobositz in Böhmen, bildet kleine linsenförmige Zwillinge von der Trirhomboidalen Varietät. Hat sonst auch ganz das Aussehen normalen Chabasits. Doch gibt Rammelsberg's Analyse $2 \text{R Si} + \text{Al}^2 \text{Si}^3 + 10 \text{H}$, was ein wenig abweicht. Diese Zusammensetzung nähert ihn dem Lebyn von den Faröer Inseln, die ebenfalls Zwillinge bilden, aber eine ausgezeichnete Geradendfläche haben. Auch zeigt das Rhomboeder einen Endkantenwinkel von $79\frac{1}{2}^\circ$, was sich mit dem Chabasit nicht gut vereinigen ließe.

Gmelinit Brewster (Leman's Hydrolith, Thomson's Sarkolith) aus dem Mandelstein im Vicentinischen und von Glenarm in Nordirland, von fleischrother Farbe, bildet reguläre sechsseitige Säulen mit Geradendfläche, deren Endkanten durch ein Dihexaeder von $80^\circ 54'$ in den Seitenkanten abgestumpft werden. Das gäbe $a = 1,3543$. Breithaupt fand sogar nur $79^\circ 44'$ also $a = 1,3826$ genau gleich $\frac{2}{3}a$ vom Chabasit, so daß also $\frac{2}{3}a : \frac{2}{3}a : \infty a$ des Chabasits diesen Winkel geben würde. Nach G. Rose soll ein sehr deutlicher Blätterbruch parallel der 6seitigen Säule gehen, was beim Chabasit nicht der Fall ist. Dagegen stimmt die Analyse von Rammelsberg, nur daß er bloß 3,9 Ca, dagegen 7,1 Na, und 1,8 K hat.

Herschelit Lévy (Ann. of phil. X. 261) aus alten Laven von Aci Castello am Aetna, gleicht nach Damour's Analyse (Ann. Chim. et phys. 3 sér. XIV. 97) dem Gmelinit. Es sind kleine weiße sechsseitige Tafeln, die sich gern kugelförmig gruppieren. Lévy maß eine dihexaedrische Endkante von $124^\circ 45'$, Härte 4—5, Gew. 2,1. Cleaveland's Haydenit aus dem Gneis von Baltimore stimmt nach Dana mit Chabasit. Die spatheisenfarbigen Rhomboeder sollen aber nach Lévy einen Winkel von $98^\circ 22'$ und zwei von $95^\circ 5'$ haben, also Hendyhoeder sein.

5. Analcim Hy.

Analcim kraftlos, weil er durch Reiben nur schwach elektrisch wird. Kubizit Br. Reguläres Krystallsystem vorherrschend das Leucitoeder $a : a : \frac{1}{2}a$, besonders ausgezeichnet in den augitischen Mandelsteinen des Fassathales (Seisser Alp), wo Krystalle von mehr als Faustgröße vorkommen. Wenn

die Leucitoeder in vulkanischen Gesteinen eingesprengt sind, muß man sich vor Verwechslung mit Leucit hüten. Gewöhnlich kommt aber noch die Würfelfläche vor, welche die vierkantigen Ecken des Leucitoeders abstumpft und sich leicht an ihren rechten Winkeln unterscheiden läßt. Emmerling nannte daher das Mineral Würfelzeolith. Doch ist der Würfel kaum selbstständig zu finden, immer sind seine Ecken durch Dreiecke zugescharft. Besonders schön in dieser Beziehung die wasserhellen Krystalle in alten Lavan der Cyclopischen Inseln bei Catania, wo sie schon Dolomieu sammelte, oder in den Mandelsteinen von Montecchio-Maggiore bei Vicenza. Sie kommen im Gegensatz zum Leucit nicht eingesprengt sondern in Drusen vor, daher zeigen z. B. die Cyclopischen alle eine Ansatzstelle.

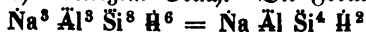
Die klaren haben die Aufmerksamkeit der Optiker auf sich gezogen. Legt man nämlich durch die Axe und durch 4 Längsdiagonalen eine Fläche,



so geht diese einem Paralleelpaare von Granatoberflächen parallel, und die Granatoederebene halbirt den Krystall. 6 solcher Ebenen sind bekanntlich möglich. Parallel diesen Ebenen soll nach Brewster (Edinb. phil. Journ. 10. 255) die brechende und polarisirende Kraft fast Null sein, die gebrochenen Würfelfanten und langen Diagonalen erscheinen daher ganz schwarz. Allein je mehr ich das

Auge von diesen Ebenen im Winkel entferne, desto stärker polarisiren und brechen sie doppelt. In der Mitte der gebrochenen Oктаederfanten erscheinen die feinsten Farbentinten. Das wäre eine merkwürdige Ausnahme, die Biot Lamellarpolarisation nannte. Härte 6, wird kaum noch mit dem Messer angegriffen, deßhalb nannte ihn schon Dolomieu Zéolithe dure; Gew. 2,2.

Vor dem Löthrohr bläht er sich nur wenig auf, wie gewöhnlich bei Zeolithen mit undeutlich blättrigem Bruch. Die Formel



stimmt vortrefflich mit H. Rose's Analyse von Fassathälern: 55,1 Si, 23 Al, 13,5 Na, 8,2 H. In der Gabbro rosso von Toscana kommt ein Magnesia-analcim vor: Krystalle finden sich auch auf den Silbererzgängen von Andreasberg, in Drusen des Zirkonsyenits, auf Magneteisensteinlagern in Schweden, im Kalkspath des Basaltes von Baranetz bei Alt-Titschein in Mähren. Die grünlichen Massen mit ziemlich deutlichem Würfelbruch im Magneteisenerz vom Berge Blagodat im Ural hat Breithaupt zwar Kuboit genannt, sind aber nach G. Rose (Reise Ural I. pag. 347) ausgezeichnete Analcime. Weyhe's Eudnophit (Pogg. Ann. 79. 200) mit schönen nebeligen Zeichnungen aus dem Syenit von Lamö im südlichen Norwegen (59 Breite-Grad) ist nicht 2gliedrig, sondern hat Form und Zusammensetzung des Analcim (Zahrb. 1859. 622).

6. Kreuzstein Wr.

Kreuzkrystallisation von Trebra (Erfahr. im Jnn. Seb. 1785. 99) nach den sich kreuzenden Krystallen genannt. Harmotom Hy. (ἀρμός Fuge) was sich parallel der Zwillingssuge schneiden läßt. R. de l'Isle, (Christall. II. 200)

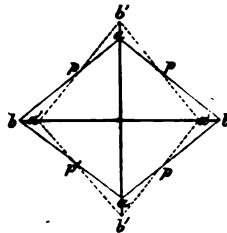
nannte die Andreasberger Hyacinthe blanche cruciforme, und Gillot (Journal de Physique, August 1793) zeigte zuerst den Unterschied vom Hyacinth. 1794 schrieb L. v. Buch Beobachtungen über den Kreuzstein und 1831 Köhler über die Naturgeschichte des Kreuzsteins, Schulprogramm. Worn hielt ihn noch für Kalkspath.



Krystallform scheint 2gliedrig mit manchen Merkwürdigkeiten. Einfache Krystalle, wie sie sich auf Kalkspath mit Brewsterit zu Strontian finden (Morvenit Thomson's), bilden ein Granatoeder zu einer Oblongsäule mit aufgesetztem Oктаeder ausgebehnt, wie beim Strahlzeolith. Die Oblongsäule o/q nur wenig blättrig, doch hat die breite q etwas stärkeren Perlmutterglanz als die schmale Fläche o, obgleich diese etwas stärker blättrig scheint als jene. Die Endantenwinkel des Oктаeders P fand Köhler beim Barytkreuzstein über der breiten Säulenfläche q $120^{\circ} 1'$, über der schmalen o $121^{\circ} 27'$ (Pogg. Ann. 37. 562) das gäbe $a : b = 1,43 : 1,462$; $a^2 = 2,045$, $b^2 = 2,137$.

Darnach würde b senkrecht gegen die breite Säulenfläche q stehen. Die scharfe seitliche auf die breite Säulenfläche aufgesetzte Endante ist gewöhnlich durch $s = b : \infty a$ gerade abgestumpft, die stumpfe vordere dagegen nie, das deutet entschieden auf 2gliedrige Ordnung. Nach diesem Paare ($s/s = 111^{\circ} 15'$) richtet sich die Streifung sämtlicher Flächen: die deutlichste geht parallel der Kante P/s über die Oктаederflächen P und die schmalen Oblongsäulenflächen weg, auf dieser o entsteht daher eine federartige Streifung mit einem Rhombus von $111^{\circ} 15'$ in der Mitte. Wenn die breite Säulenfläche Streifung hat, so ist sie horizontal parallel der Axe a. Flächen s sind öfter nach einer deutlichen Linie gebrochen, als wären es Zwillingartige stumpfe Winkel. Die Schottischen Krystalle stark verzogen, doch findet man die Oblongsäule leicht, weil darauf Newtonianische Farben gut hervortreten, obgleich der blättrige Bruch nicht stark ist. Lévy und Dufrenoy haben die Krystalle daher auch nach der Säule s/s aufrecht gestellt, doch spricht das ganz gegen die bisher übliche Anschauung.

Zwillinge finden sich besonders auf den Erzgängen von Andreasberg, wo man sie zuerst kennen lernte: zwei Individuen kreuzen sich so, daß das eine seine schmale hinlegt, wo das andere seine breite Fläche hat. Dadurch entsteht ein ausgezeichnetes Kreuz. Da die Säule $a : b : \infty$ nur $91^{\circ} 15'$ beträgt, so könnte man meinen, sie hätten wie im 2gl. System eine Säulenfläche gemein, und lägen umgekehrt. Spiegelt man die Oктаederflächen im Licht oder in der Sonne, so kommt nie von zwei anliegenden Zwillingflächen zugleich ein Bild ins Auge, was sein müßte, wenn die Oктаeder viergliedrig wären, wie sie Haüy nahm. Es zeigt sich vielmehr in der Zwillingkante ein ein- oder auspringender Winkel von $179^{\circ} \cdot 23'$ (Phillips maß $178^{\circ} 45'$). Man sieht

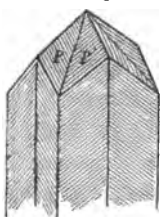


dieß leicht durch eine kleine Projection ein, worin $a : b$ das eine, und $a' : b'$ das andere Oktaeder bezeichnet, beide schneiden sich in p. Der Zonenpunkt

$$p = \frac{1}{\frac{1}{a} + \frac{1}{b}} = \frac{ab}{a+b}, \mu = \frac{1}{a}, \nu = \frac{1}{b};$$

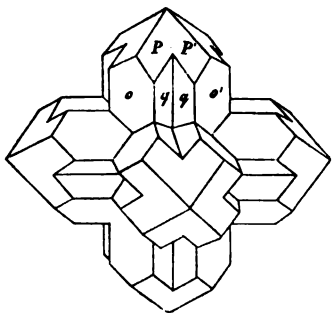
dieß in die Winkelformel der Kantenzone des regulären Systems pag. 58 gesetzt, gibt

$$\text{tg} = \sqrt{a^2 + b^2 + 2ab + 2a^2b^2} : b - a = 89^\circ 34' 12''$$



Der einspringende Winkel häufig auf der angewachsenen Seite. Füllen die Fugen der gekreuzten Säulen sich aus, so entsteht ein scheinbar einfacher Krystall mit Federstreifung auf den Oktaederflächen: wir haben eine quadratische Säule mit einem sehr stumpfwinkligen 4 + 4kantner, wenn die ausspringenden Winkel zum Vorschein kommen. Uebrigens sind diese kleinen Winkelunterschiede durch Streifung so versteckt, daß man noch gegründete Zweifel haben kann, ob die Form des einfachen Krystalls nicht doch ein Granatoeder sei, dessen Flächen P o q nur unbeschadet der Winkel physikalisch different geworden sind, und die nun ein Bestreben zeigen, durch den Zwilling diese Differenz wieder auszugleichen.

Vierlinge und Sechßlinge entstehen, wenn sich Zwillinge zwei



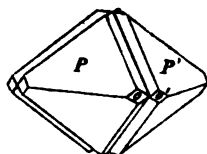
oder dreifach rechtwinklig wie das Azenkreuz untereinander kreuzen, die P so gestellt, daß je zwei möglichst einspiegeln. Beim Sechßling sind dann auf diese Weise die Differenzen vollkommen wieder ausgeglichen. Würden sich die Fugen ausfüllen, so entstände ein vollkommenes Granatoeder, woran jede Fläche blos einen stumpfen Knick nach den beiden Diagonalen zeigte. So sehen wir, wie aus einer zweigliedrigen Ordnung die reguläre durch Vermehrung der Zwillinge hergestellt werden kann. Bei-

stehenden schönen Sechßling bildet Köhler von Andreasberg ab. Weiß. Abh. Berl. Akad. 1831. pag. 328.

Farblos oder schneeweiß, zuweilen auch blaß rosenroth, wie das neuere Vorkommen zu Andreasberg, Härte zwischen Flußpath und Apatit (4,5). Gewicht 2,4 bei dem Barytkreuzstein, die Kalkkreuzsteine leichter. Das optische Verhalten Ann. min. 1858. XIV. 77.

a) Barytkreuzstein $\text{Ba Si} + \text{Al Si}^2 + 5 \text{H}$, nach Köhler etwa 46,1 Si, 16,4 Al, 20,8 Ba, 15,1 H, Spuren von Ca fehlen nicht. Vor dem Löthrohr fällt er mehrlartig auseinander, und läßt sich schwer schmelzen. Die gewöhnlichste und schönste Abänderung. Vorzugsweise auf Ergängen (Andreasberg, Strontian, Dumbarton) wahrscheinlich weil hier die Schwererde eine Hauptrolle spielt; selten in vulkanischen Gesteinen (Mandelstein bei Oberstein), wo auch der Schwerpath in den Mandeln nicht ganz fehlt.

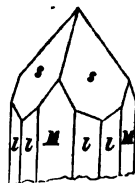
b) **Kalkkreuzstein (Phillipsit)** $(Ca, K) Si + Al Si^2 + 5 H$, nach L. Gmelin vom Stempel bei Marburg 48 Si, 22,6 Al, 6,5 Ca, 7,5 K, 16,7 H. Annerode bei Gießen, Habichtswald bei Cassel, im Mörtel von Plombières. Findet sich nicht auf Erzgängen, sondern in Drüsen vulkanischer Gesteine, zeigt große Neigung zu Sechslingskrystallen, die aber selten klar, sondern meist schneeweiß sind. Wegen des Mangels an Baryterde haben sie ein Gew. von 2,2. Die Endkantenwinkel des Oктаeders betragen nach Haidinger $123^{\circ} 30'$ und $117^{\circ} 30'$. In den Basaltischen Laven von Capo di Bove bei Rom und Aci Reale am Aetna kommen Zwillinge vor (Erdner Leonh. Jahrb. 1847. 555), an denen sich nur die eine Hälfte der Oктаederflächen P und P' ausdehnt, während die Säule o sehr zurück bleibt. Es entsteht dann das Oктаeder des Granatoeders mit fast rechtwinkligen Seitenkanten, dessen Ecken kaum abgestumpft werden. In den Ranten sieht man aber noch die Zwillingfugen. Zuletzt sollen auch diese nebst den Abstumpfungsflächen ganz verschwinden und ein glänzendes Oктаeder übrig bleiben, an dem man nicht mehr die Spur eines Zwillinges wahrnehme. G. Rose (Kr. Ch. Miners. pag. 93) glaubt jedoch, daß diese Oктаeder ein anderes Mineral, als der auf andern Drüsen des Fundorts vorkommende Kalkkreuzstein seien, und beschränkt darauf den vielfach verwechselten Gismondin (Abrazit, Zeagonit), zumal da die Zusammensetzung $(Ca, K)^2 Si + 2 Al Si + 9 H$ etwas abzuweichen scheint. Koenig (Leonhard's Jahrb. 1853. 155) glaubt sogar, daß Zeagonit und Gismondin von einander verschieden seien. Levy (Descr. Min. II. 44) vergleicht den unschmelzbaren Zeagonit mit Birton. Der ähnliche Berzelin mit Hauyn am Albaner-See krystallisiert regulär mit Zwillingen wie Spinell. Descloizeaux (Ann. mines 1847. XII.) nannte dem König von Dänemark zu Ehren den Kalkkreuzstein von Dyresford auf Island Christianit.



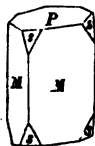
7. Jäthyophthalm.

Der Portugiese d'Andrada gab ihm diesen auffallenden Namen (Scherer's Journ. IV. 22), weil der blättrige Bruch silberartig wie „Fischaugen“ glänzt. Er fand ihn auf Utö. Doch ist Rinman's Zeolith von Hällestad in Schweden schon das Gleiche. Haüy sich an dem Namen stoßend nannte ihn *Apophyllit* (*ἀποφυλλίζω* abblättern).

Der 4gliedrige Zeolith findet sich in ausgezeichneten farblosen und durch Kobalt blaß rosenrothen Oктаedern auf den Erzgängen des Samson von Andreasberg in größten Teufen. Oктаeder $s = a : a : c$ sehr scharf, und schon Haüy gab den Seitenkantenwinkel 121° , folglich den Endkantenwinkel $104^{\circ} 2'$ an; Dauber (Pogg. Ann. 107. 300) $121 \cdot 8$ Seiffert, $120 \cdot 30$ Andreasberg, $119 \cdot 43$ Poona. $a = 0,80012$. Sieht man schief gegen die Endspitze, so kommt ein Aularartiger Lichtschein heraus, welcher mit der Stärke des Blätterbruchs der Geradenfläche $P = c : ooa : ooa$ zusammenhängt. Nie ist die erste quadra-



tische Säule da, und nie fehlt die 2te $M = a : \infty a$, welche die Seitenecken des Oктаeders abstumpft. Eine 4 und 4kantige Säule $l = a : \frac{1}{2}a$ gern angedeutet. Dehnt sich die quadratische Säule M mit der Geradenfläche P aus, so entsteht ein 2+1flächiges Hexaid (Drauwka im Banat), dessen Kanten den Axen parallel gehen. Wenn nun das Oктаeder die Ecken abstumpft,

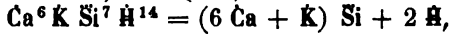


so bilden die Abstumpfungsflächen gleichschenklige Dreiecke, weil die Würfelkanten in dem Verhältniß 4 : 4 : 5 geschnitten werden, da sich $a : c = 0,8 : 1 = 4 : 5$ verhält. Oft werden die Krystalle durch Ausdehnung des Blätterbruchs tafelförmig (Fassathal mit Analcim), dann schärft das Oктаeder die Ecken der rechtwinkligen Tafeln zu. Seltenerer Flächen finden sich besonders an Krystallen von Utö. Es kommen dort neben den genannten die Oктаeder $3a : 3a$, $5a : 5a$, $2a : \infty a$, $5a : \infty a$ vor. Haupt gab noch $\frac{1}{2}a : \infty a$, $\frac{1}{4}a : \infty a$ an, auch eine vierundvierkantige Säule $a : \frac{1}{2}a : \infty c$, und unter mehreren 4+4kantnern einen sehr einfachen $a : 2a$. Derbe Zöthyophthalmine (Fassathal) haben große Neigung zu schaaligen Absonderungen, wenn sie dann mit rothem Eisenoxyd durchzogen sind, so kann man die trüben beim ersten Anblick für Schwesphat halten, allein es fehlt der blättrige Querbruch. Die klaren in Hornblendgestein und Magneteisen eingesprengten Stücke von Utö gleichen Adular. Allein geringere Härte = 4—5 und geringeres Gewicht = 2,4 lassen sie nicht verwechseln.

Die optischen Eigenschaften haben die Aufmerksamkeit Brewsters in hohem Grade auf sich gezogen (Edinb. Transact. 1816 und 1821). Die meisten sind + einaxig: man sieht im Polarisationsmikroskop ein schwarzes Kreuz ohne deutliche Farbenringe, daher von Herschel *Leucochelit*, von Brewster *Orthaverit* (Orthaver auf Island), genannt. Die klaren Blätter von Utö, Poona und Fassa gehören dazu. Die Banater zeigen dagegen im blauen Felde ein schwaches — Kreuz. Soleil der Vater besaß früher noch andere negative Blättchen von unbekanntem Fundort. Zwischen + und — finden sich dann alle möglichen Uebergänge, und beim Tesselit von Nalsö (Färöer Ins.) sogar 2axige Andeutungen: die kleinen quadratischen Säulen mit Geradenfläche sind außen zwar klar, innen jedoch streifig und schuppig, und lassen einaxige und zweiaxige Stellen wahrnehmen. Sieht man im polarisirten Lichte senkrecht auf die quadratische Säule, und dreht in dieser Lage den Krystall so, daß die Axe c 45° mit der Polarisationsebene macht, so kommen höchst eigenthümlich symmetrisch gruppirte Farbenerscheinungen. Biot (Mémoir. de l'Institut. 1842. XVIII. etc) erklärt die scheinbare Doppelaxigkeit aus der Lamellarpolarisation. Er behauptet, daß die Oктаeder aus lauter feinen Schichten beständen, welche sich parallel den Oктаederflächen auflagerten. Allerdings scheint die fortificationsartige Streifung abgebrochener Krystalle dafür zu sprechen. Da nun das Mineral ein sehr schwach polarisirender Körper ist, so ließe sich daraus die Erscheinung erklären.

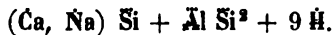
Vor dem Löthrohr schmilzt er sehr leicht, noch etwas leichter als Natrolith, blättert sich dabei wenig auf, und färbt die Flamme etwas violett, Reaction des Kali. Im schwachen Feuer wird er trüb weiß, wie Werner's

Albin von Mariaberg an der Elbe bei Auffig, der also ohne Zweifel hierhin gehört. Bei 10 Atmosphären Druck in Wasser von 180° löslich, krystallisiert beim Erkalten wieder heraus (Wöhler Ann. Chem. Pharm. LXV. 80).



von Utö gibt Berzelius 52,13 Si, 24,71 Ca, 5,27 K, 16,2 H und 0,82 Flußsäure, deren Reaction sich beim Blasen in offener Glasröhre zeigt. Die Blasenräume der Mandelsteine, die Magneteisenlager Schwedens und die Erzgänge des Samson sind Hauptfundgruben. Mit Boonahlith bei Bombay schön bläulich. Die kleinen grünen Oktaeder (Kjochlor Jahrb. 1856. 187) im fossilen Holze isländischer Luffe stehen dem ächten Ichthyophthalm sehr nahe.

Faujasit (Damour. Ann. des mines 1842. 4 ser. I 208) in Höhlen der augitischen Mandelsteine von Sasbach am Rhein. Anfangs 4gliedrig, jetzt regulär beschrieben, worauf auch der Zwilling und das optische Verhalten deutet. $S. = 5$, $G. = 1,92$. Merkwürdiger Weise kommen auf ein und demselben Handstück Krystalle von zweierlei Aussehen vor: die häufigern farblos und glasglänzend und die seltenern braungelb mit Diamantglanz. Die Krystalle haben innen ähnliche Streifenbündel mit starkem Lichtschein, wie der Ichthyophthalm, an den sie auch sonst sehr erinnern. Allein vor dem Löthrohr schmelzen sie viel schwerer,



16,7 Thonerde entfremdet das Mineral dem Ichthyophthalm. Ammerod bei Gießen, Pflasterkaute bei Eisenach.

Olenit (Robell Kaffner's Archiv XIV. 202) aus dem Mandelstein von der Insel Disko an der westgrönländischen Küste bildet Faserzeolithartige Massen. Breithaupt beschreibt 2gliedrige Säulen von 122° 19', auch seine übrigen Kennzeichen stimmen gut mit Faserzeolith, allein der Mangel an Thonerde fällt auf, und gibt ihm mit Ichthyophthalm Verwandtschaft, $\text{Ca}^3 \text{Si}^4 \text{H}^6$. Connel's Disclasit von den Faröer Inseln hat ganz die gleiche Formel. Der mattweiße Pektolith vom Monzoniberge im Fassathal mit Na und Ca möchte vielleicht das gleiche nur mehr verwitterte Mineral sein. Es bricht zwischen langstrahligem Faserzeolith. Andersons Gyrolit (*γυρός* gerundet, Erdmann's Journ. 52. 202) bildet kleine Kugeln im Mandelstein von Skye, nicht selten auf Ichthyophthalm sitzend $2 \text{Ca Si}^3 + 3 \text{H}$. Auch Plombiérit hat keine Thonerde.

8. Lomonit W.

Eigentlich Raumontit, nach Gillet Raumont, der ihn 1785 in den Bleierzgängen von Puelgoët in der Bretagne entdeckte. Wegen seiner großen Verwitterbarkeit (man muß ihn schon in den Gruben mit Firniß überziehen) nannte ihn Gang anfangs Zéolithe efflorescente.

$2 + 1$ gliedrige Säule M/M von 84° 30' (Dufrénoy) mit einer auf die scharfe Kante aufgesetzten Schiefenfläche P, P/M 114° 30', seltener die hintere Gegenfläche $x = a' : c : oob$, P/x = 104° 20'. Säule M deutlich blättrig mit einem eigenthümlichen Seidenglanz, die Abstumpfungsfäche der



scharfen Säulenkante $b : ooa : ooc$ soll auch noch etwas blättrig sein. Eine dreifach schärfere $y = \frac{1}{2}a' : oob$. Gewöhnlich finden sich nur die einfachen Hendyoeder, aber diese in großer Schönheit, z. B. in den Mandeln von Oberstein, wo sie die neue Eisenbahn zum Vorschein brachte. Leonhardt (Blum Pogg. Ann. 59. 236) mit den Hendyoederwinkeln $96^{\circ} 30'$ und 114° von Schemnitz ist ohne Zweifel das Gleiche. Kommt dort in schönen Zwillingen in Schwalbenschwanzform vor. Verwittern leicht, werden brüchig, weich und mehlartig; frisch mögen sie wohl Flußspathhärte und darüber erreichen, Gew. 2,34. Eigenthümlicher Seidenglanz. Das leichte Zerfallen an der Luft soll von hygroscopischem Wasser herrühren, was sie in trockener Luft abgeben. In feuchter Luft sollen sie nicht zerfallen, am schnellsten aber im luftleeren Raum (Ann. des min. 4. ser. IX. 236).

Vor dem Röthrohr blättern sie sich etwas nach der Säule auf, geben schon bei 100° C. Krystallwasser ab, und schmelzen schwerer als Faserzeolith, mit dem ihre Zusammensetzung



große Verwandtschaft hat. Es kann daher in einzelnen Fällen schwer werden, sie richtig zu trennen! Wenn Krystalle die Schieferungsfläche P haben, dann ist es leicht, werden sie aber langstrahlig, wie gewisse Abänderungen aus dem Fassathal, so kann man sie leicht mit dem dortigen Faserzeolith verwechseln, wofür sie neuerlich Kennigott (Ueberf. Miner. Forsch. 1858. 11) auch wirklich genommen hat. Bekannt sind die schneeweißen Nadeln zwischen den farblosen Apatiten auf körnigem Feldspath vom St. Gotthardt. Röthliche sehr verwitterte Krystalle kommen in großen Massen im Grünsteine von Dillenburg vor. Caporcianit (Silliman Amer. Journ. XIV. 68) von Toscana scheint auch dahin zu gehören. In den Mandeln vom Hüttenberge bei Weissig soll sich der Lomonit in Feldspath (Weissig) verwandelt haben.

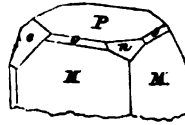
9. Prehnit Br.

Werner (Bergm. Journ. 1790. III. 1 pag. 69) nannte ihn nach dem Holländischen Gouverneur am Cap Obristen v. Prehn, der ihn von Südafrika mitbrachte. Er war den Franzosen schon seit 1774 von dort bekannt, nur wegen seiner grünen Farbe von Sage und Delisle Chrysolitho du Cap genannt. Hat nicht mehr das Aussehen eines ächten Zeolithes.

2gliedrige rhombische Tafeln M/M von 100° , Geradenfläche P recht blättrig, aber immer krummschalig, unregelmäßig geknickt und muldenförmig. Bei den gelblichen Krystallen von Jordansmühle östlich des Zobten ist alles rauh, nur der stumpfe Säulenwinkel zeichnet sich spiegelglänzend aus. Von M her gesehen haben sie daher ein garbenförmiges aufgeblättrtes Aussehen, wie der Strahlzeolith, und wenn die Säulen hoch sind, so können sie eine vollkommene Linienform (Hahnenkammform) annehmen, in welcher man sich aber immer leicht mittelst des blättrigen Bruchs orientirt. Längs der stumpfen Säulenkante blättern sie sich leichter auf als längs der scharfen. Die scharfe



Säulenlante durch $b : \infty a$ häufig abgestumpft, das gibt zu Bardes in den Pyrenäen äußerst dünne Tafelchen (Kupholit). Zu Ratschinges bei Sterzing in Tyrol kommt auch ein Paar auf die scharfe Kante $e = \frac{1}{2}b : c : \infty a$; $n = a : \infty b$ und $\frac{1}{2}a : \infty b$ auf die stumpfe Säulenlante aufgesetzt vor. Selten ein Oktaeder $o = a : b : c$, was die Kanten P/M abstumpft.



Pyroelektrisch und zwar centralpolar (Abh. Berl. Akad. Wiss. 1843. 88). Erwärmt man sie bis 130° — 140° R., so sind die stumpfen Säulenlanten antilog, die Mitte der Tafel aber analog elektrisch, die scharfen Seitenlanten unelektrisch. Es gehen also gewisser Maßen längs a zwei Aren, deren analoge Pole sich zu- und deren antiloge sich abkehren. Eine Fläche $a : \infty b$ trifft den analogen Pol nur dann, wenn sie durch die Mitte geht, dagegen $b : \infty a$ denselben immer, d. h. sie ist bei abnehmender Temperatur immer in der Mitte — elektrisch.

-Farbe gewöhnlich lichtgrün, wie bei Eisenorybulfalzen, Feldspathhärte 6, Gew. 2.9. Das stimmt wenig mit Zeolithen. Doch gibt seine

Chemische Zusammensetzung $\text{Ca}^2 \text{Al Si}^2 \text{H}$, also etwa 4,2 H, 44 Si, 24,2 Al, 26,4 Ca. Einem geringen Eisengehalt verdankt er wohl seine Farbe. Vor dem Löthrohr kann man ihn leicht von andern Zeolithen unterscheiden, er schmilzt nämlich noch leichter als Natrolith, bläht sich dabei auf, und bildet eine Menge kleiner Blasen gerade wie ein Seifenschaum.

Fasriger Prehnit wie er z. B. so ausgezeichnet im Mandelstein von Reichenbach (südlich Oberstein an der Nahe) mit gediegenem Kupfer vorkommt, wird dem Faserzeolith so ähnlich im Aussehen, daß außer der grünlichen Farbe und der größern Härte das Löthrohrverhalten ein willkommenes Unterscheidungsmittel ist. Häufig bildet er nierenförmige Massen, auf deren Kugelumrandung die Säulenflächen liegen; der blättrige Bruch geht längs der Strahlen, es sind daher nichts weiter als stark ausgebildete Hahnenkämme. Schon bei den Krystallen sieht man auf dem Blätterbruch Streifen vom Centrum nach den Kanten P/M strahlen, wenn sich die Krystalle nun aneinander verschränken und die Säulenflächen krümmen, wie man das so schön bei den fast smaragdgrünen Drusen vom Cap findet, so entsteht nach und nach nierenförmiger Bau, der sich bei Campitello (Tassa) zu eleganten Kugeln abschließt.

Krystalle, wenn auch meist gekrümmt, finden sich besonders schön zu St. Christoph und Armentières unfern Bourg d'Oisans in der Dauphiné mit Epidot und Aeginit zusammen. In Klüften des Hornblendegebirges von Ratschinges bei Sterzing, im Asbest des Monte Rosa und in andern Gegenden der Alpen.

Asterkrystalle nach Pomonit beschreibt Blum (Pseudom. pag. 104) aus Spalten eines Diorits von Niederkirchen bei Wolfstein in Rheinbaiern. Die Krystalle sind sehr schöne Nadeln mit Schiefenfläche, und zeigen das Schäumen gut. Eben daselbst kommen sie nach Analcim vor, wie im Trapp von Dumbarton (Pogg. Ann. 11. 880). Vielleicht steht hier auch der

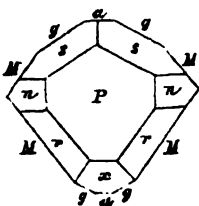
Karpholith W. (καρπος Stroh) nach seiner strohgelben Farbe genannt, auf Klüften des Gneises von Schlackenwald in Böhmen mit

amethystfarbigem Flußspath. Excentrisch strahlig, $\rho = 5$, Gew. = 2,9. Schäumt nur wenig vor dem Röthrohr, gibt mit Borax ein amethystfarbenes Glas, denn Stromeyer fand 19,1 Mn neben 2,3 Fe, 10,7 H, 1,5 Flußsäure u., woraus Berzelius die zweifelhafte Formel $(\text{Mn}, \text{Fe})^3 \text{Si} + 3 \text{Al Si} + 6 \text{H}$ ableitet. Man muß sich hüten, ihn nicht mit verwittertem Wavellit zu verwechseln. Prehnitoid von Wixid (Jahrb. 1857. 88) hat kein Wasser. Thomson's Glottolith von Glotta am Elbe soll kleine reguläre Oktaeder bilden.

10. Datolith.

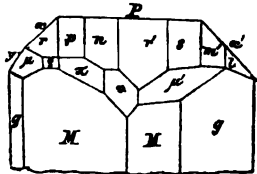
Esmark fand matte grünliche Krystalle 1806 auf den Magneteisenlagern bei Arendal, und nannte sie nach ihrer körnigen Absonderung (*δατέομαι* absondern), Werner schrieb Datholith. Man hat ihn daher auch wohl als Esmarkit aufgeführt. Die klaren später bei Rheiß gefundenen nannte Lévy Humboldt. Eine ausführliche Berechnung siehe in Pogg. Ann. 36. 245.

Bisher 2+1gliedrig beschrieben, a/c $91^\circ 41'$. Doch stellte ihn Miller (Elem. intr. miner. pag. 406) schon 2gliedrig dar, auch Heß (Pogg. Ann. 1854. 93. 220) fand a/c 90° . Dem widersprach Schröder (Pogg. Ann. 98. 222), er wollte mindestens eine Schiefe von 6 Minuten (a/c $90^\circ 6'$) retten. Dauber (Pogg. Ann. 1858. 103. 116) maß 64 Krystalle von Andreasberg, 67 von Toggiana mit vielen Repetitionen, kam auf manche Widersprüche, aber glaubte denn doch mittelst des höhern Calcul a/c $90^\circ 8' 40''$ annehmen zu sollen. Wir erscheinen das Minutiositäten, auf welche der Mineraloge nur geringes Gewicht zu legen hat. Gehen wir aus von der Säule $M = a : b : ooc$, vorn M/M $76^\circ 38'$, und von der Schiefenfläche $x = a : c : oob$, x/P $135^\circ 13'$,



so ist unter der Voraussetzung rechtwinkliger Axen $a : b = 1,0076 : 0,7962$. Die Geradenfläche $P = c : ooa : oob$ dehnt sich bei den schönen Formen aus dem Grünstein des Wäschgrundes von Andreasberg sehr aus, das gibt ihnen nebst dem Paare $n = c : 2b : ooa$ zwar ein zweigliedriges Ansehen, allein den hintern Augitpaaren $s = a' : c : 2b$ correspondirt vorn stets ein

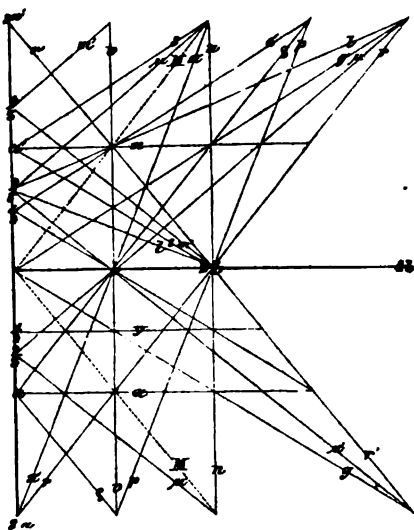
anderes Paar $r = 2a : 2b : c$, was dem Ganzen sichern 2+1gliedrigen Charakter ausdrückt. Man kann MPnrs unbedingt als die Hauptform ansehen, die sich überall wiederholt, und der sich die andern zahlreichen Flächen unterordnen. Gern gefällt sich noch die Säule $g = a : 2b : ooc$ und die Abstumpfung der vordern Säulenkante $a = a : oob : ooc$ dazu. Im Wäschgrunde wurden noch nebenstehende Flächen gefunden: $b = b : ooa : ooc$; $y = c : \frac{1}{2}a : oob$; $v = b : c : ooa$; $x' = a' : c : oob$; $r' = 2a' : 2b : c$;



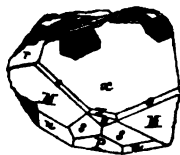
$q = a : b : c$; $\sigma = \frac{1}{2}a' : b : c$; $\pi = 2a : b : c$; $p = 4a : 2b : c$; $\mu = \frac{2}{3}a : b : c$; $\mu' = \frac{2}{3}a' : b : c$; $m' = \frac{4}{3}a' : 2b : c$; $l = \frac{2}{3}a' : 2b : c$.

Uebersicht der Flächen: Hexaid P 001, a 100, b 010 vollständig; Dodekaid M 110, v 011, x 101, x' 1'01 vollständig; Oktaid q 111 hälftig; Pyra-

midenhexaid g 210, n 012, y 201, ϕ 102, ϕ' 1'02; t 310, 103; ψ 104, ψ' 1'04, 410; f 203, 302; 034; r 112, r' 1'12, σ 2'11; π 122, s 2'12, 221; p 124, ϑ 214; l 3'12, ω 213; μ 322; 4'12; k 5'12; 134; 216; 4 · 3 · 10. Die Andreasberger zeigen sehr entwickelte Säulen und sind darnach leicht zu erkennen; in den Tyroler Achattugeln (Theiß bei Klausen) trifft man dagegen kurze verzogene Säulen und eine drusige Schiefendfläche, aber doch orientirt das Paar n. Mit diesen haben die prachtvollen Quarzkry-
stalle, die Tripe (Bogg. Ann. 10. 221)



Haytorit nannte, weil sie sich bis jetzt einzig in den Magnetisengruben in der Nähe der Hay-Tor-Granitbrüche in Devonshire fanden, die größte Aehnlichkeit. Es ist ein Hornsteinartiger Quarz, durch Eisenoxyd braun gefärbt, mit einem Gehalt von 98,6 Si. Die oft mehr als Zollgroßen Krystalle sind in mächtigen Drusen versammelt, und zeigen abgebrochen starke Fortificationsartige Streifung. Weiß (Abhandl. Berl. Akad. Wiss. 1829. pag. 68) hat dieselben ausführlich beschrieben, ihr Flächenreichtum ist wo möglich noch größer, als beim unveränderten Datolith: Fläche $b = a : \infty b : \infty c$ bildet wegen der Kürze der Säulen gewöhnlich nur ein gleichseitiges Dreieck; die ausgedehnte Schiefendfläche x läßt sich an der Rauigkeit ihres Aussehens leicht erkennen; $o 312 = \frac{1}{2}a : 2b : c$ stumpft die stumpfe Kante M/x ab, und ist beim Datolith nicht bekannt; y unter der Schiefendfläche und über dem kleinen Dreieck b ist gewölbt, „gleichsam mit geringerem Erfolg den allgemeinen Gravitationskräften abgewonnen.“ Hinten noch ein Paar $u = \frac{1}{2}a' : 2b : c$. Das System hat Aehnlichkeit mit dem des Wolframs, da Axe $a = 1,008$, also fast $1 = c$ ist. Daher muß denn auch der Winkel der Schiefendfläche $a : c : \infty b$ gegen die Axe fast genau 45° betragen, und weiter hängt damit die Gleichheit der Winkel zwischen M/M und v/v zusammen. Würde man also diese vier Flächen $M = a : b : \infty c$ und $v = b : c : \infty a$ verlängern, so schloßen sie ein nahezu viergliedriges Oktaeder ein, mit seiner Enddecke in b und den Seitenkantenwinkeln von 77° . Der stumpfe Säulenwinkel M/M von 103° steht dem Seitenkantenwinkel des Quarzbihexaeders ($103^\circ 35'$) so nahe, daß Weiß sich des Gedankens nicht entschlagen konnte, hier möchten irgend Beziehungen mit dem Quarz vorhanden sein. Jedenfalls seien es keine Austerkry-
stalle. Auch ist die Frische des Aussehens sammt dem Glanz der Flächen so groß, daß man sich sträubt, sie für Austerbildungen zu halten, und doch kommen auf den gleichen Gruben



3. B. Kalkspathkrystalle vor, die in nicht minder schönen Chalcedon sich verwandelt haben. Deshalb kann an der Afterbildung nicht gezwweifelt werden, trotz ihrer Vollkommenheit.

Datolith hat nur sehr versteckte Blätterbrüche, seine Klarheit ist am Ende der Krystalle oft außerordentlich groß, nach unten und durch Verwitterung wird er trüb. Optische — Mittellinie ungefähr senkrecht auf P, Aenebene der langen Diagonale b parallel. Glashärte 5, Gewicht 3.

Vor dem Löthrohr schmilzt er sehr leicht unter geringem Schäumen zu einer klaren Perle, und färbt dabei die Flamme etwas grün, ein Zeichen der Vorsäure. Auch mit Gyps schmilzt er leicht zusammen.



Mit Salzsäure gelatinirend, wie die übrigen Zeolithe, dann mit Alkohol behandelt die bekannte grüne Flamme. Isomorph mit Euflas? pag. 321.

Wegen seines großen Vorsäuregehaltes könnte man ihn auch zu den Boraten stellen. Indes Kieselerde und Art seines Vorkommens in den Achattugeln vom Fassathal, im Grünsteine von Andreasberg zc., so wie sein ganzes chemisches Verhalten erinnern an Zeolith. Zu Toggiana im Modenesischen (Pogg. Ann. 78. 12) kommt er im Serpentin (sogenannte rothe Gabbro) vor, in Nordamerika hat er sich an mehreren Punkten um New-York gefunden, besonders schön im Grünstein von Bergenhill auf der rechten Seite des Hudson. Einige darunter stimmen in ihren Verziehungen trefflich mit Saptorit (Hessenberg Abh. Senck. Ges. 1861. IV. 22). Spuren im Grünstein am Roskopf bei Freiburg (Jahrb. 1860. 108).

Botryolith Hausmann (Βότρυς Traube) bildet dünne kleintraubige Ueberzüge auf Kalkspath, Quarz zc. in dem Magneteisenlager der Grube Destre-Rienlie bei Arendal. Dickere Lager sind deutlich concentrisch schaalig und feinfasrig. Fahl, perlgrau, gelblich zc. Ein Datolith mit Glaskopf-structur, aber nach Kammelsberg 6 H, was vielleicht in einer Veränderung schon seinen Grund hat. Vor dem Löthrohr wirft er starke Blasen und gibt gelbliche Gläser.

VIII. Skapolithe.

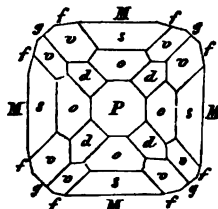
Sie haben ein feldspathartiges Aussehen und ähnliche Zusammensetzung, kommen glasig und frisch vor, gehören aber immer zu den selteneren Fossilien. Es ist nicht viel Gemeinsames darüber festzustellen, doch lieben sie Feuergersteine. Scherer (Pogg. Ann. 89. 12) sucht sogar nachzuweisen, daß Skapolith häufig in Feldspath umgestanden sei (Paramorphose). Bei Kragerö finden sich im Gneise Skapolithkrystalle, die innerlich in körnigen Feldspath umgewandelt sind. Er wagt sogar die Behauptung, daß Feldspathsubstanz dimorph sei.

1. Skapolith Andr.

Von *σκαίρος* Stab, auf die säulenförmigen Krystalle anspielend. Die glasigen kannte schon Delisle, die frischen unterschied zuerst Andrada (Sche-

rer's Journ. 1800. IV. ss. ss) als Stapolith und Wernerit aus den Arendaler Magneteisengruben. Werner hat jedoch letztern immer abgelehnt, und da man gleich frühzeitig zu viel Species machte, Paranthin Hy., Rapidolith Abilgaard, Artifizit Br., so hat der Name Wernerit in Deutschland nicht durchgeschlagen. Glaukolith, Paralagit, Stroganowit zc. Viele Namen pflegen Unsicherheit der Sache zu verrathen. Hermann (Erdmann's Journ. prakt. Chem. 1851. 54. 410) und G. vom Rath (Pogg. Ann. 99. 200) gaben umfassende Analysen.

Viergliedriges Krystallsystem, ein stumpfes Oktaeder $o = a : a$ von $136^{\circ} 7'$ Endft. (Mohs), $136^{\circ} 11'$ (Kotscharow), andere geben bis $136^{\circ} 38'$ an, folglich $\text{Az} a = 2,273$. Meistens kommt die 1ste und 2te quadratische Säule vor, beiden entspricht ein blättriger Bruch, eine davon kann man in großen Arendaler Stücken noch gut darstellen. Zuweilen findet sich auch die 4 + 4antige Säule $f = a : \frac{1}{2}a : \infty c$, und ein Vierkantner $v = a : c : \frac{1}{2}a$, welche beide Neigung zur Hälftflächigkeit zeigen, nach Zippe (Isis 1833. 300) in gyrodritscher Ordnung. Am Flüßchen Südjanka in Daurien kommen prachtvolle Krystalle von Zollgröße vor mit allen genannten Flächen nebst $d = a : c : \infty a$ und $s = c : \frac{1}{2}a : \frac{1}{2}a$. Die Krystalle zeigen große Neigung zu langen Säulenbildungen, die strahlig durcheinander liegen, und denen meistens die Endkrystallisation fehlt, oder wenn sie da ist, so zeigt sie sich nicht scharf ausgebildet. Man muß sich übrigens durch die künstlich angefressenen nicht täuschen lassen, denn da sie im Norden häufig in Kalkspath liegen, so nimmt man den Kalkspath mit Säure weg, welche auch die Silicate angreift. Die Oberfläche bekommt dadurch, wie auch durch Verwitterung einen eigenthümlich seidenartigen Glanz, an was der Haüy'sche Name Paranthine (*παρανθίνω* verblühen) erinnern soll.



Gew. 2,6, Härte 5—6. Berggrün zu Arendal, schmutzig rosenroth zu Bolton in Massachusetts, blau am Baikalsee zc. Trübe Farben, Querbruch etwas Fettglanz.

Chemisch macht er viel zu schaffen, wegen der großen Abweichungen der Analysen von einander. Bischof (Chem. Phys. Geol. II. 400) sucht den Grund in einer spätern Zersetzung, indem Kohlensäurehaltige Wasser Kalkerde und Alkalien in Carbonate zersetzt und fortgeführt werden, so daß die Kieselsäure auf 62 p. C. (Arendal), ja sogar 93 p. C. (Pargas) steigen könne. In New-Jersey kommen daher auch Austerkrystalle nach Speckstein und bei Arendal nach Epidot und Glimmer vor, der Glimmer steckt körnig darin. G. Rose bleibt bei der Formel $R^3 Si + 2 K Si$ stehen, die zugleich die des Epidotes wäre. Verhard vom Rath nimmt drei verschiedene chemische Species mit Entschiedenheit an: 1) Mejonit $Ca^3 Al^2 Si^3$; 2) Stapolith $R^3 Al^2 Si^4$; 3) Wernerit von Gouverneur $R^3 Al^2 Si^5$. Doch darf man solche künstliche Deutungen nicht etwa als Beweis für Dimorphismus nehmen. Das Pulver wird von Salzsäure vollkommen zersetzt, ohne zu gelatiniren, vor dem Löthrohr schmelzen sie leicht mit Schäumen.

1. Mejonit Hy. aus den Marmorblöcken der Somma, wasserklar, aber häufig mit einer oberflächlichen Trübung. R. de V'Isle nannte ihn weißen Hyacinth, Haüy zeigt jedoch, daß die Hauptaxe viel kürzer sei, daher der Name (*μειον* kleiner). Er schäumt vor dem Löthrohr auffallend, und ist der reine Kalkskapolith $\text{Ca}^3 \text{Al}^2 \text{Si}^3$ mit der Formel des Zoisit. Die Art des Querbruchs erinnert an Leucit. Scacchi's Mizzonit $135^\circ 58'$ kommt nur selten im Feldspathgestein der Somma vor, löst sich schwerer und schäumt weniger vor dem Löthrohr. Außerdem brechen daselbst noch eine ganze Reihe viergliedriger Krystalle, die ihrer Zusammensetzung nach zwar etwas von Mejonit abweichen, in ihren Winkeln aber auffallend stimmen, nur daß eine Geradenfläche $c : ooa : ooa$ herrscht, die dem Mejonit fehlt, und an Vesuvian erinnert:

Humboldtilit Covelli und Monticelli (Miner. Vesuv. pag. 375) $2 \text{Ca}^3 \text{Si} + \text{Al Si}$, aber etwas Mg und Na enthaltend. Die etwas blättrige Geradenfläche herrscht stark, Ottaeder $a : a$ 135° in den Endkanten. Gern gelbliche Farbe. Künstlich in den Schladen pag. 258. Thomson's fleischrother Sarkolith von der Somma gehört nach Breithaupt ihm an, die Stoffe $(\text{Ca}, \text{Na})^3 \text{Si} + \text{Al Si}$ stimmen jedoch nicht ganz. Kosscharow (Mat. Min. Rußl. II. 109) fand aber dieselbe Form mit Hemiedrie. Die kleinen, schmutziggelben Melilithe aus dem Nephelingsstein vom Capo di Bove bei Rom, welche schon Fleriau de Bellevue (Journal de Physique II. 459) entdeckte, mögen wohl damit zu vereinigen sein, sie bilden einfache quadratische Säulen mit Geradenfläche. Sommervillit. Zurlit ein Gemenge mit Augit (Zahrb. 1858. 201).

2. Skapolith, darunter versteht man mehr die trüben kaum an den Ranten durchscheinenden Vorkommnisse, namentlich des nordischen Urgebirges, neben Ca ist ihnen ein Gehalt an Na wesentlich, also $(\text{Ca}, \text{Na})^3 \text{Si} + 2 \text{Al Si}$, in offener Röhre etwas auf Flußsäure reagirend. Doch stimmen die Analysen sehr wenig unter einander überein, man muß sich daher mehr auf die naturhistorischen Kennzeichen verlassen. Sein Aussehen ist Feldspathartig, aber er schmilzt leicht unter Schäumen zu Glase. Haüy legt ein Gewicht darauf, daß sein Pulver auf Kohlen geworfen ein wenig leuchte, namentlich der Diphr, welchen Gillet Baumont bereits 1786 in einem fetten Steinmark von Mauléon in den Pyrenäen entdeckte. Haüy zeigte, daß er ganz die Structur des Skapoliths habe, und konnte so wenig Ausgezeichnetes daran finden, daß er mit dem Namen nur auf die doppelte Wirkung des Feuers hinweisen wollte, welches ihn schmilzt und phosphorescirend macht. Delesse gibt ihm nun zwar die Formel $4 (\text{Ca} + \text{Na}) \text{Si} + 3 \text{Al Si}$, allein bei so veränderbaren Mineralen gilt offenbar Structur mehr als Formeln. Ekbergit von Pargas, Nuttalith R Si + Al Si aus Massachusetts und andere gehören ihrem Gefüge nach hierhin. Die Eisensteinlager von Arendal im südlichen Norwegen und von Pargas in Finnland sind vorzügliche Fundorte. Gern im Kalkspath, bei Gröby kommen in den Marmorbrüchen sogar Höhlen vor, worin die schönsten Krystalle neben Hornblende, Augit, Apatit 2c. frei ausgewaschen liegen. Der spangrüne Atheriaastit Weibye (Pogg. Ann.

1850. 200, sollte heißen Atheristit, *ἀθήριστος* nicht beachtet) aus der auflässigen Näsgrube bei Arendal soll Haug's Wernerit sein, er hat die Krystallform des Stapoliths, aber 7 p. C. H und daher ein etwas anderes Röthrohrverhalten. Gleiche Form ist auch hier wieder die Hauptsache.

Geklenit (Zuch's Schweigger's Journ. XV. 277) kommt bei Bigo am Monzoniberg in Südtrol in derben mit Kalkspath bedeckten Massen vor. Im Spath stecken würfelige Krystalle von 3'''—6''' Durchmesser, da sie aber weiter keine Fläche haben, auch die Blätterbrüche außerordentlich versteckt liegen, so läßt sich über das System schwer entscheiden. Haug nahm es als quadratische Säule mit Geradendfläche, die man durch ihren etwas stärkern Blätterbruch von den beiden Säulensflächen unterscheiden zu können meint. Descloizeaux (Ann. des min. 1847. XII) hat das bestätigt, und mehrere Flächen gemessen: g^3 120, a^2 401, a^2 16 · 0 · 7, b^2 773. Schwacher Fettganz, dunkel ölgrün, Φ = 6, Gew. 3. $3 (Ca, Mg, Fe)^3 Si + Al^3 Si$, doch stimmen die verschiedenen Analysen nicht sonderlich. Salzsäure zerlegt ihn selbst noch nach dem Glühen, und scheidet Si gallertartig aus. Man muß sehr kleine Splitter wählen, wenn man sie vor dem Röthrohr an den Ranten zum Schmelzen bringen will. Barjowit von der Barjowka am Ural schmilzt ebenfalls schwer, Φ = 6, Gew. = 2,7, von Stapolithartigem Ansehen $Ca^3 Al^3 Si^3$. Bytownit aus Bytown in Ober-Canada hat noch etwas Na und Fe, die einen Theil von Ca und Al vertreten.

2. Nephelin Sy.

Nephel Nebel, weil glasige klare Stücke in Salpetersäure im innern trübe werden. Lametherie entdeckte ihn an der Somma, daher Sommit genannt.

Krystallsystem 6gliedrig, eine reguläre sechsseitige Säule mit Geradendfläche, durch die zweite sechsseitige Säule zwölfseitig gemacht. Dihezaeder $a : a : ooa$ hat Seitenkanten $88^\circ 40'$ Phill. ($88^\circ 6'$ Haid.), gibt $a = 1,182 = \sqrt{1,397}$. Dehezaeder nicht häufig, stumpft die Endkante der Säule ab; noch seltener ein zweites $\frac{1}{2}a : \frac{1}{2}a : ooa$ (Davy).

Man kennt ihn frisch und glasig, Härte 5—6, Gew. 2,5—2,7. Vor dem Röthrohr schmilzt er schwer aber ruhig zu einem Glase, gelatinirt mit Salzsäure $(Na, Ka)^3 Si + 2 Al Si$.

1. Glasiger Nephelin. Am ausgezeichnetsten in den Somma-Auswürflingen (Sommit) mit schwarzer Hornblende, Granat und glasigem Feldspath, dieser gleicht ihm außerordentlich, doch ist er blättrig und schmilzt noch schwerer. In Drusenräumen der Laven von Capo die Dove mit Melilithe läßt er sich leichter erkennen, weil darin kein glasiger Feldspath herrscht. Nach Scherer 44 Si, 33,3 Al, 15,4 Na, 4,9 Ka. Man hüte sich vor Verwechselung mit Apatit. Cavolinit und Beudantit die gleichen.

Nephelingestein. Auf dem Gipfel des Odenwalbes (Ragenbuckel) kommt ein basaltisches Gestein vor, in welches röthliche und grünliche Krystalle von trüber Farbe und Fettganz in größter Menge eingeprengt sind.

Am Rande beginnt gewöhnlich Verwitterung, in der Mitte haben sie dagegen mehr frisches als glasiges Aussehen, nähern sich daher den frischesten Gläolithen. Die Krystalle wittern schwierig heraus, ihr Durchschnitt auf der Bruchfläche des Gesteins ist ein Sechseck oder Viereck, sie müssen also reguläre sechsseitige Säulen mit Geradendfläche sein. Später haben sich verwandte Gesteine bei Böbau in der Oberlausitz, zu Meiches am Vogelsgebirge, im Böhmischem Mittelgebirge, in Italien u. wieder gefunden.

2. Frischer Nephelin, nach seinem ausgezeichneten Fettglanz Gläolith (*ἑλαιον* Del) genannt. Von grün-blauer Farbe mit einem eigenthümlichen Lichtschein wurde er 1808 in einem sehr grobkörnigen Zirkonsphenit von Laurvig in faustgroßen Klumpen eingesprengt gefunden. Der rothe von Friedrichswärn ist seltener. G. Rose (Reise Ural II. 47) fand das Mineral in ähnlicher Schönheit im Miascit in den Umgebungen des Ilmensee's bei Miasel, und zwar gab es dort Gläolithhaltige und Gläolithfreie Miascite, die beide durch ihre eingesprenkten Minerale berühmt geworden sind. Analyse weicht nicht wesentlich von den glasigen ab. Siehe Giesekit und Libenerit pag. 271.

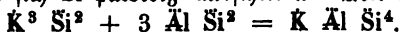
3. Leucit Wr.

Λευκός weiß, Ferber's weißer Granat, denn man hielt ihn früher allgemein für durch vulkanisches Feuer gebleichten Granat, Romé de l'Isle (Cristall. II. 335) glaubte sogar noch Exemplare mit rothen Flecken zu besitzen.

Krystallisirt nur im Leucitoeder $a : a : \frac{1}{2}a$, das nach ihm den Namen bekam, ohne Spuren einer andern Fläche, wodurch er sich von Analcim unterscheidet, der gewöhnlich Würfelflächen hat. Haug glaubte daran die Entdeckung zu machen, daß man diesen Körper mit seinen symmetrischen Trapezen aus dem Würfel und aus dem Granatoeder ableiten könne, und nannte das Mineral daher Amphigen (doppelten Ursprungs). So wenig war damals noch die Ableitung der Körper klar!

Härte 6, Gew. 2,5. Der Bruch hat häufig einen opalartigen Glanz, der selbst Bruchstücke leicht unterscheiden läßt. Weiße trübe Farbe.

Vor dem Löthrohr unschmelzbar, das feine Pulver wird von Salzsäure zerlegt, wobei sich Si pulverig ausscheidet. Mit Kobaltlösung blau.



Klaproth (Beitr. II. 88) entdeckte darin 21,3 Kali, das erste was im Steinreich aufgefunden wurde, da man es bis dahin bloß für Pflanzenalkali gehalten hatte, das mußte natürlich ganz neues Licht verbreiten!

Die um und um geschlossenen Krystalle spielen in ältern vulkanischen Laven eine solche Rolle, daß man die Gesteine wohl Leucitophyre genannt hat. Die alten schlackigen Laven des Vesuvs, Albanergebirges und der Rocca Monfina enthalten sie in zahlloser Menge von der kleinsten Form bis zu Faustgröße. Sie sondern sich scharf aus der Grundmasse ab, daher hielt man sie früher für fremde von der Lava nur eingewickelte Körper (Dolomieu). Aber L. v. Buch zeigte, daß die Krystalle selbst nicht selten Lavatheile einschließen, weshalb sie in der Lava gebildet sein mußten (Silber's Ann. 1800.

VI. 53). Die Straßen von Pompeji wurden mit Leucitlaven gepflastert, aber auch in den heutigen Laven (1822, 1832) fehlen sie nicht. In einem Tuffartigen Gestein von Rieden am Saacher See liegen erbsengroße und kleinere in Menge, gelbliche von analcimartigem Aussehen am Eichelberg bei Rothweil (Kaiserstuhl). Letztere enthalten jedoch Wasser und Natron statt Kali, wie die verwitterten der Rocca Monfina (Jahrb. 1858. 201), schälen sich aber vollkommen aus dem Muttergestein, was nach G. Rose gegen Analcim spricht pag. 340, wofür sie lange gehalten wurden. Vergleiche auch die freien Austerkrystalle von Oberwiesenthal zwischen Annaberg und Elbogen (Raumann Jahrb. 1860. 61 und 1861. 50). In Amerika und Asien kennt man kein Leucitgestein (Gumboldt Kosmos IV. 470).

IX. Salsoidsteine.

Sie haben Al und neben der Si noch eine besondere Säure, wie Chlor, Schwefelsäure, und nähern sich dadurch den Salinischen Steinen.

1. Asurstein.

Nach seiner Farbe genannt, ohne Zweifel *Σαργεωπος* des Theophrast, Sapphirus des Plinius hist. nat. 37. 39: „in den blauen Sapphiren leuchtet Gold in Punkten, . . . er gleicht dem heitern Himmel, aber wegen der Goldpunkte dem mit Sternen geschmückten“. Die Araber nannten ihn Azul (blau), darnach Lapis Lazuli, Lazulith Haub, doch versteht man in Deutschland darunter den Blauspath. Wegen seines Verhaltens im Feuer stellt ihn Cronstedt zu den Zeolithen.

Er soll in Granatoedern krystallisiren (Dufrénoy Tract. Min. III. 675), deren Flächen ein 6fach blättriger Bruch entspricht (Hoffmann Miner. II. n. 276). Granatoeder mit Würfelflächen brachte Perowsky aus der Bucharei mit. Gewöhnlich findet man ihn nur in derben Stücken von feinkörniger Structur, prachtvoll la s u r b l a u (auch grünlich) in allen Graden der Höhe. Härte 5—6, Gewicht 2,96, das Pulver nur 2,76. Die prachvollste Phosphorescenz mit grünem Schein zeigt die mit Schwefelkies durchmengte Abänderung aus der Cordillera d'Ovalle bei Coquimbo in Chili. Man darf sie nur in die Weingeistflamme halten. Nach Bergeron (Jahrb. 1860. 571) sollen sie beim Schleifen so stark elektrisch werden, daß sie zwischen den Fingern förmlich kriecheln.

Vor dem Löthrohr schmilzt er nicht sonderlich schwer zu einem Glasknöpfchen, und entfärbt sich dabei. In Salzsäure entwickelt sich etwas Schwefelwasserstoff, der Schwefelgehalt gibt sich auch durch eine Separ mit Soda zu erkennen. Analyse von Warrentrapp 45,5 Si, 31,7 Al, 9,1 Na, 3,5 Ca, 5,9 Schwefelsäure, 0,86 Eisen und 0,95 Schwefel. Wasser zieht Gyps aus.

Marco Paolo auf seiner berühmten Reise zum großen Tartarenfürsten (1271) fand am Westrande des Belur-Tag (Nebelgebirge) im obern Flußgebiet des Orus (Bukachan) diesen merkwürdigen Stein, welcher wie das Eisen in Bergwerken gewonnen wurde. Armenische Kaufleute bringen ihn

in den Handel (Orenburg). Reich ist auch ein Kalksteinlager am Baikalsee, wo er mit Lasurfeldspath, Kalkscharowit und Paralogit bricht. Ditro in Ungarn. Aber diese Varietäten phosphoresciren nicht wie der Chilenische. Wird zu Tafeln geschnitten in Italien zum Schmuck der Kirchen verwendet. Das kaiserliche Schloß von Zarstkojeselo südwestlich Petersburg schmückt ein Zimmer mit Bernstein und Lasurstein getäfelt. Bei Mosaikarbeiten wird die schöne Bläue zum Himmel verwendet. Unter den Alterthümern findet man sie mit vertieften Figuren. Besonders wichtig war früher ihre Anwendung als Ultramarin: so heißt das feingeschlämmte Pulver desselben, wovon das Roth des feinsten auf 12 Thaler kam. Durch Ehr. Smelin (Naturwissenschaftliche Abhandlungen, herausgegeben von einer Gesellschaft in Württemberg 1828. II. 101) scheint man auf die künstliche Bereitung dieser schönsten aller blauen Farben geführt zu sein. Wenn gleich schon N. Fuchs (Gesammelte Schriften pag. XVI) 1819 blaue Striche an die Wand des Laboratoriums zu Landshut machte, und die Franzosen der Sache vorher nachgingen. Jetzt stellt man in Paris, Meissen, Nürnberg das schönste Blau und Grün außerordentlich billig dar. Es kommt wahrscheinlich (Barrentrapp Pogg. Ann. 49. 521) vom Schwefel: der blaue $\text{Na}^4 \text{Al}^4 \text{Si}^6$ soll von Na S^5 (Quintisulfuret), der grüne von Na S^2 (Bisulfuret) gefärbt sein (Journ. prakt. Chem. 1861. 84. 369).

Hauyn nannte Bruun Neergaard das lichtblaue 6fach blättrige Fossil, welches sich in den Auswürflingen des Vesuv, am Vultur bei Melfi und im Albaner Gebirge findet. Gew. 2,8. In Salzsäure entwickelt es ebenfalls Schwefelwasserstoff, hat aber einen wesentlichen Gehalt von 15,4 Kali. Whitney gibt ihm die Formel



denn L. Smelin fand darin 12,4 Schwefelsäure und 12 Ca. Die blauen im glasigen Feldspathgestein mit gelben Titaniten vom Raachersee und besonders aus den berühmten Mühlsteinlaven von Niedermendig sind dagegen nur Natronhaltig (9,1 Na). Im Mühlstein kann man den 6fach blättrigen Bruch fast so leicht darstellen als beim Flußspath. Die Stücke sehen außen wie angeschmolzen aus. Gew. 2,5. Whitney sah diese für 1 Atom Rosean + 2 Atom Albaner Hauyn an. Rammelsberg (Pogg. Ann. 109. 577) fand dagegen an der Summa auch 11,8 Na und 5 K.

Rosean Klaproth. Rose Röggerath Mineral. Studien pag. 109 und 162) entdeckte ihn in den Fündlingen des glasigen Feldspathgesteins am Raachersee. Die granatoedrischen Krystalle haben eine graue Farbe, vielleicht weil ihnen Schwefelnatron fehlt. Da am Granatoeder auch Oktaeder und Würfel vorkommt, so nannte sie Rose Spinellan. Durch Zwillinge entstellt. Auffallender Weise beträgt das specifische Gewicht nur 2,26. Barrentrapp gibt 17,8 Na bei 1,1 Ca an, darnach die zweifelhafte Formel



Auch sie sind außen wie angeschmolzen.

Ittnerit Ch. Smelin (Schweigg. Journ. 1822. 36. 14). Fand sich dorthin neusterweis mit eingesprengtem schlackigem Magneteisen im Melaphyr bei Ober-Bergen am Kaiserstuhl. Die faustgroßen Stücke zeigen eine körnige

Structur mit 6fach blättrigem Bruch, der die Körner sehr hervorhebt. Gew. 2,37 und graue Farbe erinnern an Roseau, die Analyse gab 34 Si, 28,4 Al, 12,1 Na, 1,6 Ka, 7,3 Ca, 2,9 S, 10 H, etwas Schwefel und Chlornasserstoff. Vor dem Löthrohr schmilzt er nicht sehr schwer zu einem Perlsteinartigen Glase. Er gab 1822 den Anstoß zu jener Entdeckung des künstlichen Ultramarins. Chr. Gmelin bemerkte nämlich, daß das Mineral nach dem Glühen an den meisten Stellen eine schöne blaue Farbe angenommen hatte, und da dasselbe mit Säuren unter augenblicklichem Verlust der Farbe Schwefelwasserstoff entwickelte, was auch beim Ultramarin Statt findet, so wurde es ihm sehr wahrscheinlich, daß Schwefel das färbende Princip des Ultramarins sei.

2. Sodalith.

Gieseke entdeckte das grüne etwas fettglänzende Mineral in einem Feldspathgestein mit Eudialyt und Arfvedsonit zu Rangerdluarsut in Grönland. Chemiker hielten es anfangs für Natrolith pag. 333, später fanden sich aber farblose Granatoeder in den Somma-Auswürflingen, nun gab ihnen Thomson den Namen Sodalith, um dadurch an den Natrongehalt zu erinnern.

Regulär. Den Granatoederflächen entspricht ein 6fach blättriger Bruch, das hält sie in großer Verwandtschaft mit Lasurstein. Hesseberg (Abh. Sendeb. Nat. Gesell. 1858. II. 172) beschreibt von der Somma Granatoederzwillinge mit Okaeder, Würfel und Leucitoeder. Härte 6, Gew. 2, 3.

Vor dem Löthrohr soll der Grönländische leichter schmelzen als der Vesuv'sche. Sie bestehen aus Gläolithartiger Masse + Steinsalz = $\text{Na}^2 \text{Si} + 3 \text{Al Si} + \text{Na Cl}$. In Säure bilden sie eine Gallerte.

Im Krimgebirge bei der Miascher Hütte bildet in dem Gläolithhaltigen Miascit ein lasurblaues sechsfachblättriges Fossil kleine Gänge, 2,29 Gew., früher Cancrinit genannt, nach G. Rose (Reise Ural. II. 55) aber ganz von der Zusammensetzung des Sodaliths. Es entwickelt in Salzsäure durchaus keinen Geruch nach Schwefelwasserstoff, daher leitet Rose wie im blauen Steinsalz die Farbe von organischer Materie her. In einem ähnlich blauen von Ritchfield (Maine), in allen Säuren mit größter Leichtigkeit löslich, vermuthet Whitney Eisensäure als Färbendes (Pogg. Ann. 70. 450).

3. Cancrinit.

Zu Ehren des Russischen Finanzministers Grafen von Cancrin. G. Rose (Reise Ural II. 55) trägt den für den blauen uralischen Sodalith gebrauchten Namen auf dieses licht rosenrothe Mineral über, welches ebenfalls im Gläolithhaltigen Miascit des Krimgebirges eingesprenkt ist und aus Gläolith + Kalkspath = $\text{Na}^2 \text{Si} + 2 \text{Al Si} + \text{Ca C}$ zu bestehen scheint. Ein dreifach blättriger Bruch bildet eine reguläre sechsseitige Säule, mit starkem Perlmutterglanz, im Querbruch Fettglanz.

Härte 5—6, Gew. 2,45. Vor dem Löthrohr schmelzen sie mit Schäumen, und mit Salzsäure brausen sie. Der Gehalt an Ca C ist um so merkwürdiger, als derselbe frei im Miascit nicht vorkommt. Struve (Pogg.

Ann. 91. 618) gibt bei den gelben vom Lunfinsfischen Gebirge westlich Irkutsk noch ein Atom Wasser an. Hermann's lichtgrüner Stroganowit aus Gieschieben der Südjänka soll zwar auch Kohlensäure enthalten, gehört aber zum Skapolith pag. 350.

X. Metallsteine.

Haben neben der Kieselsäure einen metallischen Gehalt, folglich höheres Gewicht, dunkle Farbe und sind ihrem Ansehen nach mit mehreren oxydischen Erzen leicht verwechselbar.

1. Titanit.

Klaproth Beitr. I. 245 nannte ihn nach dem Titangehalt. Werner unterschied nach der Farbe Braun- und Gelb-Menakerz. Haüy nannte die gelbgrünen Alpinischen Sphen (σφην Reil), später Titanes silicéocalcaire. Ihre Form hat G. Rose 1820 in seiner Doctorbiffertation (de Sphenis atque Titanitae systemate crystallino) festgestellt.

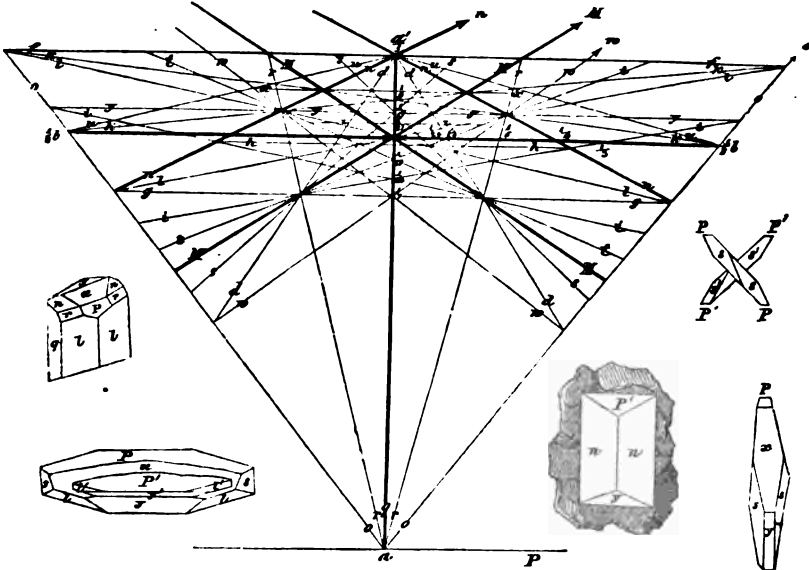
2 + 1gliedriges Krystallsystem. Eine geschobene schiefgestreifte Säule $l = a : 3b : \infty c$ macht vorn einen Winkel von $133^{\circ} 48'$. Die Schiefendfläche $P = a : c : \infty b$ scheint etwas, aber doch nicht bedeutend blättrig; $P/l = 94^{\circ} 30'$, daraus ergibt sich die Neigung von P gegen Ax $c = 85^{\circ} 6'$. Hinten liegt $x = \frac{1}{2}a' : \infty b : c$ (früher $\frac{1}{2}a'$), sie ist meist bauchig gekrümmt und läßt sich daran sehr leicht erkennen; Hefenberg fand im Taubetisch $P/x = 140^{\circ} 34'$. Legt man diese drei Winkel zu Grunde, so macht der Axenwinkel a/c auf der Seite von x $89^{\circ} 59'$, weicht also nur um $1'$ vom rechten Winkel ab, was offenbar vernachlässigt werden kann. Wir haben daher die rechtwinkligen Axen

$a : b = 11,664 : 9,116 = \sqrt{136,06} : \sqrt{83,095} = \lg 1,06686 : \lg 0,95979$
 $y = \frac{1}{2}a' : \infty b : c$ sehr glänzend, macht mit der darunter liegenden P $60^{\circ} 27'$. Ein augitartiges Paar $n = \frac{1}{2}a' : \frac{1}{2}b$ macht mit der anliegenden l $79^{\circ} 5'$ (l/n) und der anliegenden P $144^{\circ} 53'$ (P/n).

Diese fünferlei Flächen $l P x y n$ bilden in den Spalten des Schweizer Urgebirges die gewöhnlichsten Zwillinge, statt n tritt auch $s = \frac{1}{2}a' : \frac{1}{2}b : c$ in der Diagonalzone von y auf, $s/s = 112^{\circ} 14'$. Sie ziehen sich gern nach der Vertikalzone Pxy in die Länge. Hat man diese Flächen einmal erkannt, dann bleibt für die Bestimmung der übrigen wenig Schwierigkeit: $q = b : \infty a : \infty c$ stumpft die scharfe Kante der Säule l gerade ab, und in der Zone von q nach l sieht man öfter eine kleine Abstumpfungsfäche $M = a : b : \infty c$ (von welcher G. Rose als Säule ausgeht), die vorn einen scharfen Winkel $M/M = 76^{\circ} 2'$ machen. Die Flächen M erscheinen so untergeordnet, daß Andere l/l als Säule genommen haben, dann darf man die Rose'schen Axenzeichen b nur mit $\frac{1}{2}$ multipliciren. Bei Tyroler Krystallen findet sich oft in der Diagonalzone von P die Fläche $r = a : \frac{1}{2}b : c$, $r/r = 113^{\circ} 28'$, sie stumpft die Kante l/n ab und bildet bei den dortigen Zwillingeplatten die gemeinsame Säule. Da ferner vorn auch öfter die Kante l/r durch

$t = \frac{1}{17}a : \frac{1}{17}b : c$ abgestumpft ist, so machen yltrn eine der wichtigsten Zonen des Titanit Systems, welche sich namentlich auch durch die ihr folgende Streifung auf l und r leicht verräth. Unter P kommt vorn öfter eine sehr deutliche Schiefenfläche vor, welche meist $v = \frac{1}{17}a : c : oob$ zu sein scheint, sie wird durch das Augitpaar $i = \frac{1}{10}a : \frac{1}{10}b : c$ bestimmt, welches die Kanten P/i abstumpft. Es liegen folglich lvir in einer Zone.

Projicirt auf die Geradendfläche $c : ooa : oob$.



Rose zeichnet noch mehrere Flächen aus. Unter andern liegen: $f = \frac{1}{2}a' : c : oob$, $g = \frac{1}{4}a : c : oob$, $z = \frac{1}{17}a' : c : oob$, $h = \frac{1}{17}a : c : oob$ in der Verticalzone. Das Augitpaar $o = a : \frac{1}{17}b : c$ in der Diagonalzone von P; $u = \frac{1}{4}a' : \frac{1}{17}b : c$, $d = \frac{1}{4}a' : \frac{1}{17}b : c$, $w = \frac{1}{4}a : \frac{1}{17}b : c$, $k = \frac{1}{17}a' : \frac{1}{17}b : c$.

Alpinische Krystalle bilden fast immer Zwillinge: gekreuzte Blätter, in denen P ein spiegelt. Sie haben also P gemein und liegen umgekehrt. Dieses Zwillingsgesetz erleichtert das Erkennen außerordentlich. Wenn die Krystalle sich kreuzen, so entstehen zweierlei Rinnen: die Rinne y/y' hat einen einspringenden Winkel $120^\circ 54'$, den man leicht mittelst einer regulären sechsseitigen Säule controlirt; die Rinne zwischen den einpiegelnden P und P' macht durch die Winkligen $x/x' = 94^\circ 36'$, so daß langgezogene Krystalle sich fast rechtwinklig zu kreuzen scheinen. Manchmal sind es nur die unscheinbarsten tafellartigen Splitter, wie die von Dissentis, und doch kann man sie an dem Einspiegeln von P mit P' leicht erkennen. Wenn die Krystalle tafellartig werden, so kreuzen sie sich nicht, und die Rinne x/x' fällt weg, wohl aber bleibt der einspringende Winkel zwischen y/y' , der dann orientirt. Fläche q spiegelt bei beiden ein, aber die schiefgestreiften l/l' machen einen

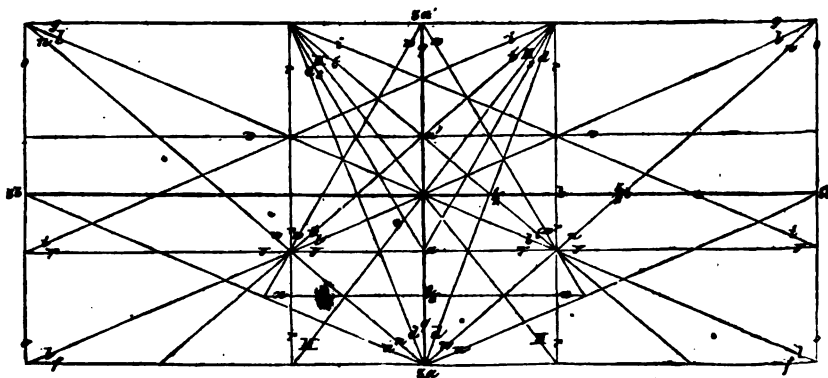
stumpfen Winkel von $170^{\circ} 12'$. Saussure hat zuerst diese Krinnen beobachtet, und nannte die so leicht vereinzelt gefundenen Rayonnante en gouttière. Dagegen bildet Werners

Braun-Menafex, eingesprengt in den Sphenit von Sachsen, Passau, Norwegen u. die Zwillinge: es herrscht $n/n = 136^{\circ} 6'$ als Säule, welche am Ende durch $P/y = 60^{\circ} 27'$ zugespitzt wird. Haupt nahm sie zweigiebig, da $P/n = 144^{\circ} 53'$, und $y/n = 141^{\circ} 35'$ nur um 3° von einander abweichen. Es gefallt sich dazu gern das kleine Dreieck x , auch pflegen öfter die Flächen r aus der Diagonalzone von P sammt t und l nicht zu fehlen. Selbst die in vulkanische Gesteine eingesprengten (Baachersee) schließen sich diesem Gesetz an.

Welches Ende man für das vordere oder hintere nehme, scheint ziemlich gleichgültig. Ich habe die Schiefendfläche P nach vorn gestellt, Rose nach hinten. Letztere Ansicht hat Analogieen beim Epidot und Feldspath für sich, wo auch $\frac{1}{2}$ vorn und $\frac{1}{2}$ hinten liegt, doch scheint sich die Sache nicht ganz durchführen zu lassen. Bringt man übrigens die Flächen zu Papier, wie in obiger Projection geschieht, so tritt das Ganze in seiner wundervollen Harmonie klar zu Tage. Mit Hilfe der Kantenzonen kann man die schwierigsten Ausdrücke durch bloße Addition finden: die Fläche y geht z. B. durch $\frac{1}{17}a'$, weil $12 + 5 = 17$, die Fläche s schneidet in $\frac{1}{24}b$, weil sie durch $\frac{1}{17}a'$ und durch die Kantenzone $\frac{1}{7}$ geht, denn $7 + 17 = 24$.

Nachdem nun alle Zonen controlirt und richtig befunden sind, kann man leicht jede beliebige andere Fläche zur Projectionsebene wählen. Naumann nimmt $P = c : \infty a : \infty b$ an, und bestimmt aus Oktaeder yvr die Aren $a : b : c = 1 : 2,342 : 1,537$, Arenwinkel a/c vorn $85^{\circ} 6'$. Damit ist dann aber der Vortheil rechtwinkliger Aren aufgegeben: so viele Oktaeder, so viele Ausgangspunkte sind möglich. Naumann's Zeichen aller bekannten Flächen sind:

Projicirt auf die Schiefendfläche P .

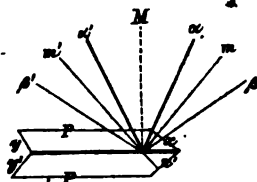


$$\begin{aligned}
 P &= oP = oc:a: b = 001; \quad l = \infty P = \infty c:a: b = 110; \\
 y &= P\infty = c:a: \infty b = 101; \quad v = -P\infty = c:a': \infty b = 1'01;
 \end{aligned}$$

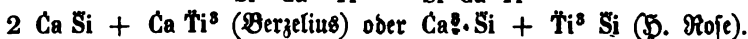
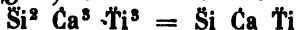
$$\begin{aligned}
 r &= (P\infty) = c:b:\infty a = 011; & q &= (\infty P\infty) = \infty c:b:\infty a = 010; \\
 i &= -\frac{1}{2}P = \frac{1}{2}c:a': b = 1'12; & g &= -\frac{1}{2}P\infty = \frac{1}{2}c:a': \infty b = 1'03; \\
 t &= -(2P2) = 2c:b:2a' = 1'21; & f &= \frac{1}{2}P\infty = \frac{1}{2}c:a: \infty b = 103; \\
 x &= \frac{1}{2}P\infty = \frac{1}{2}c:a: \infty b = 102; & u &= \frac{1}{2}P = \frac{1}{2}c:a: b = 113; \\
 M &= (\infty P3) = \infty c:b:3a = 130; & o &= (\frac{1}{2}P\infty) = \frac{1}{2}c:b: \infty a = 013; \\
 s &= (4P4) = 4c:b:4a = 141; & n &= (\frac{3}{2}P2) = \frac{3}{2}c:b:2a = 123; \\
 z &= -\frac{1}{2}P\infty = \frac{1}{2}c:a: \infty b = 14\cdot0\cdot9; & d &= (2P6) = 2c:b:6a = 163; \\
 \omega &= -(\frac{1}{2}P4) = \frac{1}{2}c:b:4a' = 1'43; & k &= \frac{3}{2}P2 = \frac{3}{2}c:a:2b = 213; \\
 \pi &= \frac{1}{2}P = \frac{1}{2}c:a:b = 112; & p &= \frac{1}{2}P2 = \frac{1}{2}c:a:2b = 214; \\
 h &= \frac{5}{2}P\frac{1}{2} = \frac{5}{2}c:a:\frac{5}{2}b = 527; & m &= \frac{3}{2}P = \frac{3}{2}c:a:b = 227; \\
 n' &= -(\frac{3}{2}P2) = \frac{3}{2}c:b:2a' = 1'23; & e &= (2P2) = 2c:b:2a = 121; \\
 \zeta &= (8P8) = 8c:b:8a = 181; & \eta &= (\frac{1}{2}P4) = \frac{1}{2}c:b:4a = 145 \\
 & & \beta &= P\frac{1}{2} = c:a:\frac{1}{2}b = 3\cdot16\cdot3.
 \end{aligned}$$

Die Zeichen sind allerdings einfacher, weil sie mehr dem allgemeinen Deductionswege vom Ohtaide yrr zum Hexaide Pll und Dodekaide qii sich fügen; besser wären noch die Ohtaide $ygrr$ oder $ttrr$ gewesen, weil deren Rantenzonen reicher entwickelt sind: aber die Entwicklung ist, möchte ich sagen, nicht so interessant, und der Vortheil der rechtwinkligen Aren muß entscheiden.

Härte 5—6, Gew. 3,4—3,6. Zuweilen stark glänzend. Grüne und gelbe Farbe bei Alpinischen vorherrschend, braune bei den im Urgebirge eingesprenkten. Pyroelektricität. Von optischem Interesse sind besonders die Tyroler Zwillingstafeln, 2 + 1gliedrige Dreiecke mit Pny oder vierseitige Platten mit Pryn, spargel- bis smaragdgrün von Edelsteinartiger Durchsichtigkeit. Die klaren Stellen zeigen in der Medianebene zwei undeutliche Farbenbilder bei gewisser Stellung je mit einem schwarzen Streif, aber stets ohne Verniscaten und ohne schwarzes Kreuz. Vom Augit her wissen wir, daß das Folgen der Zwillinge sind, ein **Aufriß** in der **Medianebene** macht das sogleich klar: nach Miller steht die Mittellinie m und m' senkrecht auf x und x' , Aren $\alpha\beta$ machen etwa 30° , P/x 140° , daraus folgt $\beta\beta' = 110^\circ$ und $\alpha\alpha' = 50^\circ$, welche durch die senkrechte M halbirt werden. Man sieht also im Polarisationsmikroskop gleiche Aren d. h. 2gliedrige Ordnung.



Vor dem Böhrohr schmilzt er schwer, wällt und sprüht dabei etwas auf, mit Phosphorsalz kann man auf Kohle im guten Reductionsfeuer (besonders auf Zusatz von Zinn) Titanreaction bekommen.



Der Zillerthaler hat 32,3 Si, 41,6 Ti, 26,6 Ca, 1 Fe.

Alpinischer oder edler Titanit (Sphen) mit Chlorit, in der ganzen Alpenkette als Zwilling verbreitet, hat öfter Farbe und Klarheit des Chrysoliths, und kann dann verschliffen werden. Solche Gemmen vom Rothen Kopf im Zillerthal zeigen ganz eigenthümliche Regenbogenfarben und andere.

Reflexe. Die Krystalle von den verschiedensten Fundorten des St. Gotthardt sind ringsum krystallisirt, weil sie oft kaum auf dem Muttergestein haften, erreichen aber selten Zolllänge. **Greenovit** (Desclouzeaux Ann. Chim. 1847. XX) aus den Mangangruben von St. Marcel verdankt seine rosenrothe Farbe einem Mangangehalt.

Sphenitischer oder gemeiner Titanit findet sich in braunen einfachen Krystallen im weißen Feldspathgesteine mit Hornblende bei Passau, im Plauischen Grunde, bei Weinheim im Odenwalde 2c. Der Granit der Normandie, welcher in Paris zum Straßenpflaster dient, und der Obelisk von Luxor enthält ihn in zahlloser Menge. Besonders groß bei Arendal, wo sie mit Skapolith, Gläolith, Epidot 2c. oder auch im dortigen Zirkonsphenit brechen, wie im Ilmengebirge. Sie sind aber dunkelfarbiger als die Zirkone. Daran schließen sich die Vorkommen in vulkanischen Gesteinen: wie die kleinen weingelben aus dem Feldspathgestein vom Laacher See (Rose's Spinellin, Fleuriau's Sémeline) und aus dem Klingstein des Maria-berges bei Auffig. Mit honiggelben Titaniten kommt in Blöcken glasigen Feldspaths der Somma schwefelgelber 4gl. **Guarinit** (Zeitschr. deutsch. geol. Ges. X. 14) vor, scheinbar von der gleichen Zusammensetzung.

Gelbmenakerz nannte Werner die grüngelben späthigen Massen im Magneteisenerz von Arendal, aus den Hornblendeegeshieben von Billerspitz im Stubaythal. Ihr Aussehen erinnert an Spatheisenstein, allein wir haben nur zwei blättrige Brüche, die sich etwa unter 125° schneiden, aber mehr schaligen Absonderungen gleichen:

Silicate mit Titanoxyd sind folgende seltene Sachen:

a) **Schorlamit** Magnet-Cove bei den heißen Quellen in Arkansas, glänzend schwarz, aber meist verb. Nach Shepard $\text{Ca}^4 \text{Si}^2 \text{Ti} \text{Fe}$ und 6gl., nach Rammelsberg regulärer Ferro-Titanit.

b) **Mosandrit** Erdmann im Sphenit auf Ramanskärret bei Drevig eingeprengt. Ein deutlich blättriger Bruch, Augitähnliche Form, dunkelroth braun, Gew. 3, $\text{H. } 4$. Si, Ti, Ca, La, Ce, Mn, K, H.

c) **Ytrotitanit** Scheerer Pogg. Ann. 63. 459 (Reilhaut) im Gneise von Buß bei Arendal eingeprengt. Ein blättriger Bruch, braunroth, $\text{G.} = 3,7$, $\text{H.} = 6-7$. 30 Si, 29 Ti, 18,9 Ca, 9,6 Y, 6,3 Fe, 6,1 Al. Wahrscheinlich bloß Yttererdehaltiger Titanit.

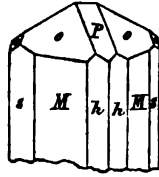
d) **Tschewkininit** G. Rose Pogg. Ann. 48. 551 im Miascit des Ilmengebirges. Gadolinitartig schwarz. Gew. 4,5. Härte = 5. Mit 21 Si, 20,2 Ti, 47,3 Co La Di, welche nicht von einander getrennt wurden, 11,2 Fe, 3,5 Ca. Sehr selten, wird aber häufig mit Ural-Orthit verwechselt.

2. Ilvaite Steffens.

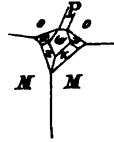
Kelièvre untersuchte und nannte es 1806 Yenit nach der Stadt Jena, um dadurch auf jene unglückliche Schlacht anzuspieren! Verkaufte es dabei zu ungeheuren Preisen (Rüppell Miner. Taschenbuch 1825. b. 229), Steffens Orge-

togn. I. 358 schlug daher den passenderen Namen nach seinem Fundorte Elba vor, den Werner mit Ziborit vertauschte.

2gliedrige durch Längstreifen entstellte Säulen, mit einem Paare $P = a : c : \infty b$ auf die vordere Säulenkante aufgesetzt $P/P = 112^\circ 40'$; von der Säule nimmt man $M = a : b : \infty c$ $111^\circ 12'$ gewöhnlich als Ausgangspunkt, obgleich diese meist durch $s = a : \frac{1}{2}b : \infty c$ verdrängt ist, welche vorn in a $72^\circ 16'$ macht. Ganz ging vom Oblongoktaeder $PPMM$ als Primitivform aus, das gibt die Azen



$a : b = 1,501 : 2,193 = \sqrt{2,254} : \sqrt{4,808} = \lg 0,17647 : \lg 0,34097$. Oktaeder $o = a : b : c$ hat $138^\circ 26'$ und $117^\circ 34'$ in den Endkanten; die drei zugehörigen Geradenflächen $p = a : \infty b : \infty c$, $q = b : \infty a : \infty c$ und $r = c : \infty a : \infty b$ kommen vor. Außerdem noch e 021, h 210, t 130, d 140, f 230, n 012, g 121, i 131, π 311. Wie complicirt die Säulen zuweilen **abgestumpft** sind, zeigt Hr. Hesseberg (Abh. Sendenb. Nat. Ges. III. 358) an Elbaer Krystallen mit ω 301, x 211 und k 411. Die Säulen immer durch viele Streifungen entstellt, doch orientirt man sich leicht entweder durch das ausgedehnte Paar P , oder durch die nicht abgestumpfte seitliche Endkante des Oktaeders, die sich gut mit dem Handgoniometer auf 117° messen läßt. Blätterbrüche nicht sonderlich deutlich, aber die Krystalle zeigen nach der Geradenfläche öfter einen eigenthümlichen gelblichen Schiller.



Schwarz, mit halbmetallicchem Fettglanz im Querbruch. H. 5–6, Gew. 4. Er gibt sich leicht durch einen Brauneisenerz-Beschlag zu erkennen, wodurch er sich schnell vom Turmalin unterscheidet.



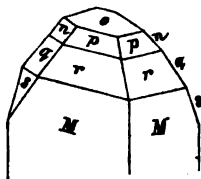
war die älteste Formel von Berzelius. Löst man indessen das Mineral in Salzsäure, wobei die Kieselerde sich als gelbe Gallerte ausscheidet, so wird mit Kohlensaurem Baryt nur ein Theil des Eisens, das Fe gefällt, während noch viel Fe in der Lösung bleibt; auch gibt die Behandlung mit Schwefelwasserstoff einen weißen Niederschlag von Schwefel, was auf Eisenoxyd deutet ($\text{Fe} + 3 \text{HS} = 2 \text{FeS} + 3 \text{H} + \text{S}$). Daher änderte Berzelius später die Formel in $\text{Ca}^3 \text{Si} + 3 \text{FeSi}$, wobei ein Theil der Ca durch Fe vertreten wird. Aber auch diese ist jetzt aufgegeben, denn Rammelsberg fand $\text{Si}^4 = 29$, $\text{Fe}^2 = 24,6$, $\text{Fe}^6 = 33,1$, $\text{Ca}^3 = 13,4$, abgesehen von dem geringen Gehalt an Manganoxydul, das gäbe $3 (\text{Fe}^2, \text{Ca})^3 \text{Si} + \text{Fe}^2 \text{Si}$. Wegen des bedeutenden Eisengehaltes schmilzt er leicht zu einer magnetischen Kugel. Hauptfundort Elba, wo er südlich von Rio im Strahlstein der dortigen auf Marmor ruhenden Glimmerschiefer Drusenräume füllt. Auch zu Kupferberg in Schlesien kam er vor. Schneeberg, Norwegen, Rhode-Inland, Grönland, Nassau auf kieseligen Eisenerzlagern. **Dimagnetit** (Shepard Amer. Journ. 13. 392) von Monroe wurde Anfangs für 2gliedriges Magneteisen gehalten, ist aber nach Blase Zibait oder Asterkrystall nach Magneteisen von $1\frac{1}{2}$ Zoll

Länge mit 130° Säulenwinkel. Hisingerit Berzelius von Ribbarchyttan bildet berbe Ueberzüge mit muscheligem Bruch, $H. = 3-4$, Gewicht 3. Fettglanz, pechschwarz mit grünlich braunem Strich. Nach Rammelsberg (Pogg. Ann. 75. 300) $Fe^3 Si + 2 Fe^2 Si + 6 H$. Der von der Gillingen Grube hat 9 H. Kobell's Thraulit von Bodenmais bildet Ueberzüge auf Magnetkies mit Dichroit und Vivianit, außerordentlich spröde, Opalbruch, pechschwarz mit auffallend ochergelbem Strich. Breithaupt's Thuringit soll ein wasserhaltiger Zwisch 3 $Fe^3 Si + Fe^2 Si + 9 H$ sein. Der safrige Anthosiderit aus dem Magnetkies von Brasilien u. hier zu vergleichen. Chlorophäit Maculloch (Fe, Mg) $Si^3 + 6 H$, berbe Punkte im Mandelstein auf den Farber Inseln, zu Gill in Massachusetts, schwarz, serpentinartig milch, Härte 3, Gew. 2. Soll frisch pistaciengrün aussehen, aber schon nach wenigen Stunden schwarz werden. Manche auch strahlig blättrig. Wahrscheinlich zu den Asterbildungen der Serpentine gehörig. Den Krotydolith siehe beim Asbest pag. 273.

3. Gadolinit.

Arrhenius entdeckte ihn im Granit von Ytterby bei Stockholm und Geyer (Grells Ann. 1788) machte ihn zuerst bekannt. Wegen seines schwachen Aufschwellens vor dem Löthrohr hielt man ihn im Cronstedt'schen Sinne für schwarzen Zeolith. Gadolin fand (K. Vet. Acad. Handl. 1794) aber eine neue Erde (Gadoliniterde) darin, welche Ekeberg nach dem Fundorte des Minerals Yttererde nannte. Die erste jener merkwürdigen Erden der nordischen Minerale. Daher auch Ytterit, Ytterbyt genannt.

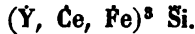
Krystalle zwar sehr selten, doch gab schon Haüy einen Oktaederwinkel von $109^\circ 28'$, und Phillips einen Säulenwinkel von 115° an, weshalb man lange an die gleichen Epidotwinkel und an gewendetes 2 + 1gliedriges Krystallsystem dachte. Nordenfjöld konnte jedoch Krystalle von Årarsfjet genau messen, fand allerdings $M/M 116^\circ$ und $n/n 110^\circ 52'$, aber $M/o 90^\circ$, was für Zweigliedrigkeit spricht, dem Scheerer (Zabrb. 1861. 124) beistimmt: $r 111$, $M 110$, $q 011$, $p 112$, $n 012$, $s 021$. Da die Krystalle nur selten gut ausgebildet und häufig verdrückt sind, so lassen sich daraus die scheinbaren Widersprüche verschiedener Ansichten genügend erklären.



Schwarz, Obsidianartiger Bruch, Splitter grünlich durchscheinend, daher auch mit grünlich grauem Strich. Härte 6—7, Gew. 4,1—4,35.

Vor dem Löthrohr nur an dünnen Ranten schmelzbar. Nimmt man etwas größere Stücke in die Platinzange, und nähert sich aus größerer Ferne allmählig der Flamme, so überziehen sie sich schnell mit einem hellen Schein (Aufglühen). Der Lichtschein geht aber schnell vorüber, und dann zeigen es die Stücke nicht wieder. Man erklärt es als ein Abgeben latenter Wärme. Es tritt kein Unterschied im absoluten, wohl aber im specifischen Gewicht ein, in dem sich letzteres von 4,157 auf 4,319 (Ytterby Pogg. Ann. 103. 315), sogar von 4,35 auf 4,63 erhöht (Gitterde Pogg. Ann. 51. 400). Die Stücke brennen

sich gelblich. Die mehr unreinen Varietäten mit splittrigem Bruch sollen das Aufglühen nicht zeigen, dafür aber blumentohlartig anschwellen. Man gibt ihm die Formel



Berzelius fand in dem glässigen von Finbo 25,8 Si, 45 Yttererde, 16,7 Cerorybul, 10,3 Fe, und 2,2 Verlust; Scheerer im glässigen von Hitterde 9,6 Beryllerde, und nach Mosander (Pogg. Ann. 60. 211) besteht die Yttererde aus dreierlei Basen: Yttererde, Terbium- und Erbiumoxyd. Das Cerorybul enthält Lanthan und wahrscheinlich auch Didym. Optisch unterscheidet Descloizeaux zwei Varietäten: eine 2axige krystallinische, welche selbst nach dem Glühen noch durchscheinend bleibt und eine amorphe mit und ohne Lichtschein, ohne die geringste Spur von Polarisation. Gewöhnlich sollen die Stücke aus einem Gemisch von amorpher und krystallinischer Masse bestehen.

Vorkommen in grobkörnigen Graniten Schwedens, die unregelmäßige Gänge im Gneise bilden: Insel Ytterby bei Stockholm in einem Feldspathbruch, Yttergrufva genannt (Jahrb. 1860. 700); östlich von Falun der Steinbruch Finbo, westlich das Feld Broddbo mit seinen berühmten erratischen Blöcken und der Hof Rårarfvet. Die Stücke erreichen nicht selten Faustgröße, sind gewöhnlich gerundet, und von einer unreinern Rinde umhüllt. An der Südküste Norwegens zeichnet sich westlich von E. Lindesnaes besonders die Insel Hitterde aus. Yttererdehaltig sind außerdem: Phosphorsaure Yttererde 62 Y, Fergusonit 42 Y, Ytrotantalit 30 Y, Ytrotitanit 9,6 Y, Ytrocercit 9 Y, Samarskit 11 Y.

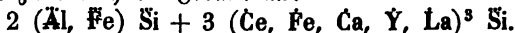
4. Orthit Verz.

Berzelius analysirte ihn 1815 von Finbo, wo er in demselben Feldspath wie Gadolinit vorkommt. Er bildet lange schmale plattige Strahlen, wornach er den passenden Namen bekam (*ὀρθός* grad). Melanergz Mohs.

Epidotkrystallisation pag. 285, was nicht bloß der Winkel $M/T = 115^\circ$ beweist, sondern zu Silbbole bei Helsingfors bestehen auch die wahren Epidote innen häufig noch aus Orthit. Nach Descloizeaux (Ann. Chim. 1860. 59 222) gibt es jedoch auch hier, wie beim Gadolinit amorphe und krystallinische Varietäten, und die amorphen könnten möglicher Weise Afterskrystalle sein. Die Formen sind nicht schön und selten. Doch haben Kokscharow (Mat. Miner. Russl. III. 222) und G. vom Rath (Pogg. Ann. 113. 221) einen großen Flächenreichtum nachgewiesen. Gewöhnlich erscheinen nur Strahlen im Granit, die auf dem Querbruch Gadolinit gleichen, aber leichter sind, Gew. 3,6, Härte 6. In Salzsäure geben sie oft eine Gallerte.

Vor dem Löthrohr schmelzen sie leicht und werfen dabei lange Zeit hindurch Blasen, ohne sich wie der Epidot in eine unschmelzbare Schlacke zu verwandeln. Berzelius fand in denen von Finbo 36,2 Si, 14 Al, 17,4 Fe, 3,8 Y, 11,4 Fe, 1,3 Mn, 4,8 Ca, 8,7 H. Das Er hat sich auch hier Lanthan-Didymhaltig gezeigt, Yttererde ist minder wesentlich. In den großen Krystallen der Näsgrube bei Arendal fand Strecker sogar 17,5 Ca. Lange tastete man nach passenden Formeln, bis endlich die Formgleichheit mit Epidot,

wie es scheint, auf den richtigen Weg geleiten möchte. Th. Scheerer (*Dissertatio de fossilium Allanit, Orthit, Cerit, Gadolinitque natura et indole*. Berlin 1840. pag. 27) nimmt zwar noch die Formel an:



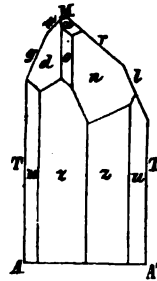
Doch da man Lanthan und Didym von Cer noch nicht quantitativ trennen konnte, auch die beiden Oxydationsstufen des Eisens noch nicht genau bestimmt sind, so könnte wohl die 3 vor dem zweiten Gliede wegfallen, und wir hätten dann genau die Epidotformel pag. 284. Rammelsberg (Pogg. Ann. 76. 55) nimmt dagegen die Granatformel $\text{R}^3 \text{Si} + \text{R} \text{Si}$ an, außerdem scheint ihm ein Atom H wesentlich, und im Orthit von Hitterde mit 1017 Atomvolumen fand sich 8 Fe und 8 Fe. Der Orthit vom Ural (1921 Atomvol.) mit dem Arendaler Epidot (1268 Atv.) verglichen gibt das Verhältniß $1017 : 1268 : 1921 = 3 : 4 : 6$, woraus man den Isomorphismus erklären will!

Verbreitung ist viel größer als vom Gadolinit. In der Scandinavischen Halbinsel gibt Scheerer allein 60 Stellen an, und darunter die kolossalen Exemplare von Hitterde, die mehrere Fuß im Ganggranit fortsetzen. Die Strahlen gehen drusenartig von einem Punkte aus, und mögen eher erhärtet sein, als der sie umgebende Granit, da dieser sich abermals in strahliger Anordnung auf sie als Unterlage ansetzt (Zschau, Leonhard's Jahrb. 1852. 555, 1855. 512). Lange glaubte man, daß nur der Norden (Nordamerika, Grönland, Finnland) jene merkwürdigen Gerhaltigen Fossile liefere. Dann fand aber Breithaupt im Oligoklas von Boden bei Marienberg im Erzgebirge (Bodenit Leonhard's Jahrb. 1849. 555) ein strahliges dunkelfarbiges Fossil mit 10,5 Ce, 17,4 Y, 10,3 Al, 26 Si, was also allem Anschein nach mit dem nordischen Fossile übereinstimmt. Credner (Jahrb. 1848. 100) glaubt ihn im Thüringer Wald bei Brotterode und an andern Punkten im Granit gefunden zu haben, Zschau (Jahrb. 1852. 552) beschreibt zolllange Strahlen aus den granitischen Bändern der Titanit-Syenite des Plawischen Grundes bei Dresden, G. Leonhard (Jahrb. 1853. 554. 1856. 505) ähnliche in Granitgängen der Syenite von Sulzbach bei Weinheim im Odenwald, F. Sandberger (Jahrb. 1857. 508) sogar aus dem Granit des Blauen bei Badenweiler.

Allanit untersuchte Thomson schon 1808. Allan kaufte ihn aus einer von Engländern gekaperten Sammlung, die ohne Zweifel von Gieseler stammte, der das Mineral im Grönländischen Granit von Iglofsöit zc. entdeckte. Die schwarzen dicken unreinen Säulen zeigen ziemlich genau einen Winkel von 115° , und da schon Thomson 31,5 Ce und 4,1 Al, Stromeyer dagegen 21,6 Ce und 15,2 Al darin fanden, so hält man ihn trotz seines verschiedenen Aussehens für wasserfreien Orthit, und sucht so gut es eben geht die Analysen anzupassen. Der schwarze

Cerin Hisingers mit Cerit zusammen von Riddarhyttan hat 26,2 Lanthanhaltiges Cerorydul, die Hittererde soll ihm fehlen, und die 6,5 Al werden durch 25 Fe Fe verstärkt. So wenig die Analyse stimmt, so scheinen doch die kleinen tafelförmigen Krystalle, die sich besonders im Kupfertiefe finden, genau Epidot zu sein, nur erscheinen sie gewöhnlich als Zwillinge, die T ge-

mein haben, und umgekehrt liegen, weshalb sie anfangs zweigliedrig beschrieben wurden, doch sollen sie nach G. Rose (Kryst. Chem. Miner. pag. 86) vollkommen mit Epidot stimmen! Hermann's pechschwarzer **Ural-Orthit** im Miascit des Plinengebirges wurde lange mit Tschewkinit verwechselt. Vor dem Löthrohr schwellt er blumenthohlig auf. **Vagrationsit** (Pogg. Ann. 73. 182) fand der Fürst Vagrations in den Falten von Achmatowsk, nur dieses einzige flächenreiche und meßbare Exemplar (Kalkspatowat. Mat. Min. Russl. III. 387) existirt, und kam durch den Herzog von Leuchtenberg nach München. **Budlandit** wurde 1824 aus dem Kalkspath von Arrendal beschrieben, sein Name dann auf mehrere Epidot- und Orthitartige Minerale übertragen. Die **flächenreichsten Tafelchen** hat Hr. v. Rath (Pogg. Ann. 113. 381) aus Drüsen der trachytischen Auswürflinge des Raacher See's beschrieben. Sie gehören aber zu den größten Seltenheiten. In der Stellung von Marignac pag. 284 genommen erhalten wir $z\ 110$, $u\ 210$, $T\ 100$, $M\ 301$, $m\ 701$, $g\ 11 \cdot 0 \cdot 1$, $r\ 5'01$, $l\ 13' \cdot 0 \cdot 1$, $o\ 381$, $d\ 11 \cdot 8 \cdot 1$, $n\ 5'81$, $x\ 1'41$; $z/z\ 109^\circ 8'$, $M/r\ 116^\circ 36'$, $M/T\ 115^\circ 1'$ gibt $A : b : c = 6,355 : 4,528 : 1$, vorn macht $A/c\ 89^\circ 41' 30''$. Frisch rein schwarz, kurze Zeit dem Lichte und der Luft ausgesetzt, wird die Oberfläche stellenweis irisirend.



Ein Grund warum diese „Eerhaltigen Epidote“ sich so hartnäckig der wahren Deutung entzogen haben, liegt theilweis auch in ihrer leichten Verwitterung: sie nehmen Wasser auf, ja Berzelius untersuchte einen **Pyrrorthit** von Rårsfvet, der obgleich sehr dem Orthit jener Gegend gleichend, weicher als Kalkspath war, nicht bloß 26,5 H, sondern sogar 31,4 Kohle und Verlust zeigte, daher auf Kohle förmlich Feuer fing und fortglommte. Asphalt zwischen den Glimmerplatten der Ganggranite kommt in Schweden oft vor.

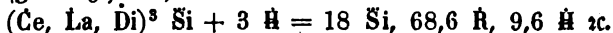
5. Cerit Verz.

Schon von Cronstedt als Bastnäs-Tungsten gekannt. Hisinger und Berzelius entdeckten darin 1804 ein neues Metall, was sie nach dem Planeten Ceres Cerium nannten, und darnach das Mineral Cerit, was Klaproth (Beitr. IV. 140) in Cererit veränderte. Werner nannte es Cerinisteln, den man mit Cerin nicht verwechseln darf.

Die Krystalle sollen zwar nach Haidinger niedrige reguläre sechsseitige Säulen sein, allein er findet sich gewöhnlich nur in derben feinkörnigen röhlichen Massen, die an dichten Granat erinnern. Obgleich im Ganzen matt, so zeigen doch gute Stücke einen starken innern Glanz. Knapp Feldspathhärte und Gew. 5.

Das Gestein brach früher auf der neuen Bastnäs-Grube bei Riddarhyttan in Westmanland auf einem Kupferkieslager mit Strahlstein im Gneis. Feine Erzkunkte von Molybdän sind vielfach eingesprengt, die man wegen ihrer Feinheit leicht mit Bleiglanz verwechseln kann. Außerdem ziehen sich zwischen dem rothen Cerit schwarze Wollen durch, die mehr Cerinhaltig

scheinen, und stellenweis ganz zu schwarzem Cerin werden. Gerade aus diesen Massen, rothen wie schwarzen, kann der Chemiker sich Cerium am leichtesten in größern Portionen verschaffen. In ihnen wurde daher nicht blos das Cerium, dessen rothbraunes Oxyd Klaproth Throiterde nannte, entdeckt, sondern 1839 fand Mosander, daß sich im Ceriumoxyd etwa $\frac{2}{3}$ eines neuen Metalls verstecke, welches die Eigenschaften des Ceriums nur wenig abänderte. Er nannte es daher Lanthan (*λανθάνω* verborgen sein). 1842 entdeckte derselbe sogar, daß das Ceroxyd und Lanthanoxyd stets noch ein anderes Oxyd enthalte, für dessen Metall er deshalb den Namen Didym (*δίδυμοι* Zwillinge) wählte.



ein Gehalt an Fe und Ca unbedeutend. Rammelsberg fand 64,5 Ceroxydul, 7,3 Lanthan- und Didymoxyd und nur 5,7 Wasser, was die Formel $\text{R}^3 \text{Si H}$ gäbe. Unschmelzbar, brennt sich aber gelb, löst sich nicht sonderlich schwer im Borax, gibt dunkelgelbe Gläser, die kalt lichter werden.

Durch Zersetzung bildet sich Cerhaltiges $\text{La}^3 \text{C H}^3$ (Lanthanit Haid.), was Berzelius früher für Kohlensaures Ceroxydul hielt. Es sollen gelblich weiße blättrige quadratische Täfelchen sein, unter Kalkspathhärte. Bastnäs-Grube. Bethlehem in Pennsylvanien.

Tritomit Weibye (Pogg. Ann. 79. 309) aus dem Eyenit von Lamö bei Brevig, wahrscheinlich tetraedrisch, weil es beim Zerschlagen immer dreiseitige Durchschnitte bildet. Dunkelbraun, Härte 6—7, Gew. 4—5. Enthält 20 Si, 40,3 Ce, 15 La, Yttererde, Wolframsäure, Zinn zc.

Parisit aus den Smaragdgruben des Frn. Paris im Mussothale von Neugranada, wird als scharfes Dihexaeder von $120^\circ 34'$ in den Endkanten beschrieben, Geradenfläche sehr blättrig. Optische Axe +, bräunlich gelb, Gew. 4,3, Flußspathhärte. $8 \text{R C} + \text{R H}^2 + 2 \text{Ca F}$, worin $\text{R} = \text{Ce, La, Di}$. Nehmen wir dazu Fluorcerium mit 82 p. C. Ce, Monazit 50 Ce La, Tschewkinit 47 Ce La Di, Yttrocerit 18 Ce, Aeschinit 11 Ce La, so haben wir die wichtigsten Cerfossilien beisammen.

6. Thorit Berg.

Wurde von Pastor Esmark 1828 in einem bräunlichen Faßerzeolith (Bergmannit), der im Jirkon-Eyenit auf Insel Lövön bei Brevig im südlichen Norwegen bricht, entdeckt. Berzelius fand darin die seltene Thorerde, welche er nach dem nordischen Gott Thor nannte (Pogg. Ann. 15. 303 und 16. 303). Wie der Gadolinit gleichen die kleinen derben Stücke einem schwarzen Obsidian, mit rothfarbenem Ueberzuge, graulich rothem Strich, Gew. 4,6, vom Messer leicht geritzt.

Im Löthrohr unschmelzbar, und sich gelb brennend, $\text{Th}^3 \text{Si} + 3 \text{H}$ mit 19 Si, 58 Th, 2,6 Ca, 3,4 Fe, 2,4 Mn, 1,6 Uranoxyd, 9,5 H, etwas Blei, Zinn, Kali, Natron zc.

Drangit Prang (Pogg. Ann. 82. 303), nach seiner Pomeranzengelben Farbe genannt, in der gleichen Gegend des Langesundfjord, öfter ganz von Thorit umgeben, ist ohne Zweifel dasselbe nur reinere Mineral. Nach Zschau

Quadratoctaeder von $123^{\circ} 15'$, wie beim Zirkon. Austerkrystalle nach Feldspath (Pogg. Ann. 92. 221). Splittiger Bruch, Härte 4—5, Gew. 5,3. Bergemann wollte darin ein neues Metall Donarium gefunden haben, es hat sich aber bald gezeigt, daß es nur durch Uran, Vanadin, Zinn u. vereinigte Thorerde war (Pogg. Ann. 85. pag. 555) $\text{Th}^{\circ} \text{Si} \text{H}^2$. Nordenskjöld vermuthet, daß Thorerde mit Zinnorhyd isomorph sei, doch sind die Formen der künstlich krystallisirten Thorerde nicht ganz entscheidend. Man würde dann Th Si schreiben, und das Wasser als Folge der Verwitterung ansehen.

Die der Yttererde so verwandte Thorerde ist außerdem bekannt im Pyrochlor 13 Th Ce, Monazit 18 Th, Tachyphallit 12 Th.

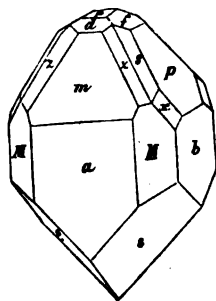
7. Kieselzinkerz.

Werner hatte es vorzugsweise beim Galmei, wo man es auch abhandeln könnte, wegen der Zinkischen Basis. Sein Aussehen ist schwerspathartig, daher Zinkbarth Mohs, unpassender Zinglas Hausmann. Kieselzinkspath, Hemimorphit, Calamine, Smithsonite.

Zweigliedriges System, aber meist in kleinen Krystallen, nur bei Nertschinsk erreichen die oblongen Tafeln $1\frac{1}{2}''$ Länge, woran die lange Seite eine deutlich blättrige Säule $M = a:b:\infty c$ von $103^{\circ} 56'$ bildet, die Zuschärfung auf die scharfe Kante $f = b:c:\infty a$ hat $128^{\circ} 28'$ nach den Messungen von Lévy, das gibt

$$a:b = 1,62:2,072 = \sqrt{2,626}:\sqrt{4,292}, \lg a 0,20965, \lg b 0,31632.$$

Dauber (Pogg. Ann. 92. 245) fand dagegen $a:b = 1,633:2,098$ und Schrauf (Sitzungsber. Wien. Akad. 1859. 38. 12) $a:b = 1,64:2,093$. Die Fläche $b = b:\infty a:\infty c$ gewöhnlich übermäßig ausgekehrt, und nach ihr breiten sich die Krystallgruppen fächerförmig aus, so daß man sie leicht entziffern kann. Das dritte zugehörige Paar $d = a:c:\infty b$ mit der dreifach schärfern $m = a:3c:\infty b$ fehlen fast nie, und auf die stumpfe Kante findet sich kein anderes Paar aufgesetzt. Dagegen kommen auf die scharfe eine ganze Reihe vor $2b:\infty a$, $\frac{1}{2}b:\infty a$, $p = \frac{1}{2}b:\infty a$, $\frac{1}{3}b:\infty a$, $\frac{1}{4}b:\infty a$, und da nun auch $P = c:\infty a:\infty b$ nicht fehlt, so scheint diese Zone nicht selten ganz gerundet. In der Säulenzone liegen $a = a:\infty b:\infty c$, $a:\frac{1}{2}b:\infty c$ und $a:\frac{1}{3}b:\infty c$. Oктаeder finden sich selten, doch kommen am Altenberg bei Aachen kleine ringsum ausgebildete Krystalle vor, welche am untern sonst immer aufgewachsenen Ende das vollständige Oктаeder $s = a:\frac{1}{2}b:c$ zeigen ohne P und alle andern Nebenflächen, während oben P oder die Paare herrschen, und die s entweder ganz fehlen, oder doch nur untergeordnet auftreten. Das nicht selten sehr complicirte Oberende zeigt öfter noch $z = \frac{1}{2}a:b:c$, $x = a:\frac{1}{2}b:c$ und $n = \frac{1}{4}a:\frac{1}{2}b:c$, so daß also das Hauptoktaeder nicht vorkommen würde (G. Rose Abh. Berl. Akad. 1843. pag. 70). Mit dieser merkwürdigen von Mohs entdeckten polaren Hemiedrie scheint auch die Pyroelektricität im Zusammenhange zu stehen, denn die (untere) Oктаederspize zeigt sich immer

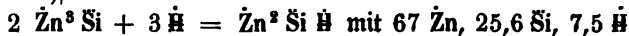


Quenstedt, Mineralogie. 2. Aufl.

antilog, und das freie Oberende analog elektrisch. Es kommen auch Zwillinge vor, welche die Geradenflächen P ihrer Oктаederspitzen gegen einander lehnen, sonst aber ganz parallel stehen, wenn hier die einspringenden Winkel von s/s' sich ausfüllen, so sind es einfache an beiden Enden gleich ausgebildete Krystalle, die an ihren Axenpolen c nur analoge Elektrizität zeigen, während in der Mitte die antilogen Pole liegen. Einen flächenreichen Krystall bildet Hessenberg (Abb. Sendeb. Mus. 1858. II. 70) ab.

Leicht und stark durch Erwärmen elektrisch. Rieß erhitzte es bis auf 40° , nach Haüy zeigte es sogar noch bei -6° eine bemerkbare Einwirkung auf die Magnethadel von Coulombs Drehwage. Farblos bis weiß, oder doch nur mit zufälligen Farben, etwas stark glänzend, $D. = 5$, Gew. 3,38. Durch Reibung phosphorescirend. Optisch +, Axenebene liegt in bc, Axe c Mittellinie.

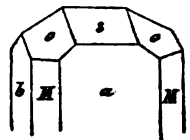
Vor dem Löthrohr zerspringt es stark, besonders nach der Geradenfläche, auch kann man es kaum zum Schmelzen bringen, doch leuchten die Proben mit grünlichem Lichte, auf Kohle bekommt man einen schwachen Zinkbeschlag, besonders mit Soda behandelt. Mit Säure gelatinirt es stark. Daher wurde der lamellenförmige des Dreisgau lange mit Faserzeolith verwechselt.



Kieselzinkerz kommt mit Galmei auf Spalten im Kalkgebirge vor: der Uebergangskalk von Rüttich, Aachen, Ferslohn u., der Muschelkalk von Tarnowitz in Schlesien und Wiesloch am Südbahange des Odenwaldes, der Jura-kalk von Bleiberg und Raibel ohnweit Villach und Kärnthens sind berühmte Punkte. Gewöhnlich von Bleiglanz begleitet. Auch auf Bleiglangängen, wie z. B. zu Matlock in Derbyshire oder Hofsgrund auf dem Schwarzwalde zeigt es sich. Zuweilen auch traubig, wie die schön himmelblauen von Cumberland. Uebrigens muß man sich bei der Säureprobe in Acht nehmen, denn das Kieselzinkerz löst sich auch leicht und bildet dabei viel Bläschen, die man leicht als Brausen auslegen könnte, so wie man jedoch mit etwas größern Proben Versuche anstellt, so kommt gleich eine steife Gallerte, die nicht aus dem Glase geschüttet werden kann. Derbe Massen pflegen viel mit Galmei verunreinigt zu sein.

Willemit Lévy, fand sich am Altenberg bei Aachen, wo er in kleinen gelben regulären sechsseitigen Säulen mit einem stumpfen Rhomboeder von $128^\circ 30'$ in den Endkanten vorkommt. Ein deutlicher Blätterbruch nach der Geradenfläche. Krystalle klein. Gew. 4,1, denn es ist wasserfreies $\text{Zn}^3 \text{Si}$. Shepard's röthlicher Troostit mit Franklinit zu Sterling vorkommend, soll ein Rhomboeder von 124° haben, und aus $(\text{Zn, Mn, Mg})^3 \text{Si}$ bestehen.

Hopeit Brewster, ebenfalls vom Altenberge, aber noch seltener. Er wird 2gliedrig beschrieben. Nach Lévy eine geschobene Säule $M = a : b : \infty c$ von $120^\circ 26'$; ein Paar auf die stumpfe Säulenkaute aufgesetzt $s = a : c : \infty b$ macht 101° in c, dieser Winkel steht dem Säulenwinkel M/M des Kieselzinkerzes nahe. Doch soll das zugehörige



Oktaeder $o = a : b : c$ eine vordere Endkante von 140° und eine seitliche von $106^\circ 22'$ haben, was sich mit Kieselzinterz nicht in Uebereinstimmung bringen läßt. Von den drei Hexaidflächen $c : ooa : oob$, $b = b : ooa : ooc$ und $a = a : oob : ooc$ ist letztere so blättrig, daß der Perlmutterglanz an Strahlzeolith erinnert. Immer an beiden Enden gleich ausgebildet. Kalkspathhärte, Gew. 2,7. Zn, H und eine unbekannte Mineralsäure. Jacquot's Mancinit von Mancino bei Livorno soll zwei ungleiche Blätterbrüche von 92° haben, und Zn Si sein.

8. Dioplas Hauy.

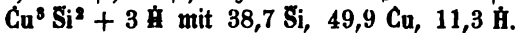
Werner's Kupfer-Smaragd, wegen seines prachtvollen dunkeln Smaragdgrüns so genannt. Er kommt fast nur in einem dreigliedrigen Dodekaid vor, mit $3+3+6$ Kanten: die drei Endkanten des Rhomboeders $r = a : a : ooa$ messen $95^\circ 33'$, was einem Würfel nahe kommt, daher die 6 Zickzackanten, welche die 2te Säule $s = a : \frac{1}{2}a : a : c$ mit dem Rhomboeder macht, $132^\circ 14'$. Folglich



$$a = 0,9385 = \sqrt[3]{0,8808} = \lg 9,97243.$$

Gegen die Endkanten des Rhomboeders sehend bemerkt man in der Richtung des nächsten stumpfern Rhomboeders ein starkes Licht, was auf einen blättrigen Bruch hinweist, der sich mit dem Federmesser darstellen läßt, aber noch nicht ganz so deutlich als beim Flußspath ist. Hauy gründete auf dieses innere Licht den Namen Dioplas. Das Rhomboeder des blättrigen Bruchs hat in den Endkanten $126^\circ 1'$. Bergmeister Credner (Leonhard's Jahrb. 1839. pag. 404) fand von den 6 Zickzackanten r/s die eine abgestumpft, die andere nicht, was auf eine merkwürdige Hemiedrie (Rhomboeder von Zwischenstellung) hinweisen würde. Man findet dies allerdings zuweilen, und die Sache scheint dadurch noch ein Gewicht zu bekommen, daß ihr eine wenn auch undeutliche Streifung auf der Rhomboederfläche parallel geht. Es fällt übrigens auf, daß man so selten untergeordnete Flächen an diesem merkwürdigen Dodekaide zu Gesicht bekommt.

Dunkel smaragdgrün mit geringer Durchsichtigkeit, Härte 5, Gew. 3,2. Vor dem Löthrohr färben sie die Flamme grün, besonders wenn man sie in Borax löst, das deutet auf Kupfer- und nicht auf Chromfärbung. Mit Soda auf Kohle kann man das Kupferkorn auch darstellen. Sie schmelzen nicht, färben sich aber schnell schwarz. Säure läßt ein Kieselstelet zurück.



Einziger Fundort das Land der mittleren Kirgisenhorde zwischen Ural und Altai, die Kirgisen nennen die Hügel Althyn-Tubek am Flüsschen Althyn-Szu. Die netten über $\frac{1}{4}$ " großen Krystalle brechen in einem dichten Kalkstein mit Kalkspath, und bröckeln gern von ihrer Unterlage ab. Hermann erstattete am 23. Januar 1800 der Petersburger Akademie den ersten ausführlichen Bericht darüber und nannte ihn Achirit, nach einem Bucharischen Kaufmann Achir Mehmed, welcher 1785 einen ganzen Sack voll aus der Steppe nach Semipalatinsk am Irtysh brachte, und für Eisenvitriol hielt, während Ferber

darin Smaragde erkennen wollte. Nova Acta Acad. Petropolitanae XIII. pag. 339. Heuland zahlte für eine Stufe 2000 Franken (Réby III. 99).

Das **Kupfergrün** Wr. $\text{Cu}^2\text{Si}^2 + 6\text{H}$ (Kieselskupper) bildet feintraubige Massen, mit opalartigem Bruch und spangrüner Farbe. Härte 2—3, Gew. 2,2. Verhält sich chemisch wie Diopas. Stücke in heiße Salzsäure geworfen werden bald an den Ranten durchscheinend, weil die Kieselerde zurückbleibt, die zwischen den Zähnen noch knirscht. Ausgezeichnet kam das spangrüne auf dem Herrenseegen im Schwarzwalde mit Ziegelerz und Kupferlies vor, nicht minder schön das von Poloma in Ungarn. Wenn sie Eisen aufnehmen, so werden sie pistaciens- und dunkelolivengrün (Werner's eisen-schüffiges Kupfergrün). Höchst interessant in dieser Beziehung ist das Kupfergrün und Kupferblau aus den Turjinschen Kupfergruben bei Bogoslowst zwischen dem 59° und 60° Breitengrade im Ural. Die lasurblaue dichte Substanz ist matt, und erinnert nicht bloß durch ihre Farbe an erdige Kupferlasur, sondern sie braust auch noch stark in kalter Säure, läßt aber bereits ein Kieselstelet zurück. Dieses schöne Blau wird nun rings von lauchgrünem „eisen-schüffigem Kupfergrün“ umgeben, das Opalglanz hat, und mit Salzsäure durchaus nicht mehr braust. Grün und Blau setzen scharf aneinander ab, sind nur durch einen engen lichtern Streif von einander getrennt. Das so gebildete Lauchgrün wird dann wieder zersezt, und nimmt ein erdiges himmelblaues Aussehen an. Man sieht hier also ganz klar, wie die grüne Masse durch Umwandlung aus der blauen entsteht. Das Kupfergrün kommt noch in scheinbar 2gliedrigen Asterskristallen von 112° vor, die Säulen sind lang, aber durch die stark ausgedehnten Abstumpfungsf lächen der scharfen Kanten sehr breit gedrückt (G. Rose Reise Ural. I. pag. 412). Man weiß nicht, welchem Mineral sie angehören. Haüy scheint schon dieselben gekannt zu haben, hielt sie aber fälschlich für wirkliche Krystalle des Kupfergrüns. Demidowit (Zahrb. 1857. 448) bildet himmelblaue Ueberzüge auf Malachit von Nischne Tagilsk, und scheint ein Gemenge von Kieselskupper mit Phosphorsäure zc. zu sein.

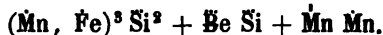
9. Helvin Wr.

Von Mohs in Null's Mineralien-Kabinet I. 92 als Anhang zum gemeinen Granat von Annaberg beschrieben. Später gab ihm Werner den Namen nach seiner gelben Farbe (*χλωρος* Sonne). Hoffmann Mineral. IV. b. pag. 112.

Tetraedrisch, die kleinen nur wenige Linien großen Krystalle zeigen fast immer das einfache reguläre Tetraeder. Spuren vom Gegentetraeder bringen das Oktaeder nie ins Gleichgewicht. Sie liefern daher für die nicht gewöhnliche Tetraederform ein vortreffliches Beispiel. Nicht sonderlich blättrig. Wachsgelb. Härte 6, Gew. 3,2. Erinnert wohl durch sein Aussehen an Granat, daher von Mohs tetraedrischer Granat genannt.

Höchst merkwürdige chemische Zusammensetzung von Ch. Gmelin (Gemische Untersuchungen des Helvins. Tübingen 1825) nachgewiesen. In Salzsäure entwickelt er einen deutlichen Geruch nach Schwefelwasserstoff, was auf

eine Schwefelverbindung hinweist, bildet dabei aber auch eine Kieselgallerte. Vor dem Löthrohr auf Kohle schmilzt er in der innern Flamme zu einer gelben Perle. Mit Borax Manganreaction. Die zwei Analysen ergaben: 33,2 und 35,3 Si, 12 und 9,5 Thonerdehaltige Verrhillerde, 31,8 und 29,3 Mn, 14 Mn S, 5,6 und 8 Fe. G. Rose construirt daraus die Formel



Kam früher auf einem Lager im Gneise von Schwarzenberg im Sächsischen Erzgebirge vor: das Gestein, worin er eingesprengt ist, sieht unrein und verwittert aus. Auch im Zirkonshemit von Norwegen bestätigte Rammelsberg (Pogg. Ann. 93. 453) die sonderbare Verbindung eines Schwefelmetalls mit Silicaten. Breithaupt vermuthet, daß Ahtaragdit mit dem Wilui-Grossular an der Ahtaragda vorkommend Ahtarkrystall vom Helvin sei, weil er den Pyramidentetraedern des Helvins auf Unverhofft = Glück an der Achte bei Johann-Georgenstadt gleiche (Leonhard's Jahrb. 1853. 500).

• 10. Wismuthblende Orth.

Kieselwismuth. Könnte man bei der Blende abhandeln. Denn die kleinen braungelben Krystalle haben ebenfalls einen sechsfachen Blätterbruch, und Breithaupt fand ein Pyramidentetraeder $a : a : \frac{1}{2}a$ mit $146\frac{1}{2}^\circ$ in den Pyramidenkanten. Die Tetraederkanten durch die Würfel Flächen gerade abgestumpft. Ausgezeichnete Zwillinge, worin die Tetraederkanten sich rechtwinklig kreuzen. Darunter sonderbarer Weise auch Drillinge mit Kreuzung unter 60° , welche von der Würfel Fläche her gesehen einen sehr regelmäßigen sechsstrahligen Stern bilden. Demantglanz. $\rho = 5$, Gew. 6. Von Blende unterscheidet sie sich schnell durch ihre leichte Schmelzbarkeit (Eulhytin), wobei sich auf Kohle gelblichbrauner Wismuthbeschlag um die Probe absetzt.



Auf Kobaltgängen zu Schneeberg mit gebiegenem Wismuth und Wismuthocker. Kein schwefelgelbe sphenartige Krystalle dabei nannte Breithaupt Atelesit.

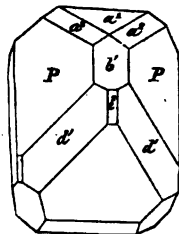
11. Endialyt Weiß.

Verh. Berl. Ges. Nat. Freunde I. 107 (*endialytos* wohlslöslich, weil er in Salzsäure sich aufschließen läßt). Krystalle selten. Nach Levy (Edinb. phil. Journ. 1825. XII. 51) ein scharfes Rhomboeder P mit $73^\circ 40'$ in den Endkanten gibt

$$a = 0,477 = \sqrt{0,228}, \lg 9,67865.$$

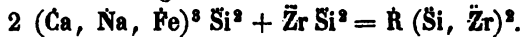
Geradenfläche a^1 deutlich blättrig. Außerdem die beiden sechseckigen Säulen 1ste $e^2 = a : a : \infty a : \infty c$, zweite $d^1 = a : \frac{1}{2}a : a : \infty c$, und noch drei Rhomboeder: das nächste schärfere $e^1 = \frac{1}{2}a' : \frac{1}{2}a' : \infty a$, das nächste stumpfere $b^1 = 2a' : 2a' : \infty a$ und das 2te stumpfere $a^2 = 4a : 4a : \infty a$.

Granatartige Farbe mit einem stärkern Stich ins



Blau als Colombinroth, daher von Mohs auch rhomboedrischer Almandin-
spath genannt. $H. = 5$, Gew. 2,9.

Schmilzt zu einem lichtgrünen Email. Wenn man 1,2 Cl vernach-
lässigt, so kommt etwa die Formel



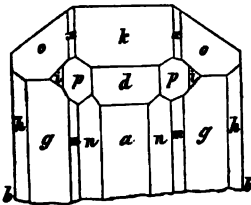
Die 16,9 Zirkonerde erklärte schon Hauy aus dem brechenden Zirkon, und wegen des 13 Na, das etwas Kalihaltig ist, hielt er das Mineral für Soda-
lit, mit welchem es zusammen im Zirkonsphenit von Rängerdluarsfuk in Grön-
land bricht, wo es Gieseke fand. Der braune bis kirschrothe **Eufasit** aus
dem Zirkonsphenit von Ramö gelatinirt ebenfalls leicht mit Salzsäure, hat eine
ganz ähnliche Zusammensetzung und Krystallform. Aber sonderbarer Weise
sind nach Fr. Descloizeaux die Blättchen optisch negativ, während Eufasit
sich positiv erweist.

12. Leucophan.

Esmark fand ihn im Sphenit von Ramö. Soll nach Weyhe (Jahrb.
1849. 778) eingliedrig ähnlich dem Kupfervitriol krystallisiren. Zwei ungleich
blättrige Brüche M/T schneiden sich unter 115° , gegen diese neigt sich unter
verschiedenen Winkeln eine sehr deutlich blättrige doppelschiefe Endfläche. Grün-
lichgelbe Farbe, in gewissen Richtungen mit einem weißen Lichtschein,
Härte 4, Gew. 3. Schmilzt zu einer schwach violblauen Perle



Nach Descloizeaux genügen abgespaltene Blättchen, um sofort die 2axigkeit
zu erkennen, während der begleitende **Melinophan**, obgleich ähnlich zusammen-
gesetzt, zu den 1axigen gehört. Die schönen wachsgelben Tafeln haben oft
Durchscheintheit genug, um das schwarze Kreuz deutlich erkennen zu lassen.
Härte 5. Der honiggelbe **Wöhlerit** Scheerer (Pogg. Ann. 59. 327) ist ein
dritter 30,6 Si, 26,2 Ca, 15 Zr, 14,5 Niobsäure, 8 Na zc. lassen keine gute
Formel zu. Er schmilzt ruhig zu einem gelblichen Glase, Härte 5, Gew. 3,4.
Krystalle bilden dicke **Oblongtafeln**, welche Dauber (Pogg. Ann. 92. 242) aus-



föhrlich beschreibt: a 100, b 010, x 111,
m110, k 101, n 210, g 120, h 130, d 301,
o 121, p 321, i 341; Säule m/m $90^\circ 18'$
weicht wenig von der quadratischen ab, und
k/k $140^\circ 18'$. Optisch 2axig (Descloizeaux
Ann. des min. 1859. XVI.), doch deutet das Po-
larisationsinstrument eigenthümliche hemiedrische
Verziehungen an. Der dihexaedrische **Kata-**

plejit (Pogg. Ann. 79. 300 und 92. 225), Gew. 2, 8, wird hellgelb und braun
beschrieben mit 30 Zr, 10,8 Na, 46,8 Si zc. **Tachyaphaltit** (Pogg. Ann.
88. 100) soll sogar 12,3 Thorerde, 39 Zr zc. enthalten. Alles das im Ränge-
sundsfjord und besonders auf dem äußersten Felsen Ramö.

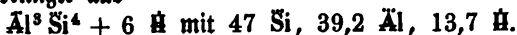
1. Anhang. Thone.

Als Verwitterungsproducte verschiedener Gesteine und Gebirgsarten gehören sie eigentlich nicht in die Mineralogie. Doch wurden sie von jeher darin abgehandelt, und practisch sehr ausgezeichnet. Der Name scheint mit *Dehnen* (was man dehnen kann) zusammenzuhängen. Im Wesentlichen bestehen sie aus kiesel-saurer Thonerde mit Wasser, sind aber durch Sand, Eisenoryd, Schwefelkies, Kalk (Ca C) zc. nicht selten und stark verunreinigt. Auch kommen allerlei in Wasser lösliche Salze darin vor, Kali (0,5—1 p. C.) fehlt niemals ganz. Sie kleben etwas an der Zunge, und zeigen beim Anhauchen einen eigenthümlichen bitteren Thongeruch. Mit Wasser geben sie bald leicht bald schwer einen Teig, der geformt werden kann (plastisch), und der im Feuer erhärtet, daher für die Töpferei seit uralter Zeit ein so wichtiges Material. Vieler Thon nimmt bis 75 p. C. Wasser auf, und was darüber geht läßt er nicht durch, was technisch und für den Lauf der Quellen Bedeutung hat. Ein kleiner Theil des Wassers ist nicht hygroskopisch, sondern geht erst bei der Glühitze fort, wobei der Thon sich brennt, d. h. seine Plasticität verliert. Die Thonerde wird dann leichter von Schwefelsäure aufgenommen, als aus frischem ungebranntem Thon. Sind organische Substanzen färbend, so brennt er sich weiß, sobald aber Eisen zugegen ziegelroth. Nach ihrem Vorkommen kann man zweierlei unterscheiden: auf ursprünglicher Lagerstätte, wie Kaolin, Steinmark, Grünerde; und angesammelte, die dann nach dem Grade ihrer Erhärtung wieder viele Unterabtheilungen bilden. Letztere können auch durch Sickerwasser in die Poren der Gesteine geführt werden. So findet man z. B. auf nassen Wiesen die eichenen Särgе altdeutscher Gräber ganz mit dem feinsten Thonschlamm erfüllt, wie bei Oberslacht südlich Spaichingen; andere sind erst in der Erde fett geworden, indem circulirende Wasser die löslichen Salze wegnahmen und unlösliche kiesel-saure Thonerde zurückließen.

Porzellanerde.

Chinesen nennen sie Kaolin, und den Feldspath, durch dessen Verwitterung sie entsteht, *Pe-tun-se*. Nach Ebelmen und Salvétat (Schneidermann, Polyt. Centralb. 1862. VI. 44) soll dieß ein dichter Feldstein sein, der fein gerieben und in Backsteinform gebracht wird. Er gibt in der Sprache der Chinesen wegen seiner Schmelzbarkeit dem Porzellan „Fleisch,“ das unschmelzbare Kaolin dagegen „Gebein.“ Die reinste Porzellanerde bildet ein schneeweißes Mehl, das man nicht selten erst aus dem Felsen heraus-schleppen muß. Gew. 2,2.

Nach Forchhammer's Untersuchung (Pogg. Ann. 35. 221) besteht die von Gebirgsart gereinigte aus



Zum Unterschied von Thonen enthält sie stets freie in Schwefelsäure lösliche Thonerde und aufgeschlossene in Alkali lösliche Kieselerde. Man kann sie

daher auch auf Alaun technisch verwenden. Daß Kaolin ein Product der Feldspathzersehung sei, das zeigt die von Aue bei Schneeberg in Sachsen, welche in Meissen verarbeitet wird, ganz entschieden (Naumann, Geogn. Besch. Königl. Sachsen II. 100). „Das dortige Kaolinlager ist nichts anderes als eine „den feinkörnigen Granit umhüllende Schale sehr grobkörnigen Granits, „dessen Feldspath sich in einem mehr oder weniger aufgelösten Zustande be- „findet.“ Die Schale ist nur 1' bis 2 Fächer mächtig. Es liegen noch Feldspathkrystalle darin, die alle Stadien der Zersetzung von blättrigem Spath bis zum zähen Kaolin durchgemacht haben. Forchhammer zeigte, daß wenn man von

3 Atomen Feldspath = $K^3 + Al^3 + Si^{12}$.

$K^3 + Si^8$ abziehe, so bleibe

$Al^3 Si^4$ = Porzellanerde zurück. Nun

hat aber bekanntlich das Fuchsische Kaliumwasserglas, welches sich im Wasser löst, die Zusammensetzung $K^3 Si^8$, so daß die Zersetzung nichts Auffallendes haben würde. Auch manche Thone, wie z. B. der Thon von Groß-Almerode, woraus die bekannten Hesseschen Ziegel bereitet werden, der sogenannte Leuzin von Rall in der Eifel u. weichen in der Zusammensetzung von der Porzellanerde nicht ab. Zu St. Yrieux südlich Limoges in Centralfrankreich ist der Gneis in Kaolin verwandelt, welcher die Porzellanfabrik von Sèvres bei Paris versieht. Die Lager erreichen bis 20 Meter Mächtigkeit und liefern so viel Vorrath, daß er bis nach Amerika ausgeführt werden kann. Nach Alexander Brongniart (Archives du Museum 1839. I. 248 und 1841. II. 217) findet die Ablagerung stets sehr unordentlich statt, eine Menge Gebirgsarten: Schiefergranit, Diorit, rothe Porphyr mit Quarz und Eisenerzgängen pflegen sich zu durchdringen, worzwischen dann sehr unregelmäßig die thonige Substanz ihre Stelle einnimmt, so daß die elektro-chemische Wirkung der ungleichen Felsarten auf einander nicht ohne Einfluß sein dürfte. Die Umgegend von Passau (Unter-Griesbach u.) dankt ihre Porzellanerde nicht bloß den verwitterten Granuliten, sondern es kommt bei Obernzell sogar ein besonderes Mineral vor, durch dessen Verwitterung das Material entsteht, woraus in München Porzellan bereitet wird. Fuchs (Denkschriften der Akad. Wissenschaften, München 1818—20, Band VII. 66) nannte dasselbe

Porzellanspath. Er bricht in stets verwitterten geschobenen Säulen von ungefähr 92° , deren scharfe Kante durch einen ziemlich deutlich blättrigen Bruch abgestumpft wird, der in der stumpfen Kante ist undeutlich. Von Skapolithartigem Aussehen, Härte 5—6, Gew. 2,6. In der Wärme phosphorescirend. Schmilzt vor dem Löthrohr. Starke Säuren zersetzen ihn, aber ohne Gallertbildung. Fuchs fand 49,3 Kiesel-erde, 27,9 Thonerde, 14,4 Kalk, 5,5 Natron, 0,9 Wasser. Schaffhäutl gibt auch 0,9 Chlor an. Die daraus entstandene Porzellanerde hat nach Forchhammer

$Al^3 Si^8 + H^6$ mit 46,9 Si, 34,8 Al, 18,3 H.

Passauer Porzellanerde wurde schon um das Jahr 1735 bei Lemmersdorf gegraben, und in bedeutenden Quantitäten nach Nord-Deutschland geführt. Der Hauptabsatz geht jetzt nach Nymphenburg und Regensburg, die

geschlemmte auch nach Wien. Die Truhe von etwa 12 Etr. kostet 8—14 fl. In kleinen Mengen als erdiges Mehl ist die aus Feldspath entstandene Porzellanerde außerordentlich verbreitet, nicht bloß im Urgebirge (Hornberg Select. phys. med. I. 222), sondern auch in den daraus entstandenen Sandsteinen, z. B. im Kohlen sandstein, im weißen Keupersandstein etc. Allein ihre Masse ist zu zerstreut, um durch Schlemmen gewonnen werden zu können, oder auch häufig zu eisenschüssig, so daß das Material zu feinem Porzellan immerhin ein kostbares bleibt.

Porzellan ist das feinste unter den Thonwaaren, von den Chinesen erfunden, woher es die Portugiesen zuerst nach Europa einführten. Es wurde aber von einem Apotheker Böttcher 1706 beim Goldmachen, das ihn in Schulden und Gefängniß gebracht hatte, auf der Festung Königstein nachentdeckt. Anfangs braun und roth, 1709 schon weiß, und 1710 die Fabrik in Meissen angelegt. Das Porzellan bildet keine geschmolzene, sondern nur eine gefrittete, hin und wieder mit kleinen Poren versehene Masse mit schimmerndem Bruch. Seine Härte ist so groß, daß es mit dem Stahle Funken gibt. Halbdurchsichtig, weiß und wenig spröde. Beim letzten Brennen schwindet das Porzellan, dem ungeachtet vermindert sich sein Gewicht (Erdmann's Journ. prakt. Chem. 36. 122), statt daß es höher werden sollte. Nach dem Brennen sollte es die Summe der Dichtigkeiten des Feldspathglases und der Porzellanerde besitzen, in der Berliner Fabrik also = 2,518 sein, während sie in Wirklichkeit = 2,452 ist, eine Erscheinung, die man noch nicht erklären kann (Pogg. Ann. 93. 72). Da nämlich die Porzellanerde weder schmilzt noch frittet, so muß sie noch mit einer schmelzbaren Substanz versetzt werden, reinem Feldspath oder Gyps (Fraueneis), wozu man noch etwas Quarz thut. Dieser „Fluß“ durchbringt nun das unschmelzbare Kaolin, wie Del das Papier, und macht die Masse haltbar und durchscheinend. Beides geschmolzenes und ungeschmolzenes, von den Chinesen schon so schön als „Fleisch und Gebein“ bezeichnet, läßt sich unter dem Mikroskop noch unterscheiden. Außerdem versieht man es mit einer Glasur, die aus denselben Substanzen wie der Fluß besteht, nur mit mehr Gyps, weil die Glasur in völligen Fluß kommen muß. Der Glasur verdankt das Porzellan seinen Glanz, das unglasirte (Bisquit) ist matt. Wegen der geringen Bildsamkeit der Masse muß das Material auf das sorgfältigste geschlemmt und Monate lang in feuchten Gruben abgelagert (gebeizt) werden. Dies und die starke Feuerung nebst der sorgfältigen und wiederholten Behandlung machen das Porzellan theuer. Es kann zugleich mit den schönsten Farben versehen werden: mit Scharffeuerfarben, welche die größte Hitze ertragen, wie das Blau des Kobalt, das Grün des Chroms, das Gelb des Titanoxyd, das Schwarz des Iridiumoxyds, und mit Muffelfarben, welchen starkes Feuer schadet. Diese viel mannigfaltiger muß man mit besondern Flüssigkeiten auftragen.

England macht nur Frittporzellan, dazu kommen Kaolin von Cornwallis, Plastischer Thon, ein halb verwitterter, glimmerfreier Granit (Cornishstone), Feuerstein und gebrannte Knochen. Die Masse ist viel plastischer, leicht flüssig durch die Knochenasche, und gibt doch eine weiße,

klingende und gleichartige Waare wie wirkliches Porzellan. Die Glasur ist Blei- und Borazhaltig. Das Frittporzellan, was man in Frankreich vor dem Meißner Porzellan machte, enthielt gar keine Thonerde, und war ein vollkommenes Glas.

Steinmark.

Steinomarga i. e. medulla saxi (Agricola pag. 578) nannte der alte Bergmann eine ganze Gruppe von Thonen, die nicht Schichtweis vorkommen, sondern isolirt im Felsen wie das Mark in den Knochen stecken. Sie lassen nicht mehr so unmittelbar wie die Porzellanerde ihren Ursprung erkennen, sind theils weich und flüssig, theils fest und homogen. Da auch einzelne Sorten von Speckstein nestertartige Ablagerungen lieben, so ist ein Verwechselln damit gar nicht zu umgehen. Nur die chemische Analyse kann dann unterscheiden, oder wenigstens die Stoffe quantitativ angeben, wenn auch nicht genügend deuten.

Gelblichweißes Steinmark aus den Zinnsteingängen (am Sauberge bei Ehrenfriedersdorf), vom Schneckenstein mit Topas zc. fühlt sich fettig an, läßt sich mit dem Nagel zerdrücken, und erscheint unter der Loupe feinschuppig, wie dichter Talkstiefer. Die Analyse von Clark gab 47,3 Kiesel-erde, 39 Thonerde, 13,5 Wasser und nur 0,9 Talkerde, was der Formel des Kaolins sehr nahe kommt.

Fleischrothes Steinmark aus dem verwitterten Porphyr von Rochlitz an der Mulde, Breithaupt's Carnat, läßt sich mit dem Nagel nicht zerdrücken, Härte 2—3, Gew. 2,6. Fühlt sich sehr fein und zart an. Der Bruch erinnert an Kugeljaspis, hat aber mehr Glanz. Wahrscheinlich aus Quarz entstanden. Klaproth's Analyse gab 45,2 Kiesel-erde, 36,5 Thonerde, 14 Wasser, 2,7 Eisenoxyd. In demselben Porphyr kommt auch Freiesleben's Talksteinmark vor, es ist mehr weißlich, und hat nach Karstens Untersuchung die Formel des Ghanit, $\text{Al}^3 \text{Si}^3$ mit 60,5 Thonerde, 37,6 Kiesel-erde. Doch gibt es auch Wasserhaltiges.

Collyrit Karsten Tabell. pag. 73, Collyrium nannte Plinius 35. 51 eine der beiden Samischen Erden: prioris laus, ut recens sit et levis, linguaeque glutinosa. Klebt also an der Zunge, wie vieles Steinmark. Auf dem Stephanischacht zu Schemnitz in Ungarn bildet der Schneeweisse mit Druckflächen versehene Thon Trümmer und Nester im Diorit-Porphyr. Klaproth Beitr. I. 258 fand darin 45 Al, 14 Si, 42 H = $\text{Al}^3 \text{Si} + 15 \text{H}$. Im weißen bunten Sandsteine von Weißenfels an der Saale kommt auf einem Gange ein Thon vor, den Karsten dazu stellte. Nester und Gänge im Flözgebirge pflegen übrigens immer sehr feingeschlemmte Thone von solcher Mannigfaltigkeit zu führen, daß es gewagt scheint, denselben besondere Namen geben zu wollen.

Lavendelblaues Steinmark von Planitz bei Zwickau bildet Lager im Steinkohlengebirge. Härte 2. Es gleicht einem Thonstein, fühlt sich mager an, und enthält nach Schüler 41,7 Si, 22,8 Al, 13 Fe, 2,5 Mg, 3 Ca, 1,7 Mn, 14,2 H. Wegen des Eisenreichtums hat es

Breithaupt Eisensteinmark genannt. Es ist die berühmte sächsische Wundererde (Ch. Richter, *Saxoniae electoralis miraculosa terra. Schneeberg 1732*). Die Drechsler von Jöblitz poliren damit den Serpentin.

Bol.

Von *βῶλος* Scholle. Der Name kommt aber noch nicht einmal bei Agricola vor, dagegen spricht Wallerius von siebenerlei Bolus in Apotheken, „die im Munde wie Butter schmelzen.“ Werner beschränkte dagegen die Benennung auf die steinmarkartig vorkommenden Thone im Basalt und Mandelstein. Dieselben haben einen vollkommen muscheligen Bruch, schimmern stark auf der Bruchfläche, springen sehr scharfkantig, fühlen sich fettig an, und hängen stark an der Zunge. Im Wasser zerspringen sie mit Geräusch zu edigen Stücken. Gewöhnlich eine von Eisenoxydhydrat herrührende braune Farbe. Bekannt sind die isabellgelben bis schwarzbraunen, sie scheinen verwitterter Opal zu sein. Die von Säsebühl bei Dransfeld haben 41,9 Si, 20,9 Al, 12,2 Fe, 24,9 H; die blaß rosenrothen aus den Rülsten zwischen den Basaltsäulen von Stolpe mit 45,9 Si, 22,1 Al, 3,9 Ca, 25,9 H, schmelzen unter Blasenwerfen zu Email. Der kastanienbraune Bol von Siena in Toscana (terra de Siena) wird zu Frescomalereien benützt. Den lichtbraunen Bol aus der Basaltwacke von Striegau westlich Breslau, brachte der Kaiserl. Leibarzt Scultetus Montanus 1508 als terra sigillata Strigonensis in den Handel (J. Montanus, *breve, sed exquisitum, vereque philos. judicium de vera nativa sigillata Strigonii a se inventa. Norimb. 1585*).

Terra sigillata Agricola Bermannus 699 nannten die alten Mediciner einen feinen Thon, der als Universalheilmittel seit Homer's Zeiten in Brauch und Ansehen stand. Plinius 35. 14 führt sie unter den rothen Erden an: palmam enim Lemniae dabant. Minio proxima haec est, multum antiquis celebrata, cum insula, in qua nascitur. Nec nisi signata venundabantur: unde et sphragidem appellavere (*σφραγίς* Siegel). Nach Galen scheint es aber nicht die rothe, sondern eine andere weißlichgraue gewesen zu sein, welche noch heute am Tage von Mariä Himmelfahrt mit großer Feierlichkeit gesammelt wird und mit einem türkischen Siegel versehen in den Handel kommt. Klaproth (Beiträge IV. 227) gab davon eine Analyse, der Thon war mager, und zerfiel im Wasser wie Wallererde: 66 Si, 14,5 Al, 6 Fe, 3,5 Na, 8,5 H, war daher kein Bol im Werner'schen Sinne. Wie ursprünglich nur der „Lemnischen Erde“ so wurde später vielen andern Thonen eine Heilkraft beigegeben, man schnitt sie zu cylindrischen Platten, und versah sie als Zeichen ihrer Aechtheit mit einem Siegel. Wallerius und Cronstedt rechnen alle diese Siegelerden zum Bolus, klagen aber schon, daß sie so viel verfälscht würden. Die gelbe Siegelerde von Striegau hat drei Berge als Siegel, auf den Namen des Entdeckers Montanus anspielend. Nach der Farbe hatte sie den bedeutungsvollen Namen *axungia solis* (Sonnenschmalz), die sächsische Wundererde von bläulich grauer Farbe hieß dem entgegen *axungia lunae* (Mondschmalz). Die Weiße von Malta wurde in Form von Kugelsalotten mit dem Bildniß des Apostel Paulus versendet.

Besonders häufig findet man auch die rothen, weil Plinius die ächte Römische Erde als Rubrica beschreibt. Von diesen war die Württembergische in Apotheken beliebt, sie findet sich nicht blos in den rothgefärbten Reuperletten, sondern kommt auch Nesterweis von ausgezeichneter Feinheit und intensiver Farbe auf den Brauneisensteingängen von Neuenbürg vor. Cronstedt § 86 übersetzt daher Volus geradezu in Eisenthon, „ein solcher scheint mir auch in der Medicin dienlicher zu sein, als andere Thonarten.“ Wer feine Thonforten finden will, muß gerade den Klüften der Gesteine nachgehen, hier schlagen sie sich noch fortwährend aus den circulirenden Wassern nieder, sind schmierig, und erhärten erst an der Luft. Eine solche zufällig angehäuften Schmiere scheint der Pholerit im Kohlengebirge zu sein, ob er gleich die Zusammensetzung der Porzellanerde hat. Im Alterthum genoß besonders die

Sinopische Erde als rothe Malerfarbe großen Ruf. Theophrast § 94 unterscheidet dreierlei, die besten Sorten kamen von der Stadt Sinope mitten am südlichen Ufer des Schwarzen Meeres. Plinius 35. 18 sagt ausdrücklich Sinopis in Cappadocia effossa a speluncis. Quae saxis adhaesit, excellit. Es war also ein nesterartiges Vorkommen. Klaproth (Beiträge IV. 222) fand darin 32 Kiesel Erde, 26,5 Thonerde, 21 Eisenoxyd, 17 Wasser, 1,5 Kochsalz. Die prächtig rothen Wände von Pompeji sind damit gemalt. Hier würde sich dann der Röthel anschließen, wie andererseits an den Brauneisenoeder die Gelberde. Ein Theil der letztern kommt nesterförmig vor, in den Bohnerzen, andere ist Zerfetzungsproduct von Eisensäurelingen, bei Cannstadt. Die Sachen kommen geschlemmt in den Handel. Die Werner'sche war ein Töpferthonflöz aus den jüngsten Formationen von Wehrau. Bei Amberg lagert im untern braunen Jura eine Erde, die nach Ruhn 33,2 Si, 37,1 Fe, 14,2 Al, 13,2 H, 1,4 Mg enthält. Von Formeln kann da nicht die Rede sein. Durch Brennen wird sie roth, durch Mangan gehalt braun, wie die sogenannte Cypriſche (türkische) Umbra von der Insel Cypern, nach Klaproth (Beiträge III. 140) 48 Fe, 20 Mn, 13 Si, 5 Al, 14 H. Kaffeebraune Manganhaltige Thone enthält auch der Reuperletten vom Vogelsang bei Stuttgart. Der Montronit aus den Braunisteinlagerstätten über Bias von St. Pardour bei Montron (Dordogne) hat öfter eine gelbbraune Farbe (Andreasberg), und besteht im wesentlichen aus (Fe, Al) Si² + 3 H.

Intensiv gefärbte Thone gibt es noch eine ganze Reihe, besonders schön die grünen. Grünerde pag. 244 von Monte Baldo mit seladongrüner Farbe schließt sich an Chlorit an. Durch Brocchi wurde 1811 die sogenannte krySTALLisirte Grünerde im Melaphyr des Gebirges Pozza im Fassathal bekannt, aus den schönsten und schärfsten ringsum gebildeten Austerkrystallen von Augit bestehend. Rammelsberg (Pogg. Ann. 49. 221) fand darin 39,5 Kiesel Erde, 10,3 Thonerde, 8,9 Eisenoxyd, 15,7 Eisenoxydul, 1,7 Magnesia, 8,7 Alkali nebst Wasser und Verlust. Mehrere hatten sogar bis 15,2 p. C. Ca C, an die Feldspathasterkrystalle aus dem rothen Porphyr von Jmenau pag. 219 erinnernd, in welchen Crasso (Pogg. Ann. 49. 222) sogar 49,5 Ca C neben 23,2 Si, 12,5 Fe, 7,3 Al, 2,1 K, 0,2 Na zc. fand.

Eisenoxydul scheint in Fassathalern die grüne Farbe zu erzeugen. Im Handel kommt auch eine berggrüne Thonsteinartige Masse unter dem Namen Grünerde von Monte Paterno bei Bologna vor; oder aus den Alpen, woran der eingesprengte Bergkrytall öfter noch den chloritischen Ursprung verräth. Kämmerer's

Wolchonskoit (Pogg. Ann. 29. 440) in Nestern und schmalen Gängen des Kreises Ohsanß Gouv. Perm scheint ein krautgrüner Thon zu sein, worin die Thonerde hauptsächlich durch 34 Chromoxyd und 7,2 Eisenoxyd vertreten ist, neben 27,2 Si und 23,2 H. Wird ebenfalls als Farbmateriale von den Russen benützt. Auch Pimelith pag. 210 ist hier wegen seiner schön grünen Farbe zu vergleichen, allem Anschein nach verwitterter Chrysopras, der aber schmilzt und mit Kobaltsolution schön blau wird. Auffallender Weise, gibt Schmidt (Pogg. Ann. 61. 300) in den Steinmarkartigen sich fettig anführenden 32,7 p. C. Ni nebst 54,6 Si, 5,9 Mg, 5,2 H, so daß er im Wesentlichen 2 Ni Si + H sein würde. Die Tonerde läßt sich leicht aus dem Muttergestein, dem Serpentin, erklären.

Kerolith (Wachstein, *ωρος*) von weißem wachsartigem Aussehen, Härte 2, aus dem Serpentin von Baumgarten in Schlesien 36,8 Si, 12,2 Al, 19 Mg, 32 H. Bildet schmale Gänge wie der dortige Opal, und ist daher offenbar nur ein in Afterbildung begriffenes Quarzgestein. Karstens

Alumocalcit aus dem quarzigen Rotheisensteine von Eibenstock in Sachsen, weiß, weich, spröde, ist nicht sowohl ein unreifer, als ein überreifer Opal mit 86,6 Si, 2,2 Al, 6,2 Ca, 4 H. Hier hatte das Gebirge nur Kalkerde abzugeben. Stromeyer's

Allophan (*allophan's* andersscheinend) von Gebersdorf bei Gräfenthal im Salfeldischen bildet traubige himmelblaue Ueberzüge und Schnüre in einem eisenhaltigen Thon. Die dertöbern Parteen zeigen einen ausgezeichneten Glasglanz und muscheligen Bruch, Gew. 1,9, Härte 3. Seinem Aussehen nach sollte man es für lichten Kupfervitriol halten, dennoch fand Stromeyer 41,3 H, 21,9 Si, 32,2 Al, 0,7 Ca und nur 3 p. C. kohlenstaurer Kupfer darin. Andere sind reicher. Auf alten verlassenen Gruben bildet er öfter secundäre Niederschläge, die frisch noch schmierig sind, wie auf dem blauen Stollen von Zuckmantel in Oest. Schlesien. Er färbt die Flamme grün, scheint aber nicht vitriolisch, sondern thonig.

Halloysit nannte Berthier die wachsartigen aus den Galmeylagern von Angleur bei Lüttich mit 45 Si, 39 Al, 16 H. Dufrenoy vereinigt unter diesen Namen eine ganze Reihe Steinmarkartiger Thone, die besonders in der Artoise von Centralfrankreich, welche zwischen dem Granit und Secundärgebirge (Lias) ihr Lager hat, sich eingesprengt finden.

Plastische Thone.

Kommen in größerer Menge schichtenweis eingelagert vor. So lange sie ihre Bergfruchtbarkeit enthalten, geben sie eine mehr oder weniger kneibbare Masse, das macht sie für die Töpferei wichtig (Töpferthon). Trocken haben sie einen glänzenden Strich, ins Wasser gelegt zerfallen sie und werden wieder

plastisch. Zeigen eine große Neigung besonders beim Trocknen Fett aufzunehmen. Die meisten sind zusammengelöst, und finden sich namentlich in jüngerer Zeit, im Braunkohlengebirge. Im Pariser Becken hat A. Brongniart sogar die ältere Tertiärformation unter dem Grobkalk, Formation des plastischen Thones genannt. Chemisch weichen sie kaum wesentlich von dem Kaolin ab, wenn man ihre mechanische Verunreinigung gehörig berücksichtigt, wie das z. B. Fresenius (Erdmann's Journ. prakt. Chem. 57. 66) bei den Massaischen Thonen nachweist. 100 Theile lufttrockenen Thones von Hilscheid enthielten 24,7 Streusand, 11,3 Staubsand, 57,3 Thon und 6,2 Wasser, und das ganze analysirt gab 77 Kieselersde, während der Thon nach Abzug des Sandes nur 45,3 Kieselsäure, 34,1 Thonerde, 3,3 Eisenoxyd, 3 Kali, 12,3 Wasser zc. enthielt, was der Zusammensetzung von Kaolin schon nahe tritt. Auch sieht man bei dem Verfahren sogleich ein, welches bedingte Gewicht auf Analysen solcher Sache zu legen ist, wenn von der mechanischen Scheidung so viel abhängt, die bei vielen Analysen früher fast ganz vernachlässigt wurde. Der stets vorhandene kleine Kalligehalt deutet den Ursprung aus Feldspath an.

Töpferthon Wr., *Argile glaise* Haüy *Traité* IV. 557, *Potter's Clay*. Eine sehr plastische Masse, die vorzüglich zur Töpferei dient, und da fast kein Bezirk ohne Töpfer ist, so muß natürlich das verschiedenste Material angewendet werden. Die meisten plastischen Töpferthone werden von der Oberfläche genommen, es scheint die Circulation des atmosphärischen Wassers zu ihrer Präparation wesentlich beigetragen zu haben. Die feinste Abänderung nannte Werner erdigen Töpferthon, meist von graulich- und weißlicher Farbe, und zwischen den Zähnen knirschend von beigemengtem Sande. Gew. 2. Töpferthon von Bunzlau in Schlesien hatte nach Klaproth 61 Si, 27 Al, 1 Fe, 11 H; Thon von Gr. Allmerode, woraus die berühmten Hefischen Tiegel gemacht werden, ein ausgezeichnete graulich-weißer Braunkohlenthon, hat nach Salvétat 47,5 Si, 34,4 Al, 1,2 Fe, 0,5 Kalk, 1 Magnesia, 14,5 H. Die Analysen verschiedener Töpferthone schwanken zwischen 46—66 p. C. Kieselersde und 18—38 Thonerde. Durch Salze verunreinigte Thone fangen im Feuer an zu schmelzen, aber auch die unschmelzbaren verlieren ihre Plasticität. Sie liefern das Material zur gröbren und feinern Töpferwaare. Oben an steht

Steingut, dessen harte Masse porzellanartig zusammenbäckt, daher klingt. Vor der Erfindung des Porzellans diente es zu Luxusgegenständen, und der Stiel ist ein interessanter Beweis deutschen Kunstsinnes. Feines Steingut wird in unzähligen Varietäten hauptsächlich noch in England gemacht. Die Potteries in Staffordshire und Newcastle an der Tyne beziehen einen Theil ihres Thones dazu von Teignmouth in Devonshire. Gewöhnlich färbt man die ganze Masse: grün mit Chrom, blau mit Kobalt zc. Die Französischen Fabrikate von Saargemünd werden geschliffen und polirt, ahmen Jaspis und Porphyrr nach zc. Gemeines Steingut dient zu Töpfen, Sauerwasserkrügen und andern wasserdichten Gefäßen. Es besteht aus verschiedenen plastischen Thonen, die mit einem Cäment (gestoßenen

Steinscherben, Sand) gemischt werden. Nächst dem Porzellan bedürfen die Steingutöfen des stärksten Feuers, zur Glasur braucht man bloß Salz in den Ofen zu werfen, das Natron bildet dann mit Kieselsäure ein Glas. Das Steingut von Bunzlau in Schlesien, Vallendar (Coblenz gegenüber) u. ist berühmt. In England benutzt man Steingut wie Glas, und verfertigt Gefäße bis zu 6 Ohm Größe. Die Scherben von Steingut und Porzellan kleben nicht an der Zunge, die nachfolgenden kleben: Kleben und nicht Kleben Hauptmerkmal der Practiker:

Fayence (Majolica) schmilzt und sintert nicht mehr zusammen, sondern ist bloß stark gebörst, und wird dann mit einer bleihaltigen Glasur überzogen, die von ganz anderer Beschaffenheit als die Masse ist. Was das Porzellan für die Malerei, das ist heute die Fayence für den Farbendruck. Früher wurde sie auch bemalt, die Malereien von Raphael, Titian, Michel Angelo verschafften ihr großen Ruf. Feine Fayence hat eine durchsichtige Glasur, gemeine dagegen undurchsichtige und gefärbte. In Württemberg wird zu Schramberg im Schwarzwalde der schwarze Schieferthon der Steinkohlenformation mit benützt, der sich ganz weiß brennt. Zu Schrezheim bei Ellwangen gibt man ihm eine smalte-blaue Glasur, so kommen wir durch zahllose Abstufungen zur

Gemeinen Töpferwaare. Sie ist uns aus dem Alterthume überliefert, ihre Form kam bei Griechen und Römern zwar zur größten Vollendung, allein die Scherben kleben an der Zunge. Die Alten führten die größten Werke aus, wie die sogenannten Terracotten beweisen: auf dem Capitol stand ein Jupiter sammt Biergespann in Thon ausgeführt und mit Zinnober angestrichen. Kaiser Vitellius ließ eine Schüssel machen, welche 1 Million Sesterzien (über 33,000 fl.) kostete. Die Petrusischen Vasen mit ihren eigenthümlichen Malereien waren so geschmackvoll und beliebt, daß sie zur Zeit August's den silbernen und goldenen Gefäßen den Rang streitig machten. Diese feine Töpferwaare des Alterthums, wovon wir so häufig Scherben auf unsern Feldern finden (Kottweil, Rottenburg), wurde von den Römern gern aus rothem Thon gemacht, man sagt aus Terra sigillata. Der Thon ist geschlemmt, das Roth durch Zusatz von Eisen erzielt. Grobe schwarze Töpferwaare (Thänen- und Aschenkrüge) wurde auch im Großen ausgeführt, wie das noch heute in warmen Ländern der Fall ist. So war das bekannte Faß des Diogenes ein solcher Topf. Unsere gemeine Töpferwaare verträgt den Temperaturwechsel, wie das Porzellan, um aber Flüssigkeiten halten zu können, muß sie mit einer Bleiglasur, die gleich auf die lufttrockenen Gefäße aufgetragen wird, überzogen werden. In warmen Gegenden macht man auch eigene Rührkrüge ohne Glasur, wo der Thon sogar, um recht porös zu werden, noch mit einer verbrennbaren Substanz gemischt wird.

Pfeifenthon nennt man die weißen Thonabänderungen, welche dabei so rein sind, daß sie zwischen den Zähnen gar nicht knirschen. Sie liefern das Material zu den bekannten Eölnischen Pfeifen.

Wallererde, Foulter's earth, Argile smectique. Die ächte englische

Wallererde von Nutfield bei Riegate in Surrey ist ein muschelführender bläugrünlich bis gelblich grauer schiefriger Thon des mittlern braunen Jura. Sie war früher so berühmt, daß man die Güte englischer Tücher ihr zuschrieb, und sie durfte daher nicht ausgeführt werden. Nach Klaproth (Beitr. IV. 224) zerfällt sie im Wasser geräuschlos und schnell „wie Ursand auseinander.“ Sie fühlt sich nur mäßig fett an: 53 Si, 10 Al, 9,7 Fe, 1,2 Mg, 24 H, Spuren von Kali; also wesentlich Thonerdearm. Solche zusammengeschwemmte Gebirge unter allgemeine Begriffe bringen zu wollen, möchte vergebliche Mühe sein, zumal da die verschiedensten Thone zum Entfetten benützt werden können. Die Alten bedienten sich dazu besonders der $\gamma\gamma$ *κυμωλλα* Theophr. § 110, Plinius 35. 57 nennt sie Creta Cimolia, nach der Cycladischen Insel Cimolus (Argentiera). Klaproth (Beiträge I. 201) beschreibt den Cimolit perlgrau, er nimmt aber an Luft eine röthliche Schattirung an (Cimolia ad purpurissum inclinans Plin.), gibt Späne wie Speckstein, im Wasser blättert er sich krummschiefrig, die Masse wird im Wasser nicht recht schlüpfrig, gerade wie die Wallererde, was das Abwaschen der damit besetzten Tücher offenbar erleichtert: die erste Analyse gab 63 Si, 23 Al, 1,2 Fe, 12 H; eine zweite spätere (Beitr. VI. 224) dagegen 54 Si, 26,5 Al, 5,5 K, 12 H. Zwischen den Schieferletten der braunen Juraformation kommen wiederholt solche zähen Thonschichten vor, die im Wasser nicht so schmierig sich anfühlen, als feiner Töpferthon, und die wohl alle zum Walken sich eignen werden.

Bergseife nannte Werner den fettesten aller Thone. Sie kam von Ostucz in Polen, und Werner hielt sie für eine große Seltenheit: lichte pechschwarz, sehr glänzend im Strich, färbt nicht ab, aber schreibt wie schwarze Kreide. Später hat man dann Thone anderer Fundorte dazu gezählt, sonderlich den schwarzen von Waltershausen bei Gotha, der ebenfalls schreibt und auf der schreibenden Spitze großen Glanz annimmt.

Bunte Thone hieß Werner die durch Eisen intensiv gefärbten, sie verlieren dadurch an Plasticität. Bei Wehrau kommt mit der dortigen Gelberde ein sehr ausgezeichnete rother vor. Der unreinste heißt

Lehm, jene gelben Lager, die besonders stark durch Sand, Kalk und im Wasser lösliche Salze verunreinigt sind, häufig Mammuthsknochen enthalten, und sich wo nicht Flugsand vorhanden unmittelbar unter der Ackerkrume finden. Zusammensetzung und Färbung hängt in Gebirgsländern mit von dem Gebirge ab, auf welchem sie liegen. Lehm hat eine außerordentliche Verbreitung. Da die gelbe Farbe von Eisenoxydhydrat herrührt, so brennt er sich im Feuer roth. Backsteine und Ziegeln werden aus Lehm gemacht. In südlichen Ländern, oder da wo es keine Steine gibt, trocknet man bloß die geformten Stücke (Ninive, Babylon), sie werden dann aber nicht so hart, wie die gebrannten. Lehm ist ein sehr wichtiges Baumaterial, der magere im Rheinthale (Vöß) fällt leicht zu feinem Staub auseinander, und geht zuletzt vollkommen in den Tripel über. Letten ist fetter Lehm.

Schieferletten werden ins Wasser geworfen nicht plastisch, sind im Gebirge steinhart, durch Verwitterung zerfallen sie aber zu lauter kurzen Plättchen, welche schüttig an steilen Gehängen herunterrutschen. Die meisten

brausen mit Säuren stark, schmelzen vor dem Löthrohr, gehen also in Mergel über. Indes da sie nach langer Verwitterung einen zähen plastischen Dreck geben, so pflegt man sie nicht den Mergeln sondern den Thonen zuzuschreiben. Hausmann nennt sie Mergelthon. Bei der Zufälligkeit der Bildung ist es freilich nicht möglich, hier überall die richtige Gränze zu stecken. Werner scheint sie hauptsächlich unter seinen verhärteten Mergeln begriffen zu haben. Während der eigentliche

Schieferthon fast ausschließlich dem Steinkohlengebirge angehört. Er ist von kohligen Theilen schwarz gefärbt, seltener grau, hat aber einen grauen Strich. Vor dem Löthrohr schmilzt er nicht, brennt sich aber weiß, und wenn Eisen da ist, roth. Denn die schwarze Farbe rührt lediglich von Kohle her. Er ist auch steinhart und gibt mit Wasser angemacht keinen plastischen Thon, er müßte denn vorher fein gestoßen, geschlemmt und gebeizt sein. An der Luft der Verwitterung von Regen und Sonnenschein ausgesetzt, zerfällt er bald zu eckigen Stücken. Die Analyse einer Abänderung aus der Grafschaft Mark von Brandes gab 67,5 Si, 11,3 Al, 4,2 Fe, 4,9 H, Schwefelkies, Kohle, Alaun, Ammoniak &c. Wegen seiner häufigen Pflanzenabdrücke heißt er auch Kräuter-schiefer, welcher besonders das Dachgestein der Steinkohlen bildet. Wie der Plastische Thon die Braunkohle, so begleitet der Schieferthon die Steinkohle. Wenn Schieferthon viel Bitumen enthält, so brennt er, dieser heißt dann auch wohl Brand-schiefer Br. Klaproth Beitr. V. 182 hat einen solchen von Wologda untersucht. Mineralogisch kann man die Sache kaum festhalten. Zeichenschiefer (schwarze Kreide) heißen die im Handel vorkommenden milden Schieferthone, welche so viel Kohle haben, daß sie einen schwarzen Strich machen, und wegen der Milde des Schiefers auf Papier schreiben. Die beste soll aus Spanien von Marvilla in Andalusien und aus Italien stammen, daher auch pierre d'Italie genannt. In Deutschland ist besonders Oberhüttendorf und Dünahof bei Ludwigstadt im Bayreuthischen als Fundort bekannt. Man präparirt auch künstlich Schreibstifte daraus.

Thonschiefer gehört vorzugsweise der Uebergangsformation an. Er ist ein Reibungsproduct des Urgebirges, wie es sich noch heute an den Küsten Norwegens oder bei Gletschern bildet. Farbe schwarz, grau, röthlich &c. Hart und steinartig sondert er sich in den ausgezeichnetsten Platten ab, die aber nicht Folge der Schichtung sind, da sie nicht der Schichtung parallel gehen, sondern Folge einer merkwürdigen Absonderung. Griffelschiefer von Sonneberg südwestlich Saalfeld, läßt sich in stängliche Stücke spalten, woraus die Griffel zu Schiefertafeln geschliffen werden. Er ist etwas weicher als der Tafelschiefer, und an der Luft sondert er sich von selbst stänglich ab, wird aber dadurch auch brüchig. Daher muß er frisch gebrochen gleich sorgfältig in feuchten Kellern zur weitem Bearbeitung aufbewahrt werden. Die Anwendung zu Schiefertafeln und zum Dachdecken kennt schon Agricola, er nennt ihn *Saxum fissile Schiefer pag. 707*, aber versteht darunter die verschiedensten plattigen Steine.

2. Anhang. Gläser.

Die Gläser bilden eine amorphe spröde Masse mit vollkommen muscheligen Bruch. Besonders homogen erscheinen die künstlichen und doch sollen sie nach Lehdböhl (Pogg. Ann. 86. 494) aus durchsichtigen Krystallen bestehen, die wie beim Porphyr in eine amorphe Grundmasse eingeknetet sind. Bei der Behandlung mit Flußsäure kommen die Krystalle zum Vorschein. Glas entsteht durch Schmelzen und schnelles Erkalten der verschiedensten Minerale und Gebirgsarten. Schon Klaproth (Beiträge I. 2) hat darüber umfassende Versuche angestellt. In der Natur im Großen sind ganz besonders die Trachyte und Feldspathgesteine zur Glasbildung geeignet. Glas hat die merkwürdige Eigenschaft, daß es, ehe es in Fluß kommt, in der Rothglüh-hitze sich formen, schweißen und kneten läßt wie Wachs. Das ist für die Technik von ungemeiner Wichtigkeit. Der Glasfluß löst übrigens Basen und Kieselsäure im Ueberschuß, so daß er keine bestimmte chemische Verbindung zu sein braucht.

Obsidian.

Lapis obsidianus Plinius 36. 67, quem in Aethiopia invenit Obsidius, nigerrimi coloris. August stellte 4 Elephanten von Obsidian im Tempel der Concordia auf. In Rom wurde überhaupt ein großer Luxus damit getrieben, man machte Trinkschalen daraus, die ganz die Stelle unseres Glases vertraten, Kugeln mit Wasser gefüllt gebrauchte man als Brenngläser und dergleichen mehr. Theophrast § 25 nennt ihn *λεπταῖος*, weil er von den Eiparischen Inseln kam, und beschreibt seinen Zusammenhang mit dem Bimstein vortrefflich. Anthraxion diente zu Spiegeln.

Obsidian bildet das vollkommenste unter den natürlichen Gläsern, er zeigt den vollkommensten muscheligen Bruch, und ist so spröde, daß man mit dem kleinsten Hammer die größten Blöcke zerbrechen kann. Diese auffallende Sprödigkeit rührt vom schnellen Erkalten her: die Theilchen sind gezwungen, an der Oberfläche schnell eine Lage einzunehmen, welche sie vermöge ihrer Krystallisation nicht nehmen würden, den inneren Schichten bleibt dagegen mehr Zeit zur Krystallisation. Das erzeugt eine Spannung der äußern gegen die innern Theile, die man beim künstlichen Glase durch möglichst langsame Abkühlung sorgfältig zu vermeiden sucht. Glastropfen, in kalt Wasser geträpfelt (Glasthränen) bilden daher das allersprödeste Glas. Sammt schwarze Farbe herrscht vor, doch geht dieselbe in's Grüne und Farblose. Auch die Durchscheintheit ist sehr verschieden, und hängt namentlich auch von der mehr oder weniger vollkommenen Glasbildung ab. Manche Mexicanische haben einen eigenthümlichen gelblichen Schiller, der von innern Blasen herzurühren scheint. Härte 6, Gew. 2,4.

Vor dem Löthrohr entfärbt er sich und schmilzt zu einem schwammigen Glase, was bei größern Stücken an Bimsteinbildung erinnert. Da Knox (Philos. Transact. 1823. pag. 520) im Obsidian von der Insel Ascension 0,2 p. C. bituminöses Wasser und im Feuer 1,75 p. C. Verlust bekam, so

hat man die schwarze Färbung und das Aufschäumen wohl daraus erklären wollen, Abich (Geol. Beob. pag. 62) dagegen, der die vortrefflichste Arbeit darüber geliefert hat, leitet das Aufblähen von einem Kaliverlust her. Die Analyse fällt natürlich sehr verschieden aus, je nachdem man Sorten vor sich hat. Der Obsidian von

Lipari hat 74 Kieselersde, 13 Thonerde, 2,7 Eisenoryd, 5,1 Kali, 4,1 Natron, 0,3 Chlor, 0,2 Wasser, so daß man ihm die Formel $K Si + K Si^2 + 5 Si$ geben könnte. Der Ueberschuß von 5 Si über glasigen Feldspath deutet auf einen Kieselereichen Trachyt (Trachyt-Porphyr) hin. Der Obsidian von Island, Ponza, Cerro del Quincho nördlich Quito gehören zu den gleichen, sowie überhaupt diejenigen, welche das Phänomen der Entglasung oder sogenannte Krystalliten zeigen: das heißt graue ungeschmolzene Flecken, die in der glasigen Grundmasse schwimmen. Auf der nordöstlichen Spitze von Lipari im Gebiete der kieselreichen Trachytporphyre erheben sich weiße Bimsteintrümmer im Monte Campobianco zu einem der „prachtvollsten Kratere, die es geben mag.“ Auf seinem Boden bricht 500' über dem Meere in furchtbar schöner Rauheit ein Glaslavenstrom hervor, der in 100' betragender Mächtigkeit und $\frac{1}{4}$ Meile Breite dem Meere zufließt. Ueber diesen Strom, sowie über einen kleinen zweiten schweigt die Geschichte, obgleich die Glasnatur des Gesteins jedem atmosphärischen Angriff troggeboden hat; die Ströme überzogen sich nur mit einer eigenthümlichen emailartigen Kruste, „welche ihre perenne Dauer noch mehr sichern zu wollen scheint.“ Zur zweiten Sorte gehören die blaßgrünen von

Teneriffa und die dunkelbraunen von Procida und Ischia. Ersterer hat 61,2 Kieselersde mit etwas Titansäure, 19 Thonerde, 4,2 Eisenoryd, 0,2 Kalkerde, 10,6 Natron, 3,5 Kali, etwa mit der Formel $K Si + K Si^2$. Der Krater von Tahorra bildet einen Damm von Trachyten, der aus einem wahren Meere von Bimstein emporsteigt. Ungeheure Ströme verglaster Lavas von Pechstein- und Obsidiangrundlage umgeben den Pic.

Bouteillenstein (Pseudochrysolith) findet sich zu Theil an der Moldau und Budweis in Böhmen auf den Feldern in einer Art von Geschieben im Sande und in der Dammerde (Zippe, Leonhard's Jahrb. 1841. pag. 115). Er scheint wie bouteillengrünes Glas durch, ist aber an der Oberfläche eigenthümlich rau und zerhackt. Man hat ihn wohl für Kunstproduct gehalten. Die Analyse gab 82,7 Kieselersde, 9,4 Thonerde, 2,6 Eisenoryd, 1,2 Kalkerde, 1,2 Talkerde, 2,4 Natron u. (Hauer Jahrb. geol. Reichs. V. 1840).

Marekanit vom Bache Marekanka bei Ochotk in Ostsibirien bildet dunkelfarbige Kugeln, von allen Graden der Durchsichtigkeit. Die undurchsichtigen erinnern auffallend an Perlstein, welcher zugleich ihr Lager bildet. Laproth fand in den durchsichtigen 81 p. C. Kieselersde. Aus Indien kommen bouteillengrüne Kugeln von 2—2 $\frac{1}{2}$ Zoll Durchmesser, die so hart wie Quarz sind. Als ein Pariser Steinschleifer eine solche in Platten zerschneiden wollte, zersprang die eine unbefestigte Hälfte mit Zischen und Detonation. Das erinnert an das Zerspringen der Glasthränen. In der Mitte finden sich

Höhlungen von Erbsengröße. Stumpfeckige Einschlüsse birgt in großer Menge der Ungarische Perlstein (Tefköbanya, Plinischer Thal). In Nordisland kommen Obsidiane vor, welche den Ungarischen in Beziehung auf Glanz und blauschwarze Farbe gleichen: sie halten offenbar die Mitte zwischen Pechstein und ächtem Obsidian, und schließen eigenthümlich excentrisch safrige Kugeln ein (Aequinolith), die an Sphärolith erinnern.

Auch in dem Basalten lagern zuweilen Glasflüsse: so erwähnt Hausmann einen Tachylit aus den Absonderungsflächen des Basaltes von Dransfeld bei Göttingen. Ein augitisches Bisilicat mit 55,7 Si, daher leichter schmelzbar als die Kieselbereiche, worauf der Name anspielt. Zu Badenhausen im Vogelsgebirge finden sich bläulich schwarze Stücke, worin Ch. Gmelin (Pogg. Ann. 49. 222) nur 50,2 Si, 17,8 Al, 10,3 Fe, 8,2 Ca, 5,2 Na, 3,8 K, 1,4 Ti fand, was also noch nicht einmal Bisilicat ist $R^2 \text{Si} + \text{Al Si}^2$. So spricht Silliman von einem Obsidian von den Sandwichsinseln, der 51,2 Kieselerde, 30,3 Eisenoxydul, 18,2 Magnesia hatte, also ganz die Zusammensetzung des Augites zeigt. Besonders benennen sollte man solche zufälligen Schmelzproducte nicht. Denn sonst müßte man auch die überglasten Bomben, welche z. B. so ausgezeichnet zu Bos in der Eifel vorkommen, müßte die schönen grünen Gläser, welche aus Gneis, Granit, weißem Keupersandstein u. in unsern Hochöfen sich bilden, besonders benennen.

Ächten glasartigen Obsidian, der nur mit Bimstein zusammen lagert, benützten schon die Griechen zu Pfeilspitzen (Marathonsteine), die Römer zu Spiegeln und Gemmen, denn man trifft ihn nicht bloß auf Lipari, sondern auch auf den Griechischen Inseln Milo und Santorin an, dagegen haben die berühmten Feuerberge Vesuv und Aetna keinen. Nach Humboldt verfertigten sich die alten Mexicaner selbst Rasiermesser daraus, was durch geschickten Schlag geschah. Jetzt dient er zu Trauerschmuck. Blöcke von reinsten Beschaffenheit sind übrigens selbst bei Strömen nicht gewöhnlich, und müssen sorgfältig ausgewählt werden.

Bimstein.

Pumex Plinius hist. nat. 36. 42 probatio in candore minimoque pondere, et ut quam maxime spongiosi aridique sint, ac teri faciles, nec arenosi in fricando. *Klossus*, Theophrast § 33—40 läßt sich darüber weitläufiger als gewöhnlich aus, begreift aber alle porösen Laven darunter und sagt ausdrücklich, daß sie nur um die Mündung brennender Berge vorkämen. Agricola natur. foss. pag. 614 kennt sie bereits vom Rhein, und schließt daraus, daß es dort gebrannt haben müsse. Erdbeben, Vulkane, Bitumen und vor allem der Bimstein waren auch für Leibnitz (Protogaea § 19) der sicherste Beweis, daß im Erdbinnen Feuer sei. Ponce, Pumice.

Bimstein ist nichts weiter, als ein schaumig aufgeblähter Obsidian: es gibt einen glasigen (schaumigen) mit mehr runden Poren, an deren Seitenwänden man auch die Glasnatur noch erkennt. Er ist wie der Obsidian blaßgrün auf Teneriffa, und dunkelbraun auf Procida und Ischia, und ent-

spricht der kieselärmern Obsidianabänderung mit 61—62 p. C. Kiesel Erde; der safrige (gemeine Bimstein) hat etwas Seidenglänzendes, besonders wenn die Fasern parallel gehen, und blüht am meisten von seiner Glasnatur ein. Muster ist besonders der von den Liparischen Inseln, worin Klaproth (Beitz. II. 66) schon 77,5 Kiesel Erde, Abich 73,7 Si nachwies, neben 4,5 Natron und 4,7 Kali. Gehört also zur kieselreichen Abänderung. Das Fadige ist der Bildung der Fäden des sogenannten gesponnenen Glases analog, und darf nicht mit safriger Structur verwechselt werden. Viele poröse sind schwimmend leicht, aber nur in Folge der Poren, denn das Pulver hat fast das Gewicht des entsprechenden Obsidians. Ein Licht auf die Bildung werfen manche Hochofenschlacken, welche mit Wasser schnell abgekühlt ein poröses Gefüge annehmen, ganz dem des schaumigen Bimsteins ähnlich. Namen wie Bimsteinporphyr, Obsidianporphyr u. erklären sich von selbst. Es ist mehr als wahrscheinlich, daß die natürlichen Glasflüsse auf

künstliches Glas geführt haben. Plinius 36. 66 erzählt uns zwar die berühmte Geschichte Phöniciſcher Kaufleute, welche an den Ufern des Delus auf den Glasfluß kamen, allein man weiß, daß offenes Feuer zur Erzeugung von Glasflüssen kaum hinreicht. Das Glas war schmutziggriin, und zu Hiobs Zeiten theurer als Gold. Der Satz guten Glases ist sehr verschieden. Gewöhnlich wendet man Sand an, weil damit das Pulvern des harten Quarzes erspart ist. Die Engländer führen sogar einen solchen als Ballast und Rückfracht von Sidney in Neuholland ein. Das feinste Glas gibt freilich der Feuerstein und Bergkryſtall, die man glüht, ablöscht und dann pulvert. Aber auch Feldspath, Klingstein, Trachyt, Bimstein, Basalt, Lava, Bohn, Mergel u. können gebraucht werden. Kali und Natron befördern die Flüssigkeit; Kalkerde vermehrt die Härte; Thonerde erhöht die Strengflüssigkeit; Bleiorzhd macht es weich (schleifbar), glänzend und stark lichtbrechend; Eisen gibt ihm grüne nicht gern gesehene Färbung; daher sind Thonerde und Eisen die hauptsächlichsten Feinde eines guten Satzes. Zu dem gemeinsten Glase der Champagner-Flaschen nimmt man 200 Feldspath, 125 Hochofenschlacken, 20 Kalkerde, 15 Kochsalz. Dasselbe ist zwar griin, kann aber durch Braunstein entfärbt werden. Zum Fensterglase braucht man schon einen feinern Satz von der Formel $3 \text{ Na} + 5 \text{ Ca} + 12 \text{ Si}$, mit etwa 69,6 Kiesel Erde, 15,2 Natron, 13,3 Kalk, 1,8 Thonerde. Ohne Kalk würde es der Verwitterung nicht widerstehen, und ohne Natron würde es zu leicht kryſtalliniſch und trüb pag. 224. Das ist sehr wichtig, da es wegen der Schwierigkeit der Bereitung öfter angewärmt werden muß. Spiegelglas besteht aus der Formel $2 \text{ Na} + \text{Ca} + 6 \text{ Si}$, etwa mit 72 Kiesel Erde, 17 Natron, 6,4 Kalk, 2,6 Thonerde, ist also ein Bisilikat. Das zu Luxuswaaren verschliffene Kryſtallglas enthält $3 \text{ Ka Si}^3 + 4 \text{ Pb Si}^3$ mit 59,2 Kiesel Erde, 9 Kali, 28,2 Bleiorzhd, 1 Manganorzhdul; wegen des Bleies ist es außerordentlich schwer. Als Entfärbungsmittel nimmt man nicht mehr Braunstein, sondern Salpeter oder Arsenik. Das kostbare Flintglas (so genannt, weil man früher dazu den Flint pag. 209 benützte), enthält $6 \text{ K} + 9 \text{ Pb} + 20 \text{ Si}$, der Bleigehalt erzeugt die starke Strahlen-

brechung, leider aber auch eine starke Farbenzerstreuung. Die reine Darstellung hat große Schwierigkeit, es bilden sich leicht Blasen und Streifen, die Salze mischen sich auch ungleich, müssen daher vorsichtig gerührt werden, was mit der Zunahme der Größe des Schmelzgefäßes immer schwieriger wird, da nicht in allen Theilen die Hitze gleich gemacht werden kann. Crown-Glas $K + Ca + 3 Si$ zerstreut die Farben nicht so stark.

Strass heißt man das Material für künstliche Edelsteine, $3 K + 9 Pb + 16 Si$. (Elsner chem. techn. Mittheil. 1853. III. 24) Hier kommt es hauptsächlich noch darauf an, die Farbe der Edelsteine nachzuahmen, außerdem spielt die Färbung der Gläser in der Glasmalerei eine wichtige Rolle:

Gelb erzeugt man unter anderem mit Silber: man mischt Chlor Silber mit gepulvertem Thon, bestreicht damit die Oberfläche der Waare, und wärmt wieder auf ohne zu schmelzen. Dann zieht sich das Silber in das Glas, und schabt man den Thon ab, so kommt die schöne Farbe zum Vorschein. Die gelbe Farbe der gemeinen Flaschen rührt von Zusatz von Birkenrinde, Ruß, Kohle zc. her: die Masse kann in den bedeckten Glasgefäßen nicht verbrennen und vertheilt sich daher darin. So können Bitumina in Obfidianströme kommen, die über Pflanzen hinströmen.

Roth durch Kupferoxydul (Cu) ist das seit ältester Zeit bekannte prachtholle Roth der Glasfenster. Da Kupferoxyd (Cu) grün färbt, so setzt man Desoxydationsmittel, wie Kohle, Zinn, Eisenhammerschlag zu. Nach der Schmelzung ist das Oxydulglas farblos, wird aber beim Wiederanwärmen tief roth, indem sich das Kupferoxydul ausscheidet. Die färbende Kraft ist so stark, daß es selbst in geringen Mengen bis zur Undurchsichtigkeit rötchet. Um daher die Töne in der Hand zu haben, überzieht (überfängt) man farblose Gläser mit einer dünnen Schicht, und erzeugt dann durch Abschleifen die gewünschte Intensität. Goldoxydul Au gibt rubinrothe Gläser. Früher wendete man den schon von Cassius entdeckten Goldpurpur an. Nach Fuß braucht man jedoch das Gold nur in Königswasser zu lösen, und zum Glas-sage zu gießen. Auch dieses ist nach dem ersten Schmelzen farblos, und wird erst beim Wiedereerhitzen das beliebte Rubinglas. Man darf es aber nicht zu schnell erkalten, sonst geht es durch, d. h. es bleibt ungefärbt. Die Färbung scheint durch eigenthümlichen Aggregatzustand des Goldes hervorgerufen zu werden.

Blau ist die Farbe des Kobaltoxydul (Co), $\frac{1}{1000}$ Kobalt färbt schon merklich. Die Kobaltgläser wurden seit 1540 in Sachsen bekannt. Der Smaltensatz darf weder Erden noch Natron haben, daher wendet man gereinigte Pottasche mit gereinigtem Quarz an. Da das Kobalterz stets eisenhaltig ist, so muß Gistmehl (Arsenige Säure) hinzu, das Eisenoxydul unschädlich macht.

Amethystrfarbe kann, da sie rothblau ist, durch Kobalt und Gold erzeugt werden. Doch nimmt man gewöhnlich Manganoxyd, man muß sich aber versehen, daß durch einen Kohlengehalt des Sages kein Manganoxydul-salz sich bilde.

Grün ist die Farbe des Kupferoxyds Cu , doch darf kein Eisenoxydul

zugegen sein, was sich sonst auf Kosten des Kupferoxyds oxydirt. Die Bleigläser werden am schönsten grün, weil sie einen Stich in's Gelb, und das Kupfer einen Stich in's Blau hat. Eisenorydul liefert nur eine geringe bouteillengrüne Farbe. Das schönste aber theuerste liefert Chromoryd (Cr).

Braunstein mit Zaffer gibt Granatfarbe; Eisenoryd mit Thonerde, beide durch Glühen eines Gemenges von Eisenvitriol und Alaun erzeugt, geben fleischroth, ebenso Gold mit Silber; Eisenoryd mit Silber gibt orange; schwarz erzeugt man aus je zwei sehr färbenden Stoffen. In Böhmen schmilzt man aus Hochofenschlacken und Basalt schwarze Gläser.

Schmelzglas (Email) entsteht, wenn ein Bestandtheil des Glasfases unfähig ist in den Fluß einzugehen, oder wenn er sich im Verlaufe der Schmelzung ausscheidet. Es wirkt ein in der Glasmasse schwebender Niederschlag so eigenthümlich auf das Licht, daß das Glas milchig erscheint, sobald der Niederschlag weiß ist. Weinglas bildet man mit Knochenasche: geschmolzen ist der Satz vollkommen klar, die Milchfarbe tritt erst beim Anwärmen hervor. Mit Kupferoryd nimmt das Weinglas merkwürdiger Weise keine grüne, sondern eine türkisblaue Farbe an. Email bildet also eine Zwischenstufe zwischen Glas und Stein. In der Natur haben wir hauptsächlich zwei solche unvollkommene Gläser, den Perlstein und Pechstein, die mehr den ältern vulkanischen Gebirgen angehören (Knapp, Chem. Technol. I. pag. 380).

Perlstein. Wurde schon 1791 von Sichter als Vulkanischer Zeolith aus dem Tefkebanjer Gebirge in Oberungarn beschrieben, und richtig für ein Feuerproduct gehalten. „Nachdem aber erfahrenere Mineralogen jenes Gebirge untersucht, und diese Behauptung als grundlos anerkannt haben,“ nannte es Werner Perlstein. Hält die Mitte zwischen Pechstein und Obsidian, wie ein ausgezeichnetes Emailglas, meist von perlgrauer Farbe. Er sondert sich zu lauter rundedigen Stücken ab, und fällt auch in solche auseinander. An dem ächten kann man gar keine ordentliche Bruchfläche darstellen, es zeigt alles perlartige Absonderung. Klaproth fand 75,12 Si, 12 Al, 4,5 K, 4,5 H, 1,6 Fe. Auch nach neuern Analysen zeigen sie sich kieselreicher als Obsidiane. Sie scheinen mehr Kali- als Natronhaltig. Auffallend sind nicht bloß diese gewöhnlichen rundedigen bis runden Obsidiankugeln, die zu Ochotz, Cabo de Gata in Spanien u. ganz durchsichtig werden, sondern in den Ungarischen Perlsteinen kommen sehr zierliche Kugeln vor, die Werner Sphärolit nannte (Hoffmann Mineral. IV. b. 161). Die Kugeln sind innen dicht, zeigen kaum einen Anfang von excentrischer Faserung, auf der Oberfläche gewahrt man viele kleine blasenförmige Erhöhungen, nach der Art der Glasköpfe. Im Mittelpunkt findet sich zuweilen ein kleines Korn von blättrigem glasigem Feldspath. Ihre gelbe Farbe unterscheidet sie zwar sehr von der Perlgrauen des Muttergesteins, auch sind sie härter, fast Quarzhart, aber in der Zusammensetzung scheinen sie nur unwesentlich abzuweichen. Erdmann fand 77,2 Si, 12,5 Al, 4,3 K, 3,3 Ca, 0,7 Mg, 3,3 Fe. Besonders ausgezeichnet in den Perlsteinen des Hlinider Thales, worin Schmölzniz nordwestlich Kaschau liegt. Tokaj, Tefkebanya.

Pechstein bekam von Werner wegen des ausgezeichneten Pechglanzes seinen Namen. Die grünliche Farbe herrscht vor, dann gehen sie ins Gelbe, Rothe. Die schwarzen treten dem Obsidian, die grauen dem Perlstein nahe. Auch von Halbopalen sind sie äußerlich oft kaum zu unterscheiden. Haug nannte sie Feldspath résinite, allein zur Feldspathigen Zusammensetzung fehlt es bedeutend an Alkalien. Klaproth fand in dem von Garssebach im Triebisch-Thale bei Meissen (Beiträge III. 267) 73 Kiesel-erde, 14,5 Thonerde, 1 Kalkerde, 1 Eisenoxyd, 1,7 Natron und 8,5 Wasser. Knox gibt zwar 2,8 Natron an, aber immer bleibt die Kiesel-erde außerordentlich überwiegend. Hauptfundort ist das Triebischthal, wo sie in Gesellschaft von Pechthonstein den Porphyr durchbrechen, sie kommen außerdem noch an einigen andern Orten vor, sind hier aber zuerst 1759 durch einen Dresdener Mineralogen Schulze beschrieben, und anfangs für Opale gehalten, bis man die Schmelzbarkeit erkannte. Nach Raumann (Geogn. Besch. Königr. Sachsen V. 187) sollen sie schon in der mittlern Periode des Rothliegenden hervorgebrochen sein. Die ächten sind daher dem jüngern Perlstein- und Obsidiangebiet fremd. Pechstein steht ganz an der Gränze der Gläser. Werner's

Porzellanjaspis, besonders von lavendelblauer und ziegelrother Farbe, entsteht durch Brände im Braunkohlengebirge aus dem plastischen Thone. Hessen und Böhmen.

Zweite Klasse.

Salinische Steine und Erze.

Silicate sind freilich auch Salze, und folglich salinisch. Allein da die Kieselsäure jene auffallenden Unterscheidungsmerkmale hat, so scheint es nicht unpassend, unter dem Namen salinisch vorzugsweis alle diejenigen Verbindungen zusammenzufassen, deren Sauerstoffsäure nicht Kieselerde ist. Zu weitem Unterabtheilungen bieten sich dann die Säuren oder die Basen dar. Nun vertreten aber viele Basen sich so leicht unter einander, daß es nicht möglich ist, ihnen allseitig sichere Gränzen zu ziehen, so angenehm es auch sein mag, besonders bei den technisch wichtigen Substanzen, die Basen nicht zu trennen. Kalk, Baryte, Eisen-, Kupfer- und Bleierze u. würden gute Gruppen bilden, und Weiß hat in seinen Vorträgen die salinischen Steine von den salinischen Erzen scharf getrennt gehalten. Andererseits sind die Säuren, wenn gleich von geringem technischen Nutzen, für die Formbildung der Krystalle von größter Bedeutung, oft scheint es, als wenn die Basis sich bloß passiv und nur die Säure activ verhalte. Dazu kommt, daß in Beziehung auf Basen sich diese Klasse von der vorigen kaum unterscheidet. Zwar kommt die Al und ihre Verwandten nicht häufig, Ca, Ba, Sr herrschen mehr, allein das sind Sachen von sehr untergeordneter Bedeutung. Dagegen treten die Säuren, kaum bei den Silicaten angedeutet, in geschlossenen Reihen hier und nicht wieder auf. Oben an

1. **Kohlensäure C.** Sie bringt als schweres erstickendes Gas aus unzähligen Spalten der Erde hervor, spielt bei Vulkanen eine merkwürdige Rolle, und war in den Säuerlingen schon lange Zeit als „Luftsäure“ den Mineralogen bekannt, ehe man ihre Eigenschaften kannte. Durch die Kalkgebirge wird sie in ungeheuren Mengen gebunden, und gibt sich hier leicht mit Brausen durch Säure zu erkennen, was schon Agricola als Kennzeichen anführt. Trotz ihrer Gasform frisst sie die verschiedensten Steine und Erze an, und wirkt zerlegend ein. In den obern Teufen der Gänge spielen daher Carbonate der verschiedensten Art eine Hauptrolle.

2. **Schwefelsäure S** findet sich in größerem Vorrath immer an Kalk gebunden und trägt so zur Bildung von Gyps- und Anhydritgebirgen wesentlich bei. Diese scheint meist aus dem Urmeere zu stammen. Vereinzelt aber sehr verbreitet bindet sie der Schwer- und Strontspath. Außerdem entsteht sie durch Zersetzung der Schwefelmetalle in Bergwerken, als Sublimationsproduct der Vulkane u.

3. **Phosphorsäure P**, merkwürdig durch ihren Isomorphismus mit **As**, die man daher auch neben einander aufführen muß, ist in Hinsicht auf Masse den beiden genannten weit untergeordnet. Sie nimmt aber wegen ihrer Rolle, welche sie im thierischen Organismus spielt, unsere Aufmerksamkeit in doppelten Anspruch.

4. **Salzbilder** Fluor **Fl**, Chlor **Cl**, Jod **J** und Brom **Br** spielen eine sehr ungleiche Rolle. Das Fluor schon bei vielen Silicaten wichtig, lagert sich im Flußspath in größern Mengen ab, während das Chlor hauptsächlich an Steinsalz gebunden ist.

5. **Borsäure B** bildet zwar nur eine kleine, aber interessante Gruppe. Von Metallsäuren sind Chromsäure **Cr**, Wolframsäure **W**, Molybdänsäure **Mo** insonders wegen der Bleisalze aufzuführen, während ihre Oxyde wohl bei den Oxydischen Erzen die bessere Stelle finden, wenn gleich über Oxyd oder Säure eine richtige chemische Deutung nicht immer möglich ist. Das sind Schwierigkeiten, wovon keine Systematik sich befreien kann. Uebrigens darf man auch hier das Bestreben nicht aufgeben, so viel als möglich das Aehnliche zusammen zu bringen. Dieß gelingt namentlich bei den künstlichen Salzen am wenigsten, denen im Grunde genommen unter den Mineralen ihr Platz nicht versagt werden kann.

Weil es dieser Klasse an Kieselersäure fehlt, so sind die dahin gehörigen Minerale im Allgemeinen leicht aufschließbar, das erleichtert die chemische Untersuchung auf nassem Wege außerordentlich.

Kohlensäure salinische Steine.

1. Kalkspath.

Calx (*χαλξ*) hieß bei den Lateinern im Allgemeinen Stein, Plinius hist. nat. 36. 53 braucht es dann ausdrücklich für unsern Kalkstein: mirum, aliquid postquam arserit accendi aquis (wunderbar, daß etwas, nachdem es gebrannt, durch Wasser angezündet werden kann). Die krystallinischen zählten bei den Vergleuten schlechthin zum Spath, Spatum Agricola pag. 701, und es nimmt Wunder, daß wir diesen bei den Alten nicht sicher wieder erkennen. Scheuchzer glaubt, es sei Androdamas (quadrata semperque tessulis similis Plinius hist. nat. 37. 54), Agricola pag. 634 begreift ihn unter Marmor der Erzgänge, welcher von Natur so glänze, als wäre er polirt. Später hieß er auch wohl Selenites rhomboidalis, und seit Bartholin am Crystallus Islandicus die doppelte Strahlenbrechung erkannte, beschäftigten sich die ausgezeichnetsten Physiker mit der Winkelbestimmung. Seine Figuren haben das Auge der Bergverständigen auf sich gezogen, und obgleich Cronstedt noch 1758 „keine große Hoffnung hegte, daß etwas Wesentliches daraus werde,“ so hatte doch Bergman 1773 schon den Schlüssel gefunden, welcher Hauch zu seinen bewunderungswürdigen Entdeckungen führte. Dieser begann sein Mineralsystem nicht nur mit dem Chaux carbonatée, sondern setzte daran auch seine

ganze Theorie auseinander: ohne Kalkspath würde die Krystallographie vielleicht noch lange verborgen geblieben sein. Carbonate of Lime. Calcit. Ueber die heteromorphen Zustände der Kohlensäuren Kalkerde verdanken wir G. Rose (Abh. Berl. Akad. Wissensch. 1856. 1 und 1859. aa) eine Reihe der interessantesten Experimente und Präparate.

Rhomboeder $P = a : a : \infty a : c$ sehr blättrig, und so leicht darstellbar, daß der Spath nur in Parallelepipede von $105^{\circ} 5'$ in den Endkanten zerspringt, daraus folgt

$$a = 1,1705 = \sqrt{1,3702} = \lg 0,06839.$$

Neigung P gegen Axe c $45^{\circ} 20'$; Endkante P/P gegen c $63^{\circ} 44'$, also der stumpfe Winkel des Hauptschnitts $109^{\circ} 4'$ (fast Octaederwinkel), der stumpfe Flächenwinkel $101^{\circ} 55'$. Schon Huggens fand die Rhomboederkante zu 105° , Romé de l'Isle nahm den ebenen Winkel zu $102^{\circ} 30'$, Haüy rechnete die Kante zu $104^{\circ} 28' 40''$, und die Ebene zu $101^{\circ} 32' 13''$, von der Voraussetzung ausgehend, daß P mit der sechsseitigen Säule und Geradenfläche gleiche Winkel mache, sich also unter 45° zur Axe c neige, woraus $c : s = 1 : 1$ folgt, während dieß Verhältniß $1 : 1,0137$ ist, wie Wollaston 1809 bewies, indem er am Ende der Description of a reflective Goniometer als einziges Beispiel den Kalkspath anführt, für welchen er $45^{\circ} 20'$ als Neigung der Fläche P gegen Axe c festsetzte, was jetzt allgemein angenommen wird. Das Rhomboeder tritt selten selbstständig auf und wenn es vorkommt, sind seine Flächen matt. Man findet es im Maderaner Thal (Uri), bei Neubdorf auf dem Unterharz auf Bleiglanzgängen, in 3" großen Krystallen im Silurischen Kalk von Slichow bei Prag. Sehr merkwürdig ist das Gegenrhomboeder $e^1 = a' : a' : \infty a : c$, das rauhfächig bei Andreasberg vorkommt. Der blättrige Bruch durch c gelegt halbirt die Zickzackanten. Die Verbindung des Haupt- und Gegenrhomboeders gibt ein Dihexaeder von $138^{\circ} 53'$ in den Endkanten.

Geradenfläche $a^1 = c : \infty a : \infty a : \infty a$ stumpft die Endcke mit gleichseitigem Dreieck ab, sie hat gewöhnlich ein mattweißes schiefrieses Aussehen, ist sogar nicht selten weicher als die übrigen Flächen. Haüy nahm sie für blättrig, und im Schieferspath von Norwegen, schneeweiß und krummblättrig, meint man wirklich einen blättrigen Bruch annehmen zu sollen. Während der zerreibliche Schaumkalk (Karsten's Aphrit) aus dem Zechstein von Gera und Eisleben nichts als in Ca C (Arragonit) verwandelter Gyps ist. Wenn sich die Geradenfläche mit dem Rhomboeder verbindet, wie im Maderaner Thal, so entstehen ausgezeichnete dreigliedrige Octaeder.

Erste sechsseitige Säule $e^2 = a : a : \infty a : \infty c$ stumpft die Seitenecken des Rhomboeders ab, indem es die 2 Zickzackanten in 1 und die Endkante in $\frac{1}{2}$ schneidet. Mit Geradenfläche kommt sie ausgezeichnet bei Andreasberg vor, zuweilen papierdünn, und mit weißer wie durch Verwitterung erzeugter Farbe, die nicht ganz zur Mitte der Säule vordringt. Der blättrige Bruch stumpft daran die Endkanten abwechselnd ab. Viel seltener findet man die 2te sechsseitige Säule $d^1 = a : \frac{1}{2} a : a : \infty c$. Dufre-

noch bildet sie von Cumberland mit dem Hauptrhomboeder ab; da sie die Zickzackanten desselben gerade abstumpft, so entsteht ein ausgezeichnetes dreigliedriges Dodekaëd. Der blättrige Bruch stumpft dann die Endkanten abwechselnd ab. 6 + 6kantige Säulen sind selten, doch findet man an den Dreikantnern von Andreasberg und Cumberland hin und wieder $a : \frac{1}{2}a : \frac{1}{2}a : \infty c$, selten die Hauptsche Fläche $a : \frac{1}{2}a : \frac{1}{2}a : \infty c$. Sie runden die Seitenkanten der Rhomboeder und Dreikantner oft ganz cylindrisch, und sind daher gewöhnlich keiner scharfen Bestimmung fähig.

Von den Rhomboedern zieht vor allem die sogenannte Hauptreihe das Augenmerk auf sich. Dahin gehört das

$$\text{erste stumpfere } b^1 = 2a' : 2a' : \infty a \quad (134^\circ 57'),$$

welches gewöhnlich in symmetrischen Pentagonen die Enden der ersten sechsseitigen Säule bildet. Man erkennt es sehr leicht an der Lage des Blätterbruchs, welcher in die Diagonalzonen fällt, denen gewöhnlich eine auffallende Streifung entspricht, wodurch die Pentagone bauchig werden. Schon Liné war auf diese Pentagone aufmerksam, denn sie gehören mit zu den verbreitetsten auf Erzgängen, in Spalten des Kalkgebirges, in Achatdrusen von Oberstein, Waldshut am südlichen Schwarzwalde u. s. w. Zu Drusen gruppiert kommen die Rhomboeder selbstständig vor (Neudorf auf dem Unterharz). Bei mittlerer Ausdehnung bilden auch die Säulenflächen symmetrische Pentagone, wir haben dann ein 3 + 3flächiges Pentagonododekaeder.

2tes stumpfere Rhomboeder $a^2 = 4a : 4a : \infty a \quad (156^\circ 2')$ wird zwar erwähnt, gehört aber zu den Seltenheiten.

$$1tes \text{ scharfere } c^1 = \frac{1}{2}a' : \frac{1}{2}a' : \infty a \quad (78^\circ 51')$$

fällt in die Diagonalzone des blättrigen Bruchs, derselbe muß also seine Endkanten gerade abstumpfen, woran man es leicht erkennt. Man findet es häufig aufgewachsen, besonders in Kalkgebirgen der Jura- und Muschelkalkformation. Am merkwürdigsten sind aber die sogenannten krystallisirten Sandsteine von Bellecroix bei Fontainebleau, worin der Kalkspath nur $\frac{1}{4}$, der Quarzsand dagegen $\frac{3}{4}$ beträgt, dennoch kommen die Rhomboeder in größter Regelmäßigkeit vor, auch verräth der Spiegel in den Kanten das Wesen der Form. Es sind eigentlich Kalkconcretionen in einem Tertiärsande, daher bilden sie große Knollen aus verwachsenen Rhomboedern, worunter sich auch viele Einzelkrystalle, regelmäßig wie Modelle, zeigen. Haüy nannte es Rhomboëdre inverse (Invertirungsrhomboeder), weil es nach seiner Rechnung den stumpfen Flächenwinkel von $104^\circ 28' 40''$ und den stumpfen Seitenkantenwinkel von $101^\circ 32' 13''$ mit den Kanten- und Flächenwinkeln des Hauptrhomboeders vertausche. Auch der Hauptschnitt hat die gleichen Winkel von $108^\circ 26' 6''$, nur fällt jetzt der stumpfe Winkel nicht in die Endsondern in die Seitenecke. In gleicher Verwandtschaft steht das 1ste stumpfere mit dem 2ten scharfern, überhaupt das 2te stumpfere mit dem $n + 1$ ten scharfern. Dieses schöne Verhältniß fällt aber, sobald P gegen c nicht mehr 45° geneigt ist: denn nach Wollaston beträgt die Endkante des Rh. inverse $78^\circ 51'$, während der scharfe Flächenwinkel des blättrigen Bruchs nur $78^\circ 5'$ macht, so daß eine kleine Differenz bleibt.

$$2tes\ schärfere\ e^3 = \frac{1}{4}a : \frac{1}{4}a : \infty a\ (65^\circ 50')$$

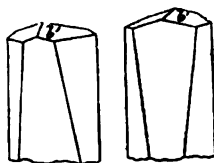
bindet sich hauptsächlich an den gewöhnlichen Dreikantner d^2 , in dessen je zwei scharfen Endkanten es liegt; der Dreikantner muß folglich die Endkanten zuschärfen. In unsern schwäbischen Muschelkalken (besonders an der Butach) herrscht häufig dieses Rhomboeder vor. Da es mit dem ersten stumpfen Rhomboeder die Winkel vertauscht, so beträgt der ebene Winkel in der Endcke ungefähr einen halben rechten, was das Auge leicht beurtheilt.

$$3tes\ schärfere\ e^{\frac{1}{2}} = \frac{1}{4}a' : \frac{1}{4}a' : \infty a\ (61^\circ 33')$$

findet sich nur untergeordnet meist am ersten schärfern, woran es die Seitencken abstumpft. Dagegen ist

$$4tes\ schärfere\ e^{\frac{1}{2}} = \frac{1}{8}a : \frac{1}{8}a : \infty a\ (60^\circ 20')$$

in Verbindung mit dem erstern stumpfern b^1 gar nicht ungewöhnlich in Spalten des schwäbischen Jura-kalkes u. Beim ersten Anblick kann man es für eine Säule halten, allein die Kanten convergiren, obgleich sie vom Winkel der regulären sechsseitigen Säule nur $\frac{1}{4}^\circ$ abweichen ($119^\circ 40'$). Ganz unterschied zwei Rhomboeder dieser Art: ein



dilaté contracté
Blaubeuren. Waldbüh.

$$contracté\ e^{\frac{2}{3}} = \frac{1}{12}a : \frac{1}{12}a : \infty a\ (60^\circ 36'),$$

weil die Flächen sich unter der Basis des Endpentagons verengen und ein

$$dilaté\ e^{\frac{2}{3}} = \frac{1}{12}a' : \frac{1}{12}a' : \infty a\ (60^\circ 36'),$$

weil die Flächen sich unter der Basis erweitern. Wenn diese Convergenz oder Divergenz sich immer so deutlich beobachten ließe, als sie gezeichnet wird, so folgte daraus, daß beide Rhomboeder verschiedenen Ordnungen angehören müßten. Ganz konnte die Sache nicht durch Messung bestätigen, sondern er schloß es nur, weil hierauf die einfachsten Ausdrücke $\frac{2}{3}$ und $\frac{1}{3}$ führten. Bei Seitenkantenwinkeln, die sich so nahe liegen, wie $119^\circ 24'$, $119^\circ 29'$ und $119^\circ 40'$, kann auch heute das Reflexionsgoniometer um so weniger entscheiden, als der Glanz der Flächen sich gewöhnlich nicht sonderlich zum Messen eignet. Man könnte daher alle unter dem 4ten schärfern vereinigen, das vermöge seiner Ableitung die Wahrscheinlichkeit für sich hat.

Rhomboëdre dilaté $e^{\frac{1}{2}}$ könnte dann das Gegenrhomboeder $e^{\frac{1}{2}} = \frac{1}{8}a' : \frac{1}{8}a' : \infty a$ sein. Zippe ging sogar noch weiter, und unterschied ein $e^{\frac{1}{3}} = \frac{1}{24}a : \frac{1}{24}a : \infty a$ mit $60^\circ 9'$ in den Endkanten, und folglich $119^\circ 51'$ in den Seitenkanten.

Von Rhomboedern außer der Hauptreihe führe ich nur noch zwei als wichtig an: Haüy's

$$mixte\ e^{\frac{3}{4}} = \frac{1}{4}a' : \frac{1}{4}a' : \infty a\ (63^\circ 51').$$

Da es die stumpfen Kanten des gewöhnlichen Dreikantners abstumpft, so findet es sich öfter. Von dem 2ten schärfern $\frac{1}{4}a$ unterscheidet man es leicht durch die Lage des blättrigen Bruchs, der wie die Kanten liegt. Das

$$cuboide\ e^{\frac{4}{3}} = \frac{2}{3}a' : \frac{2}{3}a' : \infty a\ (88^\circ 18' \text{ in den Endkanten})$$

unterscheidet sich daher nur um $1^\circ 42'$ vom Würfel. Es kommt bei Andreasberg, mit Ichthyophthalm auf den Farver Inseln u. vor. Legtere, Brunerit

genannt, könnte man wegen ihrer röthlichen Farbe für Flußspath halten. Von genauer Bestimmung kann aber wegen der bauchigen Flächen kaum die Rede sein.

Dreikantner spielen selbstständig und untergeordnet eine überaus wichtige Rolle, vor allem Hauy's

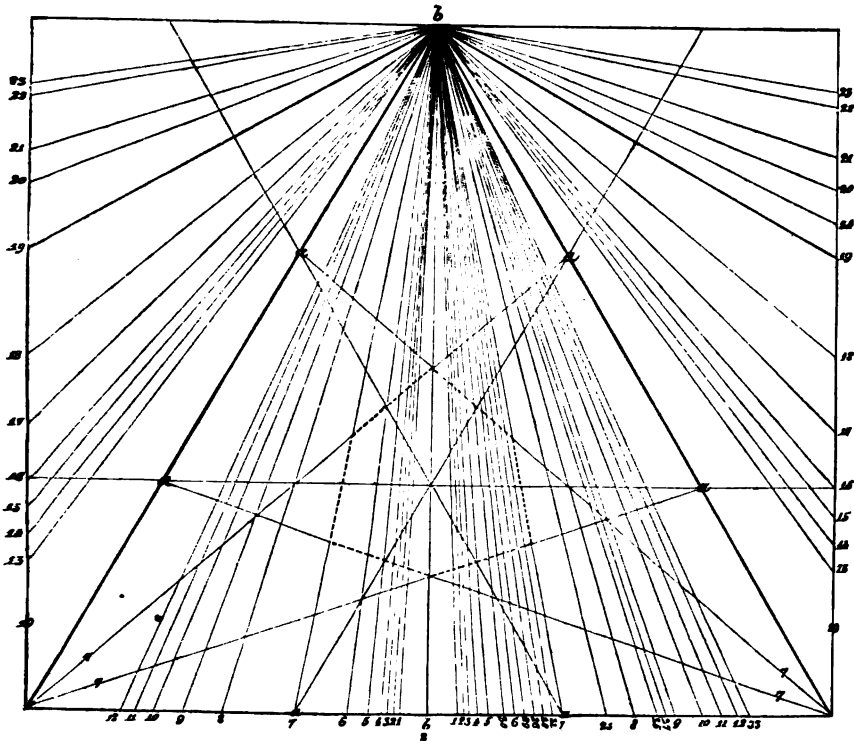
$$\text{métastatique } b^2 = a : \frac{1}{2}a : \frac{1}{2}a : c.$$

Er schärft die Zickzackanten des Hauptrhomboeders im Verhältniß 2 : 1 zu. Daher fällt der blättrige Bruch in die Zickzackanten von $132^\circ 58'$; die stumpfen Endkanten $144^\circ 24'$, die scharfen $104^\circ 38'$. Nach Hauy'scher Rechnung stimmten die Zickzackanten mit den Endkanten des Hauptrhomboeders, und der stumpfe ebene Winkel mit dem stumpfen des Hauptrhomboeders; dieses schönen Verhältnisses wegen nannte er den Körper *métastatique*, „winkelübertragen.“

Sehen wir auf die Projectionsfigur pag. 85, so tritt das Verhältniß der vier Rhomboeder zum Dreikantner sogleich in die Augen: zwei davon stumpfen die abwechselnden Endkanten gerade ab, und zwei gehen den abwechselnden Endkanten parallel (liegen auf der Projection in den abwechselnden Endkanten). Nehmen wir den

$$\text{Hauptdreikantner } a : \frac{1}{2}b : \frac{1}{2}a : \frac{1}{2}b : \frac{1}{2}a : b,$$

so wird die scharfe Endkante in $\frac{1}{2}b$ durch das nächste schärfere Rhomboeder $\frac{1}{2}a' : \frac{1}{2}a' : ooa$, und die stumpfe in $\frac{1}{2}b$ durch $\frac{2}{3}a : \frac{2}{3}a : ooa$ gerade abgestumpft, man darf also den Coefficienten von b nur mit 2 multipliciren. Dagegen liegt in den abwechselnden scharfen Endkanten das 2te schärfere $\frac{1}{2}a : \frac{1}{2}a : ooa$, und in den abwechselnden stumpfen $\frac{1}{2}a' : \frac{1}{2}a' : ooa$, beider Zeichen entsprechen daher den Coefficienten von b . Da nun ferner in den Seitenkanten das Hauptrhomboeder liegt, von der 2ten sechsseitigen Säule nicht zu sprechen, so haben wir die Reihe $a : a : ooa$, $\frac{1}{2}a' : \frac{1}{2}a' : ooa$, $\frac{1}{2}a : \frac{1}{2}a : ooa$ und außerdem $\frac{1}{2}a' : \frac{1}{2}a' : ooa$ mit dem zugehörigen stumpferen $\frac{2}{3}a : \frac{2}{3}a : ooa$. Zippe hat diese Rhomboeder nicht unpassend die verhüllten genannt, und da er 85 verschiedene Dreikantner zusammenbringt, so kann man daraus auf den Reichthum schließen, wenn auch darunter gar manche unsicher sein mögen. Uebrigens kommen die genannten des Hauptdreikantners auch häufig (enthüllt) vor, und je häufiger ein Dreikantner, desto wahrscheinlicher auch seine enthüllten Rhomboeder. Wir wollen nach der Methode von Weiß einmal die wichtigsten Dreikantner aus der Rantenzone des Hauptrhomboeders zusammenstellen. Die Sache ist sehr erleichtert durch die gelehrte Abhandlung des Prof. Zippe (Uebersicht der Krystallgestalten des rhomboedrischen Kalispathes, Denkschr. Kais. Akad. Wiss. 1850. III), welcher 700 Varietäten mit 42 Rhomboedern, 85 Dreikantnern, 7 Dihexaedern und mehreren Säulen mathematisch bestimmt. Dr. Ferd. Hochstetter hat dann im VI. Bande derselben Denkschriften den ganzen Reichthum von Flächen in einer großen Projectionsfigur zusammengefaßt, die dem Maane vom Fach um so willkommener sein muß, als derartige Arbeiten bei tiefer Sachkenntniß auch technische Fertigkeit verlangen. Uebrigens genügt zum schnellen Verständniß auch eine kleine Figur, wie nachfolgendes Stück zeigt, worin nur eine Rantenzone etwas vollständiger ausgeführt wurde.



Weiß				Saub		Mohs	
$\frac{1}{\infty}a :$	$\frac{b}{3\infty+1} :$	$\frac{1}{2\infty+1}a :$	$\frac{b}{3\infty+2} :$	$\frac{1}{\infty+1}a :$	$b = d \frac{\infty+1}{\infty} = S$	$2\infty+1$	
\vdots	\vdots	\vdots	\vdots	\vdots	\vdots	\vdots	
1) $\frac{1}{7}a :$	$\frac{1}{22}b :$	$\frac{1}{13}a :$	$\frac{1}{23}b :$	$\frac{1}{8}a :$	$b = d^{\frac{8}{7}} = S$	15	
2) $\frac{1}{6}a :$	$\frac{1}{18}b :$	$\frac{1}{12}a :$	$\frac{1}{20}b :$	$\frac{1}{7}a :$	$b = d^{\frac{7}{6}} = S$	13	
3) $\frac{1}{5}a :$	$\frac{1}{15}b :$	$\frac{1}{11}a :$	$\frac{1}{17}b :$	$\frac{1}{6}a :$	$b = d^{\frac{6}{5}} = S$	11	
4) $\frac{1}{4}a :$	$\frac{1}{12}b :$	$\frac{1}{8}a :$	$\frac{1}{14}b :$	$\frac{1}{5}a :$	$b = d^{\frac{5}{4}} = S$	9	
5) $\frac{1}{3}a :$	$\frac{1}{9}b :$	$\frac{1}{7}a :$	$\frac{1}{11}b :$	$\frac{1}{4}a :$	$b = d^{\frac{4}{3}} = S$	7	
6) $\frac{1}{2}a :$	$\frac{1}{7}b :$	$\frac{1}{5}a :$	$\frac{1}{9}b :$	$\frac{1}{3}a :$	$b = d^{\frac{3}{2}} = S$	5	
7) $\frac{1}{1}a :$	$\frac{1}{5}b :$	$\frac{1}{4}a :$	$\frac{1}{7}b :$	$\frac{1}{2}a :$	$b = d^{\frac{2}{1}} = S$	3	
8) $2a :$	$\frac{2}{3}b :$	$\frac{2}{3}a :$	$\frac{2}{5}b :$	$\frac{2}{3}a :$	$b = d^3 = S$	2	
9) $3a :$	$\frac{3}{2}b :$	$\frac{3}{2}a :$	$\frac{3}{4}b :$	$\frac{3}{2}a :$	$b = d^4 = S$	$\frac{5}{2}$	
10) $4a :$	$\frac{4}{3}b :$	$\frac{4}{3}a :$	$\frac{4}{3}b :$	$\frac{4}{3}a :$	$b = d^5 = S$	$\frac{8}{3}$	
11) $5a :$	$\frac{5}{2}b :$	$\frac{5}{2}a :$	$\frac{5}{2}b :$	$\frac{5}{2}a :$	$b = d^6 = S$	$\frac{7}{2}$	
12) $6a :$	$\frac{6}{5}b :$	$\frac{6}{5}a :$	$\frac{6}{5}b :$	$\frac{6}{5}a :$	$b = d^7 = S$	$\frac{4}{5}$	
\vdots	\vdots	\vdots	\vdots	\vdots	\vdots	\vdots	
$\infty a :$	$\frac{\infty}{\infty+8}b :$	$\frac{\infty}{\infty+2}a :$	$\frac{\infty}{2\infty+8}b :$	$\frac{\infty}{\infty+1}a :$	$b = \infty a : a : a$		

13)	9a :	b :	$\frac{9}{7}a :$	$\frac{9b}{15} :$	$\frac{9}{7}a :$	$\frac{9}{8}b = b^8 =$	$\frac{2}{3}S\frac{1}{2}$
14)	8a :	b :	$\frac{8}{7}a :$	$\frac{8b}{13} :$	$\frac{8}{7}a :$	$\frac{8}{9}b = b^7 =$	$\frac{5}{2}S\frac{7}{2}$
15)	7a :	b :	$\frac{7}{6}a :$	$\frac{7b}{11} :$	$\frac{7}{4}a :$	$\frac{7}{2}b = b^6 =$	$\frac{4}{5}S\frac{5}{2}$
16)	6a :	b :	$\frac{6}{5}a :$	$\frac{6b}{9} :$	$\frac{6}{4}a :$	$\frac{6}{3}b = b^5 =$	$\frac{1}{2}S\frac{3}{2}$
17)	5a :	b :	$\frac{5}{4}a :$	$\frac{5b}{7} :$	$\frac{5}{3}a :$	$\frac{5}{2}b = b^4 =$	$\frac{2}{3}S2$
18)	4a :	b :	$\frac{4}{3}a :$	$\frac{4b}{5} :$	$\frac{4}{2}a :$	$\frac{4}{1}b = b^3 =$	$\frac{1}{2}S3$
19)	3a :	b :	$\frac{3}{2}a :$	$\frac{3}{2}b :$	$\frac{3}{1}a :$	$\frac{3b}{0} = b^2 =$	P
20)	4a' :	$\frac{4}{3}b :$	$\frac{4}{2}a' :$	b :	$\frac{4}{1}a' :$	8b = $b^{\frac{5}{2}} =$	$\frac{1}{3}S'5$
21)	5a' :	$\frac{5}{2}b :$	$\frac{5}{1}a' :$	b :	$\frac{5}{2}a' :$	5b = $b^{\frac{5}{2}} =$	$\frac{1}{2}S'3$
22)	8a' :	$\frac{1}{11}b :$	$\frac{1}{9}a' :$	b :	$\frac{1}{7}a' :$	$\frac{1}{2}b = b^{\frac{9}{2}} =$	$\frac{1}{18}S'9$
23)	9a' :	$\frac{9}{8}b :$	$\frac{9}{2}a' :$	b :	$\frac{9}{2}a' :$	3b = $b^{\frac{5}{2}} =$	$\frac{1}{2}S'\frac{5}{2}$
24)	$\frac{5}{2}a :$	$\frac{1}{3}b :$	$\frac{5}{3}a :$	$\frac{1}{4}b :$	$\frac{5}{2}a :$	b = $d^{\frac{5}{2}} =$	$S\frac{7}{2}$
25)	$\frac{5}{2}a :$	$\frac{5}{11}b :$	$\frac{5}{3}a :$	$\frac{5}{13}b :$	$\frac{5}{2}a :$	b = $d^{\frac{7}{2}} =$	$S\frac{9}{2}$
26)	$\frac{2}{3}a :$	$\frac{2}{11}b :$	$\frac{1}{4}a :$	$\frac{2}{13}b :$	$\frac{2}{3}a :$	b = $d^{\frac{5}{2}} =$	S 4
27)	$\frac{4}{3}a :$	$\frac{1}{17}b :$	$\frac{4}{7}a :$	$\frac{4}{23}b :$	$\frac{4}{11}a :$	b = $d^{\frac{1}{2}} =$	$S\frac{7}{2}$
28)	$\frac{5}{4}a :$	$\frac{1}{8}b :$	$\frac{5}{11}a :$	$\frac{1}{6}b :$	$\frac{5}{7}a :$	b = $d^{\frac{7}{2}} =$	$S'\frac{1}{2}$
29)	$\frac{5}{2}a :$	$\frac{1}{6}b :$	$\frac{5}{13}a :$	$\frac{1}{7}b :$	$\frac{5}{8}a :$	b = $d^{\frac{8}{2}} =$	$S'\frac{5}{2}$
30)	$\frac{5}{2}a :$	$\frac{1}{8}b :$	$\frac{5}{17}a :$	$\frac{1}{9}b :$	$\frac{5}{10}a :$	b = $d^{\frac{1}{2}} =$	$S'\frac{7}{2}$
31)	$\frac{9}{2}a :$	$\frac{9}{13}b :$	$\frac{4}{13}a :$	$\frac{9}{23}b :$	$\frac{9}{17}a :$	b = $d^{\frac{1}{2}} =$	$S'\frac{5}{2}$
32)	$\frac{2}{11}a :$	$\frac{2}{13}b :$	$\frac{1}{12}a :$	$\frac{2}{17}b :$	$\frac{2}{12}a :$	b = $d^{\frac{1}{2}} =$	S 12
33)	$\frac{1}{3}a :$	$\frac{1}{7}b :$	$\frac{1}{15}a :$	$\frac{1}{17}b :$	$\frac{1}{17}a :$	b = $d^{\frac{1}{2}} =$	$S\frac{1}{2}\frac{7}{2}$
34)	$\frac{1}{2}a :$	b :	$\frac{1}{9}a :$	$\frac{1}{11}b :$	$\frac{1}{2}a :$	10b = $b^{\frac{1}{2}} =$	$\frac{1}{18}S7$

Die Zeichen haben folgende Bedeutung: Alles, was in der Projectionssfigur zwischen die 2te Säulenfläche bb und das Hauptrhomboeder aa (erste Abtheilung) fällt, schärft die Seitenkanten des Hauptrhomboeders zu. Nächst der Säule liegen die Linien $\frac{1}{7}$ bis $\frac{1}{4}$ (Nro. 1—4) sehr gedrängt, ihre zugehörigen Flächen können daher leicht miteinander verwechselt werden; von $\frac{1}{4}$ bis 4 (Nro. 5 bis 10) bleibt dagegen größerer Zwischenraum, die Kantenswinkel weichen folglich bedeutender von einander ab. Auf diesen Flächen ruht also das Hauptinteresse für den Beobachter in der Natur. Weiter hinaus drängen sie sich wieder mehr zusammen, und werden folglich verwechselbarer. Die Projection aller dieser Flächen Nro. 1 bis Nro. 12 geht aber höchst leicht von Statten, indem man nur das vorderste und letzte Glied, welches in allen b ist, ins Auge faßt, und dann auf der von b entferntesten Axe die a der Reihe nach aufträgt. Da durch zwei Punkte der Ausdruck der ganzen Linie gegeben ist, so müssen die gewonnenen Sectionslinien die Axen gemäß der Formel schneiden. So entstehen nun in höchst eleganter Weise die Brüche der Primzahlen. Der Dreikantner Nro. 7 hat 1, 2, 3 und 5, jede darüberstehende Nummer gibt eine Primzahl

weiter; Nro. 6 gibt 7, Nro. 5 gibt 11, Nro. 4 gibt 13 u.: so daß also die Länge der Linien sich von selbst findet. Gehen wir über die Rhomboederflächen aa hinaus zur

zweiten Abtheilung, so liegen zwischen ihm und dem Dihexaeder Nro. 19 die Flächen von Nro. 13 bis Nro. 18 gleichfalls im schönsten Geseß: gehen wir wieder von b aus, so müssen nun entweder in der verlängerten Axe a links neben b die vordersten Glieder $9a-3a$ abgetragen werden, woraus sich dann auf a rechts die Stücke ergeben; oder da wir bereits alle Zahlen in der Figur haben, die Stücke $\frac{2}{3}a$ bis $\frac{2}{3}a$ auf a rechts von b auftragen. Die

dritte Abtheilung zwischen Dihexaeder und nächstem stumpferen Rhomboeder Nro. 20 — Nro. 23 zählt nur wenige, und alle gehören der 2ten Ordnung an, denn sie legen ihre stumpfen Endkanten wie die scharfen der ersten Ordnung. Die Zahlenreihe schließt sich unmittelbar an die des Dihexaeders an, denn setzt man $\frac{2}{3}a = \frac{2}{3}a$, so folgt Nro. 20 mit $\frac{2}{3}a'$, Nro. 21 mit $\frac{1}{2}a'$, $\frac{1}{2}$, $\frac{1}{4}$ Nro. 22 mit $\frac{1}{4}a'$, Nro. 23 mit $\frac{1}{6}a'$, aber zuletzt drängen sich die Glieder außerordentlich.

Während nun Nro. 1 — Nro. 23 offenbar der einfachsten Zahlenentwicklung angehören, bilden Nro. 24 — Nro. 34 noch mehrfache Zwischenglieder. Ich habe einige davon rechts hingetragen: $\frac{2}{3}a$ Nro. 24 und $\frac{2}{3}a$ Nro. 25 bilden mit $\frac{1}{3}a$ Nro. 6, $\frac{2}{3}a$ Nro. 7 und $\frac{2}{3}a$ Nro. 8 eine Reihe, und sie fallen gerade in größere Zwischenräume. Viel schlechter fügen sich schon die Drittel, so liegt z. B. $\frac{2}{3}a$ Nro. 27 der $\frac{2}{3}a$ Nro. 25 so nahe, daß man sie kaum nebeneinander zeichnen kann: hier begeht man keinen wesentlichen Fehler, wenn man das eine für das andere setzt. Auch lassen sich diese Fälle nicht durch Beobachtung, sondern nur durch solche allgemeine Erwägung zur wahrscheinlichen Entscheidung bringen.

Haben wir auf diese Weise die Dreikantner festgestellt, so wollen wir zur tiefern Einsicht die zugehörigen Rhomboeder neben einander stellen, der Kürze wegen aber nur eine Axe aufführen, welche zur Bezeichnung vollkommen genügt:

	Dreikantner	bestimmt	4 Rhomboeder
Nro. 1.	$\frac{1}{2}a : \frac{1}{3}a :$	$\frac{1}{2}a$ —	$\frac{1}{2}a, \frac{1}{3}a'; \frac{1}{3}a', \frac{2}{3}a.$
Nro. 2.	$\frac{1}{3}a : \frac{1}{3}a :$	$\frac{1}{3}a$ —	$\frac{1}{3}a, \frac{1}{6}a'; \frac{2}{3}a', \frac{1}{6}a.$
Nro. 3.	$\frac{1}{3}a : \frac{1}{3}a :$	$\frac{1}{3}a$ —	$\frac{1}{3}a, \frac{1}{3}a'; \frac{1}{3}a', \frac{2}{3}a.$
Nro. 4.	$\frac{1}{3}a : \frac{1}{3}a :$	$\frac{1}{3}a$ —	$\frac{1}{3}a, \frac{1}{3}a'; \frac{1}{3}a', \frac{1}{3}a.$
Nro. 5.	$\frac{1}{3}a : \frac{1}{3}a :$	$\frac{1}{3}a$ —	$\frac{1}{6}a, \frac{1}{3}a'; \frac{1}{3}a', \frac{1}{3}a.$
Nro. 6.	$\frac{1}{3}a : \frac{1}{3}a :$	$\frac{1}{3}a$ —	$\frac{1}{3}a, \frac{1}{3}a'; \frac{2}{3}a', \frac{1}{3}a.$
Nro. 7.	$a : \frac{1}{3}a :$	$\frac{1}{3}a$ —	$\frac{1}{3}a, \frac{1}{3}a'; \frac{1}{3}a', \frac{2}{3}a.$
Nro. 8.	$2a : \frac{1}{3}a :$	$\frac{2}{3}a$ —	$\frac{2}{3}a, \frac{2}{3}a'; \frac{1}{3}a', \frac{2}{3}a.$
Nro. 9.	$3a : \frac{1}{3}a :$	$\frac{2}{3}a$ —	$\frac{1}{3}a, \frac{1}{3}a'; a', \frac{2}{3}a.$
Nro. 10.	$4a' : \frac{2}{3}a :$	$\frac{2}{3}a$ —	$\frac{2}{3}a, \frac{1}{3}a'; \frac{2}{3}a', \frac{1}{3}a.$
Nro. 11.	$5a : \frac{1}{3}a :$	$\frac{2}{3}a$ —	$\frac{2}{3}a, \frac{1}{3}a'; \frac{2}{3}a', \frac{1}{3}a.$
Nro. 12.	$6a : \frac{1}{3}a :$	$\frac{2}{3}a$ —	$\frac{2}{3}a, \frac{2}{3}a'; \frac{1}{3}a', \frac{2}{3}a.$
Nro. 13.	$9a : \frac{2}{3}a :$	$\frac{2}{3}a$ —	$\frac{2}{3}a, \frac{2}{3}a'; 3a', \frac{2}{3}a.$

Nro. 14.	$8a : \frac{8}{7}a : \frac{8}{2}a$	—	$\frac{8}{2}a, \frac{8}{11}a'; \frac{1}{7}a', \frac{1}{11}a.$
Nro. 15.	$7a : \frac{7}{2}a : \frac{7}{2}a$	—	$\frac{7}{2}a, \frac{7}{11}a'; \frac{7}{2}a', \frac{1}{11}a.$
Nro. 16.	$6a : \frac{6}{2}a : \frac{6}{2}a$	—	$2a, \frac{6}{2}a'; 4a', \frac{6}{2}a.$
Nro. 17.	$5a : \frac{5}{2}a : \frac{5}{2}a$	—	$\frac{5}{2}a, \frac{5}{2}a'; 5a', \frac{5}{2}a.$
Nro. 18.	$4a : \frac{4}{2}a : 2a$	—	$4a, \frac{4}{2}a'; 8a', \frac{4}{2}a.$
Nro. 19.	$3a : \frac{3}{2}a : 3a$	—	$3a, \frac{3}{2}a'; 6a', \frac{3}{2}a.$
Nro. 20.	$4a' : \frac{4}{2}a' : \frac{4}{2}a'$	—	$8a', \frac{4}{2}a'; 16a, \frac{4}{2}a.$
Nro. 21.	$5a' : \frac{5}{2}a' : \frac{5}{2}a'$	—	$5a', \frac{5}{2}a'; 10a, \frac{5}{2}a.$
Nro. 22.	$8a' : \frac{8}{2}a' : \frac{8}{2}a'$	—	$\frac{8}{2}a', \frac{8}{2}a'; \frac{8}{2}a', \frac{8}{2}a.$
Nro. 23.	$9a' : \frac{9}{2}a' : \frac{9}{2}a'$	—	$3a', \frac{9}{2}a'; 6a, \frac{9}{2}a.$

Stellen wir einige dieser Rhomboeder zusammen, so fällt gleich die Hauptreihe $\frac{1}{11}a, \frac{1}{2}a', \frac{1}{2}a, \frac{1}{2}a', a, 2a', 4a, 8a', 16a$ in die Augen. Zu gleicher Zeit finden sich auch die Gegenrhomboeder $\frac{1}{2}a, a', 2a, 4a',$ vor. Eine zweite Reihe bilden $\frac{1}{10}a', \frac{1}{10}a, \frac{1}{2}a', \frac{2}{5}a, \frac{2}{5}a', \frac{2}{5}a, \frac{1}{5}a', \frac{2}{5}a,$ die schon beim Hauptdreikantner Nro. 7 durch $\frac{1}{2}a'$ eingeleitet ist. Dann folgt an Wichtigkeit die Reihe $\frac{1}{11}a', \frac{1}{2}a, \frac{7}{2}a', \frac{7}{2}a, \frac{7}{2}a', \frac{1}{2}a,$ durch die Dreikantner Nro. 6 und Nro. 8 eingefügt. Die kleine Reihe $\frac{1}{2}a', \frac{2}{5}a, \frac{1}{2}a'$ mit den Gegenrhomboedern $\frac{2}{5}a$ und $\frac{1}{2}a$ führt uns zu dem würfelfartigen Rhomboeder. Anderer nicht zu gedenken.

Von nächster Wichtigkeit zeigt sich die **Diagonalzone** des **Hauptrhomboeders**, d. i. die **Kantenzone** $\frac{1}{2}b$ des nächsten schärfern ($\frac{1}{2}a' : \frac{1}{2}a$). Da dasselbe gestrichelt ist, so müssen die Dreikantner 1ster und 2ter Abtheilung auch gestrichelt sein. Es gehören dahin

	Weiß	Hau	Mohs
35)	$\frac{1}{2}a' : \frac{b}{11} : \frac{1}{2}a' : \frac{b}{13} : \frac{1}{2}a' : \frac{b}{2}$	$= e_{\frac{1}{2}}$	$= 2 \text{ S' } 4.$
36)	$\frac{1}{2}a' : \frac{b}{8} : \frac{1}{2}a' : \frac{b}{10} : \frac{1}{2}a' : \frac{b}{2}$	$= e_{\frac{2}{3}}$	$= 2 \text{ S' } 3.$
37)	$a' : \frac{b}{5} : \frac{1}{2}a' : \frac{b}{7} : \frac{1}{2}a' : \frac{b}{2}$	$= e_{\frac{1}{2}}$	$= 2 \text{ S' } 2.$
38)	$2a' : \frac{2b}{7} : \frac{1}{2}a' : \frac{2b}{11} : \frac{2}{5}a' : \frac{b}{2}$	$= e_{\frac{2}{3}}$	$= 2 \text{ S' } \frac{5}{2}.$

Weitere Glieder der Reihe nicht bekannt. Mit Nro. 5 bis Nro. 7 verglichen gibt die Reihe im mittlern a gerade diejenigen Coefficienten $\frac{1}{2}, \frac{1}{3}, \frac{1}{4},$ welche zwischen $\frac{1}{2}, \frac{1}{3}, \frac{1}{4}$ liegen. Einige Zwischenglieder

39)	$\frac{2}{5}a' : \frac{2b}{13} : \frac{1}{2}a' : \frac{2b}{17} : \frac{2}{7}a' : \frac{b}{2}$	$= e_{\frac{2}{3}}$	$= 2 \text{ S' } \frac{1}{2}.$
40)	$\frac{5}{2}a' : \frac{b}{4} : \frac{5}{10}a' : \frac{b}{6} : \frac{5}{8}a' : \frac{b}{2}$	$= e_{\frac{2}{3}}$	$= 2 \text{ S' } \frac{5}{2}.$

fügen sich gut.

Aus der Endkantenzone sind etwa bekannt:

	Weiß	Hau	Mohs
41)	$9a' : \frac{b}{2} : \frac{9}{17}a' : \frac{9b}{33} : \frac{9}{18}a' : \frac{9b}{5}$	$= e_{\frac{2}{3}}$	$= \frac{1}{2} \text{ S' } \frac{17}{2}.$
42)	$5a' : \frac{b}{2} : \frac{5}{9}a' : \frac{5b}{17} : \frac{5}{8}a' : \frac{5b}{7}$	$= e_{\frac{2}{3}}$	$= \frac{1}{2} \text{ S' } \frac{9}{2}.$
43)	$4a' : \frac{b}{2} : \frac{4}{7}a' : \frac{4b}{13} : \frac{4}{8}a' : \frac{4b}{5}$	$= e_{\frac{2}{3}}$	$= \frac{1}{2} \text{ S' } \frac{7}{2}.$
44)	$3a' : \frac{b}{2} : \frac{3}{2}a' : \frac{b}{8} : \frac{3}{2}a' : \frac{b}{2}$	$= e_{\frac{2}{3}}$	$= \text{S' } \frac{3}{2}.$
45)	$2a' : \frac{b}{2} : \frac{2}{3}a' : \frac{2b}{5} : a' : \frac{2b}{2}$	$= e_{\frac{2}{3}}$	$= \frac{1}{2} \text{ S' } 3.$

Projicirt man diese Körper wieder, so kann man leicht das Wahrscheinlichere vom Unwahrscheinlichen unterscheiden. Eine der schönsten Lagen hat Nro. 45, sie führt uns zum Wendepunkte, zum Dihexaeder

$$46) \frac{3}{2}a : \frac{b}{2} : \frac{3}{2}a : \frac{b}{2} : \frac{3}{2}a : \infty b,$$

das Ekv. angibt. Zwischen Dihexaeder und Rhomboeder beginnt die 3te Abtheilung, wieder mit ungestrichelten a, weil sie ihre scharfen Endkanten wie die Endkanten des Hauptrhomboeders legen.

$$47) 2a : \frac{4b}{7} : \frac{4}{3}a : \frac{b}{2} : \frac{4}{3}a : 4b = e_4 = \frac{1}{2} S \ 5.$$

$$48) \frac{5}{2}a : \frac{5b}{8} : \frac{5}{3}a : \frac{b}{2} : \frac{5}{3}a : \frac{5b}{8} = e_5 = \frac{2}{3} S \ 3.$$

Man erkennt darin gleich wieder das Reihengesetz $\frac{3}{2}a$, $\frac{4}{3}a$, $\frac{5}{3}a$ u.

Die Kantenzone des nächsten stumpfern Rhomboeders 2b hat ebenfalls eine Reihe aufzuweisen:

$$49) \frac{1}{2}a' : \frac{2b}{19} : \frac{2}{3}a' : \frac{b}{10} : \frac{2}{3}a' : 2b = d^1 d^{\frac{1}{2}} b^{\frac{1}{2}} = \frac{1}{2} S' \ 13.$$

$$50) \frac{1}{2}a' : \frac{2b}{13} : \frac{2}{3}a' : \frac{b}{7} : \frac{2}{3}a' : 2b = d^1 d^{\frac{1}{2}} b^{\frac{1}{2}} = \frac{1}{2} S' \ 9.$$

$$51) a' : \frac{2b}{7} : \frac{2}{3}a' : \frac{b}{4} : \frac{2}{3}a' : 2b = d^1 d^{\frac{1}{2}} b^{\frac{1}{2}} = \frac{1}{2} S' \ 5.$$

$$45) 2a' : \frac{b}{2} : \frac{2}{3}a' : \frac{2b}{5} : a' : 2b = e_2 = \frac{1}{2} S' \ 3.$$

$$52) 3a' : \frac{2b}{3} : \frac{2}{3}a' : \frac{b}{2} : \frac{2}{3}a' : 2b = e_3 = \frac{1}{2} S' \ \frac{7}{2}.$$

Dabei ereignet es sich zuweilen, daß Dreikantner der einen Reihe auch zu denen einer andern Reihe gehören, so liegt Nro. 45 sowohl in der Kantenzone des stumpfern 2b, als in der Kantenzone des nächsten schärfern $\frac{1}{2}b$.

Auffallender Weise stellen sich darunter auch Gegendreikantner ein; so ist Nro. 44 der Gegendreikantner von Nro. 9, denn beider Zeichen unterscheidet sich nur durch die Striche. Unter andern merkwürdigen Gegendreikantnern erwähne ich nur:

$$53) a' : \frac{b}{4} : \frac{1}{3}a' : \frac{b}{6} : \frac{1}{3}a' : b = d^{\frac{1}{2}} d^{\frac{1}{2}} b^{\frac{1}{2}} = S' \ 3,$$

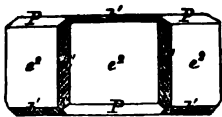
dieser entspricht dem Hauptdreikantner Nro. 7, der Nro. 6 dagegen

54) $\frac{1}{2}a' : \frac{b}{7} : \frac{1}{3}a' : \frac{b}{8} : \frac{1}{3}a' : b$. Ebenso haben Nro. 24, Nro. 29, Nro. 36 u. ihren Gegendreikantner.

Hat man auf diese Weise eine Uebersicht der Dreikantner gewonnen, so ist es nicht uninteressant, sich alle diejenigen herauszusuchen, welche parallele Sectionslinien auf der Projectionsfigur bekommen. Nehmen wir die Sectionslinien des Dreikantners Nro. 7 = a : $\frac{4}{3}a$: $\frac{4}{3}a$ und des Gegendreikantners Nro. 53 = a' : $\frac{1}{3}a'$: $\frac{1}{3}a'$, so gehen diesen Sectionslinien die von Nro. 45 = $\frac{1}{2}c$: a' : $\frac{1}{3}a'$: $\frac{1}{3}a'$, Nro. 18 = $\frac{1}{2}c$: a : $\frac{1}{3}a$: $\frac{1}{3}a$, Nro. 36 = 2c : a' : $\frac{1}{3}a'$: $\frac{1}{3}a'$, 4c : a : $\frac{1}{3}a$: $\frac{1}{3}a$ parallel, so daß bei gleicher Basis die Axe c in der Progression $\frac{1}{2}c$, $\frac{1}{2}c$, c, 2c, 4c geschnitten wird.

Was endlich das Vorkommen in der Natur betrifft, so ist ein scharfes Erkennen ohne Winkelmessung häufig nicht möglich, und gerade die complicirtesten und lehrreichsten Krystalle entziehen sich nicht selten auch den scharfen Winkelmessungen, doch kann man mit einem Handgoniometer sich leicht im Großen orientiren. Das soll an einzelnen Beispielen klar gemacht werden.

1. Reguläre 1ste sechsseitige Säule e^2 von Andreasberg.



Sie herrscht durchaus vor, zeichnet sich durch Glanz und geringe Querstreifung aus. Der blättrige Bruch P stumpft die abwechselnden Endkanten ab, und erzeugt eine markirte Streifung auf dem nächsten stumpfern Rhomboeder b^1 , die senkrecht gegen die Endkante der Säule steht, und eine schiefe Streifung auf der 2ten Säule d^1 , die dem Durchschnitt der Säule mit dem Blätterbruch entspricht, folglich auf den abwechselnden Flächen d^1 sich abwechselnd neigt.

2. Hauptrhomboeder vom Maderaner Thal. An einem Ende (Unterende) herrscht die Geradenfläche vor, und diese hat an kleinen Krystallen eine Querstreifung, was Andeutung eines vierten Blätterbruchs zu sein scheint, der die Endseite gerade abstumpft. Sonst ist die Oberfläche

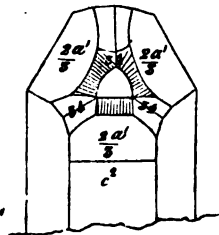
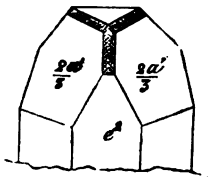


des Rhomboeders matt, und wegen der zarten Streifung mit dem Fingernagel rigbar: Bei größern Krystallen bemerkt man eine sehr regelmäßige Bogenstreifung, die Seitenarme der Bogen gehen der Rhomboedertante parallel, in der Mitte längs der schiefen Diagonale gewahrt man eine breite Einknickung: der erste Anfang einer Dreikantnerbildung, der aber der Hauptrhomboiderfläche möglichst nahe liegt, also über unseren stumpfsten Nro. 13 = $9a : \frac{2}{3}a$ noch hinaus geht. Es kommen auch sehr complicirte Formen vor, woran aber meist die Geradenfläche einer Seite sich auszeichnet.



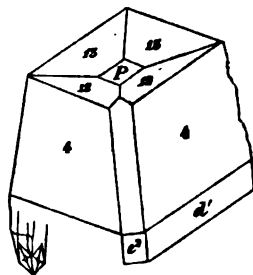
3. Im Muschelkalk findet man gar häufig das zweite schärfere Rhomboeder $\frac{1}{2}a$, dessen scharfe Endkanten der Hauptdreikantner $a : \frac{1}{2}a$ zuschärft. An der Endspitze fehlt gewöhnlich das nächste stumpfere Rhomboeder $2a'$ nicht. Dehnt sich der Dreikantner aus, so wird er nicht selten bauchig, es treten zwar noch allerlei Abstumpfungen hinzu, im Ganzen bleibt sich aber der Typus sehr gleich, und da er im Kalkgebirge der verschiedensten Formationen sich häufig findet, so verdient er hervorgehoben zu werden.

4. Die Andreasberger bilden eine große Familie. Schon oben bei der sechsseitigen Säule (1) ist sie angedeutet. Hier haben wir auf der zum Theil langen 1ten Säule das würfelfartige Rhomboeder $\frac{1}{2}a'$ vorherrschend, aber mit matter drüsiger Fläche. Es kann daher kaum genau gemessen werden. Die Endkante erscheint gerade abgestumpft durch eine federartige gestreifte Fläche, was auf einen Dreikantner hinweist. Wenn die Fläche gerade abstumpfte, so müßte sie einem Rhomboeder $\frac{1}{2}a : \frac{1}{2}a : \infty a : c$ angehören, doch ist sie so eng mit dem Blätterbruch verbunden, daß man sie häufig anzweifelt. Sie setzt offenbar den Dreikantner ein, der bei jenen großen mit Nauschroth übertünchten Krystallen deutlich hervortritt. Hier macht das matte Rhomboeder $\frac{1}{2}a'$ mit dem Blätterbruch 80° , das nächste stumpfere läßt sich darüber leicht an der

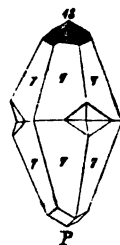


starken diagonalen Streifung erkennen. In der Diagonalzone des letzteren liegt ein Dreikantner, der sich aber im weitem Verlaufe ganz abrundet. Zippe bestimmt ihn $\frac{1}{2}a : \frac{1}{2}a : \frac{1}{2}a$ (Nro. 34). Gerade die Menge ganz flacher Dreikantner aus der Endkantenzone des Hauptrhomboeders sind für die Erzgänge von Bedeutung.

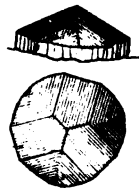
5. Hauy's Quintidodécaèdre von Andreasberg ist zwar außerordentlich verzogen, allein man orientirt sich leicht an der Enddecke, die dem Hauptrhomboeder gleicht, nur daß sich ein Dreikantner (13) flach aus der Ebene des Blätterbruchs P erhebt. Derselbe hat in der scharfen Endkante ungefähr 116° , was etwa auf ein Zeichen $11a : \frac{1}{2}a : \frac{1}{2}a$ hindeuten würde. Darunter in der Seitenkante erhebt sich ein zweiter (12) nur wenig steiler, als erster, Hauy nannte ihn $d^5 = 4a : \frac{1}{2}a$, allein dem Augenmaß nach muß er der Rhomboederfläche viel näher liegen, etwa $8a : \frac{1}{2}a : \frac{1}{2}a$ (Nro. 14) haben. Beide Dreikantner bilden öfter ein ganz flaches Pyramidenrhomboeder, die Pyramidenspitze durch das Rhomboeder P abgestumpft, wodurch die Zonen scharf in die Augen treten. Darunter herrscht gewöhnlich ein Dreikantner $d^7 = \frac{1}{2}a : \frac{1}{2}a$ Nro. 4, der der Kante des blättrigen Bruchs parallel geht. Der Winkel der scharfen Endkante beträgt etwa 114° , daraus folgt, daß er innerhalb des Dreikantners Nro. 7 liegt, dessen scharfe Endkante reichlich 104° macht. Dem Winkel zufolge könnte es auch Nro. 3 oder eine dem Mittelpunkt noch näher stehende sein. Die untergeordneten Abstumpfungen beider Säulen und des Rhomboeders, worunter auch das würfelfartige nicht fehlt, übergehen wir.



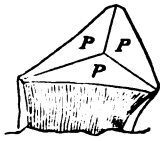
6. In Derbyshire erscheint der Fußgroße Dreikantner Nro. 7 = $a : \frac{1}{2}a : \frac{1}{2}a$ scharf meßbar. Uebergehen wir die kleinen Abstumpfungen der Seitenecken, und lenken die Aufmerksamkeit auf die Enddecken, so kann man durch Wegsprengen des Blätterbruchs sich bald überzeugen, daß der Dreikantner der Kantenzone desselben angehört (Unterende), denn der Blätterbruch bildet mit den Dreikantnerflächen Rhomben. Am Ende findet sich der matte Dreikantner $b^5 = 4a : \frac{1}{2}a$ (Nro. 18) mit etwa 138° in den scharfen Endkanten, vierfach stumpfer ($\frac{1}{2}c : a : \frac{1}{2}a : \frac{1}{2}a$) als der Hauptdreikantner. Bei andern noch mattern Flächen wird der scharfe Endkantenwinkel sogar 145° , was etwa auf $\frac{1}{2}a : \frac{1}{2}a : \frac{1}{2}a$ schließen ließe. Gewöhnlich Zwillinge.



7. Im Teufelsgrunde des Münsterthals bei Stausen herrscht das Hauptrhomboeder mit dem nächsten stumpferen vor, allein die Krystalle sind durch Dreikantner aus der Endkantenzone nicht selten ganz linsenförmig zugerundet, was die Krystalle der Erzgänge so bezeichnet. Auch der gewöhnliche Dreikantner mit dem Rhomboeder am Ende kommt

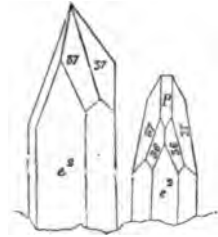


vor. Man findet auf letzterem aber immer Andeutungen von Dreikantnern, die sich dem Blätterbruch möglichst nahe anlegen. Die Säulen machen die Ränder oft ganz cylindrisch, wie bei Neudorf auf dem Unterharze.



8. Das Hauptrhomboeder P kommt auch in Spalten des Kalkgebirges vor, und zwar mit glänzenden Flächen, ohne Spur eines Dreikantners, Höhlen auf der schwäbischen Alp. Darunter liegt die verdrückte Form eines Haug'schen dilatée, aber nicht sehr deutlich. Die Kanten der drei breiten Flächen convergiren deutlich nach unten, sehen jedoch physikalisch anders aus als die drei schmalen, welche nicht so deutlich convergiren.

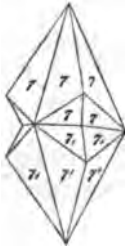
9. Alston in Cumberland zeigt uns an der regulären sechsseitigen Säule einen Dreikantner aus der Diagonalzone des Hauptrhomboeder. Derselbe stumpft die Kante zwischen Hauptrhomboeder und erster sechsseitiger Säule ab, muß also auf der Projection zwischen den Sectionslinien dieser beiden liegen d. i. Nro. 37. Zersprengt man nun von einem die Spitze, so stumpft der blättrige Bruch die Kante zweier gegenüberliegenden Flächen ab, folglich muß der Körper in der Diagonalzone liegen, es ist also der Dreikantner $a : \frac{1}{2}a' : \frac{1}{2}a'$. Dester sitzt daran auch der Dreikantner $\frac{1}{2}a' : \frac{1}{2}a' : \frac{1}{2}a'$ Nro. 36.



10. Im Fassathal kommen mit Analcim sehr flächenreiche Krystalle vor $\varphi = \frac{1}{2}a' : \frac{1}{2}a' : \infty a$ (Zippe) herrscht daran. Der Hauptdreikantner Nro. 7 = $a : \frac{1}{2}a : \frac{1}{2}a$, dessen stumpfe Kante durch Rhomboeder $\frac{2}{3}a : \frac{2}{3}a$ gerade abgestumpft wird, leitet auf den blättrigen Bruch, dessen rhomboedrische Endkanten $b^1 = 2a' : 2a'$ gerade abstumpfen würde. Zweites schärfere Rhomboeder $\phi^2 = \frac{1}{2}a : \frac{1}{2}a$ muß in den scharfen Endkanten von Nro. 7 liegen. Nro. a 18 = $4a : \frac{1}{2}a : \frac{1}{2}a$

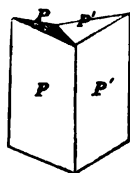
schärft die Endkante φ/φ zu, denn φ gehört zu dessen verhüllten Rhomboedern. Aus der 1ten Säule $e^2 = a : a : \infty a$ folgt, daß Nro. 37 = $a' : \frac{1}{2}a' : \frac{1}{2}a'$ zur 2ten Ordnung gehöre. Zweite Säule $d^1 = a : \frac{1}{2}a : a$ macht nach drei Seiten hin parallele Kanten, woraus man sogleich ihren Ausbruch errathet.

Zwillinge. Ist es gewöhnlichere Gesetz: Die Rhomboeder haben die Geradenfläche a^1 gemein und liegen umgekehrt. Sie sind daher um 60° gegeneinander verdreht. Besonders findet man es bei Dreikantnern von Derbyshire, Traversella, auch in einem Thonletten des Muschellalkes bei Cannstadt ohnweit der Ziegelhütte in den ersten Kalkwänden, welche der Fluß auf dem rechten Ufer trifft. Letztere sind um und um ausgebildet, an den Seiten kommen drei Mal einspringende Winkel, und wenn diese sich auch ausfüllen, so

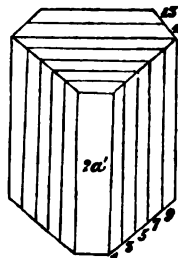


passen scharfe Kanten unten und oben aufeinander, welche bei einfachen Formen bekanntlich abwechseln. Bei Auerbach an der Bergstraße in Hessen-Darmstadt konnte man früher einmal späthige Stücke von Fuß Durchmesser schlagen, die zwei dreiseitigen Pyramiden mit einander zugekehrten Basen gleichen (Trigonoeder), die einspringenden Winkel, welche durch den Blätterbruch an den Seitenecken kommen, erinnern aber leicht an den Zwillings.

2tes seltenere Gesetz: die Krystalle haben die Fläche des nächsten stumpfern Rhomboeder b^1 gemein und liegen umgekehrt. Man darf nur das Rhomboeder parallel der Fläche des nächsten stumpfern halbiren, und die Stücke gegeneinander um 180° verdrehen. Zwei blättrige Brüche machen dann eine rhombische Säule von $105^\circ 5'$, während der dritte beider Individuen ein Paar einerseits mit auspringendem, andererseits mit einspringendem Winkel von $141^\circ 52'$ bildet.



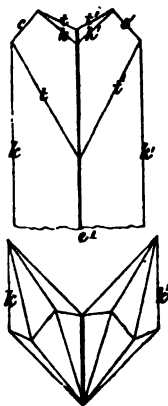
Die späthigen Stücke finden sich bei Auerbach sehr schön, auch verrathen oft Streifungen das Gesetz, wie unter andern die prachtvollen Stücke vom Sigmundstollen im Rathhausberge bei Gastein: letztere erscheinen in rhombischen Säulen mit Schiefendfläche. Die stumpfe Kante der Säule ist durch eine matte Fläche des Rhomboeder $2a' : 2a' : \infty a : c$ stark abgestumpft, und parallel ihnen sondert sich die späthige Masse in zahlreiche Blättchen von $\frac{1}{4}'''$ — $1'''$ Dicke. Alle diese Blättchen 1 bis 13 gehören zwar ein und demselben Individuum, allein zwischen je zwei schieben sich papierdünne Blättchen des andern Individuum's ein.



Solche Einschießel von Blättchen sind beim Isländischen Doppelspath besonders merkwürdig und ziemlich häufig: die geschlagenen Stücke erscheinen zwar einfach, aber bei genauer Untersuchung merkt man einen zarten Strich (2), den Zwillinge-Einschießel. Beim Durchsehen verräth er sich sogleich durch prachtvolle Farben, welche von den Newtonianischen verschieden sind. Es wirken dabei die Stücke 1 und 3 wie Turmalinplatten. Natürlich kommen auch Drillinge und Vierlinge vor. Wie solche Gesetze durchgreifen, hat Oschaz (Zeitsch. deutsch. geol. Ges. 1855. VII. 5) an Schliften des Carrarischen Marmors nachgewiesen, die im Mikroskop an den kleinsten Körnern solche Zwillingestreifen zeigen. Die großen Kalzspathplatten (a^1 PPP) im Maderaner Thal kreuzen sich oft unter $2\text{mal } 63 \cdot 44 = 127^\circ 28'$ mit vielen Wiederholungen. Da sich gewöhnlich auf der Geradenfläche a^1 zahlreiche Rhomboeder P buckelförmig erheben, so bedarf es nur eines Blickes auf das Einspiegeln zweier Blätterbrüche.



3tes Gesetz findet sich zu Andreasberg und Derbyshire, hauptsächlich bei Dreikantnern, welche den Blätterbruch P gemein haben und umgekehrt liegen. Es sind gewöhnlich knieförmige Anlagerungen oder Durchkreuzungen,



wobei die Aze c sich unter $2\text{mal } 45^\circ = 90^\circ$ schneiden. Endlich kann auch in einem

4ten Gesetz das nächste schärfere Rhomboeder σ^1 Zwillingsebene werden. Scheerer (Pogg. Ann. 65. 200) weist das an großen Krystallen von Alten's Kupfergrube in Norwegen nach: die Dreikantner $a : \frac{1}{2}a : \frac{1}{2}a$ haben sich zu einer Säule $kk' = 104^\circ 38'$ verzogen, welche der scharfen Endkante entspricht, während t der stumpfen; ihre Gipfel liegen in den Linien c und c' . Daraus geht sofort hervor, daß $\sigma^1 = \frac{1}{2}a' : \frac{1}{2}a'$ gehen müsse. Im Wallis kommen die Verwachsungen so deutlich, wie die darunter stehenden Modelle von Dreikantnern vor, welche die scharfe Kante kk' gemein haben, und umgekehrt liegen. Immer ist es wieder die Einfachheit des Gesetzes, welche uns anzieht.

Fortwachsen der Krystalle dürfte sich kaum irgendwo schöner finden: verwitterte raushlächtige Stücke haben zumal auf Erzgängen (Samson) sich mit einer klaren glänzenden Hülle umgeben, woran nur stellenweis das alte Kleid noch frei liegt. Häufig bildet das neue nur die Fortsetzung des alten, es können aber auch neue Flächen eintreten und alte verschwinden. Doch ordnet sich alles so sicher, daß man deutlich sieht, der alte Krystall hat seine vollkommene Anziehungskraft auf die Substanz bewahrt. Bei Reichenstein in Schlessien bilden die nächsten stumpferen Rhomboeder breite Rappen auf langstrahligen scharfen (Glocker, Nov. Act. phys. med. 1851. XXIII. 2. pag. 808). Gewisse Anziehungskraft üben auch andere Unterlagen, wie z. B. die Affeln der hohlen Spatangen und Ananchiten der Kreideformation (Weiß Berh. Gesellsch. nat. Freunde zu Berlin 1836. pag. 12), oder die Echinosphäriten des Uebergangsgebirges z.: jede Affel hat auf der Innenseite ihren Krystall, dessen Aze senkrecht gegen sie steht und dessen Größe genau mit ihr stimmt. Da die Affel selbst aus späthigem Kalk besteht, dessen Aze mit dem des Krystalls zusammenfällt, so mag darin der theilweise Grund zur Anziehung gelegen haben.

Zu späthigem Kalk bilden sich oftmals fossile Muschelschalen um, insonders Echinodermen, und wenn diese Theile in die Länge gestreckt sind, so fällt die Aze des Blätterbruchs mit der Längslinie zusammen. Sehr schön findet man das bei Eidaritenstacheln, die innerlich den vollkommensten Blätterbruch eines einzigen Kalkspathrhomboeders haben. Bei Krinoidenstielen entspricht die Hauptaxe zwar der Richtung des Stieles, aber die Blätterbrüche der einzelnen Glieder sind gegeneinander spiralförmig verdreht (Epochen der Natur pag. 558), doch dürfte der Drehwinkel geschicklich kaum festgestellt werden können (Gessel Mineral. Taschenb. 1825. a. pag. 152). Gar merkwürdig sind nach Turpin die mikroskopischen Rhomboederchen in den Eierschalen der Weinbergschnecke.

Außere Kennzeichen. Härte 3, Normalhärte. Graulich pag. 140 hat ihn „stereometrisch durchforscht“, und die Flächen der 1sten Säule am

härtesten, die des Hauptrhomboeder am weichsten gefunden. Gew. 2,7. Selten schön gefärbt, und dann meist gelbbraun von Eisenoxydhydrat. Seine ausgezeichnete doppelte Strahlenbrechung ist bekannt pag. 113, daher für Optik unentbehrlich. Dünne Scheiben sollen schon durch den Fingerdruck elektrisch werden. In der Temperatur des kochenden Wassers wird nach Witzschelich der Endkantenwinkel $84\frac{1}{2}$ Minute kleiner (von $105^{\circ} 5'$ geht er auf $104^{\circ} 56\frac{1}{4}'$), er muß sich also beim Erwärmen nach der Hauptaxe stärker ausdehnen, als nach den Nebenaxen. Optische Axe —, wie bei allen rhomboedrischen Carbonaten.

Chemische Eigenschaften. Ca C, Stromeyer fand im isländischen Doppelspath 43,7 C, 56,15 Ca, 0,15 Mn und Fe, was genau den Atomzahlen $356 \text{ Ca} + 256 \text{ C}$ entspricht. Die reinsten enthalten bloß 0,01 Procent fremder Stoffe. Bei anderen darf ein kleiner Gehalt an Magnesia, Kiesel-erde, Fluor u. wohl nicht auffallen. Große Stücke brausen stark mit Salzsäure, indem Kohlen-säure entweicht und Ca Cl sich löst. Vor dem Röhrohr brennt er sich kautisch, die C entweicht und der Aetzkalk Ca bleibt zurück, der bei fortgesetztem Glühen blendend leuchtet. Nur etwa 0,1 pC. Kohlen-säure hält er hartnäckig fest. In einer Atmosphäre von Kohlen-säure gibt er dagegen seine C gar nicht ab, daher hört in geschlossenen Gefäßen die Zersetzung gleich auf sobald sich das Gefäß mit Kohlen-säure gefüllt hat. Auf diese Weise ist er krystallisir- und selbst schmelzbar. Aetzkalk soll sogar in der Weißglühhitze aus einem Strome von C so viel aufnehmen, daß er wieder mit Säuren braust. Daher muß beim Brennen vorzüglich darauf gesehen werden, durch guten Zug die freie C möglichst zu entfernen. Gebrannter Kalk mit Wasser übergossen erhitzt sich, und wird zu Kalkhydrat Ca H. Dieß ist eine im Wasser wenig lösliche stark ägende Basis, daher für die Technik so wichtig, namentlich in der Baukunst. Luftmörtel findet sich bei den ältesten Baudentmalen (cyclopischen Mauern, Aegyptischen Tempeln, Cloaca maxima in Rom) nicht, die Babylonier bedienten sich des Erdpechs, verwendeten aber bei ihren Königspallästen schon Gyps und Kalk. Später hatten die Römer vorzüglichen Mörtel, und schon Cato (de re rustica) beschreibt 200 a. Ch. Kalköfen. Das Ca H zieht aus der Luft C an, und verwandelt sich außen in Ca C, während das Innere bei dicken Wänden Jahrhunderte lang kautisch bleibt. Aber nur dünne Lagen haften, daher muß er mit fremdartigen Massen stark gemischt werden. Klaproth (Beiträge V. 1) untersuchte einen blauen Kalk vom Vesuv, der 11 H und nur 28,5 C enthielt, er hatte dabei aber die Bittererde übersehen, Roth nennt ihn $\text{Pencatit } \text{Ca C} + \text{Mg H}$. Daran würde sich unmittelbar der Predazzoit $2 \text{ Ca C} + \text{Mg H}$ (Journ. prakt. Chem. 52. 246) schließen, ein Marmorähnlicher Kalk von Predazzo im Fleimserthal, welcher von Sphenit durchbrochen wird. Auch die dichten gelblichen Kugeln von Hydrodolomit an der Somma beweisen, daß Feuer und Wasser ihren zufälligen Einfluß auf Kalksteine oft noch in der Natur geltend machen. Pelouze's künstlich darstellbarer rhomboedrischer Hydroconit ($\text{Ca C} + 5 \text{ H}$) erzeugt sich dagegen auf nassem Wege, und wurde in kupfernen Pumpen auf dem Grunde Norwegischer Bäche (Pogg. Ann. 68. 281) gefunden.

In den Mörteln spielt auch die Kiesel-erde und Tasterde noch eine bedeutende Rolle, zumal im Wassermörtel, von dem schon Plinius hist. nat. 35. 47 sagt: Selbst die reine Erde habe bemerkenswerthe Eigenschaften , *quis enim satis miretur pessimam ejus partem, ideoque pulverem appellatum in Puteolanis collibus, opponi maris fluctibus: mersumque protinus fieri lapidem unum inexpugnabilem undis, et fortio-rem quotidie, utique si Cumano misceatur caemento?* Das ist die berühmte Pozzulan-erde von Pozzuoli bei Neapel und der Traß des Broththales an der Eifel (den ebenfalls die Römer schon fanden), welcher dem gelöschten Kalk hälftig beigemischt, eine Masse erzeugt, die unter Wasser hart wird: das Erstarren geht schnell, aber das Verhärten langsam. Jetzt weiß man, daß auch thonige und bittererdehaltige Kalksteine, aus weißem Jura, unterm Rias, Muschelkalk etc., für sich gebrannt, schon hydraulischen Kalk geben. Löst man die gebrannte Masse in Säure, so scheidet sich die Kiesel-erde gallertartig aus, sie findet sich also wie bei den Zeolithen in ihrer löslichen Modification darin, die Si mag daher beim Zutritt des Wassers auf Ca und Mg wie bei der Zeolithbildung wirken.

Vorkommen. Kalk findet sich auf der Erdoberfläche in ungeheuren Massen. Er fehlt dem Urgebirge zwar nicht, doch ist er hier nur sparsam, und mag auch ein Theil auf trockenem Wege gebildet sein, was unter einem starken Drucke möglich scheint, so verdankt doch der Meiste dem Wasser seinen Ursprung: mit Kohlensäure geschwängert löst dies Kalk, man sagt, er sei als doppelt kohlensaurer Kalk (Ca C^2) im Wasser löslich. Wenn nun die Wasser verdunsten oder unter geringerem Druck ihre C abgeben müssen, so scheidet sich der Ca C wieder aus. Auf diese Weise haben sich Krystalle in den verschiedensten Spalten und hohlen Räumen der Gesteine erzeugt. Besonders häufig aber in den Kalkgebirgen. Namentlich gern krystallisirt er, wenn die Wasser durch fremde Gegenstände, wie durch ein Filtrum durch mußten: so findet man in gewissen Kalkschlammen keine unverletzte Ammonitenkammer (Epochen der Natur pag. 106), die nicht innen mit Krystallen tapézirt wäre, aber nur so weit, als die unverletzte Kammer die hohlen Räume nach außen abschloß; die Schale wirkte hier offenbar wie ein Filtrum. Der Kalkschlamm selbst mag wegen seiner vielen Schalenreste der Hauptsache nach ein thierisches Product sein. Erwähnen wir einige Hauptvarietäten:

1. Krystalle. Die schönsten findet man auf Erzgängen: so wurde 1785 auf der Grube „fünf Bücher Moses“ bei Andreasberg ein 5 Fachter großes Drusenloch mit den prächtigsten Krystallen eröffnet, seit der Zeit wird dieser Fundort immer erwähnt. Nicht minder schön und mehr als Fuß groß kommen sie in Derbyshire vor. Flächenreich auf den Magneteisenlagern von Traversella, und besonders reizend auf gebiegem Kupfer vom Lake Superior. Die späthigen Stücke von mehr als Quadratfuß Fläche bei Auerbach sind nichts als innere Theile verdrückter Krystalle. Damit können sich die Spalten des Kalkgebirges selten messen.

2. Späthige Massen heißen solche, an welchen man keine äußere Flächenumrisse mehr bemerkt, obgleich viele derselben in Sammlungen nur

von zerschlagenen Krystallindividuen stammen. Am berühmtesten ist der Isländische Doppelspath, so genannt, weil man dadurch die Gegenstände doppelt sieht. Er kommt in einer 3' breiten und 25' langen Spalte am nördlichen Ufer des Rodesfjordes auf der Ostküste von Island vor, die Spalte setzt im Dolerit zu unbekannter Tiefe fort. Ein darüber hinfließender Bach verunreinigt die schöne Masse von grobkörnigem Gefüge, worin für Krystallisationen kaum Raum blieb; zierliche Krystalle von Strahl- und Blätterzeolith sind eingeschlossen. Halbklare Krystalle kommen zwar auch in andern Gegenden vor, allein für Stücke solcher Durchsichtigkeit war Island bis jetzt einzig.

Späthige Kalkmassen werden öfter ausgezeichnet krummschalig, die Krystalle bekommen dann eine glasopartige Oberfläche von höchst eigenthümlichem Aussehen: auf Bleiglanz der Friedrichsgrube bei Tarnowitz sitzen gelbe runde Tropfen wie Kirschharz. Vergleiche auch die sogenannten Krähenaugen von Andreasberg. Die schwarzen krummschaligen nennt man Anthraconit, besonders schön in der Abtenau bei Salzburg, und im schwedischen Alaunschiefer.

3. Strahliger Kalkspath durchsetzt häufig das Kalkgebirge gangförmig, wie z. B. in den Bohnerzspalten der Alp. Solches Gefüge hängt mit der Krystallbildung auf das Engste zusammen: es sind nichts anders als parallel gelagerte Säulen, die sich in ihrer Ausbildung gegenseitig störten. Die fortificationsartig gestreiften Stücke fallen leicht auseinander, und die Endede des blättrigen Rhomboeders liegt nie anders, als am Ende dieser Strahlen. Werden die Strahlen zu feineren Fasern, so muß man sich vor Verwechslung mit Arragonit hüten. Man nennt das feinere auch Faserkalk. Besonders interessiren in dieser Beziehung die Belemnitenfossilien: ihre Strahlen entspringen fein im Mittelpunkte, und werden nach außen immer breiter. Auch hier fällt die Axe des blättrigen Bruchs genau mit der Strahlenaxe zusammen. Ebenso werden die Muschelschalen, wie von *Inoceramus*, *Pinna* etc., oft fasrig, die Faser steht senkrecht gegen die Fläche, aber auch bei diesen vermißt man trotz der Feinheit das späthige Gefüge niemals.

Dutenmergel (Nagelkalle) bilden Platten in dem Schieferthone der verschiedensten Formationen, besonders aber im Steinkohlengebirge, Lias und braunen Jura. Der späthige Bruch ist bei ihnen unverkennbar, allein es scheiden sich zahlreiche kleine Regels aus, die ihre Basis in der Plattenwand haben, und ihre Spitzen gegeneinander verschränken. Längsstreifen und wellige Querstreifen gehen durch die ganze, theilweis sehr unregelmäßig abge sonderte Masse: eine Bildung, die man noch nicht hat erklären können. Concretionen waren es jedenfalls.

4. Körnigblättriger Kalkstein, das krystallinische Gefüge der einzelnen Körner sehr deutlich, aber die Individuen verschränken sich so ineinander, daß sie compacte feste Gesteine bilden. Zunächst gehören dahin Stalactiten und Kalksinter, welche die Wände der Höhlen und Spalten im Kalk- und Dolomitgebirge überziehen, und die in frühern Zeiten in hohem Grade die Aufmerksamkeit auf sich lenkten. Sie hängen entweder wie Eis-

zapfen von den Wänden herab (Stalactiten), oder ragen säulenförmig vom Boden in die Höhe (Stalagmiten), zeichnen sich durch concentrische Schichtung aus, zeigen aber beim Zerschlagen meist ein deutliches Korn. Wie schnell solche Zapfen gebildet werden können, sieht man unter neuen Brückengewölben. Die dünnen sind öfter röhrenförmig hohl, haben aber eine sehr späthige Hülle. Durch die Hölle lief das Wasser herab. Auch bei compacten Stalactiten findet man am Ende öfter eine Grube, wo die Wassertropfen hängen bleiben und wieder etwas von der Masse auflösen. Wells (Silliman Amer. Journ. 1852. XIII. 11) hat im Widerspruch mit Viebig darin Quellsäure nachgewiesen, wovon er sogar die gelbe Farbe ableitet, da selbst bei ganz dunkeln die Lösung kein Eisen zeigte!

Marmor.

Schon bei Homer heißt *μάρατος* jeder glizende (besonders bearbeitete) Stein, daher begreifen spätere, wie Plinius und andere, unter marmor die verschiedensten Felsarten, namentlich auch Granite. Gegenwärtig jedoch hat man den Namen bloß auf Kalksteine beschränkt. Obenan steht

5. Statuen-Marmor, Salinischer Marmor, älterer Mineralogen. Dieser verhält sich zum Doppelspath, wie Schnee zum Eise. Die reinsten sind vollkommen schneeweiß, nur in großen Stücken häufig durch Flecken und flammige Streifen verunreinigt. Der blättrige Bruch des feinen Kornes glänzt aus dem Innern heraus, die geschliffene Oberfläche hat daher nicht das matte Aussehen des Mabafters. Mit der Zeit vergilben sie, wie das die antiken Statuen, und die Marmorpaläste von Venedig, Genua, Florenz und Rom zeigen. Mögen auch solche zuckerkörnigen Gesteine in den kristallinischen Gebirgen Nordeuropas, der Alpen und Pyrenäen eine bedeutende Rolle spielen, so stehen doch noch heute Italien und Griechenland unerreicht da. Seit der römischen Kaiserzeit übertrifft der Lunensische (Carrarische) Marmor an blendender Weiße, Fleckenlosigkeit, Gleichheit und Härte des Kornes alle bekannten. Er bricht auf der Westseite der Apuanischen Alpen (6300'), die im Golf von Spezzia steil an das Meer treten. Viele Geologen halten ihn für metamorphosirten Kalkstein des Eias. Er enthält 0,4 Mg. Künstler aller Nationen haben hier ihre Werkstätte aufgeschlagen, um gleich an Ort und Stelle durch Bearbeitung im Rohen sich von der Brauchbarkeit und Fehlerlosigkeit der Blöcke überzeugen zu können. Große Magazine davon sind in Florenz, und man wird keine selbst der kleinern Hauptstädte Deutschlands besuchen, wo man nicht mehrere Denkmale aus diesem merkwürdigen Gesteine fände. Die Waterloo-Vase auf dem Trafalgar Plage ist 16' hoch und 10' breit, Napoleon sahe die riesigen Blöcke vor dem Russischen Feldzuge, und bestimmte sie zu einem Siegesdenkmal! Der Parische Marmor, das Material der griechischen Künstler in ihrer höchsten Blüthe, ist etwas grobkörniger, und (wohl nur in Folge dessen) nicht so blendend weiß. Er bricht auf der Insel Paros, die außer Gneis und Glimmerschiefer wohl zu drei Viertheilen aus diesem kostbaren Material besteht. Die Brüche waren meist unterirdisch, und sind jetzt durch König Otto wieder

eröffnet. Hohen Ruf genoß auch der Pentelische nördlich Athen, woraus die Akropolis gebaut ist; Adern von grünem Tuff durchziehen ihn. Solchen findet man häufig im Hochgebirge, die Alten wählten ihn gern zu Säulen, wie den Cipollino unserer Künstler, dessen Streifen mit den Häuten einer Zwiebel verglichen werden. Die sogenannten Kalkstücke im Urgebirge (Breithaupt Paragenesis 89) bilden besonders in Norwegen und Nordamerika die reichsten Fundstätten für Silikate, welche gleichsam darin „schwimmen“. Noch mannigfaltiger und minder kostbar ist

6. **Bunter Marmor (versicolor).** Ihn lieferten zuerst die Steinbrüche von Chios. Dieß sind nichts weiter als dichte Kalksteine mit flachmuscheligen Bruch. Doch nennt man nicht jeden Kalkstein Marmor: er muß sich entweder durch schöne Farben oder doch einen höheren Grad von Reinheit auszeichnen. Letzterer bildet, wie die Dolomite, plumpe Felsen, und findet sich besonders in Hochgebirgen oder ältern Formationen. Die Künstler bezeichnen ihn gern nach der Farbe: Marmo bianco (weiß), nero (schwarz wie der Aegyptische Luculleum durch $\frac{1}{2}$ pC. Kohle), rosso (roth neuerlich in Böotien gefunden), verdello (grün), giallo (isabellgelb); setzen auch wohl den Fundort zu, giallo de Siena. Wenn dieser aber nicht bekannt ist, wie das bei den Alterthümern Griechenlands und Italiens häufig vorkommt, so setzt man noch antico hinzu, was in Italien freilich oft, wie schon Ferber (Briefe aus Welschland) bemerkt, betrügerisch geschieht, um dadurch den Werth der Sache zu erhöhen. Es gibt auch vielfarbige mit flammigen Zeichnungen, wovon die Techniker das Wort „marmorirt“ entlehnt haben. In Deutschland ist der rothe Marmor vom Rübeland auf dem Harz, aus dem Fichtelgebirge bei Bayreuth, von Adneth bei Salzburg, am Untersberge bei Reichenhall (zur Walhalla verwendet) u. bekannt. Sonderlich stark braun- und gelbgeflammt kommen an den Gränzen der Böhmerze auf der Alp vor, sie werden zu Briefbeschwerern, Pfeifenköpfen u. benützt (Mineralogische Belustigungen 1770. V. pag. 202).

Muschelmarmor (Muschelle) nennt man die Kalksteine, worin die organischen Einschlüsse, hauptsächlich Muscheln, scharf hervortreten. Einen der schönsten bildet der Muschelmarmor von Bleiberg in Kärnthen. Zwischen zahllosen Muscheln des schwärzlichen Gesteins liegen Schalenrümmer von Ammoniten, die in den prachtvollsten Regenbogenfarben strahlen, besonders nach gewisser Richtung, wie die Perlmutterchale. In der Gegend von Ischl werden Ammoniten polirt, woran die Loben auf das Zierlichste hervortreten. Der Alttorfer Muschelmarmor ist ein bituminöser Kalk mit Ammonites communis, dessen Kammern sich mit Kalkspath erfüllt haben. Ueberhaupt wird der Effekt dieser Gesteine durch das späthige Gefüge der darin eingesprengten Petrefacten erzeugt. Die Alten kannten sie von Megara. Paris treibt großen Luxus in Marmor.

7. **Dichte Kalksteine** nehmen Thon auf, verlieren dann zwar an Schönheit, gewinnen aber gewöhnlich an Schichtung. Der berühmteste aller geschichteten findet sich zu Solnhofen an der Altmühl (Bayern) im obern Weißen Jura von bewundernswürdiger Gleichartigkeit: es ist ein homogener

Kalkschlamm mit ebenem Bruche, der auf Schuhweite dem Schläge folgt, man kann Platten von mehreren Quadratfuß gewinnen, die nicht den geringsten Fehler haben, die Bruchfläche mit der Hand überfahren erregt das sanfteste Gefühl. Am geschätztesten sind die blauen von Mürnsheim. Feine dienen zur Lithographie, kleine Fehler schaden nicht; größere zu Fußplatten, Dachziegeln zc. Die Ziegelplatten sind oft durch schwarze Dendriten, welche von einer Spalte aus sich blumig ins Gestein verbreiten, geschmückt. Diese Mangansfärbungen hielt man früher irrthümlich für Pflanzen, sie zogen daher in ungebührlichem Grade die Aufmerksamkeit der Geologen auf sich; heute betrachtet sie nur der Laie mit Wohlgefallen. Obgleich das Aeggen der Kalkplatten in Augsburg schon im 16ten Jahrh. bekannt war, so ist doch erst Senefelder 1796 der eigentliche Entdecker (Frischmann, Zusammenstellung foss. Ueberreste lith. Kalksch. Eichstädt Schulprogramm 1853. pag. 4).

8. Mergel (marga. Plin. 17. 4). Nimmt der Kalk immer mehr Thon auf, so verwittert und verfriert er um so leichter, das Product ist eine Mergelerde. Wir kommen so durch alle möglichen Abstufungen über den Lehm hinweg zu den Thonen. Von einer mineralogischen Classification darf hier nicht mehr die Rede sein, man kann sie nur chemisch festhalten. Viele derselben sind bituminös, namentlich wenn sie Petrefacten zum Bett dienen: so der berühmte Mansfeldische „Bituminöse Mergelschiefer“ der Zechsteinformation, von schwarzer Farbe, die er im Feuer verliert, und wegen seines Gehalts von Schwefelkupfer und Silber ein wichtiger Gegenstand des Bergbaues; Posidonienschiefer des Rias mit seinen harten Stinksteinplatten, der wegen seines Oeles mit hoher Flamme brennt, und in Schwaben technisch ausgebeutet wird. Noch fetter ist der Seefeld in Tyrol; Süßwasserkalke der Tertiärformation (Volca, Denningen, Aiz zc.) geben gerieben oder geschlagen wenigstens noch einen starken ammoniakalischen Geruch aber mit specifischer Eigenthümlichkeit von sich.

Ein besonderes Wort verdienen die Mergelknollen: rundliche Concretionen in allerlei mergeligen Gebirgsarten liegend. Viele erinnern an Kieselknollen, und bahnen den Weg zu den eigentlichen Feuersteinen. Andere sind aber wahre Mergel, wie die Imatrasteine, nach den Stromschnellen des Wuoren in Finnland benannt (Parrot, Bulletin Acad. Petersb. 1839, VI. 150), die in einem Lehm liegen, und wegen der welligen Petrefacten nachahmenden Form fälschlich für Petrefacten gehalten sind. Ehrenberg beschreibt ähnliche Dinge aus den Mergeln von Dendera in Aegypten (Abhandl. Berlin. Akad. 1840) und nennt sie Krystalloide, so wenig sie auch mit Krystallen gemein haben. Von besonderer Regelmäßigkeit sind noch die Schwedischen Marlekor (Leonhard's Jahrbb. 1850. pag. 34), die schon Linné als Tophus Ludus kannte, und die mährischen Laufasteine (Epochen der Nat. pag. 196). In deutschen Lehmgebildungen fehlen ähnliche Knollen nicht, z. B. bei Cannstadt, sind hier aber viel erdiger. Etwas eigenthümlicher Art ist der bekannte Florentiner Ruinenarmar, ebenfalls Nieren im tertiären Mergel des Arnthales. Man darf solchen Concretionen doch nicht zu große Wichtigkeit beilegen, und sie bis in alle Einzelheiten verfolgen wollen. Auch der chemische Gehalt

hat nur ein untergeordnetes Interesse, denn im Grunde gehören auch die Sandzapfen aus der Molasse Oberschwabens und Oberbayerns hierhin, die in den wunderbarsten zigenförmigen Auszackungen sich im Sande verbreiten. Wie die Stalactiten und die runzeligen Wülste gefrorenen Wassers sich bilden, so mögen auch diese Figuren im Erdbinneren zusammengefloßen sein, ohne daß dabei besondere Attractionsgesetze im Spiele waren.

9. Kreide, erdig und von schneeweißer Farbe, bildet im Norden ganze Felsenmassen. Sie besteht bei 300maliger Vergrößerung aus Körnern von elliptischem Umriß, wozwischen mikroskopische Schalen von Foraminiferen liegen (Ghrenberg Abhandl. Berlin. Akad. 1838 und 1839). Die Körner unorganischen Ursprungs sind wohl nichts weiter als ein feiner Kalkschliff des Urmeers. Der amorphe Zustand des Ca C. Montmilch (Bergmilch) kommt nesterförmig vor, ist kreideartig, aber weicher und zarter im Anföhlen. Manchmal erscheint sie als ein besonderer Niederschlag, dann aber auch wieder als ein Zersetzungsproduct. G. Rose fand einzelne Arragonitnadeln darin. Man muß sich hüten, sie nicht mit Infusorienerde zu verwechseln.

10. Kalktuff (Travertino, tofus Plin. hist. nat. 36. 48), ein grauer poröser erdiger Kalk, secundäres Product der Kalkgebirge, in deren Thalsohlen und Quellenabhängen er sich absetzt. In der schwäbischen Alp ist er öfter nichts als lebendig begrabenes Moos, daher das Zackige und unregelmäßige Löcherige. Feucht läßt er sich sägen (*dentata serra secatur*), und liefert unter Dach (*sub tecto dumtaxat*) ein leichtes, festes und trockenes Baumaterial. Der römische wird durch Verwitterung röthlich, was den „Denkmählern des Alterthums den Charakter der Majestät mittheilt.“ Auch Osteocolla (Weinbruch), meist Pflanzenwurzeln, die im tiefen Mergel oder Sandgrunde verfault und erdigen Kalk aufgesogen haben, möge man hier vergleichen. Spielte früher in den Officinen eine Rolle.

11. Dolith (Kogenstein), *Hammitis ovis piscium similis* Plin. hist. nat. 37. 80, bildet kleine regelmäßige Kugeln von Hirsekorn- bis Erbsegröße, sieht daher versteinerten Fischrogen sehr ähnlich, wofür man ihn früher hielt. Allein die Körner sind concentrisch schalig und excentrisch faserig, und ihre Aehnlichkeit mit Erbsesteinen ist zu groß, als daß man sie nicht für unorganische Bildungen halten müßte. Die mächtigsten Lager kommen im Braunen und Weißen Jura vor, oft von außerordentlicher Regelmäßigkeit der Körner, wie z. B. am Wartenberge südöstlich Basel. Sie liefern gute Bausteine. Ein anderes weniger mächtiges aber meist von größerem Korn findet sich im Bunten Sandsteine am Fuße des Harzes, die größern lösen sich bei der Verwitterung in kleinere Körner, auch gehen die Bänke stellenweis geradezu in Faserkalk über, so daß man sie für ein Product heißer Quellen halten möchte.

Erbsestein, im Thale des Karlsbader Sprudels mächtige Lager bildend, glänzt an der Oberfläche wie Erbse, ist sehr deutlich concentrisch schalig, und beim Zerschlagen findet man innen ein fremdartiges Korn, was ohne Zweifel zur Bildung die erste Veranlassung gab: der heftige Sprudel spielte mit dem Sande, um welchen sich der Kalk so lange concentrisch

ablagerte, bis die Erbsen, zu schwer, sank und sich zur Seite lagerte. Der Erbsenstein ist übrigens Arragonit. Eigenthümlich sind die Piselli del Vesuvio aus der Fossa Grande, aneinander gebundene Kugeln von der Größe einer Erbsen. In Mexicanischen Seen sollen sogar Insekteneier Veranlassung zu Dololithbildung geben.

Krystallinischer und dichter Kalk hat in hohem Grade die Eigenschaft, sich mit fremden Substanzen zu mischen. Vor allem durchdringt ihn die Kiesel-erde, und diese scheidet sich in Knollen oder in den Schalen der Thierreste aus; mit Säure behandelt gelatiniren solche Kasse. So führt Hausmann einen Braunksteinalk von Jhlesfeld an, krummblättrig und kohlschwarz von Braunkstein; einen Hämatokonit blutroth von Eisenoryd, und körnig blättrig, wie der dichte Marmo rosso antico; einen Siderokonit ochergelb von Eisenorydhydrat, wie der Rumidische Marmo giallo antico. Verschieden von solchen fremden Beimischungen sind dann diejenigen, welche als kohlen-saure Verbindungen hinzutreten, und verändernd auf die Form einwirken. Diese haben noch darum ein wissenschaftliches Interesse, da es bei den rhomboedrischen öfter den Anschein gewinnt, als könnte man aus der Form auf den Inhalt und umgekehrt schließen. Wir wollen diesen

Einfluß des Inhalts auf die Form

etwas näher auseinanderlegen. Man weiß, daß die reine Ca C einen Endkantenwinkel von $105^{\circ} 5'$, und die reine Mg C von $107^{\circ} 25'$ hat. Nun zeigt aber der Dolomithspath = Ca C + Mg C einen Endkantenwinkel von $106^{\circ} 15' = \frac{1}{2} (105^{\circ} 5' + 107^{\circ} 25')$, der also genau in der Mitte von beiden liegt. Darnach scheint es, daß beide gemäß ihrer Atomzahl in der Mitte zusammentreffen. Deudant (Lehrb. Mineral. übersetzt von Hartmann 1826. pag. 41) machte zuerst darauf aufmerksam.

Sind daher die Winkel w und w' zweier Stoffe bekannt, und weiß ich, welchen Winkel w'' das Doppelsalz hat, so kann ich daraus den Atomgehalt berechnen. Denn es ist

$$xw + yw' = w''; x + y = 1 \text{ oder } y = 1 - x, \text{ folglich}$$

$$xw + (1 - x)w' = w'', x = \frac{w'' - w'}{w - w'} = \frac{w' - w''}{w' - w}$$

Beispiel. Beim Dolomithspath habe ich $w'' = 106.5$ gefunden, und weiß aus qualitativer Analyse, daß nur Ca C = $w = 105.5$ und Mg C = $w' = 107.25$ darin ist, so wird

$$x = \frac{w' - w''}{w' - w} = \frac{107.25 - 106.5}{107.25 - 105.5} = \frac{1.0}{2.0} = \frac{1}{2},$$

folglich $\frac{1}{2}$ Ca C + $\frac{1}{2}$ Mg C vorhanden.

Wäre $w'' = 106.29$ gefunden, so gäbe

$$x = \frac{107.25 - 106.29}{107.25 - 105.5} = \frac{56'}{140'} = \frac{2}{5} \text{ Ca C,}$$

folglich muß $\frac{3}{5}$ Mg C dabei sein.

Spatheisenstein hat $107.6 \approx w$, Manganspath $106.51 = w'$.

Es zeigte aber der Spath Eisenstein von Ehrenfriedersdorf $107^{\circ} = w''$, und hatte außer $Mg \bar{C}$ keinen andern Bestandtheil, folglich ist

$$x = \frac{w'' - w'}{w - w'} = \frac{107 - 106 \cdot 51}{107 \cdot 6 - 106 \cdot 51} = \frac{1}{17} = \frac{1}{17} Fe \bar{C},$$

und es bleibt $\frac{16}{17} Mg \bar{C}$.

Man könnte hiernach sogar voraussagen, unter welchem Winkel eine bis jetzt noch nicht selbstständig krystallisirte Gestalt krystallisiren müßte. So soll Johnston's Plumbocalcit aus den alten Grubenhalben von Wanlockhead in Dumfriesshire zwar einem blättrigen Kalkspath durchaus gleichen, aber neben $92,2 Ca \bar{C}$ noch $7,8 Pb \bar{C}$ enthalten, von der Formel $31 Ca \bar{C} + Pb \bar{C}$. Nun fand Brewster, trotz des geringen Bleigehaltes, einen Endkantenwinkel von $104^{\circ} 53' 30''$, wäre dies richtig, so müßte

$$\frac{31 \cdot 105^{\circ} 5' + x}{32} = 104^{\circ} 53\frac{1}{2}', \quad x = 98^{\circ} 57'$$

sein. Das $Pb \bar{C}$, würde es dereinst rhomboedrisch gefunden, müßte also etwa 99° in den Endkanten haben.

Kohlensaurer Kalk ist dimorph: rhomboedrisch als Kalkspath und zweigliedrig mit besonderer Neigung zu Zwillingbildungen als Arragonit, und diesen beiden Typen folgt eine ganze Reihe Salze, deren Hauptglieder folgende sind.

Rhomboedrisch.

1. $Ca \bar{C} 105^{\circ} 5'$ Kalkspath;
2. $Mg \bar{C} 107^{\circ} 25'$ Bitterspath;
3. $Ca \bar{C} + Mg \bar{C}$ Dolomitspath;
4. $Fe \bar{C} 107^{\circ} 6'$ Spath Eisen;
5. $Mn \bar{C} 106^{\circ} 51'$ Manganspath;
6. $Zn \bar{C} 107^{\circ} 40'$ Zinkspath;

Zweigliedrig.

- $Ca \bar{C} 116^{\circ} 16'$ Arragonit.
- $Mg \bar{C}$ künstlich G. Rose.
- $Pb \bar{C} 117^{\circ} 14'$ Weißbleierz.
- $Ba \bar{C} 118^{\circ} 30'$ Witherit.
- $Sr \bar{C} 117^{\circ} 19'$ Strontianit.
- $Ba \bar{C} + Ca \bar{C}$ Aftonit.

2. Bitterspath Hausm.

Reine $Mg \bar{C}$ ohne Kalk, aber mit $Fe \bar{C}$, von Werner unter Kautenspath mit inbegriffen; wegen des stumpfen Winkels nannte es Mohs Brachytypes Kalkhaloid, Haibinger Breunnerit (Pogg. Ann. 11. 107), Stromeyer Magnesitspath. Ohne chemische Analyse und genaue Lokalkenntniß ist ein sicheres Erkennen nicht mehr möglich, und wir halten sie blos der Theorie wegen scharf auseinander.

$a = 1,233 = \sqrt{1,521}$, $lga = 0,09107$, $107^{\circ} 25'$ Endkantenwinkel.

Er wächst nur in glatten Rhomboedern mit deutlich blättrigem Bruch, zu Hall meist das 2te schärfere Rhomboeder $\frac{1}{2}a : \frac{1}{2}a$ mit Geradenfläche. Härte = 4, Gew. 2,9, Glanz stärker als bei Kalkspath, die aus dem Alpenischen Talsgebirge sind stark gelb gefärbt durch Eisenoxydhydrat.



Hauptsächlich zwei Vorkommen zu unterscheiden: der am leichtesten erkennbare findet sich im Steinsalzgebirge von Hall in Tyrol in Anhydrit (Hallit Leby I. 124) eingeprengt: kleine schwarze scharfe Rhomboeder mit Ge-

radendfläche, aber auch in großen späthigen Massen, die durch ihre Schwärze dem Anthracorit gleichen, aber mit Säuren nicht brausen, und durch ihre Geradendfläche sich verrathen. Stromeyer fand darin 89,7 Mg C, 8 Fe C, 2,4 Mn C, 0,11 Kohle. Schwerer zu unterscheiden sind die aus dem Alpinischen Hochgebirge, eingesprengt in Tals- und Chloritschiefer, es sind die um und um gebildeten einfachen Hauptrhomboeder, gewöhnlich von weingelber Farbe, durch das oxydirte Eisen, welches bei den Fassathälern auf 17 Fe C steigt. Die Mg C fällt dann zwar auf 83 p. C., allein der Kalk soll gänzlich fehlen, während die ganz gleich vorkommenden Dolomitspathe wieder bedeutende Mengen davon haben. Breithaupt (Pogg. Ann. 80. 512) bestimmte einen aus dem Serpentin vom Hofe Rosthuus bei Snarum zu 107° 28', der nur 0,78 Fe neben 47,3 Mg enthielt.

In kochender Salzsäure lösen sie sich leicht, und wenn man die Lösung mit Ammoniak neutralisirt, so gibt Oxalsäure keinen Niederschlag, wegen Mangel an Kalkerde. In Säuerlingen viel löslicher als Kalkspath. Das schwankende des Eisengehaltes fällt sehr auf und führt uns unmittelbar zum

Mesitinspath Breith., in Drusenräumen mit Bergkrystall und weißem



Dolomitspath zu Traversella in Piemont, bildet linsenförmige Krystalle, indem zum Blätterbruch P scheinbar noch das nächste stumpfere Rhomboeder mit starker Diagonalfstreifung kommt, in Folge

von treppenförmigem Zurücktreten des Hauptrhomboeders. Die gelblich braune Farbe nähert ihn schon dem Spath Eisenstein. Das höhere Gewicht 3,4 rührt vom Eisen. Stromeyer gab darin Mg C + Fe C an, was 56 Fe C geben würde; Fritzsche fand nur 48 Fe C, d. h. 2 Mg C + Fe C. Immer aber bleibt er Vermittler zwischen Bitterspath und Spath Eisenstein (*mesitins*). Dagegen fand sich zu Thurnberg bei Flachau im Salzburgischen ein stark gebräuntes Fossil mit 107° 18' in den Endflanten, was nun Mg C + Fe C sein soll, und daher von Breithaupt Carbonites Pistomesites (Pogg. Ann. 70. 545, *πιστομέσις* gewiß) genannt wird. Es sind dieß alles Eisenbitterspätze, die geglüht dem Magnete folgsam werden, aber stark verknistern. Die Salpetersäure-Lösung gibt mit Ammoniak einen starken Niederschlag von Fe, Oxalsäure keinen wegen des Mangels an Kalk, dagegen Phosphorsaures Natron beim Zusatz von Ammoniak einen weißen krystallinischen Niederschlag von basisch phosphorsaurer Ammoniak-Kalkerde (Struvit).

Magnesit heißt die dichte Mg C, mager, nicht selten von schneeweißer Farbe, erdig oder homogen wie Kalkstein, Gew. 2,8—3, Härte 0—5. Mit Meerschäum und Serpentin in engster Beziehung, wenigstens scheint er durchgängig ein Verwitterungsproduct aus Silicaten zu sein. Daher neben Kohlensäure auch noch Kieselerde, denn opake Stücke in Säure geworfen werden unter Entwicklung von C gallertartig durchsichtig, indem die Kieselerde (in Verbindung mit etwas Tallerde) zurückbleibt. Hier hat sich die C noch nicht der ganzen Base bemächtigt. Doch findet man an denselben Fundorte Stücke, die in heißer Säure plötzlich auseinanderfahren und sich vollkommen lösen,

in solchen von Baumgarten, die Gänge im Serpentin bilden, fand Stromeier 50,2 C, 47,3 Mg, 1,4 H. Dieselben sind zuweilen so rein, daß Scheerer und Marchand (Journ. prakt. Chem. 1850. L. 333) darnach das Atomgewicht des Magnesium bestimmen konnten. Da nun auch der Serpentin und Meerschaum Kohlensäure aufnimmt, so ist ein vollkommener Uebergang unlösbar, zumal da das Serpentinegebirge von Schlesien (Baumgarten), Mähren (Grubschitz), Steiermark (Kraubat) u. das Muttergestein bildet. Die Mährischen gleichen zum Theil einem dichten Kalkstein von gelblicher Farbe, aber brausen nicht in kalter Säure. Kieselmagnetit aus dem Serpentin von Valdiffero und Castellamento in Piemont soll 12 H, 14,2 Si, 26,3 Mg und 46 C haben. Ausgezeichnete schneeweiße Knollen in den Spalten des Basaltes von Sasbach am Kaiserstuhl.

3. Dolomitpath.

Seine ideale Formel $\text{Ca C} + \text{Mg C}$ bildet die Mitte zwischen Kalk- und Bitterspath, Hausmann nannte ihn daher nicht unpassend Bitterkalk. Ursprünglich wurde der Name zu Ehren Dolomieu's in Saussure's Alpenreise für Gesteine gebraucht, allein da sich in deren Drusenhöhlen unsere Krystalle finden, so ist eine Uebertragung des Namens nothwendig geworden. Uebrigens mischt sich die Bittererde mit der Kalkerde in so mannigfachen Graden, daß auch hier eine scharfe Trennung unmöglich scheint.

$$a = 1,2016 = \sqrt{1,444}, \lg a = 0,07975, 106^\circ 15' \text{ Endl.}$$

Die einfachen Rhomboeder kommen eingeprengt im Chloritschiefer der Alpen vor, und sind dann schwer von den gleich gelagerten Bitterspathen zu unterscheiden, nur pflegen sie wegen geringeren Eisengehalts ungefärbter zu sein. Werner vermischte alle unter dem Namen Kautenpath, auch Bitterspath wird für sie gebraucht. Leichter zu unterscheiden sind dagegen die Exemplare von Drusenräumen, wie die prachtvollen einfachen und Zwillingkrystalle von Traversella. Das Hauptrhomboeder hat sehr glänzende Flächen, was beim Kalkpath nicht leicht vorkommt, dazu gesellt sich an den Ranten die 2te Säule und der gewöhnliche Dreikantner $a : \frac{1}{2}a : \frac{1}{2}a$. Dufrenoy maß auch das nächste stumpfere Rhomboeder $2a' : 2a' : \infty a$ $135^\circ 57'$ und das nächste schärfere $\frac{1}{2}a' : \frac{1}{2}a' : \infty a$ $77^\circ 22'$, was genau zum Hauptrhomboederwinkel stimmt. Sella (Mem. Acad. Torino. 1856. XVII) gibt die erste Säule $a : \frac{1}{2}a : a : \infty$, Rhomboeder $\frac{1}{2}a : \frac{1}{2}a$, $\frac{1}{2}a' : \frac{1}{2}a'$, $\frac{1}{2}a : \frac{1}{2}a$, Dreikantner $\frac{1}{2}a : \frac{1}{2}a : \frac{1}{2}a$, und besonders verwickelte Zwillinge an, welche die Geradenfläche gemein haben. Etwas härter 3—4 und schwerer 2,85—2,9 Gew. als Kalkpath.

In kalter Salzsäure entwickeln größere Stücke nur wenige Blasen, das unterscheidet ihn leicht vom Kalkpath, während die ammoniakalisch gemachte Lösung sowohl mit Oxalsäure (Kalk), als mit phosphorsaurem Natron (Magnesia) einen Niederschlag gibt. Auch fehlt es gewöhnlich nicht an etwas Fe und Mn. Je nach dem Vorkommen hat man viele Varietäten zu machen.

Die glattflächigen Rhomboeder kommen eingeprengt in dem Kalk- und Chloritschiefer des Alpenischen Hochgebirges, oder auf Gangklüften

mit Bergkry stall in Tyrol, der Schweiz, Piemont u. vor. Zu Traversella brechen sie mit Mesitinspath. Besonders wichtig sind die kleinen Krystalle in Drusenräumen der Dolomittfelsen. Lokalnamen wie Tharandit von Tharand in Sachsen, und der ältere Micmit von Miemo in Toskana erregen kein Interesse.

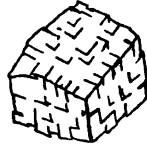
Dolomittfelsen, zuerst in der Schweiz von Dolomieu (*Journ. phys.* 1791) ausgezeichnet, der darunter jene weißen Gebirgsarten von feinem sandartigem Korn, das gleich dem Cipollino pag. 413 von Streifen grünen Talkes durchzogen wird, verstand. Bei Campolongo und im Winnenenthal (*Hugard Compt. rend.* 1858. 47. 1861) das Muttergestein der seltensten Minerale. Vieler sogenannter Urkalk ist mehr oder weniger dolomitisch. Besonderes Interesse bekam der Dolomit des Flözgebirges durch die klassische Arbeit L. v. Buch's (*Abh. Berl. Akad.* 1822), diese Felsen pflegen mehr gelblich durch Eisenoxyd (Fassathal), oder grau und dunkelfarbig durch Bitumen (Muggendorf) zu sein. Sie haben ebenfalls ein feines Zuckerkorn, und sind von Drusenräumen durchzogen, in welchen kleine aber sehr deutliche Rhomboeder liegen. Wegen ihres mageren Anfühlens hat sie der Bergmann Raufkalk genannt, und in England heißen sie nach ihrem Gehalt *Magnesia-Limestone*. Sie sind häufig von Höhlen durchzogen, denn viele werden durch Verwitterung so mürbe, daß man sie mit dem Finger zerdrücken kann. Dadurch entsteht Dolomitsand. Kein Gestein ist zu kühnen Felsenbildungen geneigter, als dieses: im Fassathal finden sich 2000' hohe Steinwände; historisch berühmt der Dolomitpaß von Pancorbo nordöstlich Burgos, der aus dem Ebro- in das Duerogebiet führt; im kleinen aber kühnen Maßstabe finden wir es in der fränkischen Schweiz (Wiesenthal).

Dichter Dolomit vom Aussehen des Kalksteins theils mit ebenem, theils mit splittrigem Bruch, aber braust nicht stark mit Säure und ist schwerer als Kalk. Zu Aggsbach ohnweit Gurhof (Land unter der Enns) und Grubschitz kommt er im Serpentinegebirge vor (Gurhofian 30 Ca, 22 Mg, 16 C). Die dichten Steinmergel des Keuper mit fein splittrigem Bruch enthalten 41 Ca C, 25 Mg C. Ja die Bittererde scheint so verbreitet, daß man ähnliche Gesteinsreihen, wie beim Kalkstein aufstellen könnte, noch in den jüngsten Kalkbildungen, den tertiären Süßwasserkalken, fehlt sie nicht: bei Dächingen (Oberamt Ehingen) auf der Alp findet sich ein zerreibliches Gestein, aus welchem eine schneeweiße Kreide abgeschlämmt wird, die nach Dr. Reube (*Reonh. Jahrb.* 1840. pag. 373) 45 Mg C auf 54 Ca C enthält, also ein normaler Dolomit ist. Man merkt dies auch schon mit Säure, da sie nicht so stark als Kreide braust. Es kommen in dem Zechstein auch oolitische Bitterkalle vor und was dergleichen mehr.

Der Bittererbegehalt der Kalksteine wechselt außerordentlich, und man kann das durch chemische Formeln nicht festhalten. Die meiste dieser Bittererde hat das Gebirge wohl gleich aus dem Urmeer bekommen, welche die Niederschläge erzeugten. Andere Male gewinnt die Sache jedoch den Anschein, als wäre Bittererde dem Gebirge erst durch irgend eine Weise zugeführt: ältere Hypothesen sagten, aus dem Innern der Erde, wo das Central-

feuer wahrscheinlich so heiß sei, daß mit Hilfe glühender Wasserdämpfe Magnesia verflüchtigt werden könnte, was directen chemischen Versuchen gerade nicht widerspricht, denn Durocher (Compt. rend. 33. 64) konnte Chlormagnesium in glühendem Flintenlauf verflüchtigen und aus Kalkstein eine Art Dolomit erzeugen. Dagegen hat Morlot (Saibinger, Naturwiss. Abh. Wien. 1847) geltend gemacht, daß wenn man unter einem Druck von 15 Atmosphären Bittersalzhaltiges Wasser ($Mg\ S$) über Kalkspath gieße, so bilde sich Gyps ($Ca\ S$), also auch $Mg\ C$, die dann mit $Ca\ C$ zusammen krystallisiren könnte. Das Experiment fällt auf; da bei gewöhnlichem Luftdruck der Prozeß bekanntlich umgekehrt ist: Dolomit wird durch Gypswasser zersezt, es bildet sich $Ca\ C$ und Bitterwasser geht fort, weil Bittersalz löslicher als Gyps ist. Letztere Zersezung geschieht besonders lebhaft, wenn man den Dolomit vorher glüht, und aus der Luft wieder Kohlensäure anziehen läßt, worauf neuerlich eine Methode zur Bittersalzbereitung gegründet ist.

Braunspath Werner, eines der merkwürdigsten Minerale der Erzgänge; Bitterkalk, der wegen seines bedeutenden Gehaltes an Eisen und Mangan den Uebergang zum Spath Eisenstein bildet, daher durch Verwittern auch leicht braun und schwarz wird, was der Name andeutet. Rhomboeder gewöhnlich **sattelförmig** gekrümmt, weil sie trotz ihrer geringen Größe aus lauter kleinen ungefähr parallel nebeneinander gelagerten Individuen bestehen. Sie sind daher selten meßbar. Wenn andere Formen vorkommen, so krümmen sich auch diese zu **Nieren- und Garbenförmigen** Gestalten. Der Glanz ist häufig stark perlmutterartig (Perlspath). Härte und Gewicht weicht nicht wesentlich vom vorigen ab, nur was der größere Erzgehalt mit sich bringt.



Auf Erzgängen überkrusten sie alles, was im Wege liegt, besonders Kalkspath, Quarz und Flußspath, aber mit so dünner Rinde, daß die Krystallform darunter noch kenntlich bleibt. An Kalkspäthen ordnen sich die kleinen Braunspathrhomboeder immer so, daß der Spiegel des blättrigen Bruchs mit dem des Kalkspaths fast zusammenfällt. So kamen sie außerordentlich schön auf der Silbergrube Wenzel im Schwarzwalde vor. Häufig widersteht nun der Braunspath den Zersezungsprozessen mehr als die Unterlage, dann entstehen Krystallhöhlen, die zu den sogenannten „Verdrängungs-Pseudomorphosen“ den Anlaß geben, aber kein sonderliches Interesse weiter bieten. Auffallend sind außerdem die verschiedenen Niederschläge auf einer Stufe: man kann nicht selten dreierlei bestimmt von einander gefonderte Varietäten erkennen, dazu nimmt denn wohl noch der Kalkspath etwas im Ansehen von ihnen an, so daß eine ganze Gangformation im Kleinen uns vor Augen gelegt ist. Diese Bildung mit so schlagenden Kennzeichen zeigt sich auch in Drusenräumen des Flözgebirges, besonders in Kammern von Ammoniten, die nur auf nassem Wege erzeugt sein können, was ein bedeutendes Licht auf die Entstehung der Erzgänge wirft.

Vor dem Löthrohr brennen sie sich schwarz, auch die weißen thun dies,

obgleich im mindern Grade. Es gehört aber ein nicht gewöhnlicher Eisengehalt dazu, wenn die gebrannten Stücke dem Magnete folgen sollen. Man gibt ihm die Formel $(\text{Ca}, \text{Mg}, \text{Fe}, \text{Mn}) \text{C}$. In kalter Salzsäure braust er nicht, neutralisirt man die Lösung mit Ammoniak, so fällt Schwefelammonium Eisen und Mangan als Fe S und Mn S . Der Eisen- und Mangan-gehalt ist sehr verschieden, denn manche werden durch Verwitterung ganz schwarz, wie Spath Eisenstein. Von festen Gränzen kann nicht die Rede sein.

Sattelförmige Krystalle unter allen die verbreitetsten und gewöhnlichsten. Der stängliche hat gern nieren- und traubenförmige Oberfläche. Zu Kapnik und Schemnitz kommen eigenthümlich safrige vor. Blättriger Braunsparth in derben etwas krummflächigen Stücken, die zwar Kalksparth auffallend gleichen, aber viel schwächer brausen. Dazu gehören besonders die rothen von Freiberg. Haibinger's Ankerit, der auf den Lagern des Spath Eisensteins von Steiermark (Eisenerz) häufig gestreifte Zwillinge mit Wiederholungen macht, hat schon $35,3 \text{ Fe C}$, 3 Mn C , $11,8 \text{ Mg C}$, 50 Ca C . Der dortige Bergmann nennt den oft kaum gefärbten Sparth Rohwand, Wandstein. Total mag man das unterscheiden, aber Mineral-species darf man daraus nicht machen.

4. Spath Eisenstein Fe C .

Eisensparth, Siderit (*σίδηρος* Eisen), Sphärosiderit, Chalybit, Fer carbonaté.

$$a = 1,2246 = \sqrt{1,5}, \lg a = 0,08800, 107^\circ 6' \text{ Endl. Wollaston.}$$

Selten etwas anderes als das Hauptrhomboeder $c : a : a : \infty a$ und das nächste stumpfere $c : 2a' : 2a' : \infty a$, und auch diese gern krummflächig. Zuweilen reguläre sechsseitige Säulen mit Geradenfläche und Dreikantner $c : a : \frac{1}{2}a : \frac{1}{2}a$, Levy beschreibt von Cornwallis sogar ein scharfes Rhomboeder $e^{\frac{1}{2}} = \frac{1}{2}a' : \frac{1}{2}a'$, Breithaupt an Kobensteinern ein Ditetraeder $c : \frac{2}{3}a : \frac{2}{3}a : \frac{2}{3}a$. Das unveränderte Erz sieht zwar lichtfarbig aus, allein durch die leichteste Verwitterung tritt gleich ein opakes Gelb und Braun ein, das sich bis ins Braunschwarze steigert, was in der Erkennung sehr leitet. Glanz und Härte 4 nicht bedeutender als bei den Bittererdehaltigen Rhomboedern, dagegen deutet das höhere Gewicht 3,8 auf eine Metallbasis.

Vor dem Löthrohr brennen sie sich daher nicht blos schwarz, sondern folgen auch dem Magnete, und fast alle zeigen eine starke Reaction auf Mangan, das sich in den seltenen Vorkommen von den Zinnsteingängen zu Ehrenfriedersdorf im Erzgebirge auf $25,3 \text{ Mn}$ steigert, was etwa zur Formel $3 \text{ Fe C} + 2 \text{ Mn C}$ führt. Im Durchschnitt haben sie aber viel weniger, 10 p. C. das berühmte Erz von Stahlberg bei Müsen im Siegenschen und Neudorf auf dem Unterharz, also etwa $4 \text{ Fe C} + \text{Mn C}$, während der Sphärosiderit von Steinheim bei Hanau nur $1,9 \text{ Mn}$ hat, also fast reines Fe C ist. Außer Mangan kommt auch Ca und Mg vor. Die schönen Krystalle von Neudorf enthalten $7,6 \text{ Mg C}$ und $5,4 \text{ Ca C}$. Rolle spielt die Tallerde in den Spath Eisensteinen des Hochgebirges, die von Allevard Dep. Isere haben

15,4 Mg, und führen dann zum Mesitinspath pag. 418. Kalkerde wird meist in geringern Portionen angegeben. Wenn man nun bedenkt, wie oft Analysen, selbst bewährter Chemiker, zu auffallend andern Resultaten führen, so kann von einer sichern Feststellung nicht die Rede sein.

Das Hauptgewicht beruht auf dem Mangangehalt, und da sich das Mineral in kochender Salzsäure leicht löst, so darf man die Lösung nur schwach ammoniakalisch machen, so fällt Schwefelammonium Schwefeleisen und Schwefelmangan. Das frische Erz sieht immer lichtfarbig aus, allein durch Verwitterung und besonders durch den Einfluß von Regen und Sonnenschein wird es bald braun, und zuletzt bei bedeutendem Mangangehalt ganz schwarz: es werden Austerkrystalle von Manganhaltigem Brauneisenstein. Die Arbeiter nennen es in diesem Zustande reif, und die mächtigsten Gänge sind auf solche Weise zersetzt worden. Bei Gängen, wo die Erze noch nicht reif sind, schüttet man dieselben auf Haufen und läßt sie Jahrelang verwittern.

Späthige kommen in sparsamer Menge auf Erzgängen vor, wie die schönen Krystalle von Neudorf, Stollberg, Lobenstein etc. Dieselben haben jedoch gewöhnlich eine körnige Erzmutter, die den Gang in größern Massen erfüllt, und die dann zu mächtigen Bergstöcken anschwellen kann, wie das weiße unreife Erz vom Stahlberge bei Mäßen im Grauwackengebirge und das schwarze reife vom Knappenberge bei Hüttenberg in Kärnthen. Der Erzberg bei Eisenerz in Steiermark, 2,600' über der Thalsohle, besteht zwischen Uebergangsgebirge und buntem Sandstein bis zu 90 Klafter aus diesem wichtigen Erz, daher rühmt schon Plinius das Norische Eisen, und noch heute genießt Steiermark in der Eisenhüttenkunde eines hohen Rufes. Da es in Deutschland kein besseres Eisenerz gibt, so wird es allgemein als Stahlerz ausgezeichnet. Bei mächtigen Stöcken erreicht das Korn die Feinheit des Marmor.

Sphärosiderit hat Hausmann die schwarzen feinkörnigen Massen von Steinheim bei Hanau genannt, Blasenräume im Basalte erfüllend. Darin bilden sich strahlig fafrige und krummblättrige Parthieen mit halbkugelter Oberfläche aus, die zu dem Namen veranlaßten.

Thoneisenstein (thoniger Sphärosiderit) heißt die dichte homogene durch Thon verunreinigte Masse, welche plattig und in Geoden besonders zwischen dem Schieferthon der jüngern Steinkohlenformation sich einlagert. Unverwitterte gleichen einem fahlgrauen Steinmergel, durch Verwitterung werden sie aber braun und roth. Schon das höhere Gewicht, was meist über 3fach hinausgeht, läßt ihren Werth vermuthen. Geoden pflegen reicher zu sein, als zusammenhängende Platten. Im Durchschnitt geben sie 33 p. C. Eisen, das aber zur Stahlbereitung nicht brauchbar ist. Lebach und Börschweiler im Saarbrück'schen sind reich. Aermlicher sind die Geoden in der Jura- und Kreideformation. Diesem unscheinbaren Steine verdankt England in Verbindung mit dem reichen Brennmaterial einen wesentlichen Theil seines industriellen Uebergewichts. Thoneisenstein kommt in dem Kohlengebirge von Südwallis, Dudley und Glasgow gerade nicht im Uebermaß, aber doch in

genügender Menge vor, so daß England mehr Eisen erzeugen kann als die ganze übrige Welt. 1853 gewann es in 400 Hochöfen 50 Millionen Centner Roheisen, 1860 sogar 80 Millionen im Werth von 12 Millionen Pfund Sterling. In Schottland allein wurden 1852 in 143 Öfen über 15 Mill. Centner producirt, der Centner kostete 1851 ungefähr $\frac{2}{3}$ Thlr. oder 1 fl. 11 fr. Im Elbde=Thal zählt man 64 Schichten übereinander. Besonders verunreinigt aber sehr lagerhaft ist das Schottische

Blackband (Kohleneisenstein), beliebig gemengt mit Schieferthon und Kohle, aber sehr arm an Mangan. Bei Bochum in Westphalen werden die Flöze 16"—66" mächtig, wurden lange übersehen und mit verhärtetem Schieferthon verwechselt. Manche halten 50—78 p. C. dichten Spatheisen.

Mischt sich zu den Krystallen Mg C, so knüpfen sie an den Mesitinspath an, wie Breithaupt's Sideroplesit aus dem Grünstein des Voigtlandes. Gew. 3,6, Endkantenwinkel $107^{\circ} 6'$, Zusammensetzung $\text{Fe}^2 \text{Mg C}^2$.

5. Manganspath Mn C.

Nicht zu verwechseln mit Mangankiesel pag. 260, nach seiner Farbe rother Braunstein, Rosenspath, Rhodochrosit genannt. Diallogit.

$$a = 1,204 = \sqrt{1,483}, \lg a = 0,08057, \text{Endf. } 106^{\circ} 51' \text{ Phill.}$$

Das nächste stumpfere Rhomboeder $c : 2a' : 2a' : \infty a$ nicht selten, auch ein Dreikantner $c : a : \frac{1}{2}a : \frac{1}{2}a$ wird angeführt. Je rosenrother die Farbe, desto reiner mögen sie sein, doch kommen auch rosenrothe Kalkspathe, die aber stark brausen. Härte 4, Gew. 3,5.

Findet sich nicht häufig. Chemisch scheint nur der dunkelrothe von Vieille in den Pyrenäen mit 97 p. C. Mn C ächt zu sein, schon die schönen auf den Goldgängen von Kapnik und Nagypag in der nördlichen Gebirgsgränze von Siebenbürgen gehen auf 90 p. C. herab, ja die Freiburger erreichen nicht einmal so viel. Farbe und sattelförmige Krystalle spielen in den Braunspath über, wozu an letztem Orte die Beimischungen an Fe, Ca und Mg beitragen. Auffallender Weise wird in den Ungarischen gar kein Fe. angegeben, wohl aber an 10 Ca C, daher pflegt man sie auch (Mn, Ca) C zu schreiben, während die Freiburger mehr Manganhaltige Braunspathe sein dürften. Wie diese zeigen sie dann auch Neigung, nierenförmig sich auszubilden. Solche Sachen sondern sich schalig ab, auch mischen sie sich, wie z. B. am Büchenberge bei Elbingerode, mit kiesel-saurem Manganorpydul, welchen Werner ursprünglich Manganspath nannte.

6. Galmei Zn C.

Calamine, Gialla mina gelbes Erz. Zinkspath. Man darf ihn nicht mit Kieselzinkerz pag. 369 verwechseln, das Werner auch zum Galmei rechnete.

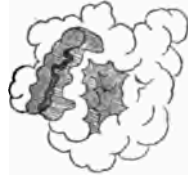
$$a = 1,24 = \sqrt{1,538}, \lg a = 0,09348, \text{Endf. } 107^{\circ} 40' \text{ Wollast.}$$

Schwer meßbar, weil der blättrige Bruch selten große Ausdehnung hat, auch sind die Krystalle rauhfächig. Es kommen schärfere und stumpfere Rhomboeder vor nebst der 2ten Säule, welche die Seitenkanten des Rhomboeder abstumpft. Diese Krystalle sammeln sich in kleinen Drusenräumen

der Zinkhaltigen Gebirgsmasse. Ihr Glanz stark, Härte 5 und Gewicht 4,45, so daß die Hauptkennzeichen das Maximum der ganzen rhomboedrischen Gruppe erreichen. Farbe nicht lebhaft.

Vor dem Löthrohr schmilzt es nicht, der Zinkgehalt läßt sich aber sogleich an dem schönen grünlichen Lichte erkennen, und die Kohle zeigt einen Zinkbeschlag, der kalt wie weißgraue Asche aussieht, warm aber gelblich ist, und beim Daraufblasen leuchtet. Schon in kalter Salzsäure werfen sie viele Blasen, wodurch sie sich von Kieselzinkerz leicht unterscheiden. Die reinen Abänderungen haben 65 Zn und 35 C. Allein es kommt öfter etwas Fe, Mn und Pb, da Bleiglanz die Erze gern begleitet. Selten ein kleiner Gehalt an Cadmium, nur in dem wachsgelben von Wiesloch fand sich 3,36 p. C. Cd C, solcher Cadmium-Zinkspath vererzt sogar die Muschelschalen (Jahrb. 1858. 200).

Traubiger Galmei von weißlicher und grünlicher Farbe, welche das Gestein zellig macht, pflegt am reinsten zu sein. Durch die krumme Oberfläche scheint der Blätterbruch durch und da der Querbruch feine Fasern zeigt, so mag auch hier, wie beim strahligen Kalkspath, die Faser der Säulenrichtung entsprechen. Die edlen krystallinischen und traubigen Auscheidungen werden vom feinkörnigen und dichten Galmei umhüllt. Dasselbe hat häufig ein dolomitisches, aber stärker glänzendes Aussehen, ist nicht selten durch Eisen oder braun und roth gefärbt, kann aber stellenweis schneeweiß wie Magnesit werden (Kärnthen, Tyrol). Dieses dichte durch Beschreibung wegen seiner vielen Modificationen kaum festzustellende Gestein liefert in Verbindung mit Kieselzink das wichtigste Zinkerz. Das berühmteste bricht im Muschelkalk von Tarnowitz in Oberschlesien, der daher das meiste Zink in Europa liefert: der Galmei bildet ein mächtiges Lager zwischen Sohlen- und Dachgestein (Epochen der Natur pag. 493), letzteres ist dolomitisch. Preußen gewinnt hier allein gegen $3\frac{1}{2}$ Millionen Centner Schmelzerz im Werthe von 8 Silbergroschen den Centner, die im Durchschnitt 18—19 p. C. Rohzink geben. Bei guten Zinkpreisen (pro Centner 6 Thlr.) können noch Erze von 6 p. C. Gehalt mit Vortheil verschmolzen werden, während der beste Stückgalmei 40 p. C. gibt. Auch bei Wiesloch am Südrande des Odenwaldes kamen reiche Anbrüche im Muschelkalk vor, die im weißen Galmei 50 p. C. Zink lieferten. Im Uebergangsgebirge von Aachen (der Altenberg) bildet das Erz eine große Linse, vereinzelte Lager gehen noch längs der Maas tief nach Belgien hinein. In England sind besonders die Mendip-Hills südlich Bristol berühmt, anderer Punkte wie Raibl und Bleiberg in Kärnthen u. nicht zu erwähnen. Die Alten sollen es unter *xadula* verstanden haben. Früher benutzte man das eisenfreie geröstete Erz gleich zur Messingfabrikation, schon Aristoteles sagt, daß das Messingbleische Erz glänzend sei vermöge einer Erde, womit Kupfer zusammengeschmolzen werde. Gegenwärtig stellt man aus dem gerösteten Erz erst das regulinische Zink dar. Durch die Röstung wird C und Wasser ausgetrieben, das Gestein mürbe gemacht, setzt man nun Kohle zu, so reducirt dieselbe das Zinkoxyd. Da aber Zink in der Hitze flüchtig



ist, und sich leicht an der Luft wieder oxydirt (Iana philosophica bildet), so muß die Destillation in verschlossenen Gefäßen vor sich gehen. Die ersten Portionen setzen ein braunes Oxyd ab (braun durch den größern Cadmiumgehalt), weil das Cadmium flüchtiger als Zink ist. Cadmium wird als Farbmateriale benutzt.

Zinkblüthe $\text{Zn}^3\text{C} + 3 \text{H}$ mit 71 Zn, 13 C, 16 H scheint ein Zersetzungsproduct, das schneeweiße Kügelchen auf dem Gestein bildet. Die von Drawiza im Banate haben einen seidenglänzenden Faserbruch, und bilden stellenweis kleine Strahlen und Fasern, welche an Pharmalosith erinnern. Kapnit nannte Breithaupt einen Eisenzinkspath (Zn, Fe) C, der am Altenberge bei Aachen vorkommt, oft mit Brauneisen überzogen ist, Endkanten $107^\circ 7'$. Kupferhaltig ist Herrerit; Aurichalcit von Matlock hat sogar neben 42 Zn noch 32 Cu.

Merkwürdiger Weise enthalten auch mehrere Pflanzen der Galmeygebirge Zink (Pogg. Ann. 92. 178): das Galmeyveilchen (*Viola calaminaria*) bei Aachen ist constant an den Galmeyboden geknüpft, „daß selbst bergmännische Versuche auf die bloße Anzeige dieses Veilchens mit Erfolg unternommen worden sind.“

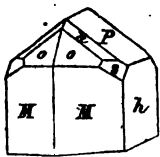
7. Arragonit.

Werner nannte ihn Arragon, weil die ersten Krystalle aus dem Gypse und den rothen Mergeln von Arragonien (Molina) am Südschwanze der Pyrenäen kamen, die bereits Romé de l'Isle 1772 unter dem Kalkspath aufführt. Neuerlich Arragonit geschrieben. Laproth wies darin 1788 den Ca C nach, zwar fand Stromeyer 1813 noch einen kleinen Gehalt an Sr C, allein nicht in allen, und das Mineral wurde daher bald ein Hauptbeweis für Dimorphismus.

Zweigliedriges Krystallsystem mit vorwiegender Zwillingbildung. Geschobene Säule $M = a : b : \infty c$ $116^\circ 16'$ herrscht vor, daran fehlt selten die Abstumpfung der scharfen Kante $h = b : \infty a : \infty c$, an ihren Querstreifen erkennbar. Ein auf die scharfe Säulenkante aufgesetztes Paar $P = b : c : \infty a$ $108^\circ 28'$ (Hauy nahm für dieses genau den Winkel des regulären Ottaeders $109^\circ 28'$), daraus findet man

$$a : b = 0,863 : 1,388 = \sqrt{0,7447} : \sqrt{1,927};$$

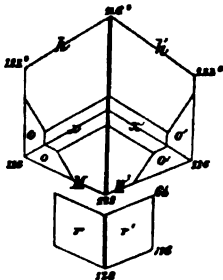
$$lga = 9,93600, lgb = 0,14246.$$



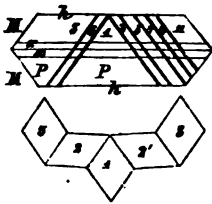
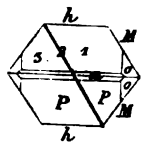
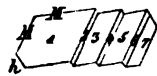
Den Böhmischen fehlt das Ottaeder $o = a : b : c$ selten, ist aber etwas rauh; $s = a : c : \frac{1}{2}b$; $n = b : c : 2a$; häufig über P noch $x = c : 2b : \infty a$; auch die vordere Kante o/o wird durch $u = a : c : \infty b$ abgestumpft; selten über n in der Diagonalzone von x noch $g = \frac{1}{2}a : b : \frac{1}{2}c$, welche Graulich bei Forsthenz nachwies. An Spanischen gibt Hauy ein Paar $i = c : \frac{1}{2}b : \infty a$, welche mit M zusammen ein einfaches Oblongottaeder machen; gewöhnlich herrscht aber bei diesen die Geradenfläche $r = c : \infty a : \infty b$, welche alle andern Endflächen verdrängt. Sehr eigenthümlich sind die spießigen Krystalle (Hauy's Var. apotome),

besonders schön auf dem Spatheisensteinlager des Ibergess bei Grund am Oberharz, in der Serpentinbreccie des Aostathales. Haüy nahm sie als scharfe Octaeder $a : b : c$, mit dem Paare $c : \frac{1}{2}b : \infty a$, allein von scharfen Messungen wird kaum die Rede sein können: es sind vielleicht nichts weiter als bauchige Säulen, daher sieht man öfter auch Zwillinge darunter. Die Verticalzone der Aze a zeigt noch l 032, v 031, e 051, q 061; Tarnowitzit 112, 123, 126, 215, 243, 425, sogar w 25 · 27 · 24 und z 25 · 27 · 2 (Webster Zeitschr. deutsch. geol. Ges. 1857. 9. 77).

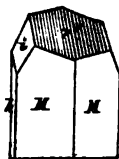
Zwillinge haben die Säule gemein, und liegen umgekehrt. Am leichtesten kann man sie bei den blaß weingelben aus Böhmen studiren, die für den Optiker so wichtig geworden sind. Wir nehmen dabei den Säulenwinkel 116° . Durch das Hinzutreten von h hat sich die Fläche zwischen den beiden Individuen ausgefüllt, und $h h'$ muß wieder den Säulenwinkel einschließen. Dagegen convergiren $h' M$ und $h M'$ unter 6° über dem Säulenwinkel von 116° , denn $128^\circ + 116^\circ + 122^\circ = 366^\circ$. Sehe ich daher durch zwei solche nicht parallele Flächen gegen ein Licht, so treten die beiden Bilder um so mehr auseinander, je weiter ich mich davon entferne. Da die Zwillingsgränze nur selten genau durch die Säulenanten geht, so findet sich auf einer der Säulenflächen öfter ein einspringender Winkel von $180^\circ - 6^\circ = 174^\circ$.



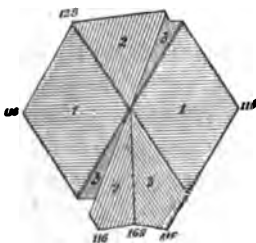
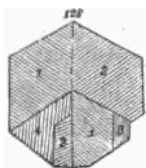
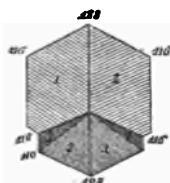
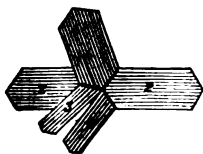
Nester legen sich ganze Reihen von Individuen an einander, aber so, daß die ungeraden und geraden unter sich parallel gehen: es ist das einfache Folge des gleichen Gesetzes, und man darf solche Reihen nur als Zwillinge nicht als Viellinge betrachten. Die Zwillingsstreifen werden nicht selten so fein, daß man sie mit keiner Loupe zählen kann. Es kommen gar häufig scheinbar ganz einfache Individuen vor, und genau untersucht findet man doch einen Strich 2 durchgehen, dem die beiden Enden 1 und 3 das Einspiegeln ihrer gleichnamigen Flächen verdanken, da 2 sowohl gegen 1 als gegen 3 die Zwillingsstellung einnimmt. Zugleich liegt darin der sichere Beweis, daß der Strich, wie beim Doppelspath ein besonderes Einschießel bezeichnen. Selbst Drillinge 122° lenken gleich wieder zum Zwilling ein, wie die Flügel 33 beweisen, die der Drillingkern gleichsam vermittelt.



Vierlinge von Leogang und Herrengrund. Bei diesen schneeweißen bis wasserhellen Krystallen herrschen die Flächen Mhr nebst der Zuschärfung $i = c : \frac{1}{2}b : \infty a$, welche auf r eine ausgezeichnete Streifung parallel der Aze a erzeugt, nach der man sich leicht in die Zwillingsverwachsungen orientirt. Bei



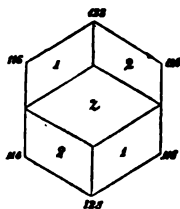
Geogang kommen treffliche Durchwachsungen vor, darunter zeichnet sich ein Individuum gern durch Größe aus (2), 1 legt sich daran als Zwilling;



3 und 4 sind zuweilen klein und haben dann auf den Säulenflächen von 1 und 2 Platz, ihre Flächen h schneiden sich unter 12° . Gewöhnlich füllen sich jedoch die einspringenden Winkel aus, und man muß dann vorsichtig auf die Streifung der Geradendfläche merken, die so vortrefflich bei den Krystallen von Herrengrund ausgedrückt ist. Am einleuchtendsten wird die Sache, wenn wir in den Zeichnungen auf der Geradendfläche die Zwillingsgrenze zweier anliegenden Individuen durch zwei Linien angeben, um sie von den Grenzen der Ausfüllungen zu unterscheiden. Nebestehende Figur (Haupt's symétrique basé) wird sogleich klar: die Hauptindividuen sind 1 und 2, sie setzen sich unten in den parallelen Stücken gleicher Zahl fort. Dazwischen haben sich zwei Streifen 3 und 4 eingeschoben, die man sich hüten muß für parallele Individuen anzusehen, da ihre Streifen sich unter 12° schneiden. Der nebenstehende weitere Vierling weicht zwar nur wenig ab, allein er ist nicht mehr so symmetrisch gebaut, indem drei Individuen (1, 2, 4) sehr groß werden.

Die Säule schließt sich nicht immer in allen ihren Theilen gut, und man muß in Beurtheilung der Streifen äußerst vorsichtig sein. Zuweilen sind auch nur drei Individuen vorhanden, wie beistehende Figur (Haupt's contournée basé) zu beweisen scheint. So viel verschiedene Streifen sich darauf auch finden mögen, so bilden doch 1 mit 2 und 1 mit 3 bloß Zwillingstellungen, alles Uebrige ist Fortsetzung.

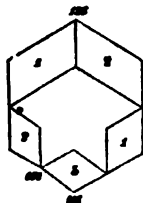
Man sieht daraus deutlich, zu welcher Mannigfaltigkeit das einfache Geseß führen kann. Diese Mannigfaltigkeit ist bei den Spanischen Zwillingen häufig gar nicht mit Gewißheit zu ergründen, weil wir hier neben M und h nur noch eine matte ungestreifte Geradendfläche haben. Es bleiben zum Erkennen bloß die Säulenwinkel, aber diese zum Glück selbst mit dem Reflexionsgoniometer gut meßbar. Haupt maß sie und construirte dann die Rhomben hinein:



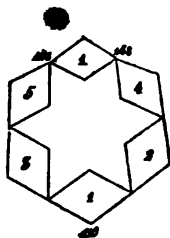
symétrique basé bildet Säulen von 128° mit abgestumpften scharfen Säulenkanten, wodurch vier Mal 116° entstehen müssen. Haupt nahm sie als Zwilling, wovon 1 sich in 1 und 2 in 2 fortsetzt, die Zwischenmasse z dachte er sich dann beliebig ausgefüllt. Es mag solche geben, gewöhnlich sind aber noch Zwischenstücke von Drillingen u. da, wie das Herrengrunder Exemplar beweist.

Contournée basé hat einen Winkel von 128° und fünf von 116° .

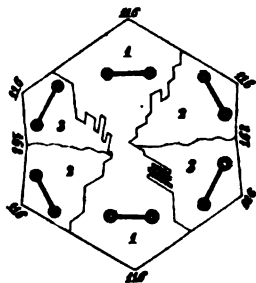
Da die Summe nur 708° statt 720° beträgt, so muß eine Seite nach innen um 12° geknickt sein. Dieser Knick braucht übrigens nicht immer auf der gleichen Fläche zu liegen. Haüy dachte sich es als Drilling, indem er an der Stelle eines Winkels 128° des symétriques ein drittes Individuum einflachte. Endlich kommen die prachtvollen dicken von Bastennes mit 6 gleichen Winkeln von 116° , die folglich zwei nach innen geknickte Flächen haben müssen. Es sind dreierlei Fälle möglich, je nachdem die geknickten Flächen einander an-, gegenüber- oder zwischenliegen. Im ersten Fall,

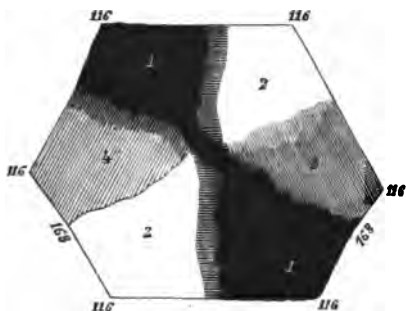


émergent basé, flichte Haüy im symétrique statt der 128° zwei Rhomben ein; es kam dann, wie die eingetragenen Zahlen zeigen, ein Fünfling. Fünf ist ja das Maximum von Säulen, welche mit ihrer scharfen Kante um einen Punkt möglich sind. Für das 6te bleibt nur noch 40° Raum, den Parallelmasse ausfüllt. Erweist sich nun auch die Natur im allgemeinen erfinderischer, namentlich in der Ausfüllung, so kann man doch dem Gange die consequente Methode nicht absprechen.



Senarmont (Ann. Chim. 1854. tom. 41. 62) griff die Sache zuerst optisch an: dünne Platten senkrecht gegen die Axe c geschliffen, werden bei der Drehung im Azimuth hell und dunkel. Der Grad dieser verschiedenen Helligkeit hängt von der Lage der horizontalen Axen a und b gegen die Polarisationsebene ab. Alle parallelen Theile zeigen sich daher in gleichen Schattirungen, alle nicht parallelen in ungleichen. Das Zwillingsverhältniß wird bei guten Stücken mit einem Blick klar; mittelst des Polarisationsmikroskops läßt sich die Richtung der Axe b durch die Lemniscaten leicht bestimmen, und nimmt man dann noch ein gewöhnliches Mikroskop mit Polarisationsapparat zu Hilfe, so können die kleinsten Details erforscht werden. Endlich hat auch Leydolt (Sitzungsber. Wien. Akad. 1856. 19. 10) die Endfläche mit schwachen Säuren (Essigsäure zc.) geätzt, und Abgüsse von Hausenblase für das Mikroskop gemacht. Nebenstehendes méso-tome basé ist durch die Lage der Lemniscaten sogleich klar, und man sieht, daß der alte Meister doch nicht so Unrecht hatte, denn bei allen aus dem Gypse strahlen die Röhre von den Seiten nach dem Centrum. Die Individuen 12 und 13 haben die äußere Seite gemein: in diesem Falle pflegen die Röhre (Kammröhre Leydolt) etwas anders auszusehen, als die, wo sie nicht in Zwillingverbindung (23) stehen. In der Kammröhre suchen sich sichtlich die Säulenflächen gegenseitig geltend zu machen, was nicht selten in tausenden von Streifen geschieht, etwa wie nebenstehendes melogene basé mit vier Individuen zeigt, wo die zwei geknickten Seiten





nur durch 4 Individuen erklärt werden können, und wo in $1/3$ und $2/4$ wieder keine Rammnähte erscheinen, weil diese sich nicht in Zwillingstellung finden, wie neben den Rammnäthen $1/2$, $2/3$ und $1/4$. Freilich kommen in der Praxis allerlei Schwierigkeiten.

Asterkrystalle des Arragonits nach Kalkspath fand Mitscherlich in Vesuv'schen Laven, Häubinger im Basalttuff von Schlackenwerth und zu Heerengrund. Am merkwürdigsten scheinen die von der Emericusgrube zu Offenbach, wo die Zwillingssäulen nach Fichtel 1 Fuß lang und $\frac{1}{4}$ d. dick werden. G. Rose (Pogg. Ann. 91. 147) erkannte noch deutlich die Zwillingsgrenzen, auch der Blätterbruch behält im Ganzen eine bestimmte Lage bei.

Härte 3, härter als Kalkspath, Gewicht 2,945, also auch um 0,2 den Kalkspath übertreffend. Ein schwacher Blätterbruch wird zwar parallel $h = b : \infty a : \infty c$ angegeben, allein man hat große Mühe, sich nur von seinem Dasein zu überzeugen, geschweige, daß er sich darstellen ließe. Fettglanz, Farben zufällig wie beim Kalkspath. Starke doppelte Strahlenbrechung, ordentl. Strahl 1,69, außerordentl. St. 1,53, also dem Kalkspathe in Stärke kaum nachstehend. Die beiden — optischen Axen machen mit c 10° und mit b 80° , liegen also in den Axenebenen bc , und ihre Ebene halbirt den scharfen Säulenwinkel. Ein Paar $c : 4b : \infty a$ gegen Axc c $79^\circ 48'$ geneigt, steht senkrecht gegen die optischen Axen. Um die conische Refraction zu zeigen, schleift man die böhmischen Krystalle nach dieser Richtung an. Von Rubberg (Pogg. Ann. 17. 1) genau untersucht.

In einer Glasröhre über der Weingeistlampe erhitzt schmilzt er etwas an und zerfällt plötzlich zu einem weißen Pulver, ohne dabei vorher Kohlen-säure abzugeben, denn ein daneben gelegtes Stück Kalkspath wird bei dieser Temperatur noch gar nicht verändert: er soll zu Kalkspathrhomboedern zerfallen (Häubinger, Pogg. Ann. 11. 177). Ca C ganz wie Kalkspath, aber ein wenig unlöslicher in Säure. Der kleine Gehalt an Strontianerde (4 p. C. Sr C) bei spanischen muß unwesentlich sein, da die böhmischen nur 1 p. C., die von Gex (Dep. l'Alin) und Heerengrund keinen mehr zeigen. Obgleich geschmolzener Ca C zu Kalkspath gesteht, so soll doch aus heißen Lösungen im Wasser sich vorzugsweise Arragonit niederschlagen (G. Rose Pogg. Ann. 42. pag. 353), während es bekannt ist, daß kalte Quellen meist Kalkspath erzeugen. Indes findet sich auch in Abfällen kalter Quellen Arragonit, wie z. B. auf Drusenräumen des Dolomites unserer schwäbischen Lettentkohle in deutlichen Zwillingen. Wiederholte Experimente haben gezeigt, daß auch der Sättigungsgrad einwirkt: ist die Lösung schwach genug, so können bei gewöhnlicher Temperatur Arragonitkrystalle entstehen (G. Rose Monatsber. Berl. Akad. 1860. 579).

Die Aetzkalk so ist auch Ca C im warmen Wasser unlöslicher als im kalten, das gibt vielleicht den Fingerzeig (Bischof Lehrs. chem. Geol. II. 1000).

Krystalle weingelb bis lilafarbig in den Basaltgebirgen des böhmischen Mittelgebirges um Bilin (Horschenz, Liebshausen, Rosel, Ruzhiz, Sedlitz, Seidischütz 2c.), für den Optiker die wichtigsten Fundorte, nicht selten in armdicken Strahlen, aber dann unklar; auch die Auvergne bietet in ihren vulkanischen Gesteinen schöne Fundorte. Besonders bekannt sind die Zwillinge aus dem (tertiären) Gyps von Bastennes ohnweit Dax am nördlichen und Molina in Arragonien am südlichen Abhange der Pyrenäen. Bei Bastennes stecken in den Krystallen rothe Eisentiesel. Helle Stellen Neigung zur Lilafarbe, doch nicht so schön amethystfarbig wie bei Walsch in Böhmen. Becquerel (Compt. rend. XXXIV. 274) beweist, daß Arragonit entstehe, wenn eine 5 bis 6gradige Lösung von doppelt kohlensaurem Natron auf Gyps wirke, Kalkspath dagegen, wenn die Lösung schwächer (zweigrädig) sei. Zu Neogang östlich Saalfelden im Salzburgischen finden sich klare Zwillinge auf Erzgängen im Gneis, ebenso und wegen der Deutlichkeit ihrer Zwillingformen besonders wichtig ist der Fund zu Herrengrund nördlich Neusohl in Ungarn, 1840 auf einer 3½ Fachter langen Druse in der Kupfererzlagerstätte angefahren: oben in der Druse waren es Aetzerkrystalle nach Kalkspath, unten standen die frischen weißen Säulen, mit Kalkspath überflogen, eigenthümlich schwefelgelb schielend, was ihnen beim ersten Anblick Aehnlichkeit mit den bekannten Eblestindrusen von Sicilien gewährt.

Nadel förmige Krystalle finden sich in der Serpentinbreccie des Aosta-Thales, auf Erzgängen von Iglo in Ungarn (Igloit), besonders aber in verwitterten Spath-eisensteinlagern des Harzes (Fberg) und Thüringens (Saalfeld), Whitehaven in Cumberlond, als Seltenheit im Liaskalk (Neunheim bei Ellwangen). In den vulkanischen Gesteinen am Hohenhöwen am Bodensee, Sasbach am Kaiserstuhl, alten Laven vom Vesuv, und vielen Basalten, man muß sich hüten, es nicht mit Faserzeolith zu verwechseln. Häufig ist auch Kalkspath dabei, sehr schön sogar in den Mandeln von Walsch.

Strahliger Arragonit ist außerordentlich verbreitet, wird aber häufig in Sammlungen mit Kalkspath verwechselt. Hauptunterscheidungsmerkmal bleibt der Mangel der Blätterbrüche am Ende der Strahlen; erwärmt zerfallen sie nicht mehr so auffallend zu Pulver als die krystallinischen Massen. Zuletzt wird der Strahl feinsten

Faseriger Arragonit. Dahin gehören besonders die schneeweißen Platten in den sogenannten „Schackkammern“ (Klüften) der zersetzten Spath-eisensteine des Erzberges bei Eisenerz in Steiermark. Buchholz gibt darin 99 Ca C und 1 A ohne Spur von Eisen an, ob sie gleich ein Produkt der in den Erzen cirkulirenden Wasser sind. Es kommen zackige, korallen- und baumförmige Verzweigungen vor (Eisenblüthe, Aes ferri), die zwar nach Art der Stalactiten sich gebildet haben mögen, aber auffallender Weise wie bei Korallensköden gegen das Gesetz der Schwere verlaufen. Von der innern Aze zieht sich die zarte Faser excentrisch schief nach oben. Auf andern Eisenerzspalten, wie z. B. zu Wasseralfingen, findet man auch baumartig ver-

zweigigen Kalkspath von gleicher Schneeweisse. Auf den Malachitgängen von Ringenwechsel in Tyrol sind sie schön spangrün gefärbt. Der Satin-Spar (nach G. Rose Kalkspath) im Schieferthon von Alston-Moor Schnüre bildend wird zu Seidenglänzenden Perlen verschliffen, enthält 4 p. C. Mn C. Fein fasrige Platten findet man öfter mitten im Kalkgebirge: im braunen Jura der Porta Westphalia oberhalb preussisch Minden, im Eias von Remnath bei Stuttgart, mit traubiger Oberfläche im Süßwasserfall von Steinheim, Cannstadt etc., doch ist der Beweis für Arragonit nicht immer zu führen. Hauptunterscheidungsmerkmal bleibt das specifische Gewicht, aber er darf nicht in Stücken, sondern gepulvert gewogen werden (G. Rose Abh. Berl. Akad. Wiss. 1856. 1 und 1858. 33).

Karlsbader Sprudelsteine, obgleich durch Eisenocker roth, braun bis schwärzlich gefärbt, sind meist Arragonit. Sie bestehen aus concentrischen Ragen häufig mit traubiger Oberfläche. Zwischen der feinsten Faser finden sich zuweilen gröbere Strahlen, an denen man deutlich den Mangel des Blätterbruchs nachweisen kann. Der heiße Sprudel von 60°—74° R. scheint hier offenbar der Grund zu sein. Daher wird auch der dortige Erbsenstein pag. 415 Arragonit sein. Wo der Ursprung nicht so sicher ist, wie z. B. bei dem Rogensteine aus dem Buntensandsteine von Thüringen, läßt sich die Frage, ob Kalkspath oder Arragonit, kaum entscheiden.

Tarnowitzit in Schlesien mit Bleiglanz verwachsen ist ein strahliger grünlich grauer Arragonit von Witheritartigem Ansehen, der 2,98 wiegt, und 2—3,8 Pb C enthält (Wütiger Pogg. Ann. 47. 407), also auf Kohle einen gelben Bleibeschlag gibt. Manganocalcit nannte Breithaupt (Pogg. Ann. 69. 400) den nierenförmigen röthlich weißen Braunspath von Schemnitz in Ungarn, mit 67,5 pC. Mn C 3,04 Gewicht, seinem Blätterbruch nach 2gliedrig; Werner zählte ihn zum fasrigen Braunspath. Hier würde also das kohlensaure Manganoxydul in der 2gl. Form auftreten.

Junderit von Poullaouen in der Bretagne wurde länger für einen zweigliedrigen Spath Eisenstein gehalten, bis Breithaupt (Pogg. Ann. 58. 270) bewies, daß es verzogene Rhomboeder seien, doch hat Dufrénoy (Traité minér. II. 507) davon keine Notiz genommen. Auch das Eisen in den Sprudelsteinen findet sich nicht als Oxydul, sondern als Oxyd. G. Rose glaubt, daß neutrale kohlensaure Talkerde abgedampft auch eine arragonitartige Structur besitze.

8. Witherit W.

In der Umgegend von Anglesey (Pencastell) benutzen die Bewohner längst einen gelblichen Stein als Rattengift, worin Dr. Withering (Phil. Transact. 1784. pag. 296) zuerst luftsaure Baryterde nachwies, daher nahm Werner (Bergm. Journ. 1790. III. 1. pag. 216) den Namen.

Zweigliedrig, aber von sechsgliedrigem Aussehen, wie es Haüy beschrieb. Rhombische Säule $M = a : b : \infty c$ bildet 118° 30', durch die Abstumpfungsfläche der scharfen Säulenkante $h = b : \infty c$ entsteht daher eine fast reguläre sechsseitige Säule mit Querstreifen auf allen Flächen,

$i = c : \frac{1}{2}b : \infty a$ macht über c einen leicht meßbaren Winkel von 69° , wornach

$$a : b = 0,818 : 1,375 = \sqrt{0,6687} : \sqrt{1,889},$$

$$lga = 9,91263, lgb = 0,13816.$$

Tritt zu i das Rhombenoktaeder $o = a : b : c$ mit $130\frac{1}{2}^\circ$ in der vordern Endflante, so bekommen wir eine scheinbar dihexaedrische Endigung, die mit der des gemeinen Quarzes große Aehnlichkeit hat. Doch findet man am Ende gewöhnlich Spuren eines weitern Oktaeders. Vorzüglich zu Alston in Cumberland und Herham in Northumberland auf Bleiglanz. Die Aehnlichkeit



mit dem sechsgliedrigen System setzt sich noch weiter in Hauy's triannulaire fort. Hier tritt zu M , h , o , i noch $f = 2a : 2b : c$, $d = 4a : 4b : c$, $P = b : c : \infty a$, $x = c : 2b : \infty a$ und $r = c : \infty a : \infty b$. Eigenthümlich sind die gewölbten sechseckigen Tafeln von Bromley-Hill bei Alston, welche Thomson Sulphatocarbonate of Barytes nannte, die aber im Wesentlichen zum Witherit gehören. Auf der Wölbung erheben sich sechs zarte Linien von den Säulenkanten aus, die ihrem Ansehen nach auf complicirte Zwillinge deuten. Ja nach Senarmont (Ann. Chim. 1854. 41. 66) sind selbst die scheinbar einfachen Dihexaeder Sechselinge, welche sich mit ihrem scharfen Säulenwinkel um einen Mittelpunkt legen, was die Lemniscaten im polarisirten Lichte sogleich zeigen, die aber jetzt nicht wie beim Arragonit in $Axe\ b$ sondern in a liegen. Aehnlich mögen auch die gewölbten Platten sein. Die — optischen Axen schneiden sich in Ebene ac unter 6° — 8° , c Mittelellinie.

Härte 3—4, Gewicht 4,3, etwas zum Fettglanz sich neigend. Gelblich grüne Flamme vor dem Löthrohr, schmilzt auf Kohle nicht schwer zu einer klaren Perle, die plötzlich stark zu brausen anfängt, Kohlen säure fahren läßt, und sich dann als kausische Baryterde ausbreitet. Dieses merkwürdige Verhalten brachte Blad auf die Vermuthung, daß beim Kalkstein auch wohl etwas Aehnliches Statt finden könnte.

Ba \bar{C} mit 77,6 Ba 22,4 \bar{C}

Das Pulver fällt in der Kälte dreiatomige Basen K , dagegen einatomige K nicht. In kalter concentrirter Salzsäure braust es nicht, sobald man aber die Säure (sogar sehr stark) verdünnt, so fängt es heftig an zu brausen. Das sich bildende Chlorbarium ist nämlich in Salzsäure unlöslich, im Wasser dagegen löslich. Die Zersetzung beginnt daher erst dann, wenn gehörige Wassermenge zur Aufnahme des sich bildenden Salzes vorhanden ist.

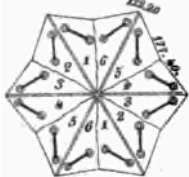
Die Bleierzgänge des nördlichen England, welche im Vergalt und Steinkohlengebirge aufsetzen, sind theilweis reich an diesem bei uns seltenen Mineral. Besonders schön sind die halbrübenweißen Krystalle von Alston-Moor in Cumberland, dann die grünlichweißen berben Massen mit feinstrahligem Bruch von Shropshire &c. Das excentrisch strahlige des Längsbruchs erinnert in etwas an den muscheligen Bruch des Gypses. Unbe-

deutend sind die Fundorte von Frogang, in den Schwefelgruben Siciliens, zu Schlangenberg am Altai zc. Reiner kohlenaurer Baryt findet sich in allen Stufen der Zersetzung durch Schwefelsäure bis zum völligen Uebergange in Schwerpath. Thomson's Sulphato-Carbonate of Barytes von Bromley-Hill in Cumberland gehört zu solchen Aftersbildungen.

Barytocalcit $\text{Ba } \bar{\text{C}} + \text{Ca } \bar{\text{C}}$. Kommt zu Alston-Moor mit Witherit vor. In concentrirter Säure brausen sie anfangs, hören dann aber auf, und wenn man darauf verdünnt, so fangen sie nochmals stark an zu brausen. Die Substanz scheint dimorph:



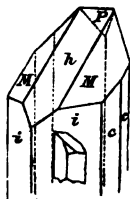
1) zweigliedriger Barytocalcit (**Alstonit**), sieht dem Witherit sehr ähnlich, und zeigt namentlich keinen ausgezeichneten Blätterbruch. Die Säule $M = a : b : \infty c$ $118^\circ 50'$ weicht unwesentlich vom Witherit ab. Interessant sind Drillinge, die zu Alston mit den Witherittafeln vorkommen, scheinbar scharfe Dihexaeder, deren Querstreifung in der Mitte durch eine Diagonale unterbrochen ist. Nach den Messungen von Descloizeaux sind es drei Oblongoktaeder $\frac{1}{2}a : \frac{1}{2}b : c$, die sich parallel der Hauptaxe dem Zwillingsgesetze gemäß durchdrungen haben. Die optischen Azen liegen sehr genähert und wie beim Arragonit in der Azebene b c. Der



Querschnitt von Senarmont macht im Polarisationsmikroskop das Verhältniß sogleich deutlich: von den 12 Lemniscaten gehören je zwei miteinander parallele einem Individuum an, es ist also ein Sechsling. Da jedoch 6 Individuen nicht völligen Platz um einen Punkt haben, so scheint die Sache durch regelmäßige Knickung der Seiten-Flächen ausgeglichen zu sein. Flußspathhärte,

Gew. 3,6. Bromley-Hill bei Alston-Moor (Bromlite) und Fallowfield in Northumberland. Thomson glaubte anfangs $2 \text{Ca } \bar{\text{C}} + \text{Ba } \bar{\text{C}}$ gefunden zu haben, und nannte ihn daher Vibarytocalcit; Johnston (Pogg. Ann. 34. 608) weist dagegen vollkommene Uebereinstimmung nach mit Brookes

2) zweiundeingliedrigem Barytocalcit. Die kleinen Krystalle zeigen beim ersten Anblick einen Gypsartigen Habitus. Eine geschobene Säule $i = a : b : \infty c$ hat vorn ihren scharfen Winkel von $84^\circ 45'$ (Brooke, Pogg. Ann. 5. pag. 160), die Säule stark längsgestreift, und mit ihrem Unterende aufgewachsen. Es kommen noch Zuschärfungen der seitlichen Kante vor ($c = a : \frac{1}{2}b : \infty c$), die häufig herrschend werden und die sichere Bestimmung



der Säule sehr erschweren. Eine matte Schiefendfläche $h = a : c : \infty b$ gegen die Aze c 61° , in ihrer Diagonalzone ein Augitpaar M/M $106^\circ 54'$ so deutlich blättrig als beim Kalkspath; h und M nehmen gewöhnlich das ganze Ende ein, und bilden hinten eine scharfe Ecke, die sich auch leicht wegsprengen läßt, und dann glänzt ein dritter deutlicher Blätterbruch P hervor, 45° gegen Aze c geneigt. Da P/M $102^\circ 54'$ machen, so kann man die drei Blätter-

brüche ihrem Glanze und Winkeln nach mit Kalkspath verwechseln. Härte 4,

Gew. 3,7. Durchaus von Kalkspathartigem Aussehen. Negative optische Axen liegen nach Hr. Descloizeaux in einer hintern gegen Axc nur $3^{\circ} 22'$ geneigten Schiefendfläche. Alston-Moor, die Krystalle oft mit Kalkspath wie überzuckert, wodurch ihr Glanz nicht gelitten hat. Wenn aber Schwerspath darauf sitzt, so sollen sie trübe sein, weil derselbe sich auf Kosten ihrer Substanz bildete.

9. Strontianit Sulzer.

Hat seinen Namen von Strontian in Schottland (Argyleshire), wurde mit Witherit verwechselt, doch vermuthete Cramford schon 1790 eine neue Erde darin, die sich auch bald fand (Strontium, Bergmänn. Journ. 1791. IV. 1 pag. 433). Durch Schmeißer (Philos. Transact. 1794. pag. 418) wurde das interessante Mineral zuerst genauer bestimmt.

Zweigliedrige Säule $M = a : b : \infty c$ $117^{\circ} 19'$ und $P = b : c : \infty a$ $108^{\circ} 12'$, daraus folgt

$$a : b = \sqrt{0,654} : \sqrt{1,808}.$$

Die Krystalle gewöhnlich unbestimmbar nadelförmig, doch führt schon Haüy von Keogang die Flächen $h = b : \infty a : \infty c$, $o = a : b : c$ und $f = 2a : 2b : c$, also ganz wie beim Witherit an, und da nun auch die Zwillinge nicht fehlen, so ist der Isomorphismus mit Arragonit vollkommen. Der blättrige Bruch der Säule M vielleicht etwas deutlicher als beim Witherit, im übrigen ein sehr ähnliches Aussehen, Härte 3—4, aber etwas leichter Gew. 3,6. Die optischen Axen schneiden sich unter $6^{\circ} 56'$, und liegen wieder wie beim Arragonit in der Axienebene $b c$.

Vor dem Löthrohr vortrefflich erkennbar: er schmilzt kaum, die Probe verliert ihre Kohlensäure, es schießen kurze blendend weiße Stäbe daraus hervor, stärker leuchtend als Kalkspath, und die Flamme purpurroth färbend.

$Sr \bar{C}$ mit 70 Sr , 30 \bar{C} ,

gewöhnlich etwas $Ca \bar{C}$ dabei, bis 6,5 p. C. Er braust selbst in concentrirter Säure stark. Zu Braunsdorf bei Freiberg mit Braunspath auf Quarz mit schönen Krystallnadeln, auf Bergwerkswohlfahrt zu Clausthal in garbenförmigen Krystallen auf Schwerspath angefliegen, die schönsten Krystalle auf den Erzgängen von Keogang (Salzburg). Auf den Erzgängen von Strontian kommen sie in derben strahligen Massen vor, von grünlicher Farbe, andere sind gelblich, aber nicht so safrig als Witherit. Merkwürdig sind die 1" bis 2 Fuß mächtigen Gänge in der Kreideformation von Hamm in Westphalen (Pogg. Ann. 50. 100), wohl die größten bis jetzt bekannten Massen. Am Monte Paterno bei Bologna finden sich Mergelkugeln mit feinen Krystallnadeln im Innern. Auch in den Kammern von Ammonites angulatus des Lias α kommen sie in mehrligen Halbkugeln vor, doch hätte man sich vor Verwechselung mit safrigem Celestin.

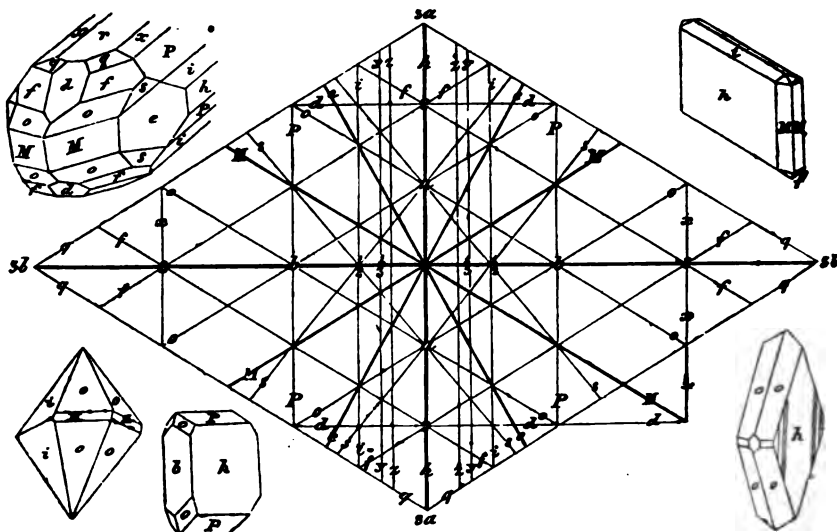
Stromnit Traill von der Insel Stromness in den Orkaden hat 68,6 $Sr \bar{C}$ und 27,5 $Ba \bar{C}$. Emmonsit von Massachusetts ist ebenfalls kalkhaltig. Da Baryt- und Strontianerde gewöhnlich zusammen vorkommen,

so sind solche Gemische leicht erklärlich, nur die Schwierigkeit bleibt, wo die neue Species anfängt.

10. Weißbleierz.

Die Bergleute aus der ersten Hälfte des vorigen Jahrhunderts kennen es bereits unter dem Namen Bleispath, obgleich nicht sonderlich späthig, so „zerspringet er doch im Feuer wie Spath.“ Wallerius 1747 hat beide Namen, Cronstedt heißt es *Cerussa indurata* (verhärteter Bleioxyd), woher der Name Cerussit. Romé de l'Isle kennt schon 1772 die Uebereinstimmung der Krystallisation der la Mine de Plomb-blanche mit Salpeter. Kirwan wies darin Luftsäure nach.

Weißbleierz projecirt auf die Geradenfläche r.



Zweigliedrig mit arragonitartiger Zwillingbildung. Geschobene etwas blättrige Säule $M = a : b : \infty 117^\circ 14'$, ein auf die scharfe Kante aufgesetztes Paar $P = b : c : \infty$ macht unter sich $108^\circ 14'$, gibt

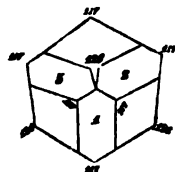
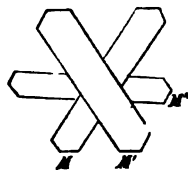
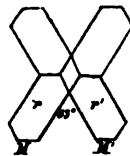
$$a : b = 0,8432 : 1,382 = \sqrt{0,71} : \sqrt{1,911},$$

$$lga = 9,92593, lgb = 0,14060.$$

Gewöhnlich herrscht die längs- und quergestreifte Fläche $h = b : \infty a : \infty$ und das Oktaeder $o = a : b : c$ mit dem vordern Endantenwinkel von 130° . Wenn zum Oktaeder o die Zuschärfung $i = c : \frac{1}{2}b : \infty a$ tritt, so entstehen dihexaederartige Endigungen; h wird durch Querstreifen häufig bauchig, weil außer P und i noch $x = c : 2b : \infty a$, $y = c : \frac{1}{2}b : \infty a$ und $z = c : \frac{1}{2}b : \infty a$ sich einzusetzen streben. Wenn o zurücktritt, so entstehen vierseitige Tafeln. Die Geradenfläche $r = c : \infty a : \infty b$ und die Abstumpfungsfäche der stumpfen Säulenkaute $b = a : \infty b : \infty c$ kommen auch häufig

vor; b mit h bilden bei Badenweiler eine Oblongsäule, die senkrecht gegen die Axe c gesehen einen auffallenden Seidenglanz zeigt. Ein vorderes Paar $d = c : 2a : \infty b$ etwas drüsig trifft man oft bei Lacroix in den Vogesen und Prizbram in Böhmen. Besonders flächenreich sind die schönen schottischen von Leadhills (Canarkshire) und Nertschinsk, woran nicht bloß alle genannten, sondern auch noch die Flächen $e = a : \frac{1}{2}b : \infty c$, $f = c : 2a : 2b$, $q = c : 3a : 3b$, $s = a : c : \frac{1}{2}b$. Fassen wir alle auf vorstehender Projection zusammen, so kann sie uns als ein Muster dieser merkwürdigen zweigliedrigen Gruppe (Arragonit, Witherit, Strontianit) dienen:

Zwillinge so vorherrschend, daß nur selten einfache Krystalle gefunden werden. Bei Lacroix fanden sich früher einfache Zwillinge in Säulen von 117° und $121\frac{1}{2}^\circ$ mit den Endigungen d und x, die Flächen x und x' unten zwischen den Rhombenflächen d bilden einen einspringenden Winkel. Scheinbar einfache Individuen haben öfter Zwillinglinien. Die meisten Zwillinge zeigen jedoch stark einspringende Winkel in der Säule, der häufig jede Ausfüllung fehlt. Gar gern bilden sie stumpfe Haken von 117° , an denen nichts ein spiegeln will, weil an der Zwillingegränze sich alles ausfüllt. Wenn jedoch diese Haken sich durchwachsen, so spiegeln im scharfen Zwillingwinkel von 63° Säule (M mit M') und Oktaederflächen (o mit o') ein, weil für diesen die gemeinsame Zwillingsebene nicht dazwischen, sondern quer (M und M') liegt. Gewöhnlich ist ein Individuum kräftiger, und das dient den andern zur Stütze. Kommt ein drittes hinzu, so setzt sich das in den stumpfen Winkel dem einen oder dem andern als Zwilling an, und nun entsteht wie beim Arragonit *mésotome* pag. 429 beim Durchwachsen im Querschnitt der Säule ein Sechseck mit 6 Winkeln von 117° , deren eines Paar gegenüber liegender Flächen 171° einspringt. Wenn in den Drillingen die Oktaeder herrschen, wie bei mehreren Schwarzwäldern, so entstehen förmliche Dihexaeder, bei denen man nicht selten Mühe hat, den einspringenden Winkel zweier gegenüber liegender Dihexaederflächen zu finden, weil der Knick durch Verkümmern einer Fläche genau in die Endlante des Dihexaeder gerückt sein kann. Durchwachsen die Individuen sich nicht, so hat bei der Ausfüllung der Querschnitt der Säule 4mal 117° und 2mal 126 Grad. Die beiden Individuen 2 und 3 sind in den Krystallen von Mies öfter schwach gegen 1; da sich nun der Winkel von 9° ausfüllt, so scheinen die quergestreiften Flächen h sich unter 126° , statt unter 117° zu schneiden.



Raum härter als Kalkspath 3—4; Gew. 6,4—6,7. Farblos bis weiß, nur zufällig schwarz oder lafurbau. Diamantglanz oft in ausgezeichnetem Grade. Starke Strahlenbrechung 2. Die — optischen Axen liegen (dem Arragonit nicht entsprechend) in der Axenebene a c und machen mit

c einen Winkel von $2^{\circ} 37'$, unter sich also $5\frac{1}{2}^{\circ}$, $\rho > v$ mit sehr starker Dispersion der Farben.

Vor dem Löthrohr decrepitirt es heftig, wenn man aber die Kohle aus großer Entfernung nähert, so wird es anfangs roth (Mennige), etwas stärker erhitzt bleibt zwar die Masse auch roth, wird aber beim Erkalten gelb (Pb), erst dann fängt es an zu schmelzen und reducirt sich gleich zu Blei, das verflüchtigt die Kohle mit gelber Bleiglätte beschlägt.

Pb \bar{C} mit 83,5 Pb, 16,5 \bar{C} .

Ein kleiner Gehalt an kohlensaurem Silberoxyd bis 0,1 p. C. rührt ohne Zweifel vom Bleiglanz. Igleciasit (Zinkbleispath) vom Berge Ponì bei Iglecias auf Sardinien enthält bis 7 pC. Zn \bar{C} , also (Pb, Zn) \bar{C} . Weißbleierz wirft in kalter Salpetersäure nur wenige Blasen, löst sich aber vollkommen.

Ohne Zweifel Zersetzungproduct von Bleiglanz. Die Krystalle sitzen daher nicht bloß auf angegriffenem Bleiglanz, sind durch Bleimulm noch schwarz gefärbt (Schwarzbleierz), sondern die ganze Gangmasse zeigt ein zerfressenes Ansehen gemengt mit Mangan- und Brauneisenoxyd. Häufig ein strohgelber Ocker (zerreibliche Bleierde), es ist Bleioxyd, das zur Salzbildung nicht Kohlensäure genug fand. Nur der Quarz leistete der Zersetzung Widerstand, so zerfressen er auch aussehen mag. Nach H. v. Dechen geht im alten Elisabethstollen am Bleiberge von Commern die Bildung noch vor sich: es setzen sich an den Seitenwänden des Schachtes fortwährend feine Krystallnadeln ab, wobei Kohlensäurehaltige Wasser mithelfen. (Jahrb. 1858. 216.)

Krystalle finden sich besonders schön auf ockerfarbigem Quarz bei Freiberg (Isaak, Komm Sieg mit Freuden), Bernkastel an der Mosel; früher auf der Grube Hausbaden bei Badenweiler, Friedrich Christian in der Schappach; Mies und Pržibram in Böhmen auf Bleiglanz sitzend.

Stangenförmiges Weißbleierz ist auf dem Oberharze bei Clausthal und Zellerfeld zu Hause: cylinderförmige Säulen mit kleinfüßigem Querschnitt und faseriger Längsstructur, die Faser hat Seidenglanz und entspricht der Hauptaxe c. Auf der Grube Glückrad im Schulenburgers Zug bei Zellerfeld kamen sie vormalig mit Malachit überzogen vor, doch dringt die Smaragdgrüne Farbe nicht ein. Vorzüglich schöne schneeweiße Nadeln im braunen Eisenoxyd auf dem blauen Stollen von Zuckmantel, aber zerbrechlich.

Bleierde ist nichts weiter, als eine von Weißbleierz durchdrungene Thon- oder andere Gebirgsart: solche wird im rothen Letten und Sandstein von Kall an der Mosel in der Eifel und auf den Salmeilagern von Tarnowitz gewonnen; auf dem Harze die Grauwacke durchdrungen; auf der Grube Hausbaden im rothen Thon, der förmlich glänzt. Auch die bandigen Säulen des Hornblei von Beuthen sind in solche schmutzig gelbe Bleierde verwandelt. Davon ist das schon oben genannte strohgelbe Pulver zu unterscheiden (zerreibliche Bleierde), welches neben Krystallen auf dem zerfressenen Quarz liegt, und nichts als Bleioxyd zu sein scheint, das etwas Kohlensäure angezogen hat.

Sehr bemerkenswerth sind die Doppelsalze mit C und S von Reabhill's, die wir unten nach dem Bleivitriol anführen werden. Carbonate überhaupt finden wir mit Hydraten nochmals bei den salinischen Kupfererzen, dann besonders bei den in Wasser löslichen Salzen, die alle zu dieser Reihe nicht gehören.

Krystallographisch erinnert an die Kalkspathreihe noch Natronsalpeter $\text{Na} \bar{\text{N}}$ und Rothgülden $\text{Ag}^3 \bar{\text{Sb}}$; an die Arragonitreihe Kalisalpeter $\text{K} \bar{\text{N}}$ und Bournonit $(\text{Pb}^2 + \text{Cu}) \bar{\text{Sb}}$.

Als seltene unwichtige Carbonate nenne ich hier kohlensaures Silber $\text{Ag} \bar{\text{C}}$? (Grausilber, Selbit) von der Grube Wenzel; kohlensaures Wismuth (Bismutit, Breithaupt Pogg. Ann. 53. 633) von Ullersreuth im Voigtlande, Afterskrystalle von schmutzig zeisiggrüner Farbe im verwitterten Spath Eisenstein. Es scheint aus Wismuthglanz entstanden zu sein. Wismuthspath $\text{Bi}^4 \bar{\text{C}}^3 \text{H}^4$ aus den Goldgruben von Chesterfield in Südkarolina gleicht nach Rammelsberg dem Weißbleierz.

Schwefelsaure salinische Steine.

1. Gyps.

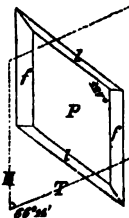
Γύψος Theophrast. *περι λειψων* 110, gypsum Plin. hist. nat. 36. 59 „wird gebrannt und aus der Erde gegraben, angefeuchtet muß er sogleich benutzt werden, weil er schnell gesteht (coit).“ Ueber die Gleichheit des Steines mit unserm kann daher kein Zweifel sein.

2 + 1gliedrig, späthige Stücke zeigen dreierlei Brüche:

1) blättriger Br. $\text{P} = \text{b} : \infty \text{a} : \infty \text{c}$ mit Perlmutterglanz gibt an Deutlichkeit nur dem Glimmer nach und entspricht der Medianebene des Systems, daher stehen beide andere auf ihm senkrecht;

2) muscheliger Br. $\text{M} = \text{a} : \infty \text{b} : \infty \text{c}$ leicht erkennbar an dem Glasglanz, an der Sprödigkeit und den excentrischen Strahlen, welche von unregelmäßig zerstreuten Punkten ausgehen;

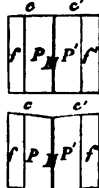
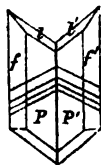
3) safriger Br. $\text{T} = \frac{1}{2} \text{a}' : \text{c} : \infty \text{b}$ mit Seidenglanz und gemeiner Biegsamkeit, und deshalb unter allen dreien am schwersten darzustellen. $\text{M/T } 113^\circ 8'$ nach Haüy, Neumann berechnet $113^\circ 46'$. Die fetten Thonmergel der Juraformation (Oxford) schließen um und um gebildete Krystalle, Haüy's trapézienne ein, von außerordentlicher Schönheit, P bildet daran rhomboidische Tafeln mit $127^\circ 44'$, deren scharfe Zuschärfung $\text{f} = \text{a} : \text{b} : \infty \text{c}$ den Säulenwinkel $111^\circ 26'$ macht, von dem man auszugehen pflegt, und deren stumpfe $\text{l} = \text{c} : \frac{1}{2} \text{a} : \frac{1}{2} \text{b}$ sich unter $143^\circ 42'$ schneiden (Weiß Abh. Berl. Akad. Wiss. 1821. 195 und 1834). An diesen Krystallen stumpft der muschelige M den vordern stumpfen Säulentantenwinkel f/f ab und der safrige T hinten die scharfe Ecke. Häufig ist außerdem ein hinteres Augitpaar $\text{n} = \frac{1}{2} \text{a}' : \frac{1}{2} \text{b} : \text{c}$, deren stumpfer Winkel von



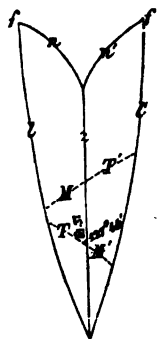
bleibt in der Gegend von P bei unverlegten noch ein Schiller, die Buckel von c zeichnen sich aus, und von hier fällt dann die Linse nach allen Seiten hin schön gerundet ab: besonders instructiv in den Mergeln der Vacuolithenschichten von Reneschitz an der Eger, groß und prächtig zu Ratscher bei Ratibor.

Zwillinge gibt es zweierlei, bei beiden spielt aber der Perlmutterbruch P ein. Am verbreitetsten finden sich

1. Die Zwillinge des Salzgebirges auf Drusenräumen: sie haben die Säule ff gemein und liegen umgekehrt. Gewöhnlich legen sie sich genau mit dem muscheligen Bruch M an einander, und da sie nun mit einem Ende aufwachsen, so ragt bald ein zweigliedriges Oktaeder, oder eine Gabel hinaus, die man gern mit einem Schwabenschwanz vergleicht (Schwabenschwanzzwillinge). Wer auch die feine Linie der Zwillingegränze auf P überfähre, den leitet doch der fasrige Bruch T, welcher durch P durchscheint, und in beiden Individuen an der Zwillingegränze plötzlich aufhört. Bei Ber bilden umgekehrt die Flächen n den Schwanz (Hessenberg). Man findet häufig handgroße Platten, worin die Faserbrüche durch ihren Schnitt unter $132^{\circ} 28'$ noch deutlich die Zwillingungsverwachsung anzeigen. Mitscherlich bediente sich dieser Krystalle auf ingenieße Art (Pogg. Ann. 41. 112), um zu beweisen, daß sie durch Wärme nach verschiedenen Richtungen sich verschieden ausdehnen. Er schloß eine Geradenfläche c daran, die senkrecht gegen P und f steht, erwärmte oder erkältete, so kam einerseits ein einspringender und andererseits ein auspringender Winkel c c'. Wo? sagt die Abhandlung nicht. Bei 8° R. Temperaturdifferenz ändert sich der Winkel um $1\frac{1}{2}'$. Dieß könnte nicht der Fall sein, wenn die Krystallsubstanz sich nach allen Richtungen gleich ausdehnte. Nach Pfaff (Pogg. Ann. 107. 151) übertrifft er sogar noch die Metalle.



2. Pariser Zwillinge eingewachsen und nicht in Drusenräumen: es sind jene großen dem Optiker wohl bekannten weingelben Linsen die schon de la Hire (Mém. Acad. roy. 1710) studirte. Bei ihnen spiegelt auch P ein, allein sie haben nicht ff sondern das Augitpaar ll gemein; die Abstumpfungsfäche z der stumpfen Kante dieses Paares bildet immer die scharf erkennbare Zwillingegränze, f ist der zur Schneide gewordene Säulenrand, l und n die Region der Augitpaare. Das Hauptkriterium liefern jedoch die Lagen des muscheligen und fasrigen Bruchs, die man sich leicht an einem abgespaltenen Zwillingenblatt durch Querbruch verschaffen kann: der fasrige Bruch T schneidet die Zwillingsebene z unter einem Winkel von $61^{\circ} 31'$, der muschelige M' dagegen unter $127^{\circ} 44'$: der Winkel zwischen M' und T beträgt also $170^{\circ} 45'$, daher liegen M und T' in einer Flucht, die nur um $9^{\circ} 15'$ auf der Zwillingegränze geknickt ist. Es kommen nun freilich in Beziehung auf die Zwi-

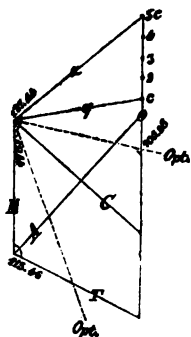


lingsgränze und Größe der Individuen gar manche Modificationen vor, doch selten Schwierigkeiten. Lehrreich sind in dieser Beziehung die Zwillinge von Morl bei Halle an der Sale, wahrscheinlich in die dortige Porzellanerde eingeprengt, die um und um ausgebildeten Individuen durchwachsen sich so, daß an beiden Enden ein schönes Oblongoktaeder $ff'f'$ entsteht.

Nur mit Mühe finden sich die vollständigen Zwillingsgränzen. An der Stelle des Paares 1 lagert sich eine drusige Schiefendfläche $z = \frac{1}{4}a : c : \infty b$, die mit P eine Oblongsäule bildet.



Die optischen Azen liegen im Blätterbruch P. Neumann (Pogg. Ann. 27. 240) suchte zu beweisen, daß die thermischen, optischen und kristallographischen Azen rechtwinklig seien und zusammenfallen; unter optischen die Fresnel'schen Elasticitätsazen verstanden. Aber dann muß man die drei neuen kristallographischen Azen AbC auf folgende Weise wählen:



Aze b bleibt wie vorhin, und steht wie immer senkrecht auf die Medianebene P, in welcher auch A und C liegen. Verzeichnen wir uns nun die Tafel der drei Brüche von $113^\circ 46'$, so macht Kante $l/l = z = a : 5c$ mit $M 127^\circ 44'$; Schiefendfläche $q = a : c$ mit $M 99^\circ 28'$ und halbirt man diesen Winkel, so gibt das die optische Mittellinie C, welche Neumann als seine kristallographische Hauptaxe nimmt. Sie liegt im scharfen Winkel des Rhombus MT, und macht mit dem muscheligen Bruch M $49^\circ 44'$ und mit dem fastrigen T $16^\circ 30'$. Zieht man nun A auf C senkrecht, so sind für $f = A : b : C$ die neuen Azen

$$A : b : C = 1,18 : 1,12 : 1.$$

$$M = A : C : \infty b, T = \frac{1}{4}A' : C : \infty b.$$

Der Winkel der optischen Azen beträgt 60° , sie schneiden also C unter 30° . Beim Erwärmen nähern sich beide gegen einander jedoch in ungleichem Schritt pag. 117. Mittelfst dieses Schemas kann man leicht die optischen Azen auf dem Blätterbruche P finden, man darf die Blätter nur auf unsere Figur legen. Prachtvoll sind die Farben dünner Blättchen im polarisirten Licht pag. 128, einfarbig, wenn gleich dick, mehrfarbig bei ungleicher Dicke. Die Newtonianischen Farbenringe zwischen dem Blätterbruch P, nicht selten beweglich beim geringsten Druck, sieht man oft.

Härte noch nicht 2. Mit einer geschnittenen Schreibfeder leicht in die Hand genommen bemerkt man deutlich, daß auf P parallel dem Faserbruch T die Feder nicht so stark wirkt als senkrecht dagegen. Gemein biegsam parallel dem fastrigen Bruch, und da er außerdem milde ist, so sind die Krystalle nach dieser Richtung oft auffallend gekrümmt. Parallel dem muscheligen Bruch ist er spröder, was man beim Zerbrechen dünner Blätter sehr deutlich merkt. Fühlt sich wenig kalt an. Gew. 2,3. Oft ganz wasserhell, Farben stets von zufälligen Beimischungen.

Ca S + 2 H mit 46,5 S, 32,6 Ca, 20,9 H.

Gibt 18,6 Schwefel, so daß die Natur im Gyps den meisten Schwefel

niedergelegt haben dürfte. Mittelft Chlorblei könnte die Schwefelsäure vielleicht gewonnen werden (Eisner chem. tech. Mittb. 1857. V. 100). Auf Kohle in der innern Flamme reducirt er sich zu Schwefelcalcium. Schmilzt wegen der dünnen Blättchen nicht sonderlich schwer zu einem weißen Email. In 450 Theilen Wasser löslich, daher Quellen der Gypsformation stets gypshaltig. In Alkohol unlöslich. Säuren, namentlich auch etwas Kochsalz, vermehren die Löslichkeit, dagegen ist Gyps in concentrirter Soole nicht löslich, daraus werden die prachtvollen Krystalle in Höhlen des Steinsalzgebirges erklärlich: gypshaltige Wasser lösten das Salz, und die dadurch entstehende Soole konnte den Gyps nicht halten. Schon bei 109° R. gibt der Gyps alles Wasser ab, und erhitzt man ihn darüber, so brennt er sich tod, d. h. er nimmt kein Wasser wieder auf. Erhitzt man ihn darunter, etwa bis 90°, wo er noch $\frac{1}{2}$ Atom Wasser hält, so nimmt er, mit Wasser gemischt, schnell das Wasser wieder auf, erhärtet und erwärmt sich dabei. Vorräthungen verzögern die Erhärtung. Darauf beruht seine vielfache technische Anwendung. Die feinsten besonders zu Statuen brauchbaren Sorten liefert der blättrige farblose Gyps (*omnium autem optimum fieri compertum est e lapide speculari Plin.*), dieser kommt daher auch ungebrannt in den Handel. Man brennt ihn so lange, als das Aufwallen dauert. Gyps ist auch in der Oekonomie wichtig geworden: man streut ihn gepulvert roh oder besser gebrannt sparsam auf Futterkräuter (Klee, Lucerne, Esparsette), Wein und Hülsenfrüchte. Hanf und sumpfige Wiesen vertragen ihn nicht.

Seine Bildung findet sowohl auf trockenem als nassem Wege statt, Dr. Schacht fand sogar, daß in den Zellen, welche die Bastbündel unmittelbar umgeben, die häufigen Krystalle gewöhnlich Gyps seien. In vulkanischen Gegenden, wo Schwefelwasserstoff und schweflichte Säure fortwährend entweichen, kann es an Zersetzung der Kalkfelsen nicht fehlen, und wo Schwefelmetalle auf Erzgängen, besonders aber Schwefellies in den Thonmergeln verwittern, tritt gern Gyps als Nebenproduct auf. Doch spielt er auf Erzgängen als Ganggestein niemals eine Rolle, so schön andererseits die Krystalle in den Thonmergeln der Jura- und Kreideformation vorkommen, die lediglich dem dortigen Schwefellies ihr Dasein verdanken dürften. Aber alles dieses sind verschwindende Mengen gegen die Stöcke und Lager sonderlich des Flözgebirges. Könnten wir auch für den fälschlich genannten Urgyps mit eingesprengtem Glimmer im Glimmerschiefer der Alpen (Val Canaria) oder für die mit Serpentin vorkommenden Stöcke der Pyrenäen die Schwefelsäurequelle im Innern der Erde suchen, so muß doch wohl die große Menge der folgenden Lager gleich aus dem Meerwasser, woraus sie sich niederschlugen, ihren Schwefelsäuregehalt bezogen haben. In Amerika finden sich Gypslager mit Salz schon unter der Steinkohlenformation, bei uns ist der von großen „Schloten“ durchzogene Zechsteingyps am Rande des Harzes der älteste, dann hat aber auch der Buntsandstein, Muschellalk und Kupfer bedeutende Lager. In den Alpen und den Karpathen läßt sich das Alter nicht immer mit Sicherheit nachweisen, dagegen tritt im Tertiärgebirge nochmals eine ausgezeichnete wenn auch sporadische Entwicklung auf.

Das Gypsgebirge ist nicht bloß durch den Einschluß von Thierresten, besonders der Wirbelthiere, merkwürdig: Säugethierknochen bei Paris, Schildkröten am Hohenhöwen, Fischschuppen im Reupergyps u., woher auch der nicht seltene Gehalt an Bitumen erklärt werden könnte, sondern es bildet auch eine Fundgrube für ganz eigenthümliche Minerale: Boracit von Künneburg, Arragonit und rothe Quarzkryrstalle in Spanien und Südfrankreich, Bitterspath bei Hall in Tyrol, Schwefel, Eblestin u., und noch unbeantwortet ist die Frage, in welchem innern Zusammenhang er mit Anhydrit stehe.

Gypskryrstalle schließen öfter bewegliche Wassertropfen ein. Sie tapeziren vor allem die Wände größerer und kleinerer Höhlen im Gypsgebirge aus, Wölbungen von mehreren Hundert Fußes Durchmesser findet man in den Alpen überkleidet, der kleinste Spalt reicht zu ihrer Bildung hin. Viele dieser Kryrstalle sind offenbar ganz neuern Ursprungs, denn in Bohrlöchern zu Wilhelmshafen bei Hall am Kocher finden sich in Räumen, wo die Soole im Gebirge noch vor wenigen Jahren stand, die schönsten Kryrstalle unter Verhältnissen, die es ganz außer Zweifel setzen, daß diese Soole selbst erst die Veranlassung zu jenen Kryrstallbildungen gegeben hat. In den Dornsteinen der Saline Rehme oberhalb Preußisch-Weiden kann man die Gypskryrstalle von mehr als $\frac{1}{2}$ Zoll Größe sehr deutlich erkennen. Riesige Kryrstalle füllen nicht selten große Spalten aus: prachtvoll die schenkelbilden wasserhellen Zwillinge von Friedrichroda im Zechstein am Nordrande des Thüringer Waldes,* die Flächen trotz der Größe scharf und meßbar, durch Druck oft auffallend gekrümmt. Dann nimmt aber die Deutlichkeit der Kryrstallflächen ab, höchstens zeigt die Oberfläche linsenförmige Rundung, so findet man sie in riesenhafter Größe in einer Muschelspalte des Siweckenberges bei Quedlinburg, weingelb oder wasserhell erfüllen sie in verworrener Masse Theile der Spalten, man kann hier Blätter von mehr als Fuß Durchmesser bekommen, sie sind aber nicht ganz so hart und glasig, als die Pariser Zwillinglinsen, welche im Klebschiefer oder dichten Gypsgebirge eingesprenzt liegen. Lehrreich sind die kleinen Kryrstalle aus dem Muschelsaltgyps von Felschausen bei Nagold, woran 1 so ausgedehnt ist, daß man mittelst Erwärmen die Veränderung des optischen Axenwinkel unmittelbar wahrnehmen kann pag. 117.

Fraucenis (Marienglas) heißen in der Volkssprache schon längst die farblosen späthigen Massen. Da das Klare derselben ein Sinnbild der Keuschheit bot, so liebt man es, die Marienbilder damit zu schmücken, wie schon bei den Circensischen Spielen der Boden damit bestreut wurde „ut sit in commendatione candor.“ Ohne Zweifel das Fensterglas, lapis specularis (faciliore multo natura finditur in quamlibet tennes crustas Plinius hist. nat. 36. 4), das vorzugsweise aus Spanien kam, und 5' Durchmesser haben konnte. Auch von ihm glaubten die Alten, daß es wie der Bergkryrstall gefrorenes Wasser sei, „denn wenn Thiere in solche Quellen fielen, so sei schon nach einem Jahre das Mark ihrer Knochen in dem gleichen Stein verwandelt (hier schwebten dem Schriftsteller vielleicht die Kalkspäthe vor, welche man z. B. in den Markröhren bei Marathon findet) jetzt ertragen sie die

stärksten Sonnenstrahlen.“ Er diente zu Bienenkörben, um die Bienen darin arbeiten zu sehen, l. c. 21. 47. Uebrigens verwechselten die Alten nicht bloß den Glimmer damit, sondern alles was klar und blättrig war, namentlich Kalkspath und Schwerspath. So scheint Plinius l. c. 36. 45 schon den Schwerspath von Bologna (in Bononiensi Italiae etc.) als Gyps gekannt zu haben. Agricola deutet das griechische *οελυπτης* (Mondstein) auf Gyps, und Plinius hist. nat. 37. 67 sagt: Selinitis ex candido translucet melleo fulgore, das könnte wohl auf die beim Gyps so häufige weingelbe Eisenfärbung anspielen, aber von einer Sicherheit kann bei solchen Deutungen entfernt nicht die Rede sein.

Fasergyps kommt besonders gern plattig vor, die Platten durchschwärmen das Gestein nach verschiedenen Richtungen. Parallel der Faser sieht man oft noch den ersten Blätterbruch P, ja in der Dauphiné finden sich handhohe Platten, woran der muschelige Bruch noch schief die Faser schneidet, so daß die Faser ohne Zweifel mit der Bildung des fasrigen Bruchs T in engster Beziehung steht. Wird die Faser fein, so nimmt sie den schönsten Seidenglanz an (Nordhausen, Reuper der Schweiz etc.), zu Perlen geschliffen zeigen diese wie das Ragenauge einen innern beim Drehen beweglichen Lichtschein. Der Querbruch senkrecht gegen die Faser ist matt. Uebrigens findet man in denen von schneeweißem Schiller blättriges farbloses Fraueneis, das seine Hauptaxe gern der Faser parallel stellt, und in diesen Fällen werden auch die Krystalle mit vom Schiller ergriffen. Als Federweiß im gemeinen Leben häufig mit Asbest verwechselt.

Alabaſter (*ἀλαστροπης* Theophrast.), von der Stadt Alabaſtron, schneeweiße feinkörnige bis dichte Gypsmassen, die besonders schön am Fuße der Schweizerberge vorkommen. Noch heute werden sie in Italien vielfach verschliffen, vorzüglich der Genuesische. Im Alterthum diente er zu Salbenbüchsen. Besonders schön sind die durch Eisenoxyd bläuroth gefärbten. Weicher als Marmor, aber auch zerbrechlicher. Hier schließen sich dann die dichten Gypsfelsen aller Art an, durch Thon und Bitumen (im Zechstein) dunkel gefärbt, auch wohl mit Säuren brausend, wie der feinkörnige Pierre à plâtre von Paris mit 7,6 Ca C, 3,2 Thon, der aber gerade wegen dieses Gehaltes ein so vortreffliches technisches Material gibt. Uebrigens ist mit solchen Gebirgsmassen Anhydrit auf das Mannigfaltigste verbunden.

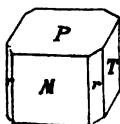
Schaumkalk pag. 395 aus dem Zechstein gleicht einem gebrannten blättrigen Gypse, besteht aber aus reinem kohlensaurem Kalk, und ist ohne Zweifel eine Aſterbildung, G. Rose meint nach Arragonit. Nach Sorby werden Gypskrystalle in einer Lösung von Soda zu kohlensaurem Kalk, und dieser in einer Lösung von Eisenchlorür zu kohlensaurem Eisenoxydul. In Salzpfannen sondert sich Gyps (und Anhydrit) körnig ab. Auch kommt er erdig, gefrösförmig, in Kugeln etc. vor.

2. Anhydrit.

Der Name „wasserfrei“ im Gegensatz von Gyps sehr bezeichnend. Nach Fichtel (Mineral. Aufsätze. Wien 1794. pag. 228) kannte schon Abt. Boda die

späthigen Sorten von Hall in Tyrol. Mit Salz zusammen dort vorkommend, hielt man sie deshalb für salzsauren Kalk, daher *Muriacit*. Wegen des Würfelbruchs nannte sie Werner anfangs Würfelspath, Hausmann Karstenit.

Zweigligedriges Krystallsystem, denn die Stücke zeigen deutlich dreierlei blättrige Brüche, die sich unter rechten Winkeln schneiden. Bei aufmerksamem Studium kann man diese selbst von Bruchstücken mit Sicherheit unterscheiden. Folgen wir Haüy (*Mém. du Museum d'hist. nat.* 1815. I. 91.) so ist der



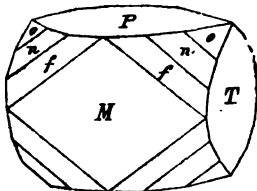
1te Blätterbruch $T = b : 00a : 00c$ durch seinen schwachen Perlmutterglanz und die Menge Newton'scher Farben leicht zu erkennen, er ist so deutlich als beim Charnit und hat auch ähnliche Querstreifen parallel *Age* *a*. Der

2te Blätterbruch $P = c : 00a : 00b$, die Geradendfläche, ist ebenfalls parallel *a* gestreift, hat aber nur Glasglanz. Man kann zwar bei kleinen Stücken in augenblicklichen Zweifel gerathen, allein im Ganzen gewinnt er beim Zerbrechen nicht die Breite, wie der erste. Der

3te Blätterbruch $M = a : 00b : 00c$ tritt in den Krystallen immer als matte Fläche auf, was ihn auszeichnet, springt auch noch sehr glatt weg, zeigt aber keine Streifung. Schon der seine Beobachter Haüy



bemerkt auf dem 2ten Blätterbruch *P*, wenn man quer durchsieht, öfter deutliche Streifen, die sich unter 100° und 80° schneiden, sie entsprechen ohne Zweifel versteckten blättrigen Brüchen der rhombischen Säule $r = a : b : 00c$, deren vorderer stumpfer Winkel durch die matte *M*, und deren scharfer durch den 1sten Blätterbruch *T* gerade abgestumpft wird. Man findet diese Säule recht ausgezeichnet bei den oft mehr als Zollgroßen blaurothen Krystallen von Hallein, wo sie mit dem Handgoniometer 100° geben (*Mr* 140°). Haüy



beschreibt außerdem eine seltene Varietät progressive mit *PMT* und 3 Oктаedern $o = a : b : c$, $n = b : c : \frac{1}{2}a$, $f = b : c : \frac{1}{4}a$. Die Krystalle dehnen sich häufig nach der *Age* *a* (*P/T*) strahlenförmig aus (Verdichtesgaben), so daß die matte *M* als Geradendfläche erscheint.

Die Lage der + optischen *Age*n läßt sich mit dem Polarisationsmikroskop sofort entscheiden: man darf nur von den Strahlen bei Verdichtesgaben parallel der matten Geradendfläche *M* ein Stückchen abspalten, so zeigen sich senkrecht gegen *M* in der Ebene des 2ten Blätterbruchs *P* die Lemniscaten. Folglich ist wie bei Schwerspath *a* optische Mittellinie, aber *a* *b* Ebene der optischen *Age*n. Hiermit hat man zugleich ein practisches Mittel, die drei blättrigen Brüche *TPM* von einander zu unterscheiden. Müller (*Pogg. Ann.* 1843. 55. 220.) und Grailich haben leider die Haüy'schen Buchstaben verstellt, was nothwendig verwirren muß. Des- cloizeaux (*Ann. min.* XI) blieb richtig beim Alten.

Reichlich Kalkspathhärte, Gew. 2,9. Feuchten Glasglanz und trübe

zufällige Farben, worunter sich besonders Smalteblau auszeichnet, das von einem kleinen Bitumengehalt herzurühren scheint. Stark diamagnetisch.

Vor dem Löthrohr wird er nicht schnell weiß wie Gyps, schmilzt aber zuletzt ebenfalls zu Email, denn er besteht aus Ca S mit 58,5 S, worin 23,4 Schwefel enthalten. Anhydrit, besonders pulverisirt, hat Neigung Wasser anzunehmen, sich also in Gyps zu verwandeln. Bei Ber im Wallis soll das Gebirge an der Luft in wenigen Tagen aufschwellen und gypsig werden (Charpentier Mineral. Taschenb. 1821. 226). Man ist daher ziemlich allgemein der Ansicht, daß der meiste Gyps im Gebirge durch Aufnahme von Wasser aus Anhydrit entstanden sei. Anhydrit selbst sei gerade wegen seines Wassermangels auf heißem Wege gebildet. Erweisen läßt sich das aber nicht, denn wenn im Innern des Salzgebirges das Gypsgestein häufig in Anhydrit übergeht und sich damit auf das mannigfachste mischt, so könnte man eben so gut die Erklärungsweise umdrehen, und den Gyps als das ursprüngliche Wassergebilde ansehen, welcher durch das lange Lagern in der früher viel höhern Erdwärme langsam sich gebrannt und Wasser abgegeben habe. Uebrigens scheint es noch gar nicht so ausgemacht, ob der schwefelsaure Kalk sich aus dem Wasser unter allen Umständen wasserhaltig niederschlagen müsse, denn Johnston fand, daß in einem Dampfkessel, der unter einem Druck von 2 Atmosphären arbeitete, sich schon Krystalle von Ca S + $\frac{1}{2}$ H bildeten, und in der Chemie gibt es gar manche Beispiele, wo Nebenumstände auf den Wassergehalt eines Salzes den wesentlichsten Einfluß haben. Merkwürdiger Weise scheint auch der Pfannenstein, welcher sich beim Salzieden niederschlägt, Anhydrit zu sein, denn Prof. Fehling (Würt. Jahresh. 1849. 27) fand in den Sudpfannen von Hall bei einem Gehalt von 63 Ca S noch nicht 3 p. C. H, und da zugleich 14,3 Na S darin vorkommt, das zu seiner krystallinischen Constatuirung auch des Wassers bedarf, so kann das kein Gyps sein. Zuweilen, wie am Harze, ist der Gyps mit Anhydrit gemengt, wenn jedoch die Beimengung gewisse Portionen nicht übersteigt, so kann er ebenfalls gebrannt und ohne sonderlichen Nachtheil benutzt werden. Der reine Anhydrit ist unbrauchbar.

Blättriger Anhydrit, grau, schneeweiß, rüthlich, bläulich, aber stets mattfarbig. So wie sie jedoch nur einigermaßen stark gefärbt sind, so wirken sie gleich auf das Dichroskop. Besonders reich sind die Alpinischen Salzwerke: Ber, Berchtesgaden, Hallein u., wo sie der Bergmann lange vor den Gelehrten als schuppigen Gyps unterschied. Auf Erzgängen finden sie sich nur selten (Andreasberg, Kapnik), zuweilen sogar in den Somma-Auswürflingen, und selbst in Alpinischen Bergkrystallen.

Körniger Anhydrit zeigt einen eigenthümlichen feuchten Glasganz, noch in dicken Stücken Durchscheinend, wie z. B. die grauen von Tiede bei Braunschweig, Ber, Vulpino östlich Bergamo (Vulpinit). Dieselben haben ganz das Korn des Statuenmarmors, und werden noch heute in Italien von Künstlern als Marmo bardiglio di Bergamo verbraucht. Plinius hist. natur. 37. 48 erwähnt eines Phengites (Leuchtstein), von der Härte des Marmor, weiß und durchscheinend, woraus Nero der Fortuna

einen Tempel baute, der bei verschlossenen Thüren durch die Mauersteine Licht fallen ließ. Schon Agricola nat. foss. VII. 631 scheint diesen für körnigen Anhydrit gehalten zu haben, und die Ansicht hat allerdings große Wahrscheinlichkeit. Werner nannte bloß den smaltblauen Anhydrit, und hier genoßen die aus den Salzbergwerken von Sulz am obern Neckar, auf welche Küssler 1801 die Aufmerksamkeit lenkte, eines besondern Rufes (Dr. Lebre, dissert. inaug. system. examen phys. chem. gypsi caerulei Sulzæ ad Nicrum nuper detecti. Tubingæ 1803). Sie kommen im dortigen Salzthon in Platten von mehreren Fuß Durchmesser vor, aber nur nesterweis. Die schöne blaue Farbe schießt leider ab, und erinnert sehr an die gleiche Farbe des Cölestins. Am Sommerautogel bei Hallstadt sogar in Ammonitenkammern.

Dichter Anhydrit, in derben Massen, matt mit feinsplittrigem Bruch, meist grau und mit dichtem Fluß verwechselbar. Sehr eigenthümlich ist der Gefrösstein von Wieliczka und Bochnia, im reinen Steinsalze oder Salzthone sich ausscheidend. Eine blaßblaue dichte Substanz, die sich entweder kugelig zusammenzieht, oder faltige schnirkelförmig gekrümmte Platten bildet. Sie erinnern an den sogenannten Schlangenalabaster im Zechsteingyps des Harzes, der vielleicht ursprünglich auch Anhydrit war. Eine Spur von Faserung ist

zwar da, aber dieselbe spricht sich doch nicht sicher aus, wie überhaupt fasrige Anhydrite zu den größten Seltenheiten gehören, denn die rothen von Berchtesgaden und Ischl sind mehr strahlige Krystalle, als eigentliche fasrige Bildungen.

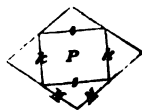


3. Schwerspath.

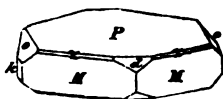
Ein alter passender bergmännischer Name, denn das Mineral ist auf Erzgängen so häufig, daß es nicht übersehen werden konnte, daher sagt schon Henkel in seiner Pyritologia, es gebe so „schweren Spat, daß man einen metallischen Körper fast gewiß darinnen vermuthen sollte.“ Wie Plinius so stellte Wallerius ihn wegen seiner Blättrigkeit zum Gyps, Cronstedt um so mehr, weil er darin die Schwefelsäure bereits erkannte. Als nun aber Bergman 1781 die Baryterde darin entdeckte, so wurde er von Romé de l'Isle als Spath pesant ou séléniteux schon gut beschrieben. Baryt, Baryte sulfatée, Wolun.

Zweigliedriges Krystallsystem mit großer Neigung zur Tafelbildung, immer leicht erkennbar an seinem dreifach blättrigen Bruch. Der 2te und 3te Blätterbruch $M = a : b : \infty$ bilden eine rhombische Säule von $101^{\circ} 40'$, gegen welche der 1ste Blätterbruch $P = c : \infty a : \infty b$ rechtwinklig steht. Haüy (Ess. cryst. 121) nahm den Rhombus $P 101^{\circ} 32' 13''$ wie beim Kalkspath. Er sondert sich häufig schaalig ab, was seine Erkennung erschwert, und dadurch entstehen auf dem 2ten und 3ten Blätterbruch oft Sprünge, die nicht einander parallel gehen. Die einfachen Tafeln PMM ,

Hauy's Primitivform, finden sich besonders ausgezeichnet zu Ungarn, Schemnitz, Felsöbánya, ohne Spur einer andern Fläche. Durch gerade Abstumpfung der scharfen Kante $k = b : \infty a : \infty c$ entstehen auf dem Bacherstollen bei Schemnitz einfache sechsseitige Tafeln, ebenso wird durch die Abstumpfung der stumpfen Kante $s = a : \infty b : \infty c$ eine andere sechsseitige Tafel erzeugt. Außerst selten herrschen k und s mit P allein, dann entstehen Oblongtafeln. Fläche k findet sich häufiger als s , aber beide gewöhnlich untergeordnet. Dazu treten dann Paare:



auf die scharfe Säulenkante aufgesetzt $o = b : c : \infty a$ bildet in b den stumpfen Winkel $105^\circ 24'$, auf die stumpfe $d = 2a : c : \infty b$ bildet in a den scharfen $77^\circ 43'$; auch stumpft das Octaeder



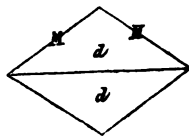
$z = a : b : c$ nicht selten, wenn auch ganz fein, die Kanten P/M ab. Aber trotz aller Abstumpfungen bleiben die Tafeln MMP noch so vorherrschend, daß man sich leicht zurecht findet. Legt man die Winkel $M/M = 101^\circ 40'$ und $o/o = 74^\circ 36'$ in c zu Grunde, so kommt

$a : b = \sqrt{0,3851} : \sqrt{0,5803} = 0,6206 : 0,7618$; $\lg a 9,79279$, $\lg b 9,88184$.

Dauber (Pogg. Ann. 108. 440) fand $o/o 105 \cdot 22$, $d/d 77 \cdot 44$. Die Flächen M bekommen nur selten eine etwas größere Ausdehnung, doch findet man zuweilen solche im Juralalke der schwäbischen Alp. Dagegen



dehnen sich oftmals die Paare o und d zu Oblongoctaedern aus, wie die großen gelben Krystalle von Roza (Puy-de-Dôme), die Flächen P stumpfen daran die Endecken, und MM die Seitenecken ab, und der stumpfe Säulenwinkel liegt wie die scharfe Seitenkante d/d des Oblongoctaeders. Fläche o hat meist das Uebergewicht über d , daher entsteht eine geschobene Säule $o/o 74^\circ 36'$, auf deren scharfe Kante das Paar d aufgesetzt ist. Doch kann auch umgekehrt d sich zu langer Säule entwickeln. Wenn P herrscht, wie auf der Grube Fabian bei Marienberg, Schriesheim im Odenwald, oder in den prachtvollen fußlangen und breiten Krystallen von Dufton zc., so entstehen Oblongtafeln, worin durch Sprünge sich die Blätterbrüche M verrathen. Eine andere seltenere Art Oblongoctaeder (Horowitz in Böhmen) entsteht durch Ausdehnung von d und M , es macht sich vorzugsweise d als Säule von $102^\circ 17'$ geltend, auf deren scharfe Säulenkante der Blätterbruch M aufgesetzt ist, die Sprünge verrathen M gleich, P stumpft die stumpfe Säulenkante d/d ab. Dagegen herrschen o und M , wie beim Eölestin, selten beim Schwerspath.



In der Zone der Aze b trifft man häufig außer d noch mehrere $m = 4a : c : \infty b$, $r = 5a : c : \infty b$, $8a : c : \infty b$, endlich auch das zugehörige Paar $u = a : c : \infty b 116^\circ 21'$, welches sich bei den wasserhellen Krystallen von Westphalen zu langen Arragonitartigen Säulen entwickelt, dessen scharfe Kanten P abstumpfen würde, woraus die Lage von M auf die stumpfe

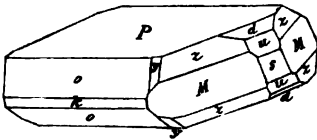


Säulenante aufgesetzt folgt. Trotz der kleinen Oктаederflächen z bemerkt man doch deutlich, daß u und o in eine Zone fallen, also ein zweigliedriges Dodekaëd bilden.

In der Zone der Axe a herrscht meist das zugehörige Paar o , selten die Flächen $e = 2b : c : ooa$ und $p = \frac{1}{2}b : c : ooa$, $c : 8b : ooa$.

In der Zone der Axe c liegen: $t = a : \frac{1}{2}b : ooc$, $l = a : \frac{1}{2}b : ooc$, $b : \frac{1}{2}a : ooc$, $b : \frac{1}{4}a : ooc$, $b : \frac{1}{4}a : ooc$, $2a : 3b : ooc$, $3a : 2b : ooc$.

Außer dem Hauptoktaeder z findet sich häufig $y = 2a : b : c$, die



Kante zwischen o und z abstumpfend, wie bestehender kleiner Krystall aus der Kammer eines großen Ammonites amaltheus des mittlern Vias beweist. Ueber z gibt außerdem Haupt $f = a : b : \frac{2}{3}c$ und $\vartheta = a : b : \frac{1}{2}c$ an. Neuerlich sind auf Gängen

im Gneise am nördlichen Odenwalde (Kl. Umstadt, Ob. Ostern) zwischen Darmstadt und Aschaffenburg flächenreiche Krystalle von großer Schönheit vorgekommen. Hesseberg maß daran über f und ϑ sogar noch 4 Oктаeder $a : b : \frac{1}{2}c$, $a : b : \frac{1}{4}c$, $a : b : \frac{1}{2}c$, $a : b : \frac{1}{4}c$. Selten beim Wollahn $v = a : 2b : c$. Uebrigens ist die Gruppierung der Flächen ganz wie bei Eölestin und Vitriolblei, die man zur gegenseitigen Erläuterung benutzen kann.

Die + optischen Axen (Bogg. Ann. 82. 455) liegen in der Ebene ac , doch ist nicht Axe c , sondern die kurze vordere Seitenaxe a die optische Mittellinie, mit welcher sie 19° , also unter sich 38° machen. Genaueste Untersuchungen stellte Heusser an (Bogg. Ann. 87. 455). Wenn die Krystalle nach der Axe b , besonders nach Säule u langgezogen sind, wie obiger Westphälische, so darf man sie bloß unter den Nicol halten, um so fort quer durch u die Bilder zu sehen. Sie haben starke Axenzerstreuung, denn das Centrum zeigt bei Medianstellung Roth außen und Blau innen scharf getrennt, woraus $\rho > v$ folgen würde. Schleift man sie dagegen senkrecht gegen die Mittellinie a , so ist umgekehrt $\rho < v$. Auch Eölestin und Vitriolblei lassen sich so unmittelbar durch u betrachten. Auf das Dichroskop wirken namentlich die gelben aus der Auvergne, das eine Bild wird auf Kosten des andern ganz saffrangelb; vergleiche ferner die himmelblauen von Maurob bei Wiesbaden.

Gew. 4,48, Härte 3—4. Glasglanz und farblos, weiß, grau, gelb, fleischroth, smalteblau, aber stets nur blasse Farben. Die Fleischrothen kann man mit Feldspath verwechseln.

Vor dem Böhrohr schmilzt er schwer, leuchtet stark, färbt die Flamme gelblich grün, und reducirt sich zu Schwefelbarium.

Ba S mit 65,6 Baryterde und 34,4 Schwefelsäure.

In Wasser, Säuren und Alkalien gänzlich unlöslich, daher Chlorbarium ein so empfindlich Reagenzmittel auf Schwefelsäure, und doch haben wohl alle Schwerspätthe sich nur auf nassem Wege gebildet, wenn gleich Mauroß sie auch durch Zusammenschmelzen von K S mit Ba Cl erhielt. Man findet sie hauptsächlich als Gangmittel: Grube Clara im Rantachthal (Nebenbach

der Rinzig) auf dem Schwarzwalde baut auf einem Gange von 20'—24' Mächtigkeit, der durch Gneis in den Buntensandstein aufsteht. Das schneeweiße Mineral wird zur Verfertigung des Bleiweiß benutzt, aber immer mehr durch Kuhlmanns künstliches Barytmehl (*blanc fixe*) verdrängt. Besonders lieben Kobalt-, Mangauerze und gebiegenes Silber dieses Ganggestein. Zu Schemnitz in Ungarn durchdringt das so leicht schmelzbare Graupießglang und Rauschroth die schönsten Schwerspathtafeln, so daß dort eine Bildung auf heißem Wege zur Unmöglichkeit wird. Dazu kommt noch das häufige Auftreten von krystallinischen Massen in Kammern von Ammoniten, man zerschlägt wenige *Ammonites angulatus*, *arietis*, *amalthei* etc. des Vias vergeblich nach ihnen, selbst in den Terebrateln des braunen Jura habe ich die schönsten Krystalle gefunden. Baryterdehaltig sind ferner ganze Schichtensysteme des Keuper und Buntensandstein, so daß wir nach der Quelle von Schwererde nicht weit zu suchen haben. Eigentliches Versteinigungsmittel von Petrefakten ist Schwerspath selten, er tritt meist wohl nur in die hohlen Räume, welche die Petrefakten früher einnahmen. Auch bei Asterkrystallen spielt er keine sonderliche Rolle, obgleich beschrieben werden.

Krystalle bildeten sich überall, wo Schwerspath nur Platz hatte zum freien Anschuß, wenigstens ist die Masse späthig, doch zeigt der erste Blätterbruch häufig Neigung zum Krümmen, was vielleicht auch mit der vorherrschenden Tendenz, Tafeln zu erzeugen, in innerm Zusammenhange steht. Je dünner die Tafeln, desto lieber stellen sie sich auf die Kante, dieß hat Raumann bewogen, von der Haup'schen Stellung abzuweichen, und u als Säule, folglich b als Hauptaxe zu wählen. Allein wenn man einmal abweichen will, so müßte a Hauptaxe sein, damit die optische Mittellinie damit zusammenfiel. Die Tafeln gruppiren sich zu halbflugeligen Rosetten, die sich auf das Mannigfaltigste in einander verschränken, aber in diesen Verschränkungen immer Buckel erzeugen. Es war dieß Werner's „krummschaliger Schwerspath“, kammförmiger des l'Isle, linsenförmiger des Vinné. Oft nur von Papierdicke gruppiren sie sich wie Tropfen auf Flußspath, kommen auch licht ziegelroth gefärbt in den dolomitischen Steinmergeln des Keuper vor.

Der graue Bologneser Spath aus dem Thone des Monte Paterno bei Bologna genoß bei den ältern Mineralogen einen gewissen Ruf, seit ein Schuster 1604 daselbst entdeckte, daß er mit brenzlichen Substanzen geglüht in der Finsterniß leuchte, wenn er vorher vom Sonnenlichte beschienen ist. Man setzt das Pulver mit Tragant schleim gemischt einer schwachen Rothglühitze aus. Der berühmte Daguerre füllte gestoßenen Schwerspath in vorher entfettete Markröhren und glühte sie mehrmals in starker anhaltender Hitze. Er bekam dann eine schwefelfarbige Masse, die das ganze Zimmer erhellte, leider verminderte sich die Empfindlichkeit schon nach 48 Stunden sehr bedeutend (Bogg. Ann. 46. 613). Es sind geodensförmige Ausscheidungen, einige sehr späthig, doch neigen sie sich meistens in auffallender Weise zum Fasrigen, die Faser strahlt vom Innern der Kugel nach allen Seiten, senkrecht gegen die Faser scheint meistens der blättrige Bruch P zu liegen, gern krummschalig werdend, und die beiden blättrigen Brüche M gehen

der Faser parallel. Ein kleiner Gehalt an schwefelsaurem Kalk (3—4 p. C.) ist wohl unwesentlich. Von dieser Faser verschieden ist Werner's

Stangenspath vom Lorenz Gegentrum an der Halsbrücke bei Freiberg. Dieß sind gestreifte Säulen nach der Aze a ausgedehnt, den Streifen geht P parallel, und die Blätterbrüche M bilden am Ende ihre stumpfe Kante. Sie haben manchmal starken Seidenglanz, und könnten dann leicht für stangenförmiges Weißbleierz pag. 438 gehalten werden. Wenn die Masse ganz feinsäfrig wird (säfriger Schwerspath), so nimmt sie eine ausgezeichnete Glasopffstructur an (Chaudfontaine bei Vüttich, Neu-Leiningen in der Rheinpfalz), aber selbst in diesen ist der Blätterbruch oft noch gut zu erkennen, er scheint die Lage wie beim Stangenspath zu haben. Die Farbe gewöhnlich nelfenbraun wird durch Verwitterung an der Oberfläche weiß, und zerfällt dann leicht zu

Schwerspatherde, die wie Bergmilch aussieht, aber durchaus nicht braust. Sie kommt gern auf Erzgängen vor (Freiberg, Derbyshire, Silberfeld bei Hoheneggeroldsee u.), und läßt trotz des Erdigigen ihre concentrisch schalige und fein säfrige Structur oft noch deutlich erkennen. Andere Erde entsteht aus dem dichten Schwerspath mit splittrigem Bruch. Zuweilen kommt er auch in zuckerkörnigen Massen vor (Aschaffenburg) von feinem Korn wie carrarischer Marmor, aber nicht von der Weiße. Gewöhnlich zeigen sich jedoch derbe Massen etwas krummblättrig auf P und strahlig nach M, wie die schön fleischrothen auf den Kobaltgängen des Schwarzwaldes. Zuweilen auch blumig blättrig.

Hepatit hat man dunkelfarbige bituminöse von den Rongsberger Silberergängen und aus dem Alaunschiefer von Andrarum in Schonen genannt. Dufrenoy's

Dreelit von der verlassenen Grube Ruffière bei Beaujeu, Dep. Saône-et-Loire, hat 9,7 Si, 8 Ca C, 14,3 Ca S, 61,7 Ba S; sind erstere Substanzen unwesentlich, so kann man ihn für $3 \text{ Ba S} + \text{Ca S}$ ansehen. Er hat nach den Sprüngen zu urtheilen drei Blätterbrüche, die sich unter 93° — 94° schneiden sollen, also auf ein Rhomboeder hinweisen würden.

Calstronbaryt von Schoharie enthält sogar ansehnliche Mengen von Gblestin und Anhydrit, ohne an seiner Blättrigkeit einzubüßen.

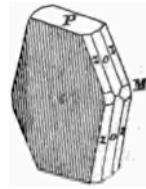
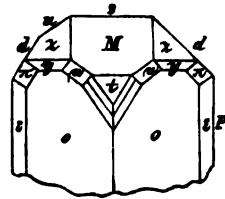
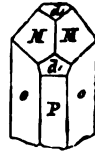
4. Gblestin

wurde von Werner nach seiner himmelblauen Farbe benannt, welche die ersten säfrigen Abänderungen aus dem Kalkstein von Frankstown in Pennsylvanien zeigten, auch Schüßit nach dem Entdecker Schüß (Beschreibung einiger nordamerikanischer Fossilien, Leipzig 1791. ss.). Zwar kannte schon Dolomieu die schönen farblosen aus dem Schwefelgebirge von Sicilien, doch verwechselte diese Romé de l'Isle noch mit Schwerspath.

Zweigliedrig und ganz Schwerspathartig. Der zweite und dritte Blätterbruch $M = a : b : \infty$ machen 104° , gegen welche der erste $P = c : \infty a : \infty b$ senkrecht steht. Das auf die scharfe Säulenkante aufgesetzte Paar $o = b : c : \infty a$ macht in Aze b 103° , daraus folgt:

$$a : b = \sqrt{0,3862} : \sqrt{0,6326}, \lg a = 9,79341, \lg b = 9,90060.$$

Die farblosen Krystalle von Girgenti dehnen o zu einer langen Säule aus, deren scharfe Kante von 77° der erste Blätterbruch P abstumpft, die stumpfe Kante M/M schließt die Säule, denn das nicht zugehörige Paar $d = 2a : c : \infty b$ tritt nur klein auf, macht aber die Fläche P zu einem Rechteck, wornach man sich leicht orientirt. Der erste Blätterbruch P ist ausgezeichneter als beim Schwerspath, während der 2te und 3te M sich nicht so leicht darstellen lassen. Im tertiären Kalksteine von **Bischof** bei Ratibor kommen sehr flächenreiche Krystalle in ansehnlicher Menge vor (Borne Zeitschr. deutsch. geol. Ges. 1855. VII. 464). Auch sie sind nach Axe a verlängert: P 001, s 100, M 110, o 011, u 101, d 102, t 120; $\mu = a : \frac{1}{2}b : \frac{1}{2}c$ liegt in Zone M/o und Diagonalzone d; wahrscheinlich $s = 2b : c : \infty a$, $y = 2a : b : c$, dann müßte $\pi = \frac{1}{2}c : \frac{1}{2}b : a$ sein, da es in Zone d/o und y/e fällt. Tafeln bilden die blauen Krystalle von **Beogang**, deren breite Fläche nicht P, sondern $s = a : \infty b : \infty c$ ist, bauchig matt und parallel der Axe c gestreift; $o = b : c : \infty a$ und Oktaeder $z = a : b : c$ nebst P die Randflächen.



Die smalteblauen Krystalle aus den Kammern des Ammonites Parkinsonii und seiner Begleiter haben eine stark quergestreifte Säule M/M, P und o herrschen, letztere aber ist matt. Ueber d liegt noch $l = 4a : c : \infty b$, und wenn diese richtig ist, so kommt außer dem gewöhnlichen Oktaeder z noch ein Oktaeder $v = 2b : \frac{1}{2}a : c$ vor, da es in den Zonen z/d und M/l liegt. Im Uebrigen sind die verschiedenen Krystalle dem Schwerspath so ähnlich, daß man äußerst vorsichtig in der Unterscheidung sein muß. Wir erwähnen daher nur noch der Hauptvarietät Apotome: es ist die Säule $o = b : c : \infty a$, auf welche ein spitzes Oktaeder $n = b : c : 3a$ gerade aufgesetzt ist. Kleine Krystalle kommen in den Mergellagern des Tertiärghypses von Paris vor, wo sie auf Sprüngen und Klüften der dortigen Gblestinkugeln sitzen. Auch bei Jena fand Suchow n öfter (Pogg. Ann. 29. 404). Descloizeaux hat daher gemeint, daß der Calcit von Sangerhausen Asterkrystalle von ihm seien.

Gew. 3,9, Härte 3—4. Eine blaß smalteblaue Farbe verräth ihn öfter, dieselbe verschleißt aber am Lichte, und ist wohl bituminös, wie bei Anhydrit. Axe a ist optische Mittellinie, nach welcher sich die Sicilianer ausgedehnt haben.

Vor dem Löthrohr verknistert er stark, schmilzt leichter als Schwerspath, und färbt die Flamme purpurroth, wodurch man ihn von Schwerspath unterscheidet. Kalksalze färben zwar ähnlich, aber nicht so schön. Mit Lithion kommt man nicht leicht in den Fall sie zu verwechseln. Der Rückstand auf Kohle ist Schwefelstrontium, welches in Salzsäure gelöst, abgedampft und mit Alkohol übergossen eine schön rothe Flamme gibt.

Sr S mit 56,5 Strontianerde und 43,5 Schwefelsäure.

Freilich oft verunreinigt. Dient in der Feuerwerkerei zu den bekannten Strontianpräparaten.

Dem Vorkommen nach ist er zwar bei weitem nicht in den Mengen als Schwerspath zu finden, doch trifft man ihn im Flözgebirge an den verschiedensten Orten. Die blauen Krystalle von Leogang und Herrngrund auf Erzgängen sind sehr bekannt, dann die farblosen mit Schwefel, Kalkspath und Gyps im Tertiärgebirge von Sicilien (Schwefelgruben von Girgenti, Cattolica etc.). In Kammern der Ammoniten des schwäbischen Jura sehr schöne blaue Krystalle, strahlig blättrige Massen im Muschelsalke und Jurasalke (Naran), im Alpenthal des Fassathales, selbst in Höhlen der Mandelsteine von Montecchio Maggiore bei Vicenza. Hr. Breithaupt (Paragenesis. 12 und 106) legt auf das Vorkommen über dem Kalkspath großes Gewicht.

Fasriger Cölestin fand sich 1819 (Pogg. Ann. 29. 304) vorzüglich schön in den mergeligen Lagen des untern Muschelsalkes von Dornburg bei Jena, wo er Platten von blauer Farbe wie Fasergyps bildet, aber die Faser ist wenig gekrümmt. Es gibt Stücke, woran der erste Blätterbruch senkrecht gegen die Faser in der Richtung der Platte steht, auch sieht man auf der Platte selbst, daß sie aus in einander verschränkten Krystallen besteht. Ähnliche Platten zu Bouvron bei Toul, Frankstown in Pennsylvanien im Kalkstein. Excentrisch fasrig findet man ihn zuweilen in den Ammonitenkammern des untern Lias. Bemerkenswerth ist der frische und verwitterte von Wörten bei Hannover, welcher den dortigen Jurasalke in 3 Trummen von 2 Zoll Mächtigkeit durchsetzt. Gruner (Gübert's Ann. 1819. Bd. 60. 72) hat gezeigt, daß dieser neben 73 Sr S 26 Ba S enthalte. Die meisten werden durch Verwitterung ganz mehlig, dann steigt umgekehrt die schwefelsaure Baryterde auf 75 p. C., wahrscheinlich weil der etwas löslichere Cölestin vorzugsweise von dem Tagewasser ausgelaugt wird. Thomson hat aus einem solchen von Ringstown in Ober-Canada eine besondere Species Barytocölestin gemacht, die Hr. Sartorius auch im Dolomit des Binnenthales krystallisirt nachwies.

Cölestinknollen von Paris sehen zuckerförmig wie Dolomit aus, und brausen etwas mit Säuren, weil sie bis 17 p. C. Ca C enthalten. Andere gehen in's Dichte über. Ihr starkes Gewicht läßt sie ziemlich sicher erkennen. Bei Bristol kommt auch eine Abänderung mit 16,7 p. C. Ca S vor, und was dergleichen Verunreinigungen mehr sind.

5. Bitriolblei Br.

Andere drehen den Namen in Bleivitriol um, was nicht so passend scheint, denn zu den wahren Vitriolen würde Wasser gehören, Vitriol de Plomb (Proust Journ. phys. 1787. pag. 394). Der Oberhärzer Bergmann nannte es Bleiglas, wurde aber chemisch falsch gedeutet, bis Withering ihn auf der Insel Anglesea erkannte, daher von Deudant auch Angleseite genannt. Sulphate of lead. Plomb sulphaté.

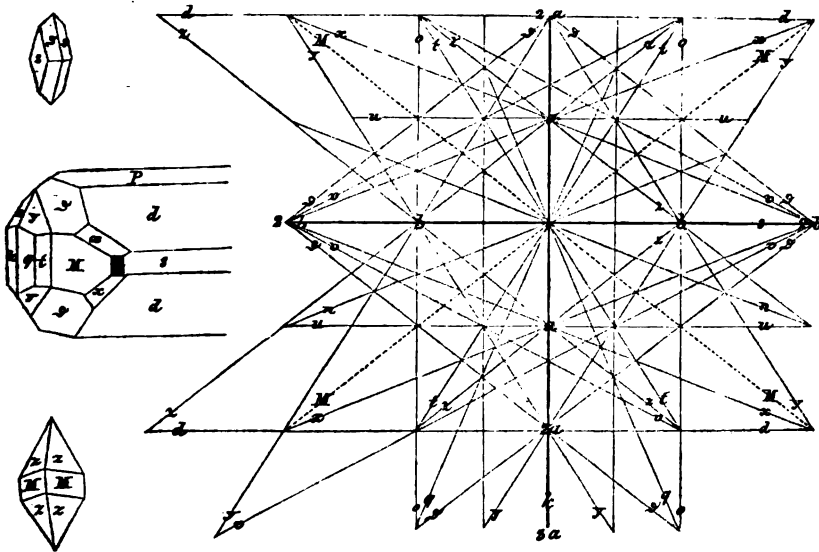
Zweigligedriges Krystallsystem mit großem Flächenreichtum, aber ganz nach Art der vorigen gebildet. $P = c : \infty a : \infty b$ deutlich blättrig,

auch die Säulen $M = a : b : \infty 103^\circ 42'$ verrathen sich nicht selten durch Sprünge. Das auf die scharfe Säulenlante aufgesetzte Paar $o = b : c : \infty$ macht in der Axe b $104^\circ 30'$, daraus ergibt sich

$$a : b = 0,608 : 0,774 = \sqrt{0,37} : \sqrt{0,6}, \lg a = 9,78405, \lg b = 9,88890.$$

Kokcharow (Pogg. Ann. 91. 156) fand $M/M = 103^\circ 43' 30''$, $o/o = 104^\circ 24' 30''$. Hr. v. Lang (Sitzungsab. Wien. Akad. 1859. 36. 241) weist in seiner ausführlichen Monographie 89 Parallelräume nach, unter den schwerspathartigen Krystallisationen der größte Reichthum. Die kleinen wasserhellen Krystalle von Hausbadon, dem Herrenseegen auf dem Schwarzwalde und Monte Ponì auf Sardinien gleichen brillantirten Diamanten: wir machen daher die wichtigsten Flächen in nachfolgender Projection auf P übersichtlich, stets die Buchstaben wie beim Schwerspath und Cölestin brauchend:

Bitriolblei auf $P = c : \infty a : \infty b$ projectirt.



Bei Müssen findet sich die Säule M mit Geradenfläche P , und in den großen Stücken vom Herrenseegen kann man namentlich den ersten blättrigen Bruch so deutlich erkennen, daß man sich nach ihm orientirt. Das Paar $d = 2a : c : \infty b$ auf die stumpfe Säulenlante aufgesetzt macht in d/P $140^\circ 34'$. Dasselbe dehnt sich häufig zur Säule von $78^\circ 48'$ aus, deren stumpfe Kante der Blätterbruch P gerade abstumpft. Bei complicirten Krystallen des Schwarzwaldes findet sich die Säulenzone M/M stark ausgebildet, darunter erkennt man $s = a : \infty b : \infty c$ und $k = b : \infty a : \infty c$ leicht. Säule M muß man sich durch Messung bestimmen, zwischen ihr und k liegen dann noch zwei gut spiegelnde Flächen $t = a : \frac{1}{2}b : \infty c$ und $q = a : \frac{1}{2}b : \infty c$. Oktaeder $z = a : b : c$ scheint bei Müssen selbstständig mit der Säule M vorzukommen; Dufrenoy gibt es von der Grube Hausbadon an, ich kenne von dort nur

das selbstständige $\mathfrak{S} = c : 2a : 2b$ mit $s = a : \infty b : \infty c$, was man freilich leicht damit verwechseln kann, allein man kennt es an den Streifen, die sich auf den Krystallen jener eingegangenen Grube zwischen M/s finden. Ueberhaupt herrscht in den Schwarzwälder Krystallen selten z , sondern außer \mathfrak{S} noch $y = 2a : b : c$, beide aus der Diagonalzone von d . Eine kleine Oктаederfläche, die Kante d/o abstumpfend, wird ohne Zweifel Naumann's $v = 2b : \frac{1}{2}a : c$ sein. Unter z kommt noch eine kleine Abstumpfung vor, sie mag $a : b : 2c$ gehen, während Naumann darüber eine $a : b : \frac{1}{2}c$ angibt. Nehmen wir dazu nun $x = a : c : 2b$, $a : c : \frac{1}{2}b$, $a : \frac{1}{2}b : \frac{1}{2}c$, $a : \frac{1}{2}b : \frac{1}{2}c$, $a : \frac{1}{2}b : \frac{1}{2}c$; die gestreifte $n = a : 2b : \infty c$, $\frac{1}{2}a : \frac{1}{2}b : \infty c$, $m = 4a : c : \infty b$, $p = \frac{1}{2}b : c : \infty a$, $\frac{1}{2}b : c : \infty a$ und andere Paare, so übertrifft das Bitriolblei trotz der Kleinheit seiner Krystalle die vorigen.

Diamantglanz, muscheliger Bruch ohne Neigung zum Seidenglanz, wodurch es sich vom Weißbleierz unterscheidet. Härte 3, Gew. 6,4. Axe a optische Mittellinie.

Vor dem Löthrohr verknistert es bei weitem nicht so stark als Weißbleierz, weil es schon in mehreren Zollen Entfernung von der Flamme schmilzt und sich reducirt.

Pb S mit 73,6 Bleioryd und 26,4 Schwefelsäure.

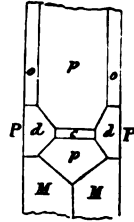
In Salpetersäure nur wenig löslich, und dadurch vom Weißbleierz unterscheidbar.

Kommt wie Weißbleierz in zerfetztem Bleiglanz vor. Auf den Schwarzwälder Gängen und am Monte Ponì (Prov. Iglesias Sardinien) haben sich die Krystalle nicht selten Gruben in den frischen Bleiglanz gefressen, man kann wohl gar das Bitriolblei herausnehmen, es zeigt sich dann ein mit Bleimulm austapeirtes unregelmäßiges Loch, wie wenn Säure lokal auf die Stücke gewirkt hätte. Bei Müssen, Zellerfeld, in der Parys-Grube auf Anglesea, die keine Ausbeute mehr gibt, ist das Gebirge so stark zerfressen, daß vom Kupferfies nur oderiger Brauneisenstein überblieb. Leadhills und Wanlockhead in Schottland, Vinares in Spanien, Nertschinsk, Goldgänge von Beresowsk. Fällt auch als wohlfeiles Nebenproduct bei Rattunfärbereien.

Bleisulfur Breith. von Leadhills und Vinares (Vinarit), auch im Ringitzthal vom Herrenseegen, zeichnet sich durch seine prachtvoll lasurblaue Farbe aus. Uebrigens im wesentlichen Pb S + Cu A, 20 Cu, 5 A. Von Brooke 2 + 1gl. beschrieben: eine geschobene Säule M/M macht vorn 61° , die blättrige Schiefenfläche P macht mit M $96^\circ 25'$. Den deutlichsten Blätterbruch soll jedoch die Abstumpfungsfläche der vordern scharfen Kante $a = a : \infty b : \infty c$ bilden, und die beiden Blätterbrüche a/P schneiden sich vorn unter $102^\circ 45'$. Auf der hintern Ecke mehrere Abstumpfungen. Nach Véoh (Descr. min. II. 466) häufig Zwillinge, welche die Säule gemein haben und umgekehrt liegen. Mit Soda auf Kohle reducirt es sich leicht, das Blei verflüchtigt sich, und eine kleine Kupferkugel bleibt zurück.

Bleisulfatocarbonat (Canarkit) Pb S + Pb C, daher auch Halbbitriolblei genannt. Reichlich Gypshärte, Diamantglanz im Querbruch,

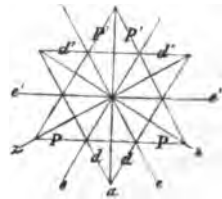
und hohes Gewicht 6,5—7. Eine geschobene Säule $M = a : b : \infty c$ macht vorn 130° , der ausgezeichnete Blätterbruch $P = b : \infty a : \infty c$ stumpft die scharfe Kante ab. Die Geradensfläche $c = c : \infty a : \infty b$ weicht höchstens um wenige Minuten vom rechten Winkel gegen Aze c ab. Das Paar $p = a : c : \infty b$ auf die stumpfe Säulenkante aufgesetzt schneidet sich in c unter $120^\circ 30'$, ein anderes $d = b : c : \infty a$ stumpft die Kante P/c ab, daher die Geradensfläche c ein Rechteck. Anderer kleinerer Abstumpfungen nicht zu erwähnen, die allerdings eine 2 + 1gliedrige Ordnung haben könnten. Er stammt von Leadhills, diese Schottischen sind häufig grünlich und zeigen sich meist in dünnen perlmutterglänzenden Tafeln, in Salpetersäure entwickeln sie Luftblasen, zerfallen und hinterlassen einen weißen Rückstand.



Ternärbleierz (Leadhillit, Sulphato-tricarbonat of Lead) $PbS + 3PbC$. Erscheint in perlgrauen bis grünlichen Tafeln, gypsartig, weich und blättrig, Diamantglanz, Gew. 6,4 und Vorkommen in zerfressenem Gestein von Leadhills (Brooke Edinburgh Phil. Journ. 1820. III. 117) läßt es leicht erkennen. Mit Salpetersäure behandelt gibt es einen weißen pulverigen Rückstand von Schwefelsäurem Blei. Lévy (Descr. min. II. 461) beschreibt in Uebereinstimmung mit Brooke 3gliedrige Rhomboeder $P = a : a$ von $72^\circ 30'$ in den Endkanten, mit Gegenrhomboeder $d = a' : a'$, 1ste Säule $e = a : a : \infty c$. Der blättrige Bruch $c = c : \infty a : \infty a$ ist so deutlich, daß man beliebige Blätter abspalten kann, die sich — optisch 2axig erweisen mit einem blauen Centralfelde, also $v > \rho$. Das ist ein außerordentlich practisches Hilfsmittel. Auch auf dem Herrenseegen kamen im zerfetzten Kupferkies farblose Platten wie Fraueneis vor, die dasselbe optische Verhalten zeigen. Der Winkel der optischen Azen ist klein, Descloizeaux gibt $2V = 10^\circ 35'$ an. Es könnte sich hier wie beim Glimmer verhalten. Hr. Haidinger will ebenfalls Winkelunterschiede gefunden haben, wornach es 2 + 1gliedrige Tafeln wären: $e =$



$a : b : \infty c$ macht eine rhombische Säule von $59^\circ 40'$ durch $e' = a : \infty b : \infty c$ gerade abgestumpft. Das Hauptrhomboeder zerfiel in $P = \frac{1}{2}a : \infty b : c$ und $P' = a' : b : c$ in der hintern Kante $72^\circ 10'$, der blättrige Bruch c macht mit e' vorn $90^\circ 29'$, der Winkel, unter welchem sich die Azen a/c vorn schneiden würden. Das Gegenrhomboeder $d = a : b : c$ macht daher vorn eine etwas größere Kante $72^\circ 37'$ als P'/P' hinten, $d' = \frac{1}{2}a' : \infty b : c$. Sehr auffallend sind die bei 2 + 1gliedrigen Systemen ungewöhnlichen Drillinge: dieselben haben die Säulenfläche $z = b : \frac{1}{2}a : \infty c$ gemein, welche 3gliedrig genommen der 2ten sechsseitigen Säule entspricht. Da dieselbe in ihrem stumpfen Winkel $119^\circ 40'$ macht, so füllen drei Individuen einen Raum von 359° , und die ganze Anordnung sieht auffallend dreigliedrig aus. Auch das polarisirte Licht läßt deutliche Zwillingstreifen wie beim Arragonit hervortreten. Dagegen soll der Zusammenhang bei Leadhills rhomboedrisch bei gleicher Zusammensetzung sein.



Obiges Bleisulphatocarbonat kommt stets in Begleitung des Leadhillit in Lanarkshire vor, und scheint mehr Stängel und Strahlen als deutliche Krystalle zu bilden. Auch Haidinger beschreibt es augitisch mit einem „sehr vollkommenen“ Blätterbruch. Zepharovich gibt es aus Tyrol an. Die Dinge sind mit andern Bleierzten so durchwachsen, daß es schwer hält, sich ohne chemische Analysen durchzufinden. Kolschabarow erwähnt den Leadhillit auch von Nertschinsk, wo bekanntlich Weißbleierz so vortrefflich bricht.

Halblasurblei (Caledonit) $3 \text{ Pb S} + 2 \text{ Pb C} + \text{Cu C}$, Cupreous sulphatocarbonate of lead, spangrün. Wird 2gliedrig beschrieben: eine blättrige rhombische Säule von 95° mit Geradenfläche und abgestumpfter scharfer Säulenkante. Entwickelt sich daher schwerspathartig. Leadhillit

Selenigsaures Bleioxyd führt Kersten von Tannenglasbach bei Gabel ohnweit Hildburghausen an (Pogg. Ann. 46. 222). Es scheint durch Verwitterung des mitvorkommenden Selenkupferblei entstanden zu sein. Kleine schwefelgelbe fasrige Kugeln mit einem deutlich blättrigen Bruch, Kalkspathhärte. Schmilzt leicht unter starkem Selengeruch. Die löslichen schwefelsauren Salze später.

Fluoride.

Fluor ist zwar hauptsächlich im Flußpath niedergelegt, allein es gibt namentlich unter den Silicaten mehrere mit einem nicht unwichtigen Flußsäuregehalt: die verschiedenen Glimmersorten 0,1—10,4 Fl, Hornblende 1,5 Fl, Chondroit 7—10 Fl, Topas 14 Fl, Zöthophthalm $\frac{1}{4}$ —1,5 Fl, Karpolith 1,5 Fl, Parisit 2,5 Fl, Leucophan 6,2 Fl. Unter den salinischen Steinen hat Fluorapatit 1,25 Fl, Wagnerit 6,2 Fl, Wavellit 3 Fl, Amblygonit 8,1 Fl; unter den oxydischen Erzen Pyrochlor 3,23 zc. Frei wie Kohlensäure in manchen Wässern, namentlich auch im Meere. „Seine Gegenwart durch das Löthrohr zu erforschen, ist minder leicht bei solchen Verbindungen, wo es einen wesentlichen Bestandtheil ausmacht, z. B. beim Flußpath, Kryolith zc., weil die Fluorwasserstoffsäure hier von der Hitze nicht so ausgejagt wird, wie da, wo sie bloß ein zufälliger Bestandtheil zu sein scheint, wie z. B. im Glimmer, in der Hornblende zc., bei welchen zufolge der veränderten relativen Lage der Bestandtheile die Fluorwasserstoffsäure gewöhnlich mit Kiesel-erde entweicht. In diesem Falle braucht man bloß die Probe in einer zugeblasenen Glasröhre zu erhitzen, in deren offenes Ende man ein befeuchtetes Fernambukpapier einschiebt, das gelb wird. Im ersten Falle mengt man die Probe mit vorher geschmolzenem Phosphorsalz, und erhitzt sie am Ende einer offenen Glasröhre, so daß ein Theil von dem Luftstrome der Flamme in die Röhre getrieben wird. Dadurch wird wasserhaltige Fluorwasserstoffsäure gebildet, die das Glas angreift.“

1. Flußpath.

Bekannt, so alt der Bergbau ist. Denn Agricola Bermannus pag. 701 heißt sie Fluores Flüsse (fluor fließen): lapides sunt gemmarum

similes, sed minus duri fluores (ut nostri metallici appellant), varii autem et jucundi colores eis insident. Wegen seiner schönen Farben nannten ihn die alten Bergleute Erzblume oder auch marmor metallicum, Marmor der Erz bringt. Voetius de Voot 1647 kennt bereits seine Phosphorescenz „igne admotu noctulucens,“ und schon Schwanhard in Nürnberg benutzte ihn 1670 zum Glasäßen, aber erst Scheele wies 1771 darin eine besondere Säure, Flußpathsäure, nach. Werner nannte die dichte Abänderung schlechthin Fluß, und nur die spärlichen Flußpath. Chaux fluatée.

Reguläres Krystallsystem mit vorherrschenden Würfeln, aber oktaedrisch blättrig so deutlich, daß man die Körper leicht herauschlagen kann. Am leichtesten bekommt man Tetraeder, in dem die parallelen fehlen, und Rhomboeder mit den Winkeln des Tetraeder, worin ein blättriger Bruch zurücktritt.

Würfel treten am häufigsten auf, im Teufelsgrunde des Münsterthales am Belchen erreichen sie über 1 Fuß Durchmesser. Daran stumpft der Blätterbruch die Ecken gerade ab, so daß gleichseitige Dreiecke entstehen.

Oktaeder kommen zwar sehr schön selbstständig vor (grün zu Moldawa, Andreasberg; rothe Baveno, St. Gotthardt, Derbyshire, Guanajuato u.), sind aber gewöhnlich mattflächig; mattflächig zeigen sie sich auch, wenn sie untergeordnet an den Würfecken auftreten, Cubooktaeder von Derbyshire, Hall, Zinnwalde. Zu Ehrenfriedersdorf findet man auch kleine blaue **trep-penförmige**, welche aus lauter Würfelchen zusammengesetzt sind, die ihre Ecken zur Oktaederfläche lehren, namentlich endigen die Ecken mit einem großen Würfel. Es ist das Haüy'sche Decrescenzgesetz, worauf schon frühzeitig Gewicht gelegt wurde. Zu Beeralstone ist das Oktaeder öfter hohl, und durch Zwischenlager von Riesel gestört (Köy Min. I. 162).



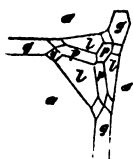
Granatoeder stumpfen die Würfelkanten gerade ab, kommen bei Engländern sehr schön vor. Selbstständig erwähnt sie Haüy von Chalucet (Dep. Saône et Loire), Werner von Marienberg. Diese grünen sächsischen haben öfter auf der Oktaederecke einen kleinen blauen Würfel, was ein Fortwachsen bezeichnet. Zinnwalder, Bavenoer u. zeigen alle drei Körper.

Pyramidenwürfel schärfen die Würfelkanten zu, sie gehören gerade nicht zu den gewöhnlichen Erscheinungen, doch findet man sie auf den Zinnsteingruben von St. Agnes in Cornwall ganz selbstständig, daher hat auch Haidinger den Körper Fluorid genannt: gewöhnlich $a : \frac{1}{2}a : 00a$, höchst selten $a : \frac{1}{2}a : 00a$ zu Matlock in Derbyshire.

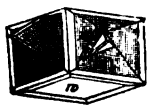
Leucitoeder $a : a : \frac{1}{2}a$ selten, etwas häufiger noch das Leucitoïd $a : a : \frac{1}{2}a$, sie schärfen Würfecken dreiflächig zu, Fläche auf Fläche aufsetzt. Pyramidenoktaeder $a : a : 2a$ kommt bei Rongsborg vor. Am häufigsten unter allen Abstumpfungen der Würfecken finden sich jedoch

Achtundvierzigflächner, welche die Würfecken sechseckig zu-schärfen. Auf der Grube Friedrich Christian im Schappachthal brechen faustgroße Würfel mit ganz kleinen, aber sehr glänzenden Eckenflächen. Die bekannten Krystalle aus dem Teufelsgrunde sind dagegen sehr drusig, zuweilen

tritt der Würfel bedeutend zurück, wie bei den honiggelben von der Grube Hausbadon: $a : \frac{1}{2}a : \frac{1}{4}a$ soll ihr Ausdruck sein. G. Rose (Pogg. Ann. 12. 488) bestimmt an den blauen Cumberländischen Würfeln $a : \frac{1}{2}a : \frac{1}{4}a$, an einem weißen Würfel $\frac{1}{2}a : \frac{1}{4}a : \frac{1}{8}a$. Wie complicirt die Abstumpfungen der Ecken werden können, zeigt die schöne Modification, die Lévy von Rongsberg abbildet: Würfel w, Granatoeder g, Leucitoïd $l = a : a : \frac{1}{2}a$, Pyramidenoktaeder $p = a : a : 2a$ und ein 48flächner mit dem seltsamen Ausdruck $a = \frac{1}{2}a : \frac{1}{4}a : \frac{1}{8}a$ wird angegeben. Noch viel flächenreichere bildet Phillips von Devonshire ab.



Zwillinge kommen besonders schön unter den amethystblauen und grünblauen von Cumberland und Durham (Weerdale) vor: zwei Würfel durchdringen sich, und die Ecke des einen tritt aus der Fläche des andern so heraus, daß ihre drei Kanten im Verhältniß 1 : 1 : 2 geschnitten werden, was den Beweis für den Zwilling liefert. Auch spiegelt ein blättriger Bruch in beiden ein. Von einem Durchstoßungspunkte der Kante gehen vier Linien aus, die Andeutungen eines sehr flachen Pyramidenwürfels sind, wie auch die Streifung parallel den Würfelkanten zeigt. Wo solche Ecken nicht durchstoßen (wie Fläche w), sind die Flächen häufig außerordentlich spiegelflächig ohne Spur einer Streifung. So daß man vermuthen muß, das Durchstoßen der Ecken habe den Impuls zur Streifung gegeben.



Mißbildungen. Im Teufelsgrunde werden einzelne Würfel Flächen in auffallender Weise bauchig, was eine Verziehung der Würfelkanten zur Folge hat. Besonders interessant sind die grünen vom Dreifaltigkeits-Erzkstollen bei Zschopau in Sachsen: dieselben verziehen sich zu scharfen Rhomboedern, auf deren Flächen sich ein bauchiges Paar erhebt, wodurch Dreiunddreikantner öfter in solcher Regelmäßigkeit entstehen, daß man sie für Hälftflächner eines Pyramidenwürfels um so mehr ansehen muß, als die Blätterbrüche vortrefflich ein spiegeln. Stellt man sich also den Pyramidenwürfel $a : \frac{1}{2}a : \infty a$ nach einer trigonalen Axe aufrecht, so wachsen nicht die sechs um die Axienecke, sondern die darunter gelagerten. Die stumpfen Endkanten des Dreikantners öfter etwas abgestumpft. Auch Zwillinge kommen vor, kurz die ganze Entwicklung erscheint dreigliedrig. Grailich (Kryst. opt. Unters. pag. 72) gibt auch Dreikantner vom Leucitoeder an.



Afterkrystalle nach Kalkspath. Im Teufelsgrunde kommen Flußpathhüllen des Kalkspathdreikantners mit dem Hauptrhomboeder vor. Diese Hüllen bestehen aus zwei Lagen kleiner Flußpathwürfelchen, die innere hat sich daher wahrscheinlich erst gebildet, als der Kalkspath schon weg war. In die Hüllen drangen dann größere Würfel von Flußpath, die dem Raume sich möglichst accommodiren. Wir haben also 5 Formationen: 1) Bildung von Kalkspath;



2) Niederschlag einer dünnen Haut auf den Krystallen; 3) Wegführung des Kalzspaths; 4) Bildung der kleinen Würfel auf beiden Seiten der Haut No. 2; 5) Ausfüllung des hohlen Raumes durch große Flußpathwürfel.

Flußpathhärte = 4; Gew. 3,18, ein eigenthümlicher feuchter Glasglanz, und die Schönheit der Farbenreihe so groß, daß er an Mannigfaltigkeit unter den salinischen Steinen obenan steht, ja vielleicht von keinem Minerale übertroffen wird, daher auch der alte bergmännische Name Erzblume so bezeichnend. Farblose von großer Klarheit finden sich in den Drusenräumen des Buntsandsteins von Waldshut, zu Derbyshire, Vercasco in Toskana; roth rosenfarbig und intensiv besonders in den Hochalpen am St. Gotthardt bis zum Mt. Blanc; gelb in allen Tönen, besonders wein- und honiggelb bis gelblichbraun von Gersdorf und Annaberg in Sachsen, schon Agricola beschrieb sie als Chrysolith; allerlei grün, fast in das Smaragdgrün verlaufend, Derbyshire, Herrenseegen auf dem Schwarzwalde, Sentis im Kanton Appenzel u.; blau vom Ton des Sapphir kommen sie im Salzgebirge von Hall in Tyrol vor, auf Zinnstein- und Kobaltgängen nicht selten ganz in das schwarz übergehend, die amethystblauen gleichen den Quarzamethysten in auffallender Weise, und kommen besonders klar aus Cumberland. Häufig bituminös.

Gewisse Cumberlandische zeigen eine eigenthümliche Art von Dichroismus: im reflectirten Lichte erscheint die Oberfläche amethystblau, im durchfallenden meergrün. Man hat daher diese Erscheinung bei andern Körpern nicht unpassend Fluoriren genannt, pag. 132. Zuweilen schließen sie Flüssigkeiten ein.

Vor dem Röthrohr phosphoresciren anfangs besonders die grünen und rothen mit einem schönen bläulichen Schein, und schmelzen dann schwer. Legt man aber Gyps, Baryt oder Cölestin daneben, so schmelzen sie flugs damit zu einer klaren Perle zusammen, die kalt trüb wird.

Ca Fl mit 52,3 Calcium und 47,7 Fluor, meist nicht viel verunreinigt. Mit den farblosen von Derbyshire konnte sogar Bouhet (Ann. Chim. 70. 104) das Atomgewicht des Fluor bestimmen. In concentrirter erhitzter Schwefelsäure wird er vollkommen zerlegt, entwickelt Fluorwasserstoff, was Glas ätzt. Da Flußsäure die Kiesel-erde leicht angreift und fortnimmt, so bildet er bei Hüttenprocessen ein wichtiges Flußmittel, das schon den ältesten Hüttenleuten bekannt war.

Flußpath kommt besonders mit Schwerpath auf Erzgängen vor, ist aber der Masse nach seltener als dieser. Eine der mächtigsten Ablagerungen bildet der grünlichweiße von Stollberg auf dem Unterharz, der eine stockartige Erweiterung von 14—16 Fächter erreicht und für den Zuschlag auf den Mansfelder Kupferhütten von Wichtigkeit ist. Die Gewerkschaft gewinnt dort jährlich 50,000 Ctr. à 3 Sgr. im Werth. Untergeordnet finden wir ihn auf den verschiedensten Erzgängen Deutschlands, Harz, Thüringerwald, besonders aber auf dem Erzgebirge und Schwarzwalde. Die im Bergfall aufsteigenden Bleierzgänge von England sind ausnehmend reich: Castleton in

Derbyschire, Alston Moor in Cumberland, Beeralstone in Devonshire, St. Agnes in Cornwall u. viel gerühmte Punkte. Aus Derbyshire erwähnt schon Bournon eines Erinoideenstieles, der auf der einen Hälfte aus Kalkspath, auf der andern aus blauem Flußspath bestand, doch ist es auch dort ungewöhnlich, ihn als Versteinerungsmasse von organischen Resten zu finden, obwohl einzelne Vorkommen bis in das Tertiärgebirge reichen, wie z. B. beim Jardin des Plantes zu Paris.

Krystalle herrschen überall vor, oder wenigstens körnige krystallinische Structur. In Derbyshire (Mam Tor bei Castleton) werden solche derbe Massen strahlig und concentrisch violblau und weiß gezeichnet. Man schleift daraus allerlei schöne Arbeiten, Vasen, Leuchter, Kaminplatten u. dergl. Dies hat zu der Vermuthung verleitet, die im Alterthum so hoch geschätzten vasa murrhina hätten aus Flußspath bestanden, doch geben dafür die Worte des Plinius hist. nat. 37. s keine sichere Handhabe. Im Granit von Wölfsendorf bei Schwarzenfeld an der Naab findet man ganz ähnliche strahlige Massen: die blauen werden stellenweis ganz schwarz, breunen sich aber wie die Englischen sehr leicht farblos, sind daher durch Bitumen gefärbt, welches Schafhäutl auch chemisch nachwies. Der bituminöseste darunter wird ganz schwarz, die Bergleute bekommen Uebelkeit, und heißen ihn **Stinkfluß**. Beim Reiben in einer Schale riecht er nach Chlor, deshalb glaubte man lange, es sei unterchlorigsaure Kalkerde dabei im Spiel, jetzt wird der Geruch für Ozon erklärt, was bis auf 0,2 p. C. steigen kann (Schrötter Sitzungsber. Wien. Ab. 1860. 10. Juli XLI). Mit Kochsalz zusammengerieben treibt er Chlor aus, was nur „Sauerstoff in seiner allotropen Modification als Ozon vermag“.

Dichter Fluß hat einen feinsplittigen sehr matten Bruch, trübe Farben, aber wie der Phengit pag. 447 in großen Handstücken oft noch Durchsichtigkeit. Derbe Handstücke von Stollberg auf dem Unterharz. Im verwitterten Gebirge wird er auch erdig. Bei Burton in Derbyshire finden sich Krystalle mit 40—50 p. C. Thon, die aber seine Krystallisationskraft nicht behindert haben. Auch der Natoskit von Moskau ist ein blauer Flußspath mit Mergel gemischt. Manche sind auch durch Schweferspath verunreinigt, der bis zur Hälfte steigen kann.

Yttrocerit Berz. (Ytterspath) aus dem Granit von Finbo und Broddbo bei Falun, eine violblaue sich gewöhnlich ins Erdige neigende Masse. Derbe Stücke scheinen den blättrigen Bruch des Flußspathes beizubehalten. Berzelius hielt es für ein Gemisch von Ca Fl mit Ce Fl und Y Fl. Es fanden sich blaue Oktaeder im Goldsand von Georgia und Nordcarolina. Fluocerit Berz. von dem gleichen Fundort soll reguläre sechsseitige Tafeln mit Geradenfläche bilden. Bläß ziegelroth ins Gelbliche, Gew. 4,7. Im wesentlichen Ce Fl. Fluocerin daher ist wasserhaltig.

2. Kryolith.

Ein dänischer Grönlandsfahrer brachte ein großes Stück nach Kopenhagen, wovon 1795 die erste Kunde kam; da er vor dem Löthrohr wie ge-

frorne Salzlauge schmilzt, so nannte ihn Abilgaard (Scheerer's Journ. Chem. 2. 502) nach dem griechischen Wort $\alpha\rho\iota\omicron\varsigma$ Eis.

Drei rechtwinklige Blätterbrüche erzeugen würfelige Stücke wie beim Anhydrit, aber die Brüche sind nicht so deutlich, einer zeichnet sich etwas vor den übrigen aus, die andern beiden scheinen fast gleich. Daher mag das System 2gliedrig sein. Gew. 2,95, Härte 3, Schneeweiß, mit einem feuchten Glasglanz, der an Eis erinnert.

Schmilzt leicht zu einer klaren Perle, breitet sich aber bald auf der Kohle zu einer schneeweißen unschmelzbaren Schlacke aus, die mit Kobalt-solution blau wird.

$3 \text{ Na Fl} + \text{Al Fl}^3$ mit 53,6 Fl, 33,3 Na, 13,1 Al Vanadinsäure 2c.

Gieseke (Edinburgh Phil. Journ. Januar 1822) war so glücklich, bei Jvikaet 30 Meilen von Julianeshaab an der Südseite des Arktut Fiord vom Meere bespült mehrere Lager im Gneise aufzufinden. Eines war ganz bunt von Schwefelmetallen durchzogen. In der Nähe fand sich sogar Zinnstein mit Wolfram. Jetzt ist es Gegenstand des Bergbaues und ein Lager soll auf 80' anschwellen, 40' ist ein Schacht darin abgeteuft. Nach innen wurde das Mineral immer dunkeler, zuletzt ganz schwarz (Pogg. Ann. 98. 511). Es kann nicht bloß zur Seifenfabrication verwendet werden, sondern mit Kalium oder Natrium und Zusatz von Steinsalz als Flußmittel gibt es sofort Aluminium. Nach Deville bildet Al Fl^3 Rhomboeder von $88^\circ 30'$ in den Endkanten, also scheinbar isomorph mit Thonerde.

Im Schriftgranit der Topasgruben von Miasa mit Amazonenstein und Flußspath bemerkte Hermann (Erdmann's Journ. prakt. Chem. 1846. 37. 188) den Gang eines weißen Minerals, worin sich später dreierlei Fluroide auszeichneten (Pogg. Ann. 83. 587), die äußerlich von einander kaum unterschieden werden können: eines ist wahrhafter Kryolith, das andere aber

Chiolith Hermann ($\chi\iota\omega\nu$ Schnee) $3 \text{ Na Fl} + 2 \text{ Al Fl}^3$, nach Rokscharow viergliedrige Oктаeder mit einem Endkantenwinkel von $107^\circ 32'$, Seitenkanten $113^\circ 25'$. Flußspathhärte, Gew. 2,7—2,9. Die „ganze Masse sieht einem Schneeklumpen nicht unähnlich.“ Hermann erwähnt zweier Blätterbrüche, die sich unter 114° schneiden. Das dritte hat 3,07 Gew. und die Formel $2 \text{ Na Fl} + \text{Al Fl}^3$.

Wollaston's Fluellit von Stenna-gwyn in Cornwallis, kleine glänzende Rhombenoktaeder (Lévy I. 298) auf Quarz mit Wavellit und Uranglimmer sollen im wesentlichen Fluoraluminium sein. Shepard's Warwidit soll 27,3 Fl enthalten. Ueber den Prosopit pag. 246 mit seinem Fluorgehalt fehlt noch Sicherheit. Die Schriftsteller sprachen von Schwerspath-Datolith- und Flußspathähnlichen Formen.

Phosphorsäure und Arseniksäure.

Phosphorsäure P kommt auf primärer Lagerstätte im Steinreiche nur untergeordnet vor. Das ist um so merkwürdiger, da sie in der Asche der Pflanzen und in den Knochen und Excrementen der Thiere eine so

wichtige Rolle spielt. Deshalb als Düngungsmittel von großer practischer Bedeutung haben die Chemiker ihr längst die gebührende Aufmerksamkeit zugewendet. Schon ehe Soanberg und Struve (Erdmann's Journ. prakt. Chem. 44. 201.) das empfindliche Reagens von Molybdän-saurem Ammoniak kennen gelehrt, war ein geringer Gehalt von P in den Graniten, Gneissen, Porphyren, Mandelsteinen, Basalten, Laven u. nachgewiesen, später gaben selbst die Meteorsteine von Juvenas (Kammelsberg) 0,28 P . Häufig ist es jedoch so wenig, daß Daubeny Keimen und Wachsen von Samen zu Hilfe nahm, um die Existenz nachzuweisen (Jahrb. 1858. 214). Da die Phosphorsäure von den höchsten Wirbelthieren bis zu den niedrigsten Korallenstöcken ($\frac{1}{4}$ —2 p. C.) nirgends fehlt, und die Asche der Fucusarten noch über 1 p. C. phosphorsaure Kalkerde enthält, so kann uns ihr Vorkommen auf secundärer Lagerstätte im Flözgebirge nicht verwundern, wo besonders Knochen und Koprolithen nicht selten noch 65—85 p. C. phosphorsauren Kalk zeigen. Forchhammer hat Phosphorsäure im Meerwasser nachgewiesen, das Selterswasser enthält ein Zehntausendstel $\text{Na}^2 \text{P}$, die Pyramonter Quelle 2 Milliontel phosphorsaure Thonerde, und die Karlsbader könnte jährlich nach Berechnung von Bischof 55 K Apatit erzeugen. Wenn man nun bedenkt, daß die Phosphate in den Gängen vorzugsweise in den obern Teufen, in den sogenannten Rifenläufem vorkommen, oder daß sie sich gern auf Spalten der secundären Gebirge sammeln, so mögen die organischen Wesen viel zu ihrer Anhäufung beigetragen haben. Zu einer der merkwürdigsten Erscheinungen gehören die drei isomeren Modificationen (Pogg. Ann. 76. 1): die gewöhnliche

a Phosphorsäure, in welche beide andere bei Behandlung mit Säuren übergehen, ist dreibasisch, und gibt mit salpetersaurem Silberoxyd einen gelben Niederschlag von $\text{Ag}^2 \text{P}$. Dahin gehört das vom Röthrohr her bekannte Phosphorsalz ($\text{H} + \text{Am} + \text{Na}$) $\text{P} + 8 \text{H}$. Das c phosphorsaure Natron ($\text{H} + 2 \text{Na}$) $\text{P} + 24 \text{H}$ wird durch Glühen zweibasisch, es entsteht

b phosphorsaures Natron $\text{Na}^2 \text{P}$ (Pyrophosphorsäure). Löst man das Salz in Wasser, so krystallisirt pyrophosphorsaures Natron heraus, $\text{Na}^2 \text{P} + 10 \text{H}$, das mit salpetersaurem Silberoxyd einen weißen Niederschlag von $\text{Ag}^2 \text{P}$ gibt. Glüht man dagegen das Phosphorsalz, so entweicht Wasser und Ammoniak und eine einbasische Masse $\text{Na} \text{P}$ bleibt zurück, dieß ist die

a Phosphorsäure oder Metaphosphorsäure, ihre Auflösung im Wasser fällt das Eiweiß, was die andern beiden nicht thun.

Phosphorsäure steht bei gewöhnlicher Temperatur der Schwefel-, Salz- und Salpetersäure zwar nach, allein wegen ihrer großen Feuerbeständigkeit treibt sie in der Hitze dieselben aus. Darauf beruht ihre Wichtigkeit als Röthrohrreagens. Phosphorsaure Verbindungen mit Schwefelsäure befeuchtet färben die Röthrohrflamme blaßgrün. Essigsaures Bleioxyd gibt einen Niederschlag von $\text{Pb}^2 \text{P}$, das vor dem Röthrohr mit polyedrischen Flächen erstarrt.

Arseniksäure As . Arsenik spielt besonders bei den Schwefelmetallen auf Erzgängen eine wichtige Rolle, wo Phosphor kaum vorkommt. Im

oxydischen Zustande ist dagegen das Arsenit weniger verbreitet als Phosphor. Doch machte Walchner im Ocker der Cannstadter Heilquelle 1844 einen merkwürdigen wenn auch geringen Fund von arseniger Säure As (0,8 p. C. nach Fehling, was etwa auf 10 Millionen Theile Wasser $1\frac{1}{2}$ As betragen würde), seit der Zeit fand sich dieses starke Gift in den verschiedensten Quellenniederschlägen, aber in so geringer Menge, daß der Genuß des Wassers nicht nachtheilig wirken kann. Daubrée will im Meerwasser Arsenit nachgewiesen haben, selbst aus Pflanzen und Thieren wird er angegeben. Jedenfalls liefert er ein wichtiges Beispiel für die große Verbreitung der Stoffe überhaupt. Vor dem Löthrohr ist die Säure sehr flüchtig, sie entzündet auf Kohle im Reductionsfeuer einen graulich weißen Rauch, welcher knoblauchartig riecht. Der Isomorphismus von P und As ist außer den natürlichen Salzen noch durch viele künstliche erwiesen (Pogg. Ann. 16. 609).

1. Apatit Br.

Trübling, von *apatit* täuschen, weil die Ehrenfriedersdorfer lange mit Schrl, Beryll, Chrysolith u. verwechselt wurden, bis Werner 1788 (Bergmännisches Journ. I. 70) sie feststellte, und Phosphorsäure darin vermuthete, die Klaproth auch sofort fand. Den gelben Spargelstein erkannte Vauquelin.

Sechsgliedrig: Vorherrschend erste 6seitige Säule $M = a : a : \infty a : \infty c$ mit einer ziemlich blättrigen Geradenfläche $P = c : \infty a : \infty a$. Die Endkanten P/M durch das Dihexaeder $x = a : a : \infty a$ abgestumpft, mit $80^\circ 25'$ in den Seiten- und $142^\circ 20'$ in den Endkanten, gibt

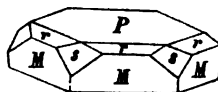
$$a = 1,366 = \sqrt{1,866}, \lg a = 0,13545.$$

Fr. Kotscharow fand x/x $142^\circ 15' 30''$ Tatowaja, $142^\circ 19' 20''$ Jumilla, $142^\circ 25'$ Achmatowsk.

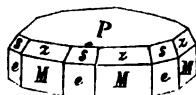
Spargelstein von Jumilla und Miasa, Moroxit von Arendal zeigen auf der Säule eine vollkommene dihexaedrische Endigung, dazu gesellt sich häufig die Rhombenfläche $s = a : \frac{1}{2}a : a : c$ und die 2te sechseckige Säule $e = a : \frac{1}{2}a : a : \infty c$. Nach Hrn. Hesseberg bildet am Wildkreuzjoch im Pfiffsthal zuweilen sogar s eine vollständige dihexaedrische Endigung.

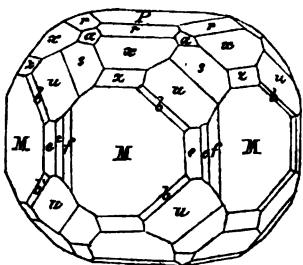


Auf Zinnsteingängen herrschen die beiden sechseckigen Säulen mit Geradenfläche gewöhnlich, die Krystalle werden tafelartig, und wenn die Endkanten der Tafeln abgestumpft sind, so zunächst durch das Dihexaeder $r = 2a : 2a : \infty a : c$, wie man am leichtesten aus der Rhombenfläche s sieht.



Oder es findet sich $z = \frac{1}{2}a : \frac{1}{2}a : \infty a : c$, zu welchem die Rhombenfläche s das nächste stumpfere Dihexaeder bildet. Das Dihexaeder x ist nicht gewöhnlich, aber es kommt namentlich bei den grünen von Johann Georgenstadt mit $a = 2a : a : 2a : c$ vor, eine obere Rhombenfläche, die seine Endkanten abstumpft, und sich zu r verhält wie s zur x . a gewöhnlich matt. Selten $d = \frac{1}{2}a : \frac{1}{2}a : \frac{1}{2}a : c$.





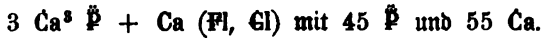
Am St. Gotthardt (Val Maggia) zeichnen sich die farblosen in Spalten des körnigen Feldspathes durch ihren übermäßigen Flächenreichtum aus. Im Ganzen herrscht die Säule (Haidinger Edinburgh phil. Journ. 10. 140) M öfter mit einem eigenthümlichen Seidenglanz, die Geradenfläche P verräth sich wegen ihres ziemlich deutlichen Blätterbruchs durch Quersprünge. Häufig drei Dihezaeder z, x und r über einander, dazu die beiden Rhom-

benflächen a und s, aber selten vollzählig, doch herrscht darin kein Gesetz, dagegen treten die 6 + 6kantner $u = c : a : \frac{1}{2}a : \frac{1}{2}a$ aus der Kantenzone M/s mit großer Gefchlichkeit paralleelflächig hemiedrisch auf, wodurch Dihezaeder von Zwischenstellung entstehen. Eine ganz kleine Abstumpfungsfläche $b = c : a : \frac{1}{2}a : \frac{1}{2}a$ liegt oft noch unter u. Die Hemiedrie setzt sich auch auf die Säulen fort: wir finden die Kanten zwischen den beiden sechsseitigen Säulen M und e häufig fein abgestumpft, aber immer auf der Seite der Kante, wo die hemiedrischen Sechskantner nicht liegen: $c = a : \frac{1}{2}a : \frac{1}{2}a : \infty c$, $f = a : \frac{1}{2}a : \frac{1}{2}a : \infty c$. Ausnahmeweise finden sich am Wildkreuzjoch die Sechskantner auch vollzählig, wie überhaupt auf die Hemiedrie nur ein bedingtes Gewicht zu legen ist. Negativ optisch lazig, wie alle 6gliedrigen Phosphate und Arseniate, was man an Alpinischen Krystallen unmittelbar beobachten kann.

Apatithärte = 5, Gew. = 3,2. Fett- bis Glasglanz, und schöne zum Theil flüsspathartige Farben, wornach man den verschiedenen Varietäten besondere Namen gegeben hat. Farblose und trübweiße findet man sehr häufig in den Alpen; Spargelstein hieß Werner den gelben (spargelgrünen) aus dem Talkschiefer des Zillerthales und dem Vulkangestein von Jumilla, die von Miasl brennen sich leicht weiß; Moroxit die entenblauen von Arendal mit gerundeten Kanten, und besonders groß an der Stübianska in Transbailalien; ausgezeichnet amethystblau kommen sie auf den Zinnsteingängen von Ehrenfriedersdorf in Sachsen vor, und prächtig auf einer alten verlassenen Kupfergrube von Kiräbinsk bei Miasl, anderer grüner, rother aber meist trüber Farben nicht zu erwähnen.

Nähert man sich mit Splittern der Röhrohrflamme, so phosphoresciren mehrere mit einer prachtvollen grünen Farbe; in höchstem Grade zeigen dies die durch Eisenoxyd roth gefärbten sechsseitigen Tafeln aus dem Granit von Schlackenwalde in Böhmen. Der Lichtschein läuft über die Probe hin, und schwindet nach stärkerem Erhitzen, ohne wiederzukehren. Aber nicht alle Varietäten phosphoresciren. Schmilzt ziemlich schwer. In Salz- und Salpetersäure leicht auflöslich, nach Liebig löst er sich sogar im Wasser mit schwefelsaurem Ammoniak so leicht als Gyps. Schwefelsäure gibt einen Niederschlag von CaS , besonders bei Verdünnung mit Alkohol, salpetersaures Silber gibt Chlor Silber, und das Mineral mit Schwefelsäure übergossen und erwärmt ägt häufig Glas. Arseniksäure fehlt. Klaproth hielt ihn für

bloßen phosphorsauren Kalk, bis G. Rose (Pogg. Ann. 9. 100) zeigte, daß analog dem Buntbleierz noch ein zweites Glied mit Cl und Fl vorhanden sei, daher



Fluorapatit enthält gegen 7,7 Ca Fl mit 2,1 Fl, und nur unbedeutenden Chlorkalk: dahin gehört der von Werner zuerst erkannte Apatit von Ehrenfriedersdorf, wo er in Gesellschaft von andern Fluoriden (Flußspath, Topas, Glimmer) auf Zinnsteingängen vorkommt, und der farblose vom St. Gotthardt. Beide zeichnen sich durch großen Flächenreichtum aus. Aber auch die einfachern zeigen gewöhnlich mehr Fluor als Chlor. Als Muster eines

Fluorchlorapatit gilt der grünlich gelbe derbe aus dem Glimmerschiefer von Snarum in Norwegen, welcher etwa 2,6 Cl und 1,2 Fl d. h. 40 Chlor- und 60 Fluorapatit enthält. Fast reiner weißer Chlorapatit kommt bei Kragerö vor. Die Masse, welche man beim Anrühren der frischgefällten phosphorsauren Kalkerde mit Chlorkalcium in der Glühhitze bekommt ist $\text{Ca}^2 \text{ P} + \text{Ca Cl}$, also für Apatit zu reich an Chlor. Dagegen will Daubrée (Compt. rend. 32. 622)

künstlichen Apatit dargestellt haben: er leitete über dunkelroth glühenden Aekfalk Chlorphosphordämpfe, wodurch ein Theil zu kleinen mikroskopischen Apatitsäulen wurde, das müßten reine Chlorapatite mit 10,6 Ca Cl sein. Forchhammer (Jahrb. 1855. 100) schmolz phosphor. Kalk mit Kochsalz zusammen. Verunreinigungen der Apatite sind nicht bedeutend, Bischof wies einen kleinen Magnesiagehalt nach, Weber etwas Cer und Yttererde in denen von Snarum, das erinnert an Wöhlers Kryptolith in den röthlich grünen Apatiten von Arendal.

Krystallinischer Apatit bricht hauptsächlich schön auf den Zinnsteingängen des Erzgebirges und Cornwallis; einfache Säulen von Doven Trach mit Turmalin, Rozna, Marschendorf zc. könnte man leicht mit Beryll verwechseln; grünliche Krystalle von Gouverneur in New-York liegen im Kalkspath wie die von Arendal, Pargas zc., zu Hammond sollen sie sogar fußgroß vorkommen. Der Ural hat besonders im Ilimengebirge bei Miass mehrere ausgezeichnete Fundorte, am Baikalsee einen schön blauen Lasurapatit. In den Alpen sind es die farblosen vom St. Gotthardt, die edelsteinartig glänzenden vom Rothen Kopf im Zillenthal, der rundliche Spargelstein mit Bitterspath im Talschiefer des Greiner, die grünlich weißen trüben aus dem Glimmerschiefer von Faltigl. Die Auswürflinge des Saachersees und der Somma zeigen stellenweis viele lange Säulen, im Nephelinfels vom Meißes und Lbbau wimmelt es von feinen Apatitnadeln, sogar aus dem Meteorstein von Richmond. führt sie Shepard (Silliman Amer. Journ. 2. 270) wenn auch etwas zweifelhaft an. Hydroapatit aus den Pyrenäen, Pseudoapatit vom Churprinz bei Freiberg leiden an Zersetzung. Francolit von Devonshire bildet kugelige Aggregate, wie der phosphorescirende Euphyroit von Hurdston in New-Yersey.

Phosphorit nannte Werner den blumigstrahligen, etwas schaligen, erdig

matten von Logrosan südöstlich Truxillo. Es herrscht darin deutlich ein blättriger Bruch, und auf der Oberfläche krystallisiren (scheinbar) sechsseitige Tafeln aus, welche wie beim schaligen Schwerspath auf der schmalen Kante stehen. Vor dem Löthrohr kann man sie leicht erkennen, da die Splitter trotz ihrer Undurchscheinlichkeit mit prachtvollem grünem Lichte phosphoresciren. Die Masse hat offenbar schon durch Zersetzung gelitten, daher mag denn auch der größere Gehalt von 14 p. C. Ca Fl rühren. Er bildet Lager von 7' Mächtigkeit auf Granit bedeckt von Thonschiefer, aber nur die mittlern 3' enthalten 81 p. C. phosphorsaure Kalkerde, daher haben es englische Speculanten nicht der Mühe werth gehalten, ihn für Landwirthschaft zu benützen. Der traubige von Amberg liegt in gelben Knollen auf der Oberfläche der Eisenerze des braunen Jura von Amberg, aber phosphorescirt nicht, doch zeigen Proben in Schwefelsäure getaucht die grüne Flamme, 2 p. C. Fluor und etwas Jod. Erdigen Apatit untersuchte schon Klaproth von Sziget in Ungarn. Ein eigenthümlich weißes steinmarkartiges Ding bildet Osteolith auf Klüften zeretzter Basalte. Ursprünglich von Bromeis (Zahrb. 1853. 708) bei Ostheim in der Wetterau bestimmt, fand es sich später auch in Böhmischem und andern Basalten. Es enthält 86 p. C. $\text{Ca}^2 \text{P}$, Kiesel-erde, Wasser, aber wie es scheint weder Chlor noch Fluor. Auch der Amberger Phosphorit scheint damit in Verbindung zu stehen (Maud Zeitschr. deutsch. geol. Ges. 1850. II. 89). Es ist daran zu erinnern, wie noch heute Guano auf Felsen Ueberzüge von Pyroklasit, Glaubapattit, Epiglaubit erzeugt (Shepard, Journ. prakt. Chem. 70. 211), deren wesentlicher Gehalt Phosphor- und Kalk ist.

Die Knochen der Wirbelthiere bestehen zwar im Wesentlichen aus phosphorsaurem Kalk, aber einige behaupten im Verhältniß $\text{Ca}^2 \text{P}^3$ (v. Vibra Chemische Untersuchungen über Knochen und Zähne. Schweinfurt 1844). Ein kleiner Gehalt an phosphorsaurer Tonerde bis 2,5 p. C. fehlt fast nie, und dazu kommt kohlensaurer Kalk, der selbst bei Säugethieren 10 p. C. übersteigen kann. Dagegen findet sich in den Knochen so wenig Fluor, daß ihn manche Chemiker geläugnet haben, und wenn Chlor vorkommt, so scheint es an Natron gebunden. In den Zähnen ist zwar die Fluorreaction unterschiedener, aber zur Constitution eines Apatit scheint Fluor auch hier nicht hinzureichen. Dagegen sollen die fossilen Knochen oft übermäßig reich an Ca Fl (Erdmann Journ. prakt. Chem. 29. 214) sein. Girardin und Preiffer behaupten, daß unter dem Einflusse der Fäulniß sich $\text{Ca}^2 \text{P}^3$ in $\text{Ca}^2 \text{P} + 2 \text{Ca}^2 \text{P}$ zersetze, ohne eine Zu- oder Abnahme an Stoffen, und letzteres Salz bilde dann mit Ca Fl Apatit, der sich an der Oberfläche solcher veränderten Knochen sogar in kleinen sechsseitigen Säulen noch erkennen lasse. Rassaigne fand in den Zähnen von Anoplotherium 37 $\text{Ca}^2 \text{P}$ und 15 Ca Fl, und man hat wohl behauptet, je älter die Knochen, desto fluorreicher. Hr. Prof. Hoppe konnte jedoch in unsern schwäbischen Mastodon- und Paläotherienzähnen nur die gewöhnlichen Spuren finden; auch darf man bei Vergleich mit frischen Zähnen die organische Substanz nicht außer Acht lassen, welche das procentische Verhältniß wesentlich ändert. Eine Menge Phosphorsäure kam durch organische Wesen ins Gebirge: nicht bloß fossile Knochen, Schilber und

Excremente enthalten sie, sondern man findet auch ganze Schichten eigenthümlicher Knollen, die besonders in der Kreideformation von Frankreich und England von Landwirthen ausgebeutet werden. Bei Aballon rühmt man die schwarzen Steinkerne der Muscheln des Gryphitenkalles, im Gault nennt sie Delanouë (*Compt. rend.* 1859. 49. 74) phosphates ferrico-calciques, ihr Mehl auf Felder gestreut soll nach Moloh (*Compt. rend.* 49. 444) viel besser blühen als gebrannte Knochen, obwohl diese phosphorhaltiger sind. Englische Speculanten haben daher sogar bei Kragerö Apatitnesten im Urgebirge eine Zeitlang mit Vortheil ausgebeutet (F. Römer *Zeitschr. deutsch. geol. Ges.* 1859. XI. 333), und Tausende von Tonnen den Feldern zugeführt, wobei besonders schöne Titaneisen und Massen von Rutil zum Vorschein kamen.

Tallapatit mit 7,7 Mg untersuchte Hermann (*Erdmann Journ. prakt. Chem.* 31. 101) in kleinen matten erdartigen Krystallen aus Gängen im Tallschiefer von Slatoust, wo er mit Chlorospinell und Apatit zusammen vorkommt. Es möchte aber wohl nur Verwitterungsproduct sein.

Wagnerit (Fuchs *Schweigger's Journ.* 33. 300) $\text{Mg}^2 \text{P} + \text{Mg Fl}$ enthält nach Rammelsberg (*Pogg. Ann.* 64. 333) 40,6 P, 46,3 Mg, 4,6 Fe, 2,4 Ca, 9,4 Fl, wozu freilich die Formel nicht recht stimmt. Es sind undurchsichtige röthlich bis weingelbe Brasilianischem Topas gleichende Krystalle von 3 Gew. und Härte 5, welche zusammen mit verwittertem Bitterspath, fleischrothem Gyps und Quarz auf Klüften eines glimmerigen Thonschiefers im Höllengraben bei Werfen (Salzburg) selten vorkommen. Lévy (*Pogg. Ann.* 10. 336) hat die Krystalle 2 + 1gliedrig beschrieben: die Säule $M = a : b : \infty$ bildet $95^\circ 25'$, eine Schiefendfläche $P = a : c : \infty$ macht mit M $109^\circ 20'$. Die Fläche $a : \infty b : \infty c$ etwas blättrig. Ein hinteres Augitartiges Paar $a' : c : \frac{1}{2}b$ macht in der Medianlante $138^\circ 53'$, außerdem aber noch ein großer Flächenreichtum. Schmilzt schwer.

Eisenapatit (Fe^2, Mn^2) $\text{P} + \text{Fe Fl}$ (Zwieselit) nannte Fuchs (*Journ. prakt. Chem.* 18. 400) eine derbe etwas blättrige nelfenbraune fettglänzende Masse, von 3,9 Gew. und Härte 5, welche zuweilen in 2gliedrigen Säulen von 129° , woran der blättrige Bruch die Geradenfläche bilden soll, gefunden wird. Aeußerlich ähnlich dem Triplit von Limoges, namentlich eben so leicht schmelzend. fand sich im Granit von Zwiesel, hat mit dem Apatit keine Verwandtschaft, sondern kommt vom Triphylin her.

Deville (*Compt. rend.* 1858. 47. 300) hat sich mit der künstlichen Vereitung der Apatite beschäftigt, und zwei Reihen unterschieden: die Hauptreihe $3 \text{R} \text{P} + \text{R El}$ enthält Kalk-, Blei-, Baryt- und Strontian-Apatite und solche Basen, die mit Kohlensäure arragonitartig krystallisiren; die Nebenreihe $\text{R}^2 \text{P} + \text{R El}$ enthält Tall-, Kalk-, Mangan- und Eisen-Wagnerite, und solche Basen, die mit Kohlensäure lalspathartig krystallisiren. Die eine Hälfte kommt in der Natur vor, die andere Hälfte wurde künstlich dargestellt.

2. Buntbleierz Weiß.

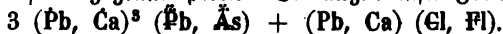
Daß es unter den Bleispathen einen schön grünfarbigen gebe, weiß schon Hentzel in seiner *Pyritologia*, der Bergmann konnte es kaum über-

sehen, daher nannte es Linné *plumbum virens*, woraus dann die Werner'sche Benennung Grünbleierz entstand. Da sich aber auch andere Farben, gelb, braun etc. finden, so ist der Weißische Name passender. Als Klaproth 1785 darin die Phosphorsäure nachgewiesen hatte, nannte es Karsten Phosphorblei, aber erst Wöhler (Pogg. Ann. 4. 101) zeigte die Beständigkeit des Chlorgehalts, und Hausmann schlug darauf den Namen Pyromorphit vor, der auf das Verhalten vor dem Röthrohr anspielt. *Plomb phosphaté*, *Phosphate of lead*. Ein Bleiapatit.

Sechsgliedrig und vollkommen isomorph mit Apatit. Gewöhnlich herrschen die einfachen sechsseitigen Säulen mit Geradenfläche, die Säulen werden durch Querstreifen gern bauchig, aber ein Blätterbruch nach der Geradenfläche läßt sich nicht wie beim Apatit wahrnehmen. Das Dihexaeder, die Endkanten der Säule abstumpfend, $x = a : a : \infty a : c$ hat nach Häubinger $80^\circ 44'$ in den Seitenkanten, darnach $a = 1,358$. Bei den Arseniksäurehaltigen geht der Winkel bis auf $81^\circ 47'$ hinauf, also $a = 1,333$. Auch die 2te sechsseitige Säule kommt zu Huelgoat und Johann Georgenstadt vor. Von letzterm Orte stammen die schönsten Krystalle, sie zeigen sogar die drei Dihexaeder rxz des Apatits, allein von den hemiedrischen Flächen (u) wurde noch nichts beobachtet.

Härte 3—4, Gew. 7, Diamantglanz mit geringer Durchscheinheit, doch wirken keine Krystalle sichtlich auf das Mikroskop. Unter den Farben herrschen vorzugsweise Grün und Gelb, seltener Braun, was zuletzt ganz ins Weiße übergeht.

Vor dem Röthrohr schmelzen sie leicht, geben in der innern Flamme einen Bleirauch, und was an arseniksaurem Bleioxyd vorhanden, reducirt sich, zuletzt bleibt eine Kugel von $Pb^3 P$, die beim Erkalten polyedrische aber auf keine bestimmte Krystallformen zurückführbare Facetten bekommt, obgleich man oft Pentagonalflächen sieht. Eisendraht in die schmelzende Perle gesteckt bildet brüchiges Phosphoreisen, und metallisches Blei wird niedergeschlagen. Schmilzt man eine Perle von Phosphorsalz, und setzt eine kleine Probe zu, so entweicht die Salzsäure unter Brausen und Geruch. In Salpetersäure und Kalilauge löslich. Das Chlor erkennt man durch salpetersaures Silber, und wenn blos Blei vorhanden, so fehlt Fluor, weil dieses sich immer an Kalk bindet, und bei Gegenwart von Ca Fl fehlt gewöhnlich Arseniksäure. Obgleich der Centner Grünbleierz oft nur $\frac{1}{4}$ Lth. Silber enthält, so kann man dieß doch durch Cupellation entdecken. Zu Veresowsk, wo es mit Rothbleierz vorkommt, hat es einen Chromgehalt, denn es gibt mit Phosphorsalz außen eine smaragdgrüne Perle. Die allgemeinste Formel würde sein:



Buntbleierz hat sich aus dem Bleiglanz in den obern Theilen der Gänge gebildet, auf dem Herrenseegen fraß es fürmliche Löcher in den Bleiglanz, zu Mies in Böhmen bildet es Asterkrystalle nach Bleiglanz, bei Markirch in den Vogesen sogar nach Weißbleierz, das selbst erst aus Bleiglanz entstand. Die Phosphorsäure muß daher wohl von außen in den Gang gerathen sein. Das Bestreben dieses Bleisalzes, sich zu constituiren,

ist so groß, daß es Feinz (Pogg. Ann. 72. 118) einmal als das beste Mittel vorgeschlagen hat, um Phosphorsäure aus ihren Verbindungen von Alkalien und alkalischen Erden zu trennen. So mag es auch in die Spalten des Buntensandsteins am Commersehen Bleiberge, zu Jägerthal in den Vogesen, Sulzbach bei Amberg 2c. gekommen sein. Als Hauptvarietäten sind etwa folgende zu merken:

1. Grünbleierz von Zschopau in Sachsen und Hofsgrund auf dem südlichen Schwarzwalde von Smaragd-, Gras- und Zeisiggrüner Farbe: dort zuerst gekannt, hier so mächtig gefunden, daß es längere Zeit verhüttet wurde.

$3 \text{ Pb}^s \text{ P} + \text{Pb Cl}$ mit 87,7 $\text{Pb}^s \text{ P}$ und 10,3 Pb Cl .

Klaproth erkannte darin die Phosphorsäure, hielt die Salzsäure aber für unwesentlich. Im Augenblicke des Krystallisirens glüht die Kugel etwas auf. Ohne Arseniksfäure. Von Kransberg bei Ufingen in Nassau kennt man es in derben schweren Stücken mit bauchigen Säulen. Diese besonders groß bei Ems und Bernkastel an der Mosel, hier aber meist in Asterkrystallen, indem die mehr als Zollgroßen Säulen durch Schwefelwasserstoff wieder in Bleiglanz zurückgeführt wurden. Auf dem Herrenseegen kam es traubig vor mit einem schimmernden Aspisbruch. Nach Röggerath (Leonhard's Jahrb. 1847. 67) fanden sich auf der Asbacher Eisenhütte in den Ofenbrüchen künstliche Krystalle so schön als von Hofsgrund.

2. Braunbleierz Werner. Von nekkenbrauner bis weißer Farbe. Ein Theil derselben enthält keine Arseniksfäure, wie die bekannten von Poul-laouen und Huelgoët in der Bretagne, Ems, Rheinbreitenbach 2c. Andere aber, darunter das weiße von Zschopau, breiten sich auf der Kohle aus, riechen nach Arsenik, dabei zeigen sich kleine Bleireguli, allein es bleibt noch eine ansehnliche Perle zurück. Wöhler gibt beim Zschopauer 2,3 Äs auf 14,1 P an, also $3 \text{ Pb}^s (\text{P}, \text{Äs}) + \text{Pb Cl}$.

Blaubbleierz Werner, brach ehemals auf der Dreifaltigkeit zu Zschopau, Farbe zwischen indigblau und bleigran (Bergm. Journ. II. 1 pag. 347). Nach Häubinger sind die regulären sechsseitigen Säulen Asterkrystalle der dortigen Grünbleierze nach Bleiglanz, die auch zu Huelgoët vorkommen (Pogg. Ann 11. 571).

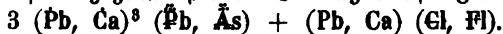
3. Arseniksaures Bleierz von Johann-Georgenstadt (Mimetesit Breithaupt's), von wachsgelber Farbe in den ausgezeichnetsten Krystallen, worin schon Valentin Rose Arseniksfäure erkannte, und Wöhler 21,2 Arseniksfäure neben nur 1,3 Phosphorsäure nachwies, daher $3 \text{ Pb}^s (\text{Äs}, \text{P}) + \text{Pb Cl}$. Vor dem Löthrohr reducirt es sich schon in Entfernung von der Desoxydationsflamme zu kleinen Bleireguli, und so wie man nur einigermaßen der innern Flamme sich nähert, zerstäubt die Probe plötzlich zu kleinen Bleikügelchen. Bei sorgfältiger Behandlung bemerkt man aber einen kleinen Rückstand. Zu Keswick in Cumberland krümmen sich die wachsgelben Säulen wurmförmig, und auf der Grube Hausbad bei Badenweiler kommen garbenförmig eingeschnürte Säulen vor, welche sich dann zu strohgelben Trauben gruppiren. Die Trauben sind mit lauter kleinen Warzen bedeckt, und solche Warzchen überziehen auch die Quarze. Vor dem Löthrohr hinterlassen sie

sehen, daher nannte es Linné *plumbum virens*, woraus dann die Werner'sche Benennung Grünbleierz entstand. Da sich aber auch andere Farben, gelb, braun etc. finden, so ist der Weißbleierz Name passender. Als Klaproth 1785 darin die Phosphorsäure nachgewiesen hatte, nannte es Karsten Phosphorblei, aber erst Wöhler (Pogg. Ann. 4. 121) zeigte die Beständigkeit des Chlorgehalts, und Hausmann schlug darauf den Namen Pyromorphit vor, der auf das Verhalten vor dem Röthrohr anspielt. *Plomb phosphaté, Phosphate of lead. Ein Bleiapatit.*

Sechsgliedrig und vollkommen isomorph mit Apatit. Gewöhnlich herrschen die einfachen sechsseitigen Säulen mit Geradenfläche, die Säulen werden durch Querstreifen gern bauchig, aber ein Blätterbruch nach der Geradenfläche läßt sich nicht wie beim Apatit wahrnehmen. Das Dihexaeder, die Endkanten der Säule abstumpfend, $x = a : a : \infty a : c$ hat nach Haibinger $80^\circ 44'$ in den Seitenkanten, darnach $a = 1,358$. Bei den Arseniksäurehaltigen geht der Winkel bis auf $81^\circ 47'$ hinauf, also $a = 1,333$. Auch die 2te sechsseitige Säule kommt zu Huelgoat und Johann Georgenstadt vor. Von letzterm Orte stammen die schönsten Krystalle, sie zeigen sogar die drei Dihexaeder rxz des Apatits, allein von den hemiedrischen Flächen (u) wurde noch nichts beobachtet.

Härte 3—4, Gew. 7, Diamantglanz mit geringer Durchscheintheit, doch wirken feine Krystalle sichtlich auf das Mikroskop. Unter den Farben herrschen vorzugsweise Grün und Gelb, seltener Braun, was zuletzt ganz ins Weiße übergeht.

Vor dem Röthrohr schmelzen sie leicht, geben in der innern Flamme einen Bleirauch, und was an arseniksaurem Bleioxyd vorhanden, reducirt sich, zuletzt bleibt eine Kugel von Pb^0 , die beim Erkalten polyedrische aber auf keine bestimmte Krystallformen zurückführbare Facetten bekommt, obgleich man oft Pentagonalfächen sieht. Eisendraht in die schmelzende Perle gesteckt bildet brüchiges Phosphoreisen, und metallisches Blei wird niedergeschlagen. Schmilzt man eine Perle von Phosphorsalz, und setzt eine kleine Probe zu, so entweicht die Salzsäure unter Brausen und Geruch. In Salpetersäure und Kalilauge löslich. Das Chlor erkennt man durch salpetersaures Silber, und wenn blos Blei vorhanden, so fehlt Fluor, weil dieses sich immer an Kalk bindet, und bei Gegenwart von CaF fehlt gewöhnlich Arseniksäure. Obgleich der Centner Grünbleierz oft nur $\frac{1}{4}$ Eth. Silber enthält, so kann man dieß doch durch Cupellation entdecken. Zu Veresowsk, wo es mit Rothbleierz vorkommt, hat es einen Chromgehalt, denn es gibt mit Phosphorsalz außen eine smaragdgrüne Perle. Die allgemeinste Formel würde sein:



Buntbleierz hat sich aus dem Bleiglanz in den obern Teufen der Gänge gebildet, auf dem Herrenseegen fraß es förmliche Löcher in den Bleiglanz, zu Mies in Böhmen bildet es Austerkrystalle nach Bleiglanz, bei Markirch in den Vogesen sogar nach Weißbleierz, das selbst erst aus Bleiglanz entstand. Die Phosphorsäure muß daher wohl von außen in den Gang gerathen sein. Das Bestreben dieses Bleisalzes, sich zu constituiren,

ist so groß, daß es Feink (Pogg. Ann. 72. 118) einmal als das beste Mittel vorgeschlagen hat, um Phosphorsäure aus ihren Verbindungen von Alkalien und alkalischen Erden zu trennen. So mag es auch in die Spalten des Buntensandsteins am Commersthen Bleiberge, zu Jägerthal in den Vogesen, Sulzbach bei Amberg u. gekommen sein. Als Hauptvarietäten sind etwa folgende zu merken:

1. Grünbleierz von Zschopau in Sachsen und Fohsgrund auf dem südlichen Schwarzwalde von Smaragd-, Gras- und Zeisiggrüner Farbe: dort zuerst gefannt, hier so mächtig gefunden, daß es längere Zeit verhüttet wurde.

3 Pb³ P + Pb Cl mit 87,7 Pb³ P und 10,3 Pb Cl.

Klaproth erkannte darin die Phosphorsäure, hielt die Salzsäure aber für unwesentlich. Im Augenblicke des Krystallisirens glüht die Kugel etwas auf. Ohne Arseniksfäure. Von Kransberg bei Ufingen in Nassau kennt man es in derben schweren Stücken mit bauchigen Säulen. Diese besonders groß bei Ems und Bernkastel an der Mosel, hier aber meist in Afterkry stallen, indem die mehr als Zollgroßen Säulen durch Schwefelwasserstoff wieder in Bleiglanz zurückgeführt wurden. Auf dem Herrensegen kam es traubig vor mit einem schimmernden Jaspisbruch. Nach Nöggerath (Leonhard's Jahrb. 1847. 71) fanden sich auf der Asbacher Eisenhütte in den Ofenbrüchen künstliche Krystalle so schön als von Fohsgrund.

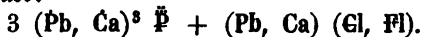
2. Braunbleierz Werner. Von nellenbrauner bis weißer Farbe. Ein Theil derselben enthält keine Arseniksfäure, wie die bekannten von Poul-laouen und Quelgoët in der Bretagne, Ems, Rheinbreitenbach u. Andere aber, darunter das weiße von Zschopau, breiten sich auf der Kohle aus, riechen nach Arsenik, dabei zeigen sich kleine Bleireguli, allein es bleibt noch eine ansehnliche Perle zurück. Wöhler gibt beim Zschopauer 2,3 Äs auf 14,1 P an, also 3 Pb³ (P, Äs) + Pb Cl.

Blaubleierz Werner, brach ehemals auf der Dreifaltigkeit zu Zschopau, Farbe zwischen indigblau und bleigrau (Bergm. Journ. II. 1 pag. 347). Nach Häubinger sind die regulären sechsseitigen Säulen Afterkry stallen der dortigen Grünbleierze nach Bleiglanz, die auch zu Quelgoët vorkommen (Pogg. Ann 11. 71).

3. Arseniksaures Bleierz von Johann-Georgenstadt (Mimetesit Breit-haupt's), von wachsgelber Farbe in den ausgezeichnetsten Krystallen, worin schon Valentin Rose Arseniksfäure erkannte, und Wöhler 21,2 Arseniksfäure neben nur 1,3 Phosphorsäure nachwies, daher 3 Pb³ (Äs, P) + Pb Cl. Vor dem Löthrohr reducirt es sich schon in Entfernung von der Desoxyda-tionsflamme zu kleinen Bleireguli, und so wie man nur einigermaßen der innern Flamme sich nähert, zerstäubt die Probe plötzlich zu kleinen Blei-kügelchen. Bei sorgfältiger Behandlung bemerkt man aber einen kleinen Rückstand. Zu Redwich in Cumberland krümmen sich die wachsgelben Säulen wurmförmig, und auf der Grube Hausbadon bei Badenweiler kommen gar-benförmig eingeschnürte Säulen vor, welche sich dann zu strohgelben Trauben gruppiren. Die Trauben sind mit lauter kleinen Warzen bedeckt, und solche Warzchen überziehen auch die Quarze. Vor dem Löthrohr hinterlassen sie

übrigens schon einen bedeutendern Mischstand. In Cumberland kommen auch orangengelbe bauchige Säulen vor (Pamphylit, *καμπύλιος* gekrümmt), sie sollen ihre Farbe einem kleinen Chromgehalt verdanken. Rammelsberg (Pogg. Ann. 91. 216) fand darin 3,3 P, 18,5 As, 2,4 Cl, 76,5 Pb.

4. Polysphärit Breithaupt (Pogg. Ann. 26. 489) von den Gruben Sonnenwirbel und St. Niclas bei Freiberg. Kugeln und Tropfen von nelfenbrauner bis isabellgelber Farbe gruppiren sich traubig. Ihr specifisches Gewicht nur 6,1, wegen einer Beimischung von 12 p. C. Fluorapatit, folglich ohne Arseniksäure:



Die Röhrohrperle krystallisirt nicht. Die grauen Trauben von Mies in Böhmen haben nach Kersten nur 7,7 Apatit, daher heißt sie Breithaupt Miesit.

Traubige Bleierze sind überhaupt leicht verunreinigt. Schon Romé de l'Isle erwähnt eines Plomb rouge en stalactites von Huelgoët, was Gillet Saumont Plomb gomme (Bleigummi) nennt, weil es das Ansehen von Arabischem Gummi hat. Berzelius fand darin 37 Al, darnach wäre die Formel $\text{Pb Al}^2 + 6 \text{H}$. Andere fanden auch wahrhaft Buntbleierz eingemengt $3 \text{Pb}^3 \text{P} + \text{Pb Cl} + 18 \text{H}^3 \text{Al}$. Kobaltsolution färbt die Perle schön blau. Solche blauen Perlen gibt auch der Ruffierit von den Halben der Grube Ruffière bei Beaujeu im Dep. Rhone, hier bekommt man selbst von den krystallisirten sechsseitigen Säulen schöne blaue Farben, ein Beweis, daß die Thonerde nur Beimischung sein dürfte. Breithaupt's

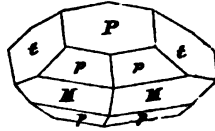
Heddyphan (*ἡδυφανής* lieblich glänzend, da es Diamantglanz besitzt) von Rängbanshytta in Wärmeland, eine derbe graulichweiße schwach krystallinische Masse, von nur 5,5 Gew., bildet fingerbreite Trümmer im braunen Granate und Mangankiesel aus den dortigen Eisenerzgruben. Nach Kersten $3 (\text{Pb}, \text{Ca})^3 (\text{As}, \text{P}) + \text{Pb Cl}$. An derselben Stelle kommt auch Kühn's Berzelit vor, eine derbe gelblichweiße durchscheinende fettglänzende Masse, Härte 5—6, Gew. 2,5. $\text{Ca}^3 \text{As} + (\text{Mg}, \text{Mn})^3 \text{As}$. Sandberger's Carminspath (Pogg. Ann. 103. 226) von Horthausen nördlich Sayn auf Brauneisenstein ist $\text{Pb}^3 \text{As} + 5 \text{Fe As}$, feine carminrothe Nadeln.

3. Amblygonit Breith.

Ἀμβλυγόνιος stumpfwinklig, weil man ihn anfangs für rechtwinklig hielt und mit Stapolith verwechselte, Hoffmann Handb. Mineral. IV. b. 159. Zwei gleiche Blätterbrüche schneiden sich unter $106^\circ 10'$, etwa so deutlich wie M. Feldspath. Härte 6, Gew. 3, trüb und Feldspathartig aussehend. Allein vor dem Röhrohr schmilzt er außerordentlich leicht, und in günstigen Fällen nimmt man dabei eine grünliche Phosphorescenz wahr. Berzelius wies darin P, Al, Li und Fl nach und gab ihm darnach die ungefähre Formel $\text{Li}^2 \text{P} + \text{Al}^4 \text{P}^3$, da es aber die Flamme nicht roth sondern gelb färbt, so läßt das auch auf einen Natrongehalt schließen. Rammelsberg (Pogg. Ann. 64. 226) schreibt ihn $\text{R}^5 \text{P}^3 + \text{Al}^5 \text{P}^3 + \text{R Fl} + \text{Al Fl}^3$ mit 5,7 Li, 0,5 Na, 0,7 Na 47,8 P &c. Das seltene Fossil kommt zu Churs-

dorf und Arnsdorf ohnweit Penig in Sachsen in Steinbrüchen des Granits mit Topas, Turmalin, grünem Talkglimmer vor. Noch seltener ist Häidinger's

Herderit (Allogonit), welchen Breithaupt schon im Jahre 1813 im Flußspath der Zinnsteingruben von Ehrenfriedersdorf entdeckte, und an Werner verschenkte. Lange war dieß das einzige Stück, welches Werner selbst für Apatit hielt, weil es namentlich dem Spargelstein vom Zillertal sehr gleichen soll. Allein Häidinger's (Pogg. Ann. 18. 502) Messungen zeigten, daß es 2gliedrig sei. Eine rhombische Säule $M = a : b : \infty c$ $115^{\circ} 53'$ ist blättrig, darauf ist ein Oktaeder $p = a : b : c$ mit $141^{\circ} 16'$ und $77^{\circ} 20'$ in den Endkanten aufgesetzt, eine Fläche $t = c : \frac{2}{3}b : \infty a$ macht diese Endigung scheinbar dihexaedrisch, und da nun auch die Geradenfläche $P = c : \infty a : \infty b$ nicht fehlt, so konnte man dabei wohl an Apatit denken, Härte 5, Gew. 3. Mit Kobaltsolution schön blau, und der wesentliche Gehalt ist Ca, Al, P und Fl.



4. Türkis.

Ein alter Edelsteinname, wahrscheinlich weil er aus Persien durch die Türken zu uns kam. Turquesia Leonardi Speculum lapidum 1533. pag. 43. Agricola 626 sagt von ihm: alii boream, juniores Turcicam nominant. Ohne Zweifel Jaspis Persae Persischer Jaspis Plin. hist. nat. 37. 27 aeri similem. Dagegen hat Fischer in Moskau ihn auf den Callais Plinius 37. 22 und 26 mit solcher Bestimmtheit bezogen, daß ihn viele Mineralogen seitdem Kalait nennen. Calchihuitl der alten Mexicaner (Silliman Amer. Journ. 1858. XXV. 227).

Man kennt ihn nur derb und unkrystallinisch, höchstens in traubigen Ueberzügen. Wachsglanz. Himmelblau bis berggrün. Gew. 2,7—3, Härte 6. Vor dem Löthrohr schwärzt er sich und ist unschmelzbar, einem Kupferoxydgehalt von 1,5—2 p. C. scheint er seine schöne Farbe zu danken, färbt daher schon für sich die Flamme grün. Hermann (Journ. prakt. Chem. 33. 224) gibt dem orientalischen die Formel $Al^3 P H^6$, er fand im schönsten blauen 47,4 Al, 27,3 P, 18,2 H, 2 Cu, 3,4 Ca² P.

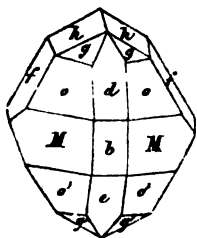
Der ächte orientalische Türkis (de la vieille roche) kommt als Geschiebe und oberflächlich anstehend zwischen Nischapur und Mesched im nordöstlichen Persien vor. Die Bucharen bringen ihn aus dem Muttergestein herausgeschlagen nach Moskau in den Handel: er bildet dünne Abern im Kieselschiefer, und wenn er in dickern Massen vorkommt, so ist er unrein. Major Macdonald hatte auf der Londoner Industrieausstellung 1851 die feinsten Türkise aus den Wüsten Arabiens vorgelegt, wo sie in reinsten Masse bis zur Haselnußgröße in einem weichen gelben Sandstein brechen. Die grüne Farbe herrscht vor, aber nur die blauen werden geschätzt, unter Erbsengröße haben sie geringen Werth, allein darüber steigen sie schnell im Preise, doch kommt es dabei wie beim edeln Opal wesentlich auf die Schönheit der Farbe an. Muggelich geschliffen benützt man ihn hauptsächlich zum

Einfassen werthvoller Edelsteine. Die Mexicaner gruben ihn in den Regelsbergen von Santa Fé. Glocker fand spangrüne traubige dünne Ueberzüge auf Klüften des Kieselchiefers von Steine bei Jordansmühle (Mineral. Taschenb. 1827. b. 200, Pogg. Ann. 64. 222) und an andern Punkten Schlesiens. Breithaupt's

Variscit (Erdmann's Journ. prakt. Chem. 10. 200) aus dem Kieselchiefer von Mesbach bei Plauen im Voigtlande wird apfelgrün und zuletzt ganz mattfarbig, soll aber nach Plattner im wesentlichen auch aus Phosphorsaurer Thonerde bestehen.

Zahntürkis, Turquoise de nouvelle roche. Darunter begreift man besonders den Schmelz von Mastodon- und Dinotheriumzähnen, welche die Härte des edlen Türkises haben. Im südlichen Frankreich (Simorre) wurde früher ein förmlicher Bergbau darauf getrieben; der Schmelz war zwar nur graublau, etwa wie man ihn hin und wieder in den Bohnerzen der Schwäbischen Alp findet, allein durch Erhitzen wurde er schöner. In Sibirien werden auch Mammuthszähne, welche durch Blau Eisenerde gefärbt sein sollen, verwendet.

Blauspath Wern., Lazulith Karsten (nicht mit Lasurstein zu verwechseln, den die Franzosen auch Lazulite nennen), Klaproth in Deudant. Derselbe wurde zuerst von Widenmann (Bergmann. Journ. 1791. Bd. 1. 225) im Fressnitzgraben, welcher sich in das Mürzthal ohnweit Krieglach in Obersteiermark öffnet, bemerkt, wo er derb in einem schneeweißen Quarz mit silberfarbigem Glimmer vorkommt, weshalb ihn Werner anfangs für Feldspath hielt; blaß smalteblau bis berggrün, mit splittrigem Hornsteinartigem Bruch und wenig innerm Glanz, Härte 5—6, Gew. 3. Klaproth übersah die Phosphorsäure, doch geben sie mit Schwefelsäure befeuchtet eine schwachgrüne Flamme, mit Kobaltsolution ein schönes Blau, Brandes wies 43,3 P, 34,5 Al, 13,5 Mg, 6,5 Si und 0,5 H nach. Schon im Anfange des Jahrhunderts fand sich die Lasurblaue Abänderung im glimmerhaltigen Thonschiefer vom Reidelgraben bei Werfen (Klaproth Beitr. IV. 288), sie kommt dort zwar selten aber schön krystallisirt vor, und soll 2 + 1gliedrig sein:



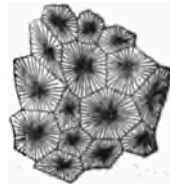
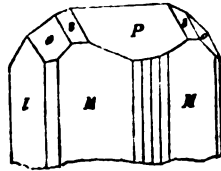
Eine geschobene Säule $M = a : b : \infty 91^{\circ} 30'$; $b = a : \infty b : \infty$ stumpft die vordere stumpfe Säulenkante gerade ab; $P = c : \infty a : \infty b$ macht $88^{\circ} 2'$ gegen die Axe c , daher können $o = a : b : c$ vorn in Kante $a : c 100^{\circ} 20'$ und $o' = a' : b : c$ hinten in Kante $a' : c 99^{\circ} 40'$ kein Rhombenoktaeder bilden, wie man es früher ansah, obgleich der Typus häufig ein zweigliedriges Ansehen hat. Dann kommen auch $d = a : c : \infty b$, $e = a' : c : \infty b$, $f = b : c :$

∞a , $g = a : b : \frac{1}{2}c$, $g' = a' : b : \frac{1}{2}c$, $h = b : \frac{1}{2}c : \infty a$ vor. Einfache Krystalle mit fast quadratischer Säule M/M und Augitpaare liegen im Sandstein (Stacolumit) der Vereinigten Staaten (Georgia im Graves-Gebirge). Zwillinge. Meist derb mit Glasglanz. Nach Rammelsberg Al P Mg H.

5. Wavellit

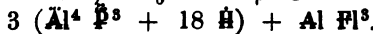
wurde von Dr. Wavell im Uebergangsgebirge von Barnstaple in Devonshire entdeckt, und von Babinpton nach ihm benannt. Davy (Philosoph. Transact. 1805. pag. 155) und Klaproth übersahen darin die Phosphorsäure, daher hieß er anfangs Hydrargillite. Erst 1816 fand Fuchs im Lasionit von Amberg Phosphorsäure, und vermuthete, daß sie auch im Wavellit sein möchte, was er 1818 bestätigte, wodurch sich beide als gleich erwiesen. Kapnicit.

Zweigliedriges System. Krystalle bilden gewöhnlich nur sehr kleine Nadeln, nach Phillips und Dufrenoy sollen die von Huelgaher in Südamerika meßbar sein: eine blättrige Säule $M = a : b : \infty c$ macht $122^\circ 15'$, deren scharfe Kante durch $l = b : \infty a : \infty c$ gerade abgestumpft wird. Ein Paar $P = a : c : \infty b$ soll nach Phillips in der Axe c sich unter $107^\circ 26'$, nach Dufrenoy unter $94^\circ 10'$ schneiden. Mehrere Zuschärfungen der stumpfen Säulenkante. Senff (Pogg. Ann. 18. 474) hat Nadeln von höchstens $\frac{1}{4}$ Linie Dicke von Frankenberg in Sachsen unter dem Mikroskop gemessen, er fand $M/M = 126^\circ 25'$, $P/P = 106^\circ 46'$, und bestimmte darnach $a : b : c = 1 : 1,98 : 0,743$ $s = a : b : c$, $o = a' : c : \frac{1}{2}b$. Kommt meist nur excentrisch faserig vor, die Fasern begränzen sich nicht selten unter markirten Linien, und werden so den Zellen gewisser Sternkorallen nicht unähnlich. Wo die Masse Platz hatte zum Krystallisiren, endigen die Fasern nach außen immer breiter werdend auf der kugeligen Oberfläche gewöhnlich mit dem Paare P , das herausragt, und dann an Schwerspathtafeln erinnert, oder sich kugelförmig rundet.



Härte 3—4, Gew. 2,3—2,5. Weiße Farbe herrscht vor, geht aber nicht selten auch in's Grün und Blau. Glasglanz.

Vor dem Löthrohr selbst in feinen Splittern unschmelzbar, färbt aber für sich schon die Flamme deutlich grün, dazu mag ein kleiner Flußsäuregehalt mit beitragen, der nach Berzelius 2 p. C. beträgt:



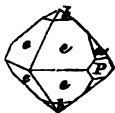
Zu den schönsten Vorkommen gehören die zuerst genannten aus dem Thonschiefer von Barnstaple, aus dem Kiefelschiefer von Langenstriegis bei Freiberg, und aus einer sehr sandigen Grauwacke des ältern Uebergangsgebirges von Bzirow bei Beraun. Auch zu Diensberg bei Gießen kommt er auf Klüften des Thonschiefers vor. Dieses Auftreten im Thonschiefergebirge hat große Verwandtschaft mit dem des Türkises. Zu Amberg findet er sich in weißen Kugeln mitten im Eisenerz des braunen Jura (Lasionit). Am Vesuv kommt er sogar auf ausgeworfenen Marmorblöcken vor, doch sind die Anflüge hier sehr zart. Breithaupt's Striegisan, gränliche

halbzerfetzte Kugeln in Klüften des Kieselchiefers von Langenstriegis, soll chemisch nicht verschieden sein. Eine eigenthümliche Abänderung heißt

Kalkoxen. Von Steinmann 1825 in den Brauneisenerzen von St. Benigna im Berauner Kreise gefunden, wo es Wavellitartige Ueberzüge von ockergelber Farbe bildet, und die Erze verschlechtert (*κακός* schlecht, *ξένος* Gast). Die Ueberzüge oft so zart, daß sie Seidenglanz zeigen. Der größte Theil der Thonerde durch Fe vertreten, und da auch Fluor angegeben wird, so möchte er wohl hier seinen besten Platz haben. An dem gleichen Fundorte kommt auch Breithaupt's Beraunit vor, der wohl nur das gleiche sein dürfte. Ein sonderbares Ding scheint der Calcoferrit (Blum Jahrb. 1858. 287) von Battenberg bei Leiningen in der Rheinpfalz, schwefelgelbe Nieren mit einem deutlichen Blätterbruch 34 P, 24 Fe, 15 Ca, 20 H zc. Gew. 2,5, Härte 2—3.

Pegazit Breithaupt (Schweigger Journ. 60. 208) mit Wavellit auf der Höhe zwischen Langenstriegis und Frankenberg bei Freiberg, geht bis ins Smaragdgrüne. Soll nach Hermann (Erdmann Journ. prakt. Chem. 33. 287) $\text{Al}^3 \text{P} \text{H}^6$ sein, doch weicht die Krystallisation nicht ab, $\text{M/M} = 127^\circ$, nur ist er minder faserig. Ihm gleicht der Fischerit $\text{Al}^2 \text{P} \text{H}^8$ Hermann l. c. 33. 288 von Grasgrüner Farbe, rindenartige Ueberzüge auf Klüften von Sand- und Thoneisenstein zu Nischnei Tagilsk bildend, zuweilen auch feine sechsseitige Nadeln, die Kotscharow (Min. Ruß. I. 21) als 2gl. Säulen $\text{M/M} 118^\circ 32'$ beschreibt.

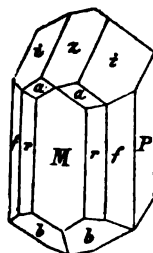
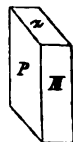
Gchildrenit Lévy (Pogg. Ann. V. 108) ist auf einem Spath-eisenstein-gange zu Tavistock in Devonshire vorgekommen, worauf die kleinen Krystalle Drusen machen. Zweigliedrige Oktaeder $e = a : b : c$, Kante $a : c 130^\circ 20'$, $b : c 102^\circ 30'$ und $a : b 97^\circ 50'$, daraus folgt $a : b = \sqrt{1,103} : \sqrt{2,448}$. Ein stumpferes Oktaeder $b = a : b : \frac{2}{3}c$ schärft die Enden zu; $P = b : ooa : ooc$ etwas blättrig, $a = b : 3c : ooa$. $H = 5$, Gew. = 3,26. Durchsichtige glasglänzende gelblichbraune bis schwarze Krystalle, die zuweilen nur krystallinische Häutchen auf Spath-eisenstein bilden. Nach Rammelsberg (Pogg. Ann. 85. 408) $2(\text{Fe}, \text{Mn})^4 \text{P} + \text{Al}^2 \text{P} + 15 \text{H}$ mit 29 P, 14 Al, 30 Fe, 9 Mn, 17 H. Auch auf Thon-schiefer von Erinnis in Cornwall. Ebenfalls unschmelzbar, färbt aber die Flamme grünlich.



6. Vivianit Wern.

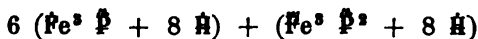
Werner bekam die erste krystallisirte Blau-eisenerde durch Vivian aus Cornwall, wo sie auf der Grube Huellind zu St. Agnes mit Magnet-fies vorkommt. Die Franzosen (Laugier Ann. du Muséum 1804. III. 408) kannten das Phosphate de fer schon früher von Isle de France und Brasilien. Uttinger erkannte bereits 1807, daß das von Bodenmais kein Cyanit sei (Denkschrift Münchener Akad. Wissensch. 1817. 200). Das erdige Eisenblau kannte man längst vorher, denn schon Wallerius nannte es Coeruleum Berolinense nativum. Isomorph mit Kobaltblüthe und Pharmakolith.

2 + 1gliedrig, und so genau Gypstartig, daß Breithaupt schon 1818 den Namen Eisengyps in Vorschlag brachte. $f = a : b : \infty c \ 111^\circ 6'$; $P = b : \infty a : \infty c$ so deutlich blättrig als Gyps; $M = a : \infty b : \infty c$ stumpft die stumpfe Säulenkannte f ab, und würde dem muscheligen Bruche des Gypses entsprechen, der aber nicht vorhanden zu sein scheint. Die beim Gyps seltene $z = \frac{1}{2}a : c : \infty b$ ist gewöhnlich und z/M bilden eine rhomboidische Säule von $125^\circ 18'$, gegen welche P rechtwinklig steht. Ein faseriger Bruch auf der Hinterseite ist vorhanden, er macht aber gegen Ac einen Winkel, der nur wenige Grade kleiner ist als der rechte. Entspräche er der Fläche $T = \frac{1}{2}a' : c : \infty b$, welche Dufrenoy $109^\circ 5'$ gegen M angibt, so wäre das eine auffallende Analogie. Sein Vorhandensein merkt man besonders in der verschiedenen Härte auf P , denn mit einer feinen Nadel spürt man, daß das Mineral senkrecht gegen die Faser entschieden rigbarer ist, als parallel derselben. Außerdem ein Paar aus der Diagonalzzone von z , wahrscheinlich $i = c : \frac{1}{2}a : \frac{1}{2}b \ 119^\circ 4'$ in der Medianante, ein Paar h aus der Diagonalzzone von T gibt schon Phillips an. In der Säulenzone zwischen f und M die $r = a : \frac{1}{2}b : \infty c$, und eine seltene Fläche a scheint nach Phillips die Kanten i/M abzustumpfen. Dünne Blätter geben im polarisirten Licht so schöne Farben, als Gyps, daher müssen die optischen Axen im blättrigen Bruch P liegen.



$H = 2$, Gew. 2,6. An sich farblos und durchsichtig, durch Verwitterung aber smalte- bis indigblau, und dann sehr an Durchsichtigkeit verlierend. Milde und etwas biegsam.

Vor dem Röthrohr schmilzt er leicht zu einer magnetischen Kugel, und färbt die Flamme grün. Das ursprüngliche farblose Salz soll $Fe^3 P + 8 H$ sein, so fand es Fischer im Sande von Delaware; allein nach Rammelsberg tauschen von je 8 Atomen des Salzes 2 Atome die Hälfte ihres Wassers gegen 3 Sauerstoff aus, wodurch die blaue Farbe und die complicirtere Formel



entstehen soll. Vivianit ist im Wasser unlöslicher als phosphorsaurer Kalk, wenn daher kohlensaures Eisenorydul zu Lösungen des letztern kommt, so bildet sich Vivianit. Daraus läßt sich das Eisenblau in Torfmooren, in Marktröhren lange gelegener Leichname auf Gottesäckern und in Bergwerken erklären.

Der krystallisirte kommt auf Gängen des Thonschiefers von Cornwallis und des Granites von Bodenmais vor, insonders auf Thraulit mit Magnetkies. Höchst eigenthümlich sind die prachtvollen Nadeln und Blätter in Höhlen der Steinkohlenschlacken eines unterirdischen Brandes von la Bouiche (Allier) und Crausac (Aveyron). Zu Schungulek bei Kertsch in der Krimm kommen in einem tertiären Thoneisensteinflöz weißschalige Muscheln von *Mytilus Brardii* vor, die im Innern gänzlich mit Blau-eisenerde erfüllt sind,

in welcher krystallisirte Strahlen von Vivianit liegen. Aehnlich der Muscit in den Mullica-Hills von New-Jersey, wo die Blau-eisenerde in finger-großen Röhren sich ablagert. Auf der Lava von Isle de France kommt er safrig wie Faser-gyps vor, und der Faser geht auch der blättrige Bruch P parallel (Dufrenoy Trait. Minér. II. 554). Der Anglarit von Anglar Dep. Haut Vienne ist strahlig.

Erdigen Vivianit (Blau-eisenerde) findet man am häufigsten, besonders in Torfmooren und Tertiären Thonen. Frisch gegraben verräth er sich gewöhnlich noch nicht durch blaue Farbe, diese tritt erst an der Luft ein. Nesterweis eingesprengt, aber auf mannigfache Weise verunreinigt. Macht die Sumpferze kaltbrüchig.

Es gibt noch eine ganze Reihe meist seltener phosphorsaurer Eisenerze theils wasserhaltig, theils wasserfrei. Zu den wichtigern zählt:

a) Grüneisenstein (Kraurit, Dufrenit), zuweilen in kleinen Ob-longoktaedern, gewöhnlich aber von ausgezeichnete Glas-kopf-structur (grüner Glas-kopf), die Faser scheint blättrig, dunkel lauchgrün, aber mit zeisig-grünem Strich, $H = 3-4$, Gew. 3,3. Schmilzt leicht zu einer schwarzen Schlacke. Karsten fand in dem vom Hollerter Zuge bei Siegen 63,4 Fe, 27,7 P, 8,5 H, das gäbe $2 \text{ Fe}^2 \text{ P} + 5 \text{ H}$. Andere fanden aber auch Fe, daher könnte er schon oxydirt sein. Ausgezeichnet zu Göritz bei Hirschberg an der Saale im Fürstenthum Rhen.

b) Suraulit Alluaud, phosphorsaures Eisenmangan, kleine Gänge im Granit von Suraulit in Limoges in Centralfrankreich bildend. Dufrenoy



beschreibt die Krystalle $2 + 1$ gliedrig, eine Säule M/M macht vorn einen scharfen Winkel $62^\circ 30'$, die scharfe Kante gerade abgestumpft durch h , ein Augitpaar e macht 88° untereinander, ihre Mediankante 68° gegen Axe c geneigt. Glasartiger Bruch, hell hyacinthroth und sehr durchsichtig, daher Hyacinthen gleichend, aber nur Apatithärte und Gew. 2,3. Leicht zu einer schwarzen Kugel schmelzend. $(\text{Mn}, \text{Fe})^5 \text{ P}^2 + 5 \text{ H}$. Mit ihm kommt der derbe Peterosifit vor, zwei Blätterbrüche schneiden sich unter 100° . Ihre bläulichgrüne Farbe erinnert sehr an Triphylin, allein diese verschiebt an der Luft ins Violett. Er ist sichtlich ein Verwitterungsproduct, schmilzt sehr leicht, und färbt die Flamme grün.

c) Triphylin (Zuch's Erdmann's Journ. prakt. Chem. 1834. III. 99), guld' Stamm, also dreistämmig, weil er aus drei Phosphaten besteht. Am Rabenstein bei Zwiesel auf Nestern des Granits mit Albit und gemeinem Beryll in derben Feldspathartigen Stücken vorkommend, die man nicht für das halten sollte, was sie sind. Zwar steckt dazwischen ein sehr ähnlich aussehender weißer Albit, allein derselbe hat Zwillingsstreifen auf P und schmilzt sehr schwer zu weißem Glase, während der bläuliche Triphylin außerordentlich leicht zu schwarzen schmilzt, und in günstigen Proben die Flamme roth (Lithion) und grün (Phosphorsäure) färbt.

Zwei ungleiche Blätterbrüche, wenn auch nicht so deutlich als beim Feldspath, lassen sich mit ziemlicher Sicherheit erkennen, sie schneiden sich

unter rechten Winkeln. Fuchs gibt sogar noch zwei andere an, die sich ungefähr unter 132° in einer rhombischen Säule schneiden sollen, allein man kann sich an derben Stücken kaum von ihrer Existenz überzeugen, der 2te Blätterbruch wird dann die scharfe Säulenkante dieser Säule abstumpfen, und der erste ungefähr gegen sämtliche senkrecht stehen. Grünlichgraue Farbe, aber vielfach von schmalen dunkelblauen Trümmern durchzogen, die ihrer Farbe nach an Vivianit erinnern und einzelnen Stellen auch ihre blaue Farbe mittheilen. Härte 4—5, Gew. 3,6. Schwacher Fettglanz. Durch Verwitterung wird es eine schwarze bröckliche Masse.

(Fe, Mn, Li)³ P mit 41,5 P, 48,6 Fe, 4,7 Mn, 3,4 Lithion, Magnesia. Rammelsberg nimmt R⁵ P² an. Desten (Pogg. Ann. 107. 488) fand 7,7 Lithion. In Salzsäure leicht löslich; wird diese abgedampft und dann mit Weingeist digerirt, so brennt er mit purpurrother Flamme. Die Lithionflamme mit dem Grün der Phosphorsäure gemischt zeigt sich schon unmittelbar namentlich bei halbverwitterten Proben in der Platinzange. Das Lithion geht durch Verwitterung leicht verloren, es oxydirt sich Fe und Mn zu Fe² und Mn², die Masse nimmt dabei Wasser auf, wird schwarz und es entsteht (Fe, Mn)³ P² + 3 H. Bergelius (Pogg. Ann. 36. 474) erwähnt von Rietz bei Tammela in Finnland eines gelben Tetraphyllin, der auch leicht schwarz wird, und vier Basen Fe, Mn, Mg, Li hat.

d) Triplit Hausmann mit gemeinem Veryll aus einem Quarzgange des Granites von Limoges. Bräunlich schwarze Masse mit Fettglanz, die Splitter scheinen lichtbraun durch. Es werden öfter auch dreierlei auf einander rechtwinklige Blätterbrüche angegeben. Härte 5, Gew. 3,7. Schmilzt leicht zu einer magnetischen Perle, und besteht aus Fe⁴ P + Mn⁴ P. Vergleiche auch den Eisenapatit pag. 469. Delvauxit Fe P + 24 H fand Delvaux auf den Falten von Verneau bei Visé, eine bräunlich schwarze Masse von Wachsglanz, Gew. 1,8, Härte 2, zerspringt wie Bol im Wasser mit Geräusch; offenbar Verwitterungsproduct.

Phosphorsaure Eisenerze, so weit sie in derben unkrystallisirten Massen vorkommen, lassen sich äußerlich nicht scharf trennen. Ihre Neigung zur Verwitterung macht sie auch chemisch unsicher. An Handstücken von Triphylin sieht man deutlich, wie sie schwarz werden, und in eine Masse wie Eisenapatit und Triplit übergehen. Schmelzbarkeit und Färbung der Löthrohrflamme scheint bis zu einem gewissen Verwitterungsgrade zuzunehmen. Davon muß der Phosphoreisensinter (Diadochit) aus dem Alaunschiefer von Arnsbach im Saalfeld'schen unterschieden werden, welcher gleich dem Arsenkiesensinter durch Auslaugung der Gebirge entsteht. Die Bestimmungen werden hier sehr ungerichtlich.

7. Kobaltblüthe Co³ As + 8 H.

Ein alter Bergmännischer Name. Unter Blüthe versteht der Bergmann Minerale, die strahlig und haarförmig aus den Felsen (nicht selten unter seinen Augen) hervorbrechen. Erythrin.

2 + 1gliedrig, isomorph mit Vivianit. Säule f = a : b : ∞

111° 8', $P = b : ooa : ooc$ sehr blättrig und der Länge nach weicher als quer; $M = a : oob : ooc$ macht mit $z = \frac{1}{2}a : c : oob$ vorn 124°



51', $i = c : \frac{1}{2}a : \frac{1}{2}b$ in der Medianlante 118° 23' stumpft die Kante P/z ab. Meist starke Streifung parallel dem blättrigen Bruch auf allen Flächen. Dünne Platten geben im polarisirten Licht schöne Farben. Härte 2, Gew. 3, pfirsichblüthroth mit Durchscheinheit und Milde.

Vor dem Löthrohr entfärben sie sich bei der geringsten Annäherung augenblicklich, und schmelzen gerade nicht sonderlich leicht. Geben auf Kohle einen deutlichen Arsenikgeruch, und die feinsten Splitter schon sehr deutlich blaue Gläser. Erzeugt sich hauptsächlich auf Kobaltgängen durch Zersetzung arsenikhaltiger Kobalterze, die durch ihren rothen Beschlag oft verrathen werden.

Kryskalle nadelförmig und excentrisch strahlig, besonders schön zu Schneeberg auf Quarz; zu Wittichen im Schwarzwalde auf Schwefspath; zu Riechelsdorf in Hessen Schnüre im grauen Sandstein des Todtliegenden; zu Gaier in Tyrol auf Kalkstein mit Kupferschaum. Die Fasern werden endlich so fein, daß sie ein sammtartiges Aussehen erhalten, wie zu Wittichen, doch pflegen dann Nadeln von Pharmakolith sich beizumischen, die man nicht leicht mineralogisch trennen kann.

Kobaltbeschlag nennen die Bergleute den rothen Erdkobalt, welcher in staubartigen Ueberzügen sich meist da einfindet, wo schwarzer Erdkobalt verwittert. In einzelnen Fällen, besonders wenn Pharmakolith zugegen ist, bilden sich auch feintraubige Ueberzüge mit einer brennenden blaurothen Farbe, innen aber sind die Kügelchen excentrisch strahlig und weißlich, auch wird der Strich, welchen man durch die schönrothe Farbe der Oberfläche macht, auffallend weiß. Man möchte sie demnach für Pharmakolith halten, welcher bloß von einer dünnen Haut Kobaltbeschlag überläncht wurde, allein mit Borax geben sie sehr intensiv blaue Gläser, und erhitzt man sie nur schwach, z. B. auf einem Blech, so nehmen sie eine prachtvoll blaue Farbe an. Kersten (Pogg. Ann. 60. 255) wies in den Schneebergern $29,2\text{ Co}, 8\text{ Ca}$ nach, so daß sie die Formel $(\text{Co}^3, \text{Ca}^3) \text{Äs} + 8\text{H}$ zu haben scheinen, und machte darauf aufmerksam, wie wenig constant die Mischung sei, glaubt auch Lévy's Roselit (Pogg. Ann. 5. 171) hier hinstellen zu sollen, der in kleinen rosenfarbigen Kryskallen zu Schneeberg äußerst selten vorkommt. Auf der Grube Sophie zu Wittichen im Schwarzwalde sind die traubigen in großer Schönheit vorgekommen, sie sitzen meist auf einer braunen rissigen Borke von braunem Erdkobalt, doch scheint bei vielen die Borke auf den rothen Schwefspath und verwitterten Granit künstlich bereitet und aufgeschmiert. Denn noch jetzt läßt ein dortiger Bergmann das Mineral in einem feuchten Keller wachsen. Der rothe erdige Beschlag ist auf Kobaltgruben viel verbreiteter, aber nur Zersetzungsproduct des Spieskobalts, wo nicht des Glanzkobalts. Sie bestehen aber nach Kersten oft aus mehr als der Hälfte arseniger Säure, die man mit Wasser ausziehen kann.

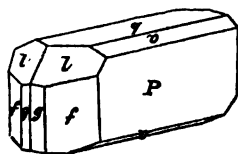
Nickelocker Br. $\text{Ni}^3 \text{Äs} + 8\text{H}$ (Annabergit) kommt als apfel-

grüner Beschlag auf Weisnickelerz und Kupfarnickel vor, namentlich wenn man sie an feuchte Orte stellt. Beim Schmelzen des Smalteglases erzeugen sich sogar krystallinische Nadeln von Nickelblüthe (Hausmann Hdb. Mineral. II. 1018), die isomorph mit Kobaltblüthe sein könnten.

Röttigitt $\text{Zn}^2 \text{As} + 8 \text{H}$ von der Grube Daniel Spat bei Schneeberg bildet weiße bis pfirsichblüthrothe Nadeln; letztere Farbe kommt von einem kleinen Gehalt Co, das Zn ersetzt. Bildet sich noch durch tröpfelnde Grubenwasser.

8. Pharmakolith Karsten.

Φάρμακον Gift, wegen seines Gehaltes an Arseniksäure; Werner's Arsenikblüthe. Bergrath Selb erkannte sie zuerst auf der Grube Sophie zu Wittichen (Scheerer Journ. Chem. 1800, IV. pag. 537). Es kommen daselbst auf ein und derselben Stufe zweierlei vor: das eine ist schneeweiß, kugelig. Die kaum erbsengroßen Kugeln sind innen excentrisch faserig, und blühen oft in mehrere Linien langen höchst zarten Fasern aus. Das ist das bekannteste Vorkommen, aber secundären Ursprungs, da es sich nach Selb meist erst auf „dem alten Manne“ in den Gruben erzeugt; das andere ist das primäre aber leichter übersichtbare Erzeugniß, welches in kleinen Gypsartigen Strahlen zwischen den Haaren zerstreut liegt, und zu diesen wahrscheinlich erst Veranlassung gegeben hat. Diese Krystalle sind halb durchsichtig, Gypshart und milde, Gew. 2,7. Einen deutlich blättrigen Bruch nimmt man wohl daran wahr. Häubinger hatte sogar Gelegenheit, in der Sammlung des H. Ferguson zu Raith $\frac{1}{4}$ Zoll lange und 1 Linie dicke Krystalle unbekannten Fundortes (Joachimsthal?) zu messen und zu zeichnen (Hemiprismatisches Gypshaloid Pogg. Ann. 5. 101). Darnach sind es 2 + 1 gleiche Säulen $f = a : b : \infty 117^\circ 24'$, die sehr blättrige $P = b : \infty a : \infty$ stumpft ihre scharfe Kante ab; $g = \frac{1}{4}a : b : \infty$ schärft die stumpfe Säulenkante zu, und macht $157^\circ 5'$. Das vordere Augitpaar $l = c : \frac{1}{4}a : \frac{1}{4}b$ macht in der Mediankante $139^\circ 17'$. Die Schiefendfläche $q = a : c : \infty b$ dehnt sich sehr aus, und ist gegen Axe c $65^\circ 4'$ geneigt, in ihrer Diagonallzone liegt $v = a : \frac{1}{4}b : c$ mit $141^\circ 8'$ in der Mediankante. Wenn auch die Winkel etwas abweichen, so ist doch eine Gypsartige Entwicklung unverkennbar.



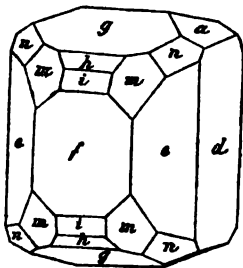
Vor dem Löthrohr schmilzt er nicht sonderlich schwer auf Kohle unter Arsenikgeruch, die zurückbleibende Glasperle leuchtet stark. In Säure leicht löslich. Nach Rammelsberg

$\text{Ca}^2 \text{As} + 6 \text{H}$ mit 50 Arsenik., 25 Kalk, 24 Wasser.

Doch könnte bei der Gypsähnlichkeit die Frage entstehen, ob nicht 8 H vorhanden seien. Denn die schneeweißen Nadeln, wovon die Analysen meist ausgehen, haben ganz den Anschein, als hätten sie durch Verwitterung Wasser verloren, oder stimmten sie gar nicht im Wassergehalt mit den durchscheinenden Krystallen. Kommt mit Kobaltbeschlag besonders auf Kobaltgängen

vor: Wittichen, Markirch, Richelsdorf, Joachimsthal, Andreasberg u. Piktropharmakolith von Richelsdorf scheint bloß etwas Magnesiahaltig, Käßlerit von Biber (Jahrb. 1861. 335) enthält nur Magnesia $Mg^2 \text{As} \text{H}^{15}$.

Haidingerit Turner (Diatomes Gypshaloid, Haidinger Pogg. Ann. 5. 122) scheint im Aeußern dem krystallinischen Pharmakolith sehr zu gleichen, soll aber weniger Wasser enthalten $\text{Ca}^2 \text{As} + 3 \text{H}$ und zweigliedrig krystallisiren: Säule $e = a : b : \infty c 100^\circ$, $d = b : \infty a : \infty c$ stumpft ihre

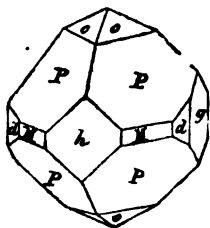


scharfe Kante ab und war sehr blättrig, ein Paar $a = b : c : \infty a$ auf diese scharfe Säulenkante aufgesetzt macht in c den Winkel $126^\circ 58'$, $g = 2a : c : \infty b$, $h = a : 2c : \infty b$, $i = a : 4c : \infty b$, $f = a : \infty b : \infty c$, $m = \frac{1}{2}a : \frac{1}{2}b : c$ und $n = \frac{2}{3}a : \frac{1}{3}b : c$. Kam mit Pharmakolith auf obiger Ferguson'schen Stufe vor. Während die kalkigen in ihrer chemischen Constitution sich nicht recht an Kobaltblüthe und Vivianit anschließen wollen, macht uns Haidinger mit einem Hörneft $Mg^3 \text{As} \text{H}^3$

(Sitzungsbb. Wiener Akad. Wiss. 1860. 40. 12) bekannt, ganz von Form einfacher Gypskristalle Pfl, ff 107° , ll $143^\circ 42'$, nur der Rhombus auf dem blättrigen P beträgt 144° , ist also beträchtlich größer als beim Gyps ($127^\circ 44'$). Talkhärte, Gewicht 2,47. Das Stück in der von der Kull'schen Samml. stammt wahrscheinlich von Eziłowa im Banate, und wurde von Mohs für Talk gehalten. Auch der Sympleksit mit Spathisen und Nickelglanz von Kl. Friesa bei Lobenstein im Voigtlande blaß blau bis grün soll gypsartig blättrig sein, und wird von Renngott $\text{Fe}^3 \text{As} \text{H}^3$ geschrieben, wodurch die Vivianit-Formel immer mehr Bedeutung bekommen würde.

9. Störöbit $\text{Fe} \text{As} \text{H}^4$.

Στορόδιον Knoblauch, auf den Arsenitgeruch vor dem Löthrohr anspielend. Breithaupt bestimmte ihn (Hoffmann Handb. Miner. 1814. Band IV. b. pag. 182) nach einem Vorkommen auf Stamm Affer am Graul bei Schwarzenberg im Schneeberger Revier. Doch hat ihn Graf Bournon schon viel früher als Cupreous Arseniate of Iron aus den Zinnsteingängen von St. Aulile beschrieben (Philos. Transact. 1801. 192), wo er mit Arsenitfaurem Kupfer vorkommt. Die schönen Krystalle von San-Antonio-Pereira in Brasilien nannte Deubant Néoctèse. Auf den Goldfeldern von Victoria in Menge.

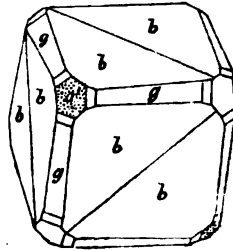


Zugliedrig, Oktaeder $P = a : b : c$ hat in Kante $a : c 115^\circ$, in Kante $b : c 103^\circ$, die zugehörige Säule $M = a : b : \infty c 99^\circ 30'$ kommt nur untergeordnet vor, dagegen herrscht bei Brasilianischen die etwas blättrige $d = a : \frac{1}{2}b : \infty c$, die ihren scharfen Winkel von $59^\circ 50'$ vorn hat. Diese scharfe Kante wird durch die ziemlich blättrige $h = a : \infty b : \infty c$ gerade abgestumpft; $g = b : \infty a : \infty c$,

selten $o = c : 2a : 2b$, und $a = c : \frac{1}{2}a : \infty b$. Am Graul kommen öfter einfache Dodekaeder Phg vor. Zuweilen geht die Masse ins faserige und dichte, wird dann aber unrein. Härte 3—4, Gew. 3,2, Glasglanz mit der gras- bis lauchgrünen Farbe der Eisenorydulsalze, durch Verwitterung aber leicht ockerig werdend. Vor dem Löthrohr leicht schmelzbar, auf der Kohle nach Knoblauch riechend und sich zu einer magnetischen Kugel reducirend. Ohne alles Eisenorydul, da die Lösung mit Kaliumgoldchlorid keinen Niederschlag gibt. Scheint hauptsächlich durch Zersetzung des Arsenikkieses zu entstehen. Hermann's Arseniksinter (Erdmann's Journ. pr. Chem. 33. 92), der zu Nertschinsk Berylle, Topase und Bergkryalle überzieht, scheint nicht wesentlich verschieden zu sein.

Würfelerz (Fe Fe) $\text{As} + 6 \text{H}$, wurde auf den Kupfererzergängen von Cornwallis entdeckt, von Graf Bournon als Arseniate of Iron beschrieben (Philos. Transact. 1801. 100), und nach seinen schönen Würfeln von Werner benannt, Hausmann's Pharmakosiderit.

Regulär mit vorherrschenden wenig blättrigen Würfeln, das Grana-toeder g stumpft die Kanten schwach ab, die Octaederflächen treten aber nur zur Hälfte auf, wie beim Boracit die abwechselnden Eden abstumpfend, nach Lévy soll es daher auch Pyroelectrisch sein. Das Gegentetraeder kommt auch vor, aber physikalisch verschieden. Phillips zeichnet ein Pyramidentetraeder b, welches in seinen Tetraederkanten $176^\circ 30'$, in seinen Pyramidenkanten $93^\circ 40'$ hat, also sich dem Würfel sehr nähert: es ist ein Würfel mit hälftigen Diagonalen, der aber gerade für das Durchgreifen der tetraedrischen Hemiedrie spricht.



Härte 2—3, Gew. 3, lauchgrün, auf Brauneisenstein von Öritz sogar honiggelb. Die kleinen Würfel haben ein Flußspathartiges Ansehen. Schmilzt leichter als Skorodit und zu einer stärker magnetischen Schlacke, Kali zieht etwas Arseniksfäure heraus unter Ausscheidung von schwarzem Eisenorydorydul. Sie entstanden auch durch Verwitterung des Arsenikkieses, am schönsten und in Menge auf den Kupfergruben von Huel Gorland und Huel Unity in Cornwall, auch am Graul mit Skorodit, selten auf den Halben von Neubulach und Freudenstadt auf dem Schwarzwalde. St. Leonard Dep. St. Bienne, Nordamerika, Neuholland. Durch Verwitterung gehen sie leicht in braunen Eisenocker über wie schon Bournon weiß. Lévy's

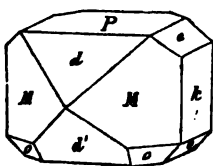
Beudantit von Horrhausen bei Altenkirchen, Montabaur und Cort in Irland, 4 Gew. kam neuerlich in schönen olivengrünen Krystallen vor, die würfelförmliche Rhomboeder von $91^\circ 18'$ bilden, mit blättriger Geradenfläche (Pogg. Ann. 100. 575). Wurde lange für Würfelerz gehalten, scheint aber mehr phosphorsauer und stark mit Blei versetzt. Gleich krystallisirt ist der rosenrothe Svanbergit von Horrsjöberg in Wermeland mit 17,8 Phosphor., 17,3 Schwefelsäure, 37,8 Thonerde, 12,8 Natron, 6 Kalk, 6,8 Wasser.

Eisensinter Br., Arseneisensinter, Pittizit Hausm., Eisenspacherz Karsten. Schon Freiesleben, Ferber und Andere beobachteten auf Grubenbauen eine braune syrupartige Flüssigkeit, die durch Zersetzung von Eisenerzen entsteht, und allmählig zu einer braunen, halbdurchsichtigen Masse erstarrt mit vollkommen opalartigem Bruch. Von einer bestimmten Zusammensetzung kann man bei so zufällig zusammenfließenden Sachen wohl kaum noch reden. In den Freiburger Gruben enthält er 26 Arseniksäure, 10 S, 33 Fe, 29 H. Am Graul bei Schwarzenberg schiebt er ganz Kolophoniumartig aus. Erinert an Diadochit und Pissophan der Braunkohlengebirge.

Arseniosiderit Dufren. $2 \text{Ca}^3 \text{As} + 3 \text{Fe}^2 \text{As} + 12 \text{H} + \text{Fe H}$ auf Manganerzen von Romanèche bei Mâcon, oderfarbig, wie dichter Asbest sich schuppig faserig theilend, weich, Gew. 3,8.

Eser und Yttererde kommen wenn auch als Seltenheiten an Phosphorsäure gebunden vor. Meßbare Krystalle lieferte

Monazit (*μονας* Einzelwesen) Breithaupt (Schweigger's Journ. 55. 201), Mengit Brooke (Pogg. Ann. 23. 202) aus dem Granit des Ilmengebirges. Die Flächen lassen sich wegen ihrer Mattigkeit nur annäherungsweise messen,



sind aber 2 + 1gliedrig. $M = a : b : \infty c \ 95^\circ 30'$, die blättrige $P = c : \infty a : \infty b$ macht 100° mit M ; $k = b : \infty a : \infty c$ stumpft die scharfe Kante gerade ab; die vordere Schiefenfläche $d = a : c : \infty b$ macht mit $P \ 140^\circ 30'$, die hintere $d' = a' : c : \infty b$ mit $P \ 129^\circ$; $e = b : c : \infty a$, $o = a' : b : c$ tritt nur hinten auf, $i = a : \frac{1}{2}b : \infty c$. Röthlichbraun

bis hyacinthroth, etwas Fettglanz, $H = 5$, Gew. 5. Unschmelzbar, nach Kersten $R^3 P$, 28,5 P, 26 Ceroryd, 23,4 Lanthanoryd, 17,9 Thorerde, 2,1 Zinnoryd zc. Den Gehalt der so seltenen Thorerde hat Wöhler bestätigt, Hermann (Journ. prakt. Chem. 33. 100) nicht. Nach G. Rose (Pogg. 49. 222) ist Shepard's Edwarfit aus dem Gneis von Norwich in Connecticut das Gleiche. Ebenso der Eremit. Hermann's Monazitoid von 5,28 Gew. scheint wenig verschieden.

Kryptolith (*κρυπτός* verborgen) fand Wöhler 1846 in feinen grünen und röthlichen Nadeln im Apatit der Magneteisengruben von Arendal. Die Nadeln traten erst zum Vorschein, wenn man Stücke von Apatit in verdünnter Salpetersäure löste, 27,4 P und 73,7 Cerorydul, etwa $\text{Ce}^3 P$.

Phosphorsaure Yttererde (Xenotim) wurde 1824 von Berzelius untersucht (Pogg. Ann. 3. 200 und 60. 201) und findet sich mit Orthit in einem Gange grobkörnigen Granits von Fitteröde (Jahrb. 1855. 212). Man kennt nur viergliedrige Oktaeder mit 82° in den Seitenkanten, etwa Pinienlang. Deutlich blättrig nach der ersten Quadratischen Säule $a : a : \infty c$. Chokoladenbraun, dünne Splitter bräunlichroth, durchscheinend, Fettglanz, reichlich Flußspathhärte, Gew. 4,5. Unschmelzbar. 62,6 Y, 33,5 P, also $Y^3 P$. Die kleinen Körner von Castelnau dit aus dem Diamantfande von Bahia scheinen nach Ramselsberg dasselbe Mineral zu sein.

Struvit Ulex. Nach dem großen Brande in Hamburg fanden sich 1845 beim Grundbau der dortigen Nicolailirche in einer aus Viehmist gebildeten 10'—12' mächtigen Moorerde, die bei 26' Tiefe auf Sand ruht, schöne gelbe bis farblose oft sehr durchsichtige Krystalle, die bis 1 Zoll Größe erreichten. Die Analyse gab die bekannte Phosphorsaure Ammoniak-Tallerde ($\text{NH}^4 + \text{Mg}^2$) $\text{P} + 12 \text{H}$, welche die Chemiker zwar als feines Pulver, das nur in 1000 Theilen Wasser löslich, schon längst bargefellt hatten, man kannte die Verbindung auch aus Kloaken u.: aber solche prachtvollen Krystalle kamen unerwartet. Der Mist konnte wohl höchstens 1000 Jahre alt sein, in dieser Zeit mußten sie sich gebildet haben. Es entspann sich darüber ein Streit, ob es ein Mineral sei (C. Marz, zur Charakteristik des Struvits) oder nicht. Wir nehmen dasselbe als eine Bereicherung der Krystalle mit Freuden auf.

Zweigliedrig mit einer an die des Kieselzinkerzes erinnernden Hemiedrie. Das Oberende wird durch ein glattflächiges meßbares Oblongoktaeder gebildet, worin $s = a : c : oob$ in $\text{Axe } c$ $63^\circ 30'$ und $m = b : c : ooa$ daselbst 95° machen, daraus folgt $a : b = 0,6188 : 1,0913$.



Den Flächen s fehlen unten zwar die Parallelen s' nicht, allein sie sind gewölbt und unmeßbar, oft meint man sogar, daß sie einem stumpfern Paare $a : \frac{1}{2}c$ oder $a : \frac{1}{3}c$ angehören. Ihre Kante ist immer stark durch die ebenfalls unebene Fläche $r = c' : ooa : oob$ abgestumpft, die oben gewöhnlich fehlt, und wenn sie vorkommt, glatter ist als unten. Endlich noch eine bauchige etwas blättrige Fläche $o = b : ooa : ooc$, die einzig unter allen immer links und rechts gleich auftritt, und senkrecht gegen sie steht die optische Mittellinie; daher hat Marz b als aufrechte Hauptaxe genommen. Allein beim starken Erhitzen im Licht werden die Krystalle pyroelektrisch, wobei die elektrische Axe mit Axe c zusammenfällt und die drusige Fläche r unten sich analog zeigt. Die Krystalle sind also oben anders als unten, dagegen vorn wie hinten und links wie rechts ausgebildet. Auch Zwillinge werden angeführt, sie haben $r = c' : ooa : oob$ gemein und liegen umgekehrt.

Leider verwittern diese schönen gelben Krystalle, sie überziehen sich mit einer weißen Hülle, die zuletzt die ganze Masse durchdringt. Härte = 2, Gewicht 1,7.

Vor dem Röthrohr schmilzt es unter stark ammoniakalischem Geruch. Bräunlich olivengrün kamen sie später in der Schauenburger Straße in einer verschütteten Schächter-Schranke (Zeitschr. deutsch. geol. Ges. 1854. VI. 641) vor, auf Leder aufgewachsen in altrömischen Niederlassungen bei Mainz, in den Kloaken von Dresden, Kopenhagen u., besonders im Guano auf der Westafrikanischen Küste. Da phosphorsaure Magnesia sich im Samen der Getreidearten findet, so ist ihre Bildung um so leichter erklärt, als Ammoniak, Phosphorsäure und Talkerde bekanntlich eine große chemische Verwandtschaft zu einander haben.

Kupferlasur.

Kupfer läßt sich meist leicht durch Behandlung auf Kohle reduciren, gewöhnlich leitet schon die Flamme und die grüne Farbe des Minerals zum Erkennen. C , P und As sind die wichtigsten Säuren, davon gibt sich die Kohlensäure durch Brausen kund.

1. Kupferlasur.

Die blaue Farbe konnte den Alten nicht entgehen, Theophrast § 97 und Plinius 37. ss begreifen sie unter *Καυρός*. Wallerius nannte es schon Lazur. Azurit, Cuivre carbonaté bleu, Blue carbonate of Copper, Chéssylit.

2 + 1gliedriges Krystallsystem. Am schönsten die Krystalle von Chéssyl, welche Zippe (Pogg. Ann. 22. 333) untersuchte: Eine geschobene Säule $M = a : b : \infty c$ bildet in der vordern Kante $99^\circ 32'$; Endfläche $h = c : \infty a : \infty b$ neigt sich $87^\circ 39'$ gegen Axe c , also schließen die Axen ac vorn einen Winkel von $92^\circ 21' = h/s$ ein. Da eine große Zahl von Flächen in ihrer Diagonalzone a zu liegen pflegen, so ist sie nach dieser gestreift, und gewöhnlich am stärksten durch Malachit grün gefärbt. Die vordere stumpfe Kante M/h dieses Hendyoebers ist häufig durch ein augitartiges Paar $k = a : b : c$ abgestumpft, $106^\circ 14'$ in der Mediankante k/k bildend. Doch ist es für die Rechnung bequemer, von dem blättrigen Bruche $P = b : c : \infty a$ mit $59^\circ 14'$ in der Mediankante auszugehen, denn wir haben dann

$$\operatorname{tg} 49^\circ 46' = \frac{b}{a}, \operatorname{tg} 2^\circ 21' = \frac{k}{a} \text{ und } \operatorname{tg} 29^\circ 37' = \frac{b}{a} \sqrt{k^2 + a^2},$$

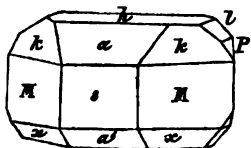
$$\text{woraus } a^2 = \frac{\operatorname{tg}^2 29^\circ 37'}{\operatorname{tg}^2 49^\circ 46' (1 + \operatorname{tg}^2 2^\circ 21')} \text{ folgt, folglich}$$

$$a : b : k = \sqrt{0,2309} : \sqrt{0,3226} : \sqrt{0,00039}$$

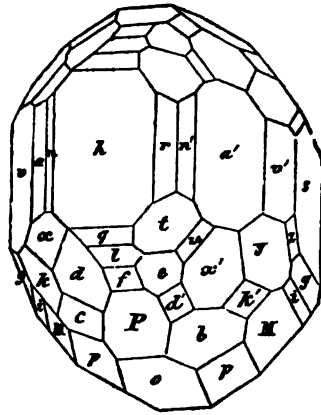
$$\lg a = 9,68174, \lg b = 9,75434, \lg k = 8,29493.$$

Der einfache Körper Mhk kommt ausgezeichnet vor, man muß sich aber hüten, k nicht für Säule zu nehmen. Aber in der Säule fehlt selten $s = a : \infty b : \infty c$, während die glänzende Schiefendfläche $a = a : \frac{1}{2}c : \infty b$ in der Mediankante k/k nach oben divergirende Kanten macht. Auf der Hinterseite ist $a' = a' : \frac{1}{2}c : \infty b$ trefflich erkennbar durch ihre Mattigkeit, und auch $x = a' : b : \frac{1}{2}c$ aus ihrer Diagonalzone noch bauchig. Besonders leitend für das Erkennen sind die Flächen aus der Diagonalzone von h . Da die Abstumpfung

der scharfen Säulentante $o = b : \infty a : \infty c$ selten vorkommt, so bildet die blättrige $P = b : c : \infty a$ gewöhnlich ein kleines Dreieck zwischen M und k , darüber $l = b : \frac{1}{2}c : \infty a$ $119^\circ 18'$.

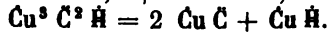


Zippe hat an beistehendem von der Seite gezeichnetem Krystall sämtliche bekannte Flächen vereinigt: in der Säulenzone M, s, $o = b : ooa : ooc$, $p = 2a : b : ooc$, $i = \frac{2}{3}a : b : ooc$, $g = \frac{1}{2}a : b : ooc$. In der Zone der Schiefendflächen sh liegen: $v = a : c : oob$ vorn und v' hinten; $a = a : \frac{1}{2}c : oob$, und a' hinten; $n = a : \frac{1}{4}c : oob$ vorn, und n' hinten; $r = a' : \frac{1}{8}c : oob$. G. Rose (Reise Ural I. 241) gibt in der prachtvollen Kupferlasur vom Altai noch $a' : \frac{1}{4}c : oob$, $a' : \frac{2}{3}c : oob$ und $a' : \frac{2}{3}c : oob$ an. In der Diagonalzone ob liegen außer dem Blätterbruch P noch $f = b : \frac{1}{2}c : ooa$, $l = b : \frac{1}{2}c : ooa$ und $q = b : \frac{1}{2}c : ooa$. Augitpaare in der Rantenzone M/h sind vorn $k = a : b : c$ und $x = a : b : \frac{1}{2}c$, hinten außer k' und x' noch $u = a' : b : \frac{1}{2}c$ und $t = a' : b : \frac{1}{2}c$. Zwischen ph vorn: $c = 2a : b : c$ und $d = 2a : b : \frac{2}{3}c$, hinten dagegen $d' = 2a' : b : \frac{2}{3}c$, $b = 2a' : b : 2c$ und $e = 2a' : b : \frac{2}{3}c$. Endlich hinten noch die Paare $y = a' : c : 2b$ und $z = \frac{1}{2}a' : b : \frac{1}{2}c$; bei Schlangenbergs fand Rose $\lambda = a' : \frac{1}{2}b : \frac{1}{2}c$. Die optischen Axen liegen nach Descloizeaux in der Medianebene, Mittellinie vorn etwa 12° gegen Axe c geneigt.



Lasurblaue Farbe (mit einem Stich ins Roth), Strich smalteblau, $H. = 4$, Gew. 3,6. Undurchsichtig und dann zuweilen ins schwärzlich blau gehend, manche werden an den Ranten durchscheinend, und dann wird Farbe und Glanz höher.

Vor dem Löthrohr reducirt sie sich leicht zu einem Kupferregulus, in Salzsäure braust sie, indem Kohlensäure entweicht.



Klaproth (Beiträge 4. 21) fand 56 Cu, 14 Sauerstoff, 24 C, 6 H.

Kommt nicht sonderlich häufig vor. Die schönste wurde 1812 zu Cheshy bei Eyon im rothen Sandsteine bekannt, nur die vom Altai kann mit ihr wetteifern, einzelne Krystalle erreichen 1 Zoll Größe. Dieselben sind öfter in Malachit verwandelt. Am reinsten sind daselbst die kugeligen Congregationen von Wallnußgröße, aus einem Haufwerk von Krystallen mit den vorherrschenden Flächen Mh, an ihnen kann man den Blätterbruch P durch Wegsprengen der scharfen Ecken leicht darstellen. Niedzjana Gora in Polen, Cornwall, Banat, Tyrol, Zinnwald. Vordem war Bulach auf dem Württembergischen Schwarzwalde berühmt, wo sie schon seit 1326 (Select. phys. oecon. 1762. I. 519) auf den Schichtflächen des obersten Bunten Sandstein in strahlig blättrigen zum kugeligen geneigten Massen bekannt sind. An den seltenen Krystallen treten die Säulenflächen zurück, und durch Vorherrschen mehrerer Schiefendflächen (h, a) werden sie länglich tafelförmig.

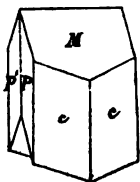
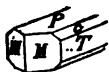
Erdfige Kupferlasur (Bergblau) mit ihrer viel lichtern Farbe darf man nicht mit Vivianit pag. 476 verwechseln. Früher war die Be-

reitung des Bergblau's aus Krystallen wichtig, weil man keine andere feine blaue Farbe hatte, Plinius 33. 57 nennt sie schon *Caeruleum*. Man war an das Vorkommen in der Natur gebunden, da die künstliche Bereitung noch heute Schwierigkeiten hat.

2. Malachit.

Molochites Plinius 37. 38. Soll nach seiner grünen Farbe (*μαλάχη* Malve) benannt sein. Agricola erwähnt ihn beim Jaspis. *Χρυσόκολλα* Theophrast 70, Goldloth, weil er ein sehr reines Kupfer zum Röhren des Goldes gab. Die alten Bergleute hießen es Berggrün. *Cuivre carbonaté vert*.

Krystalle sehr selten, doch soll man an den feinen Nadeln zuweilen Flächen beobachten. Phillips beschreibt sie zweigliedrig: eine blättrige Säule $M = a : b : ooc$ bildet $123^\circ 35'$, dagegen steht der deutliche Blätterbruch $P = c : ooa : oob$ rechtwinklig. Auch $T = b : ooa : ooc$ soll etwas blättrig sein, und das auf die scharfe Kante aufgesetzte Paar $c = b : c : ooa$ $107^\circ 16'$ in



der Axe b haben. Nun kommen aber bei Terruel in Arragonien Zwillinge mit einspringenden Winkeln vor, die T gemein haben und umgekehrt liegen. Darnach wäre das System $2 + 1gl.$, cc die Säule von 107° , M Schiefendfläche, und die Gegenfläche M durch den Zwilling zu erklären. Hr. Hessenberg erwähnt meßbare Krystalle von Rezbanja. Gewöhnlich bekommt man im günstigsten Falle

nur grobe excentrische Strahlen zu Gesicht mit dem prachtvollsten Seidenglanz, wie z. B. auf den Kupfertiesgängen vom Herrenseegen in der wilden Schappach oder von Nanzbach bei Dillenburg. Hebt man solche smaragdgrünen Strahlenbüschel ab, so zeigen sie auf dem Querbruch einen schwarzen Schimmer, in welchem das Grün fast ganz verschwindet. Das ist ein sehr auffallender unerwarteter Dichroismus! Querbruch deutlich blättrig, aber concav nach der Seite der convergirenden Strahlen, was auf Glasopffstructur hinweist, welche bei derben Massen so gewöhnlich gefunden wird.

Im Dichroskop zeigen seine Strahlen im extraordinären Bilde einen äußern gelben und innern blauen Rand, die grüne Farbe wird also in ihre Elemente zerlegt, der blättrige Querbruch ist dagegen im ordentlichen Bilde schwarz, im außerordentlichen indigblau.

$H = 3-4$, Gew. 4. Smaragd- bis Spangrün. Die Glasöpfe concentrisch schaalig, fein fasrig und in den grünen Farben vom Licht Spangrün bis zum Rauchgrün wechselnd.

Vor dem Röhrohr reduciren sie sich wie Kupferlasur, in Säure brausen sie stärker.

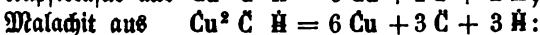
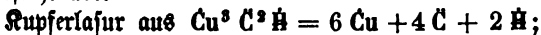


Klaproth (Beiträge II. 207) fand im Sibirischen 58 Cu, 12,5 Sauerstoff, 18 Kohlenäure, 11,5 Wasser.

Malachit ist bei weitem das gewöhnlichste unter den salinischen Kupfer-

erzen. Als erdiger Beschlag (Kupfergrün) kommt er gar häufig im Flözgebirge vor: die Keupermergel, der Muschelkalk, Buntsandstein zeigen ihn. Im Gouv. Perm ist die Zechsteinformation stellenweis grün davon gefärbt. In Bergwerken, auf alten Waffen (*aerugo nobilis*) erzeugt er sich unter unsern Augen. Auf Erzgängen kommt er besonders in den obern Teufen vor, wo er durch Zersetzung der geschwefelten Kupfererze (Kupferkies, Buntkupfer- und Fahlerz) entstanden ist: an verwitterten Kupferkiesstufen (Herrenseegen, Nanzenbach) kann man den Zersetzungsprozeß mit großer Bestimmtheit verfolgen: der Kupferkies wird zu Ziegelerz, zwischen welchem die smaragdgrünen Büschel liegen. Ein sehr schönes Vorkommen findet sich im Kalkstein von Ringenwechsel bei Schwarz in Tyrol, dasselbe zeigt keine Spur von Faser und hat einen jaspisartigen Bruch wie Riesellupfer pag. 372, löst sich aber in Säuren vollkommen. Unübertroffen sind dagegen die glaskopfartigen Malachitmassen vom Ural: sie kommen dort klumpenweis in Klüften des krystallinischen Uebergangskalkes auf der Gränze von Grünstein vor, und scheinen aus gebiegenem Kupfer, das sich mit Rothkupfererz überzog, entstanden. Die Sammlung des Bergcorps in Petersburg bewahrt aus der Gumeschewskischen Grube ein Stück von $3\frac{1}{4}'$ Länge und Breite, 90 Pud schwer, vom schönsten Smaragdgrün, dessen Werth auf 525,000 Rubel geschätzt wird. Auf den Demidow'schen Gruben von Nischne-Tagilsk hat man sogar einen reinen Block von $16'$ Länge, $7\frac{1}{4}'$ Breite, $8\frac{1}{4}'$ Höhe bloßgelegt. Wegen des prachtvollen Grün und der Politurfähigkeit ist das Mineral außerordentlich geschätzt zu Fournierarbeiten, indem man Vasen, Toiletten, Tischplatten, Zimmer u. damit täfelt, selbst die Säulen der Isaakskirche zu Petersburg prangen in diesen Farben. In den letzten 50 Jahren wurden über 4 Millionen Pud ($\frac{1}{2}$ 16 Kilogr.) gewonnen. Gestoßen dient es auch als grüne Farbe (Berggrün), die haltbarer ist als Vergblau, denn der blaue Himmel auf alten Gemälden soll grün werden, indem sich die Kupferlasur in Malachit verwandelt. Darauf beruht auch die Bildung von

Afterkrystallen. Die Kupferlasurkrystalle von Chessy bestehen häufig im Innern aus strahligem Malachit, nicht selten hat der Angriff stellenweis stattgefunden, als hätte sich nicht alle Substanz zur Veränderung gleich geeignet. Es besteht aber



es darf daher die Kupferlasur gegen C nur H austauschen, so muß sie in Malachit übergehen. Vergleiche auch die Umwandlung des Rothkupfererzes Cu in Malachit. Berquerel machte künstlichen Malachit (Pogg. Ann. 87. 300). Kupfervitriol mit Soda gefüllt gibt Bremer Blau $\text{Cu}^3 \text{ C} \text{ H}^2$, das sich durch Glühen in Braunschweiger Grün verwandelt.

Malachit und Kupferlasur gehören zu den geschätztesten Kupfererzen, namentlich weil sie von Schwefel und Eisen frei sind, welche den Schmelz- und Reinigungsprozeß sehr erschweren. Zu Chessy wurde früher Kupferlasur zu gute gemacht.

Aurichalcit nannte Böttcher (Pogg. Ann. 78. 406) die spangrünen nadel-

förmigen Krystalle von Kotowsk am Altai, sie geben auf Kohle einen Zinkbeschlag, $2 (\text{Zn, Cu}) \text{C} + 3 (\text{Zn, Cu}) \text{H}$ mit 45,6 Zn, 28,3 Cu, 16 C, 9,9 H. Turatit hat sogar Zink und Kalk. Molybörin (Phil. Trans. 1814. 66) von Molybör in Ostindien soll $\text{Cu}^2 \text{C}$ mit 60 Cu, 19 Fe, 16,7 C sein.

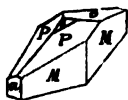
Phosphor- und arseniksaure Kupfererze

gibt es eine ganze Reihe, die man unter einander zuweilen schwer vom Malachit, womit sie wegen ihrer grünen Farbe allein verwechselt werden können, aber schon dadurch unterscheiden kann, daß sie sich in Säuren zwar lösen, aber nicht brausen. Die Phosphorsäure lehrte Berzelius durch Zusammenschmelzen mit Blei erkennen, es bildet sich dann phosphorsaures Blei, was den Kupferregulus einschließt, und sich an den Facetten beim Erkalten erkennen läßt.

3. Phosphorkupfererz Wr.

Von Birneberg bei Rheinbreitenbach oberhalb Bonn. Wurde von Rose für Malachit gehalten, daher nennt es Hausmann Pseudomalachit. Klaproth entdeckte darin die Phosphorsäure. Phosphorochalcit Kobell's. Cuivre hydro-phosphate, Hydrous Phosphate of copper. Lunnit. Dihydrit.

Krystalle sollen 2 + 1gl. sein: eine geschobene Säule $M = a : b : \infty c$ bildet vorn den scharfen Winkel von 39° , der durch $a = a : \infty b : \infty c$ gerade abgestumpft wird. Geradenfläche $c = c : \infty a : \infty b$ steht rechtwinklig gegen M. Augitpaar $P = a : 2b : c$ macht in der Medianlante $a : c$ $117^\circ 49'$, und Schiefenfläche $t = 2a : c : \infty b$ liegt mit PM in einer Zone. Natürlich könnte bei der Seltenheit guter Krystalle ein solches System auch 2gliedrig werden, wenn die hintere Gegenfläche sich einmal zeigen sollte.



In der Regel findet man nur malachitartige Ueberzüge, deren smaragdgrüne Farbe aber eigenthümlich schwarzgrün gesprenkelt ist. $H. = 4$, Gew. 4,2.

Vor dem Löthrohr kugelt es sich leicht, darin schwimmt ein kleiner Regulus von unreinem Kupfer. Die Kugel zeigt beim Erkalten eine eigenthümliche Rinde, während die innere Masse noch längere Zeit flüssig bleibt.

$\text{Cu}^6 \text{P} \text{H}^3$ mit 68 Cu, 21,5 P, 8,6 H.

Die Kupfererzlagerstätte des Birneberges, wo es Rose zuerst fand, ist noch heute der Hauptfundort. Nischne-Tagilsk, Sibethen.

Breithaupt's Chilit von Chl bei Linz am Rhein sieht wegen eines deutlichen Blätterbruchs dem Kupferschaum ähnlich, hat sonst aber eine höchst nahe Zusammensetzung $\text{Cu}^3 \text{P} + 2 \text{Cu} \text{H}$. Nur fand Bergemann neuerlich 7 p. C. Vanadinsäure. Der amorphe Thrombolith auf Kalkstein von Rezbanja soll $\text{Cu}^3 \text{P} + 6 \text{H}$ sein. Hermann's Tagilit wird als $\text{Cu}^4 \text{P} + 3 \text{H}$ gedeutet. Nirgends sollen sich nach Nordenfjöld (Gourn. prakt. Chem. 73. 215) die Kupferphosphate zahlreicher finden, als zu Nischne-Tagilsk. Aber sie sind chemisch kaum zu erkennen.

4. Olivenerz Br.

Olivenerz nach seiner Farbe. Werner begriff darunter zwar verschiedene Dinge, hatte aber doch hauptsächlich dieses im Auge, Hoffmann (Mineral III. b. 170). Von allen das gewöhnlichste.

1) Phosphorsaures. (Libethkupfer, Libethenit, blättriges Olivenerz) $\text{Cu}^4 \text{P} \text{H}$ mit wenig Arsenikssäure, 66,5 Kupferoxyd, 30 Phosphorsäure, 4 Wasser. Dunkel olivengrün bis schwärzlich grün von Libethen bei Neusohl in Oberungarn auf quarzigem Glimmerschiefer. Wurde 1810 bei der Schürfung einer alten Zeche entdeckt (Mineral. Taschenbuch 1813. 274).

Zugliedrige Oblongoktaeder, die man beim ersten Anblick für regulär hält. Eine gehobene Säule $M = a : b : \infty$ macht vorn $109^\circ 52'$, sie ist häufig etwas gekrümmter als das auf die scharfe Säulenkante aufgesetzte Paar $c = b : c : \infty$ mit $92^\circ 20'$ in der Kante über $\text{Axe } c$, hin und wieder gewahrt man in den 4 gleichen Ecken die ganz kleine Oktaederfläche $o = a : b : c$. Härte = 4, Gew. 3,7.



Vor dem Löthrohr kugeln sie sich, sollen in der Pincette geschmolzen Facetten bekommen, doch sind die jedenfalls undeutlich.

Hauptfundort Libethen, meist krystallisirt, doch kommen auch nierenförmige (Braun Breith.) daselbst vor, die von dem dortigen dunkelgrünen Malachit äußerlich nicht unterschieden werden können.

2. Arseniksaures (Olivenerz, Pharmakochalcit, safriges Olivenerz, dritte Species des Arseniate of Copper bei Bournon Phil. Transact. 1801. 177)

$\text{Cu}^4 \text{As} \text{H}$ mit 57 Cu, 40 As, 3,5 H.

Aber nie ohne Phosphorsäure, welche die Arsenikssäure in allen Verhältnissen vertritt. Pistaziengrüne Nadeln von Cornwallis. Phillips beschreibt sie als blättrige Säulen $M = a : b : \infty$ $110^\circ 50'$ mit dem Paare $c = b : c : \infty$ $92^\circ 30'$, $P = c : \infty a : \infty b$, $T = b : \infty a : \infty c$. Sehr selten die Fläche $a = \frac{1}{2} a : b : \infty c$. M unter $132^\circ 7'$, schneidend.

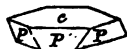


$H = 3$, Gew. 4,4. Strich lichter, spröde.

Die Analyse von Kobell (Pogg. Ann. 18. 240) gab 36,7 As, 3,3 P, 56,4 Cu, 3,5 H. In der Pincette schmilzt es leicht, und „krystallisirt beim Abkühlen eben so schön, wie das phosphorsaure Bleioxyd. Man erhält aber keine Perle mit größern Facetten, sondern eine strahlige Masse, deren Oberfläche mit prismatischen Krystallen nehförmig bedeckt ist“. Auf Kohle reducirt es sich mit Detonation zu einem unreinen Kupferkorn. Bildet meistens feine Nadeln, die man für Pistazit halten könnte, manche werden safrig wie der feinste Amianth mit nierenförmiger Oberfläche zc., im Quarz der Gruben von Cornwall. Schwarz, Zinnwald, Nischne-Tagilsk. Der dunkelgrüne amorphe Cornwallit $\text{Cu}^5 \text{As} \text{H}^5$ kommt mit ihm vor.

5. Kupferglimmer Wr.

Chalcophyllit, Cuivre arseniaté lamellaire, 2te Species von Bournon's Arseniate of Copper (Phil. Trans. 1801. 176), ausgezeichnet in Cornwallis. Tamarit.



Rhomboeder $P\ 69^{\circ} 12'$ im Endkantenwinkel, aber die Endkante ist durch einen deutlichen glimmerartigen Blätterbruch $c = c : \infty a : \infty a : \infty a$ so stark abgestumpft, daß dünne sechsseitige Tafeln entstehen, woran die P abwechselnd convergirende Kanten bilden. Auch stumpfere Rhomboeder kommen vor. Negativ optisch lazig, brechen das Licht viel stärker als Uranglimmer, daran sofort zu unterscheiden.

Bläulich smaragdgrün ins Spangrüne sich neigend, Uranglimmer hat nicht so viel Blau. Starker Perlmutterglanz auf dem Blätterbruch, Härte = 2,3, Gew. 2,6.

Vor dem Löthrohr Arsenikgeruch, allein er verknistert stark zu kleinen Flimmerchen, doch gelingt es durch langsames Erhitzen aus Stücken ein Kupferkorn zu bekommen.

$Cu^s \text{ As} + 12 H$ mit 52,9 Cu, 19,3 As, 23,9 H, nach Damour kommt zuweilen auch etwas Phosphorsäure vor. Cornwallis.

Kupferschaum Wern. ist durch seinen Blätterbruch dem Kupferglimmer sehr ähnlich, geht aber mehr ins Spangrün, und soll 2gliedrig sein. Die aus der Gegend von Schwarz in Tyrol (Tyrolit) bilden strahligblättrige Halbkugeln; in Ungarn, zu Bulach auf dem Schwarzwalde zc. einen blättrigen Anflug. Chemisch sind nach Kobell (Pogg. Ann. 18. 220), die von Falkenstein bei Schwarz durch 13,6 Ca C verunreinigt, auf Kohle geben sie daher eine strengflüssige Schlacke. Mit Ammoniak und kohlensaurem Ammoniak digerirt löst sich das Kupfersalz, und der kohlensaure Kalk bleibt zurück. Sie scheinen darnach ein Gemeng zu sein von

$Cu^s \text{ As} + 10 H + Ca C$ mit 43,9 Cu, 25 As, 17,5 H. Vergleiche auch den Kupferschaumartigen Triphalcit $Cu^s \text{ As} H^s$ auf sibirischen Fäulerzen. Konichalcit $(Cu, Ca)^s (\text{As}, P)^s H^s$ von Andalusien ist dagegen mehr malachitartig (Pogg. Ann. 77. 120).

6. Eisenerz Wr.

Erste Species von Graf Bournons Arseniate of Copper (Phil. Trans. 1801. 176) in Begleitung des Kupferglimmer von Cornwallis. Trofonit.



Kleine himmelblaue niedrige Obelongskaeder $s = a : b : \infty c$ $119^{\circ} 45'$, mit einem auf die stumpfe Säulenkante aufgesetzten Paar $o = a : c : \infty b$ $71^{\circ} 50'$. Nach Descloizeaux macht Kante s/s mit o/o $91^{\circ} 27'$, dann ist es 2+1gliedrig. Auch die optischen Axen liegen in einer Schiefendfläche. Härte 2—3, Gew. 2,9. Hermann fand 36,4 Cu, 23 As, 3,7 P, 10,8 Al, 25 H, was keine schöne Formel gibt:



Rebruth, Herrengrund, Ullersreuth im Voigtlande mit andern verwandten Kupfersalzen zusammen. Häubinger's (Pogg. Ann. 14. 220)

Erinit von Eimerid in Irland (Erin), smaragdgrün, $\text{H.} = 4-5$
Gew. 4, nicht krystallisiert in Gesellschaft von Einsenerz $\text{Cu}^5 \text{Äs} + 2 \text{H.}$

7. Strahlerz Wr.

Vierte Species des Arseniate of Copper Bournon (Phil. Trans. 1801. 101),
Klinoklas, Abicht. Kleine schwärzliche Krystalle zusammen mit Einsenerz in
Cornwall vorkommend. Mit der Nadel geritzt werden sie fast so
schön himmelblau, als das Einsenerz, woran man sie leicht
erkennt. 2 + 1gliedrige Säule $\text{M} = a : b : \infty$ vorn 56° , die
auf die scharfe Säulenkante aufgesetzte Schiefenfläche $\text{P} =$
 $a : c : \infty$ soll sehr blättrig sein, $\text{P/M } 95^\circ$, eine hintere Gegen-
fläche x zc. Härte = 3, Gew. 4,3, schwärzlich grün an der Ober-
fläche, im durchscheinenden Licht heller.



$\text{Cu}^6 \text{Äs} \text{H}^3$ mit 62,6 Cu, 30,3 Äs, 7 H,
also von der Zusammensetzung des Phosphorkupfererzes, auffallender Weise
erinnert auch das 2 + 1gliedrige System mit dem scharfen Säulenwinkel daran.

8. Guckroitz Breith.

Passend nach seiner schönen diophasartigen Farbe genannt. Gehört zu
den ausgezeichneten, schon wegen seiner mehrere Linien großen

2gliedrigen Krystalle. Eine Säule $\text{M} = a : b : \infty$ bildet vorn
 $117^\circ 20'$, die Geradenfläche $\text{P} = c : \infty : \infty$, beide nicht
blättrig; dagegen schimmert $n = b : c : \infty$ $87^\circ 52'$ deutlich und
noch deutlicher $b = b : \infty : \infty$ vom inneren Lichte des Blät-
terbruchs. In der Säule M/M kommen noch mehrere Zuschär-
fungen der scharfen Kante vor. Smaragdgrün, $\text{H.} = 3-4$,
Gew. = 3,4. Vor dem Löthrohr reducirt er sich mit Deton-
ation zu röthlich weißem Arsenikkupfer, das bei längerem Behandeln in der
Oxydationsflamme ein Kupferkorn wird:

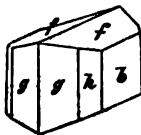


$\text{Cu}^4 \text{Äs} + 7 \text{H}$ mit 48 Cu, 33 Äs, 19 H.
Einzig zu Liebethen mit feintraubigem Erzkobalt auf Glimmerschiefer.

9. Brochantit Heuland.

Von Lévy (Ann. of Phil. 1824. 201) aus dem Ural beschrieben worden.
2gliedrig: $g = a : b : \infty$ $104^\circ 10'$ hat nur Spuren von Blättrigkeit, da-
gegen ist $b = b : \infty : \infty$ die Abstumpungsfläche der scharfen Säulenkante
deutlich blättrig und glänzend, $f = b : c : \infty$ macht die stumpfe Kante von
 $151^\circ 52'$, $h = a : \frac{1}{2}b : \infty$. Kokscharow (Min. Rußl. III. 204) fand $104 \cdot 31$
und $152 \cdot 37$.

Smaragdgrün, zuweilen ins Schwärzliche gehend, Gew.
3,9, $\text{H.} = 3-4$. Vor dem Löthrohr schmilzt er und gibt
ein Kupferkorn.



$\text{Cu}^4 \text{S} \text{H}^3$ mit 70 Cu, 18 S, 12 H.
Er löst sich in Säuren, aber nicht im Wasser, wie der
Kupfervitriol.

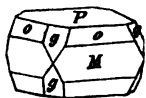
Ein seltenes Fossil. Zu Rezbanya in Siebenbürgen bricht es mit Kupferlasur und Malachit (Pogg. Ann. 14. 141) und gleicht dem Malachite, ist nur etwas dunkeler und glänzender. G. Rose (Reise Ural I. 207) beschreibt kleine Krystalle von den Gumeschewskischen Kupfergruben, wo sie mit Malachit und Rothkupfererz brechen. Forchhammer's Krisuvigut bildet zu Krisuvig auf Island ein kleines Lager.

Kupfer sam m t e r z (Pettitomit) nannte schon Werner die prachtvollen himmelblauen sammtartigsafrigen Halbkugeln, welche mit Malachit in Drusen von Brauneisenstein zu Moldawa im Banat vorkommen. Percy zeigte, daß so sehr ihr Aussehen auch an Kupferlasur erinnert, sie doch nur Spuren von Kohlensäure haben, sondern vielmehr 15,4 Schwefelsäure, 48,2 Cu, 11,7 Eisenoxyd und Thonerde, 23 H, also etwa $\text{Cu}^6\text{S} + \text{AlS} + 12\text{H}$.

10. Uranglimmer W.

Grünglimmer von Johann-Georgenstadt Klapproth (Beitr. II. 216).

Kleine viergliedrige Tafeln, deren Geradenfläche $P = c : ooa : ooa$ sehr blättrig ist, während das Oktaeder $o = a : a : c$ die Seiten der rechtwinkligen Tafeln unter 143° zuschärft. Diese einfache Form Po ist am häufigsten, es kommt aber auch die erste $M = a : a : ooa$ und 2te quadratische Säule $h = a : ooa : ooc$, das nächste stumpfe Oktaeder $g = a : c : ooa$



vor. Schon Phillips bildete noch viele andere Flächen ab.

Die prachtvoll smaragdgrünen bis schwefelgelben Krystalle sind fast so deutlich blättrig als Glimmer, so daß sie quer gar keinen muscheligen Bruch zeigen. Werner (Gronstedt 217) stellte sie daher geradezu zum Glimmer. $\text{Sp.} = 2$, Gew. 3,2—3,6. Nach der Zusammensetzung unterscheidet Berzelius (Pogg. Ann. 1. 274) zweierlei:

a) Kupferuranglimmer (Chalcolith)

$\text{Cu}^3\text{P} + 2\text{U}^3\text{P} + 24\text{H}$ mit 60 Uranoxyd, 9 Cu, 16 P, 14,5 H, mit Salzsäure befeuchtet färbt er die Flamme blau, und gibt mit Soda auf Kohle ein Kupferhorn. Smaragdgrün. Das gewöhnliche. Johann-Georgenstadt, Schneeberg, Joachimsthal, Grube St. Anton auf dem Schwarzwalde, Redruth, Nordamerika, häufig in Gesellschaft mit Uranpfecherz. Negativ optisch einaxig.

b) Kalkuranglimmer (Uranit, Autunit).

$\text{Ca}^3\text{P} + 2\text{U}^3\text{P} + 24\text{H}$, statt Kupfer 6,2 Ca, zeisiggrün bis citronengelb. Das seltenere. Besonders bei Autun und St. Vrieux ohnweit Limoges. Zu Chesterfield in Massachusetts von Turmalin eingeschlossen. Optisch 2axig, und Messungen kleiner Krystalle von Cornwall geben die Säule $M/M\ 90^\circ 43'$ (Ann. min. 1858. XIV.). Der Isomorphismus findet daher nur annähernd statt.

Bleisalze.

Das Bleiorz verbindet sich außer mit P und As noch mit einer Reihe anderer Säuren zu schönfarbigen Salzen, die wir hier folgen lassen, indem wir an jede Säure die wichtigsten isomorphen Basen anschließen.

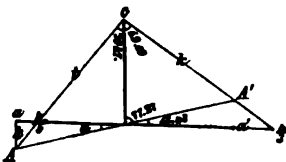
1. Rothbleierz Br.

Chromsaures Blei, wegen seiner schönen Farbe von Hausmann Ralochrom genannt. Aus den Golzgängen von Beresowsk 1766 von Lehmann de nova mineralie plumbi specie crystallina rubra erwähnt, daher Lehmannit. Chromate of lead. Kroft.

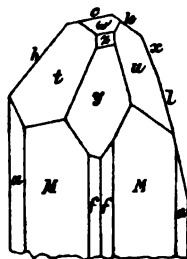
2 + 1 gliedrig, Säule $M = A : b : \infty c$ bildet vorn $93^\circ 30'$, ist erkennbar blättrig und fein längsgestreift. Gewöhnlich auf der Vorderseite nur ein Augitpaar $t = A : b : c$ in der Mediankante 119° . Interessant ist hinten die matte Schiefendfläche $x = \frac{1}{2}A' : c : \infty b$. Eine Zuspitzung der scharfen und stumpfen Säulenkante sieht man öfter, auch wohl die Fläche $c = c : \infty A : \infty b$. Hesseberg (Abb. Sendeb. Ges. 1860. III. 221) und Dauber (Sitzungsab. Wien. Akad. 1860. 42. 10) haben sich mit den kleinen Kristallen ausführlich beschäftigt. Dauber's sorgfältige Messungen ergaben



die Axen $A : b : c = 1,047 : 1,09 : 1$, $A/c = 77^\circ 27'$. Die Zahl der Flächen ist außerordentlich; ich will nur einen Theil auführen: $P\ 001$, $b\ 010$, $a\ 100$; $M\ 110$, $z\ 011$, $h\ 101$, $k\ 1'01$; $t\ 111$, $v = 1'11$; Säulenzone $f\ 120$, $d\ 210$, $\alpha\ 310$, $g\ 320$, $z\ 350$, 230 . Diagonalzonen $\omega\ 012$, $y\ 021$; Schiefendflächen $x\ 3'01$, $l\ 4'01$, $e\ 201$, $n\ 401$, $z\ 801$, $q\ 502$; Augitpaare $u\ 2'11$, $\gamma\ 3'11$, $\beta\ 3'12$, $r\ 6'12$, $s\ 441$, $\mu\ 154$, $\pi\ 221$, $\sigma\ 352$, $g\ 841$, $H\ 435$ u. Wollte man möglichst rechtwinklige Axen haben, so würden wir wie beim Gyps $t = \frac{1}{2}a : \frac{1}{2}b : c$ setzen. Dann ist in



nebenstehendem Aufriß $k = \frac{1}{2} = A \cdot \sin \alpha$, $\alpha = 13^\circ 48'$; es weicht also die rechtwinklige Axe a nur $12^\circ 33' - 13^\circ 48' = -1^\circ 15'$ ab, d. h. a'/c bildet $91^\circ 15'$ und Fläche t hat nach unserm Bilde $c : \frac{1}{2}a : b$, $k = c : \frac{1}{2}a' : \infty b$. Nehmen wir nun einen compli-



cirten Kristall zur Hand mit den Zonen $cwzy$, tyM , yul , kuM u., so können wir die Flächen hinschreiben $\omega = 4a' : 2b : c$, $z = 4a' : b : c$, $u = \frac{1}{2}a : b : c$. Man sieht da bald, daß wenn wir die Axen a und b viermal länger nehmen, die Ausdrücke an Einfachheit gewinnen: für $a : b : c : k = 4,088 : 4,362 : 1 : 0,089$ wird dann $t = \frac{1}{2}a : \frac{1}{2}b$, $k = \frac{1}{2}a' : \infty b$, $c = a : \infty b$, $x = \frac{1}{2}a' : \infty b$, $l = \frac{1}{2}a' : \infty b$, $w = a : \frac{1}{2}b$, $z = a : \frac{1}{2}b$, $y = a : \frac{1}{2}b$, $u = \frac{1}{2}a' : \frac{1}{2}b$. Die Säulen M f α behalten ihre Ausdrücke.

Hauptaxe c halbirt den Winkel der optischen Axen (Pogg. Ann. 37. 274). Wirkt ziemlich stark auf das Dichroskop. Das extraordinäre Bild färbt sich mit einem gelben und blauen Saume. Demantglanz insonders auf dem Querbruch der Säule. Schöne morgenrothe Farbe mit oraniengelbem Strich. Härte 2—3, Gew. 6.

Auf Kohle decrepitirt es zu stark, man muß es daher erst pulverisiren, dann schmilzt es leicht und reducirt sich mit Detonation zu einer Schlacke, unter welcher die Bleireguli verborgen liegen. Die Schlacke gibt wie das Erz selbst die prachtvollsten grünen Gläser.

Pb Cr mit 31,7 Chromsäure und 68,3 Pb.

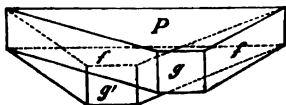
Es kann leicht künstlich dargestellt werden, indem man schwefelsaures Blei mit chromsaurem Kali übergießt. Gibt das prachtvolle Chromgelb, wozu man auch das natürliche im Ural benützt. Es kommt daselbst bei Veresowsk ohnweit Katharinenburg in den dortigen Goldgängen auf Quarz im verwitterten Granit (Veresit) vor, und ist durch Verwitterung von Bleiglanz entstanden. Bauquelin entdeckte darin 1797 das Chrom. Ein zweiter wichtiger Fundort ist Minas Geraes in Brasilien auf Quarz im Talkschiefer. Neuerlich ist ein dritter von der Grube Labo bei Luzon in den Philippinen durch die Oestreichische Novara bekannter geworden. Zu Nezbanga scheinen 1833 einmal einige kleine Krystalle im Letten gefunden zu sein.

Melanochroit Hermann (Pogg. Ann. 28. 122) von Veresowsk ist basischer:

$\text{Pb}^3 \text{Cr}^2$ mit 23,3 Cr und 76,7 Pb,

fächerförmig gruppirte fast rechtwinklige Tafeln, metallischer Diamantglanz, dunkelfarbig bis kirschroth, und ziegelrother Strich; Gew. 5,75, $\text{H.} = 3-4$. Er decrepitirt nicht so stark. Findet sich mit dem vorigen bei Veresowsk in kleinen derben Parthieen sonderlich auf Bleiglanz. Rothbleierz bedeckt oder umhüllt ihn gewöhnlich. Die derben Parthieen sind nach einer Richtung spaltbar. Noch basischer als dieses ist Chromroth $\text{Pb}^2 \text{Cr}$, jene prachtvolle Zinnoberähnliche Farbe, welche man durch Zusammenschmelzen des Chromgelbs mit Salpeter erhält (Pogg. Ann. 21. 280).

Bauquelin mit Berzelius (Ahandl. i Fys. VI. 252) steter Begleiter des Rothbleierz von Veresowsk $(2 \text{ Pb} + \text{Cu})^3 \text{Cr}^2$, also ein durch 10,8 Cu verunreinigter Melanochroit. Haidinger (Pogg. Ann. 5. 172) beschreibt die kleinen Krystalle 2 + 1gliedrig: eine geschobene Säule $f = a : b : \infty c$, deren vordere Kante durch $g = a : \infty b : \infty c$ gerade abgestumpft wird. Die Schiefendfläche $P = a : c : \infty b$ macht nach Lévy mit g einen Winkel von 120° . Gewöhnlich unregelmäßig durcheinander gewachsen oder Zwillinge g gemein und umgekehrt liegend.

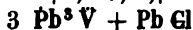


Schwarzgrün, aber zeisiggrüner Strich, daran leicht erkennbar. $\text{H.} = 2-3$, Gew. 6. Dreierlei Vorkommen: a) kleine schwarzgrüne Krystalle haufenweis durcheinander gewachsen; b) kleine Kugeln von Hirsekorngöße aus Krystallnadeln bestehend; c) dichte erdige zeisiggrüne Massen.

2. Vanadinbleierz.

Vanadinit. 1801 von Del Rio zu Zimapan in Mexico entdeckt, schon er glaubte darin ein neues Metall, Erythronium zu erkennen, was aber in Frankreich fälschlich für Chrom ausgegeben wurde. Als nun Sefström 1830 im Stabeisen von Taberg Vanadium entdeckt hatte (Pogg. Ann. 21. 4), zeigte Wöhler, daß es die Säure in unserm Bleierz sei. Aber erst durch die Entdeckung im unreinen Uranpfecherz kann man es in größern Mengen bekommen (Sitzungsab. Wien. Akad. 1858. 33. 5).

Bildet wie Buntbleierz reguläre sechsseitige Säulen mit Geradenfläche. Die Säule gern bauchig. Kotscharow am russischen Diheraeder $80^{\circ} 1'$ Seitenanten, Schabus an kärntenschen (Obir bei Windischkappel) $78^{\circ} 46'$. Gelblich braune Krystalle mit Fettglanz, $\text{H.} = 3$, Gew. 7. Berzelius fand in dem von Zimapan 10 Pb Cl, 70 Pb, 22 V, ohne Phosphorsäure, welche die andern so gerne enthalten. Das führt höchst wahrscheinlich zu der Formel



(Constitution des Buntbleierzes). Schmilzt leicht und reducirt sich unter einem Rückstande zu Blei, der Rückstand gibt smaragdgrüne Gläser, kann daher leicht mit Chrom verwechselt werden, allein mit 3 bis 4 Theilen doppelt schwefelsaurem Kali im Platinlöffel geschmolzen bekommt man eine pomeranzengelbe Masse, während Buntbleierz weiß, Rothbleierz grünlich weiß wird. Außer Zimapan fand es G. Rose bei Beresowsk (Pogg. Ann. 29. 454) mit Buntbleierz zusammen in bräunlicher Farbe, die größern Krystalle enthalten daselbst öfter einen Kern von grünem Buntbleierz, was auf Isomorphismus deuten könnte. Zu Wanlockhead in Dumfriesshire bildet es kleintraubige Massen auf Galmei, die man lange für arseniksaures Blei gehalten hat, bis Thomson darin 23,4 V nachwies.

Dechenit Bergemann (Pogg. Ann. 80. 300) aus dem Buntensandstein von Nieder-Schlettenbach bei Weisenburg (Pfalz) in Brauneisensteinlagern: Pb V mit 52,9 Pb, 47 V. Die krystallinische Masse hat Aehnlichkeit mit dem Sibirischen Rothbleierz, gelber Strich, Fettglanz, $\text{H.} = 3$, Gew. 5,8. Eusynchit von Hofgrund bei Freiburg in unansehnlich kleintraubigen Ueberzügen von rothgelber Farbe, nicht selten von schmutzigem Buntbleierz bedeckt, sollte neben Vanadinsäure noch vanadinige Säure (V) enthalten, was sich nicht bestätigt hat. Kobell's Aräogen von Dahn in Rheinbaiern ist Vanadinzinkblei. Ein Vanadinkupferblei erwähnt Domeyko von Chili.

Descloizit (Damour Ann. Chim. Phys. 3 sér. 41. 11) aus den Gruben von La Plata $\text{Pb}^2 \text{ V}$, 2gliedrige Säulen von $116^{\circ} 25'$ mit einem Paar auf die scharfen Kanten aufgesetzt, und kleine Oктаederflächen. Kleine glänzende schwarze Krystalle mit einem Stich ins olivengrün.

Volborthit (Bulletin Acad. Imp. St. Petersburg IV. 2) Cu, V auf den Kupfergruben am Ural, höchst seltene olivengrüne sechsseitige Tafeln, die sich kugelig häufen, gelber Strich, $\text{H.} = 3$, Gew. 3,5. Zu Friedrichroda am Nordrande des Thüringer Waldes fand Credner im Manganerz ein zeisiggrünes Salz von $(\text{Cu, Ca, Mg, Mn})^4 \text{ V} + \text{H}$ mit 39 V, wie es scheint

einen Kalkvolborthit. In der Zechsteinformation von Perm sollen Sandsteine und Holzstämme von Volborthit gelbgrün gefärbt sein. Konichalcit enthält 1,8 V, die Bohnerze von Frankreich (Ann. Chim. Phys. 1861. 61. 200) Norddeutschland und der Alp (Bronn's Jahrb. 1853. 64 und 200), die Hochofenschlacken von Steiermark, der Kupferschiefer von Mansfeld, das unreine Uranpecherz u. geben Reactionen auf Vanadin. Am Obern See soll Vanadinsäure einen gelben pulverigen Ueberzug auf gebiegenem Kupfer bilden. Eine chocoladenbraune Erde auf Isle royale, die Rutile von St. Yrieux, und die dortigen Thone (Beauvallet Ann. Chim. Phys. 1861. 61. 200) halten ansehnlich Vanadium.

3. Gelbbleierz W.

Weigels, Wulfenit, denn Wulfen machte 1781 auf das Kärnthische Vorkommen aufmerksam, das man bis auf Klaproth (Beitr. II. 200) fälschlich für Wolframkalk hielt. Molybdänblei. Molybdate of lead, Plomb molybdaté 4 g niedrig, ein etwas blättriges Octaeder $P = a : a : c$, Endf. $99^\circ 40'$ Seitenf. $131^\circ 55'$ gibt $c : a = 1 : 0,636$. Dauber (Pogg. Ann. 107. 270) fand $131^\circ 49'$. Gewöhnlich herrscht die Geradenfläche $c = c : \infty a : \infty b$ so vor, daß die Krystalle tafelartig erscheinen, selbst zu den dünnsten Blättchen werden, auf welchen sich auch wohl ein ganz flaches Octaeder mit unendlich kurzer Axe erhebt. Kommt zur Geradenfläche die 1ste quadratische



Säule $m = a : a : \infty c$, so entstehen einfache quadratische Tafeln, wie man sie bei den wachsgelben häufig findet. Doch wird m gern bauchig, es gesellt sich eine 8seitige Säule $r = a : \frac{1}{2}a : \infty c$ dazu, und statt P tritt gar häufig $b = a : a : \frac{1}{2}c$, $73^\circ 7'$ in den Seitenkanten mit glänzenden Flächen auf. Die 2te quadratische Säule $n = a : \infty a : \infty c$ ist übermäßig rau, aber inneres Licht deutet auf Blättrigkeit. Matt ist auch $o = \frac{1}{2}c : a : \infty a$, welche oftmals mit b die Tafeln zuschärft. Deftter gewahrt man auf der Geradenfläche ein kleines glänzendes Viereck, es wird durch ein mattes ganz flaches Octaeder $3a : \infty a : c$ erzeugt. Am flächenreichsten sind die kleinen citronengelben Krystalle, welche scheinbar als eine jüngere Bildung zwischen den wachsgelben zerstreut liegen, daran kommt namentlich das nächste stumpfere von P vor, $e = a : c : \infty a$, und das nächste schärfere von b , $d = a : \infty a : \frac{1}{2}c$. Die wachsgelben Tafeln wachsen sogar durch die neue Masse fort, indem sich lauter Spitzen vom Octaeder P regelrecht darauf setzen.

Wachs-, Honig- bis Citrongelb; von Rezbanya, Pennsylvanien und der Kirgisensteppe (Pogg. Ann. 46. 200) auch morgenroth durch einen kleinen Chromgehalt. Diamantglanz besonders im Innern. $H. = 3$, Gew. 6,9.

Vor dem Löthrohr verknistert es außerordentlich stark, schmilzt aber leicht, ein Theil zieht sich schnell in die Kohle, und kleine Bleireguli bleiben

zurück. Die äußere Flamme mit Borax gibt gelbliche Gläser, welche beim Erkalten schnell farblos werden; die innere macht das Glas sogleich schwarz, hält man es einen Augenblick wieder in die äußere, so gewahrt man darin schwarze Flocken von Molybdänsäure, die aber bei weiterem Blasen schnell verschwinden. Phosphorsalz gibt ein grünes Glas, was kalt stark bleicht.

Pb Mo mit 60 Pb und 40 Mo.

Das Pulver in concentrirter Schwefelsäure gelöst und ein wenig Alkohol hinzugesetzt, gibt eine prachtvolle lasurblaue Farbe von Mo Mo. Molybdänsäures Ammoniak gibt bei Gegenwart von Phosphorsäure oder Kieselsäure einen gelben Niederschlag, daher wird jetzt essigsaures Uranoxyd als Reagens auf Phosphorsäure vorgezogen. Gelbbleierz von Garmisch bei Partenkirch in den Bairischen Alpen kam eine Zeit lang in Handel, wovon das Pfund 48 kr. kostete (Pogg. Ann. 1852. 85. 450). Es lagert im Wettersteinkalke (Unterer Keuper) des Höllethales in blattförmigen Gängen. Die schönsten Vanadiumhaltigen Varietäten kommen im Kalkstein von Bleiberg und Windischkappel in Kärnthen, Rezbanya, Mexiko, Massachusetts. Seltenheit bei Badenweiler am südlichen Schwarzwalde.

4. Scheelbleierz Breith.

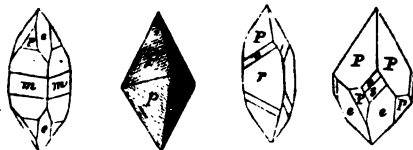
Wolframbleierz, Bleisheelat, Tungstate of lead, Stolzit, nach Dr. Stolz, der zuerst die Zusammensetzung erkannte. Isomorph mit Gelbbleierz (Pogg. Ann. 8. 518), aber mit einer eigenthümlichen Hemiedrie.

4gliedrig, auf Quarz von Zinnwalde liegen kleine graue langgezogene Oktaeder $P = a : a : c$ mit 99°

$43'$ Endkant. und $131^\circ 30'$ Seitenkant. Säule $m = a : a : \infty c$,

Oktaeder $e = a : c : \infty a$ und unter $P a : a : 2c$ kommen daran

vor. Auch eine Hemiedrie wie beim Lungstein hat Naumann



(Pogg. Ann. 34. 575) an glänzenden Krystallen beobachtet, die 1832 auf dem Zwieseler Stollen bei Berggießhübel vorkamen. Schon die einfachen Oktaeder zeigten eine eigenthümliche feine einseitige Streifung parallel der Oktaederkante. Hauptsächlich war aber die $4 + 4$ kantige Säule $r = a : \frac{1}{2}a : \infty c$ nur hälftig da, das wäre also eine quadratische Säule von Zwischenstellung. Dem entsprechend stumpfte dann der Vierkantner $v = c : \frac{1}{2}a : \frac{1}{2}a$ bloß einseitig die stumpfe Kante P/r ab, bildete daher ein Quadratoctaeder von Zwischenstellung. Die drei Flächen r , P und v dehnen sich öfter stark aus. Es kommen sogar Krystalle vor am einen Ende mit dem glänzenden Hauptoktaeder P , am andern mit dem nächsten stumpfern matten e ; dazwischen liegen dann r , v und $s = a : c : \frac{1}{2}a$ aus der Endkantenzone des Hauptoktaeder.

Gewöhnlich garbenförmig und kugelig. Etwas Fettglanz, und vorherrschend grau oder bräunlich. $H. = 3$, Gew. 8,1.

Pb W mit 51,7 Wolframsäure, 48,3 Bleioxyd,

schmilzt leicht und erstarrt bei der Abkühlung zu einem kristallinischen Korn, dabei beschlägt sich die Kohle mit Bleiorpb; zeigt Reaction der Wolframsäure. Die Zinnsteingänge von Zinnwalde der Hauptfundort, auch zu Coquimbo in Chili.

5. Tungstein.

Im perlfarbigen Tungstein (Schwerstein, lapis ponderosus) der schwedischen Magneteisenlager von Kibbarhyttan und Bisperg entdeckte Scheele 1781 die Wolframsäure, daher heißt er auch Scheelit. Die Bergleute kannten ihn schon längst als „weiße Zinngrauen“, die Cronstedt § 208 noch zu dem Eisenkalk stellt. Chaux tungstalee.

4gliedrig und isomorph mit Scheelbleierz. Ein blättriges Octaeder $P = a : a : c$ mit $100^\circ 40'$ in den Endkanten und $129^\circ 2'$ in den Seitenkanten ist in den großen Stücken von Schlackenwalde in Böhmen zwar gut erkennbar, aber nicht mehr recht darstellbar. Dauber (Pogg.

Ann. 107. 272) maß $130^\circ 33'$ Seitenkante, was $c : a = 1 : 0,648$

gibt. Das nächste stumpfere ebenfalls blättrige Octaeder $e = a : a : c$ mit $108^\circ 12'$ in den Endkanten und $112^\circ 2'$ in den Seitenkanten herrscht gewöhnlich vor, und sieht bei den kleinen

Krystallen von Zinnwalde dem regulären Octaeder sehr ähnlich. Die Geradenfläche

$c = c : \infty a : \infty b$ scheint am blättrigsten zu sein, sie macht mit P $115\frac{1}{2}^\circ$. Schon

Lévy (Pogg. Ann. 8. 516) erwähnt der Flächen $b = a : a : \frac{1}{2}c$, $o = a : \infty a : \frac{1}{2}c$ und des Vierkantners $s = a : c : \frac{1}{2}a$, welcher aber nur, gerade wie beim Scheelbleierz, auf der einen Seite des Quadranten vorkommt, auf der andern

nicht; ebenso $g = a : c : 2a$, die Kante zwischen P/e abstumpfsend, es sind Quadrat-

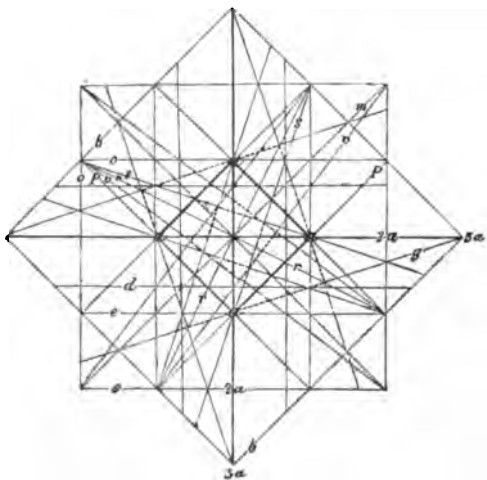
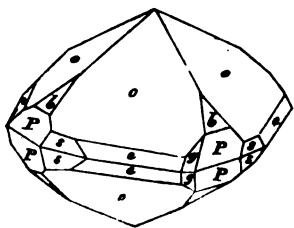
octaeder von Zwischenstellung, wie die punctirten Linien beistehender Projection deutlich zeigen.

Die andere Hälfte des Kantners g würde Kante P/s abstumpfen, die Hemiedrie der beiden Vierkantner sind

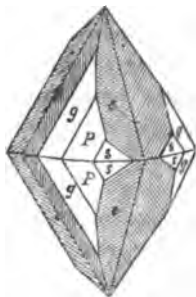
folglich entgegengesetzter Ordnung. Die kristallographische Uebereinstimmung dieser drei

viereckigen Minerale ist folglich unverkennbar. Auf-

fallender Weise wird beim Tungstein keine quadratische Säule gefunden.



Höchst eigenthümlich ist ferner die Art, wie sich die Hemiedrie ausgleicht: zwei Individuen, ein linkes und ein rechtes, durchbringen sich parallel der Axe c, so daß die Vierkantner s und g die abwechselnden Quadranten vollständig erfüllen, auch die Streifung von e bestätigt das Gesetz. Würden in dieser Stellung s und g sich ausdehnen, so bildeten sie Rhombenoktaeder.



Fettglanz, meist weiß oder braun, durchscheinend.
Härte 4—5, Gew. 6,02.

Ca W nach Klaproth (Beiträge III. 47) mit 77,7 W und 17,6 Ca. Die Formel verlangt 80,6 W. Vor dem Löthrohr schmilzt er nur an den Kanten, und gibt keinen Bleibeschlag, wodurch er sich leicht vom Scheelbleierz unterscheidet. Die Wolframsäure erkennt man auf nassem Wege: das Pulver mit Salzsäure behandelt gibt einen citronengelben Niederschlag von W, der durch Lichteinwirkung grün wird. Wirft man einen Eisendraht hinein, so erzeugt sich blaues W W. Nach Bernoulli Metawolframsäure, die sich auf nassem Wege gebildet habe (Pogg. Ann. 111. 602).

Auf dem Quarz von Zinnwalde finden sich mehrere Linien lange diamantglänzende braune Krystalle. Schön weiß sind die derben bis faustgroßen späthigen und krystallisirten Stücke von Schlackenwalde; bei Neudorf auf dem Unterharz kommen kleine orangengelbe Oktaeder e P mit Wolfram in den Spath Eisenstein eingesprenkt vor; auf den Zinngruben von Cornwallis, Monroe-Grube in Nordamerika, hier in solcher Menge, daß man die Wolframsäure als schöne gelbe Farbe in den Handel zu bringen versucht hat. Schöne Zwillinge zu Framont in den Vogesen, Große scharfe Oktaeder zu Traversella. Mit Wolframsauren Natron, Kochsalz und Chloriden der Basen bekommt man im Feuer eine Schmelze, die mit Wasser ausgelaugt Ba W, Mg W, Zn W, Cd W, Scheelblei und Tungstein in Krystallen zurücklassen (Götting. Gelehr. Anz. Nachr. 1861. 227).

Romelit (Pogg. Ann. 56. 124) von St. Marcel in Piemont in Gesellschaft des Manganeypidot, nach Romé de l'Isle genannt. Kleine hyacinth-rothe viergliedrige Oktaeder mit $110^{\circ} 50'$ in den Seitenkanten. Scheinen antimonijsaurer Kalk Ca Sb zu sein.

Vorsäure Salze.

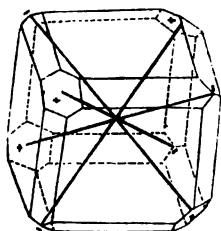
Vorsäure B haben wir schon oben beim Datolith pag. 350, Turmalin pag. 325 und Azinit pag. 330 kennen gelernt, wo sie neben Kieselsäure auftrat, mit der sie in merkwürdiger chemischer Verwandtschaft steht. Die grüne Farbe, welche sie der Löthrohrflamme ertheilt, läßt sie im Allgemeinen leicht erkennen. Nach Simmler (Pogg. Ann. 115. 250) zeigt das Spectrum 4 gleich breite Linien in gleichen Abständen, wovon 3 grün und 1 blau. Damit fand sich die Vorsäure im Eyanit und namentlich auch in den Muttergesteinen von Azinit, Turmalin, Eyanit zc. am St. Gotthardt.

1. Boracit Wr.

Zu Lüneburg waren sie längst unter dem Namen Würfelsteine bekannt, und Lavius beschrieb sie 1787 als cubischen Quarz, worauf dann Westrumb die Borsäure darin nachwies. Magnésie boratée, Borate of Magnesia. Volger Monographie über den Boracit.

Reguläres Krystallsystem mit tetraedrischer Hemiedrie. Im Allgemeinen herrscht der Würfel vor, doch finden sich auch vollständige Granatoeder, so schön als irgend wo; dagegen das Octaeder nur untergeordnet und zwar hälftflächig (tetraedrisch), die eine Hälfte der Würfecken abstumpfend, die andere nicht, oder wenn die andere auch abgestumpft, so sind dieselben physikalisch verschieden (matt) von den erstern. Meist verbinden sich alle drei Körper mit einander. Andere Flächen selten und klein. Doch findet man eine feine Abstumpfung der abwechselnden Granatoederkanten, welche dem hälftflächigen Leucitoeder $a : a : \frac{1}{2}a$ angehört. Haibinger (Pogg. Ann. 8. 511) gibt auch die tetraedrische Hälfte des 48flächner $a : \frac{1}{2}a : \frac{1}{2}a$ an.

Für Physiker sind die „Lüneburger Würfel“ seit Hauy besonders interessant, weil sie vier thermoelectrische Axen haben, welche den 4 Dimensionen von Würfecke zu Würfecke entsprechen: die Ecken mit großen glänzenden Flächen antilog (+), die ohne oder mit kleinen matten Flächen analog (—). Beim Erwärmen werden alle Ecken zugleich erregt. Nach Fenzl sollen während ununterbrochen steigender wie sinkender Temperatur die Pole wechseln (Pogg. Ann. 74. 321).



Farblos, graulich, grünlich u., aber nie intensiv gefärbt, Härte = 7, Gew. 2,955. Glasglanz. Die verwitterten werden innen excentrisch strahlig, besonders bei matten Granatoedern. Diese Strahlen sollen wasserhaltig sein, und sind von Volger (Pogg. Ann. 92. 88) Parasit genannt. Sie sind zugleich der Grund, daß die Krystalle das Licht polarisiren. $2 \text{ Mg}^s \text{ B}^4 + \text{Mg Cl}$ mit 62,5 Borsäure, 26,9 Magnesia, 8 Chlor, 2,7 Magnesium. In der Pincette färbt er die Flamme deutlich grün. Auf Kohle kugelt er sich unter Schäumen zu einer krystallinisch strahligen Masse. Das Chlor wurde lange übersehen, bis der Staßfurtit darauf führte.

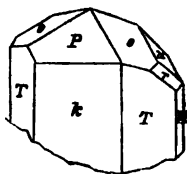
Um und um krystallisirt im Gypse von Lüneburg (am Rallberge und Schildsteine) und des Segeberges in Holstein, für Krystalle die einzigen Fundorte. Strahlig fasrige Massen, seidenglänzend und rundlich gruppiert im Keupergypse von Lüneville. Bei Staßfurt (Provinz Sachsen) hat sich in einem Bohrloche des Salzgebirges ein fast schneeweißes Lager von derbem Boracit gefunden (Pogg. Ann. 70. 502). Die dichte Masse schmilzt leichter, wiegt 2,91, enthält 1 Atom Wasser, und erscheint gepulvert unter dem Mikroskop säulenförmig. G. Rose (Zeitschr. deutsch. geol. Ges. 1866. VIII. 152) nannte ihn daher Staßfurtit, was wahrscheinlich mit Volgers Parasit identisch ist.

Rhodizit G. Rose (Pogg. Ann. 38. 333), kleine weiße Granatoeder mit Tetraeder auf rothem Lithionturmalin von Schaitansk und Sarapulsk am Ural, färben die Böhrohrflamme grün (K) und später roth (Li), in Salzsäure gelöst und mit Ammoniak und Oxalsäure versetzt, erfolgt ein Niederschlag von Kalkerde. Härte 8, Gew. 3,4. (Podolzeu rothfärben). Sie sind auch thermoelectrisch (Pogg. Ann. 59. 333), daher ein Kaliboracit. Heintz (Monatss. Berl. Akad. 1860. 333) stellte Boracit auf trockenem Wege dar.

2. Borax.

Agricola 587, soll aus dem arabischen Wort Baurach entstanden sein. Die Indier nennen es Tincal (Tincar Agricola 587), unter welchem Namen es Wallerius aufführt. Ein uralter Handelsartikel aus Hochasien. Soude boratée. Chrysocolla Agricola.

2 + 1gliedriges Krystallsystem von augitischem Habitus: eine geschobene Säule $T = a : b : \infty c$, die vorn einen scharfen Winkel von 87° hat, geringer Perlmutterglanz deutet blättrigen Bruch an. Durch die Abstumpfung der scharfen $k = a : \infty b : \infty c$ und der stumpfen Kante $M = b : \infty a : \infty c$, ebenfalls blättrig, wird die Säule achteitig; die blättrige und leicht darstellbare k herrscht in der achteitigen Säule stets vor, was für optische Untersuchungen von großer Bequemlichkeit ist. Am Ende auf der Hinterseite herrscht das Augitpaar $o = a' : c : \frac{1}{2}b$ mit $122^\circ 34'$ in der Mediankante. Die vordere Schiefendfläche $P = a : c : \infty b$ macht mit den Säulenflächen T $101^\circ 20' = P/T$, mit o $139^\circ 30' = P/o$ und ist daher $73^\circ 25'$ gegen Hauptaxe c geneigt. Darnach finden sich die Axen



$$a : b : k = \sqrt{14,014} : \sqrt{12,619} : \sqrt{0,0132}$$

$$lga = 0,57328, lgb = 0,55053, lgk = 0,06009.$$

$$\text{Wir setzen nämlich } tg\ 43 \cdot 30 = \frac{b}{a}, tg\ 73 \cdot 25 = \frac{a}{1+k}, tg\ 61 \cdot 17 =$$

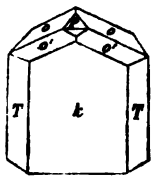
$$\frac{b}{2a} \sqrt{(1-k)^2 + a^2}. \text{ Daraus folgt, wenn wir } a = tg_1 (1+k) \text{ setzen,}$$

$$k = -\frac{tg_1^2 - 1}{tg_1^2 + 1} + \sqrt{\left(\frac{tg_1^2 - 1}{tg_1^2 + 1}\right)^2 + \frac{4\ tg_0^2 - (tg_1^2 + 1)\ tg^2}{(tg_1^2 + 1)\ tg^2}}.$$

Dass die Axe A sich nach vorn neigt, folgt aus der Vergleichung mit Augit sogleich, A/c macht $91^\circ 45'$. Defter wird die Kante o/T durch ein unteres Augitpaar $u = \frac{1}{2}a' : \frac{1}{2}b : c$ abgestumpft, und in der Diagonalzone von P liegt die steile Fläche $r = a : c : \frac{1}{2}b$, die Kante u/T abstumpfsend. Diese Flächen, welche man bei vieler tibetanischer Handelswaare findet, kommen ebenfalls bei den raffinierten in Apotheken käuflichen vor, allein ihnen fehlt häufig die Säule T, statt dessen dehnen sich k und M zur Oblongsäule aus, worauf o/o und P das Ende bilden. Da wird man dann leicht versucht, o/o als Säule zu nehmen, gegen welche k eine vordere Schiefendfläche und P eine hintere schärfer lau-



fende Gegenfläche bilden, analog den Flächen TPx beim Feldspath, und das würde ganz wohl gehen, wenn die Ähnlichkeit mit Augit nicht auch durch die Zwillinge unterstützt würde, welche die Säulenflächen kTM gemein haben und umgekehrt liegen. Sie kommen in großer Schönheit vor.



Optisch hat Borax ein hohes Interesse: die Ebene der optischen Axen (Pogg. Ann. 82. 20) entspricht nicht der Medianebene M , sondern einer vordern unter P gelegenen Schiefendfläche, welche mit der Hauptaxe c 55° macht,

folglich wird Axe b , welche die stumpfen Säulenkantenvinkel T/T verbindet, zur optischen Mittellinie, die den Winkel der optischen Axen von $28^\circ 42'$ halbirte. Aber merkwürdiger Weise haben die Axenebenen der verschiedenen Farben eine verschiedene Neigung gegen c (Pogg. Ann. 26. 200).

Graulich weiß, oft etwas ins Grünliche, durchscheinend. $S. = 2-3$, Gew. 1,7. $Na B^2 H^{10}$, Klaproth (Beiträge IV. 200) fand 37 Borsäure, 14,5 Natron und 47 Wasser. An der Oberfläche verwittert er ein wenig.

Vor dem Löthrohr mit Schwefelsäure befeuchtet eine deutlich grüne Flamme. Löst sich in 10 Theilen kalten und 6 Theilen warmen Wassers.

Früher kam er in großen Mengen aus Centralasien in den Handel. Er setzt sich daselbst besonders am Rande tibetanischer Seen (Teschu Kumbu) mit Steinsalz ab. Die rohe Waare besteht aus Krystallen und Krystallgeschoben, welche in einer mit Fett gemischten Erde liegen, und in Venedig und Amsterdam raffinirt wurden. Seit jedoch die Borsäure in den Lagunen von Toskana gewonnen wird, bezieht man sie von dort. Der geschmolzene Borax löst viele Metalloxyde, darauf beruht seine Anwendung beim Löthrohr und Löthen: zwei Metallstücke lassen sich nämlich durch Löthen nicht vereinigen, wenn die Lötflächen mit Oxyd bedeckt sind, Borax nimmt dieses weg. Auch in der Arzneikunde, Färberei, in der Gegend von Potosi sogar als Fluxmittel von Kupfererzen angewendet. 1 Etr. 60—65 Thlr.

Zwischen $79^\circ-56^\circ C$ erhält man oktaedrischen Borax $Na B H^5$ (Pogg. Ann. 12. 402) in regulären Oktaedern.

Borocalcit $Ca B^2 H^6$ (Hydroborocalcit, Tiza, Hagefin) mit Natronsalpeter von Iziquic, schneeweiße Krystallnadeln mit 46 Borsäure. In den Lagunen von Toscana enthält er 4 Atom Wasser. Von demselben Fundorte stammt der höchst ähnliche Boronatrocalcit $Na B^2 H^{10} + 2 Ca B^2 H^4$, zarte knollige Massen, welche oft Glauberitkrystalle einhüllen (Pogg. Ann. 1856. 97. 200). Sehr schwer im Wasser, leicht in Säure löslich. Von der Westküste Africa's kommt neuerlich ein zur Boraxbereitung besonders wichtiger (1 Etr. 30 fl.) sogenannter Rhodocit (Boraxkalk, Tincalcit) in Handel. Er ist ebenfalls zart blendend weiß und Seidenglänzend, 1,9 Gew. und enthält 53 Borax, 41 Borsäure, Kalk, 3 Wasser, 2 Kochsalz, Glauberfalsz u. Vom Kaukasus analysirte Hefz (Pogg. Ann. 81. 20) einen Hydroboracit strahlig blättrigem Gyps ähnlich und auch so hart, Gew. 1,9. $(Ca, Mg)^3 B^4 + 9 H$. Schon das Mächtige und gemengte Vorkommen aller dieser Dinge zeigt, daß wir es nicht bloß mit bestimmten einfachen Verbindungen zu thun haben.

3. Saffolin.

H³ B. Höfer in Florenz gab 1778 schon Nachricht davon, daß er sich an den Rändern der heißen Quellen von Saffo bei Siena in Toscana bilde. Karsten nannte ihn nach dem Fundorte. Klaproth (Weitr. III. 66) wies darin nach Abzug der erdigen Theile 86 pC. Vorsäurehydrat nach, welches sich vor dem Röthrohr an der schön grünen Flamme leicht kenntlich macht.

Der vulkanische (vorigen Handelsartikeln ähnliche) bildet kleine krystallinische Schüppchen von Perlmutterglanz, schneeweißer Farbe, Talthärte, und Gew. 1,5. Fühlt sich fettig an. Hat einen deutlichen Blätterbruch, aber die Form ist noch nicht sichergestellt. Die künstlichen Krystalle von Saffo, welche in den Handel kommen, bestehen aus kleinen körnigen Krystallen, die wegen ihres deutlichen Blätterbruchs ein auffallend gypsartiges Ansehen haben. Es schimmert noch ein zweiter Blätterbruch heraus, aber die Krystallflächen sind durchaus undeutlich. Vergleiche übrigens Miller (Pogg. Ann. 23. 667), der künstliche Krystalle in sechsseitigen Säulen mit Geradenflächen und dihexaedrischen Abstumpfungen bekam, die aber eingliedrig sein sollen. Optisch lassen sich die Blättchen bequem untersuchen, sie verhalten sich wie einziger Glimmer, mit einer entschiedenen Hinnneigung zum 2axigen.

Vorsäure verflüchtigt sich unter Mitwirkung der Wasserdämpfe ein wenig, daher bedecken im Krater von Vulcano „die seidenartig glänzenden Schüppchen wie frischgefallener Schnee den rothgelben Selen-Schwefel“ auf den dortigen Laven. Technisch wichtig sind die 100° C. heißen Wasserdämpfe und Gasströme von Saffo (Suffioni), welche in weißlichen Wirbeln sich in die Luft erheben (Pogg. Ann. 57. 661). Man errichtet darüber künstliche Wasserbeden (Lagoni), die durch die Dämpfe mit Vorsäure angeschwängert werden. Die Wasser dampft man dann wieder mittelst der heißen Gase ab, und erhält so jährlich 750,000 Kilogramm krystallisirter Säure, die Livorno ausführt. Das wirkt ein Licht auf die Bildung von Borax in den hochasiatischen Seen. Dort erzeugt sich auch der gelbe erdige Lagonit $\text{Fe B}^3 \text{H}^3$, es efflorescirt der Larderellit $\text{Am B}^4 \text{H}^4$ und andere Dinge mehr.

Chloride.

Nehst Bromiden und Jodiden. Das Hauptlager von Chlor bildet Steinsalz; auch spielt es in den Fumarolen der Vulkane eine Rolle. Directe Versuche haben es zwar in Graniten und Laven nachgewiesen, aber doch nur in geringen Portionen, obwohl das Salz mit dem Wasser alle Klüfte und Fugen des Erbkörpers durchdringt. Im Buntbleierz, Apatit, Boracit und Sodolith pag. 357 war es ein wichtiger Beigehalt, der unwichtigen nicht zu gedenken. Auf trockenem Wege sucht man es durch die blaue Flamme des Kupfers kennbar zu machen pag. 172.

1. Hornerz Ag Cl.

Kerat. Ein reiches Silbererz, was schon Fabricius 1566 nur meinen konnte, wenn er von einem leberfarbenen Silbererze spricht, „was

in Stücken gegen das Licht einen Schein als Horn hat." Matthefius 1585 nennt es Glaserz, „es ist durchsichtig wie ein Horn in einer Laterne“ und schmilzt am Lichte. Pabst von Rhain nannte es daher und wegen der Ähnlichkeit mit dem künstlichen Hornsilber Hornerz. Silberhornerz. Argent muriaté.

Regulär in kleinen grauen Würfeln zu Johann-Georgenstadt. Schöner sind die künstlichen Otkader und Granatoder aus einer Lösung von Ammoniak. Geschmeidig, durchscheinend, frisch farblos, wird aber am Lichte gelb, violett und zuletzt schwarz. Fettiger Diamantglanz. $H. = 1$, Gew. 5,5.

Klaproth (Beiträge IV. 10) wies bei dem muscheligen Hornerz von Peru 76 Ag und 24 Cl nach, was mit dem künstlichen vollkommen stimmt. Verunreinigungen an Thon, Eisenoxyd u. fehlen bei dem natürlichen nicht. Schmilzt sehr leicht, und reducirt (in der innern Flamme) sich leicht zu Silber. Das Schwärzen am Lichte erklärte Gay-Lussac durch Austreten von etwas Chlor, was jedoch H. Rose läugnet. In kochender Soole löslich, was im Manskeldischen zur Ausscheidung des Silbers benutzt wird.

Mit gebiegenem Silber hauptsächlich in den obern Teufen der Gänge, daher kam es dann auch im 16ten Jahrhundert auf dem Erzgebirge in reichen Anbrüchen vor. Im Mineralienkabinet von Dresden bewahrte man einst ein würflich geschnittenes Stück von mehreren Pfunden auf, was aus jener guten Zeit stammen mag. Ebenso liefern Mexiko, Peru und Chili Mengen zum Verhütten. Zu Schlangenberg im Altai bildet es blechartige Anflüge auf Hornstein. Die große Verwandtschaft von Chlor zum Silber ist davon die Ursache. Silbermünzen im Erdboden, auf dem Meeresgrunde u. sollen häufig Chlor anziehen. Salpetersaures Silber bildet daher ein so wichtiges Reagenzmittel für Chlor, Ammoniak löst das Chlorsilber. Es schmilzt bei 260°C. , und liefert erkaltet eine ganz ähnliche Masse, als das berbe natürliche Vorkommen.

Das Buttermilchsilber (Klaproth Beitr. I. 120) ist ein mit Thon gemengtes Erz von 33 p. C. Hornerzgehalt, von bläulichgrauer Farbe und glänzendem Strich. Es kam schon 1576 und 1617 auf der Grube St. Georg zu Andreasberg mit Kalkspath und Kreuzstein vor.

2. Jodsilber Ag J.

Jodargyrit. Jodit. Bauquelin (Pogg. Ann. 4. 305) fand das Jod zuerst im Silbererz der Provinz Zacatecas in Mexiko, nachdem es vorher schon Fuchs (Schweigger's Journ. 37. 445) im Steinsalz von Hall in Tyrol und Angelini in der Soole von Sales in Piemont nachgewiesen hatten. Denn nach Stromeyer zeigt Stärkmehl noch einen Gehalt von $\frac{1}{100000}$ Jod an, ja nach Chatin läßt sich selbst ein Zehnmilliontel Jodsalium im Wasser nachweisen. Jod fand sich seit der Zeit nicht nur in den verschiedensten Quellen, in Gebirgsarten (Posidonienschiefer des Rias in Schwaben, Württemberg. Jahreshefte VI. 140), sondern selbst in der Luft. Auch das Silber ist ein empfindliches Reagenz für den merkwürdigen Stoff, der wegen seiner Veränderung gegen Licht in der Daguerrotypie eine so wichtige Rolle spielt. Ohne

Zweifel ist das Meer die Quelle, wenn man es auch darin noch nicht direct nachweisen konnte (Bischof chem. Geol. II. 1868).

Nach Descloizeaux (Ann. Chim. phys. 3. sér. 40. 22) bei Chanarcillo in Chili dihexaedrische Tafeln, sehr deutlich blättrig nach der Geradenfläche. Ein Dihexaeder mit 118° in den Endkanten stumpft die Endkanten in der regulären sechsseitigen Säule ab. Von der Form des Greenockit.

Die Farbe des Jodsilbers ist gelblich, durchscheinend, mit Geschmeidigkeit und glänzendem Strich, Härte = 1, Gew. 5,5. Ertheilt der Flamme Purpurfarbe, und schmilzt sehr leicht unter Entwicklung von Joddämpfen. Vanquelin fand im Mexitanischen 18,5 Jod, es kommt daselbst im Serpentin vor; Domeyko im Chilenischen 46,9 Jod (Ann. des mines 4. sér. 1844, tom. VI. 200), dasselbe verändert am Licht nicht seine Farbe, wie das künstliche, ist nicht so geschmeidig, und von blättriger Structur. Guadaluza in Spanien, Coquimbo, Copiapo, Mexiko.

Jodquecksilber wurde von del Rio zu Casas Viejas in Mexiko gefunden, es soll daselbst als rothe Farbe benutzt werden. Das künstliche Quecksilberjodid Hg J zeigt nach Mitscherlich (Pogg. Ann. 28. 110) einen interessanten Dimorphismus und Farbenwechsel: sublimirt man nämlich Quecksilberjodid, so bekommt man zweigliedrige rhombische Tafeln von 114° , warm sind sie schön gelb, kalt werden sie aber plötzlich und ruckweise intensiv roth. Einige Blätter, die gelb zurück bleiben, nehmen auch bei geringer Erschütterung die rothe Farbe an. Die rothen Krystalle bekommt man, wenn man in einer nicht zu concentrirten Auflösung von Jodkalium Quecksilberjodid beim Siedepunkt desselben auflöst. Es sind viergliedrige Tafeln von 141° in den Seitenkanten.

3. Bromsilber.

Bromargyrit, Bromit, das unreine wird als Plata verde (grünes Silber) im Distrikt von Plateros bei Zacatecas verhüttet (Pogg. Ann. 54. 220). Isomorph mit Hornerz, und auch in kleinen Würfeln und Octaedern bekannt. Stark glänzend, olivengrün bis gelb, $\text{H.} = 1-2$, Gew. 6,3. Auch im Hornerz von Huelgoeth in der Bretagne verrathen kleine grünliche Körner den Bromgehalt. Nach Domeyko kommt in den Pacos von Chanarcillo bei Coquimbo in Chili reines Bromsilber Ag Br mit 57,5 Brom vor, gewöhnlich sind es aber Chlorobromure, und eines davon nannte Breithaupt

Embolit (*Ευβόλιον* Einschlebsel, Pogg. Ann. 77. 124), das nach Plattner aus $2 \text{ Ag Br} + 3 \text{ Ag Cl}$ mit 20 Br und 13 Cl besteht. Feste Verhältnisse scheinen nicht Statt zu finden, daher unterschied Breithaupt auch einen Megabromit und Mikrobromit mit viel und wenig Brom.

Die Verbreitung des Broms knüpft sich eng an die des Jod's und Chlor's, namentlich kommt es auch in dem Meere und Steinsalzbildungen vor. Brühl fand in alten griechischen, römischen und sächsischen Münzen des 13ten Jahrhunderts neben Chlor auch einen Bromgehalt. Bekanntlich nennen die mexitanischen Bergleute die obern Teufen der Silbergänge Colodados (Pacos der Peruaner), wo die Erze in Folge von Zersetzung gefärbt

sind, im Gegensatz von den tiefern Negros, wo die geschwefelten Erze (Bleiglanz, Blende, Glaserz etc.) noch unzersezt liegen. Aber gerade in den veränderten Colorados spielen neben gebiegenem Silber die Chlor-, Brom- und Jodverbindungen ihre Rolle. Es ist daher mehr als wahrscheinlich, daß diese im heutigen Meere noch vorhandenen Substanzen den Gängen von außen zugeführt wurden. Hier kommt auch das Grausilber Ag C pag. 439 vor.

4. Hornquecksilber.

Quecksilber-Hornerz Werner's, *Mercurio muriat.* Quecksilberchlorür $Hg^2 Cl$ von der Zusammensetzung des künstlichen Kalomel.

4gliedrig. Die künstlichen bilden lange 2te quadratische Säulen $a : ooa : ooc$ mit einem Oktaeder $a : a : c$ von 136° in den Seitenkanten, also ähnlich dem Zirkon. Am Landsberge bei Moschel (Hessenberg Abh. Send. Nat. Ges. 1854. I. pag. 24) in der Rheinpfalz kommen sie mit gebiegenem Quecksilber in kleinen Drüsenhöhlen von Brauneisensteinhaltigem Kalkstein vor. Die kurzen kleinen perlgrauen Krystalle gleichen dem Hornerz, lassen sich aber zu Pulver zerbrechen, obgleich sie mild sind. $\mathcal{H}.$ = 1—2, Gew. 6,5.

85,1 Quecksilber, 14,9 Chlor. Vor dem Löthrohr verflüchtigen sie sich, ohne nur vorher zu schmelzen, und bedecken die Kohle mit Sublimat stark weiß. Die complicirten Krystalle, welche Brooke maß, stammten von Almaden. Ein wichtiges pharmaceutisches Präparat.

Das giftige künstliche Quecksilberchlorid $Hg Cl$ ist dimorph (Pogg. Ann. 28. 110): das aus einer Alkohollösung krystallisirte hat 2gliedrige Tafeln $M = a : b : ooc$ $108^\circ 5'$, Oktaeder $a : b : c$, Zuschärfung auf die scharfe Säulenkante aufgesetzt, $A = b : c : ooa$ mit $93^\circ 48'$ im Azimutpunkte c , Geradenfläche $P = c : ooa : oob$. Das sublimirte ist zwar auch zweigliedrig, aber in andern Winkeln.

5. Hornblei Karsten.

Bleihornerz. Es wurde zu Matlock in Derbyshire gefunden, und schon von Klaproth Beitr. III. 141 analysirt, *Murio-carbonate of lead*.

Biergliedrig. Die quadratische Säule $M = a : ooa : ooc$ ist blättrig, auch die Geradenfläche $P = c : ooa : ooa$, und diese beiden herrschen vor. Das Oktaeder $a = a : a : c$ mit $113^\circ 48'$ in den Seitenkanten stumpft die Ecken ab; $d = a : a : ooc$, $e = a : \frac{1}{2}a : ooa$, $b = a : c : \frac{1}{2}a$, $n = a : a : 8c$, $r = a : a : \frac{3}{2}c$, $a : a : \frac{1}{2}c$. Selten.

Diamantglanz, grau, gelblich und grünlich, milde, $\mathcal{H}.$ = 2—3, G. 6,3.

$Pb Cl + Pb C$ mit 51 Chlorblei und 49 kohlensaurem Blei. Im Dachletten der Galmegrube Elisabeth von Niechowitz bei Beuthen pag. 438 kommen nach Krug v. Nidda (Zeitschr. deutsch. Geol. Ges. II. 100) bis 3 Zoll große, trübe, bauchige Krystalle vor, die sich theilweis oder ganz in kohlensaures Blei verwandelt haben. Dufrenoy bildet sie auch von der Grube Hausbadan am südlichen Schwarzwalde ab. In den Rauen des Besuns.

Das reine künstliche Chlorblei $Pb Cl$ ist von Schabus (Sitzungs-

bericht Kais. Akad. Wiss. Wien 1850, April pag. 456) 2gliedrig beschrieben worden. In den Laven des Vesuv kommen kleine weiße Krystalle vor (Cotunnia Monticelli Miner. Ves. 47, Cotunnit), die vor dem Löthrohr leicht schmelzen, die Kohle weiß beschlagen, aber zugleich einen Bleirauch geben. Wahrscheinlich Sublimation von Chlorblei, das sich bei dem großen Ausbruch 1822 am Vesuv erzeugte, 1855 in der Fossa Vetrana wieder in ansehnlicher Menge gebildet wurde, aber mit dem dortigen Hornblei nicht zu verwechseln ist.

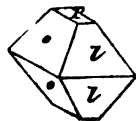
Mendipit (Berzelit 2699 II. 448) aus den Mendip-Hügeln bei Churchill in Somersetshire ist $\text{Pb Cl} + \text{Pb}^2$. Strohgelbe derbe Stücke mit zwei deutlich blättrigen Brüchen, welche eine rhombische Säule von $102^\circ 27'$ bilden, Demantglanz, Gew. 7, $\text{H.} = 2-3$. Kommt auch neuerlich in weißen derben blättrigen Stücken zu Brilon in Westphalen vor. Davon verschieden ist

Matlockit $\text{Pb Cl} + \text{Pb}$ (Rammelsberg Pogg. Ann. 85. 144) auf alten Halben von Cromford Level bei Matlock sparsam gefunden. 4gliedrig, etwas blättrige quadratische Säule mit Geradenfläche, und Oktaeder $136^\circ 19'$ in den Seitenkanten. Darf nicht mit Hornblei verwechselt werden.

Chlorblei schmilzt bekanntlich leicht mit Bleiorpb zusammen, und zwar in den verschiedensten Verhältnissen, dahin gehört unter anderen das Caseler Gels $\text{Pb Cl} + \text{Pb}^1$, eine strahlig blättrig gelbe Masse.

6. Salzkupfererz Br.

Dombey brachte aus den Bergwerken von Copiapo einen grünen Streufand mit, welchen Blumenbach Atacamit nannte, weil ihn die Indianer in der Wüste Atacama gefunden haben wollten (Mémoire de l'Académie des Sc. Par. 1786. pag. 153). Schon Vauquelin wies darin Salzsäure nach, daher Cuivre muriaté. Smaragdochalcit Hausmann. Besonders schön und krystallisirt sind die mit Ziegelerz vorkommenden von Los Remolinos: 2gliedrige Oblongoktaeder ooll mit $112^\circ 20'$ und $105^\circ 40'$ in der rhombischen Basis, die Endede durch einen etwas blättrigen Bruch P abgestumpft. Die Farbe der Krystalle öfter innen eigenthümlich schwärzlich grün, während die Oberfläche eine Kruste von prachtvollstem Smaragdgrün überzieht, das auch stellenweis durch das Schwärzliche in's Innere zieht. $\text{H.} = 3-4$, Gew. 4,4.



Vor dem Löthrohr färbt es die Flamme prachtvoll blau, Folge vom Chlorgehalt. $3 \text{ Cu H} + \text{Cu Cl}$ Laproth (Beiträge III. 100) mit 73 Cu, 17 H, 10 Salzsäure. Chili, Peru und Bolivia haben viele Fundorte. Hier in der Algodon Bai bricht es in solcher Menge, daß es von dort nach England und Hamburg eingeführt und verhüttet wird. Denn an jener Küste, wo es nie regnet, fehlt es gänzlich an Holz. Die Grube Atalamia steht 200' tief fast ganz in diesem Erz. Das Meerwasser hat ohne Zweifel zur Bildung beigetragen. Der aerugo nobilis auf Aegyptischen Antiken soll öfter Chlorkupfer enthalten. Auch in den Laven des Vesuv's und Aetna findet man

smaragdgrüne Nadeln und Anflüge. Percellit von Sonora in Mexico bildet blaue Würfel von $\text{Pb} + \text{Pb Cl} + \text{Cu} + \text{Cu Cl} + \text{H}$.

Das künstliche Kupferchlorür $\text{Cu}^2 \text{Cl}$ ist weiß, Mitscherlich stellte es in bestimmbaren Tetraedern dar, die sich im Sonnenlicht bläulich färben (Pogg. Ann. 49. 401).

Eisenchlorid $\text{Fe}^2 \text{Cl}^3$ kommt öfter in den Vulkanen vor, es hat eine braunrothe Farbe. Gewöhnlich soll es mit Salmiak verbunden sein, die Farbe verläuft dann in's Pommeranzen- bis Schwefelgelbe. Wo am Vesuv und Aetna Fumarolen hervorbrehen, finden sich diese Farben, welche man nicht mit Schwefel verwechseln darf. Kremersit (K, Am) $\text{Cl} + \text{Fe Cl}^3 + 3 \text{H}$ bildet am Vesuv kleine rubinrothe zerfließende Oktaeder.

7. Steinsalz.

Sal Plinius 31. 39, Strabo's $\alpha\lambda\varsigma \delta\upsilon\mu\alpha\tau\acute{o}\varsigma$; Muria (Soole) Plin. 31. 40, Natürliches Kochsalz Br. Soude muriatée, Sel gemme. Vorzugsweise Salz genannt. Der Mensch hat zu seiner Befriedigung vier Vorräthe: Steinsalz, Steppensalz in Binnenseen (Elton), Quellsalz und Meersalz, das in Salzgärten vorzugsweise noch ausgebeutet wird.

Reguläres Krystallsystem: drei gleiche Blätterbrüche, leicht darstellbar, schneiden sich unter 90° . Solch späthige Salzblöcke kommen in bedeutender Größe vor. Die Würfelform selbst findet sich ausgezeichnet schön (Hallein) und groß (Wieliczka), allein andere Flächen sind selten. Schon Haug erwähnt, daß wenn man es in frischem Urin krystallisiren läßt, Oktaeder entständen, sie bilden sich natürlich erst, nachdem der $2 + 1$ gliedrige Chlornatrium- Harnstoff sich ausgeschieden hat. Eigenthümlich sind die trichter- oder treppenförmigen Krystalle, welche in den Salzpfannen bei starkem Erwärmen entstehen: es sind lauter kleine Würfel, die sich parallel über einander lagern. Die Trichter gleichen zwar einem halben Oktaeder, das aber gegen die Würfelfanten die Lage der Granatoederflächen hat, daher nicht mit dem regulären Oktaeder verglichen werden kann. Bei Berchtesgaden, Hall 2c. kommen in den rothen Thonmergeln des Salzgebirges ringsum gebildete verschobene Würfel mit eingedrückten Flächen vor, die satt im Gebirge liegen. Nur das Wasser kann zur Zeit als der Thon noch nachgab die Oberflächen abgenagt haben, denn die Blätterbrüche spiegeln scharf unter 90° ein. Zu Gökling an der Ips südöstlich Waidhofen im obern Wiener Wald liegen in grauem Mergel ganz die gleichen Asterkrystalle von Gyps in großer Menge (Epochen der Natur pag. 109), die lebhaft an die Sandsteinwürfel im Reuper erinnern (krystallisirter Sandstein, Denkschriften Aert. Nat. Schwabens I. 222).

Süß salziger Geschmack, etwas spröde, Härte = 2, Gew. 2,25. An der Luft wird es leicht feucht, wegen eines Gehaltes an Chlormagnesium und Chlorcalcium, die Wasser anziehen. Das reine Salz ist farblos, kommt aber häufig grau durch Thon, oder roth durch Eisenoxyd vor. Ja im Salze von Carbona soll die rothe Farbe von Monaden und Bacillarien herrühren, die auch den unterliegenden Thon erfüllen (Pogg. Ann. Ergänzungsbb. 51. 222).

Die Lösungsrückstände des rothen Salzes von Berchtesgaden fangen schnell an zu gähren und zu stinken. Selbst das safrige violette (Halllein) und das prachtvolle blaue, welches in schönen Wolken das farblose und weiße Salz durchzieht (Hallstadt, Hall in Tyrol), mag seine Farbe dem Bitumen danken, da sie beim Erhitzen leicht verschwindet, die gesättigte Lösung farblos erscheint, und keine Metallreaction zeigt.

Diatherman pag. 148, von 100 Wärmestrahlen läßt es 92 durch, und da man es wegen seines Blätterbruchs leicht in großen Platten gewinnen kann, so ist es in dieser Hinsicht von hohem Interesse, namentlich auch wichtig für Linsen, um schwache Wärmestrahlen zu sammeln.

Das krystallinisch ziemlich grobkörnige Knister-salz von Wieliczka enthält nach Dumas (Pogg. Ann. 18. 301) Wasserstoff eingepreßt, was sich in kleinen Höhlungen befindet. Wirft man nur ganz kleine Stücke davon in eine große Schüssel mit Wasser, so entsteht von Zeit zu Zeit ein ganz unerwartet starkes Knacken: das gepreßte Gas entweicht, und erzeugt Bewegungen im Wasser. Beim Zerschlagen riecht es stark bituminös, weil auch Kohlenwasserstoff sich dabei findet. Auch bei Hallstadt soll vorkommen.

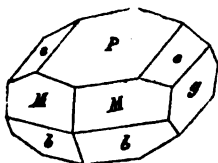
Vor dem Löthrohr in der Pincette schmilzt es sehr leicht und hängt in großen Proben wie Wassertropfen hinab, die beim Erkalten zu vielen kleinen Würfeln krystallisiren. Es decrepitiert nicht, während das treppenförmig gebildete Kochsalz stark verknistert, weil dasselbe viele Bläschen von Mutterlauge einschließt. J. Rose (Pogg. Ann. 48. 334) folgert daraus, daß das Steinsalz nicht auf nassem Wege sich gebildet habe. Krystallinisches Salz zeigt Lamellarpolarisation. Da es im Wasser leicht löslich ist, so kann es sich in kleinen Mengen nur halten, wo Wasserzutritt fehlt. An der Amerikanischen Westküste z. B. in der Algodon-Bai, wo es nie regnet, verkrüttet Salz die Dolomit- und Porphyrbreccien. Es scheint hier noch vom Meeresrückzuge sich erhalten zu haben, v. Vibra, Reise in Südamerika II. 135.

Na Cl mit 60,34 Cl, 39,66 Natrium.

Das beste „Grünsalz“ von Wieliczka hat kaum Spuren von Mg Cl. Verflüchtigt sich bei Rothglühhitze, doch nicht so leicht als Chlorkalium. Daher pflegt das Vulkanische Salz Kaliumreicher zu sein, als Meer- und Steinsalz, zumal da K Cl leichter löslich ist, als Na Cl. Vogel fand zuerst das Kalium im Steinsalz von Berchtesgaden (Gibberts Ann. 64. 155). Chlormagnesium und Chlorkalium häuft sich in unregelmäßigen Höhlungen im Salze von Cheshire (Pogg. Ann. 18. 308) an. Das Jod hat Fuchs im Steinsalz von Hall in Tyrol erkannt, außerdem sind die Quellen von Sales, Halle, Rehme, Kreuznach 2c. durch ihren Jodgehalt berühmt. Brom findet sich noch häufiger, namentlich auch in den Württembergischen Soolen (Zehling, Würt. Jahrbücher 1848. 10), im Englischen Steinsalz 2c. Des Salzthones, Gypses und anderer schwefelsaurer Salze nicht zu gedenken. Alle diese fremdartigen Beimischungen geben dem Steinsalz eine gewisse „Schärfe“; beim Sieden bleiben sie jedoch in der Mutterlauge zurück, darunter auch Brom und Jod.

Das Salz ist bei Abwesenheit von Kalk und Bittererde im kalten wie

warmen Wasser gleich löslich, bildet insofern eine merkwürdige Ausnahme von der Regel: 3,7 Wasser nehmen 1 Theil Salz auf. 100 Theile Soole können daher 27 Theile Salz enthalten. So reich sind die Wasser unserer Bohrlöcher auf Salz, die natürlichen Salzquellen pflegen ärmer zu sein, sie haben weniger Grade, wie man zu sagen pflegt: Eüneburg $25\frac{1}{2}$ Grad, Halle in Sachsen 21° , Schönebeck $11,5^{\circ}$, Kreuznach an der Nahe $1,5^{\circ}$, was man kaum noch schmeckt. Die schwachen Soolen müssen daher Holzersparris wegen durch Luftverdunstung grabirt werden: die Schönebecker Grabierwerke, aus Dornen aufgerichtet, waren früher 6000' lang, 50' hoch und 8' breit. Bei gewöhnlicher Temperatur krystallisirt das Chlornatrium ohne Wasser, es unterscheidet sich dadurch vom Na Br, welches erst bei $+ 30^{\circ}$, und vom Na J, welches bei 40° bis 50° sich ohne Wasser in regulären Würfeln ausbildet. Beide letztere Salze nehmen vielmehr bei gewöhnlicher Temperatur 4 Atom Wasser auf, was das Chlornatrium erst unter -10° thut (Mitscherlich, Pogg.



Ann. 17. 388), es bilden sich dann 2 + 1gliedrige Krystalle von Na Cl H^4 (Hydrohalit) in Tafeln: $M = a : b : \infty c$ $118^{\circ} 32'$, Schiefenfläche $P = a : c : \infty b$ macht vorn in P/M $109^{\circ} 48'$, ein hinteres Augitpaar $b = a' : c : \frac{1}{2}b$ in der Medianfante $123^{\circ} 45'$, $g = b : \infty a : \infty c$ stumpft die scharfe

Säulenfante ab, ein vorderes Augitpaar $e = a : c : \frac{1}{2}b$ in der Diagonalfante von P bildet in P/e $149^{\circ} 47'$. In strengen Wintern setzen sich solche Krystalle in den großartigen Soolenleitungen ab, welche im Salzbургischen über Berg und Thal setzen, um die Soole in holzreichere Gegenden zu führen. Soll das Seewasser gefrieren, so muß sich das Salz vorher ausscheiden, darauf beruht die Gewinnung des Seesalzes in kalten Zonen (Nchotskischen Meerbusen), hier muß also das Salz unter Umständen auch 2 + 1gliedrig werden. Wrangel fand Meersalz (Kassöl) auf dem Polareis in der Gegend von Neu-Sibirien ausgeschieden (Reise längs der Nordküste von Sibirien und auf dem Eismeer, herausgegeben von Engelhardt II. 258), das könnte Hydrohalit sein.

Vorkommen. Das Salz findet sich stets in Gesellschaft von Salzhon und Gyps (Anhydrit) unter Verhältnissen, die es fast außer Zweifel setzen, daß es Niederschläge ausgetrockneter Meere waren. Denn bekanntlich versalzen alle Meere und Seen ohne Abfluß. Ein Beispiel ist das Todte Meer, und der durch viele Reisende bekannt gewordene Eltonsee (Altan Nor goldne See) auf der linken Seite der untern Wolga. Dieser obgleich nur 3 Meilen lang, $2\frac{1}{2}$ Meile breit, und so flach, daß man überall durchwaten kann, liefert dennoch den Russen alljährlich 4 Millionen Pud des besten Salzes. Die Charisacha Sommers mit 4 p. C. Na Cl bildet den Hauptzufluß, und speist den See hauptsächlich mit Salz: die oberste 1—2 Zoll mächtige Schicht besteht aus schneeweißen Würfeln, im innern des Sees wird diese Schicht oft 5 Zoll dick, man hebt sie mit langen Stangen auf, wäscht sie ab und führt sie auf Kanälen an's Ufer. Aber nur Sommers erzeugen sich diese Niederschläge, im Herbst und Winter tritt dagegen Chlor-

magnesium an die Stelle. Dieses ist nämlich im warmen Wasser viel löslicher als im kalten, während Wärme auf die Kochsalzlösung keinen Einfluß übt. Sommers wird also alles Chlormagnesium gelöst, nur Steinsalz schlägt sich nieder, im Herbst und Winter dagegen schlagen sich die Magnesiälsalze nieder, und es ist mehr Salz im Wasser, das überhaupt einer förmlichen Salzlake mit 30 p. C. festen Theilen gleicht. So ist es möglich, daß das gewonnene Salz 98,8 p. C. reines Na Cl und nur 0,13 p. C. Mg Cl enthalten kann. Und wenn man dann bedenkt, daß in diesem kleinen See die über einander geschichteten Salzlager, von einander durch dünne Schlammniederschläge getrennt, sich 14 Fuß tief in den Boden verfolgen lassen (S. Rose Ural. Reis. II. 101), so sind das schlagende Analogien für die Bildung unserer Salzgebirge.

An die Tagesoberfläche treten Salzstöcke nur selten. Der berühmteste Punkt in Europa, welchen schon Plinius 31. 29 erwähnt, liegt bei Cardona in Catalonien: jener Salzstein ist 550' hoch, hat eine Stunde Umfang, und gleicht einem Gletscher mit seinen Pyramiden und Hörnern des reinsten Salzes. Obgleich vegetationsleer, so dürften dennoch nach Cordier die Berge in 100 Jahren durch den Regen kaum $4\frac{1}{2}$ Fuß erniedrigt werden (Leonhard Taschenb. Min. 1821. 60). Die Salzbrüche am Jsel bei Orenburg, welche den Russen jährlich 700,000 Pud liefern, liegen schon jenseits des Uralflusses auf Asiatischer Seite. Zu den großartigsten unterirdischen Strecken gehören die von Wieliczka am Rande der Karpathen ohnweit Krakau, eine wahrhaft unterirdische Stadt, zu welcher eine breite Wendeltreppe führt. Wollte man die Baue alle durchschreiten, so müßte man 86 deutsche Meilen machen. Das Salz stellenweis 1200' mächtig. Davon wird jährlich 1 Million Centner gewonnen, theils so rein, daß es gestoßen als bestes Tafelsalz dient. Der Reichthum setzt nicht bloß den Karpathen entlang durch Siebenbürgen bis nach Olna in der Wallachei fort, sondern wiederholt sich auch in den östlichen Alpen, woher Salzburg seinen Namen hat (Hallstadt, Ischl, Hallein), Hall in Tyrol, Berchtesgaden in Oberbayern und endigt bei Bex im Canton Waadt. Ueberall wird es zum Theil durch großartigen Bergbau gewonnen. Der vielen Salzquellen wie Reichenhall, wo die reichste Soole in Strömen hervorfließt, nicht zu gedenken. Die Formation dieses Alpinischen Salzes läßt sich zwar nicht sicher bestimmen, allein sie liegt doch wenigstens unter dem Lias. In den nördlichen Vorlanden der Alpen gehört das Salz mit Sicherheit der großen rothen Sandsteinformation zwischen Steinkohlen- und Liasgebirgen an. Lange hat man zu Sulz am Neckar einen ärmlichen Bergbau darauf getrieben, bis die reichen Lager im Frühjahr 1816 am untern Neckar bei Friedrichshall in 475' Tiefe mitten im Muschelkalle erhoben und 1826 oberhalb Hall am Kocher (Wilhelmsglied) durch Bergbau aufgedeckt wurden, darunter sehr schöne cubisch blättrige Stücke, mit noch nicht $\frac{1}{2}$ p. C. fremdartiger Theile. An der Seille bei Vic in Lothringen lagert das Salz im Keuper. Reich und alt sind die Salzwerke von Halle an der Saale, die ganze Umgegend über Muschelkall gelegen hat kaum einen Brunnen, der nicht salzig schmeckte, ein einziger von Salza bei Schönebeck liefert soviel

Soole, daß daraus jährlich 600,000 Etr. Salz gewonnen wurden, ja bei Frankenhäusen bringen aus den Gypsbergen Thüringens „der Salzquellen so viele hervor, daß man glaubt, ganz Deutschland lasse sich aus ihnen mit Salz versehen.“ Dennoch wurde erst am 25ten November 1837 in 986' Tiefe im Zechstein von Artern das erste Stück Salz im Preussischen Staate erhoben, dem dann später die reichen Erfinde von Staßfurt, Erfurt u. folgten. England hat seinen großen Salzschatz bei Liverpool zu Northwich und Cheshy (Quart. Journ. geol. soc. IV. 222) ebenfalls im Newredsandston über der Steinkohle, die zahlreichen Gruben stehen über 60' im reinen Salzfelzen, und das späthige hält 98,3 Chlornatrium. In Nordamerika haben die Salzquellen am Ohio, die Onondaga Salt Group zwischen Michigan- und Huron-See mit Gyps und Soolquellen, die salzführenden Schichten von New-York mit den hohlen vierseitigen Pyramiden (sogenannte *hoppers*) u., merkwürdiger Weise ihren Sitz unter der Steinkohlenformation im Uebergangsgebirge. Am Huallaga in Südamerika hat Böppig (Reise in Chili, Peru und auf dem Amazonenstrom II. 211) die prachtvollen Salinas de Pilluana beschrieben und abgebildet: indigoblaue, rosenrothe und weißliche wohlgeschichtete Salzfelzen steigen in Pyramiden und Kegeln unmittelbar neben dem Spiegel des gewaltigen Stromes empor. In Asien sind die obern Gegenden des Indus (Plinius 31. 22) berühmt, wo bei Karabagh der süße Strom die „Salzlette“ durchbricht (Ritter Asien 7. 22), große Steinbrüche im rothen Boden geben hier gewaltige Blöcke von Steinsalz. Nördlich der Sahara bauen die Völker mit Salz Herodot 4. 188, aber südlich im Centrum von Afrika ist es nach Mungo Park einer der größten Ueckerbissen, nach welchem z. B. die Mandingoneger schmerzliche Sehnsucht tragen.

Varietäten, 1) Blättrig bricht es in großen cubischen Stücken, worin man öfters Blasen sieht; 2) körnig sind bei weitem die meisten Massen, das Korn häufig grob; 3) fasrig, erinnert an die Faser des Gypses, und durchschwärmt in ganz ähnlicher Weise den Salzthon. Unkrystallinisch dicht und mehlig pflegt es nur in Folge secundärer Niederschläge zu sein.

Sylvin (Sal Sylvii) nannte Beudant das Salz, welches sich in Vulkanen sublimirt, es soll am Vesuv öfter aus reinem K El bestehen, was bekanntlich flüchtiger und isomorph mit Steinsalz ist: 1822 warf derselbe eine solche Menge aus, daß die benachbarten Dörfer damit ihren Hausbedarf befriedigten, bis die Zollbehörde es in Besitz nahm. Laugier fand darin 62,9 Na El und 10,5 K El, Bischof in einem vom 5. Febr. 1850 53,8 K El und 46,2 Na El. Auch in Hochöfen soll es sich bilden. Woraus folgt, daß keine scharfe Trennung zwischen dem Kalium- und Natriumsalze stattfindet, aber daß man auch das Steinsalz wegen seines geringen Gehaltes an Kalium nicht als Feuerproduct ansehen darf.

Chlorcalcium Ca El bildet sich nach Hausmann als mehligter Beschlag auf dem Gypse von Eileneburg, dem Muttergesteine der Boracite.

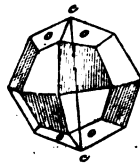
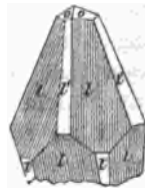
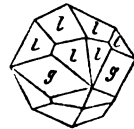
Staßfurt an der Bode südlich Magdeburg, dessen scharfe Soole Agricola schon rühmt, hat in seinem „Abraumsalz“ (Epochen der Natur pag. 456) außer Vorjäure noch mehrere vergängliche Doppelverbindungen geliefert,

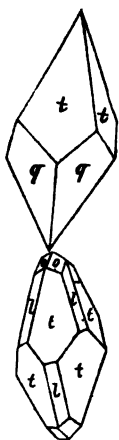
welche für die Bildung des Salzstockes von Interesse sind. Obenan steht **Carnallit** $K\ Cl + 2\ Mg\ Cl + 12\ H$ (S. Rose Zeitschr. deutsch. Geol. Ges. 1856. VIII. 117) fettglänzende milchweiße Stücke zum Theil durch Eisenoxyd roth gefärbt. Es kommt in Massen vor und stimmt mit dem 6gliedrigen Kalium-Magnesiumchlorid überein, welches Liebig aus Meerwasser und Salzsäure darstellte. **Tachydrit** $Ca\ Cl + 2\ Mg\ Cl + 12\ H$ (Rammelsberg Pogg. Ann. 28. 361), rundliche gelbliche Kugeln mit 2 Blätterbrüchen liegen im Anhydrit. Leider zerfließen die Sachen an der Luft.

8. Salmiak.

Soll zuerst durch Armenische Kaufleute aus der Hohen Bucharei in den Handel gebracht sein, daher *Sal ammoniacum* (verstimmt aus *Sal armeniacum*) genannt. Bei Agricola *Salarmoniak*. Indes nennt Plinius 31. schon ein *Hammoniacum* nach dem Tempel des Jupiter Ammon, und da in Aegypten die Salmiakbereitung aus Kameelmist uralt ist, so könnte das den Namen erzeugt haben. Bergsalmiak Wallerius, *Ammoniaque muriatée*.

Regulär und scheinbar isomorph mit Steinsalz. Der rothe Salmiak, welcher bei der Blutlaugensfabrication aus thierischen Substanzen gewonnen wird, ist stark braun durch Brenzöl gefärbt, krystallisirt aber in den prachtvollsten Würfelzwillingen, die man überhaupt kennt. Ihre Substanz besteht aus lauter Blättchen, die den Würfel Flächen parallel gehen, daraus entsteht ein Perlmutterglanz auf den Flächen, welchen man für den Blätterbruch halten möchte. Schleift man sie senkrecht gegen die Zwillingssaxe, so zeigt sich ein dunkles Kreuz, welches den drei Granatoberflächen entspricht, die in der Zone der Zwillingssaxe liegen. Oft wiederholen sich 6—8 Zwillingseindividen in einer Reihe übereinander, die aber alle parallel stehen. Bei der Sublimation der Steinkohlenbrände zu St. Etienne, Duttweiler, selbst bei künstlichen Hüttenprocessen (Deide Jahrb. 1860. 70) entstehen wasserhelle Leucitoeder $l = a : a : \frac{1}{2}a$, „die man mit dem Analcim der Cyclopiischen Inseln verwechseln könnte.“ Auffallender Weise zeigen dieselben Neigung zur Hemiedrie, indem sich von den Granatoberflächen g nur zwei mit einer Quadratischen Säule hinzugesellen. Ja Möllner in Hamburg (Erdmann's Journ. prakt. Chem. 50. 11) hat neben der Darstellung des Leuchtgases Salmiakkrystalle erhalten, die eine höchst merkwürdige hemiedrische Gyroedrie zeigen: die Sache pflegt mit der einfachen **Verziehung** des Leucitoeders $a : a : \frac{1}{2}a$ zu beginnen. Anfangs bleibt das Oktaeder o noch deutlich und das Auge kann zwischen l und l' noch den stumpfen ebenen Winkel der Deltoide ($117^\circ 2'$) gut beurtheilen,





aber l' zieht sich auf Kosten von l als eine schmale Abstumpfungsfäche hinab, verschwinden dann o und l' ganz, so meint man. Quadratoctaeder mit Endantenwinkel l/l von $99^\circ 35'$ vor sich zu haben. Stoßen die Flächen l unten dagegen, so entsteht ein vollständiges Trapezoeder. Leider sind die Krystalle meist abgerundet, was eine scharfe Bestimmung erschwert, doch hat Naumann die Sache genau zu verfolgen gesucht, und meint sogar ein **Trapezoeder** nachweisen zu können, das einerseits $t = a : a : \frac{1}{2}a$ andererseits $q = a : a : \frac{2}{3}a$ als Endigung habe. Auch Abstumpfungen der Endanten des Trapezoeders $1/t$ kommen vor, welche einem Trapezoeder vom Leucitoeder $l = a : a : \frac{1}{2}a$ entsprechen. Eine Octaëdrische Zuschärfung des Endes gehört ebenfalls dem gewöhnlichen Leucitoeder $o = a : a : \frac{1}{2}a$ an, was wesentlich dafür zu sprechen scheint, daß diese merkwürdigen Körper nicht dem wirklich 4gliedrigen Systeme, sondern einer Theilflächigkeit des regulären Systems angehören, welche sich gyroëdrisch gruppirt. Ja Wöhler hat einmal (Erdmann's Journ. prakt. Chem. 50. 110) scharfe meßbare Rhomboeder von $67^\circ 7'$ bekommen, die dem untern Rhomboeder des Leucitoeder $a : a : \frac{1}{2}a$ in seiner 3gliedrigen Stellung angehören, deren Endanten durch einen Dreikantner zugeschärft werden, welche vom Pyramidenwürfel $a : \frac{1}{2}a : ooa$ abzuleiten sind. Eine kleine Projection wird die Sache sofort deutlich machen.

Für ein so klares Salz auffallend mild, pomeranzengelb durch Eisenchlorid, stechend salziger Geschmack, $S. = 1-2$, Gew. 1.6. NA^4 El in Wasser leicht löslich, und verflüchtigt sich vollständig im Kolben, setzt sich aber unverändert wieder ab. Mit Soda starken Ammoniakgeruch. Concentrirte Laugen von Salmiak lösen heiß die Beryllerde, worauf das beste Trennungsmittel von der Thonerde beruhen soll (Dr. Weeren Pogg. Ann. 92. 101), seine Gegenwart befördert auch die Löslichkeit von kohlen-, schwefel- und phosphorsauren Salzen wesentlich. Bei Kohlen- und Erdbränden sublimirt es leicht, da Ammoniak besonders in den Steinen des Flözgebirges sehr verbreitet ist, wie der Geruch der Stinksteine, Belemniten, Solnhoferschiefer 2c. deutlich genug zeigt. Wahrscheinlich haben die Vulkane auch nicht einmal lediglich im Erdinnern ihre Ammoniakquelle; Bunsen meint sogar (Erdmann's Journ. prakt. Chem. 56. 80), daß Salmiak erst außerhalb der Vulkane erzeugt werde, indem die Salzsäure auf die Vegetation einwirke. Doch entsteht am Vesuv und Aetna öfter soviel, daß ein kleiner Handel damit getrieben wird, und die Umwohner des Vulkans von Turfan (Hottscheou) und Kutsche (Beschan) in Hochasien müssen sogar dem Kaiser von China ihren Tribut damit zahlen. Es sollen rauchende Solfataren von mehreren Stunden Durchmesser sein, welche das weiße Salz fortwährend bilden. Mit Eisenchlorid färbt er die Laven pomeranzengelb. Früher versah Aegypten, wo er seit alter Zeit aus Kameelmist bereitet wird, ganz Europa mit diesem wichtigen Arzneimittel, gegenwärtig hat man viel Mittel ihn darzustellen, doch da er

auch in der Färberei, beim Böhren und Verzinnen, beim Goldschmelzen u. Anwendung findet, so kostete der Etr. immerhin noch über 80 fl.

Die Würfelform der Krystalle kommt bei einer Reihe von künstlichen Salzen vor, die in ihrer Constitution große Aehnlichkeit haben. Wie Salz, Salmiak, Chlorkalium, hat auch Chlorlithium L Cl Würfel vom Geschmack des Kochsalzes. Jodnatrium, Jodkalium, Bromnatrium, Bromkalium, Fluornatrium, Fluorkalium, Cyankalium, Jodammonium u. treten alle würfelig auf. Platinsalmiak und Jridsalmiak sind wenigstens regulär. So ließe sich die Sache noch weiter ausdehnen.

Nitrate.

Das Radical der Salpetersäure (\bar{N}) ist Stickstoff. Wenn es schon beim Salmiak unwahrscheinlich war, daß der Stickstoff aus dem Erdbinnern stamme, so ist es bei der Salpetersäure noch unwahrscheinlicher, da ihre Salze immer nur als Ausblühungen oder in oberflächlichen Erdschichten eine Rolle spielen. Nicht blos Pflanzen und Thiere erzeugen Stickstoffverbindungen, sondern auch der Blitz kann auf directem Wege den Sauerstoff und Stickstoff der Luft miteinander vereinigen. Zwar fördern auch heiße Quellen (Nachen, Wildbad, Wiesbaden u.) Stickstoff als Gas, oder gar in Verbindungen, die man nach einer Quelle bei Barège in den Pyrenäen Barégine genannt hat, wodurch heiße Quellen überhaupt etwas nach Fleischbrühe riechen und schmecken sollen. Allein das ließe sich leicht durch Eindringen der Tagewasser erklären.

1. Salpeter.

Darunter versteht man vorzugsweise den Kalisalpeter $K \bar{N}$. Die Alten und noch Agricola begreifen ihn unter Nitrum, Potasse nitratoe. Den künstlichen bekommt man in schönen Krystallen, daher legte schon Linné ein besonderes Gewicht auf seine Krystallisationskraft, und nannte den Quarz Nitrum quartzosum.

Zweigliedrig wie Arragonit: eine geschobene Säule $M = a : b : \infty c$ macht 119° , deren scharfe Kante durch $h = b : \infty a : \infty c$ gerade abgestumpft wird. Beide sind etwas blättrig, und gleichen regulären sechsseitigen Säulen, wie sie Hauy und seine Vorgänger nahmen. Als Zuschärfung herrscht gewöhnlich $i = c : \frac{1}{2}b : \infty a$ 71° in der obern Kante, kommt dazu noch das Oktaeder $o = a : b : c$, so hat die scheinbar reguläre sechsseitige Säule auch noch ein scheinbares Dihexaeder io zur Endigung aber mit $4 + 2$ Endkanten: $i/o = 132^\circ 28'$, und $o/o = 131^\circ 27'$. Daraus folgen die Axen

$$a : b = 0,8403 : 1,426 = \sqrt{0,7061} : \sqrt{2,035},$$

$$lga = 9,92445, lgb = 0,15430.$$

$P = b : c : \infty a$ $109^\circ 56'$ liegt klein über i , $x = b : \frac{1}{2}c : \infty a$, $z = b : 4c : \infty a$, $f = a : b : \frac{1}{2}c$. Auch die Zwillinge haben die Säulenfläche M

gemein und liegen umgekehrt. Nach Frankenheim (Pogg. Ann. 92. 300) zerfällt er durch Erhitzen in kleine Rhomboeder.

Optische Aren (Pogg. Ann. 50. 370) liegen wie beim Arragonit in der Arenebene $b c$, machen einen Winkel von $5^{\circ} 20'$, welchen die Hauptaxe c halbirt. Schneidet man die Säule senkrecht gegen die Mittellinie, so bekommt man in der Turmalinscheere Lemniscaten zu Gesicht. Da durchsichtige Stücke leicht zu erwerben sind, so war Salpeter einer der ersten, den Brewster (Phil. Trans. 1814. 200) untersuchte.

Der Querbruch der Säulen zeigt einen eigenthümlichen starken Fettglanz, Härte = 2, Gew. 1,9, Geschmack scharf bitterlich kühlend. Krystalle in die Hand genommen zeigen am Ohr ein auffallendes Knistern. Auf Kohle schmilzt er anfangs wie Eis, so bald aber die Kohle glühend wird, verpufft er wie Pulver. In 2 Theilen heißen und 3 Theilen kalten Wassers löslich. Die Krystalle haben viele Höhlungen, welche Mutterlauge einschließen. Durch Schmelzen nimmt die Masse daher ein kleineres Volumen ein.

Salpeter erzeugt sich auf der Erdoberfläche als flockige oder mehligte Anflüge, in warmen Gegenden mehr als in kalten, besonders wenn der Boden mit organischen Theilen angeschwängert ist (Kuh- und Pferdeställe). Man legt daher auch künstliche Salpeterplantagen an. In den Gangesebenen kann der Boden stellenweis bis auf 150' Tiefe ausgelaugt werden, im Tirkhut, am Norduferlande der Ganges-Mittelstufe bis zu der Vorkette des Himalajah zerfrißt der wollige Mauersalpeter alle Häuser bis zum Dach hinauf, so daß die Ausfuhr von Indien jährlich über 2 Mill. Centner betragen haben soll. Die Ebenen der untern Wolga, Donau, des Ebro sind nicht so reich. In Ungarn, wo Mist zur Last wird, finden sich in der Nähe der Dörfer Salpeterquellen, die bei ihrem Heraustreten alle Vegetation vertilgen, und in Pfügen zur trocknen Jahreszeit Salpeter auskrystallisiren. Er entsteht hier offenbar durch Faulung stickstoffhaltiger Substanzen, frißt wie ein Schorf in die Wände der Felsen und Mauern, anfangs zeigt sich nur ein runder Fleck, der immer weiter um sich greift, die Masse lockert, und endlich zusammengekehrt werden kann (Rehrsalpeter). Ein zweites eigenthümliches Vorkommen bilden die

Salpeterhöhlen, die fast ausschließlich dem Kalk- und Dolomitgebirge angehören. Das erste Aufsehen unter den Gelehrten erregte der Pulo bei Molfetta in Apulien, welchen Fortis 1783 entdeckte (Laprotz Beitr. I. 217). Dort in den verschlossenen Räumen bildet der Salpeter eine mehrere Linien dicke Kruste auf weißem Kalkstein, die abgenommen nach einigen Monaten sich wieder ersetzt. Ceylon, Tejuco in Brasilien, und die Kalksteine im Missouri und Mississippi Gebiet haben ähnliche Vorräthe. Bernhardtshöhle bei Homburg in Franken. Die Schwierigkeit der Frage dreht sich allein darum, woher kommt die Salpetersäure? Humboldt (Gilbert's Ann. I. 512) hegte die Vermuthung, daß die Hauptquelle in der atmosphärischen Luft liege. Dr. Goppelsröder (Pogg. Ann. 115. 120) zeigte, daß sich in der Atmosphäre von Viehställen gar bald salpetrichsaure Salze (Nitrite) bilden, die dann weiter zu salpetersauren (Nitraten) fortschreiten.

Kalifalpeter $\text{Ca } \ddot{\text{N}} + \text{H}$ (Mauersalpeter) besonders an Mauern von Viehställen, zuweilen in kleinen haarförmigen Krystallen. Shepard fand in den Höhlen von Kentucky 10 p. C. Wasser. Er und Magnesiasalpeter $\text{Mg } \ddot{\text{N}} + \text{H}$ dienen zur Darstellung des ächten Salpeters.

75 Theile Salpeter, 13 Kohle und 12 Schwefel geben das Schießpulver, mittelst der Destillation mit Schwefelsäure erhält man die Salpetersäure daraus. Gebrauch in der Arzneikunde, als Heilmittel von Schnupftabak, in der Färberei. Der Etr. gereinigten Salzes kostet 16—20 fl.

2. Natronsalpeter.

Im Handel nach seinem Fundort Chilisalpeter genannt, Rhomboedrisch wie Kalispath, die schönen künstlichen Krystalle haben einen Endkantenwinkel von $106^{\circ} 33'$, sie sind deutlich blättrig, und zeigen starke doppelte Strahlenbrechung, können also optisch wie Kalispath angewendet werden. Gew. 2,1, Härte = 2. Gewöhnlich farblos.

Auf glühender Kohle weniger lebhaft verpuffend als Kalisalpeter, wird von der Luft leicht feucht, ist daher zur Pulverfabrikation nicht brauchbar. Besonders schön in Körnern mit Sand gemischt am Chilenischen Küstenstrich südlich Tarapaca in 4000' Höhe: eine ganz oberflächliche bis 8 Fuß mächtige Schicht zwischen Thon mit gefärbten Muscheln erstreckt sich wohl 30 Meilen weit fort, und wird im Hafen von Iquique ausgeführt, hauptsächlich nach England, Frankreich und Deutschland, 1859 etwa $1\frac{1}{2}$ Millionen Centner à 6 fl. Man schätzt den ganzen Vorrath auf etwa 1200 Millionen Centner. Dient hauptsächlich als wirksames Düngungsmittel (Boussingault Compt. rend. 41. 222), mit Pottasche läßt sich auch Kalisalpeter aus ihm darstellen. Da es an dieser tropischen Küste nie regnet, so ist die Bildung aus dem Meere erklärlich (Leonhard's Jahrb. 1853. 222).

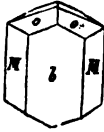
An den scheinbaren Isomorphismus zwischen $\text{Ca } \ddot{\text{C}}$, $\text{Na } \ddot{\text{N}}$ und $\text{K } \ddot{\text{N}}$, Bournonit und Rothgülden, unter Dimorphismus versteckt, wurde oben schon erinnert pag. 160. Nach Frankenheim (Pogg. Ann. 40. 227) soll auch der Kalisalpeter, besonders aus der Weingeistlösung, in Rhomboedern von $106^{\circ} 36'$ sich bilden, die Rhomboeder liegen zwischen den zweigliedrigen Nadeln, und die Nadeln verzehren gewöhnlich die Rhomboeder.

Salpetersaures Blei $\text{Pb } \ddot{\text{N}}$, Salpetersaurer Baryt $\text{Ba } \ddot{\text{N}}$, Salpetersaurer Strontian $\text{Sr } \ddot{\text{N}}$, bilden sich in sehr schönen regulären Krystallen mit Oktaeder, Würfel und Pyritoeeder. Das Pyritoeeder tritt sehr bestimmt untergeordnet am Oktaeder in gleichschenkligen Dreiecken auf. Nach Scacchi (Pogg. Ann. 109. 222) können auch Tetraeder entstehen.

Unter den künstlichen Stickstoffverbindungen zeichne ich nur die zwei so gewöhnlichen Blutlaugensalze aus:

Gelbes Blutlaugensalz, Kalium-Eisencyanür $\text{K}^3 \text{Fe Cy}^3 \text{H}^3$, bildet ausgezeichnete 4gliedrige Tafeln, der blättrige Bruch der Geradenfläche $c : ooa : ooa$ ist so deutlich als beim Urauglimmer, das Oktaeder $a : a : c$

hat nach Bunsen (Pogg. Ann. 36. 404) $97^{\circ} 56'$ Endkant. und $136^{\circ} 24'$ Seitenkante. Das nächste stumpfere Oktaeder $a : c : \infty a$ ist seltener und nicht ganz sicher, ebenso die 2te Säule $a : \infty a : \infty c$. Daher trifft man meist nur einfache Tafeln des Blätterbruchs, an welchen das Oktaeder die Seiten unter gleichen Winkeln zuschärft. Sehr leicht in den schönsten Krystallen aus Fabriken zu erlangen. Optisch von Interesse, da er stellenweis 2axig wirkt. Isomorph mit Ammonium-Eisencyanür.



Roths Blutlaugensalz, Kaliumeisencyanid $K^3 Fe^2 Cy^6$ kann man 2gliedrig stellen. Es bildet ganz eigenthümlich bauchige Säulen $M = a : b : \infty c$ von etwa 104° in der vordern Kante, die man an allen Krystallen wegen ihres eigenthümlich rundlichen Ansehens sogleich wieder erkennt. Durch die etwas blättrige Abstumpfung der scharfen Säulenkante $b = b : \infty a : \infty c$ werden die Krystalle zuweilen tafelförmig. Das Oktaeder $o = a : b : c$ fehlt nie, auch ist gern der Anfang eines Paares $a : c : \infty b$ vorhanden, ebenfalls mit ungefähr 105° in der Axe c. Ropp (Einleitung § 357) nimmt das Oktaeder o als zwei augitartige Paare, und stellt den scharfen Winkel M/M vorn, wie in unserer Figur, und allerdings scheinen Zwillinge vorzukommen, welche b gemein haben und umgekehrt liegen. Auch halbt die Ebene der optischen Axen den scharfen Säulenwinkel M/M , steht also senkrecht gegen b , wie man leicht sieht, wenn man die Krystalle senkrecht gegen die bauchige Säule schleift, $v > \rho$. Für die Orientirung genügt die bauchige Säule, welche zuweilen so vorherrscht, daß sich die Säulenflächen an beiden Enden allmählig zuspitzen, und scheinbar ein bauchiges zweigliedriges Oktaeder bilden, wie der Calcit von Sangerhausen. Wenn statt Eisen Mangano, Kobalt und Chrom kommt, so ändert das die Form nicht.

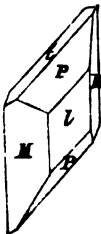


Carbonate.

Vergleiche oben pag. 394—439. Hier nur die im Wasser löslichen, welche künstlich schöner werden, als sie in der Natur vorkommen.

1. Soda $Na Ca + 10 H$.

War das Nitron des Herobot, womit die Aegyptier Monate lang ihre Reichen beizten, das Hebräische Neter, unser Natron. Plinius 31. 48 beschreibt die Gewinnung aus den Aegyptischen Natronseen.



Die großen künstlichen Krystalle der Fabriken bilden scheinbare Rhombenoktaeder PPMM, ähnlich dem Schwefel, mit abgestumpfter stumpfer Ecke l, allein nur die Kante P/P ist durch die Schiefenfläche t abgestumpft, daher ist es 2 + 1gliedrig (Pogg. Ann. 5. 300). Die Säule $M/M = 79^{\circ} 41'$ hat vorn ihren scharfen Winkel, und der Medianwinkel der Augitpaare $P/P = 76^{\circ} 28'$ ist durch die Schiefenfläche t gerade abgestumpft, welche gegen Axe c sich unter $57^{\circ} 40'$

neigt. Leider zerfallen die Krystalle leicht zu Mehl in Folge von Wasserverlust. $S. = 1-2$, Gew. 1,4.

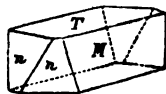
Vor dem Röhrohr schmilzt es in schwachem Feuer in seinem Krystallwasser, in dem zuletzt ein Sodamehl $Na C + H$, zurückbleibt. Die zu Mehl verwitterten Krystalle liefern die bekannte Soda zu Röhrohrversuchen. Als wasserfreie Efflorescenz wird sie aus dem Thonschiefer der Grube Neue Margarethe bei Clausthal aufgeführt.

Daher kommt sie auch in der Natur meist nur als mehliges Beschlag vor. Der altbekannte Fundort des Natrons sind die Natronseen in Unterägypten (Ritter Erdkunde I. 800) in einem ausgetrockneten Nilarm im Westen des Deltalandes (Thal der Natronseen), ein etwa 4 Stunde langer und $\frac{1}{2}$ Stunde breiter Winters 6'. tiefer Graben mit violettem Wasser (großer Natronsee), das Wasser verdunstet und läßt die Soda in 4'—5' mächtigen Schichten fallen, gemischt mit 36 Na Cl und 16 Na S. Der kleine Natronsee liegt eine Tagereise westlich Alexandrien. Aegypten führte 1820 gegen 200,000 Ctr. Soda aus. In Ungarn bedeckt sich während der heißen Jahreszeit die Ebene von Debreczin mit blendend weißen Krystallnadeln, man glaubt ein Schneefeld zu sehen. Das Kohlensaure Kali, was mit Wasser leicht zerfließt, bleibt dagegen im Boden, und dient zur Salpeterbildung. Auch die Pflaue produciren. Wie die Asche der Binnensflanzen Kali, so liefert die der Strand- und Seepflanzen Soda. Gegenwärtig wird die meiste aus Rochsalz und Glaubersalz dargestellt. In der Seifensiederei und Glasfabrikation wichtig, Plinius 36. es erzählt: *appulsa nave mercatorum nitri, cum sparsi per litus epulas pararent . . . glebas nitri e nave subdidisse. Quibus accensis permixta arena litoris, translucentes novi liquoris fluxisse rivos, et hanc fuisse originem vitri.*

2. Trona $Na^2 C^3 + 4 H$.

Kommt unter diesem arabischen Namen von Fezzan in den Handel, in Columbien heißt es *Urao*, Klaproth Beitr. III. 88 nannte es strahliges Natrum. Nach Haibinger (Pogg. Ann. 5. 807)

2 + 1gliedrig: eine geschobene Säule n/n vorn $132^\circ 30'$, auf deren scharfe Kante der deutlich blättrige Bruch M gerade aufgesetzt ist, gegen $Az c 49^\circ 25'$ geneigt, $T/n 103^\circ 45'$, die rhomboidische Säule $M/T 103^\circ 15'$.



Härte = 2—3, Gew. 2,1. Weiß, der Blätterbruch neigt zum Perlmutterglanz. Kommt in Platten vor, gegen welche die excentrisch strahligen Blättchen quer stehen. Braust stark mit Säure, hält sich aber an der Luft. In der Provinz Suchena zwei Tagereisen von Fezzan als jüngeres Gebilde, ebenso zu Lagunilla bei Merida in Columbien. Auch die Natronseen in Aegypten erzeugen dasselbe meist mit Zwischenlagen von Steinsalz, aus welchen die Mauern eines alten Kastells Quasser erbaut sein sollen, wozu sich Soda unmöglich eignen würde. Schon Plinius 31. 80 sagt, *Gerrhis Arabiae oppido muros domosque massis salis faciunt, aqua fer-ruminantes.* Die Darstellung der künstlichen Krystalle gelingt nicht immer,

man bekommt sie in Sodafabriken mehr durch Zufall (Pogg. Ann. 34. 100), auch kann man die natürlichen nicht umkrystallisiren lassen. Der Wassergehalt der kohlensauren Natronsalze ist sehr verschieden, je nach der Temperatur, unter welcher sie krystallisiren:

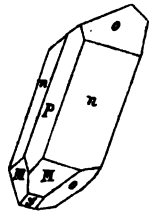
Thermonitrit, prismatisches Natronsalz Häbinger (Pogg. Ann. 5. 300) $\text{Na C} + \text{H}$, bildet sich beim Abdampfen der gesättigten Lösung zwischen 25° — 37° C (Pogg. Ann. 6. 87) in 2gliedrigen Tafeln $\text{M} = a : b : \infty c$ $96^{\circ} 10'$, die scharfe Kante durch $b = b : \infty a : \infty c$ gerade abgestumpft, $d = c : \frac{1}{2}b : \infty a$ $72^{\circ} 10'$ in Axe c, das Oktaeder $o = a : b : c$, auf M gerade aufgesetzt. Soll sich auch in warmen Gegenden finden.

$\text{Na C} + 5 \text{H}$ (Pogg. 32. 303) bildete sich in der Alaunfabrik zu Buxweiler im Elsaß zufällig, in „hemiprismatischen Oktaedern“.

$\text{Na C} + 7 \text{H}$ sind luftbeständige 2gliedrige Oblongtafeln, krystallisiren aus einer Lösung, die Natronhydrat enthält. Sind luftbeständig.

3. Gaylussit Boussingault.

Natrocacit. $\text{Na C} + \text{Ca C} + 5 \text{H}$ mit 33,8 kohlenf. Kalk. Findet sich in großer Menge zu Lagunilla südöstlich Merida in Columbien über der Trona im Thon um und um krystallisirt, Pogg. Ann. 7. 97. Nach Phillips (Pogg. Ann. 17. 356) 2 + 1gliedrig: eine blättrige Säule $\text{M} = a : b : \infty c$



bildet vorn $68^{\circ} 50'$; Schiefendfläche $\text{P} = a : c : \infty b$ dehnt sich gewöhnlich lang aus, macht vorn in P/M $96^{\circ} 30'$ und ist $78^{\circ} 27'$ gegen die Axe c geneigt; ein augitartiges Paar $o = a' : c : \frac{1}{2}b$ $110^{\circ} 30'$ in der Mediankante auf der Hinterseite; $n = a : c : \frac{1}{2}b$ aus der Diagonalzone von P bildet über P $70^{\circ} 30'$; eine dreifach schärfere $y = a' : 3c : \infty b$. Alle diese Flächen stehen in einem schönen Deductionsverhältniß, wie beim Feldspath. Optische Axen liegen in einer Schiefendfläche, die im Mittel 16° gegen

Axe c macht, b optische Mittellinie. $\text{H.} = 2$ —3, Gew. 1,9. Frisch sind sie klar, nach ein Paar Monaten verlieren sie aber Krystallwasser und werden trüb. Vor dem Löthrohr schmelzen sie leicht zu trüber Perle, im Wasser löst sich das Natronsalz, und der Kalk bleibt zurück, daher ist er zu Afterskrystallen besonders geeignet.

Calcit von Oberndorf bei Sangerhausen in Thüringen besteht aus trüben weißen Krystallen, die man für bauchige Rhombenoktaeder nehmen kann, ähnlich den Mißbildungen des rothen Blutlaugensalzes pag. 520. Sie sind auch in Ungarn und Schleswig vorgekommen und enthalten nach Karsten 94,4 Ca C. Man sah sie als Gaylussit an, der sein kohlensaures Natron und Krystallwasser

abgegeben hat.



Sulphate.

Die wasserbeständigen schwefelsauren Salze haben wir pag. 439—458 aufgeführt. Die Schweflige Säure und Schwefelsäure spielt aber in Vulkanen

und bei Zersetzungsprozessen der Schwefelmetalle noch eine bedeutende Rolle, wodurch eine Reihe von Salzen erzeugt wird, die jedoch meistens die Schönheit der künstlichen nicht erreichen. Witscherlich (Pogg. Ann. 18. 100) hat gezeigt, daß besonders die Selsäure Se, Chromsäure Cr und Mangansaure Mn isomorph mit Schwefelsäure sind.

1. Schwefelsaures Kali K S.

Arcanit und Glaaserit, denn es ist das Arcanum duplicatum oder das Sal polychrestum Glaseri der alten Chemiker, was man in so schönen künstlichen luftbeständigen Krystallen bekommt, und das als große Seltenheit in dünnen Krusten die Faven des Vesuvus von Zeit zu Zeit überzieht, Potassa Solfata Covelli Miner. Vesuv. 316. Bei der Bereitung der Salpetersäure, Essigsäure und englischen Schwefelsäure wird es als Nebenproduct bekommen.

Zugliedrig mit auffallend dihexaedrischem Typus, wie Witherit: $M = a : b : \infty c \ 120^\circ \ 24'$, $h = b : \infty a : \infty c$ stumpft die scharfe Säulentante ab, und ist blättrig, was sich beim Zersprengen mit dem Messer erkennen läßt. Octaeder $o = a : b : c$ nebst dem bauchigen Paare $i = c : \frac{1}{2}b : \infty a$, mit $67^\circ \ 38'$ in der Axe c, bilden eine scheinbar dihexaedrische Endigung. Daraus folgt $a : b = 0,7674 : 1,34$. Verschwinden die Säulen, so entstehen förmliche ringsum gebildete Dihexaeder. Ja die Täuschung geht noch weiter: es kommt noch ein oberes Octaeder $f = 2a : 2b : c$ mit der Zuspitzung $P = b : c : \infty a$, die unter sich wieder ein scheinbares Dihexaeder bilden, ganz wie beim Witherit pag. 433. Ebenso eine scheinbar 2te sechseitige Säule $e = a : \frac{1}{2}b : \infty c$ und $b = a : \infty b : \infty c$. Dieß alles kann zu Mißdeutungen verführen, aber schon die Zwillinge weisen zur richtigen Erkenntniß, sie haben die Säulenfläche M gemein und liegen umgekehrt. Schließen sich also auch in dieser Beziehung an die Arragonitgruppe an.

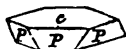


Die Ebene der optischen Axen ist bc , sie machen $67\frac{1}{4}^\circ$, welcher Winkel durch die Hauptaxe c halbiert wird. Man kann daher unmittelbar durch i die Farbenringe im Polarisationsmikroskop wahrnehmen.

$H. = 2-3$, Gew. 2,7. Es leuchtet, wenn es aus dem glasartigen Zustand in den krystallinischen übergeht (Pogg. Ann. 52. 451). Enthält 54 Ka, verknistert leicht, schmilzt, und zieht sich in die Kohle, wo sich Schwefelkalium reducirt, wie man mit dem Pulver auf befeuchtem Silberblech erkennt.

Selensaures Kali hat eine Säule von $120^\circ \ 25'$, Chromsaures Kali $120^\circ \ 41'$, Mangansaures Kali $121^\circ \ 10'$.

Das schwefelsaure Kali kommt auch rhomboedrisch vor (Witscherlich Pogg. Ann. 58. 400): wie der Kupferglimmer und Eisenglanz bildet er Tafeln durch Ausdehnung der Geradenfläche c , gegen welche die Rhomboederflächen P einen Winkel $P/c = 124^\circ$ machen. Sind optisch einaxig, und bilden sich in Seifensiederlauge.

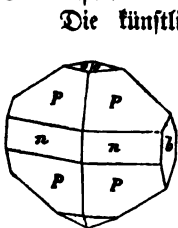


Misenerit (Scacchi Erdmann's Journ. 55. 66) $K S^2 + H$, bildet sich als

seidenglänzende Fasern im vulkanischen Luff der Grotte von Misene. Es ist das bekannte saure schwefelsaure Kali, welches aus der wässrigen Lösung 2gliedrig wie Schwefel, beim Erkalten nach dem Schmelzen zweiundeingliedrig ähnlich dem Feldspath krystallisirt.

2. Schwefelsaures Natron Na S.

Thenardit. Casaseca (Ann. chim. phys. XXXII. 188) fand es in den Salinas d'Espartinas bei Aranjuez, wo es sich Sommers in den aus dem Boden quellenden Salzwässern bildet.



Die künstlichen Krystalle sind nach Mitscherlich (Pogg. Ann. 12. 188) 2gliedrig, vorherrschend ein blättriges Rhombenoktaeder $P = a : b : c$, in der vordern Endkante $a : c = 135^\circ 41'$, seitlichen Endkante $b : c = 104^\circ 18'$; die rhombische Säule $n = a : b : \infty c$ macht vorn $129^\circ 21'$; die Abstumpfung der scharfen Säulenante $b = b : \infty a : \infty c$ sehr deutlich blättrig; Oktaeder $o = a : b : \frac{1}{2}c$ schärft die Endcke zu.

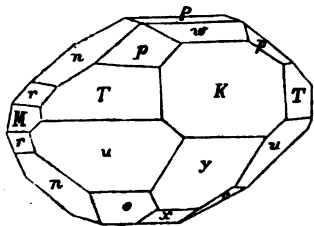
Härte 3, Gew. = 2,7. Zieht aus der Luft Wasser an, und überdeckt sich mit einem mehligten Beschlag, welcher die weitere Veränderung hindert. Wenn man dann die Krystalle hürstet, so werden sie wieder für eine Zeit lang glänzend. Wasserfreies Salz.

Schwefelsaures Silberoxyd Ag_2S , selsaures Natron Na_2Se und selsaures Silberoxyd Ag_2Se sind damit isomorph. Auch der übermangansaure Baryt hat die gleiche Form.

Schwefel- und Selsaures Natron haben die merkwürdige Eigenschaft, daß sie bei 33°C am löslichsten sind, erhitzt man stärker, so krystallisiren sie wasserfrei heraus, daher muß in Spanien das Wasser Sommers über 33°C warm sein, denn unter dieser Temperatur erhält man wasserhaltiges

Glaubersalz $\text{Na}_2\text{S} + 10 \text{H}$, Sal mirabile Glauberi, daher Mirabilit Gaidinger. Man bekommt es in ausgezeichneten künstlichen Krystallen, die aber durch 8 Atom Wasserverlust zu Mehl von $\text{Na}_2\text{S} + 2 \text{H}$ zerfallen. Wie das Chromsaure Natron $\text{Na}_2\text{Cr} + \text{H}$ krystallisirt es

2 + 1gliedrig: Säule $T = a : b : \infty c$ bildet vorn den scharfen



Säulenwinkel von $86^\circ 31'$, der deutliche Blätterbruch $M = b : \infty a : \infty c$ stumpft die stumpfe seitliche Säulenante gerade ab, am größten pflegt $k = a : \infty b : \infty c$ zu sein, welche die scharfe vordere Säulenante gerade abstumpft. Die vordere Schiefendfläche $P = a : c : \infty b$ neigt $72^\circ 15'$, und die hintere Gegenfläche $x = a' : c : \infty b$

$75^\circ 19'$ gegen die Axe c ; das hintere Augitpaar $o = a' : c : \frac{1}{2}b$ fällt in die Diagonalzone von x und die Rantenzone T/P ; $y = \frac{1}{2}a' : c : \infty b$, $n = a : c : \frac{1}{2}b$, $u = \frac{1}{2}a' : \frac{1}{2}b : c$, alles Ausdrücke wie die gleichnamigen Buchstaben beim Feldspath; $w = \frac{1}{2}a : c : \infty b$, $p = \frac{1}{2}a : \frac{1}{2}b : c$, $r = a : c : \frac{1}{2}b$.

Härte = 2, Gew. 1,5. Man muß es in feuchten Gläsern bewahren, wenn die Krystalle nicht zerfallen sollen. Als mehliges Beschlag von bitter kühlem Geschmack auf Gyps und Steinsalz häufig. Meerwasser und Salzsäure enthalten es. $Mg\ S$ und $Na\ Cl$ zerlegen sich bei -3° so, daß Glaubersalz entsteht, und $Mg\ Cl$ in der Flüssigkeit bleibt (Elton-See), daher läßt man es Winters aus der Mutterlauge auskrystallisiren. In einer Höhle von New-Albany (Indiana) in großer Menge, bei Logroño am Ebro mit Steinsalz wechsellagernd. In der Soole und den Abraumsalzen von Staßfurt, unter den Efflorescenzen des Besuws. Als Arzneimittel und für Glasbereitung wichtig.

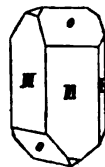
Mascagnin $Am\ S\ H$, Schwefelsaures Ammoniak mit einem Atom Wasser, kommt wie Salmiak als Sublimat bei Steinkohlenbränden und in Vulkanen hin und wieder vor. Die künstlichen Krystalle sind 2gliedrig, rhombische Säule $a : b : c$ $107^{\circ}\ 40'$, $b : c$ $a : c$ etwas blättrig, Oktaeder $a : b : c$, und Abstumpfung der vordern Endkante des Oktaeders $a : c : c$. Lecontit $Na\ Am\ S^2\ H^4$ kommt 2gliedrig in Höhlen von Honduras vor, die Schwärmen von Fledermäusen zum Aufenthalt dienen, aus deren Excrementen sie entstehen (Silliman Amer. Journ. 26. 354).

3. Bittersalz $Mg\ S\ H^7$.

Magnésie sulfatée, Haarfalz, Epsomit. Als wichtiges Arzneimittel schon lange gekannt; aber schwer bei Schriftstellern des Alterthums von andern Salzen zu scheiden.

2gliedrig mit scheinbar tetraedrischer Hemiedrie. $a : b = \sqrt{3,008} : \sqrt{3,068}$.

Säule $M = a : b : c$ macht vorn $90^{\circ}\ 38'$, $B = b : c$ $a : c$ in der scharfen Kante ist etwas blättrig, und da sie regelmäßig erscheint, so geht schon daraus hervor, daß die Säule nicht quadratisch ist, wie Hauy nahm. Man darf sie übrigens bloß unter das Polarisationsmikroskop bringen, um sogleich den Irrthum zu erkennen. Das Oktaeder $o = a : b : c$ dehnt sich gar gern tetraedrisch aus, wie aus der Dachkante o/o an beiden Enden folgt, die kreuzweis einander gegenüber stehen. Es sind rechte und linke Krystalle möglich. Klein sind übrigens auch die Flächen des Gegentetraeders vorhanden, und da dieselben das gleiche physikalische Aussehen haben, so erscheint die Hemiedrie nicht recht durchgreifend. Im vollständigen Oktaeder schneiden sich die Kanten $a : c$ fast genau unter 120° , da das Verhältniß $1 : \sqrt{3}$ gibt. An künstlichen Krystallen kommt $r\ 101, q\ 011, 211, 121, 021, 201$ zc. vor.



Die optischen Axen liegen ungewöhnlicher Weise in der Geradenfläche $c : c$ $a : c$, die senkrecht auf den Blätterbruch B steht, Axe b fällt mit der optischen Mittellinie zusammen, welche den Winkel der Axen von $37^{\circ}\ 24'$ halbirt (Pogg. Ann. 82. 11), jede Säulenfläche zeigt daher einen Axenring.

Härte = 2—3, Gew. 1,8. Salzig bitter, von anhängendem Chlormagnesium feucht. Auf glühende Kohlen geworfen schmilzt es zu einer weißen schwammigen Masse, darauf geblasen schmilzt der Schwamm zu einer Kugel,

die sehr schön leuchtet. Künstlich kann man sehr große wohlgebildete Krystalle haben, in der Natur aber kommen sie meist nur als haarige Ausblühungen vor. In den Kohlengruben bei Offenburg am Schwarzwalde fliegen kleine Glittern in der Luft herum, die sich fortwährend im Schieferthon zwischen dem Anthracit erzeugen. Das Haarsalz aus dem Alaunschiefer der Quecksilbergruben von Idria (Klaproth Beiträge III. 104), die schneeweißen Nadeln aus den Gypsbrüchen von Calatayud in Arragonien, die safrig derben von Szamobar in Kroatien zc. sind bekannt. Stalactitisch zu Herrengrund bei Neusohl von schöner blaß rosenrother Farbe, die von Kobaltvitriol herrührt. Beim Reiben wird es naß von eingeschlossener Mutterlauge. Die Steppen von Sibirien decken sich damit nach Regen wie mit Schnee. In den Talkschiefen von Oberitalien entsteht das Salz durch Zersetzung von Schwefelkies. Gypslösungen im Dolomit erzeugen Bittersalz, ebenso die Seen ohne Abfluß, besonders bei Kälte, weil das Salz dann viel unlöslicher im Wasser ist. Die Schweizer sammeln es daher auch an den Gletschern (Gletschersalz), obwohl es hier sehr unrein ist, und schon an Federalaun erinnert. Besonders Ruf haben die Bittersalzquellen von Epsham in England (daher Epsonsatz), Saidschütz und Seidlitz in Böhmen zc. In den Braunsalzen von Staßfurt mengt sich Bittersalz mit Steinsalz zu weißen feinkörnigen Massen, dasselbe hat aber weniger Wasser $Mg\ S\ H$, kaum über 1 Atom. Ja Karsten nannte ein solches Gemenge Martinsit $10\ Na\ Cl + Mg\ S$, worin wie im Anhydrit die schwefelsaure Magnesia ohne Wasser vorkäme. Es ist das für die Erklärung der Gypsgruppe vielleicht von Wichtigkeit.

Zinkvitriol (weißer Vitriol) $Zn\ S\ H^7$ krystallisirt genau wie Bittersalz. Die Säule $90^\circ\ 42'$. Außerlich dem Bittersalz vollkommen gleichend, vor dem Löthrohr auf Kohle leuchtet die Probe grünlich. Mischt sich leicht mit Bittersalz. In der Natur entsteht er durch Verwitterung der Blende, besonders wo die Erze durch Feuersetzen gewonnen werden, wie zu Falun, Goslar, Schmennitz.

Nickelvitriol $N\ S\ H^7$ nur künstlich bekannt: unter $15^\circ\ C$. 2gliedrig in schön grünen Säulen von $91^\circ\ 10'$, wie die vorigen: über 15° aber in scharfen viergliedrigen Oktaedern mit einem Seitenkantenwinkel von $139^\circ\ 18'$. Setzt man daher 2gliedrige Krystalle in verschlossenen Gefäßen der Sonnenwärme aus, so stehen sie um, indem sich innen lauter kleine Quadratoctaeder bilden, und werden dadurch matt und brüchig (Pogg. Ann. 12. 146). Bei $30'$ sogar $2 + 1$ gliedrig, daher trimorph!

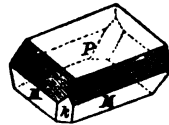
Wie die Temperatur auch in der Natur einwirkte, beweist der interessante

Lauriszeit (Volger Jahrb. 1855. 122), welchen Hr. Dr. Lusser in Altdorf in einem großen körnigen Klumpen auf der Windgälle etwa 7000' hoch fand. Lockere hellgrüne scheinbar viergliedrige Säulen sind mit einzelnen Krystallen wie $2 + 1$ gliedrigem Eisenvitriol gemischt. Das Polarisationsmikroskop beweist sofort durch die Lage der Axen, daß wir es mit Bittersalzform zu thun haben. Volger fand die Flächen 111, 100, 010, 110, 101, 011,

120, 211, 121, 221. Es liefert das eine der interessantesten Bereicherungen dieser Gruppe. Zweigliedrig und isomorph mit Bittersalz sind Selen-säure und Chromsaure Bittererde, Selen-saures und Chromsaures Zinkoxyd 2c., versteht sich alle mit 7 Atom Wasser. Nach Haidinger (Pogg. Ann. 6. 101) bilden sich Bittersalz und Zinkvitriol aus concentrirten Lösungen bei höherer Temperatur in 2 + 1gliedrigen borazartigen Krystallen.

Es sind hier neben Bittersalz noch eine ganze Reihe zusammengesetzter Salze zu nennen. Darunter zeichnen sich folgende drei aus:

a) **Glauberit** (Brongniart Journ. min. 1808. XXIII. a), Brongniart'sn Leonh. $\text{Na S} + \text{Ca S. 2} + 1$ gliedrige ringsum gebildete Krystalle: $\text{M} = \text{a} : \text{b} : \infty$ bildet eine kurze Säule vorn mit $83^\circ 20'$. Schiefen-fläche $\text{P} = \text{a} : \text{c} : \infty$ ist blättrig und $68^\circ 16'$ gegen die Axe c geneigt. Kante P/M wird durch ein Angitpaar m abgestumpft, $116^\circ 36'$ in der Mediankante machend, und stark gestreift parallel der Kante P/M. Meist zur Hauptsäule ausgebreitet, und daran leicht erkennbar. An der kurzen Säule liegt $\text{k} = \text{a} : \infty : \infty$. Die Krystalle sind klar und gelblich weiß, überziehen sich aber an der feuchten Luft mit einer mehligten Rinde von Glauber-salz. Härte = 2—3, Gew. 2,8. Ebene der optischen Axen liegt fast senkrecht auf dem leicht darstellbaren Blätterbruch und geht Axe b parallel. Man darf daher nur Stücke abspalten. Der Axenwinkel ist sehr klein, auf warmes Glas gelegt gehen die Axen zusammen, und dann nach der Axenlinie a auseinander. Eignet sich daher zu diesem Experiment ganz vortrefflich.



Vor dem Röthrohr schmilzt es leicht, im Wasser verliert es seine Durchsichtigkeit, weil die 51 p. C. Na S ausgezogen werden und die 49 Ca S sich zum größten Theil ausscheiden. Besonders schöne Krystalle im Steinsalz von Villarubia bei Ocaña, Provinz Toledo; bei Vic bildet es unreine knotige Concretionen im Salz, zu Aufsee und Berchtesgaden sehr schöne fleischrothe blättrige Massen, die aber optisch nicht stimmen wollen.

b) **Polyhalit** Stromeyer (Commentationes Soc. Reg. Götting. rec. 1820. IV. 100) πολυ viel, als Salz, weil er aus drei Salzen $\text{K S} + \text{Mg S} + 2 \text{Ca S} + 2 \text{H}$ besteht. Er bildet im rothen Steinsalz von Ischl, Aufsee, Berchtesgaden derbe rothe Massen von gelblich grauen Strahlen durchzogen, die äußerlich an undeutlichen Faser-gypss erinnern, aber vor dem Röthrohr leicht zu einer Perle schmelzen. Nach längerem Blasen bleibt eine weiße Schlacke zurück. Haidinger (Pogg. Ann. 11. 400) wies darin zwei gleiche Blätterbrüche nach, die sich unter 115° schneiden, und deren scharfe Kante durch eine dritte Fläche gerade abgestumpft wird. Härte 3, Gew. 2,8.

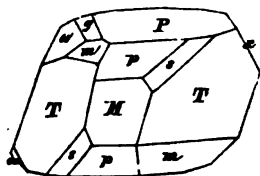
c) **Astrakanit** G. Rose (Reise Ural II. 270) $\text{Na S} + \text{Mg S} + 4 \text{H}$, von unbekannter Krystallform, bildet sich auf dem Boden der Karrbuanschen Seen an der untern Wolga unter einer Kochsalzschicht, und war früher Handelsartikel. Aehnliche Bildungen scheinen zu Seidlitz und Saidschütz (Russin) vorzukommen. Auch der krümelige Blödit von Ischl soll dieselben Bestandtheile haben. Er sitzt auf Anhydrit wie der ähnliche Löweit. Pikro-

merit $K Mg S^2 H^6$ steckt in den Salztrüsten der Fumarolen des Vesuv (Noth der Besuv 323), wie das blaue Chanochrom $K Cu S^2 H^6$.

4. Eisenvitriol $Fe S^2 H^7$.

Suckow will nur 6 H. Fer sulfat. Grüner Vitriol, Melantherit, Atramentum sutorium Plin., weil die Schuster damit ihr Leder schwarz färben. In künstlichen Krystallen vorzüglich zu haben.

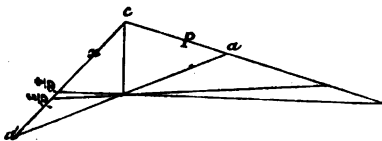
2 + 1gliedriges Krystallsystem, von rhomboedrischem Habitus. Haug und Mitscherlich nahmen ihn daher noch rhomboedrisch, was für die Orientirung oftmals auch gar nicht unzuweckmäßig ist: $T = a : b : \infty$ bildet vorn die scharfe Säulenkannte $82^\circ 21'$; Schiefendfläche $P = a : c : \infty$ ist $75^\circ 40'$ gegen Axe c geneigt, und bildet hinten die scharfen Kanten PT $80^\circ 37'$, die nur $1^\circ 44'$ vom vordern Säulenwinkel T/T abweichen. Nun ist P zwar blättriger als T/T , allein bei künstlichen Fossilien bleibt die scharfe Unterscheidung der Blätterbrüche immerhin eine mißliche Sache. Daher



konnte TTP wohl für ein Rhomboeder gehalten werden. Die hintere Gegenfläche $x = a : c : \infty$, $43^\circ 32'$ gegen Axe c , bildet zum Rhomboeder die Geradendfläche. Eine vordere Schiefendfläche $w = \frac{1}{2}a : c : \infty$ und das Augitpaar $p = a : c : \frac{1}{2}b$ $69^\circ 17'$ in der Mediankannte erzeugen das nächste schärfere Rhomboeder. $M = b : \infty$

$\infty a : \infty c$ stumpft die stumpfe Säulenkannte gerade ab, auch fehlt $m = \frac{1}{2}a : \frac{1}{2}b : c$ die stumpfe Kante PT abstumpfend gewöhnlich nicht, und eine kleine Schiefendfläche $g = \frac{3}{2}a : c : \infty$ Kante P/w vorn abstumpfend ist höchst wichtig für die Orientirung. Oft ist die hintere Kante T/p durch $s = a' : \frac{1}{2}b : c$ abgestumpft. Selten stumpft $n = a : c : \frac{1}{2}b$ die Kante M/p ab.

Wenn wir hinten $x = a' : c : \infty$ setzen, so schneiden sich die Axen



a c vorn unter dem sehr schiefen Winkel von $68^\circ 25'$. Setzen wir dagegen die Fläche $x = \frac{1}{2}a' : c : \infty$, und führten in dieser Weise eine Projection aus, so bekämen die Vitriolflächen

$PTMxpws$ die Ausdrücke

$PTMynntv$ vom Feldspath. Allein auch in diesem Falle ist der Axenwinkel a/c vorn immer noch $85^\circ 30'$. Setzen wir dagegen $x = \frac{1}{2}a' : c : \infty$, so kommt nach der Basalformel pag. 65 Axenwinkel a/c vorn $89^\circ 43'$, der also kaum vom rechten abweicht. Darnach würde $p = a : c : \frac{1}{2}b$, $m = \frac{1}{2}a : \frac{1}{2}b : c$, $s = \frac{1}{2}a' : \frac{1}{2}b : c$, $n = a : \frac{1}{2}b : c$, $w = \frac{1}{2}a : c : \infty$ und $g = \frac{3}{2}a : c : \infty$.

Setzt man dagegen mit Raumann von $P = a : \infty b : \infty c$ als Geradendfläche aus, so ist $x = a' : c : \infty$, $m = a : b : c$, $w = a : c : \infty$, $p = b : c : \infty$, $s = a' : c : \frac{1}{2}b$, $g = 3a : c : \infty$, $n = c : \frac{1}{2}b : \infty$,

freilich einfachere Ausdrücke, die aber doch den Vortheil rechtwinkliger Axen nicht aufwiegen. So ist es also immer nur der Zusammenhang der Zonen, wovon das Wesen des Verständnisses abhängt. Denn dieser bleibt für jede Ansicht gleich.

Die optischen Axen liegen in der Symmetrieebene $M = b : \infty a : \infty c$ auf einander senkrecht, und zwar macht, durch den Mittelpunkt gelegt, die vordere etwa 75° mit c , die hintere 15° mit c : durch P sieht man die hintere, durch w die vordere, man kann daher den Blätterbruch bequem zu Hilfe nehmen, $\varphi < v$.

Grün, die charakteristische Farbe der Eisenoxydulsalze, Härte = 2, Gew. 1,8. Ein zusammenziehender Dintengeschmack. Beschlägt sich an der Luft mit einer Schicht von schwefelsaurem Eisenoxyd, die ihn vor weiterer Verwitterung schützt.

Vor dem Löthrohr gibt er schnell sein Wasser unter Kochen ab, und reducirt sich dann zu einer schwarzen magnetischen Schlacke. In Kolben gibt er, so lange Eisenoxydul vorhanden, schweflige Säure.

Auf Erzgruben ein häufiges Zerfetzungsproduct, wo er sich zu Goslar, Falun, am Graul zu Schwarzenberg u. nicht selten in großen Stalactiten bildet. Berühmt wegen ihrer mit dicker Kruste überzogenen Krystalle ist die Grube Gießhübel bei Bodenmais, wo sie sich durch Zerfetzung des Magnetkieses erzeugt haben. Wo fein vertheiltes Schwefeleisen den Boden durchzieht (Malauschiefer), da erzeugen sich immer weißgrüne haarige Auswüchse, die schon durch ihren Dintengeschmack sich als Eisenvitriol zu erkennen geben, namentlich erzeugen sich solche unangenehme Krystallisationen auch noch in unsern Mineraliensammlungen, zerfressen die Schachteln, und disponiren nebenliegende Schwefelkiese ebenfalls zur Zerfetzung. Wegen seiner Anwendung in der Färberei wird er sonderlich aus Schwefelkies im Großen dargestellt, und hier kann man daher die vortrefflichsten Krystalle bekommen, die luftbeständig sich blos an der Oberfläche braun beschlagen.

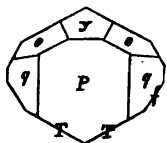
Kobaltvitriol $\text{Co S} + 7 \text{ H}$ bildet sich in rosenrothen traubigen Ueberzügen zu Viber in Hessen (Viberit), als Seltenheit auch zu Wittichen, selbst in alten Mineraliensammlungen auf Speiskobald (Pogg. Ann. 60. 222). Die künstlichen haben eine Säule von $82^\circ 25'$, sind folglich isomorph mit Eisenvitriol.

Manganvitriol $\text{Mn S} + 7 \text{ H}$ krystallisirt bei einer Temperatur unter 5° in denselben Krystallen, wie Eisenvitriol, bei höherer jedoch werden sie eingliedrig, aber von anderer Form als Kupfervitriol (Mitscherlich Pogg. Ann. 11. 220).

Besonders leicht mischt sich Eisenvitriol mit Kupfervitriol, ohne dabei seine Form einzubüßen. Es bilden sich dann große scheinbare Rhomboeder PTT, die besonders schön zu Burgweiler im Elsaß dargestellt werden. Mallet gibt bei Irlandschen 65,7 Kupfervitriol an. Sie haben eine blaue Färbung, und man darf sie nur in Wasser lösen, so beschlägt sich Eisen mit Kupfer. Rammelsberg (Pogg. Ann. 91. 222) hat die Sache weiter verfolgt. Keine Eisenvitriole zeichnen sich schon durch ihren größern Flächenreichtum vor diesen veredelten aus.

Mitscherlich (Pogg. Ann. 11. 220) hat bei 80° zweigliedrige Krystalle bekommen, die nur halb so viel Wasser als der Eisenvitriol hatten. Durch Auflösen von Eisenvitriolkrystallen in Schwefelsäure will er sogar gypsartige mit 2 H dargestellt haben.

Botryogen Hädinger (Pogg. Ann. 12. 401) in der Kupfergrube von Falun als rother Eisenvitriol bekannt: $\text{Fe}^3 \text{S}^2 + 3 \text{Fe}^2 \text{S}^2 + 36 \text{H}$ gemengt mit Mg S. Hat große Neigung, kleine Kugeln zu bilden, die sich wie Traubenbeeren an einander häufen. Die kleinen 2



+ 1gliedrigen Krystalle zeigen kurze Säulenflächen $T = a : b : \infty c \ 119^{\circ} 56'$, die etwas blättrig sein sollen, die Schiefenfläche $P = a : c : \infty b$ macht mit $T \ 113^{\circ} 37' = P/T$, das hintere Augitpaar $o = a' : \frac{1}{2}b : c$ in der Medianante $125^{\circ} 22'$, alles Winkel, die dem Feldspath nahe stehen: aber es ist $q = a : b : c$, $f = a : \frac{1}{2}b : \infty c$ und $y = a' : \frac{1}{2}c : \infty b$. Dunkel hyacinthroth ins Ocker gelbe mit Durchscheinheit. Härte = 2, Gew. = 2.

In der Provinz Coquimbo Distrikt Copiapo, dem nördlichsten der Republik Chili, kommen in einer Gegend, wo es niemals regnet, dem Granit nachbarlich Vitriolsalze vor, die H. Rose analysirte (Pogg. Ann. 27. 200), am häufigsten darunter ein neutrales schwefelsaures Eisenoxyd.

Coquimbite $\text{Fe}^3 \text{S}^5 \text{H}^9$, feinkörnige Masse von weißer Farbe mit einem Stich in's Violet: reguläre sechsseitige Säulen mit Dihexaeder von 128° in den Endkanten und Geradenfläche, auch eine Rhombenfläche kommt hin und wieder vor. Das Salz bedeckt sich mit basisch schwefelsaurem Eisenoxyd $\text{Fe}^2 \text{S}^5 \text{H}^{12}$ (Copiapit), gelbe durchscheinende Krystalle, von sechsseitigen Tafeln, die wahrscheinlich nicht regulär sind, aber einen Blätterbruch mit Perlmutterglanz wie Gyps haben. Dazwischen lagert Stypicit $\text{Fe}^2 \text{S}^2 \text{H}^{10}$ in gelblichgrünen seidenglänzenden Fasern, die sich zu Kugeln gruppieren, und safrigen Fibroferit $\text{Fe}^3 \text{S}^5 \text{H}^{27}$. Wässrige Lösungen von Eisenvitriol lassen bekanntlich einen gelben ockerigen Niederschlag von basisch-schwefelsaurem Eisenoxyd fallen. Ähnliche Vitriolocker bilden sich in den Gruben von Goslar und Falun. Berzelius untersuchte einen von $\text{Fe}^2 \text{S}^5 \text{H}^6$. Bei der Zersetzung von Schwefellies entsteht nicht bloß Vitriol, sondern nebenbei ein gelbes Mehl, welches ohne Zweifel zu solchen basischen Salzen gehört. Auch der Apatelit $\text{Fe}^3 \text{S}^5 \text{H}^2$ im Thone von Auteuil bei Paris hat solchen Ursprung. Das merkwürdigste Ding dieser Art bildet der noch von den heutigen Vergleuten so genannte

Misy Plinius 34. 21, Galenus simpl. med. temp. et fac. 9. 21 und 9. 24, Agricola 589 (Gel Atrament), gelber Atramentstein Wallerius Spec. 178, ein schwefelgelbes körnig krystallinisches Mehl, das im Wasser sich nicht löst. Nach Hausmann kommt es in kleinen vierseitigen Tafeln im Rammelsberge bei Goslar vor. Soll im Wesentlichen schwefelsaures Eisenoxyd sein ($\text{Fe}^2 \text{S}^5 \text{H}^6$), mit etwas Zinkvitriol und Bittersalz gemischt. Also wasserarmer Copiapit. Verwandt damit scheint auch Römerit (Grailich Sitzungsber. Wien. Akad. 1858. XXVIII. 272), röthlichgelbe sechsseitige Tafeln von

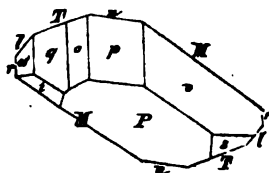
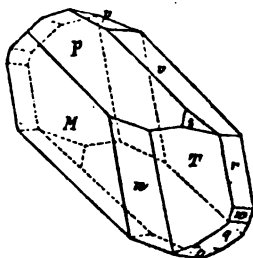
etwa 100° , mit einer blättrigen Schiefendfläche. Im kalten Wasser lösen sie sich, und lassen Misch fallen. Er findet sich auf den alten neuerlich wieder durchwühlten Halden des Rammelsberges, und ist offenbar aus Eisenvitriol entstanden. $\text{Fe S}^3 + (\text{Fe, Zn, Mn, Mg}) \text{S} + 12 \text{H}$. Möglicher Weise mit Coquimbait stimmend.

Uranvitriol (Johannit) lebhaftes Grasgrün. Gew. 3,2, $\text{S} = 2$, 2 + 1gliedrig, ähnlich der Trona pag. 521. Fund sich 1819 bei Wiedereröffnung einer alten Strecke der Elias-Zeche bei Joachimsthal nierenförmig auf Uranpecherz.

5. Kupfervitriol.

Cu S A^5 , blauer Vitriol, Chalcantum Plin. 34. 32. Cyanose.

Eingliedriges Krystallsystem (Kupfer Bogg. Ann. 8. 212) vom Typus des Arinit. Künstlich kann man die schönsten Krystalle haben: $\text{T} = \text{a} : \text{b} : \infty$ bildet nahezu ein Rechteck ($88^\circ 48'$), weshalb man sie leicht findet, und macht mit $\text{M} = \text{a} : \text{b}' : \infty$ eine rhomboidische Säule $\text{M/T} = 122^\circ 31'$. Eine Doppelschiefendfläche $\text{P} = \text{a} : \text{c} : \infty$ bildet in Kante P/T $127^\circ 24'$, in P/M $108^\circ 12'$; eine hintere Gegenfläche $\text{p} = \text{a}' : \text{c} : \infty$ liegt mit P und $\text{n} = \text{a} : \infty : \infty$, welche die stumpfe Säulenlante T/M abstumpft, in einer Zone, $\text{P/n} = 120^\circ 51'$, $\text{T/n} = 148^\circ 47'$. Die Abstumpfungsfäche der scharfen Säulenlante $\text{r} = \text{b} : \infty : \infty$ bestimmt in P und p die Diagonalzone. Daraus ergibt sich in Zone p/r und P/T die $\text{o} = \text{a}' : \frac{1}{2}\text{b}' : \text{c}$ und in Zone p/r und P/M die $\text{v} = \text{a}' : \frac{1}{2}\text{b} : \text{c}$. Vorn dagegen in P/r und v/n die $\text{s} = \text{a} : \frac{1}{2}\text{b} : \text{c}$. Die Säulenfläche $\text{l} = \text{a}' : \frac{1}{2}\text{b}' : \infty$ stumpft die Kante T/r ab und liegt zugleich in o/s . Daraus ergibt sich dann $\text{q} = \text{a}' : \text{c} : \frac{1}{2}\text{b}'$ in P/l und r/p gelegen. Fläche $\text{i} = \text{a} : \text{c} : \frac{1}{2}\text{b}'$ stumpft P/r und q/M ab, endlich $\text{w} = \text{a}' : \frac{1}{2}\text{b}' : \text{c}$ Kante q/r und fällt dabei in Zone i/n . $\text{P/w} = 101^\circ 54'$ leicht controlirbar, da sich P und a nicht selten gleich einem augitartigen Paar stark ausdehnen. Stellen wir also die Säule M/T aufrecht, P nach vorn, und s nach rechts, so ist die Diagonalzone von p hinten links am reichsten entwickelt, aber alle Flächen lassen sich leicht aus den Zonen bestimmen. Die Größe der Axen und Axenwinkel haben kein Interesse, denn am bequemsten kommt man durch Triangulation zur Kenntniß der Winkel, wobei einem die Projection fast unentbehrlich wird. Von den



Optischen Axen pag. 116 (Bogg. Ann. 82. 6a) geht eine der Kante P/T parallel; die andere liegt in $\text{n} = \text{a} : \infty : \infty$, und halbirt fast genau den stumpfen Winkel ($112^\circ 56'$), welchen Kante P/n und n/T mit einander machen. Die Axen schneiden sich unter 45° und ihre Ebene steht senkrecht

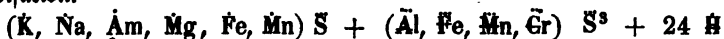
auf P. Lasurblau bis Spangrün, Gew. = 2,25, Härte 3. Bildet sich auf Grubenbauen durch Zersetzung des Kupfertiefes, doch bedarf man derselben wegen der Pracht der künstlichen nicht! Da er sich im Wasser leicht löst, und sich auf hineingehaltenem Eisen das Kupfer gebiegen niederschlägt, so werden die Vitriolwasser auf den Gruben in Goslar, Salun, Herrengrund u. auf Cementkupfer benutzt. Findet besonders in der Färberei Anwendung. Schon Plinius 34. 32 erzählt seine Bereitung in Spanien ausführlich, und sagt, daß man die Lauge in Bottige schütte und Stricke hineinhänge, quibus adhaerens limus, vitreis acinis imaginem quandam uvae reddit . . . , color est caeruleus, vitrumque esse creditus, woher der Name vitriolum Agricola 589 seinen Ursprung hat. Das Schwefelsaure Silber krystallisirt ohne Wasser, und bildet sich erst mit concentrirter Säure in hoher Temperatur und beim Rösten der Schwefelerze. In der Hitze zerfällt es sich schwerer als Eisen- und Kupfervitriol, kann daher nach dem Rösten mit heißem Wasser ausgelaugt werden.

6. Alaun.

Alumen Plinius 35. 52, Alaun Agricola 703, englisch Alum, französisch Alun.

Reguläre Oktaeder mit abgestumpften Ecken und Kanten, Oktaeder und Würfel kommen jedes für sich selbstständig vor, das Granatoeder aber nicht. Schon Haüy kannte Zwillinge, sind aber nicht gewöhnlich. Gew. 1,7—2, ρ . = 2—3, Geschmack süßlich zusammenziehend. Da Kalialaun in heißem Wasser 25mal löslicher als im kalten ist, so eignet er sich ganz besonders zur Bereitung künstlicher Krystalle. Gewöhnlich krystallisiren Oktaeder, allein von Tolsa und Beglückte Hoffnung im Bayreuthischen bekommt man vollständige Würfel. Gießt man nämlich zur Lösung Soda, so bildet sich ein Niederschlag, der wieder gelöst wird, wenn man nicht zu viel Soda hinzusetzt, man nennt das neutralen Alaun, der basisch schwefelsaure Thonerde enthält ($\text{Al}^3 \text{S}^6$), und läßt man das verdampfen, so krystallisiren Würfel. Schon Dr. Leblanc beschäftigte sich mit Verfertigung von Krystallen (Annales phys. 1788. XXIII. 275): läßt man sie mehrmals umkrystallisiren, so kommen Oktaeder mit abgestumpften Kanten; setzt man aber phosphorsaures oder salpetersaures Natron zu, so kommen vollkommene Oktaeder ohne abgestumpfte Kanten; auf Zusatz von salpetersaurem Kupfer kommen Oktaeder mit Würfel. Macht man die Lösung durch K C basisch, so krystallisiren Würfel heraus. Und für Haüy war es kein geringer Triumph, daß ein Alaunoktaeder in eine Flüssigkeit gelegt, welche Würfelflächen liefert, die Würfelflächen gemäß seiner Decreescenzgesetze bekam. Deudant (Annal. chim. phys. VIII. 6) suchte zu zeigen, daß die Krystalle einfach würden, wenn in der Lauge keine fremdartige Theile suspendirt sind. In verschlossenen Gefäßen über 100°C . erhitzt, bekam er einfache Granatoeder, selbst Leucitoeder! Weber (Pogg. Ann. 109. 220) bekam sogar in concentrirter Salzsäure untergeordnete Pyritoeberflächen $\frac{1}{2}$ (a : 2a : ∞ a). Schon Leblanc brachte es durch Ummenden der Krystalle

dahin, ganz beliebige Ausdehnungen einzelner Flächen zu erlangen. Lamellar-polarisation.



Die Formel ohne Wasser hat die Form des Feldspath's, und liefert ein wichtiges Beispiel für Isomorphismus. Vor dem Löthrohr entweicht das Wasser, es bildet sich gleich eine weiße aufgeblähte Schlacke, die mit blendendem Lichte leuchtet, und mit Kobaltlösung blau wird, was die Thonerde anzeigt.

Bildet sich in der Natur in Schieferthonen und Kohlengebirgen, welche von fein vertheiltem Schwefelkies durchdrungen sind (Alaunschiefer), bei Andrarum in Norwegen ist es Uebergangsgebirge, zu Dedendorf bei Hall Rettenkohl, zu Whitby in As, bei Freienwald und Burgweiler Braunkohlengebirge u. Frisch gegraben zeigt der Schiefer oft nicht die Spur von Alaun, allein an der Luft, namentlich durch Feuer unterstützt, erzeugt der Schwefelkies Schwefelsäure, die an K, Fe und Al tritt; das schwefelsaure Eisenorydul wird leicht zu basischem Oxydsalze, wodurch wieder verwendbare Schwefelsäure entsteht. Kalkreichthum wird nicht gern gesehen, weil sich daraus auf Kosten des Alauns Gyps bildet. Gewöhnlich ist Mangel an Alkali, was durch Zusatz verbessert wird. Vergleiche auch den Alaunstein.

Hauptanwendung in der Färberei als Beizmittel. Man macht daraus einen neutralen Alaun, der beim Erhitzen seine Thonerde leicht an vegetabilische Faser oder thierische Kohle abgibt.

Kalialaun $K S + Al S^3 + 24 H$. Weil Kali die stärkste Basis, so ist der unreine im Flözgebirge und in Vulkanen am gewöhnlichsten. In $\frac{2}{3}$ Theilen heißem Wasser löslich. Berühmt der römische Alaun von Tolfa, zwar trüb und röthlich von Eisenoryd, allein die Unreinigkeit ist nur mechanisch darinnen enthalten und schlägt sich in den Waschgefäßen zu Boden. Kalialaun der Solfatara von Pozzuoli bei Neapel und in der Grotte Capo di Miseno führte, ehe man etwas von der Gegenwart des Kali im Steinreich wußte, zu der damals schwierigen Frage, woher bekommen die Vulkane dieses „Gewächskalkali“? Klaproth Beitr. I. 215.

Natronalaun $Na S + Al S^3 + 24 H$, ist im Wasser viel löslicher, man kann ihn daher nur aus sehr concentrirten Lösungen, am besten unter einer Weingeistsschicht, die der Lösung Wasser entzieht, darstellen. Deshalb muß auch Kali- und Ammonialalaun frei von Natron sein. Obgleich eben so brauchbar, so verwittern doch seine Krystalle. Weiße Seidenartige Fasern kommen in der Solfatara auf Milo und bei Mendoza 30° S. B. auf der Ostseite der Anden vor.

Ammonialalaun $\text{Am} S + Al S^3 + 24 H$ (Ischermig) bildet im Braunkohlengebirge von Ischermig an der Eger bei Raden in Böhmen fettglänzende querstrahlige Platten, die das Braunkohlenlager nach Art des Faser-gypses durchschwärmen. Streut man das Pulver mit Soda gemischt auf glühende Kohlen, so zeigt sich ein ausgezeichnete Ammonialgeruch. Künstlich bekommt man ihn durch Zusatz von gefaultem Urin, wie er zu Burgweiler gemacht wird. Nur der Ammonialalaun zeigt nach Biot Lamellarpolarisation.

Der Böhmishe hat schon einen Talkerdegehalt, welcher das Ammoniak ersetzt, die Analysen geben bis 6,6 p. C. Ammoniak.

Unter den künstlichen kann man etwa erwähnen:

Rithionalaun $\text{L S} + \text{Al S}^3 + 24 \text{ H}$;

Manganalaun $\text{K S} + \text{Mn S}^3 + 24 \text{ H}$;

Chromalaun $\text{K S} + \text{Cr S}^3 + 24 \text{ H}$ von tief purpurrother Farbe.

Eisenaun $\text{K S} + \text{Fe S}^3 + 24 \text{ H}$, in farblosen Oktaedern; noch leichter krystallisirt

Eisenammonialaun $\text{Am S} + \text{Fe S}^3 + 24 \text{ H}$, der im Großen für Färbereien dargestellt wird, wo man ein vollkommen neutrales Eisenoxyd in Anwendung bringen muß.

Voltaït bildet sich in schwarzen Oktaedern mit grünlichem Strich in der Solfatara und soll nach Scacchi $\text{Fe S} + \text{Fe S}^3 + 24 \text{ H}$ sein, während Abich andere Verhältnisse fand. In den alten Halden des Rammelsberges sind es dunkelgrüne Krystalle mit Oktaeder, Granatoeder und Würfel.

Federalaun findet sich in sehr feinen gelblich weißen seidenglänzenden Fasern, welche sehr an Asbest erinnern, aber auf der Zunge zergehen. Besonders ausgezeichnet auf den Quecksilbergruben von Mörsfeld bei Zweibrücken, wo die Analyse von Rammelsberg (Pogg. Ann. 43. 404) $\text{Fe S} + \text{Al S}^3 + 24 \text{ H}$ gab. Noch schöner ist die schneeweiße $\frac{1}{2}$ Fuß lange Faser aus einer Höhle am Vosjesmans River, welche ein $1\frac{1}{2}$ Zoll dickes Lager von Bittersalz deckt, und die nach Stromeyers Analyse (Pogg. Ann. 31. 187) $(\text{Mg}, \text{Mn}) \text{S} + \text{Al S}^3 + 24 \text{ H}$ Mangantalalaun ist. Einen reinen Manganoxydulalaun ohne Magnesia fand Apjohn in der Algoa-Bay. Ohne Mangan, auch weiß und seidenglänzend, ist der Magnesiaalaun (Pickeringit) von Taque; traubig und nadelförmig das

Hyperfalt von Kriswieg auf Island an der Oberfläche vulkanischer Gesteine, nach Forchhammer's Analyse $(\text{Fe}, \text{Mg}) \text{S} + (\text{Al}, \text{Fe}) \text{S}^3 + 24 \text{ H}$.

Galotridit (Thonerde-Sulphat) hat man die saßrigen Salze genannt, welche sich in den Braunkohlengebirgen und besonders in den Fumarolen bilden, wenn Schwefelsäure auf Thonerde wirkt. Sie gleichen dem Federalaun vollkommen, namentlich auch in Beziehung auf die gelbliche Farbe, allein sie bestehen nur aus schwefelsaurer Thonerde $\text{Al S}^3 + 18 \text{ H}$, die man künstlich durch Auflösen von Thonerde in Schwefelsäure und Abdampfen in dünnen biegsamen Blättchen mit Perlmutterglanz gewinnen kann, wie sie H. Rose (Pogg. Ann. 27. 317) von Copiapo nachgewiesen hat. Bei ihrer Ähnlichkeit mit Federalaun können sie leicht damit verwechselt, auch verunreinigt sein. Werner begriff sie unter seinem Haarsalz. Wird die künstliche schwefelsaure Thonerde mit Ammoniak gefällt, so erhält man

Aluminit Al S H^9 , schneeweiße Knollen, mit unebener Oberfläche, die kreideartig abfärben. Sie fanden sich zuerst in großer Menge im botanischen Garten von Halle, von wo sie Berche in der Oryctographia Halensis 1730 bereits als Lac lunae erwähnt. Lange hielt man sie für reine Thonerde,

selbst Werner und Klaproth, bis Simon (Scheerer allgem. Journ. Chem. IX. 127) Schwefelsäure darin fand, die auf 23,6 p. C. geht. Werner sprach sogar die Vermuthung aus, daß es ein Kunstproduct der dortigen Waisenhausapothekē sein könne. Doch fand sich das Mineral weiter zu Morl, 1½ Stunde von Halle, zu Newhaven in England (Websterit), in der Lettenkohlenformation von Friedrichshall am Neckar, im Tertiärkalk von Auteuil bei Paris 2c. Löst sich in Wasser nicht, wohl aber in Salpetersäure, und leuchtet vor dem Löthrohr fast so stark, als die Schlacke des Alauns. Freilich häufig verunreinigt durch Thon.

Im Alaunschiefer kommen noch allerlei unwichtige Verbindungen vor, die kaum ein chemisches Interesse haben, wie die von Werner so genannte Bergbutter, welche aus dem Alaunschiefer in butterartiger Consistenz von gelblicher Farbe hervortritt, und erst später rigid wird; Bissophan, Tecticit, Diadochit ist sogar phosphorsäurehaltig. Sie können alle zur Alaunbereitung verwerthet werden. Den besten Alaun liefert jedoch der

Alaunstein.

Alunit. Darunter verstand man seit langer Zeit grauliche poröse trachtytische Gesteine, welche durch Schwefelsäure zerfetzt die Bestandtheile des Alauns erlangt haben. Die Felsenmassen enthalten daher immer einen bedeutenden Gehalt an Kieselersde, bis auf 50 p. C., neben den Bestandtheilen des Kalialauns. Aus dem derben Stein selbst würde man keine Mineralspecies zu machen wagen, denn jedes Feldspathgestein, mehr oder weniger lang von Schwefelsäure angegriffen, kann Gelegenheit zu Alaunbildung geben. Allein es finden sich kleine Drusenräume darin, deren Wände mit kleinen Rhomboedern von $92^{\circ} 50'$ in der Endkante ausgekleidet sind, oft gesellt sich die Geradenfläche hinzu, dann kann man sie leicht für Octaeder halten. Nach Dreithaupt (Leonhard's Jahrb. 1853. 270) haben die Ungarischen Rhomboeder in der Endkante $89^{\circ} 10'$, würden also dem Würfel sehr nahe stehen. Er glaubt auch das sechste stumpfere Rhomboeder $\frac{1}{2}a : \frac{1}{2}a : \infty a : c$ mit $177^{\circ} 46'$ in den Endkanten noch bestimmen zu können! Von den Krystallen konnte man noch nicht genug zur Analyse bekommen, und das Gestein selbst aber, dessen Gewicht etwa 2,7 und dessen Härte von 3—6 wechselt, ist zu sehr gemengt, als daß man auf die Formel $K Al^3 S^4 H^6$, welche man nach Abzug der Kieselersde bekommt, einen sonderlichen Werth legen dürfte. Vor dem Löthrohr zerknistern die kleinen Krystalle sehr stark, der Stein jedoch nicht, beide schmelzen nicht, werden aber mit Kobaltsolution blau. Erst nach dem Brennen kann man Alaun ausziehen. Die berühmtesten Gruben finden sich in der Tolfa bei Civitavecchia im Kirchenstaate. Man übergießt den gebrannten Stein 40 Tage lang mit Wasser, wobei er zerfällt und dann erst ausgießet wird. In Oberungarn bei Musay und Beregszaz wurde er lange als Mühlstein verwendet, bis man 1795 den Alaungehalt erkannte. Die Abfälle werden geröstet und ausgelaugt (Jahrb. Geol. Reichsan. 1858. 117). Auch am Mont Dore (Gilbert's Ann. 68. 22) hat sich gefunden.

Eine dichte amorphe Masse nennt Alex. Mitscherlich *Éwigit* $K Al^3 S^4 H^9$ (Journ. prakt. Chem. 1861. 83. 474), die sich nur durch einen größeren Wassergehalt unterscheidet, und sich unter einem Druck von 9 Atmosphären bei 180° Wärme auch künstlich darstellen läßt. Dieser unterirdische Wasserdruck zeigt sich bei Bohrlöchern in der Tofsa. Auffallend ist das Vorkommen im Steinkohlengebirge von Zabrze in Oberschlesien, wo die Knollen lithographischem Kalk von Solnhofen gleichen (Zeitschr. deutsch. geol. Ges. VIII. 240). Im Thonschiefer der Sierra Almagrera bildet der weiße *Alumina* $Al S^2$ ein Zerfetzungsproduct.

Wasser H.

Das tropfbare und feste Wasser wird zwar von vielen Mineralogen nicht abgehandelt. Indes wenn irgend eine chemische Verbindung die Aufmerksamkeit des Mineralogen in Anspruch nehmen darf, so diese.

Eis. Das homogenste ist dennoch krystallinisch, denn eine Eisplatte von 3—4 Linien Dicke in die Turmalinzange gebracht zeigt deutlich ein schwarzes Kreuz, und entfernt davon Ringe; je dicker die Platten, desto mehr Ringe treten ins Feld. Daher muß es optisch einaxig sein, und die Hauptaxe senkrecht gegen die Wasseroberfläche stehen. An flachen Wassertümpeln, in Fahrwegen u., wo der Wasservorrath bis auf den Grund ausgefroren ist, findet man häufig reguläre sechsseitige Säulen mit Geradenflächen. Die Masse besteht aus zarten Fäden, die sich auf dem regulären Sechseck der Geradenfläche unter 60°, auf dem Viereck der Seiten unter 90° schneiden. Die Säulenflächen verzüngen sich auch hin und wieder treppenförmig zu einer Art von Dihexaeder, dessen Winkel verschieden angegeben werden nach Smithson



80°, nach Galle (Pogg. Ann. 49. 240) 59° 21' in den Seitenkanten. Auch Lehbold (Sitzungsber. Kais. Akad. Wissensch. Wien VII. 477) beobachtete im Eise Höhlen, die einer regulären sechsseitigen Säule mit Geradenfläche entsprechen, und zuweilen an den Endkanten noch dihexaedrische Abstumpfungen hatten. Clarke will Rhomboeder mit 120° in den Endkanten gesehen haben. Jedenfalls gehört das Eis dem 3 + 1axigen Systeme an, und in Eisplatten stehen sämtliche Hauptaxen c einander parallel. Beim Schmelzen zeigt sich daher auch eine Neigung, parallel dieser Art in stängliche Stücke zu zerfallen. Bei Eiszapfen stehen die Axen c senkrecht gegen die Längsrichtung des Zapfens.

Farblos in kleinen Stücken, in großen grünlich blau, wie das Gletschereis zeigt. Gew. = 0,9175, entspricht einer Volumenzunahme von $\frac{1}{11}$. Es setzt sich daher glücklich Weise meist an der Oberfläche ab, und schützt als schlechter Wärmeleiter das darunter fließende Wasser vor dem Ausfrieren. Doch kommt auch

Grundeis vor, welches sich besonders an rauen Gegenständen der Tiefe absetzt, und Steine, Äster, selbst große Lasten vom Boden empor hebt (Pogg. Ann. 28. 204). Eis ohne Luftblasen soll unter sinken (Pogg. Ann. 104. 687), was jedoch den Wägungen von Brunner (Pogg. Ann. 64. 110) widerspricht.

Das Wasser gefriert bei 0° , besonders wenn eine kleine Erschütterung eintritt, ganz ruhiges Wasser kann viel kälter werden. Freischwebende Wassertügelchen in einem Gemisch von Chloroform und Del können — 20° ertragen (Pogg. Ann. 114. 554). Es scheidet dabei alle gelösten Salze aus, daher lassen sich Wein, Bier, Salzsoolen durch Frost concentriren. Doch schließt das Eis immer kleine Blasen ungefrorenen Wassers ein, besonders wenn es schnell gefriert, und nach Brewster soll dieser Einschuß selbst bei der stärksten Kälte flüssig bleiben (Pogg. Ann. 7. 500). Daraus läßt sich ein kleiner Salzgehalt des Meereises erklären.

Die hohe See gefriert selbst in den kältesten Gegenden nur an den Küsten des Festlandes und der Inseln. Tiefe Wasser gebrauchen überhaupt längere Zeit zum Gefrieren als flache, weil die ganze Masse erst auf einen niedern Temperaturgrad gebracht werden muß, ehe die Oberfläche sich verdichten kann. Das Maximum der Dichtigkeit des Süßwassers tritt bei $+4^{\circ}$ C. ein, alle kältern Mengen schwimmen daher oben. Das Meerwasser hat dagegen bis an das Eis hin ($-3,1$ R.) kein Maximum (Ermann Pogg. Ann. 12. 400). Nach Neumann (Pogg. Ann. 113. 500) bei $-4^{\circ},7$ C, und gefriert bei $-2^{\circ},6$ C. Die Mächtigkeit des Gletschereises erreicht in den Alpen bis 1000 Fuß.

Hagel. Bei starkem Hagelwetter fällt er in regelmäßigen Kugeln, die einen Durchmesser von $\frac{1}{4}$ — 1 “ haben, und viel Durchsichtigkeit besitzen. Schneeweiße Stellen geben ihm öfter ein wolliges auch concentrischkaaliges Aussehen. Gewöhnlich fällt er jedoch in pyramidenförmigen Stücken, deren Basis sich kugelförmig rundet, und deren Spitze wie es scheint von undeutlichen Flächen begränzt wird. Ihre Zahl möchte man zwar gern auf sechs bestimmen, weil man beim Eise überhaupt an dihexaedrische Bildungen denkt, doch gelingt ein scharfes Zählen nicht. Es mag diese Zuspizung zur falschen Vorstellung, als seien sie „birnförmig oder pilzartig“ (L. v. Buch Abb. Berl. Akad. Wiss. 1814. 75) geführt haben. Cap. Delcroix (Gilbert's Ann. 68. 555) sprach die vielleicht begründete Vermuthung aus, es seien diese Pyramiden Theile gesprengter Kugeln. Jedenfalls schwebt über der Sache noch ein Dunkel. Die Oberfläche ist bei frischfallendem auch wohl wie bepudert, aber der Schneepuder schmilzt schnell ab. Hagelkörner von Faustgröße und darüber mögen immer Conglomerate von mehreren an einander gebundenen Kugeln und Pyramiden sein, daher ist auch ihre Oberfläche nicht rund, sondern unregelmäßig höckerig. Arago (Pogg. Ann. 13. 547) erwähnt Klumpen von 4“ Durchmesser und 14“ Umfang. Zu Tippoo Sahib's Zeit soll bei Seringopatam in Indien eine Masse von Elephantengröße herabgefallen sein! Nach dem Berichte der Offiziere wirkte sie auf die Haut wie Feuer! (Eis ist nämlich in Indien ein sehr unbekanntes Ding.) Wenn aber Knollen zersprengt werden und sich ballen können, so setzt das großen Sturm voraus, welcher die kalten Luftschichten mit den warmen mischt. Große Hagelkörner fallen nur zur heißen Jahreszeit, und zwar geht ihre Bildung in den tiefern Regionen der Atmosphäre vor sich. Die Graupeln (französisch Grésil), kleinere Körner, aber



häufig auch noch von pyramidalen Form, fallen zur kältern Jahreszeit. Vergleiche auch Nov. Act. Leop. 1823. XI. 2; Bericht Leipz. Soc. 1853. pag. 133; Pogg. Ann. 102. 246; 114. 539.

Schnee ist gefrorener Wasserdunst, der in feinen sechsseitigen Sternchen aus der Luft zu Boden fällt. Je trockener die Luft, desto kleiner, aber auch desto zierlicher sind die Figuren. Der Reif hat dieselbe Form, und auch am blumigen Beschlage gefrorener Fenster Scheiben findet man nicht selten wenigstens Anfänge solcher Sterne. So habe ich im Winter 1853/54 mehrere



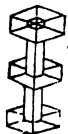
Male mit großer Deutlichkeit beistehende Sterne an den Fenster Scheiben der hiesigen mineralogischen Sammlung beobachtet. Im Sterne zeichnen sich gewöhnlich die drei Hauptaxen durch Dicke aus. Davon gehen dann feinere Nebenlinien in großer Zahl ab, aber alle schneiden sich in der Ebene der Axen unter 60° und 120° . Die Mannigfaltigkeit, welche aus so einfacher Lineation entstehen kann, hat seit Olaus Magnus, Kepler (de nive sexangula), Cartesius, E. Bartholinus (de figura nivis 1661) etc. die verschiedensten Köpfe angezogen. Krystallographisch bieten sie wenig Schwierigkeit. Vielleicht kann man zweierlei etwas wesentlichere Unterschiede festhalten: gepuderte und eisige. Die **eisigen** bilden durchsichtige Platten mit gezackten Rändern, die



6zahl herrscht zwar, doch kommen auch 12strahlige, ganzrandige 2c. vor. Gewöhnlich ist keine Linie daran, die nicht einer der Hauptaxen parallel ginge. Sie scheinen so homogen, daß man sie wohl durch polarisirtes Licht dürfte prüfen können. Die **gepuderten** sind durch die Menge der Linien und Schneeflocken, welche auf ihnen haften, viel compli-



cirter und häufig dadurch undeutlich. So lange man aber Lineationen verfolgen kann, gehen sie immer den Hauptaxen parallel. Alle diese Sterne sind tafelförmig und äußerst selten anders. In Größe übersteigen sie wenige Linien nicht, und je kleiner, desto bestimmter und zierlicher. Die großen Schneeflocken sind bloß Hauswerke von kleinern, und zur Beobachtung der Formen gar nicht geeignet. Merkwürdiger Weise finden sich bei ein und demselben Schneefall nicht nur verschiedene Formen, sondern auch gepuderte und eisige kommen durcheinander herab: offenbar aus verschiedenen Regionen, die eisigen vielleicht aus den höhern Luftschichten. Vierstrahlige hat schon Wallerius (Wasserreich 1751. fig. 4) beobachtet, es sind aber Seltenheiten, und ich möchte daraus nicht gleich auf Dimorphismus schließen. Zeichnungen verdankt man dem Prediger Scoresby, der als Capitain eines Walfischfängers in dem Polar- meer zur Beobachtung vielfache Gelegenheit hatte. Neben vielerlei Sternen hat derselbe auch einmal halbe Dihexaeder, wie beim Hagel, gesehen (vielleicht waren es Graupeln), und einmal bedeckte sich das Schiff mit eigenthümlichen sechsseitigen Prismen, die sich an den Enden, und zuweilen auch in der Mitte zu sechsseitigen Platten ausbreiteten (Rams, Vorlesungen über Meteorologie.



1840. pag. 154). Dr. Schumacher (die Krystallisation des Eises 1844) hat den Gegenstand monographisch behandelt. Viele Figuren zeichnete der Hof-

Rüchenmeister Franke zu Dresden im Winter 1845/46 auf (Festschrift zur 25jähr. Feier der Jhs. 1860).

G. Rose (Ural Reise I. 405) macht bei Beschreibung der dendritischen Zwillinge des Kupfers auf die Aehnlichkeit mit Schneekristallen aufmerksam, und hält es für wahrscheinlich, daß auch sie zum regulären Krystallssysteme gehören. Unmöglich ist eine solche Ansicht der Sache nicht. Auch könnte man von chemischer Seite geltend machen, daß ein Krystallisiren durch Sublimation gar wohl eine andere Form erzeugen dürfte, als das Krystallisiren durch Erkalten. Aber direct beweisen kann man es für den Schnee nicht.

Wasser. Ob das reine Wasser eine Farbe habe oder nicht, ist nicht so leicht ausgemacht. Hr. Bunsen (Liebig Ann. Chem. 62. 44) zeigte jedoch, daß destillirtes Wasser in einer 2 Meter langen Röhre rein blau erscheine, wenn man eine weiße Porcellanplatte betrachte. Beek (Pogg. Ann. 115. 107) versah einen Kasten sinnig mit Spiegeln, welche den Lichtstrahl zwingen auf langem Zickzackwege durchzugehen. Damit lassen sich sofort die verschiedenen Farben des Wassers, welche von geringen Beimengungen herkommen, ermitteln. Die alte Halley'sche Behauptung, daß das Wasser im reflectirten Lichte anders aussehe als im durchgehenden, bestätigt sich nicht. Das Caraimische Meer soll so klar sein, daß das Hinabschauen Schwindel erzeuge. Sieht man durch eine enge Oeffnung auf das tiefe klare Meer, so erscheint es gesättigt Ultramarinblau. Die schöne blaugrüne Farbe der Rhone bei Genf, des Rheins bei Schaffhausen, des Doubs im Jura, des Blautopfs bei Blaubeyren u. sind bekannt. Flüsse der Moorgegenden sind braun: die Schussen in Oberschwaben. In den Urwäldern des Drinocco führen die Wasser so viel humusfaure Salze, daß sie eine Kaffeebraune Farbe annehmen, im Glase goldgelb, im Schatten tintenschwarz aussehn.

Das Wasser absorbirt Luftarten, und zwar um so mehr, je stärker der Druck. Bei gewöhnlichem Druck nimmt 1 Volumen Wasser 1,06 Volumen Kohlensäure auf, bei 7 Atmosphäre Druck (gleich einer Wassersäule von $32' \cdot 7 = 224'$) dagegen schon 5mal so viel, also 5,3 Vol. C. Läßt dieser Druck nach, tritt z. B. solches Wasser aus dem Erdbinnern an die Oberfläche, so muß die Kohlensäure entweichen, was meist mit starkem Brodeln geschieht. Es enthalten die Quellen von Niedernau, Cannstadt, Selters 1 Vol. C, Imnau $1\frac{1}{2}$ Vol., Gailnau 1,6 Vol., Burgbrohl in der Eifel 5,3 Vol., ungefähr das bekannte Maximum.

Bestandtheile: Natron (Na C , Na Cl , Na S) gehört bei weitem zu den gewöhnlichsten, seltener schon Kali an Chlor gebunden z. B. in der Soole von Berchtesgaden. Lithion im Karlsbader Sprudel, der Kreuzbrunnen zu Marienbad enthält $\gamma\delta\delta\delta$ Li C. Caesium in der Dürkheimer Soole. Kalkerde und Talkerde sehr verbreitet. Strontianerde ist zwar selten, doch kommt sie im Karlsbader-, Pyramont-, Selters-Wasser vor, noch seltener Baryterde, wie zu Ems und Pyrmont. Thonerde an Alaun gebunden zu Bath in England, Halle an der Saale. Unter den Metallen finden sich nicht blos die ganz gewöhnlichen Eisenorydul, Manganoxydul, Zinkoxyd u. häufig, sondern auch seltenere sind besonders

in den Quellenabsätzen gefunden worden: Arsenik und Kupfer in den Schwarzwaldquellen, Antimon in den Thermen von Wiesbaden, Zinn in dem Saidschitzer Bitterwasser, ohne Zweifel aus dem dortigen Oltwin stammend, Blei im Sauerlinge von Rippoldsau. Von den Säuren spielen besonders Kohlensäure, Phosphorsäure, Kieselsäure, Borsäure, Chlor, Brom, Jod, Fluor eine Rolle, Quellsäure, Stickstoffverbindungen (Nardine). Ja man wird bald sagen können, es kommen mit Wahrscheinlichkeit alle Substanzen gelöst im Wasser vor. Prof. Ludwig in Jena (die natürlichen Wasser in ihren Gemischen Beziehungen zu Luft und Gesteinen. 1862) gibt über die große Verbreitung der Stoffe bequeme Zusammenstellungen.

Meerwasser

nimmt an der Erdoberfläche den größten Antheil, denn es verhält sich Land : Meer = 10 : 27, und das Senkblei ist am atlantischen Ocean auf 43,000' hinabgelassen, welche ungeheure Tiefe die Höhe der Berge noch ein Bedeutendes übertrifft. Unter den Tropen beträgt in der Tiefe die Temperatur nur 2° Reaum., während die Oberfläche 22° zeigt, der kalte Polarstrom ist daran schuld. Wegen des Salzgehaltes ist sein Gewicht 1,028. Mulder (Erdmann's Journ. prakt. Chem. 55. 400) fand in 5000 Theilen Flußwasser aus den Niederlanden 1 Theil Salze, während in derselben Menge Meerwasser 185 Theile vorkamen, und wo die Nordsee 3,187 feste Theile hat, hat das Mittelmeer 4,1. Das Salz des atlantischen Oceans besteht in 100 Theilen aus 78,5 Chlornatrium, 9,4 Chlormagnesium, 6,4 schwefelsaurer Magnesia, 4,4 schwefelsaurem Kalk, 1 Chlorkalium, 0,17 Brommagnesium, 0,04 kohlensaurem Kalk, 0,009 Kieselsäure, 0,13 Ammoniak. Lithium und Strontium weisen die Spectralanalysen besonders in den Kesselfeinen der Seedampfschiffe nach. Das Meerwasser schmeckt daher bitter.

Meere und Seen ohne Abfluß zeigen gewöhnlich einen großen Gehalt an Chlormagnesium. Chr. Gmelin (Pogg. Ann. 9. 177) fand im Wasser des Todten Meeres von 1,21 specifischem Gewicht 11,77 Mg Cl, 7,07 Na Cl, 3,21 Ca Cl, 0,44 Mg Br im Ganzen 24,54 Salz und 75,46 Wasser. Es ist also eine wahre Salzlake. Aehnlich der Eltonsee mit 19,7 Mg Cl, 5,3 Mg S, 3,8 Na Cl, zusammen 29,2 fester Bestandtheile. Vergleiche pag. 512.

Die Soolquellen, meist im Steinsalzgebirge entspringend, haben mit dem Meerwasser Aehnlichkeit, nur schlägt Chlornatrium vor, während Bittersalz zurücktritt. Dagegen findet sich gern ein größerer Gypsgehalt. Das Fundbohrloch zu Friedrichshall am untern Neckar, seit 1816 im Betrieb, hat eine 26gradige Soole mit 25,56 Na Cl, 0,437 Ca S, 0,01 Ca C, 0,006 Mg Cl, 0,002 Mg S. Die beim Salzfieden gewonnene Mutterlauge enthält: 24,5 Na Cl, 0,025 Na Br, 0,23 Ca Cl, 0,52 Mg Cl, 0,42 Ca S. Für medicinische Zwecke hat man sie durch Eindampfen concentrirt, wobei sich vorzugsweise Na Cl ausscheidet, und eine Lauge mit 10 Na Cl, 0,75

Na Br, 9,8 Mg Cl, 4,9 Ca Cl, 1,23 K Cl bleibt. Es entsteht auf diese Weise wie in den Bitterseen eine an Chlormagnesium reiche Mischung.

Quellwasser

sind meist hart, d. h. sie zerlegen die Seife, weil sie nämlich Salze gelöst halten. Die gewöhnlichsten Bestandtheile sind Kohlensäure, entweder frei oder an Kalkerde gebunden, als sogenannte doppeltkohlensaure Kalkerde. Bei Verlust der Kohlensäure lassen sie den Kalk fallen (incrustirende Quellen). Kommen solche zufällig heiß aus der Erde, so geht die Ueberfärbung fremder Gegenstände mit Kalkstein schnell von Statten. Das Wasser bekommt durch den kohlensauren Kalk seinen angenehmen Geschmack, wie an der schwäbischen Alp. Die reinsten Quellen findet man im Urgebirge, Buntensandstein zc., aber diese schmecken etwas fade, wie z. B. auf dem Schwarzwalde. Herrscht die Kohlensäure so weit vor, daß sie beim Einschenken stark perlen, so heißt man sie

Säuerlinge (Sauerwasser). Es ist dieß die größte Klasse der Heilquellen. Die einen schmecken äußerst angenehm, und werden mit großer Vorsicht gefüllt und versendet. Das Selterswasser füllt man Nachts, weil es dann die meiste Kohlensäure halten soll. Wenn sie nur wenige feste Bestandtheile haben, so heißen sie ächte Säuerlinge, sie trüben Kalkwasser stark, lösen aber im Ueberschuß den Niederschlag wieder, indem sich saurer kohlensaurer Kalk bildet. Nach ihren festen Bestandtheilen hat man sie in verschiedene Unterabtheilungen gebracht, am erkennbarsten darunter sind die sogenannten Stahlswasser oder Eisensäuerlinge, weil ein bedeutender Gehalt an Fe C der Quelle einen Dintengeschmack gibt: Struve fand in der Pyrmonter Trinkquelle in 1 Z = 7680 Gran nur 0,49 Gr. Fe C, die Dintinquelle von Teinach im Schwarzwalde enthält $\frac{1}{2}$ Gran. Wie wesentlich der Gehalt der Wasser von dem Boden abhängt, aus welchem die Quelle hervorkommt, das zeigen in auffallendem Grade die

Schwefelwasser (aqua hepaticae). Sie verbreiten einen Geruch nach faulen Eiern, haben einen widrigen Geschmack, hineingeworfene Silbermünzen werden schwarz. Am stärksten sind die kalten, welche in 100 Maß Wasser 4 Maß Schwefelwasserstoff enthalten können. Am Fuße der schwäbischen Alp treten aus dem obern Liasschiefer eine ganze Reihe solcher Quellen, worunter Völs die berühmteste: zunächst zerlegt sich der fein vertheilte Schwefelfies des Gebirges zu schwefelsauren Salzen. Da nun aber zugleich viel Bitumen vorkommt, so wirkt derselbe desoxydirend, erzeugt Schwefellebern, durch deren Zersetzung Schwefelwasserstoff entsteht, was die Quellen aufnehmen. Selbst Gyps kann solchen desoxydirenden Einwirkungen nicht widerstehen. Die heißen Schwefelwasser von Aachen und in den Pyrenäen sind zwar nicht so stark als die kalten, aber auch hier scheinen organische Stoffe auf schwefelsaure Salze eingewirkt zu haben, wie schon der Gehalt an Barégine in den Pyrenäenbädern beweist. Selbst das HS in Vulkanen könnte in den mit organischen Substanzen geschwängerten Meerwassern seinen Grund haben. Auch die

Gypshaltigen Wasser, welche sich auf Zusatz von Alkohol trüben, haben ihren Sitz vor allen im Gypsgebirge, man findet sie besonders in der Unterregion des Keupers von Schwaben, wo das aufstehende Gypsgebirge über den Ursprung gar keinen Zweifel läßt.

Es gibt noch eine Menge mineralischer Wasser, welche in unmittelbarem Zusammenhange mit chemischen Processen im Erdinnern stehen, so die Eisenvitriolwasser von Alexisbad am Unterharze, welche aus einem alten verlassenen Stollen kommen; die Cementwasser in großen Grubenbauen von Goslar, Falun, Neusohl &c., welche Kupfer- und Eisenvitriol enthalten, daher auf Eisen Kupfer absetzen; Wasser mit freier Salzsäure (Rio Vinagre) kommt in einem gewaltigen Strome von der Höhe des Vulkans von Parí bei Popayan herab: in seinen weitberühmten Wasserfällen wird der Wasserstaub dem Auge beschwerlich, und beim Eintritt in den Rio Cauca vertreibt er auf 4 Meilen alle Fische, obgleich 1000 Theile Wasser nur 6,8 freie Salzsäure enthalten.

Das Wasser enthält außer den Bestandtheilen, welche sich durch directe Analyse nachweisen lassen, noch andere Beimischungen, aber in so kleinen Mengen, daß man lange von ihrer Existenz darin nichts wußte. Prüft man dagegen die Quellenabfälle, so kommen sie zum Vorschein! Walchner fand 1844, daß eine große Reihe von Mineralquellen Arsenik und Kupfer in ihrem Quellenkamm bergen (Cannstadt, Rippoldsau, Ems, Wiesbaden, Pyrmont &c.). Der Ocker von Cannstadt (Jahreshefte vaterl. Naturf. Würtemb. III. 257) enthält 60,9 Eisenorydhydrat, 9,4 kohlensauren Kalk, 5,4 Kieselsäure &c. und 0,8 p. C. arsenige Säure. Der Sprudelstein von Karlsbad 0,27 Arsenik. Im Sprudel sind überhaupt 30 Stoffe nachgewiesen, und darunter Antimon, Gold, Kupfer, Chrom, Zink, Kobalt, Nickel, Titan &c. Nähme man an, daß im Wasser Arsenik und Eisen in demselben Verhältniß enthalten seien, wie im Abfalle, so kämen bei Cannstadt auf 10 Millionen Theile Wasser 1,5 Arsenik, oder auf 220 Maas 1 Gran. Will berechnete im Wasser der Josephsquelle von Rippoldsau auf 1000 Millionen Theile Wasser 600 As, 104 Cu, 25 Sn, 16 Sb; der Ocker enthält 50,6 Fe und 1,13 p. C. Metalle, im metallischen Zustand berechnet. Derartige Untersuchungen zeigen zu deutlich, wie durch die Wasser seltene Stoffe nach den verschiedensten Gegenden hingeführt werden können. Sie werfen in sofern Licht auf die Möglichkeit der Bildung selbst seltener Mineralstoffe im Schooße der Erde auf nassem Wege pag. 173. Deshalb durften wir auch das Wasser überhaupt nicht unerwähnt lassen.

A n h a n g.

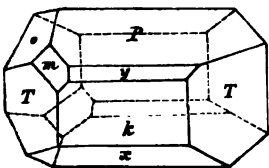
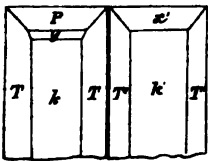
Künstliche Krystalle

(Chemikalien) gehören im Grunde genommen, wenigstens was Form und äußere Kennzeichen betrifft, ins Gebiet der Mineralogie. Mit jedem Jahre wird es schwerer die Gränze zu ziehen, auch mehrten sich die systematischen Vorarbeiten, wie Kopp (Einleitung in die Krystallographie 1849), Schabus (Sitzungsber. Wiener Akad. Wiss. 1855. X. 707), Rammelsberg (Handbuch der krystallographischen Chemie 1855). Ich hebe nur beispielsweise Einiges hervor, namentlich um zu zeigen, daß es zum Erkennen nicht gerade mühsamer Messungen und Rechnungen bedarf, sondern des Blickes zur richtigen Orientirung: denn was thut es, ob ein Winkel ein Paar Grade größer oder kleiner ist, das Wesen bleibt immer das Erkennen des Systems. Ja ich kann mit einer Krystallbildung vortrefflich vertraut sein, ohne auch nur ein Mal an eine Winkelgröße gedacht zu haben. Das ist der Standpunkt der Weiskischen Zonenlehre.

1. Zucker $C_{12}H_{22}O_{11}$.

Randis-Zucker (Rohrzucker), welcher braun bis farblos käuflich zu haben ist, kann man sich leicht in Krystallen verschaffen. Prof. Hantel

(Vogg. Ann. 49. 400) hat ihn beschrieben und Kopp (Krystallogr. S. 358) mit dem Reflexionsgoniometer gemessen. Oberflächlich angesehen erscheinen die Krystalle als Oblongoktaeder TPx , mit abgestumpfter Enddecke k . Allein es gibt öfter **Zwillings tafeln**, welche die Säule TT gemein haben, und deren Endflächen (P mit x') nicht einspiegeln. Damit ist sogleich ohne irgend eine Messung das 2 + 1gliedrige System bewiesen (Weinsteinsäure): eine geschobene Säule $T = a : b : \infty c$ macht vorn über k $78^\circ 30'$, ihr seitlicher Winkel von $101^\circ 30'$ kann wegen seiner guten Ausbildung mit dem Anlegegoniometer leicht controlirt werden. Durch



Abstumpfung der vordern Säulenlante $k = a : \infty b : \infty c$ werden die Krystalle häufig tafelförmig. Diese k ist deutlich blättrig, läßt sich mit dem Messer spalten, und so fort zur optischen Untersuchung anwenden. Von den Schiefendflächen ist die etwas drufige $P = a : c : \infty b$, $76^\circ 30'$ gegen Axe c , häufig etwas stärker ausgebreitet, als die glattere hintere Gegenfläche $x = a' : c : \infty b$, $64^\circ 30'$ gegen Axe c . Da also $P/k = 103^\circ 30'$ und $P/x = 115^\circ 30'$ ist, so kann man beide mit dem Anlegegoniometer nicht verwechseln. Bei guten Krystallen findet sich unter P noch eine deutliche Abstumpfung $y = c : \frac{1}{2}a : \infty b$, welche auf der Hinterseite nicht ist, und daher die Zwillinge so augenfällig macht. Höchst eigenthümlich ist eine Fläche aus der Diagonalzone von P die zugleich T/x abstumpft, folglich $o = a : c : \frac{1}{2}b$. Sie kommt nur einseitig links unten und links oben vor, weshalb die Parallelen fehlen, gerade wie bei der Weinsäure. Dasselbe gilt auch von der noch seltneren $m = \frac{1}{2}a : \frac{1}{2}b : c$. Nach diesen Flächen richtet sich nun auch die Thermoelectricität: Axe b bildet die Thermoelectrische Axe, und da nur an einem Ende von b die Flächen o und m auftreten, so zeigt sich dieses bei abnehmender Wärme als das antiloge (negative). Setzt man nach E. Wolff (Journ. prakt. Chem. 1843. 28. 120) $x = \frac{1}{2}a' : c : \infty b$, so sind die Axen $a : b : c = 3\sqrt{2} : \sqrt{3} : 1$ fast genau rechtwinklig, und die Flächenausdrücke werden $T 110, P 101, x 201, y 401, o 131, m 431$.

Zwillinge legen sich gewöhnlich mit der stumpfen Säulenlante am Ende b aneinander, und zwar so, daß die beiden gleichnamigen Pole sich einander zu- und abwenden. Es begränzen sich also die Zwillingeindividuen entweder mit ihren positiven oder negativen Polen. Durchwachsen sie sich in dieser Lage, so heben sich die Electricitäten auf.

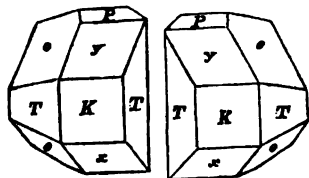
Krystallisirter Zucker steht nicht um, wie die unkrystallinischen Bonbons pag. 179. Die optischen Axen orientirt man nach dem blättrigen Bruch k : die Ebene der optischen Axen mit der Medianebene zusammenfallend steht senkrecht auf k , und die eine optische Axe steht auch fast senkrecht auf diesem Blätterbruch. Nach Miller (Pogg. Ann. 55. 600) weicht sie von der senkrechten auf k nur $1^\circ 26'$ nach unten ab, die andere optische Axe liegt ungefähr 50° darüber.

Zuckerlösungen haben rechts drehende Circularpolarisation (Pogg. Ann. 28. 100), was sich sogar schon beim frischen Saft der zuckerbildenden Pflanzen zeigt. Das geht selbst soweit, daß man aus der Größe der Drehung auf den procentischen Zuckergehalt schließen kann, was für die Runkelrübenzuckerfabrication von practischer Wichtigkeit ist. Würde man P hinten hinstellen, so würden o und m auch rechts liegen.

2. Weinsäure $C_4 H_2 O_6 + HO$.

Rechts Traubensäure, ist durch die Untersuchungen von Pasteur (Pogg. Ann. 80. 127) höchst interessant geworden. Ihre Form gleicht auffallend dem Zucker, dabei ist sie besser ausgebildet. Hankel (Pogg. Ann. 49. 600) beschreibt sie bereits richtig. Wir haben wieder eine Säule $T = a : b : \infty c$ seitlich in Axe b $102^\circ 54'$ also nur unwesentlich vom Zucker abweichend;

ihre vordere scharfe Kante von $77^{\circ} 6'$ wird durch die blättrige $k = a : oob : ooc$ gerade abgestumpft. Schiefendfläche $P = a : c : oob$ ist $79^{\circ} 28'$ gegen $Axe\ c$ geneigt, und steht rechtwinklig gegen die Medianebene. Die hintere Gegenfläche $x = a' : c : oob$ $57^{\circ} 30'$ gegen $Axe\ c$, und vorn unter P noch eine Fläche $y = c : \frac{1}{2}a : oob$ 45° gegen $Axe\ c$. Gewöhnlich dehnen sich x und y so stark aus, daß P kaum sichtbar wird. In solchen Fällen läßt uns jedoch das Handgoniometer nicht irren, da $k/x = 122^{\circ} 30'$ und $k/y = 135^{\circ}$ beträgt. Von dem Augitpaare $o = a : \frac{1}{2}b : c$ tritt nur die eine Hälfte auf der rechten Seite auf, sie liegt in der Diagonalzone von P und in Zone Ty , daher sind x und y meist Rhombenflächen. Schwindet P , so machen ko eine wenig geschobene Säule 97° , worauf $xyTT$ Rhomben bilden würden, wenn die Parallele von o da wäre. Zwar sieht man auch die linke o öfter, aber bloß klein. Selbst $m = \frac{1}{2}a : \frac{1}{2}b : c$ stumpft zuweilen Ecke $Toyk$ ab. Wir hätten dann genau den Zonenzusammenhang, wie beim Zucker, nur o und m rechts, statt links, was übrigens bei der viel seltnern Linkstraubensäure vorkommt. Auch Zwillinge und Thermoelectricität sind wie beim Zucker. Die Winkel weichen zwar etwas ab, doch nimmt Wolff ganz denselben Säulenwinkel $78^{\circ} 30'$ an, und fand P genau $\frac{2}{3}$ fach stumpfer als beim Zucker.

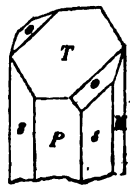


Löst man Rechtstraubensäure (Weinsäure) in Wasser, so zeigt die Flüssigkeit rechte Circularpolarisation, die Linkstraubensäure dagegen linke.

Traubensäure wurde zuerst zu Thann in den Vogesen bei der fabrikmäßigen Bereitung der Weinsäure bekannt (Pogg. Ann. 19. 210), und man war bis in die neueste Zeit nicht im Stande, sie künstlich darzustellen. Sie soll 1 + 1gliedrig sein. Die säulenförmigen Krystalle in nebenstehender Horizontalprojection könnte man als eine geschobene Säule d/e nehmen, deren scharfe Kante g abstumpft. Am Ende zeigt sich ein Augitartiges Paar b/c , das mit g in eine Zone fällt. Die Fläche a ist blättrig und steht schief gegen die Kante b/c . Man erkennt die Blättrigkeit leicht, sobald man die Säule von den Drusen herunterbricht. Da nun in der Säule öfter noch f die Kante g/e abstumpft und mit Kante a/c in einer Zone liegt, und ferner b sich verkleinert oder ganz fehlt, so kann man die Krystalle beim ersten Anblick für eine achtsseitige Säule $defg$ mit einem aufgesetzten Augitpaar c/a , ähnlich wie bei der Augitkrystallisation, nehmen.



Traubensaures Natron-Ammonial. Sättigt man gleiche Theile Traubensäure durch Natron und durch Ammonial, und mischt die beiden Flüssigkeiten mit einander, so setzen sich beim Erkalten nach mehreren Tagen große 2gliedrige Krystalle ab, theils mit rechts-, theils mit links-hemiedrischen Flächen: rechts- und links-traubensaures Natronammonial. Es sind oblonge Säulen P/M mit Geradendfläche T . Die



geschobene Säule s stumpft die Kanten P/M ab. Das Oktaeder $o = a : b : c$ am Ende ist aber nur zur tetraedrischen Hälfte da. Bei unserm rechten Krystalle ist die Kante T/s rechts abgestumpft, bei den linken muß es die linke T/s sein.

Behandelt man nun solches rechtstraubensaure Natronammoniak mit salpetersaurem Bleioryd, so schlägt sich rechtstraubensaures Bleioryd nieder, aus welchem man dann mit Schwefelsäure die Rechtstraubensäure darstellen kann. Ebenso stellt man sich die Linkstraubensäure aus den linken Krystallen dar. Die Traubensäure ist auf diese Weise in eine rechte und linke zerlegt. Daß die Säure in den sich wie Bild und Spiegelbild gleichenden Krystallen verschieden sei von der Traubensäure, davon kann man sich leicht durch chemische Reaction überzeugen: man löse einen linken oder rechten Krystall und behandle ihn mit der Lösung eines Kalksalzes, so bekommt man nach einiger Zeit isolirte glänzende Krystalle von linkstraubensaurem oder rechtstraubensaurem Kalk, je nachdem man Krystalle wählt. Löst man dagegen beide Krystallarten, die rechts- und die links-hemieidrischen, gemeinschaftlich auf, so ist der Niederschlag verschieden und hat die Kennzeichen des traubensauren Kalkes.

Neuerlich hat auch Pasteur (Bogg. Ann. 90. 504) den Weg gefunden, Weinstensäure in Traubensäure umzuwandeln. Weinstensäures Cinchonin wird langsam einer Temperatur von 170° C ausgesetzt, es bildet sich theilweis Traubensäure, die durch Chlorcalcium fixirt werden kann.

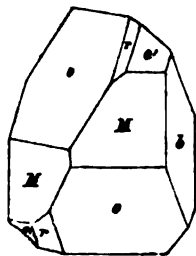
Das Links und Rechts der Säuren trägt sich auch auf die Krystalle der Salze über, wie das linkstraubensaure und weinstensäure Ammoniak; das links- und rechtstraubensaure Antimonorzyd-Kali (Brehweinstein); der links- und rechtstraubensaure Kalk zc. beweisen. Legtern den

Weinstensäuren Kalk bekommt man sehr schön krystallisirt aus alten Weinfässern, wo glänzende Krystalle auf einer Kruste von Weinstein sitzen. Es sind ausgezeichnete 2gliedrige Dodekaide aus drei zugehörigen Paaren $a : b : \infty c$, $b : c : \infty a$ und $a : c : \infty b$ bestehend. Die zwei matten Paare schneiden sich als Oblongoktaeder genommen in ihren Seitenkanten unter 77° — 78° , man könnte sie für ein viergliedriges Oktaeder halten, woran das glänzende dritte Paar Rhomben bildet, und die Seitenecken abstumpft. Da diese sich unter $91\frac{1}{2}^{\circ}$ schneiden, so kann das System nicht viergliedrig sein. Nun sind aber die Dodekaidflächen keiner Hemiedrie fähig pag. 72, und da andere hemiedrische Flächen nicht vorkommen, so kann man den weinstensäuren Kalk (rechtstraubensauren) vom linkstraubensauren an den Krystallen nicht unterscheiden. „Dennoch ist gewiß, daß der linkstraubensaure Kalk vom rechtstraubensauren verschieden ist, denn mit diesem gemischt bildet sich so gleich traubensaurer Kalk, der sich von beiden leicht und wohl unterscheiden läßt.“

Seignettesalz, weinstensäures Kalinatron = $K \bar{T} + Na \bar{T} + 8 H$, isomorph mit dem traubensauren und weinstensäuren Natron-Ammoniak, zeichnet sich durch die Größe und Klarheit seiner luftbeständigen Krystalle aus, ist daher von Optikern gesucht. Die Säule s/s mißt $100^{\circ} 30'$, ihre scharfe Kante wird durch $P = b : \infty a : \infty c$ gerade abgestumpft, diese Abstumpfung herrscht meist auf einer Seite so vor, daß der Krystall dadurch

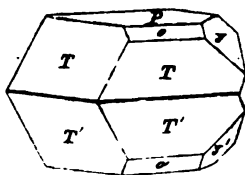
wie halbiert erscheint. Nicht weniger herrscht die Geradenfläche $T = c : ooa : oob$; $M = a : oob : ooc$ klein, aber zwischen M und s liegt noch eine zweite Säulenfläche $a : 2b : ooc$. An den Enden sind zwischen P und T zwei Paare $b : c : ooa$ und $b : 2c : ooa$, das Oktaeder $o = a : b : c$ ist häufig hemiedrisch. Die optischen Axen liegen in der Ebene P , welche die scharfe Säulenkante abstumpft.

Weinstein (Tartarus), zweifach weinsteinsaures Kali $K \bar{T}^2 H$. Hier ist das 2gliedrige Tetraeder (Tetraid), öfter ganz vorherrschend, daher schlug Haidinger vor, es Tartaroid zu nennen. Wir sahen pag. 29, daß die zwei Tetraide einer und derselben Oblongsäule mit Geradenfläche einander nicht congruent sein können, sondern sich wie Bild und Spiegelbild verhalten. Dr. Hanfel (Pogg. Ann. 53. 630) hat die Krystalle beschrieben. Man erhält bei der Verdunstung einer nicht sehr concentrirten Lösung von käuflichem Weinstein an der Luft „leicht Krystalle, die mehr als einen Zoll in der Länge, und die Hälfte in der Breite“ betragen: geschobene Säule $M = a : b : ooc$ 109° , $a = a : oob : ooc$, und $b = b : ooa : c$, nebst einem Tetraid $o = a : b : c$ mit 77° in Axe c . Auch das Gegentetraid o' ist da, nebst dem Paare $r = a : c : oob$.



4. Grünspan.

Essigsaures Kupferoxyd $Cu \bar{A} H$. Spangrün. 2 + 1gliedrige Krystalle: Säule $T = a : b : ooc$ bildet nach Kopp vorn 72° , sie ist ziemlich deutlich blättrig. Schiefenfläche $P = a : c : oob$ macht 63° gegen die Axe c , hinten die dreifach schärfere $y = 3a' : c : oob$ 56° gegen Axe c , endlich noch das Augitpaar $o = a' : c : \frac{1}{2}b$, die mit Ty und PT Zonen bildet. Interessant sind die häufigen Zwillinge, welche die Schiefenfläche P gemein haben, und umgekehrt liegen; sie haben also die analoge Lage, wie die Individuen 1 und 3 oder 2 und 4 beim Feldspathvierling.



Wöhler Pogg. Ann. 37. 166 lehrte auch einen zweigliedrigen Grünspan $Cu \bar{A} H^5$ kennen, er bildet 2gliedrige Dodekaide, die durch Wasserverlust in den gewöhnlichen Grünspan umstehen.

Essigsaures Natron $Na \bar{A} H^6$, was in den schönsten weingelben 2 + 1gliedrigen Säulen krystallisiert, die Säule $T = a : b : ooc$ macht vorn $84^\circ 30'$, ihre stumpfe Seitenkante wird durch $M = b : ooa : ooc$ gerade abgestumpft. Am Ende herrscht die Schiefenfläche $P = a : c : oob$, $68^\circ 16'$ gegen Axe c ; meist noch die vordere stumpfe Kante P/T durch $m = \frac{1}{2}a : \frac{1}{2}b : c$ abgestumpft.

Bleizucker, Essigsaures Bleioxyd $Pb \bar{A} H^3$ isomorph mit $Ba \bar{A} H^3$.

Ebenfalls 2 + 1gliedrig. Die Säule $T = a : b : \infty$ macht vorn 52° . Ihre scharfe Kante ist durch $k = a : \infty b : \infty$ gerade abgestumpft. Diese nebst der Schiefendfläche $P = a : c : \infty b$ sind blättrig und stark ausgedehnt, wodurch die Krystalle ein gewendet 2 + 1gliedriges Aussehen haben. Die Blätterbrüche k/P schneiden sich unter $109^\circ 48'$. Ihre scharfe Kante stumpft die hintere Gegenfläche $x = a' : c : \infty b$ ab. Ueber essigsauren Baryt siehe Pogg. Ann. 90. 25.

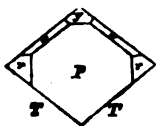
5. Doppelsalze $Me S + Ak S + 6 H$.

Worin Me die Metalle Eisenorydul, Manganorydul, Zinkoryd, Cadmiumoryd, Kobaltorydul, Nickelorydul, Kupferoryd, Magnesia; und Ak Kali und Ammoniak bedeuten. Diese bilden unstreitig eine der merkwürdigsten Gruppen isomorpher Krystalle, und da sie so leicht krystallisirt zu bekommen sind, so liefern sie ein vortreffliches Uebungsbeispiel.

Nach Graham zerfallen die einbasischen Salze in Beziehung auf Wassergehalt in zwei Gruppen. Unter den schwefelsauren Salzen sind es die

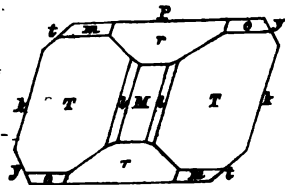
1) Gypsgruppe mit geraden Atomen Wassers, im Wasser wenig löslich und nicht geneigt zur Bildung von Doppelsalzen: $Ca S + 2 H$, $Cu S + 4 H$, $Mg S + 6 H$ gehören dazu;

2) die Eisenvitriolgruppe mit ungeraden Atomen Wassers, wie Eisen- und Kupfervitriol pag. 531. Alle sind im Wasser sehr löslich, und bilden mit schwefelsaurem Kali oder schwefelsaurem Ammoniak leicht Doppelsalze. Bei solchen Doppelsalzen vertritt das $K S$ ein Atom Wasser, ohne daß dadurch die Form wesentlich verändert würde. Daher haben sie die 2 + 1gliedrige Form des Eisenvitriols mit 7 Atom Wasser. Die Winkel der verschiedenen Salze weichen zwar untereinander ab, der Typus ist aber bei allen unverkennbar: z. B.



Schwefels. Nickeloryd-Kali $K S + Ni S + 6 H$; schön grünfarbig. Eine etwas blättrige Säule $T = a : b : \infty$ hat vorn etwa 109° . Die herrschende Schiefendfläche $P = a : c : \infty b$ macht die Krystalle nicht selten tafelförmig, und dann pflegen sie parallel der Diagonale $a : c$

gestreift zu sein. Ungefähr 73° gegen die Axe c geneigt. Die hintere Ecke PTT ist durch ein kleines glänzendes Dreieck $y = a' : 3c : \infty b$ abgestumpft, woraus sich $o = a' : \frac{1}{2}b : c$ in Zone P/T und T/y ableitet. Fläche $r = a : \frac{1}{2}b : c$ liegt in der Diagonalzone von P . Schwefels. Kobaltorydul-Ammoniak ist hochroth, schwefels. Kupferorydul-Kali blau, schwefels. Manganorydul-Ammoniak blaß rosenroth, schwefels. Zinkorydul-Kali farblos. Besonders schön

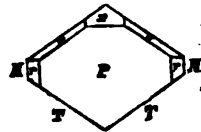


geräth meergrünes schwefels. Eisenorydul-Ammoniak, woran sich die fast rechtwinklige y so ausdehnt, daß man sie für 4gliedrige Tafeln hält, allein man sieht in der Medianebene nur optisch-zweiarige Ringe. Häufig ist auch $m = \frac{1}{2}a : \frac{1}{2}b : c$ die vordere Kante P/T abstumpfend. Mit ihrer Hilfe lassen sich die Flächen leicht

deduciren. Denn setzt man $m = 111$, und $o = 1'11$, so ist $T\ 110$, $P\ 001$, $r\ 011$, $y\ 2'01$, $t\ 201$, $k\ 100$, $M\ 010$, 1120 . Schwefels. Magnesia-Kali und schwefels. Magnesia-Ammoniak zeichnen sich durch ihre Farblosigkeit und Klarheit aus: bei jenen wird $k\ 100$ breit und läßt das vordere optische Arenbild sofort sehen; bei diesen ist dagegen gewöhnlich nur die linke scharfe Säulenante durch $M\ 010$ gerade abgestumpft. Häusser (Pogg. Ann. 91. 300) hat es optisch untersucht. Alle diese Krystalle haben noch die vortreffliche Eigenschaft, daß man sie wie Minerale aufbewahren kann, ohne daß sie sich verändern. Ob Ammoniak oder Kali darin sei, macht äußerlich keinen wesentlichen Unterschied, vor dem Röthrohr auf Kohle mit Soda zusammen erhitzt erkennt man das Ammoniak leicht am Geruch.

6. Asparagin.

$Ca\ N_2\ H_{10}\ O_8$ wurde schon 1805 von Robiquet in jungen Spargeltrieben entdeckt (Pogg. Ann. 28. 104), dann in allen Kartoffelarten u. gefunden. Die Nettigkeit seiner klaren luftbeständigen Krystalle fällt in hohem Grad auf. Miller (Pogg. Ann. 36. 477) hat sie zweigliedrig, Ropp (Einkl. Kryst. 213) $2 + 1$ gliedrig beschrieben. Und allerdings ist auch ihr Habitus oft $2 + 1$ gliedrig, erinnert sogar auffallend an Feldspath. Säule $T = a : b : \infty c$ macht vorn $116^\circ 50'$; Schiefendfläche $P = a : c : \infty b\ 64^\circ 29'$ gegen Axe c läßt sich von der hintern Gegenfläche $x = a' : c : \infty b\ 64^\circ 46'$ gegen Axe c nicht unterscheiden. $TTPx$ bilden nicht selten ausgezeichnete Oblongoctaeder. Dazu kommt noch, daß auch die Augitpaare $o = a' : c : \frac{1}{2}b$ und $r = a : c : \frac{1}{2}b$ vorn wie hinten erscheinen. $M = b : \infty a : \infty c$ gewöhnlich nur klein, auch $b : 2a : \infty c$ ist angedeutet. Nun ist zwar meist eine Schiefendfläche ausgekehrt, allein man weiß nicht, ohne vorherige genaue Messung mit dem Reflexionsgoniometer, ob die ausgekehrte P oder x sei. Das Auftreten von r , die dem Feldspath so fremd ist, erinnert an die vorige Gruppe, dagegen trifft man statt y dort hier stets x . Merkwürdig ist das einseitige Auftreten der Flächen r und o , an meinen Krystallen kommen nur die linken vor.

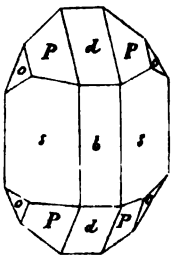


Für die äußerliche Orientirung ist es ganz gleichgültig, ob man sich die Krystalle 2gliedrig, oder $2 + 1$ gliedrig denken wolle. Selbst die Arenzeichen bleiben die gleichen, es fällt bloß der Unterschied zwischen vorn und hinten weg. Solche Beispiele weisen aber auch evident genug, wie unzweckmäßig die Mohlsche und Naumannsche Bezeichnung sein muß, wenn es auf einmal beliebt, von der Fläche P oder x eine zur Endfläche zu nehmen: so bequiem es auch vielen Krystallographen beim ersten Anblick scheinen mag.

7. Unterschwefelsaures Natron $Na\ S\ H^2$.

Isomorph mit unterschwefelsaurem Silberoxyd. Schon Dr. Heeren hat sie untersucht und beschrieben (Pogg. Ann. 7. 70). Es sind zweigliedrige wasserhelle Krystalle, die den klarsten Bergkrystallen gleichkommen.

Ihre Luftbeständigkeit ist groß. Die blättrige geschobene Säule $s = a : b : \infty c$ macht $90^\circ 38'$, gleicht daher einer quadratischen, aber nur der vordere stumpfe Winkel ist stets durch $b = a : \infty b : \infty c$ gerade abgestumpft, auch sieht man wie beim Bittersalz quer durch jede Säulenfläche ein Bild der optischen Axen, daher ab Axenebene. Ein Paar $d = a : c : \infty b$ auf die vordere stumpfe Säulenlante aufgesetzt macht 118° in Axe c . In ihrer Diagonalzone liegen zwei Oктаeder $P = a : c : b$ und $o = a : c : \frac{1}{2}b$. Die Endflächen sind zwar etwas verzogen,



aber so constant vorhanden, daß über die Deutung des Systems, auch wenn man die Winkel nicht kennt, kein Zweifel herrschen kann.

Das Unterschwefelsaure Silberoxyd hält sich an der Luft ebenfalls vollkommen, nur daß es am Lichte ein wenig grau anläuft. Es hat eine Fläche $a = b : \infty a : \infty c$ mehr. Unterschwefelsaures Strontian $Sr \bar{S} \bar{H}^4$ ist isomorph mit unterschwefelsaurem Kalk. Heeren bekam es in 6gliedrigen Tafeln: ein Dihexaeder $a : a : \infty a : c$ hatte in den Seitenlanten etwa 120° , die Endcke durch $c : \infty a : \infty a : c$ stark abgestumpft. Es werden außerdem noch eine Reihe anderer unterschwefelsaurer Salze beschrieben, die meist aus heißen Lösungen in einem Glascolben dargestellt wurden, welcher leicht verkorkt in einem Kasten mit Baumwolle umhüllt schon nach 12 Stunden die schönsten Krystalle gab (Pogg. Ann. 7. 11).

8. Salpetersaures Uranoxyd

$\bar{U} \bar{N} \bar{H}^6$ gibt prachtvolle gelbe an den Kanten ins Grüne schillernde Krystalle. An der Luft überziehen sie sich mit gelbem Ocker, halten sich aber dann. Es sind ausgezeichnete 2gliedrige Dodekaide mit einem Paar abgestumpfter Kanten, doch halbiren sie sich in der Regel mittelst der Ansaßfläche, welche dem blättrigen Bruche $P = b : \infty a : \infty c$ parallel geht. Senkrecht dagegen steht $a = a : \infty b : \infty c$. Das Oктаeder $o = a : b : c$ bildet Rhomben, deren Kante $b : c$ durch $d = b : c : \infty a$ abgestumpft wird, d/d macht über P in Axe b $62\frac{1}{2}^\circ$, welchen man leicht mit dem Handgoniometer controliren kann. Es ist natürlich in solchen Fällen gleichgültig, welche Axe man als aufrechte c nehmen will. Ich bin Ropp in voriger Bezeichnung gefolgt. Man könnte füglich auch in diesem Falle von der Säule $d = a : b : \infty c$ ausgehen, dann wäre $P = b : \infty a : \infty c$, da sie die scharfe Säulenlante d/d abstumpft. Fläche $a = c : \infty a : \infty b$ würde zur Geradenfläche, und o behielte ihren Ausdruck.



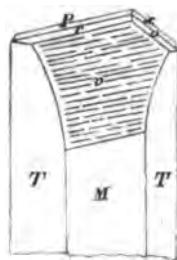
9. Oxalsaures Chromoxyd.

$\bar{Cr} \bar{O}^6 + 3 K \bar{O} + 6 H$. Dieses Doppelsalz bildet den Ausgangspunkt einer ganzen Reihe, worin die Base Chromoxyd durch Eisenoxyd oder

Thonerde, und das Kali durch Ammoniak vertreten werden kann. Die nadel-förmigen Krystalle sind 2 + 1gliedrig. Eine geschobene Säule $T = a : b : \infty c$ macht vorn 70° , ihre stumpfe Kante ist durch $M = b : \infty a : \infty c$ gerade abgestumpft. Am vordern Ende herrscht die Schiefendfläche $P = a : c : \infty b$ 70° gegen $Axe\ c$ geneigt. Die hintere Gegenfläche $x = a' : c : \infty b$ macht einen kleinern Winkel. Augitpaare $o = a' : c : \frac{1}{2}b$ und $r = a : c : \frac{1}{2}b$ kommen zwar vorn und hinten vor, allein meist nur einseitig. Die aller-eigenthümlichsten Flächen bilden jedoch die bauchigen

Paare $v = a : c : \frac{1}{x}b$, wo x eine sehr große Zahl ist.

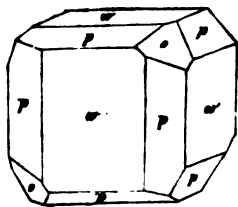
Dieselbe verschwimmt so gleichartig mit M , daß man ihr kaum einen festen Ausdruck wird geben dürfen. Für die Orientirung ist sie außerordentlich wichtig und macht, daß die Krystalle an ihrem Oberende schneidig und dünn werden. Das liefert wieder für ihr interessantes optisches Verhalten eine willkommene Bequemlichkeit (Pogg. Ann. 76. 107).



Die Krystalle sehen nämlich im reflectirten Lichte ganz dunkel schwarz-grün aus und haben wenig Durchscheinheit. Auch das Pulver bleibt Berg-grün. Im durchfallenden Licht nehmen sie dagegen ein brennendes Lasur-blau an, wie die schönste Kupferlasur. Bei der geringen Durchscheinheit sieht man den Farbenwechsel jedoch nur an den Kanten, und besonders quer durch das Augitpaar v , weil an dieser Stelle die Krystalle am dünnsten sind. Im Dichroskop bekommt man ein blaues und grünes Bild: rein blau ist dasjenige, was parallel der $Axe\ c$ schwingt, also bei aufrechter $Axe\ c$ das extraordinäre, bei horizontaler das ordinäre; das grüne schwingt senkrecht gegen $Axe\ c$, es spielt stark in das Smaragdgrün besonders an der untern Kante, dazwischen liegen rothe Streifen und Flecken, welche bei kleinen Drehungen lebhafter hervortreten. Und dieser Gegensatz der farbigen Bilder schwindet gänzlich in der Zwischenstellung, d. h. sobald die $Axe\ c$ 45° gegen die längere Linie des Lichtoblongums macht pag. 129. Beide Bilder sind dann rein blau, nur etwas blasser, als das Blau der differenten Bilder.

10. Chlorsaures Natron.

$Na\ Cl$ isomorph mit $Na\ Br$. Mitscherlich (Pogg. Ann. 17. 333) bekam sie in Tetraedern, deren Kanten durch die Würfel Flächen abgestumpft, und deren Ecken durch die Granatoederflächen je dreiflächig zugespitzt waren. Würfel und Granatoeder müssen ja bei allen hexamiedrischen Systemen vollflächig auftreten. Ram-melsberg pag. 76 fand Würfel w , woran die abwechselnden Ecken durch das Tetraeder o abgestumpft waren, und neben diesem Tetraeder zeigten sich noch einseitige Abstumpfungsfächen der Würfelfanten durch eine Fläche, die gegen die anlie-



genden Würfelflächen sich unter $116^{\circ} 20'$ und $153^{\circ} 20'$ neigte. Da nun das Pyritoeber $p = 2a : a : \infty a$ mit den Würfelflächen $116^{\circ} 34'$ und $153^{\circ} 26'$ machen muß, so konnte das keine andere Fläche sein. Zwar kam in den schief abgestumpften Würfelanten noch eine zweite Fläche zuweilen vor, allein diese neigte sich 135° gegen w , mußte also dem Granatoeber angehören. Rammelsberg fährt nun fort:

„Die Beobachtung des Pentagonododecaeders an einer künstlichen Verbindung ist zwar an sich nicht neu (pag. 519), aber deswegen besonders „interessant, weil diese Form hier in Combination mit dem Tetraeder vorkommt, während man bisher niemals eine geneigtflächige (tetraedrische) und „eine paralleelflächige (pyritoebrische) Form zusammengefunden hat.“ Durch Aufschneiden der Würfel und Beschmutzen mit den Fingern kann man die hemiedrischen Flächen beliebig herbeiführen (Jacobsen, Pogg. Ann. 113. 100).

Chlorsaures Kali $K \text{ Cl}$, welches fabrikmäßig dargestellt wird, weil es zu den allbekannten Zündhölzern dient, sollte isomorph mit chlorsaurem Natron sein. Allein seine luftbeständigen Tafeln gehören dem $2 + 1$ gliedrigen Systeme an, haben jedoch mit Rhomboedern so auffallende Ähnlichkeit, daß sie einen vortrefflichen Beweis liefern, wie nahe überhaupt beide Systeme einander werden können. Nach Miller (Pogg. Ann. 55. 621) bilden die niedrigen Hendyoeder eine geschobene Säule $T = a : b : \infty c$ von 104° in der vordern Säulenlante, und die Schiefendfläche $P = a : c : \infty b$ macht $105^{\circ} 30'$ in der vordern Kante P/T , so daß sie von der Säulenlante nur $1^{\circ} 30'$ abweichen, was das bloße Auge nicht unterscheidet. Dazu kommt noch, daß alle drei Flächen blättrig sind. Kopp erwähnt auch Zwillinge, welche P gemein haben und umgekehrt liegen, auch dieses ist dem Rhomboedrischen Zwillingengesetz analog. Indes bemerkt doch schon das bloße Auge Unterschiede: nicht bloß sind die Säulenflächen häufig klein und die P tafelförmig ausgebreitet, sondern P hat auch parallel den Hendyoederkanten eine feiderartige Streifung, welche man auf T vergeblich sucht.

11. Magnesium-Platin-Cyanür.

$Mg \text{ Pt Cy}^2 \text{ H}^3$. Dies ist das prachtvoll grünschillernde rothe Salz, was zu dichroskopischen Untersuchungen sich vor allem trefflich eignet (Gaidinger Pogg. Ann. 68. 202). Dasselbe ist luftbeständig, und verändert sich jahrelang in offenen Rapseln aufbewahrt nicht. Die Krystallisation bildet quadratische Säulen mit Geradendfläche. Die Säulenflächen zeigen im reflectirten Licht einen grünen metallischen Schimmer, die Geradendfläche hat dagegen diesen Schiller nicht, sondern ihre rothe Farbe nimmt bloß im reflectirten Lichte einen starken Stich in's Blau an, im durchfallenden verschwindet der Schiller und das Blau gänzlich, die Farbe ist hochroth. Im Dichroskop bekommt man bei aufrechter oder horizontaler Anstellung von c stets ein schillerndes Bild: das schillernde schwingt parallel der Axe c , das nicht schillernde senkrecht darauf. Schief gegen die Endfläche des schillernden Bildes gesehen nimmt dieselbe eine prachtvolle Schattirung von Blau an. Nur wenn ich senkrecht gegen die Geradendfläche sehe, sind beide

Silber gleich. Es bilden diese Salze die schönsten Beispiele für physikalische Flächen Differenz. Grailich (Krystall. opt. Unters. pag. 99—126) hat eine ganze Reihe hierher gehöriger Salze zusammengestellt.

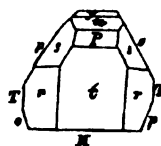
Kalium-Platin-Cyanür $K Pt Cy^2 H^3$ ist gelb durchsichtig, schillert aber im reflectirten Licht blau. Die Säulen mit Geradenfläche werden auch quadratisch beschrieben (Pogg. Ann. 71. 224), nach Gmelin zweigliedrig.

Barium-Platin-Cyanür $Ba Pt Cy^2 H^3$ bildet prachtvolle goldgelbe Krystalle mit einem bläulichen Schiller im reflectirten Licht. Scheint $2 + 1$ gliedrig zu sein (Schabus, Sitzungsb. Wiener Akad. 1850. Mai 300). Strontiumplatincyanür $Sr Pt Cy^2 H^3$ und Calciumplatincyanür $Ca Pt Cy^2 H^3$ sind wieder 2 gliedrig.

12. Doppelschromsaurer Kali.

Ka Cr². Jenes prachtvolle morgenrothe Salz, was fabrikmäßig aus dem Chromeisenstein dargestellt wird, und die Quelle aller übrigen Chromverbindungen abgibt. Das System ist 1 gliedrig, aber von ganz besonderem Interesse wegen seiner Verwandtschaft mit Cyanitkrystallisation. Meist Zwillinge, und zwar nach dem dritten Cyanitzwillingsgesetz pag. 288: sie haben nämlich trotz der Eingliedrigkeit alle Flächen der Säule MTo gemein, nur ihre Enden liegen umgekehrt. Man kommt zu dieser Stellung, wenn man das eine Individuum 180° gegen das andere um die Kante M/T dreht. Der 1ste Blätterbruch M läßt sich leicht an seinem Perlmutterglanz erkennen, nach ihm werden die Krystalle tafelartig, und sein ebener Winkel fast ein Rechter. Der 2te Blätterbruch T schneidet ihn unter $98^\circ = M/T$. Der 3te Blätterbruch P gibt sich zwar nicht immer durch eine Krystallfläche zu erkennen, allein man kann auch nach ihm die Krystalle leicht zerbrechen, zumal da er den kürzesten Dimensionen der Individuen zu folgen pflegt: $P/M = 84^\circ$, $P/T = 91\frac{1}{2}^\circ$. Der scharfe Säulenwinkel M/T wird durch o abgestumpft, und zwar macht $o/M = 114\frac{1}{2}^\circ$, folglich $o/T = 149\frac{1}{2}^\circ$. Ausnahmsweise wird auch die stumpfe Säulenkante M/T durch p abgestumpft. Am Ende herrscht meist die Fläche t mit 67° gegen den hintern Blätterbruch M, sie stumpft die scharfe Kante der Blätterbrüche P/M ab, während die stumpfe hinten durch zweierlei Fläche x und y abgestumpft wird, was die Zwillinge leicht erkennen läßt. In der Diagonalzone von t findet sich links und rechts r, in der ersten Kantenzone hinten dagegen s. Würde man $o = a:b:\infty c$, und $p = a:b:\infty c$, ferner $t = a:c:\infty b$, $P = a':c:\infty b$ setzen, so ist $M = a:\infty b:\infty c$, $T = b:\infty a:\infty c$, $r = a:\frac{1}{2}b:c$, $s = a':c:\frac{1}{2}b$. Häufig findet man die Flächen r. Eine der optischen Axen durch den blättrigen Bruch sichtbar macht mit Kante M/T einen scharfen Winkel.

Einfaches Chromsaurer Kali K Cr pag. 523 ist das schöne schwefelgelbe Salz, was nach Mitscherlich mit K S, K Se und schwefel-

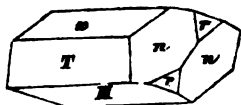


saurem Ammoniak isomorph ist (Pogg. Ann. 18. 100). Es bildet lange rhombische Säulen $a : b : c$ von $120^\circ 41'$, worauf das 2gliedrige Oktaeder $a : b : c$ aufgesetzt ist. Mit besonderer Zierlichkeit zeigt sich vorn ein kleiner matter Rhombus, welcher wechselsweise mit Säule und Oktaeder in Zonen fällt, daher den Ausdruck $\frac{1}{2}a : c : \infty b$ hat.

13. Oxalsäure $\bar{C} H^2$.

Gewendet 2 + 1gliedrig, wie Epidot pag. 280. Die Krystalle verwittern zwar an freier Luft etwas, zerfallen aber nicht, und da man sie leicht von außerordentlicher Schönheit bekommt, so sind sie ein willkommenes Beispiel für jenes von Weiß so glücklich gelöste verwickelte Krystallsystem. Gewöhnlich bilden sie lange rhomboidische Säulen M/T von etwa 102° , deren scharfe Kante durch x ungefähr gerade abgestumpft wird. T ist deutlich blättrig, und nach M werden die Krystalle oft tafelartig, und diese ist in vielen Fällen auch nicht rein ausgebildet. Am Ende herrscht ein Augitpaar n/n von 117° in der Kante, es ist ziemlich blättrig, aber wird schief auf sämtliche Säulenflächen aufgesetzt. Wesentlich für die Orientirung ist öfter noch ein kleines Flächenpaar r , welches die n in Rhomben verwandelt, woraus folgt, daß $nn\ rr\ Tx$ ein Dodekaëd bilden. Nimmt man schiefe Axen, so kann man dann schreiben:

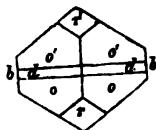
$n = a : b : \infty c$ vorn mit scharfer Säule von 63° . Dazu bildet die blättrige $T = a : b : \infty c$ die Schiefendfläche, die häufig verschwindende $x = a' : c : \infty b$ die hintere Gegenfläche, $r = b : c : \infty a$ ein Paar auf die stumpfe Säulenkante aufgesetzt. Da nun ferner M in Zone T/x und r/r liegt, so muß $M = c : \infty a$:



∞b sein, obwohl man die Zone r/r selten gut beobachten kann.

14. Taurin $C^4 H^7 N O^6 S^2$.

Jene merkwürdigen klaren luftbeständigen Krystalle, welche Hr. Prof. Strecker aus Ochfengalle darstellte, erscheinen beim ersten Anblick zweigliedrig: Oktaeder $o = a : b : c$, scheinbar gerade auf die Säule $p = a : b : \infty c$



$111^\circ 28'$ aufgesetzt; $b = b : \infty a : \infty c$ stumpft die scharfe Säulenkante gerade ab; darüber $d = b : c : \infty a$; vorn und hinten ein schöner Rhombus $r = a : c : \infty b$. Bricht man jedoch kleine Säulen entzwei, so bekommt man parallel der hintern r' einen deutlich blättrigen Bruch als Schiefendfläche,

das System kann nicht 2gliedrig, sondern muß **zweiundeingliedrig** sein. Damit stimmt auch die Polarisation: man sieht durch b zwei optische Axen, deren Ebene etwa 45° gegen c geneigt ungefähr senkrecht auf dem Blätterbruch steht, + b ist optische Mittellinie. Hr. Descloizeau fand $\varphi < \nu$, $2E = 113^\circ$. Was die physikalische Betrachtung lehrt, bestätigten auch die Messungen von Ropp (Kryst. 112).

Britte Klasse.

Gediegene Metalle.

Man stelle zu dieser nicht eben umfangreichen Klasse alle Stoffe, die sich in der Natur frei, d. h. chemisch unverbunden, vorfinden. Es hat das immerhin ein besonderes Interesse, wenn gleich eigentlich dahin nur die Metalle gehören, die sich durch ihr hohes Gewicht, ihre Metallfarbe und ihren Metallglanz auszeichnen. Letztere zerfallen in

edle und unedle.

Edle Metalle, Gold, Silber, Platin, Quecksilber rosten nicht, weil sie nur ungern chemische Verbindungen eingehen, oder wenn sie solche eingegangen sind, sich leicht wieder scheiden lassen: ihre Oxyde reduciren sich im bloßen Feuer. Sie besitzen dabei einen hohen Grad von Dehnbarkeit.

Unedle Metalle, welche nur im Feuer mit Kohle reducirt werden, gehen zwar leicht Verbindungen ein, sind sie aber einmal isolirt, so leisten sie den atmosphärischen Einflüssen Widerstand. Einige derselben, wie Kupfer, Eisen, Blei, Zinn (Cadmium, Nickel, Kobalt, Zink), sind noch geschmeidig und dehnbar; andere, wie Antimon, Arsenik, Tellur, Wismuth, spröde, aber leicht schmelz- und verdampfbar.

Metalle haben die bemerkenswerthe Eigenschaft, sich in allen Verhältnissen mit einander mischen (legiren) zu lassen. Die Legirungen nehmen auffallend andere Eigenschaften an, die ihren technischen Werth erhöhen. Namentlich werden sie härter. Carlvert und Johnson (Pogg. Ann. 108. 272) haben durch ein besonderes Instrument die relative Härte genauer festzustellen gesucht, und fanden die Reihe: Stahl, Stabeisen, Platin, Kupfer, Aluminium, Silber, Zink, Gold, Cadmium, Wismuth, Zinn, Blei.

Regulär: Gold, Silber, Quecksilber, Platin, Iridium, Palladium, Kupfer, Blei, Cadmium, Zink, Eisen; rhombödrisch: Wismuth, Antimon, Arsenik, Tellur, Osmium, auch das dimorphe Palladium, Iridium und Zink (G. Rose Pogg. Ann. 107. 450; Weiß, Sitzungsab. Kais. Akad. Wiss. 1860. XXXIX. 252).

1. Gold.

Der König der Metalle, und den ältesten Völkern bekannt. Das hebräische *Sahab* (vom Sonnenlicht beschienen) und *Aurum* erinnern an Or

(Nicht), weil seine Farbe und Glanz mit der Sonne (☉) verglichen wird, dem alten alchemistischen Zeichen. Nach der Edda sind die Menschen zuerst in Hader gerathen, als sie Gullweig (Goldmaterie) gruben, und in der hohen Halle brannten. Schon Rebecca (1 Moses 24, 22) trägt goldne Armringe.

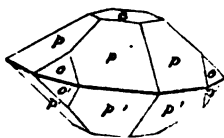
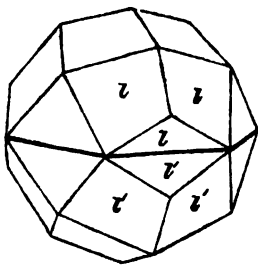
Reguläres Krystallsystem (G. Rose Pogg. Ann. 28. 100), wie Silber und Kupfer, aber die Formen meist nicht recht scharfkantig. Oktaeder o, Würfel h und Granatoeder d kommen gut ausgebildet vor. Californische Oktaeder erreichen 10 Linien Durchmesser (Silliman Amer. Journ. 2. ser. X. 102). Haüy's Cristaux triformes von Matto Grosso zeigen alle drei Körper im Gleichgewicht, ob sie gleich auch nach einer Würfelfläche tafelartig werden. G. Rose führt aus dem Waschgolde vom Ural selbstständige Pyramidenwürfel $a : \frac{1}{2}a : \infty a$ an; Dufrenoy von der Provinz Goyaz in Brasilien, wo auch das Leucitoeder $a : a : \frac{1}{2}a$ vorkommen soll, gewöhnlicher ist aber das Leucitoid $a : a : \frac{1}{4}a$. Ja an einem uralischen Krystalle finden sich an einem Oktaeder neben untergeordneter Granatoeder- und Würfelfläche, das Leucitoid $a : a : \frac{1}{4}a$ und zwei 48flächner, wovon einer $a : \frac{1}{4}a : \frac{1}{4}a$ gut meßbar war, der andere vielleicht $3a : \frac{1}{4}a : \frac{1}{4}a$ sein könnte. Am bekanntesten in Deutschland sind die kleinen blaßfarbigen rauchflächigen Krystalle von Böröspatal in Siebenbürgen, meist Oktaeder mit Würfel, woran aber auch der Pyramidenwürfel und das Leucitoid nicht fehlt. Besonders schön trifft man in dieser Gegend Zwillinge, sie haben wie immer die Oktaederfläche gemein, und

liegen umgekehrt: schön am selbstständigen Leucitoid $l = a : a : \frac{1}{4}a$ von Böröspatal, deren Zwillingegränze oft sehr regelmäßig durch die Mitte des Individuums geht. Beim Pyramidenwürfel $p = a : \frac{1}{2}a : \infty a$, dessen sämtliche Kanten $143^{\circ} 8'$ messen (pag. 67), kann sich die Zwillingegruppe so verkürzen, daß ein förmliches Dihexaeder entsteht, und da die Zwillingegränze sich bis zur Unkenntlichkeit verwischt, entsteht leicht Täuschung. Gewöhnlich tritt das Oktaeder untergeordnet hinzu, und gibt man

dem Pyramidenwürfel das Zeichen $p = a : a : \infty a : c$, so bildet die Oktaederfläche der Zwillingegränze die Geradenfläche $c = c : \infty a : \infty a : \infty a$, während die drei andern einem Rhomboederzwillings $o = \frac{1}{2}a : \frac{1}{2}a : \frac{1}{2}a : c$ angehören würden, wie die Projection pag. 86 sogleich ergibt. Zu Boiça ist sogar ein Fünfling vorgekommen,

indem sich 5 Oktaeder wie beim Binarties mit ihrem scharfen Säulenwinkel von $70^{\circ} 32'$ im Kreise an einander legten, sämtliche Individuen hatten daher in der Geradenfläche eine Granatoederfläche gemein, nur zwischen dem ersten und fünften Individuum mußte eine Lücke von $7^{\circ} 20'$ bleiben, die sich ausfüllte.

Diese Herrlichkeiten findet man freilich nur in großen Sammlungen,



aber schon das Wissen um das Gesetz erfreut, und wir würden es vielleicht nicht kennen, wenn nicht der Werth des Goldes auch auf das Suchen solcher Dinge seine Macht ausgeübt hätte. Gewöhnlich kommt dies edle Metall in Blechen, in draht- und zahnförmigen, seltener in dendritischen Gestalten vor. Ja im Sande wird es meist in Körnern und Flittern gefunden.

Goldgelb, in dünnen Lamellen aber grün durchscheinend (Newton), wie das ächte Blattgold zeigt, auch geschmolzen hat es einen grünlichen Lichtschein. Das Ungarische Gold ist messinggelb, und je mehr es in der Natur Silber enthält, desto bleicher wird seine Farbe.

Härte 2—3, geschmeidig, mit glänzendem Strich und größter Dehnbarkeit. Ein Dulaten kann zu 20 Quadratfuß ausge schlagen, feines Blattgold auf $\frac{1}{1000000}$ Zoll Dicke gebracht werden, so daß $7\frac{1}{2}$ Blatt erst der Wellenlänge des rothen Lichtes gleichkommen (Faraday Pogg. Ann. 101. 517). Auf vergoldetem Silberdraht bringt man es bis auf ein zwölftmilliontel Zoll! Ja schneiden wir eine vergoldete Silbermünze durch, so scheint sie auch auf der Schnittfläche vergoldet, indem selbst das schärfste Messer eine Goldhaut darüber zieht.

Das Gewicht wechselt in der Natur je nach dem Grade der Reinheit zwischen 12—19. G. Rose (Pogg. Ann. 73. 5) fand das geschmolzene Gold 19,28 und das gestempelte 19,33.

Vor dem Löthrohr läßt sich das natürliche Gold nicht sonderlich schwer zu einer Kugel schmelzen, obgleich das reine Gold erst bei 1200° C. fließt. Das reine Gold in Salpetersalzsäure (Königswasser) löslich, indem sich Goldchlorid bildet, was Nägel und Haut purpurroth färbt, aber schon am Lichte scheidet sich wieder metallisches Gold aus, namentlich entzieht ihm auch Eisenvitriol das Chlor, es werden $6 \text{ Fe S} + \text{Au Cl}^3 + \text{H}^2$ zu $3 \text{ Fe S} + 3 \text{ H Cl} + 3 \text{ S} + \text{Au}$, indem die drei Oxygen des Wassers die 6 Fe zu 3 Fe machen. Gold färbt das Glas purpurroth. Verdünnte Kupferchloridlösung erzeugt auf Gold keinen Fleck.

Das natürliche Gold ist durch Silber in allen Verhältnissen verunreinigt, es wird dadurch lichter, leichter und härter (Pogg. Ann. 23. 101), unbedeutend ist der Gehalt an Kupfer und Eisen; Australisches und Californisches enthält Iridium, daher wies letzteres die Bank von England zurück (Ann. min. 1854. VI. 515). Das Gold aus dem Goldsande von Schabrowskoi bei Katharinenburg hielt 98,96 Au, 0,16 Ag, 0,35 Cu, 0,05 Fe. Gewöhnlich beträgt aber das Kupfer bei den Uralischen viel weniger bis 0,02 p. C. Boussingault fand 98 Au, 2 Ag von Bucaramanga in Südamerika; Kerl 95,48 Au, 3,59 Ag im Australischen; Oswald 93 Au, 6,7 Ag im besten Californischen Golde. Aber von diesem Maximum im Feingoldgehalt scheinen nun alle möglichen Abstufungen vorzukommen, schon Klaproth (Beiträge IV. 1) nannte eine

Electrum mit 64 Au und 36 Ag, es bricht auf Silbergängen bei Schlangenberg am Altai, und ist viel blasser, als das goldreichere Metall. Plinius 33. 23 sagt ausdrücklich: *omni auro inest argentum vario pondere. Ubicunque quinta argenti portio est, electrum vocatur.* Herodot I. 50 heißt es λευκὸς χρυσός weißes Gold. Im Golde von Böörspatat fand G. Rose

sogar 38,74 Ag. Das schließt sich dann an das Gildische Silber von Rongsberg an. Schon mit 40 p.C. Silber legirt sieht die Mischung weiß aus. Es fand sich im Alterthum vorzüglich in Gallicien.

Den Silbergehalt des Goldes kann man vor dem Löthrohr mittelst Phosphorsalz prüfen: die Glasperle opalisirt unter der Abkühlung in Folge von aufgenommenem Silberoxyd. Beträgt das Silber nicht über 15 p.C., so löst sich aus Blechen mittelst Salpetersalzsäure das Gold; ist jedoch mehr Silber, so umhüllt das entstehende Chlor Silber die Goldtheile, und bewahrt sie vor Lösung. Steigt dagegen das Silber auf 80 p.C., so zieht reine Salpetersäure es vollkommen heraus, das Gold bleibt metallisch zurück. Legirungen von 15—80 p.C. Silber können mit 3 Theilen reinem Blei (geglühtem effigsaurem Blei) zusammengeschmolzen und dann mit Salpetersäure behandelt werden. Die Practiker bedienen sich des Probierrheins pag. 212. Sie haben bekannte Legirungen von Silber und Gold (goldene Probiernadeln), machen auf den Stein einen Strich, und können schon aus der Färbung auf den Goldgehalt schließen. Tröpfelt man dann Salpetersäure darauf, so löst diese das Silber, und läßt das Gold zurück. Gold hat so wenig Verwandtschaft zum Sauerstoff, daß man es im Knallgebläse, mit Brenngläsern u. verbampfen, und im Dampfe Silber vergolden kann.

Die Goldmacherkunst (Alchemie) wird seit alter Zeit vergeblich getrieben. Im Mittelalter trachtete man hauptsächlich nach dem Stein der Weisen, dem großen Elixir oder Magisterium (Meisterstück), der die Eigenschaft hatte, schmelzendes Metall in Gold zu verwandeln (Kopp, Geschichte der Chemie). Noch im Jahre 1597 wurde der Alchimist Honauer in Schwaben gehängt.

Verbreitung des Goldes ist außerordentlich groß. So enthalten z. B. die Erze des Rammelsberges bei Goslar nach Hausmann in 5,200,000 Theilen 1 Theil Gold, der gewonnen wird, weil er mit dem Silber fällt. Alle alten Silbermünzen enthalten noch Gold, aber seitdem man weiß, daß Silber in concentrirter Schwefelsäure gelöst werden kann, lohnt es sich selbst noch $\frac{1}{1000}$ Gold abzuschneiden, so viel enthielten die herabgesetzten Koburger Sechser. Die Kronenthaler haben sogar $\frac{1}{1000}$ Gold, d. h. 12000 fl. in der Million fl. (Pogg. Ann. 74. 216). Das Silber schlägt man aus der schwefelsauren Lösung durch Kupferplatten nieder. Die Schwefelkiese auf den Gängen und Lagern von Freiberg haben bis ein 400 Milliontheil Gold; die von Marmato bei la Vega de Cupia (Provinz Popayan) nach Boussingault $\frac{1}{1000}$; auch der Arsenikalkies von Reichenstein in Schlesien wird auf Gold ausgebeutet (Abh. Berl. Akad. 1814. 22), 1853 lieferten die Sublimationsrückstände mittelst Chlorgas 18 Mark. Auf der Südseite der Karpathen sind die Breccien der Ephenit-Porphyre so vom Golde durchdrungen, „daß jeder Stein auf der Kapelle ein Goldkorn hinterläßt“. Zu Brösapat liegt es im Karpathensandsteine am Fuße eines Trachtporphyr 1 Meile nordöstlich Abrudbanja (Jahrb. Geol. Reichsanst. 1861. 66). Zu Königsberg sollen früher die Arbeiter mit dem Staube bezahlt worden sein, der in ihren Kleidern hängen blieb. Hier in dem Ungarisch-Siebenbürgischen Gränzgebirge setzen

sich die einzig bekannten Golderge mit Tellur verbunden an: Schrifterz mit 30 Au und Blättererz mit 9 Au. Alles übrige Gold kommt auf ursprünglicher Lagerstätte hauptsächlich eingesprengt, in krystallinischen Silicatgesteinen vor, aber so fein vertheilt, daß die Arbeit darauf nicht lohnt. In den Dauphiner Alpen bei la Gardette hat man es bis 1835 zu wiederholten Malen vergeblich versucht. Am Rathhausberg bei Gastein, am Hainzenberge im Zillertal zc. ist der Ertrag auch nur unbedeutend. Besonders gern sammelt sich das Gold auf Quarzgängen: so wird es zu Verefowsk nördlich Katharinenburg, dem einzigen Goldbergbau im Ural, in kleinen Mengen gewonnen. In Ungarn zu Naghag, Offenbanya, Kremnitz ist es mehr Erz, als gediegen Gold, was man ausbeutet. Werden nun aber diese goldhaltigen Gesteine zertrümmert, wie das zur Diluvialzeit vielfach der Fall gewesen sein muß, und wie es jetzt noch durch unsere Flüsse in kleinem Maßstabe geschieht, so wird das schwere Gold ausgewaschen und zurück bleiben, es bilden sich

Goldseifen, lockere Gebirge, die mit Wasser behandelt einen kleinen Theil ihres Goldgehaltes fallen lassen, was in Tüchern oder haarigen Fellen (das goldene Fließ des Jason) aufgefangen wird. So unvollkommen diese Methode auch sein mag, denn im Ural kann man damit höchstens $\frac{1}{4}$ Theil, gewöhnlich nur $\frac{1}{10}$ — $\frac{1}{100}$ des ganzen Gehaltes gewinnen, so weiß man doch bis jetzt nichts Besseres. Durch Schmelzen ließe sich freilich viel mehr heraus bringen, aber das lohnt die Kosten nicht, da im Durchschnitt der Uralische Goldsand nur $\frac{1}{100000}$ enthält. Und das ist erst noch viel. Am Rhein, wo der Mann mit Waschen einen lärglichen Tagelohn verdienen kann, ist der Sand 7—8mal schlechter, es würde sich hier gar nicht lohnen, wenn nicht das Gold mehr in Blättchen, die sich leichter anhängen, vorkäme. Im Ural und in den meisten goldreichen Gegenden sind es vielmehr Körner mit rundlichen Oberflächen und allerlei Unebenheiten. Das russische Riesenstück, welches 1842 in den Goldwäschern bei Miass gefunden wurde, wiegt 88 \mathcal{R} russisch, ist 15 Zoll lang und 10 Zoll hoch, gleicht dem geschmolzenen schnell erkalteten Metall, mit großen wulstigen Unebenheiten, in deren Tiefen Spuren von Krystallisation sichtbar werden. Quarz und Titaneisen sitzt stellenweis daran (Verhandl. Kais. Russ. Mineral. Gesellsch. 1843. pag. 70). Das Museum des Berg-Instituts bewahrte damals aus dem Ural 236 Goldklumpen von 463 \mathcal{R} Schwere und 168,000 Silberrubel Werth! Das größte Stück in Deutschland fand sich im Mühlbach bei Entkirch an der Mosel ohnweit Berncastel 3 $\frac{1}{2}$ Loth, und wurde im Berliner Museum aufbewahrt (Pogg. Ann. 10. 100), ist aber durch Diebstahl abhanden gekommen.

Der Goldwerth schwankt immer etwas, je nach dem Gewinn und den politischen Zuständen. Gold lieferte schon zur Zeit des Moses in vielen Centnerschweren Massen das Hauptschmuckwerk beim jüdischen Cultus (2 Moses 38, 24), der Gnadenstuhl und die Cherubim waren aus massivem Gold. David vermachte dem Tempel 3000 Talent Goldes (1 B. Chron. 30, 4), und Salomo holte auf eigenen Schiffen 420 Talente (nach Weston's Berechnung 3 Millionen Pfund Sterling) aus Ophir. 1 Kön. 9, 28, und

bekam überhaupt in einem Jahr 666 Talente Gold, 1 Rön. 10, 14. Schon zu Plato's Zeit wurde der Werth auf das 12fache des Silbers gesetzt, wie es etwa noch heute in der Türkei ist. Alexander erbeutete in Persopolis 120,000 Talente (150 Mill. Thaler). Die Römer trieben einen ungeheuren Goldluxus besonders mit Ringen, Plin. 33. 6. Dennoch hatte Cäsar in Gallien so viel erbeutet, daß es plötzlich nur $7\frac{1}{2}$ mal theurer als Silber wurde, während es unter Justinian wieder auf 22 stieg. Zu unsern Zeiten schwankt die Goldwährung zwischen 14—15, d. h. $14\frac{1}{2}$ \mathcal{R} Silber gelten so viel als 1 \mathcal{R} Gold, und da das Silber reichlich ein Halbmal so schwer als Gold ist, so haben Goldstücke von gleicher Größe mit Silberstücken ungefähr einen 27fachen Werth. Die feine Mark 360 fl.

Asien war nach alten Angaben das goldreichste Land der Erde, und schon Herodot sagt, daß im Lande der Dardi (Kaschmir) Ameisen größer als Füchse goldhaltigen Sand aus der Erde werfen. Noch heute sind alle Zuflüsse des obern Indus so goldhaltig, daß Ritter (Erdkunde 14. 110) dahin das Land Ophir versetzt. Verschiedene asiatische Völker bedienen sich der rohen Goldkörner als Tauschmittel. Besonders viel Goldstaub liefern die großen Inseln Celebes, Borneo, Sumatra u. Es scheint bis jetzt noch wenig ausgebeutet, denn ein Fürst von Celebes versprach einem amerikanischen Kaufmann, binnen Jahresfrist eine beliebige Menge in Stücken von 6—12 \mathcal{R} zu liefern. In Persien sollen nach den dortigen Sagen die Gräser des hohen Elwend die gemeinsten Metalle in Gold verwandeln. Aehnlichen Reichtum birgt das noch unbekannte

Afrika. Südlich den Katarakten des Nil, noch südlich von dem alten Meroe (Sennaar), wird das Gold im Strom gefunden, Fazoglo, Scheibom und das Mondsgebirge ist den Sagen nach so reich, daß Mehmet Ali Expeditionen dorthin ausrüstete. Weiter südlich im Reich Batua sollen Madagaskar gegenüber in der goldreichen Ebene von Manica die Goldkörner aus flacher Erde gegraben werden. Ja ein Theil der Westküste hat von den Kaufleuten den Namen Goldküste, wo schon nach Herodot IV. 196 die Karthager handelten, erhalten, weil die Mandingo-Neger den Goldstaub aus dem Quelllande des Senegal und Gambia hier absetzen. Man hat daher wohl gemeint, daß Ophir die Küstenländer von Afrika oder des glücklichen Arabien waren. Doch lieferte die alte Welt in unsern Zeiten nie mehr die Schätze in dem Maße, wie es im hohen Alterthum der Fall gewesen zu sein scheint. Zwar machten die

Russischen Besitzungen von Nordasien am Ural und Altai in unserm Jahrhundert große Ausbeute, aber nicht ohne Anstrengung. Der Ural scheint darnach das Land der Scythen Herodots zu sein, „wo die einäugigen Arimaspen das Gold unter den Greifen hervorziehen“. Noch heute ist es dort ein einträglich Geschäft, den Goldschmuck zu suchen, welchen die alten Tschuden ihren Todten mit ins Grab gaben. Dennoch wurden erst 1819 die Goldwäschen im Ural wieder eröffnet. Die Goldseifen, unsern Rehmildungen überaus ähnlich, ziehen sich auf der Ostseite des von Nord nach Süd streichenden Gebirges wohl 150 Meilen weit in gerader Linie fort,

die größten Stücke kommen im Süden, in der Gegend von Miass (Werchno-Uralst das südlichste Werk) vor, je weiter nach Nord, desto feiner das Goldkorn. Die Kosten betragen $\frac{1}{4}$ des Goldwerthes. 1843 gewannen Privaten und Krone 1342 Pud im Werth von 16 Mill. Silberrubel (à 1 fl. 50 fr.). 1847 1722 Pud, und von 1819—1851 etwa 18,400 Pud oder 460 Mill. Gulden. Nördlich vom Altai, in den mittlern Flußgebieten des Obi, Tom, Jenissej bis zur Jena, wird das Gold durch Verbrecher gewonnen. 1841 und 42 zogen 350 Expeditionen im Gouvernement Jeneseisk in die Taigas (finstere Wälder) und fanden nichts, solche Mühe kostet das Auffuchen neuer reicher Lager! Dennoch stieg dort der Goldertrag so schnell, daß er den am Ural bald zu überflügeln drohte, allein schon 1847 erreichte er seinen Höhepunkt 1396 Pud, 1850 nur noch 1031, 1852 blos 818. 1844 sollen im Gouvern. Jeneseisk 150,000 Bouteillen Champagner getrunken worden sein! Das gibt uns das beste Bild von den Goldsuchern.

In der **Neuen Welt** war es zuerst Brasilien, was die Goldgier in Aufregung brachte. 1590 sah man beim Sklavenfang Indianische Weiber und Kinder mit Goldblättchen geschmückt und nun drangen ganze Karawanen in die Urwälder, die in den Bächen von St. Paulo pfundschwere Stücke fanden. In Minas Geraes fischten 1680 die Indianer mit goldenen Angelhaken, und noch heute ist daselbst die Stadt Villaricca der Hauptort. Ein schieferiger Quarzfelsen mit Eisenglimmer (Itutinga) enthält das Gold in Blättchen, die zuweilen $\frac{1}{4}$ Fuß lang werden, aber immer sehr dünn bleiben. Man treibt Versuchsorter in das 60' mächtige Lager, und leitet Wasser hinein, welches das Gebirge zernagt und Gold auswäscht (Gilbert's Ann. 59. 180). Eine einzige Mine (Gongo-Socco) hat in 12 Jahren den Engländern 20 Millionen Gulden Goldes geliefert. 1785 fand sich bei Bahia ein Goldklumpen von 2560 Pfund im Werth von $1\frac{1}{4}$ Mill. Gulden! Die ganze Cordillere von Chili bis zur Landenge von Panama liefert theils in Quarzgängen auf Thonschiefer und Gneis, theils in Seifen und im Flußsande viel Gold. In La Paz am Titicacasee stürzte im vorigen Jahrhundert ein Thonschieferfels herab, worin Goldstücke von 50 \mathcal{R} steckten, und der Felssturz brachte in wenigen Tagen 80,000 Piafter ein. Erst im Sommer 1852 kam die Bevölkerung Peru's in Aufregung, es hatte sich nördlich Lima in der Cerro de Sanu an der Küste von Huacho in Quarzadern des Porphyr ein ungeheurer Reichthum an feinstem Gold gefunden, muß aber bergmännisch gewonnen werden. Wenn die Küstketten so viel Gold bergen, so läßt sich daraus auch der Reichthum weiter nördlich im Schuttlande von Choco wohl erklären. Großes Aufsehen machte in unsern Tagen

Californien. Schon lange war der Goldreichthum des nördlichen Mexiko's bekannt, denn in den Gruben des Trachtyts von Villalpondo nördlich Guanajuato enthält nach Humboldt der thonige Schlamm der Goldgänge eine solche Menge unsichtbarer Goldtheilchen, daß die nackt arbeitenden Grubenleute nach gethaner Arbeit gezwungen sind, sich in großen Gefäßen zu baden, damit der kostbare Staub ihres Leibes nicht verloren gehe. In der nördlichen Provinz Sonora entdeckte man 1836 nördlich Arispe am Flusse

Gil einen Sand, der täglich 16 \mathcal{Z} Gold lieferte. Die Arbeiter durchwühlten mit einem Stock den Boden, um die sichtbaren Körner aufzusuchen. Aber was war das gegen den Reichtum am Rio Sacramento in Obercalifornien, wo man im Frühjahr 1848 beim Graben eines Mühlbachs das erste Goldforn fand (Silliman Amer. Journ. 1849. 2 ser. VII. 125). Nach 3 Monaten sammelten sich schon 4000 Menschen, von denen der Mann täglich gegen 2000 fl. erbeuten konnte, obgleich nur Nägel, Taschenmesser zc. die rohen Werkzeuge bildeten. Schon im Jahre 1848 sollen 5 Mill. Dollar, 1849 aber 40 Mill., 1850 50 Mill., 1851 56 Mill. ausgeführt sein. Genaue Angaben sind bei der Gewinnungsart nicht möglich. Doch scheint die Furcht, als würde das Gold plötzlich entwerthet, auch diesmal nicht begründet, denn 1860 wurden nur 47 Mill. erbeutet, die Sache ist schon wieder im Abnehmen. Die Vereinigten Staaten haben außerdem im Osten längs des Alleghani-Gebirges in Virginien, Nordcarolina über die Westseite von Südcarolina hinweg bis Georgien hinein, auf einer Längenerstreckung von 100 Meilen Goldseifen und Goldgänge auf Quarz im Talkschiefer. Beim Graben von Brunnen sind in Nordcarolina Stücke bis zu 53 \mathcal{Z} schwer gefunden worden. Endlich wurde auch in

Australien (Athenaeum 1849. Nro. 1132) im Gebirge des Bathurst-Distrikts westlich von Sydney das Gold von einem Schäfer in solcher Menge entdeckt, daß es sogar Californien in Schatten zu stellen drohte. In der Victoria-Colonie fanden sich gleich anfangs Goldklumpen im Werth von 5500 Dollar (Leonhard's Jahrbb. 1853. 12), bei Bathurst von 106 \mathcal{Z} und 48,000 fl. Werth, bei Ballarat sogar von 184 \mathcal{Z} , das eingeschmolzen für 55,840 Thlr. Gold lieferte! 1852 sollen in der Provinz Sydney und Victoria für 75 Mill. Gulden gewonnen sein. 1859 führte Australien 2½ Mill., 1860 nur noch 2 Mill. Unzen aus. Die Goldtrophäe von Victoria, welche gegenwärtig in der Londoner Industrieausstellung das Auge auf sich zieht, ist ein 70' hoher Obelisk, welcher ein Gewicht von 16,000 Etr. und einen Werth von 100 Mill. Pfund Sterling repräsentiren soll; $\frac{1}{4}$ der englischen Nationalschuld! Das Victoriagold enthält bis 99,9 p.C. fein, der Goldquarz aber Arsenikkies, Bleiglanz, Grauspießglanz zc. Auch Van Diemens- und Neuseeland sind goldführend, hier besonders die mittlere Insel. Clarke (Silliman's Amer. Journ. XIII. 118) macht darauf aufmerksam, daß das Australische Gold genau im Meridian 149° östlich Greenwich liege, während 90° westlich davon das Uralische und 90° östlich das Californische sich aufgehäuft habe.

Die Europäischen Länder sind dagegen arm, aber vielleicht nur, weil die Ausbeute schon längst gemacht wurde. So spricht Plinius 33. 21 von einem Goldreichtum Spaniens, ganze Berge wurden in Gallicien, Lusitanien und Asturien mit Feuer und Wasser zerstört, heute ist Gold dort unbekannt. In Italien verbot ein Gesetz, daß nicht mehr als 5000 Arbeiter aufgestellt werden dürften. In Frankreich (Reaumur Mém. de l'Acad. 1718) werden die Ariege in den östlichen Pyrenäen, die obere Garonne bei St. Beat, der Gardon in den Sevennen, die Rhone zc. als goldführend

zum Theil noch ausgebeutet. In Deutschland gibt der Rhein noch eine kleine Ausbeute von Waschgold, bei Wittenweier und Philippsburg, woraus die badische Regierung alljährlich etwa 2000 Ducaten schlägt, obgleich Daubrée ausgerechnet hat, daß zwischen Basel und Mannheim 80 Millionen Gulden im Rheinbett liegen (Buliet. geol. Franc. 1846. 488). Die Goldblättchen scheinen aus der Molasse zu stammen. Zwar führt auch die Mosel in den Vogesen Gold, aber so wenig, daß ein Tagewerk nur 3 Centimen liefert. Auch in Württemberg hat man 1818 versucht, aus dem weißen Keupersandsteine von Sternenfels (Ob. Maulbronn) Gold zu gewinnen, aber die Kosten konnten nicht gedeckt werden. Aus der Donau (Jahrb. geol. Reichsanst. IX. 10), Inn, Isar, Salzach waren in München 1854 Goldsande ausgestellt; der Diluvialboden bei Bodenmais, der Schwarza-Grund am Thüringer Wald, die Edder im Waldeckischen (Jahrb. 1854. 224), der Diemel bei Stadtberge (Jahrb. 1856. 21) u. haben zeitweis Ausbeute gegeben. Vereinzelt steht auf dem Unterharze der Fund von gebiegen Gold bei Tillerode in den Eisenerzen auf der Gränze zwischen Grünstein und Thonschiefer. Nur Oesterreich gewinnt in Ungarn und Siebenbürgen jährlich 6—7000 Mark, aber meist durch Bergbau. Ungarn war in frühern Zeiten sehr berühmt, Gold in Quarz wurde selbst auf dem Gipfel des Tatra-Gebirges, dem Krivan, gewonnen. Aus Siebenbürgen stammen die meisten Goldstufen unserer Sammlungen, wo auf Quarzgängen um Böröspatai hauptsächlich Bergbau umgeht. Zu Olahpian wird noch Waschgold sogar mit Platin gewonnen, an der Aranyos sieht man selbst noch Spuren alter Römerwäschern. Vom Goldreichtum des Böhmerwaldes (Jahrb. geol. Reichs. 1854. 220) wird noch heute dort viel gesprochen. Auch die Alpen sind nicht zu vergessen: es finden sich nicht blos am Rathhausberge in Salzburg, am Heitzen im Zillertal, Goldstufen an der Galanda bei Felsberg, sondern auch die Bäche führen Gold, wie die beiden Emmen am Pilatus, Reuß, Aar u. Die Goldproduction während der 5 Jahre von 1848—53 ergab einen Werth von 2 Milliarden Franken. Davon kamen im Jahre 1852 etwa 300 Mill. auf die Californischen Wäschereien, 160 Mill. auf Australien, 90 Mill. auf Ural und Altai, und die übrigen 50 Mill. auf sämtliche andere Länder. Zippe nimmt jährlich 4000 Etr. an, d. h. einen Würfel von 8' Kantenlänge. Schätzt man den ganzen Goldvorrath im Handel auf 500 Mill. Pfund Sterling, so gäbe das nur einen Würfel von 20' (v. Kobell, Miner. popul. 1862. 179).

Man darf aus dieser großen Verbreitung nicht etwa voreilig schließen, daß das Gold sich vor andern Stoffen auszeichne. Nur sein Werth hat zu der Entdeckung geführt, und seine ungeheure Dehnbarkeit in Verbindung mit seinem Glanz macht, daß es wie das Sonnenlicht selbst bis in die Hütte der Armuth bringt (v. Kobell, Skizzen aus dem Steinreich. 1850. pag. 138), und aller Augen auf sich zieht. Berthollet wies es sogar in der Pflanzensafte nach.

Anwendung. Feines (reines) Gold kann weder zu Münzen, noch zu Geräthschaften angewendet werden, weil es zu weich ist, aber schon $\frac{1}{10}$ Blei macht es glasartig spröde, selbst schon $\frac{1}{100}$ Wismuth wirkt deutlich

ein. Mit Silber und Kupfer bleibt es dagegen geschmeidig. Zu dem Ende wird die Mark = 16 Loth in 24 Karat getheilt: nimmt man nun 3. B. 22 Karat Feingold und mischt dazu 2 Karat Silber, so heißt solche Legirung 22karätig. Die rothe Karatirung geschieht mit Kupfer: $\frac{1}{4}$ Kupfer gibt die härteste Masse, und die Farbe wird dabei röthlich gelb, also höher, und die Dichtigkeit etwas größer. Die weiße Karatirung geschieht mit Silber, aber die Farbe wird blässer, daher ist das nicht gewöhnlich. Am leichtesten schmilzt die gemischte Karatirung mit Kupfer und Silber.

2. Silber.

Schon bei Ufflas findet man Silubr, bei Otfried Silabar, lateinisch Argentum, mit dem Zeichen des Mondes (☾, Hebräisch Keseph (vom Mondlicht beschienen). So lange als Gold gekannt, obgleich Plinius noch die Existenz des gebiegenen Silbers in der Natur läugnet. Native Silver, Argent natif.

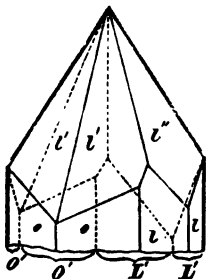
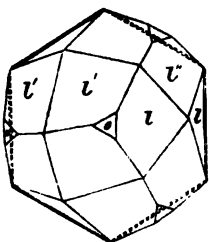
Es hat die reguläre Krystallform des Goldes. Würfel, Oktaeder und Granatoeder kommen in Sachsen bis zu $\frac{1}{4}$ Zoll Durchmesser vor, der größte Würfel von Rongsberg hat $\frac{3}{4}$ Quadratzoll Fläche. Leucitoid $a : a : \frac{1}{2}a$ (Pogg. Ann. 64. 533). Naumann gibt noch Pyramidenwürfel $a : \frac{1}{2}a : ooa$ und $a : \frac{1}{4}a : ooa$ bei sächsischen Krystallen an, wo auch das Granatoeder keine seltene Erscheinung ist. Besonders schöne Krystalle Rongsberg, nebst Zwillingen von einfachen Würfeln und Leucitoiden, wie beim Golde pag. 556.

Dieselbst dehnen sich zuweilen die Leucitoidzwillinge l, parallel einer Oktaedersäule o/o in zweigliedriger Stellung übermäßig aus. Die Zwillingsebene ist bei unsern Figuren die Ebene des Papiers, und die unbezeichneten Flächen oben sind weggefallen. Von den zweigliedrigen Aren geht die Hauptaxe c der Oktaederkante parallel, und die Nebenen liegen in der Granatoederfläche, welche die Endcke gerade abstumpft. Sehen wir zunächst von dem Zwillinge ab, und gehen von dem 2gliedrigen Oktaeder l' aus, so ist

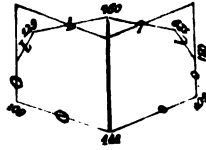
$$a : b : c = \frac{1}{2} \sqrt{2} : 3 : \frac{1}{2} \sqrt{2} = \frac{1}{2} : \sqrt{2} : 1,$$

wie sich nach pag. 47 leicht ergibt. Folglich ist auf diese Aren bezogen $l' = a : b : c$, in der vordern Endkante $148^{\circ} 54'$; das Paar $l'' = c : \frac{1}{2}b : ooa$ schneidet l' unter $117^{\circ} 2'$. Die Oktaederflächen o/o bilden die Säule $o = 2a : b : ooc$ vorn mit dem Oktaederwinkel $109^{\circ} 28'$, deren scharfe Kante das zweite Paar von Leucitoidflächen $l = 6a : b : ooc$

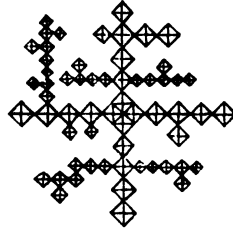
zuschärft, folglich ist $l/l = 129^{\circ} 31'$ und $l/o = 150^{\circ} 20\frac{1}{4}'$. Wenn nun diese 2gliedrigen Krystalle einen Zwilling bilden, wie der Fall ist, so haben sie die Säule o gemein und liegen umgekehrt. Aber dieser Zwilling der zweigliedrigen Stellung ist zugleich auch der der regulären. Bestehende Fori-



horizontal-Projection der Säulen macht dies so-
gleich klar: wo sich l und L in der Zwillingsgrenze
begegnen, entsteht ein auspringender Winkel $160^\circ 18'$;
 $l/l = L/L$ sind $129^\circ 31'$; $o/o = O/O = 109^\circ 28'$;
 $o/O = 141^\circ 4'$, doch kann an dieser Stelle auch
der einspringende $L/l = 160^\circ 18'$ sich einstellen.



Keine Krystalle haben so entschiedene Neigung, dendritische Formen zu
bilden, als das gebogene Silber, man hat daher den deutschen Namen sogar
von Silviger ableiten wollen. Diese Dendriten sind z. B. im Schwerspath
der Grube Sophie zu Wittichen auf dem Schwarzwalde
nichts weiter als ein Proliferiren des Oktaeders nach
allen Seiten: es setzt sich immer ein Oktaederchen auf
das andere, und jeder Nebenstrahl kann wieder zu einem
Hauptstrahl werden. Im Querschnitt (untere Figur)
haben daher die Nester 4 Arme. Aber denke man sich
auch noch so viele Verzweigungen, alle schneiden sich in
der Richtung der Oktaederaxen unter rechten Winkeln,
und das Ganze bildet ein einziges Oktaeder. Anders
ist es, wenn die Strahlen sich unter 60° schneiden
(Farrenkrautartiges), wie es auch auf der
Sophie vorkommt. Dann entstehen Zwillingöver-
zweigungen, wie beim Kupfer. Auch Austerkrystalle
nach Rothgülden und Sprödglassergz gibt es, da die-
selben sich schon durch heiße Wasserdämpfe reduciren.



Sehr ausgezeichnet sind die Haar-, Draht- und Zahnförmigen Bil-
dungen, besonders schön bei Schneeberg und Rongsberg. Die Zahnförmigen
sind wegen ihrer Ähnlichkeit mit Stoßzähnen von Elefanten benannt. Zu
Rongsberg brach 1834 ein solcher Zahn von $7\frac{1}{2}$ Ctr. Gewicht! Diese äußern
Gestalten sind auffallend gedreht und gekrümmt, „und es ist sehr gemein,
daß weiß Silber auss gediegen Glassergz spreißet.“ So daß letzteres wahr-
scheinlich aus ersterem entstand. Bleche und Platten, letztere mit unregel-
mäßigen Eindrücken und zackigen Auswüchsen, kommen vor. Silberweiß,
rein ist es das weißeste Metall, hat aber doch einen Stich ins Gelb und
läuft an der Oberfläche gelb, roth, braun bis schwarz an, in Folge einer
Aufnahme von Schwefel oder Chlor. Härte 2—3, etwas härter als Gold,
geschmeidig mit sehr glänzendem Strich und hartem Bruch. Durch Häm-
mern wird es härter und spröder, und läßt sich zu Blattsilber von 100000
Zoll ausdehnen. Gegossenes wiegt 10,478, gehämmertes 10,6.

Vor dem Löthrohr schmilzt es leicht zu einer Kugel. Bei langsamem
Erkalten krystallisirt es in Oktaedern. Das feine Silber nimmt beim Schmel-
zen Sauerstoff auf, und gibt diesen beim Erkalten unter Spragen ab,
treibt dabei mehrere Zoll lange Bäumchen, sogar krystallisirt, heraus. In
Salpetersäure löst es sich bei der Wärme zu salpetersaurem Silberoxyd, was
kalt in glänzenden weißen 2gliedrigen Tafeln sich ausscheidet. Auch in con-
centrirter Schwefelsäure löst es sich unter Bildung von schweflichter Säure.

Salzsäure gibt einen käsigen Niederschlag von AgCl , der am Lichte violett und schwarz wird. Ammoniak löst den Niederschlag leicht, indem sich Chlor-silber-Ammoniak bildet. Saures chromsaures Kali und Salpetersäure erzeugen auf Silber einen rothen Fleck. Vollständig ist Silber schwer zu reinigen, namentlich nimmt es etwas Silicium auf (Stas, Bull. Acad. Brux. 1860. X).

Goldhaltig ist das meiste Silber, bei Rongsberg kommt eines mit 72 Ag und 28 Au vor (Fordyce, Phil. Trans. 1776. 520), man hat es wohl als guldlich Silber unterschieden. Gewöhnlich ist aber der Goldgehalt viel geringer pag. 557. Kupfer gibt Berthier 10 p. C. neben 90 Ag von Curcy Dep. Calvados an. Das Silber von Johann-Georgenstadt enthält 99 p. C. fein. Außerdem kommt es aber meist

vererzt vor. Diese Silbererze (Gültigerze) brechen auf schmalen Gängen, wie schon Hiob 28, 1 weiß, die seit alter Zeit den Bergbau angeregt haben: Glaserz enthält 87 Ag, Antimon-silber 84 Ag, Hörnerz 75,2 Ag, Sprödglasserz 70,4, Polybasit 72, Rothgülden 65, Silberkupferglas 53, Amalgam, Wismuth-silber 60, Tellur-silber 61, Selen-silber 73, Brom-silber 58, Gold-silber 46, Mhargyrit 35,9, Sternbergit 33, Schilfsilber 24, Silberfahlerz 31,8. Besonders aber sind es die in größeren Mengen brechenden Blei- und Kupfererze, welche durch einen kleinen Silbergehalt angereichert werden. Der Hüttenmann hat sich im Abscheiden dieses edlen Metalls eine solche Fertigkeit erworben, daß er weniger als $\frac{1}{16}$ Loth im Centner, also $\frac{1}{1600}$ tel, nachweisen kann (Platner's Probiertkunst 37), und zwar mit dem Löthrohr! Da man aber mit dem Löthrohr nicht leicht mehr als 1 Decigramm ($\frac{1}{10}$ Quentchen) bewältigt, so läßt sich weniger als 1 Milliontel Quentchen Silbers nachweisen. Eine Wage reicht da nicht mehr hin, und Hartfort kam auf den ingeniosen Gedanken, die kleine abgetriebene Silberkugel zwischen zwei feinen convergenten Linien auf Elfenbein zu messen, was vollkommen gelang. Silber wurde sogar in Meerwasser nachgewiesen, da Chlor-silber im Salzwasser sich löst (Pogg. Ann. 79. 400).

Die Verbreitung des Silbers ist in Beziehung auf Menge 24mal stärker als die des Goldes. Das edle Metall würde aber in seinen schmalen Gängen lange verborgen geblieben sein, wenn nicht gerade die obersten Theile, die bis über den Boden in früherer Zeit emporragten, am reichsten wären. So fanden schon die Phönicië bei ihren ersten Fahrten nach Spanien so viel Silber, daß nach der Sage ihre Schiffe es nicht fassen konnten, selbst Anker machten sie aus Silber. Bei einem Waldbrande in den Pyrenäen floß sogar ein Strom geschmolzenen Silbers aus der Erde (Diod. Sic. V. 14). Auch Hannibal hat mit spanischem Silber seinen zweiten Punischen Krieg geführt, die Grube Debulo in Aquitanien lieferte ihm nach Polibius täglich 300 \mathfrak{A} (Plinius hist. nat. 33. 21). Dem Fugger brachten die Spanischen Silberbergwerke jährlich 6 Mill. Pfaster ein. In Griechenland waren besonders die Silberbergwerke von Laurion bei Athen berühmt, welche durch Sklaven betrieben wurden. So kam es, daß schon zu Plinius Zeit bei reichen Römern Bildsäulen, Wagen, Bettstellen, Kochgeschirre u. von gediegenem Silber

waren, ja in Rom gab es 500 silberne Becken à 100 \mathfrak{A} , und Drusillanus hatte eines von 550 \mathfrak{A} .

Im Mittelalter ging der Silberbergbau in Deutschland hauptsächlich vom Rammelsberge bei Goslar 960 aus; die Silberausbeute erreichte aber vor der Entdeckung von Amerika im sächsischen Erzgebirge ihren Höhenpunkt bei Schneeberg. Schon 1471 wurde hier ein „mächtig Erz“ gefunden, 1477 auf der St. Georgenzsche ein Stück von 7 Ellen hoch und $3\frac{1}{4}$ Ellen breit (es war Glas Erz mit gebiegenem Silber), woraus 400 Centner Silber geschmolzen wurden. Herzog Albert stieg selbst in die Grube hinab, speiste darauf mit seinen Begleitern, und soll nach Agricola Bermannus pag. 693 ausgerufen haben: *Fridericus imperator potens et dives est, ejusmodi tamen mensam hodie non habet*. Albinus (Reisnische Bergsch. pag. 27) weiß nicht genug von dem Silberreichtum des Schneebergs zu rühmen. Er rechnet uns vor, daß in den ersten 79 Jahren von 1471 bis 1550 über zehn Millionen Centner Silber gewonnen seien. Das scheint nun zwar unmöglich (Bergm. Journ. 1794. VI. 1, pag. 151), doch entstand in Schneeberg ein so unsinniger Luxus, daß besondere Gesetze dagegen gegeben werden mußten. „Zum andern ist dieses in gemeinen Geschrey, und von vielen alten Gewercken vnd Bergleuten auffgeschrieben, vnd berichtet geschehen, das man in der blüet des Schneebergischen Bergwercks nicht gnug münzen können, vnd derhalben nicht allein münze, Sondern auch Silberföcken ausgetheilet, wie denn auch Mathesius in seiner Sarepta schreibt, daß man auf S. Georgen auf einmal „hundert marc Silbers, vnd 600 fl. auf einen Ruck ausgetheilet.“ Ja nicht bloß ungemünztes Silber, sondern selbst rohes ungeschmolzenes Erz hat man anfänglich ausgetheilt! Und als Simon Köhler die Werke von Marienberg, die 1540 um Trinitatis 113,000 fl. Ausbeute geliefert hatten, vor allen sächsischen Werken rühmt, setzt er hinzu:

Den Schneeberg lassen wir bleiben,
Da brach's gewaltiglich,
Gott thue sein gnad verleihen,
Daß es hie auch so bricht.

Die Gesteine auf Fabian Sebastian in Marienberg verbreiteten sogar Wohlgerüche „lieblicher als Gewürze“, so daß Herzog Heinrich ausrief, hier ist das indische Calcut!

Auf Neu-Morgenstern kamenachterlange Drusen vor, woraus Haarsilber „kübelweis“ gewonnen wurde. Silber bleibt in Sachsen überall die neueste Bildung, es sollen in mehreren Revieren Silberzähne sogar über dem Rasen abgehauen sein, und zu Rattenberg fand man das Silber zwischen den Wurzeln der Bäume. Heute ist der Himmelsfürst bei Freiberg die reichste Grube: im Quartal Luciae 1857 hatte man in 6 Wochen 19 Ctr. erbeutet, darunter Platten von 60 \mathfrak{A} !

Der Schwarzwald im Gebiete der Kinzig stand besonders im vorigen Jahrhundert in großem Ruf, Grube Sophia bei Wittichen lieferte dendritisches Silber im Schwefspath, der im verwitterten Granit aufsteht. Die Grube Anton im Heubachthale hat noch vor wenigen Jahren auf einen Schuß 50 \mathfrak{A}

gebiegen Silber geliefert, und als ein Bauer 1845 die verlassene württembergische Grube Dreikönigsstern wieder auszubeuten begann, erschürfte er unter dem Rasen 14 \mathcal{R} gebiegen Silber. Aber alles bricht nur sporadisch: so brachte es auch die Grube Wenzel im Schappacher Thal in ihrer besten Zeit mal eines Monats bis auf 24 Ctr. Silbererz, an wenig Antimon und Schwefel gebunden (Denkschr. Herzog Schwab. I. 418).

Die Ungarischen Werke sind nicht minder silberreich, man rechnet den jährlichen Ertrag gegen 100,000 Mark, während der Oberharz jetzt nur noch 50,000, etwa eben so viel Sachsen und Przibram in Böhmen liefern. In Preußen ist besonders der „Seegen des Mansfelder Bergbau's“, wo bei Eisleben sich gebiegen Silber sogar auf den Schuppen der Zechsteinfische niedergeschlagen hat. In Norwegen blüht Rongsberg, was früher sehr heruntergekommen war, und jetzt zu den reichsten Fundorten gehört. In Rußland ist es besonders die Ausbeute bei Schlangenbergs am Altai, auffallend arm ist Frankreich und England, so daß man die ganze europäische Ausbeute nebst Sibirien nicht über 300,000 Mark schätzt. Die Neue Welt liefert dagegen davon mehr als den zehnfachen Betrag. Vor allem

Mexiko, das 1803 allein 2,340,000 Mark gewann. Denn obgleich die Gruben seit 1584 Eigenthum des Entdeckers sind, so ist doch die Ausbeute wegen der Abgaben genau controlirt. Ein einziger Gang im Thonschiefer und Trachtporphyr, die Veta grande bei Zacatecas, lieferte jährlich 172,000 Mark, und doch sind die meist in Quarz eingesprengten Erze so fein vertheilt, daß der Silbergehalt im Durchschnitt nur $\frac{1}{100}$ beträgt, selten enthalten sie $\frac{1}{10}$, und bei $\frac{1}{1000}$ werden die Kosten nicht mehr gedeckt. Aber die Gänge halten gleichmäßig aus, was allein die große Ausbeute erklärlich macht. 1841 wurden 74 Mill. Franken gemünzt, die besonders auf die Distrikte Zacatecas und Guanajuato kommen. Peru liefert 600,000 Mark, die Gruben von Huantabaya, Pasco u. liegen 12,000' über dem Meer, wohin Holz und alle Bedürfnisse nur auf dem Rücken der Saumthiere hingeschafft werden können. Böppig (Reise Chil. Peru Amazonenst. II. 11) gibt uns ein vortreffliches Bild von der Unvollkommenheit dortiger Gewinnungsart: wie Maulwürfe wühlen die ärmlichen Bewohner in der Oberfläche herum, denn wenn man den kurzen Rasen wegnimmt, so hängen auf Flächen von $\frac{1}{2}$ Quadratmeile überall Glaserz und Haar Silber an den Grassurzeln. Der Reichthum im Thonschiefer von Potosi ist sprichwörtlich geworden, wo nach Acosta's Bericht ein Firt eine 9' hohe, 13' breite, 102' lange Erzmauer entdeckte, die über das Gebirge hinausragte. Helm hat daher wohl mit einiger Uebertreibung behauptet, daß bei gehöriger Ausbeutung der Cordillere das edle Metall so gemein als Kupfer sein würde. In Chili brechen in der Provinz Copiapo, welche 1850 gegen 335,000 Mark lieferte, die Silbergänge mit Hornerz hervor, darunter folgt erst das gebiegene Silber, und tiefer die geschwefelten Erze. 1831 ruhte bei Chanarcillo ein Jäger auf einem Felsblock aus, der sich wie Käse schneiden ließ. Es war Hornerz! Humboldt hat ausgerechnet, daß das Silber der Neuen Welt in 300 Jahren eine Kugel von 63 Fuß Durchmesser gegeben habe. Wunderbar schön sind

auch die Klumpen und Knollen gebiegenen Silbers, welche mit Kupfer auf der Grube Eagle River am Lake Superior vorkommen und auffallender Weise sich ganz rein vom Kupfer ausscheiden. Jetzt soll Californien am Ostabhange der Sierra Nevada Peru und Chili noch übertreffen (Jahrb. 1861. 688). Die Erze liegen im Gebiete des Carsonflusses, und haben seit 1859 einen Strom von Auswanderern nach den Washoe-Minen gelockt. Die reichen Stufen werden auf dem Rücken der Maulthiere über die Cordillere geschafft, und in Europa verhüttet (Preuß. Handelsarch. 14. Febr. 1862).

Faucher nimmt den Gesamtwertb der Silberproduction im Jahre 1851 auf 230 Mill. Franken an: Mexiko 133 Mill., Peru 25 Mill., Chile 22 Mill., Spanien 16 Mill., Neu-Granada 12 Mill., Ungarn 7 Mill., Böhmen und Sachsen 5 Mill., Rußland 5 Mill., und das übrige Europa 5 Mill. 1852 soll sich der Betrag auf 250 Mill. gesteigert haben, so daß im Jahre 1852 der Gold- und Silberwerth 850 Mill. betrug. Wenn man dagegen bedenkt, daß die 30 Milliarden, welche das spanische Amerika bis zum Anfange des 19ten Jahrhunderts nach Europa lieferte, schon heute fast gänzlich aus dem Umlauf verschwunden sind, so erklärt das das Stationäre des Werthes hinlänglich.

Der Werth des Silbers ist 24—25 fl. die feine Mark = 16 Loth. Wegen seiner Weiße und großen Politurfähigkeit eignet es sich besonders zu Geräthschaften. Zu dem Ende legirt man es mit Kupfer, wodurch es härter und klingender wird. Es heißt das Vöthigkeit. Ist die rauhe Mark 14löthig, wie die Kronenthaler, so hat sie 14 Loth Feinsilber und 2 Loth Kupfer; das zwölflöthige der preussischen Thaler 12 Loth Silber und 4 Loth Kupfer, diese Mischung wird hauptsächlich verarbeitet. Schon Newton fiel es auf, daß das Silber dabei so wenig von seiner Farbe verliere. Die östreichischen Zwanzigkreuzerstücke sollen nicht viel über 9löthig sein, diese nehmen dann bedeutend Noth an, was aber durch Weißfieden im Wasser mit Weinstein und Rochsalz an neuen Münzen nicht sichtbar ist. Das specifische Gewicht fällt niedriger aus, als es nach der Rechnung sein sollte. Zur Prüfung bedient man sich der Probiernadeln: man macht einen Strich auf den Probierstein, und tröpfelt verdünnte Salzsäure darauf, welche das Kupfer und die unedlen Metalle nimmt, das Silber aber nicht angreift. Merkwürdig ist die Beobachtung, daß 0,0035 Eisen, 0,002 Kobalt und 0,0005 Nickel das Silber so hart machen, daß man es zu Messerklingen und Feilen benutzen kann (Pogg. Ann. 88. 176).

3. Quecksilber.

Quicken oder Berquicken heißt der Bergmann das Amalgamiren, ὑδαργυρος, argentum vivum Plinius 33. 32, Mercure, Quicksilver.

Es haftet in kleinen zinnweißen Kugeln meist zwischen Zinnober auf dem Gestein. Dünne Schichten auf Wassertropfen scheinen blau durch mit einem Stich ins Violet. Gewicht 13,54. Bei — 32° R. erstarrt es zu einer wie Blei geschmeidigen Masse, die auf der Haut Brandblasen erregt. Es zieht sich dabei plötzlich zusammen und wiegt 15,6. Die Petersburger

Academiker machten am 25. December 1759 diese merkwürdige Entdeckung. Es soll dann in regulären Octaedern krystallisiren. Bei 288° R. siedet und verdampft es stark. Von — 32° bis + 80° dehnt es sich vollkommen gleichförmig aus, $1^\circ = \frac{1}{1118}$. Reines Quecksilber oxydirt sich nicht an der Luft, allein das verunreinigte bezieht sich mit einer grauen Haut. Von den mechanisch beigemengten Theilen wird es mittelst Pressen durch Leder gereinigt.

Amalgamation. Das Quecksilber löst gebiegene Metalle, und da es sich beim Ausglühen verflüchtigt, so bleibt das Metall zurück. Daher ist das Quecksilber für das Ausbringen von Gold und Silber von der höchsten Wichtigkeit. Der gewaschene Goldsand wird mit Quecksilber angequickt. Da das Silber meist vererzt vorkommt, so müssen die Erze mit Salz gemischt werden, damit sich Chlorsilber bilde, dieß geschieht in Amerika nach 2 Monaten an der Luft, in Europa durch Rösten in wenigen Stunden am Feuer. Wird die so beschickte Masse mit Eisen und Wasser behandelt, so bildet sich Chloreisen, Silber wird frei, und kann so vom Quecksilber aufgenommen werden. Zu Potosi wurden von 1570 bis 1830 7000 Mill. Gulden vermint, dabei gingen 280 Mill. Pfund Quecksilber im Werthe von 700 Mill. Gulden verloren, die im Schlamm des Pilcomayor liegen. Der Quecksilberverlust beträgt das anderthalbfache Gewicht des Silbers, 11mal mehr als auf dem Halsbrücker Werk bei Freiberg. Becquerel (Compt. rend. Juin. 1854) schlug für die Zugutmachung ein elektrochemisches Verfahren vor.

Zinnober mit 86,2 Hg ist das einzig wichtige Quecksilbererz, denn Horn-, Jod- und Selenquecksilber sind nur Seltenheiten. Quecksilberfahlerz von Ungarn und Schwarz 15,6 Hg.

Almaden (früher 22,000 jetzt 6000 Etr. jährlich liefernd) in der Sierra Morena, Provinz la Mancha, und Almadenejos (5000 Etr.) sind die unerschöpflichen Quellen, wo schon 700 Jahre v. Ch. die Griechen ihr Minium (Plinius hist. nat. 33. 67) holten: es sind lagerartige Gänge, die 24'—50' mächtig mit Zinnober erfüllt im silurischen Thonschiefergebirge aufsetzen. Idria im Krainschen Kalkgebirge ein 2800' langes und 280' mächtiges gehobenes Lager der Kohlenformation. Eine Quelle soll gebiegenes Quecksilber heraus gebracht haben, 1497 trieben schon die Venetianer dort Raubbau. Zu Kaiser Josephs Zeit 1786 lieferten sie an Spanien contractmäßig jährlich 9000 Etr. à 98 fl., gegenwärtig soll der Ertrag auf 3000 Etr. herabgesunken sein. In manchen Bauen kann gebiegenes Metall geschöpft werden. Die Rheinpfalz (Stahlberg und Landsberg bei Moschel) liefert uns die besten Quecksilberstufen, der Bergbau schon seit 1410 im Betrieb, aber unzuverlässig. Die Gänge setzen im Kohlengebirge auf, selbst die Steinkohlen und die Fische im Schiefer sind mit Zinnober bedeckt. 1836 haben die Engländer die meisten Gruben an sich gebracht, der Ertrag war aber schon auf 130 Etr. gesunken. Jetzt ist nur noch der Vogberg bei Ruel mit 90 Etr. im Betrieb (Epoch. der Nat. 278). Gering der Ertrag von Horowitz in Böhmen. Guanica Velica in Peru lieferte 1802 an 3300 Etr.

Auch in Californien bei St. José ist ein New-Almaden etablirt (Silliman's Amer. Journ. VIII. 270) mit einem 42' mächtigen Zinnoberlager, ohne welches das dortige Gold gar nicht hätte gewonnen werden können. Auffallend ist das Vorkommen von gebiegenem Quecksilber in der Diluvialformation: am Tajo bei Bissabon, und neuerlich im Lehm von Sülbeck bei Eüneburg in bedeutenden Mengen (Hausmann Pogg. Ann. 92. 100).

Amalgam nennt man vorzugsweise die Verbindung mit Quecksilber. Reguläre Krystalle fanden sich ausgezeichnet zu Moschel-Landsberg. Es herrscht daran meist das Granatoeder, dessen Kanten das Leucitoeder $a : a : \frac{1}{2}a$ gerade abstumpft. Oktaeder und Würfel untergeordnet. Gar nicht selten ist der Pyramidenwürfel $a : \frac{1}{2}a : \infty a$, am seltensten das Pyramidengranatoeder $a : \frac{1}{2}a : \frac{1}{2}a$, die Kanten zwischen Granatoeder und Leucitoeder abstumpfend. Man findet oftmals alle diese 6 Körper an einem Krystall, den schon Haug deswegen Sextiforme nannte. Es kommen Granatoeder von fast 1 Zoll Größe vor. Ausgezeichnet sind auch die Bleche, welche wie Platinblech aussehen.

Silberweiß, Härte 4, auffallender Weise spröde, erregt auf der Haut ein angenehmes schlüpfriges Gefühl. Gewicht 14,1; die Masse muß sich daher stark verdichten, da das Silber nur 10,5, das Quecksilber 13,5 wiegt.

Vor dem Löthrohr entweicht das Quecksilber leicht, es bleibt ein Silberschwamm, der sofort zur Kugel schmilzt. Klaproth (Beitr. I. 100) fand 64 Hg und 36 Ag ungefähr der Formel Ag Hg^2 entsprechend. Mehr Silber kann das Quecksilber nicht aufnehmen, und dieß scheint eine feste Verbindung zu sein, die sich auch bei überschüssigem Quecksilber zuweilen erzeugen soll. Darunter nimmt das Quecksilber das Silber in allen Verhältnissen auf, es wird nur dickflüssiger. Auf der Amalgamationshütte zu Joachimsthal haben sich auch künstliche Krystalle ausgebildet (Leonhard's Jahr. 1849. 217). Moschellandsberg, Almaden, Szlana in Ungarn.

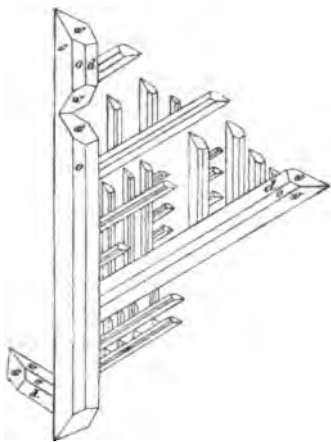
Arquerit (Compt. rend. XIV. 207), Haupterz der reichen Silbergrube Arqueros in Coquimbo, gleicht ganz dem gebiegenen Silber in Form, Farbe und Geschmeidigkeit, wurde deshalb lange dafür gehalten, bis Domeyko 13,5 Hg nachwies, was der Formel $\text{Ag}^6 \text{Hg}$ entspricht.

Goldsamalgam kommt in kleinen zerdrückbaren Kugeln mit Columbischem Platin vor, und enthält 57,4 Hg, 38,4 Au, 5 Ag. Findet sich in Californien fast in allen Districten im flüssigen Zustande (Zeitschrift deutsch. geol. Ges. IV. 712).

4. Kupfer.

Aes cyprium, das Cyprische Erz Plinius 34, nach der Insel Cypern, wo es schon die Phönicië herholten. Zu Tamassus (Strabo 14. c) hat es reiche Minen. Thubalkain schmiedet Kupfer (Moses) und Eisen 1 Mos. 4, 22. Beim Orte Meßla auf der Halbinsel Sinai sollen die Erbauer der Pyramide Gizeh im 4ten Jahrh. vor Christus schon Kupfer abgebaut haben. Χαλκός, bei Agricola 643 schlechthin aes genannt. Cuivre, Copper. Altdeutsch Kuphar.

Regulär wie Gold und Silber in Oktaedern, Würfeln und Granatoedern. Am Lake Superior kommen die prachtvollsten Granatoeder von mehr als Zoll Durchmesser vor, sie übertreffen alles, was man bisher von Formen aus den reichen Kupfergruben von Cornwallis und am Ural kannte. Besonders groß ist die Neigung zu Zwillingen. G. Rose beschreibt von Nischne-Tagilsk den einfachen Zwilling des Leucitoeders $a : a : \frac{1}{2}a$ wie beim Silber von Rongsberg und Elektrum von Böörspatat. Aber vor allen berühmt wurden durch Pallas (Reise 2. 144) die schönen Krystalle der Turjinschen Gruben bei Bogoslowsk am nördlichen Ural, die G. Rose so trefflich beschrieben hat (Reis. Ural. I. 401). Sie liegen im Kalkspath, der durch reine Salzsäure aufgelöst werden kann. Ein Würfel w pflegt daran wenigstens auf einer Seite vorzuherrschen, Oktaeder o und Granatoeder d stumpfen Ecken und Kanten sehr ungleich ab, und hin und wieder sieht man zwischen Granatoeder und Würfel noch eine Pyramidenwürfelsfläche, die Rose als



$a : \frac{1}{2}a : \infty a$ bestimmt, parallel der Würfelkante gestreift spiegelt sie nicht scharf, und sie könnte daher wohl mit den gewöhnlichen beim Gold und Silber bekannten $a : \frac{1}{2}a : \infty a$ übereinstimmen. Häufig bilden sie Zwillinge, und solche Zwillinge lagern sich in den schönsten **dendritischen** Formen an einander, sie werden dabei zwar sehr verzogen, allein sämtliche Arme schneiden sich unter 60° , wie bei Schneesternen. Sie müssen daher drei Granatoederflächen mit einander gemein haben, denn Granatoeder kann man in sechsseitigen Sternen an einander reihen, wie die Bienenwaben zeigen. Der ganze Stern bildet also im Grunde genommen

ein einziges Zwillingeindividuum, die allen gemeinsame Ebene ist die Oktaederfläche, zugleich die Fläche des Sterns, in welcher die Individuen sich gegenseitig um 60° verdrehen. Die Arme des Sternes gehen daher den Oktaederkanten parallel, und in der Zone der



Oktaederkante liegen w od (Würfel, Oktaeder, Granatoeder); d läßt sich stets durch die rechten Winkel erkennen, unter welchen sich die Kanten d/o und d/w unter einander schneiden. Schwieriger ist der Beweis, daß es Zwillinge seien: allein man sieht es schon an den Hauptstrahlen, die sich gewöhnlich in schmalen Lamellen erheben. Wenn die Lamellenfläche oberhalb der Sternfläche w ist, so ist sie auch unterhalb w' , w/w' bilden aber keinen rechten Winkel, son-

dern den Oktaederwinkel $109^\circ 28'$, das kann nur Zwilling sein. Ober wenn man die äußeren Endspitzen der Sternarme genau untersucht, so findet man öfter einspringende Winkel von $109^\circ 28'$, unter welchen sich die Wür-

felsflächen w/w' des Zwillings schneiden. Oft erscheint aber auch ein 2gliedriges Oktaeder $ww'w'$ mit Endkantenwinkel $w/w = 90^\circ$ und $w/w' = 109^\circ 28'$, was man sogar mit dem Anlegegoniometer messen kann. Das ist der Würfelzwilling in zweigliedriger Stellung, woran durch Vergrößerung der Flächen die einspringenden Winkel verschwanden. Es kommen Stücke vor, woran die Unterseite des Sterns ein einfacher viel zerhackter Würfel ist, während die Oberseite sich sternförmig gruppirt. Zu Corocoro in Peru gibt es auch Austerkrystalle scheinbar nach Arragonit (Pogg. Ann. 104. 322).

Zahn-, draht-, haarförmige Gestalten, Bleche und Platten, ganz wie beim Silber. Kupferroth und Metallglanz, aber meist angelauten durch Kupferoxydul und Kupferoxyd. Härte 3, an Geschmeidigkeit und Dehnbarkeit das Eisen übertreffend, daher mit hachigem Bruch. Gew. 8,58, bearbeitetes Kupfer 8,89. Nach Berzelius gegossenes 8,83, gewalztes 8,95. Bester Leiter der Elektricität, daher Kupferdraht früher für Telegraphen wichtig, jetzt nimmt man dazu Eisen.

Schmelzbarkeit 3, es verflüchtigt sich in gutem Röthrohrfeuer mit grüner Flamme. Größere Kupfermassen sprangen vor dem Erstarren: es bildet sich ein feiner Kupferregen, der kleine Körner mit großer Gewalt umherstreut (Spritzkupfer). Fremde Metalle und Kupferoxydul verhindern das. Die geschmolzene Kugel überzieht sich beim Erkalten mit Kupferoxyd, im schwächern Feuer mit Kupferoxydul. Salpetersäure wirkt schon kalt auf Kupfer, es bildet sich eine himmelblaue Flüssigkeit von CuONO^5 . Auch schwächere organische Säuren z. B. Essigsäure wirken, wenn Luft hinzu kann, unter Bildung von Grünspan. Man darf daher saure Speisen in blauen Kupfergefäßen kochen, weil der Dampf die Luft nicht Zutreten läßt, nur nicht kalt werden lassen. Kupfer lange feuchter Luft ausgesetzt, oder in die Erde verscharrt bedeckt sich mit einem spangrünen Ueberzug von Malachit ($\text{Cu}^2 \text{C} \text{A}$), der durch Alter gleichförmiger und dichter wird. Es ist der edle Rost (aerugo nobilis), welcher die Aechtheit alter eherner Waffen beweist.

Gebiegenes Kupfer pflegt nur wenig verunreinigt zu sein. Nicht nur verbreitet in der Asche der Pflanzen, selbst im Blute des Menschen, sondern man findet es auch in viele Centner schweren Massen, und nimmt man dazu noch den Reichthum an Kupfererzen, so wird es erklärlich, wie man in Europa (den Ural miteingerechnet) allein jährlich gegen 500,000 Etr. gewinnt. Dabei ist es nächst Eisen das passendste Metall für schneidende Geräthschaften: es erscheint in der Kulturgeschichte als der Vorläufer des Eisens. Die Bibel erwähnt schon dritthalbtausend Jahr vor Christi Geburt kupferner Gefäße. Die Phönicier machten aus Legirungen mit Zinn Schneideinstrumente, die Trojanischen Helden kämpften mit ehernen Waffen, die Sabiner hatten kupferne Messer, und auch in unsern Eitengräbern findet man allerlei Kupfergeräthschaften. Aber noch im 10ten Jahrhundert konnte man für 7 Kupferpfennige (reichlich 2 Kreuzer Werth) 60 Z Weizen kaufen, und die Maurer am Straßburger Münster begnügten sich mit 14—2 Pfennige Tagelohn.

England hat in Cornwallis einen ungeheuren Schatz an Kupfererzen

aller Art in Gängen der Granite und Thonschiefer, wobei gewöhnlich auch das gebiegene Kupfer nicht fehlt. Außerdem führt es noch Erze aus fremden Welttheilen ein (Chili und Bolivia), um sie mittelst Steinkohlen zu verhütten: in Südwallis zwischen Swansea und Neath liegen über 20 Kupferhütten. Jährlicher Ertrag 300,000 Etr. Das Hamburger Elbkupferwerk verhüttet Erze aus Chili, Australien, Nassau, Hessen mit englischen Kohlen, 25,000 Etr.

Der Mansfeldische Kupferbergbau, seit Jahrhunderten blühend, zieht seine Erze aus dem 8—16 Zoll mächtigen Fläze bituminösen Mergelschiefers der Zechsteinformation. Das Kupfer ist daselbst meist an Schwefel gebunden, aber dabei Silberreich. H. v. Carnall (Zeitschrift für das Berg-, Hütten- und Salinenwesen in dem Preussischen Staate 1853. I. pag. 106) berechnet die Kupferplatte in dem ganzen Lager auf 0,3''' Dicke, und doch gewann man 1852 gegen 27,000 Etr. Gartkupfer und 31,800 Mark Silber, und könnte noch mehr gewinnen, wenn man geschickte Leute genug hätte, die in den niedrigen Bauen von 22"—28" Strebhöhe im Stande wären zu arbeiten.

In Deutschland ist sonst gebiegen Kupfer nicht häufig, es kam zu Birneberg bei Rheinbreitenbach auf Gängen in Grauwacke mit dem bekannten haarförmigen Rothkupfererz vor, auch auf dem Schwarzwalde bei Rippoldsau fand es sich ein Mal. Die Kupferklippen $\frac{1}{4}$ Stunde nördlich Helgoland (Gilberts Ann. 70. 443) liefern größere Geschiebe freilich durch Drybul angefressen. Besonders hervorzuheben ist das Vorkommen im Breinitt des Mandelsteins von Reichenbach, ähnlich auf den Faröer Inseln mit Chabasit. Plattig im rothen Mandelstein von Zwickau, auch die Grünerde der Mandeln pflegt etwas Kupfer zu halten.

Am Ural kommt das gebiegene Kupfer mit Malachit in großen Nestern im Thon vor, schon Pallas erwähnt von der Turja Massen von 4000 Z. Die Demidow'schen Gruben von Nischne Tagilsk lieferten 1849 allein 170,000 Pud. Blöcke von 16 Etr. haben die Kalkspathgänge der Kirgisensteppe geliefert, und das russische Bergcorps bewahrt ein Stück von 52 $\frac{1}{2}$ Pud. Nördlich von Bogoslowsk kommt es im Trapp vor, wie auf der Vären-Insel und den Kurilischen Inseln, wo es als Geschiebe am Strande aufgefunden wird. Schon längst erhielten die Kupfer-Indianer am Kupferminenfluß in Nordamerika ihren Namen von dem Metall, was sie auf der Oberfläche auflasen, und nach Quebeck auf den Markt brachten. 1850 strauchelte ein Viehtreiber von Wisconsin über einen 50 Z schweren Kupferblock. Die alten Bewohner des Mississippihales haben daher das Kupfer schon kalt gehämmert. Lange konnte der berühmte Kupferblock (2200 Z schwer, Henry schätzt ihn sogar auf 10,000 Z) auf dem westlichen Ufer des Ontonagon von 11 Cubikfuß Inhalt (Gilbert's Ann. 70. 443) aus der Bildniß der Südküste des Lake Superior nicht heimgeführt werden, bis endlich in unsern Zeiten am Vorgebirge Keweenaw ein Bergbau auf gebiegen Kupfer eröffnet ist, der alles übertrifft, was man bislang erfahren hat (Silliman Amer. Journ. X. 68). Das reine Kupfer, an welchem öfter Klumpen von gebiegenem Silber hängen, kommt wie auf Nova Scotia und bei Reichen-

bach mit Prehnit im Mandelsteingebirge vor, der mit Potsdamsandstein wechsellagert; Platten bis 3' dick setzen gebiegen in die Tiefe. Die bedeutendsten Anzeichen von Prehnit auf der Oberfläche führen innen zu gewaltigen Ellipsoiden, die an einem Stück gebiegene Massen von 80 Tonnen (160,000 \mathcal{R}) des feinsten Metalles liefern! Die überspanntesten Erwartungen der Bergleute und Geologen wurden durch die Eliff Mine am Kamenow-point 1 Stunde vom Seeufer in der Tiefe weit übertroffen. Und wie kam dieser Reichtum in den Mandelstein? Man hat kaum eine andere Antwort, als durch Galvanische Prozesse oder durch Desoxydation des Cu EL mittelst Wasserstoff. Da ist der Kupferblock von Cochoeira (Provinz Serro do Frio) 2616 \mathcal{R} , in der Sammlung zu Ajuda bei Lissabon, nur noch ein kleines Stück.

Auch Neuholland droht uns mit seiner Ausbeute zu überschütten, 1845 zog die Bergwerksgesellschaft Adelaide mit einem Kupferblock von 24 Etr. ein, und schon wird die jährliche Masse auf 200,000 Etr. taxirt. Besonders geschätzt ist das Japanische schön roth angelaufene Kupfer, soll wegen eines kleinen Goldgehalts streckbarer sein.

Cementkupfer wird aus den Kupfervitriolhaltigen Grubenwassern gewonnen, indem man alt Eisen hineinwirft, wodurch sich Kupfer vermöge der Wahlverwandtschaft niederschlägt. Dieser Niederschlag ist öfter krystallinisch: Rammelsberg bei Goslar, Falun in Schweden, Neusohl in Ungarn zc. Die Vitriole erzeugen sich besonders durch das Feuerfegen in den Gruben.

Der Werth von 1 Etr. Kupfer wird etwa auf $2\frac{1}{2}$ Loth Gold oder $2\frac{1}{2}$ Mark (35 Rthlr.) Silber gesetzt. Doch hängt im Technischen viel von der Beschaffenheit ab. Im Großen dient es besonders zum Beschlagen der hölzernen Schiffe, die sonst sehr von Seethieren (*Teredo navalis*) zerstört würden. Da nun Seewasser Kupfer leicht angreift, so fand Davy das sinnreiche Mittel, es durch eiserne Nägel galvanisch zu schützen. Wenn man Silberdraht in Kupfervitriollösung bringt, so geschieht nichts, verbindet man aber Zink damit, so überzieht sich das Silber mit Kupfer. Jacobi zeigte 1840, daß ein solcher Kupferniederschlag genau die Unterlage kopirt (Galvanoplastik).

Messing = 25 Cu + 75 Zink (Aurichalcum), messinggelb, zwar weniger dehnbar, aber desto leichter schmelzbar, läßt sich also besser in Formen gießen, nimmt stärkere Politur an, und rostet weniger. Physikalische und Astronomische Instrumente, Dampfmaschinen zc. Weniger Zink gibt goldgelbe Leguren, z. B. das Mannheimer Gold ist 4 Cu + 1 Zn. Die größere Härte kommt vom Zink (Pogg. Ann. 108. 575). Unter 50 p. C. Zink macht es spröde.

Bronze ist die seit alter Zeit berühmte Composition von 9 Cu + Sn, die wegen ihrer bedeutenden Härte eine Zeit lang das Eisen ersetzte. Ihre Zähigkeit empfiehlt sie zu Kanonen, und das Klangvolle zu Glocken. Das Glockenmetall 4 Cu + 1 Sn hat umgekehrt wie Stahl die Eigenschaft, beim Ablöschen im Wasser zu erweichen, wodurch man den Chymeln das Uebermaß von Sprödigkeit nimmt. Beisatz von Zink soll auf Römischen, Blei auf Griechischen, und Nickel auf Celtischen Ursprung deuten.

Kupfererze liefern bei Weitem das meiste Metall. Vor allem die Schwefelverbindungen des Kupferkieses 34,4 Cu, Buntkupfererzes 55 Cu, Kupferglas 80 Cu und was sich daran anschließt. Dann folgen die verschiedenen Fahlerze, die bis 40 p. C. Kupfer haben. Selen- und Arsenkupfer sind nur Seltenheiten. Das oxydirte Kupfer besonders Rothkupfererz 88,7 Cu und die Salinischen Kupfererze Malachit, Kupferlasur stehen bergmännisch auf zweiter Linie, obgleich die Erze besser sind. Phosphor- und Arseniksaure Verbindungen erscheinen selten in Menge. Dioptas, Kupfervitriol. Nicht zu übersehen ist auch das Kupfer in Quellen, im Boden, im Meteoreisen zc. (Pogg. Ann. 69. 557).

5. Platin.

Hat von dem Spanischen Wort *platinja* (silberähnlich) seinen Namen bekommen. Schon J. E. Scaliger († 1558) erwähnt von Darien eines spanischen Metalls, was durch keine spanischen Künste geschmolzen werden könne. Ulloa, Mitglied der berühmten Gradmessung am Aequator 1735, brachte es aus den Goldwäschern am Fluß Pinto in Choco bei Popayan mit. Beschreibt es aber als einen so harten Körper, der selbst auf dem Ambos nicht zerschlagen werden könne (Voyage hist. de l'Amerique 1752. I. 273). Gleichzeitig bekam Wood 1741 etwas von Jamaica (Philos. Transact. 1750. 224). Der Schwede Scheffer erkannte es 1752 als ein eigenes Metall (Weißgold), während Buffon es als Gemisch von Eisen und Gold betrachtete. Da das natürliche sehr unrein ist, so wollte das Hausmann Polyrhen nennen. Berzelius Pogg. Ann. 13. 455 und 527, Claus Beiträge zur Chemie der Platinmetalle. 1854. Kopp Geschichte der Chemie. Bd. 4.

Bei dem Uralischen kommen kleine Würfel vor (Pogg. Ann. 8. 502), allein Krystalle sind äußerst selten. Ebelmen erhielt zufällig künstlich ausgezeichnete Oktaeder mit Würfelflächen (Compt. rend. XXXII. 712), Gew. 20,85. Farbe mehr stahlgrau als silberweiß, und daher unansehnlich, namentlich fehlt auch der Glanz. Härte 5—6, seine Dehnbarkeit gibt der des Goldes nur wenig nach. Iridium soll die Härte vermehren, aber die Dehnbarkeit mindern. Das Gewicht des rohen Platins bleibt gewöhnlich unter dem des Goldes 17,5—18, allein verarbeitet geht es darüber hinaus 21—21,7. Ein kleiner Theil des Platins ist magnetisch, sogar attractorisch, denn es bleibt am unmagnetischen Federmesser hängen.

Vor dem Löthrohr unschmelzbar, doch konnte es Plattner in feinsten Drähten schmelzen; dagegen schweißbar wie Eisen, so daß es in der Weißglühhitze sich kneten läßt. Deville (Ann. Chim. Phys. 1861. LXI. 22) lehrt es mit Leuchtgas und Sauerstoff im großen schmelzen. Es spritzt dann wie Silber. Mit Bleiglanz zusammengeschmolzen kann es gereinigt werden. Wie das Gold im Königswasser löslich, doch bleibt ein Rückstand vorzugsweis von Osmiridium. Die gelbliche Lösung von Pt Cl_2 gibt mit Ka C einen gelben im Ueberschuß unlöslichen Niederschlag von Kaliumplatinchlorid, Ka Pt Cl_3 . Ebenso Ammoniak das bekannte Ammoniumplatinchlorid. Erhitzt man dieses, so kommt Platinschwamm, der in starkem Feuer gepreßt und

geschweißt werden kann (Wollaston Pogg. Ann. 16. 180). Früher schmolz man das Platin mit Arsenik zusammen, was leicht geschieht, und verschaffte sich dann durch Röstten den Platinschwamm.

Verunreinigt ist das rohe Platin meist durch Eisen, nach Berzelius bis 13 p. C. gehend. Man könnte davon den Magnetismus einiger Stücke ableiten wollen, allein es finden sich auch nicht magnetische mit 11,04 Fe. Die eisenreichen sind leichter, gehen bis 14,6 Gew. herab, und Breithaupt nannte sie Eisenplatin. Osann (Pogg. Ann. 11. 210) fand sogar magnetische Körner, die 86,3 Eisen und 8,1 Platin hatten. Der Iridiumgehalt geht bis 4,97 p. C., Rhodium 3,46, Palladium 1,66, Osmium 1,03. Spuren von Kupfer fehlen nicht, die bei dem Magnetischen sogar auf 5,2 p. C. Cu steigen. Silber und Gold ist ihm mehr fremd, ob es gleich mit letzterem zusammen vorkommt. Dagegen hat Claus in den Rückständen ein neues Metall Ruthenium (Pogg. Ann. 64. 102 und 65. 220) entdeckt, dessen Dyrh wie Zinnstein krystallisirt. Platin von Bornes enthält nach Bleekrode 71,9 Pt, 7,9 Jr 2.; von Choco 86,2 Pt, 7,8 Fe 2.; von Californien 57,7 Pt, 27,6 Osmiridium, 7 Fe, 2,4 Rh 2.

Platin scheint verbreiteter, als man lange vermuthete, denn Pettenkofer hat im Scheidegolde der Kronenthaler 0,2 p. C. nachgewiesen, also etwa $\frac{1}{5000}$ im Silber (Pogg. Ann. 74. 210). Bauquelin (Gilbert's Ann. 24. 400) fand es im Graugültigerz von Guadalcanal. Die Brauneisensteine im Dep. Charente enthalten $\frac{1}{10000}$ (Pogg. Ann. 31. 200), im Golde von Tlilerode auf dem Unterharz, in Erzen und Gesteinen der Alpen, in den Goldseifen von Ohlapian. Roh kommt es in Geschieben mit unregelmäßigen Eindringen in den Platinseifen vor. Zuerst wurden die Spanier in den Goldwäschen von Choco und Barbacoas an der Columbischen Westküste bei Popayan damit bekannt, allein es wurde öffentlich vernichtet, weil die Regierung eine Entwerthung des Goldes dadurch befürchtete. Auf dem rechten Gehänge des Rio Cauca scheint es sogar auf Gängen im Grünstein mit Gold zu brechen (Pogg. Ann. 7. 220). Die Seifengebirge nehmen etwa eine Fläche von 350 Quadratmeilen ein, Gold, Magneteisen und Zirkon die Begleiter. 1800 erhielt Humboldt ein Zoll großes Geschiebe, das damals größte Stück, aus den Seifenwerken von Taddo 1088,8 Gran (gegen 4 Loth) schwer. Von 18,94 specifischem Gewicht mit blank geschliffener Oberfläche ist es noch heute eines der schönsten Stücke des Berliner Museums. 20 Jahre später erhielten die Spanier ein Stück von 40 Loth. Es kam weiter im Sande des Jalissuffes auf der Ostseite von St. Domingo und in sehr schwammigen Stücken in den Brasilianischen Goldgruben vor. 1808 fing man in Paris an, chemische Geräthschaften daraus zu machen (Schwefelsäurefabriken bedurften großer Kessel), doch betrug die ganze Amerikanische Ausbeute nicht viel über 8 Etr. jährlich. Platin im Goldsande von Nordcarolina, Californien. Erst 1822 fanden sich Stücke in den Goldwäschen des Ural, und als man 1825 auf den Hütten von Nischne-Tagilsk (15 Meilen nördlich Katharinenburg) nach Goldsand suchte, fand sich statt dessen Platin auf Europäischer Uralseite. Dieß ist noch heute die Hauptfundstätte am Ural,

obgleich es in allen Goldwäschen in geringer Menge vorkommt. Der geringe Goldgehalt der Platinwäsche fällt auf. Man gewann früher jährlich 6 bis 7000 Mark, und in den ersten 10 Jahren von 1824—1834 etwa 230 Etr., darunter waren Stücke von mehr als 20 \mathcal{R} Schwere (Pogg. Ann. 33. 102), die an ihrer Oberfläche schwarze Eindrücke von Chromeisenstein (Frit), zuweilen sogar Serpentin anhängen haben, und da der reichste Sand am Ausgange der Serpentinthäler mit Serpentinegeschoben und Chromeisenstand sich abgelagert hat, so ist Serpentin wohl ohne Zweifel das Muttergestein. Fein eingesprengt kommt es auch im Dioritporphyr von Laja vor (Pogg. Ann. 20. 522), Helmersen fand auch Körner im Goldquarz von Beresowsk. Bis 1850 sind 2050 Pud (683 Etr.) gewonnen, als aber 1845 die Russische Krone die Annahme des rohen Platins zur Vermünzung verweigerte, ist der Waschbetrieb fast ganz eingestellt. Die Münze war zu hoch taxirt und wurde beim Sinken des Platinwerthes im Auslande nachgemacht: die Regierung mußte sie aus der Circulation zurückziehen. Im Goldsande von Aba (Pogg. Ann. 34. 521). In den durch Chinesen bearbeiteten Diamant- und Goldwäschen von Borneo (Pogg. Ann. 55. 520) sollen jährlich 625 \mathcal{R} Platin weggeworfen werden.

Rohes Platin ist etwa dreimal theurer als Silber, gereinigtes aber 8mal, so daß

$$\text{Silber} : \text{Platin} : \text{Gold} = 1 : 8 : 15$$

sich im Werth verhält. Die Schmucksachen sind wieder abgekommen, aber zu chemischen Geräthschaften ist es unersetzlich. Auch Legirungen könnten von Wichtigkeit sein, $1\frac{1}{2}$ p. C. Platin soll Stahl sehr veredeln; 16 Kupfer mit 7 Platin und 1 Zink gleicht dem Golde zc. Platinrückstände kommen im Handel vor.

6. Palladium.

Nach dem kleinen Planeten Pallas benannt. Das Metall entdeckte Wollaston 1803 im rohen Platin von Choco, was 1,66 p. C. enthält. Dann fand er es gebiegen in excentrisch faserigen Stückchen im Goldsande Brasiliens zu Cornego dos Lagens (Philos. Transact. 1809. 102). Es soll daselbst regulär krystallisiren. Dagegen liegen auf den Goldblättchen in Trümmern von Bitterspath des Grünsteins von Tilsrode kleine mikroskopische Krystalle, die G. Rose (Pogg. Ann. 55. 520) für 6gliedrig hält, wie das Os- miridium. Darnach wäre Palladium dimorph. Das Metall hat die Farbe des Platin, Härte = 5, aber nur 11,3 Gewicht, geschmiedet 11,8 Gewicht. Fast eben so streng flüchtig als Platin, läßt sich aber leichter schweißen. Wird schon von Salpetersäure zu einer braunrothen Flüssigkeit, Salpeteraures Palladorydul, aufgelöst. Im Jeutinga-Gestein von Gongo-Socco in Minas Geraes wird ein blaßes Pallad-Gold gewonnen, das 25 p. C. Palladium enthält. Das Ouro poudre (faules Gold) von Porpez enthält 9,85 Pd. In Paris wurde im Großen aus 1 Etr. Platin wenig über $\frac{1}{4}$ Loth Palladium geschieden, es kam daher 6mal theurer als Gold. Die Messinstru-

mente für den Seediensf werden mit Palladblech versehen; mit Silber legirt soll es ein zum Einsetzen der Zähne vortreffliches Draht. geben.

7. Iridium.

Tennant entdeckte 1803 das Metall, und benannte es nach den bunten Farben seiner Salze. Rohes Platin mit Königswasser digerirt hinterläßt ein unlösliches schwarzes Pulver, das hauptsächlich aus Osmium und Iridium besteht. Endlich fand Breithaupt (Schweigger Jahrb. Chem. Phys. IX. pag. 1 und 90) gediegene Körner im Platinsande des Ural. Iridium im Californischen Golde (Ann. des mines 1854. VI. 518).

Reguläre Oktaeder mit Würfelflächen, leßtere Spuren von Blättrigkeit zeigend. Silberweiß und fast Quarzhärte, Gewicht 22,8 (G. Rose), nach Breithaupt sogar 23,46. Also das härteste Metall, und der schwerste aller bekannten Körper. Die Analyse gab jedoch nur 76,85 Iridium mit 19,64 Pt, 0,89 Pd und 1,78 Kupfer, daher mußte sich das Gewicht des feinen Iridiums, wenn anders die Legirung sich nicht verdichtet, dem 25fachen nähern. Das Platin von Goroblagodat enthält gar kein Iridium; zu Nischne Tagilse 5 Jr; auf Vorneo 7,2 Jr.

Noch strengflüssiger als Platin, doch kann man durch Druck des Iridiumschwammes und starke Weißglühitze eine politurfähige Masse erlangen. Selbst in Königswasser nicht löslich, daher bleibt es bei den Lösungen des Platins in schwarzen Schuppen zurück. Unter allen Platinerzen das seltenste.

Osmiridium. Osmium kommt nicht gediegen vor, desto häufiger findet es sich aber an Iridium gebunden im Platinsande, in manchen Seifengibirgen sogar häufiger als das Platin selbst. Daher war es auch das erste neue Metall, was dem französischen Chemiker Descotils im rohen Platin auffiel, und was Vauquelin Ptène nannte (Ann. du Mus. 1804. III. 149 und 1806. IV. 401), in welchem dann gleichzeitig Tennant die zwei nachwies. Auf das Mineral war schon Wollaston (Gilbert's Ann. 24. 334) aufmerksam. „Beide Metalle halten mit einer Festigkeit zusammen, über die man sich mit Recht verwundern muß“ (Pogg. Ann. 18. 444). Beim Glühen mit Salpeter gibt es die bekannten Osmiumdämpfe. Die krystallographische Kenntniß verdanken wir G. Rose, Pogg. Ann. 29. 453.

a) Leichtes Osmiridium Jr Os mit 46,7 Jr, 49,3 Os, 3,1 Rhodium, 0,7 Fe, das gewöhnlichste. Dihexaedrische Tafeln: die reguläre sechsseitige Säule $g = a : a : ooa : ooc$ mit einer deutlich blättrigen Geradenfläche $c = c : ooa : ooa : ooa$. Ihre Endkanten g/c werden durch das Dihexaeder $r = a : a : ooa : c$ abgestumpft, mit 124° in den Seiten- und $127^\circ 36'$ in den Endkanten. Ein Rhomboeder, was die abwechselnden Endkanten des Dihexaeders abstumpfte, würde $84^\circ 52'$ in den Endkanten haben. Zinnweiß, etwas dunkler als gediegen Antimon, Metallglanz, spröde, so daß man es pulverisiren kann. Quarzhärte, Gew. 19,47. Vor dem Röthrohr auf Kohle unveränderlich und entwickelt keinen Osmiumgeruch. Selbst mit Salpeter im Glasstolben geschmolzen entwickelt sich nur wenig Osmiumgeruch. Letzteres bildet nach dem Erkalten eine grüne Masse.

wasser unlöslich. Das Uralische schön blättrig, die Brasilianischen mehr körnig. Findet sich auch unter dem Californischen Golde.

2) Dunkles Osmiridium (Iridosmium), Osmiumreicher. Kommt mit dem Lichte zusammen vor, hat dieselbe Form, den gleichen Blätterbruch, aber bleigraue Farbe, und etwas höheres Gewicht 21,2. Vor dem Röhrohr in der Platingange erkennt man es gleich an den durchdringenden Osmiumdämpfen, die besonders die Augen angreifen. Es wird dabei etwas dunkler. Die Weingeistflamme macht es leuchtend. Berzelius (Pogg. Ann. 32. 200) fand zweierlei Jr Os^3 mit 25 Jr, 75 Os und Jr Os^4 mit 20 Jr, 80 Os. Das Osmiumreichere zerlegt sich leichter und schneller.

Ein drittes Osmiumarmes fand Claus bei Nischmetalgilf (Jr, Pt, Ru, Rh)³ Os mit 27,3 Os, 55,2 Jr; 10,1 Pt, 5,8 Ru, 1,5 Rh. Dazu scheinen auch gewisse Brasilianische Blättchen zu gehören.

Iridplatin in Körnern von Brasilien, silberweiß, enthält 55,4 Pt, 27,8 Jr, 6,8 Rhodium, 4,1 Fe, 3 Cu, 0,5 Pd. In Ava nach Prinsep sogar 60 Jr, 20 Pt.

Iridiumoxyd erzeugt auf Porzellan eine tiefe und rein schwarze Farbe, wie Tusch auf Papier (Pogg. Ann. 31. 17). 1843 wurden in Petersburg zu diesem Behuf aus alten Platinrückständen 122 \mathcal{R} Iridiumoxyd gewonnen, die Drachme zu 80 Franken (Kositzky, Verh. Russ. Kais. Mineral. Ges. 1844. 100).

Rhodium hat seinen Namen nach den schönen rothen Salzen. Kommt dem rohen Platin beigemengt vor, 3 p. C. in den von Barbacoas. Del Rio erwähnt auch von Mexico ein Rhodiumgold mit 34—43 p. C. Rhodium (Pogg. Ann. 10. 222). Da es sich im Königswasser löst, so findet es sich nicht in den Rückständen, sondern in den Lösungen. Ruthenium ist ihm sehr verwandt (Pogg. Ann. 65. 220).

Daß Platin, Palladium, Iridium und Osmium isomorph seien, beweisen die regulären Oktaeder von $\text{K El} + \text{R El}^2$, worin R diese vier Stoffe bedeutet. Iridium, Osmium und Palladium sind außerdem auch 6gliedrig, also dimorph.

8. Eisen.

Tellurisches und Siderisches.

Thubastain schmiedet Kupfer und Eisen (Barfel). Goliath 1 Samuel. 17. 7 trug ehernen Helm und eisernen Spieß. Bei der Leichenfeier des Patroklos setzt Achill (Ilias 23. 220) als Kampfpriis eine eiserne Kugel aus, welche den Sieger wohl 5 Jahre mit Ackergeräthen versehen könne. Noch machen die Inder den besten Stahl (Wuz). Wenn England 1860 gegen 80 Mill. Ctr. erzeugte, so gehört das zur schlechtesten Sorte.

a) Tellurisches Eisen. So wichtig es technisch ist, so selten findet man es gebiegen in der Erde. Das künstliche Eisen scheint nach Wöhler (Pogg. Ann. 26. 102) regulär zu krystallisiren: beim Gießen starker Walzen entstehen innen Höhlen mit Skeleten von regulären Oktaedern. Halbverbranntes Eisen, was im Hochofen lange Zeit hindurch einer Weißglühhitze

ausgesetzt war, bekommt einen würfelig blättrigen Bruch so deutlich wie Bleiglanz. Auch das Meteoreisen von Seeläsgen und Braunau ist ausgezeichnet würfelig blättrig. Angaben von octaedrischer Blättrigkeit finden meist ihren Grund in Absonderungsverhältnissen, wie das Haubinger vom Meteoreisen zu Braunau so schön nachweist (Pogg. Ann. 72. 333). Merkwürdiger Weise wird auch das beste zähe saßrige Schmiedeeisen durch fortwährende Torsionen und Erschütterungen körnig und blättrig, In Folge dessen es leicht bricht (Erdmann's Journ. pr. Chem. 54. 22). Die Theile stehen also krystallinisch um, ohne daß man außen etwas merkt, was für Eisenbahnen von größter Gefahr ist. Fuchs (Pogg. Ann. 86. 159) hält das Eisen für dimorph: das geschmeidige Stabeisen sei wie die geschmeidigen Metalle regulär, das spröde Roheisen dagegen 3 + 12ig, und allerdings scheint das weiße Spiegeleisen nur einen blättrigen Bruch (Absonderungsfläche?) zu haben. Härte 5—6, Gew. 7—8. Geschmeidig, daher hackiger Bruch. Das reine Eisen ist stahlgrau mit viel Weiß. Magnetisch. Merkwürdig seine Passivität (Pogg. Ann. 55. 487) d. h. es wird durch dunkle Rothglühbige oder Eintauchen in sehr concentrirte Salpetersäure unangreifbar durch gewöhnliche rauchende Salpetersäure.

Sehr streng flüssig, läßt sich aber schweißen wie Platin. Die Oxydischen Eisenerze werden nämlich bei hoher Temperatur durch glühende Kohle desoxydirt, die befreiten Eisentheile bilden einen unschmelzbaren Eisenschwamm, der sich durch Hämmern compact machen läßt. Dieß ist die älteste Methode das Eisen zu gewinnen, sogenannte Rennarbeit. Davon verschieden ist die Roheisenproduction, wovon die ersten Spuren erst am Ende des 15ten Jahrhunderts im Elsaß sich finden. Das glühende Eisen geht nämlich mit Kohle, Silicium u. schmelzbare Verbindungen ein. Man mischt daher in Hochofen Kohle, Kieselersde, Kalk und Eisenerz in gehörigem Verhältniß. In der Hitze bemächtigt sich die Si des Kalkes und anderer verunreinigenden Erden, bildet leichtfließbare Schlacke, und das reducirte kohlenstoffreiche Roheisen sinkt zu Boden. Man sammelt es im untersten Theile des Herdes, und sticht es da von Zeit zu Zeit ab, während die leichtere Schlacke stetig darüber herausfließt. Kaltgeblasenes Eisen ist besser als warmgeblasenes.

a) Roh- oder Gußeisen kann 5 p. C. Kohle haben, ist körnig und spröde. Das weiße Roheisen ist silberweiß, bricht spiegelglänzend (daher Spiegeleisen), und gibt einen vorzüglichen Stahl, wozu besonders auch Manganreichtum beitragen soll. Das graue Roheisen ist kohlenstoffärmer, entsteht aus dem weißen, fließt aber leichter, und eignet sich mehr zu Gußwaaren. Thon- und Raseneisensteine fließen am besten.

b) Stab- oder Schmiedeeisen hat am Wenigsten Kohlenstoff, das weiche nur 0,02 p. C., ist sehnig und zähe, läßt sich zu Draht ziehen, Blech walzen. Feiß abgelöscht wird es nicht spröde. Läßt sich schmieden, wenn auch nicht schmelzen. 1 p. C. Phosphor macht es in der Kälte brüchig (kaltbrüchig), 0,03 p. C. Schwefel in der Hitze (rothbrüchig), so daß es sich im letztern Falle nicht schweißen will. Ueberhaupt machen es unedle Metalle schlechter, edle aber besser. Magnet- und Spatheseisen reduciren sich schwer, geben aber besseres Eisen.

c) Stahl ist Schmiedeeisen mit 0,9—1,9 p. C. Kohle, wird durch rasches Abkühlen hart und spröde (Homer Odys. 9. 291), aber durch Erhitzen wieder weich. Dabei läuft es von einer dünnen Oxidschicht anfangs bläugelig, dann goldgelb, braun, purpurfarbig, hell- bis dunkelblau an. Je dunkler desto mehr hat es die Sprödigkeit wieder verloren. Daher sind die Uhrfedern blau. Da nun Stahl in Beziehung auf Kohlengehalt in der Mitte steht, so bekommt man durch entkohltes Gußeisen sogenannten Rohstahl, und durch längeres Glühen von Stabeisen in kohligen Substanzen Cementstahl. Neuerlich macht man auch Gußstahl. Nach Fremy (Compt. rend. 1861. LII. 998) wirkt Stickstoff wesentlich mit: Silicium könne Kohle, Phosphor Stickstoff ersetzen.

Die wichtigsten Erze zur Gewinnung des Eisens sind Oxidisch: Magneteseisen, Eisenglanz und Brauneisenstein; unter den Salinischen Spatheisenstein. Geschwefelte wie Schwefelkies zc. kann man nicht brauchen. Vererzung des Eisens findet sich auf der Erdoberfläche so gewöhnlich, daß Eisen unter den Metallen einzig dasteht. Gerade in dieser Verwandtschaft namentlich zum Sauerstoff und Schwefel liegt auch der Grund, warum es regulinisch zur Seltenheit gehört.

Das gebiegene Eisen vom eisernen Johannes bei Ramsdorf (Klaproth Beitr. IV. 109) in Sachsen mit Oxid überzogen hatte 92,5 Fe, 6 Blei und 1,5 Cu. Breithaupt (Hoffmann's Miner. III. b 100) hielt es für Kunstproduct; was auch Hr. v. Seebach bestätigt (Zeitschr. deutsch. geol. Ges. XII. 189). In der Lettenkohle von Thüringen fand Bornemann (Pogg. Ann. 88. 145). Reumann (Jahrb. geol. Reichsanst. VIII. 251) in der böhmischen Kreide bei Ebogen; wird für vorweltliches Meteoreisen gehalten! Schreiber (Journal de physique 1792. XL. 1) führt Eisen in stalactitischer Form aus dem Gebirge von Duille bei Grenoble auf, wo es 12' tief auf einem Gange von oxidischen Eisenerzen im Gneise brach, doch war dabei auch fer hépatique d. h. zersetzter Schwefelkies; das von Labouche (Allier) und la Salle (Aveyron) läßt sich durch Steinkohlenbrände erklären, da es im Steinkohlengebirge liegt. Die Eisenschüppchen im Platinande rühren von den gebrauchten Werkzeugen her, wenn sie nicht Eisenplatin sind. In Nordamerika hat sich im Canaangebirge bei South-Meetinghouse in Connecticut ein einzigmal ein Stück gefunden (Silliman, Amer. Journ. V. 292), wie es scheint im Glimmerschiefer. Es wurde vom Finder für Graphit gehalten, allein die Analyse wies 91,8 Fe und 7 Kohle nach und da Quarz daran hängt, kann es nicht meteorisch oder künstlich sein. Minas Geraes im Eisenglimmerschiefer zc. Bei der Colonie Liberia in Westafrika wird auf gebiegen Eisen ein förmlicher Bergbau getrieben. In feinen Theilen findet es sich im Basalt (Pogg. Ann. 88. 201): wenn man denselben pulverisirt und mit Kupfervitriollösung übergießt, so schlägt das metallische Eisen gebiegen Kupfer in Blättchen nieder. Magneteisen kann auf die Weise nicht wirken.

b) **Siderisches Eisen** (Meteoreisen). Hammer behauptet, daß die ersten Damascenerklingen aus Meteoreisen geschmiedet seien: Schwerter der Kaliphen werden als solche besungen (Gilbert's Ann. 50. 270). Agricola 526

erzählt, zu Zeiten Avicenna's sei in Persien eine Eisenmasse 50 \mathcal{R} schwer niedergefallen, aus welcher der König sich Schwerter machen ließ, „Arabes autem dicunt, enses Alemannicos, qui optimi sunt, ex ejusmodi ferro fieri.“ Agricola fügt nun zwar hinzu, die Araber würden in diesem Punkte von den Kaufleuten belogen, denn den Germanen fiel das Eisen nicht vom Himmel, aber immerhin ist es auffallend, daß um das Jahr 1000 bei den Arabern noch solche Sagen giengen. Als Roß auf seiner berühmten Polarreise 1818 mit den Eskimo's in der Baffinsbay zusammenkam, hatten sie Messer aus Meteor Eisen, wie der Nickelgehalt bewies. Sie erzählten, daß auf der Westküste von Grönland 76° N.Br. zwei Blöcke gebiegenen Eisens lägen, von welchen sie es mit zähen Grünsteinen losgeschlagen und bearbeitet hatten! Das Wiener Cabinet besitzt eine solche Klinge. Aus dem Eisen am Senegal, was Adanson mitbrachte, machten sich die Mauren Gefäße (R. de l'École Crisallographie III. 106).

Daß eigenthümliche Gesteine aus der Luft (vom Himmel) fallen, davon war man seit alter Zeit, mit Ausnahme des vorigen Jahrhunderts, überzeugt. Die Namen Brontia, Ceraunia, Baetilia u. bezeichneten sie, nur wurde vieles falsche damit vermischt. Der Jakobsstein im Krönungsstuhle der Könige von England soll schon dem Erzwater Jakob (1 Mos. 28, 11) als Ruhelissen bei seinem Traume gebient haben. In Thracien fiel am Fluß Aegos 465 Jahr vor Christi Geburt ein Stein nieder, den Plutarch im Leben des Pysander und Plinius hist. nat. II. 59 erwähnen, qui lapis etiam nunc ostenditur magnitudine vehis, colore adusto, comete quoque illis noctibus flagrans Ego ipse vidi in Vocontiorum agro (Vaison im südl. Gallien) paulo ante delatum. Daß solche Bätilien verehrt wurden, hat Münter (Gilbert's Ann. 21. 51) hinlänglich bewiesen, auch vermuthete schon Seetzen, daß der schwarze Stein im Thurme (Kaaba) des Tempels von Mekka, welchen der Engel Gabriel hineingetragen haben soll, ein Meteorstein sei (Gilbert's Ann. 54. 222). Mehmed Ali, Vicekönig von Aegypten, besitzt ein Stück davon, welches nach Partsch die Ansicht über allen Zweifel erhebt. Wenn man die schmucklose Erzählung über den Stein von Ensisheim liest (Gilbert's Ann. 18. 280), welcher 1492 am 7ten November mit großem „Donnerklapff“ von den Lüften herabfiel, 260 \mathcal{R} wog, und in der Kirche aufbewahrt wurde, so muß es verwundern, daß Naturforscher nicht schon früher der Sache ernstlich nachgiengen. Erst die berühmte 40 Pud (1400 \mathcal{R}) schwere Eisenmasse südlich Krasnojarsk am Jenisei, worauf Pallas (Reise durch verschiedene Provinzen des Russischen Reichs III. 41) 1772 die Aufmerksamkeit lenkte, gab dazu den Impuls. Sie lag auf der Höhe eines Bergrückens zwischen den Gebirgsflüssen Ubei und Sifim wenige Meilen rechts vom Strom. „Die ganze Wade scheint eine rohe eisensteinartige Schwarte gehabt zu haben, das innere Wesen derselben ist ein geschmeidiges, weißbrüchiges, wie ein grober Seeschwamm löchericht ausgewebtes Eisen, dessen Zwischenräume mit runden und länglichten Tropfen“ des schönsten, flächenreichsten Olivins erfüllt sind, welchen man kennt. Obgleich die Tartaren es „als ein vom Himmel gefallenes Heiligthum betrachteten,“ so dachte doch Pallas

nicht entfernt an meteorischen Ursprung, er hielt es nur mit Entschiedenheit für ein merkwürdiges Naturproduct, und schickte daher die ganze Masse der Petersburger Akademie. Chladni war der erste, welcher 1794 dasselbe für meteorischen Ursprungs erklärte, und obgleich Naturforscher dennoch an Meteorsteine glaubte. Richterberg sagte darüber: es sei ihm bei dem Lesen dieser Schrift so zu Muthe gewesen, als wenn ihn selbst ein solcher Stein an Kopf getroffen hätte, und habe gewünscht, daß sie nicht geschrieben wäre. Besonders eiferten die Gebrüder de Luc dagegen, und Franzosen erklärten es für ein *phénomène physiquement impossible!* Nach Chladni's Bericht sollen die Gelehrten in Dresden, Wien, Kopenhagen, Bern u., aus Beschämung solche Steine in aller Stille weggeworfen haben. Aber noch in demselben Jahr 1794 am 16ten Juni Abends 7 Uhr ereignete sich der merkwürdige Steinregen von Siena in Toskana aus heiterem Himmel (Gilbert's Ann. 6. 126), von dem die ganze Provinz Zeuge war, denn die Steine fielen unter schreckbarem Zischen zur Erde. Doch erklärte sie Hamilton für Auswürflinge des 50 Meilen entfernten Vesuv's, der zufällig 18 Stunden vorher einen fürchterlichen Ausbruch erlitten hatte. Als nun aber am 13. Dec. 1795 bei Woldcottage in Yorkshire ein 56 Z schwerer Block niederfiel, der von dem 170 Meilen entfernten Hella hätte kommen müssen, so wurde glücklicher Weise Howard zu einer genauen Prüfung veranlaßt (Phil. Transact. 1802). Er fand überall nickelhaltiges gebiegenes Eisen darin. Jetzt trat auch Klaproth (Abh. Berl. Akad. Wiss. 3. Januar 1803) mit seinen Analysen hervor: die Eisenmasse, welche 1751 am 26ten Mai Abends 6 Uhr unter starkem Krachen in einer feurigen Kugel bei Grafchina zwischen Agram und Warasdin in Croatien 71 Z schwer herniederfuhr, enthielt 96,5 Fe und 3,5 Ni. Sie findet sich im Kaiserl. Mineral. Kabinet zu Wien. Ein kleineres Stück von 16 Z gieng verloren. Auch La Place (Zach, Monatl. Correspond. 1802. 277) warf die Frage auf, ob es nicht vielleicht Producte von Mondsvulkanen sein könnten, die mit einer Geschwindigkeit von 7800' (5mal größer als ein 24 Pfunder) in die Höhe geworfen nicht wieder auf den Mond zurückfallen könnten, eine Ansicht, die Olbers schon 1795 gelegentlich aussprach (Gilbert's Ann. 14. 25). Endlich machte der große Steinfall von l'Aigle in der Normandie 1803 den 26ten April Nachmittags gegen 1 Uhr allem Zweifel ein Ende: eine 30 Meilen weit sichtbare Feuertugel erschien aus heiterem Himmel, gestaltete sich zu einer kleinen Wolke, die 5—6 Minuten ein schreckliches Getöse wie Kanonendonner und Gewehrfeuer erzeugte, und 2000—3000 zischende Steine, der größte bekanntgewordene 17½ Z, fielen auf einer Ellipse von 2½ Lieu Länge und 1 Lieu Breite nieder (Memoires de l'Institut nat. scienc. math. et phys. 1806. VII.). Der Mineralienhändler Sambotin ließ gleich so viel als möglich aufkaufen, und machte gute Geschäfte, während die Zeitungen sich über den Maire des Ortes, der es officiell nach Paris meldete, belustigten, und der Minister der Aufklärung erst nach 2 Monaten am 26ten Juni den Physiker Biot an Ort und Stelle sandte. Die Sache war wahr: sie kommen mit planetarischer Geschwindigkeit an, erhitzen sich durch Reibung in der Luft (Zahrb. 1857. 202) und fallen schief zur Erde, was ihr Anprallen

vermindert. Der Norwegische von Dalsplads fiel am 27ten December 1848 zufällig auf Eis: obgleich von der Größe eines Rindskopfs hat er das Eis nicht zersprengt, sondern war mehrmals darüber hingehüpft, und endlich liegen geblieben (Pogg. Ann. 96. 341). Der Stein von Dhurnfalla in Indien gelangt 14ten Juli 1860 entzündet und geschmolzen zur Erde, und war innen nach Art des gebackenen Eises chinesischer Küche kalt. Er brachte die Temperatur des Weltraumes (-50°C.) mit (Pogg. Ann. 115. 175).

Vom gebiegenen Eisen war lange Zeit das durch Klaproth analysirte Agramer mit 3,5 Nickel das einzig constatirte. Alle andern wurden wegen ihrer Aehnlichkeit mit diesem für meteorisch gehalten. Der verwünschte Burggraf (Gilbert's Ann. 42. 107) 191 \mathcal{A} schwer, scheint am Ende des 14ten Jahrhunderts bei Elbogen in Böhmen, wo er auf dem Rathhause aufbewahrt wurde, gefallen zu sein. Es herrschten darüber im Volke auffallende Sagen, 1811 wurde Prof. Neumann in Prag darauf aufmerksam, und jetzt liegt das größte Stück davon (140 \mathcal{A}) in Wien: 88,2 Fe, 8,5 Ni, 0,7 Co, 2,2 Phosphormetalle. 1814 fanden Russniakische Bauern auf einem granitischen Gipfel der Karpathen bei Vénarto (Sarosser Comitatz) eine 194 \mathcal{A} schwere Masse, welche das Nationalmuseum von Pesth bewahrt; sie zeigt außen tafelförmige Structur, ähnlich dem 103 \mathcal{A} schweren Eisen im Nationalmuseum von Prag, welche 1829 beim Schlosse Bohumilitz im Prachiner Kreise auf einem Acker gefunden wurde. Im Dorfe La Caille bei Grasse (Dep. Var) lag am Eingange der Pfarrkirche ein Block von 12 Ctr., der den Einwohnern 200 Jahre als Sitz diente, und nach einer Tradition aus der Luft gefallen war; seit 1828 in der Pariser Sammlung soll er über 6 Ni enthalten, und ist von langen Cylindern Schwefeleisens durchzogen. 1805 fand sich in der Eifel bei Wittburg nördlich Trier eine 3400 \mathcal{A} schwere Masse, die ein nachbarlicher Eisenhüttenbesitzer verfrischen wollte, allein die Ruchen konnten nicht geschweißt werden, und zur Verhinderung von Unterschleif wurden sie vergraben (Schweigger Journ. 1825. XIII. 1). In Europa (Trier, Berlin, Wien) existiren von den unveränderten nur noch wenige Loth (Partsch Meteoriten Wien 1843. pag. 96), aber schon der Nickelgehalt des geschmolzenen stellt den meteorischen Ursprung außer Zweifel. Dagegen soll die 10,000 \mathcal{A} schwere Masse von Aachen (Gilbert's Ann. 48. 410) nicht meteorisch sein. Neuerlich hat sich bei Seeläsgen ohnweit Schwiebus (in Brandenburg) eine 218 \mathcal{A} schwere Eisenmasse auf einer feuchten Wiese gefunden (Pogg. Ann. 73. 333) mit 5,3 Ni und 0,4 Co, liegt in Breslau. Eine andere beim Eisenbahnbau von Schwetzn an der Weichsel 43 \mathcal{A} schwer mit 5,8 Ni und 1 Co liegt in Berlin (Pogg. Ann. 83. 394).

Noch großartiger sind die Massen fremder Welttheile, namentlich in Amerika, wo Sonnenschmid in der Straße von Zacatecas in Mexico ein Stück von 2000 \mathcal{A} sah (Jahrb. 1856. 388), Humboldt bei Durango von 40,000 \mathcal{A} (Klaproth Beiträge IV. 101). Neuerlich wird das Thal von Toluca westlich der Hauptstadt Mexico viel genannt, wo seit langen Jahren die Indianer des Dorfes Xiquipilco das Eisen aufsuchen und verschmieden (Burlart Jahrb. 1856. 300). Viele Centner sind davon nach Europa gelangt, was einen der größten

Steinfälle voraussetzt. Bei St. Jago del Estero mitten in der großen Ebene von Südamerika fand Don Rubin de Celis 1783 eine Masse von 30,000 \mathcal{R} (Phil. Transact. 1788); 1784 entdeckte man am Flüßchen Bendego 50 Meilen von Bahia in Brasilien ein 7' langes Stück von etwa 14,000 \mathcal{R} (Silbert's Ann. 56. 555). Bouffingault traf 1825 zu Santa Rosa nördlich St. Fe de Bogota einen Grobschmidt, der sich eines Amboses von 1500 \mathcal{R} aus Meteor-eisen bediente, es fanden sich in der Gegend noch mehrere Klumpen, sogar 12 Meilen davon bei Násgata ganz die gleichen Massen, so daß man glauben muß, hier habe ein förmlicher Eisenregen stattgefunden (Sitzungsber. Wien. Akad. Math. Class. 1852. VIII. 555). Ein Stück von 171 \mathcal{R} findet sich im Museum von Harlem, das 1793 im östlichen Theile der Cap-Colonie aufgehoben wurde, und ursprünglich 300 \mathcal{R} wog.

In Nordamerika allein wurden schon 1846 von Shepard (Silliman's Amer. Journ. 2 ser. II. 550) 22 verschiedene Fundorte angeführt, darunter ein 1700 \mathcal{R} schweres von den Indianern verehrtes Stück am Red River in Texas, was man für Platin hielt. Zwei kostspielige Expeditionen in die von feindlichen Indianern bedrohte Wildniß gesandt brachten endlich auf einem 400 deutsche Meilen langen Landweg das Stück zum Mississippi. Jetzt wird es in New-York aufbewahrt: ein förmlicher Magnet, dessen größter Durchmesser in der Meridianlinie liegt. Der blättrige Bruch soll oftadrefisch sein (Amer. Journ. II. 570). Das von Cocke in Tennessee wiegt 2000 \mathcal{R} , und ein kleines 9 \mathcal{R} schweres fiel sogar 1835 Ende Juli oder Anfangs August auf den Feldern von Dickson im Staate Tennessee (Amer. Journ. 1845. tom. 49. pag. 336) vor den Augen mehrerer Arbeiter aus einem explodirenden Meteor auf ein Baumwollensfeld nieder, wurde aber erst später durch den Pflug gefunden. Es wäre dies seit Agram der zweite Fall, dem Zuschauer beigewohnt hätten. Der dritte unter allen constatirteste ereignete sich bei Hauptmannsdorf und Braunau auf der Böhmischo-Schlesischen Grenze 1847 den 14ten Juli Morgens 3 $\frac{1}{2}$ Uhr (Pogg. Ann. 72. 170): es bildete sich eine Wolke, die mit einem Male erglühete, Blitze zuckten nach allen Richtungen, und zwei Feuerstreifen fielen von ihr zur Erde, unter zwei heftigen Kanonenschüssen, die alle Bewohner weckten. In einem 3 Fuß tiefen Loch fand sich das eine 42 \mathcal{R} 6 Loth schwere Stück, nach 6 Stunden noch so heiß, daß es Niemand anfassen konnte. Es ist zerschnitten. Das zweite 30 \mathcal{R} 16 Loth schwere fiel dagegen durch das Schindeldach eines armen Mannes in das Schlafzimmer seiner Kinder, ohne zu zünden. Der Mann meinte, der Blitz habe eingeschlagen, und ahnete nichts von der Sache, erst nach fleißigem Suchen wurde das Stück den folgenden Tag am 15ten Juli unter den Trümmern der Kammerwand gefunden! Es ist von dem Prälaten für 6000 fl. zu einer frommen Stiftung verkauft. Die runden Stücke zeigen eine grobkörnige Oberfläche, und mürfelig blättrigen Bruch, so deutlich wie Bleiglanz. Das Wiener Museum erhielt ein Stück von 4 \mathcal{R} , was fast aus einem einzigen Würfel besteht! Es kommen daran auch Trennungsflächen nach dem Ottaeder vor, das sind aber mehr Absonderungen. Es ist härter als die besten Stahlmeißel, und läßt sich leicht strecken und schmieden. Gew. 7,7. Unter den

Eigenschaften des Meteoreisens verdienen noch die Widmannstätten'schen Figuren besonders erwähnt zu werden. Wenn man nämlich Flächen polirt und mit schwacher Säure ätzt (Ersmann's Journ. pr. Ch. 12. 304), so entsteht eine eigenthümliche Damastbildung von Strahlen, die sich ungefähr unter Winkeln von 60° aber auch schärfer und stumpfer schneiden. Die dunkeln Stellen wurden stärker angegriffen, als die lichtern Streifen, und die Aetzung ist so vollkommen, daß Shepard, Rose u. die schönsten Bilder davon unmittelbar abkatschten: unsere Figur ist das Stück eines solchen von Texas, was Silliman (Amer. Journ. II. pag. 376) abgebildet hat. Nach Partsch entspricht die Lage der Strahlen den Flächen von Oktaedern. Früher sah man die Zeichnung als Folge des Nickeleisens an, zumal da sich auch künstliche Legirung von Nickel und Eisen besonders zur Damastirung eignen soll. Allein Berzelius fand im Eisen von Bohumilitz (Pogg. Ann. 27. 130) schwarze unlösliche Schüppchen von Phosphor-Nickel-Eisen (Dyslytit, Schreiberfit), welche sich parallel an die Oktaederflächen anlagern, und zu den Streifen die Veranlassung geben sollen. Uebrigens haben nicht alle diese Eigenschaft, die Figuren werden immer undeutlicher (Zacatecas, Rasgata) und verschwinden zuletzt ganz (Arva, Senegal, Hauptmannsdorf). Bei frischgefallenen ist die Oberhaut der Außenfläche nur dünn, erst durch längeres Liegen auf der Erde bekommen sie eine dickere Oxydationskruste (Schwarte). Hr. v. Reichenbach (Pogg. Ann. 1861. Bb. 114) unterscheidet Balkeneisen (Ramacit), Bänderisen (Tänit), Fülleisen (Plessit); Glanzeisen (Lambrit), Nadeleisen und Mohr. Das lichtgraue Balkeneisen pflegt vorzuherrschen, es bildet die Balken der Widmannstätten'schen Figuren bis zu 1' Länge 1" Breite und 2''' Dicke, Hauptmannsdorf besteht fast ganz daraus, und bei Ballas hüllt es in gekrümmten Lagen die Olivinkugeln ein. Nach außen folgt dann das dunkelgraue Fülleisen, welches am Cap gänzlich vorherrscht, sonst aber nur die Zwischenräume der Balken füllt. Es wird vom Balkeneisen durch eine dünne Lage isabellgelben Bänderisens getrennt, das am meisten der Verwitterung und Aetzung Widerstand leistet, und wesentlich zur Markirung der Figuren beiträgt. Fast gibt es der Edelkeit des Glanzeisens (Schreiberfit) nichts nach, nur daß dieses sich in zerstreuten Blättchen (Lenarto, Arva) eingesprengt findet, welche durch die Aetzung nicht gelb werden, sondern Zinnweissen bleiben. Auch die zarten Fäden des Nadeleisens (Cap, Hauptmannsdorf), welche in parallelen Zügen das Ganze durchziehen, widerstehen der Säure, und geben sich im Querschnitt durch feine mikroskopische Pünktchen zu erkennen, die man nicht mit den Eisenkugeln (Durango, Schwes) verwechseln darf. Mohr (moiré metallique), ein eigenthümliches Wechselflimmer, kommt nur in der Brandrinde vor, und bei Amerikanischen Stücken, die häufig Behufs der Zertheilung im Feuer behandelt wurden. Es lassen sich diese Unterschiede auch durch Anlaufen im Feuer sichtbar machen, wobei Balkeneisen dunkelblau, Fülleisen bläulichroth, Bänder-



eisen goldgelb wird. Ja bei hoher Politur, welche Stahlarbeiter schwarz nennen, treten die Figuren von selbst (Burlington) oder beim Anhauchen (Agram) hervor. Vieles Meteoreisen (Braunau, Bohumilz, Krasnojarsk, Red River) verhält sich gegen Kupfervitriollösung passiv, das Kupfer schlägt sich erst darauf nieder, wenn man etwas Säure zusetzt, oder gewöhnliches Eisen unter der Flüssigkeit damit in Berührung bringt. Durch ihre

Zusammensetzung schließen sich die Meteoreisen fast in einer zusammenhängenden Reihe an die Meteorsteine an. Vor allem fällt selbst im reinsten Eisen der große Nickelgehalt auf: Bohumilz 5,6 Ni, Elbogen 8,5 Ni, Krasnojarsk 10,7, ja Jackson gibt in einem von Alabama 27,7 Ni an (Amer. Journ. 34. 334). Den Nickelgehalt erkennt man schon durch bloßes Auflösen in Salzsäure, indem sich eine schöne gelblich grüne Flüssigkeit bildet, während bloßes Eisen weniger färbt. Unwichtiger ist Kobalt, doch fehlt es selten: 0,2 Co Bohumilz, 0,76 Co Elbogen, 1 Co Schwyz, 2,5 Co Cap. Mangan nur wenig, noch weniger Kupfer und Zinn. Tarapaca (Chili) hat in innern Höhlungen gebiegen Blei. Auffallend ist der geringe Gehalt an Kohle, Berzelius gibt von Krasnojarsk nur 0,04 C und Rammelsberg von Seeläsgen 0,5 C an. Hr. v. Reichenbach (Pogg. Ann. 108. 487) fand zwar Knollen von Graphit zu Seeläsgen, Arva, Toluca zc. eingeschlossen, aber das Eisen unmittelbar daneben war kohlenstofffrei. Es ist daher nur ein sehr kleiner Theil des Kohlenstoffs an das Eisen gebunden, welcher beim Auflösen Kohlenwasserstoffgas von demselben üblen Geruch wie Roheisen liefert. Ebenso kommt auch etwas Silicium vor. Daraus leuchtet allein schon ein, daß es kein geschmolzenes Kunstproduct sein kann. In allen Fällen bleibt ein Rückstand, in welchem Phosphor-Nickel-Eisen vormaltet, das metallisch weiße magnetische Schuppen bildet, die besonders glänzend auf geätzten Flächen von Arva hervortreten. Der Rückstand betrug bei Braunau 1,3 p. C., worin 56,4 Fe, 25 Ni, 11,7 Phosphor, 1,1 Kohle, 1 Si, 2,8 Chrom. Wöhler glaubte im Rückstande des Eisens von Käsagata kleine Krystalle von Olivin, selbst Rubin und Sapphir zu erkennen! Im Toluca-thal kam außer diesen bunten Steinen in der Schwarte noch ein Quarz-dihexaeder vor (G. Rose Pogg. Ann. 113. 184).

Schwefeleisen sammelt sich öfter in Höhlen und Klüften, bei Bohumilz bis zu Haselnußgröße, ebenso zu Rockport. Bei Caille, Toluca, Seeläsgen zc. bildet es zum Theil lange cylindrische Kerne, welche die Eisenmasse in paralleler Lage durchsetzen. Hier ist ihr Gewicht 4,78 und dem Gehalte nach soll es nach Rammelsberg nicht Magnetkies, sondern einfaches Schwefeleisen Fe S sein. Aber auch der ächte Magnetkies fehlt nicht: aus dem Eisen von Sevier in Tennessee fallen unmagnetische Knollen heraus, aber tombacobraun und blättrig wie bei Bodenmais.

Aestiges Meteoreisen schließt in seinen Zwischenräumen Mineralmasse ein. Obenanstehend Pallas pag. 583 und Atacama (Pogg. Ann. 14. 400) mit ihren schön gelben Olivinen. Gem. 7. Die Krystalle haben sich ganz in die rundlichen Räume eingefügt, und gleichen auf der Oberfläche Mandelausfüllungen. Brahın Gouv. Minst (Pogg. Ann. 2. 101), Steinbach

in Sachsen, Bittsburg Gew. 6,5 gehören dahin; die Oberfläche des geätzten Eisens fortificationsartig gestreift. Bei Hainholz im Paderbornschen fand Dr. Mühlensfordt (Pogg. Ann. 1857. 100. 442) auf freiem Felde einen 33 Z schweren Stein von 4,6 Gew. mit einem nickelhaltigen Eisennetz, grüner Gesteinsmasse und Olivin. Der Fund ist einzig in seiner Art, und dazu liefert er ein merkwürdiges Mittelding zwischen Eisen und Stein (Blansko 3,7).

Meteorsteine.

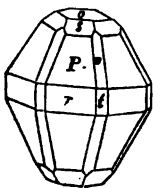
Fallen ungleich häufiger, und so ähnlich sie auch manchen vulkanischen Gesteinen sehen mögen, so machte doch schon Werner gleich bei ihrem ersten Anblick die Bemerkung, daß es auf Erden keine solche gäbe. Vor allem fällt darin das gebiegene Eisen auf, was körnig eingesprengt sich leicht an Rostflecken erkennen läßt. Dasselbe ist ebenfalls nickelhaltig, und insofern Vermittelungsglied des Meteor Eisens mit den Meteorsteinen. Bei den eisenreichen (Aigle) bildet das Eisen sogar stellenweis noch ein vollständiges Skelet, zwischen welches die Steinmasse sich eingelagert hat, zuletzt tritt auch das Eisen ganz zurück und fehlt sogar gänzlich (Stannern). Bei der Analyse pflegt man daher zu pulverisiren und mit dem Magnet herauszuziehen, was ihm folgt, um beides Magnetisches und Unmagnetisches getrennt zu behandeln. Die Brandrinde (Reichenbach Pogg. Ann. 104. 478) glasglänzend, matt oder ruffig entstand muthmaßlich beim Durchgang durch die Atmosphäre. Je leichter schmelzbar die Masse, desto ausgesprochenener die Rinde, Stannern glänzt wie schwarzer Firniß, und kann durch künstliches Schmelzen erzeugt werden. Die Rinde von Bishopville ist „farblos durchsichtig und wasserhell“. Frisch haben einige Steine geschmukt wie Ruß. Fr. v. Reichenbach (Pogg. Ann. 107. 164) sucht sie in mehrere natürliche Gruppen einzutheilen. Darunter zeichnen sich die beiden Abtheilungen von G. Rose (Pogg. Ann. 4. 178) aus:

1) **gewöhnliche** bestehen aus einer grauen trachtytischen Hauptmasse, in welcher man außer dem gebiegenen Eisen mit bloßen Augen keine weiteren Gemengtheile erkennen kann. Hin und wieder sind kleine Kugeln eingesprengt, die man mit dem Messer herausnehmen kann, die aber im Ganzen aus der Grundmasse bestehen, nur etwas härter sind, auch wohl einen etwas andern Farbenton haben: erbsengroße Kugeln, wie sie nur größer in Trachyttuffen oder Grünsteinen sich oftmals zeigen. Ensisheim Gew. 3,48, Maurkirchen Gew. 3,45, Siena Gew. 3,39, l'Aigle Gew. 3,43 und Blansko Gew. 3,7 gehören dahin. Letzterer fiel in Mähren 1833 den 25. November Abends 6½ Uhr, ist besonders durch die Bemühungen des Freiherrn von Reichenbach und die Analyse von Berzelius (Pogg. Ann. 33. 7) berühmt geworden. Mit dem Magnet konnten 17,1 p. C. aus dem Pulver ausgezogen werden, diese bestanden hauptsächlich aus Nickelseisen und magnetischem Schwefeleisen, nämlich 93,8 Fe, 5 Ni, 0,3 Co, 0,3 S, 0,4 Zinn und Kupfer. Die 82,9 p. C. unmagnetischer Grundmasse gelatinirten theilweis mit Salzsäure, und zerfielen in 51,5 p. C. zersehbare und in 48,5 p. C. unzersehbare Silicate: Die zersehbaren enthielten 33 Si, 36,1 Mg, 26,9 Fe, 0,5 Mn, 0,5 Ni, 0,3 Al,

0,8 Na, 0,4 K. Verlust 1,3 p. C. ist hauptsächlich Schwefel. Der Sauerstoff der Basen zur Kieselerde = 20,5 : 17,2. Man nimmt das Silicat $R^2 S^2$ als Olivin und das Schwefeleisen als Magnetkies. Der unzersehbare Theil wurde mit Ba C geglüht und lieferte dann 57,1 Si, 21,8 Mg, 3,1 Ca, 8,6 Fe, 0,7 Mn, 0,02 Ni, 5,6 Al, 0,9 Na, 1,5 zinnhaltiges Chromeisen, Fe Gr. Die Thonerde darin könnte verleiten, es zum Theil für eine feldspathartige Masse, vielleicht für Labrador mit Augit, zu nehmen. Im ganzen Stein wäre also 17,1 Nideleisen mit Kobalt-, Zinn-, Kupfer-, Schwefel- und Phosphorgehalt, 42,7 Olivinartige $R^2 Si$, 39,4 Augitartige Substanz $R^2 Si^2$ und 0,75 Chromeisen mit Zinnstein verunreinigt. Das wird freilich immer Deutung bleiben. Jedenfalls machen Talkerdesalze einen wesentlichen Bestandtheil in der steinigen Masse (29 p. C. Mg).

2) **Ungewöhnliche** haben kein metallisches Eisen, Talkerde fehlt zwar nicht, herrscht aber nicht so vor, und in der wenn auch feinkörnigen Masse lassen sich einzelne Mineralspecies mit Bestimmtheit erkennen.

Juvénas (Dep. Ardèche) fiel 1821 am 15. Juni Nachmittags 4 Uhr unter gewaltigem Donner vor den Augen zweier Bauern in ein Kartoffelfeld. Die Bauern hielten die Erscheinung für eine Rote von Teufeln, welche in die Erde gefahren, und fasten erst nach 8 Tagen den Entschluß, das Wunderding auszugraben. Es fand sich nun $5\frac{1}{2}'$ tief unter lockerer Erde ein 220 Z schwerer runder Stein, der zerschlagen verkauft wurde (Gibert's Ann. 69. 44). Es ist ein körniges ziemlich bröckliges Gemenge, das Mohs mit dem Dolerit am Meißner in Hessen vergleicht, und das hauptsächlich aus brauner (Augit) und weißer Substanz (Anorthit) besteht. In kleinen Höhlungen ist der grünlich braune Augit in Krystallen ausgebildet, mit den meßbaren Flächen TMkou'. Der weiße Gemengtheil, die größere Hälfte einnehmend, zeigt einen Blätterbruch deutlich, allein die Krystalle in den Höhlen sind zum Messen zu klein, doch sah G. Rose einspringende Winkel, daher kann es kein gewöhnlicher Feldspath sein, wie Haug annahm; der große Talkerdegehalt weist eher auf Anorthit oder Labrador. Auch gibt Shepard den Winkel P/M 94° an. Kleine Körner und Krystalle von stahlgrauer bis kupferrother Farbe, obgleich nicht magnetisch, zeigen sich doch nach ihrem chemischen Verhalten und ihrer Form als Magnetkies, mit meßbaren dihexaedrischen Endkanten von $126^\circ 29'$, und einem Flächenreichtum, wie man ihn sonst nicht kennt. Shepard bildet sie



auch aus einem grobkörnigen Stein von Richmond (Silliman Amer. Journ. 2 ser. II. 333) ab, der 4 Z schwer am 4. Juni 1828 fiel. Kleine strohgelbe Blättchen (Sphenomit Shepard's), die an den Kanten zu einem magnetischen schwarzen Glase schmelzen, konnten krystallographisch nicht bestimmt werden, ob Titanit? Nach Rammelsberg (Pogg. Ann. 73. 333)

enthalten die Steine 36,8 p. C., durch Säuren zersehbare und 63,2 unzersehbare Theile, zusammen mit 49,2 Si, 12,5 Al, 1,2 Fe, 20,3 Fe, 0,16 Fe, 10,2 Ca, 6,4 Mg, 0,6 Na, 0,1 K, 0,28 P, 0,1 Titansäure, 0,24 Chromoxyd, 0,09 Schwefel. Daraus leitet der Chemiker 36 Anorthit, 60 Augit,

1,5 Chromeisen, $\frac{1}{4}$ Magnetkies und vielleicht kleine Mengen von Apatit und Titanit ab. Der Steinfall bei

Stannern, 2 Meilen südlich Jglau auf der Mährisch-Böhmischen Grenze, ereignete sich eines Sonntagmorgens gegen 6 Uhr am 22. Mai 1808. Leute, welche nach Stannern in die Kirche giengen, hörten einen heftigen Kanonenschuß, und darauf ein Gerassel wie von kleinem Gewehrfeuer, das 8 Minuten anhielt. In einem Radius von 3 Stunden um Stannern sind mehr als 100 Steine aufgelesen, im Mittel 1—3 \mathcal{Z} schwer. Sie wurden zum Theil noch warm aufgenommen, und fielen mit Zischen in's Wasser. Sehr auffallend an ihnen ist die glänzend schwarze Rinde, welche nach Aussage eines Mannes heiß noch schmierig gewesen sein soll. Darunter findet sich eine weißgraue feinkörnige Gesteinsart, zwischen welcher stellenweis Magnetkies sich durchzieht. Die weißen schmalen Strahlen scheinen auch hier Anorthit, und die schwarzen Stellen dazwischen Augit zu sein. Merkwürdig grobkörnig ist der Stein von

Bishopville in Südcarolina, im März 1843 gefallen: Unvollkommene schneeweiße rauhe Krystalle mit rhomboidischer Säule, werden, zuweilen Zollgroß, von zwei deutlichen Blätterbrüchen durchschnitten, die sich unter 120° schneiden, \mathcal{H} . = 6, Gew. 3,1. Schmilzt schwer zu einem wie seine Brandrinde weißen Email, und besteht im wesentlichen aus Mg Si (Ehlanit) mit 67,1 Si und 27,1 Mg. Man wird dabei an Wollastonit erinnert. Die drei nebst Constantinopel, Pangres und Jonzac bilden nach Hr. v. Reichenbach eine besondere Sippe. Eine

Kohlenhaltige Sippe beginnt der Stein von Alais (Dep. Gard), 15. Mai 1806 gefallen. Der leichteste von allen, 1,7 Gew. gleicht er einem schwarzen Thone mit glänzendem Strich, und zerfällt im Wasser zu graugrünem Brei (Pogg. Ann. 33. 112). Einer ähnlichen schwarzen Bolartigen Masse gleicht der Aerolith vom kalten **Bollfeld** bei Tulbagh am Cap. Man würde ihn nicht für das halten, was er ist, wenn er nicht den 13. Oktober 1838 Morgens 9 Uhr unter furchtbarer Explosion mit einer Brandrinde herabgefallen wäre. Obgleich beim Anhauchen vom bitteren Thongeruch, so hat er doch nur 2 Al, dagegen 33,2 Fe, 22,2 Mg, 30,8 Si, 1,67 Kohle, 0,25 Bitumen &c. Erhitzt entwickelt er bituminösen Geruch, und enthält nach Wöhler (Journ. prakt. Chem. 77. 22) eine wachsartige Substanz, welche sich mit Alkohol ausziehen läßt. Selbst nach dem Trocknen bei 100° enthält er noch Wasser, und seine Färbung rührt von Kohle. Der Stein von Kaba bei Debreczin 15ten April 1857 gehört zu derselben Sippschaft, ist dunkelgrauerdig mit grünlichen Olivinkörnern und zahlreichen schwarzen hohlen Kügelchen. Alkohol zieht eine Paraffinartige Substanz aus. Darnach sollte man in jenen Räumen organische Substanzen vermuthen. Vergleiche auch Renazzo Provinz Ferrara 15. Januar 1824. Nach Hr. v. Reichenbach sind die ächten Chantonnay (bei Nantes 5ten August 1812) kastanienbraun mit wenig Eisen, Gew. 3,47. Von gleicher Art ist das auf einem Ackerfelde bei Mainz (Jahrb. 1859. 104) gefundene Stück, das äußerlich „einem armen Brauneisensteine“ gleicht. Der Chantonnay unserer Sammlung ist schwarz

fast wie Basalt mit weißen metallischen Flittern. Jedenfalls eigenthümlich. Die Menge der herabgefallenen Steine überflügelt die des Eisens außerordentlich, auch nur die wichtigsten davon anzugeben, würde zu weit führen. Für ältere Niederfälle dient Chladni (über Feuermeteorite und über die mit denselben herabgefallenen Massen, Wien 1819) und Schreiber (Beiträge zur Geschichte und Kenntniß meteor. Steine und Metallmassen. Wien 1820), worin auch mehrere gute Abbildungen sich finden. Nicht bloß haben sich, seitdem man daran glaubt, jährlich vor Augenzeugen solche Steinfälle ereignet, sondern sind auch äußerst sorgfältig gesammelt. Nach Partsch (die Meteoriten oder vom Himmel gefallene Steine und Eisenmassen im k. k. Hof-Mineralien-Kabinete in Wien) bewahrte die Wiener Sammlung schon 1843 aus 94, 1858 aus 137 verschiedenen Lokalitäten; die Berliner 1852 aus 97, es findet sich dabei die berühmte Chladni'sche Sammlung. London und Paris haben weniger. Unter den Privatsammlungen steht die des Freiherrn von Reichenbach auf Schloß Raissenberg bei Wien, 1858 mit 114 Lokalitäten, oben an. Sie ist mit größter Liberalität unserer Universität Tübingen vermacht. Dr. Reichenbach durch den Fall von Blansko angeregt, scheute keine Mühe und Kosten, um eine so unvergleichliche Privatsammlung der Wissenschaft weihen zu können. Einer unserer ersten Kenner hat er die reichen Früchte seiner Beobachtungen in Poggendorfs Annalen seit 1857 (Band 101. 311; 102. 621; 103. 673; 104. 473; 105. 433, 561; 106. 470; 107. 155, 353; 108. 391, 452; 111. 353, 397; 114. 99, 230, 477; 115. 149, 620) in geistreicher Weise dargelegt, Brandrinde, inneres Gefüge und chemische Analyse ausführlich abgehandelt; sogar die Zeitfolge der Substanzen und Meteoriten in Meteoriten glaubt er nachweisen zu können. Ein merkwürdiger Regen meteorischer Eisen-Kügelchen, welche den Capitän Callum 60 geographische Meilen südwestlich von Java überraschte, brachte ihn auf den Gedanken, daß der Schweif der Cometen nur Meteorstaub sei; daß in jeder Feuerkugel und Sternschnuppe ein Meteorstein stecke, aber die meisten würden in der Luft durch die ungeheure Reibung spurlos verbrannt, bloß die größern vermöchten etwas zur Erde zu bringen. Factisch sind in unserm Jahrhundert jährlich 2 Steinfälle beobachtet: mit Berücksichtigung aller Umstände werden täglich 12 und jährlich 4500 Fälle à 1 Ctr. angenommen, so daß der Erde alljährlich ein kleiner Zuwachs wird. Unter den neuesten zeichnet sich New-Concord im Staate Ohio (Pogg. Ann. 112. 403) 1. Mai 1860 aus: Mittags 12 Uhr ereignete sich die gewaltige Explosion, worunter ein Stein von 103 \mathcal{Z} , mehrere von 50 \mathcal{Z} , im Ganzen 700 \mathcal{Z} gesammelt worden sind. Eine ausführliche Monographie gaben Buchner und Kesselmer in den Abh. Sendenb. nat. Ges. 1859—61. III. 313, worin auch eine Karte die Uebersicht sämtlicher Steinfälle erleichtert. Nach Shepard und Rammelsberg sind folgende Verbindungen aus den Meteoriten bekannt:

1. Nickeleisen etwa 9 Theile Eisen mit 1 Theil Nickel und etwas Kobalt, was freilich dann bei verschiedenen sehr variirt. Das Grönländische enthält nur 1,5 p. C. Nickel. Shepard glaubt, daß eine 165 \mathcal{Z} schwere Eisenmasse von Walker ohne Zweifel meteorisch sei, obgleich das Nickel gänzlich fehle.

2. Phosphornickeleisen $P Ni^3 Fe^4$ (Schreiberfit), zuweilen mit Magnesium. Die Verbindung bleibt bei der Lösung des Eisens als Rückstand, glänzt stark metallisch und sollte nach frühern Ansichten die Widmannstätten'schen Figuren bedingen. Nach Hr. v. Reichenbach bleibt es stets glänzend zinnweiß pag. 587. Bergemann (Pogg. Ann. 100. 220) nennt es gelblich.

3. Schwefeleisen, als Krystalle von Magnetkies bei Juvenas, Sewier. 2c. Oft erscheint es wie einfaches Schwefeleisen $Fe S$, da sich nach Rammelsberg beim Lösen in Salzsäure kein Schwefel ausscheidet. Hr. v. Reichenbach fand im Blansko und Lockport auch Schwefelkies und noch ein viertes weißgelbliches Schwefeleisen (Pogg. Ann. 115. 622).

4. Magneteisen $Fe Fe$ fand Berzelius in den Steinen von Alais und Pontalaz in Finnland, vorzugsweise secundär in der Brandrinde. Das damit isomorphe Chromeisen $Fe Cr$ ist ebenfalls sehr im Meteoreisen verbreitet, Shepard bildet sogar kleine Krystalle davon ab.

5. Olivin enthält gleich dem tellurischen eine kleine Menge von Nickel- und Zinnoryd. Im Eisen von Krasnojarsk und Otumpa (Provinz Gran Chaco in Laplata) sind 8 At. Mg gegen 1 At. Fe, wie beim basaltischen Olivin, im Stein von Pontalaz hat er die Zusammensetzung des Hyalofiderrits 2c. Theile der Meteorsteine kann man mechanisch öfter als Olivin deuten. Edelsteine, Quarz.

6. Feldspäthe. Nur der Anorthit von Juvenas scheint außer Zweifel. Bei andern ist man noch nicht sicher, doch da man es mit einem durch Säuren schwer zerlegbaren Feldspath zu thun hat, so scheint es nur Labrador oder Oligoklas sein zu können. Eben so unsicher ist

7. Augit oder Hornblende, nur bei Juvenas sind Augitkrystalle. Sonst bleibt es immer zweifelhaft, ob Augit oder Hornblende. Im Stein von Al. Wenden bei Nordhausen, gefallen 16. September 1843, scheint sogar mit einiger Sicherheit die Analyse auf Labrador und Augit zu weisen, so meint wenigstens Rammelsberg.

Shepard führt außerdem noch eine Menge Minerale in nordamerikanischen Aerolithen an, die man in der alten Welt nicht kennt. Apatit, Glimmer, Granat, Schwefel, eine Reihe schwefelsaurer Salze, auch neue Minerale Apatoid, Jodolith, Chantonit 2c. werden gemacht. Als unzweifelhaft kann man folgende 20 Elemente annehmen: Aluminium, Blei, Calcium, Chrom, Eisen, Kalium, Kiesel, Kobalt, Kohlenstoff, Kupfer, Magnesium, Mangan, Natrium, Nickel, Phosphor, Sauerstoff, Schwefel, Titan, Zinn, Spur von Lithium hat die Spectralanalyse nachgewiesen. Zweifelhafter sind schon Antimon, Arsenik und Chlor. Auffallend ist die Seltenheit an Wasserstoff, denn das Wasser im Steine von Alais könnte terrestrischen Ursprungs sein. Man wollte daraus den Schluß ziehen, daß sie aus einem Gestirn kommen, das kein Wasser enthält, wie man das vom Monde glaubt. Immerhin ist es auffallend, daß Zeolithe, die in unsern vulkanischen Gesteinen eine so große Rolle spielen, fehlen.

Blei und Zinn.

Blei krystallisirt bei Hüttenprozessen zuweilen in regulären Oktaedern. Auch ist der Bleibaum seit alter Zeit bekannt, welcher sich aus essigsaurem Blei auf Zinkstäben niederschlägt. Was Wallerius von Maslau in Schlesien, Haüy aus den Vivarais anführen, scheinen Kunstproducte; was Rathle aus Laven von Madera bekam ist hineingeschossen (Zahrbuch 1861. 120). Zu Alston Moor in Cumberland kam es eingesprenkt im Quarz mit Bleiglanz am Ausgehenden eines Ganges vor, aber zugleich mit Schlacke und Bleiglätte, was die Sache auch wieder verdächtigt. Doch erkennen Greg und Lettsom dieses natürliche Vorkommen an. Hr. Prof. Nöggerath (Zeitschr. deutsch. geol. Ges. VI. 674) macht ein Gemenge von Bleiglanz, Bleiglätte und gediegenem Blei von Zomelahuacan im Staate Vera Cruz bekannt, auf welches förmlicher Bergbau getrieben wird. Auch die kleinen Bleikörner in den Goldwäschen von Slavonien und Siebenbürgen bezweifelt Zepharovich nicht. Ebenso am Ural und Altai. Meteorblei pag. 588.

Rein Bleigrau, mit starkem Metallglanz, Härte 1—2, Gew. 11,4. Schmilzt bei 322° und verdampft, beim Erstarren zieht es sich beträchtlich zusammen, so daß gegossene Kugeln nicht vollkommen rund bleiben. Es überzieht sich leicht mit einer grauen Oxydationshaut, welche es vor weiterem Angriff schützt. England gewann 1854 gegen 64,000 Tonnen.

Zinn soll geschmolzen unter günstigen Umständen auch in regulären Oktaedern (?) krystallisiren. Dagegen sind die Krystalle, welche man auf galvanischem Wege aus Zinnchlorür darstellt, viergliedrig (Pogg. Ann. 58. 600): Oktaeder $o = a : a : c$ mit $57^{\circ} 13'$ Seitf. $140^{\circ} 25'$ Endf. herrscht vor, $a = \sqrt{6,723}$. Die erste quadratische Säule $q = a : a : \infty c$ fehlt auch selten. Miller gibt noch das nächste stumpfere Oktaeder $a : c : \infty a$, dann $a : a : 3c$, $a : 3c : \infty a$ und $a : \infty a : \infty c$ an. Auffallender Weise bilden sie lange Stäbe nach Art der dendritischen Metallbäume, die aus aneinander gereihten Zwillingen bestehen. Die Reihen kleiner Oktaeder haben o gemein und liegen umgekehrt, nicht selten geht wie beim gediegenen Kupfer eine Hauptlamelle ganz durch. Isomorph mit Bor.



Zinnweiß, die Farbe läuft nicht an. Beim Biegen zeigen Zinnstangen einen eigenthümlich knirschenden Ton (Zinngeschrei), $\delta = 2$, Gew. 7,29. Es wird einzig und allein aus Zinnstein gewonnen, hier wurde auch von den ältern Mineralogen gediegenes Vorkommen angegeben, und es soll wirklich mit dem Golde von Mias (Journ. prakt. Chem. 33. 600) und Guyana (Compt. rend. 52. 600) sich finden.

Titan. Dafür hat man lange die kleinen kupferrothen Würfel gehalten, welche sich in der sogenannten Sau der Hochöfen bilden, und welche Wollaston (Phil. Transact. 1823) zuerst in den Schlacken von Merthyr-Tydvil in Südwallis erkannte. Sie haben über Feldspathhärte, Gew. 5,3. Nach Wöhler (Pogg. Ann. 78. 401) enthalten sie jedoch neben 78 Ti noch 18,1 Stid-

stoff und 3,9 Kohle, bestehen daher aus 16,2 Titanchanlir und 83,8 Stickstofftitan, $Ti\ Cy + 3 Ti^3 N$. Vorzügliche Krystalle zu Schuffenried in Oberschwaben.

Epröde Metalle, gehören nicht mehr dem regulären sondern dem rhomboedrischen Systeme an. Schon oben haben wir dieß beim Osmiridium pag. 579 gesehen. Auffallender noch ist es beim gebiegenen Wismuth, Antimon, Arsenik und Tellur, die rhomboedrisch und zugleich isomorph sind (S. Rose Pogg. Ann. 77. 148).

9. Wismuth.

Bisemutum Agricola Bermannus pag. 693; Plumbum cinereum vero Snebergi effoditur e fodina, cui nomen inde Bisemutaria, de natura foss. 644. Bismuth natif. Es wurde früher als regulär beschrieben. Besonders schön bekommt man die künstlichen Krystalle in zelligen scheinbaren Würfeln, deren sämtliche Ecken durch vier sehr deutlich blättrige Brüche abgestumpft werden, die einem regulären Oktaeder von $109^{\circ} 28'$ entsprechen würden, wenn die genannten Krystalle wirklich Würfel wären. Zu Schneeberg kommt auch das scheinbare Granatoeder vor. G. Rose zeigt aber, daß jener Würfel ein etwas scharfes Rhomboeder mit $87^{\circ} 40'$ in den Endanten sei, also für $c = 1$ ist die Nebenaxe $a = \sqrt{0,588}$. Dem zufolge soll der blättrige Bruch $o' = c : ooa : ooa : ooa$ in der Geradenfläche etwas deutlicher sein, als die drei andern des nächsten schärfern Rhomboeders $o = \frac{1}{2}a' : \frac{1}{2}a' : ooa : c$, die Seitenkante $o/o = 110^{\circ} 33'$ und die Kanten $o/o' = 108^{\circ} 23'$ liegen den Winkeln des regulären Oktaeders so nahe, daß sie leicht zu verwechseln waren. Auch das nächste stumpfere Rhomboeder $d = 2a' : 2a' : ooa : c$, dem Rhomboeder des Granatoeder nahe, ist etwas blättrig, wie man bei den sächsischen Krystallen sieht. Den wichtigsten Beweis für das rhomboedrische System bilden jedoch die Zwillinge: zwei Hauptrhomboeder haben die Fläche des nächsten stumpfen Rhomboeders d gemein, und liegen umgekehrt. Wir haben dann rhombische Säulen von $87^{\circ} 40'$ mit einem Paare auf die scharfen Kanten aufgesetzt, das sich unter $173^{\circ} 16'$ schneidet. Wären die Hauptrhomboeder Würfel, so könnte dieses Gesetz gar keinen Zwilling geben, denn es würden alle Flächen einspiegeln. Die krystallinische Masse findet sich in der Natur häufig in gestrichelten, schmalstrahligen Massen im Gestein eingesprengt.

Röthlich silberweiß, aber gern grün und roth d. h. taubenhäßig angelauten, woher es sogar seinen Namen haben soll, bunt wie eine „Wiesenmatte“. Härte 2—3, milde wie Glaserg, aber nicht mehr dehnbar, Gew. 9,8. Es ist am stärksten diamagnetisch pag. 144.

Schmilzt sehr leicht, schon auf einem stark geheizten Ofen, brennt aber nicht fort, und beschlägt die Kohle gelb. In Salpetersäure löslich, aber die Lösung gibt durch Zusatz von viel Wasser einen weißen Niederschlag, weil sie sich in ein basisches Salz zerlegt, das niederfällt, und in freie Säure, welche einen Theil des Salzes in Lösung erhält. Man kann Rhomboeder von Zollgröße in den prachtvollsten stahlgrauen, purpurrothen oder smaragd-

grünen Farben krystallisiren lassen (Pogg. Ann. 31. 488), wenn man das künstliche Metall mehrere Stunden mit Salpeter schmilzt, bis die Probe nicht mehr roth oder blau, sondern grün oder gelb anläuft. Gießt man es dann in einen erwärmten Röstschalen, läßt es langsam erkalten, stößt die obere erstarrte Kruste mit einer glühenden Kohle durch, gießt das innere flüssige Metall ab, und zerbricht nach einer halben Stunde, so kommen die schönsten Krystallbrufen zum Vorschein, die besonders prachtvoll in Paris gemacht werden. Newtons leichtflüssiges Metall, bei $94\frac{1}{2}^{\circ}$ C. schmelzbar, besteht aus 8 Theilen Wismuth 5 Blei und 3 Zinn; 8 Bi 4 Pb 2 Sn mit 2 Cadmium schmilzt schon bei 70° C. (Pogg. Ann. 112. 488). Solche Legierungen dienen zu Sicherheitsventilen bei Dampfesseln. Statuenmetall besteht aus Kupfer, Zinn und Wismuth. Schnellloth, Arzneimittel.

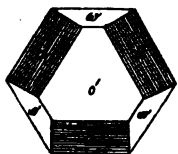
Im sächsischen Erzgebirge wurden früher 800 Ctr. durch Ausgaigern gewonnen, und zwar nur aus dem gebiegenen Vorkommen. Neuerlich hat sich der Preis sehr gesteigert. Bricht zusammen mit Speisobalt und Kupfernickel auf den silberhaltigen Kobaltgängen, und ist daher der Aufmerksamkeit der ältesten Bergleute nicht entgangen. Besonders reich ist Sachsen: Schneeberg, Annaberg, Johann-Georgenstadt, sehr schön blättrig auf den Zinnstockwerken zu Altenberg. Fürstenbergische Gruben auf dem Schwarzwalde, Dieber in Hessen im Bächstein zc.

Vererzt kommt es vor im Wismuthglanz Bi, Wismuthsilber, Tetradymit; als Wismuthocker nimmt es auch wohl Kohlensäure auf (Wismutit pag. 438), Wismuthblende pag. 373.

10. Antimon.

Der Name Antimonium kommt schon um das Jahr 1100 bei den Alchemisten vor, nebenbei lief aber auch *orlupu, orlpu*, Stibium, doch wurde unter letztern mehr Grauspießglanz verstanden, woraus Basilius Valentinus den regulus Antimonii (curriculus triumphalis antimonii, Amsterdam 1685) darstellte. Gebiegen wird es zuerst von Swab im Kalkspath der Silbergruben von Sala in Schweden erwähnt (Abhandl. Schwed. Akad. 1748), 1780 kam es Arsenikhaltig zu Allemont in der Dauphiné vor (Mémoires de l'Acad. Sc. Par. 1781), und Klaproth (Beitr. III. 100) analysirte es von Catharine Neufang bei Andreasberg. Insel Borneo.

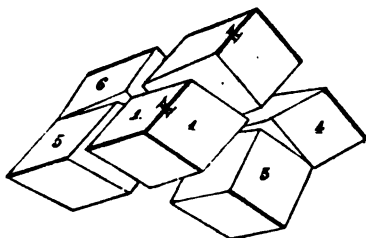
Rhomboeder ω $87^{\circ} 36'$ in den Endkanten, $a = \sqrt{0,586}$, chemisch kann dieses dargestellt werden (Hessel Jahrb. 1833. 88).



Der deutlichste Blätterbruch $o' = c : ooa : ooa : ooa$ stumpft die Endcke ab, er herrscht entschieden vor, wie man beim Zerschlagen wahrnimmt. Etwas weniger blättrig sind ferner die Flächen des nächsten stumpfern Rhomboeder $d = 2a' : 2a' : ooa : c$, welche Streifen

auf dem ersten Blätterbruch erzeugen. Mohs fand bei körnigen Stücken von Allemont den Endkantenwinkel d/d $117^{\circ} 15'$. Das nächste schärfere Rhomboeder $o = \frac{1}{2}a' : \frac{1}{2}a' : ooa : c$ ist dagegen nur wenig blättrig, ebenso die

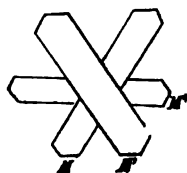
zweite sechsseitige Säule. Die Sache verhält sich daher anders als beim Wismuth, wo o am deutlichsten blättrig ist. Bei Andreasberg kommt auch das zweite stumpfere Rhomboeder $4a : 4a : \infty a : c$ vor. Einen flächenreichen Krystall bildet Römer ab (Jahrb. 1848. 510). Häufig Zwillinge: zwei Individuen haben die Fläche des nächsten stumpferen Rhomboeder d gemein und liegen umgekehrt. G. Rose (Pogg. Ann. 77. 145) bildet nach diesem Zwillingengesetz Sechselinge von Andreasberg ab, darin legen sich je zwei Rhomboeder so an einander, daß ihre gemeinsamen Endkanten (kk 1 und 2) in eine Flucht fallen, ihre Angränzungsfläche aber senkrecht gegen diese gemeinsame Kante steht. Haben sich nun so die Individuen 1 und 2 zu einander gestellt, so bleiben von jedem noch zwei freie Kanten für die übrigen vier über: 3 liegt gegen 1, wie 4 gegen 2. Da der ebene Winkel der Rhomboederfläche $87^\circ 28'$ beträgt, so bleibt in der Ebene der Flächen 1 2 3 4 rechts, wie in der 1 2 5 6 links zwischen den Kanten angränzender Individuen ein Winkelraum von $5^\circ 4'$, der sich ausfüllt. Wenn links und rechts vier Individuen 1 2 3 4 und 1 2 5 6 einspiegeln, so spiegeln vorn und hinten quer gegen die gemeinsame Kante kk nur drei: 1 3 5 und 2 4 6. Der Winkel zwischen 3/5 und 4/6 beträgt in letztern $87^\circ 28'$. Es ist uns dadurch eine förmliche zweigliedrige Ordnung geworden. Man kann dieselbe aus zwei Vierlingen 1 2 3 5 und 2 1 4 6 entstanden denken, die sich zwillingartig an einander lagerten. Jeder Vierling bildet eine dreigliedrige Ordnung, z. B. das Hauptindividuum 1 nimmt die Mitte ein, in dessen Endkanten-Verlängerung die Zwillingsecken von 2 3 5 liegen. Alles aber ist nur Folge des einen einfachen gewöhnlichen Zwillingengesetzes. Zinn weiß, in derben körnigen Stücken. Härte 3—4, wenig spröde, Gew. 6,6.



Vor dem Löthrohr geschmolzen glüht es fort, raucht stark und bedeckt sich dabei mit weißen Krystallnadeln von Antimonoxyd. Arsenitgeruch fehlt nicht. Ein kleiner Silbergehalt läßt sich mit Blei abtreiben. Künstlich kann man es amorph und krystallinisch darstellen (Gore, Pogg. Ann. 103. 488).

Arsenantimon von Allemont (Allemontit) ist dunkelfarbiger als das reine, soll nach Rammelsberg 37,8 Sb und 62,2 As haben, könnte also Sb As^2 sein.

Antimon Silber (Distrafit) $\text{Ag}^2 \text{Sb}$ mit 77 Ag, 23 Sb. Zweigliedrig. Die grobblättrigen bilden vielfach gestreifte Säulen, deren Geradenfläche B deutlich blättrig wegbriecht. Es scheint dieß der am leichtesten darstellbare Blätterbruch. Die gestreiften Säulen schneiden sich öfter in Drillingen unter ungefähr 60° . Wenn man daher die Stellung mit Mohs Arragonitartig nimmt, so würden die



Individuen die Säulenfläche $M = a : b : \infty$ gemein haben, und umgekehrt liegen. Die Streifen der Säule würden der Aze a parallel gehen, und es müßte der blättrige Bruch $B = a : \infty b : \infty$ die stumpfe Säulenkante von M/M gerade abstumpfen. Die Geradenfläche $c : \infty a : \infty b$ ist auch blättrig. Schon Hauy glaubte am Ende der gestreiften Säule den blättrigen Bruch eines stumpfen Rhomboeders beobachtet zu haben, und allerdings kommen außer der Säule M noch mehrere schiefe vor, doch hält es schwer, sie darzustellen. Nach Hausmann (Handb. Mineral. 58) soll $b : c : \infty a$ $112^\circ 14'$ deutlich blättrig sein, derselbe gibt von Andreasberg noch mehrere andere Flächen an.

Farbe steht zwischen Zinnweiß und Bleigrau in der Mitte, auf der Oberfläche laufen die Krystalle aber silberweiß an, so daß man sie mit Silber verwechseln würde, allein beim Schlage zerspringen sie längs der Blätterbrüche, obgleich der Strich milde ist. Eigenthümlich ist an manchen Stellen, besonders wenn sich Bleiglanz daran legt, ein messing- bis goldgelber Anflug, der nach Hausmann von Manganoryd herrühren soll. Härte 3—4, Gew. 9,8.

Vor dem Löthrohr schmilzt es leicht, und reducirt sich nach einigem Blasen zu einem Silberkorn.

Im vorigen Jahrhundert kam es auf der Grube Wenzel bei Wolfach im Schwarzwalde in centnerschweren Blöcken vor, mit Bleiglanz, Fahlerz und gebiegenem Silber, die eine große Silberausbeute gaben. Schon Klaproth (Beiträge II. 200) unterschied ein feinkörniges mit 84 Ag und 16 Sb und ein grobkörniges mit 76 Ag und 24 Sb. Letzteres ist das krystallisirte und daher wahrscheinlich die bestimmtere chemische Verbindung, während ersteres sich so eng an das mitvorkommende gebogene Silber anschließt, daß man öfter an ein und demselben Stücke die Grenzen nicht ziehen kann. Am ausgezeichnetsten auf Katharina Neufang und Samson bei Andreasberg. Manche sind auch mit Arsenik gemischt.

Antimon wird meist aus Graupießglanz dargestellt, und dient in 4 Theilen Blei mit 1 Antimon zu Buchdruckerlettern. Wichtig in der Arzneikunde 2c. Antimoniete werden wir bei den geschwefelten Metallen kennen lernen, wo nicht bloß Sb S^2 die Stelle der Säure vertritt, sondern auch im Nickelantimonglanz, Antimonnickel 2c. geradezu an die Stelle des Schwefels Antimonmetall kommt. Das oxydische Vorkommen (Weißpießglanz) ist unwichtig.

11. Arsenik.

Kurz Arsen, *ἀρσενικόν*. In der Natur findet man selten meßbare Krystalle, dagegen kann man sie durch Sublimation erhalten, der Endkantenwinkel des Hauptrhomboeder beträgt $85^\circ 4'$, daher $a = \sqrt{0,508}$, doch ist dieses nicht blättrig, sondern wie beim Antimon das nächste stumpfere $d = 2a' : 2a' : \infty a : c$ ($113^\circ 56'$). Aber auch diese Winkel konnte G. Rose nicht messen. Dagegen sind die Geradenflächen $o' = c : \infty a : \infty a$ noch blättriger und glänzender als beim Antimon, und da diese Blättchen

sich immer zu Zwillingen, die d gemein haben und umgekehrt liegen, verbinden, so wurde aus dem leicht meßbaren Zwillingswinkel $0/0 = 77^{\circ} 1'$ der Winkel des Hauptrhomboeders berechnet. Ein Rhomboeder $\frac{2}{3}a' : \frac{2}{3}a' : \infty a : c$ kommt bei künstlichen Tafeln vor. Nach Cooke (Silliman Amer. Journ. 1861. XXXII. 119) künstlich auch regulär.

In der Natur findet gebiegen Arsenit sich gewöhnlich in feinkörnigen Massen mit nierenförmiger Oberfläche und schaaliger Absonderung, daher von den Bergleuten Scherbenkobalt genannt. Die Oberfläche schwärzt sich schnell mit Suboxyd, schlägt man jedoch ein Stück ab, so tritt eine licht bleigraue Farbe vor, die sich in trockener Luft hält, in feuchter aber bald wieder anläuft. Härte 3—4, zwar spröde, aber doch noch mit glänzendem Strich. Gew. 5,8. Man hüte sich, den eingesprenkten Bleiglanz von Joachimsthal und Andreasberg nicht für blättrigen Arsenit zu nehmen.

Auf Kohle verflüchtigt es sich ohne vorher zu schmelzen unter einem unangenehmen knoblauchartigen Geruch. Nur unter einem Luftdruck ist es schmelzbar. Da die arsenige Säure As geruchlos ist, so kommt der Geruch von flüchtigem gebiegenem Arsenit, was durch Kohle und Metall immer wieder aus As reducirt wird. Er findet sich hauptsächlich auf Kobalt- und Silbergängen in Sachsen, auf dem Harz bei Andreasberg, auf dem Schwarzwalde bei Wittichen zc. Derbe Massen kommen auch als „Fliegenstein“ roh in den Handel. Antimon gewöhnlicher Begleiter, der sich daher auch mit ihm legirt. Breithaupt's

Arsenitglanz von der Grube Palmbaum bei Marienberg im Gneis hat 96,8 Arsen und 3 Wismuth, dunkelbleigrau, mit einem deutlichen Blätterbruch.

Arsenit ist nicht blos von Walchner (Pogg. Ann. 69. 587) in den Niederschlägen der Quellen aller Orte gefunden, sondern Daubrée weist es mittelst des Marsh'schen Apparates im Basalt, selbst im Meerwasser nach. Otto fand es sogar im Kesselftein seines Theekessels. In Stein- und Braunkohlen hängt es offenbar mit dem Schwefelkies zusammen. Auch ist die rohe Schwefelsäure arsenhaltig, was sich mit Chlorbaryum entfernen läßt, in dem sich dann flüchtiges Arsenchlorid bildet. Was Landwirthe zu beherzigen haben. Unter den Erzen ist besonders Arsenitkies hervorzuheben; Arseniksäure haben wir schon bei der Phosphorsäure kennen gelernt; unwichtiger ist arsenige Säure As. Dagegen spielt Schwefelarsenit As S³ unter den Sulphosäuren eine wichtige Rolle.

12. Tellur.

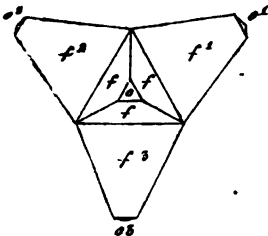
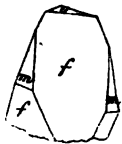
Man kannte es schon längst als Aurum paradoxum oder Metallum problematicum von der Grube Mariahilf zu Facebay bei Zalatna in Siebenbürgen, aber erst Klaproth (Beitr. III. 1) entschied im Jahre 1798 über seine chemischen Eigenschaften. Phillips beschrieb es als ein Dihexaeder von $130^{\circ} 4'$ in den End- und $115^{\circ} 12'$ in den Seitenanten, dessen Seitenanten durch die erste sechsseitige Säule abgestumpft sind: kleine glänzende Krystalle, in Drusenräumen von Quarz, G. Rose fand den Seitenwinkel

113° 32', und nimmt man das Dihexaeder als ein Dirhomböeder, so würde das Rhomböeder 86° 57' in den Endkanten haben, folglich $a = \sqrt{0,5656}$ sein. Die Structur kann wegen der Kleinheit nicht beobachtet werden. Mohs gibt auch ein Rhomböeder von 71° 51' Endl. an, welches einer Rhombenfläche $a : \frac{1}{2}a : a : c$ entspricht, und mit seinen Flächen auf die Seitenkanten der sechsseitigen Säule aufgesetzt ist. Auch das Tellur erhält man durch Schmelzen wie das Antimon in Rhomböedern von 85°–86°, allein der Blätterbruch entspricht daran der ersten sechsseitigen Säule $a : a : ooa : ooc$; auch die Geradenfläche $c : ooa : ooa : ooa$ ist etwas blättrig. Das sind bei Gleichheit der Form immerhin merkwürdige Unterschiede von Antimon und Arsen.

Zinnweiß bis Stahlgrau, Härte 2–3, milde, Gew. 6,3.

Auf Kohle schmilzt es so leicht wie Antimon, brennt aber mit grünlischer Flamme. Ein Röttigergeruch kommt vom beigemischten Selen. Nach Pogg 97,2 Te und 2,8 Gold. Auf Gängen im Grauwackengebirge von Facebat.

Tellurwismuth (Pogg. Ann. 21. 608) aus einer Lettenluft der Grünschieferformation von Schoubtau bei Schemnitz in Ungarn, wird von G. Rose wegen seiner rhombödrischen Form hierhin gesetzt. Die Krystalle sind nur mit ihrem ausgezeichneten Blätterbruch $o = c : ooa : ooa : ooa$ in Zwillingen meßbar. Darnach berechnet hat das gewöhnlich vorkommende Rhomböeder $f = \frac{1}{2}a : \frac{1}{2}a' : ooa : c$ 66° 40' in den Endkanten, mit ihm verbindet sich $m = \frac{1}{2}a : \frac{1}{2}a : ooa : c$, doch sind m und f häufig so krumm, daß man sie für Säulenflächen nehmen könnte. Hauptrhomböeder $a : a : ooa : c$ 81° 22' Endkant. kommt nicht vor, allein



es bestimmt die Zwillinge: wie beim Antimon legen sich die Endkanten der Hauptrhomböeder in eine Flucht, die Gränze der Zwillingeindividuen stehen senkrecht gegen die Endkante. Zwei Rhomböederflächen f und f' lehnen sich folglich gegen einander, und die meßbaren Blätterbrüche o/o' schneiden sich unter 95°. Häufig bilden sich Vierlinge, indem an ein Hauptindividuum f sich drei Individuen $f^1 f^2 f^3$ anlegen. Man

darf sich nur das Hauptrhomböeder, welches das nächste stumpfere je von $f^1 f^2 f^3$ bildet, hinzudenken, so liegen mit den Endkanten des Hauptindividuum je eine Endkante der drei Nebenindividuen in einer Flucht. Damit ist eine dreigliedrige Ordnung geschlossen. Häbinger, dem wir die Bestimmung danken, hat wegen der Häufigkeit von Vierlingen (*tetradymos*) das Mineral Tetradymit genannt. Blättriger Tetradymit (Bornin) mit Schwefelwismuth zu Reswick in Cumberland, Lumpkin-County in Georgia (Amer. Journ. 1869. XXVII. 89).

Licht bleigraue Farbe mit starkem Glanz auf frischem Blätterbruch, die Oberfläche matt wie Blei. $H. = 2$ und milde, Gew. 7,5.

Vor dem Böhrohr schmilzt es leicht, verbreitet einen schwachen Selen-geruch, und beschlägt innen die Kohle gelb (Wismuth), außen weiß. Dabei glänzt ein Metallkorn, was immer kleiner wird. 58,3 Bi, 36 Te, 4,3 S führt vielleicht zu der Formel $\text{Bi}^2 \text{Te}^2 \text{S}$. Auf den Goldlagern von Virginien kommen Blätter im Glimmerschiefer vor (Silliman Amer. Journ. 2 ser. 10. 78). Dagegen weicht Werner's

Molybdänsilber von alten Halben zu Deutsch-Bissen ohnweit Gran im Gehalte etwas ab: 61,1 Bi, 29,7 Te, 2 Ag, 2,3 S. Zu San Joze bei Villaricca in Brasilien kommt im Marmor der Goldlager etwas ganz ähnliches vor, man könnte es mit glimmerigem Eisenglanz verwechseln (Hausmann Leonhard's Jahrbuch 1852. 600), es sind blättrige sechsseitige Tafeln. Die Analyse von Damour gab aber 79,1 Bi, 15,9 Te, 3,1 S, 1,5 Se.

Tellursilber Ag Te (G. Rose Pogg. Ann. 18. 64) bricht nesterweis im Talkschiefer auf der Grube Samodinskoi bei Barnaul am Altai in Centnerschweren Blöcken, ist körnig, Gew. 8,5, etwas weniger geschmeidig und lichter (ins Stahlgrau) als Glaserz, 62,4 Ag, 36,9 Te. Peters fand es bei Rezbanha und meint isomorph mit Kupferglas; Bez (Pogg. Ann. 57. 411) in den Goldgängen bei Naghag in Siebenbürgen, wo es in Begleitung von

Tellursilbergold (Ag, Au) Te sich fand. Dieses hat 46,7 Ag, 18,3 Au, 35 Te. Gew. 8,8, Farbe dunkeler und Geschmeidigkeit noch geringer als bei Ag Te.

Tellurblei Pb Te (Altai), auf der Grube Samodinskoi in kleinen derben Parthien dem Tellursilber beigemischt, hat einen dreifachen Blätterbruch, wie Bleiglanz. Läßt sich zu Pulver reiben, gelblich zimweiß, Härte 3.

Tellur steht zum Golde in einer merkwürdigen Beziehung, wie Schrift-erz und Blättererz beweisen, worin neben Gold das Tellur einen wesentlichen Bestandtheil bildet. Auch soll zuweilen Tellurige Säure (Te) das gebiegene Tellur begleiten. Zur Gewinnung des Tellur dient vorzüglich Tellurwismuth, in Beziehung auf Menge das wohlfeilste.

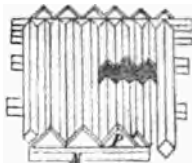
Zink, bläulich weiß. Steht zwar zwischen Spröde und Geschmeidig, allein sein deutlich blättriger Bruch stellt es zu den rhomboedrischen. Auf der Zinkhütte bei Aachen kommen nach Nöggerath reguläre sechsseitige Säulen mit blättriger Geradenfläche vor; in Oberschlesien erzeugen sich dagegen durch Sublimation Zinktropfen mit vielen Facetten ähnlich den Polyedern des Buntbleierz pag. 470. Nikles hielt sie mit Unrecht für pentagondodekaedrisch. Ähnlich Cadmium (Journ. prakt. Chem 55. 202). Da Messing zuweilen in gestrickten Formen vorkommt, so könnte Zink nach G. Rose auch noch regulär krystallisiren. Das elektropositivste Metall, daher überzieht es sich schnell mit Oxyd , das vor weiterer Zersetzung schützt. Der Basalt von Victoria in Australien soll gebiegene Stücke enthalten (Königott Uebers. 1859. 100).

13. Schwefel.

Swibla Ufilas, *Sezor* göttliches Räucherwerk, weil man bei Opfern dem angezündeten Schwefel reinigende Kraft zuschrieb. Sulphur Plinius 35. 50.

Dimorph 2gliedrig und 2 + 1gliedrig. In der Natur findet sich

andere, so kommt das Bavenoer Zwillingsgesetz pag. 219. Beide nicht einspringenden n müssen sich dann unter $179^{\circ} 24'$ schneiden. Es fanden sich bis jetzt noch keine Vierlinge. Die Zwillinge dagegen bilden nicht selten ein ganzes Gefäß, an dem die Strahlen der einen Seite quer gegen die der andern stehen. Sontrecht aus den Strahlen erheben sich dann Täfelchen. An diesen Täfelchen, die durch Ausdehnung von P geworden sind, beobachtet man sämtliche Flächen leicht. Auch ist die Richtung der Tafeln auf beiden Seiten gegen einander sontrecht, wenn man von wenigen Minuten absteht.



Frisch sind diese Krystalle klar, sie werden aber schnell undurchsichtig, wie der geschmolzene Schwefel, weil selbst im festen Zustande die einzelnen Atome sich noch zu der Form gruppiren, welche ihrem Temperaturzustande entspricht. Deshalb scheint auch der 2gliedrige Schwefel undurchsichtig zu werden, wenn man ihn in einer Salzlauge (111°) kocht, denn 111° ist der Schmelzpunkt, worin die 2gliedrige Form zur 2 + 1gliedrigen wird. Indes will Pasteur (Bogg. Ann. 74. 66) auch aus Schwefelkohlenstoff 2 + 1gliedrige Krystalle erhalten haben; Brame (Erdmann's Journ. prakt. Chem. 55. 100) behauptet, daß auch der geschmolzene Schwefel beständig 2gliedrig krystallisire, und nur dann 2 + 1gliedrig, wenn flüssiger im Ueberschuß vorhanden sei. Beim Uebergang aus einer Form in die andere wird Wärme frei.

Härte 2, milde, Gew. 2,07. Vollkommen muscheliger Bruch mit Fettglanz, und fettig, denn es haftet kein Wasser darauf. Beim Reiben entwickelt er einen eigenthümlichen Geruch, besonders bei großen Vorräthen merklich, und das Silber läuft von ihm an. In der warmen Hand an das Ohr gehalten erregt er ein starkes Knistern und Knacken. Gelbe Farbe (Schwefelgelb) mit einem Stich ins Grün, der geschmolzene wird oraniengelb bis braun, und nach Schönbein erscheint der krystallisirte gelbe Schwefel bei -50° fast farblos. Künstlich kann man ihn ziegelroth und schwarz machen, Fett, Zucker u. färben ihn außerordentlich stark (Journ. prakt. Chem. 67. 369). Durchscheinendheit ist sehr verschieden, die klaren zeigen eine starke Strahlenbrechung, Brechungs- $\text{exponent} = 2$. Axe c + optische Mittellinie, a c Ebene der optischen Axen.

Brennt mit blauer Flamme unter Geruch von schwefliger Säure SO^2 . Bei 111° C. schmilzt er zu einer klaren bernsteingelben Flüssigkeit; bei 160° C. fängt er an dickflüssig und braun zu werden. Gießt man solchen dickflüssigen ins Wasser, so bildet er einen elastischen Teig, der sich nach Art des Gutta Percha in Fäden ziehen läßt, nach einigen Tagen ist er aber wieder spröde, wie Stangenschwefel. Bei 200° fließt er nicht mehr aus dem Gefäß, bei 250° wird er wieder flüssiger, bis er endlich bei 420° C. mit orangefarbigem Dampf kocht, der in geschlossenen Gefäßen unverändert überdestillirt. In Vulkanen entstehen die Krystalle aus solchen Schwefeldämpfen. Läßt man ihn von hier ab erkalten, so geht er wieder die verschiedenen Grade der Flüssigkeit hindurch bis zum Schmelzpunkte. Bei der ganzen Operation dehnt er sich gleichmäßig aus. Berthelot (Bogg. Ann. 100. 595) unterscheidet einen amorphen in Schwefelkohlenstoff unlöslichen Gew. 1,91

und einen krystallinischen, Magnus (Pogg. Ann. 92. 208 und 99. 145) sogar 4 allotropische Zustände: 2gl., 2 + 1gl. unlöslichen und krümlichen.

Fundorte des gediegenen Schwefels sind hauptsächlich zweierlei:

1) mit Gyps und Bitumen besonders der tertiären Formation. Hier durchdringt Schwefel die Thonschichten, aus welchen er abgeseigert wird. Sicilien, was allein jährlich $1\frac{1}{2}$ Millionen Centner liefert, ist besonders damit bedacht. Der alttertiäre Schlamm ruht auf Hippuritentalk in Nachbarschaft von Gypsgebirgen, und wenn Klüfte darin entstehen, so sind sie mit Krystallen von Cölestin, Gyps, Kalkspath und Schwefel ausgekleidet, letztere können eine Größe von 5 Zoll erreichen. In Spanien wiederholt sich diese Lagerung in ähnlicher Weise: die Krystalle von Conil bei Cadix sind berühmt, und bei Teruel in Arragonien sind Myriaden von Gynmäen, Paludinen und Planorben mit Schwefel erfüllt, ohne daß man den Faden zur Tiefe der Erde fände. Zu Radoboj in Croatien nicht weit von Warasdin ist der durch seine Pflanzen und Insekten so berühmte Tertiärschlamm mit „rehebraunen“ Schwefelkugeln bis zu 14 % Gewicht bereichert. Noch bekannter sind die Lager von Smosowice bei Krakau über Jurakalk und Karpathensandstein zwischen Pflanzen- und Thierresten (Jahrb. 1851. 222). Gemmellaro (Jahrb. 1835. 1) hat behauptet, daß dieser Schwefel verfaulten Seethieren seinen Ursprung verdanke. Theilweis mag das wahr sein, vorzüglich geschah es aber durch Vermittlung von Schwefelwasserstoff, der in so vielen Quellen sich findet, und bei Berührung mit dem Sauerstoff der Luft Schwefel ausscheidet. Daher das Vorkommen von Schwefel in alten Kloaken an schlammigen Seeküsten. Da nun ferner das Bitumen auf Gyps (so wie überhaupt auf schwefelsaure Salze) zerlegend einwirkt, es bilden sich C und Ca S, welche bei Gegenwart des Wassers zu Ca C und H S werden, so mögen dem viele Vorkommen ihren Ursprung danken, wie z. B. die derben krystallinischen Ueberzüge im Kalkspath des Salzgebirges von Söblin bei Bex. Gediegener Schwefel bringt auf diese Weise in die verstecktesten Fugen der Berge.

2) Vulkanischer Schwefel, der sich in Vulkanen und bei Erdbränden aller Art erzeugt, kann zwar zum Theil im Schwefelwasserstoff und in der schwefligen Säure seinen Grund haben, welche bekanntlich einen Gehalt der Fumarolen bilden, allein einiger scheint sich entschieden durch Sublimation des gediegenen Schwefels gebildet zu haben, doch folgt daraus keineswegs sein Sitz im Erdbinnern, tief unter allem Flözgebirge. Nach 25 bis 30 Jahren ist der destillierte Sand der Solfatara bei Pozzuoli wieder voll und zu gebrauchen. Shepard hat auch im Meteorstein von Bishopville ein wenig gediegenen Schwefel entdeckt, siehe Hr. v. Reichenbach (Pogg. Ann. 115. 620). Als Unterarten kann man etwa auszeichnen:

a) Krystallinischen Schwefel. Glanz im Maximum und schöne schwefelgelbe Farbe. Girgenti, Conil, Czarkow in Gallicien, Bex, Kalinka.

b) Muscheliger Schwefel amorph, von strohgelber bis bräuner Farbe, die bei bituminösen sich ins Braungraue zieht (Radoboj). Der Glanz hat sehr abgenommen. Bildet auf Schwefellagern das wesentlichste Material. Verbrennt nicht ohne Rückstand.

c) **Mehlschwefel**, eine zerreibliche Masse, die wie die Schwefelblumen aus lauter kleinen Krystallen besteht. Der meiste vulkanische Schwefel, besonders von Island, gehört dahin. Im Braunkohlengebirge von Artern, sogar in den Feuersteinen von Poligny (Dep. Jura). Von ganz besonderer Schönheit mit einem starken Stich ins Grün ist der von Ignazi-Stollen zu Chotta, Lunstadter Herrschaft in Mähren. Auf der Insel Vulcano schmilzt er wieder zu einer orangenfarbigen Masse (Stalactitischer Schwefel). In Schwefelquellen (Nachen, Bez) hängen solche Stalactiten von weißer Farbe in die Wasserleitungen hinab. Und was dergleichen Abänderungen mehr sind.

Ogleich auf Erzgängen die Metalle der Tiefe hauptsächlich an Schwefel gebunden sind, so findet er sich daselbst doch nur äußerst selten gebiegen, und auch dieser wohl nur in Folge späterer Zersetzung: mit Kupferkies und Bleiglanz auf Gängen im Grauwackengebirge bei Siegen, früher bei Rippoldsau mit Kupferkies im Granit. Die Schwefelmetalle (Schwefelkies) werden auf den Hütten auch hin und wieder zur Gewinnung des Schwefels benutzt. Anwendung findet besonders zur Vereitung der Schwefelsäure und des Schießpulvers statt. Zündmaterial für Schwefelhölzer. Leonhard im Jahrbuch 1853. 273.

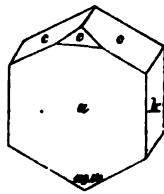
Selenschwefel Stromeyer (Pogg. Ann. 2. 110) färbt den Salmiak der Insel Vulcano orangengelb. Del Rio will sogar gebiegen Selen zu Cu-lebras in Mexiko gefunden haben. Nach Mitscherlich sollen die stark glänzenden roth durchscheinenden Krystalle $2 + 1$ gliedrig sein.

14. Graphit.

Werner gab ihm den Namen. Früher wurde er mit Wasserblei (Molbhdän) verwechselt, bis Scheele 1779 zeigte, daß er ein brennbarer Körper sei. Die Engländer nennen ihn noch heute *Plumbago* (Bleischweif) und Haug hielt ihn anfangs für *ser carburé*, Reißblei.

Reguläre sechsseitige Säulen, mit stark blättriger Endfläche, wornach er ein glimmerartiges Aussehen bekommt. Mohs gibt ein Dihexaeder an. Nordenskiöld (Pogg. Ann. 96. 110) fand bei Pargas (Ersby, Storgård) meßbare Krystalle mit vielen Flächen, die er für $2 + 1$ gliedrig erklärt: der blättrige Bruch wird gesetzt $a\ 100$, und

$k\ 010$, $c\ 122$, $e\ 201$; $c/c\ 122^\circ 24'$, $a/c\ 106^\circ 1'$. Die Rechnung gibt den ebenen Winkel auf $a\ 119^\circ 50'$. Wahrscheinlich wird es auch hier, wie beim Glimmer sein, das Sechsgliedrige ist durch ungleiche Ausdehnung der Flächen versteckt. Krystalle sehr selten: in Geschieben von



Grönland mit Granat, Quarz und Adular; im labradorisirenden Feldspath von Friedrichswärn, auf dem Magneteisenlager des Gneises von Arendal. Eisen-schwarz bis dunkel stahlgrau, milde, fettig, abfärbend. Opak mit Metallglanz. Härte 2, Gew. 2,4, aber meist leichter wegen innerer Luftblasen. Leiter der Electricität. Findet Anwendung bei der Galvanoplastik.

Vor dem Löthrohr brennt er außerordentlich schwer, verpufft aber mit Salpeter. Ein kleiner Ammoniakgehalt. Brodie (Erlenmeyer's Zeitschrift 1860.

III. 22) vermuthete darin ein neues Element. Sonst wird er als reiner Kohlenstoff angesehen, also dimorph mit Diamant, auch hatte der Barrowdaler in den besten Sorten 96 p. C. Kohle, der aus dem körnigen Marmor von Wunsiedel gibt sogar nur 0,33 p. C. Asche, andere scheinbar sehr reine haben dagegen 20 und mehr p. C. Asche. Sehr merkwürdig ist die Leichtigkeit, mit welcher die schwarzen Graphitblättchen bei Hochofen aus der Schlacke wie aus dem Roheisen krystallisiren. Ältere Chemiker hielten diese für Carburete des Eisens, da sie viele Eisenschüppchen enthalten. Allein Karsten hat gezeigt, daß man ihnen mit Salzsäure das Eisen entziehen kann, ohne Gasblasen zu entwickeln. Es ist daher ohne Zweifel krystallisirte Kohle, nur nicht so trummblättrig, als der natürliche Graphit.

Graphitpartikel eingesprengt in Gneis von Passau, Feldspathporphyr von Elbingerode, Marmor von Untersteiermark u.; lagerartige Massen, an Steinkohlenbildungen erinnernd, am Col du Charbonnet bei Briançon sogar von Pflanzenabdrücken begleitet, so daß Dufrenoy sämmtlichen Graphit für durch Feuer veränderte Kohle ansieht. Die unreinen Lager in dem verwitterten Granit von Pfaffenreuth nördlich Griesbach bei Passau liefern das Material zu den Passauer Ziegeln, bei Schwarzbach in Böhmen Bleistifte. Hoch berühmt für die feinsten Bleistifte und seit 1667 im Gange waren die Gruben aus dem Thonschiefergebirge von Barrowdale bei Keswick in Cumberland. Sie wurden nur einmal jährlich geöffnet, und für 3000 £ Sterling auf den Londoner Markt geworfen. Allein der jetzige ist schlecht (Pogg. Ann. 72. Ergänzungsband pag. 362). In neuern Zeiten steht besonders der Ceylanische im hohen Ansehen, derselbe ist krystallinisch blättrig, die Blätter gemein biegsam wie Zalt. Auch das südliche Sibirien liefert vorzügliche Waare. Unser deutsche ist in Lagern schuppig und feinkörnig, der gute Englische dagegen ganz dicht. Durch starken Druck (von 20,000 Etr.) kann das Pulver in sägbare Massen verdichtet werden. Ofenanstrich, Frictionschmiere, Schmelzriegel. Zu Bleistiften muß er gereinigt werden. 1 £ Englischer 3 Rthlr., Spanischer 4 Sgr. Der Meteorstein von Alais 15. März 1806 enthält kosmischen Kohlenstoff (Berzelius Pogg. Ann. 33. 122), das Eisen von Tennessee Graphit.

Phosphor. Mittelmäßig erhielt aus einer Lösung in Phosphorschwefel Gratoeder (Abh. Berl. Akad. 1822. 47), Pelletier in ätherischen Oelen Otaeder.

Jod bildet 2gliebr. Dodekaide wie Strahlzeolith, nach Wollaston $a : b : c = 4 : 3 : 2$. Marchand (Pogg. Ann. 31. 640) gibt es auch 2gliedrig an.

Kalium krystallisirt bei der Sublimation in Würfeln, auch die Schnittflächen zeigen Würfelzeichnungen. Silicium regulär (Pogg. Ann. 97. 644). Sehr merkwürdig ist der sogenannte

Diamanthor B, welchen Wöhler (Pogg. Ann. 100. 640) in viergliedrigen Otaedern, isomorph mit Zinn, erhielt. Amorphes Bor wird nämlich von schmelzendem Aluminium wie Kohle vom Eisen aufgenommen, und scheidet sich dann beim Erkalten krystallinisch aus. Die Krystalle haben Glanz, Härte und Strahlenbrechung wie Diamant. Ähnlich dem Kohlenstoff zeigt Bor einen amorphen, graphit- und diamantförmigen Zustand.

Vierte Klasse.

Oxydische Erze.

Es zählen dahin die verschiedenen Oxydationsstufen der Metalle entweder für sich allein, oder mit Wasser (Hydrate).

Alkalien (K, Na, Li) und alkalische Erden (Ca, Mg, Ba, Sr) sind zu starke Basen, als daß sie ohne Säure in der Natur sich halten könnten. Nur als Seltenheit findet sich Magnesia ohne und mit Wasser. Selbst die eigentlichen Erden (Zr, Be, Th, Y) sind, mit Ausnahme der Al (Korund) nicht indifferent genug gegen Säuren und Basen. Alle diese Stoffe zeichnen sich dadurch aus, daß sie sich in sehr beschränkten Grängen mit Sauerstoff verbinden.

Anders verhalten sich die Metalle. Zwar lieben die edlen (Au, Ag, Hg, Pt, Pd, Jr, Os, Rh) auch die Verbindung mit Sauerstoff nicht, schon schwacher Temperaturwechsel desoxydirt sie, oft unter starker Detonation. Desto gewöhnlicher treffen wir gewisse Oxydationsstufen der unedlen Metalle, namentlich wenn sie schwache Basen oder Säuren vertreten können, oder wenn der Sauerstoff sich so vertheilen läßt, daß man einen Theil als Säure, den andern als Base ansehen darf, z. B. $\text{Fe}^3\text{O}^4 = \text{Fe Fe}_2$, $\text{Mn}^3\text{O}^4 = \text{Mn Mn}_2$.

Die oxydischen Erze haben fast alle Charakterfarben pag. 136, aber dunkle und metallische, auch ist die Farbe des Striches nicht zu übersehen. Das Gewicht hoch. Ihre technische Brauchbarkeit macht sie zum Gegenstand des Bergbaues. Nach ihrem Metallgehalt lassen sie sich sehr bequem unterabtheilen, was schon Agricola (Nat. foss. lib. X.) vorschlug, der Erz mit rude (roh) übersezt, im Gegensatz von coctum (geschmolzen).

a) Eisenerze.

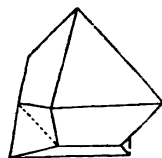
Mit und ohne Wasser. Unter allen Erzen der Erde die verbreitetsten, und für Eisengewinnung die besten. Im Feuer- und Wassergebirge, beim Zersetzen und beim Entstehen der Felsen spielen sie eine Rolle, wenigstens verdankt ihnen die größte Zahl der Minerale ihre Farbe. Denn Eisen färbt schwarz, braun, gelb, roth, selbst blau: die antike Base im brittischen Museum, 36,000 £ Sterling geschätzt, besteht aus dunkelblauem Glase, worauf

sich blendend weiße Reliefs erheben von unübertrefflicher Schönheit. Kupferfärbung ist es nicht, Kobalt kannten die Alten nicht, folglich wird es Eisen sein, wie im Sapphir. Eisen färbt auch das Blut der Thiere.

1. Magneteisen Fe Fe.

Der berühmte Magnes oder Magnetis der Alten Plinius hist. nat. 36. 25, nach einem Hirten genannt, der ihn auf dem Berge Ida entdeckte: *clavis crepidarum et baculi cuspide haerentibus, cum armenta pasceret* (weil die Nägel seiner Schuhe und die Spitze seines Stabes hängen blieben). Nach Aristoteles soll der Name von Magnesia am Berge Sipylus nordöstlich Smyrna stammen, allein hier kam Talk vor, daher die häufige Verwechslung beider. Die Griechen nannten ihn *μαγνήσια*, was wieder an den Probierstein pag. 212 erinnert. Agricola 603 beginnt damit sein 5tes Buch de natura fossilium. Fer oxydulé, oxydulated Iron. Magnetit.

Reguläres System, isomorph mit Spinell. Einfaches Oktaeder nebst Zwilling gewöhnlich im Chloritschiefer der Alpen eingesprenkt. Granatoeder $a : a : \infty a$ stark nach der langen Diagonale gestreift mit sehr glänzenden kleinen Oktaederflächen, welche die dreikantigen Ecken, auch wohl rauhe Leucitoederflächen $= a : a : \frac{1}{2}a$, welche schwach die Kanten, abstumpfen, kommen ausgezeichnet bei Traversella in Drusenräumen vor. Die Streifen deuten zwar auf eine Blättrigkeit der Oktaederflächen, doch ist dieselbe sehr undeutlich. Zuweilen tritt daran auch der Würfel auf, Graubath in Steiermark. Bei Schwedischen scharft nach Dufrenoy am Granatoeder auch das Leucitoid $= a : a : \frac{1}{2}a$ die vierkantigen Ecken zu, Flächen auf Granatoederkanten aufgesetzt. Pyramidenoktaeder $= a : a : 2a$ und Pyramidenwürfel $= a : \frac{1}{2}a : \infty a$ sind selten. Breithaupt (Pogg. Ann. 54. 152) gibt bei Schwarzenberg sogar ein Leucitoid $a : a : \frac{1}{2}a$ zc. an, was fast einem Würfel gleicht, auf dessen Flächen sich die Diagonalen parallel den Würfelkanten etwas erheben. Shepard's Dimagnetit pag. 363 hat sich nicht bestätigt.



Eisenschwarz mit schwarzem Strich, die Oberfläche besonders auf frischem Bruch gern etwas bräunlich anlaufend. Metallglanz unvollkommen, nur die Oktaederflächen der Granatoeder von Traversella glänzen sehr stark. Härte 6, Gew. 5, die reinsten Zillertthaler sogar 5,18, die im Kalkspath gehen auf 4,9 herab.

Stark magnetisch, frische Krystalle sind es aber weniger, als derbe rostige Massen. Greif (Pogg. Ann. 98. 475) stellte Versuche an: Oktaeder verhielten sich wie weiches Eisen, derbe Stücke wie Stahl. Es ist der natürliche Magnet, welcher feinen Magneteisenstaub in denbritischen Figuren festhält. Schon die ägyptischen Priester setzten ihren Götzenbildern mystische Augen ein, die so befestigt waren, daß sie vermöge ihrer Polarität nach Osten, dem astrologischen Paradiese, blickten (Pogg. Ann. 76. 302). Im 12ten Jahrhundert wird in einem provençalischen Gedichte von Guiot (Sonst und Jetzt pag. 96) eine Nadel beschrieben, die auf Stroh im Wasser schwimmend

sich gegen den Polarstern wende, und Marco Polo sah bei den Chinesen schon Magnetrnadeln. Agricola (Nat. foss. lib. V.) nennt einen Stein Theamedes, der das Eisen abstoße: von zwei gegenüberliegenden Bergen am Flusse Indus hielt der eine das Eisen fest, der andere stieße es ab. Ja Albertus Magnus kannte einen Magnet, der auf der einen Seite das Eisen anzog, auf der andern abstieß.

Vor dem Löthrohr sehr schwer schmelzbar, mit Borax im Oxydationsfeuer wird das Glas gelblich oder farblos, im Reductionsfeuer bouteillengrün. Eisenorydorydul, die Analysen der Magneteisensteine von Nora durch Berzelius lieferten 71,86 Fe und 28,14 O oder 31 Fe und 69 Fe, was sehr genau mit der Formel stimmt. Die schaligen von Arendal hatten 2 p. C. Mn. Daß es keine feste Verbindung von $\text{Fe}^3 \text{O}^4$ sei, zeigt schon die Auflösung des schwarzen Pulvers in wenig Salzsäure, wodurch vorzugsweise Fe ausgezogen wird und Fe als bräunlicher Rückstand bleibt, der sich erst in mehr Säure löst. Es bildet sich dann $\text{Fe Cl} + \text{Fe}^2 \text{Cl}^3$ und erhitzt man mit ein wenig Salpetersäure, so wird das Ganze zu Eisenchlorid, welches durch Ammonial als Fe A gefällt und durch Waschen und Glühen in Fe verwandelt wird. Aus der Zunahme des Sauerstoffs kann man berechnen, wie viel Fe vorhanden war. Löst man es unter einer Atmosphäre von Kohlensäure, damit sich nichts oxydire, und digerirt die Flüssigkeit bei 100°C. mit Silberpulver, so gibt das Eisenchlorid an das Silber Chlor ab, es muß also Eisenoryd enthalten. Gießt man umgekehrt zur gleichen Lösung Kaliumgoldchlorid ($\text{K Cl} + \text{Au Cl}^3$), so verwandelt sich das Eisenchlorid auf Kosten des Goldchlorids in Eisenchlorid, und metallisches Gold wird ausgeschieden. Es muß also Orydul enthalten. Auch kohlensaurer Kalk fällt aus der Lösung nur die dreiatomigen Basen, als Eisenoryd, die einatomigen dagegen, also Fe, nicht (Pogg. Ann. 23. 248, S. Rose Handb. Analys. Chem. 1851. II. 120).

Beim Rosten schwedischer Eisenerze und beim Schmelzen französischer, überhaupt bei Hüttenprozessen, erzeugen sich öfter Otkæder von Magneteisen. Der Hamburger Brand hatte die Kugel einer Schmiede in Magneteisen verwandelt. Die Backsteine im Feuergewölbe der Sudpfannen bei Salinen (Friedrichshall) überkleiden sich mit den schönsten Otkædern. Das erinnert lebhaft an die Bildung in Laven des Vesuv und Aetna: Eisenchlorid verflüchtigt sich, und wird beim Zutritt von Wasserdämpfen zersetzt, es entsteht Eisenoryd, was bei starker Hitze Sauerstoff fahren läßt. Denn in der Weißglühhitze fallen vom Eisen Tropfen von Fe Fe herab, die man nicht für geschmolzenes Eisen halten darf. Eisenhammerschlag enthält aber um so mehr Fe, je weniger er erhitzt wird. Deville ließ sogar bloß einen langsamen Strom von Chlornasserstoffgas auf Eisenorydul wirken und bekam dann reguläre Krystalle, sonderbarer Weise ohne Wasserdampfentwicklung. Darnach sollte man das Magneteisen wesentlich für ein Feuerproduct halten; auch danken die schwarzen Laven und Basalte ihm die Farbe.

Krystalle finden sich besonders schön im Chlorschiefer und in andern kalkigen Gesteinen der Alpen. Kleine scharfe Otkæder mit abgestumpften

Ranten im Gyps von Valencia. Gneis und Glimmerschiefer umschließen nicht bloß Lager, sondern ganze Stückergebirge. Unsere deutschen Urgebirge sind daran nicht reich: beim Hofgut des Rächlesbauers im Höllethal bei Freiburg liegen derbe Stücke im Gneis, größere Mengen schon am Harze, in Nassau z., bei Schmiedeberg im Riesengebirge 12 Lager zusammen 70'—80' mächtig im Granit-Gneis. Traversella nordwestlich Ivrea in einem Seitenthale der Dora Baltea hat ein 90' mächtiges Lager mit Kupfererzen gemischt, was nach alten Bauen sich 9 Meilen lang erstreckt, und schon von den Römern ausgebeutet wurde. Neuerlich wird das Erz durch Elektromagnete geschieden (Carnall Zeitschr. Berg. Hüttenf. 1861. IX. 171). Aber noch reicher ist Schweden. Aus dem überall zu Tage tretenden Gneise der skandinavischen Halbinsel heißen nicht bloß Lager, sondern ganze Magnetberge hervor, an ihren Grenzen reich von Mineralien durchzogen, Arendal, Utön, der Taberg ein wahrer 400' hoher „Eisenkoloß“ südlich Jönköping am Wettersee. Das Erz ist körnig bis dicht, zwischen die Körner liegen stellenweis blättrige Oxtaeder von dunklerer Farbe eingesprengt, auch mischt sich die Erzmasse mit Feldspath und Strahlstein. Weite Löcher (Pingen) von schauerlicher Tiefe führen vom Tage hinab: so stehen die altberühmten Gruben (25) von Dannemora nördlich Upsala auf einem 180' breiten Stock, den Chlorit und Ralspath durchschwärmen. Einzelne derselben haben $\frac{1}{4}$ Stunde Umfang bei 400' Tiefe! Die Persburger Gruben sind sogar über 600' tief, 500' reicht das Tageslicht, auf dem Grunde häuft sich das Eis zu 90' Mächtigkeit an, was herausgeschafft werden muß! In Norbotten 67°—68° N. Br. finden wir die Lager von Svappavara, von Kerunavara (800' dick und 8000' lang), am Berge Gellivara sogar 10,000' breit und 16,000' lang mit Eisenglanz gemischt. Dieses schwedische Erz liefert das beste Eisen zur Stahlbereitung, daher wird es auch von den Engländern in großer Menge ausgeführt. Schon Agricola 526 sagt: *ferrum Suedorum praestans*. Auch der Ural hat Magnetberge: der Wissolaja Gora erhebt sich westlich Nischne-Tagilsk aus der Ebene eines tauben Porphyrgesteines, sein löcheriges Erz ist über dem Hüttenreiche 1800' lang, 1500' breit und 250' hoch; mehrere Meilen nördlicher der Berg Blagodat (Segen); der Vorkommen in Nord- und Südamerika zu geschweigen, wo sich z. B. in der Kupferregion am Lake Superior ebenfalls mehrere Tausend Fuß mächtige Eisenberge im Glimmerschiefer finden, welche aus Magneteisen bestehen, das in Rotheisenstein verwandelt ist.

Martit von San Paulo in Brasilien, Gew. 4,8, gleicht vollkommen den Magneteisenoxtaedern vom Zillerthal, hat aber einen rothen Strich, ist folglich Fe, ohne Zweifel aber in Folge von Asterbildung durch Aufnahme von Sauerstoff. Auch bei Framont und am Puy-de-Dôme kommen solche Asterkrystalle nach Dufrenoy vor. Daher mögen auch die von Monroe in New-York dahin gehören. Selbst die Krystalle beim Hamburger Brande bekamen einen rothen Strich (Kranz Jahrb. 1859. 100), während die Besw'schen Magnosferrit sind.

Magneteisensand, *fer oxydulé titanifère*, wohl zu unterscheiden vom schwach magnetischen rhomboedrischen Titaneisen. Hauptsächlich im Sande

der Flüsse, und hier außerordentlich verbreitet. Das Muttergestein sind Basalte und Laven. Die Körner haben einen stark glänzenden muscheligen Bruch, an Obsidian erinnernd, daher auch schlagiges Magneteisen genannt. Selten Krystallflächen, doch gibt schon Cordier in den Bächen von Expailly bei le Puy Octaeder und Granatoeder an. Hauptunterscheidungsmerkmal vom Titaneisensand bleibt der starke Magnetismus. Vor dem Röthrohr verhalten sie sich wie Magneteisen, mit Borax und Phosphorsalz bekommt man im Reductionsfeuer besonders auf Zusatz von Zinn ein unter dem Abkühlen rothes Glas. Cordier fand 12—16 p. C. Titanoryd. Klaproth zog mit dem Magnet kleine Körner aus dem Sande der Ostseeflüsse und fand 14 Ti. Rammelsberg wies im schlagigen Magneteisen aus dem Basalte von Unkel bei Bonn 11,5 Ti, 39 Fe, 48 Fe nach, es ist stark magnetisch. Ganz gleiches findet man im Basalttuff der Alp (Meßinger Weinberg), das bei der Verwitterung herausfällt. Der Sand zahlloser Flüsse, darunter auch Goldsand, gibt beim Waschen einen schwarzen Rest solchen Eisenerzes, besonders wenn die Flüsse aus vulkanischen oder basaltischen Gebirgen herkommen.

Isferin nannte Werner die Körner im aufgeschwemmten Lande der Fferwiese bei Marklissa und Jlinzberg (Böhmisches Gehänge des Riesengebirges) mit Korund, Granat, Rutil zc. gemischt. Schon Klaproth (Beiträge V. 100) hat ihn analysirt, und 28 Ti angegeben. Ein Theil davon ist stark magnetisch, und in diesem gibt F. Rose (Pogg. Ann. 3. 100) sogar 50 Ti; ein anderer nur sehr schwach magnetisch. Beide sehen sehr gleich aus, und unterscheiden sich namentlich durch den innern Glanz nicht vom schlagigen Magneteisen, auch werden Würfel und Granatoeder angegeben. Den schwach magnetischen Menakanit rechnet man dagegen besser zum Titaneisen. Taranaki-Stahl wird an der Küste des Vulkanberges Egmont auf Neuseeland aus dem jarten Titaneisen-Staube gemacht, welchen zur Befestigung der Bewohner der Wind landeinwärts treibt. Der Titangehalt soll das trefflichste Stahl bedingen.

Franklinit. Von Berthier (Ann. des mines IV. 400) in der Franklin-Grube zu New-Hersey mit Rothzinkerz entdeckt. Krystallisirt regulär; Octaeder, Granatoeder und Leucitoeder kommen vor, bei Eibach in Nassau auch Würfel und sogar Pentagonododekaeder. Fettglanz, Eisenschwarz aber mit röthlich grauem Strich. Härte 6, Gew. 5,1. Fast gar nicht magnetisch.

(Zn, Fe, Mn) (Fe, Mn) nach Abich (Pogg. Ann. 23. 245) etwa 10,8 Zinkoryd, 18,2 Manganoryd. Salzsäure zersetzt das Pulver zu einer grünlich gelben Flüssigkeit unter Entwicklung von etwas Chlor, Beweis, daß ein Theil des Mangans höher oxydirt sein muß als Oxydul. Rammelsberg (Pogg. Ann. 107. 210) fand sogar über 25 Zinkoryd und glaubt (Fe, Zn)² (Fe Mn) schreiben zu müssen. Kleine Splitter im starken Feuer leuchten stark und sprühen feine Funken, wie das Roheisen. Mit Soda im Reductionsfeuer einen schwachen Zinkbeschlag auf Kohle. Hier würde sich dann weiter Zinkspinell pag. 309 anschließen. Edelmen stellte künstlich kleine Octaeder von Zinkferrit Zn Fe dar (Erdbmann's Journ. prakt. Chem. 54. 188).

Chromeisen.

Eisenchrom, Chromit, fer chromaté, Chromate of Iron. Nach Haüy kennt man es schon seit 1710 von den Barchills bei Baltimore, wo es derb und in regulären Oktaedern vorkommt. Später fand es sich nesterweis im Serpentin von Frejus Dep. Var, und Vauquelin wies darin das Chrom nach, Klaproth (Beiträge IV. 132) analysirte es von Krieglach in Steiermark, was mit röthlichem Talc bricht. Dann hat es sich in den verschiedensten Serpentininen gefunden. Das wichtigste Chromerz.

Blättriger Bruch unvollkommen, nach Mohs soll am Oktaeder einer vorherrschen, dann müßte es rhomboedrisch sein. Neigt sich etwas ins Beschwarze mit gelblich braunem Strich, mehr Fettglanz als Metallglanz. Härte 5, Gew. 4,5. Manche magnetisch, andere fast gar nicht, werden es aber nach dem Glühen in der innern Flamme.

Von Borax und Phosphorsalz langsam aufgelöst, heiß hat die Glasperle die Farbe des Eisens, kalt aber die smaragdgrüne des Chroms, die auf Zusatz von Zinn lebhafter wird. Säuren lösen das feinste Pulver nicht, sondern ziehen nur etwas Eisen aus.

Fe Cr, reine Abänderungen haben bis 60 Chromoxyd, fast alle einen Gehalt an Al, auch Mg vom Muttergestein, also (Fe, Mg) (Cr, Al). Das Chromeisenerz von Texas in Pennsylvanien ist öfter mit einer stalactitischen Kruste von Emerald-Nickel (Nickelsmaragd) $N^3 C A^6$ (Silliman's Americ. Journ. 2. ser. VI. 222) von smaragdgrüner Farbe bedeckt, und enthält selbst 2,3 Ni.

Auffallend bindet sich das Chromeisen stets an Serpentin und die ihn begleitenden Talc- und Chloritischiefer (Dieffenbach, Jahrb. 1855. 222), worin es eingesprengt vorkommt. Auf dem Schwarzwalde bei Todtmoos, im Serpentin des Fichtelgebirges (Kupferberg), Schlesien, den Schottischen Inseln, besonders aber von Nordamerika (Hoboken) 2c. Die schwarze Rinde am Platin des Urals (Frit) enthält nach Hermann bis 13,7 Chromoxyd; sie sondert sich öfter in kleinen schwarzen graphitartigen Schuppen (Journ. prakt. Chem. 23. 222) ab, welche vielleicht eine Zusammensetzung von (Jr, Os, Fe) (Jr, Os, Cr) haben könnten. Durch einen großen Gehalt von Chromeisensand zeichnen sich Platin- vor Goldsanden aus. Bohnerze (Hannover, schwäbische Alp 2c.), selbst Meteorsteine pag. 588 halten etwas Chrom. Kleine Beimischungen in Eisenerzen erkennt man durch Verwandlung des Chroms in Ueberchromsäure mittelst Wasserstoffsuperoxyd. Aether wird dadurch prachtvoll blau (Erlenmeyer Zeitschr. Chem. Pharm. 1860. III. 222).

Obgleich Vauquelin das Chrom im Sibirischen Rothbleierz entdeckte pag. 496, so wurde seine schöne Farbe doch erst technisch wichtig durch das Chromeisen. Man mischt das feingeschlämmte Pulver mit Pottasche (K₂CO₃) und Salpeter, und erhitzt stark. Es oxydiren sich dann Fe und Cr zu Fe₂O₃ und Cr₂O₃, gebildet wird K₂Cr₂O₇, was durch Behandeln mit Essigsäure die schönrothen Krystalle von K₂Cr₂O₇ liefert, das zur Darstellung von Chromgelb

Pb Cr und Chromroth $\text{Pb}^3 \text{Cr}$ benutzt wird. Chromgrün Cr gibt mit Glasflüssen eine smaragdgrüne Farbe, die so feuerbeständig ist, daß sie selbst im Feuer des Porzellanofens nicht verschiefert.

Chromoryd Cr hat Wöhler aus der Chlorchromsäure (Cr Cl) in kleinen harten Rhomboedern dargestellt, indem er dieselbe langsam durch eine schwachglühende Glasröhre streichen ließ, wobei sie sich in O , Cl und Cr zerlegt. Eranberg (Journ. prakt. Chem. 54. 188) setzte 18 Stunden lang saures chromsaures Kali der Hitze des Porzellanofens aus, dabei verflüchtigte sich Kalium und Cr reducirte sich zu kleinen krystallinischen Fitterchen von Cr . Dadurch scheint es bewiesen, daß Al , Fe , Cr (auch Be) isomorph krystallisiren.

Magnoferrit Rammelsberg (Pogg. Ann. 1859. 107. 484) $\text{Mg}^m \text{Fe}^n$ regulär und mit Magneteisen verwechselbar. Gew. 4,65. Stets in Begleitung des Besuv'schen Eisenglanzes. Die Fumarolen enthalten Eisenchlorür, Eisenchlorid und Chlormagnesium, woraus sich die Bildung erklärt. Daran schließt sich dann unmittelbar der

Periklas Mg an , welchen Scacchi in Dolomithöcken der Somma fand: kleine grüne reguläre Oктаeder mit blättrigem Bruch der Würfelflächen. Härte 6, Gew. 3,7. Damour fand 93,8 Talkerde und 5,9 Eisenoxydul. Ebelmen (Compt. rend. 33. 185) stellte ihn künstlich dar, indem er große Stücke Kalk auf Vorsaure Magnesia in der Hitze wirken ließ. Auf gleiche Weise läßt sich auch Ni , Co , Mn in Krystallen bekommen. Daubrée ließ blos Dämpfe von Chlormagnesium auf Kalkstein einwirken, Deville Chlornwasserstoffgas auf Magnesia (Compt. rend. 1861. LIII. 199).

2. Eisenglanz Fe .

Ein altdeutscher Name. Hämatit. *Minera ferri specularis* Wallerius, *mine spéculaire de l'Isle*, *fer oligiste* Haüy, *Specular Iron*. Dem Plinius hist. nat. 34. 41 ist zwar der Eisenglanz von Elba bekannt, allein er unterscheidet die *ferri metalla* nicht von einander.

Hauptrhomboeder $\text{P} = \text{a} : \text{a} : \text{coa} : \text{c}$ $85^\circ 58'$ Endl. Mohs, gibt $\text{a} = 0,7316 = \sqrt{0,5352}$, $\text{la} = 9,86427$.

Schön auf den Zinnsteinstöcken zu Altenberg in Sachsen, und zwar parallel der langen Diagonale gestreift. Da es dem Würfel außerordentlich nahe steht, und auch bei den prachtvollen Krystallen von Elba herrscht, so leitete schon Steno pag. 3 scharfsinnig die Flächen durch Abstumpfung eines Würfels ab. Der blättrige Bruch des Rhomboeders schwer wahrzunehmen, wodurch es sich wesentlich vom Korund unterscheidet.

Geradenfläche $\text{c} = \text{c} : \text{coa} : \text{coa} : \text{coa}$ sondert sich dagegen so stark ab, daß man sie für deutlich blättrig zu halten oft versucht wird, doch gelingt es nicht, den Blätterbruch darzustellen. Besonders vorherrschend bei den Vulkanischen und mit Rutil bedeckten Alpinischen, sie läßt sich an ihrer dreiseitigen Streifung leicht erkennen. Sehr ausgezeichnet ist auf Elba ein quergestreiftes Rhomboeder, welches für das 2te stumpfere $\text{z} = 4\text{a} : 4\text{a} : \text{coa} : \text{c}$ gehalten wird, und das am meisten zur Orientirung in die verzogenen

Krystalle beiträgt, denn darunter liegt die glänzende P, in deren Diagonalzone das

Dihexaeder $r = \frac{2}{3}c : a : \frac{1}{4}a : a$ mit 128° in den Endkanten fällt, welche das Hauptrhomboeder P abwechselnd abstumpft. Dasselbe dehnt sich öfter bedeutend aus, und kommt mit der Geradenfläche selbstständig vor (Framont, Reichenstein). Auch bei Elbaern fehlt es selten, tritt aber in Verbindung mit P und z. Diese rhomboedrisch dihexaedrische Entwicklung hat Eisenglanz mit Korund gemein, was die Grenzen zwischen rhomboedrisch und dihexaedrisch bedeutend verwischt. Selten ist $g = a : \frac{2}{3}a : \frac{2}{3}a : c$ die Kante zwischen P/r abstumpfend; wenn



also P nicht da wäre, so würde der Dreikantner die abwechselnden Dihexaederkanten zuschärfen. Nach Hauy kommt auch das

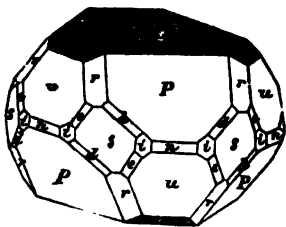
Gegenrhomboeder $l = a' : a' : \infty a : c$ bei den vulkanischen Tafeln vom Mont-Dore vor, dasselbe tritt mit P vollkommen ins Gleichgewicht, so daß ein Dihexaeder von $130^\circ 2'$ in den Endkanten entsteht, welches selbstständig von dem Dihexaeder r freilich wenig abweicht.

Zweite sechsseitige Säule $s = a : \frac{1}{4}a : a : \infty c$, die Seitenkante des Dihexaeders r gerade abstumpfend, ist häufig; bei den vulkanischen Diorhomoedern stumpft sie die Seitenecken ab, auch die erste sechsseitige Säule $n = a : a : \infty a : \infty c$ kommt bei Framont zc. vor. Zu Reichenstein in



Schlesien findet man die einfache Säule s mit Geradenfläche, gewöhnlich treppenförmig wie beim Korund. Auch das herrschende Dihexaeder r erinnert an diesen Edelstein. Gewöhnlich noch das nächste stumpfere Rhomboeder $v = 2a' : 2a'$, und andere Flächen. Am complicirtesten sind die

Eisenrosen der Alpen (St. Gotthard, Mt. Rosa, Pusterthal). Sie werden zwar durch die übermäßig ausgebreitete Endfläche tafellartig, allein am Rande prägen sich die Zonen scharf aus. Auch hier orientirt die Streifung



der Geradenfläche, doch das Hauptrhomboeder P liegt nicht wie bei Elbaern unter den Seiten, sondern unter den Ecken des gestreiften Dreiecks c, unter den Seiten liegt das nächste schärfere Rhomboeder $u = \frac{1}{4}a' : \frac{1}{4}a'$ und das nächste stumpfere $v = 2a' : 2a'$; letztere zwar sehr klein, aber gerade durch ihren Conflict mit der Geradenfläche entsteht die Streifung auf ihr wie auf der Geradenfläche. Dihexaeder r

stumpft die Kante P/u ab, und ein Rhombus P/P und u/u gehört der 2ten Säule s, während die erste n zwischen P/u meist kaum durch eine feine Linie angedeutet wird. Auch der beim Kalkspath gewöhnliche Dreikantner $d^2 = a : \frac{1}{4}a : \frac{1}{4}a : c$ stumpft die Kante P/s ab. Selten ist die Kante u/s durch den Dreikantner zweiter Ordnung $e_1 = a' : \frac{1}{4}a' : \frac{1}{4}a' : 2c$ abgestumpft, und eben so selten kommt die sechsundsechskantige Säule i vor. Federartige Streifungen auf der Geradenfläche könnten Zwillinge andeuten.

Einsenförmige Krystalle brechen recht ausgezeichnet auf Elba: das quergestreifte Rhomboeder $z = 4a : 4a$ gibt dazu die erste Veranlassung, die Rundung entsteht jedoch hauptsächlich durch das dritte stumpfere Rhomboeder $y = 8a' : 8a'$, welches oben sehr deutlich die Endkanten von z abstumpft, nach unten jedoch in continuirlicher Convezität in das Gegenrhomboeder $4a' : 4a'$ übergeht.

Zwillinge haben Aze c gemein und sind gegen einander 60° verdreht; sie durchwachsen sich. Elba, Altenberg. Das eine Dihexaeder legt dann seine abgestumpfte Kante hin, wo das andere die nicht abgestumpfte hat.

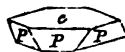
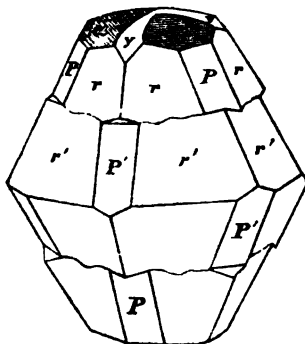
Eisenschwarz und stahlgrau, häufig bunt angelauten (nur die Geradendfläche nicht). Rirschrother Strich. Starker Metallglanz, dünne Blätter scheinen roth durch. Härte reichlich 6, spröde, Gew. 5,23, also trotz des geringern Eisengehaltes doch schwerer als Magneteisen. Äußerst schwach magnetisch.

Vor dem Löthrohr schmilzt es in der innern Flamme öfter unter Funkenprühen und wird magnetisch, von Salzsäure nur langsam gelöst. Eisenoxyd mit 69,34 Fe und 30,64 O.

In Vulkanen, deren Laven es so häufig in blättrigen Krystallen führen, ist es offenbar aus verflüchtigtem Eisenchlorid entstanden, was durch Wasserdämpfe in Regionen zerfetzt wurde, wo es für Magneteisen nicht mehr heiß genug war. Mitscherlich wurde auf den Gedanken durch Krystalle geführt, welche sich in einem Töpferofen von Oranienburg gebildet hatten (Pogg. Ann. 15. 330). Deville leitete über Pulver von Eisenoxyd in einer rothglühenden Porzellanröhre einen ganz langsamen Strom von Salzsäuredämpfen, und bekam sofort die schönsten Eisenglanzkrystalle. Es bildet sich dabei kein Eisenchlorür, wie bei einem schnellen Strome (Compt. rend. LII. 1304). Darnach scheint blos die Gegenwart von Salzsäure nothwendig, um die Atome des Eisenoxydes umzusetzen. Das Vorkommen in Massen, wie in Brasilien und auf Elba, kann man aber wohl nicht in gleicher Weise erklären. Hier begleitet der Eisenglanz häufig das Magneteisen, wie z. B. am Eisensteinberge von Gellivara in Luleå-Lappmark. Ein Gemisch von Eisenglanz, Magneteisen und eingesprenktem Golde bildet der Eisenglimmer von Brasilien (Minas Geraes). In vielen Gneisen vertritt glimmeriger Eisenglanz die Stelle des Glimmers. Der berühmteste Fundort ist jedoch seit Römerzeit Elba:

Insula inexhaustis chalybum generosa metallis Virgil. Aen. X. 174.

Noch heute wird an der Ostküste bei Rio in einer großen Pinge auf der Gränze zwischen Kalkstein und Glimmerschiefer das Erz gewonnen. Frisch ist es aber schwer zu beschaffen, und nicht in dem Maße gesucht, als das zerlegte. Allein stellenweis ist das ganze Gebirge bis zur Tiefe in Braun-



eisenstein umgekehrt, und gerade hier baut man. Die schönen Krystalle finden sich an der östlichen Wand jener Pinge, wo das Erz überdies durch Quarz noch verschlechtert wird. Als Napoleon König von Elba war, ließ er an dieser Wand besonders auf „Stufen“ brechen, und machte damit bevorzugten Personen ein Geschenk!

Als Varietäten etwa auszuzeichnen:

1) Krystallisirter Eisenglanz, wie er sich findet auf Elba, zu Altenberg in Sachsen, Framont im obern Breuschthal der Vogesen in Drusenräumen des dortigen Rotheisensteins. Interessant sind auch die kleinen Krystalle in den Achatkugeln von Oppenau, die ohne Zweifel auf nassem Wege entstanden. In den Alpen thun sich besonders die

Eisenrosen durch Glanz und Schönheit hervor, sie sind gewöhnlich leicht an dem fuchsröthen Rutil erkennbar, welcher auf der Geradendfläche ausschmückte. Kobell hat sogar darin 9,66 Ti neben 5 Fe nachgewiesen, und sie deshalb *Vasanomelan* genannt. Allein sie haben noch einen rothen Strich. Gruppiren sich öfter förmlich in Kreisen wie Blumen. Capao in Brasilien. Für

Vulkanischen Eisenglanz ist die Auvergne berühmt: Tafeln, die an die Eisenrosen erinnern. Neuerlich auch bei Plaidt (Abernach). Am Besuch sind die neuesten Bildungen von Rhomboeder mit Geradendfläche zellig, und die Tafeln nicht selten durch Schmelzung stark geflossen. Beim Ausbruche 1817 füllte sich ein Spalt von 3' Mächtigkeit in 10 Tagen mit Eisenglanz (*Breithaupt Paragenesis* 124). Schon Haibinger (*Pogg. Ann.* 11. 128) beschreibt reguläre Oktaeder mit rauhen Flächen, die aus lauter kleinen Eisenglanzkrystallen bestehen, und die Bildung des Martit erklären sollen. Seacchi hat die Sache weiter verfolgt (*Dufrénoy Traité Min.* II. 478, *Koth Besuch* pag. 313).

2) Eisenglimmer nannte Werner die krummblättrigen stark glänzenden Massen, welche lagerartig besonders im Urgebirge vorkommen. Der blättrige Bruch kann nur von der Geradendfläche herrühren, da er bloß einzig ist. Es muß das sehr auffallen, da man von einer Blättrigkeit der Geradendfläche an Krystallen nichts merkt. Man kann sich leicht die dünnsten Schuppen verschaffen, welche in einzelnen Flittern vom Magnet zwar angezogen werden, aber immer nur undeutlich. Nimmt man dagegen solche Blättchen vor das Röthrohr, so sprühen sie in der innern Flamme Funken, und werden sogleich stark magnetisch. Ungarn (Doptschau und Poratsch) und Währen liefern schöne Vorkommen, vor allen aber Brasilien. Im Granit des Gleissinger Fels im Fichtelgebirge. Werden die Blätter ganz fein, so scheinen sie roth durch und beschmutzen die Hand (schuppiger Eisenglimmer, Rotheisenrahm), ohne ihr metallisches Aussehen aufzugeben, Suhl, Murgthal bei Schönmünzgnach. Bei Altenberg in Sachsen, Bittsberg in Schweden u. wird er ausgezeichnet strahlig blättrig. Der Eisenglimmerschiefer (*Itabirite*) vom Pic Itabira in Brasilien wird ganz derb; der von St. Mora in Oestreichisch Schlesien, Blansko u. verliert sich sogar ganz in einem schieferrigen Aussehen, und glänzt auf der Schieferfläche noch stark, nur sein Querbruch wird matt.

3) Körniger Eisenglanz ist oft die Mutter der Krystallbrusen. In Schweden (Wärmeland) kommen Lager vor, die feinkörnig wie Magnet-eisen, aber mit rothem Strich nur als Staub vom Magneten bewegt werden. Das scheint wie der Martit oxydirtes Magneteisen zu sein. Schöne Afterskrystalle bildet er auf Elba vom Schwefelkies. Noch bekannter sind die aus den Eisensteingruben des Uebergangskalkes von Sundwig in Westphalen, rohe Dreikantner von Kalkspath am Ende mit dem Hauptrhomboeder. Die Krystalle sind häufig hohl, doch hat körniger Eisenglanz (mit Quarz und Kalkspath gemischt) wesentlich zur Ausfüllung beigetragen. Die dickschaligen Muscheln des Lias α von Semur (Côte d'Or) sind in körnigen Eisenglanz verwandelt. Bei Altenberg gruppiren sich kleine Eisenglanzhomboeder nach der Form des Kalkspathes (Pogg. Ann. 91. 182).

4) Rother Glasstopf.

Hängt entweder mit Glanzstopf oder Glasstopf (Rathstopf) zusammen, ein altes bergmännisches Wort (Henkel Pyritologia pag. 169), *cerebri speciem prae se fert*, Agricola 606. Der berühmte Blutstein, *αιματης* Theophrast 66, den man aus geronnenem Blute entstanden dachte, und daher wieder für blutstillend ausgab.

Excentrisch fasriges und concentrisch schaliges Erz, meist mit halbkugelig (traubiger und nierenförmiger) Oberfläche, nach Art des Chalcidons. Aber die Faser ist so ausgebildet, daß man die feinsten Nadeln abspalten kann, an welche leicht eine stark magnetische Kugel schmilzt. Die Probe weiter in die Flamme gehalten sprüht Funken. Im compacten Zustande sind sie noch stahlgrau und die Stücke zeigen dann öfter an ihrem Unterende eigenthümliche Absonderungsflächen, welche man nicht mit Krystallflächen verwechseln darf. So wie die Faser lockerer wird, tritt auch die kirschrothe Farbe hervor, und gewöhnlich haben sie noch einen rothen oderigen Ueberzug. Der Glanz geht dann verloren, die Masse wird weicher (unter Feldspathhärte) und leichter (unter 5). Beim Schlagen brechen sie meist so gegen Willen, daß man schwer gute Handstücke erhält. Er liefert ein gutes Eisen, gehört aber schon zu den seltenen Eisenerzen. Bildet Gänge im rothen Porphyr und Lager im Todtliegenden, welches überhaupt seine kirschrothe Farbe dem beigemischten Eisenoxyd dankt. Ihlefels am Harz, Framont in den Vogesen, „in Sachsen ist er der gemeinste Eisenstein“. Gibt deshalb zu Afterskrystallen viel Veranlassung, wie z. B. die ausgezeichneten Würfel vom Rothenberg bei Krahnendorf, welche innen hohle Quarzbrusen bilden, die der schönfasrige Glasstopf überzieht. Gepulvert dient er zum Poliren und Glätten von Metallarbeiten.

5) Dichter Rotheisenstein bildet gewöhnlich die Mutter des edlern Glasstopfs. Es gibt compacte reine Abänderungen mit mattem Bruch, der rothe Strich sehr lebhaft. Viele derselben werden aber durch Quarz und Thon verunreinigt; jene in Jaspis, diese in Thon übergehend. Bildet gewöhnlich Flöze, die eine Anlage zum Schiefer haben. Es kommen darin die prachtvollsten Spiegelflächen vor, wie zu Reichmannsdorf bei Saalfeld, zwei

solcher Spiegel sollen immer aufeinander liegen. Als die ausgezeichnetste Varietät sah Werner die von Schellerhau bei Altenberg an. Nassau gewann 1854 an 5 Mill. Centner, die nach Saarbrück und Dortmund gehen, und gutes weiches Stabeisen geben.

6) Rother Thoneisenstein geht ins Erdige über, doch gibt es noch sehr eisenreiche Abänderungen, so daß die Gränze zwischen Erz und Thon nicht gezogen werden kann. Viele Abänderungen:

Röthel (*μῆλος*, *rubrica*), der durch Glühen schwarz und dem Magnete folgsam wird. Er schreibt, nimmt mit dem Finger gerieben Glanz an, und der Strich ist viel lichter als sein frischer Bruch. Der vom Rothberge bei Kaulsdorf ohnweit Saalfeld kommt viel in Handel, er wiegt 3,1—3,8. Nach Theophrast kam der beste aus Keos (Zea), doch mußte man ihn auch durch Glühen der Gelberde (*ὄψα*) sich zu verschaffen. Unsere Rothstifte sind künstlich aus Gummi und geschlämmtem Blutstein bereitet.

Stänglicher Thoneisenstein ist ein Product von Braunkohlenbränden, besonders im Leitmeritzer und Saager Kreise Böhmens. Gleicht Basaltsäulen im Kleinen, welche von der Dicke eines Nadelknopfs und darüber mit außerordentlicher Regelmäßigkeit sich über einander lagern: Folge von Absonderung durch Feuer (Epochen der Natur pag. 155):

Körniger Thoneisenstein zeigt ähnliche runde Absonderungsförpchen, wie Dolith pag. 415. Im Uebergangsgebirge des Prager Beckens haben die Körner eine ausgezeichnete Linsenform, und sind viel größer, als die im Jura Deutschlands und Lothringens. Sie gleichen hier feinen runden Pulverkörnern, die Gegenstand eines wichtigen Bergbaues sind. In Preußen bei Sommerschenburg zwischen Helmstedt und Seehausen schwellt das Flöz im Glas α zu 80' Mächtigkeit an. Bei Wasseralfingen in Württemberg werden alljährlich 240,000 Ctr. gewonnen, die ein Dritteltheil Roheisen liefern. Besonders zu Gußwaaren geeignet. Auch in England sind neuerlich die oolithischen Erze des Jura (Cleveland) nördlich York, südlich des Kohlenbeckens von Newcastle ungemein wichtig geworden. Dasselbst wurden 1858 schon 27 Mill. Centner verhüttet (Berg- und Hüttenmännische Zeitung, 12. Febr. 1862). Es sind verschiedene Flöze, eines schwellt bis auf 13' an.

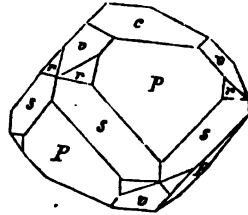
Die Farbe in der großen Rothen Sandsteinformation vom Oldred bis zu den obersten Gliedern des Keupers kommt von Eisenoxyd, das sich auch in Geaden und Lagern darin vielfach ausscheidet. Obgleich diese Gesteine ein entschiedenes Wasserproduct sind, so hat sich doch auffallender Weise das Eisen nicht als Hydrat niedergeschlagen. Man kommt hier auf die Meinung, das Roth könne in der Erde durch Veränderung herbeigeführt sein. Man weiß ja, daß gelber Eisenrost mit dem Alter roth werde (Bischof Geol. II. 1244); ja Volger behauptet, in der Kapelle von Rappel (Schweiz) habe selbst die gelbe Ocherfarbe alter Freskogemälde sich geröthet!

Rhomboedrisches Titan Eisen

im Gegensatz von octaedrischem pag. 610. Die Kenntniß eisenhaltiger Titanerze datirt von Klaproth 1797 (Beiträge II. 220), der im Menaccanit

von Cornwallis 45,25 Ti nachwies. Es wurde dann weiter bei Aschaffenburg, Ohlapian, Oisans, Gastein u. gefunden. Haüy (Traité Min. 2. ed. 4. 180) erkannte zwar am Erichtonite von Oisans die rhomboedrische Form, indessen wies erst Mohs (Grundriß II. 182) die Uebereinstimmung der Form mit Eisenglanz nach. Ribbelophan, Hystatit, Ilmenit.

Rhomboedrisch und schwach magnetisch, dadurch vom regulären stark magnetischen wohl unterschieden. $P = a : a : \infty a : c \ 85^\circ 58'$ wie beim Eisenglanz. Bei den Zollgroßen Krystallen aus dem edlen Serpentin von Modum geht der P ein erkennbarer Blätterbruch parallel. Daran ist die Geradenfläche $c = c : \infty a : \infty a : \infty a$ mit P $122^\circ 22'$ machend, nicht gestreift, was das Erkennen sehr erschwert. Sie ist vielleicht noch etwas blättriger als P, daher Mohs Name *Acrotomes Eisenerz*. Die 2te sechsseitige Säule $s = a : \frac{1}{2}a : a : \infty c$ ist rauh, und stumpft die Zickzackanten von P ziemlich stark ab. Rauh ist auch das nächste stumpfere Rhomboeder $v = 2a' : 2a' : \infty a : c$, leicht erkennbar an den rechten Winkeln, unter welchen die Kanten c/v und P/v auf den Flächen sich schneiden. Das Diheraeder $r = \frac{1}{2}c : a : \frac{1}{2}a : a$ in der Diagonalzone von P kommt vollflächig vor, allein wegen ihrer Kleinheit fehlt öfter eine Fläche. Bei denen von Gastein ist die scheinbare Hemiedrie so gewöhnlich, daß sie Mohs geradezu dafür nahm, allein die Krystalle von Modum und Miast beweisen, daß die Sache sich ganz wie beim Eisenglanz und Korund verhält. Bei Miast auch das nächste schärfere Rhomboeder $u = \frac{1}{2}a' : \frac{1}{2}a' : \infty a : c$ (Pogg. Ann. 9. 180). Krystalle von Kopfgröße kamen beim Gewinnen des Apatits auf Krageröde vor. Mohs gibt zu Gastein Zwillinge an, die parallel ihrer Axe c so durchwachsen, daß das hemiedrische Diheraeder r wieder vollzählig wird.



Eisenschwarz mit schwarzem Strich, wodurch es sich sogleich vom Eisenglanz unterscheidet. Auch ist der Glanz sehr schwach, schwächer als bei mattem Magneteisen, deßhalb kann es leicht mit Magneteisen verwechselt werden. Allein es ist nur schwach magnetisch. Härte reichlich 5 und spröde, Gewicht 4,8.

Unschmelzbar, wird aber unter Funkenprühen magnetisch. Mit Phosphorsalz gibt es beim Abkühlen ein vorübergehend rothes Glas. In Salzsäure und Königswasser unter Zurücklassung von Ti nur schwer löslich.

Die Deutung des Titangehalts macht viel Schwierigkeit. Mosander (Pogg. Ann. 19. 115) meinte, da sich neben Fe und Ti auch stets Eisenorydul finde, daß Fe Ti mit Fe isomorph sei, weil darin auch 2 Atom Radical mit 3 Sauerstoff wie im Eisenoryd stecken, allein solche Erweiterungen des Isomorphismus sind eine gewagte Sache. Fuchs behauptete dagegen, daß es wie beim Zinn eine Verbindung von Ti gäbe, die beim Lösen in Salzsäure sich auf Kosten des Eisenoryds in Ti verwandeln könnte: diesem schloß sich H. Rose (Pogg. Ann. 62. 138) an. Nun fand aber Rammelsberg zu Bayton's Farm (New-York) 13,7 Magnesia, was auf eine Formel $Fe Ti$

+ Mg Ti ohne Eisenoxyd führt. Dana schreibt auch hier $(\text{Ti}, \text{Fe}, \text{Mg})^2 \text{O}^3$.

Einige wichtige Vorkommen sind folgende:

1) Menaccanit von Menaccan in Cornwallis, worin Gregor 1791 ein neues Metall entdeckte, welches sich später als identisch mit Klaproth's Titanium erwies. Es kommt im Sande der Bäche vor, ganz nach Art des Magneteisensandes pag. 610 in gerundeten Stücken, deren Form man daher auch nicht kennt, allein da sie schwach magnetisch sind, so könnten sie möglicher Weise hierher gehören. Klaproth fand darin 51 Fe, 42,2 Ti. Vergleiche hier auch den schwach magnetischen Yserin von 4,68 Gew. = $\text{Ti} + \text{Fe}$ und den stark magnetischen Yserin von 4,76 Gew. = $3 \text{ Ti} + 4 \text{ Fe}$.

2) Titaneisen von Gastein (Ribdelophan) im Talkstiefen, 4,66 Gew. = $\text{Ti} + 4 \text{ Fe}$ mit 53,7 Titanoxyd und 46,3 Eisenoxyd nach Kobell. Von Mohs krystallographisch beschrieben, zeigt das Dihexaeder rhombisch.

3) Titaneisen vom Ilmensee bei Miasa, Kupfer beschrieb sie als Ilmenit 2 + 1gliedrig, aber G. Rose zeigte, daß ihre Winkel vom Gasteiner nicht abweichen. Gew. 4,8 = $4 \text{ Ti} + 5 \text{ Fe}$ mit 42,6 Titanoxyd und 57,4 Eisenoxyd. Sie kommen im dortigen Miascit bis gegen 10 Zoll Größe vor, Geradenfläche und Querbruch glänzend.

4) Titaneisen von Egersund in Norwegen, in großen derben bräunlich schwarzen Stücken, ist von G. Rose (Pogg. Ann. 3. 100) zuerst untersucht. 4,7 Gew. = $2 \text{ Ti} + 3 \text{ Fe}$ 38,3 Titanoxyd und 61,7 Eisenoxyd. Das von Kragerö liegt im röthlichen schön gestreiften Albit.

5) Titaneisen von Tvedestrand bei Arendal (Hydratit), im rothen Granat eingesprengt. Die kleinen Krystalle haben gerundete Kanten, doch fand G. Rose sämmtliche Kanten des Rhomboeders P durch v und s abgestumpft, und außer ihnen noch die Geradenfläche c. Einige wenige Körner werden vom Magnet angezogen und haben 4,74 Gew., die unmagnetischen 4,49 Gew. $\text{Ti} + 3 \text{ Fe}$ mit 23,6 Titanoxyd.

6) Titaneisen von Aschaffenburg im Quarz des dortigen Granits, schon von Klaproth (Beiträge II. 100) untersucht, nach Kobell 4,78 Gew. = $\text{Ti} + 6 \text{ Fe}$ mit 13,4 Titanoxyd.

Klaproth untersuchte auch die Körner aus den Goldwäschen von Ohlapian in Siebenbürgen, wo sie zwischen Quarzsand und Granat zu liegen pflegen. Die meisten Körner sind darunter stark magnetisch. Die ältesten krystallographisch bekannten stammen von Bourg d'Oisans in der Dauphiné, welche Graf Bournon nach einem Russischen Arzte

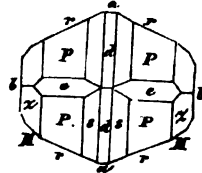
Erichsonit (Eraitonite) nannte. Nach Marignac einfach Fe Ti . Sie kommen daselbst mit Anatas und Bergkrystallen in kleinen scharfen Rhomboedern vor, mit etwa $61\frac{1}{2}^\circ$ in den Endkanten, so daß es ein Rhomboeder $a : a : \infty a : 5 c$ sein könnte, ihre Entdecke ist durch $c = c : \infty a : \infty a : \infty a$ gerade abgestumpft. Andere Krystalle bilden ganz dünne Blätter, und gleichen durch die Menge ihrer Flächen Eisenrosen pag. 616, aber der Winkel P/P soll nach Levy $73^\circ 43'$ betragen, er heißt daher Mohs'it. Vor dem Röthrohr zeigen sie Reaction von Titaneisen.

3. Brauneisen.

Ein wichtiges Eisenerz besonders in Glasopffstructur, daher möchte Xanthus (Theophrast α), was braungelb bedeutet, diesen Glasopf bezeichnen, da er dem Blutstein zur Seite gestellt wird, während Plinius 36. 17 ihn Schistos heißt, schistos et haematites cognationem habent. Limonit.

2gliedrig, isomorph mit Diaspor pag. 304 und Braunmangan, aber gute Krystalle selten und verschieden benannt: die schönsten maß Philips aus Drujenräumen des quarzigen dichten Brauneisensteins von der Grube Botallack in Cornwallis. Es sind wenige Linien lange glänzende Individuen, welche stellenweis als die Enden von Glasöpfen erscheinen, und durch ihre Schwärze an Braunmangan erinnern.

Säule $r = a : 2b : \infty c$ bildet vorn $130^\circ 40'$, ihre scharfe Kante ist durch den Blätterbruch $b = b : \infty a : \infty c$ gerade abgestumpft, wodurch bei allen eine sechsseitige Säule entsteht. Oktaeder $P = a : b : c$ bildet mit der Säulenkante r keine rechten Winkel; das zugehörige Paar $M = a : b : \infty c$ $94^\circ 51'$ stumpft gewöhnlich die Kante b/r nur sehr undeutlich ab. Die seitliche Endkante des Oktaeders P wird durch das zugehörige Paar $e = b : c : \infty a$ mit $117^\circ 30'$ in Axe c gerade abgestumpft, daraus folgt



$$a : b = 1,514 : 1,648, lga = 0,18015, lgb = 0,21702.$$

Außer diesen kommen noch mehrere kleine Abstumpfungen vor: $a = a : \infty b : \infty c$, $d = a : c : \infty b$ und eine ganze Reihe von Flächen zwischen P/d , worunter $s = a : c : 2b$. Unter P noch $z = a : c : \frac{1}{2}b$. Zu Elifton bei Bristol liegen Oblongtafeln von r e b gebildet in Quarzgeoden. G. Rose (Kryst. chem. Min. pag. 70) zeigt, daß auch die kleinen diamantglänzenden hyacinthroth durchscheinenden Blättchen (Githit), welche am Brauneisen vom Hollerterzug und von andern Orten im Siegenschen haften, den blättrigen Bruch b zur Tafel haben; statt der Säule kommt nur a vor, dagegen schneidet e die b unter $121^\circ 20'$, was für e/e in c $117^\circ 20'$ gibt, x gegen x etwa $42^\circ - 43^\circ$. Die meßbaren äußerst seltenen Krystalle stammen von der Eisenzeche bei Elberfeld ohnweit Siegen. Ähnliche Blättchen stecken in den Markröhren des Plateosaurus im obersten Keuper von Heroldsberg bei Nürnberg (Hr. v. Meyer Muschelkalkfauna pag. 158). Hr. Hefsenberg maß daran sogar eine neue Fläche $c : b : \frac{1}{4}a$.



Nellen- bis schwärzlichbraun, ochergelben Strich. Glanz unvollkommen metallisch, weil dünne Stücke durchscheinen. Härte 5. Die reinsten Abänderungen sollen bis auf 4,4 Gew. hinaufgehen, gewöhnlich stehen sie aber unter dem 4fachen.

Vor dem Löthrohr schmilzt er an den Ranten mit Funkensprühen in der innern Flamme und wird magnetisch. Im Kolben hinterläßt er rothes Eisenoxyd und gibt Wasser. Schwer löslich in Salzsäure.

Chemisch unterscheidet v. Kobell (Journal prakt. Chem. 1. 101 und 319) zweierlei Varietäten:

$\text{Fe} \cdot \text{H}$ mit 89,7 Fe und 10,3 H. Dahin gehören alle krystallisirten Varietäten und die meisten Aiterkrystalle; zum

$\text{Fe}^2 \cdot \text{H}^3$ mit 85,3 Fe und 14,7 gehört der braune Glaskopf. Wenn man jedoch mit diesen Normen den Wassergehalt verschiedener Analysen vergleicht, so will eine Bestimmtheit der Verbindung nicht immer einleuchten. Der Mangangehalt ist in der Verbindung selbst nicht groß, da sich dasselbe gern selbstständig auf dem Erzlager ausscheidet. Brauneisen bildet sich gar leicht an Quellen aus kohlensaurem oder schwefelsaurem Eisenoxydul, die sich durch Aufnahme von Sauerstoff in Oxyd verwandeln. Daher ist es in der Natur verbreiteter als irgend ein anderes Erz. Ganze Massen von Spath-eisen und Schwefelkies sind darin verwandelt. Ehrenberg glaubt außerdem, daß häufig die Gallionella ferruginea, welche auf der Freiburger Grube Bescherer-Glück in 1106' Tiefe noch lebend vorkommt, zur Bildung beitrage, wenigstens spielt sie bei Raseneisensteinlagern eine nicht zu übersehende Rolle.

Brauneisen von der Formel $\text{Fe} \cdot \text{H}$ (Pyrrhosiderit).

1) Nadeleisenerz findet sich in kleinen schwarzbraunen Büscheln in den Kammern des Ammonites macrocephalus, triplicatus u. des braunen Jura. Bei Oberstein sind die sammtförmigen Büscheln zum Theil mitten in den Amethyst eingewachsen, ebenso am Finkenhubel bei Glas, zu Nieder-Planitz bei Zwickau, auf der Wolfsinsel im Onega-See (Onegit). Alle diese krystallinischen Vorkommen (l'âches d'amour) sind jedoch nicht meßbar, wie bei Bottallack.

2) Gölthit (Nubinglimmer) bildet durch Vorherrschen des blättrigen Bruchs Tafeln. Leider sind die Krystalle vom Westerwalde, Nabadula in Ungarn und Kaschau in Sachsen nur klein, sonst würde die prachtvolle hyacinthrothe Durchscheinendheit sie den schönsten Mineralen zur Seite stellen.

3) Lepidokrokit (*lentis* Schuppe, *xporis* flockig) derbe Massen von röthlich braunen Schuppen liegen im innern der braunen Glasköpfe und wechseln mit Graumanganerz. Ausgezeichnet bei Neuenbürg auf dem Württembergischen Schwarzwalde, Harz, Westerwald, Bieber in Hessen u. Kobell gibt bei dem vom Hollerter Zug auf dem Westerwalde 2,5 Mn an. Theilweis finden sie sich locker und schmutzend. Der Wassergehalt wechselt zwischen 9,5 und 12,7.

4) Sammtblende hat man die Kastanien- bis Nußbraunen Glasköpfe genannt. Nußbraun sind z. B. die Anfänge der Strahlen, worauf die Krystalle von Bottallack sitzen. Zu Kl. Schmalkalden bei Gotha kommt diese Farbe an Erzen mit ausgezeichneter Glaskopffstructur vor. Zartfaserig, seidenglänzend und von einer Byssusfarbe, wie gewisse fahlfarbige Rutile, in Siebenbürgen mit Amethyst, zu Przibram mit Bleiglanz, Hüttenberg.

Xanthosiderit Schmid (Pogg. Ann. 84. 400) aus den Manganerzen von Ilmenau am Thüringer Walde mit goldig-gelbbrauner Faser und Seidenglanz soll $\text{Fe} \cdot \text{H}^2$ sein.

5) Afterkrystalle. Spath-eisenstein und Schwefelkies verwittern gar leicht zu Brauneisenstein, und dieselben sollen dann nach Kobell reines $\text{Fe} \text{ u. } \text{H}$ geben. Bekannt sind die Schwefelkiese im Quarz der Goldgänge von Beresowst, worin die Analyse 86,9 Fe und 11,1 H gab. Dagegen muß man dann wieder die Afterkrystalle des Schwefelkieses aus dem Kuipermergel von Minden zum $\text{Fe}^2 \text{ H}^3$ setzen, denn Kobell fand darin 85,2 Fe und 13,3 H . Und doch widerstrebt es, diese gleichen Dinge an verschiedenen Punkten aufzuführen. So enthalten die durch Verwitterung schwarz gewordenen Spath-eisensteinrhomboeder von Hüttenberg in Kärnten nach Karsten 77,5 Fe , 2,7 Mn , 14,5 H . Es ist eben alles Brauneisenstein, der mehr nach dem äußern Ansehen, als nach seiner chemischen Constitution festgehalten werden kann. Afterkrystalle von Brauneisen nach Gyps siehe Pogg. Ann. 78. 82.

6) Brauner Glaslopf $\text{Fe}^2 \text{ H}^3$. Sollte 85,3 Fe und 14,7 H haben, wovon aber auch die meisten Analysen nicht unwesentlich abweichen. Unter den Glaslöpfen der häufigste und ausgezeichnetste. Er hat eine zarte dunkel nelkenbraune Faser, deren traubige, nierenförmige, stalactitische u. Oberfläche aber meist schwärzer gefärbt ist, als das Innere, was wahrscheinlich von einem etwas reichern Mangangehalt herrührt. Das Metallische verräth sich auch durch ein starkes Buntanlaufen, obgleich das Innere nur von einem schwachen Seidenglanz schimmert. Die feinen Splitter schmelzen unter Funken-sprühen in der innern Flamme zu einem magnetischen Korn. Es gibt ein weiches leichtflüssiges Roheisen, was namentlich zur Stabeisenbereitung sehr brauchbar ist. In Württemberg wird es in Gängen des Buntensandsteins bei Neuenbürg auf dem nördlichen Schwarzwalde gewonnen, und als das beste Erz des Landes Stahlerz genannt. Der Gehalt von 1,3 Mn ist darin gern gesehen. Ganze Stücke mehrere Tage in Salzsäure gelegt, hinterlassen öfter ein Kieselstelet, die Kiesel Erde geht über 4 p. C. hinaus. Unwillkommen ist Phosphorsäure. Glaslopf bildet stets den letzten Ueberzug auf der matten, porösen, unreinern Erzmutter, und verhält sich daher wie die Krystalle zu ihrer Unterlage auf Gängen. Reich ist das Uebergangsgebirge, wo er häufig in breiten Klüften lagert: bei Grund und Elbingerode auf dem Harze, Schmalkalben und Camsdorf am Thüringer Walde, im Rheinischen Uebergangsgebirge und auf dem Westerwalde. Reich sind die Pyrenäen und Baskischen Provinzen, schon Plinius hist. nat. 34. 43 erwähnt das. Da durch Verwitterung alles was Eisen enthält die Neigung zeigt, sich mit Wasser zu verbinden, so muß schon deßhalb Eisenoxydhydrat zu den verbreitetsten Eisenerzen gehören. Auf Elba hat sich der Eisenglanz, in Steiermark der Spath-eisenstein darin umgesetzt.

7) Dichter Brauneisenstein. Der gewöhnliche ist matt, mit unvollkommenem splittrigem und unebenem Bruch, und einer Farbe, die stellenweis ins Ocker gelbe übergeht. So bildet er in unzähligen Abänderungen die Wurzel der Glaslöpfe. Zuweilen kommen auch Stücke vor, die ohne Spur von Faser im Innern doch äußerlich die Glaslopf Oberfläche zeigen. Man könnte öfter versucht sein, sie für Afterbildungen von wirklichen Glaslöpfen zu halten. Seltener hat die Masse einen opalartigen Glanz

und Bruch Glanzeisenstein, Stilpnosiderit; dieselbe ist spröde, und zeichnet sich auffallend von ihrer Umgebung aus. Einen Theil davon (Amberg) hat man dichten Gölthit genannt, weil er 86,2 Fe und 10,7 H zeigte; der meiste hat jedoch mehr Wasser. Ein kleiner Phosphorsäuregehalt, bis 3 p. C., fällt darin auf, die Ungarischen sind auch von Grüneisenerde durchzogen. Man muß sie daher vorsichtig vom Triplit pag. 479 und andern ihnen sehr ähnlichen phosphorsauren Eisenerzen unterscheiden. Uebrigens wiederholt sich die Bildung im Werner'schen Wiesenerz, wo das sogenannte „muschelige Wiesenerz“ ganz dem Glanzeisenstein gleicht. Hausmann hat diese jüngsten Ablagerungen unter dem Namen Limonit zusammengefaßt, Werner nannte sie

Raseneisensteine (Sumpfeisensteine). Sie sind entschieden ockerig, aber in aller Weise verunreinigt. Man schreibt sie Fe H^2 , was einen Wassergehalt von 18,7 p. C. voraussetzen würde. Werner unterschied schon frühzeitig Wiesenerz, Sumpferz und Morasterz, aber mehr nach ihrer Formation, als nach ihrer Beschaffenheit, die unter Umständen bei allen dreien die gleiche sein kann. „Das Bruchwasser enthält eine Pflanzensäure, welche es aus den niedergefallenen Holzblättern, Wurzeln zc. in sich aufnimmt. Dadurch wird das Wasser geschickt, die zerstreuten Eisentheile aus den Steinen, über welche es fließt, über denen es steht, auszulaugen. Es führt dieselben in die niedrigsten Gegenden, wo das Bruchwasser meist stille steht, das Eisenerz häuft sich dort an, und fällt nach und nach nieder. Davon entsteht auf dem Boden der Brüche eine Schicht gelblich braunen Eisenoxyds (Morasterz), die anfangs sehr schwach ist, aber durch die Länge der Zeit immer stärker, wie auch fester und fester wird, und das Sumpferz ausmacht. Trocknen endlich die Brüche zu Wiesen aus, so erhärtet auch der Eisenstein noch mehr, und wird zu Wiesenerze.“ Daß Verunreinigungen aller Art darin vorkommen, namentlich Sand, kann bei der Art der Ablagerung nicht anders sein. Klaproth wies darin sogar 8 p. C. Phosphorsäure nach, was das Stabeisen kaltbrüchig macht, indessen gibt es ein sehr leicht flüssiges zur Gießerei besonders geschicktes Eisen. Rinne glaubt daher, daß es wegen seiner leichten Gewinnungsweise das erste Eisenerz gewesen sei, woraus der Mensch versucht habe es darzustellen (*Tophus Tubalcaini*). Die große Nordeuropäische Niederung: Holland, das Münsterland, Pommern, die Niederlausitz, Preußen, Polen, Rußland zc. sind reich an diesem Erzeugniß. Man gewinnt es nicht bloß trocken als Wiesenerz, für dessen schönstes Vorkommen Werner's Geburtsort Wehrau in der Niederlausitz angeführt zu werden pflegt, sondern man schöpft es als flüssigen Morast aus dem Grunde der Brüche, wo es sich dann immer wieder nach 8—10 Jahren in hinlänglicher Menge erzeugt. Nach Ehrenberg nimmt auch die *Gallionella ferruginea* wesentlichen Antheil daran. Hermann's Turgit von den Turginskischen Kupfergruben am Ural soll sogar $\text{Fe}^2 \text{H}^3$ sein, und hat dennoch kaum 3,7 Gew.

Es würde zu weit gehen, wollten wir sorgfältig, etwa wie Hausmann im Handbuche der Mineralogie pag. 354—387, alle die kleinen Abweichungen

aufzählen, welche das ockerige Eisenerz eingeht. Nur folgende wenige können wir nicht mit Stillschweigen übergehen:

Gelber Thoneisenstein von ockergelber Farbe ist in den verschiedensten Verhältnissen durch Thon und Sand verunreinigt. Man findet ihn besonders schön in verschiedenen Lagern der Flözgebirge. Häufig zeigt er rundlich ellipsoidische Absonderungen von Nuß- bis Kopfgröße (Eisennieren), die gewöhnlich in großer Menge sich finden (Brauner Jura). Der innere Kern ist stets etwas lockerer, sondert sich auch wohl ganz ab, und dann klappern die Steine. Das sind die im Alterthum so berühmten

Ablersteine, *Aotites* Plinius 36. 33, *magnam samam habent, reperiuntur in nidis aquilarum. Ajunt binos inveniri, marem et feminam.*

„Im Bauche haben sie einen harten Stein, oder einen zarten Thon, daß es klappert, wenn man sie schüttelt.“ Noch heute hat die Bildungsweise etwas Auffallendes. Die Dicke der Rinde beträgt nur wenige Linien, und besteht bei denen jüngerer Formationen häufig aus Quarzsand, der durch eingefädertes Brauneisen cementirt wurde. In den schaaligen Böhnerzen der Alp findet man sie stellenweis, der Braunkohlensand von Priesen unterhalb Auffig in Böhmen liefert besonders schöne Exemplare.

Böhnerz gleicht in seiner vollkommensten Bildung runden Erbsen, die innen aus mehreren concentrischen Lagen bestehen, und zwar so regelmäßig, daß beim Darauffschlagen sich immer kleinere Erbsenformen mit glänzender Oberfläche herauschälen, nur der innerste Kern ist etwas verworren, und auch dieser nicht bei allen. Die schlechten sind innen hohl und locker, wie Ablersteine, aber wahrscheinlich auch nur in Folge von Umbildung. Solche regelmäßige Körner wachsen und fließen zwar zu compacten bis Centnerschweren Erzklumpen mit unregelmäßiger Rundung zusammen, allein man erkennt darin häufig die einzelnen concentrisch schaligen Körner wieder, woraus sie entstanden. Alles liegt in einem intensivgefärbten ockergelben thonigen Lehm, der vor der Benutzung abgeschlämmt werden muß. Das Ganze erinnert zu lebhaft an Erbsensteinbildung pag. 415, als daß man ihre Entstehung anders erklären dürfte, wenn es auch heute da, wo sie lagern, an Quellen fehlt. Sie finden sich besonders ausgezeichnet auf dem Jurakalk in Deutschland und Frankreich, erfüllen hier entweder sehr unregelmäßige Spalten, die erst durch die Wasser ausgefressen sind, in welchen sie lagern, oder bilden Lager, die sich in flachen Vertiefungen nach Art des Lehms ausbreiten. In den Spalten werden sie gern von strahligem Kalkspath begleitet. Stellenweis sind die Erze selbst reiche Fundorte für fossile Säugethiere. Schon länger ist in Süd- wie Norddeutschland ein kleiner Chromgehalt nachgewiesen (Pogg. Ann. 55. 333), seltener Vanadium. Daß auch Zink und Titan darin enthalten sein muß, beweisen die Schlackenproducte. Schon Klaproth (Beiträge IV. 120) hat das „Eisen-Böhnerz“ aus dem Högau analysirt, was im obern weißen Jura lagert: 53 Fe, 14,5 H, 23 Si, 6,5 Al, 1 Mn. Meist bildet die Kiesel Erde mit der vorhandenen Thonerde Thon, welcher mechanisch hineingeführt sein dürfte. Walschner (*Schweigger's Journ.* 51. 300) fand im Altdinger Stollen, wo der Kugelsapiss pag. 209 lagert, olivengrüne Abänderungen,

welche mit Säure gelatiniren; ein Theil der Kiesel-erde müßte daher an Basen gebunden sein.

Sind die Bohnen innen hart und nicht ockerig, so liefern sie 30—36 p. C. eines leicht flüssigen Eisens. In Württemberg gewinnt man allein 150,000 Ctr. alljährlich, besonders in der Umgegend von Nattheim und Tuttlingen. Auch der französische Jura, Haute Saone, Berry etc. ist reich daran. Der Bauxit von Baux bei Arles ist so Vanadinhaltig, daß man dieses technisch gewinnen könnte, auch enthält es Thon und einen Ueberschuß an Thonerde, welcher im Feuer Korund gibt (Ann. Chim. Phys. 1861. 61. 300). Die Bildung der Bohnerze ist eine noch viel bestrittene Frage: Gressly (Neue Denkschr. allg. Schweizer Ges. Naturw. 1841. V. Tab. 14. Fig. 8) dachte sich geradezu Eruptionskrater; Hr. Deffner (Württ. Jahresh. 1859. 257) sieht es als Afterbildungen von Schwefelkies an; am wahrscheinlichsten sind es Concretionen aus Eisensäuerlingen, die heute nicht mehr fließen.

Gelber Eisenoolith im braunen Jura besteht aus kleinen runden concentrisch schaaligen Kugeln oder zusammengebrückten Linien, in einen mergeligen Kalk eingeprengt. Manche Schichten sind so reich (Schicht des *Ammonites macrocephalus* bei Geisingen an der Donau), daß sie mit Vortheil gewaschen und verschmolzen werden. Es ist das aber nicht so gewöhnlich, als bei dem rothen oolithischen Thoneisenstein. Im Tertiärgebirge (am Kreffenberge bei Traunstein in den Bayerischen Alpen) sind die Körner schwärzlichbraun, gehen sogar in's Grün, was von Verunreinigung herrührt. In der Kreideformation der Alpen kommen grünlich schwarze bis grüne Dolithe vor, die mit Säure eine Kieselgallerte geben. Am Berge Chamoison bei St. Maurice im Wallis werden diese auch auf Eisen benutzt (Chamoisit). Die Analyse gab 60,5 Eisenoxydul, 17,4 Wasser, 14,6 Si und 7,8 Al.

Brauneisenocker ist der erdige zerreibliche Zustand, von intensiv gelber Farbe, aber meist verunreinigt durch Thon. Schließt sich an die Gelberde an, diese brennt sich aber roth, während der ächte Ocker in starkem Feuer noch schwarz wird in Folge des Eisenreichtums.

b) Manganerze.

Ihr Vorkommen ist viel beschränkter, als das der Eisenerze. Doch sollen Geschiebe Amerikanischer Flüsse besonders an Wasserfällen sich mit einer glänzenden Schicht von Braunstein bedecken. Quell- und Humus-säure lösen Manganoxydul, das sich an der Luft dann oxydirt (Silliman's Amer. Journ. 1852. XIII. 9). Der Hauptsache nach sind sie auf schmale Gänge und Nestler beschränkt, welche im rothen Porphyr und dessen Sandsteinen am liebsten mit Schwefspath aufsetzen. Kleinere Mengen finden sich häufig in Begleitung von Brauneisenstein. In der Lothgegend kommen sie als Manganschiefergebirge (Zerrenner, Manganerzbergbau 1861) in ungeahnter Menge vor. Die Farben aller oxydischen Manganerze sind schwarz. Wenn die verschiedenen Oxydationsstufen lange den Einflüssen der Luft ausgesetzt sind, so gehen sie in schmutziges Mangansuperoxyd (Mn) über, daher das Unbestimmte im

Sauerstoffgehalt. Sie sind unschmelzbar, und die höhern Oxydationsstufen lösen sich unter Entwicklung von Chlor in Salzsäure. Im Oxydationsfeuer bekommt man ein schönes amethystblaues Glas, das in der Reductionsflamme farblos geblasen werden kann, wenn man nur wenig Manganerz zugefügt hatte. Spuren entdeckt man mit Soda in der äußern Flamme: es entsteht Mangansaures Natron, das grünlich aussieht. Nach Simmler färbt Chlormangan die Flamme grün (Pogg. Ann. 115. 488).

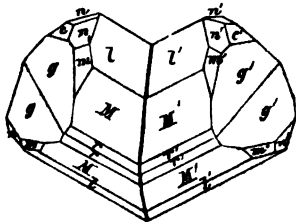
Der alte bergmännische Name für alle ist Braunstein, wahrscheinlich weil sie in der Töpferei eine braune Glasur geben. „Kein Fossil hat die Caprice der Mineralogen so empfunden als eben der Braunstein“ sagte Werner bei Cronstedt 249: Die einen hielten es für Stein, die andern für Erz. *Magnesia nigra* ist der alte chemische Name, und schon Plinius hist. nat. 36. es scheint die Anwendung zum Entfärben des Glases zu kennen, wenn er sagt, daß der schlaue Scharfsinn bald nicht zufrieden war, nitrum zum Glasatz zu mischen, sondern *coepus addi et magnes lapis*. Auch das von *manganizo* (reinigen) abgeleitete Wort deutet darauf. Die Glasmacher des 16ten Jahrhunderts nennen ihn *Mandagesum*, *Mercati* sagt schon *Manganesa*. Das Manganmetall (Brunner Pogg. Ann. 101. 344) gleicht hellem Gußeisen, ist sehr politurfähig, spröde, und schneidet Glas und Stahl mit Leichtigkeit.

1. Braunmangan Mn H.

Nach seinem braunen Strich genannt. Dem Brauneisen Fe H genau entsprechend, wornach der Name leicht behalten wird. Werner vermischte die Sache noch, aber nannte dieses vorzugsweis blättrigen grauen Braunstein. Erst Haidinger (Pogg. Ann. 7. 225 und 14. 100) unterschied es richtig unter dem neuen Namen *Manganit*. Es ist nicht nur das gewöhnlichste, sondern auch das schönste unter den Manganerzen. Nimmt aber leicht Sauerstoff auf, und verliert dadurch an Glanz.

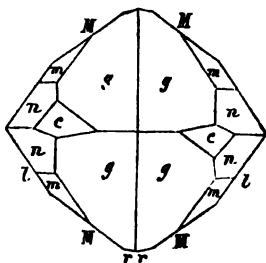
2gliedrig und isomorph mit Brauneisen, aber Krystalle schöner und immer vorhanden, wo es auftritt. Die Säule $M = a : b :: \infty : 99^\circ 40'$ in der vordern Kante, gewöhnlich durch Längsstreifen entsteht. Ihr blättriger Bruch tritt mehr oder weniger deutlich hervor. Dagegen stumpft ein leicht darstellbarer Blätterbruch $b : \infty a :: \infty$ die scharfe Säulenlante ab, also genau wie beim Brauneisen. Am Ende herrscht die Geradenfläche $o = c : \infty a :: \infty b$ mit Streifungen parallel der Axe b vor, was zu einem Paare $d = a : c :: \infty b$ mit $114^\circ 10'$ in c führt, woraus $a : b = 1,5489 : 1,8354 = \sqrt{2,4} : \sqrt{3,369}$; $lga = 0,19011$, $lgb = 0,26373$.

Auch ein drittes zugehöriges Paar $e = b : c :: \infty a$ mit $122^\circ 50'$ in c kommt sehr bestimmt vor, nach ihm richten sich die so häufigen *Zwillinge*, welche e gemein haben und umgekehrt liegen, sich daher unter $122^\circ 50'$ mit den Säulenstreifen schneiden. Deister meint man zwar



wegen der vielen unbestimmten Säulenflächen, das Paar sei nicht gerade auf die scharfe Säulenkante aufgesetzt, aber wenn man vorsichtig den Blätterbruch B darstellt, so fällt er genau in die Kante e/e, also kann es nur ein Paar aus der Zone der Axe a sein.

In der Säulenzone findet sich öfter $s = a : \frac{1}{2}b : \infty c$ mit $76^\circ 37'$ vorn, und so stark ausgekehrt, daß man leicht Axe a für b nehmen kann, allein die Streifung auf der Geradenfläche parallel b und der blättrige Bruch B leiten. Denn nach Haidinger soll zwar die Abstumpfungsfäche der stumpfen Säulenkante $a : \infty b : \infty c$ auch etwas blättrig sein, aber jedenfalls undeutlich. $r = a : 2b : \infty c$ die stumpfe Säulenkante und $l = a : \frac{1}{2}b : \infty c$ die scharfe zuspitzend machen die Erkennung der Säulenflächen unsicher. Als Endigung findet sich in der Diagonalzone von d häufig ein



sehr stumpfkantiges Octaeder $g = a : c : 3b$ mit $162^\circ 39'$ in der vordern Endkante, durch sein oscillatorisches Auftreten erzeugt es starke Streifen auf d. Daneben in der Ecke liegt in der gleichen Diagonalzone $n = a : c : \frac{1}{2}b$, wie man leicht aus dem stumpfen Winkel sieht, den sie auf M mit der scharfen Säulenkante macht. Das sogenannte Grundoctaeder $P = a : b : c$ kommt fast nicht vor, in günstigen Fällen als eine feine Abstumpfung der Kante g/n. Dagegen tritt $m =$

$\frac{1}{2}a : \frac{1}{2}b : c$ mit der seitlichen Endkante von n/n und der Seitenkante von P/P in eine Zone fallend recht bestimmt wenn auch klein auf. Am interessantesten jedoch ist eine hemiedrische Fläche $c = \frac{1}{2}a : \frac{1}{2}b : c$, die mit der horizontalen Kante l/n in eine Zone fällt. Ihre Lage in den abwechselnden Quadranten ergibt wie beim Bittersalz pag. 525 ein zweigliedriges Tetraeder. Haidinger bildet sogar Zwillinge ab, worin beide Individuen sämtliche Flächen gemein haben, nur in Beziehung auf die Tetraederflächen c liegen sie dergestalt umgekehrt, daß die c Flächen sich zu einem vollständigen Octaeder ergänzen. Alle diese schönen Krystalle finden sich zu Ihlefeld am Harz, wo sie mit Schwespath Gänge im Porphyrgebirge bilden.

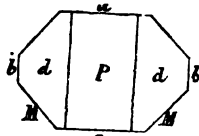
Eisenschwarz, je veränderter desto stahlgrauer. Rötlich brauner Strich. Stärkster Metallglanz unter den Manganerzen. Härte 4, Gewicht 4,3. Manganorydhydrat mit 89,8 Mn und 10,2 H. Unschmelzbar, gibt aber 3 p. C. Sauerstoff ab, indem es sich in rothes Dryd (Mn Mn) verwandelt. Ihlefeld, Ilmenau, Neunkirchen im Elsaß, Neuenbürg auf dem Württembergischen Schwarzwalde, Graham bei Aberdeen &c. Verwandelt sich leicht durch Aufnahme von Sauerstoff in

2. Graumangan Mn.

Nach seinem schwarzgrauen Strich genannt, vorzugsweis unter Werner's strahligem grauem Braunstein begriffen, Hausmann's Weichbraunstein, das abfärbt. Von den Franzosen Savon de verriers (de l'Isle Cristal. III. 89) genannt, weil es wegen seines Sauerstoffreichthums besonders sich

eignet, das Glas von der durch kohlige Substanzen oder Eisenorydul erzeugten braunen oder grünen Farbe zu befreien. Deshalb Pyrolusit (πῦρ Feuer, λῶς wasche, Hädinger Pogg. Ann. 14. 204). Lazierstein der Ungarn, dessen Sauerstoff die Hitze des Ofens vermehrt, die Eisenmasse flüssig macht (der „Ofen lazirt“).

Asterkrystalle nach Braumangan häufig, ächte Krystalle finden sich meist mit Brauneisenstein zusammen in kurzen Säulen, deren Winkel sich aber nicht scharf bestimmen lassen. Die ersten maß Hädinger aus dem Brauneisen von Eisfeld bei Siegen, sie finden sich ferner schön bei Hirschberg in Westphalen und Platten in Böhmen, besonders aber zu Schimmel und Osterfreude bei St. Georgenstadt im Erzgebirge. Die annähernden Winkel betragen in der Säule $M = a : b : \infty c \ 93^\circ 40' \ (92^\circ 52' \text{ Breithaupt})$, deren stumpfe Kante durch $a = a : \infty b : \infty c$ und deren scharfe durch $b = b : \infty a : \infty c$ gerade abgestumpft wird, alle vier etwas blättrig aber stark faserig. Außer der Geradenfläche $P = c : \infty a : \infty b$ findet sich auf die scharfe Kante aufgesetzt ein Paar $d = b : c : \infty a \ 140^\circ$ in c , was man zwar durch eine Annahme von $2b : c : \infty a$ auch dem Braumangan annähern könnte, doch scheint es eine besondere Krystallisation zu sein. Das dürfte auch aus der Eigenthümlichkeit der Blätterung und Verschiedenheit der Farbe hervorgehen, mit welcher sie sich z. B. bei Elgersburg an ein und demselben Handstücke von dem in Braumangan verwandelten Braumangan unterscheiden. Breithaupt hält diese unter den Superoryden allein für frisch, und nennt sie Verwachsungen zu verhüten Polianit (πολιός grau).



Eisenschwarz, aber lichter grau als Braumangan, und mit geringerem Glanz. Graulich schwarzer Strich. Härte 2, stark abfärbend, Gew. 4,9. Mangansuperoryd, unschmelzbar, verwandelt sich in der Hitze in $Mn Mn$, und gibt dabei 12 p. C. Sauerstoff ab. Ein geringer Wassergehalt 1—2 p. C. rührt wahrscheinlich vom Braumanganerz her.

Die langstrahligen bis feinsfibrigen Abänderungen, wie man sie z. B. zu Döhrenstock und Elgersburg bei Ilmenau, Friedrichroda, Reinwege u. am Thüringer Wald findet, sind ohne Zweifel verändertes Braumangan, nicht selten haben auch dicke Krystalle innen noch einen braunen, dagegen außen schon einen grauen Strich. Solches strahliges Erz scheidet sich in kleinen Mengen auch im Brauneisenstein (Neuenbürg, Siegen) oder verwitterten Spath Eisen (Hüttenberg) aus. Besonders interessant ist das Vorkommen in Centralfrankreich (Dufrenoy Traité Miner. II. 415), wo Gesteine mit Pyrolusit und Psilomelan einen Gürtel um das krystallinische Urgebirge machen, die Juraformation lagert sich an, und beide werden durch einen Sandstein (Arkose) getrennt. Die Manganerze schweifen nur nesterweis begleitet von Schwerspath auf der Gränze herum, bald aus dem Urgebirge durch die Arkose ins Flözgebirge und umgekehrt tretend. Wie der Schwerspath, so kann auch das Manganerz erst später eingedrungen sein. In den Eisengruben von Beauregard (Dep. Yonne) sind die Eiasmuscheln, besonders

die dickschaligen Thalassiten, in Eisenglanz verwandelt, der von Manganerz begleitet wird. Die Grube von Romanèche bei Maçon ist ein Tagebau im Porphyr, der 60' tief auf 2 Gängen von 3—4 Meter Dicke mitten im Ort hinabgetrieben wird, und darauf lagert sich dann der untere Eias. Zu St. Christoph (Eher. Dep.) ist die Arkose förmlich mit Manganerz geschwängert. Zu St. Martin de Freffengas bei Thiviers kommt das Erz in Knoten und kleinen Gängen im untern Dolith bis in den Gneis hinab vor. Delanoue glaubt daher, daß das Mangan in der Dolithenformation abgelagert, und dann erst durch Eßung und Schwemmung den tiefern Schichten zugeführt wurde. Das Manganerz von Montrou (Dordogne) auf Eias enthält etwas Kobalt, den man mit Nutzen herausziehen kann. Spanien tritt bei Huelva Westsüdwest Sevilla plötzlich mit 500,000 Etr. auf den Europäischen Markt, und macht den Zahnerzen in Hessenarmstadt und Nassau, wo man jetzt jährlich 550,000 Etr. à 1 Thaler gewinnt, Konkurrenz. Diese Erze liegen 10'—40' mächtig unter Thon ganz an der Oberfläche des kalkigen und thonigen Uebergangsgebirges, und bestehen aus Mulm, Wasch- und Stückerz, was mit Dampfmaschinen aufbereitet wird. Graumangan ist das gewöhnlichste und technisch wichtigste, gerade weil es so leicht durch Oxydation entsteht. Phillips

Barvicit von Warwickshire, später auch von Ihlefeld und Bexa in Hessen erinnert durch seine kurzstrahlige Blättrigkeit zwar an das krystalinische Graumangan, allein nach der Analyse will man $Mn + Mn$ annehmen, und nach Breithaupt (Pogg. Ann. 61. 107) soll es entschieden nur verändertes Braunnangan sein. Die sehr deutlichen Austerkrystalle von Dehrenstock in Dreikantnern von Kalkspath sind durch mechanische Erfüllung von strahligem Braunnangan entstanden, das sich dann später in Graumangan verwandelte (Epochen der Natur pag. 110).

3. Hartmangan Mn .

Brachytypes Manganerz Mohs (Pogg. Ann. 7. 104), Braunit Häidinger (Pogg. Ann. 14. 100). In großer Menge zu Dehrenstock bei Ihlefeld im Porphyr brechend. Kleine viergliedrige Oktaeder, die man aber von regulären im Ansehen nicht unterscheiden kann, Endkanten $109^{\circ} 53'$ und Seitenkanten $108^{\circ} 39'$, also nur wenig stumpfer als das reguläre Oktaeder. Die Flächen meist gekrümmt und etwas blättrig.

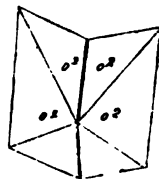
Schwarz und viel dunkler als die genannten. Das Pulver ein Stich ins Roth. Unvollkommener Metallglanz. Härte 6—7, daher unter allen Manganerzen das härteste, Gew. 4,8.

Unschmelzbar, besteht aus Manganoxyd Mn , durch 2,6 Baryterde verunreinigt. Es fällt bei dieser Zusammensetzung allerdings auf, daß es nicht mit Eisenglanz isomorph ist, da Mangan das Eisen doch so häufig vertritt, Hermann will es daher als $Mn Mn$ betrachtet wissen, Ihlefeld, Reimbach, St. Marcel (Marcelin).

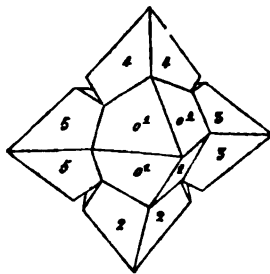
4. Scharfmangan Mn Mn.

Schwarzer Braunstein Werner's, die scharfe Form des Oктаeders schon von Hauy (Traité IV. 306) erkannt, daher von Mohs pyramidales Manganerz genannt, Haibinger schlug den Namen Hausmannit vor, Hausmann selbst nannte es aber Glanzbraunstein.

Viergliedrige Oктаeder $105^{\circ} 25'$ in den Endkanten und $117^{\circ} 54'$ in den Seitenkanten, gibt $a = \sqrt{0,7249}$. Quer gegen die Hauptaxe, also parallel einer Geradenfläche $c : ooa : ooa$, deutlich blättrig. Auch das nächste stumpfere Oктаeder $a : c : ooa$ und ein dreifach stumpferes $a : a : \frac{1}{2}c$ kommt untergeordnet vor. Häufig und höchst ausgezeichnet sind Zwillinge, welche die Fläche des nächsten stumpferen Oктаeders gemein haben und umgekehrt liegen. Man darf das Oктаeder



nur in einer 2 + 1gliedrigen Säulenstellung nehmen, parallel dieser stumpfen Säulenkante von $117^{\circ} 54'$ in der Mitte durchsägen, und die beiden Hälften um 180° gegeneinander verdrehen, so kommt ein Schwalbenschwanzzwilling ähnlich dem Gyps, nur daß die scharfe Säulenkante $o \frac{1}{2} o^2$ nicht abgestumpft ist, wohl aber sind die sämtlichen Flächen dieser Säule in beiden gemein, während die Augitpaare $\frac{1}{2}$ unter $165^{\circ} 38'$ und ihre Mediankante oben unter $161^{\circ} 38'$ einspringen. Eine förmliche 2 + 1gliedrige Ordnung. Gewöhnlich sind es Fünflinge, indem an ein mittleres Hauptindividuum (1) sich 4 Nebenindividuen lagern (2—5). Sie erscheinen wie ein Oктаeder mit eingeknickten Kanten von $161^{\circ} 38'$, und dreimal eingeknickten Flächen, wovon zwei an der Zwillingegränze (12, 13, 14, 15) $165^{\circ} 32'$ betragen, während die Nebenindividuen 2—5 untereinander sich nicht berühren, sondern in der geknickten Oктаederfläche (23, 34, 45, 52) einen Winkel von $22\frac{1}{2}^{\circ}$ offen lassen, der sich aber mit Masse ausfüllt. Die ganze nicht gezeichnete Unterseite geht respective den Flächen von 1 parallel, da je zwei Flächen der Nebenindividuen mit zweien des Hauptindividuums parallel gehen müssen, vermöge des Zwillingengesetzes.



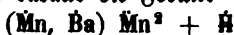
Reichschwarz mit rötlich braunem Strich und unvollkommenem Metallglanz. Härte 5, Gew. 4,7, ist also leichter als Hartmangan, obgleich es weniger Sauerstoff hält. Manganoxydorydul von der Zusammensetzung des Magnetitens, aber doch damit nicht isomorph, deshalb wollte es Hermann als $M^2 Mn$ ansehen. Plümenau und Thlefeld. Daubrée hat es künstlich aus Manganchlorür mit Wasserdampf in der Rothglühhitze dargestellt.

5. Schwarzer Glaslopf.

Schwarzeisenstein Werner, untheilbares Manganerz Mohs, Psilomelan Haibinger ($\psi\iota\lambda\omicron\varsigma$ kahl, $\mu\epsilon\lambda\alpha\varsigma$ schwarz). Ein Manganglaslopf mit

traubiger und nierenförmiger Oberfläche, aber innen nicht faserig, sondern mit Jaspisbruch. Der Strich hat etwas Glanz. Bläulichschwarze Farbe, Härte 5—6, Gew. 4.

Unschmelzbar. Es scheint keine bestimmte chemische Verbindung zu sein, was den dichten Zustand erklärlich macht. Nimmt man das Mangan als rothes Dryd ($Mn Mn$), so bleibt noch ein Ueberschuß an Sauerstoff. Turner (Pogg. Ann. 14. 225) analysirte den von Schneeberg und Romanèche und fand 69,8 rothes Dryd, 7,3 Sauerstoff, 16,4 Baryterde, 6,2 H, Rammelsberg (Pogg. Ann. 54. 506) möchte daraus die Formel



construiren. Auffallender Weise fand Fuchs in einem vom Fichtelgebirge keine Baryterde, sondern 4,5 Kali, was nach dem Glühen mit Wasser herausgezogen werden kann. Der von Forhausen im Siegenschen hat 3 Ka.

Er gehört zu den verbreitetsten Manganerzen, namentlich gern mit Brauneisenstein, wie zu Neuenbürg im Schwarzwalde, und auf der Grube Eß bei der Rothen Mühle südlich Olpe in Westphalen. Rist (Pogg. Ann. 110. 521) fand im letztern neben Kali, Kalk, Kupfer, Kobalt $Mn^2 Mn^2 H$. Die Schneeberger zeichnen sich durch besondere Schönheit und Tiefe der Einschnitte aus. Durch Verwitterung überziehen sie sich mit einer nekstenbraunen Schicht, die man unter dem Namen

Wad begreift. Die ganz verwitterten Stücke sind färbend, aber schwimmend leicht. Turner wies in mehreren etwas Baryterde nach, was auf den Ursprung von schwarzem Glaslopf deutet, auch zeigen derbe Stücke noch die Glaslopfstructur. Er besteht im wesentlichen aus $Mn H$, wie Berthier's Grorokit von Groroi (Dep. Mayenne). Der

Manganaschum hat mehr Glanz und mehr Roth, er überzieht den Brauneisenstein (daher auch Brauneisenrahm genannt). Schwarzes erdiges Manganerz findet man gar häufig in Eisengruben, in den Bohnerzen, als Zersetzungsproduct salinischer Eisenerze u. Raß sind sie schmierig. Man vergleiche hier auch schwarzen Erdkobalt und Kupfermanganerz, Crednerit von Friedrichsrode $Cu^2 Mn^2$ (Pogg. Ann. 74. 561) kommt zwischen schwarzem Glaslopf in körnigen Parthien vor mit blättriger schiefer rhombischer Säule. Härte 4, Gew. 5.

Vorstehende Manganerze gelangen entweder als reine Erzstufen oder auf Mühlen zu Pulver gestoßen als Braunstein in den Handel. Ihr Werth hängt lediglich von dem Sauerstoffgehalt ab. Doch sollen die besten Braunsteinforten nur 89—92 p. C. Mn enthalten. Der Str. kostet etwa 1 Rthlr. Sie dienen zur

1) Darstellung des unreinen Sauerstoffs. Man glüht sie, das reine Superoxyd gibt dann ein Drittel seines Sauerstoffs ab, also $Mn^6 + O^{12}$ zerfallen in O^4 und $Mn^6 + O^8 = 2 (Mn^3 + O^4) = 2 Mn Mn$ (rothes Dryd). Daraus folgt, daß Scharfmangan gar keinen Sauerstoff, Hart- und Braunmangan dagegen $\frac{1}{2}$ abgeben.

2) Darstellung des Chlors. Man mischt in Fabriken 2 Na Cl + 2 S H + Mn, es bildet sich dann 2 Na S + 2 Cl H; letztere Salz-

säure zersetzt das Mangansuperoxyd, es wird von $2 \text{H} + \text{Mn Cl} + \text{Cl}$ das eine Atom Chlor frei.

3) Entfärbung des Glases. Eisenoxydul färbt stärker als Eisenoxyd, umgekehrt Manganoxyd stärker als Manganoxydul. Hat man daher im Glase $\text{Fe}^2 + \text{Mn}$, so setzt sich das in $\text{Fe} + \text{Mn}$ um, welche beide weniger färben. Ebenso werden tohlige Theile, die braun färben, zerstört. Nach Liebig heben sich dagegen die Complementärfarben von Grün und Roth auf, was Kohn (Elsner Chem. techn. Mittheil. 1857. V. 88) bestätigt. Bekanntlich kann man auch die Auslöschung der Farben durch Zusammengießen rother Kobalt- und grüner Nickelösungen leicht bewerkstelligen.

Als Manganhaltige Grosse hatten wir oben Manganepidot pag. 285, Mangangranat pag. 277, Mangankiesel pag. 260, Helvin pag. 372, Manganspath pag. 424, Braunsparth u., Franklinit pag. 611. Auch Wolfram, Häuerit enthalten wesentlich Mangan.

c) Zinnerze.

Ihr Vorkommen ist sehr beschränkt. Denn abgesehen vom Zinnkies $\text{Fe}^2 \text{Sn} + \text{Cu}^2 \text{Sn}$, gibt es kaum noch etwas Wichtiges außer dem Drybischen Erz. Kleine Mengen im Olivin pag. 264, Enklas pag. 321, Manganepidot pag. 285, in den Tantalerzen, im Saidschüger Bitterwasser und in Quellen-Niederschlägen sind zwar gefunden, doch beweist das nur, daß auch die Verbreitung des Zinns eine große ist.

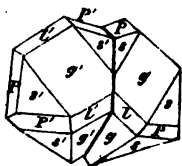
Zinnstein, Sn.

Schlechtthin Zinnerz, weil es fast das einzige ist, woraus das Zinn gewonnen wird. Zinnzwitter, Zinngrauen der Bergleute. Schon von den Phöniciern und Römern gekannt. Etain oxydé, Oxide of tin. Kassiterit.

Biergliedrig und isomorph mit Rutil. Oktaeder $s = a : a : c$ hat $121^\circ 35'$ in den End- und $87^\circ 17'$ in den Seitenkanten, folglich

$$a = \sqrt{2,199}.$$

Das nächste stumpfere Oktaeder $P = a : c : \infty a$ ist gewöhnlich durch Streifung entstellt, aber dennoch ging Haub von ihm aus, zumal da er meinte, Spuren von Blätterbrüchen daran entdeckt zu haben. Die erste quadratische Säule $g = a : a : \infty c$ ist immer da, und ihr entsprechen, wenn auch undeutliche Blätterbrüche, schmaler pflegt die 2te quadratische Säule $l = a : \infty a : \infty c$ zu sein. Eine Abstumpfung zwischen beiden Säulen g/l ist $r = \frac{1}{2}a : \frac{1}{2}a : \infty c$, und ein Vierkantner zwischen P/g $z = \frac{1}{2}a : \frac{1}{2}a : c$ kommt häufig in Cornwallis vor. Das sogenannte Needle Tin von Polgooth im grünen Chlorit der dortigen Zinnsteingänge zeigt bloß die achtfache Säule r mit dem Vierkantner z in der Endigung (Dufrenoy). Eine Fläche $i = a : c : 3a$ stumpft die Kante P/s ab. Zu Monte del Rey in Spanien findet sich sogar die Geradenfläche $c = c : \infty a : \infty a$. Phillips gibt noch andere Flächen w 051, h 120, y 335, t 552 an. Namentlich ist die Säulenzone oft stark entwickelt. In England



finden sich zwar einfache Krystalle, aber vorherrschend sind, wie im Erzgebirge, die *Zwillinge*, dieselben haben eine Fläche des nächsten stumpfern Oktaeders P gemein, und liegen umgekehrt. Hauptaxen c beider Individuen (also auch die Säulentanten) schneiden sich unter $112^\circ 1'$. Eine Fläche l der 2ten Säule wird zur Medianebene, sie spiegelt in beiden ein. Die erste Säule herrscht gewöhnlich, doch so, daß die Oktaeder s und P noch einspringende Winkel (Wisir) machen können, daher heißt sie der sächsischen Bergmann *Wisirgrauen*, die Wisirkante s/s' springt 136° einwärts. Das Wisir kann jedoch auch ganz verschwinden, namentlich wenn sich die zweite Säule stark ausdehnt, höchstens daß eine kurze Streifung die Stelle der einspringenden Winkel noch andeutet. Es entstehen dann wie beim Rutil knieförmige Krystalle, das Knie macht mit seinen Kanten immer $112^\circ 1'$. Bei den Wisirgrauen wächst gewöhnlich ein Individuum durch, man kann das leicht für Drillinge halten, allein das Einspiegeln sämtlicher Flächen läßt das wahre Sachverhältniß bald erkennen. Es kommen freilich auch Drillinge, Vierlinge u. vor, es scheint aber in dieser Mehrzahl nichts Gesetzmäßiges zu sein. Siehe Rutil.

Unvollkommener Metallglanz in Fettglanz sich neigend. Im reflectirten Licht sind die Sächsischen schwarz, auf Sprüngen scheinen sie aber gelblichroth, wie Colosonium, durch. Die Englischen zeigen häufig ganz die Colosoniumfarbe, welche sich sogar bis zum fast farblosen steigern kann. Daher geben selbst die dunkelsten fein gestoßen ein lichtaschgraues Pulver. Kleinmuscheliger Bruch. Härte 6—7, noch etwas härter als Hartmangan, daher unter den oxydischen Erzen das härteste. Gew. 6,97, aber gewöhnlich etwas leichter.

Zinnoxid mit 78,6 Zinn und 21,4 Sauerstoff, schon Klaproth (Beitr. II. 24) kam zu diesem Resultate sehr annähernd. Eisenoxd, Manganoxd und etwas Kiesel-erde sind die gewöhnlichen Verunreinigungsmittel, zu Finbo auch 2,4 p.C. Tantal säure. Vor dem Löthrohr ist er für sich unveränderlich, auf Kohle in gutem Reductionsfeuer kommt ein Zinnkorn, besonders auf Zusatz von Soda. Berzelius lehrte zwei isomere Zustände des Zinnoxides kennen (Pogg. Ann. 75. 1): eines ist selbst in kalter Salpetersäure löslich, das andere aber unlöslich. Zur unlöslichen gehört der Zinnstein, der hartnäckig allen Säuren widersteht, Klaproth mußte ihn daher mit Aetkali im Silbertiegel aufschließen. Daubrée will durch Zersetzung des Zinnchlorids mittelst Wasserdampf *2gliedrige* Krystalle erhalten haben. G. Rose setzt dieselben zur Form des Brookits. Deville (Compt. rend. 1861. LIII. 101) ließ Dämpfe von Salzsäure langsam über amorphes Zinnoxid streichen, und bekam die schönsten Krystalle.

Vorkommen des Zinnsteins gehört zu den ältesten, denn wenn mit ihm andere Erzgänge, wie z. B. in Cornwallis die Kupfererzgänge, zusammenstreffen, so durchsetzen und verwerfen sie die Zinnsteingänge (Epoch der Natur. 268). Zinnstein selbst bricht meist nur auf schmalen Gängen, die kein bestimmtes Streichen einhalten, sondern das Gebirge in kleinen Trümmern

neßförmig durchschwärmen. Man muß das ganze Gestein abbauen, was zuweilen nicht mehr als $\frac{1}{4}$ p. C. Erz enthält; daher heißt das Ding „Zwitter“, der Bau, etagenförmig übereinandergeführt, Stockwerk (Zinnstockwerke). Da man jedoch, um den Einsturz zu hindern, große Mittel stehen lassen muß, so gewinnt man z. B. auf der Carclaze-Grube bei St. Austle das Zinnerz geradezu in großen offenen Tagebauen (Pingen). Diese Art der Vertheilung hat der Zinnstein mit dem Golde gemein, wo die Natur daher die Zertrümmerung und Auswaschung übernommen hat, da erzeugten sich die sogenannten Zinnseifen, die ohne Zweifel zuerst auf die Entdeckung des Erzes geführt haben. Schon Plinius 34. 47 sagt ausdrücklich *gigni in Gallaeia summa tellure arenosa, lavant eas arenas metallici, et quod subsidit, coquunt in fornacibus*. Begleiter des Zinnsteins sind Quarz, Wolfram, Tungstein, Topas, Beryll, Apatit, Arsenikkies, Lithionglimmer, Turmalin, Flußspath u. Zuweilen sogar Feldspath (Breithaupt *Paragenesis* 115).

1. Krystallinischer Zinnstein, bei weitem der häufigste. Im Erzgebirge werden jährlich etwa 4000 Etr. Zinn erzeugt. Hauptpunkte sind a) Böhmisches und Sächsisches Zinnwalde, wo das Erz in ein körniges Quarzgestein (Greifen) eingesprengt ist, nördlich dabei die berühmten Altenberger Stöcke, im Feldspathporphyr, aber die Gänge zersekten das Gestein zu einem harten Quarz. Am südlichen Abhange des Erzgebirges Graupen (Zinngraupen) nordöstlich Teplitz. b) Ehrenfriedersdorf und Geyer zwischen Chemnitz und Annaberg liegen stark nördlich vom Ramm des Erzgebirges, hier Gänge im Gneise. c) Eibenstock und Johann-Georgenstadt in Sachsen, Platten und Joachimsthal in Böhmen, vier Städte, welche in einer Linie von Nordwest nach Südost quer über das Erzgebirge liegen. d) Die schönsten Krystalle brechen jedoch in gangförmigen Zügen südlich Elbogen an der Eger bei Schlaggenwalde und Schönsfeld. Ungleich reicher als dieses alles ist die südwestliche Halbinsel Englands Cornwallis, was jährlich allein 90,000 Etr. Zinn ausbringt. Es sind hier wieder quarzige Zinnsteingänge, die Thonschiefer und Granit nach allen Richtungen durchschwärmen. „Die äußere Ansicht gleicht einer zusammenhängenden Kette von Ruinen, auf den Spitzen der Berge mit den ehrwürdigen Denkmälern alter Druiden. Eine einzige Grube nimmt mit ihren überstürzten Halben, Erzhausen, Pochhütten u. nicht selten eine halbe englische Quadratmeile ein“ (Bergm. Journ. 1790. III. 2. pag. 21). St. Austle, St. Agnes, St. Just, Redruth, Polgooth und viele andere Gruben haben die schönsten Krystalle geliefert, worunter namentlich auch häufig einfache, die durch ihre Form an die Mannigfaltigkeit von Zirkon- und Hyacinthkrystallisation erinnern. In Spanien gedenkt schon Plinius des Vorkommens in Lusitania (Portugal) und Gallaeia (Gallicien, der nordwestlichen Ecke der Halbinsel), auch fing man 1787 im Granit von Monte-del-Rey dieselben wieder abzubauen an, und die Londoner Industrie-Ausstellung 1851 hatte Erzproben aus den Provinzen Orense, Lugo und Zamora. Beweise genug für ihr Vorhandensein. Ebenso kann man aus Frankreich, Schweden (Finbo mit Pyrophosphat und Tantalit), Mexiko u. Punkte nennen, selbst in den vom Aetna ausgeworfenen Granitbruchstücken

ist zuweilen Zinnorhd eingesprengt. Schudi (Jahrb. 1860. 441) nennt das Hochland Bolivia „das zinnreichste Land der Welt.“ Allein das Erz kann nur auf dem Rücken der Mamas durch monatelangen Landtransport ausgeführt werden. Günstiger liegt die Halbinsel Malacca, welche mit Bangka und Junkceylon so viel Zinn liefert, als England und Sachsen zusammen, auf den Bangka-Inseln von Chinesen, auf Junkceylon von Siamesen betrieben. Der Reichthum ist daselbst so ungeheuer, daß bis jetzt bloß die Zinnseifen ausgebeutet werden, worin natürlich die Krystalle gelitten haben müssen. Unter den Geschieben gehören viele zu dem edelsten Erz, wie z. B. die fast farblosen aus den Seifenwerken von St. Agnes. Die Masse dagegen bildet dunkelfarbigem aus körnig krystallinischer Substanz (Granular-Tin) bestehenden Erus, welcher auf reichen Gängen die Krystallmutter bildete.

2. Holzzinn (Wood-Tin), Kornisch-Zinnerz Werner. In deutlichen Stücken ein ächter Zinnglaskopf. Nach seiner holzbraunen Farbe und fasrigen Structur genannt. Die Oberfläche geht nicht selten ins schön Kastanienbraune, das Innere ist jedoch matt. Das excentrisch fasrige und concentrisch Schalige in Verbindung mit Anfängen von Glaskopfstructur erinnert an lichte Brauneisensteine. Gewicht geht auf 6,4 hinab, Härte 5—6. Verunreinigung von Eisenorhd bis auf 9 p. C. Es kommt in den Seifenwerken von St. Austle und bei Xeres in Mexiko vor, 89,4 Sn, 6,6 Fe, 2,2 Si, 1,2 Al, Bergemann (Jahrb. 1857. 305).

Die Aftterkrystalle nach Feldspath pag. 219 sind auf der Grube Huel Coates bei St. Agnes Beacon auf einem Gange in verwitterten Granit eingesprengt. Es ist eine feinkörnige mit Quarzsand gemengte Masse, welche die Räume vorher zerfekter Carlsbader Zwillinge erfüllt.

Die Kenntniß des Zinn's pag. 594 knüpft sich durchaus an die des Zinnsteins. Kein Erz ist daher seit dem grauen Alterthum so berühmt, als dieses. Schon Homer (Ilias 18, 474. 612. 20, 271) nennt es *κασσίτερος*, und die Phöniciere holten es von den Kassiteriten. Da es die Eigenschaft hat, Metalle (besonders Kupfer) zu härten, so war es in einer Zeit, wo Eisen fehlte, von besonderer Wichtigkeit, und daher ist auch Verwechselung gar nicht möglich. Plinius nennt es *Plumbum candidum* im Gegensatz von *nigrum* dem Blei, und Aristoteles mußte schon, daß es leichter als Blei schmilzt pag. 151. Daher unterscheidet Plinius weißes Blei vom schwarzen daran, daß das weiße in geschmolzenem Zustande das Papier nicht durch seine Hitze, sondern durch sein Gewicht zerreiße. Zugleich erzählt er die griechische Fabel, daß das *pretiosissimum candidum a Graecis appellatum cassiteron* aus Inseln des atlantischen Oceans geholt werde, und zwar auf geflochtenen mit Fellen umnähten Schiffen. Gedenkt aber nicht, wie Caesar de bello gall. V. 12, Englands, sondern meint, das sei das spanische Gallicien gewesen. Während Spätere sogar Malacca als das Land jenseits der Säulen des Hercules angesehen haben, wo die Phöniciere das hochgeschätzte Metall holten. Denn das Land heißt im Sanskrit Rastira, und liefert an vielen Punkten Metall (Ritter Asien VI. 302).

Zinn aus seinem Erze zu gewinnen, macht einige Mühe. Es muß

geröstet, gepocht und geschlämmt werden. Beim Schlämmen fällt auch Lungstein pag. 500 mit, welcher lange für weiße Zinngrauen gehalten wurde. Dann wird das reinere Erz in Hoch- oder Flammenöfen mit Kohle reducirt.

Abgesehen von Bronze pag. 575 wird es besonders mit Blei legirt (3—50 p. C.). Proust hat gezeigt, daß darin das Blei weniger angegriffen werde als das Zinn. Da Zinn von Luft und Wasser nicht angegriffen wird, so dient es hauptsächlich zum Verzinnen von Eisen- und Kupfergefäßen. Chlorzinn dient in der Färberei, und Zinnamalgam zu Spiegeln. Schon im Alterthum waren die Spiegel von Brundisium geschätzt, „bis silberne zu gebrauchen selbst Mägde angefangen haben.“

Kieselzinn mit 51,6 Si und 39 Sn (Bischof Chem. Geol. II. 2027) findet sich unter den derben weißen Geschieben von Cornwall. Aber nicht rein.

d) Titanerze.

Sind gerade nicht selten, aber doch meist nur in kleinen Mengen gefunden. Schon beim Titanit pag. 362 wurden eine ganze Reihe titanhaltiger Fossilie mit Kieselerde verbunden genannt. Den Titangehalt der Eisenerze beweist nicht bloß das Titaneisen pag. 618, worin der englische Geistliche Gregor 1791 zuerst das Titan erkannte, sondern vor allem auch das in der sogenannten Eisensau der Hochöfen gefundene Stickstofftitan pag. 595. Da geschwefelte Verbindungen gar nicht vorkommen, so haben wir hier die letzten, aber auch wichtigsten. Das reine Titanoxyd Ti ist nicht bloß interessant durch seinen Isomorphismus mit Zinnstein, sondern es scheint sogar als Rutil, Anatas und Brookit trimorph aufzutreten, fast einzig in seiner Art. Es kann zu einem schönen arsenikfreien Grün benutzt werden (Elsner, chem. techn. Mittheil. 1861. 46), in der Porzellanmalerei zu Gelb.

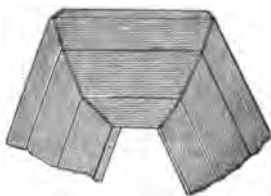
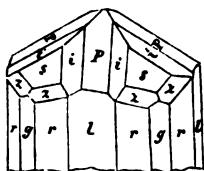
1. Rutil Ti.

Der passende Werner'sche Name bezieht sich auf die rothe Farbe, rutilus. Da er so häufig und ausgezeichnet in den Alpen vorkommt, so konnte er den ältern Mineralogen nicht entgehen, sie nannten ihn aber rothen Schörl oder schörlartigen Granat. Bis endlich Klaproth (Beiträge I. 220) in den Ungarischen von Poinik das Titanium entdeckte, welches sich später als identisch mit dem Stoffe im Menaccanit pag. 620 erwies. Titane oxydé.

4gliedrig, isomorph mit Zinnstein. Nach Miller (Pogg. Ann. 57. 410) mißt das Oktaeder $s = a : a : c$ $123^{\circ} 8'$ in den End- und $84^{\circ} 40'$ in den Seitenkanten, folglich $a = \sqrt{2,41}$.

Koksharov (Pogg. Ann. 91. 154) fand durch viele Messungen im Mittel $123^{\circ} 7' 30''$. Das erste stumpfere Oktaeder $P = a : a : c$ gewöhnlich gestreift. Die erste quadratische Säule $g = a : a : c$ zeichnet sich vor allen durch ihren deutlich blättrigen Bruch aus, und liefert für die Blättrigkeit der quadratischen Säule das ausgezeichnetste Beispiel im viergliedrigen System, die beiden gleichen blättrigen

Brüche erreichen fast die Deutlichkeit der Hornblende. Auch die zweite quadratische Säule $l = a : \infty a : \infty c$ läßt ihre Blättrigkeit nicht verkennen, wenn auch nicht so deutlich als die erste. Durch Auftreten der 4 + 4kantigen Säule $r = \frac{1}{2}a : \frac{1}{2}a : \infty c$ wird die Schärfe der quadratischen häufig ganz entstellt, es bildet sich ein System von Streifen, welche die Säulen cylindrisch machen. Die kleinen zierlichen Krystalle auf den Eisenrosen pag. 616 vom St. Gotthardt scheinen in sehr unregelmäßiger Weise einzelne Flächen dieser r zu haben, woran dann das nächste stumpfe Oktaeder P die Endigung bildet, wie trotz des Glanzes eine feine Streifung zeigt. Jedoch da als Säulenflächen auch noch $a : \frac{1}{2}a : \infty c$, $a : \frac{1}{2}a : \infty c$, $a : \frac{1}{2}a : \infty c$, $a : \frac{1}{2}a : \infty c$ ausgegeben werden, so kann in diesen unwichtigen Bestimmungen meist nur Messung leiten. Dagegen kommt wie beim Zinnstein der 4kantner $i = a : c : 3a$,



die Kante P/s und $z = \frac{1}{2}a : \frac{1}{2}a : c$ die Kante r/s abstumpfend, ausgezeichnet vor, nach Häidinger sogar zuweilen hälftig. Unter P das Oktaeder $a : \infty a : 3c$ und unter s gibt Hessenberg im Binnenthal $a : a : 2c$ an. Da die Ausbildung der Ecken aber oft fehlt, so bilden die Zwillinge, welche P gemein haben und umgekehrt liegen, ein einfaches Knie von $114^\circ 26'$, oder bei Durchwachsung, wie es häufig geschieht, das

Supplement $65^\circ 34'$. Dieses Knie wiederholt sich nicht selten mehrfach, indem sich die Individuen gegenseitig zu verdrängen suchen, was durch Ein- und Ausbiegung angedeutet ist, die Strahlen können dann nur zwei Richtungen befolgen. Entsteht jedoch ein Drilling, so haben wir zwei Kniee und dreierlei Strahlenrichtungen. Kommt ein drittes Knie durch ein viertes Individuum hinzu, so legt sich dieß gewöhnlich dem ersten parallel, das neue Knie bildet also $131^\circ 38'$. So ist es bei den schönen fast ringsum abgeschlossenen Stücken im Zillerthal. Doch gibt es Vierlinge mit einem 3ten Knie von $114^\circ 26'$, Individuum 1 und 4 convergiren dann unter $7^\circ 12'$, bei Fünflingen mit 4 Knieen convergirt 1 und 5 unter $82^\circ 75'$, endlich bei Sechslingen mit 5 Knieen convergirt 1 und 6 unter $148^\circ 50'$. Mehr sind im Kreise nicht möglich, weil jedes weitere Individuum wieder vorn eins abschneidet. Am prachtvollsten am Graves' Mount in Lincoln County (Georgia), wo sie im eisen-schüssigen Cyanit mit Quarz und Pyrophyllit brechen. Es ist die merkwürdige Gegend, wo im Itacolumit Gold, Diamanten und Blauspathkrystalle pag. 474 gefunden werden. Faustgroß und bis $1\frac{1}{2}$ Z schwer zeigen sie öfter Sechslinge mit 6 + 1 Knie. Die einfachen Zwillinge gleichen den Zinngrauen: beide Individuen schließen an dem freien Ende mit den Oktaedern s 111 und P 101. Auffallender Weise bildet Hr. Häidinger (Sitzungsab. Wien. Akad. 1860. 39, e) Stücke ab, wo die scheinbare P sich gegen die anstoßenden Oktaederflächen s nicht gleich neigt, sondern ein Hälftflächner von i 133 ist, und Hr. G. Rose (Pogg. Ann.

115. ¹⁰⁰) merkwürdig regelmäßig abgeschlossene Achtlinge, welche durch zackförmige Lagerung im Kreise möglich werden.

Im Quarz und Bergkry stall vom St. Gotthardt findet man zarte (gestrichelte) Fäden, die sich nach drei Richtungen scheinbar unter 60° schneiden, allein es möchte doch wohl nur der Zwillingwinkel von $65^\circ 34'$ sein (Nek-zwillinge). Miller nimmt zwar ein **2tes Gesetz** an, nach welchem die Individuen sich mit $c : \frac{1}{2}a : \infty a$ an einander legen, und sie würden dann einen Winkel von $54^\circ 43'$ bilden, wie zu Serro do Frio in Brasilien, allein auch dieser Winkel kommt dem 60° nicht näher. Auf den Geradenflächen der Eisenrosen kann man drei Richtungen in den Individuen wahrnehmen, und diese scheinen senkrecht gegen die dreiseitige Streifung zu liegen, dann müßten sich die Individuen unter 60° schneiden. Vielleicht kommt diese Ungleichheit von der Anziehung des Eisenglanzes her.

Fuchsröth mit einem schönen innern Lichtschein nach der Lage des Blätterbruchs. Einerseits gehen die Fäden ins Strohgelbe, andererseits ins Blutrothe, selbst ins Schwärzliche, besonders bei unreinen Varietäten. Das Pulver gelblich grau. Die edlen stark durchscheinend, daher metallähnlicher Diamantglanz. Härte 6, Gew. 4,3. Optisch +.

Titanoxyd ist vor dem Löthrohr unschmelzbar, mit Soda schmilzt es wie die Kiesel Erde unter Brausen zusammen, sammelt sich über der Kohle zu einer schmutzig braunen unklaren Perle, welche beim Abkühlen etwas aufglüht. Mit Phosphorsalz in der äußern Flamme ein gelblich grünes Glas, das kalt farblos wird, in der innern ändert sich die Farbe heiß nicht, wird aber kalt schön violet. In concentrirter Schwefelsäure ist das feinste Pulver löslich, besser jedoch wird es mit zweifach schwefelsaurem Kali aufgeschlossen. Ti nach der chemischen Form des Zinnoxyds Sn, Heinrich Rose fand in den großen äußerlich dunkelfarbigen Krystallen des Quarzes von St. Yrieux (Haute-Vienne) 1,5 Fe (Pogg. Ann. 3. 100), Deville Vanadium. Mit Soda auf Platinblech öfter eine Manganreaction, der von Raring-Brida in Westmanland hat neben 97 Ti sogar 3 Cr.

In den Hochalpen mit Quarz, öfter sogar nadelförmig in den Bergkry stall eingewachsen, wobei man sich dann vor Verwechselung mit Turmalin hüten muß. Außerordentlich schön in dem Bergkry stall von Vermont in Nordamerika, zu Graves' Mount, in den Smaragdgruben des Ural, auf Apatitlagern von Kragerö. Höchst eigenthümlich ist die so gewöhnliche Ablagerung auf den Eisenrosen. Lose Krystalle und Geschiebe, oft von mehr als Zollgröße, finden sich bei Rosenau in Ungarn, Villa Rica in Brasilien, Schinzhthal in Tyrol u., Alschaffenburg, Arendal, Buitrago in Spanien. Im nordamerikanischen Urgebirge an zahllosen Stellen. Immer wie der Zinnstein eng an das krystallinische Urgebirge geknüpft.

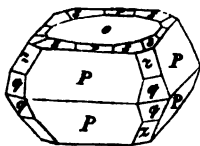
Nigrin nannte Werner eine Zeitlang die dunkelfarbigen Geschiebe aus den Goldseifen von Ohlapián in Siebenbürgen, worin Klapproth (Beiträge II. 200) 14 Fe gefunden haben wollte. Da aber daselbst verschiedene Titan-eisen vorkommen, worunter auch echter Rutil ist, so muß man sich vor Verwechselungen hüten. Der dunkle Ilmenorutil (Koscharew Min.

Rußl. I. 322) mit Amazonenstein im Miascit bildet einfache Oktaeder s 111, die sich nach einer Kante in die Länge ziehen und scheinbar 2 + 1gliedrige Zwillinge bilden. Enthält 10,7 Fe.

2. Anatas, Ti.

R. de l'Isle Christ. II. 406 kennt ihn schon unter dem Namen schorl bleu, Saussure Voyages dans les Alpes Nro. 1901 nannte ihn Octaédrit, was Werner beibehielt. Nach seinem ersten Fundort Disans hießen ihn die Franzosen auch Disanit, indeß ist der Hauptsache Name von der gestreckten Form der Oktaeder entnommen (*ἀντιστοιχία* Ausstreckung) durchgeschlagen. Haüy schloß schon aus der Leitungsfähigkeit der Elektrizität, daß er eine metallische Substanz enthalten müsse, was Bauquelin bestätigte.

Viergliedrige Oktaeder P mit $97^{\circ} 56'$ in den End- und $136^{\circ} 22'$ Seitenk. ($136^{\circ} 36'$ Roschkarow), daher $a = \sqrt{0,3205}$, $lga = 9,75291$. Oktaeder auf Bruchflächen deutlich blättrig, weniger deutlich die Geradenfläche $o = c : ooa : ooa$; sie dehnt sich bei den brasilianischen stark aus, so daß viergliedrige Tafeln entstehen. Oktaederflächen fein quergestreift parallel der Seitenkante. Häufig kommt das nächste schärfere Oktaeder $q = \frac{1}{2}a : c : ooa$ (301 Hefsenberg) in den Diagonalzonen von P untergeordnet vor, viel seltener das nächste stumpfere $z = a : c : ooa$. Im Tavetschthal sogar das 2te stumpfere $a : a : \frac{1}{2}c$ in kleinen gelben selbstständigen Oktaedern mit 113° Endkante.



Dagegen ist bei den Brasilianischen die Kante P/o gar oft durch $r = a : a : \frac{1}{2}c$ ($a : a : \frac{1}{2}c$ Hef.) abgestumpft. Am zierlichsten ist aber ein fast bei allen sichtbarer niedriger Vierkantner s, den schon Haüy kannte, und der nach Mohs das Zeichen $s = \frac{1}{2}a : \frac{1}{2}a : \frac{1}{2}c$ pag. 81 ($19a : \frac{1}{2}a : c$ Hef.) haben soll, wenigstens wird seine Endkante (im Quadranten), welche von $\frac{1}{2}c : \frac{1}{2}d$ geht, durch das Oktaeder $r = a : a : \frac{1}{2}c$ gerade abgestumpft. Die 2te Säule $a : ooa : ooc$ selten.

Die Alpinischen gleichen im reflectirten Lichte zwar der schwarzen Blende, scheinen aber sehr schön indigblau durch, daher der alte Name blauer Schörl. Sie wirken etwas auf das Dichroskop. Die Brasilianischen stellenweis Colophoniumartig, zuweilen auch so glänzend, daß man sie mit Diamanten verwechseln könnte. Jedenfalls haben alle nur ein halbm metallisches Aussehen, und neigen zum Diamantglanz. Härte 5—6, Gew. 3,89. Optisch negativ, während Rutil positiv. Phosphorescirt beim Erwärmen.

Seltener als Rutil, und immer nur in kleinen Krystallen mit Bergkrystall in den Hochgebirgen der Alpen, Disans, Tavetsch- und Gaveradi bei Chiamut, hier öfter wie der Rutil in den Bergkrystall eingesprenkt. Aschafenburg, auf Grünstein bei Hof im Fichtelgebirge in kleinen fast hyacinth-rothen Krystallen. Katharinenburg im Ural. Die größten kommen in einem Bache von Itabira zu Minas Geraes in Brasilien vor, Tafeln und Oktaeder können gegen $\frac{1}{4}$ Zoll im Durchmesser erreichen. In Nordamerika kennt man

sie nicht, sollen aber in den Eisenschlacken der Hochofen von Orange County (New-York) neben den Chan-Titanwürfeln pag. 594 sich bilden.

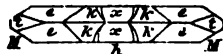
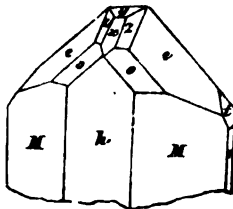
3. Brookit, Ti.

Der seltenste unter den dreien. Die Krystalle wurden von Soret bei Bourg d'Oisans in Begleitung von Anatas gefunden, als sie aber im Grünstein des Snowdon von Nordwallis in Platten von mehr als $\frac{1}{2}$ Zoll Durchmesser gefunden wurden, gab ihnen Lévy (Pogg. Ann. 5. 183) den Namen. 1848 kamen sie in der Atianskischen Goldseife bei Miasl klein aber vorzüglich krystallisiert vor. Hr. v. Kokscharow (Pogg. Ann. 79. 44) hat sie genau bestimmt.

Ausgezeichnet 2gliedrig. $M = a : b : \infty c \ 99^\circ 50'$, parallel der Axe c stark gestreift, die Abstumpfungsfäche der vordern stumpfen Säulentante $h = a : \infty b : \infty c$ dehnt sich bei den Englischen so übermäßig aus, daß sie dünne Tafeln bilden, die bei Zolllänge gewöhnlich noch nicht die Dicke von $\frac{1}{2}$ Linien erreichen. Ihre Längstreifung dient zur leichten Orientirung. Am Ende dieser Tafeln glitzen viele kleine schmale Flächen, darunter herrscht $e = 2a : b : c$, welche auf der Säule M einen scharfen ebenen Winkel neben der Kante M/h macht, ihr vorderer Endkantenwinkel beträgt $101^\circ 3'$, ihr seitlicher $135^\circ 37'$, daraus folgt

$$a : b = 0,891 : 1,059.$$

Das Hauptoktaeder $o = a : b : c$ stumpft die Kante h/e ab, und wird bei den Englischen gar nicht angegeben. Ueber o in der Zone M/e liegt eine weitere Oktaederfläche $k = c : \frac{1}{2}b : 6a$, welche nach Dufrenoy mit der unter ihr folgenden e den sehr stumpfen Winkel $k/e = 170^\circ 45'$ macht, sie ist parallel ihrer seitlichen Endkante gestreift, und tritt durch diesen stumpfen Knick immer sehr bestimmt hervor. Hr. Hesseberg maß aus dem Maderanerthal eine $\varnothing = \frac{1}{4} P \frac{1}{2} = \frac{2}{3}a : \frac{1}{2}b : \frac{1}{2}c$ von ähnlicher Lage. Besonders entwickelt ist bei andern Krystallen die Zone in der vordern stumpfen Endkante e/e, es kommt nicht nur das vordere Paar $x = c : 2a : \infty b$ vor, sondern zwischen x/e die $z = a : b : \frac{1}{2}c$, welche also aus der Zone M/o sich leicht bestimmen läßt. Lévy gibt sogar zwischen z/x eine Abstumpfung an. Auch das Paar $t = c : \frac{1}{2}b : \infty a$ auf die scharfe Säulentante aufgesetzt, und $y = a : \frac{1}{2}c : \infty b$ über x gelegen, finden sich bei Englischen und Russischen. Kokscharow hat noch die Oktaeder $r = a : b : 2c$, $n = a : \frac{1}{2}b : c$, $s = \frac{2}{3}a : b : c$, $m = \frac{2}{3}a : \frac{1}{2}b : c$, $u = \frac{2}{3}a : \frac{1}{2}b : c$, $\frac{2}{3}a : \frac{1}{2}b : c$. Außer h kommen auch die andern beiden Einzelflächen $P = c : \infty a : \infty b$ und $c = b : \infty a : \infty c$ vor, ferner in der Säulenzone $l = a : 2b : \infty c$, $g = a : 8b : \infty c$, und das Paar auf der scharfen Säulentante $d = c : \frac{1}{2}b : \infty a$. Die Uralischen sind stets zu 2 parallel einer Fläche h verwachsen, dieß könnte eine versteckte Hinneigung zum 2 + 1gliedrigen Systeme andeuten.



Fuchserothc Farbe des Rutil, manche in dieser Beziehung gar nicht unterschieden. Diamantglanz. Härte 5—6, Gew. 4,19. Ebene der + optischen Axen liegt sehr bequem in a b, also senkrecht gegen die Längsstreifen von h, a Mittellinie. Die Farbenzerstreuung so stark, daß die Ebene der Axen von den grünen Strahlen senkrecht gegen die Geradenfläche c : oob : ooa parallel b : ooa : ooc liegt.

Shepard's Arkansit bei den Hot Springs in Arkansas (Pogg. Ann. 77. 502) hat zwar eine eisen schwarze Farbe, 3,9 Gew., und ein dihexaedrisches Aussehen, indem sich das Oктаeder $e = 2a : b : c$, nebst einem sonst nicht bekannten Paare $i = a : c : oob$, vor allem ausdehnt. Allein er besteht nach Rammelsberg (Pogg. Ann. 78. 500) lediglich aus Ti.

Nach H. Rose (Pogg. Ann. 61. 507) gibt es chemisch zweierlei Titansäuren (Ti): a) die mit Ammoniak gefällte und schwach getrocknete ist im Wasser löslich, allein jede Temperaturerhöhung erzeugt b) die unlösliche Modifikation, man bekommt diese auch durch starkes Kochen der wässrigen Lösung, das Wasser treibt dann die Ti aus. Titansäure durch Ammoniak gefällt und schwach geglüht bekommt Anatasgewicht 3,89, durch stärkeres Glühen steigt sie durch das Brookitgewicht 4,19 zum Rutilgewicht 4,24, so daß die verschiedenen Wärmegrade den Trimorphismus erzeugen könnten. Daubrée erhielt künstlich Brookit, indem er Wasserdampf über Titanchlorid oder Titanchlorid über Kalk leitete, und Ebelmen Rutilnadeln von 4—5 Linien Länge, indem er 5 Theile Phosphorsalz mit 1 Theil Titansäure der Hitze des Porzellanofens aussetzte (Erdmann's Journ. prakt. Chem. 1851. 54. 172). Da das Anatasoktaeder sich durchaus nicht recht auf das Rutiloktaeder zurückführen läßt, auch Anatas in seinen übrigen Kennzeichen von Rutil und Brookit sich am meisten entfernt, so mag ein Trimorphismus der Titansäure wohl begründet sein.

Titanate

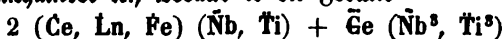
haben wir außer den Kieselerdehaltigen pag. 362 noch eine ganze Reihe, die wir hier kurz zusammenstellen:

1. Perowskit Ca Ti 58,9 Ti und 41,1 Ca (H. Rose Pogg. Ann. 48. 550) im Kalk mit Klinkchlor von Achmatowsk bei Slatoust am Ural. Blättrige Würfel bis Faustgröße, an welchen untergeordnet zuweilen Oктаeder, Granatoeder und Pyramidenwürfel vorkommen. Descloizeaux (Ann. Chim. Phys. XII. 1845) beschreibt Würfel mit 7 Flächen in den Kanten, und 10 in den Ecken, zusammen 164 Flächen. Dunkelröthlich braun bis schwarz, Härte 5—6, Gew. 4. Vor dem Löthrohr unschmelzbar. Kleine Würfel, ähnlich verwittertem Schwefelkies, finden sich im körnigen Kalkspath von der Vogtsburg bei Oberbergen am Kaiserstuhl, der mitten im vulkanischen Gestein liegt, Pyrochlor, unzählige Apatitnadeln zc. enthält. Im Wallis bei Zermatt, auf dem Wildkreuzjoch im Zillerthal mit weißem Zirkon. Die durchsichtigen sind auffallender Weise stark doppelbrechend, dann könnten sie nicht regulär sein (Ann. Min. 1858. XIV.). Ebelmen hat ihn künstlich dargestellt.

2. Polymignyt (*pyrrhus* mischen). Berzelius (Pogg. Ann. 3. 200)

fund ihn im Zirkonhenit von Frederiksvärn, er bildet in diesem schönen Gestein lange krystallinische Strahlen, die nach G. Rose (Pogg. Ann. 6. 500) 2gliedrig sind: eine geschobene Säule $n = a : b : \infty 109^{\circ} 46'$, deren scharfe und stumpfe Kante abgestumpft wird, $s = a : \frac{1}{2}b : \infty$, $t = a : \frac{1}{2}b : \infty$, das Ende hat dagegen ein einfaches Oктаeder $P = a : b : c$ mit $136^{\circ} 28'$ in der vordern und $116^{\circ} 22'$ in der seitlichen Endkante, $a : b = \sqrt{2,1} : \sqrt{4,25}$. Ein sehr glänzender Kleinmuscheliger Bruch, schwärzlich braune Farbe, halbmatalischer Glanz, Härte 6—7, Gew. 4,8. Vor dem Löthrohr unveränderlich, concentrirte Schwefelsäure löst das Pulver. 40,3 Ti, 14,1 Zr, 11,5 Y, 12,2 Fe, 5 Ce, 4,2 Ca, 2,7 Mn. Vergleiche hier Scheerer's Polylras von Hitterde und Eugenit (Pogg. Ann. 72. 500) von Ivedestrand und Trombe bei Arendal. Im letztern fand Strecker (Journ. prakt. Chem. 64. 54) vorherrschend Niobsäure. Wegen ihrer Krystallform stellt sie S. Rose zum Columbit.

3. Aeschynit Berz. (Pogg. Ann. 23. 501) von *αλοχύν* Schaam, weil man chemisch Zirkonerde von Titanoryd noch nicht trennen konnte. Wurde von Menge im Gläolithfreien Granit bei Miasl entdeckt und für Gadolinit gehalten. 2gliedrig, Säule $g = a : b : \infty 127^{\circ} 19'$ herrscht, $b = b : \infty a : \infty$ stumpft die scharfe Kante ab, auch zwischen b/g liegt zuweilen noch eine schmale Fläche $a : \frac{1}{2}b : \infty$. Das Ende der Säule schließt $f = c : \frac{1}{2}b : \infty a 73^{\circ} 44'$ in Axe c. Zu diesem Oblongoktaeder fg kommt zuweilen noch das Oктаeder $o = a : b : c$ mit $136^{\circ} 36'$ in der vordern Endkante, und eine Geradenfläche $p = c : \infty a : \infty b$, welche Lévy für etwas blättrig ausgibt. $a : b = 0,74 : 1,5$. Bräunlich schwarz, mit gelblich braunem Strich, schwach hyacinthroth, an den äußersten Kanten durchscheinend, Fettglanz. Härte 6—7, Gew. 5,1. Vor dem Löthrohr schmilzt er zwar auf und wird rostbraun, schmilzt aber nicht. Hartwall fand 56 Ti, 20 Zr, 15 Ce. Hermann gibt dagegen nach mehreren schwankenden Analysen als Endresultat 25,9 Ti, 33,2 Niobsäure, 22,2 Ceroryd, 5,1 Cerorydul, 6,2 Xanthanerde u., woraus er die Formel



construirt. Er dürfte daher vielleicht besser bei den Tantalaten stehen.

Mengit G. Rose's (Reise Ural II. 55) ist Brooke's Ilmenit (Pogg. Ann. 23. 500) mit Aeschynit zusammen. 2gliedrig, die rhombischen Säulen bilden $136^{\circ} 20'$. Eisenschwarz, kastanienbrauner Strich, Härte 5—6, Gew. 5,48. Im Wesentlichen Ti, Zr, Fe. G. Rose (Kryt. chem. Mineral. 44) schreibt ihn Fe Zr, und isomorph mit Columbit. Brooke's Mengit ist Breithaupt's Monazit pag. 484.

Warwickit Shepard (Pogg. Ann. 52. 545) in einem krystallinischen Dolomit von Warwick in New-York. Rhombische Säulen von 93° — 94° , deren stumpfe Kante durch einen deutlich blättrigen Bruch abgestumpft wird. Splitter scheinen röthlichbraun durch. Die Analyse gab 64,7 Ti, 7,1 Fe, 27,3 Fl. Berzelius hielt das jedoch für ein wenig wahrscheinliches Resultat.



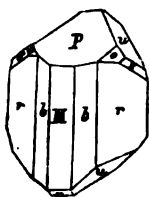
e) Wolframerze.

Für Gewinnung des Wolframmetalls bei weitem am wichtigsten. Denn Tungstein pag. 500, worin 1781 Scheele die Wolframsäure entdeckte, ist nicht nur auf Kosten des Wolframs entstanden, sondern kommt auch in viel geringerer Menge vor.

1. Wolfram.

Ein altes bergmännisches Wort, Henkel Pyritologia pag. 199, von frühern Mineralogen wörtlich *Spuma lupi* übersezt. Agricola 260 gibt ihn zwar für einen sehr leichten Stein aus, allein vergleicht ihn doch mit dem Zinnstein, und Albinus nennt ihn Raxenzinn, was auf sein stetiges Vorkommen mit Zinnstein hindeutet. Eine treffliche Monographie danken wir Dr. Schneider (Erdmann's Journ. prakt. Chem. 49. 221). Wolframit. Schéelin ferruginé, Tungstate of Iron. Schorl Romé de l'Isle Crist. II. 311. Kerndt Journ. prakt. Chem. 42. 81; Bernouilli Pogg. Ann. 111. 573.

Fällt eine merkwürdige Mitte zwischen dem 2 + 1gliedrigen und zweigliedrigen System (G. Rose Pogg. Ann. 64. 171). Die gewöhnlichen Zinn-



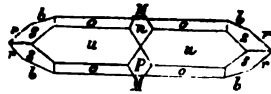
walder Krystalle zeigen ausgezeichnet 2 + 1gliedrige Ordnung. Eine geschobene Säule $r = a : b : \infty c$ vorn $101^\circ 5'$ herrscht, ihre scharfe Kante wird durch den ausgezeichneten Blätterbruch $T = b : \infty a : \infty c$ gerade abgestumpft, tritt aber selten als Krystallfläche auf. $M = a : \infty b : \infty c$ und $b = a : 2b : \infty c$ entstellen die Säule gewöhnlich sehr. Die auf die scharfe Säulenkante gerade aufgesetzte Zuschärfung $u = b : c : \infty a$ macht in c $99^\circ 12'$. Hany nahm beide Winkel $r/r = u/u = 98^\circ 12'$ an, und da keine ganz scharfe Messungen wegen der Streifung und schaligen Absonderung möglich sind, so würden $rruu$ ein viergliedriges Oktaeder bilden, dessen scharfe Endcke der blättrige Bruch T gerade abstumpft. Die krummschalige Schiefendfläche $P = 2a : c : \infty b$ bekommt gegen die hintere Gegenfläche $n = 2a' : c : \infty b$ meist ent-
schieden das Uebergewicht. Dem entsprechend treten die beiden augitartigen Paare $o = a : b : c$ und $s = a : c : \frac{1}{2}b$ immer nur auf der Vorderseite auf, und zwar bildet o am viergliedrigen Oktaeder $rruu$ das halbe nächste schärfere und s das halbe nächste stumpfere Oktaeder. Nimmt man dazu nun den so häufigen Schwalbenschwanzzwilling, worin die Individuen M (samt den Säulenflächen) gemein haben und umgekehrt liegen, und zwar so, daß dann o und s in vollzähliger 2gliedriger Ordnung auftreten, so sollte man an einem 2 + 1gliedrigen Systeme mit rechtwinkligen Axen

$$a : b = 0,9671 : 1,175$$

nicht zweifeln. Nun zeigt aber G. Rose, daß bei Ehrenfriedersdorf nicht bloß die bei 2 + 1gliedrigen Systemen ungewöhnliche Geradendfläche $c = c : \infty a : \infty b$ vorkomme, sondern daß bei Schlaggenwald in Böhmen s und o als vollflächige Oktaeder auftreten. Ebenso vollzählig sind die Krystalle,

welche bei Nertschinsk mit Beryll vorkommen.

Damit würde dann auch das von Naumann beobachtete Zwillingengesetz sich besser vertragen, nach welchem die Individuen eine auf die scharfe



Säulenkante aufgesetzte Fläche $\frac{1}{2}b : c : \infty a$ gemein haben, und die Axen c (folglich auch die Streifen der einpiegelnden M) sich unter $120^\circ 52'$ schneiden. Dr. Descloizeaux (Ann. Chim. Phys. 1850. XXVIII) maß die dünnen Täfelchen von Chanteloube (St. Vienne), und fand M/u vorn $91^\circ 30'$ hinten $88^\circ 30'$, das wäre entschieden 2 + 1gliedrig. Vergleiche auch Columbit. Die Kristalle haben große Neigung zu schaligen Absonderungen, was die Beobachtung der Flächen sehr erschwert.

Bleichschwarz mit röthlichbraunem Strich, in dünnen Blättchen nicht ganz undurchsichtig, daher nur halbmetalischen Glanz, Härte 5—6, Gew. 7,3.

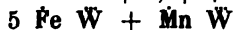
Vor dem Löthrohr schmilzt er schwer, bedeckt sich undeutlich mit Kristallen und wird magnetisch. Mangan- und Eisenreaction. Salzsäure zersetzt ihn schwer, es scheidet sich Wolframsäure als gelber Rückstand aus. 1786 wurde von den Gebrüdern de Luvart bereits 65 p. C. gelber Stoff (Wolframsäure) nachgewiesen, nach Berzelius gibt man ihm die allgemeine Formel $(Fe, Mn) W$, und zwar bewies Berzelius direct, daß gelbe Wolframsäure (W), und nicht braunes Wolframoryd (W) darin sei. Demungeachtet kam Graf Schaffgotsch (Pogg. Ann. 52. 475), gestützt auf viele Analysen, auf die ältere Ansicht von W wieder zurück. Indes da nach Ebelmen bei der Zersetzung des Wolframs durch Salzsäure sich kein Wasserstoff entwickelt, was bei Vorhandensein von Wolframoryd der Fall sein müßte, da sich Wolframsäure ausscheidet, so bleibt man bei der Ansicht von Berzelius stehen, wornach etwa 75 p. C. W vorhanden ist. Auch hat Dr. Lehmann nachgewiesen, daß ein Gemisch von Wolframsäure und Eisenvitriol in Schwefelsäure erwärmt augenblicklich in blaues Wolframoryd (WW) umgewandelt werde, was sich dann schnell wieder zu gelber Wolframsäure oxydirt. Berzouilli (Pogg. Ann. 111. 590) nimmt noch eine grüne Modification (Pyromolframsäure) an, welche im Wolfram steckt, und wornach er sich auf heißem Wege gebildet haben müßte pag. 501. Doch variirt der Gehalt an Eisen- und Manganorydul, verbunden mit etwas Kalkerde, außerordentlich bei den verschiedenen Fundorten. Die Kristalle von Ehrenfriedersdorf und Monte Video haben viel Fe, nämlich



Der in Sammlungen gewöhnliche von Zinnwalde hat dagegen mehr Mangan als Eisen



Der strahlig blättrige Wolfram im Spathisenstein von Reudorf



scheint noch mehr Fe als die Ehrenfriedersdorfer Kristalle zu haben, während die bräunlichrothen Nadeln aus dem Steinmark der Zinnsteingänge von Schlaggenwalde nach Rammelsberg 23,1 Mn enthalten, also

Fe W + 4 Mn W

die Manganreichsten sein würden. Nach Dr. Bernouilli (Pogg. Ann. 111. 333) sind die Krystalle von Chanteloube und Zinnwalde Niobhaltig. Dr. Genthner (Göttinger gel. Anz. 1861. Nachr. pag. 227) bekam durch Zusammenschmelzen von Wolframsaurem Natron, Chlormangan, Eisenschlorür und Rochsalz vortreffliche Krystalle. Mn W war hell granatbraun, durch Zusatz von Eisen wurden die Krystalle erst schwarz.

Wolfram ist der stete und ausgezeichnete Begleiter des Zinnsteins in Sachsen, Böhmen und Cornwallis. Ausnahmsweise findet er sich in strahligen Krystallen auf dem Unterharz bei Neudorf in Anhalt Bernburg auf den dortigen Bleiglanzgängen, zu Adontschilon bei Nertschinsk, Simoges (Chanteloube) auf Quarzgängen im Granit. Auf Lane's Mine bei Monroe in Connecticut im Quarz mit gebiegen Wismuth, auch häufig in Afterskrystallen nach Lungstein.

Wolframoder W kommt als grünlichgelbes Verwitterungsproduct in einem Quarzgange zu Huntington (Connecticut) vor.

Wolframsaures Natron wird in den Waschkütern der Königin von England vorzugsweise gebraucht, um Gewebe unverbrennlich zu machen. Besonders wichtig die Anwendung zum **Wolframstahl**: $\frac{1}{4}$ —25 p. C. Wolframmetall mit Stahl zusammengeschmolzen erzeugen eine Härte, die man bisher nicht für möglich hielt. Vielleicht ist die große Dichtigkeit des Wolframmetalls 17,5 Gew. der Grund.

n) Tantalerze.

Sind dem Wolframerze äußerlich sehr ähnlich, nur fehlt der blättrige Bruch. G. Rose (Pogg. Ann. 64. 171) hat sogar zu beweisen gesucht, daß der häufigste unter allen, der Columbit, isomorph mit Wolfram sei, trotz dem Mangel des Blätterbruchs. Sie finden sich seltener, und jeder Fundort zeigt einen etwas andern Gehalt. Hatchett entdeckte 1801 im Amerikanischen und Ekeberg 1802 im Finnländischen den neuen Stoff Tantal, nach dem Phrygischen König Tantalus benannt, Vater des Pelops und der Niobe; 1844 H. Rose (Pogg. Ann. 63. 317) in den Bayerischen nochmals ein zweites Niobium Nb, und bald darauf (Pogg. Ann. 69. 113) ein drittes Pelopium Pe. Nun (Pogg. Ann. 90. 471) hat sich zwar gezeigt, daß Niobium und Pelopium wieder zusammenfallen, dennoch sind beides verschiedene allotropische Modificationen, die nicht unmittelbar in andere übergeführt werden können (Pogg. Ann. 108. 373). H. Rose nennt jetzt die Pelopsäure Niobsäure (Nb), die frühere Niobsäure wurde demnach Unterniobsäure (Nb). Niobsäure ist der Tantsäure außerordentlich ähnlich, ihr Pulver wird durch Glühen nur stärker gelb. Neuerlich fügt Hr. v. Kobell noch Dian hinzu, welches mit Salzsäure und Stanniol gekocht verdünnte Lösungen lasurblau färbt (Journ. prakt. Chem. 1860. 79. 301, 83. 100 und 449). Sämmtliche drei stehen in ihren Eigenschaften dem Titan- und Zinnoxyd sehr nahe, welsch letzteres sich gar häufig auch zugesellt. Ta krystallisirt nach Nordenstiöld zwar zweigliedrig,

d 103 ausdehnen, so gieng Hr. Schrauf nicht von o sondern von a als Hauptktaeder aus, zu welchen g di die zugehörigen Dodekaëdflächen bilden. Eine Menge kleiner Abstumpfungen gefellen sich dazu: s 263, q 391, π 121, t 463, β 233. Die Verticalzone M/c läßt sich durch ihre matten Flächen d 103, h 203, l 106 leicht erkennen. Nimmt man dazu zwischen M/o x 211, zwischen u/d α 113, zwischen o/d σ 213 und zwischen T/m φ 1 • 12 • 3, so haben wir eine Einsicht von dem ungewöhnlichen Flächenreichtum.

$$a : b = 0,9447 : 1,139 = \sqrt{0,8924} : \sqrt{1,2979}$$

$$lga = 9,97529, lgb = 0,05661.$$

Bei Rabenstein finden sich auch Zwillinge, welche $f = c : \frac{1}{2}b$ gemein haben, und umgekehrt liegen, die Arenrichtungen c schneiden sich daher unter $59^\circ 20'$, was man an den Streifungen der einpiegelnden M annähernd messen kann.

Farbe ist pechschwarz mit schwarzem bis rothbraunem Strich, Fettglanz auf dem kleinschuppigen Bruche. Härte 6, Gewicht variiert sehr, woran oft Verwitterung schuld ist, im Mittel kann man 6 annehmen. Zu schaliger Absonderung geneigt.

Vor dem Löthrohr unveränderlich, auch von Säuren werden sie wenig angegriffen, man schließt sie daher mit K S² auf.

Columbit im Ganggranit vom Rabenstein Gew. 6,39, Strich schwarz, hält nach H. Rose keine Tantal- sondern 81 Unterniobsäure, 14,3 Fe, 3,8 Mn, 0,45 Sn, 0,13 Cu; der Amerikanische von Middleton (Connecticut) mit 5,8 Gew. und dunkelbraunrothem Strich nach Hermann 78,2 Metallsäure; im Almengebirge 2 p. C. Yttererde und 2,5 Magnesia. Der Grönländische hat nur 5,4 Gewicht und 78,7 Unterniob., Chanteloube 78,7 p. C., im Schriftgranit von Tirschenreut an der Rab 78,6. Früher hielt man die Säure für Tantsäure, bis H. Rose Niob und Pelop darin entdeckte, das sich in verschiedenen Quantitäten gegenseitig vertreten sollte (Pogg. Ann. 71. 100). Da Pelopsäure schwerer ist als Niobsäure, so erklärte sich daraus das höhere Gewicht der Bodenmaiser, gegenüber den Amerikanern. Später (Pogg. Ann. 1859. 107. 400) zeigte sich, daß Niobsäure Nb gar nicht vorkomme, sondern nur Unterniobsäure Nb, wenigstens im Columbit, Samarskit, Euxenit, Ferusonit und Thrit.

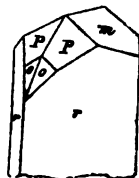
Samarskit (H. Rose Pogg. Ann. 71. 107), Uranotantal (H. Rose Pogg. Ann. 48. 555), Yttrilmenit Hermann, mit Aeschynit im Granit des Almengebirges bei Nias. Scheint die Krystallform des Columbit's zu haben. Sammtschwarz, dunkelröthlich brauner Strich, unvollkommener Metallglanz. Härte 5—6, Gew. 5,6. Schmilzt an den Ranten zu schwarzem Glase, und glüht auf wie Gadolinit pag. 364, wird aber umgekehrt nach dem Aufglühen specifisch leichter (Pogg. Ann. 72. 473). Die Analyse gab 56 metallische Säure, die hauptsächlich aus Unterniobsäure mit einer ziemlich bedeutenden Menge von Wolframsäure besteht, 15,9 Fe, 16,7 Uranoxyd, 11 Yttererde, K (Nb, U). Hermann glaubte darin einen neuen Stoff Ytmenium entdeckt zu haben, was jedoch H. Rose (Pogg. Ann. 73. 400) widerlegt. Diansäure. Hier ist auch der röthlichbraune fettglänzende Euxenit

pag. 643 zu vergleichen, Gew. 4,9 mit 37,1 Unterniobsäure, 16,3 Titanoryhd, 8,4 Uranoryhdul, 26,5 Cer- und Yttererde, 5,2 Kall, 3 Eisenoryhdul, Wasser u.

2. Tantalit Fe Ta^2 .

Der Eteberg'sche Name für den Finnländischen, wo er im Kirchspiel Rimito und Tammela im Gang-Albit (Oligoklas) der dortigen Granite mit Turmalin und Smaragd vorkommt. Nach H. Rose (Pogg. Ann. 104. ^{ss}) enthalten sie entschieden Tantalssäure. Kobell fand darin einen neuen Stoff Dianium Di. Nordenfjöld (Pogg. Ann. 50. ^{ss}) beschreibt ihn zwar auch

2gliedrig, aber verschieden von Columbit. Das Oktaeder $P = a : b : c$ hat in der vordern 126° und in der seitlichen Endkante $112^\circ 30'$. Daraus folgt $a : b = 1,253 : 1,534$. Die seitliche Endkante ist durch $m = b : c : \infty a$ abgestumpft. Unter P liegt $o = b : c : \frac{1}{2}a$, seltener zwischen P/o noch $v = b : c : \frac{2}{3}a$. In der Säule herrscht $r = 9a : 4b : \infty c$ mit $57^\circ 6'$ in der vordern Endkante, freilich ein nicht sehr wahrscheinlicher Ausdruck. $s = a : \infty b : \infty c$ stumpft die vordere und $t = b : \infty a : \infty c$ die seitliche Säulenkante ab. Unter andern kommt auch noch $q = c : \frac{1}{2}b : \infty a$ und darüber $n = c : 6b : \infty a$ vor. Die Krystalle sind selten einfach, sondern verwickelte Zwillinge. Beim Rimito-Tantalit herrscht die Oblongsäule s/t , also wie beim Columbit. Sie stammen von Härkäsaari bei Torro im Kirchspiel Tammela, wo sie mit Rosenquarz und Gigantolith brechen. Stark zinnhaltig, Gew. 7,1. Die von Rimito, wo bei Stogbölle die reichste finnländische Fundgrube ist, wiegen 7,93, Zinnarm, Eisenschwarz, brauner Strich, bei manchen Abänderungen bis ins Zimmtbraun gehend (Pogg. Ann. 101. ^{ss}).



Ein Tammela-Tantalit enthielt 83,9 Ta, 13,8 Fe, 0,7 Mn, 0,66 Zinnoryhd; Rimito-Tantalit (Zirolit) 75,7 Ta, 9,8 Fe, 4,3 Mn, 9,6 Sn. Zinn soll das Tantal vertreten; ein Theil des Eisens scheint bei den verwitterten ausgelaugt zu sein, daraus erklärt H. Rose den Mangel an Basen.

Finbo-Tantalit bei Finbo und Broddbo ist unkrystallinisch, Gew. 6,2—6,5. Der chemische Gehalt 67 Ta, 16,7 Sn, 6,9 Fe, 7,1 Mn, 2,4 Ca. Mit ihnen kommt dann ein Tantalssäurehaltiger Zinnstein (93,6 Sn, 2,4 Ta) vor, so daß zwischen Zinnstein und Tantalit ein förmlicher Uebergang Statt findet. Damour fand bei Chanteloube Tantalit mit einem Zirkonerdegehalt, der bis auf 5,7 p. C. stieg, und vielleicht auch Ta vertritt. Hjelm (Pogg. Ann. 111. ^{ss}) aus dem Schriftgranit von Rårarfvet enthält 62,4 Tantalssäure.

Yttro-Tantalit wurde schon 1802 von Eteberg (Kongl. Vetensk. Acad. Handl. 1802. XXIII. ^{ss}) aus dem rothen Granit von Ytterby unfern Wäxholms-Festung bei Stockholm entdeckt. Derbe eingesprengte Massen mit Fettglanz, Apatithärte. Berzelius unterschied Abänderungen von dreierlei Farben: schwarze, braune, gelbe. Alle drei finden sich auf dem gleichen Stück. Der schwarze wiegt 5,39, der gelbe 5,88. Den schwarzen kann man leicht mit Gadolinit verwechseln, allein er hat keine Kieselsäure. Nach Nordenfjöld

(Pogg. Ann. 111. 200) 2gliedrig. Vor dem Löthrohr unschmelzbar, gibt aber einen Glühverlust und wird specifisch schwerer. S. Rose (Pogg. Ann. 72. 120) wies im schwarzen abgesehen vom Wasser 58,6 Tantalssäure, 21,2 Yttererde, 7,5 Ca, 3,9 U, 6,3 Fe, 0,6 W, 0,4 Cu nach; der gelbe soll meist amorph sein (Pogg. Ann. 111. 200); der braune enthält Niobsäure und viergliedrig, wie Fergusonit, ist er das erste Niobhaltige Mineral Schweden's (Nordenfjöld Pogg. Ann. 111. 200).

Dianit nannte Hr. Robell (Jahrb. 1860. 440) einen Tammela-Tantalit mit grauem Strich, und von 5,5 Gew., also wesentlich leichter als die andern finnländischen Tantalite, denen er sonst außerordentlich gleicht. Die Sache liegt noch im Streit, doch behauptet Robell (Journ. prakt. Chem. 83. 440) im Columbit, Eugenit, Samarskit, Aeschynit, Polykras, Fergusonit, Thrit Dianssäure nachgewiesen zu haben.

3. Fergusonit $Y^2 Nb$

(Haidinger Pogg. Ann. 5. 100) wurde zu Rikertaurfack am Cap Farewell (Grönland) im Quarz gefunden. Er gleicht dem Yttrio-Tantalit im Aussehen, daher beschrieb ihn Mohs (Grundriß II. 600) unter diesem Namen. Nordenfjöld fand ihn bei Ytterby zwischen den Yttrio-Tantaliten.

4gliedrig, aber mit jener merkwürdigen Hemiedrie des Scheelbleierzses pag. 499. Geht man vom Oktaeder $s = a : a : c$ aus mit $100^\circ 28'$ in den Endkanten, wornach $a = \sqrt{0,444}$, so haben dazu die quadratische Säule r und das Quadratoctaeder z nicht die verlangte symmetrische Lage. Man muß vielmehr beide als die Hälfte von der vierundvierkantigen Säule $r = a : \frac{1}{2}a : 00a$ und von dem Vierkantner $z = c : a : \frac{1}{2}a$ betrachten. Geradenfläche $i = c : 00a : 00a$.



Pechschwarz, an den Kanten rötlich durchscheinend, bläßbrauner Strich, Härte 5—6, Gewicht 5,84 (der schwedische nur 4,89). Vor dem Löthrohr unschmelzbar. Nach Hartwall (Pogg. Ann. 16. 400) 47,7 Tantalssäure, 41,9 Yttererde, 4,7 Ceroxydul, 3 Zirkonerde, 1 Zinnoxid, 0,95 Uranoxydul. S. Rose zeigte, daß sie keine Tantal-, sondern Unter niobsäure halten, was die schwedischen bestätigen. Teschenmacher's Azorit im Trachyt der Azoren bildet kleine grünlich gelbe Quadratoctaeder, die im wesentlichen Unter niobsäuren Kalk zu enthalten scheinen. Thrit (Norwegischer Kriegsgott Thr) mit Eugenit auf Tromsø, Gew. 5,55, hat nach Renngott die Form des Fergusonits, und besteht auch im wesentlichen aus Unter niobsäurer Yttererde. Doch scheinen noch nicht alle Zweifel gehoben (Potyla Pogg. Ann. 107. 200).

4. Pyrochlor.

Im Zirkonsyenit von Frederiksvärn entdeckt, und da er im Feuer sich gelb brennt, von Wöhler (Pogg. Ann. 7. 417) so benannt. Mikrolith von Chefterfiel.

Reguläre Oktaeder, zuweilen Granatoeder und Leucitoeder $a : a : \frac{1}{2}a$ und $a : a : \frac{1}{2}a$ untergeordnet (Miasf). Die Oktaeder sehr scharf ausgebildet, und

dadurch meist leicht vom begleitenden Polymignit unterscheidbar. Rötlich-braun durchscheinend. Härte 5, Gew. 4,2.

Vor dem Löthrohr wird er gelb und schmilzt schwer zu einer schwarz-braunen Schlacke. Die Uralischen zeigen ein Aufglühen, und Wöhler fand darin 13,1 cerhaltige Thorerde, 11 Ca, 5,3 Na, 3,2 Fluor, 67,3 titanhaltige Tantalssäure, welche sich später als Unterriobssäure erwies (Pogg. Ann. 48. 55). Die Krystalle erreichen im Ural bis $\frac{1}{4}$ Zoll Größe. Bei dem in Albit eingewachsenen Mikrolith geht die Metallsäure auf 80 p. C. Der Norwegische soll keine Thorerde enthalten, bei Brevig 5 Uranoryd. Die gelben, scheinbar regulären Oktaeder des Pyrrhit (Pogg. Ann. 48. 55) auf Feldspath von Alabaskita finden sich nur in einer einzigen Stufe vor (Kotscharow Miner. Russl. I. 222), und dürften dem Pyrochlor verwandt sein. Auf den Azoren fanden sich solche Oktaeder, die aus Niobsaurer Zirkonerde bestehen sollen.

g) Uranerze.

Sie sind die einzigen, aus welchen das Uranmetall leicht in größerer Menge zu gewinnen ist. Klaproth (Beiträge II. 197) entdeckte 1789 das neue Metall in der von den Bergleuten längst bekannten Pechblende, die nun den neuen Namen

Uranpecherz erhielt. Werner nannte es schlechthin Pecherz, Hausmann Pechuran, Haibinger Uranin. Coracit vom Lake Superior. Findet sich meist in derben aber großen unkrystallinischen Massen, ohne Blätterbruch, daher nannte es Mohs untheilbares Uranerz. In Deutschland sind keine Krystalle bekannt. Dagegen glaubt Scheerer in Norwegen, wo er stets in Begleitung von Niob- und Pelopsäurem Uran-Manganorydul vorkommt, reguläre Oktaeder mit Würfel deutlich beobachtet zu haben (Pogg. Ann. 72. 571).

Ein halbhopalartiger Bruch mit Fettglanz, zuweilen gerundete nierenförmige Oberfläche. Pechschwarz mit bräunlich schwarzem Strich. Härte 5—6, Gew. 6,46.

Vor dem Löthrohr unschmelzbar, in der Oxydationsflamme gelbe und in der Reductionsflamme grüne Gläser. In Salpetersäure löst es sich leicht zu einer grünlich gelben Flüssigkeit. Als wesentlichen Gehalt sieht Krammelsberg das Uranorydorydul UO_3 an; er fand davon in der Pechblende von der Grube Tanne bei Joachimsthal 79,1 p. C. neben 6,2 Blei, 3 Eisen, 1 Arsenit, 2,8 Kalkerde, 5,3 Kieselsäure u. Darnach könnte man wähnen, daß sie isomorph mit Magneteisen pag. 608 sei. Karsten (Pogg. Ann. 26. 401) wies Spuren von Selen nach, das er bei der von Schneeberg mit dem Löthrohre noch erkannte, Wöhler (Pogg. Ann. 54. 500) einen Vanadiumgehalt. Ueber Spuren von Kupfer, Wismuth u. darf man sich nicht verwundern, da sie namentlich von kleinen Kupferkiesstrümmern häufig durchzogen wird. Noch weniger fällt ein Gehalt von Phosphorsäure auf, denn sie ist die Mutter des Uranglimmer pag. 494. Das krystallisirte Uranpecherz, was sich bei Balle in Sätersdalen zusammen mit Niob-Pelopsäurem Uran-Mangan-

orydul (Pogg. Ann. 72. 500) findet, hatte sogar einen bedeutenden Gehalt jener merkwürdigen Metallsäuren, neben denen Uranoryd auch im Samarskit eine Rolle spielt, wie es überhaupt in der ganzen Gruppe der Tantalate vorkommt.

Breithaupt unterscheidet Pechblende mit schwarzem, olivengrünem und pomeranzengelbem Strich. Letzteres (Uranisches Gummierz) gleicht der Gummigutt, sieht hyacinthroth aus, und hat nach Karsten die Formel $4 \text{U} \text{H}^9 + \text{Ca}^3 \text{P}$. Es kommt zu Johann-Georgenstadt vor, und ist wahrscheinlich schon Zersetzungsprouduct. Haibingers Eliasit von Joachimsthal ist amorph und dunkel pechfarbig (Pogg. Ann. Ergänz. IV. 240).

Uranoder, ein wasserhaltiges Uranoryd, das in Schnüren die Pechblende durchzieht und in schmalen Bändern einhüllt, von gelber Farbe. In den Stücken von Johann-Georgenstadt kann man den Prozeß von Pecherz, durch das Gummierz zum Oder vollständig verfolgen. Der prachtvoll citronengelbe von Joachimsthal entsteht durch Zersetzung des dortigen Uranvitriol, wie schon die mitvorkommenden kleinen Gypskrystalle beweisen. Er besteht daher nach Kennigott aus mikroskopisch faserigen Krystallen. Vergleiche auch den zeisiggrünen Uranophan im Granit von Kupferberg in Schlesien (Zeitschr. deutsch. geol. Ges. XI. 204).

Liebigit Smith (Liebig's Ann. Chem. u. Pharm. 66. 254) mit Uranpecherz von Adrianopel, eine grüne Zersetzungssubstanz, die aus $\text{U}^2 \text{C} + 2 \text{Ca C} + 36 \text{H}$ bestehen soll, mit 38 U, 45,2 H, 8 Ca, 10,2 C. Der smaragdgrüne Voglit ($\text{U}, \text{Ca}, \text{Cu}$) C + H kommt in zarten Schuppen auf Uranpecherz der Eliaszeche zu Joachimsthal vor. Uranvitriol pag. 531.

Uranpecherz bricht hauptsächlich im Erzgebirge: Johann-Georgenstadt, Schneeberg, Annaberg. In Böhmen zu Joachimsthal, Przibram, Rebruth in Cornwall. Es findet sich in Sachsen in so großen derben Stücken, daß man es nicht nur in allen Sammlungen findet, sondern auch in der Porzellanmalerei zum Schwarz und Gelb benutzt. Essigsaures Uranoryd gilt als das beste Reagenzmittel auf Phosphorsäure. Die Joachimsthäler enthalten 0,2 Vanadinsäure, man verarbeitet daselbst jährlich 30—50 Ctr., die 10 % dieses seltenen Stoffes liefern.

b) Kupfererze.

Sie gehören zwar zu den edelsten für die Gewinnung des Kupfers, haben aber gegenüber den geschwefelten Kupfererzen eine geringe Bedeutung für den Bergbau. Mineralogisch interessant ist vor allem das

Rothkupfererz. Kupferroth nach seiner Farbe. Aes sui coloris Rothkupfer Agricola 702. Als stetiger Begleiter des gediegenen Kupfers konnte seine Beschaffenheit den ältern Mineralogen kaum entgehen. Ohne Zweifel ist bei Theophrast 70, wo er von einem Steine redet, der dem Carbunculus ähnlich, aber schwerer sei, unser Erz gemeint, da er zwischen andern salinischen Kupfererzen eingesprengt war. Vielleicht auch Caldarius Plinius 34. 20. Cronstedt § 193 nannte es rothes Kupferglas, daher bei

R. de l'Isle III. 331 Cuivre vitreuse rouge, Cuivre oxydulé, Red oxide of Copper.

Reguläres System in ausgezeichneten Formen. Das Octaeder herrscht, und zwar deutlich blättrig, seltener das selbstständige Granatoeder, doch kommen beide von Zollgröße um und um gebildet bei Chessy und auf den Gumeschewsk'schen Kupfergruben am Ural vor. Noch häufiger finden sich beide Octaeder und Granatoeder in Verbindung, woran bald das eine, bald das andere sich mehr ausdehnt. Der Würfel ist schon viel ungewöhnlicher, aber am Ural sind ihm Octaeder, Granatoeder und Pyramidenwürfel $a : \frac{1}{2}a : \infty a$ untergeordnet, eine Form, die auffallend an dortige Kupferkrystalle durch ihren ganzen Habitus erinnert. Kleine selbstständige Würfel finden sich auf den Kupfergruben von Cornwallis, und zu Moldawa im Banat. Das Leucitoeder $a : a : \frac{1}{2}a$ stumpft die Kanten des Granatoeders ab. G. Rose erwähnt von den Gumeschewsk'schen Gruben auch eine Abstumpfung zwischen Granatoeder und Octaeder, einem Pyramidenoctaeder $a : a : 3a$ angehörend. Der Pyramidenwürfel $a : \frac{1}{2}a : \infty a$, das Pyramidengranatoeder $a : \frac{1}{2}a : \frac{1}{2}a$, also sämtliche 7 reguläre Körper sind vertreten. Dagegen Zwillinge nicht bekannt, wohl aber gestrichelte Formen (G. Rose Reise Ural I. 304) von großer Schönheit und zart wie das haarförmige Rothkupfererz von Rheinbreitenbach: es sollen dünne Würfel sein, die sich nach der octaëdrischen Axe verlängert haben.

Dunkel Cochenillroth mit blutrothem Strich. Viele Krystalle scheinen stark durch, und zeigen dann Diamantglanz. Verräth sich gewöhnlich durch Malachit. Härte 3—4, Gew. 6.

Kupferoxydul Cu mit 88,8 Cu und 11,2 Sauerstoff. Kupferhammer-schlag besteht vorzugsweise daraus, man hat es auf nassem und trockenem Wege krystallisirt bekommen (Pogg. Ann. 49. 402). Die Löthrohrflamme färbt es deutlich grün, schmilzt und reducirt sich zu Kupfer, was beim Erkalten von Kupferoxyd schwarz anläuft. Kupferoxydul gibt in der innern Flamme farblose Gläser, die erst beim Erkalten schmutzig ziegelroth werden, in der äußern dagegen smaragdgrüne von Kupferoxyd. Mit verdünnter Schwefelsäure übergossen scheidet sich Kupfer aus.

Rothkupfererz zeigt sich häufig als Zersetzungproduct von gediegenem Kupfer, das beim Zerschlagen nicht selten noch unzersezt darin steckt. Man sieht dies nicht bloß auf den verschiedensten Gruben, wo gebiegen Kupfer vorkommt, sondern auch an alten Geräthschaften, die lange in der Erde begraben waren, wie z. B. den Waffen und Schmuckstücken der Celten, die entweder ganz aus Kupfer oder aus Bronze bestehen. In beiden Fällen durchzieht das entstandene Rothkupfererz die Masse. Schon R. de l'Isle (Crist. III. 333) erkannte in dem Pferdefuße einer antiken Bronzenstatue, welche 1777 bei Lyon ausgegraben wurde, kleine Cubo-Octaeder. Erst aus ihm entstand der Aerugo nobilis, ganz in derselben Weise, wie am Ural die Malachite aus dem gebiegenen Kupfer durch Verwitterung des Kupferoxyduls (G. Rose Reis. Ural I. 372). Dadurch sind dann auch die schönen

Älterkrystalle nach Malachit erklärt, welche zu Chessy bei Lyon

und auf den Gumeschewsk'schen Gruben am schönsten vorkommen. Schlechter kennt man sie von der Grube Käufersteimel bei Sagn-Altenkirch auf dem Westerwalde, auch im untern Keupermergel von Heilbronn. Die wohlgebildeten Krystalle liegen im Letten oder anderm Muttergestein, sind an der Oberfläche grün, auch safrig, bald ganz bis zum Mittelpunkte, bald aber bleibt auch noch ein innerer unzersehter Kern.

Krystallisirt oder doch blättrig krystallinisch ist das meiste. So gewinnt man es in vielen centnerschweren Blöcken am Ural, in deren innerstem Kern die hohle Druse sich findet. Schon Pallas beschreibt von dort 30 \mathcal{R} schwere Krystallstücke: Gumeschewskoi, Nischne-Tagilsk und die Turjinst'er Gruben bei Bogoslawsk sind die drei Hauptpunkte. Vereinzelte Krystalle kommen am Altai vor und besonders große Drusen auf der Grube Migry (Karabach) im Kaukasus. Die Kupfergruben von Cornwallis sind längst berühmt, wo es ebenfalls gern mit gebiegem Kupfer bricht. Erst 1812 wurden die schönen Krystalle von Chessy bei Lyon gefunden. Auch das Banat ist reich. Auf dem Schwarzwalde kam es früher auf der Leopoldsgrube bei Rippoldsau mit gebiegem Kupfer vor. Am Besuv zuweilen als Ueberzug schlackiger Auswürfe.

Kupferblätthe als haarförmiges Rothkupfererz bildet prachtvoll karminrothe Fasern, kurz und zart, von Haardicke, für reguläres Krystallsystem allerdings etwas sehr Ungewöhnliches. Auch glaubte Suchow (Pogg. Ann. 34. 550) bei Rheinbreitenbach ein blättriges Rhomboeder von $99^{\circ} 15'$ in den Endkanten nachweisen zu können. Gewöhnlich seien es aber reguläre sechsseitige Säulen mit Geradenfläche, woran das Rhomboeder die abwechselnden Enden abstumpfen würde. Um die Rheinbreitenbacher Nadeln, welche in den obern Teufen des Ganges vorkamen, zu erkennen, darf man sie nur auf Wachs stecken, und mit der Loupe im reflectirten Lichte betrachten, sie spiegeln dann nur vier- und nicht sechs Mal. Da nun auch die schönen Haare im Brauneisenerz von Nischne-Tagilsk (S. Rose Kryst. Chem. Min. 63) deutlich verlängerte Würfel mit Octaeder und Granatoeder sind, so hat man wenigstens bis auf weiteres keinen Grund, dieses reine haarförmige Kupferorydul für anders als regulär krystallisirt zu halten. Moldawa, die Gruben von Cornwallis liefern Beispiele. Das Rheinbreitenbacher soll etwas Selen halten. Dichtes Rothkupfererz wird gern unrein und geht dann in das

Ziegelerz über. Dasselbe hat seinen Namen von der dunkel ziegelrothen Farbe. Es kommt dicht und erdig vor, die Farbe des letztern ist höher. Chemisch besteht es aus einem Gemisch von Fe^{H} mit Cu . Es hat in sofern einiges Interesse, als man häufig mit Entschiedenheit nachweisen kann, daß es lediglich ein Verwitterungsproduct des Kupfertiefes sei, so zu Manzenbach bei Dillenburg, auf der Grube Herrenseegen im Schwarzwalde u. Kupferkies $\text{Cu}^{\text{III}}\text{Fe}$ durchzieht in unzersehten Fäden noch die Masse, es durfte nur der Schwefel durch Sauerstoff ersetzt werden um sich in $\text{Cu}^{\text{H}}\text{Fe}$ umzuwandeln. Ein Theil des Kupferorydul wurde zum Malachit verwendet, der sich auf gleichen Erzstufen findet. Kommt das Ziegelerz in

Gesellschaft von Rothkupfererz vor, wie auf den Turjinsten Gruben, so scheint das Eisenoxydhydrat zum Rothkupfererz hinzugetreten zu sein.

Kupferpecherz oder Pechkupfer entsteht ebenfalls durch Zersetzung des Kupfertiefes, hat aber ein ganz Pechartiges Aussehen, Pechglanz und Pechschwarz mit braunem Strich. Härte 4—5. Im Sibirischen von den Turjinsten Kupfergruben ist 12 Cu, 20,6 H, 17,7 Si, 49 Fe. Das Kupfer ist also stärker oxydirt. Ohne Zweifel entstehen zunächst Vitriole, welche durch kohlensaure Alkalien ihrer Säure beraubt werden. Auch Condurrit von der Condurra Grube in Cornwall ist augenfällig ein Zersetzungsproduct von Rassebrauner Farbe, was bei Verwitterung ins Erdige übergeht. Nach Kammelsberg (Pogg. Ann. 71. 308) im Wesentlichen ein durch Arsenik, Schwefel u. verunreinigtes Kupferoxydul. Arsenige Säure durch Wasser ausziehbar.

Kupfererschwärze nannte Werner den schwarzen erdigen Beschlag des Kupfertiefes. Man findet sie häufig, zeigt aber neben Kupferoxyd auch Manganoxyd und Wasser. Die von Herrenseegen auf dem Schwarzwalde gibt die ausgezeichnetste Reaction von Kupferoxyd, sie muß sehr rein sein. Auch das künstliche Cu ist ein schwarzes Pulver. Uebrigens muß man es nicht mit dem blauen Kupferindig verwechseln. Nach Kammelsberg (Pogg. Ann. 80. 308) kommen in den reichen Kupfergruben am Lake Superior braunschwarze, theils sogar blättrige schwer zersprengbare Massen von 5,9 Gew. vor, die 99,4 p. C. Kupferoxyd enthalten (Melakonit). Renngott bekam sie in regulären Krystallen, die in himmelblaues Kieselkupfer eingewachsen waren. Es waren aber Austerkrystalle. Das künstliche Kupferoxyd krystallisirt nach Zenzsch 2gliedrig (Pogg. Ann. 107. 407). Interessant ist auch Semmola's

Tenorit auf Lavenauswürflingen des Vesuvius besonders an den Boccoli von 1760. Es sind starrglänzende äußerst dünne schwarze Blättchen, mit schwarzem Strich, die mit Flüssigkeiten smaragdgrüne Gläser geben. Es soll krystallisirtes reines Kupferoxyd sein (Bulletin géol. de Franc. 1842. tom. 13. 308). Die Melaconisa (Roth, der Vesuv pag. 312) bildet ein schwarzes Pulver auf der Lava in der Fossa Petrana.

i) Zinkerze.

Sind äußerst unbedeutend. Das einzige interessante Vorkommen ist **Rothzinkerz** oder besser **Zinkoxyd**. Zinkit, Red oxide of Zink (Bruce Silliman Amer. Journ. 1. 30). Die rothe Farbe dankt es bloß einem zufälligen Mangangehalt, Hayes meint kleinen Schuppen von Eisenglanz. 6gliedrig mit den Winkeln des Korundes pag. 300. Das natürliche findet sich zwar nur in späthigen Stücken, allein so groß, daß man eine reguläre sechsseitige Säule von 120° daraus spalten kann, so deutlich sind die 3 Blätterbrüche der Säule, und noch etwas deutlicher ist die Geradenfläche. An künstlichen sehr glänzenden Krystallen, welche sich bei verschiedenen Hüttenprozessen bilden, kommt die Säule mit Endfläche sehr schön krystallisirt vor, ihre Endanten werden durch ein Diheraeders $a : a : \infty a : c$ abgestumpft,

und zeigen $127^{\circ} 40'$ in den Endkanten ($23'$ von r Korund abweichend), indeß stumpft das nächste stumpfere Dihedraeder $2a : a : 2a : c$ sämtliche Endkanten ab, was beim Korund das blättrige Rhomboeder bildet. Das natürliche Vorkommen ist hoch morgenroth mit orangengelbem Strich, starker Glanz mit Durchscheintheit. Härte 4, Gew. 5,5.

Vor dem Löthrohr schmilzt es nicht, gibt aber einen deutlichen Zinkbeschlag. Nach Whitney (Pogg. Ann. 71. 100) enthält es 96,2 Zn, und 3,7 Manganoxyd. Mit Franklinit pag. 611 bei Franklin und Sparta in New-Jersey, zu Sterling in blättrigen Massen mit Magneteisen. Es kommt daselbst in solchen Mengen vor, daß es zur Darstellung des Zinkes benutzt wird. Der weiße Beschlag auf dem Franklinit soll kohlensaures Zinkoxyd sein. Das reine Zinkoxyd ist an sich weiß, allein die künstlichen Krystalle sind auch gewöhnlich durch etwas Eisenoxydul gelb gefärbt, und erinnern durch ihren Glanz an gelbes Buntbleierz. Am häufigsten sieht man es in zollbilden Krusten als unkrystallinische gelbgrüne Masse, welche sich an den Wänden des Hochofenschachtes ansetzen (Sichtenschwamm), z. B. zu Ludwigsthal bei Tuttlingen. Denn das Zink findet sich in den verschmolzenen Eisenerzen sehr verbreitet.

Kadmiumoxyd bildet sich in Schlesien in Rissen schadhafter Destillationsgefäße des Zinkes in glänzend schwarzbraunen Oktaedern des regulären Systems, 8,1 Gew. (Erdmann's Journ. prakt. Chem. 55. 110).

k) Antimonerze.

Sie finden sich zwar auch nur sparsam, sind aber wegen ihres Isomorphismus mit den entsprechenden Arsenerzen von Bedeutung.

Weißspießglanz Sb. Dieser alte Werner'sche Name ist gegenüber dem Roth- und Grauspießglanz vortrefflich gewählt, daher sollte man den umgekehrten Namen Spießglanzweiß oder Antimonblüthe nicht annehmen. Es wurde schon 1787 auf den Bleierzgruben von Przibram von Köhler in Prag beschrieben, und Laproth (Beiträge III. 100) erkannte das reine Spießglanzoxyd darin. Antimoine oxydé. Valentinit.



2-gliedrige Oblongtafeln, woran die Endfläche h sich durch starken Perlmutterglanz auszeichnet, man kann diese daher als den Hauptblätterbruch betrachten, obgleich sie sich in Blätter absondert. Die schmale Seite dieser Tafeln wird durch $M = b : \frac{1}{2}a : \infty$ mit Winkeln von $136^{\circ} 58'$ zugeschärft; diese Säule zeigt zwar Blätterbrüche,

aber die Faserung längs der Axe c entstellt sie sehr. Der Hauptblätterbruch $h = b : \infty a : \infty c$ stumpft die scharfe Säulenlante gerade ab. Am langen Ende der Tafel herrscht gewöhnlich eine Endfläche $c = c : \infty a : \infty b$, doch gibt Mohs auch ein Paar $p = c : 2b : \infty a$ $70^{\circ} 32'$ an. Selten die Oktaederflächen $o = a : b : c$, welche Rechtecke bilden, weil sie in der Zone M/p liegen. Die Blätter auf dem Bleiglanz von Przibram mit kleinen

rothen Blendekrystallen fächern sich häufig, indem die langen Axen a der Tafeln sich unter verschiedenen Winkeln von einander entfernen. Man muß sich hüten, sie nicht mit dem dortigen Weißbleierz zu verwechseln, dem sie im Demantglanz und weißer Farbe gleichen. Allein sie haben Gypshärte, und nur 5,5 Gew.

Schmilzt schon im bloßen Kerzenlicht unter Bildung von schweren weißen Antimondämpfen, welche die Flamme grünlich färben. In Salzsäure leicht löslich, doch wird die Auflösung mit Wasser verdünnt milchig, weil das Wasser Sb Cl^3 theilweis wieder zu Sb zerlegt, welches mit einem Theil des unzerlegten Antimonchlorids ein unlösliches Salz bildet. Reines Antimonoxyd mit 84,3 Sb und 15,7 Sauerstoff.

Das blättrige Weißspießglanz findet sich zu Przibram, Allemont etc., das excentrisch strahlige dagegen ausgezeichnet zu Malaczka in Ungarn und auf der neuen Hoffnung Gottes zu Bräunsdorf bei Freiberg. Hier liegt nicht selten auf einem einzigen Handstück das graue (Sb S^3), weiße (Sb) und rothe Spießglanz ($2 \text{ Sb S}^3 + \text{Sb}$) nebeneinander.

Oktaedrisches Antimonoxyd (Senarmontit) in regulären Octaedern von 4—5 Linien Durchmesser fand Senarmont (Ann. chim. phys. 3. ser. 31. 304) bei Qued-Famimim in der Provinz Constantine in einem mergeligen Gestein, worin es wahrscheinlich durch giftige Quellen, wie das 2gliedrige bei Ain-el-Bebbuch abgesetzt ist. Die Octaeder sind etwas blättrig, ihre stark lichtbrechende Kraft mit lebhaftem fettartigem Diamantglanz macht sie dem Weißbleierz sehr ähnlich, aber sie haben nur reichlich Gypshärte und 5,3 Gew. Vor dem Löthrohr verhält es sich vollkommen wie das 2gliedrige. Es kommt in solcher Menge vor, daß man es bergmännisch gewinnt und wie Bleiweiß zur Farbe benützt. Auch zu Perneck bei Böding in Ungarn mit Weiß- und Rothspießglanz.

Schon lange wußte man, daß beim Saigern des Grauspießglanzes von Wolfsberg auf dem Unterharze sich neben dem 2gliedrigen auch oktaedrische Krystalle von Sb bilden (Pogg. Ann. 26. 100). Mitscherlich (Pogg. Ann. 49. 409) stellte sogar beide auf nassem Wege dar: löst man Sb in wässrigem kochendem Natron, und läßt die Sache beim Ausschluß der Luft erkalten, so erhält man zuweilen meßbare reguläre Octaeder. Setzt man dagegen zur kochenden Auflösung von Na Cl Antimonchlorid (Sb Cl^3), so scheidet sich Sb in 2gliedrigen Säulen aus.

Spießglanzocher. Eine Werner'sche Species. Bildet strohgelbe Ueberzüge auf Grauspießglanz, das ihn leicht verräth. Zuweilen füllt er, wie zu Kremnitz und Felsöbanya, sogar die Stelle der Krystalle vollkommen aus (Stibilit), und diese unkrystallinische Masse kann sogar Apatithärte erreichen. Das Gewicht variiert von 3,7—5,3. Dem übrigen Vorkommen scheint neben Antimoniger Säure (Sb O^4) ein Wassergehalt wesentlich. Die dichten haben zwar auch Wasser, allein es scheint nicht immer nothwendig.

Bei Cervantes im Spanischen Galicien sind durch Zersetzung des Grauspießglanzes hellisabellgelbe blättrige Massen von 3—4 Härte und 4 Gew. entstanden, die aus reiner wasserfreier Antimoniger Säure $\text{Sb O}^4 = \text{Sb O}^3 \text{ Sb O}^3$

bestehen. Zu Pereta in Toskana fand sie sich in dünnen Krystallnadeln, die Dana *Cervantit* nennt (Silliman Amer. Journ. 2. ser. 14. 61). In der Provinz Constantine sollen sogar Verbindungen wie $2 \text{ Sb O}^3 \cdot 3 \text{ Sb O}^5 + 15 \text{ H} \text{ u.}$ vorkommen. Sonst spielt die Antimonige- und Antimonensäure keine sonderliche Rolle; sie scheint noch in dem seltenen Romeit pag. 501 zu stecken.

1) Arsenikerze.

Sind in der Natur noch seltener als die Antimonerze, weil sie sich schon im bloßen Wasser wenn auch schwer lösen. Die künstlichen nehmen jedoch durch ihre Parallele mit den genannten die Aufmerksamkeit in Anspruch.

Arsenige Säure As (Weißarsenit), das unter dem Namen Rattengift wohlbekannte Ding. Man hat es auch Arsenikblüthe genannt, doch verstand Werner darunter besser den Pharmakolith pag. 481, denn die Ausblühungen der Arsenigen Säuren auf Erzgängen sind eine seltene Erscheinung, sie kommt höchstens als mehligter Beschlag oder in feinen Nadeln da vor, wo in alten Grubengebäuden gebiegen Arsenit, Arsenikkies oder Speiskobalt verwittert. Cronstedt (Mineral. § 238) nannte sie *Calx arsenici nativa pura*, Romé de l'Isle Crist. III. 40 erwähnt die *octaédres aluminiformes*, die auf den Gifthütten zu Andreasberg und in Sachsen zu bekannt sind. Diese kleinen künstlichen Oktaeder haben blättrige Brüche, und gehören dem regulären System an. Weiß, durchsichtig, mit starkem Glanz, Härte 2—3, Gew. 3.6. Geschmack herbe süßsalzig. In Kolben sublimirt sie sich stets in kleinen Oktaedern. Indes erwähnt Wöhler (Pogg. Ann. 26. 170) eines Sublimationsproductes aus einem Kobalt-Röstofen von Schwarzenfels in Kur-Hessen mit Riniengroßen Krystallen von ausgezeichnetem Perlmutterglanz wie beim Strahlzeolith. Das scheint mit Weißspießglanz zu stimmen. Demnach dürften Sb und As isodimorph sein, mit dem Unterschiede, daß sich beim Weißspießglanz gewöhnlicher das 2gliedrige, bei der Arsenigen Säure dagegen das reguläre System ausbildet. An sich eine schwache Säure, gegen Weinstein- und Traubensäure sogar Basis.

Wenn künstliche Arsenige Säure nicht Zeit zum Krystallisiren hat, so bildet sie ein Opalartiges Glas (amorphe, glasige), das nach einiger Zeit porzellanartig undurchsichtig und matt wird, sie steht um, d. h. sie geht aus dem unkrystallinischen Zustande in den krystallinischen über. Löst man solche unkrystallinische in verdünnter siedender Salzsäure, so setzen sich beim langsamen Erkalten Krystalle unter Lichtschein ab (H. Rose Pogg. Ann. 35. 401). Der Lichtschein findet nicht statt, wenn man zur Lösung krystallinische nimmt. Daher bleiben auch die Krystalle durchsichtig und glänzend. Merkwürdig sind die Arsenikesser in Steiermark (Journ. prakt. Chem. 1861. 82. 100), welche Stücke von Erbsengröße ($5\frac{1}{2}$ Gran) genießen, fett werden, allmählig aber doch wie Branntweintrinker herunterkommen.

Ocher.

Unter *ὄζρα* verstanden schon Griechen und Römer erdige Producte, besonders Brauneisenocher pag. 626. Nach Henkel Pyritologia 712 bedeutet es „nach unserer Materialisten Verstande niemals was anders, als eine gegrabene gelbe Erde.“ Wallerius definirt Ocher allgemein als *terrae metallicae*, in diesem Sinne wird es heute genommen. Es sind erdige Beschläge, Zersetzungsproducte oxydischer Erze, wovon wir die meisten an der betreffenden Stelle angeführt haben. Man schreibt auch Ocher.

Eisenerze geben gelbe und rothe Ocher; jenes das Hydrat, dieses das reine Oxyd.

Manganerze geben schwarze Ocher, weil der gewöhnliche höchste Oxydationszustand, Mangansuperoxyd Mn, schwarz ist. Wenn solche kobalt-haltig werden, heißen sie

Schwarzer Erbkobalt. Als Muster gilt der von Saalfeld. Derselbe kommt in derben Massen vor, hat die Consistenz des trocknen plastischen Thons, bläulich schwarz mit einem glänzenden Strich, der an dichten Graphit erinnert. Rammelsberg wies darin 40 Mn nebst 9,5 Sauerstoff, 19,4 Co, 4,3 Cu, 21 H nach, und hält ihn deshalb für $(\text{Co, Cu}) \text{Mn}^2 + 4 \text{H}$. Das Kupfermanganerz von Ramsdorf (Pogg. Ann. 54. 547) sieht auch bläulich schwarz aus, bildet öfter kleine traubige Ueberzüge, hält bis 14,6 Cu, und soll $\text{R Mn}^2 + 2 \text{H}$ sein. Der Schwarzwälder schwarze Erbkobalt auf Silbergängen mit Schwerspath ist ein Verwitterungsproduct des dortigen Speiskobaltes, und daher stark arsenikhaltig bei wenig Mangan. Werner unterschied auch einen braunen und gelben Erbkobalt, was nur unreine Gemenge sind, namentlich mit wasserhaltigem Arseniksaurem Eisenoxyd. Unter andern kamen sie auch auf Grube Wolfgang bei Alpirsbach zum Vorschein, sie gaben sogar ungeröstet vortreffliche Smalte. Den rothen Erbkobalt haben wir pag. 480 genannt.

Chromocher von Kreuzot bei Autun ist ein durch Er blaß apfelgrün gefärbtes Thongestein, was als Bindemittel von Quarz dient, es werden an 13 p. C. Chromoxyd darin gefunden. Der Wolchonskoit von Oschansk Gouv. Perm ist ein krautgrüner Thon, der an 34 p. C. Er enthalten kann. Zwischen den Fingern gerieben wird er wie Bol glänzend, und dient als Farbe. Werner verstand unter Chromocher fälschlich das verwitterte Nadelserz.

Bleiocher, der Oxydationszustand des Bleis, findet sich häufig auf Gängen, wo Bleiglanz in salinische Erze verwandelt worden ist. Am häufigsten der gelbe Bleiocher Pb., ein blaßgelbes Mehl, was die Drusen von Weißbleierz zu Freiberg, Hausbadon zc. bepudert. Wenn man es mit Gummi in der Hand annimmt, damit es auf der Kohle festliege, so bekommt man sogleich kleine Bleireguli und einen gelben Bleibeschlag. Die künstliche Bleiglätte krystallisirt in gelben und rothen rhombischen Tafeln des zweigliedrigen Systems (Pogg. Ann. 49. 400). Ulrich (Sitzungsber. Wien. Akad. 1858. XXVIII. 17) erwähnt auch pentagonale Polyeder. Soll sich in Mexicanischen

Vulkanen erzeugen. Seltener ist die Mennige $Pb^2 Pb$ von hoch morgenrother Farbe. Sie kommt auf alten Haldeu einer verlassenen Bleigrube zu Bleialf bei Trier vor, kann hier aber Kunstproduct sein. Schlangenberg, Insel Anglesea, Badenweiler in Baden u. werden angegeben. Gewöhnlich als Ocher. Bleisuperoxyd Pb (Plattnerit) kommt in kleinen sechsseitigen Tafeln des sechsgliedrigen Systems von 9,4 Gew. und Diamantglanz zu Leadhills in Schottland vor.

Wismuthocher Bi mit 89,8 Bi findet sich als gelbgrüner Beschlag auf gediegenem Wismuth, besonders schön zu Johann-Georgenstadt. Manchmal wird die Masse kohlenfauer, wie die grüngelben Nadeln im Thoneisenstein von Ullersreuth (Fürstenthum Neuf), die Afterkryalle von Schwefelwismuth sein sollen pag. 439. Hermann's Karelinit von der Grube Samodinsk am Altai ist ein derbes Drysulphuret $B B$.

Tellurocher Te soll in kleinen gelblichweißen Halbkugeln zu Facebay mit Tellur vorkommen.

Molybdänocher Mo als schwefelgelbes Pulver mit Schwefel-Molybdän, Linnäs in Småland u. Vanadinocher V soll auf gediegenem Kupfer am Obernsee liegen.

Wolframocher pag. 646, Uranocher pag. 652, Ziegelerz pag. 654 u. haben wir schon oben erwähnt. Hypochlorit (Grüneisenerde) bildet erdige zeisiggrüne Beschläge auf Quarz mit gediegenem Wismuth zu Schneeberg. Nach Schüller 50 Kieselersde, 14,6 Thonerde, 13 Wismuthoxyd, 10,5 Eisenoxydul, 9,6 Phosphorsäure. Verhärtert erinnern sie lebhaft an Chloropal pag. 214, wie zu Ullersreuth, Schindelloh in der Oberpfalz, Bodin bei Neusohl.

Fünfte Klasse.

Geschwefelte Metalle.

Diese letzte Klasse ist in Hinsicht auf Mannigfaltigkeit der Verbindungen den Silicaten an die Seite zu stellen. Sauerstoff fehlt ganz, an seine Stelle tritt vorzugsweise Schwefel, welchen man durch einen über die Symbole gestellten Strich bezeichnet pag. 155. Statt des Schwefels können nun zwar auch Selen, Arsenik, Antimon und Tellur auftreten, allein diese Selenete, Arseniete, Antimoniete und Tellurete sind ungleich seltener als die Sulphurete, daher durfte man wohl nach dem Schwefel vorzugsweise den Namen der Klasse bezeichnen. Zum Selen hat die Spectralanalyse noch Thallium gefügt.

Was die Sulphobasen ($\overset{\cdot}{\text{Fe}}$, $\overset{\cdot}{\text{Zn}}$, $\overset{\cdot}{\text{Pb}}$, $\overset{\cdot}{\text{Cu}}$, $\overset{\cdot}{\text{Ag}}$ etc.) und Sulphosäuren ($\overset{\cdot\cdot}{\text{Sb}}$, $\overset{\cdot\cdot}{\text{As}}$, $\overset{\cdot\cdot}{\text{Bi}}$ etc.) betrifft, so richten sie sich genau nach den entsprechenden Sauerstoffverbindungen, jedoch treten schon die einfachen (binären) viel leichter selbstständig auf, als das bei den einfachen Sauerstoffverbindungen der Fall ist. Man könnte darnach versucht sein, die Verbindungen in zwei Gruppen zu bringen.

1) Einfach binäre: $\overset{\cdot}{\text{Cu}}$, $\overset{\cdot}{\text{Pb}}$, $\overset{\cdot}{\text{Zn}}$, $\overset{\cdot}{\text{Fe}}$, $\overset{\cdot}{\text{Sb}}$, Pb Se , Ni As , Ni Sb etc.

2) Doppelt binäre: $\text{Co S}^2 + \text{Co As}^2$, $\overset{\cdot}{\text{Cu}} \overset{\cdot\cdot}{\text{Fe}}$, $\overset{\cdot}{\text{Ag}}^2 \overset{\cdot\cdot}{\text{Sb}}$, $\overset{\cdot\cdot}{\text{R}}^4 \overset{\cdot\cdot}{\text{R}}$. Allein beide sind einander so ähnlich, daß die Eintheilung naturhistorisch nicht gerechtfertigt scheint. Es dürfte daher auch hier, wie bei den oxydischen Erzen, angemessener sein, sie nach ihrem wichtigsten Metalle zu gruppiren.

Geschwefelte Metalle spielen besonders in den untern Theilen der Erzgänge eine Rolle, wo sie der wichtigste Gegenstand des Bergbaues sind. Die gewöhnlichen findet man auch eingesprengt im Flözgebirge, wo besonders der Bitumengehalt nicht bloß zu ihrer Bildung, sondern auch zu ihrer Erhaltung beigetragen hat. Münzen im Meere nehmen noch heute Schwefel auf, in Folge von Reduction der Schwefelsäure durch organische Materie; während in Gängen umgekehrt die Schwefelerze von oben herein sich setzen, der Gang bekommt einen „eisernen Hut“ von oxydischen und salinischen Erzen aller Art.

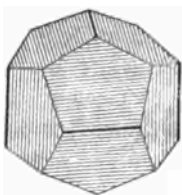
Eisenerze.

Das Eisen vorzüglich mit Schwefel, seltener mit Arsenik verbunden. Sie gehören zu den gemeinsten, aber auch zu den schönsten. Das Eisen darin kann kaum verwerthet werden, wohl aber der Schwefel und das Arsenik.

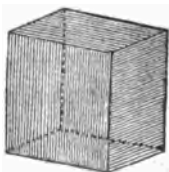
1. Schwefellies Fe.

Voraus man mit Vortheil Schwefel darstellen kann, daher ist Eisenerz nicht so gut. Wird mit unter Pyrites des Plinius 36. so begriffen, und weil er starke Funken mit dem Stahle gibt, auch Feuerstein genannt. Er verdrängte die Luntenschlöffer, bis Feuerstein (Flint) und endlich Zündkapseln an die Stelle traten. Schlechthin Kies, weil er unter den Kiesen der gemeinste ist. Das Wort Kises gebraucht schon Agricola 689. Fer sulfurs, Marcasites. Für Schwefelliespendel als Wünschelruthe haben sich noch in unserm Jahrhundert Philosophen (Baader, Schelling) begeistert.

Pyritoedrische Krystallisation pag. 73, wie Glanzkobalet.



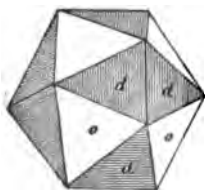
Pyritoeder $p = a : \frac{1}{2}a : \infty a$ mit $126^\circ 52'$ in den 6 Würfelkanten und $113^\circ 34' 41''$ in den 24 Würfelkanten am gewöhnlichsten. Auf Elba 6" Durchmesser. Flächen parallel den Würfelkanten gestreift.



Würfel $a : \infty a : \infty a$ ebenfalls parallel seinen Kanten gestreift, so daß auf je einen Krystallraum eine Streifenrichtung fällt. Die Streifen correspondiren mit denen am Pyritoeder. Beide Pyritoeder und Würfel treten nicht bloß aneinander auf, sondern finden sich auch selbstständig um und um krystallisiert, eingesprengt in Schieferthon und Mergel.

Oktaeder $o = a : a : a$ (Gr. Allmerode) mit untergeordnetem Pyritoeder findet es sich in den Alpen; stumpft gar häufig die Ecken der Würfel ab (Cubooktaeder im Ries gewöhnlich), und wenn es am Pyritoeder mit den Pyritoederflächen ins Gleichgewicht tritt, so entsteht das sogenannte

Icosaeder mit $12 + 8$ Flächen: die 8 dem Oktaeder angehörig

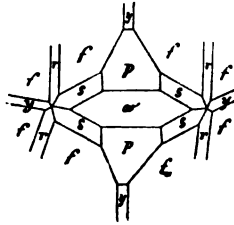
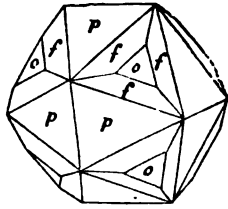


bilden leicht erkennbare gleichseitige Dreiecke, die 12 Pyritoederflächen dagegen gleichschenklige, die parallel ihrer Basis gestreift zu sein pflegen. Das Granatoeder $a : a : \infty a$ stumpft die $2 + 1$ kantigen Ecken am Pyritoeder ab, und kommt im Banat, Piemont, Pfälzthal, in der Wäldertöhle von Böhlfors bei Minden u. auch selbstständig vor. Im Banat bilden

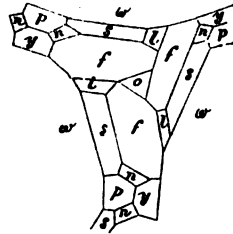
sogar Würfel und Granatoeder 18 Rechtecke, woran auch das Leucitoeder $a : a : \frac{1}{2}a$ nicht fehlt. Letzteres gibt bereits Haug selbstständig aus einem Talkschiefer von Corsica an. In den Piemontesischen Alpen kommen Leu-

citoidflächen vor, die sich kaum über den Oktaederflächen erheben, aber durch eine ganz bestimmte Streifung angedeutet werden. Wenn das Oktaeder herrscht, so findet man auch zuweilen Andeutungen von Zuschärfungen der Kanten, die einem Pyramidenoktaeder $a : a : 2a$ angehören.

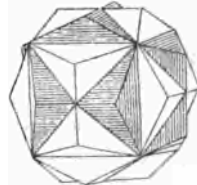
Das gebrochene Pyritoeder $f = a : \frac{1}{2}a : \frac{1}{4}a$ spielt besonders an den schönen Krystallen von Elba eine Hauptrolle, es stumpft die Kante p/o zwischen Pyritoeder und Oktaeder ab, und da letzteres ein gleichseitiges Dreieck bildet, so findet man sich leicht zurecht. Zuweilen ist es sogar selbstständig (Traversella). Die von Traversella in Piemont zeigen ein gebrochenes Pyritoeder aus der Diagonalzone vom gewöhnlichen Pyritoeder p , und da es zugleich die Kante zwischen Oktaeder und Würfel abstumpft, so ist sein Ausdruck $s = a : \frac{1}{2}a : \frac{1}{4}a$. Unter p liegt noch ein Pyritoeder $y = a : \frac{2}{3}a : \infty a$ die Mediananten und ein gebrochenes Pyritoeder $r = \frac{1}{2}a : \frac{1}{4}a : \frac{1}{4}a$ die Würfelkanten abstumpfend. Letzteres fällt zugleich noch in die Diagonalzone des Oktaeders. Sämmtliche Flächenausdrücke folgen aus den Zonen.



Es werden unter den Pyritoedern noch andere unwahrscheinlichere Ausdrücke aufgeführt $\frac{1}{2}a : \frac{1}{4}a : \infty a$; $\frac{1}{2}a : \frac{1}{4}a : \infty a$ 2c. Der flächenreichste Körper ist jedoch die Var. parallélique von Petorca in Peru (Gauy Traité Minér. IV. 57): es herrscht daran Würfel w vor. Das kleine gleichseitige Dreieck o gehört dem Oktaeder, und die Kante zwischen Oktaeder und Würfel stumpft das vollflächige Leucitoeder $l = 2a : 2a : a$ ab. Alle andern Flächen sind hemiedrisch: $p = a : 2a : \infty a$ stumpft die gebrochene Oktaederkante des Leucitoeders ab. In seiner Diagonalzone liegen die gebrochenen Pyritoeder $s = a : \frac{1}{2}a : \frac{1}{4}a = a : 2a : 4a$ und $f = a : 2a : \frac{3}{2}a = \frac{1}{2}a : a : \frac{1}{4}a$, folglich $pslfs$ w der Reihe nach in einer Zone; $y = a : \frac{3}{2}a : \infty a$ stumpft die Mediankante sls ab. Endlich noch die kleine Fläche $n = a : \frac{1}{2}a : \frac{1}{4}a$, sie liegt in der Zone p/s aber nicht in der Zone s/y , sonst würde sie $\frac{1}{2}a : \frac{1}{4}a$ haben. Es ist dieses der aus der Deduction so wohl bekannte Körper (Methode der Krystallographie pag. 66).



Zwillinge des Eisernen Kreuzes (Weiß, Magazin Berl. Gesellsch. Naturforschender Freunde VIII. 24) aus dem Keupermergel von Blotho bei Preußisch Minden. Zwei Pyritöeder $p = a : \frac{1}{2}a : \infty a$ durchwachsen einander vollständig, so daß die Würfelkanten sich rechtwinklig kreuzen, welche Kreuzung mit dem Preussischen Orden des eisernen Kreuzes Aehnlichkeit hat. Der gemeinsame Kern beider ist dann



wieder der ursprüngliche Pyramidenwürfel. Das ganze kann man als einen Pyramiden-Pyramidenwürfel betrachten, indem bei der Vollkommenheit der Durchwachsung auf jeder Pyramidenwürfelsfläche nochmals eine 2 + 1flächige Pyramide entsteht. Auch die Elbaer complicirtern Krystalle durchkreuzen sich auf gleiche Weise, namentlich schön bei Traversella (Sella, Mem. Acad. Turin. 1856. XVII. tab. 8), Dana (Mineralogie pag. 424) bildet sie von Scoharz in New-York ab.

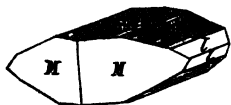
Blätterbruch nach Würfel und Octaeder ist sehr versteckt. Farbe speisgelb (zwischen metallischem Gelb und Grau), mit ausgezeichnetem Metallglanz, aber häufig durch eingetretene Zersetzung angelauten. Spat. Bräunlichschwarzer Strich. Nicht magnetisch. Härte 6, aber dennoch starke Funken gebend, welche von dem verbrennenden Schwefel herrühren. Konnte daher bei Erfindung der Schießgewehre als Büchsenstein benutzt werden. Gew. 5.

Auf Kohle im Oxydationsfeuer brennt er mit blauer Flamme, unter Entwicklung und Geruch von schwefliger Säure (S). Im Reductionsfeuer schmilzt er leicht zu einer magnetischen Kugel, es entweicht schweflige Säure und Schwefeldampf, da er die Hälfte seines Schwefels abgibt und zu Magnetkies wird, der bei fortgesetztem Rösten endlich in Eisenoxyd übergeht. Im Kolben gibt er Schwefel ab, und große Haufen einmal angezündet brennen fort. Man kann ihn daher zur Gewinnung von Schwefel benutzen. Salzsäure greift ihn nicht an, wohl aber Salpetersäure unter Ausscheidung von Schwefel. Doppelt Schwefeleisen mit 45,7 Fe und 54,3 S. Eine Analyse von Berzelius gab 53,9 Schwefel. Spuren von Selen, Arsenik, Kupfer. Auch Silber und Gold veredeln ihn. Schon Plinius 37. 54 spricht von einem Mineral Amphitane auro similis quadrata figura, das in Indien mit Gold vorkomme, und wohl unser Mineral sein könnte. Die Schwefelkiese von Beresowst, Marmato pag. 558 enthalten gediegen Gold eingeprengt.

Zur Pyritoebrischen Formation gehören in der Natur außer dem Schwefelkies der Haucrit $Mn S^2$, Glanzkobalet $Co S^2 + Co As^2$, Nickelglanz $Ni S^2 + Ni As^2$, Nickelantimonglanz $Ni S^2 + Ni Sb^2$. Auch beim künstlichen Salpetersauren Blei pag. 519 kann man das Pyritoe der schön beobachten.

Binarties Fe Weiß.

2gliedriger Schwefelkies. Werner's Spär- und Rammkies, Hausmann's Wasserkies. Lange mit Schwefelkies verwechselt, bis Haub die Form Namens fer sulfuré blanc richtig erkannte. Haidinger will ihn unter dem arabischen Worte Marcasit (Hentel Pyritol. 87) begreifen, weil er leichter verwittert als Schwefelkies.



$M = a : b : \infty c \ 106^\circ 2'$ (Phillips). Auf die scharfe Säulenante das Paar $r = b : \frac{1}{2}c : \infty a$ gerade aufgesetzt, welches parallel der kurzen Säulenaxe a so stark gestreift ist, daß es sich gewölbt in der Geradenfläche $P = c : \infty a : \infty b$ allmählig verliert. Darunter liegt jedoch eine schärfer meßbare Fläche $l = b : c : \infty a$

in Axe b 100° bildend. Daraus folgt

$$a : b = 0,6323 : 0,839 = \sqrt{0,3998} : \sqrt{0,7041}.$$

$$lga = 9,80093, lgb = 9,92381.$$

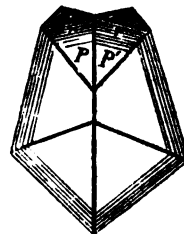
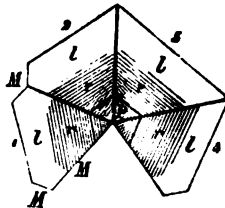
Undeutlicher und seltener ist das auf die stumpfe Säulentante aufgesetzte Paar $g = a : c : oob$ $115^\circ 30'$ in Axe a. Auch die kleine Oктаederfläche $o = a : b : c$ in der Diagonalzone von g und l sieht man öfter bei denen aus dem Böhmischem Braunkohlengebirge. Da sich im Oblongoktaeder g/l unter $110^\circ 5'$ schneiden (nach Haug unter $110^\circ 48'$), so könnte dieses mit dem regulären Oктаeder vermöge seiner Endkanten verwechselt werden, allein die Seitenkanten lassen keinen Zweifel über. Haug sah die regulären Oктаeder aus dem Braunkohlenthon von Groß Almerode in Hessen, weil sie so stark verwittern, fälschlich für Binar kies an. Da diese bestimmt Schwefelkies sind, so wird der Binar kies meist in

Zwillingen angetroffen: Krystalle haben Säule M gemein und liegen umgekehrt. Nach der Art der Ausdehnung entsteht aber ein verschiedenes Aussehen. An Werner's

Kammkies, der besonders auf Bleierzgängen zu Clausthal und Zellerfeld auf dem Oberharz, Przibram, Freiberg, Derbyshire zc. bricht, herrschen die verschmälerten Säulenflächen M, und stehen eckig mit ihrem scharfen Winkel hinaus. Da sich nun häufig die Flächen runden und zackig wiederholen, so entstehen nicht selten auffallend Hahnenkammähnliche Tafeln, welche sich in senkrechten Platten erheben. Die Zwillingssgränze der parallel nebeneinander gelagerten Individuen wird besonders durch die Streifung auf P und r parallel der Axe a markirt, doch kann sie auch ganz verwischt sein. Der



Spärkies geht auf Erzgängen aus dem Kammkies hervor, indem die Säulenflächen durch Ausdehnung der Paare l und r gänzlich verdrängt werden. Es entsteht dann durch $l^1 r^1 l^2 r^2$ die Spärspitze, welche durch das Auftreten von M zweispitzig wird. Am schönsten kommen dieselben im Böhmischem Braunkohlengebirge (Rittmiz und Altsattel) zusammen mit Schwefelkiespyritoedern vor; hier legen sich meist Vierlinge im Kreise aneinander, so daß drei Spärspitzen entstehen. Solche Vierlinge wiederholen sich in langen Reihen parallel hintereinander. Da $4 \cdot 74^\circ = 296^\circ$ machen, so blieben für ein etwaiges 5tes Individuum nur noch 64° Platz, was sich daher nicht vollständig ausbilden kann. Sonderbarer Weise kreuzen sich solche Böhmishe Vierlingstafeln abermals zu je zwei, und zwar sollen sie nach Mohs eine Fläche $g = a : c : oob$ gemein haben und umgekehrt liegen. Da sämtliche Geradenflächen der Vierlinge einspiegeln, so schneiden sie sich unter $115^\circ 30'$, dem Säulenwinkel des Paares g/g. Von den Vierlingsindividuen kann



natürlich nur jederseits eines sich in dieser Zwillingstellung befinden: und zwar diejenigen, deren Kanten M sich ebenfalls unter $115^{\circ} 30'$ schneiden und folglich in eine Ebene fallen, die senkrecht gegen die Zwillingsebene steht (in unserer Figur die oberen P und P'). Gerade das Fallen der Kanten in eine solche Ebene liefert den wichtigsten Beweis für die Richtigkeit des Gesetzes. Das Zusammenvorkommen mit Schwefelkies ist merkwürdig, wie zu Tavistock unter Chibrenit; in der Kreide von Wollin bildet es sogar Gegenstand des Bergbau's.

Säulenköpfe entstehen auch durch Mißbildung der Säulen M/M mit der Geradenfläche P , indem sämmtliche Flächen sich krümmen, die Säulen mit ihren stumpfen Kanten parallel an einander wachsen und die scharfen Winkel zackig herausstellen. Die Streifung auf P parallel der Aze a bildet dann nicht selten bogenförmige Linien.

Farbe zwar auch speisgelb, aber etwas grauer, daher *for sulfuré blanc* oder *White iron pyrites*, wie man an den Böhmischen leicht erkennt, wo der gelbere Schwefelkies unmittelbar darauf liegt. Härte 7, Gew. 4,7—4,88. Folglich ein wenig leichter als Schwefelkies.

Die Analyse von Berzelius gab 53,3 Schwefel, 45 Eisen, 0,7 Mangan, also Bisulfuret wie beim Schwefelkies, nur meint man, daß ihm etwas Eisensulfuret $Fe S$ beigemischt sein könnte, wodurch sich die leichtere Verwitterbarkeit erklären ließe. Allein diese vermeintliche leichtere Verwitterbarkeit ist noch gar nicht sicher erwiesen. Schwefelkies verwittert unter Umständen mindestens eben so leicht. Die Verwitterung beider ohne Unterschied scheint hauptsächlich dann Statt zu haben, wenn dieselben mit Bitumen gemengt sind, oder wenn ihr feinertheilter Zustand im Gebirge der Verwitterung mehr Angriffspunkte gibt. So z. B. verwittern die Oktaeder im tertiären Thon von Groß Almerode oder in der Lettenkohle des weißen Keuper meist an ihrer strahligen unreinen Anwachsstelle, die compacten Oktaeder selbst liegen lange unangegriffen und auf das schönste glänzend zwischen der mit Eisenvitriol überschwängerten Masse. Ja wenn man die Oktaeder sorgfältig ausliest und reinigt, so verwittern sie nicht weiter, und lassen sich wie andere Schwefelkiese aufbewahren. Bei Pöllnitz kommt ein sehr rein aussehender Schwefelkies in Milchquarz eingesprengt vor, welcher eine solche auffallende Neigung zur Verwitterung zeigt, daß man fast das Mitvorkommen des Quarzes als Grund nehmen möchte. Bei der Verwitterung bildet sich Eisenvitriol, auf welchem ein gelbes Mehl von basisch schwefelsaurem Eisenoxyd liegt, das an erdigen Mischg pag. 530 erinnert. Man darf dieß gelbe Mehl nicht mit Schwefel verwechseln. Aus dem Eisenvitriol erzeugt sich Brauneisenstein pag. 621; indem Eisenoxydul durch Oxydation in die schwächere Basis Fe übergeht, wird die Schwefelsäure leicht von stärkern Basen (namentlich Ca) angezogen, und $Fe H$ muß zurückbleiben. Daher findet man den Verwitterungsprozeß so gern von kleinen Gypsresten begleitet. Die verflüchteten Petrefakten im Flözgebirge geben dafür den besten Beweis: frisch gegraben sind sie gelb, nach wenigen Tagen an der Luft fangen sie schon an zu rosten. Nach Berzelius soll sich beim Verwittern

auch Schwefel ausscheiden können, und G. Rose (Reise Ural I. 214) nimmt bei den bekannten Afterskrystallen im Quarz der Goldgruben von Beresowsk an, daß 2 Atome Schwefelkies durch 3 Atome Wasser ($\text{Fe}^2 \text{S}^4 + 3 \text{H}^2 \text{O}^2$) in 1 Atom Eisenoxyd Fe , 3 Schwefelwasserstoff $3 \text{H} \text{S}$ und 1 Schwefel zerlegt wären. Der Schwefel sitzt noch in dem zelligen Quarze, und das Eisenoxyd habe sich mit Wasser zu Hydrat verbunden. Wenn dieser Prozeß überhaupt vorkommt, so ist er wenigstens ungewöhnlich.

Benutzung des Schwefel- und Binar kieses beruht hauptsächlich auf ihrer leichten Verwitterbarkeit. Denn häufig in thonigen Gesteinen feinvertheilt liegend erzeugen sie Vitriolschiefer, aus welchem man Eisenvitriol, und Alaunschiefer, aus welchem man Alaun gewinnen kann. Das Uebergangsgebirge (Andraram in Norwegen), die Lettenkohle (Gaildorf in Württemberg), der untere Jura (Whitby), besonders aber das Braunkohlengebirge (Buxweiler, Freienwalde) liefern Beweise. Im Steinkohlengebirge wird bei dem Zersetzungsprozeß so viel Wärme erzeugt, daß das Kohlenklein in Brand geräth und dem Bergbau Gefahr bringt. Zur Darstellung des Schwefels und der Schwefelsäure dient bis jetzt nur wenig, dennoch kann der Schwefelkies aus dem Dep. Gard sogar in Marseille mit Sicilianischem Schwefel concurriren. Leider ist aber die daraus gefertigte Säure arsenikhaltig. Auf Wollin kostet der Centner 20 Silbergroschen. Er gibt beim Destilliren die Hälfte seines Schwefels, also gegen 27 p. C. ab. Der Rückstand kann durch Liegenlassen an der Luft zur Darstellung von Eisenvitriol oder rauchender Schwefelsäure benutzt werden. Im letztern Falle bleibt ein rothes Eisenoxyd, das als Colcothar in den Handel kommt, und als Polirmittel für die Spiegelschleifereien gesucht ist. Auf Elba finden sich Afterskrystalle in solches Eisenoxyd verwandelt.

Bildung und Verbreitung. Doppelschwefeleisen gehört zu den verbreitetsten Schwefelmetallen, denn es findet sich nicht bloß auf Erzgängen im Hoch- und Niedergebirge, sondern auch lagerartig und eingesprengt in den verschiedenen Ur- und Flözgebirgen, im letztern besonders, wenn sie einen Bitumengehalt zeigen. Bischof (Lehrb. Geolog. I. 217) hat daher auseinandergesetzt, daß bei Gegenwart von faulenden organischen Substanzen dem Eisenvitriol der Sauerstoff entzogen und Schwefelkies gebildet werden könne. Faulungs- und Verwesungsprozesse wirken so desoxydirend, daß nach Bakewell die Reste von einigen Mäusen, die zufällig in eine Lösung von Eisenvitriol gefallen waren, zum Theil mit kleinen Schwefelkieskrystallen bedeckt wurden. Die blaue Farbe des Mergels an Meeresküsten soll daher von Schwefelkies herrühren. In Sandalluvionen geht das nicht, da hier das Eisen leicht oxydirt. Wo in Schieferthonen und Mergeln hohle Räume besonders gekammerte Cephalopodenschalen sind, da hat sich der Schwefelkies innerhalb der Schalenwände in dicken Krusten abgesetzt, die Schale selbst wird dagegen nur in Ausnahmefällen angegriffen. Auch zieht sich der krystallinische Kies in mehr als fauldicke Knollen zusammen, so daß der Einfluß des Bitumens nicht in unmittelbarer Nähe des Kiesel stattgehabt haben kann. Bonsdorf (Pogg. Ann. 40. 122) geht zu weit, wenn er an der Bildung der bekannten

Helgoländer Schwefelkiespetrefakten, die so leicht verwittern, daß sie nur unter Wasser aufbewahrt werden können, noch heute das Meer theilnehmen lassen will. Künstlich hat Wöhler (Pogg. Ann. 37. 288) den Schwefelkies in kleinen glänzenden Oktaedern und Würfeln dargestellt, indem er Eisenoryd, Schwefel und Salmiak recht langsam miteinander glühte. Hauptabänderungen sind etwa

Krystallisirter. Besonders schön auf Elba mit verwittertem Eisenglanz, auf Gängen im Brossothal in Piemont. Würfel ringsum ausgebildet finden sich besonders in den schwarzen Alpenischen Thonschiefern. In der Letten- und Braunkohle bildet sich häufig das einfache Oktaeder in Drusen aus, im Lias namentlich in dessen Amaltheenthonen herrscht das Cubooktaeder. Eingesprenkt in derben Kupferkies.

Strahlkies heißen vorzugsweise strahlige und faserige, die nicht selten auf der Oberfläche sich glaslopfartig runden, und einen förmlichen gelben Glaslopf bilden (Memmendorf bei Neberan). Ausgezeichnet im untern Lias der Gegend von Aalen und Ellwangen, im Braunkohlengebirge 2c. Solche strahlige Massen verwittern leicht, und man sah sie fälschlich für Binar kies an. Ihre Farbe wird zwar grauer, aber man findet nie zweigliedrige wohl aber reguläre Formen häufig dabei.

Körnig bis dicht. Derselbe geht ganz ins Weißgrau, und hat besonders Neigung zur Kugel- und Knollenbildung. Man findet unzählige im schwarzen und braunen Jura. Im Braunkohlengebirge von Schraplau am Salzsee zwischen Halle und Eisleben kommt man zuweilen auf ganze Lager von der schönsten Citronen- und Pommeranzenform, so daß man sich in der That hüten muß, dieselben für Früchte zu halten. Vertiefte Früchte von Sheppy im Londonthon können ebenfalls nur unter Wasser aufbewahrt werden.

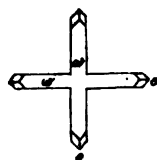
Dendritisch bildet er sich zuweilen auf bituminösen Schiefern aus. Leberkies und Zellkies nannte Werner die unreinen besonders auf Silber- und Bleierzgängen der Umgegend von Freiberg, wo sie mit verhüttet werden. Denn da Schwefelkies ein häufiges Gangmittel ist, so mischt er sich in verschiedenen Verhältnissen mit andern geschwefelten Metallen, z. B. am Rammelsberge bei Goslar, zu Falun in Schweden. Kupfer- und Schwefelkies kann man oft gar nicht von einander äußerlich unterscheiden. Breithaupt's

Pyrosit (Pogg. Ann. 58. 282) derb von der Grube Briccius bei Annaberg hat neben 45,6 Fe, 53 S, noch 1,4 Cu und 0,9 As, und doch ist seine Farbe schon übermäßig grau geworden, trotz des starken Glanzes. Der 2gliedrige

Rauflinkies auf Kupferkies vom Kurprinz bei Freiberg hat sogar schon 4,4 Arsenik, ist bereits zinnweiß, also ein Gemisch von Binar- und Arsenikkies mit etwas Kupfer und Blei. Thomsons

Crucit aus einem rothen Thonschiefer von Clomnell in Irland soll nach Dufrénoy (Traité Minéralog. II. 487) zu Eisenoryd verwitterter Schwefelkies sein: Zwillinge kreuzen sich unter 60°, was der Name andeutet. Es erinnert die Sache an die merkwürdigen **Schwefelkieskryskalle** auf Spatheisenstein von **Lobenstein**; Würfel a erscheint daran in langer quadratischer

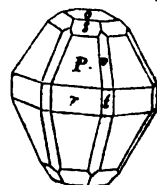
Säule, schwach an den vier Kanten durch das Grana-
toeder abgestumpft, darauf ist das Octaeder o aufgesetzt.
Ofter kreuzen sich zwei solcher Krystalle rechtwinklig, da
aber daran die quadratischen Säulen einspiegeln, so kann
es nur ein Fortwachsen und kein Zwilling sein. Neben
den rechtwinkligen kommen auch Winkel von ungefähr
 60° vor, und öfter hat es wirklich den Anschein, als
könnten es Zwillinge sein, und diese würden dann dem Crucit entsprechen.
Verzerrungen anderer Art haben Köhler und G. Rose bekannt gemacht
(Pogg. Ann. 14. 81).



2. Magnetkies $\text{Fe}^6 \text{Fe}$.

Magnetischer Kies, fer sulfuré magnétique, Magnetic iron pyrites, Pyrrhotin.

Sechsgliedrig, aber Krystalle selten. Es herrscht meist blos die
blättrige Geradendfläche $o = c : ooa : ooa : ooa$ mit großer Neigung zur
schaligen Absonderung. Dünne sechseckige Tafeln $r = a : a : ooa : ooc$,
woran das Dihexaeder $P = a : a : ooa : c$ die Endkanten
fein abstumpft, kommen zu Andreasberg und Rongsberg
vor. Die schönsten jedoch fand G. Rose (Pogg. Ann. 4. 101)
im Meteorstein von Juvenas pag. 590 mit $126^\circ 49'$ in
den Endkanten und $127^\circ 6'$ in den Seitenkanten P/P , das gibt



$$a = \sqrt{0,3303}.$$

Würde $a = \sqrt{0,333}$. . sein, so wären am Dihexaeder sämtliche Kanten,
also Seiten- und Endkanten, unter einander gleich und $126^\circ 52'$; $v =$
 $c : 2a : a : 2a$, $s = c : 2a : 2a : ooa$, $t = 2a : a : 2a : ooc$.

Farbe zwischen Tombakbraun und Speisgelb, aber meist dunkel ange-
laufen, wodurch der starke Metallglanz getrübt wird. Härte 4, Gew. 4,6.
Magnetisch, wenn auch nicht sonderlich stark, manche gar nicht, wie der
meteorische. Auch das künstliche einfache Schwefeleisen, was man durch
Glühen des Eisens mit Schwefel sich so leicht verschafft, ist nicht magnetisch,
sofern kein freies Eisen mehr darin ist.

Vor dem Röhrohr kugelt er sich nicht sonderlich schwer und löst sich
dann leicht in Salzsäure, ungeschmolzen schwerer unter Entwicklung von
Schwefelwasserstoff und Ausscheidung von Schwefel. Da nun $\text{Cl H} + \text{F S}$
sich in $\text{Fe Cl} + \text{H S}$ zerlegt, so muß außer einfachem Schwefeleisen noch
ein kleiner Ueberschuß von Schwefel da sein. G. Rose (Pogg. Ann. 74. 201)

will sämtlichen Vorkommen die Formel $\text{Fe}^5 \text{Fe} = \text{Fe}^6 \text{Fe}$ zugetheilt
wissen, was 59,6 Fe und 40,4 S geben würde. Zwar weicht davon Stro-
meyer's Analyse von Barèges mit 43,6 Schwefel, was auf $\text{Fe}^6 \text{Fe}$ führen
würde, nicht unbedeutend ab, allein da demselben in Salzsäure unlöslicher
Schwefelkies beigemischt ist, so mag allerdings der höhere Schwefelgehalt
darin seinen Grund haben. J. Rose fand sogar in denen von Bodenmais
nur 39 Schwefel, woraus Graf Schafgotisch (Pogg. Ann. 50. 200) die Formel

Fe^{e} Fe ableitete, aber hier mag eine theilweise Zersetzung zu Oxyd auf den schalig abgesonderten Blättern der Grund sein. Nur das Schwefeleisen im Meteorereisen scheidet in Salzsäure keinen Schwefel ab; die Krystalle aus den Meteorsteinen scheiden dagegen Schwefel ab.

Breithaupt sucht aus krystallographischen Gründen zu beweisen, daß es einfaches Schwefeleisen Fe S sein könnte, weil folgende in ihrer dihexaedrischen Form dem Magnetkies-Dihexaeder mit $126^\circ 49'$ in den Endanten sehr nahe ständen:

Osmiridium Jr Os $127^\circ 36'$; Kupfernickel Ni As $127^\circ 32'$;

Greenokit Cd S $127^\circ 26'$; Haarkies Ni S $127^\circ 10'$;

Antimonnickel Ni Sb $126^\circ 56'$.

Indeß die Sache beweist vielleicht zu viel, da auch Eisenglanz mit 128° nebst Korund $128^\circ 3'$, und Antimon pag. 596 mit seinen Verwandten genannt werden müßte.

Auch Magnetkies verwittert, wie die Eisenvitriolkrytalle von der Grube Giesshübel pag. 529 beweisen. Findet sich viel sparsamer als Schwefelkies. Er brach früher besonders schön blättrig auf der Grube Giesshübel am Silberberge bei Bodenmais. Der dichte, gemischt mit Schwefelkies, wird noch heute dort auf Eisenvitriol verwerthet (Wineberger Gegn. Besch. Bay. Badab. pag. 98). Bildet Lager im Gneis-Granit. Jalun, Varèges, Treseburg, Breitenbrunn u. Nach Hausmann kommt er im Andreasberger Erzgebirge so häufig eingesprengt vor, daß beim marktscheiderischen Gebrauche des Compasses Vorsicht nöthig werde. Der Magnetkies von Klefoa in Småland wird auf Nickel verwerthet (Erdmann's Journ. prakt. Chem. 53. 112). Bei Snarum enthält er bis 4 p. C., zu Gap Mine in Pennsylvanien 4,5 Ni. Scheerer (Pogg. Ann. 58. 111) erwähnt sogar einen Eisennickelkies $2 \text{Fe S} + \text{Ni S}$ von Lillehammer im südlichen Norwegen, bronzefarbig wie Magnetkies, hat aber einen 4fach blättrigen Bruch nach dem regulären Oktaeder. Nicht magnetisch. Gew. 4,6. Enthält 22,3 Ni. Am Besten soll auch ein Essigkies (Fe² S³) krustenartige Ueberzüge bilden.

3. Arsenikfies, $\text{Fe} + \text{Fe}^{\text{aa}}$.

Mispickel der Freiburger Bergleute, auch Giftkies, weil er seit alter Zeit hauptsächlich zur Darstellung des weißen Arsens dient. Pyrite blanche arsenicale Romé de l'Isle Cristall. III. 27, fer arsenical, Arsenical iron.

2gliedrig dem Binarkies verwandt. Säule $M = a : b : \infty c$ $111^\circ 53'$, versteckt blättrig, an ihrem Ende herrscht gewöhnlich $r = c : 4b : \infty a$ $146^\circ 52'$, welche außerordentlich stark parallel der Axe gestreift ist, daraus folgt

$$a : b = 0,568 : 0,84 = \sqrt{0,3227} : \sqrt{0,7064};$$

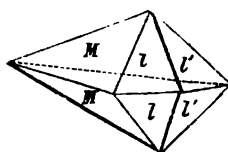
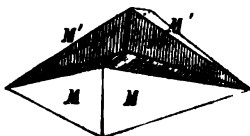
$$la = 9,76442, lb = 9,92448.$$



Solche zierlichen Oblongottaeder $MMrr$ (Weißerz) kommen gar häufig um und um krystallisirt im erdigen Tuff von Bräunsdorf bei Freiberg vor, freilich mit großer Neigung zur Zwillingbildung. Selten stumpft das Paar $l = b : c : \infty a$ $99^\circ 54'$ in b bildend die scharfe Ecke MrM ab. In den Oblongottaedern vom Silberberg

bei Falun, Tunaberg u. pflegt sich das Paar l stärker auszudehnen, als M, doch ist ihre scharfe Säulenante häufig durch r zugeschärft, wornach man sich leicht orientirt. Selten ist das für ihre Zwillingbildung so wichtige vordere Paar $g = a : c : \infty b$ mit $120^\circ 48'$ in Axe a, und $59^\circ 12'$ in Axe c. Auch gibt auch das zugehörige Oktaeder $o = a : b : c$ an.

Zwillinge, wie beim Binarkies, aber das dort ungewöhnlichere ist hier das gewöhnliche: die Zwillingeindividuen haben $g = a : c : \infty b$ gemein, und liegen umgekehrt. Meist durchwachsen sich die Individuen mehr oder weniger vollkommen. Die Axen b fallen also zusammen, die Axen a bilden dagegen einspringende Winkel von $120^\circ 48'$. Wenn wie bei schwedischen bloß das Oblongoktaeder M herrscht, und dasselbe parallel der Fläche g halbiert wird, so machen beim Aneinanderwachsen die Zwillingshälften mit den Flächen l den dritten Theil eines Dihexaederartigen Körpers, weil sich Kante l/l mit l'/l' unter $120^\circ 48'$ schneidet. Da nun nicht selten sich auch noch ein drittes Individuum l'' anlagert, und die Drillinge durchwachsen, so können scheinbar förmliche Dihexaeder entstehen. Ein 2tes Zwillingsgesetz $M = a : b : \infty c$ gemein und umgekehrt ist nicht sehr häufig. Es entstehen dadurch Binarkiesartige Formen.

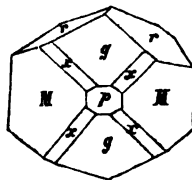


Silberweiß, aber meist grau und gelb angelauten. Metallglanz, Härte 5—6, spröde, Gew. 6,1.

Vor dem Löthrohr schmilzt er unter Arsenitgeruch zu einer magnetischen Kugel. Im Glasbolben gibt das Pulver anfangs rothßes Sublimat von Schwefelarsen, dem bald ein schwarzes krystallinisches von Arsenit folgt. Salpetersäure greift ihn stark an, unter Ausscheiden von Schwefel und arseniger Säure. Mit feinem Pulver gefüllte Beutel ins Wasser gelegt lassen bald Reactionen auf Arsenit, Eisen und Schwefel wahrnehmen, zum deutlichen Beweise, daß er vom Wasser angegriffen werde.

$Fe S^2 + Fe As^2$ mit 46,6 Ar, 19,9 S, 33,5 Fe, also von der Formation des Schwefellieses. Da Arsenit gern auf Kobaltgängen vorkommt, so geben die gerösteten Proben häufig blaue Gläser. Am interessantesten darunter ist Scheerer's

Kobaltarseniklies (Pogg. Ann. 42. 544), der mit Glanzkobalt auf den Gruben von Skutterud in Norwegen bricht. Die Farbe gleicht vollkommen dem Arsenikliese, das Gew. 6,2 kaum bedeutender. An den Krystallen herrscht die Säule $M/M 111^\circ 40' - 112^\circ 2'$, r/r ist gestreift, und g/g $58^\circ 30'$ scheint es etwas kleiner, als beim Kobaltfreien zu sein. Auch eine Fläche $p = a : \infty b : \infty c$ und $x = b : \frac{1}{4}a : \frac{1}{4}c$ kommt vor. Die Analyse gab 9 p. C. Kobalt, welches das Eisen ersetzt, also $(Fe, Co) S^2 + (Fe, Co) As^2$. Breithaupt's



Glaukodot im Chloritschiefer mit Glanzkobalt von Huastco in Chili hat eine blättrige Geradenfläche, dunkel zinnweiße Farbe, und nach Plattner sogar 24,8 p. C. Kobalt neben 11,9 Fe, also $(\text{Fe S}^2 + \text{Fe As}^2) + 2 (\text{Co S}^2 + \text{Co As}^2) = 1 \text{ Arsenikalkies} + 2 \text{ Glanzkobalt}$. Ähnlich der Danaït von Franconia (New-Hampshire). Auch zu Oranika und im Siegenschen haben sich solche Mittelverbindungen zwischen Arsenikalkies und Glanzkobalt gefunden, wornach es den Anschein gewinnen könnte, als sei die Masse des Glanzkobaltes dimorph.

Arsenikalkies bricht besonders auf Zinnsteingängen. In den Freiburger Silbergängen bringt er z. B. auf Grube Morgenstern 20' in das Nebengestein des tauglich werdenden Gneises. Muzing pag. 193 mit seinen brechenden Quarzzwillingen zeichnet sich aus. In die „edle Quarzformation“ von Bräunsdorf enthält in den glänzenden Krystallen (Weißerz) 6 Loth bis 1 Pfund Silber im Centner, wird daher mit Recht als edler Arsenikalkies ausgezeichnet. Häufig zeigen die größere Krystalle besondere Neigung zum Krümmen in der Geradenfläche, dabei wird Säule M/M langstrahlig, und leidet sehr durch Verwitterung. Zuletzt erscheinen förmliche Fasern mit Glaslopfstructur (Andreasberg). Der Plinian von Ehrenfriedersdorf ist so stark verzogen, daß Breithaupt die Krystalle für 2 + 1gliedrig hält. Derbe Massen sind häufig dergestalt mit Speiskobalt gemengt, daß man zwischen beiden nicht sicher unterscheiden kann.

Arsenikalkies Fe^{As} (Arsenik Eisen, Bölingit). Mohs unterschied ihn zuerst als oxotomen Arsenikalkies vom gewöhnlichen Arsenikalkies, mit dem er zusammen vorkommt im Serpentin von Reichenstein in Schlesien, auf Ragern des Spath-eisensteins von Böling bei Hüttenberg in Kärnthen und Schlading in Steiermark, Andreasberg, Geyer. Seine Farbe ist etwas lichter und glänzender als beim schwefelhaltigen. Gewicht entschieden schwerer 7,3. Im Serpentin von Reichenstein kommen kleine sehr glänzende ringsum ausgebildete Nadeln vor, welche leicht quer brechen, ohne daß der Geradenfläche ein sonderlich deutlicher Blätterbruch entspräche. Daran macht die lange Säule $M = a : b : \infty$ einen Winkel von $122^\circ 26'$, und das vordere Paar $g = a : c : \infty$ nur $51^\circ 20'$, woraus folgt



$$a : b = 0,4805 : 0,8747 = \sqrt{0,2309} : \sqrt{0,7651}$$

$$lga = 9,68174, lgb = 9,94187$$

das Paar $l = b : c : \infty$ noch nicht beobachtet.

Nach Hoffmann (Pogg. Ann. 25. 333) hat der Reichensteiner 66 Arsenik, 28 Eisen, 2 Schwefel, was ungefähr zu der Formel von Fe As^2 führt. Im senkrecht stehenden Gneise auf dem Sätersberge beim Hofe Fossun im Kirchspiel Modum fand Scheerer (Pogg. Ann. 49. 333) einen Arsenikalkies mit 70,1 As, 1,3 S, 27,4 Fe. Den Schwefelgehalt leitet man von eingemengtem Arsenikalkies ab. Die Formel Fe As^2 erfordert 73,5 As und 26,5 Fe. Dagegen gaben die Analysen vom Reichensteiner stets weniger, was auf $\text{Fe}^2 \text{As}^2$ deuten könnte. Während die von Schlading mit 8,7 Gew. wie

die vom Sätersberge zur Formel Fe As^2 führen (G. Rose Kryst. Chem. Miner. pag. 53).

Im Kolben gibt der Arsenitalkies kein rothes Sublimat. Die größte Menge der im Handel vorkommenden arsenigen Säure wird aus dem Reichensteiner dargestellt. Derselbe ist seit 1587 durch seinen geringen Goldgehalt berühmt pag. 558. Die Arsenitabbrände enthalten $\frac{1}{16}$ — $\frac{1}{11}$ Loth Gold im Centner.

Auf Kobaltgängen scheinen Verbindungen von $(\text{Fe, Co, Ni}) \text{As}^2$ vorzukommen, wie auch das von Schladming 13,4 Ni, 5,1 Co (Pogg. Ann. 25. 41) enthält. Man muß dabei immer nur sorgfältig untersuchen, ob man es nicht mit regulären, sondern mit wirklich 2gliedrigen zu thun habe. So soll auch ein Theil des

Weißnickelkieses $(\text{Ni, Fe}) \text{As}^2$ von Schneeberg mit 7,1 Gew. zweigliedrig sein, während der leichtere (Chloanthit) von 6,5 Gew. regulär ist. G. Rose (Kryst. Chem. Miner. 53) vermuthet sogar, daß auch unter den safrigen Abänderungen des Speiskobaltes von Schneeberg ein 2gliedriger $(\text{Co, Fe}) \text{As}^2$ verborgen sei. Dann wäre die Formation R As^2 dimorph.

M a n g a n e r z e.

Das geschwefelte Mangan spielt keine sonderliche Rolle. Lange hat man es sogar nicht einmal gekannt. Bis endlich in neuern Zeiten die Mineralogie eine höchst interessante Bereicherung erhielt durch den

Hauerit Mn. Haidinger (Pogg. Ann. 70. 140). Isomorph mit dem pyritoeidrischen Schwefelkies pag. 662. Meist Haufwerke von durcheinandergewachsenen regulären Oktaedern, deren Ecken durch einen sehr deutlichen dreifach blättrigen Bruch abgestumpft werden, welchen man mit dem Messer fast so leicht als bei der Blende darstellen kann. Zuweilen auch Granatoeder, namentlich aber Pyritoeeder $\frac{1}{2}$ ($a : \frac{1}{2}a : \infty a$) und gebrochene Pyritoeeder $\frac{1}{2}$ ($a : \frac{1}{2}a : \frac{1}{2}a$).

Farbe schwärzlich braun, bräunlich rother Strich, Härte 4—5, Gew. 3,46.

Vor dem Löthrohr brennt der Schwefel sogleich ab, wie beim Schwefelkies, allein die Probe ist unschmelzbar, verhält sich aber gut abgeschwefelt mit Flüssigkeiten wie Mangan. Im Glaskolben gibt die Probe Schwefel ab, in einer Glasröhre geröstet wird sie außen braun, innen aber grün. Das Grün verschwindet jedoch mit dem stärkern Rösten. Nach der Analyse von Paterson 63,6 Schwefel, 43 Mangan, 1,3 Eisen, 1,2 Kieselsäure, woraus ein Manganbisulfuret Mn S^2 , analog dem Schwefelkies, folgt.

Kommt mit gediegenem Schwefel auf dem Schwefelwerke zu Kalinka bei Bégles unweit Altsöhl (Sohler Komitat) eingesprengt in Gyps vor. Letzterer hat durch das darin vertheilte Schwefelmetall ein graues Aussehen, wie Trachyt.

Manganblende Mn. Von den Siebenbürgischen Bergleuten schon längst unter dem Namen *Schwarzerz* bekannt (Klaproth Beitr. III. 22), aber erst

Gehlen (Schweigger's Journ. II. 161) erkannte die richtige Zusammensetzung. Wegen seines deutlich blättrigen Bruchs gab ihm Blumenbach den Namen, Leonhard's Manganglanz, Deudant's Alabandine.

Regulär. Hat ebenfalls einen dreifach blättrigen Bruch, entsprechend dem Würfel, wie beim Häuerit, da nun auch die Farbe schwärzlich braun ist, so findet allerdings eine große Ähnlichkeit zwischen beiden Statt, aber der Strich ist grün, und im Kolben gibt es keinen Schwefel ab. Härte 4 und Gew. 4. Derb krystallinisch eingesprengt mit Manganspath zu Nagahat und Kapnit, auch in Brasilien und Mexico, in den Gruben am Pit von Orizaba sogar in ausgezeichneten Massen (Jahrb. 1856. 557). Arfvedson's Analyse gab 62,1 Mangan und 37,9 Schwefel bei dem mit Blättererz zu Nagahat brechenden. Einfaches Schwefelmangan $Mn S$ erfordert 63,23 Mn, 36,77 S. Auf der Königshütte in Oberschlesien kam ein Halbschwefeleisengangan $Fe Mn S$ in schönen regulären Oktaedern mit Chantitan vor (Surt. künstl. Mineral. 51).

Arsenikmangan $Mn As$ erwähnt Kane (Pogg. Ann. 19. 145) aus Sachsen, es glied dem Mangansuperoxyd und saß auf Bleiglanz.

Kobalterze.

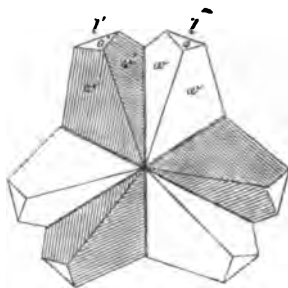
Der Name Kobalt (Cobaltum Agricola 701) oder Kobold soll schon im 14ten Jahrhundert vorkommen, ein Schimpfname für den Berggeist („schwarzen Teufel“) und für Erze, die zwar Giftrauch entwickelten, aber doch kein nützlich Metall gaben. Schon seit dem 16ten Jahrhundert bedient man sich der Kobalterze zur Vereitung der Smalte, obgleich Brandt erst 1733 das Kobaltmetall, wenn auch unrein, darstellte. Wir haben zwar des Kobaltes schon bei der Kobaltblüthe pag. 479, dem Kobaltvitriol pag. 529, Erbkobalt pag. 480 Erwähnung gethan, allein hier finden sich die Haupterze, aus denen fast alle durch Verwitterung entstanden. Da sie schon in geringer Menge dem Boragglase eine schön saphirblaue Farbe mittheilen, so sind sie für die Blaufarbenwerke sehr edle Erze. Aber seit das künstliche Ultramarin pag. 356 so billig dargestellt wird, sind viele Blaufarbenwerke eingegangen, was namentlich den Schwarzwälder Bergbau drückte, und zum Erliegen brachte.

Speiskobalt Co.

Speise ist der hüttenmännische Ausdruck für jene grauweißen Verbindungen von Arsenik mit Kobalt, Nickel und Eisen, die bei verschiedenen Hüttenprocessen fallen. Werner schrieb Speiskobold. Derselbe ist nicht nur durch seine Farbe der Speise ähnlich, sondern gibt auch wegen seines Arsenikgehaltes auf Blaufarbenwerken besonders viele Speise.

Reguläres System. Bei Schneeberg in Sachsen, zu Wittichen auf dem Schwarzwalde, Riehelsdorf in Hessen zc. kommen ausgezeichnet Cubooktaeder, aber mit krummen Würfelflächen vor. Oester gesellen sich noch Granatoeberflächen hinzu, dann entsteht die Hamy'sche Varietät trimorphe.

Bei Schneebergern ist auch das Leucitoeder $a : a : \frac{1}{2}a$ beobachtet. Naumann (Pogg. Ann. 31. 557) beschreibt merkwürdige Zwillinge im stänglichen Kobaltkies von der Grube Daniel bei Schneeberg. Die Krystalle mit Würfel, Oktaeder und Leucitoeder dehnen sich nach einer trigonalen Aze aus, längs dieser herrscht die reguläre sechsseitige Säule l. Die Zwillinge haben nun die Aze dieser Säule gemein, durchwachsen sich vollkommen, sind aber im Azimuth statt 60° nur um $38^\circ 11' 48''$ gegen einander verdreht, sie haben nämlich eine Fläche des Pyramidengrantaeders $a : \frac{1}{2}a : \frac{1}{2}a$, die auch in der Säulenzone von l sind, mit einander gemein und liegen umgekehrt.



Zinnweiß, aber meist angelauten, je unreiner, desto grauer. Die frischen mit starkem Metallglanz; diese nannte man früher Glanzkobalt. Härte 5—6, Gew. 6,5.

Vor dem Löthrohr schmilzt er unter Arsenitgeruch zu einer magnetischen Kugel, die blaue Gläser gibt. In Salpetersäure leicht zersezbar, mit Ausscheidung von arseniger Säure. Da Schwefel mangelt, so bekommt man mit Chlorbaryum einen höchst schwachen Niederschlag. Die Formel Co As^2 würde 28,2 Co und 71,8 As fordern. Gewöhnlich enthält er aber noch weniger Kobalt, bis 14 p. C., da Eisen und Nickel seine Stelle vertritt. Kobell analysirte kleine kugelige gruppirte Krystalle von Schneeberg und fand darin 18,5 Fe mit 9,4 Co, also $(\text{Fe}, \text{Co}) \text{As}^2$, er nannte sie Eisenkobaltkies. G. Rose fand ferner in allen krystallisirten Abänderungen von Schneeberg und Reichelsdorf Nickel, das im sogenannten Stängelskobalt von Schneeberg von 6,5 Gew. sogar auf 12 Ni, 3,3 Co, 6,5 Fe, 0,9 Cu, 75,8 As steigt. Wenn man nun erwägt, daß andererseits Breithaupt's Chloanthit von Schneeberg hauptsächlich Ni As^2 enthält, so scheint zwischen Nickel- und Kobalterzen die Gränze kaum gezogen werden zu können.

Die Verbreitung ist unter allen Kobalterzen bei weitem die größte. Es findet sich hauptsächlich auf Gängen im Urgebirge, und in sogenannten Rücken des Kupferschiefers, ist nicht bloß seines Kobalt-, sondern auch seines Nickelgehalts wegen werthvoll. Ein Beschlag von rothem Erzkobalt pag. 480 verräth ihn häufig. Gediegen Arsenit, Wismuth und Silber nebst Arsenitkies sind die gewöhnlichen Begleiter. Varietäten unterscheidet man etwa folgende:

1. Weißer Speiskobalt, meist krystallisirt von stärkstem Glanz und größter Reinheit. Er kommt so rein und derb vor, daß er auf den Salzändern der Gänge öfter zinnweiß glänzende Spiegelflächen (Kobaltspiegel) zeigt. Schneeberg, Wittichen, Joachimsthal. Zu Reichelsdorf auf Gängen im Zechstein. Die ältern Mineralogen und selbst Werner anfangs nannten ihn Glanzkobalt. Den stänglichen von der Grube Daniel bei Schneeberg beschrieb Werner als strahligen weißen Speiskobold.

2. Grauer Speiskobalt. Darunter verstand Werner mehr die

unkrystallinischen bis dichten Massen, deren Farbe ins Stahlgraue geht. Ein Eisengehalt scheint an dieser Farbenänderung Ursach zu sein, man pflegt sie daher auch meist zum Eisenkobaltkies zu stellen. Nach einer Analyse von Jädel enthalten sie gar kein Nickel, sondern 21,2 Co, 11,6 Fe, 1,9 Cu, 66 As. Kupfergehalt und Nickelarmuth schließt den grauen Speiskobalt unmittelbar an den schwarzen Erdkobalt pag. 659 an, der im Schwarzwalde nur ein Zersetzungsproduct desselben ist, wie man aus zahllosen Uebergängen sieht. Doch hatte hier der Silberkobalt im Centner 50—80 Mark Silber!

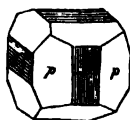
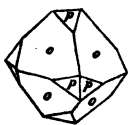
3. Gestrichter Speiskobalt findet sich dendritisch unter rechtwinklig gegen einander gerichteten Strahlen, wie das gebiegene Silber. Die Dendriten sind bald grau, bald glänzend. Deister möchte man vermuthen, daß es Afterbildungen von gebiegenem Silber seien. Schwarzenberg, Johann-Georgenstadt. Der Schneeberger enthält nach Karsten 3,9 p. C. Bismuth (Bismuthkobaltkies) und ist sehr fein gestricht.

Arsenikobaltkies Scheerer (Pogg. Ann. 42. 555), Breithaupt's Tefseralkies, Co As^3 mit 77,8 As, 20 Co, 0,7 S, 1,5 Fe von zinnweißer Farbe, 6,78 Gew., findet sich in regulären Krystallen mit Würfel, Oktaeder, Granatoeder und Leucitoeder eingesprengt im Gneise von Stutterud in Norwegen, zusammen mit Glanzkobalt, sogar damit verwachsen.

Glanzkobalt $\text{Co} + \text{Co}$.

Kommt schon bei Cronstedt § 249 unter diesem Namen vor. Er wurde lange mit weißem Speiskobalt verwechselt, bis sich endlich Werner veranlaßt fand, den Namen ausschließlich für diesen umzutauschen. Mohs nannte ihn Kobaltglanz, Haüy Cobalt gris. Noch Klaproth (Beiträge II. 505) übersah den Schwefel, erst Stromeyer erkannte 1817 die richtige Zusammensetzung.

Pyritoedrisch wie Schwefelkies, und zwar das nächst wichtige Beispiel für diese interessante Hemiedrie. Würfel (bei Tunaberg zuweilen $1\frac{1}{2}$ Zoll groß) ziemlich deutlich blättrig, und hat ebenfalls die dreifache Streifung auf seinen Flächen. Dieselbe deutet die Lage des Pyritoeder $p = a : \frac{1}{2}a : 00a$ an. Sehr schön glattflächig Oktaeder o, es fehlt fast niemals,



und wenn es mit dem Pyritoeder ins Gleichgewicht tritt, so bilden sich sogenannte Zwisaeder. Gewöhnlich aber herrscht das Oktaeder vor, dessen Ecken das Pyritoeder zweiflächig zuspitzt, Zuspitzungsfläche auf

Oktaederlante aufgesetzt. Nur selten kommt das gebrochene Pyritoeder $a : \frac{1}{2}a : \frac{1}{2}a$ untergeordnet vor.

Rüthlich silberweiß mit starkem Metallglanz, graulich schwarzer Strich. Härte 5—6, gibt mit dem Stahle Funken, Gew. 6,2.

Vor dem Löthrohr Arsenikgeruch, im Glascolben erhitzt gibt er nur wenig Arsenik ab und kein rothes Sublimat, wie Arsenikkies, aber die rothe Lösung in Salpetersäure gibt mit Chlorbaryum einen starken Niederschlag von Ba S, denn er besteht aus

$\text{Co S}^2 + \text{Co As}^2$ mit 33,1 Co, 43,5 As, 20 S, 3,2 Fe.

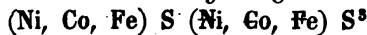
Am schönsten kommt er zu Tunaberg in Södermanland eingesprengt in schwefelkiesreichen Kupferkies vor, der Lager im Gneise bildet. Zu Skuterud bei Modum in Norwegen stehen die quarzigen Gneisschichten, worin er eingesprengt ist, senkrecht. Zu Querbach in Schlesien auf Glimmerschiefer. Zu Drawika mit gebiegenem Gold und Wismuth. Im Siegenschen kommen sie herb und sehr unrein vor. Das wichtigste Kobalterz für Blaufarbenwerke. Wenn sie durch Eisen verunreinelt werden, so muß man sie sorgfältig von dem Zgliebrigen Arsenikkies pag. 670 unterscheiden.

Kobaltkies Co.

Swafvelbunden-Kobalt Hisinger. Cronstedt § 248 beschreibt ihn bereits von der Bastnäs-Grube bei der Ritterhütte, „es zeigt derselbe keine Spur von Arsenik.“ „Uralte Species, die schon Linné kannte“, daher Linnéit.

Krystallisirt zwar ebenfalls in regulären Octaedern, Würfeln und Octaederzwillingen, zeigt aber keine Spuren vom Pyritoeder. Ebenfalls röthlich silberweiße Farbe, Härte 5—6, Gew. 4,9.

Der Schwedische ist in Kupferkies eingesprengt, welcher mit Strahlstein gemengt Lager im Gneise bildet. Hisinger fand 38,5 S, 43,2 Co, 3,5 Fe, 14,4 Cu. Kupferkies schien nur beigemengt. Berzelius leitete daraus die Formel $\text{Co}^2 \text{S}^3$ ab. Da er wegen der Zwillinge Analogie mit den Spinellen zeigt, so möchte ihm Frankenheim gern die Formel $\text{CoS} + \text{CoS}^2$ zutheilen. Das andere bekannte Vorkommen auf der Grube Jungfer (und Schwabengrube) bei Mülsen besteht nach neuern Analysen aus 42 S, 33,6 Ni, 22,1 Co, 2,3 Fe, woraus Rammelsberg die Formel



construirt. Da es eher ein Nickel- als Kobalterz ist, so heißt man ihn auch Kobaltnickelkies.

Carrollit von Carroll in Maryland soll $\text{Cu S} + \text{Co S}^2$ sein.

Das einfache Kobaltsulfuret Co von stahlgrauer Farbe soll bei Rajpootanah in Hindostan vorkommen.

Alle diese Kobalterze dienen seit der Mitte des 16ten Jahrhunderts zur Darstellung der schönen blauen Farbe, die auf den sogenannten Blaufarbenwerken bereitet wird. Man schmilzt die gerösteten Erze mit Quarz und Pottasche, dann bildet Eisenoxyd und Kobaltoxydul mit Kieselersde und Kali ein blaues Glas (Smalte), während Nickel an Arsen gebunden, nebst Wismuth, Kupfer, Silber zc. als sogenannte Kobaltspeise, die nicht selten über 50 p. C. Nickel enthält, zu Boden fällt. Auch die abgerösteten Erze kommen unter dem Namen Zaffer (verstümmelt aus Sapphir) in den Handel, sie geben für Porzellan-, Fayence- und Glasfabricate die beste feuerbeständige blaue Farbe. Da Speis- und Glanzkobalt fast ganz Mangankfrei sind, so sind sie dazu besonders brauchbar, der Erdkobalt aber nicht. Bis zum Jahr 1845 warfen die Kobaltgruben hohen Gewinn ab, seitdem hat aber das künstliche Ultramarin die Preise sehr herabgedrückt. Doch kann

für Feuerfarben Kobalt nicht entbehrt werden. Daher stehen die norwegischen Werke noch in gutem Betrieb.

Kobaltmetall hat eine röthlich weiße Farbe, ist hart und spröde, 8,5 Gew. Schmilzt nur in hoher Temperatur.

Nickelerze.

Nickel ist ebenfalls noch heute bei den Harzbewohnern ein Schimpfwort. Der Bergmann trug es auf den Kupfernickel über, der zwar kupferroth ist, aber durchaus kein Kupfer gibt. 1754 entdeckte Cronstedt das Nickelmetall darin. Kobalt und Nickel treten gewöhnlich zusammen auf, beide sind dem Eisen sehr verwandt, und finden sich zusammen im Meteoreisen pag. 588. Nickel ist von allen dreien das seltenere. Da es mit Platin leicht zusammen schmilzt, so muß man die Glasflüsse vorher auf Kohle behandeln, und dann erst auf das Platindraht nehmen: Nickelorydul ertheilt dem Boragglase eine violette Farbe, die kalt rothbraun; dem Phosphorsalz eine rothe, die kalt gelb wird. Ist Kobalt zugegen, so bekommt man zuerst blaue Gläser, während das Metallkorn im Flusse schwimmt. Trennt man dasselbe und behandelt es weiter mit Flußmittel, so erhält man dann die Farbe des Nickelglases. In concentrirter Salpetersäure geben die Erze eine smaragdgrüne Lösung, und geröstet reduciren sie sich leicht zu magnetischem Nickelmetall. Der grüne Nickelocker pag. 480, der Emerald-Nickel auf Chromeisenstein pag. 612, die Färbung im Pimelit und Chrysopras pag. 210, die kleine Menge im Olivin pag. 264, der wesentliche Gehalt im Meteoreisen, Magnetkies pag. 670 sind bekannt.

Kupfernickel Ni.

Der schwedische Mineralog Hiärne erwähnt es 1694 zuerst (Eink Philos. Transact. 1726). Cuprum Nicolai vel Niccoli Cronstedt § 254, Nickel arsenical Haüy, Arsenitnickel, Rothnickelkies, Nickelg.

6 gliedrig, aber Krystalle selten. Brooke wies darin eine reguläre sechsseitige Säule nach, und Hausmann fand im Kupferschiefer von Sangerhausen Dihexaeder mit abgestumpften Endenden von $139^{\circ} 48'$, in den Endkanten und $86^{\circ} 50'$ in den Seitenkanten. Die Dihexaederspitzen sind dem Quarz ähnlich. Ohne blättrigen Bruch. Licht kupferroth, gern dunkel anlaufend, kleinmuscheliger Bruch. Verräth sich häufig durch mitvorkommenden grünen Nickelocker. Härte 5, etwas milde, Gew. 7,6.

Vor dem Löthrohr schmilzt er unter Abgabe von Arsen zu einer grauen metallischen Kugel. Die geröstete Kugel mit Flüssen behandelt schwimmt im Glase herum, und gibt Reaction auf Nickel. Mit dem Platindraht legirt sie sich sogleich. Im Kolben gibt das Mineral kein Arsenik ab. Schon in kalter Salpetersäure löst es sich plötzlich zu einer smaragdgrünen Flüssigkeit unter Ausscheidung von Arsenik. Ni As mit 44 Ni und 56 As. Häufig etwas Antimon, der im Kupfernickel von Allemont und Valen in den Pyrenäen bis auf 28 Sb steigt.

Bei weitem das wichtigste und verbreitetste Nickelerz auf Arsenik- und Kobaltgängen: Schneeberg, Annaberg, Freiberg, Joachimsthal, Riechelsdorf, Saalfeld, Wittichen. Schladming, Cornwall u. Auch in den „Rücken“ des Mansfelder Zechstein wird er in neuern Zeiten Gegenstand des Bergbaues.

Antimonnickel ⁵Ni.

Breithauptit. Wurde 1833 in kupferrothen Blättchen zu Andreasberg im Rasthuth mit Speiskobalt eingesprenzt gefunden (Pogg. Ann. 31. 124). Nach Breithaupt Dihexaeder von $112^{\circ} 10'$ in den Seitenkanten, und folglich $130^{\circ} 58'$ in den Endkanten. Bei Sangerhausen im Kupferschiefer kleine Dihexaeder. Die Farbe ist lichter und reiner als beim Kupferrnickel, aber Härte 5 und Gewicht 7,5 gleich. Der blättrige Bruch entspricht der Geradenbläche, wird aber nur als Absonderung angesehen. Jedenfalls sollten Ni As und Ni Sb isomorph sein, um so mehr, da der von Valen Ni (As, Sb) als Verbindungsglied beider angesehen werden kann. Vor dem Böhrohr verdampft Antimon und das schwer schmelzbare Nickel bleibt zurück. Nach der Analyse von Stromeyer 31,2 Ni, 68,8 Sb. Auch durch Zusammenschmelzen gleicher Äquivalente von Nickel und Antimon erhält man eine diesem Erze sehr ähnliche rothe Legirung, bei größerm Zusatz von Antimon wird die Legirung aber weiß und schmelzbarer.

Arseniknickel ²²Ni.

Wurde von Hoffmann (Pogg. Ann. 25. 401) benannt und analysirt. Da es zu Schneeberg der stetige Begleiter von Kupferrnickel (Rothnickellies) ist, so nannte ihn Breithaupt nicht unpassend Weißnickellies. Nur dieser verwittert leicht zu grünem Nickelocker, nicht der Kupferrnickel. Als nun später sich zeigte, daß es auch einen zweigliedrigen, dem Arsenikkies verwandten Weißnickellies pag. 673 gebe, so machte Breithaupt für unsern den Namen *Chloanahit* (*χλωανός* aufgrünend), der an den grünen Beschlag erinnern soll.

Regulär wie Speiskobalt, aber Krystalle selten. Doch kommen Würfel, Oktaeder und Granatoeder vor. Zinnweiß, läuft aber leicht grau und schwärzlich an. Härte 5, Gew. 7,1. Der grüne Beschlag läßt ihn leicht von Speiskobalt unterscheiden, dem er im Aussehen sehr gleicht.

Im Kolben gibt er Arsenik ab, und die Probe bedeckt sich mit grünem Ocker. Die Analyse von 28,2 Ni und 71,8 As läßt auf die Formel Ni As² schließen. Wie beim Speiskobalt das Nickel durch etwas Eisen, auch Kobalt vertreten. Schneeberg, Großtamsdorf, Sangerhausen.

Gaarkies ⁵Ni.

Kam früher auf der Grube Adolphus zu Johann-Georgenstadt vor, Werner hielt ihn anfangs für Schwefellies, Klaproth (Beiträge V. 201) für gediegen Nickel, aber Berzelius wies den Schwefel darin nach. Hausmann nannte ihn daher Nickellies. Millerit.

Kleine Nadeln, die reguläre sechsseitige Säulen zu bilden scheinen, also zur Formation des Kupfarnickels gehören würden. Miller gibt ein Rhomboeder an, dessen Seitenkanten durch die 2te sechsseitige Säule abgestumpft werden (Pogg. Ann. 36. 476). Farbe zwischen Messing- und Speisgelb, daher mit safrigem Schwefelties leicht verwechselbar. Metallglanz, Gew. $5\frac{1}{2}$, Härte 3—4.

Schmilzt unter Spritzen zu einer magnetischen Kugel. Enthält 64,8 Ni, 35,2 S, also Ni S. Joachimsthal, Przibram, Niechelsdorf, Ramsdorf, Cornwallis. Im Thoneisenstein von Werthyrtybvil (Glamorgan) und im Schieferthon von Saarbrück.

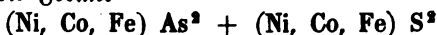
Nickelglanz $\overset{22}{\text{Ni}} + \overset{22}{\text{Ni}}$

Schon Cronstedt § 254 erwähnt ihn als „schuppenartigen Kupfarnickel“ von Voos in Helsingeland. Pfaff (Schweigger's Journ. 22. 100) analysirte ihn und gab den Namen. Nickelarsenitkies, Arsenitnickelglanz, Nickelarsenitglanz.

Regulär von der Formation des Glanzkobaltes, aber das Pyritoeder selten zu beobachten. Würfel ausgezeichnet blättrig, und daran leicht kenntlich. In der Krystallisation herrscht das Oktaeder vor, daran bildet das Pyritoeder $a : \frac{1}{2}a : 00a$ eine untergeordnete Zuschärfung der Ecken (Haueisen).

Silberweiß ins Graue, durch Anlaufen dunkeler werdend. Schwacher Metallglanz. Härte 5—6, Gew. 6,1.

Im Glasstolben verknistert er stark und gibt rothes Schwefelarsenit, auf Kohle Schwefel und Arsen und schmilzt dann zu einer Kugel, welche mit Flüssen behandelt anfangs Kobalt-, dann Nickelreaction zeigt. Berzelius Analyse des Schwedischen von Voos gab 29,9 Ni, 0,9 Co, 4 Fe, 45,4 As, 19,3 S, woraus die Formel



folgt. Ausgezeichnete Fundorte der Antimonfreien sind Voos, Grube Albertine bei Harzgerode auf dem Unterharz, besonders Haueisen bei Lobenstein im Spatheisenstein, Grube Jungfer bei Müsen, Schladming zc. Verräth sich öfter durch grünen Nickelocker.

Nickelantimonglanz (Antimon-Nickelglanz) $\text{Ni S}^2 + \text{Ni Sb}^2$ hat anstatt Arsenit Antimon, im Uebrigen dem Nickelglanz ganz gleich, nur dunkelfarbiger (blei- und stahlgrau). Wurde zuerst von der Grube Landstrone im Siegen'schen (Westermald) bekannt, wo er wie gewöhnlich mit Spatheisen und Bleiglantz bricht. H. Rose fand darin 27,4 Ni, 55,8 Sb, 16 S. Die etwas größere Schwefelmenge rührt vom eingesprengten Bleiglantz her. Vor dem Löthrohr geben sie blos Antimonrauch. Früher hatte Klaproth einen Nickelglanz von Freusburg auf dem Westermalde analysirt, und 25,2 Ni, 47,7 Sb, 11,7 As, 15,2 S gefunden, was $\text{Ni S}^2 + \text{Ni}(\text{Sb}, \text{As})^2$ gibt. Wenn man nun bedenkt, daß auf gleichen Gruben bei Harzgerode, Lobenstein zc. Arsenit- und Antimonnickelglanz neben einander vorkommen, so ist bei der Gleichheit des Blätterbruchs kein Gewicht auf die Unterschiede

zu legen. Kobell's Amoebit von Lichtenberg bei Steben im Fichtelgebirge soll $(\text{Ni}, \text{Fe})^2 (\text{As}, \text{S})^2$ sein, hat aber den gleichen Würfelbruch.

Nickelwismuthglanz Kobell (Erdmann's Journ. prakt. Chem. VI. 222) von Grünau, Grafschaft Sahn-Altenkirchen in Westphalen. Kleine reguläre Oktaeder mit blättrigem Bruch. Stahlgrau, Härte 4—5, Gew. 5,1. Enthält 40,6 Ni, 14,1 Bi, 38,5 S, 3,5 Fe, 1,7 Cu, 1,6 Pb, woraus Kobell die Formel $10 \text{NiS}^2 + \text{BiS}^2$ construirt. Vielleicht isomorph mit Kobaltkies.

Tomboazit Breithaupt (Journ. prakt. Chem. 1838. XV. 220) vom freudigen Bergmann zu Kl. Friesa bei Lobenstein, tombakbraun wie Magnetkies, aber würfelig blättrig, Gew. 6,64. Scheint dem Nickelglanz verwandt und sitzt auf Spath Eisenstein.

Nickelspeife $\text{Ni}^2 \text{As}^2$.

Ein Kunstproduct (Pogg. Ann. 25. 202 und 28. 422), das bei Blaufarbenwerken in glänzenden Tafeln des viergliedrigen Systems krystallisirt, bestehend im Oktaeder $0 = a : a : c$ mit sehr ausgedehnter Geradenfläche $c = c : \infty a : \infty a$. Der Seitenantenwinkel beträgt $115^\circ 39'$. Zuweilen noch ein schärferes Oktaeder $a : a : 2c$. Die Farbe licht tombakbraun, mit starkem Glanz, im Aussehen leicht mit einem natürlichen Mineral verwechselbar. Wöhler's Analyse gab 54,1 Ni, 45,9 As. Nickeloder verräth den Nickelgehalt. Breithaupt's Plakodin (Pogg. Ann. 53. 221) scheint das Gleiche. Vergleiche auch den licht kupferrothen Antimonnickel (Leonhard's Jahrb. 1853. 170). Der Glittenmann unterscheidet Kobaltspeife $(\text{Ni}, \text{Co})^2 \text{As}$, Nickelspeife $(\text{Ni}, \text{Co}, \text{Fe})^4 \text{As}$, Bleispeife $(\text{Fe}, \text{Ni}, \text{Co})^4 \text{As}$, Raffinat-speife $(\text{Ni}, \text{Co})^4 \text{As}$ (Plattner Probierkunst 314), die als Hauptmaterial zur Gewinnung des

Nickels dienen. Dasselbe hat Silberfarbe, ist vollkommen dehnbar (zwischen Eisen und Kupfer), rostet viel schwerer als Eisen, ist aber eben so stark magnetisch, liefert daher vortreffliche Magnetenadeln. Obgleich streng flüchtig, so läßt es sich doch in großen Parthien schmelzen. Gew. 9,2. Das Neusilber (Argentan) von der Farbe des 12löthigen Silbers, aber weniger anlaufend, besteht aus 53,4 Cu, 29,1 Zn, 17,5 Ni. Auch der chinesische Packfong enthält Nickel. Die Nickelspeife mit ungefähr 50 p. C. Nickel steht daher in hohem Werth, der Centner kostet über 200 fl.

Molybdänerze.

Molybdawa heißt Graphit pag. 605, weil das Molybdän lange damit verwechselt wurde, bis endlich Scheele 1778 ein eigenthümliches Metall darin entdeckte. Molybdän spielt keine bedeutende Rolle, doch haben wir die Molybdänsäure Mo bei den Bleisalzen pag. 498 und als Molybdänocker kennen gelernt. Das Hauptvorkommen bleibt immerhin das geschwefelte Molybdän. Von ihm stammen die geringen Mengen in Kupfer- und Zinnhüttenproducten.

Molybdän Mo, Molybdänit, Molybdänglanz, Wasserblei.

6gliedrige Tafeln, zuweilen mit dihexaedrischen Abstumpfungen. Die

Geradenfläche ist trummbblätterig, wie Talc, daher auch von Romé de l'Isle damit zusammengestellt. Man hat zwar gemeint, sie wären wie Klinkchlor $2 + 1$ gliedrig, doch sollen die Krystalle von Marksa in Grönland entschieden hexagonal sein.

Farbe frisch bleigrau, mit einem starken Stich ins Roth, stärker als beim Bleiglanz. Doch muß man sich bei denen vom Altenberger Zinnstod durch das mitvorkommende erdige Eisenoxyd nicht verführen lassen, die Farbe für rother zu halten als sie ist. Härte 1—2, abfärbend und schreibend wie Graphit. Gew. 4,5. Auf der glatten Glasur von weißem Porzellan gibt es einen grünlich grauen Strich. Gemein biegsam und etwas fettig sich anführend. Isolirt gerieben negativ elektrisch.

Vor dem Löthrohr in der Platingange färbt es die Flamme deutlich zeisigrün (gelbgrün), auf Kohle schmilzt es nicht, gibt schweflige Säure ab, und erzeugt einen schwach kupferrothen Beschlag von Molybdänoxyd, der sich innerhalb des weißen Beschlages findet. Mit Salpeter im Platinlöffel verpufft es zu Molybdänsaurem Kali. Schon Buchholz wies im Altenberger 60 Mo und 40 Schwefel nach, was gut mit der Formel Mo S^2 stimmt.

Kommt eingeprengt in verschiedenen Urgebirgsgesteinen, Gneis, Granit, Porphyry, Syenit, Chloritschiefer zc. vor. Besonders reich sind die Zinnsteinsüße von Altenburg in Sachsen, Schlackenwalde und Cornwallis bedacht, wo man es käuflich haben kann. Breithaupt's

Silberphyllinglanz, dem Molybdän ähnlich, aber etwas grauer scheint im Wesentlichen Selenmolybdän zu sein, mit einem kleinen Gehalt an Silber und 4,9 Gold. Eingeprengt im Gneis von Deutsch-Pilsen (Sontherr Comitatz). Auch das Molybdän von Schlackenwalde soll etwas Selenhaltig sein.

Bleierze

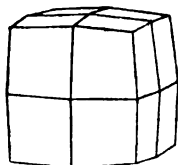
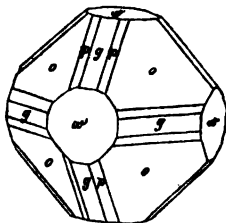
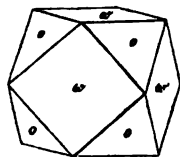
gehören zu den allergewöhnlichsten der Erzgänge, und sind daher ein wichtiger Gegenstand des Bergbaues, wichtig nicht bloß wegen ihres Blei-, sondern namentlich auch wegen ihres Silbergehaltes. Auch das Selen scheint in der Natur an Blei mehr gebunden vorzukommen, als an irgend ein anderes Metall. Wir haben zwar oben Weißbleierz pag. 436, Vitriolblei pag. 454, Buntbleierz pag. 469, Bleisalze pag. 495, Bleiocher, pag. 659, gediegen Blei pag. 594, Tellurblei pag. 601 schon die Wichtigkeit und Verbreitung gesehen, aber die meisten von diesen scheinen lediglich durch Zeretzungsproceße vom Bleiglanz erst entstanden zu sein, von vielen läßt sich das sogar mit Gewißheit behaupten. Da Blei von Schwefel- und Salzsäure in der Kälte, von verdünnter Schwefelsäure auch in der Hitze nicht angegriffen wird, so schätzt es der Techniker sehr hoch.

Bleiglanz Pb.

Bei Agricola 705 schlechthin Glantz (lapis plumbarius) genannt. Galena Plinius 33. 31 ist silberhaltiger Bleiglanz, unter demselben Namen

führt ihn auch Agricola 705 „Galena Glantz vnd plei ertz“ auf. Plomb sulfuré, Sulphuret of Lead. Galenit.

Reguläres Krystallsystem. Würfel hat einen so ausgezeichnet dreifach blättrigen Bruch, daß es kein zweites Beispiel gibt, was ihm gleichkommt. Daher bei Wallerius auch Würfelerz genannt. Bei Freiberg die gewöhnlichste Krystallfläche. Oktaeder stumpft die Ecken ab, dann entstehen ausgezeichnete **Cubooktaeder**; in Sachsen sehr verbreitet. Auf der Albertine bei Harzgerode gesellt sich noch das Granatoeder hinzu. Außerdem werden daran die Kanten zwischen Granatoeder und Oktaeder durch das Pyramidenoktaeder $p = a : a : 2a$ abgestumpft, nirgends ausgezeichneter als am Bleiglanz, daher nennt sie Haidinger Galenoide. Zuweilen fast selbstständig, Dufrenoy Tab. 97. Fig. 272. Viel seltener beobachtet man eine Abstumpfung zwischen Oktaeder und Würfel, meist dem Leucitoide $a : a : \frac{1}{2}a$ angehörend. Naumann (Pogg. Ann. 16. 487) führt aus der Werner'schen Sammlung einen Würfel von der alten Hoffnung Gottes mit Würfel, Oktaeder, Granatoeder, Leucitoid und 2 Pyramidenoktaedern $7a : 4a : 4a$ und $5a : 4a : 4a$ auf. In Cumberland kommen sogar Würfelflächen vor, auf welchen Leucitoidflächen $a : 12a : 12a$, selbst $a : 36a : 36a$ sich kaum erheben, sie lassen sich nur noch durch Erhöhungen längs der kurzen Diagonalen der Würfelflächen erkennen, und um das scharfe Bestimmen solcher Flächen bleibt es immerhin eine mißliche Sache. Geflossene Krystalle, d. h. an der Oberfläche unregelmäßig gerundete, nicht selten.



Zwillinge sehr schön in Sachsen, Windeck im Bergischen zc. Die Cubooktaeder haben eine Oktaederfläche gemein, und liegen umgekehrt. Parallel der gemeinsamen Oktaederfläche werden sie meist tafelartig, und beide Individuen greifen so weit in einander über, daß bei der Verziehung der Flächen das Erkennen Schwierigkeit macht. Indes kann man nach der Lage des blättrigen Bruchs sich leicht orientiren.

Frischbleigrau mit einem Stich ins Roth. Stärkster Metallglanz, der auf frischem Bruch das Auge blendet, und in sofern unerreicht, es ist der Diamant der Erze. Strich graulich schwarz. Härte 2—3, etwas milde, Gew. 7,5.

Vor dem Löthrohr verknistert er zwar stark, doch zwingt man ihn durch langames Erwärmen bald zum Bleiben, er schmilzt dann leicht unter Ausscheidung von Blei, während die Kohle einen weißen Beschlag von schwefelsaurem Bleioxyd mit einem innern gelben Kranz von Bleioxyd bekommt. Bei großen Proben schwimmt der Regulus bald in flüssiger Bleiglätte von gelber Farbe. Ist er Antimonhaltig, so setzt sich das Antimonoxyd mit dem

weißen Kränze ab. Um geringere Mengen von Antimon zu erkennen, muß man den gepulverten Bleiglanz mit Soda mischen und im Reductionsfeuer behandeln. Der Schwefel zieht sich dann mit dem Natrium in die Kohle, und kommt jetzt noch ein weißer Beschlag, so rührt er vom Antimon her. Durch langes Blasen auf die Probe verflüchtigt sich alles Blei, und zuletzt bleibt ein kleines Silberkorn, was zum Wiegen zu klein, aber wohl zu messen ist pag. 566. Nur zuletzt muß man etwas vorsichtig sein, weil die kleine silberreiche Probe leicht von der Kohle springt. In concentrirter Salpetersäure löslich unter Ausscheidung von Schwefel, Zink fällt aus der Lösung Blei.

Pb S mit 86,5 Pb und 13,5 S, der Silbergehalt geht in seltenen Fällen bis auf 1 p. C. Gewöhnlich schwankt er zwischen 0,01 und 0,1 p. C., d. h. $\frac{1}{4}$ — $3\frac{1}{2}$ Eth. im Centner, 4—9 Lößthe erklart der Bergmann für silberreich. Zuweilen Goldhaltig (Kremnitz), Platinhaltig in der Charente (Pogg. Ann. 31. 10). Antimon und Arsenit öfter in solcher Menge, daß ein zufälliges Gemenge von Przibram Steinmannit genannt wurde. Eisen, Zink, Kupfer, Selen u.

Verbreitung. Hauptsächlich auf Gängen, die oft mit außerordentlicher Regelmäßigkeit zur Tiefe setzen, wie zu Huelgoat in der Bretagne. Im Grube von Freiberg, auf dem Schwarzwalde in der wilden Schappach silberarm, im Teufelsgrunde silberreich. Im Uebergangsgebirge des Harzes bei Clausthal, Zellerfeld, Neudorf u., im rheinischen Schiefergebirge zu Müsen, Siegen, Westphalen, Nassau. Besondern Ruf genießen die Bleierzgänge im Bergkalk des nördlichen England. Schon Plinius 34. 19 sagt davon, sed in Britannia summo terrae corio adeo large, ut lex ultro dicatur, ne plus certo modo fiat. Noch heute liefert England jährlich über 1 Million Etr. Blei, so viel als alle übrigen europäischen Staaten zusammen genommen: Derbyshire (Castleton, Cromford), Cumberland (Alston-Moor) u. Ganggestein bilden die schönsten Kalk-, Fluß- und Schwespathe.

Ganz verschieden davon ist das Vorkommen im Flözgebirge: kristallinischen Bleiglanz findet man öfter mitten im weißen Keupersandstein eingesprenkt, im Buntensandstein der Eifel (Wiesberg bei Commern, Bergambzirk Düren) werden die mächtigen „Knottenerze“ theilweis im Tagebau gewonnen: sie liegen mit Weißbleierz gemischt in dem weißen mürben Sandstein in solcher unerschöpflichen Masse, daß die einzige Grube Meinerzhagen in einem Jahre 340,000 Etr. Knottenerz liefert (Epochen der Natur pag. 469). Im Muschelkalk von Tarnowitz finden sich Nester von silberhaltigem Bleiglanz mit Galmei, ähnlich im Dolomite des kärnthischen Wleiberges (Villach). Aber alle diese halten dennoch keinen Vergleich aus mit den Bleiglanznestern im Kalkgebirge der Alpujarras der südlichen Vorlette der Sierra Nevada in Spanien, besonders bei Verga und Gador: ein Erzfeld mißt $\frac{1}{4}$ Quadratstunde, worin mehrere Ellen mächtige Erzwände in Lehm gehüllt zu Tage treten. Schon 1822 standen die Gruben wieder in schwunghaftem Betrieb, 1829 waren 80 Schächte und 1500 Schurfversuche gemacht, worin 10,000 Vergleute 1 Mill. Etr. Erze gewannen, das auf den Rücken von 2000 Maulthieren aus dem wilden Gebirge herabgeführt wurde, und woraus man

über eine halbe Million Ctr. Blei gewann. Das drückte die deutschen Werke gewaltig. Aber dennoch scheint der Reichtum in

Amerika noch bedeutender. Im Staate Missouri wurde er schon 1720 entdeckt, er erstreckt sich dann über einen Theil von Illinois, Iowa, besonders aber nach Wisconsin. Der Bleiglanz in Begleitung von Blende und Galmei lagert in oberflächlichen Spalten des Uebergangskalkes (Epoch der Natur pag. 338), ist auch wie Böhnerze in eisenkiesigen Lehm gehüllt. Auf einer Strecke von 87 engl. Meilen von Ost nach West und 54 Meilen von Süd nach Nord soll kaum eine englische Quadratmeile sein, wo nicht die Spuren von Bleiglanz sich fänden. Die Werke gehen selten über 25 bis 30 Fuß Tiefe hinab. Es gibt Orte, wo der Mann täglich 8000 \mathcal{R} Erz gewinnt. Auf einem einzigen Flecke von 50 Quadrat-Yards wurden 3 Millionen Pfund gefördert, und die Gruben am obern Mississippi liefern jährlich an 760,000 Pigs (Dana Miner. pag. 489).

KrySTALLISIRTER Bleiglanz, nicht selten in mehreren Zoll großen Würfeln, in Amerika bis 60 \mathcal{R} schwer. Findet sich gewöhnlich in den obern Teufen der Gänge, wo Drusenräume Platz zum KrySTALLISIREN gaben. Der sogenannte „schillernde Bleiglanz“ vom Himmelsfürst bei Freiberg ist nach Breithaupt eine regelmäßige Verwachsung von gelber Blende und Bleiglanz, deren blättrige Brüche lagern wie es der KrySTALL verlangt (Jahrb. 1861. 577).

Körniger Bleiglanz fällt dagegen in derben Parthieen die Gänge. Sehr grobkörnig kommt er bei Freiberg, in der Schappach zc. vor. Von mittlern Korn auf dem Oberharze. Blumig blättrig zu Gersdorf. Bunt angelaufen in Derbyshire. Das Korn wird zuletzt so fein und gleichartig wie beim schönsten Dolomit, ohne an frischer Farbe einzubüßen. Endlich beim

Bleischweif erkennt man das Korn nicht mehr deutlich, die Farbe wird schwärzer, und mit dem dichten Bruch pflegt auch die Verunreinigung durch Antimon, Zink, Eisen zc. zuzunehmen. Die Masse wird striemig, schaalig, traubig, und geht gern in erdigen Bleimulm über. Bleischweif zeigt oft Spiegelflächen. Wenn das Schwefelantimon zunimmt, so läßt sich die Gränze nach den Spiegglanzbleierzen kaum ziehen. Vergleiche auch Weißgiltigerz. Afterkrystalle von Buntbleierz.

Silberarmer Bleiglanz kommt roh unter dem Namen Glasurerz (Alquifour) in den Handel, da ihn die Töpfer zur Glasur ihrer Waare benutzen können. In der wilden Schappach kostete der Ctr. 8—10 fl., am Commerzhen Bleiberge nur 4 fl. Am silberhaltigsten sind nicht selten die feinkörnigsten, wie z. B. 12löhig auf dem Schindler Gang im Teufelsgrunde im südlichen Schwarzwalde: diese pflegen dann auf besonders Hoch- und Waschwerten aufbereitet zu werden, das Erz scheidet sich wegen seiner Schwere als feinstes Bleiglanzand (Schliche) und man kann so die unbedeutendsten Mengen aus den Ganggesteinen gewinnen. Das „Schmelzgut“ mischt man nun entweder mit Eisen und schmilt, es bildet sich dann Schwefeleisen, und Blei wird frei (Niederschlagarbeit); oder man röstet den Bleiglanz an der Luft, ein Theil bildet dann Pb, Pb S und schweflichte Säure entweicht. Man setzt

die Arbeit so lange fort, bis es zu $\text{Pb} + \text{Pb} + \text{S}$ geworden ist, diese geschmolzen wirken so auf einander ein, daß $2 \text{Pb} + 2 \text{S}$ entsteht, welches letztere entweicht. Das fallende Wertblei enthält neben allem Silber noch Antimon, Arsenik, Kupfer, Zink u. Da silberhaltiges Blei bei einem gewissen Verhältniß leichter schmilzt als reines, so bringt man nach dem Pattison'schen Verfahren es nochmals in Fluß, und läßt es unter fortwährendem Umrühren erkalten. Es setzt sich dann eine stets zunehmende Menge silberarmer Krystalle ab, die man abnimmt, so daß die übrige flüssige Masse auf den 10fachen Silbergehalt kommt. Dieses silberreiche Blei bringt man auf einen Treibherd, und läßt einen Luftstrom darüber fahren, es bildet sich Bleiglätte, die abfließt, und zuletzt bleibt das Silber über. Anfangs hat es noch eine Regenbogenhaut unedler Metalle, mit einem Male zerreißt diese, und das „Silber blüht“ zum Zeichen der Reinheit. Partes scheidet das Silber durch Zink (Erdmann's Journ. prakt. Chem. 55. 500).

In jedem Bleiöfen erzeugen sich Bleiglanzwürfel, die obschon zellig so doch außerordentlich scharfkantig zu den schönsten krystallinischen Hüttenproducten gehören. Sie laufen meist bunt an.

Euproplumbit $\text{Pb}^2 \text{Cu}$ Breithaupt (Pogg. Ann. 61. 272) von Chile. Der würfliche Blätterbruch etwas undeutlicher als beim Bleiglanz, schwärzlich bleigrau, wie das ihn umhüllende Kupferglas, Gew. 6,4. Allisonit $\text{Pb} \text{Cu}^2$.

Johnston führt von Dufton auch ein erdiges blaulich graues Supersulphuret of Lead (Ueberschwefelblei, Johnstonit) an, welches am bloßen Kerzenlichte Feuer fängt und mit blauer Flamme fortbrennt. Die Analyse gab 90,4 Pb S und 8,7 Schwefel. Neu-Sina in Siebenbürgen, Grube Victoria bei Mäusen (Jahrb. 1834. 55, 1855. 500).

Selenblei Pb .

Clausthalit. Berzelius entdeckte 1817 das Selen im Schwefel, der aus den Riesen von Falun gewonnen wird. Als er sich mit dessen Eigenschaften beschäftigte, fand es sich schon als wesentlicher Gehalt im Selenkupfer und Eufairit des Serpentin von Strickerum. 1825 wurde auf dem Harze (Pogg. Ann. 2. 408 und 5. 271) das Selenblei erkannt, ohne Zweifel das wichtigste unter allen Selenerzen.

Regulär, würfelig blättrig, wie Bleiglanz und äußerlich davon kaum zu unterscheiden. Kommt meist nur in derben feinkörnigen Massen vor. Die Farbe ein wenig lichter, Härte 2—3, Gew. 8,2—8,8, also entschieden schwerer.

Vor dem Löthrohr raucht es stark, verbreitet einen Rettiggeruch, die Kohle zeigt fast einen röthlichen Beschlag, auch reducirt sich kein Blei, die Probe schmilzt daher nicht, sondern wird nur allmählig kleiner. Manche geben ein Silberorn. Salpetersäure greift es an, und Selen scheidet sich mit röthlicher Farbe aus.

Pb Se mit 72,4 Pb und 27,7 Se.

Auf dem Harze in Eisensteingruben, wo die Thonschiefer an den Grünsteinkuppen abschneiden. Wurde zuerst von der Grube Lorenz bei Clausthal analysirt (Pogg. Ann. 2. 408), und zeigte neben Blei einen geringen Kobaltgehalt. Auf der Grube Brummerjahn bei Borge ist es schon im Anfang des Jahrhunderts gewonnen, aber verkannt. Grube Carolina bei Verbach, Tillerode auf dem Unterharze; obgleich nur nesterweise, so ist doch durch die Bemühungen des Bergrath Zinken auf dem Mägdesprunge letzter Fundort zu den wichtigsten geworden (Pogg. Ann. 3. 271). Emanuel Erbstolln zu Reinsberg bei Freiberg (Pogg. Ann. 46. 272) ein 2—5" mächtiger Gang im Braunsparth. Auffallender Weise kommt es nie mit Bleiglanz vor, und enthält „keine Spur von Schwefel“. Bleiglanzartig sind ferner noch folgende:

Selenqued Silberblei (Hg, Pb) Se Pogg. Ann. 3. 227 von Tillerode. Bleigrau und dreifach blättrig.

Selenkobaltblei $6 \text{ Pb Se} + \text{Co Se}$ von Tillerode und Clausthal ist nur durch 3 p. C. Kobalt verunreinigt, sonst hat es auch den dreifach blättrigen Bruch.

Selenkupferblei ist nur in dichten unblättrigen Massen von Tillerode und Tannenglasbach bekannt, letzteres scheint nach Naumann einen dreifach blättrigen Bruch zu haben. Blei- und Kupfergehalt variiren sehr gegen einander. Man nimmt dreierlei an:

$\text{Pb Se} + \text{Cu Se}$ 47,4 Pb, 15,4 Cu, 1,3 Ag, 34,3 Se, Tillerode.

$2 \text{ Pb Se} + \text{Cu Se}$ 59,7 Pb, 7,9 Cu, 0,3 Fe, 30 Se, Tillerode und Tannenglasbach.

$4 \text{ Pb Se} + \text{Cu Se}$ 63,8 Pb, 4 Cu, 2 Si, 29,3 Se, Tannenglasbach. Vielleicht entsprechen sie dem Euproplumbit. Nehmen wir dazu noch Selen Silber, Eulairit, Selenkupfer, Selenqued Silber, Selen Schwefel, so sind damit die wichtigsten Selenfossilien zusammengestellt.

Z i n k e r z e.

Geschwefeltes Zink ist unter den Zinkerzen bei weitem das verbreitetste, aber wegen seiner schweren Verhüttung lange verkannt und nur wenig auf Zink benutzt. Oben wurde bereits Kieselzinkerz pag. 369, Galmei pag. 424, Zinkvitriol pag. 526, Franklinit pag. 611, Rothzinkerz pag. 655 kennen gelehrt, außerdem spielt es noch bei den Fälerzen eine Rolle.

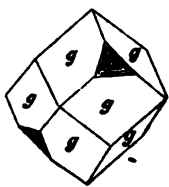
Blende Zn .

Galena inanis Agricola 705. Wegen des Glanzes vermuthete der alte Bergmann ein brauchbares Metall darin, aber der Hüttenproceß ergab nichts, er nannte es eine „zum Schmelzen höchst verderbliche mineralische Aftergeburt.“ Pseudogalena, Sterile nigrum. Erst die neuern Systematiker nannten es zum Ueberfluß Zinkblende. Zinc sulfuré.

Reguläres Krystallsystem mit entschiedener Neigung zur tetraedrischen Hemiedrie: 6fach blättriger Bruch des Granatoeders, fast von der

Deutlichkeit des Bleiglanzbruches, den Lasurstein pag. 355 weit übertreffend, und daher einzig in seiner Art (Hauy Essai cryst. 186). Aus der schwarzen Blende von Holzappel kann man mit dem Messer die schönsten Granatoeder spalten. Dehnt man drei in einer Zone aus, so entsteht eine reguläre sechsseitige Säule mit Rhomboeder; dehnt man zwei in einer quadratischen Säule aus, so ist wie bei der Hyacinthkrystallisation ein Oktaeder auf die Kanten aufgesetzt. Verkürzt man diese quadratische Säule bis zum Verschwinden, so dehnt sich das Oktaeder des Granatoeder zu einem viergliedrigen Oktaeder mit Endkanten von 120° und Seitenkanten von 90° aus. Läßt man eine sechsseitige Säule weg, so bleibt ein Rhomboeder mit 120° in End- und 60° in den Seitenkanten. Alles das sind Übungsaufgaben für Anfänger.

Trotz des einfachen Systems ist es häufig ganz besonders schwer, die Krystalle zu entziffern, wenn gleich die Zwillinge einen Theil der Schuld tragen. Im Ganzen genommen herrscht das Granatoeder auch unter



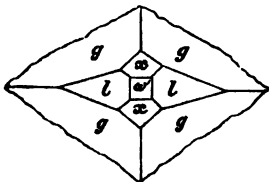
den Krystallflächen vor, aber die abwechselnden dreikantigen Ecken werden durch das gestreifte Tetraeder abgestumpft. Die Streifen gehen nicht wie beim Fahlerz den Tetraederkanten, sondern entgegengesetzt den Oktaederkanten parallel, das gleichseitige Tetraeder-Dreieck deutet also durch seine Streifung auf die Blätterbrüche des Granatoeders hin. Wenn das Granatoeder zurück tritt, so pflegt das glatte Gegen-

tetraeder die Ecken des gestreiften Tetraeders abzustumpfen (Pacherstollen). Dieser Gegensatz von glatt und gestreift an verschiedenen Tetraedern ist so schlagend, daß z. B. bei den scheinbaren Oktaedern von Rodna in Siebenbürgen man den Unterschied leicht erkennt. Der Würfel tritt ebenfalls häufig und sehr glattflächig auf. Am eigenthümlichsten unter allen ist jedoch die Leucitoidfläche $l = a : a : \frac{1}{2}a$, welche hälftflächig aber gewöhnlich bauchig oder parallel der Axe a gestreift untergeordnet die vierkantigen Ecken des Granatoeders zuspitzt. Man erkennt sie sehr leicht an den divergirenden Kanten, welche sie mit den Granatoederflächen g macht. Da sie am Tetraeder die Kanten zuspitzen, so bilden sie zuweilen auch ein Pyramidentetraeder.

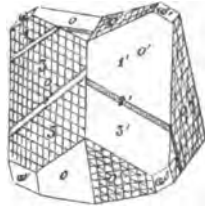


Wie durchgreifend das tetraedrische Gesetz sei, das zeigt z. B. die schöne gelbrothe phosphorescirende Blende von Kapnik: bei derselben herrscht das Granatoeder g , dem der Würfel w sich unterordnet; zwei Ecken ggw sind durch $l = a : a : \frac{1}{2}a$, die andern beiden zwar auch, aber durch das Pyramidentetraeder $x = a : a : \frac{1}{2}a$, wie die Zonen gx deutlich beweisen. Untergeordnet findet sich zwischen w/g

auch der Pyramidenwürfel $p = a : 2a : \infty a$. Hr. Hesseberg fand noch $\frac{1}{2} (a : a : \frac{1}{2}a)$ und $a : 4a : \infty a$.



Zwillinge außerordentlich gewöhnlich, sie haben wie immer eine Oктаederfläche gemein und liegen umgekehrt. Die schwarze Blende von Rodna mit Schwefelkies und Kalkspath ist wegen der großen Menge von Individuen, welche sich wiederholen, besonders interessant. Es sind Cubooktaeder, hin und wieder mit ganz untergeordneten Granatoederflächen. Nebenstehende Zeichnung gibt einen der einfachen: jedes der beiden Hauptindividuen links und rechts besteht aus verschiedenen ungeraden Stücken, das linke aus 5, das rechte aus 3. Von den 5 sind die geraden 2 und 4 nur sehr schmal, eben so rechts das mittlere. Solche Zwischenstücke werden oft so dünn, daß sie zur feinsten Linie zusammenschrumpfen. Untersuchen wir die Flächenstreifung genauer, so sind links die 3 Stücke der ungeraden Zahlen gestreift, rechts die 2 ungeraden nicht, und umgekehrt. Betrachten wir das Ganze als einen einfachen Zwilling, so ist die Lage der glatten und gestreiften Tetraederflächen gerade so, als wenn man ein solches einfaches Ditetraeder halbiert und die Hälften um 60° gegen einander verdreht hätte. Es kommen ganze Hauswerke vor, worin aber oft das Wachsthen erkennlich, ein einziges Cubooktaeder zu bilden. Nicht selten durchwachsen sich auch die Granatoeder, wie bei der schönen braunen Blende von der Albertine bei Neuborf auf dem Unterharze, die gemeinsame sechsseitige Säule ist daran verkürzt. Vehrreich für solche Durchwachsung ist auch die schwarze berbe Blende von Holzappel: die den Zwillingeindividuen gemeinsame sechsseitige Säule springt glatt weg, wenn man jedoch das Rhomboeder daran schlagen will, so treten aus den Blätterbrüchen desselben dunklere Streifen hervor, die sich nicht in der Flucht blättern, sondern erst bei einer Drehung um 60° ein spiegeln. Es sind das eingewachsene Zwillingstücke.



Der blättrige Bruch greift so durch, daß man gar keinen muscheligen schlagen kann. Dunkle Farben spielen ins Roth, Braun, Gelb, Grün. Oft große Durchscheinheit, daher unvollkommener Diamantglanz. Durch Reiben phosphorescirend, besonders die von Kapnik pag. 147. Härte 3—4, spröde, Gew. 4. Leitet die Electricität unvollkommen.

Verknistert vor dem Löthrohr stark, doch bringt man sie durch langsame Erhizen leicht zum Stillstand, sie gibt dann in der äußern Flamme einen Zinkbeschlag (Zn heiß gelb, kalt weiß), und schmilzt an den Ranten. Große Proben bedecken sich mit einer dicken Schicht von Oxyd. Ein Cadmiumgehalt ist schwerer nachzuweisen. Gut geröstete Proben geben mit Flüssigen Reaction auf Eisen. In Salzsäure löslich unter Entwicklung von Schwefelwasserstoff, in Salpetersäure unter Ausscheidung von Schwefel.

Zn S mit 66,7 Zink und 33,3 Schwefel.

Eisen häufig das Verunreinigungsmittel. Die grüne und rothe von Ratiborzig in Böhmen silberhaltig.

Blende ist auf Erzgängen der alten und neuen Welt der stetige Begleiter des Bleiglanzes, daher erklärt sich der alte bergmännische Name Galena inanis. In Schweden bildet sie Lager im Gneise, die 50'—60'

mächtig weit fortsetzen (Braun Zeitschr. deutsch. geol. Ges. IX. 555). Das Flözgebirge hält sie viel häufiger eingesprengt als den Bleiglanz: im Muschelkalk (Poltringen bei Tübingen, Erailsheim), in der Lettenkohle, in den Thoneisensteinen des Rias und braunen Jura, besonders aber in den Kammern des Ammonites amaltheus, worein sie nur auf nassem Wege gekommen sein kann.

Blätterblende in körnigen derben Massen. Werner schied nach der Farbe:

a) Gelbe Blende, reflectirt zwar in dicken Stücken dunkle Farbe, in dünnen oder an gesprungenen Stellen zeigt sich eine helle Kolosoniumfarbe, was sich bis zum durchsichtigen Weißen (Eleiophan von Franklin in New-Jersey, Erdmann's Journ. prakt. Chem. 52. 507) steigern kann. Einerseits geht sie bis ins Grasgrün (Gumerud in Norwegen, Böhmen), andererseits ins Roth. Nicht selten umhüllt die grüne die rothe, und geht darin über, woraus die Unwichtigkeit der Unterscheidung einleuchtet. Sie ist die reinste Abänderung. Die gelbe von Kapnit phosphorescirt stark beim Reiben.

b) Braune Blende. Ihre Farbe beginnt mit dem Hyacinthroth (Landskrone, Rosenkranz bei Freiberg), man kann sie da fast mit Granat verwechseln. Gewöhnlich nimmt sie aber viel Schwarz auf und geht ins tiefe Braun, wie die schön glänzenden Krystalle von Neudorf bei Harzgerode.

c) Schwarze Blende ist die häufigste, aber auch unreinste. Nur in dünnen Stücken gewahrt man noch etwas vom Braun, zuweilen aber auch das nicht, und man muß sich dann vor Verwechslung mit verwittertem Spatheisenstein hüten. Die schön krystallisirte von Rodna in Siebenbürgen zeichnet sich durch ihre Schwärze aus. Eine Abänderung von Marmato bei Popayan (Marmatit) soll sogar 23,2 Fe S enthalten, also 3 Zn S + Fe S sein.

Strahlenblende von Przibram in Böhmen. Bildet zwar diamantglänzende blättrige Strahlen, doch kann man daran den 6fach blättrigen Bruch nicht mehr nachweisen, auch scheint sie senkrecht gegen die Strahlen noch einen undeutlichern Blätterbruch zu haben, dieser krümmt sich, und führt zur schaaligen Absonderung. Dünne Splitter scheinen braun durch. Löwe wies darin neben Schwefelzink noch 1,5—1,8 Cadmium nach, was sich auch durch einen braunen Kranz auf der Kohle, wiewohl undeutlich, zu erkennen gibt. Noch mehr von der Blendenatur entfernt sich

Schaalenblende, kam früher ausgezeichnet auf der Grube Silberckel bei Hohengeroldsdorf auf dem badischen Schwarzwalde vor. Es ist eine dichte concentrisch schaalige Blende mit nierenförmiger Oberfläche, aber ob sie gleich äußerlich dem Brauneisenstein gleicht, so zeigt sie doch innen keine Faser, sondern matten Jaspisbruch. Auch die körnigen derben Blenden gehen, zumal wenn sie unreiner werden, zuletzt ins Dichte über (Holzappel).

Blende wird in neuern Zeiten auch auf Zink verhüttet. So gewinnt Preußen im Bezirk Siegen allein über 100,000 Etr. à 4½ Silbergroschen im Werth, bei der Hütte Vorbeck (Westphalen) 56,000 Etr. Um daraus Zink zu scheiden wird die gepochte Masse in einem Flammenofen unter fortwährendem Umwenden geröstet. Das gebildete Zinkoxyd reducirt man durch

Kohle (England, Davos in Graubünden) in Retorten, wie beim Galmei pag. 425. Der Cadmiumgehalt geht zuerst über. Die Blende von Eaten (New-Hampshire) soll 3,2 Cadmium halten, die braunen Varietäten vom Oberharz 0,3—0,6.

Greenockit Cd , reines Schwefelcadmium, kommt als Seltenheit eingesprenkt im Brehmit des Mandelsteins von Bishopston in Renfrewshire (Pogg. Ann. 51. 274) vor: reguläre sechsseitige Säulen mit Geradenfläche sind blättrig. Drei bis vier Dihexaeder über einander stumpfen die Endkanten der sechsseitigen Säule ab, + optisch lazig. Pomeranzengelbe öfter ins Roth gehende Farbe mit starkem Glanz und großer Durchscheinheit. Härte 3—4, Gew. 4,8. Im Glasrohre erhitzt nimmt er eine schöne karminrothe Farbe an, aber nur so lange er heiß ist. Schwefelcadmium mit 77,7 Cd und 22,3 Schwefel. Der bräunlichschwarze Wurzit von Druro in Bolivia soll die gleiche Form haben, aber Schwefelzink sein. Dann wäre Blende dimorph (Jahrb. 1861. 570). Deville hat solche „dihexaedrische Blende“ auch künstlich durch Zusammenschmelzen von Zinkbitriol, Flußspath und Schwefelbarhum erhalten (Compt. rend. 1861. LII. 520).

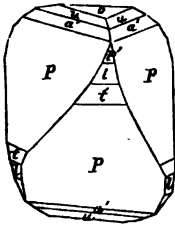
Volzkit $4 \text{Zn} + \text{Zn}$, Voltzine Fournet (Pogg. Ann. 31. 66), überzieht in halbkugeligen Würfchen die andern Erze von Roziers bei Pontgibaud (Puy-de-Dôme). Schmutzig rosenroth, Härte 4—5, Gew. 3,6. Es scheint neuerer Bildung und stimmt mit dem Ofenbruch überein, welcher in den Freiburger Hütten beim Verschmelzen zinhaltiger Erze zuweilen in hohlen sechsseitigen Säulen krystallisirt.

Quecksilbererze

sind bei weitem die wichtigsten, und alle andern hängen damit auf das Engste zusammen. Aus ihnen entstanden: Hornquecksilber pag. 508, gegiegen Quecksilber pag. 569. Eigenthümlich der Quecksilbergehalt gewisser Färlerze.

Zinnober Hg . Den Alten von Kolkhis und Spanien wohl bekannt. Theophrast 103 und Plinius 33. 28 beschreiben ihn, unterschieden schon zwischen Minium und Cinnabaris. Agricola 706 übersetzt Minium nativum mit Bergzinnober, Cinnabaris dagegen mit minium facticium. Mercurblende, Mercure sulfuré, Sulphuret of Mercury. J. Schabus (Sitzungsber. Kais. Akad. Wiss. 1851. Band VI. pag. 63) lieferte eine Monographie seiner Formen.

Rhomboedrisch, aber Krystalle meist klein und selten schön. Ziemlich häufig kommt er jedoch in derben gestreift blättrigen Stücken vor, aus welchen man eine reguläre sechsseitige Säule $l = a : a : \infty a : \infty c$ spalten kann (Japan). Die Geradenfläche $o = c : \infty a : \infty a : \infty c$ ist nicht blättrig. Haug ging von dem Rhomboeder $P = a : a : \infty a : c$ mit $71^\circ 48'$ in den Endkanten aus, was er auch ein wenig blättrig fand. Schabus maß denselben Winkel zu $71^\circ 47' 10''$, gibt für $c = 1$, die Seitenaxe $a = \sqrt{0,19}$. Selten kommt daran auch das Gegenrhomboeder $P' =$



$a' : a' : \infty a : c$ vor. Das nächste stumpfere Rhomboeder $a = 2a' : 2a' : \infty a : c$ mit $92^\circ 37'$ in den Endkanten steht dem Würfel nahe, wie das Hauptrhomboeder dem Tetraederwinkel. Dazu kommt ebenfalls das Gegenrhomboeder $a' = 2a : 2a : \infty a : c$. Die ganze Entwicklung des Systems besteht in Rhomboedern, welche besonders die Kanten zwischen P/o , weniger die zwischen a/o abstumpfen, und die sich nicht durch Zonen, sondern durch Messungen bestimmen lassen. $u = 4a : 4a : \infty a : c$, $k = \frac{1}{2}a : \frac{1}{2}a : \infty a : c$ und $z = 3a : 3a : \infty a : c$ bestimmte schon Haup. Schabus weist $q = \frac{1}{2}a' : \frac{1}{2}a' : \infty a : c$, $t = \frac{1}{2}a : \frac{1}{2}a : \infty a : c$ und viele andere nach. Nur als große Seltenheit findet sich ein Dreiundreikantner. Zwillinge haben die Geradendfläche gemein und sind um 60° gegen einander verdreht. Sehr merkwürdig ist die Circularpolarisation, 16mal stärker als beim Quarz. Zwillingssplatten zeigten sogar Airysche Spiralen (Descloizeaux Ann. mines XI).

Cochenillroth, aber lichter als Arsenikrothgülden, mit scharlachrothem Strich. Durchscheinend, daher Diamantglanz. Härte 2—3, Gew. 8.

Vor dem Löthrohr auf Kohle verflüchtigt er sich vollkommen. In der offenen Glasröhre zerfällt sich der größere Theil zu gebiegenem Quecksilber und schwefliger Säure. Von Säuren wird er nicht merklich angegriffen, in Königswasser löst er sich dagegen schnell und vollkommen.

Hg 8 mit 86,3 Hg und 13,5 Schwefel.

Zinnober kommt auf Erzgängen nicht gewöhnlich oder doch nur in kleinen unbauwürdigen Mengen vor: Müsen, Schemnitz, Neumärktel in Krain u. Nur zuweilen werden diese Gänge mächtig, wie in den berühmten Gruben von Almaden pag. 570, die trotz ihres langjährigen Abbauens noch nicht 1000' Tiefe erreichen. Doch sind es mehr Lager als Gänge, die mit kohlenhaltigen Gebirgen in Verbindung stehen (Zähr. 1856. 12), namentlich bei Idria und in der Rheinpfalz. In neuern Zeiten scheint Neu-Almaden in der Küstentette südlich S. Francisco im S. Clara-Thal bei S. José das ergiebigste Werk zu sein. Im Durchschnitt geben die Erze 10 p. C. Quecksilber.

1. Blättrig-körniger Zinnober. Blättrige gerundete Stücke, woraus man Säulen schlagen kann, kommen besonders aus Japan, wie schon Klaproth (Beirr. IV. 14) berichtet. Dann gehören dahin die Krystalle, welche angeflogen auf den verschiedensten Erzgängen sich finden. Besonders schön sind die hochrothen derben körnigen Massen von Almaden, St. Anna bei Klagenfurt, Schemnitz u. So bald das Korn undeutlich wird, so pflegt auch die Farbe dunkler zu werden, es geht dann in den

2. dichten, doch bleibt der Strich noch hoch scharlachroth. Große Stücke davon brechen bei Almaden.

3. Erdiger, Werner's hochrother Zinnober, von brennend scharlachrother Farbe. Ist nichts weiter als der ochrige Zustand, der besonders schön auf zerfressenen Gesteinen bei Wolfstein in der Pfalz vorkam.

Quecksilbererz nennt der Bergmann die durch Bitumen dunkel gefärbten Erze, besonders in Idria. Die besten sind zwar noch sehr schwer 7,1 Gew., allein ihre schwärzliche Farbe hat nur noch ein wenig Roth, erst im Strich tritt das Roth wieder stark hervor. Klaproth wies darin noch 81,8 p. C. Quecksilber nach. Noch schwärzer ist das schieferige Quecksilbererz, gewöhnlich mit schaaliger Absonderung und glänzenden spiegeligen Druckflächen, ähnlich den Druckflächen in den Schieferthonen und Steinkohlen des Schwarzwaldes. Am allereigenthümlichsten sind jedoch kleine schwarze gesdenartige Formen, die im Querbruche wie Gagat aussehen, und als fremdartige Masse sich in Lebererz eingesprenkt finden. Die Bergleute von Idria nennen das

Korallenerz. Manche haben sehr deutliche concentrische Runzeln, wie die Anwachsstreifen von Muscheln. Die „Korallen“ möchten daher wohl organischen Ursprungs sein. Darauf deutet auch das Bitumen hin, was Dumas Idrialin genannt hat. Diese Kohlenwasserstoffverbindung findet sich besonders im sogenannten Branderze, welches vor dem Röhrohr mit ruhender Flamme brennt, und auch mehr oder weniger mit Zinnober geschwängert ist.

Schon die Alten wußten, daß durch Glühen des Zinnobers mit gebranntem Kalk Quecksilber frei werde: es bildet sich in der Retorte Schwefelcalcium mit schwefelsaurem Kalk, und das Quecksilber destillirt über. Auch Eisenhammerschlag kann man anwenden. Beim andern Verfahren erhitzt man das Erz beim Zutritt der Luft, es gehen dann schweflige Säure und Quecksilberdämpfe über; diese leitet man in Kammern oder Vorlagen, worin sich das Quecksilber verdichtet.

Selenquecksilber (Tiemannit), wurde neuerlich von Hrn. Römer in Clausthal auf der dortigen Grube Charlotte bemerkt (Pogg. Ann. 88. 215), und schon 1829 von Tiemann bei Zorge entdeckt, kommt auch auf den Eskebornner Stellen bei Tilsiterode im Unterharze vor. Es ist derb feinförnig, schwärzlich bleigrau mit Quarz und Rotheisenstein verwachsen. Gew. 7,27. Gibt in offener Röhre einen starken Selengeruch, und enthält nach Kammelsberg 74,5 Hg und 25,5 Se, was zu der Formel $\text{Hg}^6 \text{Se}^5$ führen würde, da die wahrscheinlichere Formel Hg Se 28,4 Selen erfordert.

Selen-schwefelquecksilber von San Onofrio in Mexiko (P. Rose Pogg. Ann. 46. 215) gleicht in Farbe und Glanz dem Fahlerz, milde, Härte 2—3. Verbreitet auf Kohle einen starken Selengeruch, obgleich es nur 6,5 Se neben 10,3 S und 81,3 Hg enthält, also $4 \text{ Hg S} + \text{Hg Se}$ ist. Dasselbst kommt auch der Onofrit, selenigsaures Quecksilberoxydul Hg Se , von gelber erdiger Beschaffenheit vor.

Sulphosäuren Sb, Bi, As.

Sind alle drei unter einander isomorph, und spielen als Säuren bei den geschwefelten Metallen die Hauptrolle, neben welchen etwa noch das Sesquisulfid des Eisens Fe S^3 genannt werden kann. Man analysirt ihre Salze

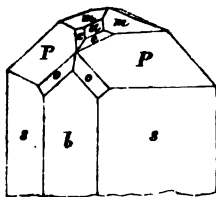
meist mittelst Chlorgas, wie z. B. die Fäzlerze. Mit Schwefelalkalien bilden sie lösliche Salze, wodurch die Zufuhr auf den Erzgängen erklärt werden könnte.

1. Grauspießglanz Sb.

Die alten Mineralogen nannten es schlechthin Spießglas, an die spießigen Krystalle erinnernd, Stibi Spiesglas Agricola 707. Wegen seiner Heilkräfte war es schon im Alterthum berühmt, als *Σίβη*, *Σίβημ*, Stibium Plinius 33. 33. Erst später wurde der Name Spießglanz oder Stibium auf das Antimonmetall übertragen pag. 596. Antimonglanz, Antimonit. Antimoine sulfuré, Sulphuret of Antimony.

Zweigliedriges Krystallsystem, aber gute Krystalle selten. Gewöhnlich in langstrahligen Säulen $s = a : b : \infty$ von $90^\circ 45'$, die aber durch Längstreifen entstellt sind. Das beste Kennzeichen bildet der sehr deutlich blättrige Bruch $b = b : \infty a : \infty c$, welcher die scharfe Säulenkante gerade abstumpft, eine markirte Querstreifung parallel der Axe a (Wolfsberg) deutet auf eine Geradenfläche $c = c : \infty a : \infty b$ hin. In Ungarn kommen ausgezeichnete Flächen am Ende vor, darunter herrscht das Oktaeder $P = a : b : c$ mit $109^\circ 16'$ in der vordern Endkante, $108^\circ 10'$ in den seitlichen und $110^\circ 59'$ in den Seitenkanten, folglich

$$a : b = \sqrt{0,9327} : \sqrt{0,9577}.$$



Darüber liegt ein stumpferes Oktaeder $m = a : b : \frac{1}{2}c$ zwar mit glänzenden, aber gekrümmten Flächen. Das auf die scharfe Säulenkante aufgesetzte Paar $a = c : 2b : \infty a$ ist nur klein, und die Kante P/a durch $e = a : \frac{1}{2}b : \frac{1}{2}c$ abgestumpft, so daß $maeP$ in einer Zone liegen. Interessant die Fläche $o = a : c : \frac{1}{2}b$, in o/o die Kante

119° bildend. Bei Wolfsberg dehnen diese sich allein zu einem spitzigen Oktaeder aus, wodurch jene ausgezeichnet spießigen Krystalle entstehen.

Bleigrau mit sehr starkem Metallglanz, der an den des Bleiglanzes heranstreift. Milde und gemeinbiegsam, daher die Säulen häufig krumm (Wolfsberg), wie beim Gyps. Härte 2, Gew. 4,6. Gleicht äußerlich dem Braumangan pag. 627, schon Agricola 657 (Stibi . . . in Herciniis Ilfeldae) verwechselt es damit. Allein vor dem

Löthrohr schmilzt es außerordentlich leicht, färbt die Flamme deutlich grünlich, und beschlägt die Kohle mit schwerem weißem Antimonoryd. In offener Glasröhre gibt es anfangs antimonige Säure (Sb), später kommt dazu noch Antimonoryd Sb, während der Schwefel als schweflige Säure entweicht. Da die Sb nicht flüchtig ist, so läßt sich das Sublimat nur theilweis verflüchtigen, was bemerkenswerth ist, da gebiegen Antimon in gleicher Weise behandelt nur flüchtiges Antimonoryd (Sb) gibt. Reducirt sich in einem Wasserstoffstrom. Schneider (Pogg. Ann. 1856. 98. 100) benutzte den Arnsberger zur Bestimmung des Atomgewichts vom Antimonium, und fand

71,48 Sb, 28,52 S. Er hatte nur $\frac{1}{4}$ p. C. Quarz, keine Spur von Schwefelarsen, das bei andern bis auf 1 p. C. steigt.

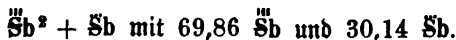
Grauspießglanz gehört gerade nicht zu den gewöhnlichen Erzen auf Gängen. Einige Hauptgruben sind: Wolfsberg auf dem Unterharz bei Stollberg, Neue Hoffnung Gottes zu Bräunsdorf und Mobendorf bei Freiberg, Wintrop und Untrop bei Arnsberg in Westphalen in sehr mächtigen reinen strahligen Massen. Kremnitz und Schemnitz in Ungarn, Felsöbánya in Siebenbürgen mit gebiegem Gold. Allemont in der Dauphiné, Cornwall in Gängen, welche die von Kupfer und Zinnstein durchsetzen.

Kryrstalle und blättrige Massen besonders in Ungarn und auf dem Unterharz. Die Kryrstalle gehen zuletzt in die feinsten Nadeln über, welche sich wegen ihrer Milde ähnlich wie Asbestnadeln verfilzen (Federerz). Doch sind viele derselben bleihaltig, und gehören zur Gruppe der Bleispißglanze. Zuletzt geht die Masse ins Feinkörnige bis Dichte über, wie zu Nagurka im Siptauer Komitat und Goldtronaach auf dem Fichtelgebirge. Doch ist das meist nicht mehr rein.

Das Erz wird vom Gestein ausgefagert, d. h. beim Erhitzen tröpfelt es von der Gebirgsart ab, und kommt als Antimonium crudum mit krySTALLINISCHEM Gefüge in den Handel. Der Centner 6—7 fl. werth. Arsenit, Kalium, Eisen verunreinigen es. Die Römer färbten sich mit Stibium die Augenbraunen schwarz, jetzt dient es hauptsächlich zu pharmaceutischen Präparaten. Wenn man Schwefelantimon schmilzt und plötzlich erkalten läßt (Pogg. Ann. 31. 59), so geht es in den amorphen Zustand mit röthlich braunem Strich über, von 4,28 Gew. Dasselbe wird aber bei langsamem Erkalten krySTALLINISCH.

Das auf nassem Wege erzeugte Schwefelantimon ist rothbraun, man sieht es daher als den amorphen Zustand an. Schmilzt man dasselbe aber in einer Atmosphäre von Kohlensäure, so wird es schwarz wie das wahre Grauspißglanz. Schwefel mit Antimon zusammengeschmolzen gibt wahres Grauspißglanz (Pogg. Ann. 89. 122).

Rothspießglanz Sb^2Sb , natürlicher Mineralkermes, Antimonblende, Pyrantimonit. Den sächsischen Bergleuten von Bräunsdorf längst bekannt, wo es mit Grau- und Weißspießglanz pag. 656 zusammen vorkommt. Es sind diamantglänzende kirschrothe Nadeln, die nach einer Längsrichtung blättrigen Bruch zeigen. Nach Mohs sollen die Kryrstalle 2 + 1gliedrig sein. Gyps Härte, milde, 4,5 Gew. Schon Klaproth (Beitr. III. 172) wies darin Schwefel und Sauerstoff nach, und H. Rose (Pogg. Ann. 3. 424) fand die Formel



Spießglanzglas (Vitrum Antimonii), was durch Zusammenschmelzen von Antimonoxyd und Antimonosulfid entsteht, hat wenigstens eine ähnliche rothe Farbe. Der künstliche Mineralkermes soll jedoch nur ein Gemisch von beiden sein (H. Rose Pogg. Ann. 47. 222).

Das nadelförmige Rothspießglanz findet sich besonders schön auf der

Neuen Hoffnung Gottes zu Bräunsdorf bei Freiberg, in Ungarn zu Malaczka, zu Allemont in der Dauphiné.

Zundererz nannte Werner die verfilzte Faser, welche lappig und leicht wie Zunder ist. Die Farbe hat einen Stich ins Roth, und das erinnert an Rothspießglanz, aber vor dem Löthrohr bekommt man neben Antimonrauch einen deutlichen Bleibeschlag (Neudorf). Die Oberhärzer von Andreasberg und Clausthal werden nach Hausmann sogar zu den Silbererzen gezählt. Auf Bleiglanzgängen von Clausthal sehr licht roth.

Bleispießglanzerz

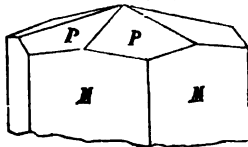
gibt es eine ganze Reihe. Sie bestehen wesentlich aus Pb S und Sb S^3 , aber in dem mannigfachen Verhältnisse. Durch ihr Vorkommen schließen sie sich eng an Grauspießglanz, Bournonit, Fahlerz und Bleiglanz an.

Federerz $\text{Pb}^2 \text{Sb}$ mit 49,9 Blei, 30,9 Antimon, 19,2 Schwefel. Meist in haarförmigen Krystallen von schwärzlich bleigrauer Farbe. Aeußerlich gleichen sie dem Grauspießglanz, auch schmelzen sie eben so leicht, aber geben einen Bleibeschlag. Felsöbánya in Siebenbürgen, Wolfsberg auf dem Unterharz; von diesem zeigte H. Rose (Pogg. Ann. 15. 471) zuerst, daß es wesentlich Schwefelblei enthalte, während man es bis dahin für Grauspießglanz nahm, mit dem es zusammenbricht. Neuerlich hat Rammelsberg zu Wolfsberg auch dichtes unkrystallinisches gefunden von Kalkspathhärte und 5,68 Gew. (Pogg. Ann. 77. 240). Im Seltethale unterhalb dem Mägdesprung kam es auch in größern Krystallen vor, die Strahlen zeigten einen blättrigen Querbruch. Rammelsberg möchte es daher lieber Pteromorphit nennen. Von der gleichen Formation ist Damour's

Dufrenoyfit (Binnit, Sklerotlas) $\text{Pb}^2 \text{As}$ (Ann. Chim. Phys. 3 ser. 14. 379) im Dolomit des Binnenthales im Oberwallis mit Schwefelkies und Kauschroth. Wurde bisher für Fahlerz gehalten, dem es in Farbe und kleinschuppeligem Bruch gleicht, wiewohl es viel spröder und weicher ist. Gypshärte, milde, Strich fällt deutlich ins Roth, Gew. 5,4. Nach Descloizeaux (Ann. des mines 1856. VIII. 220) sind die 2gliedrigen Krystalle zuweilen außerordentlich flächenreich: Säule $m = a : b : \infty$ $118^\circ 1'$, Geradendfl. p 001, h 100, Spuren von Blätterbruch nach g 010. Zwischen g/p in der Zone von Ax a sind 13 Flächen gemessen, 7 in Zone h/p . Heusser (Pogg. Ann. 97. 117) stellte sie anders. Bei der Seltenheit guter Krystalle, die beim Heraus schlagen gar gerne zerbrechen, fällt das Erkennen schwer. Vor dem Löthrohr außerordentlich leicht schmelzbar unter Arsenikdämpfen mit Bleibeschlag und Bleikorn: 55,4 Blei, 20,7 Arsen, 22,5 Schwefel, 0,2 Silber, 0,3 Kupfer. Ein interessantes durch sein Muttergestein leicht erkennbares Mineral. Es kommen damit noch kleine reguläre Granatoeder vor, die Damour anfangs für die Krystalle der derben Masse hielt, bis Sartorius (Pogg. Ann. 1855. 94. 115) darin wie im Enargit Kupfer nachwies. Die Franzosen nennen dieses Kupfermineral jetzt Binnit, und ließen dem Bleimineral den alten Namen Dufrenoyfit, die Schweizer machen es umgekehrt.

Querspießglanz $\text{Pb}^3 \text{Sb}^3$ (Jamejonit), 2gliedrige Säulen $a : b : \infty c$ mit $101^\circ 20'$, die scharfe Kante durch $b : \infty a : \infty c$ gerade abgestumpft. Geradenfläche $c : \infty a : \infty b$ sehr deutlich blättrig, daher der passende Weiß'sche Name. Stahlgrau bis Bleigrau. Härte 2, Gew. 5,6. Metallglanz. Nach H. Rose (Pogg. Ann. 8. 99) enthält es 40,7 Pb, 22,1 S, 34,4 Sb, 2,3 Fe. Die Eisenreaction erkennt man an der zurückbleibenden Schlacke, da alles Uebrige sich verflüchtigt. Große Mengen in Cornwallis, öfter von Bournonit begleitet. Nertschinsk, Estremadura zc.

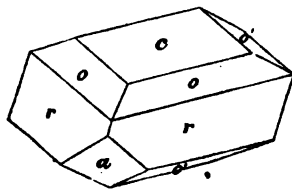
Zinkenit $\text{Pb}^3 \text{Sb}^3$ G. Rose (Pogg. Ann. 7. 91) mit Federerz zu Wolfsberg auf dem Unterharz. In strahligen krystallisirten Bündeln. Scheinbar dihexaedrisch. Stark gestreifte reguläre sechsseitige Säulen M von ungefähr 120° endigen mit einem sehr stumpfen Dihexaeder zweiter Ordnung von $165^\circ 26'$ in den Endkanten. Die Dihexaederflächen sind aber unterbrochen gestreift. G. Rose sieht sie daher für Drillinge des 2gliedrigen Systems an, wofür das Aus- und Einspringen der Säulenwinkel allerdings zu sprechen scheint. Renngott hält sie für 2+1gliedrig. Stahlgrau, entschieden lichter als das mitvorkommende Federerz und Grauspießglanz. Reichlich Kalkspathhärte, Gew. 5,3. Vor dem Löthrohr verflüchtigt es sich vollständig mit Antimon- und Bleirauch. Nach H. Rose



$\text{Pb}^3 \text{Sb}^3$ mit 31,8 Pb, 44,4 Sb, 22,6 S, 0,4 Cu.

Die gleiche Formation haben Mharghyrit $\text{Ag}^3 \text{Sb}^3$, Kupferantimonoglanz $\text{Cu}^3 \text{Sb}^3$, Verthierit $\text{Fe}^3 \text{Sb}^3$.

Plagionit $\text{Pb}^4 \text{Sb}^3$ G. Rose (Pogg. Ann. 28. 421), Zinken's Rosenit; ebenfalls von Wolfsberg. Von $\pi\lambda\acute{\alpha}\gamma\iota\omicron\varsigma$ schief, weil es sehr schiefelächige 2+1gliedrige Krystalle hat. Geht man von den schiefen Axen der $oo\ o'o'$ aus, so ist $o = a : b : c$ vorn, und $o' = a' : b : c$ hinten, dann stumpft $c = c : \infty a : \infty b$ die Endede, $a = a : \infty a : \infty c$ die vordere Seitenede ab; $r = a : b : 2c$. Die Winkel $r/r = 120^\circ 49'$, $o/o = 142^\circ 3'$, $o'/o' = 134^\circ 30'$, c/a vorn $= 107^\circ 32'$. $a : b : c = 1 : 0,88 : 0,37$. Nur Fläche c ist stark glänzend, und r/r etwas blättrig, aber wie die andern Flächen rauh gestreift. Stahlgrau, kaum lichter als Zinkenit, daher in derben Stücken davon nicht zu unterscheiden. Kalkspathhärte, Gew. 5,4. Vor dem Löthrohr verflüchtigt er sich ebenfalls vollständig. Nach H. Rose 40,5 Pb, 37,9 Sb, 21,5 S.



Grauspießglanz, Federerz, Zinkenit und Plagionit kommen zu Wolfsberg zusammen mit Bournonit vor. Federerz verflüchtigt sich nicht vollständig, woran man ihn leicht unterscheidet.

Boulangerit $\text{Pb}^3 \text{Sb}$ von Molières Dep. Gard. (Pogg. Ann. 36. 424). Die dichten Massen von schwärzlich bleigrauer Farbe neigen sich zum seidartigen Metallglanz. Kalkspathhärte, Gew. 6. Die reinen Massen verflüchtigen sich vollständig. Es kommt in bedeutenden Mengen vor, 35 Schwefelantimon, 62,1 Schwefelblei, 1,9 Schwefeleisen, 1,1 Schwefelkupfer. Zinken fand ihn auch bei Wolfsberg in schwarzgrauen safrigen Massen, Thaulow zu Nasafjeld in Lappland (Pogg. Ann. 41. 216). Verworren safrig mit Graubraunstein zu Nertschinsk (Pogg. Ann. 46. 221). Die chemische Formation stimmt mit Rothgülden $\text{Ag}^3 \text{Sb}$. Der glänzend safrige Meneghinit $\text{Pb}^4 \text{Sb}$ von Bottino in Toscana enthält etwas Kupfer.

Geokronit $\text{Pb}^5 (\text{Sb}, \text{As})$ ($\gamma\eta$ Erde, Κρονος Saturn. Pogg. Ann. 51. 122) von Sala, auf den dortigen Silbergruben, wie Fahlerz aussehend, Gew. 5,88, ähnlich Rilsbridenit von Rilsbriden in England $\text{Pb}^6 \text{Sb}$.

Eisenspießglanzerze $\text{Fe}^2 \text{Sb}^7$

kommen viel seltener vor. Man faßt sie zusammen unter Hädinger's Namen

Berthierit (Pogg. Ann. 11. 472). Die ersten Anzeichen fanden sich auf einem Gange von Chazelles in der Auvergne, verworren blättrig wurden sie für Spießglanz gehalten, der in jenen Gegenden viel gewonnen wird, allein der matte Regulus wollte keinen Käufer finden, woran das Schwefeleisen die Schuld trug. Das Erz ist dem Grauspießglanz sehr ähnlich, hat aber nach Berthier die Formel $\text{Fe}^3 \text{Sb}^2$. Später fand Berthier auf der Grube Marturet daselbst noch eine zweite Verbindung $\text{Fe}^3 \text{Sb}^4$, dieselbe war homogen und weniger lebhaft glänzend als Grauspießglanz. Die dritte stammt von Anglar (Dep. la Creuse), kommt auf einem Schwefelkiesgange vor, der nach innen reines Grauspießglanz hat, und zwischen diesem und dem Schwefelkies lagert unser Mineral Fe S Sb S^5 von der Formation des Zinkenits (Pogg. Ann. 29. 458). Darauf wiesen es Breithaupt und Rammelsberg (Pogg. Ann. 40. 155) auch auf der Grube Neue Hoffnung Gottes zu Bräunsdorf bei Freiberg und Pettko zu Arang-Jokla in Oberungarn nach, so daß man sich jetzt gewöhnt hat, den

Berthierit von Bräunsdorf $\text{Fe}^3 \text{Sb}$ mit 58,5 Sb, 12,3 Fe, 29,2 S nebst einem kleinen Mangan- und Zinkgehalt, die das Eisen ersetzen, als die normale Species anzusehen. Es sind schmalstrahlige bis faserige Massen von dunkel stahlgrauer Farbe, wie beim Grauspießglanz scheint ein blättriger Längsbruch zu herrschen. Rauft gern etwas gelblich an. Härte 2—3, Gew. 4. Vor dem Löthrohr schmilzt er sehr leicht unter Antimonrauch und hinterläßt eine magnetische Schlacke.

Hier würden sich dann weiter Kupfer- und Silberspießglanzerze anschließen.

2. Bismuthglanz Bi.

Zwar viel unwichtiger, als Graupießglanz, bildet aber dennoch eine Reihe ähnlicher Verbindungen. Für Bismuthgewinnung spielt er keine Rolle. Das *Vismutum sulphure mineralisatum* von Bastnäs bei der Rittershütte kennt schon Cronstedt § 222. Wallerius nannte es *Galena Wismuthi*, aber erst Werner gab ihm den passenden Namen, doch wurde anfangs viel darunter verwechselt. Bismutin. Bismuth sulfuré, Sulphuret of Wismuth.

Zugliedrig und isomorph mit Sb (Phillips Pogg. Ann. 11. 476). In Cornwall kommen kleine meßbare Krystalle in stark gestreiften geschobenen Säulen von 91° vor, deren scharfe Kante durch einen deutlich blättrigen Bruch gerade abgestumpft wird, also wie beim Graupießglanz. Durch Zusammenschmelzen von Schwefel und Bismuth kann es leicht künstlich erhalten werden, Phillips maß auch solche künstliche Krystalle, aber kaum von der Dicke eines Menschenhaares, es waren 8seitige Säulen, die mit den natürlichen in ihren Winkeln übereinstimmten.

Sehr leicht bleigrau, aber leicht etwas gelblich anlaufend. Metallglanz. Härte 2, milde, Gew. 6,5.

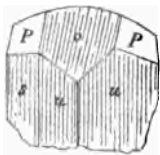
Vor dem Löthrohr schmilzt er sehr leicht, die Kugel lockt und spritzt und gibt einen gelben Beschlag von Bismuthoxyd. Die übrigbleibende Schlacke reagirt gewöhnlich auf Eisen und Kupfer. Das von der Bastnäsgrube mit Cerit vorkommende hat nach H. Rose (Gilbert's Ann. 72. 191) 81 Bi 18,7 S, was ziemlich gut mit Bi S³ stimmt. In der Reinerzau (württembergischer Schwarzwald) kam er früher in groben krystallinischen Strahlen eingesprenkt im grünen Flußpath vor. Zu Wiber in Hessen finden sich glänzende Nadeln haufenweis in kleinen Drusenräumen des Zechsteins. Uebrigens muß man sehr vorsichtig sein, das Mineral nicht mit Kupferwismuth zu verwechseln. So hielt man bisher die schmalen Strahlen im Hornstein von Schwarzenberg im Erzgebirge für einfaches Schwefelwismuth, bis Schneider bewies, daß es 18,7 Kupfer enthalte, also Kupferwismuthglanz sei. Schwefelwismuthhaltig ist ferner Nadelierz, Bismuthsilber und das seltene Wismuthkupfer vom Schwarzwalde; Nickelwismuthglanz pag. 681, Rareinit pag. 660. Siehe Wismuth pag. 595.

3. Kauschgelb.

„Von denen Krämern und Mahlern Kauschgeel genennet.“ *Risigallum* Wallerius (*Mineralog. Species* 222). Stammt aus der italienischen Benennung *rosso gelo* (rothes Glas), weil man vorzugsweise das rothe einfache Schwefelarsenit *ArS* darunter verstand. Es ist schon im hohen Alterthum gekannt. Das mineralogisch interessantere ist das

Gelbe Kauschgelb ^{As}As, schlechthin Kauschgelb, *ἀρσενικόν*, *Auripigmentum* Plin. 33. 22, quod in Syria foditur pictoribus in summa tellure, auri colore, sed fragili, lapidum specularium (Gyps) modo. Daraus verstümmelt *Opment*, englisch *Orpiment*, *Arsenic sulfuré jaune*. Gelbe Arsenblende.

Zweigligedrig, von Mohs zuerst richtig erkannt. Kleine zum Einsenförmigen sich neigende Krystalle kommen in einem dunkeln Thon, der Stücke von grauem Dolomitsande einwickelt, von Tajoma bei Neusohl in Niederungarn häufig vor. Man darf den Thon nur ins Wasser legen, so fallen knollige Drusen heraus, die Streifung und der geringe Glanz der Fläche lassen jedoch nur annähernde Bestimmung zu. Gewöhnlich herrscht eine stark längsgestreifte Säule $s = a : b : \infty c$, die nach dem Augenmaß von einem rechten Winkel



nicht stark abweicht. Am freien Ende ist das Octaeder $P = a : b : c$ gerade aufgesetzt, dessen vordere Endkante durch $o = a : c : \infty b$ ($83^\circ 37'$) stark, häufig bis zum Verschwinden von P , abgestumpft wird. Dieses zugehörige Paar ist ebenfalls parallel der Kante $a : c$ stark gestreift, und da sich auch zwischen P/o noch Abstumpfungsf lächen einstellen, so erzeugt sich ein Anfang von linsenförmiger Krümmung. In der Säulenzone gibt Mohs noch die Flächen $u = a : 2b : \infty c$ an, mit $117^\circ 49'$ in der vordern Säulenkante, daraus würde s/s $79^\circ 20'$ im vordern Säulenkantenwinkel folgen, was nicht sehr vom Grauspießglanzwinkel abweicht. Aber Mohs gesteht selbst zu, daß es nur rohe Näherungswerthe seien. Am wichtigsten ist der ausgezeichnete Blätterbruch $b = b : \infty a : \infty c$, so deutlich als beim Gyps, und in den kleinen Krystallen einen starken innern Lichtschein erzeugend. Er ist quer gestreift (parallel der Axe a), wie beim Grauspießglanz. Besonders schön kann man diesen Blätterbruch bei den derben Stücken, die aus Persien stammen sollen (Kurdistan, Ritter Erdkunde XI. 634; Wright Sillim. Amer. Journ. 14. 108), darstellen.

Ausgezeichnet citronengelb, mit Perlmutterglanz, hochgelbem Strich, daher zu Malerfarbe tauglich. Blättchen und selbst dickere Platten scheinen stark durch, aber wirken nicht sonderlich auf das Dicrostoskop. Härte 1—2, milde und gemein biegsam, Gew. 3,5.

Vor dem Löthrohr entzündet es sich leicht, und brennt mit weißlicher Flamme unter Entwicklung von schwefliger und arseniger Säure fort. Die ältern Chemiker hielten es für das schwefelärmere, bis Klaproth (Beiträge V. 224) das Gegentheil bewies. Derselbe fand 62 As und 38 S, was ungefähr der Formel $As S^3$ entspricht, welche 61 As und 39 S fordert. Seltenere als das

Rothe Rauschgelb As , Rauschroth, Realgar, *συνδαράκη* schon von Aristoteles erwähnt, Plin. 35. 22; Rubin Schwefel, weil er fast so leicht als Schwefel brennt. Arsenic sulfuré rouge, rothe Arsenblende.

Zwei- und eingliedrig, Schöne Krystalle brechen auf den Erzgängen von Nagbag, Kapnit und Felsöbánya. Sie sind complicirt, aber schon von Haüy richtig erkannt, obgleich gute Exemplare nicht zu den gewöhnlichen Erzfunden gehören. Säule $M = a : b : \infty c$ macht vorn $74^\circ 26'$, sie ist uur versteckt blättrig. Die matte Schiefendfläche $P = a : c : \infty b$ vorn in $P/M = 104^\circ 12'$, ist folglich $66^\circ 5'$ gegen

Axe c geneigt. Die hintere Gegenfläche $x = a' : c : \infty b$, hinten in $x/M = 99^\circ 52'$, ist folglich $73^\circ 33'$ gegen c geneigt. Daraus folgt vorn der Axenwinkel $a/c = 94^\circ 14'$ und

$$a : b : c = 2,7066 : 2,0557 : 0,2003 =$$

$$\sqrt{7,3257} : \sqrt{4,2258} : \sqrt{0,04012}$$

$$lga = 0,4324246, lgb = 0,3129523,$$

$$lgk = 9,3016809.$$

In der Säulenzone ist die scharfe Säulenkante stets durch $l = a : 2b : \infty c$ zugespitzt; $o =$

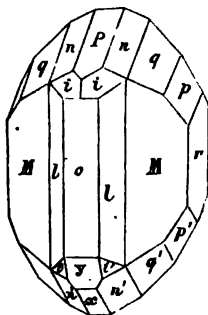
$a : \infty b : \infty c$ und $r = b : \infty a : \infty c$ gewöhnlich nur untergeordnet die Säulenkanten abstumpfend. Bei complicirten Krystallen entwickeln sich vor allem die Diagonalzonen von P und x stark: vorn $n = a : b : c$ und hinten $n' = a' : b : c$; unter n folgt $q = a : \frac{1}{2}b : c$ und $q' = a' : \frac{1}{2}b : c$. Schon Phillips gibt noch ein drittes Paar $p = a : \frac{1}{2}b : c$ und $p' = a' : \frac{1}{2}b : c$ an. Vorn in Kante Pl und n/n' liegt $i = b : c : \frac{1}{2}a$, oft sehr ausgedehnt. Hinten nicht selten eine dreifach schärfere $y = a' : 3c : \infty b$, in deren Diagonalzone $i' = b : c : \frac{1}{2}a'$, das Gegenstück von i, fällt, so daß zwischen Hinten und Vorn eine auffallende Symmetrie herrscht, wenn alle Flächen da sind. Optische Axen liegen in der Medianebene.

Morgenroth ein wenig ins Gelbe gehend, pomeranzengelber Strich. Diamantglanz mit großer Durchscheinheit. Ausgezeichneter kleinschuppiger Bruch, da die Blätterbrüche versteckt liegen. Gypshärte, Gew. 3,5.

Vor dem Löthrohr entzündet es sich noch leichter als das gelbe und brennt mit weißlicher Flamme fort. Einfaches Schwefelarsen As S mit 70 As und 30 S. Man schreibt es auch wohl $As S^2$. Die Krystalle zerfallen leider im Sonnenlicht nach längerer Zeit zu Pulver, man muß sie daher vorsichtig im Finstern aufbewahren.

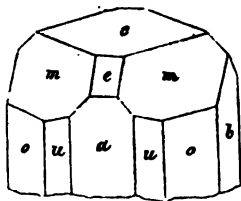
Arsenit mit Schwefel zusammengeschmolzen gibt eine glasige Masse, die dem berben Realgar zwar ähnlich sieht, aber geringeres Gewicht (3,3 bis 3,2) und größere Härte (3) hat. An der Härte allein kann man das künstliche schon leicht unterscheiden (Hausmann Pogg. Ann. 79. 212). Da es zum Entfärben des Glases dient und mit Salpeter und Schwefel gemischt zu dem blendenden indianischen Weißfeuer benützt wird, so kommt es in Handel. Das natürliche unterscheidet sich namentlich auch dadurch, daß es geschmolzen sehr leicht wieder krystallisirt. Das gelbe Kauschgelb $As S^3$ geht dagegen in einen völlig amorphen Zustand über, und gleicht insofern der arsenigen Säure As pag. 658.

Beide Kauschgelb und Kauschroth, kommen in der Natur wohl zusammen vor, wie z. B. im Thon von Tojawa in Ungarn, aber hier wie es scheint nur sehr oberflächlich (Cotta, Jahrb. 1861. 222). Das rothe findet man jedoch gewöhnlicher auf Erzgängen vereinzelt in Gesellschaft von Graupießglanz: Nagayag, Kapnil, Felsöbanya, Joachimsthal u. Auch zu Wittichen und Markirchen kam es früher vor, zu Wolfsberg auf dem Unterharze in Graupießglanz eingesprenkt. Auffallend sind die schön rothen Körner im schneeweißen



Dolomit des Binnenthal (Wallis), deren Formenreichtum Hr. Hefsenberg (Sendenb. Nat. Ges. II. 100) beschreibt, und wo auch das gelbe selten vorkommt; im Gyps von Hall in Tyrol; im Muschelfass von Wiesloch (Jahrb. 1857. 500); in der Braunkohle von Kärnthen. Endlich ist es auch ein Product der Vulkane, z. B. des Vesuv und Aetna. Die feinen Spalten der Fumarolen in der Solfatara der phlegreischen Felder sind mit Realgarkrystallen ausgekleidet, darauf finden sich kleine, durchsichtige, gelbe, sehr zerbrechliche Krystalle, die Scacchi

Dimorphin nennt (Erdmann's Journ. prakt. Chem. 55. 24), ihr Strich ist oraniengelb, aber es fehlt der blättrige Bruch des gelben Kauschgelbs, Gew. 3,58. Es sind zweigliedrige Formen: Oктаeder $m = a : b : c$



$111^{\circ} 10'$ in den vordern und $119^{\circ} 14'$ in den seitlichen Endkanten; $o = a : b : ooc$ hat $83^{\circ} 40'$ in der vordern Säulenante; $e = a : c : oob$, $u = a : 2b : ooc$, $c = c : ooa : oob$, $a = a : oob : ooc$, $b = b : ooa : ooc$. Daraus folgt das Axenverhältniß $a : b = 1,287 : 1,153$. Damit kommt noch eine ganz ähnliche Form vor, aber mit den Axen $a : b = 1,658 : 1,508$, die

respektive 3mal größer sind bei gleicher Axe c. Das wäre ganz etwas Aehnliches als beim Humit pag. 266. Eine sehr ungewöhnliche Sache.

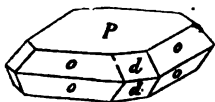
Gold er ze.

Spielein nur eine sehr untergeordnete Rolle pag. 559. Sie finden sich auf Gängen mit gebiegenem Golde im Ungarisch-Siebenbürgischen Erzgebirge, wo sie zwar längst auf Gold verwerthet, aber doch erst durch Klaproth Beitr. III. 1 chemisch näher bekannt wurden. Pätz in Pesth (Pogg. Ann. 57. 407) hat die Analysen wiederholt.

Blättererz.

Klaproth Beitr. III. 20 von Naghag in Siebenbürgen, daher auch von Werner schlechtthin Naghager-Erz (Naghagit) genannt. Die Bergleute heißen es blättriges Graugolderz, Hausmann Blättertellur. Tellure natüf auroplumbifere, Black Tellurium. Tellurglanz.

4gliedrig, aber meßbare Krystalle selten. Es herrscht stets der ausgezeichnete Blätterbruch $P = c : ooa : ooa$. Phillips bildet beistehenden Krystall ab, worin die Seitenkanten des Oктаeders $o = a : a : c$ 140° , folglich die Endkanten $96^{\circ} 43'$ machen. Dazu kommt noch das nächste stumpfere Oктаeder $d = a : c : ooa$. Dieselbe



Combination hat auch Haubinger (Handbuch best. Miner. pag. 566) und Hausmann aber mit Winkeln von $122^{\circ} 44'$ in den Seiten- und $103^{\circ} 17'$ in

den Endkanten, was einem Oktaeder $a : a : \frac{1}{2}c$ entsprechen würde. Es wäre aber auffallend, daß die beiden gleichen Combinationen mit den Winkeln von Phillips und Häidinger neben einander ständen.

Farbe schwärzlich bleigrau, Metallglanz, aber nicht sonderlich stark. Gemein biegsam, milde und schreibend, daher an Molpbän. erinnernd, aber minder krummblättrig. Härte 1—2, Gew. 7,2.

Vor dem Röhrohr schmilzt es sehr leicht, gibt einen ausgezeichneten gelben Bleibeschlag, und hinterläßt sogleich ein kleines Goldkugeln, welches man mit dem Messer auf dem Ambos ausplattet und leicht erkennen kann. Klaproth fand 54 Pb, 32,2 Te, 9 Au, 0,5 Ag, 1,3 Cu, 3 S. Berthier (Pogg. Ann. 28. 401) wies darin noch 4,5 Antimon nach. Nach Pex variirt der Goldgehalt zwischen 6,5—8,5 p. C., was im beigemischten Gelberz seinen Grund haben soll. Berzelius schlug nachstehende Formel vor:



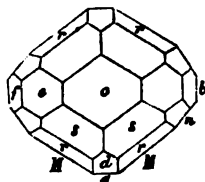
Blätter, zuweilen von quadratischem oder 8seitigem Umriss, kommen auf Gängen im Grünsteinporphyr, der in Trachyt übergeht (Breithaupt's Timazit), zu Naghag in Manganspath eingesprengt oder in dessen Drusenräumen in freistehenden Blättchen vor. Seltener zu Offenbanha mit Grauspießglanz. Unter den Golberzen das häufigste.

Gelberz Klaproth Beitr. III. 20, Weißsylvanerz oder Weißtellurerz, begreift das mit Blättererz zu Naghag vorkommende Golberz von silberweißer Farbe, aber gern gelb anlaufend. Es zeigt öfter einen deutlich blättrigen Bruch, wiegt in den reinsten Stücken 8,33. Klaproth fand 44,75 Te, 26,75 Au, 19,5 Pb, 8,5 Ag. Pex (Pogg. Ann. 57. 472) bestätigt wenigstens den größern Goldreichtum, macht aber auf die Schwierigkeit des sichern Erkennens aufmerksam, und glaubt, daß die reinsten Abänderungen geradezu bleihaltiges Schrifterz seien. Cottonerz. Phillips beschreibt 2gliedrige Krystalle von $105^\circ 30'$ in der Säule.

Schrifterz.

Das längst bekannte aurum graphicum auf verwittertem Porphyr der Franciscus-Grube zu Offenbanha. Schrifttellur, Sylvanit.

2gliedrig. Gute Krystalle sind zwar sehr selten, doch beschreibt Brooke (Mineralogy 135) bestehendes ausgezeichnete Individuum: eine geschobene Säule $M = a : b : \infty c$ $110^\circ 48'$, ihre scharfe Kante wird durch den deutlichen Blätterbruch $b = b : \infty a : \infty c$ gerade abgestumpft; $c = c : \infty a : \infty b$, $a = a : \infty b : \infty c$; zwei Oktaeder über einander $r = a : b : c$ und $s = a : b : \frac{1}{2}c$; drei Paare $d = a : c : \infty b$ (mit $96^\circ 56'$ in c), $e = b : c : \infty a$, $f = b : 2c : \infty a$, $i = a : \frac{1}{2}b : \frac{1}{2}c$ und $n = 2a : b : \infty c$. Phillips gibt wieder andere Winkel an. Gewöhnlich finden sich strahlige Krystalle, welche sich hin und wieder ungefähr unter 120° schneiden. Häufig spiegeln die blättrigen Brüche der verschiedenen Strahlen ein, man hat die Ablagerung sonderbarer Weise mit Schriftzügen verglichen.



Silberweiß ins Stahlgraue, besonders auf dem blättrigen Bruch. Sonst die Krystalle mit einem schwarzen Mulm bedeckt. Härte 2, etwas milde, Gew. 8,3.

Vor dem Böhrohr schmilzt es so leicht als Blättererz, gibt aber keinen gelben Bleibeschlag, als Rückstand bleibt ein bedeutendes Korn von Silbergold. Klaproth fand 60 Tellur, 30 Au, 10 Ag. Pēg in den reinsten 59,97 Te, 26,97 Au, 11,47 Ag, 0,76 Cu, 0,25 Pb, 0,58 Sb. Pēg stellt die Formel $\text{Ag Te} + 2 \text{Au Te}^3$ auf, welche sich vielleicht in $(\text{Au, Ag}) \text{Te}^2$ vereinfachen läßt, da Silber und Gold isomorph zu sein pflegen. Es würde dann mit Tellursilbergold $(\text{Au, Ag}) \text{Te pag. 601}$ von Nagbagg in einfacher Beziehung stehen. Wie überhaupt die Tellurerze an die Golderze sich auf das engste chemisch anschließen.

Silbererze.

Sind für den Bergbau nebst dem gediegenen Silber pag. 564 und Hornerz pag. 505 die wichtigsten, und daher seit langer Zeit wohl gekannt. Der Bergmann gab ihnen den Beinamen Gölben oder Gültigerz, „roth guldenerz“ Agricola 703, also Erze, die einen großen Werth haben. Vor dem Böhrohr sind sie in der Regel durch ein Silberkorn erkennbar, was man auf Kohle aus ihnen reducirt. Sie brechen in Gesellschaft gediegenen Silbers. Andreasberg auf dem Harz, Himmelsfürst bei Freiberg, die alten Schwarzwälder Gruben im Kinzigthale u. sind berühmte Fundorte. Gar gern brechen diese „edlen Geschiebe“ mit Schwerspath, sie zählen zu den jüngern Ganggebilden.

1. Glaserz Ag.

Argentum rude plumbei coloris Glas erz Agricola 692 und 703: cultro diffinditur perinde ac plumbum, atque dentibus compressum dilatatur. Der Name läßt sich nicht gut erklären, daher wollte ihn schon Pentel in den noch unpassenderen Glanzerz umgeändert wissen, und Klaproth (Beitr. I. 188) nannte es Silberglanzerz. Weichgewächs der Ungarischen Bergleute. Mine d'argent vitreuse R. de l'Isle Crisall. III. 440. Argent sulfuré, Sulphuret of Silver, Argentit.

Reguläres Krystallsystem, doch zeigt es wie das Silber keine vorherrschende Neigung zum Krystallisiren. Würfel, Oktaeder und Granatoeder herrschen vor, aber auch Leucitoeder $a : a : \frac{1}{2}a$ trifft man an. Die Krystalle geschlossen und gebogen, auch hebt sich der blättrige Bruch, der nach Angaben dem Würfel und Granatoeder folgen soll, nicht hervor. Es wächst wie das gediegene Silber in Drähten, Zähnen, Blechen, Platten, seltener dendritisch. Auch mögen diese nachahmenden Gestalten öfter Afterbildungen von gediegenem Silber sein.

Farbe schwärzlich bleigrau, oft durch Silberschwärze noch schwarz anlaufend. Geschmeidig wie Blei, hat daher einen glänzenden Strich, und läßt sich schneiden, hämmern und prägen. König August von Polen ließ aus dem

sächsischen Glaserz Denkmünzen mit seinem Bildnisse prägen. Härte 2—3, schneidet sich daher etwas schwerer als Blei, Gew. 7,2.

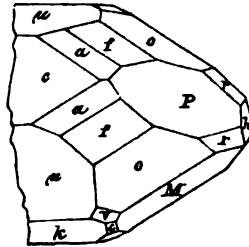
Vor dem Löthrohr schmilzt es leicht und reducirt sich nach einiger Zeit zu einem Silberkorn, namentlich auf Zusatz von Soda. Schon Klaproth gab darin 85 Silber und 15 Schwefel an, die Formel Ag S würde 87 Silber und 13 Schwefel verlangen.

Schwefel hat zum Silber eine große Verwandtschaft; einfach durch Zusammenschmelzen des Schwefels mit Silber kann man ein Sulfuret bereiten, ganz von der Beschaffenheit des Glaserzes, auch aus Silberoxydsalzen gibt Schwefelwasserstoff einen schwarzen Niederschlag von Silber-sulfuret, 100 Ag geben 114,85 Ag S nach Stas. Daraus ist dann auch leicht das Vorkommen des gediegenen Silbers mit Glaserz erklärlich pag. 565.

Auf Gängen und besonders Gangkreuzen: Freiberg, Himmelsfürst, Alte Hoffnung Gottes, Neuer Morgenstern; auf letzterer Grube die schönsten Krystalle und gestrickten Formen. Schneeberg, Joachimsthal. In Ungarn in ausgezeichneten derben Massen mit einer dünnen Kupfertiefschicht überzogen und Eindrücken von Bergkrystall auf dem Stephansschacht bei Schemnitz, zu Kremnitz mit gediegenem Gold. Auf der Grube Wenzel im Schwarzwalde Bleche und Platten zwischen Schwerspath. Mexiko, Peru u. c.

Silberschwärze heißt die erdige, zerreibliche, häufig schon durch Antimon und Arsenik (Sprödglasserz) verunreinigte Masse, die Drusenräume bepubert oder auch lichte Gesteine schwärzt. Was die sächsischen Bergleute Silberbeschlag heißen, ist ein durch Pulverdampf vermittelter silberhaltiger Niederschlag (Müller, Jahrb. 1856. 440). Im 2gliedrigen Silberkupferglanz von Schlangenberg scheint Ag S das $\text{Cu}^2 \text{S}$ zu vertreten, darnach würde das einfache Schwefelsilber dimorph sein. Was aber bei der Sache auffällt, ist, daß zwei Atom Kupfer ein Atom Silber vertreten sollen. Man hat daher vorgeschlagen, das Atomgewicht des Silbers (108) zu halbiren (54), was auch nach der specifischen Wärme sein sollte. Dazu kommt der Isomorphismus des Ag mit Na pag. 524. Nach der specifischen Wärme müßte es auch bei den Alkalien nicht Na, sondern $\dot{\text{Na}}$ heißen. Freilich würde dann Silberoxydul $\text{Ag}^4 \text{O}$ werden.

Antanthit Ag, zweigliedriges Glaserz, nach den spitzigen Krystallen genannt; wurde von Renngott (Sitzungsab. Wien. Akad. 1855. XV. 224) zu Joachimsthal entdeckt, und später auf der Grube Himmelsfürst in meßbaren Krystallen (Dauber l. c. 1860. XXXIX. 600) zusammen mit Glaserz und Sprödglasserz gefunden. Säule $\text{M} = a : b : \infty c$ macht $110^\circ 36'$, das weicht 9° vom Kupferglas ab. Fläche $k = a : \infty b : \infty c$ stumpft ihre stumpfe und $h = b : \infty a : \infty c$ ihre scharfe Kante ab. Hauptoktaeder $o = a : b : c$ hat in der vordern Endkante 121° , gibt $a : b = \sqrt{0,475} : \sqrt{0,9774}$; $\mu = a : c : \infty b$ und $P = b : c : \infty a$ bilden



die zugehörigen Paare. Nach μ , welche dem Kupferglas fehlt, verlängern sich die Krystalle, daher nahm Dauber μ/μ als Hauptsäule, aber die Zwillinge, welche M gemein haben, und umgekehrt liegen, müssen entscheiden. Zwei Oktaeder $f = 2a : 2b : c$, $a = 3a : 3b : c$, $r = a : \frac{1}{2}b : \frac{1}{2}c$, $z = a : 3b : ooc$, $v = \frac{1}{2}a : b : c$, $m = 2a : c : oob$, $n = a : \frac{1}{2}b : \frac{1}{2}c$ und andere Flächen kommen vor. Im Uebrigen ganz wie Glaserz.

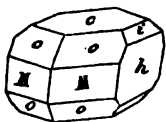
G. Rose (Kryst. chem. Mineral. pag. 21) setzt mit dem Glaserz noch Bleiglanz pag. 682, Selenblei pag. 686, Manganblende pag. 673, Tellursilber und Tellurblei pag. 601 isomorph, da sie alle gleiche atomistische Zusammensetzung bei regulärer Krystallform haben. Wie Bleiglanz ist auch das

Selen Silber Ag Se (Pogg. Ann. 14. 411), welches bei Tlferode kleine schmale Gänge im Selenblei bildet, nach drei rechtwinkligen Richtungen vollkommen blättrig. Eisenschwarz, Härte 2—3, Gew. 8. Weniger geschmeidig als Glaserz. Die unvollständige Analyse gab 65,5 Ag, 4,9 Pb, 24 Se.

2. Sprödglasserz $\text{Ag}^{\circ}\text{Sb}$.

Sprödglasserz ist die Bezeichnung sächsischer Bergleute. Denn es ist zwar milde, aber weniger geschmeidig als Glaserz, dem es äußerlich sehr gleicht und womit es gewöhnlich zusammen vorkommt. Argentum rude nigrum Gedigen schwarz erz Agricola 703, daher Argent noire Romé de l'Isle Crist. III. 467, Schwarzgülden, Melanglanz, Stephanit. Schon die alten Mineralogen sahen es richtig als ein Mittelbing zwischen Glaserz und Rothgülden an, was auch die Analyse von Klaproth (Beiträge I. 188) bestätigte, der es sprödes Silberglanzerz nannte.

Zwillinge Krystalle. Säule M = $a : b : ooc$ $115^{\circ} 39'$, deren scharfe Kante $h = b : ooa : ooc$ gerade abstumpft. Durch Vorrücken der Geradenfläche $c = c : ooa : oob$ werden die Krystalle tafelartig und dem Kupferglas ähnlich. Oktaeder $o = a : b : c$ in der vordern Endkante $130^{\circ} 16'$ mit dem Paare $i = b : 2c : ooa$ ($72^{\circ} 12'$ in c) gleichen einem



Dihexaeder; $f = 2a : 2b : c$. Zwillinge haben die Säule M gemein und liegen umgekehrt. Kein deutlich blättriger Bruch. Fr. Schröder (Pogg. Ann. 1855. 95. 257) gibt eine ausführliche Monographie der Andreasberger Krystalle mit Zugrundelegung von $a : b : c = 0,918 : 1,459 : 1$. Er bringt es auf 39 Flächenausdrücke mit 123 Parallelsräumen!

Farbe und Strich eisenschwarz, opak, Metallglanz nicht sonderlich stark. Härte 2—3, milde und gibt noch kein richtiges Pulver, Gew. 6,27.

Vor dem Löthrohr schmilzt es leicht, gibt nur schwachen Antimonrauch, und bald ein weißes Silberkorn. G. Rose (Pogg. Ann. 15. 414) fand 68,5 Ag, 0,6 Cu, 14,7 Sb, 16,4 S, was der Formel $6 \text{Ag S} + \text{Sb}^2 \text{S}^3$ entspricht. Dasselbe stammte von Schemnitz, wo es als Röschengewächs nebst Glaserz (Weichgewächs) das hauptsächlichste Silbererz bildet. Andreasberg, Freiberg, Joachimsthal, Przibram etc. Wenn es nicht deutlich krystallisiert ist, so kann es leicht verkannt werden, weil es oft innig mit Glaserz und Rothgülden verwächst.

Polybasit (Ag, Cu)⁹ (Sb, As) Rose (Pogg. Ann. 15. 272), Eugenglanz Brth., wegen seiner Ähnlichkeit mit Sprödglasserz von jeher damit verwechselt. Allein G. Rose zeigte, daß die sechsseitigen Tafeln von Guanajuato und Durango in Mexiko dem 3 + 1axigen Systeme angehören, denn die Seitenflächen schneiden sich unter 120° . Wie beim Eisenglanz ist die versteckt blättrige Geradenfläche stark gestreift parallel den Kanten eines gleichseitigen Dreiecks, was auf ein Rhomboeder deutet, das nach Breithaupt $84^\circ 48'$ in den Endkanten hat. Kommt das Gegenrhomboeder hinzu, so entsteht ein Dihexaeder mit $129^\circ 32'$ in den Endkanten.

Farbe und Strich eisen schwarz, milde. Im reflectirten Sonnenlicht scheinen die Blätter der Geradenfläche mit der Farbe des Rothgülden durch. Milde. Härte 2—3, Gew. 6,2.

Vor dem Löthrohr schmilzt es außerordentlich leicht, leichter als Sprödglasserz, und gibt zuletzt ein kupferhaltiges Silberkorn. Im Wesentlichen $9 \text{ Ag S} + \text{Sb S}^3$, aber ein Theil des Silbers wird durch Kupfer und ein Theil des Antimons durch Arsenik ersetzt. Der Polybasit von Schmieditz (Pogg. Ann. 28. 156) hatte 72,4 Ag, 3 Cu, 6,2 As, 0,25 Sb; von Freiberg 70 Ag, 4,1 Cu, 8,4 Sb, 1,2 As; von Mexiko 64,3 Ag, 9,9 Cu, 5,1 Sb, 3,7 As. Zink und Eisen verunreinigen ihn. Bei Przibram enthält er gar kein Arsen und statt 9 nur 7 Atom Base (Jahrb. 1860. 716).

3. Rothgültigerz Ag^3 (Sb, As).

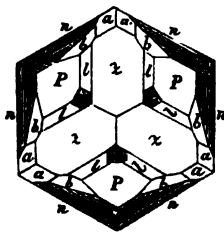
Rothgülden. *Argentum rude rubrum* rodt gülden erz Agricola 692 und 703. Rubinblende, Silberblende, Pyrrargyrit und Proustite zc. Mine d'argent rouge de l'Isle Cristall. III. 447. Argent antimonie sulfuré Hauy, Red Silver. Das schönste aller Silbererze.

Rhomboedrisch, allein die Krystalle durch Streifung und Krümmung der Flächen häufig entstellt, und die Winkel wegen des wechselnden Antimon- und Arsenidgehalts nicht ganz constant. Die Formen erinnern sehr an Kalkspath. $P = a : a : \infty a : c$ in der Endkante beim

dunkeln Rothgülden $108^\circ 30'$ gibt Seitenaxe $a = \sqrt{1,596}$,

lichten Rothgülden $107^\circ 36'$ — — $a = \sqrt{1,533}$.

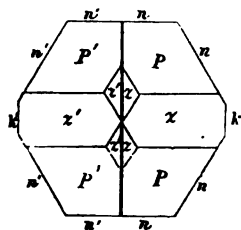
Dieses Hauptrhomboeder kommt als alleinige Endfläche schön zu Joachimsthal und auf dem Himmelsfürst bei Freiberg vor. Es ist zwar nur schwach blättrig, doch folgt ihm die Flächenstreifung, so daß man sich darnach am leichtesten orientirt, selbst wo sie fehlt, wie bei vielen Andreasberger. Dazu gesellt sich stets die 2te sechsseitige Säule $n = a : \frac{1}{2}a : a : \infty c$, die mit P ein dreigliedriges Dodekaëd machen, wie es bereits Romé de l'Isle gut abbildet. Die Geradenfläche $o = c : \infty a : \infty a : \infty a$ ist selten, doch kommt sie zu Johann-Georgenstadt als alleinige Endigung der Säule n vor. Die seltenere erste sechsseitige Säule $k = a : a : \infty a : \infty c$ stellt sich nach Mohs öfter, wie beim Turmalin, nur hälft-



flächig ein, die abwechselnden Kanten von n abstumpfsend. Das nächste stumpfere Rhomboeder $z = 2a' : 2a' : \infty a : c$ ist häufiger als P . Oftmals herrscht es allein am Ende der 2ten Säule. Am häufigsten trifft man den Dreikantner $l = a : \frac{1}{2}a : \frac{1}{2}a : \frac{1}{2}c$ mit $160^\circ 28'$ und $140^\circ 20'$ in den Endkanten, die Kante zwischen den beiden Rhomboedern P/z abstumpfsend. Seine scharfe Endkante stumpft das nächste stumpfere Rhomboeder z und seine stumpfe über P das Rhomboeder $x = \frac{2}{3}a : \frac{2}{3}a : \infty a : c$ ab, welches aber durch Diagonalstreifung gewöhnlich entsetzt ist. Haug erwähnt noch eines sehr ähnlichen $b^4 = c = a : \frac{1}{2}a : \frac{1}{2}a : \frac{1}{2}c$ in der Endkantenzone des Rhomboeder. In der Seitenkantenzone kommt der gewöhnliche Dreikantner $h = a : \frac{1}{2}a : \frac{1}{2}a : c$ vor, außerordentlich stark gestreift parallel der Seitenkante. Häufig auch $f = \frac{1}{2}a : \frac{1}{2}a : \frac{1}{2}a : c$, ihm gehören meist die vorherrschend auftretenden Dreikantner vom Churprinz bei Freiberg und von Andreasberg an, an den Enden durch Dreikantner l abgestumpft. Auch ein Dreikantner $d^{\frac{1}{2}} = \frac{1}{2}a : \frac{1}{2}a : \frac{1}{2}a : c$ wird noch angegeben, und in der Endkantenzone das Dihedraeder $b^2 = 3a : \frac{2}{3}a : 3a : c$, welches bei Johann-Georgenstadt mit beiden sechsseitigen Säulen und der Geradenfläche vorkommt, die Endkante n/o abstumpfsend, so daß also in der Kantenzone des Rhomboeder P die 8 Flächen $n f d^{\frac{1}{2}} h c l b^2 z$ beobachtet sind. Bei Andreasberg kommt sehr bestimmt eine Abstumpfsungsfläche zwischen l und h vor, sie gehört dem Dreikantner $b = a : \frac{1}{2}a : \frac{1}{2}a : \frac{2}{3}c$ an. Mohs nennt auch einen Dreikantner 2ter Ordnung $a = a' : \frac{1}{2}a' : \frac{1}{2}a' : c$, er ist durch die Zonen z/n und b/h bestimmt, da er die scharfen Endkanten des Dreikantners b zuschärft. Dester stumpft das nächste schärfere Rhomboeder $i = \frac{1}{2}a' : \frac{1}{2}a' : \infty a : c$ die scharfe Endkante des Dreikantner h ab. Bei Markirch in den Vogesen ist nach Dufrenoy früher auch das Gegenrhomboeder $e' = a' : a' : \infty a : c$ am Dreikantner $d^{\frac{1}{2}}$ vorgekommen. Hr. D. Sella (Accademia Scienz. Turino 10. Febr. 1856) gab eine Uebersicht sämtlicher Flächen: von 322 Symbolen kamen 175 auf Quarz, 146 auf Kalkspath und 84 auf Rothgülden.

Zwillingsgesetze gibt es drei (vergleiche Kalkspath pag. 406):

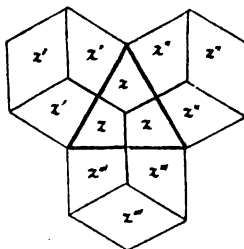
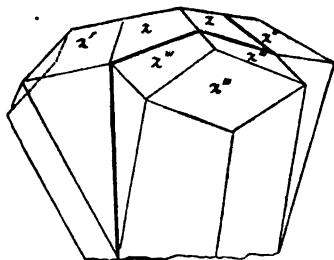
1. Die Individuen haben die Geradenfläche gemein, und liegen umgekehrt. Gewöhnlich verwachsen die Zwillingeindividuen mit einer Fläche k der ersten Säule, die ohnehin nur zur Hälfte auftritt, und das eine Rhomboeder legt dann seine Kanten hin, wo das andere seine Fläche hat. Sie erscheinen öfter so, als wenn man ein Individuum parallel k halbt und die Hälften auf der Halbirungsfläche um 180° gegen einander verdreht hätte, wie vorstehende Horizontalprojection zeigt. Eine ungewöhnliche Art von Zwillingusbildung.



2tes Gesetz. Die nächsten stumpfere Rhomboeder z haben eine Fläche gemein und liegen umgekehrt. Zuweilen soll es wie beim Kalkspath vorkommen, daß die Zwillingeindividuen mit vielen Wiederholungen mit der

Fläche z an einander gränzen. Viel gewöhnlicher als diese beiden ist jedoch das

3te Gesez. Die Individuen haben eine Fläche des 2ten stumpfern Rhomboeders $4a : 4a : \infty a : c$ gemein und liegen umgekehrt. Dabei legen sie sich so an einander, daß die Zwillingsgrenze senkrecht gegen die Kante des nächsten stumpfern Rhomboeders z steht. Denn Folge des Gesetzes ist, daß die Endkanten des Rhomboeders z/z mit z'/z' in einer Flucht liegen, und z/z mit z'/z' spiegeln. Man darf ja nur die gemeinsame Fläche hinzu denken, welche beide Kanten z/z und z'/z' zugleich abstumpfen muß, um die Sache einzusehen. Gewöhnlich wiederholt sich der Zwilling dreimal, so daß ein Vierling entsteht mit dreigliedriger Ordnung, weil je ein z mit $z' z''$, $z' z'''$ und $z'' z'''$ einspiegelt. Die drei die gezeichneten Kanten im Centrum sind die, welche von je zwei Individuen in einer Flucht liegen. Vergleiche auch Antimon pag. 597 und Tetradymit pag. 600. Viele der büschelförmigen Gruppierungen haben in solchen Vierlingsbildungen ihren Grund.



Nach der Farbe unterscheidet man ein

dunkles oder Antimon-Rothgülden und **lichtes** oder Arsenit-Rothgülden.

Dunkel cochenillroth bis bleigrau, aber mit viel lichterm Strich. Halb durchscheinend. Diamantglanz. Härte 2—3, milde. Gew. 5,85.

Licht cochenillroth, fast Realgar ähnlich, Strich lichtroth. Stark durchscheinend. Diamantglanz. Härte 2—3, milde. Gew. 5,55.

$\text{Ag}^s \text{Sb}$ mit 59 Silber.

Andreasberg, Himmelsfürst.

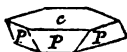
$\text{Ag}^s \text{As}$ mit 65 Silber.

Joachimsthal, Wittichen.

Vor dem Löthrohr decrepitiren sie, geben beide ein Silberforn, auch reducirt sich Antimonrothgülden leichter als Arsenitrothgülden. Beide kommen zusammen vor, dunkles aber häufiger, als liches. Doch überziehen sie sich gegenseitig, so daß nicht scharf geschieden werden kann, wie das auch in der Natur der Sache liegt. Für den Bergmann ist es ein wichtiges Silbererz, denn das lichte Rothgülden von Wolfach gab im Centner 125 Mark, das dunkle 116 Mark fein Silber. Daher hat man sich auch über die Ermittlung der Zusammensetzung von jeher viel bemüht. Die alten Hüttenleute sahen das lichte für arsenithaltig an. „Das hochrothe Rothgülden besteht, nebst dem Silber, pur aus Arsenicum.“ Zu dieser falschen Ansicht verleitete die rothe Farbe des Realgar pag. 700, was der Bergmann geradezu „unreifes Rothgülden“ nannte. So kam man überhaupt zu der viel verbreiteten Ansicht, daß Arsenik die Metalle zur Reife bringe, namentlich das Silber. Man war daher nicht wenig verwundert, als Klaproth (Beiträge I. 141) gestützt auf Analysen der Krystalle von Katharina Neufang zu Andreasberg und vom

Churprinz Friedrich August bei Freiberg keine Spur Arsenik, sondern bloß Antimon und Schwefel nebst Schwefelsäure fand (ob er gleich hellfarbige gewählt hatte), und folglich das Arsenik ganz darin läugnete. Sauy nannte es daher Argent antimonis sulfuré. Doch zeigte Proust bald darauf, daß es allerdings ein Arsenikhaltiges gäbe, Deudant nannte das Proustit. Der Zufall hatte gewollt, daß allerdings das lichte von Andreasberg kein Arsenik enthält. Dagegen fand H. Rose (Pogg. Ann. 15. 478) im lichten von Joachimsthal 15,1 As und nur 0,7 Sb, Bunsdorff im Andreasberger 22,8 Sb, und kaum Spuren von Arsenik. Nach den vorhandenen Analysen halten sich beide Arsenik- und Antimonrothgülden ziemlich scharf getrennt. Himmelsfürst und Churprinz bei Freiberg, Andreasberg, Joachimsthal, Rongsberg, Schemnitz. Früher Markirch im Elsaß, die Grube Wenzel und Sophie bei Wittichen auf dem Schwarzwalde. Rongsberg, Mexiko, Guadalcana in Spanien.

Kantholon Breith. (Erdmann's Journ. prakt. Chem. 20. 67 und Pogg. Ann. 64. 272, *ξανθός* gelb), von der Grube Himmelsfürst zu Erbsdorf bei Freiberg: dünne pomeranzengelbe Tafeln mit gelbem Strich in Kalkspath eingesprenkt, von der Farbe des Greenockit, und von der Form des vulkanischen Eisenglanzes: es herrscht die Geradenfläche vor, an deren Rändern das Rhomboeder $P = a : a : \infty a : c : 71^\circ 32'$

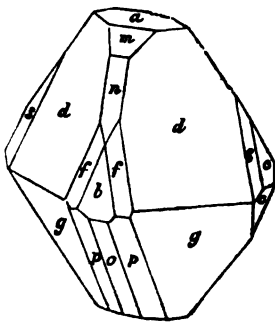


in den Endkanten hat, auch das nächste stumpfere $2a' : 2a' : \infty a : c$ wird gefunden. Härte 2—3, Gew. 5,1. Im Jahre 1797 ist es von brauner Farbe in nierenförmigen Aggregaten vorgekommen, hatte aber auch einen gelben Strich. Plattner fand in diesem letztern 64,2 Ag, 21,3 S, 1 Fe, 13,5 As, und glaubt daraus die Formel $2 Ag^3 S^3 As S^3 + Ag^3 S^3 As S^5$ ableiten zu dürfen, worin neben dem ersten Gliede von licht Rothgülden eine bis jetzt nicht gekannte Schwefelungsstufe von As S^5 vorkäme. Es wird also $Ag : As : S = 9 : 6 : 20$ sein, während beim Arsenik-Rothgülden das Verhältniß $9 : 6 : 18$ ist. Da nun von genauen Messungen wohl kaum die Rede sein kann bei der Unvollkommenheit der Krystalle, so darf man diese Verwandtschaft nicht aus den Augen lassen.

Feuerblende vom Churprinz bei Freiberg und Andreasberg kommt in hyacinthrothen Krystallen mit Perlmutterglanz auf dem deutlich blättrigen Bruch vor. Die Tafeln haben ihrer Form nach Ähnlichkeit mit Strahlzeolith (Römer, Jahrb. 1848. 212) 62,3 Ag nebst Antimon und Schwefel. Zippe beschreibt vom Geistergang an der Eliaszeche zu Joachimsthal kleine tafelförmige schwärzlichbraune Krystalle mit orangengelbem Strich, Rittingerit (Sitzungsber. Kais. Akad. Wiss. IX. 246), die zwar keinen blättrigen Bruch haben, aber sonst sehr nahe zu stehen scheinen. Beide sind 2 + 1gliedrig.

Miargyrit H. Rose (Pogg. Ann. 15. 489) von der Grube Neue Hoffnung Gottes bei Bräunsdorf (*μείων* weniger, *ἀργυρος* Silber), von Mohs (Grundriß Min. II. 606) zuerst als hemiprismatische Rubinblende erkannt. Gleich einem dunkeln Rothgiltigerz, ist aber 2 + 1gliedrig (Naumann Pogg. Ann. 17. 142). Die seltenen und complicirten Krystalle beschreibt Mohs als

geschobene Säulen $86^{\circ} 4'$ mit einer Schiefendfläche b , $78^{\circ} 54'$ gegen Aze c geneigt, und einer hintern dreifach schärfen $t = a' : 3c : oob\ 47^{\circ} 26'$ gegen die Aze. Ähnlich dem Eisenvitriol. Naumann gibt dagegen andere Winkel an, ausgehend von $a = c : ooa : oob$ mit $b = a : oob : ooc$ vorn $98^{\circ} 24'$ machend; $d = a : b : c$ in der Mediankaute $d/d = 96^{\circ} 17'$, welcher Winkel durch $n = a : c : oob$ gerade abgestumpft wird; $m = 3a : c : oob$ findet hinten die Gegenfläche $o = 3a' : c : oob$, in deren Diagonalzone $p = 3a' : c : 6b$ und $g = 3a' : c : 3b$ fällt. Die Augitpaare $f = \frac{2}{3}a : b : c$, $s = \frac{2}{3}a : b : c$ und $c = b : c : ooa$ fallen sämtlich in die Zone b/d , und dieser Zone folgt auf den Flächen bfd „eine sehr ausgezeichnete und constante Streifung, während m , n und besonders o eine horizontale Streifung parallel der Aze b haben. Ungewiß ist $e = c : 4b : 5a'$ und $r = c : \frac{1}{2}a : \frac{1}{2}b$. Oft werden die Krystalle durch Ausdehnung von a tafelartig, b und m sind unvollkommen blättrig.



Eisenschwarz und halbmetallicchen Glanz, aber dunkel kirschrothen Strich, wodurch es sich eng an das Rothgültigerz anschließt. Härte 2—3, milde, Gew. 5,3. Ag 8 Sb S³ mit 36,4 Ag, 1 Cu, 0,6 Fe, 39,1 Sb, 21,9 S. Sehr selten.

Weißgültigerz (Pb, Ag, Zn, Fe)⁴ Sb ist auf den Freiburger Gruben Himmelsfürst und Hoffnung Gottes zc. ein altberühmtes Silbererz, das nur mit Bleiglanz vorkommt, aber sehr feinkörnig und dicht dem Bleischweif ähnlich sieht. G. Rose erwähnt unvollkommene Oblongoktaeder von 100° und 130° in den Seitenwinkeln. Licht bleigrau, milde, glänzender Strich. Gew. 5,4. Man unterscheidet ein liches oder ein dunkles, im erstern fand Klaproth 20,4 Ag, im letztern 9,25 Ag. Rammelsberg hat im lichten von der Grube Hoffnung Gottes nur 5,8 Ag, 38,4 Pb, 6,8 Zn, 3,8 Fe, 22,4 Sb, 22,5 S gefunden. Man hüte sich, es mit krystallisirtem Grau- und Weißgültigerz zu verwechseln, was zu den ächten Fälscherzen gehört. Der seltene

Sternbergit Ag Fe³ Fe (Haib. Pogg. Ann. 11. 600) von Joachimsthal bricht in dünnen gemein biegsamen tombakraunen blättrigen Tafeln, die dem 2gliedrigen System angehören. Der blättrige Bruch $c = c : ooa : oob$ herrscht, Oктаeder $f = a : b : c$ hat 118° in der vordern Endkaute. Die Säule $a : b : ooc$ kommt nicht vor, sie würde $119^{\circ} 30'$ messen, aber die Zwillinge haben diese Säulen gemein und liegen umgekehrt. Gew. 4,2, Härte 1—2. Auf Kohle schmilzt er zu einer mit Silber bedeckten magnetischen Kugel, nach Zippe (Pogg. Ann. 27. 600) enthält er 33,2 Silber, 36 Eisen, 30 Schwefel.

Kupfererze.

Wir dürfen dahin nur diejenigen rechnen, worin Kupfer die Hauptrolle spielt. Denn dieses wichtige Metall kommt außerdem noch untergeordnet in einer Menge geschwefelter Erze vor, und ist dabei so gern in Gesellschaft des Silbers und umgekehrt, daß es nicht möglich ist, zwischen beiden zu trennen, wie Silberkupferglanz und Eufairit zc. beweisen.

1. Kupferkies Cu Fe .

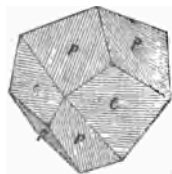
Pyrites aureo colore Geestis oder kupfertis Agricola 706. Es ist eines der gemeinsten Erze, das daher auch den Alten nicht entgehen konnte. Plinius 36. so begreift ihn mit unter Pyrites: sed est alius etiamnum pyrites, similitudine aeris . . . colore . . . aureo. Während die Kupfererze überhaupt den griechischen Namen *χαλκίτις* hatten, Plin. 34. 29: Chalcitin vocant lapidem, ex quo ipsum aes (Kupfer) coquitur. Mine de cuivre jaune de l'Isle III. 209, Haüy's Cuivre pyriteux, Copper Pyrites. Chalkopyrit, Tomanit.

4gliedrig mit einer Hinneigung zum Tetraedrischen, doch stehen die Winkel dem regulären System so nahe, daß es Haüy für regulär nahm. Erst Haidinger fand den Endkantenwinkel mit dem Reflexionsgoniometer $109^\circ 53'$, also $25'$ größer als beim regulären Octaeder, woraus für $c = 1$ die Seitenaxe

$$a = \sqrt{1,0308} = 1,015, \lg a = 0,00659,$$

und der Seitenkantenwinkel $108^\circ 40'$ folgt. Von den 8 Flächen dehnen sich vier gewöhnlich zu einem Tetraeder aus, sie pflegen matt und durch Streifung entsteht zu sein, während das die Ecken abstumpfende Gegen-tetraeder stark glänzt. Auch wenn die Flächen beider Tetraeder ins Gleichgewicht treten, kann man die physikalischen Unterschiede oft noch gut erkennen. Daß sie viergliedrig sind, sieht man häufig an der Abstumpfung der horizontalen Endkanten des Tetraeders von $71^\circ 20'$, während die Seitenkanten von $70^\circ 7'$ nicht abgestumpft erscheinen, wie z. B. auf Friedrich Christian im Schappacher Thal auf dem Schwarzwalde. Gewöhnlich erscheinen diese differentflächigen Octaeder als

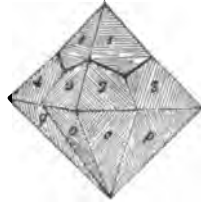
Zwillinge (1): dieselben haben eine matte Tetraederfläche gemein und liegen umgekehrt, oft mit vielen Wiederholungen. Diese Zwillinge gleichen ganz denen des regulären Systems. Die Täuschung geht noch weiter: bei Rodna kommen mit der dortigen schwarzen Blende die ausgezeichnetsten **Deltoiddodekaeder** vor, sie sind parallel ihrer unsymmetrischen Diagonale gestreift, und ein physikalischer Unterschied ist nicht wahrzunehmen. Solche dreifache Streifung findet sich häufig auf den matten (nie auf den glänzenden) Tetraederflächen, wie z. B. zu Ranzbach im Dillenburgischen, wodurch die



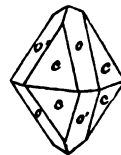
Kristalle sehr entsteht werden. Trotzdem können nur die $t = a : a : 2c$

ein viergliedriges Tetraeder, die $p = a : c : 2a$ dagegen ein gebrochenes Tetraeder pag. 82 bilden. Dafür spricht auch eine zweite sehr gewöhnliche Art

Zwillinge (2), die das nächste stumpfere Octaeder $b = a : c : \infty a$ gemein haben und umgekehrt liegen. Einmal sind die Octaederflächen hier nur parallel den Seitenkanten gestreift, was die Zwillingesgränzen sehr deutlich hervortreten läßt, sodann aber kommen zwischen den Zwillingseindividuen 1 und 2 einspringende Winkel von $178^\circ 34'$ vor. Wären die Krystalle regulär, so müßten bei einer solchen Aneinanderlagerung die Flächen 1 und 2 in ein Niveau fallen, es könnte kein Zwilling entstehen. Gewöhnlich wiederholt sich das Geseß. Analog dem Scharfmangan pag. 631 würden 5 Individuen (nicht sechs) den Kreis schließen: es könnten dann nur auf der Oberhälfte die Octaederflächen trapezartig geknickt sein, wie in beistehender Figur, während unten die Flächen o mit p und o mit q in Folge der Zwillingeslage in ein Niveau fallen müßten. So ist es nun aber in der Regel nicht, sondern es zeigen sich überall Knicke, wo sich Flächen von Zwillingseindividuen berühren, wie man das so schön bei den Krystallen von Neudorf am Unterharze sieht. Es muß die Sache durch unregelmäßige Anhäufung der Individuen erklärt werden, wo nicht bloß ein bestimmtes, wie beim Scharfmangan, als Träger dient. Diese Zwillingesbildung bekundet das Bestreben, die Unterschiede wieder auszugleichen. Auch kommen bei Neudorf solche Fünflinge vor, die zu je zweien wieder nach dem gewöhnlichen Zwillingesgeseß des regulären Octaeders mit einander verwachsen.



Aus Cornwallis beschreibt Phillips gar häufig das (etwas blättrige) Octaeder $c = a : 2c : \infty a$ mit $101^\circ 49'$ in den Endkanten, von welchem daher auch die Engländer als Grundform ausgehen, deren Endkanten dann das gewöhnliche Octaeder o und $o' = a : a : c$ gerade abstumpft. Kommt dazu die quadratische Säule $m = a : a : \infty c$ und die Geradenfläche, so ist der Typus durchaus viergliedrig. Mohs führt auch wohl ein drittes Zwillingesgeseß auf, wornach die Individuen die Endkante des Octaeders c gemein haben und umgekehrt liegen. Da jedoch die Fläche, welche die Endkanten dieses Octaeders abstumpft, dem Octaeder o $= a : a : c$ angehört, so fällt dieß vermeintliche Geseß mit dem ersten zusammen. Dagegen soll nach Naumann eines vorkommen, wornach die Individuen $n = a : a : \frac{1}{2}c$ gemein haben und umgekehrt liegen.



Complicirte octaedrische Krystalle bildet Haidinger (Bogg. Ann. 5. 177) von octaedrischem aber viergliedrigem Typus, Phillips (Miner. 3. edit. 1823 pag. 308) von tetraedrischem Typus ab. Diese tetraedrische Form greift so durch, daß nach Naumann auf der Grube Kurprinz bei Freiberg zwei Tetraeder o und o' sich wie beim Fäherz mit ihren Kanten rechtwinklig kreuzen.

Weiß beschrieb den Kupferkies in seinen Vorlesungen regulär, und nahm

mit als Beweis den merkwürdigen Kupferkiesüberzug, der sich auf dem tetrædrischen Fahlerz des Rosenhöfer Quarzuges bei Clausthal findet, es erscheint dort wie ein Fortwachsen. Nun ist freilich unter dem Kupferkies das Fahlerz gewöhnlich zersetzt, so daß die Kiestruste leicht abspringt, und man versucht wird, dieselbe als ein Verwitterungsproduct des Fahlerzes anzusehen. Doch zeigt Osann (Leonhard's Jahrb. 1853. 100), daß sich die Truste zuweilen auch auf dortigem Bleiglanz und Blende finde, auf denen nie Fahlerz angetroffen würde.

Messinggelb (hat einen Stich ins Grün, besonders gegen Schwefelkies gehalten), starker Metallglanz, grünlich schwarzer Strich. Läuft häufig pfauenschweifig, taubenhäutig bis blaulich schwarz an. Mangel an blättrigem Bruch. Härte 3—4, ein wenig milde, gibt daher mit dem Stahle keine Funken, was ihn leicht vom Schwefelkies unterscheidet. Gew. 4,2.

Vor dem Löthrohr decrepitirt es; große Stücke laufen schnell roth an (es bildet sich Ziegelerz), und brennen wie Schwefelkies fort. Kleine Proben schmelzen leicht zu einer magnetischen dunkelfarbigen Kugel, die Blasen wirft und endlich rauhe Schlacke wird, die mit Soda behandelt Kupfer gibt, da sich Eisen und Kupfer gesondert reduciren. Soll der Prozeß vollständig gelingen, so muß man gut abschwefeln. Zu rohen Versuchen ist das aber nicht einmal nothwendig, man nimmt da gleich die magnetische Schlacke. Am empfindlichsten ist die Reaction, wenn man die rohe Probe in Salzsäure getaucht ins Feuer bringt, wodurch die Flamme vorübergehend schön blau wird.

$\text{Cu Fe} = \text{Cu}^{\text{III}} \text{Fe}$ mit 34,8 Cu, 35,4 S, 29,8 Fe.

Beim Glühen im Kohlentiegel gibt er den vierten Theil (9 p. C.) seines Schwefels ab. Man zieht die zweite Formel der ersten vor, weil Cu S eine schwache, $\text{Cu}^2 \text{S}$ dagegen eine starke Basis ist. Kersten (Vogg. Ann. 46. 179) fand im Kupferkies, der in das Selenblei von der Grube Emanuel pag. 687 eingesprengt war, ebenfalls einen nicht unbeträchtlichen Selengehalt. Beim Rösten der Kupfererze entstehen zuweilen künstliche Krystalle (Leonhard's Jahrb. 1853. 177).

Kupferkies ist das gewöhnlichste Erz auf Erzgängen und Erzlagern, in Verbindung mit Schwefelkies, Bleiglanz, Blende, Fahlerz. Die salinischen Kupfererze sind häufig erst aus ihm entstanden. Er bildet daher einen wichtigen Gegenstand des Bergbaues. Oft brechen große Massen, wie im Uebergangsgebirge von Nanzanbach bei Dillenburg, im Gneise des Schwarzwaldes (Grube Herrenseegen). Falun, Schemnitz, Goslar, Mansfelder Kupferschiefer. Selbst am Cap (Knop, Jahrb. 1861. 513) gleichen die Kupfererzlagernstätten den unsrigen. Freilich gewöhnlich sehr verunreinigt. Wenn die Verunreinigung durch Schwefelkies kommt, so ist sie äußerlich wenig erkennbar, allein sie verräth sich nicht selten durch den auskrystallisirten Schwefelkies und durch die grauer Farbe. Je grüner desto kupferreicher.

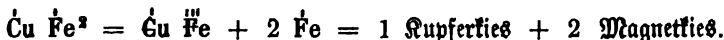
Krystalle finden sich zwar in Drusenräumen des berben (Nanzanbach), am schönsten aber angeflogen auf Quarz, Flußpath, Braunspath, Schwerspath 2c. Derb aber von krystallinischem Gefüge kommt er rein in

vielen centnerschweren Stücken vor, Glanz und kleinschuppiger Bruch deuten den Grad der Reinheit an. Dichte Massen sind matter und haben einen ebenen Bruch, wie im Kammelsberge bei Goslar, zu Neusohl in Ungarn etc. Selten nierenförmig und kleintraubig, Breithaupt's Nierenkies von Freiberg und Cornwallis, mit nur 3,9 Gew.

Kupferkies gehört zwar zu den schlechten Kupfererzen, doch hat er wegen seiner Menge große Bedeutung. Zu Redruth enthält er oft nur 3—4 p. C. Kupfer. Allein man gewinnt in den Cornischen Gruben an 160,000 Tonnen à 20 Ctr., die an 12,000 Tonnen Metall liefern.

Weißkupfererz nannte Werner ein verbes Vorkommen, was ehemals auf Vorenz Gegentrum an der Halsbrücke bei Freiberg brach, blaß messinggelb und wenig glänzend war. Plattner gibt neben Schwefeleisen bei einem Chilenischen 12,9 Cu an. Vergleiche auch Kroyt pag. 668.

Cuban Breithaupt (Pogg. Ann. 59. 225) von Bacaranao auf Cuba. Derb und ziemlich deutlich würfelig blättrig. Blaß messinggelb, wie Weißkupfererz. Gew. 4. Die Analyse von Scheidhauer gab 22,9 Cu, 42,5 Fe, 34,8 S, also



Würde Fe S das Cu S vertreten, so könnte man die Formel auch als ein eisenreiches Buntkupfererz deuten, wofür der würfelig blättrige Bruch des regulären Systems sprechen würde.

2. Buntkupfererz $\text{Cu}^2 \text{Fe}$.

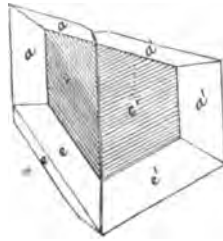
Buntkupferkies, Bornit, Cuivre hépatique de l'Isle, Purple copper.

Regulär, aber gute Krystalle selten. Zu Redruth bauchige Würfel zuweilen mit abgestumpften Ecken und Kanten, auch Zwillinge. Tombarbraun, aber nur auf ganz frischem Bruch, schon nach wenigen Tagen läuft es blauröth an, woran nach Hausmann die Feuchtigkeit der Luft schuld sein soll, nach Böcking die große Oxydirbarkeit des Eisen-Sesquisulfurets. Ziehen sich die Farben ins lebhaft Blau und Grün, so werden sie taubenhäufig, aber stets viel dunkler als beim Kupferkies. Schwarzer Strich und schwacher Metallglanz. Härte 3, milde, Gew. 5.

Vor dem Löthrohr schmilzt es nicht ganz so leicht als Kupferkies, enthält aber mehr Kupfer. Nach Berzelius ist es $\text{Cu}^2 \text{Fe}$. Allein da es in einem Strome von Wasserstoffgas geglüht Schwefel abgibt, so muß eine höhere Schwefelungsstufe als Cu S oder Fe S darin sein, deshalb schlug Plattner (Pogg. Ann. 47. 200) obige Formel vor, seine Analyse gab 56,7 Cu, 14,8 Fe, 28,2 S, es waren Krystalle von der Condurra Grube bei Camborne in Cornwallis. Andere Analysen weichen davon zwar ab, allein da das derbe häufig gemischt mit Kupferglas vorkommt, so ist die Sache daraus wohl sehr natürlich erklärt.

Seltener als Kupferkies: Freiberg, Donatska im Banat, Cornwallis, Schnitz im Zechstein von Mansfeld, Tostana, Chili. Barnhardt it von Nordcarolina hat ähnliche Farbe, aber nach der Zusammensetzung

2te Art von Zwillingen, welche man ebenfalls häufig in Cornwallis findet. Hier kreuzen sich die Zwillingstafeln ungefähr rechtwinklig, und da es gewöhnlich dihexaedrische Tafeln mit aec sind, in welchen die Zwillingstafeln deutlich einer Seitenkante des Dihexaeders parallel geht, so haben sie entweder die Fläche f oder P gemein. Ist das Mineral 2gliedrig, so sollten die Zwillingseindividen allen Analogien nach $P = b : c : \infty a$ gemein haben und umgekehrt liegen, sie müßten sich dann unter $91^\circ 30'$ und $88^\circ 30'$ kreuzen. Dagegen behauptet Mohs ausdrücklich, daß sie eine der $f = a : b : \frac{1}{2}c$ gemein haben, sich folglich unter $91^\circ 51'$ und $88^\circ 9'$ schneiden, wie in beistehender Figur. Dieß scheint auch (z. B. bei den Exemplaren von St. Just) die Streifung auf c parallel der Axe a zu beweisen. Da nun theoretisch genommen zweigliedrige Oktaeder gar keine symmetrische Lage gegenseitig einnehmen können, wenn sie eine Fläche gemein haben und sich um 180° gegen einander verdrehen sollten, wohl aber bei Dihexaedern, so könnte dieses Ungewöhnliche in dem Dihexaederartigen möglicher Weise seinen Grund finden.



Kupferkies bildet sich beim Erhitzen aus Kupfer und Schwefel unter lebhaftem Erglühen, es wird im Großen zur Fabrication des Kupfervitriols dargestellt. Man erhält es dabei häufig in Krystallen (Oktaedern), die aber auffallender Weise dem regulären Systeme angehören. Selbst das natürliche Kupferglas schießt geschmolzen in regulären Oktaedern an! Diese Oktaeder Cu S würden also isomorph mit denen des Glaserzes Ag S sein, während umgekehrt das Glaserz erst neuerlich zweigliedrig (Akantit) gefunden wurde, und im 2gliedrigen Silberkupferglas das Kupferkies vertritt. Uebrigens hat Durocher durch Einwirkung von Kupferchlorid auf Schwefelwasserstoff auch 6seitige Tafeln bekommen.

Schwärzlich bleigrau, Zahlerzartig, aber milde, geringer Metallglanz, schwarzer Strich. Härte 2—3, Gewicht geht in reinen Abänderungen bis auf 5,8. Allein es verunreinigt sich mit dem leichtern Kupferkies und Buntkupfererz in den verschiedensten Mengen. So kommt auf den Gruben von Cornwall ein „Variegated Vitreous Copper“ von der Farbe des angelaufenen Stahles vor, was als ein inniges Gemisch von Kupferkies und Kupferglas angesehen wird, deren Theile man dazwischen oft noch gut erkennt.

Vor dem Löthrohr schmilzt es leicht ohne Rauch und Beschlag unter starkem Kochen, und gibt nach längerem Blasen auf Kohle für sich ein Kupferkorn. Das Zahlerz dagegen raucht, und gibt für sich kein Kupferkorn, auch färbt es in Salzsäure getaucht die Flamme nicht so schön blau als das Kupferglas. Cu S mit 79,7 Cu, 20,3 S, etwas Silber, Eisen etc.

Meist derb mit andern Kupfererzen. Bekannt ist das von den Gumbescherischen Gruben an der Turga, auf den Ablösungsflächen mit Kupferlasur und Malachit überzogen, worin Klaproth 78,5 Kupfer nachwies. Es hat einen vollkommen muscheligen Bruch, und glänzt stärker als das

gewöhnliche. Im Banat bei Moldawa und Donatſka, zu Kupferberg und Rudelſtadt in Schlefien. Beſonders ausgezeichnet in Cornwallis, wo hauptsächlich die Kryſtalle gefunden werden. Im Zechſtein von Mansfeld in kleinen Partien eingeprengt. Einen gewiſſen Ruf haben die ſogenannten „Frankenberger Kornähren“, welche früher im Zechſtein von Frankenberg in Heſſen brachen: Kleine Zweige und Zapfen von Coniferen (*Cupressites Ullmanni*) ſind zu Kupferglas vererzt. Auch im Rothliegenden von Böhmen hat es die Eiſenbahn bei Liebſtadt aufgeſchloſſen. Zu Briſtol in Connecticut kommt es in großen glänzenden Kryſtallen vor, die mit Vortheil bergmänniſch gewonnen werden.

Kupferindig Cu S beſchreibt Freieſleben (*Geogn. Arbeiten. III. 120*) aus einer rückenartigen Flözpartie im Kupferſchiefer von Sangerhauſen. Es iſt eine indigblaue bis ſchwarze Maſſe, mit glänzendem blauem Strich, ſehr weich, Gew. 3,8. Nach Knop ein Verwitterungsproduct von Kupferglas, aus welchem verdünnte Säuren die Hälfte des Kupfers ausziehen. Zu Leogang in Salzburg bricht er ſogar in biegsamen regulären ſechſſeitigen Taſeln (Breithaupt). Auf Kohle brennt er wie Kupferlies. Der Kupferlies von den Gruben Badenweiler und Herrenſeegeen auf dem Schwarzwalde zeigt öfter einen blauen Ueberzug, der bei ſeltenen Stücken tief hineinfrißt. Derſelbe ſoll nach Walchner 32,6 Schwefel, 64,8 Cu, 1 Pb enthalten, das gäbe ungefähr 1 Atom Kupfer auf 1 Atom Schwefel. 1826 fand ihn Covelli auch in den Schlacken des Beſuvs (Covellin). Cantonit von der Canton Grube im Staate Georgia enthält ebenfalls 66 Cu und 33 Schwefel, Harrisit von dort wie Kupferglas nur 20 Schwefel, hat aber einen dreifach blättrigen Bruch wie Bleiglanz, aus welchem er entſtanden ſein ſoll. Digenit $\text{Cu}^2 \text{S Cu S}$ (Pogg. Ann. 61. 678) von Chile und Sangerhauſen ſcheint nach Plattner eine Verbindung von Kupferglas und Kupferindig zu ſein. Derbe ſchwärzlich bleigraue Maſſen von 4,6 Gew. und Härte 2 bis 3.

Silberkupferglanz Ag Cu wurde von Bournon zu Schlangenberg am Altai erkannt. Stromeyer wies darin 52,3 Ag, 30,5 Cu und 15,8 S nach. Gew. 6,2. Sonſt ſieht es dem Kupferglas ſehr ähnlich. G. Roſe (Pogg. Ann. 28. 427) fand bei Rudelſtadt in Schlefien Kryſtalle, die vollkommen mit Kupferglas ſtimmen: ſcheinbare reguläre ſechſſeitige Säulen mit einem Dihexaeder $x = a : a : \infty a : \frac{1}{2}c$. Dieß war lange der einzige Beweis für den Iſodimorphismus des Ag S mit Cu S . Umgekehrt iſt Zn S mit $\text{Ag}^2 \text{Cu}$ von Mexico nach Breithaupt würſlig blättrig, auch Lévy erwähnt von Combarvalla in Peru cubiſche Silberkupferglanze.

Schon vor dem Löthrohr ſchmelzen nach Hauſmann bei gutem Blaſen Silberförner aus dem Kupfer. Löſt man den Regulus in Salpeterſäure, ſo gibt Salzſäure einen ſtarken weißen Niederſchlag. In Chili miſcht ſich nach Domeyko derbes Glaſerz und Kupferglas in den verſchiedenſten Verhältniſſen.

Zwei ausgezeichnete wenn auch ſeltene Selenverbindungen, die erſtbe-

kannten dieser Art, fand Berzelius auf den Kupfergruben im Serpentin zu Strikerum in Småland (Berzelius Abhandl. i Fysik VI. 180):

Selenkupfer $\text{Cu}^2 \text{Se}$ mit 61,5 Se, 38,5 Cu von silberweißer Farbe, weich und geschmeidig, aber nicht krystallisirt. Auch zu Verbach und Tannenglasbach.

Eulairit (*εὐλαίριος* zur rechten Zeit) $\text{Cu}^2 \text{Se} + \text{Ag Se}$ mit 26 Se, 38,9 Ag, 23 Cu, also genau die entsprechenden Selenverbindungen von Kupferglas und Silberkupferglanz. Bleigrau, weich. Auch nicht krystallisirt. Berzelius bekam es gerade zu Handen, als er sich mit den Selenverbindungen beschäftigte, woher der Name.

Kupferkies, Buntkupfererz und Kupferglas

sind die drei wichtigsten Erze für Kupfergewinnung, aber das Metall ist viel schwerer abzuscheiden, als aus den oxydischen Erzen. Zuerst müssen sie gehörig gattirt und mit Quarz gemischt werden, so daß sie etwa 3 bis 10 p. C. Kupfer enthalten. Durch Rösten entfernt man dann einen Theil des Schwefels, und schmilzt in Schachtöfen. Es fließt nun eine Schlacke $\text{Fe}^2 \text{Si}^2$ ab, und Cu S Fe S (Rohstein) schmelzen abgesondert zusammen. So lange gehöriger Schwefel vorhanden, kann die Schlacke kein Kupfer mitnehmen, weil das Schwefeleisen seinen Schwefel an das Kupferoxydul abgibt, wenn letzteres etwa beim Rösten sich gebildet haben sollte. Der Rohstein wird wiederholt geröstet, bis zuletzt beim Schmelzen ein Kupferstein mit 96 p. C. Kupfer fällt (Schwarzkupfer). Die Beimengungen von Eisen, Zink, Blei u. werden beim Schmelzen an der Luft oxydirt, die gereinigte Oberfläche begießt man mit Wasser und hebt die erkaltete Kupferscheibe ab (Rosettenkupfer). Bei dem Proceß geht natürlich alles Silber in das Kupfer.

Hat das Schwarzkupfer so viel Silber, daß es die Scheidungskosten trägt, so bringt man es auf die Saigerhütte, wo man es mit Blei zusammen schmilzt, was das Silber aufnimmt, und durch Wärme vom schwer schmelzbaren bleihaltigen Kupfer getrennt werden kann. Neuerlich wendete man auch kochende Steinsalzsoole an: dieselbe zieht aus dem gerösteten und gepochten Kupferstein das Silber, was durch Kupferplatten wieder der Lauge entzogen werden kann. Die Gegenwart von Blei und Wismuth erschweren aber die Arbeit. Nach Rivot kann man aus schmelzenden Kupfersilicaten das Kupfer mit Eisenstäben niederschlagen.

Arsenkupfer hat man jetzt eine ganze Reihe nachgewiesen. Rein sind sie weiß und Silberähnlich. So der Domeykite $\text{Cu}^6 \text{As}$ von Coquimbo mit 71,7 Kupfer. Dort auf der Grube Algobones bricht auch der Algodonit $\text{Cu}^{12} \text{As}$ mit 83,7 Kupfer, und dennoch so weiß, daß man es anfangs für gediegen Silber hielt. Ja der Darwinit (Journ. prakt. Chemie 1861. 84 86) hat sogar $\text{Cu}^{18} \text{As}$, wie der röthlichweiße Whitnehit von Houghton in Michigan mit 88 Cu und 12 As. Condurrit pag. 655 ist sichtlich ein Zersetzungproduct vielleicht aus Tennantit.

Fahlerze.

Fahl heißt so viel als Grau. Unter diesem gemeinsamen Namen kann man eine Menge complicirter Verbindungen begreifen, die man nicht gut besser unterbringt. Bergmännisch haben sie ebenfalls wegen des Kupfergehaltes Werth. Doch sind einige darunter noch so durch Silber angereichert, daß sie als Giltigerze cursiren. Es sind verwickelte Schwefelsalze. „Bei der Analyse ist eine der größten Schwierigkeiten die Bestimmung der Menge des Schwefels und des Antimons, wenn in der Verbindung zugleich Silber oder auch Blei enthalten ist. Am vortheilhaftesten ist es, den Schwefel und die Metalle durch Chlorgas in Chlorverbindungen zu verwandeln, und die flüchtigen Chlorverbindungen von den nicht flüchtigen durch Destillation zu trennen“ (Pogg. Ann. 15. 455). Die Zerlegung durch Chlorgas geschieht bei keinem Schwefelmetalle so leicht und in kürzerer Zeit als bei denen, in welchen Schwefelantimon und Schwefelarsenit mit basischen Schwefelmetallen verbunden sind.

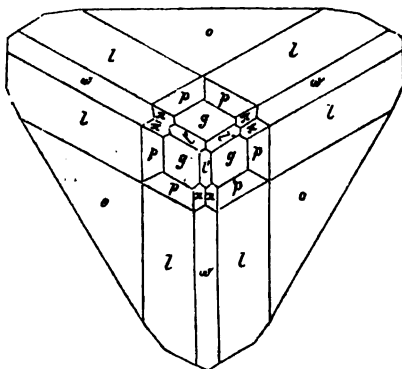
1. Fahlerz.

Ein alter bergmännischer Name. Nach Henkel verstand man darunter hauptsächlich die silberreichen, *Argentum nigrum cineraceum* Gediegen graverz Agricola 703. Dient hauptsächlich zur Kupfergewinnung, daher *Cuivre gris*, Grey Copper. Tetraedrit.

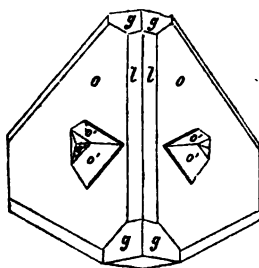
Das ausgezeichnetste unter den tetraedrischen Krystallsystemen, und da es häufig krystallisirt, so ist es leicht an der Form erkennbar. Tetraeder $0 = a : a : a$ herrscht bei weitem vor; eine Streifung parallel den Kanten führt auf das Pyramidentetraeder $1 = a : a : \frac{1}{2}a$, bestimmt durch das selten fehlende Granatoeder $g = a : a : \infty a$, welches vollständig die Tetraeder-Ecken zuschärft. Kante $g/1$ steht senkrecht gegen die Richtung der Tetraederkante. Außer diesen dreierlei Flächen $0/1$ stumpft öfter der Würfel w die Kanten, und das Gegentetraeder $0'$ die Ecken des Tetraeders 0 ab. Letztere ist zwar gar nicht gewöhnlich und nur klein, so daß das tetraedrische Aussehen dadurch nicht gestört wird.

Eine wichtige Rolle spielt auch das Granatoeder, welches sich im Tennantit zur herrschenden Form ausdehnt, daran stumpft dann das Tetraeder 0 die Hälfte der dreikantigen Ecken gerade ab, und das Pyramidentetraeder 1 die Hälfte der Kanten. Letztere pflegen oft sehr glänzend und scharf ausgebildet zu sein (Kapnik, Mäusen), und bilden dann einen Gegensatz zum mattern Gegenpyramidentetraeder $1'$, welches öfter (Kapnik) untergeordnet die zweite Gehen Hälfte der Granatoederkanten abstumpft. G. Rose (Pogg. Ann. 12. 455) machte auf beistehende complicirte Krystalle auf einer Quarzdruse von Obersachsen bei Ilanz am Vorder-Rhein aufmerksam. Daran herrscht das Tetraeder 0 ; Pyramidentetraeder 1 schärft die Kanten $0/0$ zu; Würfel fläche w stumpft die Tetraederkante $0/0$ (respective $1/1$) gerade ab; drei Granatoeder flächen g schärfen die Tetraederecken zu, woran dann das Gegenpyramiden-

tetraeder 144' diejenigen Granatoederkanten abstumpft, welche 1 noch nicht abgestumpft haben. Zwischen g und l liegt das gebrochene Pyramidentetraeder $p = a : \frac{1}{2}a : \frac{1}{2}a$, der Hälftflächner vom gewöhnlichen Pyramidengranatoeder. Kleine Abstumpfungen in dieser Art findet man auch bei Kapnik. Endlich der vollflächige Pyramidenwürfel $\pi = a : \frac{1}{2}a : \infty a$ durch die Zonen g/w und p/p bestimmt. Derselbe kommt zu Gersdorf, bei Dillenburg auf der Grube Aurora, zu Müsen zc. vor. Außerst selten eine gerade Abstumpfung der Pyramidenkanten von l, dieselben würden einem Deltoeder $a : a : \frac{2}{3}a$ angehören (Naumann). Auch bei Rahl im Speßart kamen früher sehr flächenreiche Krystalle vor, woran Hr. Hessenberg Pyramidentetraeder + 559, — 114, und Hexakistetraeder — 5 • 7 • 12 bestimmte.



Zwillinge finden sich unter andern sehr schön auf der Grube Aurora bei Dillenburg, es treten daselbst aus den Tetraederflächen Ecken heraus, die ihre Tetraederflächen lagern, wie das Hauptindividuum seine Gegentetraederflächen hat. Wenn die Zwillingeindividuen ins Gleichgewicht treten, so bilden sie die bekannte Form pag. 76, wo sich die Tetraederkanten rechtwinklig kreuzen, und der gemeinsame Kern ein Oktaeder ist.

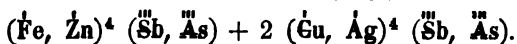


Stahlgrau bis eisen schwarze Farbe, die Krystallflächen außerordentlich stark glänzend, kleinschuppiger Bruch. Strich schwarz, häufig auch mit einem mehr oder weniger starken Stich ins Roth. . Härte 3—4, mäßig spröde, Gew. 4,5—5,2.

Vor dem Löthrohr raucht es stark und schmilzt leicht zu einer Kugel, die bei Gegenwart von Eisen etwas magnetisch wird. Die Kohle beschlägt sich dabei weiß von Antimonoxyd, nahe an der Probe häufig mit einem gelblichen Zinkbeschlag, der kalt wieder weiß wird. Das Blei ist ihm fremd, wenn es nicht zufällig durch den mitvorkommenden Bleiglanz verunreinigt ist. Den Arsenitgehalt erkennt man am Geruch, besonders wenn man das fein gepulverte Erz mit Soda auf Kohle in der Reduktionsflamme schmilzt: der Schwefel wird dadurch zurückgehalten und das Arsen allein verflüchtigt, der Geruch also nicht durch Schwefel verdeckt. Reactionen mit Flüssigkeiten werden nur rein, wenn man es vorher gepulvert sorgfältig röstet.

Chemisch bildet es so zahlreiche Varietäten, die so merklich von einander abweichen, „daß, wenn sie nicht alle dieselbe Krystallform hätten, man sie nicht für eine Species gehalten haben würde. Denn das Verhältniß der

Bestandtheile in den Fahlerzen von verschiedenen Fundorten wechselt dergestalt, daß es nicht zwei Fahlerze von verschiedenen Stellen gibt, welche ganz dieselbe Zusammensetzung haben.“ Klaproth (Beiträge IV. 40) gab zuerst eine gründlichere Analyse, wies wenigstens den Mangel des Bleies nach, wodurch es so leicht von Spießglanz-Bleierz chemisch unterschieden werden kann. Durch H. Rose (Pogg. Ann. 15. 570) ist die Formel festgestellt



Viel Eisen (4 bis 27 Fe) setzt wenig Zink (0 bis 5 Zn), viel Silber (31 bis 0,5 Ag), wenig Kupfer (25 bis 48 Cu), und viel Arsenik (24 As) wenig Antimon voraus. Höchst eigenthümlich ist ein Quecksilbergehalt, der nach Klaproth bei Poratsch in Oberungarn 6,25 p. C. beträgt, Hauer fand sogar bei dem von Gustav-Friderici daselbst 16,7 Hg, Weidenbusch bei dem von Schwarz in Tyrol 15,6 Hg. Solches wird daher auf Quecksilber verhüttet. Es gibt in offener Glasröhre einen Beschlag kleiner Quecksilbertropfen.

Seiner Häufigkeit nach gehört Fahlerz zu den gewöhnlichsten Erzen, durch Zersetzung sind ebenfalls, wie aus den geschwefelten Kupfererzen, salinische Kupfererze entstanden, wie z. B. bei Bulach auf dem Schwarzwalde. Nach ihren Sulphobasen unterscheidet man Kupfer- und Silber-; nach den Sulphosäuren aber Antimon-, Arsen- und gemischte Fahlerze. Indes liegt es in der Natur der Sache, daß die Unterschiede nicht streng festgehalten werden können. Da ferner sämtliche Basen sich unter einander ersetzen können, und das Atomverhältniß von (Fe, Zn) S zum (Cu, Ag) S nicht immer in dem Verhältniß von 1 : 2 steht, so hat Frankenheim die einfachere Formel



in Vorschlag gebracht.

Kupferfahlerze sind bei weitem die gewöhnlichsten, ihr Silbergehalt geht meist unter 1 p. C. hinab, und man kann sie ziemlich gut in drei Unterabtheilungen bringen:

- a) Antimon-Fahlerz, Werner's Schwarzerz, hauptsächlich mit Sb
(Cu, Fe, Zn, Hg)⁴ Sb.

Eisenschwarze Farbe. Nach Kerl enthält die berbe Masse im Rammelsberge bei Goslar gar kein Arsenik, sondern 28,8 Sb, 37,9 Cu, und nur 0,67 Silber. Berbe Stücke von Durango in Mexiko hatten ebenfalls kein Arsenik, und 1,1 Ag. H. Rose analysirte die bekannten mit Kupferfies überzogenen pag. 714 von Zilla bei Clausthal. Unter der Kupferfiesbede ist die Krystalloberfläche rauh. Die unzersetzte Masse hat einen dunkelrothen Strich. Sie enthielten kein Arsenik, 28,2 Sb, 34,5 Cu, aber schon 5 Ag. Die zu Zwillingen so geeigneten prachtvollen Krystalle von der Grube Aurora bei Dillenburg haben bereits 2,3 As, 34,4 Cu und nur 0,8 Ag. Die mit gelber Blende brechenden Siebenbürgischen (Kapnit) Krystalle 2,9 As, 38 Cu, 0,6 Ag. Die Quecksilber-Fahlerze von Toscana (2,7 Hg), Poratsch und Schwarz enthalten ebenfalls kein Arsenik.

- b) Gemischtes Fahlerz, worin Arsenik wesentlichen Antheil nimmt,

ist zwar nicht gewöhnlich, aber doch von mehreren Orten bekannt. So enthalten die Krystalle von Gersdorf bei Freiberg mit Flußspath brechend nach $\text{H. Rose } 7,2 \text{ As, } 16,5 \text{ Sb, } 38,6 \text{ Cu, } 2,37 \text{ Ag}$. Ebelfen analysirte ein reines derbes Vorkommen von Mouzaka in Algerien, $4,7 \text{ Gew. ohne Silber mit } 9,1 \text{ As, } 14,7 \text{ Sb}$. Auf den verlassenen Gruben von Martkirchen in den Vogesen brachen früher Krystalle mit $10,2 \text{ As, } 12,5 \text{ Sb, } 0,6 \text{ Ag}$. So daß dieses als Muster dienen kann.

c) Arsenikfahlerz (Tennantit) kommt zu Rebruth und St. Day in Cornwallis in kleinen Granatoedern vor, die bloß Arsenik und kein Antimon enthalten, schwarzer Strich. Tetraederflächen sind oft kaum daran merklich. Rudernatsch (Pogg. Ann. 38. 307) fand darin $19,1 \text{ As, } 48,9 \text{ Cu, } 3,6 \text{ Fe}$. Da die Formel $\text{Fe}^4 \text{As} + 2 \text{Cu}^4 \text{As}$ nur 43 Cu erfordern würde, so glaubt er einen Theil des Kupfers als Cu S annehmen zu sollen, welches das Fe S ersetzen würde, also



H. Rose war auch bei den andern Fahlerzen schon zu einer ähnlichen Ansicht gekommen. Indes da Cu S eine ungewöhnliche Basis ist, so bleibt man gegenwärtig bei der einfachern $(\text{Cu, Fe})^4 \text{As}$ stehen. Breithaupt's

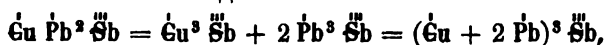
Kupferblende von der Grube Prophet Jonas bei Freiberg mit rothem Strich, $4,2 \text{ Gew.}$, enthält nach Plattner (Pogg. Ann. 67. 422) $8,9 \text{ Zink, } 2,2 \text{ Fe, } 41,1 \text{ Cu, } 18,9 \text{ As}$, und nur Spuren von Antimon und Silber, es ist daher ein zinkischer Tennantit.

Silberfahlerz bildet seit alter Zeit einen wichtigen Gegenstand des Bergbaues, Werner begriff es hauptsächlich unter dem Namen Fahlerz, Klaproth (Beiträge I. 121 und IV. 64) nannte es Graugültigerz, von Spätern wurde es dann auch Weiß- und Schwarzgültigerz genannt. Klaproth rechnete dahin übrigens alle Fahlerze, wenn sie auch nur wenig Silber hatten, wie z. B. Rapnik, Poratsch, Annaberg, Zilla. Uebrigens ist es bemerkswerth, daß bei solchen der Arsenik fast ganz fehlt. Auch variiert der Silbergehalt außerordentlich. So untersuchte Rammelsberg (Pogg. Ann. 77. 247) die schönen Tetraeder vom Meiseberge bei Harzgerode auf dem Unterharze, wo sie öfter mitten im Bleiglanz stecken, sie enthielten $7,3 \text{ bis } 10,5 \text{ p. C. Silber}$ und kein Arsenik. Berühmt waren im vorigen Jahrhundert die Krystalle und derben Massen von der Grube St. Wenzel bei Wolfach auf dem Schwarzwalde, „die etliche und 20 Mark Silber per Centner“ gaben. Sie brachen mit Schwefspath im taugigen Gneis. Klaproth fand darin $13,25 \text{ Ag, } 25,5 \text{ Cu, } \text{H. Rose sogar } 17,7 \text{ Ag und } 25,2 \text{ Cu}$ nebst $26,6 \text{ Antimon}$, aber kein Arsenik. Am silberreichsten sind die Krystalle von der Habacht-Fundgrube bei Freiberg, welche dort unter dem Namen „krystallisirtes Weißgültigerz“ gewonnen werden, allein sie enthalten kein Blei pag. 711, aber $31,3 \text{ Ag, } 14,8 \text{ Cu, } 24,6 \text{ Sb}$ u. und kein Arsenik.

zone p/p aufrecht stellen. Da nun eine beim Bournonit vorkommende Fläche $t = \frac{1}{2}a : c : \infty b$ in der Aze a den Winkel $115^{\circ} 16'$ macht, welcher vom Arragonit nur 1° abweicht, so müßte man dieser Säule die neuen Azen $A : B : \infty c$ geben, dann würde $p = A : \frac{1}{2}B : \infty c$. Eine beim Arragonit nicht häufige $l = c : \frac{1}{2}b : \infty a$ macht in c $85^{\circ} 33'$, und da die scharfe Säulenlante des Bournonit's d/d $86^{\circ} 20'$ beträgt, so wäre $d = C : \frac{1}{2}B : \infty a$ zu setzen. Dann ließe sich Uebereinstimmung annähernd in den Winkeln herausbringen. Allein die Zwillinge passen nicht, das macht schon die ganze Sache unwahrscheinlich, so interessant der Vergleich mit Rothgülden ist.

Dunkel bleigrau, kaum dunkeler als Antimonfahlerz, innerlich einen stark glänzenden kleinschuppigen Bruch. Einzelne Krystallflächen haben sehr starken Glanz, andere wieder auffallende Mattigkeit. Härte 2—3, spröde, namentlich Krystalle leicht zerspringend, Gew. 5,8.

Vor dem Löthrohr stark verknüsternd, doch kann man ihn mit Gummilösung leicht halten, er schmilzt dann außerordentlich schnell, gibt sogleich einen weißen Antimonbeschlag, dem dann sofort ein gelber von Bleioryd folgt. Die Probe nimmt daher schnell an Größe ab, wird zuletzt geschmeidig, und gibt mit Soda ein kleines Kupferkorn.



mit 40,8 Blei, 12,6 Kupfer, 26,3 Antimon, 20,3 Schwefel von Neudorf (H. Rose Pogg. Ann. 15. 582). Wie die Antimonfahlerze, so enthält auch er kein Silber, sofern er frei von beibrechendem Fahlerz ist.

Da beim Euprosplumbit pag. 686 Cu mit Pb isomorph zu sein scheint, so stimmt seine Formel mit der des Rothgülden pag. 707. G. Rose macht nun auf das interessante Verhältniß aufmerksam, daß wie Rothgülden dem Kalkspath so Bournonit dem Arragonit ähnlich krystallisire.

Mit Fahlerz und Kupferkies zusammen zu Neudorf auf dem Unterharz bis zu faustgroßen Krystallen, Wolfsberg bei Stollberg, Bräunsdorf bei Freiberg, Andreasberg, Rosenhöferzug bei Clausthal. Das Kädelerz von Schemnitz bildet einfache Primitivformen PMT mit der Säule dd. Cornwall, Mexiko, Peru.

Prismatoidischer Kupferglanz (Mohs Grundr. Min. II. 550) auf Spath Eisenstein von Wolfsberg in Kärnthen (Antimonkupferglanz, Wölchit nach der Fundstätte), sieht dem Bournonit sehr ähnlich, 2gliedrig, Härte 3, Gew. 5,7. Enthält aber neben 17,6 Antimon, 10,3 Arsenit, 26,2 Schwefel, 28,4 Blei, 17,5 Kupfer. Nach Kammelsberg verwitterter Bournonit.

Schilfsilaserz (Freiesleben) vom Himmelsfürst bei Freiberg wird schon von Romé de l'Isle Crisall. III. 54 als mine d'argent grise antimoniale deutlich beschrieben. Phillips (Mineralogy 1823. pag. 290) hat die Krystalle gemessen, darnach würden sie 2gliedrig sein; Miller (Mineralogy 300) nahm sie 2+1gl.: zwei blättrige Brüche $M = a : b : \infty c$ bilden eine geschobene Säule von 100° . Ihre vordere stumpfe Kante wird durch eine Reihe unbestimmter Flächen abgestumpft, die den Säulen ein längsgestreiftes schilfsartiges Aussehen geben. Drei Paare sind auf die scharfe Säulenlante auf-

gesetzt, wovon das obere (nach Lévy II. 387 blättrige) in c den Winkel von $130^{\circ} 8'$ macht. Da diese Beschreibung jedoch mit der von Hausmann (Pogg. Ann. 46. 146) gar nicht stimmt, so meint G. Rose, Phillips habe Krystalle von Weiskühtigerz pag. 711 vor sich gehabt. Nach Hausmann's Angaben bilden die Krystalle Oblongoktaeder mit 91° und 68° in den Seitenkanten. Die Endede gerade abgestumpft. Der Winkel 91° erinnert an d'd vom Bournonit. Wöhler's Analyse gab 23,7 Ag, 30,1 Pb, 27 Sb, 18,7 S, also ungefähr $5 \text{ Ag S} + 7 \text{ Pb S} + \text{Sb S}^2$; eine andere Analyse auch etwas Schwefelkupfer. Daher glaubt G. Rose ihn als Silberbournonit, worin das Schwefelkupfer durch Schwefelsilber vertreten wäre, ansehen zu dürfen; also $(\text{Ag}, \text{Pb})^2 \text{ Sb}$.

Schwarzlich bleigrau, Härte 2—3, Gew. 6,19. Vor dem Löthrohr auf Kohle verhält es sich wie Bournonit, hinterläßt aber ein Silberkorn. Höchst selten.

Kupferantimonglanz (Wolfsbergit) von Wolfsberg auf dem Unterharz (Zinken Pogg. Ann. 35. 387) bildet breitstrahlige blättrige Masse von 2gliedriger Krystallform. Eine Säule $g = a : b : \infty c$ $135^{\circ} 12'$, $b = b : \infty a : \infty c$ sehr blättrig und längs gestreift, die Geradenfläche $c = c : \infty a : \infty b$ undeutlich blättrig, $\frac{1}{2}g = a : \frac{1}{2}b : \infty c$. Bleigrau, Härte 3—4, Gew. 4,7. Vor dem Löthrohr auf Kohle leicht schmelzbar, mit starkem Antimourrauch, ohne Bleibeschlag, zuletzt mit Soda ein kleines Kupferkorn:

Cu Sb mit 24,5 Cu, 1,4 Fe, 46,4 Sb, 26,3 S, Spuren von Blei. Bricht auf Spießglanzgruben.

Enargit (εναργης deutlich, Breith. Pogg. Ann. 80. 388; Dauber 92. 387) bricht in großen berben Massen zu Morococha in Peru mit Tennantit und Kupferkies, 14,000' hoch auf der Cordillere: 2gliedrige deutlich blättrige Säulen von $98^{\circ} 11'$ mit Endfläche und beide Säulenkanten abgestumpft. Eisenschwarz, Härte 3, Gew. 4,4. Die Blättrigkeit der Säulenflächen soll auffallend sein, woher der Name. Leicht schmelzbar. Plattner fand 32,2 S, 17,6 As, 1,6 Sb, 47,2 Cu. Daraus die Formel $\text{Cu}^2 \text{S}^2 \text{As S}^2$, woran die ungewöhnliche Schweflungsstufe von Arsen wie beim Xanthokon pag. 710 auffällt. Lieferte in einem Jahre für 90,000 Thaler Schwarzkupfer. Binnit pag. 696 (Dufrenoyit) $\text{Cu}^2 \text{As}^2$ in Granatoedern scheint chemisch sehr ähnlich.

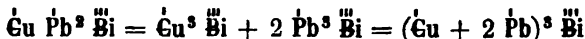
3. Nabelerg.

Auf Goldgängen im Quarz von Katharinenburg. Soll schon 1786 von Patrin für Wismuthglanz gehalten sein, wurde aber dann für gediegen Chrom angesehen, und von Werner zu den Chromerzen gestellt, bis John (Gehlen Journ. Chem. V. 387) den Irrthum aufdeckte. Mohs (v. d. Real Miner. Abh. III. 126) beschreibt es 1805 unter diesem Namen ausführlich. Needle Ore, Bismuth sulfuré plumbo-cuprifère. Patrinit.

Scheinbar 2gliedrige längsgestreifte nabelförmige Krystalle ohne bekannte Endflächen. Selten einige Linien dick, meist feiner bis haarfein. Schwarz =

lich bleigrau, aber fast immer tombalbraun bis messinggelb angelauten, woran man es leicht erkennt. Härte 2—3, Gew. 6,7.

Schmilzt auf Kohle leicht, raucht und setzt einen weißen an den innern Kanten gelben Beschlag ab, hinterläßt ein Wismuthähnliches Metallkorn, mit Soda ein Kupferkorn. Fried (Pogg. Ann. 81. 520) fand 10,6 Cu, 36 Pb, 36,4 Bi, 16,6 S, was ungefähr zu der Formel des Bourmonits



führen würde, worin statt Schwefelantimon Schwefelwismuth steht. Es wäre interessant, wenn das Krystallsystem dereinst diese Ansicht bestätigte. Der einzige sichere Fundort ist der Quarz auf den Goldgängen von Beresowst, das gediegene Gold kommt sogar in den Krystallen vor. Durch Verwitterung entsteht Kupferlasur und Malachit, welch letzterer fälschlich für Chromocker ausgegeben wurde. Bei fortschreitender Zersetzung bleibt zuletzt noch eine gelbe erdige Masse von unreinem Wismuthocker pag. 660 zurück.

Der Schwarzwald ist am Ende des vorigen Jahrhunderts durch die Bemühungen des Bergraths Selb in Wolfach wegen einiger seltenen Wismutherze bekannt geworden. Auf der verlassenen Grube Königswart unterhalb Schönmünznach an der Murg auf der badisch-württembergischen Gränze kamen feine Nadeln in Quarz eingesprengt vor, ihre Farbe ist schwarz, doch laufen sie an der Oberfläche schwach messinggelb an. Das erinnert an Nadel erz, als welches sie auch Hr. Prof. Kurr (Grundzüge Miner. 3. Aufl. pag. 310) aufführt. Der Gang setzt in der Artose des Steinkohlengebirges auf. Chemisch nahe steht ihm das

Wismuthische Silber erz Klaproth (Crelle's Chem. Ann. 1793. 1. B. pag. 10, Wismuthsilber, Wismuthblei), was auf den nebeneinander liegenden Gruben Friedrich-Christian und Herrenseegen in der wilden Schappach ohnweit Wolfach auf dem Schwarzwalde noch bis in die neuere Zeit gewonnen und verhüttet wurde. Eine feinkörnige, feinspeisige, in Quarz eingesprengte Masse, licht bleigrau, milde, Härte 2—3. Man kann es durchaus nicht recht rein bekommen. Selb sah es nur ein einziges Mal fein nadel förmig krystallisirt in einer Drusenöhle von Quarz.

Vor dem Löthrohr schmilzt es leicht, wobei dann aber sogleich die schmelzende Probe von quarziger Bergmasse bedeckt wird. Nimmt man letztere mit Soda weg, so bleibt nach längerem Blasen ein Wismuthähnliches Metallkorn zurück, während die Kohle sich mit Blei und Wismuthoxyd beschlägt. Auch Antimonrauch fehlt nicht. Wie es überhaupt schwer hält, auch nur kleine von Bleiglanz, Kupferkies oder Fahlerz freie Proben zu erhalten. Klaproth (Beiträge II. 201) fand darin 33 Blei, 27 Wismuth, 15 Silber, 0,9 Kupfer, 4,3 Eisen, 16,3 Schwefel. Obgleich Selb das beste Material dazu geliefert hatte, so war die Probe doch noch bis gegen den 4ten Theil mit quarziger Gangart verunreinigt, die in Abzug gebracht werden mußte. Demnach scheinen Ag S, Pb S und Bi S die wesentlichen Bestandtheile zu sein. Vielleicht ein Silber nadel erz. Ausgesuchte Stücke halten wohl 20 Mark Silber per Centner. Der mitvorkommende Bleiglanz ist auffallend silberarm und wird an die Töpfer verkauft.

Wismuthkupfer. Selb (Denkschriften Aerzte und Nat. Schwabens I. 211 u. 212) Kupferwismutherz, Wittichinit (Pogg. Ann. 97. 476). Ist auf der Kobaltgrube Neuglück bei Wittichen im Anfange dieses Jahrhunderts vorgekommen. Bleigrau wie Fahlerz, aber röthlich anlaufend. Wenig glänzend. 4,9 Gew., Härte 3—4. Bildet Gänge von etwa 1 Zoll Dicke im verwitterten Granit. Selb legte selbst nur wenige Stufen zurück, und meint, daß es 1715 auf der dortigen Danielsgrube vorgekommen sein möchte, wo aus mehreren Centnern Kupfer- und Wismuthhaltiger Erze 133 \mathcal{R} Gaarkupfer und 36 \mathcal{R} Wismuth geschmolzen sein sollen. Klaproth (Beitr. IV. 61) fand darin 47,3 Wismuth, 34,7 Kupfer, 12,6 Schwefel, vielleicht $\text{Cu}^3 \text{Bi}$, während Kupferwismuthglanz von Schwarzenberg Cu Bi pag. 699 geschrieben wird. Dauber (Pogg. Ann. 92. 241) fand die Nadeln mit einem Blätterbruch in 2gliedrigen Säulen von $102^\circ 42'$.

Kobellit J. Setterberg (Pogg. Ann. 55. 686) aus den Hvena-Kobaltgruben in Nerike mit Glanzkobalt, Kupferkies und Arsenikkies brechend. Strahliger Bruch und von Grauspießglanzartigem Ansehen, aber 6,3 Gew. Die Formel

$4 \text{Pb}^3 \text{Bi} + \text{Fe}^3 \text{Sb}^2$, vielleicht $(\text{Pb}, \text{Fe})^3 (\text{Bi}, \text{Sb})$, gäbe ein Nadel erz, welches statt Kupfer Eisen hätte, und statt des Wismuth etwas Antimon.

Chiviatit (Pogg. Ann. 89. 220) von Chiviat in Peru, Gew. 6,9, bleigrau, stark metallglänzend, dem Wismuthglanz ähnlich, drei blättrige Brüche in einer Zone, wovon zwei mit 153° und 133° sich gegen den dritten Hauptblätterbruch neigen. 60,9 Wismuth, 18 Schwefel, 16,7 Blei, 2,4 Kupfer, etwaige Formel $(\text{Pb}, \text{Cu})^2 \text{Bi}^3$.

4. Zinnkies Wr.

Das Bell-metal ore (Glockenmetall) der englischen Bergleute bricht auf einem 9 Fuß mächtigen Gange zu Huel Rod im Kirchspiel St. Agnes. Etain sulfuré, Tin Pyrites. Stannin.

Regulär, aber äußerst selten in Würfeln krystallisirt. Die Farbe liegt zwischen licht stahlgrau und messinggelb. Schwarzer Strich. Nicht stark glänzend. Härte 4, Gew. 4,35. Gewöhnlich stark durch Kupferkies verunreinigt, dessen Beimengung man zuweilen noch erkennt, das erschwert auch die genaue Kenntniß der Zusammensetzung. Klaproth hat ihn zweimal analysirt (Beiträge II. 227 und V. 228), und Rudernatsh (Pogg. Ann. 39. 146) schlägt die Formel vor



Rechterer fand 29,6 S, 25,5 Zinn, 39,4 Cu, 12,4 Fe, 1,8 Zn. Kemngott meint, es sei bloß ein Schwefelzinnhaltiger Kupferkies Cu S R S^3 , worin das Schwefeleisen durch Schwefelzinn (Sn S^3) vertreten wäre. Vor dem Löthrohr schmilzt es leicht, und gibt einen Zinnbeschlag, der in der Hitze leuchtet. Als einziges Erz mit Schwefelzinn hat es Interesse. Soll auch bei Zinnwalbe vorkommen.

Sechste Classe.

Inflammabilien.

Von inflammare verbrennen. Eine Klasse, die schon von den ältesten Mineralogen (Avicenna) gemacht ist, doch stellte man vieles dahin, was nicht dahin gehört, wie Schwefel, Diamant. Lassen wir dieß weg, so bilden die Inflammabilien eine sehr natürliche Gruppe, die aber keine Mineralien im Sinne der ersten 5 Klassen enthält, nämlich keine unorganische Verbindungen, die sich bloß nach chemischen Gesetzen bildeten: sondern organische Producte, ursprünglich Pflanzen (seltener Thieren) angehörend, die sich im Schoße der Erde in scheinbar mineralische Substanz veränderten. Vor allem gehören dahin

Kohle, Del, Harze.

Auch Salze mit organischen Säuren kommen hin und wieder vor. Solche Inflammabilien brechen deßhalb auch nicht mehr (oder doch nur sehr vereinzelt) weder im krystallinischen Urgebirge, noch in vulkanischen Gesteinen oder Gängen, sondern auf Lagern und eingesprengt in das Flözgebirge.

Ihr chemischer Hauptgehalt ist Kohlenstoff, weil die Kohle allein unter den festern Theilen der Pflanze vorherrscht. Ueberall wo Pflanzen so begraben wurden, daß der Kohlenstoff nicht verwesen konnte, ist der Rest Kohle untergeordnet mit Sauer- und Wasserstoff.

1. Kohlen.

Man versteht darunter schwarze und braune Kohlen, die so viel zum Brennmaterial dienen. Sie sind mehr oder weniger reiner Kohlenstoff, und knüpfen nicht sowohl an Diamant pag. 292, als vielmehr an den Graphit pag. 605 an, dessen organischen Ursprung man aber nicht mehr direct nachweisen kann, während er sich auch auf chemischem Wege bei Hüttenprocessen leicht bildet.

a) Steinkohle.

Werner nannte sie Schwarzkohle. Houille. Common Coal.

Unkrystallinisch und dadurch im Gegensatz mit Graphit stehend. Muscheliger Bruch. Vollkommen schwarz, samtschwarz, mit schwarzem Strich.

Halbmetallischer starker Glanz bis matt. Dunt angelaufen durch Vitriolwasser, die sich aus Schwefelkies erzeugen. Gyps- bis Kalkspathhärte, meist sehr spröde. Gew. 1,3 bis 1,5. Durch Reiben negativ elektrisch. Reiten nur die Elektricität, wenn sie vorher stark erhitzt sind. Fühlen sich nicht kalt an. Das Pulver färbt Aetkali nicht, oder doch nur unbedeutend.

Chemische Bestandtheile sind Kohlenstoff, Sauerstoff und Wasserstoff; Schwefelkies und Bergart unwesentlich. Allein das Verhältniß der drei Bestandtheile wechselt außerordentlich. Es gibt (magere) Kohlen, die fast rein aus C bestehen, andere (fette) haben außer C noch einen wesentlichen Gehalt an O und H, welche sich zu Bitumen verbunden haben, das mit lichter Flamme brennt, und woher der beim Verbrennen so eigenthümliche gerade nicht unangenehme Geruch kommt. Die Elementaranalyse geht aus Folgendem hervor:

Holzfaser	Braunkohle	Steinkohle
C 51,4—52,6;	55 —76;	73 —96,5.
O 43 —42;	26 —19;	20 — 3.
H 6 — 5,5;	4,3— 2,5	5,5— 0,5

Der Gehalt an Kohle nimmt von der Holzfaser bis zur Steinkohle zu, Sauerstoff dagegen ab. Die Entstehung beruht ohne Zweifel auf einem einfachen Verwesungsproceß, der unter dem Abschluß der atmosphärischen Luft vorgieng: die Kohle fand nicht Sauerstoff genug, um gänzlich verschwinden zu können. Ja Dr. Kremers (Pogg. Ann. 84. 74) weist den Zusammenhang nach, in welchem die Holzfaser mit der Kohlenbildung zu stehen scheint: die Holzfaser veranlaßt nämlich bei der Destillation des Holzes wesentlich die Bildung von Essigsäure. Nun zeigt sich, daß unter den Producten der trockenen Destillation von Braunkohle, auch wenn sie noch so zersezt sein mag, entschieden Essigsäure vorkommt, es scheint also noch unzersezte Holzfaser darin zu sein, während bei ächten Steinkohlen solche Anzeichen gänzlich fehlen. In der Steinkohle sind also alle Spuren unversehrter Holzfaser geschwunden, was directe Untersuchungen mit dem Mikroskop auch bestätigt haben. Der Druck der Wassersäule und des später darauf abgelagerten Gebirges trugen dann noch das ihrige bei, daß das Ganze sich zur homogensten Masse vereinigte. In Beziehung auf den Gehalt an Asche muß man wesentlich zweierlei unterscheiden: der größte Theil stammt vom Gebirge, und besteht dann aus Thon und Schwefelkies; ein kleiner gehört dagegen schon der Pflanze als solcher an. Dieser beträgt aber in der Asche lebender Pflanzen meist unter $\frac{1}{4}$ p. C., und besteht hauptsächlich in Kali- und Natronsalzen, mit etwas Phosphorsäure, Kiesel Erde u., kann daher auch für die Steinkohlen keine große Bedeutung haben. Die Kohlen kommen übrigens so rein vor, daß die Asche mancher Cannelkohle nur 0,5 p. C., von Commentry sogar nur 0,24 p. C. beträgt. Dr. Kremers glaubt den Beweis führen zu können, daß die urprünglichen Aschenbestandtheile aus der Braun- und Steinkohle gänzlich entfernt seien: dieß zeigen nicht bloß die sehr geringen Spuren von Phosphorsäure, sondern die unlöslichen Silicate selbst in der compactesten Kohle.

Der Bitumengehalt ist bei der Anwendung als Brennmaterial von dem größten Einfluß, denn derselbe brennt mit ruhiger Flamme, läßt sich daher vor dem Löthrohr leicht nachweisen. Der Rückstand, englisch Coaks genannt, verhält sich verschieden: bei den fetten glänzenden Kohlen bläht und krümmt er sich, und backt zuletzt zu einer porösen Masse zusammen; bei den fetten matten und bei den mageren bleibt die Probe unverändert. Zwischen beiden Extremen kommen aber alle Mittelstufen vor. In verschlossenen Gefäßen erhitzt geben besonders dieselben mehrere ausgezeichnete Destillationsproducte: brennbare Gase (worunter auch Leuchtgas), bituminöses Del und Theer, ammoniakalische Wasser, als Rückstand Coaks. Das Theer der Gasfabriken gibt Benzol, Anilin, Carbonsäure u., welche zu den herrlichsten Farbstoffen verwendet werden.

Bei der Eintheilung darf man die mineralogischen Kennzeichen nicht mit denen der Structur vermischen, wie das seit Werner so viel geschieht. Denn der Structur nach zählen Kohlen zu den Gebirgsarten.

A. Mineralogisch kann man etwa folgende 5 Varietäten unterscheiden:

1. Anthracit Haug, Kohlenblende Karsten. Werner begriff ihn unter seiner Glanzkohle. Vollkommen muscheliger Bruch. Am härtesten und schwersten, Gew. 1,5. Die Farbe eigenthümlich graulich schwarz (Eisenschwarz), besonders wenn man die Stücke neben Glanzkohle legt. Der Glanz neigt etwas zum Matten. Bitumen fehlt ihm, daher brennt er vor dem Löthrohr nicht, bedeckt sich aber mit Asche (Si, Al, Fe), die in Amerika als vorzügliches Düngemittel dient. Bei dem ersten Anwärmen verknistert er stark, das wirkt auf den Aufzug in Hochöfen sehr nachtheilig. Der reine Kohlengehalt geht bei einigen westphälischen Abänderungen auf 96 p. C. Er schließt sich durch diese Kennzeichen unmittelbar an den Graphit an. Haug glaubte sogar, daß er krystallinisch sei und blättrigen Bruch habe. Derselbe beschreibt reguläre sechsseitige Säulen und Octaeder (*Traité de Minér.* IV. 44). Doch mögen wohl Absonderungsverhältnisse den großen Meister im Erkennen der Blätterbrüche getäuscht haben. Das alpinische Kohlengebirge von La Mure in Frankreich, Hering in Tyrol, der Thonschiefer von Ebersdorf im Voigtlande liefern gute Beispiele für die Charakterfarbe.

Gewöhnlich nimmt man jedoch den Begriff im weitern Sinne, und nennt auch die sammtschwarze Kohle noch Anthracit, wenn sie nur mager genug ist, und vor dem Löthrohr nicht brennt: so die 30'—50' mächtigen Pennsylvanischen Schichten zwischen Susquehanna und Delaware mit Thonschiefer und Grauwacke wechselnd; die mächtige Kohle in Südwallis, Schottland u., die Becken von Mons und Anzin. Das kleine Lager am Hagenbach bei Zunsweier an der untern Rinzig, was neuerlich wieder in Baden Hoffnungen erregte. Die Franzosen nennen diese jedoch passender Houille sèche. In Südwallis und Pennsylvanien ist sie so mager, daß sie lange nicht gebraucht werden konnte, weil sie zu schwer brennt. Allein mit warmem Gebläse gibt sie ein vortreffliches Feuer, und kann direct zur Hochofenfeuerung angewendet werden. Sie raucht beim Brennen nicht.

Wenn Gänge von Porphyr und Basalten Kohlenlager durchsetzen, so haben sie öfter den nächstgelegenen Kohlen das Bitumen entzogen. Auf diese Weise können selbst Braunkohlen (am Meißner in Hessen) in Anthracit verwandelt werden.

2. Glanzkohle. Zeigt ebenfalls vollkommen muscheligen Bruch, ist aber sammtschwarz (kaum einen Stich ins Grau), und mit dem stärksten Glanz, der überhaupt bei Kohlen vorkommt. Sie ist spröde und zerbrechlich. Es gibt eine magere und fette. Die magere flammt nicht, bildet den Uebergang zum Anthracit, und wird, wie wir soeben sahen, auch häufig schon so genannt. Die fette dagegen brennt wegen ihres großen Bitumengehaltes mit rußiger Flamme, dabei krümmt sich die Probe nicht selten ganz wurmförmig, und verwandelt sich in Coaks, der um so poröser ist, je mehr Bitumen entwich. Diese spielt im Kohlengebirge bei weitem die wichtigste Rolle, besonders in den Lagern, die man Schiefer- und Grobkohle nennt. Sie dient in Deutschland vorzugsweise zur Gasbereitung (Gaskohle). Bei der Heizung von Hochöfen ist das Bitumen und der Schwefelkies hinderlich; sie werden vorher im Großen durch Brennen weggeschafft. Coaks bleiben zurück.

Eine ausgezeichnete Glanzkohle kommt auch hin und wieder untergeordnet im Braunkohlengebirge vor, wie z. B. am Meißner in Hessen. Ihr Strich ist zwar nicht vollkommen schwarz, doch kann man sie im Mörtel nicht braun reiben. Sie bildet Concretionen in der erdigen Braunkohle, und geht dann über in die

3. Pechkohle. Dieselbe hat ein durchaus pechartiges Ansehen, sehr homogenen großmuscheligen Bruch, die Farbe geht ins Braun, und der Glanz ins matte Halbpalartige. Nicht sehr spröde, kann daher verarbeitet werden. Wegen ihres großen Bitumengehaltes brennt sie mit starker Flamme. In der Steinkohlenformation ist sie noch nicht gewöhnlich. Dagegen kommen ausgezeichnete Holzstämme schon im weißen Keuper sandstein vor. Die besten Kohlenparthieen der Braunkohlenformation neigen sich meist zur Pechkohle. Eine Pechkohle ist ohne Zweifel auch der im Alterthume so berühmte

Gagat Plinius hist. nat. 36. 34: Gagates lapis nomen habet loci et amnis GaggisLyciae... niger est, planus, pumicosus, non multum a ligno differens. Zu Leucolla wurde er vom Meere ausgeworfen, wie der Bernstein, daher auch schwarzer Bernstein genannt. Wahrscheinlich war es der schwarze Edelstein bei Plin. hist. nat. 37. 67: Samothracia insula ejusdem nominis gemmam dat nigram, ac sine pondere, ligno similem. Seit uralter Zeit knüpfte sich besonders in der Medicin viel Aberglaube daran. Es ist in solchen Fällen immer schwer, das rechte Ding für den Namen zu finden: Hausmann (Handb. Mineral. II. 1809) nimmt die Braunkohle dafür, allein diese hat gerade das am wenigsten edle Ansehen; Emmerling (Rehrbuch Mineral. II. 60) das Judenpech, doch das ist zu bröcklich. Agricola de natur. foss. IV. pag. 596 hält ihn für Bitumen, was in der Erde hart und politurfähig geworden sei. Seit Bauhin (Hist. font. Boll. pag. 23 succinum nigrum seu gagates, deutsch schwarzer Agstein) begreift man in Schwaben

sehr passend unter Gagat die schwarzen Platten aus dem Posidonien-schiefer des Eias, welche beim ersten Anblick nichts weiter zu sein scheinen, als verhärtetes Bitumen. Auch das Jet der Engländer stammt aus der gleichen Formation von Whitby. Sie haben Bruch und matten Glanz der Pechkohle, und brennen fast so lebhaft als Asphalt, aber tröpfeln nicht von der Pincette ab, und hinterlassen sehr poröse schaumige Coaks. Ein solcher Gagat ist schon wegen der Seltenheit seines Vorkommens etwas Gefuchtes, und die Mitte zwischen Bitumen und Steinkohle haltend auch etwas Eigenthümliches. Nach Dufrenoy (Traité Minér. III. 77) gewinnt man im Grünsand von St. Colombe Aude Dep. einen „Jaïet“, der zu allerlei kleinen Schmuckstücken verarbeitet wird: enthält 61,4 C, 38 Bitumen. Zu Dourban und Ségure sind noch 1200 Menschen damit beschäftigt.

3. **Cannelkohle** hat einen matten Jaspisbruch, matter als Pechkohle, mit glänzendem Strich, daher politurfähig. Da sie zugleich schwer zersprengbar ist, so wird sie verarbeitet. Im Großen schieferig, was man in Handstücken gewöhnlich nicht wahrnimmt. Unter den Kohlen des Steinkohlengebirges die bituminöseste, daher sehr leicht, Gew. 1,2, und mit loher Flamme brennend, wober der Name stammt (Candle Licht). Der Rückstand bläht sich vor dem Röhrohr nicht, oder doch nur wenig. Die Analyse gibt 74,5 C, 5,4 H, 19,6 O. Ihr großer Reichthum an Wasserstoff deutet auf Reichthum an Bitumen, und beim Erhitzen geben sie 44 p. C. flüchtige Theile ab. Trotz ihres dichten Zustandes gehören sie doch zu den reinsten Abänderungen, denn der Aschengehalt sinkt bis auf 0,5 hinab. Das macht sie besonders beliebt zum häuslichen Gebrauch. In England findet sie sich hauptsächlich in den obern Schichten zu Wigan in Lancashire, Eleehill in Shropshire, bei Newcastle in Durham, Gilmeston bei Edinburg, Nordamerika &c. In Frankreich heißt sie Houille maigre und bricht zu Epinac, Blanzh &c. Dosen, Tintefässer, Leuchter, Knöpfe &c. werden besonders aus der Schottländischen verfertigt. Zur Gasbeleuchtung die beste, aber die Coaks sind schlecht. Sie vermittelt durch Boghead den Uebergang zu den Schiefern.

5. **Faserkohle**, Werner's mineralogische Holzkohle, bildet erdige schmutzende Schichten zwischen Glanzkohle, im Querbruch von grauschwarzer matter Farbe. Blättert man aber die Glanzkohle ab, so treten fafrige, etwas seidenglänzende edige Platten zum Vorschein, die verbrücker Holzkohle gleichen. Zerrieben gleichen sie Ruß, daher die damit reich angeschwängerten Kohlen auch wohl als Rußkohle angeführt werden. Eine ganz magere Substanz, deßhalb auch fafriger Anthracit, Rahm, Gisch genannt. Die Gluth des Hochofens, welche das Roheisen flüssig macht, reicht nicht hin, sie zu verbrennen, denn sie kommt mit der Schlacke unverändert wieder heraus. In größerer Menge verhindert sie das Zusammenbacken der Glanzkohle bei der Verkozung. Für das Erkennen der ächten Steinkohle ist dieß die wichtigste Substanz, und Göppert hat dargethan, daß sie unter dem Mikroskop die wohlerhaltene Structur von Araucarien zeige, die wegen ihres häufigen Vorkommens in der Steinkohlenformation den Namen *Araucarites carbonarius* trägt.

B. Geognostisch, d. h. nach ihrer Structur im Lager, unterscheidet man folgende Abänderungen:

1. Schieferkohle, bei weitem die häufigste Steinkohle. Sie bildet geschichtete Kohlenflöze, in denen strichweis die Faserkohle mit der Glanzkohle wechselt, wie man besonders auf dem Querbruch sieht. Die Glanzkohle hat dabei bei weitem das Uebergewicht. Die Schichtung ist nicht selten so regelmäßig, daß man sie mit Jahresringen der Bäume verglichen, auch sogar in allem Ernste dafür gehalten hat. Von dem Irrthum überzeugt man sich jedoch leicht. Solche Anordnung kann nur Folge eines sehr regelmäßigen Niederschlags sein.

2. Grobkohle. Werner (Emmerling Mineral II. 66) hat schon frühzeitig diesen Unterschied gemacht unter Widerspruch von Voigt. Und ein Fehler war es allerdings, wenn man die Verschiedenheit in der mineralogischen Beschaffenheit sucht, da sie doch einzig und allein in der Structur liegen kann. Die Faserkohle trägt hier nicht mehr zur Schichtung bei, die Stücke springen vielmehr unbestimmt eckig und nach keiner geraden Flucht weg. Häufig zeigen sie Spiegelflächen, welche durch Druck des Gebirges entstanden sind. Mit einem Worte: die ganze Kohlenmasse ist verworren gelagert. Ein ganz vortreffliches Beispiel liefert die kleine Ablagerung magerer Kohle bei Zunsweier an der untern Rinne im Schwarzwalde. Die 77 Meter mächtige Ablagerung von bald fetter, bald magerer Kohle zu Kreuzot liegt ebenfalls ungeschichtet und wirr durcheinander. Wenn man in dieser Weise den Begriff der Grobkohle festhält, so steht sie allerdings mit der Schieferkohle im Gegensatz. An der Verwerfungsstelle mächtiger Flöze geht die Schiefer- in Grobkohle über.

Stangenkohle nannte Werner die stangenförmig abgesonderte Pechkohle aus dem Braunkohlengebirge vom Meißner. Der Basalt, welcher das dortige Braunkohlengebirge überlagert, scheint seinen Antheil daran zu haben. Doch leitet sie die Electricität nicht, kann daher nach Hr. v. Kobell nicht erhitzt sein. Die Säulen, zuweilen von außerordentlicher Regelmäßigkeit, sondern sich gerade wie die Basaltsäulen ab, sind aber meist nur daumen dick. Auch in dem Steinkohlengebirge kommen in der Nähe der durchbrechenden Porphyre ähnliche Absonderungen vor. Der Name

Blätterkohle wird doppelstimmig gebraucht: einmal versteht man darunter im Braun- und Steinkohlengebirge kohlige Brandschiefer. Die geognostische Schichtung ist hier so vollkommen und dünnflächig, daß namentlich bei der Verwitterung das Ganze sich in papierartige Blätter sondert. Das anderemal meint man die reinste Steinkohle, welche sich nach Art des mineralischen Blätterbruchs schief gegen die Lagerungsfläche schuppt. Man kann das in der That mit einem wirklichen Blätterbruch verwechseln (Epoche der Natur pag. 391). Ueber die

Bildung der Steinkohlen ist man zwar noch nicht ganz im Klaren, allein daß sie lediglich Pflanzenproducte seien, kann man kaum streitig machen. Denn abgesehen von der Faserkohle, welche offenbar aus Trümmern untergegangener Coniferenwälder besteht, die meist immer an der Schieferkohle

Theil haben, zeigt nach Hutton selbst die compacteste Kohle Northumberland's ein Pflanzenartiges Zellgewebe, zwischen welchem eine zweite Art von Zellen bituminöser Natur sitzt, die sich beim Verbrennen schon verflüchtigen, noch ehe die übrige Kohle angegriffen wird. Ja entfernt man nach Göppert's Beobachtung mit Salpetersäure das Kali und seine Salze, damit sie im Feuer behandelt mit der Kiesel-erde nicht zusammen schmelzen können, so finden sich in der Asche selbst der dichtesten Kohle Parenchym- und Prosenchymzellen. Schulze weist noch Cellulose nach. Es fällt freilich auf, daß in den Kohlen selbst sich so wenig Pflanzenabdrücke zeigen, allein sie fehlen nicht ganz, auch mögen sie durch den Verkohlungsprozeß verwischt sein. Daß der Verkohlungsprozeß Pflanzenstructur mit Leichtigkeit dem Auge entziehe, das zeigen die Pechkohlenstämme des weißen Keuper-Sandsteins in Schwaben: ihr äußerer Umriß und die lenticellenartigen Eindrück- und Ausdrücke ihrer Oberfläche deuten den Baumstamm unwiderleglich an, aber innerlich ist die ganze Masse so homogen, daß man mit der Loupe vergeblich nach den Spuren der Holzstructur sucht. Und doch ist dies nur Pechkohle, die Glanzkohle scheint noch mehr Zerstörungskraft besessen zu haben.

Ueber den Kohlenschichten liegen dagegen die Pflanzen in großen Massen angehäuft; unter ihnen herrschen die Sigillarienstämme, zu welchen die Stigmarien die Wurzel gebildet haben sollen. Araucariten und Calamiten stehen in Beziehung auf Menge in zweiter Linie. In dritter Farren und Lepidodendren. Der Schieferthon, in welchen die Blöcke eingebettet sind, scheint häufig sogar der Boden gewesen zu sein, worauf die Pflanzen wuchsen: denn wenn die Beobachtung der englischen Vergleute richtig ist, daß die wurzelartig verzweigte Variolaria bei Newcastle wiederholt unter den Kohlenflözen unverletzt ihre Stelle einnimmt, und wenn ferner es keinem Zweifel unterliegt, daß sie die Wurzeln von den Sigillarien waren, so bildete der Schieferthon den alten Waldboden. Die Stämme selbst wurden zerstört und gaben das Material zur Kohle, während die schwimmenden Blätter und Hölzer im Schieferthon über den Kohlen ihr Lager fanden. Jedenfalls weist die Schieferkohle auf ruhigen Absatz hin. Nun hat zwar Chevandier ausgerechnet, daß unsere Wälder 9 Jahre an dem Kohlengehalt des Luftprismas der Atmosphäre zu zehren hätten, und daß 100 Jahre dazu gehören würden, um auf der Waldfläche eine Steinkohlenschicht von 7 Linien (16 Millimeter) zu erzeugen: eine einzige Kohlenschicht von 1 Fuß Mächtigkeit hätte nach solchen Daten schon 2000 Jahre Zeit verlangt. Allein mögen auch diese Voraussetzungen nicht ganz richtig sein, so kommt man bei der Mächtigkeit der Kohlen immerhin zu Zeitläufen von schwindelnder Größe. Um die Zeiträume doch nicht gar zu groß zu erhalten, nahm schon A. Brongniart an, daß die Atmosphäre der Steinkohlenzeit reicher mit Kohlenensäure gesättigter war, als die heutige: ein feuchtes tropisches Insektlima mochte die Sache beschleunigen. Auch ist die Natur der Pflanzen sehr in die Waagschale zu legen: es sind vorherrschend kryptogamische Gefäßpflanzen mit Mangel an Holzgefäßen und Vorherrschen eines schwammigen Zellgewebes, was der Aze nicht genug Festigkeit gewährte, schwere Zweige zu tragen. Solche

Stangenwälder bedurften nicht wie unsere Hölzer Jahrhunderte, sondern wenige Monate reichten hin, um die Sumpffläche mit einem dichten Waldgrün zu decken. So schnell das empor schoß, eben so schnell sank es in sich wieder zusammen, in kürzerer Zeit als heute häuften sich Pflanzenreste an, welche dann von Strömen tiefern Stellen zugeführt und ausgebreitet wurden. Auch konnten Torfbildungen die Sache beschleunigen.

Bei der Grobkohle, wie wir sie oben festgestellt haben, wirkten vielleicht Anschwellungen großer Ströme mit, darauf scheint schon das Durcheinander im Lager der Kohlensubstanz hinzuweisen. Wie noch heute in dem Delta-lande großer Ströme sich Massen von Vegetabilien in den Grund versenken, besonders wenn sie, wie der Mississippi und die südamerikanischen Ströme, aus Urwäldern herkommen, so wird es auch bei jenen ersten Landbildungen nicht an fortführenden Kräften gefehlt haben. Wenn noch zur Diluvialzeit die sogenannten „Adams-hölzer“ am Eismeer ihren Weg bis zu Gegenden fanden, wo heutiges Tages die Vegetation aufhört, so wäre es gegen alle Wahrscheinlichkeit, wenn man nicht auch schon früher solche Anhäufungen annehmen sollte. Die Dicke der Kohlenschicht darf daher nur bedingt als Zeitmaß genommen werden.

Practisch unterscheidet man die Kohlen nach ihrem Verhalten im Feuer. In England hauptsächlich vier Sorten:

1. Caking-Coal (Backkohle, Houille grasse) schmelzen und backen zu einem schwammigen Coaks, welcher grauen metallischen Glanz hat. Selbst zu Pulver gestoßen, backen sie wieder zusammen, und fließen wie Lava aus dem Ofen.

2. Splint-Coal (Houille sèche), bläht sich beim Erhitzen nicht, sintert höchstens zusammen (Sinterkohle), es ist die Kohlenstoffreichste und Bitumenärmste, sie wird daher nicht zur Gasbereitung benutzt, kann aber gleich direct zur Schmelzung des Eisens und Heizung von Dampfmaschinen angewendet werden.

3. Cannel-Coal (Houille maigre), eine dichte Kohle mit mattem Bruch, schmutzt aber nicht. Sie ist sehr reich an Bitumen, und brennt mit der stärksten Flamme.

4. Cherry-Coal ist sehr bröcklich, zerfällt beim Druck zu Sand, welcher die Luftwege stopft. Muß daher beim Gebrauch mit Splintkohle gemischt werden.

Technisch und nationalökonomisch ist die Steinkohle nicht blos wichtig, weil sie ein Brennmaterial gibt, was nicht auf der Erdoberfläche vorher zu wachsen braucht: sondern mit Steinkohlenfeuer kann auch der größte Effect erreicht werden. Die Brennkraft guter Kohle ist dreimal stärker als die von Buchenholz, und 1 Cubikfuß Kohle kommt 7 Cubikfuß Buchenholz gleich. Der Effect der Hitze hängt lediglich von der Menge Kohlenstoff ab, welcher in einer gewissen Zeit verflüchtigt wird: nun brennen die Holzkohlen dem Volumen nach zwar schneller als Coaks, der Masse nach aber langsamer. Die vorherige Verkohlung hat den Zweck, schädliche Theile, wie Schwefel im Schwefelkies, wegzuschaffen, Gase zu entfernen, die bei ihrer

Expansion nicht bloß Wärme binden, sondern bei Hochöfen auch den Desoxydationsproceß stören. Auf 1 Etr. Roheisen wird $1\frac{1}{2}$ Etr. Coaks, zuweilen noch weniger gerechnet.

Bei der Gewinnung vermeidet man es so viel als möglich, daß die Stücke zerbröckeln, denn im Handel unterscheidet man zwischen Stückkohle und Kohlenklein. Das Kohlenklein ist nicht bloß für den Zug bei der Feuerung nachtheilig, sondern bewirkt auch, daß die aufgehäuften Kohlen sich erhitzen und sogar entzünden. Denn da den Kohlen meist etwas Schwefelkies im fein vertheilten Zustande beigemischt ist, so oxydirt sich derselbe beim Zutritt der Luft. Dabei wird Wärme frei, und wird diese nicht durch Luftwechsel entfernt, so steigert sie sich bis zum Anzünden. Die Kohlenbrände bilden einen der größten Feinde beim Abbau. Bei der Londoner Gewerbe-Ausstellung war ein Kohlenblock von 270 Etr. aus Staffordshire, einer von 325 Etr. aus Südwaales, sogar einer von 500 Etr. aus Derbyshire.

Der Vorrath von Kohlen im Innern der Erde ist unerschöpflich. England steht in dieser Beziehung oben an, und verdankt ihnen einen großen Theil seines industriellen Uebergewichts. Es gewann 1852 740 Millionen Centner, am Ausgangsorte 10 Mill., am Consumtionsorte 20 Mill. Pfund Sterling werth! Die Kohlenfelder nehmen über 500 Quadratmeilen, also fast den 10ten Theil des Landes ein. In dem Decennium 1851—1861 schätzt man die Ausbente auf 605 Millionen Tonnen! Das berühmteste Feld von Northumberland und Durham, worauf Newcastle liegt, versieht London, was allein über 70 Mill. Etr. bedarf. An der Meeresküste ist es zur Ausfuhr besonders günstig gelegen, welche allein gegen 1400 Schiffe beschäftigt. Ja in diesen nördlichen Grafschaften sollen mehr Personen unter als über der Erde leben. Man zählt 40 Flüsse von einer Gesamtmächtigkeit von 44', worunter zwei Hauptflüsse, das High Main- (6') und Low Mainflöz (6 $\frac{1}{2}$ '), am meisten in Angriff genommen sind. In Centralengland versammelt besonders Dudley bei Birmingham die großen Eisenwerke um sich. Von 11 bauwürdigen Flözen ist das mittlere 30'—40' mächtig und erstreckt sich über einen Raum von 60 englischen Quadratmeilen. Das erst neuerlich bekannt gewordene Südwalliser Kohlenbecken übertrifft an Reichthum noch alle, man rechnet auf 1 Morgen (Acre) 2 Millionen Centner. Viele Schichten übereinander sind 3' bis 9', das mächtigste sogar 20'. Im Südschottischen Kohlengebirge bei Paisley westlich Glasgow haben 10 Lager übereinander eine Gesamtmächtigkeit von 100'.

Preußen hat in Deutschland den wichtigsten Antheil an der Kohlen-gewinnung: 1852 wurden über 103 Mill. Etr. gefördert (26 Mill. Tonnen à 4 Etr. Preuß.), der Etr. 9 kr. am Gewinnungsort. Sie haben eine Brennkraft von 10 Mill. Klafter Kieferholz, deren nachhaltige Hervorbringung 1200 Quadratmeilen, also mindestens $\frac{1}{4}$ der Monarchie, verlangen würde. 1860 über 53 Mill. Tonnen. Nach Göppert ist Oberschlesien das reichste Kohlenrevier in Europa, von Tost bis Alvernia 14 Meilen lang, und von Hultschin bis Bierwiz 12 Meilen breit. Die Kohlen liegen in der Ebene und gehen an vielen Stellen zu Tage aus. Das Kaverzflöz bei Wendzin in

Polen 5—7 Lachter (sogar bis 60') mächtig, wird durch Tagebau getrieben. Die Königsgrube in Preußen förderte 1842 aus 4 Flözen von 4'—15' Mächtigkeit 300,000 Tonnen Preuß. Das Niederschlesische Kohlengebirge liegt auf dem Gebirgsfattel von Waldenburg zwischen dem Riesengebirge und den Sudeten: die Fuchsgrube baut auf 19 Flözen, hat einen schiffbaren Stollen und lieferte 1844 355,000 Tonnen Kohlen. Porphyre haben das Gebirge gehoben und zerrissen.

Oestreich fand auf der Böhmischen Seite bei Schaglar und Schwadowitz zwar auch eine Reihe von Flözen, aber minder günstig (Jolsky Jahrb. Geol. Reichsanst. XII. 1862. 100). Am Rhein liefert besonders die Grafschaft Mark (Dortmund) die für Südwestdeutschland so wichtige Ruhrkohle. Sie bildet die Fortsetzung der belgischen Kohlen auf der rechten Rheinseite, nördlich des rheinischen Schiefergebirges, und setzt auf der linken Rheinseite über Aachen, Eschweiler nach Belgien fort. Südlich vom Hundsrücken zeichnet sich das Kohlenbecken von Saarbrück durch seinen ungeheuern Reichthum aus. Unter mächtigen rothen Sandsteinen liegen zwischen Bülkingen an der Saar und Verbach in Rheinbayern 5 Meilen lang 167 verschiedene Flöze, darunter das Blücherflöz 14' mächtig. 77 Flöze von 2'—14', zusammen 238' mächtig, werden abgebaut. Und würde man auch die kleinern mitzählen, so käme eine Gesamtmächtigkeit von 375' heraus. Der Preussische Antheil zwischen Saar und Blies beträgt allein über 800,000 Millionen Etr.! Davon wurden früher jährlich 9 Mill. jetzt 36 Mill. Etr. gewonnen.

In Belgien, wo $\frac{1}{2}$ der Grundfläche den Steinkohlenfeldern angehört, woraus 1858 über 180 Mill. Centner gefördert wurden, sind die Flöze durch die Hebung des rheinischen Schiefergebirges sehr zerrissen, selbst zickzackförmig gebogen, was den Abbau sehr erschwert, und die Werke reichen über 1000' unter den Meeresspiegel. Bei Vüttich zählt man 61, bei Bergen sogar 115 bauwürdiger Flöze von 1'—3' Mächtigkeit.

In Frankreich verdeckt die Kreideformation diesen Kohlenzug, allein unter der Kreideformation wird das kostbare Material noch gewonnen: in der Umgegend von Valenciennes stehen allein 4000 Hüttenwerke mit Kohlen in Betrieb. Das wichtigste Kohlenbecken Frankreichs ist jedoch das Revier der Loire (Rive de Gier und St. Etienne) südwestlich von Lyon, was allein $\frac{2}{3}$ der französischen Kohlenaussbeute liefert. Die 6,2 Meilen lange Mulde ist zwischen kristallinischen Urgebirge eingeklemmt. Auf der Voireseite kommen 12 Flöze von 150' Mächtigkeit vor, drei messen 18', 30' und 50', das mittlere allein soll sogar stellenweis 100' erreicht haben. St. Etienne steht mitten auf diesem Kohlenreichthum, aber unter der Stadt darf nicht gebaut werden. Die aufrechten Sigillarienstämme in den dortigen Sandsteinbrüchen sind längst berühmt. Selbstkosten der Etr. 7 fr. Das Revier des Centrums (Crenot und Blancy) liegt westlich Chalons sur Saone, wo der Kanal beginnt und zur Loire geht. Die Wasserscheide im Kohlengebirge versammelt in einem künstlichen Bassin die Kohlenschiffe. Das große Eisenwerk Crenot sichert allein eine jährliche Consumtion von $1\frac{1}{2}$ Mill. Centner, und ob es gleich sein Erz als Bohnerz aus der Juraformation und aus

dem Alluvialboden des Berry bezieht, so liefert es doch die Anker und riesigen Maschinen für die Häfen von Marseille und Toulon. Es ist aber auch eine der mächtigsten Kohlen auf Erden. Das Flöz von Creuzot ist in der Streichungslinie auf 1000—1700 Meter bekannt, und 20 bis 60 Meter mächtig. Bei Montchanin geht sogar ein Querschlag 110 Meter lang ununterbrochen in der Kohle fort, und da das Flöz ungefähr 45° einfällt, so ist es 77 Met. = 237' mächtig. Freilich verändert sich das bald wieder, doch wird die durchschnittliche Mächtigkeit immerhin 25 Met. = 77' angegeben! Man hat dieses Flöz über 1 Stunde weit (4000 Metr.) verfolgt. Nach der Breite der Mulde und dem Einfallswinkel der Schichten wurde der tiefste Punkt auf 27,000' berechnet, allein directe Erfahrungen bei Saarbrück haben in neuern Zeiten gezeigt, wie trügerisch solche Berechnungen sind. Frankreich hat außerdem noch mehr als 40 kleinere Kohlenreviere, häufig zwischen Urgebirge eingeklemmt, ist aber dennoch im Ganzen arm zu nennen, denn es gewinnt kaum soviel als das kleine Belgien. Auch

das südliche Deutschland theilt dieses Schicksal. Zwar tritt wie an den Vogesen, so auch am Schwarzwalde Kohlengebirge in ausgezeichneter Deutlichkeit zu Tage, wie an der untern Murg, im Gebiete der Kinzig bei Zunsweier und Schramberg, aber unter der Last des Buntensandstein können die vielleicht kohlenreichen Glieder nicht recht zu Tage treten. Nur auf badiischem Gebiet im Hagenbach findet sich ein kleiner Kohlenbergbau. Das Kohlengebirge ist etwa 480' breit zwischen Gneis eingeklemmt, man zählt 6 Flöze, darunter Nester von 18' Mächtigkeit (Epochen der Natur pag. 416). Auch am Südrande des Frankenwaldes und längs des Böhmer- und Bayerischen Waldes tritt as Kohlengebirge an verschiedenen Stellen zu Tage. Bei Stockheim im nördlichen Bayern und in dem anliegenden Meiningerischen Gebiet Neuhaus wird seit neuerer Zeit Bergbau darauf getrieben (Leonhardt's Jahrb. 1853. 1), die geringste Mächtigkeit des Kohlenflözes beträgt 6', allein die Kohle hat so viel Schwefelsäure, daß sie erst gewaschen werden muß, bevor man sie zu metallurgischen Prozessen verloren kann. Der kleinen Becken im Thüringer Wald (Manebach), am Harze (Wettin, Löbejün, Opperde, Meisdorf, Ihlefeld) nicht zu gedenken. Solche vereinzelte Erscheinungen des ächten Kohlengebirges führen zu der Vermuthung, daß im kohlenarmen südwestl. Deutschland das reichere Becken unter dem Buntensandsteine verborgen liege. Doch ist bis jetzt alles Bohren vergeblich gewesen.

Das Königreich Sachsen hat zwar nur drei kleine, aber ausgezeichnete Ablagerungen am nördlichen Rande des Erzgebirges: 1) Zwickau an der Mulde mit 8—9 Flözen im Durchschnitt je 6—8' stark, das sogenannte tiefe Planitzer Flöz ist 20—24', das Rußkohlenflöz sogar 30' mächtig. • Gemann 1856 schon 15 Mill. Ctr. Der Erdbrand auf dem linken Muldenufer südlich von Planitz bei Zwickau, „wo der Erdboden so warm ist, daß ein Treibhaus für exotische Pflanzen darauf angelegt werden konnte“, steht bereits seit Agricola (de ortu et causis subterraneorum lib. II. pag. 505) in hohem Ruf: mons carbonum, qui abest a Zuicca oppido ad duo millia passuum, ardet. Cum enim suo tempore vireat,

tamen semper continet in se ignem comburentem saepe numero substructiones eorum qui id genus bitumen effodiunt: interdum betullas, quibus mons est vestitus, me autem puero per aliquot dies magno arsit incendio. 2) Im Chemnitzer Revier unterscheidet Naumann eine ältere Kohle bei Ebersdorf und Hainichen, und eine jüngere bei Flöha, Niederwiesa, Gickelsberg. Bohrversuche haben in neueren Zeiten günstige Erfolge gehabt. 3) Das Döhlener Bassin im Plauischen Grunde bei Dresden, zwar nur mit 4 Flözen, das bedeutendste aber in einer Mächtigkeit von 12'—20'.

Oesterreich gewann 1842 nur 12 Mill. Centner Stein- und Braunkohlen, worüber eine lehrreiche Uebersicht in den „*Tafeln zur Statistik der österreichischen Monarchie für das Jahr 1842*“ zusammengestellt ist. Seit der Zeit hat es aber bedeutende Fortschritte gemacht, 1858 waren es schon 29 Mill. Stein- und 23 Mill. Ctr. Braunkohlen. Das Hauptsteinkohlenfeld, durch Graf Caspar von Sternberg so bekannt geworden, liegt in Böhmen im Gebiet der Beraun zwischen Prag und Mies. Ein anderes Feld bei Brünn in Mähren. Im Banat zu Vorkar u. kommt im Bias eine Kohle vor, welche man in Stücken von 3—4 Ctr. gewinnen kann, sie ist nicht backend, und soll an Heizkraft selbst die beste englische Steinkohle übertreffen, sich ganz besonders zur Feuerung von Dampfschiffen eignen, was der Entwicklung der Dampfschiffahrt auf der Donau sehr zu Statten kommt.

Rußland hat in seinem großen europäischen Centralbecken nicht bloß ausgezeichneten Bergkalk, sondern darin auch die beste Kohle: am Donez sind schon 225 Flöze über einander nachgewiesen, die im Durchschnitt eine Mächtigkeit je von 2' haben. Es erinnert dieser Reichtum an den Oberschlesischen. Er setzt auch auf die Nordküste von Kleinasien über, wo die Türken an den Küsten des schwarzen Meeres bei Thra-Ashy Kohlenflöze von 120 Zoll Mächtigkeit ausbeuten (*Zeitschrift deutsch. Geol. Gesellsch. IV. 10*). Neuerlich haben sie sich auf beiden Abhängen des Ural in und unter dem Bergkalk gefunden (Pander, *Verhandl. Mineral. Gesellsch. Petersburg 1862*).

In den Vereinigten Staaten von Nordamerika treten hauptsächlich 4 gewaltige Kohlenfelder auf, die auf Uebergangsgebirge und Bergkalk lagern. Das größte unter allen das

Appalachische Kohlenfeld in Pennsylvanien, Ohio und Virginien schließt sich mit seinem südöstlichen Flügel unmittelbar an das Alleghanygebirge an, ist hier gehoben, gefaltet und zerschlagen, reicht dann aber nach Westen in einer Breite von 36 Meilen über den Ohioanal hinaus, seine Länge beträgt aus der Gegend von Bloßburg im nördlichen Pennsylvanien bis Huntsville in Alabama gegen 150 Meilen, und das Oberflächen-Areal über 2500 deutsche Quadratmeilen. In den Urwäldern der drei großen schiffbaren Ströme Alleghany und Monongahela, die bei Pittsburg den Ohio bilden, streichen überall die horizontalen Kohlenflöze an den Abhängen der Ufer nahe am Rande des Wassers zu Tage. Das berühmte Pittsburger Flöz am Ohio von 10' Mächtigkeit mit den besten bituminösen Kohlen kann man auf 10 deutsche Meilen weit den Monongahela hinauf bis Brownsville

verfolgen. Die Kohlenwagen liefern aus ihren horizontalen Gängen die Ladung unmittelbar in die Barken, welche am Flußufer vor Anker liegen. Bequemer konnte es die Natur nicht bieten. Die amerikanischen Geologen machen die interessante Bemerkung, daß die horizontal gelagerte Kohle im Westen bituminös sei, je näher aber den Bergen, desto mehr nimmt der Bitumengehalt ab, in den Bergen selbst kommt der ausgezeichnetste Anthracit vor, wie z. B. Pottsville am Schuylkill westlich Philadelphia: 13 Flöze folgen nach einander in senkrechter Schichtenstellung, worunter einige 8'—10' mächtig, die Kohle schmutzt nicht, und die Schornsteine der Fabriken rauchen nicht. Auf der Lehigh-Summit-Grube haben sich sogar mehrere Flöze zu einer 50' dicken Masse geschaart. Nicht minder bedeutend ist das

Illinois-Kohlenfeld, bei St. Louis das Mississippithal erreichend, im Süden vom Ohio und im Norden vom Mississippi durchschnitten gleicht es einer Ellipse von 65 Meilen Länge und 50 Meilen Breite, so groß als die Insel Britannien. Owen zählt 7 gute und 10—12 schlechte Schichten. In den oberen Schichten kommen Kohlen vor, woran man die Holzstructur noch so gut sehen kann, wie an Holzkohle. Mitten zwischen beiden Feldern liegt die Silurische Kalkstein-Insel von Cincinnati, mit ihren Gipfeln 1400' über dem Meere, während genau nördlich von dieser Centralinsel sich das dritte

Michigan-Kohlenfeld zwischen Michigan- und Huronen-See gegenüberlegt. Alles ist in diesen großen Kohlenfeldern mit bewunderungswürdiger Regelmäßigkeit abgelagert, gewöhnlich über dem Kohlenflöz die Blätter und Stämme, und unter ihm die Wurzeln (Variolarien). In dieser Beziehung ist besonders das vierte

das Neuschottische Kohlenfeld instructiver, als irgend eines auf dem Continent, da in der durch seine Hochfluthen so berühmten Fundy Bay und nördlich von der Halbinsel Neuschottland die Kohlenformation an das Meer stößt. Sydney, die Haupthafenstadt von Cape Breton, liegt im Herzen der Steinkohlenflöze, die so gut sind, als die besten von Newcastle, viere davon von 4'—7' Mächtigkeit werden abgebaut. Whell beobachtete 1842 in der Fundy-Bay zehn über einander stehende Wälder, Brown an der Küste von Cap Breton sogar 17 Stockwerke stehender Bäume über einander. Man kann bei dem zerschnittenen Terrain die Erscheinung auf viele Stunden Entfernung verfolgen, so daß darüber kein Zweifel sein kann. Die amerikanischen Geologen haben nun sogar vermuthet, die drei Centrakohlenfelder hätten vielleicht einst zusammengehangen, und wären erst durch Fluthen von einander getrennt, dann hätte der alte Kohlenwald eine Fläche von 150 Meilen Breite, und am mindesten 20,000 Quadratmeilen bedeckt. Immerhin beträgt in den 12 Staaten, welche hauptsächlich Kohlen produciren, das Kohlenareal 133,000 englische Quadratmeilen, oder $\frac{1}{4}$ der ganzen Fläche. Das können unmöglich Anschwemmungen sein. Wunderbar genug kehrt die Steinkohlenbildung an den nördlichsten Spizen und Inseln Nordamerika's wieder, wie die Inseln Melville, Grinnell &c. beweisen. Auch Vancouver's Eiland im Westen, und Chili, Peru im Süden haben Kohlen, von Spanien und der

Türkei, von Korea, China, Japan, Borneo, Port Hunter in Neu-Südwallis nicht zu reden. Endlich drängt sich am Schluß noch die Frage auf, was wir Steinkohlen und was wir Braunkohlen nennen sollen. Chemisch in der Behandlung mit dem Röthrohr oder mit Kali kann man sie in einzelnen Fällen zwar sicher entscheiden, aber im Ganzen nicht, so leicht es auch der Technik wird, das Brauchbare herauszufinden. Auch das Vorhandensein von freier oder an Ammoniak gebundener Essigsäure pag. 730 in den Destillationsproducten wird man nicht als absolutes Merkmal nehmen wollen. Mineralogisch stellte man früher alles zur Steinkohle, was keine Holzstructur zeigte und schwarzen Strich hatte. Indes da es auch ausgezeichnete Braunkohlen der Art besonders in der Molasse gibt, so wurde vielfach confundirt. Daher hält man am besten am geognostischen Unterschiede fest, und nennt alles Kohl der secundären Formation bis zur Kreide Steinkohle, und alles der tertiären Braunkohle. Dann sind die Steinkohlen zwar am ausgezeichnetsten in der Steinkohlenformation, allein man findet auch mehrere Lagen im Keuper, besonders in der Lettenkohle zwischen Muschelfalk und Keuper. Zwischen Keuper und Lias lagert in Franken ein kleines Kohlengebirge, welches an der Theta bei Bayreuth und bei Helmstedt im Braunschweigischen früher abgebaut wurde. In diese Region gehören auch die Kohlen in Oestreich unter der Enns, die sich längs dem Nordsaume der Alpen bis nach Fünfkirchen in Ungarn fortziehen: Waidhofen a. d. Yps, Großau, Lilienfeld, Grünbach. Die Kohle gleicht äußerlich der besten Schieferkohle, ist aber außerordentlich bituminös, und gibt daher ganz poröse Coaks. So sehr sie daher in dieser Beziehung von der Braunkohle abweicht, hat sie doch schon einen etwas braunen Strich, wie man ihn bei der wahren Steinkohle nicht findet. In England bei Scarborough und Brora kommt eine brauchbare Kohle im braunen Jura vor. Geognostisch bekannt sind die Kohlen in der Wälderthonformation, welche zu Preußisch-Minden, am Deister im Bückeburgischen, zu Neustadt am Rübenberge 2c. abgebaut werden. Besonders Vorthail zieht Hannover davon (Epochen der Natur pag. 611).

b) Braunkohle.

Der Name wurde von Werner passend nach der braunen Farbe gegeben. Die Franzosen begreifen sie unter Lignites, weil häufig die Holzstructur noch sicher erkannt wird. Die englische Bovey Coal von Bovey Tracey in Devonshire gehört dahin.

Es ist die Kohle der Tertiärformation, welche im Pariser Becken bereits im untersten Tertiärgebirge unter dem Grobkalk beginnt, in Deutschland aber meist der mittlern Tertiärformation beigezählt werden muß. Pflanzenreste sind in ihr in Menge angehäuft und erkennbar. Die braune Farbe deutet entschieden einen geringern Veränderungsgrad als bei der Steinkohle an. Braunkohlen enthalten meist weniger Bitumen als fette Steinkohlen, und geben keine guten Coaks. Uebrigens ist wie beim Holz je nach der Feuerung das Ausbringen von Kohle sehr verschieden: schnelles Feuern gibt weniger Kohlenrückstand. Schon Klaproth vermuthete unter den Destillations-

producten branstige Holzsäure, was sich später bestätigt hat. Dr. Premers glaubte in der Essigsäurebildung den scharfen Unterschied von der Steinkohle zu finden pag. 730. Man kann sie nur in ihren Varietäten einigermassen festhalten.

1. **Russelige Braunkohle** (Pechkohle, gemeine Braunkohle) hat noch ganz das Aussehen einer ächten Steinkohle, doch ist sie nicht so bituminös, riecht beim Verbrennen unangenehmer, und hat einen braunen Strich, oder theilt doch wenigstens der Asilauge eine dunkelbraune Farbe mit. Gew. 1,2. Sie scheidet sich in der gemeinen Braunkohle nesterweis aus, bildet dünne Flöze in der Molasse (St. Gallen mit Planorbis, Kaufbeuren), am Saume der Alpen (Peißenberg, Wiesbach, Seering). Ihr Glanz gleicht meist dem der Pech- oder Cannelkohle. Doch liegen auch Partien der deutlichsten Glanzkohle darin. Am Meißner, wo sie mit Basalt in Berührung kommt, wird sie sogar fast noch stärker glänzend, als der Glanz der glänzendsten Steinkohle. Der Basalt erzeugte dort auch die viel genannte Stangenkohle pag. 734. Jene geschichteten in den Boralpen können beim ersten Anblick mit Schieferkohle des Steinkohlengebirgs verwechselt werden, aber die zwischenliegende Faserkohle tritt zurück. Auch haben sie eine vorherrschende Neigung, Blätterkohle zu werden, in welcher die Schichtung viel dünner und bestimmter ist (Molasse bei Pfaff). Bemerkenswerth sind die bituminösen Hölzer (Rott im Siebengebirge bei Bonn), welche im Längsbruch matt schimmern und die deutlichste Holztextur zeigen, im Querbruch dagegen einer Pech- bis Glanzkohle gleichen. Diese scheinbar homogene Textur stellt sich öfter auch bei Früchten und andern Pflanzenresten auf frischen Bruchflächen ein. Die Analysen weichen sehr ab: Gräber gibt in der Glanzkohle vom Meißner 82 C, 4,2 H, 5,9 O an, in der Pechkohle dagegen über 62 C, 5,5 H, 18 O.

2. **Moor Kohle** ist die gemeinste aller Braunkohlen. Derb mit ebenem Bruch und glänzendem Strich, hat aber so viel Feuchtigkeit, daß sie in den Sammlungen aufberstet. Verhärtete Stücke und Lagen heißen Knorpel. Farbe schwarz wie Moor (Burweiler), häufig aber auch stark ins Braune (Salzhäusen). In ihren reinsten Abänderungen erscheint sie wie fein zermalmt Holz, das schlammartig vertheilt wieder zusammenbackte. Sie dient den Hölzern, Blättern, Früchten zc. als Lagerstätte, und erinnert durch ihr Aussehen lebhaft an Torfbildung. In den tiefern Seegegenden zwischen Halberstadt und Aschersleben wird sie stellenweis als schwarzer fließender Schlamm aus dem Boden geschlagen; am höhern Ort fällt sie dagegen an der Luft zur Erde (Erdkohle, erdige Braunkohle), wie z. B. zwischen Halle und Eisleben, sie wird dann mit Wasser angemacht, geknetet, in Formen gestrichen, an der Luft getrocknet, und so zur Feuerung angewendet. Trotz dieses erdigen Aussehens ist der Aschengehalt, so lange sie keine Schichtung zeigt, nicht übermäßig. Klapproth (Beiträge III. 210) bekam bei der erdigen Braunkohle von Schraplau bei Eisleben 11,5 p. C. Asche, gewöhnlich beträgt sie aber noch weniger. Mit mäßig starker Aeglauge digerirt „scheint sich fast die ganze verbrennliche Substanz derselben gleichsam zu einer flüs-

figen schwarzen Kohle aufzulösen, mit 16 Theilen Wasser verdünnt und filtrirt erscheint die Flüssigkeit immer noch mit gesättigter dunkel schwarzbrauner Farbe.“ Man benutzt sie zu einem braunen Farbmittel der Haare (*Usner chem. techn. Mittheil. IX. 77*).

3. **Bituminöses Holz** kommt in ganzen Stämmen mit mehr oder weniger erhaltenen Verästelungen besonders in die Moorkohle eingebettet vor. Stehen diese Stämme aufrecht, so sind sie weniger verdrückt, als wenn sie liegen. Die Textur des Holzes ist noch so deutlich, als bei lebenden Hölzern, es läßt sich sägen und spalten, und wird in manchen Gegenden zerstückelt wie Holz zu Markte geführt (*Riestedt*). Die schwarzen Hölzer zeigen nicht selten auf dem Querbruch einen deutlichen Ansatze von Verkohlung, bei den nußbraunen (*Salzhäusen*) ist es jedoch weniger der Fall. Letztere sind schwimmend leicht, können wie Holz gehobelt und geglättet werden. Trotz dieser Wohlerhaltenheit konnte doch schon Hattchet in den Hölzern von *Bovey* kein Kali mehr finden. Die zerreiblichen geben eine schöne braune Farbe (*Eölnische Umbra*), und beweisen, daß der größte Theil der dichten Braunkohle nichts als ein solches Reibungsproduct sei, wie es bereits ältere und neuere Naturforscher (*Hartig*) ansehen. Es sind darunter Laub- und besonders Coniferenholz. Letztere gehören aber nicht mehr bei uns lebenden an, sondern meist *Thuja*- und *Cypressen*arten von riesenhafter Größe. Einigen Ruf hat in dieser Beziehung die Grube *Bleibtreu* an der Hardt im Siebengebirge, die Stämme liegen mitten in der dortigen Moorkohle. *Hr. von Dechen* erwähnt eines liegenden Stammes (*Pinites ponderosus*) von 39½' Länge, 14—15 Fuß Breite und 17 Zoll Dicke, so stark war derselbe gepreßt. Seltener sind aufrechte Stämme, wie sie *Röggerath* 1819 zuerst vom *Plügberge* bei *Friesdorf* auf der linken Rheinseite beschreibt, es war darunter ein Stamm mit Wurzeln von 12 Fuß Durchmesser in der Brusthöhe. In neuerer Zeit fanden sich auf *Bleibtreu* in einem Raume von 22 Morgen 35 solcher Baumstämme von 2½ bis 9 Fuß Durchmesser, sie haben noch deutliche Wurzelansläufer, und sind in einer Höhe von 12—16' gewaltsam abgebrochen. Defter findet man große Stämme daneben, „als wenn dieß Stücke des abgebrochenen Baums wären.“ *Dr. Hartig* (*Botanische Zeitung* 1853. pag. 604) hat die Jahresringe eines solchen aufrecht stehenden Stammes (*Campoxylon*) genau gemessen, und da die durchschnittliche Jahrringbreite $\frac{1}{17}$ Zoll betrug, das Alter auf mehr als 3000 Jahre geschätzt. „Solcher Braunkohlenflöze, wenn auch minder mächtig, finden sich dort dreizehn übereinander. Da nun ohne Zweifel die Bäume an Ort und Stelle wuchsen, so gibt uns das einen Maßstab des Alters. Denn das einzige erdige Hauptflöz ist schon 10'—14' mächtig, und in der Mitte findet sich eine etwa 3' dicke Lage, die fast ganz aus bituminösem Holze in großen Stücken und ganzen Stämmen besteht. Ein Theil desselben sieht frisch hellbraun aus, trocken wird es aber öfter im Querbruch schwarz wie Pechkohle. Die Analyse gab nur 1,24 Asche, 64,3 Kohlenstoff, 5,5 Wasserstoff und 29 Sauerstoff. In den Spalten des *Jura*, in der diluvialen Braunkohle von *Uznach* u. kommen ästige Hölzer vor, die noch ganz zähe Holzfasern zeigen.

Wie das Holz, so haben sich nun auch die verschiedensten Pflanzentheile erhalten: Bast, Lannenzapfen, Früchte aller Art. Die sogenannten „Kiefernadeln“ bestehen in Thüringen aus sehr deutlichen Gefäßbündeln von Palmenhölzern, die im Querbruch wie Pechkohle glänzen, und bei ihrer großen Verbreitung den besten Beweis für ein wärmeres Klima in jenen Zeiten liefern. Besonders reich an solchen Pflanzenresten ist die sogenannte

4. **Blätterkohle**, eine dünngeschichtete, biegsame, lederartige Substanz, die ihre zähe Consistenz hauptsächlich dem starken Bitumengehalte verdankt. Die Schieferung selbst rührt von der großen Beimischung von Thon her, so daß der Aschenrückstand oft mehr als die Hälfte beträgt. Zwar kommen in der obern Steinkohlenformation, im Posidonien-schiefer des Rias 2c. Schiefer vor, die bei der Verwitterung ein höchst verwandtes Ansehen annehmen, allein bis zu dem Grade der Feinheit, als die Braunkohlenschiefer, zertheilen sie sich nicht. Ueberdies scheinen auch mehrere dieser Blätterkohlen mit dem zarten Polir- und Klebschiefer in Verwandtschaft zu stehen, denn Ehrenberg wies in der Blätterkohle von Rott im Siebengebirge ebenfalls Rieselinsuforien nach. Wenn die Blätter ganz zart werden, heißt man sie wohl *Papierkohle* (Pappendeckel), und da solche in die bloße Flamme gehalten schon mit Gestank brennt, so belegte sie Cordier (Journ. de Phys. 1808. 277) mit dem Namen *Dysodil*, der sich in ganz dünnen grünlich grauen Blättchen im Kalkstein von Melisi bei Syracus auf Sicilien fand, wo ihn die Einwohner *Morda di Diavolo* nannten. Das pappige verfilzte Wesen fällt in hohem Grade auf. Sie enthalten nicht blos Insekten, Fische, Frösche, sondern auch Krokodilreste, Vogelfedern und Knochen von einem Moschusthier 2c. Besonders aber bilden sie das sanfte Bett für die Dicotyledonenblätter aller Art, Rätzchen mit Blütenstaub, in der Wetterau hat man sogar Weinbeeren (Rosinen) mit den deutlichsten Kernen gefunden. Das Siebengebirge bei Bonn, die Wetterau bei Salzhausen, der Westerwald, der Dachsenwanger Wäsen bei Kirchheim, Ménat in der Auvergne liefern ausgezeichnete Beispiele dieser merkwürdigen Kohle, welche bei Bonn auf Del benutzt wurde.

5. **Alaunerde**. Obgleich der Alaun auch aus den härtern Alaun-schiefern dargestellt wird pag. 533, so ist doch die weichere Alaunerde des Braunkohlengebirges auch ganz gut dazu geeignet. Buxweiler im Elsaß, Freienwalde an der Oder, Alsfattel in Böhmen und viele andere deutsche Alaunwerke beziehen ihr Material aus der Braunkohlenformation. Es ist eine grauschwarze zum Schieferigen geneigte Masse, welche leicht an der Luft zerfällt und gewöhnlich die Braunkohlensflöze begleitet. Der fein vertheilte, dem bloßen Auge nicht sichtbare Schwefelkies und auch der Mangel an kohlen-saurem Kalk, welcher die Schwefelsäure binden würde, machen sie brauchbar. Durch jahrelange Verwitterung bildet sich schwefelsaure Thonerde, Alkali ist gewöhnlich nicht hinlänglich vorhanden, und muß daher zugefügt werden. Man braucht die so lockere Erde nicht wie den Alaunschiefer vorher zu rösten. Es fehlt ihr an Bitumengehalt. Bei Freienwalde werden jährlich über 32,000 Tonnen à 2 Sgr. gefördert. 4 Tonnen geben 1 Ctr. Alaun. Klaproth (Beiträge IV. 200) fand darin 40 Riesel-erde, 16 Thonerde, 19,6

Kohle, 10,7 Wasser, 1,5 schwefelsaures Kali, 2,8 Schwefel, 6,4 Eisen-
oxyd u.

Die Braunkohle ist besonders in dem norddeutschen Flachlande zu Hause, wo sie an zahllosen Punkten oft unmittelbar an der Oberfläche liegt, so daß sie durch Tagebau gewonnen werden kann. Der preussische Staat allein gewinnt jährlich über 50 Mill. Ctr., der Centner 1 Sgr. Den vierten Theil davon liefert die Gegend von Halberstadt, $\frac{2}{3}$ Theile die Gegend von Halle. In der Mark zwischen Elbe und Oder ist sie wohl an 20 Punkten durch Tiefbau aufgeschlossen. Ihre Schichten fallen steil ein, und sie wird nicht bloß vom Diluvium, sondern auch vom Septarienthon bedeckt, der der jüngern Neocenformation angehören soll (Plettner, Zeitschrift deutsch. Geol. Gesellsch. IV. 240). Von Bonn und Köln, wo die berühmte kölnische Umbra 6—10' mächtig durch Tagebau gewonnen wird, zieht sich die Ablagerung über den Westerwald bis in die Frankfurter Gegend. Besonders reich und unerschöpflich ist auch das nördliche Böhmen, namentlich zwischen Eger und Tepliz, doch wird hier die Ausbeutung noch nicht so schwunghaft betrieben, als in Preußen. Reich sind ferner die österreichischen Alpen, während das südwestliche Deutschland auch in dieser Beziehung keine Bedeutung hat. Es kommen in den Spalten der Juraformation, in der Molasse u. wohl Meister und Flöze vor, aber nur sehr untergeordnet. In Frankreich ist Braunkohle öfter in den Süßwasserkalk eingelagert, wie bei Marseille, wo sie daher den Namen Houille des calcaires erhalten hat. Auch Nordamerika ist östlich des Felsengebirges zwischen 38°—73° Breitengrade auf einer Fläche von 12,000 Quadratmeilen reichlich versehen.

Die Nachbarschaft der Basalte zu den Braunkohlen fällt in den deutschen Hügeländern, Böhmen, Hessen und in Centralfrankreich oft sehr auf. So kommen auch auf dem westlichen und nördlichen Island mächtige Lager — dort unter dem Namen Surturbrand bekannt — vor, worin nach Clavsen ganz gewaltige Baumstämme liegen (Steffens vollst. Handb. der Dryognosie II. 571), so wohl erhalten, daß in Kopenhagen daraus allerlei kleine Geräthschaften gemacht werden.

Die Bildung der Braunkohle erinnert in auffallender Weise schon an unsern heutigen Torf, der dem Alluvium angehört, und sich unmittelbar an die jüngsten Braunkohlen anschließen wird. Wenn man dabei an die Mächtigkeit der Torflager in Irland erinnert, die zuweilen aufbrechen und in Schlammfluthen die Gegend verwüsten und bedecken; an den Vaggertorf niedriger Seeküsten in Holland; an die untermeerischen Wälder von Nordfrankreich und Großbritannien (Handbuch der Geognosie von de la Beche, übersetzt von Dechen pag. 158): so wird uns manches klar, was beim ersten Anblick zum Staunen erregt. Zeigte doch Hr. v. Carnall bei der Versamml. der deutschen Naturforscher in Tübingen 1853 eine feinerdige kaffeebraune Masse vor, die sich in einem Dampfkessel, der mit bituminösen Wassern gespeist war, gebildet hatte, und in auffallender Weise einer feinen kölnischen Umbra gleich. Auch der Dopplerit (Jahrb. 1851. 104) in den Torfmooren bildet

eine amorphe Concretion, welche getrocknet mit Kohle große Aehnlichkeit hat, aber mineralogisch kaum festgehalten werden kann.

2. Bitumen,

in seinem flüssigen Zustande unter dem Namen Steinöl bekannt, kommt nicht bloß untergeordnet in Kohlen und Schiefen der verschiedensten Art vor, sondern hat sich auch an vielen Punkten zum Theil in großer Menge selbstständig ausgeschieden. Da es sehr kohlenstoffreich ist, so brennt es mit rußiger Flamme, und bei gutem Luftzuge leuchtet es stark. Man begreift oft nicht, wie das Del in viele dieser Schiefer kam. Am merkwürdigsten und ölfreichsten von allen ist der schottische

Doghead (Epochen der Natur pag. 392) aus dem Bergkalk von Bathgate, welcher zur Bereitung von Leuchtgas und Naphtha in Handel kommt. Dem äußern Ansehen nach gleicht er zwar der Cannelkohle, allein ist minder schwarz, hat sogar einen gelblich braunen Strich, und mindestens 25 p. C. Asche. Wo die Kohle aufhört fängt dieser an, man zählt ihn daher schon zu den Schiefen, die sich noch mehr als Kohle zur Aufnahme von Del eignen, wie das die Brandschiefer der Steinkohlenformation (Autun) und die Blätterkohlen (Ménet, Rott) des Tertiärgebirges beweisen. Seitdem Selligie daraus Leuchtgas und Del mit Vortheil darstellte (Dumas Traité de Chim. 1844. VII. 300, Compt. rend. 1840. X. 301) haben die fetten Schiefer vielfach die Aufmerksamkeit auf sich gezogen, aber auch practisch manche Verluste gebracht. Dumas fand in einzelnen Schieferthonlagern des Steinkohlengebirges von Bouvant in der Vendée 14,5 p. C. Del, 3,2 Wasser, 7,7 Kohle, 17,5 flüchtige Materie und 61,6 Asche. Das hat zur Anlage der französischen Delhütten in der Umgegend von Autun ermuthigt. In Deutschland gab die Blätterkohle im Braunkohlengebirge von Rott bei Bonn (Zeitschrift deutsch. geol. Gesellsch. 1850. II. 300) einen weitem Anstoß, der besonders in der Preussischen Provinz Sachsen viel mißglückte Nachfolge fand, bis endlich die

Wachskohle (Pyropissit) von Gerstewitz bei Weissenfels den kostspieligen Unternehmungen neues Leben gab. Diese lockere gelblich bis weiße Masse (Freieslebens graue Erbkohle) theilweis von tuffartigem Ansehen und schwimmend leicht hat einen glänzenden etwas fetten Strich, und schmilzt wie Wachs zu einer schwarzen asphaltartigen Masse. Die Destillation liefert einen paraffinhaltigen „Theer“, der kalt gesteht, aber mit Del getränkt ist. Ohne Zweifel dankt dasselbe mehr Pflanzen als Thieren seinen Ursprung, daher auch die Ablagerung über der dortigen Braunkohle (Heine, Jahrb. 1845. 140). Wir sind damit gewissermaßen schon an die Gränze der Harze gelangt. Mitten inne stehen die

Bituminösen Schiefer, welche fern von allen Pflanzenablagerungen zwischen Meerformation ihre Stelle einnehmen, wie unter andern der süddeutsche Elias mehrere Beispiele liefert. Die Destillationsproducte liefern hier nicht „Theer“, sondern bei allen Temperaturen flüssiges „Kohl“, was schon auf eine Armuth von Paraffin hindeutet, und den Blick mehr auf das Fett der gestorbenen Thiere lenkt, welche an jenen Urküsten ihren Tod fanden.

Schon Chr. Gmelin wies in den fettesten Lagern der Posidonieschiefer Württembergs 74 p. C. Kohöl nach. Dasselbe konnte wenigstens zum Theil mit Aether ausgezogen werden, muß sich also im Schiefer schon fertig vorfinden. Es bleibt daher kaum eine andere Erklärungsweise über, als daß die Gesteine sich mit dem Del der gestorbenen und dort verfaulten Thiere getränkt haben. Was die Kohle für die Heizung ist, das dürfte dieses Del einst für die Beleuchtung werden, wenn man der Sache die gehörige Aufmerksamkeit zuwendet, da es an Leuchtkraft das beste Del- und Wachslight übertrifft. Bloss der stark bituminöse Geruch erregt noch einigen Anstoß, doch auch dieß wird mit Hilfe der Chemie überwunden werden. Es ist wirklich erstaunlich, wie die Natur durch scheinbar Kleines so Großes zu Stande gebracht hat: in den Posidonieschiefern des Rias in Schwaben liegen auf einer Quadratmeile (zum großen Theil ganz oberflächlich), gering berechnet, über 200 Millionen Centner des feinsten Deles, ja man übertreibt nicht, wenn man die Mächtigkeit der zu gewinnenden Delschicht auf ein Pariser Fuß schätzt.

Man muß beim Bitumen überhaupt wohl unterscheiden zwischen freiem und gebundenem. Das freie kann man durch einfaches Kochen im Wasser, wie zu Robbann im Elsaß, herausziehen, das gebundene dagegen nur zum Theil durch Aether. Erst durch Erhitzen der Schiefer in Retorten destillirt Del mit Wasser, Ammoniak, Leuchtgas &c. über, gerade wie bei den Kohlen. Das Del selbst scheint also vorzugsweise erst ein Destillationsproduct zu sein. Dieses

Schieferöl hat einen starken empirevmatischen Geruch, sieht im reflectirten Licht mehr oder weniger dunkelfarbig vom beigemischten Theer aus, und zeigt das Fluoriren pag. 132 in ausgezeichnete Deutlichkeit. Chemisch besteht es aus einer ganzen Menge leichterer und schwererer Oele, die man durch unterbrochene Destillation von einander trennen kann. Schon bei 60° Wärme gehen Oeldämpfe über, andere widerstehen noch einer Temperatur von 400°, und diese erkalten zu einem schwarzen feinen Theer. Ueberhaupt sind die flüchtigern Oele farblos, je weniger flüchtig, desto gelber werden sie, bis sie sich zuletzt im Braunen und Schwarzen verlieren.

Augenscheinlich haben wir hiermit die Orte angedeutet, wo das Steinöl seinen Ursprung nahm: Es ist ein natürliches Destillationsproduct aus organischen Ueberresten. Daraus erklärt es sich dann, wie wir auf Fugen des Strunksteins, in hohlen Räumen der Muscheln &c. unverhofft auf Ansammlungen schwarzen flüssigen Theeres stoßen können. Die chemische Deutung soll sich freilich auf das große Gebiet der organischen Analyse stützen, was aber bis jetzt bezüglich der Fossile noch unvollkommen durchgearbeitet ist. Wir müssen daher in vielen Stücken noch mit der äußern Beschreibung uns begnügen.

Steinöl.

Petroleum, Erdöl, Naphtha. Eines der merkwürdigsten Producte des Erdbodens, das zugleich in der Culturgeschichte des Menschen eine wichtige Rolle spielt. Schon die Babylonier bedienten sich des warmen Asphaltes

als Mörtel zu Mauerwerk (Herobot I. 170), und die alten Aegyptier balsamirten ihre Todten damit ein. Plinius erwähnt die Abänderungen an verschiedenen Stellen: bei den Quellen lib. II. cap. 109 spricht er vom Naphtha, ita appellatur circa Babyloniam; lib. 35. cap. 51 werden dagegen alle drei Varietäten vortrefflich beschrieben: et bituminis vicina est natura, alibi limus, alibi terra: limus e Judaea lacu emergens (Asphalt) . . . Est vero liquidum bitumen, sicut Zacynthium (Zante), et quod a Babylone invenitur. Ibi quidem et candidum gignitur (Naphtha). Liquidum est et Apolloniaticum: quae omnia Graeci pissaphalton (Bergtheer) appellant, ex argumento picis et bituminis.

Diese bituminösen Oele, im Allgemeinen leichter als Wasser Gew. 0,7—1,2, bestehen aus Kohlenstoff, Wasserstoff und Sauerstoff. Siedepunkt veränderlich. Brennen leicht mit einem nicht gerade unangenehmen Geruch, zumal beim ersten Anzünden. Mit Wasser mischen sie sich nicht. In Alkohol nur wenig löslich, dagegen in Aether, in flüchtigen und fetten Oelen. Eigentlich haben wir nur zwei feste extreme Punkte: Naphtha und Asphalt, jenes das reinste flüchtige und farblose Del, dieses das möglichst entölte schwarze verhärtete Theer. Da nun Theer vom Oele in allen Verhältnissen gelöst wird, so entstehen durch solche Mischungen Zwischenstufen. Auch verwandelt sich das Del durch Aufnahme von Sauerstoff theilweis selbst in Theer.

Naphtha Strabo Geogr. 16. 1 (Bergbalsam) heißt das dünnflüssige im reinsten Zustande farblose Del, was man aus dem gefärbten durch Destillation darstellen kann. Sie kocht schon bei 70° C, und besteht nach Saussure (Pogg. Ann. 36. 47) aus C H mit 85,9 C und 14,1 H, was gegenwärtig allgemein angenommen wird. Dagegen gab Dumas (Pogg. Ann. 26. 44) 87,3 C, 12,3 H an, was etwa der Formel C⁶ H⁵ entspräche. So rein kommt es aber in der Natur kaum vor, da es an der Luft sich leicht (in Folge von Oxydation?) gelb, braun bis schwarz färbt. Die farblose Naphtha im Handel ist künstlich gereinigt, und zeichnet sich durch Leichtigkeit und niedrigen Siedepunkt aus: bei Amiano in Parma 0,75 Gew. und 70° Siedepunkt. Das Erdöl von Sasso in Toskana hat weingelbe Farbe mit einem blaugrünen Schein wechselnd (Breislak Lehrb. Geogn. III. 24), d. h. es fluorescirt gerade wie unser rohes Schieferöl. Je länger es steht, desto dickflüssiger wird es, so kommt man durch viele Modificationen hindurch zum

Steinöl. Bei gewöhnlicher Temperatur noch flüssig, aber braun gefärbt in Folge von Vertheerung. Gew. 0,8—0,9, schwimmt daher noch leicht auf Wasser, mit welchem es gewöhnlich aus der Erde hervorquillt. Bergtheer hat man das dickflüssige genannt, welches durch alle Stufen der Verhärtung mit dem Asphalt in Zusammenhang steht. Steinöl hat wie das Schieferöl keinen festen Siedepunkt. Das gewöhnliche im Handel vorkommende Petroleum von Amiano und Vaku ist bereits mit Wasser überdestillirt, wodurch eine etwaige Zersetzung in erhöhter Temperatur vermieden wird. Je reiner dieses Del ist, desto weniger rußt es beim Brennen. Ja Dr. Reichenbach (Pogg. Ann. 24. 173) hat nachgewiesen, daß sich unter den verschiedenen Destillationsproducten auch Paraffin und Cupion befänden. Ersteres zeichnet

sich durch eine merkwürdige Indifferenz gegen Säuren und Basen aus (*parum affinis*). Aus dem norddeutschen Braunkohlentheer, der von buttriger Consistenz dem indischen Manguntheer gleicht, gewinnt man es in großer Menge, macht Kerzen daraus, die Wachskerzen ähneln. Eupion (*πύον* Fett) ist noch bei -20° C flüssig, farblos, wasserklar, geruch- und geschmacklos. Beide bestehen merkwürdiger Weise wie das Steinöl aus C H. Steinöl dient zur Aufbewahrung von Kalium und Natrium. Da es Harze löst, so dient es zur Bereitung von Firnissen. Auch ist es seit uralter Zeit officinel. Seitdem es als Beleuchtungsmaterial dient, hat die Gewinnung ungeheuren Aufschwung genommen. Es gehören aber Lampen mit doppeltem Luftzug dazu. Je niedriger das specifische Gewicht desto niedriger liegt im Allgemeinen der Siedepunkt. Leichte Oele brennen leichter und schneller, schwere schwerer und langsamer. Je Kohlenstoffreicher desto stärker die Leuchtkraft. Sehr wesentlich ist noch die Mischung; denn Oele von gleichem mittlern Gewichte 0,82 können auf alle mögliche Weise aus der Reihe von 0,75 bis 0,89 zusammengesetzt sein. Am besten werden die sein, welche bei mittlern Siedepunkte von 150° — 160° das meiste Destillat geben. Diese Andeutungen zeigen, mit welch complicirten Dingen wir es zu thun haben. Ein Gegensatz scheint sich jedoch herauszustellen: paraffinreiche und paraffinarme Rohproducte; jene weisen auf pflanzlichen Ursprung hin, und führen nach Williamson (*Ann. Chem. Pharm.* CII. 190 und CXIII. 109) auf die Alkoholradicale $C_n H_{n+1}$ wie Propyl, Butyl, Amyl, Caproyl zc. (Voghead- und Wachssteinkohlöl); diese auf thierischen nach Dr. Harbordt (*Unterf. des Mineral. Leuchtstoffes der Württemb. Posidonienschiefer. Dissert. 1862*) mit der kohlenstoffreichern Formel $C_n H_{n-2}$ (Württemb. Schieferöl). Darnach sollte man auch in der Urwelt den thierischen Producten den Vorzug geben.

Asphalt (Erdbech, Judenpech) heißt der feste Zustand, mit einem obsidianartigen Bruch, pechschwarz, Gypshärte und schwerer als Wasser bis 1,2 Gew. Durch Reiben stark negativ elektrisch. Ist mit dem Bergtheer durch alle Uebergänge verbunden: es gibt Bergtheer, was Winters in der Kälte ganz starr ist, Sommers dagegen, wenn auch äußerst langsam, fließt. Andererseits ist er wieder mit Gagat verschwistert pag. 732. Im Feuer schmilzt er nicht bloß, sondern tröpfelt auch von der Zange herab, und verbreitet dabei einen ziemlich angenehmen bituminösen Geruch. Der Bentheimer wird nur weich wie Wachs (*Jahrb. 1861. 100*). Die Flamme rußt stark, und es bleibt wenig Asche und Kohle als Rückstand. In Steinöl löst er sich leicht. Die Destillationsproducte enthalten bedeutende Portionen bituminösen Oeles. Die Elementaranalyse eines Asphaltes von Cuba gab 75,8 C, 7,2 H, 13 stickstoffhaltigen Sauerstoff und 3,9 Asche. Der Asphalt bildet förmliche Lager, wie die Steinkohlen. Am berühmtesten ist seit alter Zeit das Vorkommen im todtten Meer, woher es bereits die Egyptianer holten, und noch heute schwimmt es besonders nach Erdbeben in großer Menge auf dem See, so daß es nach Triest auf den Markt kommt. Zu Strabo's Zeiten sahe man den See zuweilen ganz mit Erdbech erfüllt, nach Diodor (*Bibl. hist. 19. 99*) schwammen Massen, kleinen Inseln vergleichbar, auf dem

Wasser. Es ist nämlich eine Salzlake pag. 540, nihil in Asphaltite Judaeae lacu, qui bitumen gignit, mergi potest Plinius hist. nat. II. 108. Auf der Insel Trinidad vor den Mündungen des Orinoco in Südamerika kommt ein ganzer Pechsee von 1000 Schritt Länge und 120 Schritt Breite vor, an der Küste erheben sich Pechriffe, und auf Pech kaum von Erde bedeckt schreitet man zum See, der drei Viertelstunden von der Westküste, 7 Meilen südlich vom spanischen Hafen, entfernt ist. Am Rande des Sees ist das Pech hart und kalt, nach und nach wird es warm und nimmt Fuß-eindrücke an, in der Mitte fließt und kocht es noch, doch zeigen sich keine vulkanischen Ausbrüche mehr. Zur Regenzeit kann man den ganzen See überschreiten. Admiral Cochrane sandte 2 Schiffsladungen voll dieses Pechs nach England, allein um es brauchbar zu machen, erfordert es einen Zusatz von zu viel Del (Leonhard's Jahrb. 1833. 66). Asphalt dient vorzüglich zum Theeren der Schiffe, zu wasserfesten Bauten, Dächern, Trottoiren, schwarzem Siegellack u. Merkwürdiger Weise vertheert nach Magnus (Pogg. Ann. 90. 5) bildendes Gas, ohne Sauerstoff aufzunehmen.

Diese drei bilden zwar die Hauptmasse, doch kommen außerdem noch eine Menge Abänderungen vor, so daß fast jede Localität auch kleine Unterschiede zeigt, wie das eine genauere chemische Analyse, besonders das Verhalten bei der Destillation, zeigt. Während z. B. beim gewöhnlichen Steinöl, mit Wasser destillirt, der größte Theil sich überführen läßt, geht bei dem Bitumen visqueux (klebriges Bitumen) von Bechelbronn im Elsaß nördlich Straßburg nach Boussingault keine Spur von Naphtha über, erst bei 230° C. bekommt man in der Vorlage etwas flüssiges Del von blaßgelber Farbe, was Boussingault Petrolen nennt, 250° längere Zeit erwärmt bleibt endlich ein fester, schwarzer, sehr glänzender Rückstand, Asphalten $C^{40} H^{16} O^3$. Boussingault glaubt, daß auch bei dem andern Steinöl Petrolen und Asphalten die Hauptmasse bilden (Dumas Traité de Chimie VII. 285). Haub unterschied eine Malthé ou Poix minérale, auch Bitumen glutineux genannt (Traité minér. IV. 464). Von einer Maltha spricht schon Plinius hist. nat. II. 108: in Commagene urbe Samosata stagnum est, emittens limum (maltham vocant) flagrantem. Die Franzosen verstehen darunter eine zähe, klebrige Masse, deren feines Del nie ganz trocknet. Das Bitumen von Puy-de-la-Poix im Basalttuff macht den Boden so klebrig, daß er fest an den Sohlen der Fußgänger sitzen bleibt. Das klebrige Wesen zeigt auch der sandige Bergtheer von Neuschätel in auffallender Weise; wenn man darin mit einem Stabe rührt, so bewegt sich die ganze Masse eine Zeitlang fort, als wäre sie durch Würmer belebt: und selbst kleine Proben muß man sehr genau ansehen, um sich zu überzeugen, daß die Bewegung nicht von lebenden Geschöpfen ausgehe.

Elastisches Erdpech (Elastrit) wird schon von Born beschrieben, war lange nur von der Döbingerube bei Castleton in Derbyshire bekannt, wo es im Bergkalk mit Bleiglanz, Blende, Kalkspath und Flußspath bricht. Neuerlich fand es sich ausgezeichnet zu Newhaven in Connecticut. Hier in großen Stücken. Dieselben sind stark elastisch biegsam nach Art des Kautschuk,

zerreißen aber ungleich leichter. Bei frischem ist die Farbe rüthlich braun, durch Verwitterung wird sie aber schwarz. Sie riechen sehr stark bituminös, und sind von einem schwarzen schmierigen Oele durchzogen. Zusammensetzung C H mit nur wenig Sauerstoff.

Ozokerit (Glocker Schweigger Journ. Phys. u. Chem. 1833. 69. 215, *Öz* riechen und *ωπος* Wachs) findet sich bei Slanik in der Moldau im Sandstein in der Nähe von Kohlen- und Salzlagern. Wird jetzt geradezu Paraffin genannt. Die frischen Stücke haben einen Serpentinartigen Bruch, sind bräunlich, gelblich, grünlich, und scheinen an den Ranten stark durch. Ziemlich spröde, doch kneten sie sich zwischen den Zähnen etwas, nach Art spröden Waxes, daher Bergwachs. Durch Verwitterung werden sie schwarz, und auffallend wachsartig, man kann von solchen Stücken mit dem Nagel Späne mit glänzenden Schnittflächen abnehmen. $S. = 1$, Gew. 0,94—0,97. Durch Reiben stark negativ elektrisch. Im Feuer fließt er wie Wachs, und brennt dann mit nicht stark rußender Flamme. Wie überhaupt die ganze Masse etwas Edles hat, edler als Asphalt. Die Analyse gibt ebenfalls C H mit 85,7 C, 15,1 H, gleichsam verhärtetes Naphtha. In Steinöl leicht löslich. Die Destillationsproducte sind hauptsächlich Paraffin und Del. Wird in der Moldau zu Lichtern benutzt. Er kommt an mehreren Punkten im Wiener Sandstein, und stets in der Nähe von Kohlen- und Steinsalzlager vor. Das Nest-gil oder Naphthagil (Steintalg) aus dem Sande der Naphthainsel Tschileken im Caspisee soll nach Böckner eine ähnliche Substanz sein. Es liegt stets nachbarlich den Naphthaquellen, (Leonhard's Jahrbr. 1839. 409), und scheint nach Fritzsche (Journ. prakt. Chem. 72. 221) darin gelöst zu sein. Bei Baku heißt eine ähnliche Masse Kir.

Satchettin wurde von Conybeare in Spalten des Thoneisensteins von Merthyr Tydwil im Steinkohlengebirge von Südwallis entdeckt. Flockig wie Wallrath, oder feinkörnig derb wie Wachs; das flockige stark durchscheinend, grünlich gelb, Gew. 0,6. Schmilzt unter der Siedhize des Wassers zu einem farblosen Oel, das beim Erstarren trübe wird. Ähnliche Massen kommen auch im Steinkohlengebirge von Glamorganshire vor, worin Johnston 85,9 C und 14,6 H nachwies, das würde also ebenfalls C H sein. Künstlich krystallisirtes Paraffin bekommt man jetzt sehr leicht in den sächsischen Delhütten: es sind farblose glimmerartige Blättchen, welche im Polarisationsmikroskop sofort 2 optische Azen zeigen.

Bildung und Verbreitung des Steinöls.

Die Delablagerungen stehen einerseits so innig mit den Stein- und Braunkohlen des Flözgebirges in Beziehung, daß an einem Zusammenhang mit demselben gar nicht gezweifelt werden kann: sie sind Del und Harz der Pflanzen, an welchen feuerige Prozesse nicht den geringsten Antheil haben. Entschieden thierischen Ursprungs ist es viel seltener. Doch findet man z. B. mitten in den bituminösen Kalken des mittlern Eias, Muschelskalles u. in rings abgeschlossenen Drüsen homogener Bänke beim Zerbrechen schwarze theerige Ueberzüge, die, wenn nicht durch bituminöse Tagewasser hingeführt,

wohl thierischen Ursprungs sein könnten. Andererseits hat sich das Del, Theer und Pech in manchen Gegenden (Trinidad, Cuba, Baku) in solchen Massen angehäuft, daß man die Sache nicht recht begreiflich finden könnte, wenn nicht Destillationsprozesse im Innern der Erde dazu mitgewirkt haben sollten. Wegen der Wichtigkeit in der Anwendung wird Steinöl überall gesucht, wo es vorkommt. In Europa ist es meist nur als Theer und Asphalt bekannt. In Frankreich genießt das Bitumen von Seyffel (an der Rhone unterhalb Genf) einen Ruf: es erfüllt Molasseseand und Nagelfluhe, das Bitumen löst sich durch Kochen des Gesteins und schwimmt auf dem Wasser. Auch ist dasselbst der Jurakalk wie im Val de Travers (bei Neuchâtel) so durchbrungen, daß er eine kaffeebraune Farbe bekommt. Man kann ihn zwar pulvern und sieben, aber das Pulver ballt sich wieder von selbst. Auch das Quirinusöl am Westufer des Tegernsees hat unter Schutt im Tertiärgebirge seinen Sitz. Das Bitumen von Bechelbronn und Lobstann im Elsaß nördlich Straßburg bildet im Braunkohlengebirge man kann sagen einen sandigen Theer, der sich in seinen fettesten Schichten wie Wachs schneiden läßt, und ebenfalls abgelocht und dann weiter behandelt wird. Bei Darfeld westlich Münster (Pogg. Ann. 47. 307) findet man im mergeligen Kalkstein der Kreideformation ein zähes honigsteifes Harz, was Spalten erfüllt. Man kann dort reine Stücke von 13 Z. Schwere zu Tage fördern, die ganz dem ächten Asphalt gleichen, nur werden sie bei warmer Witterung gleich pechartig weich, was der ächte Asphalt niemals zeigt. Zu Rimme ohnweit Hannover, Wieke, Hanningen, Dedesse, Verden, Braunschweig kennt man ähnliche Vorkommen. Bei Seefeld ohnweit Innsbruck wird aus Schieferu zwischen Alpenkalkstein ein solcher Asphalt abdestillirt. Den dortigen Bitumenreichtum erwähnt schon Agricola de nat. foss. IV. pag. 595. Häufig fällt die Nachbarschaft der Salzgebirge in hohem Grade auf, ja wir finden mitten im Steinsalz Nester von dem deutlichsten Asphalt (Wilhelmsglück am Kocher). Der salzreiche Karpathenzug ist besonders auf der Nordseite in Gallicien reich an Erdölquellen. Von Lemberg kommt jetzt gereinigte Naphtha als Lampenöl in den Handel, das bei Starasol im Ursprungsgebiet des Dniester aus Sandstein quillt (Jahrb. Geol. Reichsanst. VI. 662). Zwischen Dukla und Krosno im Weichselgebiet dringen brennende Gase aus dem Boden, und einige künstliche Brunnen zeigen sich eine Zeitlang ergiebig (Jahrb. geol. Reichsanst. 1862. XII. 107), dann lassen sie aber nach. Merkwürdiger Weise liegt der Quellszug nur auf der Nordseite der Beskiden, wohin die steilen Schichten fallen, und zwar nur wenige Meilen vom Ramm des Gebirges. Schon im Alterthume sind auf der griechischen Halbinsel zwei Punkte berühmt: Rudeffi bei Abolona am Nordfuße der Acroceraunischen Berge, Nachts tanzten bläuliche Flammen über dem Boden, wo das heilige Nymphaeum von Apollonia lag. Klaproth (Beiträge III. 215) analysirte Asphalt von hier, der dem Kalkgebirge angehört, und in solcher Menge vorkommt, daß man ganz Europa mit dieser zum Kalkfatern so vortrefflichen Substanz versehen könnte (Virlet Leonhard's Jahrb. 1837. 627). Auf Zante, dem alten Zakynthos, der südlichsten unter den Ionischen Inseln, hatte schon

Herodot (IV. 198) die berühmten Quellen besucht, welche noch jährlich 100 Etr. Del liefern. Eines der Delbecken hat 50' Umfang, der Boden tönt hohl und wankt unter den Füßen.

Die Halbinsel Absheron am südöstlichen Ende des Kaukasus ist wegen ihres Delquellenreichthums der bedeutendste Punkt in der Alten Welt, zumal in der Umgebung von Baku. Schwarzer Boden liegt auf einer Erdschicht, bis zu welcher man Brunnen hinabführt, worin sich dann meistens ein dunkles Del ansammelt, das Sommers am dünnflüssigsten ist. Das Dorf Balaghan hat 25 Brunnen, wovon die besten bis 1500 g in einem Tage geben sollen, die meisten sind aber viel ärmer, auch läßt man die Brunnen häufig verfallen, und muß an andern Stellen neue machen. Farblose Naphtha findet sich jedoch nur an einer einzigen Stelle, wo sie wahrscheinlich durch eine unterirdische Destillation schon gereinigt wird. Man rechnet jährlich auf 100,000 Etr. Steinöl in der Umgegend von Baku. Einige der Quellen dünnen zugleich viel Kohlenwasserstoff aus, und bei warmem Herbstregen soll das ganze Feld um Baku in weißblauen Flammen stehen, die aber nicht zünden. Das ewige Feuer der Parfen, welches schon seit dem Jahre 900 brennt, ist ein solcher angezündeter Kohlenwasserstoff, der wie das Del mit dunkelrother Flamme brennt. Auf der Naphtha- oder Eschileken-Insel im Caspisee gewinnen die Turkomannen jährlich 60,000 Etr., außerdem reichlichen Bergtheer, welcher zum Kalkatern der Schiffe und zur Bereitung von Fackeln dient. Ueberall kommt hier Steinsalz, Gyps, Schwefel u. in der Nachbarschaft vor. In Persien ist besonders Schiras ohnweit der Ruinen des alten Persopolis reich an Theer. In Hinterindien Pegu, woher der Rangoon-Theer ausgeführt wird, eine grünlich braune Masse, von der Consistenz des Gänsefettes. Auch China hat bedeutende Quellen. Abgesehen von Trinidad bietet in unsern Tagen besonders Nordamerika (Augsburger Allgem. Zeit. Beil. 1861. 222) eine ungeahnte Ausbeute: von Buffalo an der Mündung des Eriesssee's nach Pikesville in Alabama zieht sich über dem Kohlengebirge ein 3—6 deutsche Meilen breiter Gürtel fort, der besonders in West-Pennsylvanien im Thale des Alleghanyflusses ein förmliches „Delsiber“ erzeugte „this is emphatically the Age of Oil“ beginnt der „Mecca Oil Commercial“ 1861. Man macht Bohrlöcher von 150'—500' im Steinkohlengebirge, aus welchen der gepreßte Kohlenwasserstoff Strahlen dunkelbraunen Dels von 0,795—0,881 Gew. wohl 100' hoch emporerschleudert. Die Amerikaner rechnen 50,000 Gallonen (à 4 Maß) täglich, einzelne günstige Löcher gaben 4000 in 24 Stunden! Aber es läßt nach. Ausnahmeweise ist sogar das Del farblos. Auch Ober- und Unterkanada, selbst Mexico und Californien fallen in den Delgürtel, der sich durch mehr als 60 Breitengrade zieht. In Canada, Mecca, Ohio, Titusville ist es, „not coal oil, but coral oil“. Die kleinen nackten Polypen der Corallenriffe des Uebergangsgebirges scheinen in Bitumen verwandelt zu sein. Daß Vulkanische Dämpfe oft nach Naphtha riechen ist eine allgemeine Erfahrung. Schon Strabo spricht von Wohlgeruch, der sich am Hügel von Traezen verbreitete, und die Priester auf Santorin sahen bei dem großen Erdbeben 1650 ihn als ein

tröstliches Zeichen an, „daß Gott seine Heerde noch nicht verlassen wolle“. Auch sind vulkanische Gesteine öfter mit Erdspeck überstrichen, wie der Basalttuff von Pont du Château bei Clermont mit dem darin liegenden milchblauen Chalcedon.

Paraffinartige Dinge, die gewissermaßen zwischen Del und Harz mitten inne stehen, gibt es noch eine ganze Menge. Vor allem gehört dahin Dumas **Idrialin** (Pogg. Ann. 26. 330), ein Bitumen in den Quecksilberbranderzen von Idria, welche handhohe Lager von bräunlichschwarzer Farbe und glänzendem Strich bilden. Sie fangen leicht Feuer, sind schon öfter Veranlassung zu Bränden gewesen, und fließen dann auseinander wie brennender Theer, wobei sich die Luft mit Wallrathartigen Krystallflittern erfüllt, die namentlich auf halbverbrennenden Stücken sich stark anhäufen. Mit siedendem Terpentinöl kann man eine weiße krystallinische schwer schmelzbare Masse ausziehen, die sich in concentrirter Schwefelsäure mit blauer Farbe auflöst, dieß ist das Idrialin $C^3 H$ mit 94,9 Kohlenst. und 5,1 Wasserstoff.

Scheererit nannte Stromeyer (Pogg. Ann. 12. 333) die weißen fettigen, wie Wallrath krummblättrigen Krystallschuppen, welche Rönlein, Director der Braunkohlenwerke von Ugnach am Züricher See, schon 1822 in jenen bekannten graubeißen Kieferstämmen gefunden hatte (Pogg. Ann. 43. 141). Es erscheint dasselbst in Sprüngen der mürbigen Wurzeltheile öfter ganz wie aufgetrocknetes Terpentinöl. „Bleibt das Holz, an dem Scheererit sitzt, längere Zeit an der Luft liegen, so verschwindet das Fossil fast gänzlich.“ Die Schüppchen sind oft sehr blättrig, haben einen Perlmutterglanz, und sollen dem 2 + 1gliedrigen Krystallsystem angehören. Gewicht etwas größer als das des Wassers. Auf Papier macht es Fettflecke. Schrötter (Pogg. Ann. 59. 66) will nach dem chemischen Verhalten zweierlei unterschieden wissen: Scheererit nach Macaire Prinssep $C^2 H^2$ mit 76 C und 24 H, also von der Zusammensetzung des Grubengases. Bei $40^\circ C$. wird er flüssig und bei 92° destillirt er unverändert über, wobei sich der weiße Rauch zu durchsichtigen Tröpfchen condensirt, welche bei der Berührung mit einem kalten Körper augenblicklich zu einer feinstrahligten Masse erstarren. Geschmolzen bleibt er noch lange flüssig, selbst nachdem er vollkommen erkaltet ist. Nur bei Ugnach bekannt. Rönlit nach Kraus $C H$ mit 7,4 H, $92,5 C$, von der Zusammensetzung des Benzin (Benzol = $C^{12} H^6$). Schmilzt bei 114° . Läßt sich nicht unverändert überdestilliren. Trommsdorf fand eine ähnliche Substanz auf Fichtenstämmen in einem Torflager von Redwitz am Fichtelgebirge. Dasselbst unterschied Bromeis noch einen

Fichtelit $C_4 H_8$ mit 88,9 C, 11,1 H, bei 46° schmelzend. Der mineralogisch freilich sehr ähnlich sieht, und noch wie wenig verändertes Fichtenholz mit Harz riecht. Partit Haidinger (Pogg. Ann. 54. 301) kommt in den Braunkohlenhölzern von Oberhart bei Gloggnitz in Niederösterreich unter ähnlichen Umständen wie der Scheererit vor. Die weißen Krystallschuppen werden bis $\frac{1}{4}$ Zoll groß, und sind 2 + 1gl. rhomboidische Tafeln von 100° mit einer blättrigen Geradenfläche. Gew. 1,04. Nach Schrötter $C_6 H_8$ mit 87,8 C und 12,2 H. Schmilzt bei 74° . Das Teforetin aus

Intercellulargängen von Fichtenstämmen in dänischen Sümpfen bei Holtegaard hat fast die gleiche Zusammensetzung. Vergleiche auch die glimmerartigen Blättchen des Phylloretin $C_8 H_8$ von dort. Vielleicht gehören alle zum verhärteten Terpentindl $C^5 H^4$ ($= C^{20} H^{16}$), deren verschiedener Schmelzpunkt nach Rammelsberg durch ein Gemenge isomerer Verbindungen erklärt werden könnte. Von ächten Harzen unterscheiden sie sich durch Mangel an Sauerstoff.

3. Harze

sind nicht sowohl oxydirte Bitumina, sondern der Sauerstoff ist ihnen schon bei der ursprünglichen Bildung in der Pflanze wesentlich geworden, in der Erde sind sie nur bituminisirt. Sie sind spröde, haben einen sehr vollkommen muscheligen Bruch, und hellere Farbe. Da sie aber meist getrennt von ihrer Mutterpflanze vorkommen, so liefert die für Chemiker und Naturhistoriker so wichtige botanische Bestimmung gar keinen Anhaltspunkt. Das macht ihr Erkennen unsicher. Bei weitem die meisten fossilen Harze rechnet man zum

Bernstein.

Vom altdeutschen Wort hörnen brennen, auf seine Entzündlichkeit hindeutend. Succinum Plinius hist. nat. 37. 11: nascitur autem defluente medulla pinei generis arboribus, ut gummi in cerasis, resina pinis, was Agricola bestreitet. "Ἠλεκτρον Theophrast de lap. § 53. Schon Herodot 3, 115 sagt, daß Zinn und Elektron aus dem äußersten Westen von Europa kämen. Nach Plinius stammt der griechische Name von der Farbe, die mit der der strahlenden Sonne (ἡλεκτωρ) verglichen wurde. Französisch und englisch Amber, Schwedisch Raf (die Wurzel von Raffen), Persisch Karuba Strohräuber. Nur wenige Minerale erfreuen sich eines solchen Rufes, und mit wenigen wurde ein solcher Luxus getrieben. Plinius führt ihn neben Murrhinenischen Gefäßen und Bergkrysal auf. Lib. 37. cap. 11 beginnt mit den Worten: proximum locum in deliciis, seminarum adhuc tantum, succina obtinent.

Ein Harz, wie Gummi, Mastix, Kirschharz, Copal zc., aber von einem vorweltlichen ausgestorbenen Baum der Tertiärzeit (Epochen der Natur 708). Göppert's Pinites succinifer und 8 andere Coniferen der Abietineen und Cupressineen sollen das Product geliefert haben. So lange es weich war, schloß es Mücken, Ameisen, Käfer, Spinnweben mit Thautropfen zc. ein, im Augenblicke des Todes der Insekten erfolgte zuweilen der Abgang von Excrementen, und aus der Begattung kann man schließen, daß im Frühjahr zur Zeit der Blüthe das meiste Harz floß. Plinius 37. 11: liquidum primo destillare, argumento sunt quaedam intus translucentia, ut formicae et culices, lacertaeque, quas adhaesisse musteo (frisch wie Most) non est dubium, et inclusas indurescenti. Uebrigens beruhen die Einschlüsse von Eidechsen, wie die von Fröschen und Fischen, auf Betrug. Selten hängt noch Holz daran, es faulte ab, doch sind deutliche Belegstücke für die Bäume da. Verendt, die im Bernstein befindlichen Reste der Vorwelt. Berlin 1845.

Gelb bildet die Grundfarbe, feuerähnlich, wie gekochter Honig. In Rom waren die „Falerner“ von der Farbe des Falerner Weins die geschätztesten. Alle Töne von Gelb, einerseits ins Weiße, andererseits ins Braune und Schwärzliche sich ziehend. Grüne und Blaue sind niemals rein. Uebrigens färbten ihn schon die Alten mit Vockstalg, Anchusenwurzel, Purpur. Alle Grade der Durchsichtigkeit, wodurch namentlich auch gestammte Zeichnungen erzeugt werden. Der Weiße ist gewöhnlich trüb wie Elfenbein. Vollkommen muscheliger Bruch, wenig spröde. Fettglanz, und in der Hand gerieben stark politurfähig. Zuweilen auch in zapfen-, tropfen- und birnförmigen Gestalten. Härte 2—3, Gew. 1,08, also gerade so schwer als Meerwasser, *ita volubile, ut pendere videatur, atque considerare in vado*. Daher kann er in der Ostsee so leicht mit Bernsteintraut (*Fucus vesiculosus* und *fastigiatus*) ans Land treiben.

Harzelektricität durch Reiben in der Hand wie Asphalt: *ceterum attritu digitorum accepta caloris anima trahunt in se paleas ac folia arida, quae laevia sunt*. Thales (640 a. Ch.) glaubte schon, daß er eine Seele habe, und Buttmann (Abh. Berl. Akad. 1818) leitet davon den griechischen Namen ab (*ἔλειν*), *ἑλετρον*, *ἡλετρον* der Zieher. In Syria quoque feminas verticillos inde facere, et vocare Harpaga, quia folia et paleas vestiumque simbrias rapiat. Lichtpolarisation ist wie bei Harzen (Brewster Gilbert's Annalen 1820 tom. 65. pag. 20). „In Stücken, welche voll Luftblasen waren, wurde durch den Druck der in ihnen eingeschlossenen Luft eine polarisirende Structur rund um die Blasen hervorgebracht, welche sich durch vier kleine Sectoren polarisirenden Lichtes zu erkennen gab.“

Im Feuer brennt er mit heller weißer Flamme, man kann ihn in großen Stücken anzünden, setzt nur wenig Ruß an, und verbreitet dabei einen angenehmen Geruch: *candidi odoris praestantissimi*. Daher ein berühmtes Rauchwerk, Schekel 2 Mosis 30, 34. Die Elementaranalyse gibt

C₁₀ H₈ O mit etwa 79 C, 10,5 H, 10,5 Sauerstoff.

Auch 0,2 Stickstoff und etwa eben so viel Asche wird angegeben. Im Kolben schmilzt er bei 287°, zerfällt sich zu Wasser, brenzlichem, widerlich stinkendem Del und Bernsteinsäure, die sich in weißen Krystallen am Rande der Retorte absetzt. Die Bernsteinsäure besteht aus C₈ H₈ O₈, gehört zu den starken Säuren, und ist auch im Terpentin enthalten, abgesehen davon, daß man sie durch Oxydation von Wachs und Fetten zc. und durch Reduction von Weinsäure (C₈ H₈ O₁₂) und Äpfelsäure (C₈ H₈ O₁₀) erzeugen kann. Der Rückstand ist das Colophonium succini, was zur Bereitung des Bernsteinfirnisses benutzt wird, da dasselbe sich in fetten und ätherischen Oelen löst, was der ungeschmolzene Bernstein nicht thut. Aether zieht aus dem gepulverten Bernstein einen hellgelben, stark riechenden, klebrigen Balsam, den Berzelius (Pogg. Ann. 12. 490) für das hält, was der Bernstein ursprünglich war, aber vielleicht jetzt ärmer an flüchtigem Del wie ehemals. Die unlöslichen Bestandtheile des Bernsteins mögen sich durch die Länge der Zeit aus diesem Balsam gebildet, aber allmählig einen Theil desselben so umschlossen haben, daß dessen weitere Veränderung dadurch gehindert worden ist.

Vorkommen. Bisher sah man den Bernstein als ein Product der tertiären Braunkohle, sogar der ältesten Braunkohlenformation an. So werden Italien, Spanien, Frankreich, England zc. als Fundorte angegeben. Man darf bei diesen Angaben dann aber nicht vergessen, daß unter dem Namen alle bernsteinartigen Harze verstanden werden, welche scharf von einander zu scheiden bis jetzt noch nicht gelungen ist. So kommt bei Lemberg im tertiären Sandsteine mit riesigen Austern ein ausgezeichnete Bernstein in faustgroßen Stücken vor: er ist noch edler und glänzender als der Preussische, und duftet beim Anzünden auf das feinste. In der Pechkohle des Plänerkalkes von Stutsch bei Riechenburg im Chrudimer Kreise von Böhmen führt Reuß einen schwefelhaltigen an. Derselbe fand im Gallicischen die Foraminiferen des Wiener Tertiärgebirges. Daubré fand Bernstein im Braunkohlengebirge von Lobstann im Elsaß (Retinit?), Schubert (Abriss Miner. 1858. pag. 282) sogar von der Alp bei Kirchheim an der Teck. Dieß ist nun jedenfalls nicht Product des Bernsteinbaums der Ostseeländer. Wenn es sich daher um die Erklärung des Bernsteins handelt, so nennt man dabei immer das Hauptvaterland: die große norddeutsche Ebene, die Mark, Pommern, besonders die Ostseeländer von Danzig bis Memel. Auch der 2½ Meilen lange Angernsee bei Riga lieferte beim Abgraben zum Austrocknen viel Bernstein. Zu Gr. Schönebeck bei Jechenik und bei Brandenburg fand man 1833 ein großes Lager, und grub Stücke bis 4 Z schwer aus. Die pommerschen Bauern graben Winters im Lehm nach Bernstein. Von diesem glaubte Göppert, daß er der Diluvialzeit, der Zeit der Mammuthen in der Alten und der Zeit der Mastodonten in der Neuen Welt angehöre: von Holland über die germanisch-sarmatische Ebene hin durch Sibirien, Kamtschatka bis nach Nordamerika erstreckte sich der Coniferenwald. Ihr Harzreichtum konnte sich jedenfalls mit der Neuseeländischen *Dammara australis* messen, obgleich deren Zweige und Aeste von weißen Harztropfen so starren, daß sie wie mit Eiszapfen bedeckt erscheinen (Berl. Abt. 28. Juli 1853). Man hat im Magen des nordamerikanischen Mastodon Reste von *Thuja occidentalis* gefunden, die der im Bernstein vollkommen gleichen soll. Dann hätte die Bildungszeit des Bernsteins bis an die äußerste Gränze der Schöpfungsgeschichte heraufgereicht. Den berühmtesten Punkt bildet die Samländische Küste von Pillau nördlich bis zum Dorfe Groß-Hubnicken, eine Länge von 3 Meilen. Die Küste westlich Königsberg und zwischen dem Kurischen und Frischen Haff geht von Nord nach Süd. In der rauhen Jahreszeit, besonders gegen den Winter, peitschen und unterwühlen die Winde die Küste: die Bernsteinfischer waten hinein, und fangen mit Netzen das Bernsteinkraut, mit welchem eine Welle öfter mehrere Pfund Bernstein auf einmal ins Netz wirft. Die Küste ist jährlich für 10,000 Rthlr. von der Regierung verpachtet, und von Strandreitern bewacht. Was an Bernstein in jener Gegend, selbst von Bauern beim Pflügen, gefunden wird, muß bei Strafe abgeliefert werden, doch erhält der Finder $\frac{1}{10}$ des Werthes. Die sandigen Ufer sind stellenweis 150'—200' hoch, und an ihrem Fuße liegt ein schwarzer mit Stücken von Braunkohlen gemengter sehr vitriolischer thonigter Sand, der

den Bernstein enthält. Landeinwärts bei Groß-Hubniten und Kraxteppen sucht man die Schicht durch Grabarbeit zu erreichen: der Landbernstein ist größer als der Seebernstein, an der Oberfläche rauher, und hat die meisten organischen Einschlüsse. Als G. Rose (Reise Ural pag. 4) 1829 durch Königsberg kam, sah er bei dem Pächter Douglas einen Vorrath von 150,000 \mathcal{R} in einem massiven durch eiserne Thüren verschlossenen Gemölbe aufgespeichert, und in Kisten und Körbe nach der Größe der Stücke geordnet. Man hat Tabellen, die bis in das Jahr 1535 hinaufreichen, und nach diesen ist die alljährliche Ausbeute von 150 Tonnen à 80 Berliner Quart sich gleich geblieben.

Die Größe und der Werth der Stücke ist sehr verschieden: im Berliner Museum befindet sich eines von $13\frac{1}{2}$ Zoll Länge, $8\frac{1}{4}$ Breite und 3—6" Dicke, es wiegt 13 \mathcal{R} 15 $\frac{1}{2}$ Lth. und 8 Lth. wurden von dem Finder abgeschlagen; derselbe bekam 1000 Rthlr. Belohnung, so daß es auf 10,000 Rthlr. geschätzt ist; es fand sich 1803 in einem Wassergraben auf dem Gute Schlappachen zwischen Gumbinnen und Insterburg. Neuerlich kam ein unansehnlicheres weißes 20 \mathcal{R} schweres für 2000 Rthlr. bei Cammin angekauft dazu. Auch Plinius erwähnt eines Stückes von 13 \mathcal{R} (à 24 Lth.): *maximum pondus is glebae attulit XIII librarum*. Das Museum von Madrid soll eines von 8 \mathcal{R} besitzen. Für den Handel werden sie in 5 Klassen gebracht:

- 1) Sortiment 0,8 p. C., Stücke von 5 Lth. und darüber;
- 2) Tonnenstein 9,6 p. C., 30—40 Stücke auf 1 \mathcal{R} gehend;
- 3) Fernitz 6 p. C., kleine reine Stücke von 1—2 Cubitzoll;
- 4) Sandstein 64,7 p. C. bildet noch kleinere Stücke;
- 5) Schluck 18,9 p. C. heißt der unreine Sandstein.

Sandstein und Schluck, so wie der Abgang beim Dreher dient größtentheils zur Destillation der Bernsteinsäure, welche officinell ist, und der Rückstand gibt das Colophonium succini zur Bereitung des Bernsteinsirnisses. Aus dem Tonnenstein und Fernitz werden hauptsächlich Perlen gemacht. Das Sortiment geht meist roh nach Constantinopel, wo es zu Pfeifenspißen verarbeitet wird, weil die Türken glauben, dieselben nähmen keine ansteckenden Stoffe auf: eine große Spitze von milchweißem Bernstein ohne Flecken und Adern soll daselbst mit 40—100 Rthlr. bezahlt werden.

Dieser Handel mit Bernstein ist uralt, und geht noch heute nach Jahrtausenden seinen Landweg über Breslau, Odeffa nach Constantinopel. Jene kalten Gegenden Germaniens würden für die südlichen Völker wenig Reiz gehabt haben, wenn sie nicht mit diesem kostbaren Product bevorzugt wären. Und gerade der Bernstein gibt uns einen der schönsten Beweise, wie weit schon alte Völker herum kamen. Bei den Griechen wird er bereits mit den Dichtungen und Mythen über die ältesten Nationalgötter in Verbindung gebracht. Die Mythe bezeichnet ihn als Thränen der Schwestern des Phaeton, Sohn des Sonnengottes, der mit dem Wagen seines Vaters fast die Erde verbrannt hätte. Im Westen heruntergeschleudert beweinten ihn seine Schwestern, die Heliaden, und von den mitleidigen Göttern endlich in Bäume

verwandelt, hörte der Strom ihrer Thränen noch nicht auf, er wurde zu Bernstein. Bei Homer Odysf. 15, 459 bietet ein Phönizischer Schiffer „eine Goldkette, durchreißt mit ἡλεκτροῖς“, zum Verkauf. Schon Pytheas von Massilia 340 a. Ch., der nach Britannien und Thule kam, scheint auch diese Gegenden besucht zu haben. Bei Plinius 37. 11 heißt es nach ihm, der Bernstein werde gefunden bei den Guttonibus (Gothen) Germaniae genti accoli aestuarium Oceani, Mentonomen nomine, spatio stadiorum sex millium: ab hoc diei navigatione insulam abesse Abalum (das Preussische Paradies, Fischhausen, ein Versammlungsort seit Urzeit, weil es fruchtbar ist gegen die öde Küste): illuc vere fluctibus advehi, et esse concreti maris purgamentum: incolas pro ligno ad ignem uti eo, proximisque Teutonis vendere. Die Teutonen werden hier zum ersten Male erwähnt. Zu Plinius Zeit wußte man ganz gewiß, wo der Bernstein herkam: certum est gigni in insulis septentrionalis Oceani, et a Germanis appellari *glessum* (Glys schwedisch). Die Stelle lag 600,000 Schritte à 5', also über 100 Meilen, nördlich von Carnutum in Pannonien (Gegend von Preßburg), was vortrefflich auf Königsberg stimmt. Julianus, der dem Nero ein Gladiatorenspiel besorgen sollte, schickte einen römischen Ritter expresse hin, und dieser brachte so ungeheuer viel mit: ut retia arcendis feris, podium protegentia succino nodarentur: arma vero, et libitina (Tottenbahnen), totusque unius diei apparatus esset e succino. „Ein kleines Menschenbildniß von honiggelbem Bernstein war dem Römer lieber, als ein lebendiger Mensch. Die Spielwürfel aus dem Weißen reinen Bernstein sind so weiß, wie die beinernen.“ Heute sind die klaren Sorten von der sogenannten Kunstfarbe am geschätztesten: man schleift sie mit Trippel auf Bleischeiben, und gibt ihnen durch Reiben in der Hand Glanz. Durch vorsichtiges Glühen und Kochen in Leinöl wird er besser gemacht. Das Pfund Sortiment kostet 70—80 fl. In wasserfreiem Alkohol löst er sich, und das läßt sich in Formen gießen. Der nachgemachte aus Terpentinen, Gummi, Gummilak löst sich schon in bloßem Wasser.

Retinit.

Als eine gelbliche Erde häufig in der norddeutschen Braunkohle, und wegen ihrer Ähnlichkeit mit Bernstein Bernerde von Werner genannt. Hatchett (Philosophical Transact. 1804. 402) fand ihn in der Braunkohle von Bovey in Devonshire, meinte er sei aus Harz und Asphalt zusammengesetzt, nannte ihn daher Retinasphalt (*ὀρυκτὴν* Harz), was Breithaupt in Retinit verkürzte. Haub's Retinit. Er führt uns in das Meer harzartiger Dinge, die in allen Formationen gefunden werden.

Sehr spröde Körner meist in Braunkohle eingesprengt, außen gewöhnlich erdig, innen aber muschelig und glänzender als Bernstein. Richte gelblichweiße Farbe und auch das Gewicht 1,08 des Bernsteins, wenn er nicht verunreinigt ist. Verbrennt mit aromatischem Geruche, und wird vor dem Schmelzen erst elastisch wie Gutschuk. Daß wir es hier mit bernsteinartigen Producten zu thun haben, lehrt gleich der erste Anblick. Aber Retinit ist

im Alkohol löslicher als Bernstein. Hatchett gibt bei den Englischen 55 p. C. lösliches Harz, 41 unlösliches und 3 erdige Theile. In der Braunkohle von Cap Sable an der westlichen Küste von Maryland kommen Stücke bis zu 5 Zoll Durchmesser vor (Dr. Troost Gilbert's Ann. 1822, Band 70. 207), undurchsichtig gelb, graubraun, 1,07 Gew., wenn kein Schwefelkies darin ist, der ihn schwerer macht. Mit 55,5 in Alkohol löslichen und 42,5 unlöslichen Theilen. In der Kohle auf der Haseninsel bei Grönland, selbst im Schwerspath bei Glücksbrunn liegt Retinit eingesprengt. Sehr häufig findet man in den Braunkohlenbrüchen im Stadtgraben von Halle an der Saale, bei Langenhagen, bei Altenburg 2c. klare braungelbe Harzstücke eingesprengt, wovon sich nach Buchholz 91 p. C. in Alkohol lösen. Sie gleichen auffallend den Harzen in der Braunkohle von Meyersdorf in Niederösterreich. Dagegen kommen in der Moorkohle des Grünlandes von Walchow (Walchowit) und Dobra bei Boskowitz nördlich Brünn in Mähren sehr reine runde Klumpen von Faust- bis Kopfgröße vor, stellenweis gelb, meist aber graulich gelb und gestreift wie Kugelsapir, und stärker glänzend als Bernstein. Schrötter (Pogg. Ann. 59. 61) bekam unter den Destillationsproducten Ameisensäure. Alkohol zieht 1,5 p. C. wohlriechendes Harz aus, Naphtha selbst bei der Siedhize nur wenig, concentrirte Schwefelsäure löst ihn dagegen schon in der Kälte: $C_{12} = 80,4$, $H_9 = 10,7$, $O = 8,9$. Es ist das ansehnlichste unter den fossilen Harzen, und dürfte in Beziehung auf Menge und Größe selbst den Bernstein noch übertreffen. Durch Glanz und honiggelbe Farbe prägen die Körner in der Quaderkohle von Utigsdorf, die aber trotz ihrer Bernsteinähnlichkeit keine Bernsteinsäure geben sollen. Der Highgate Resin (Copalin) liegt im alttertiären Thone der Highgate Hill bei London. In der berühmten Woodward'schen Sammlung, die mit großer Sorgfalt zu Cambridge aufbewahrt wird, findet sich schon ein Stück aus den Thongruben bei Islington. Die amorphe, hellgelbe bis dunkelbraune Masse erinnert sehr an Walchowit. Gew. 1,04. Erhitzt verbreitet es einen aromatischen Geruch, schmilzt ohne sich zu zerlegen. Alkohol löst wenig. Enthält nur 2,7 Sauerstoff, dagegen 11,7 H und 85,4 C. Bernerde nennt man in Norddeutschland gelbliche Moorkohle, welche von wohlriechenden Harzen durchzogen mit angenehmem Geruch verbrennt. Ihrer Consistenz nach gleicht sie der Wackkohle. Im Lehm der Mark (Kreuzberg bei Berlin) rührt sie nicht selten von verwittertem Bernstein her, was die Arbeiter mit Wohlgefallen in ihren Pfeifen rauchen. Von mineralogischer Bestimmung kann da nicht mehr die Rede sein. In der Hartithaltigen Braunkohle pag. 755 kommt zu gleicher Zeit ein weißes Harz (Martin C₉₀ H₁₇ O₂) vor, was Schrötter (Pogg. Ann. 59. 62) mit Steinöl ausziehen und krystallisiren lassen konnte. Aether zog dagegen ein Alpha- und Betaharz aus. Aehnlich verhält sich der Faulingit, Harzsubstanzen in der Braunkohle von Fauling bei St. Veit (Sitzber. Wien. Akad. 1855. XVI. 206); der schwärzlich braune Piauzit aus der Braunkohle von Piauze in Krain; der berberhacinthrothe Frolyt von Oberhart bei Gloggnitz. Xyloretin wurde von Forchhammer mit Alkohol aus fossilem Fichtenholz ausgezogen, Pog-

butter aus irländischem Torf. Nauckit (Jahrb. 1860. 309) heißt ein krystallisiertes Harz, was sich bei Erefeld aus altrömischem Pech gebildet hatte. In der

Steinkohle sind die ausgeschiedenen Harzproducte zwar seltener, aber sie kommen vor: Middletonit von Middleton und Newcastle Harzglas, rüthlich braun, tief roth durchscheinend. An der Luft sich schwärzend. Gew. 1,6. $C^{80} H^{11} O$ (Johnston Philos. Mag. 1838. XII. 361). Bildet dünne Lagen oder gerundete Knollen zwischen Steinkohlen. Scleretinit (Mallet Philos. Mag. 1852. IV. 361) aus der Steinkohle von Wigan, braunschwarz und rüthlich durchscheinend, $C^{10} H^7 O$. Es läßt sich bei solchen Dingen freilich nicht entscheiden, ob es ursprünglich Harze oder nur später verhärtete Oele waren. In Sammlungen verhärteten die Sachen häufig. Ein interessantes Beispiel bildet der Krantzit aus der Braunkohle von Rattorf bei Bernburg. Er hat wie der Retinit eine schöne honiggelbe Farbe, läßt sich aber wie Kautschuk drücken. An der Luft wird er jedoch hart, $C^{10} H^8 O$ (Journ. prakt. Chem. 76. 88). Die Sachen scheinen also an die Oele und Copale anzuknüpfen, ähnlich den subfossilen Pflanzenproducten der Tropen:

Guayaquilit bildet bei Guayaquil in Columbien „ein mächtiges Lager“. Von hellgelber Farbe, Gew. 1,09, in Alkohol mit gelber Farbe leicht löslich 15 Sauerstoff, 8 Wasserstoff, 76,7 Kohlenstoff. Berengelit aus der Provinz St. Juan de Berengela, wo er in so großen Mengen vorkommt, daß er in dem Guano-Hafen von Arica in Süd-Peru zum Kalfatern der Schiffe gebraucht wird, da er die merkwürdige Eigenschaft hat, geschmolzen schmierig zu bleiben. Dunkelbraun mit einem Stich ins Grün, gelber Strich. Im kalten Alkohol löslich $C_{40} = 72$, $H_{51} = 9,1$, $O_8 = 18,8$. Scheint mehr zu den Weichharzen zu gehören.

Nichtfossile Harze

unterscheidet der Botaniker dreierlei: Hart-, Weich- und Federharze. Die Federharze (Kautschuk und Guttapercha) werden im Milchsaft verschiedener Pflanzen angetroffen, Kautschuk in der Siphonia elastica, Guttapercha stammt von Isonandra Gutta, und wird erst durch Erwärmen stark elastisch. Kautschuk enthält keinen Sauerstoff. Weichharze sind schmierig, wie z. B. der Vogelleim. Zu den Hartharzen gehört vor allen das Fichtenharz, aus welchem durch Entfernung des flüchtigen Oels das Colophonium (Geigenharz) dargestellt wird. Der Mastix von Pistacia lentiscus soll die Zusammensetzung des Bernsteins haben. Besonders aber verdient der Copal, hauptsächlich von Hymanäenarten in Guinea stammend, der in großen Mengen im Handel vorkommt, ins Auge gefaßt zu werden. Derselbe hat ein auffallend bernsteinartiges Aussehen, nur ist er klarer und durchsichtiger. Er findet sich oft in Flußanschwemmungen, wie Bernstein, und hat da schon Veränderungen erlitten. Nach Martius kommen an den Pfahlwurzeln der Hymanaea curbaril einer brasilianischen Leguminose Klumpen von 6—8 \mathcal{L} Schwere vor, sie sollen aber nie Insekten enthalten. Dagegen trifft man an der südafrikanischen Küste Copale, die von Insekten wimmeln. Manche

davon sehen sogar nach der mitvorkommenden rothen Erde halb fossil aus. Ich habe z. B. ein Stück von 1 Cubitzoll vor mir, worin wenigstens 200 kleine Ameisen sitzen, ganz wie im Bernstein. Wenn die Fundorte richtig sind, so würde nicht blos der ostindische Copal, der aus der *Vateria indica* fließt, Insekten einschließen. Jedenfalls zeigen diese Harze, die ebenfalls in Weingeist nicht oder doch nur schwer löslich sind, wie leicht man durch das äußere Ansehen irre geführt werden kann. Schrötter (Pogg. Ann. 59. 72) hat die Analyse mehrerer zusammen gestellt, um chemisch darzulegen, daß Bernstein und Retinit ebenfalls Harze seien, und daß die Veränderungen, welche sie erlitten haben, sich weit mehr auf ihre nähern Bestandtheile, das ist auf die Art und Weise, wie die Atome ihrer Elemente sich unter einander verbunden haben, als auf die quantitativen Verhältnisse derselben erstrecken:

	C	H	O
Retinit	12	9	1
Bernstein	10	8	1
Copal	10	9	1
Maßtig	10	8	1
Elemiharz	10	8	1
Fichtenharz	8	6	1
Damaraharz	16	13	1

Copalirniß ist sehr wichtig, aber viele Copale muß man, ehe sie in Alkohol und Terpentinöl gelöst werden können, vorher wie den Bernstein schmelzen. Mehrere Handelswaare zeigt auf der Oberfläche kleine sechsseitige Warzen, eine Gänsehaut, die nach dem Gesez der Bienenwaben neben einander stehen, und deren Entstehung ich mir nicht erklären kann.

4. Organische Salze.

Außer Kohlen, Bitumen und Harzen kommen endlich noch Salze mit organischen Säuren vor, die ebenfalls nicht dem Steinreiche als solchem angehören, obgleich sie im Schooße der Erde sich theilweis erzeugt und erhalten haben. Wie leicht das möglich war, erklären nicht blos die Anhäufung von Pflanzenstoffen, sondern auch die thierischen Reste, wie sie noch bis in die historische Zeit herauf besonders an Meeresküsten sich ablagern. Man darf nur das Guano anführen, worin Bauquelin und Klaproth (Beitr. IV. 300) nicht blos oxalsauren Kalk, sondern auch concrete Harnsäure als wesentlichen Bestandtheil angeben. Nach Humboldt bedeutet Huanu (die Europäer verwechseln immer Hua mit Gua und u mit o) in der Sprache der Inca Mist. Die Guanoinseln und Klippen befinden sich alle zwischen dem 13ten und 21sten Grade südlicher Breite, wo es nicht regnet, und wo sich der Mist der Pelicane, Flamingos, Möven, Taucher u. bis zu 120' Mächtigkeit anhäufen konnte. Bei Arica verbreitet die kleine Isla di Guano einen solchen fürchterlichen Gestank, daß die Schiffe deßhalb sich der Stadt nicht ganz zu nähern wagen, ja selbst auf dem Meere muß der Schiffer niesen, wenn er einem Guanero (Guano-Fahrzeuge) begegnet. Seit der Regierung der Incas ist Guano ein wichtiges Object der Staatswirthschaft, die Küste

von Peru wäre ohne diesen Mist unbewohnbar. Ja jetzt ist sogar die Bodencultur Europa's davon abhängig geworden. Auf den drei Chincha-Inseln 2 Meilen westlich Pisco etwa 14° südlicher Breite liegen ungefähr 12 Millionen Tonnen à 20 Ctr., -und davon sind in den letzten 20 Jahren bereits 3 Millionen ausgeführt (Reise der östreich. Fregatte Novara 1862. III. 212). Bis jetzt ist zwar hauptsächlich nur die nördliche Insel in Angriff genommen, allein schon den jetzigen Bedarf können die Inseln kaum noch ein Vierteljahrhundert befriedigen, und es ist in dieser Beziehung früher viel übertrieben worden (Bronn's Jahrb. 1859. 222). Es gibt freilich noch andere Vorräthe, aber sowie sie in Angriff genommen werden, ziehen sich die Vögel auf einsame unzugänglichere Felsen zurück. Der Africanische Guano südlich Arabien ist nicht so gut. Der Unterschied der Sorten, frische und alte, feuchte und trockene u. machen unsern Oekonomen viel zu schaffen (Compt. rend. 1860. L. 227).

Honigstein.

Schon lange bekannt, Vorn hielt ihn für krystallisirten Bernstein, andere für Gyps mit Bergöl angeschwängert. Werner gab ihm den passenden Namen nach seiner honiggelben Farbe (Bergm. Journ. 1789. II. 1, pag. 395), den Haüy in Mellite übersetzte. Melichronharz. Die Braunkohle von Artern in Thüringen war lange der einzige Fundort. So bernsteinartig sie auch aussehen mögen, so sind sie doch alle krystallisirt, und zwar im

4gliedrigen Krystallsystem. Die glänzenden um und um gebildeten Oktaeder haben nach Kupfer $93^{\circ} 6'$ in den Seiten- und $118^{\circ} 14'$ in den Endkanten, folglich

$$a = \sqrt{1,795}, \lg a = 0,12703.$$

Ihre etwas krummen Flächen eignen sich nicht zu scharfen Messungen. Das Oktaeder hat einen versteckten, jedoch gut erkennbaren Blätterbruch, ist aber meist verlegt, zellig und mit fortificationsartigen Absonderungsflächen bedeckt. Doch selbst die zerfressensten und mit Kohlenmulm durchzogenen zeigen Spuren glänzender Krystallflächen. Auch kleine Abstumpfungen der Ecken kommen hin und wieder vor: die zweite quadratische Säule $a : ooa : ooc$ häufiger als die stark gewölbte Geradenfläche $c : ooa : ooa$. Optische Axe —. Das schwarze Kreuz öffnet sich, so bald die Axenebene $a c$ mit der Polarisationsebene zusammenfällt. Jenzsch beschreibt sie daher geradezu als optisch zweiaxig. Wenn die Breithaupt'schen Störungen pag. 127 regelmäßigen Einfluß hätten, so könnte auch eine nach einer Axenebene $a c$ häufig wahrnehmbare Gränze Zwillingssbedeutung haben.

Honig- bis wachsgelb, halbdurchsichtig, Härte 2, Gew. 1,59. Harzglanz. Wenig spröde, starke doppelte Strahlenbrechung.

Vor dem Löthrohr brennt er nicht, sondern wird schnell schneeweiß, darauf schwarz und brennt sich zuletzt abermals weiß. Diesen weißen Rückstand färbt Kobaltsolution schön blau, wie reine Thonerde. Wegen des Weißbrennens hielt man ihn anfangs für Gyps, bis Laproth 1799 (Beitr. III. 124) die Pflanzensäure darin nachwies, welcher er den Namen Honigstein-säure (Acidum mellithicum) = $C^4 O^8$ gab, kurz Mellisäure, die mit

Oxalsäure in nächster Verwandtschaft steht. Nach Wöhler (Pogg. Ann. 7. 220) enthalten sie

41,4 \bar{M} , 14,5 \bar{Al} , 44,1 \bar{H} , etwa $\bar{Al} \bar{M}^3 + 18 \bar{H}$.

Liebig nimmt die Honigsteinsäure als eine Wasserstoffsäure $C^4 O^4 H = C^4 O^3 + H O$, dann wird die Formel

$\bar{Al} \bar{M}^3 + 15 \bar{H}$.

Honigstein löst sich in kalter Salpetersäure in großen Stücken, bleibt dabei durchsichtig, nur bleiben Flocken zurück, die sich aber später vollkommen lösen. Die Verbindung ist so schwach, daß kochendes Wasser nach mehreren Stunden aus dem Pulver einen bedeutenden Theil der Honigsteinsäure auszieht, so wurde Klaproth auf die Entdeckung der Säure geführt, die bis jetzt noch nie künstlich erzeugt worden ist. Gegenwärtig behandelt man den Honigstein mit Ammoniak, zersetzt das gebildete honigsteinsaure Ammoniak durch salpetersaures Silberoxyd, und das honigsteinsaure Silberoxyd durch Salzsäure. Die Honigsteinsäure krystallisirt dann in farblosen, luftbeständigen, scharffaulen Nadeln.

Hauptfundort ist die Braunkohle von Artern am Riffhäuser, wo er gerade nicht selten und zwar bis zu zollgroßen Krystallen vorkommt. Volger gibt ihn auch als zarten honigfarbigen Anflug in der Braunkohle von Dransfeld an. Reuß (Leonhard's Jahrb. 1841. 220) erwähnt rinden- und plattenförmige Ueberzüge, selten in höchst verzogenen Octaedern aus der Braunkohle von Lusitz südlich Bilitz in Böhmen. Derselbe beschlägt sich an der Luft mit blaßgelbem Mehle, was man auch bei dem von Artern findet. Glocker (Erdmann's Journ. prakt. Chem. 36. 22) hat Hauswerke kleiner Octaeder in der Moorkohle von Walchow, wo der Retinit so ausgezeichnet vorkommt, gefunden. Kotscharow beschreibt strohgelbe Krystalle von Nertschinsk und Tula. Hier beim Dorfe Malowka scheint es älteres Kohlengebirge zu sein.

Carolathin (Sonnenschein Zeitschrift Deut. Geol. Gesellsch. V. 222), aus den Steinkohlen zu Zabrze bei Gleiwitz in Oberschlesien, honigsteinähnliche Trümmer in den Kohlen bildend, Härte 2—3, Gew. 1,5. Verglimmt vor dem Löthrohr ohne Flamme und läßt 47,25 \bar{Al} und 29,6 \bar{Si} zurück. Das Uebrige ist eine Huminartige Substanz von 19,4 \bar{C} , 2,4 \bar{H} und 1,3 Sauerstoff.

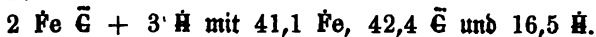
Oxalit

wurde von Fr. Sack in der Braunkohle von Gr. Almerode in Hessen entdeckt, bald darauf aber deutlicher in der Moorkohle von Kolosoruf bei Bilitz, und von Breithaupt (Gilbert's Ann. 1822, Band 70, pag. 426) Eisenresin genannt, weil man ihn für honigsteinsaures Eisen hielt. Doch zeigte Nivero (Ann. Chim. Phys. 1821. tom. 18. pag. 207), daß es oxalsaures Eisen sei und nannte es Humboldtlin, Leonhard Humboldtlin, Fauc Fer oxalaté, Phillips Oxalate of Iron.

Es ist das 2te Mineral, worin eine organische Säure nachgewiesen ist, und nimmt deshalb unsere Aufmerksamkeit in besondern Anspruch, obgleich es an sich nicht bloß zu den Seltenheiten gehört, sondern auch wenig hervorstechende Kennzeichen hat. In Böhmen höchstens in nadelförmigen Krystallen,

die Haub für 4gliedrig hielt. Meistens bildet es nur traubige, plattige Ueberzüge, die ins Erdige übergehen, und dann wegen ihrer ocker gelben Farbe leicht mit Brauneisenerde verwechselt werden können, aber das Gewicht beträgt nur 2,2.

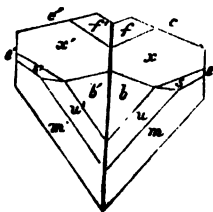
In der Flamme schwärzt er sich sogleich und wird dann roth und magnetisch. In Säuren löslich, von Alkalien wird er zerlegt, indem sich Eisenorydul mit grüner Farbe abscheidet, welche bald ins Rothbraune übergeht. Nach der sorgfältigen Analyse von Rammelsberg (Pogg. Ann. 46. 222) besteht er aus



Dagegen hat Berzelius geltend zu machen gesucht (Pogg. Ann. 53. 333), daß er kein bloßes Eisenorydulsalz sein könne, sondern wenigstens einen Theil Eisenoryhd enthalten müsse, da Eisenorydulsalze, Jahrtausende hindurch mit der Erdsfeuchtigkeit in Berührung, nothwendig in Orydsalze übergehen müßten. Indes zeigte Rammelsberg, daß nicht bloß das Verhalten zu Alkalien auf Eisenorydul hinweise, sondern er mischte auch Pulver mit klarem frischbereitetem Schwefelwasserstoff, es entstand durchaus keine Trübung, was geschehen müßte bei Gegenwart von Eisenoryhd in Folge von ausgeschiedenem Schwefel. „Außerdem ist der Dralit ohne Zweifel eine sehr neue Bildung in den „Braunkohlen der Tertiärformation des nördlichen Böhmens.“

Drallsäure pag. 554, durch ihre Zusammensetzung der Honigsteinsäure so nahe stehend, stammt jedenfalls hier aus dem Pflanzenreiche, ob sie gleich auch bei der Kaliumbereitung als Nebenproduct aus rein unorganischen Substanzen gewonnen wird, und sie in sofern zwischen organischen und unorganischen Säuren mitten inne steht. Sie ist nicht bloß die allgemeinste Pflanzensäure, die übrigens auch im Thierreiche vorkommt, sondern auch wohl die stärkste organische Säure überhaupt. Daher darf es uns nicht verwundern, sie hier im Braunkohlengebirge noch anzutreffen.

Drallsaurer Kalk (Whewellit) wird von Broose (Phil. Mag. Juniheft 1840) in kleinen meist Zwillingstrichstallen auf Kalkspath sitzend, der wahrscheinlich von Ungarn stammt, beschrieben. Nach beistehender von Miller (Elem.



introd. to Mineralogy pag. 626) entlehnten Horizontalprojection gehört er dem 2 + 1gliedrigen Systeme an: Säule $m = a : b : \infty c$ macht vorn $100^\circ 36'$, ihre scharfe Kante wird durch $b = \infty a : b : \infty c$ gerade abgestumpft; die vordere Schiefendfläche $e = a : \infty b : c$, welche die Zwillinge gemein haben,

macht vorn in Kante $e/m = 128^\circ 2'$; die hintere Gegenfläche $c = \infty a : \infty b : c$ macht in $c/e = 109^\circ 28'$; $s = a : \frac{1}{2}b : \frac{1}{2}c$, $x = \infty a : b : c$, $f = a' : b : \frac{1}{2}c$, $u = a : \frac{1}{2}b : \infty c$. Flächen cmb sind blättrig, m parallel der Axe c und f parallel der Medianfkante gestreift. Zwillinge haben e gemein und liegen umgekehrt, $c/c' = 141^\circ 4'$. Kleine farblose stark glänzende Krystalle von 2—3 Härte und 1,8 Gew. Sie bestehen aus



Kleefaurer Kalk fehlt vielleicht in keiner Pflanze, er ist in Wasser, selbst in Essigsäure nicht löslich, durch Glühen verwandelt er sich in kohlensauren Kalk. Daher würde es nicht überraschen, wenn er sich dereinst in größern Mengen wenigstens im Braunkohlengebirge vorfinden sollte. Conistonit soll kein Mineral sein, und Thierschit (Erdmann's Journ. prakt. Chemie 60. 66) auf den cannelirten Marmorsäulen des Parthenons dankt den lebenden Flechten die Drallsäure.

Gebirgsarten.

Darunter versteht man entweder Gemische einzelner Mineralspecies oder Anhäufung eines Minerals in solcher Masse, daß förmliche Gebirge entstehen. Die Sache bringt es mit sich, daß zwischen Gebirgsarten und Mineralen keine feste Gränze gezogen werden kann. Gewöhnlich bilden die Gebirgsarten das Muttergestein der Minerale. Doch stellen sich dabei allerlei Schwierigkeiten ein, die man nicht immer gehörig überwinden kann. Man hilft sich da, so gut es eben geht. Jedenfalls muß ein gebildeter Mineraloge auch mit diesen Gebirgsarten vertraut sein, zumal da sie für die empirischen Kennzeichen der Minerale die größte Bedeutung haben. Da jedoch die Gebirgsartenlehre (*Petrographie*) heutiges Tages einen wesentlichen Theil der Geognosie bildet, so will ich hier nur einige Andeutungen machen (*Epochen der Natur* pag. 112). Die Eintheilung beruht hauptsächlich auf folgenden drei Gesichtspunkten:

1) Ob chemisches Product oder mechanischer Niederschlag.

Die chemischen Producte sind natürlich fester bestimmbar als das zufällig mechanisch zusammengeflüßte oder durch Zertimmerung und Veränderung entstellte Schlamm-, Sand- und Schuttgebirge. Und von den chemischen Producten sind die auf heißem Wege gebildeten wieder viel wichtiger, als die auf nassem Wege ausgeschiedenen. Man hält in dieser Hinsicht dreierlei auseinander:

Feuer-, Wasser- und Metamorphische-Gesteine.

Luft hat nur wenig zur Felsenbildung beigetragen. Sie dient zur Erzeugung der Gebirgstrume, die den Felsen vor weiterer Zerstörung schützt. Kann man auch die drei Gruppen nicht scharf scheiden, so ist doch an der Bildungsweise nicht zu zweifeln. Eine eigenthümliche Mittelstellung hat das metamorphische Gestein. Die Metamorphose ist eine doppelte: Feuer- und Wasser- gesteine wie der Granit zerfallen durch Einwirkung von Wasser und Luft zu Grus, der durch Infiltrationen wieder fest zusammenbäckt; Wasserniederschläge wurden durch Feuer erhitzt und nahmen so ein krystallinisches Gefüge an, wie viele Schiefer der Alpen.

2) Structur und Textur bezogen auf Felsen und Minerale.

Die Mineraltextur ist **körnig** (Granitisch), **dicht** (Grundmasse), **porphyrisch** (die Vermischung von beiden). Auch kommt es wesentlich darauf an, ob die Minerale sich im glasigen (vulkanischen) oder frischen (urgebirgischen) Zustande befinden. Die Felsstructur ist massig oder geschichtet; compact oder porös. Die porösen haben eckige (Schlacken) oder runde hohle Räume (Mandelsteine). Diese Höhlungen sind frei oder mit fremdartigen Substanzen ausgefüllt. Alles das bestimmt den Namen einer Felsart.

3) Mineralspecies=Combination.

In dieser Hinsicht unterscheidet man einfache und gemengte Gesteine. Die Mengung ist willkürlich und hat keine Gränze, doch pflegt man auch hier gern auf ein Mineral das Hauptgewicht zu legen.

Da man bei der Aufzählung kein richtiges Princip festhalten kann, so ist es gut, auf das Alter und die Bedeutung der Gesteine in Beziehung auf Häufigkeit Gewicht zu legen. Im Urgebirge zeigt sich hauptsächlich der Gegensatz von Körnigen und Porphyrischen Gesteinen. Nach und nach verlieren die Massen an mineralischem Charakter, und gehen zuletzt ganz im Flözgebirge auf.

A. Frische körnige Gesteine.

Man kann darunter alle geschichtete und ungeschichtete Silicate begreifen, in denen sich die einzelnen Mineraltheile sicher von einander sondern lassen. Sie gehören hauptsächlich dem ältesten Gebirge an, und haben sich wahrscheinlich trotz des frischen Ansehens auf heißem Wege gebildet. In der Beurtheilung darf man nicht übersehen, daß die Temperatur, bei welcher ein Körper für sich erstarrt, niemals derjenigen gleiche, bei welcher er aus seinen Lösungen fest wird (Bunsen, Zeitschr. deutsch. geol. Ges. 1861. XIII. 61).

a) Feldspath herrscht vor.

1. Granit.

Feldspath überwiegt, Glimmer wenig aber sichtbarer als Quarz: alle drei liegen körnig nebeneinander und können scharf von einander geschieden werden. Es ist das häufigste, älteste und krystallinischste aller Gebirgsarten. Obgleich der Name von Granum das Korn entlehnt ist, so kommt er doch nicht bei den Alten, noch nicht einmal bei Agricola vor. Er verschwimmt hier unter dem Namen Marmor. Cäsalpinius (de metallicis 1596. lib. II. cap. 11) entlehnte ihn von italienischen Künstlern, und Guettard (Mém. sur les Granites de Franco 1751) führte ihn in die Wissenschaft ein.

Nach G. Rose (Zeitschrift der deutschen Geol. Gesellsch. I. 66) kommt außer Kalifeldspath noch Oligoklas pag. 232 von röthlicher, grünlicher, gelblich-grauer bis schneeweißer Farbe mit Zwillingsstreifen vor. Neben weißem Kaliglimmer stellt sich auch schwarzer Magnesiaglimmer ein. Hornblende

fehlt nicht ganz, doch sobald sie in größerer Menge eintritt, nennt man das Gestein Syenit. Turmalin, Granat, Zirkon, Dichroit, Gadolinit, Orthit zc. und viele andere Minerale bilden darin hin und wieder untergeordnete Gemengtheile.

Man kann hauptsächlich zweierlei unterscheiden: porphyrischen Granit, worin sich eine körnige Grundmasse zeigt, in welcher die großen weißen Karlsbader Zwillinge in Menge zerstreut liegen. Seine kühnen plumpen Felsenmassen sieht man schön auf der Badiſchen Seite des Schwarzwaldes; die Sudeten, das Erz- und Fichtelgebirge, die Roßtrappe auf dem Harze zc. zeigen ihn in besonderer Schönheit. Die Farbe vorherrschend grauweiß und selten mit Oligoklas. Er geht über in den

gleichkörnigen Granit (Granitit) mit fleischrothem Feldspath und deutlichen Oligoklas von anderer Farbe. Sein Korn ist bald gröber, bald feiner. Gehört mit zu den schönsten Gesteinen, welche wir kennen. Auf Gängen und in kleinen Stückgebirgen bilden sich öfter sehr grobkörnige feldspathreiche Parteen aus (Ganggranit). Da zeigen sich auch krystallinische Massen, wo die Blätterbrüche in großer Flucht aushalten; nehmen dieselben hohle Quarzkrystalle in paralleler Stellung auf (Mursinst), so hat man das Schriftgranit (Pegmatit) genannt, weil senkrecht oder schief gegen die Quarzfäulen geschnitten schriftartige Züge hervortreten.

Protogin nannte Jurine in Genf (Mineral. Taschenbuch 1807. 210) den Granit des Mont-Blanc, worin der Glimmer durch chloritischen Talk vertreten ist, der sich krümmend durch das Gestein hindurchzieht. Saussure's Granite veinés. Am Monte Rosa bildet der Chlorit oft so regelmäßige Schichten, daß man das Gestein mit gleichem Rechte Gneis nennen könnte.

Weißstein Br. (Granulit Weiß), ein feinkörniger Feldspath mit Quarz, worin ganz kleine Granaten, öfter von Syenit begleitet, eingesprengt sind. Streifungen erinnern an Schichtung, auch sondert er sich gern in Platten, die nach Dr. Hochstetter der Schichtung nicht conform sind. So kommt er am Nordrande des Sächsischen Erzgebirges und im Böhmerwalde zwischen Prachatz, Krumau und Budweis in den Gneis eingelagert vor, mächtige elliptische Stückgebirge bildend. Davon verschieden sind die feinkörnigen Ganggranite in den Vogesen und dem Schwarzwalde, die man auch so genannt hat, obgleich ihnen Quarz und Granaten fehlen.

2. Gneis

nennt der sächsische Bergmann seit alter Zeit sein Erzführendes Gestein. Es ist ein geschichteter Granit, in dem der dunkelfarbige Glimmer zunimmt und sich schichtenweis lagert. Doch kann man den Feldspath zwischen den Glimmerschichten noch deutlich erkennen, auch der Quarz fehlt nicht. Alle sind noch krystallinisch, wenn gleich sie an Schönheit gegen den Granit verloren haben. Einerseits geht er in den Granit, andererseits in den Glimmerschiefer über. Bildet die Hauptmasse des geschichteten Urgebirges von unergründeter Mächtigkeit, und da er vom Granit durchbrochen wird,

so ist er selbst älter als viele Granite. Im Allgemeinen möchte er aber, schon wegen seines mehr unkrystallinischen Wesens jünger sein.

Es ist nicht uninteressant, die Entstehung des Gneises aus dem Granite zu verfolgen. Anfangs werden die Glimmerblättchen groß, und lagern sich krummflächig zwischen Feldspath und Quarz, sind jedoch noch isolirt. Die Blätter ziehen sich in die Länge (werden flasrig), reichen sich nach dieser Längsdimension einander die Hand, und umhüllen schönblättrige elliptische Feldspathklumpen. In den Alpen ist es oft gar nicht möglich, solche flasrigen Gneise vom Granite veins zu trennen. Endlich wird der Feldspath so feinkörnig, und die Glimmermasse nimmt so zu, daß im Querbruch sehr regelmäßige Horizontalstreifen entstehen. Dieß ist der normale Gneis, der über die weitesten Strecken herrscht. Er hat an der Zusammensetzung der Erde den wesentlichsten Antheil, und ist von Erzen vielfach angereichert. In den Alpen wird der Glimmer häufig Chlorit und Talk, und dann entstehen eine Reihe von Gesteinen, über deren Namen man in Verlegenheit kommt. Der Feldspath wird endlich immer feinkörniger, verliert an seinen markirten Kennzeichen, und so gelangen wir zu Gesteinen, welche dem Glimmerschiefer zum Verwechseln ähnlich werden.

b) Glimmer herrscht vor.

3. Glimmerschiefer.

Folgt seinem Lager nach gewöhnlich über dem Gneise, und ist daher jünger. Nach Werner's Definition soll ihm Feldspath fehlen und zwischen der herrschenden Glimmermasse nur Quarz lagern, der zuweilen sehr sichtbar körnig eingesprengt oder in großen Ellipsoiden hervortritt. Gewöhnlich hat jedoch der Glimmer seine Form eingebüßt, er ist noch mehr als bei den Lagern des Gneises zu dünnen continuirlichen Blättern gepreßt, denen alles parallel geht. So entstand ein Gestein, dessen regelmäßige Schichtung zu den ausgezeichnetsten gehört, welche wir überhaupt kennen. Bei den ächten Glimmerschiefern glänzt der Blätterbruch noch so stark, daß über das krystallinische Gefüge kein Zweifel walten kann. Trotzdem scheint die ganze Masse wie der feinste Schlamm nachgiebig, sie biegt sich nicht bloß krummflächig, sondern zeigt auch die zarteste Fältelung: die kleinen Falten gehen gewöhnlich einander parallel.

In den niedern deutschen Urgebirgen findet man ächte Glimmerschiefer nicht häufig, ob sie gleich nicht fehlen (Fichtelgebirge, Sachsen, Böhmen). Desto größere Rollen spielen sie in den Alpen, doch machen sie hier die buntesten Gemische und Uebergänge in

Chloritschiefer pag. 243 mit dunkelgrüner und Talkschiefer pag. 245 mit lichtgrüner bis weißer Farbe. Das fettige Anfühlen läßt die letztern oft sicher erkennen. Am allerschwierigsten ist jedoch die Gränze zum Thonschiefer hin (Urthonschiefer, über dem Glimmerschiefer Platz greifend) festzustellen, doch hat letzterer ein mehr erdiges als krystallinisches Gefüge. Auch hat der Thonschiefer, mit Ausnahme des Chiasolith's pag. 290, keine

krystallinischen Silicate zu Einschlüssen, oder wo diese vorkommen, rechnet man die Gesteine besser zu der Glimmerschiefergruppe, die in dieser Beziehung am reichsten ist: Granat, Staurolith, Charnit, Turmalin, Smaragd, Rutil, Magneteisen, Strahlstein und viele andere Minerale werden darin gefunden.

c) Quarz herrscht vor.

Da der Quarz sich auch auf nassem Wege krystallinisch bilden kann, so führt er uns theilweis aus dem Urgebirge in das Flözgebirge hinaus. Indessen genügt bei diesen sogenannten „einfachen Gebirgsarten“ die Citirung des mineralogischen Namens. Auch ist es geradezu falsch, wenn man Feuerstein pag. 209, Opal pag. 212 u. bei den Gebirgsarten aufführt, da diese nie Gebirge bilden, selbst Rieselschiefer pag. 211, Hornstein pag. 210 sind ein für allemal bei den Mineralien abgemacht, und wenn der reine Quarz, der in Gängen und Lagern das Ur- und Uebergangsgebirge, insonders der Alpen, so häufig durchschwärmt, und gern das Muttergestein des Goldes bildet, einmal als „Gebirgsquarz“ vorkommt, so hat man ihm den passenden Namen Quarzfels (Quarzit ist schlechter) gegeben. Solche Quarzfelsen von mannigfachstem Wechsel in der Masse trifft man besonders schön im Granit des Bayer'schen und Böhmer-Waldes, wo er ein vortreffliches Material zur Glasbereitung bietet. Der sogenannte Pfahl (Vallum) setzt 28 Stunden weit als „zackiger oft abentheuerlich geformter Felsenkamm“ fort. Von Thierstein südwestlich Cham bis Bruck südöstlich Zwiesel beträgt der Weg im porphyrischen Granit 18 Stunden, und nach Hr. Dr. Hochstetter setzt er sogar nördlich nach Böhmen fort. Ganggranit verwandelt sich öfter ganz in krystallinischen Quarz, wozu der schöne Rosenquarz pag. 203 besonders vom Hünertobel bei Zwiesel gehört. Beryll, Turmalin, Triphylin, Columbit kommen in den Quarzfels eingesprenkt vor (Wineberger, Versuch geogn. Besch. Bayerischen Waldberges pag. 50). Bei Böhmischem Neustadt und am Jeschlengebirge im Bunzlauer Kreise nimmt er Blättchen von verhärtetem Talk auf, und zeigt große Neigung zum Schieferigen. Im

Greifen der Zinnsteingänge von Altenberg und Zinnwald in Sachsen, Schlackenwalde in Böhmen und in Cornwallis herrscht körniger hellgrauer Quarz, dem Blättchen von talkigem Glimmer beigemischt sind. Der Feldspath tritt zurück, doch läßt die Art des Auftretens noch erkennen, daß das Gestein vom Granite herkomme. Gefellt sich dazu Turmalin, so heißt es Schörlfels, und wenn es sich schichtet Schörlschiefer. Topasfels pag. 315 nannte Werner die zerstörte Gneisnadel am Schneckenstein bei Gottesberg auf dem sächsischen Voigtlande. Quarz herrscht darin, Turmalin und Topas ist eingesprenkt. Der Feldspath verräth sich durch Steinmark. Das Gestein sieht sehr zertrümmert aus. Wichtiger als verbreitete Gebirgsart, wenn auch nicht in Deutschland, ist Schweg's

Itacolumit in Brasilien, der seinen Namen vom Berge Itacolumi bei Villa ricca bekommen hat: ein feinkörniger weißer Quarz, zwischen welchem äußerst sparsam dünne Chloritblättchen liegen. Man würde ihn

geradezu für einen Sandstein halten können, wenn nicht die Körner eine eigenthümliche Rauigkeit und Eckigkeit zeigten, wodurch sie sich wie die Krystalle des Statuenmarmors in einander fügen. Nach Eschwege (Gilbert's Ann. 1820. 65. 111) geht er einerseits in Chloritschiefer über, ist aber in Thonschiefer eingelagert. 1780 kam er zuerst nach Portugal, und später in 4''—6'' dicke Tafeln geschnitten, die eine auffallende Biegsamkeit haben, in den Handel. Diese Biegsamkeit machte ihn berühmt, man nannte ihn „Gelenkquarz“, weil Klaproth (Beiträge II. 115) unter dem Mikroskop die Körner gelenkartig ausgeschweift gefunden hatte. Große Platten schwanken bei aufrechter Stellung mit Geräusch wie dickes Sohlleder hin und her. Uebrigens ist diese Biegsamkeit gerade nicht staunenerregend, man findet sie bei Platten von unsern glimmerigen Sandsteinen, bei Statuenmarmor u. auch, wenn gleich nicht in so bedeutendem Grade. Als Muttergestein der Diamanten pag. 295 hat es in neuern Zeiten die Aufmerksamkeit auf sich gezogen. In Brasilien herrscht es über große Strecken, mit blättrigem Eisenglanz gemischt hat man es Eisenglimmerschiefer genannt. Auch in Nordamerika (Süd-Carolina), am Ural, und sogar im Rheinischen Schiefergebirge wird neuerlich Itacolumit erwähnt. Man muß übrigens in Uebersetzung solcher Namen sehr vorsichtig sein.

d) Hornblende stellt sich ein und herrscht zuletzt.

Sobald die Hornblende in den körnigen Feldspathgesteinen nur einigermaßen sichtbar wird, so hat man den Sachen besondere Namen gegeben. Auffallender Weise tritt Hornblendereichtum mehr in den Umgebungen des Uebergangsthonschiefer auf, so daß Hornblendegesteine eine Stufe jünger, als der ächte hornblendefreie Granit zu sein scheinen. Ihre Farbe ist fast immer rabenschwarz, Gemeine Hornblende pag. 253.

4. Syenit.

Werner begriff ihn anfangs mit unter Grünsstein, dann nannte er ihn in seinen Vorlesungen nach der Gränzstadt Syene in Oberägypten, wo schon die alten Aegyptier ihre Obeliskten und andere riesigen Monolithen herholten, worunter freilich auch hornblendefreie Granite vorkommen, die Plinius 36. 18 ohne Zweifel unter seinem Syenites mitinbegriffen hat. Da nun der Aegyptische mit rothem Feldspath und schwarzem Glimmer nur sehr wenig Hornblende hat, so daß ihn G. Rose (Zeitschrift deutsch. Geol. Ges. I. 288) wieder zum Granitit stellt, so ist der Name allerdings nicht gut gewählt. Rozière wollte ihn daher in Sinait verändern, weil der Berg Sinai aus ausgezeichneteren bestehe, doch ist die Sache mit Recht nicht angenommen.

Der Syenit gleicht einem Granit vollkommen, denn er enthält Feldspath (nebst Oligoklas), Quarz und gewöhnlich schwarzen Magnesiaglimmer. Dazwischen liegt aber immer etwas rabenschwarze Hornblende, die sich an ihrer faserigen Säule leicht unterscheiden läßt. Da das Gestein vollkommen körnig ist, und sich die Hornblende nicht fein vertheilt, so bemerkt man von dem Grün letzterer wenig, allein man darf sie nur zwischen Papier zu Pulver

zertklopfen, um das auffallende Berggrün sogleich zu gewahren. Die Gesteine gehören mit zu den schönsten. Bei Todtmoos im südlichen Schwarzwalde und zu St. Maurice an den Quellen der Mosel in den Vogesen sind sie porphyrisch. Am letztern Orte unterscheiden sich die großen rothen Feldspathe auffallend von dem grünlich weißen gestreiften Oligoklas. Besonders reich ist der Obenwald nördlich Weinheim: das Felsenmeer bei Auerbach an der Bergstraße besteht aus Syenitblöcken, und die vielbesuchte Riesenfäule und der Riesenaltar sind zugerichtete Steine, welche noch aus der Römerzeit herkommen sollen. Der Syenit wird zu solchen Arbeiten vorgezogen, weil er zäher und unzertlüfteter zu sein pflegt, als der eigentliche Granit. Das prachtvollste Gestein bildet der Zirkonsyenit von Laurvig und Friedrichswärn mit seinem Labradorisirenden Feldspathe pag. 225, worin Ch. Smelin (Pogg. Ann. 81. 114) neben 7 p. C. Kali noch 7 Natron nachwies, und der sogar in Drusen Faserzeolithen pag. 333 einschließt. Die Hornblende schmilzt oft so leicht wie Arfvedsonit, und die Zirkone liegen hauptsächlich in erhaltiger Umgebung (Bergemann Pogg. Ann. 105. 118). Dafür enthalten sie aber weder Oligoklas noch Quarz. Quarzfrei oder wenigstens sehr Quarzarm sind auch die meisten übrigen. G. Rose's

Miascit (Pogg. Ann. 47. 116) aus dem Ijmengebirge bei dem Hüttenwerke Miasä mit weißem Feldspath, dünnen Blättchen von lauchgrünem einzigem Glimmer und Eläolith ist ein quarzfreies ganz ähnliches Gestein, dem wie dem eläolithhaltigen Syenit von Laurvig auch die Hornblende nicht ganz fehlt. Fußbreite Glimmersäulen in den Drusenräumen, Zirkon in großen gelben durchscheinenden Krystallen, Titaneisen (Iminenit) von $3\frac{1}{2}$ Zoll Breite, Apatit, Flußspath, Sodolith, Cancrinit sind in den Eläolithhaltigen eingesprengt; in den Eläolithfreien braune Zirkone, Pyrochlor, Aeschnit, Monazit, Titanit, Hornblende, Epidot, Graphit.

Kleine Titanitkrystalle pag. 362 bezeichnen den Syenit ganz besonders.

5. Diorit.

Hornblende wird hier herrschender, und gibt dem Gesteine einen entschiedenen Stich in's Grün. Kalifeldspath fehlt, statt dessen findet sich Oligoklas. Freier Quarz ist jedenfalls unwesentlich. G. Rose (Pogg. Ann. 34. 1) hat über die Grünsteine eine besondere Abhandlung geschrieben. Grünstein von Werner nach dem seit alter Zeit in Schweden gebräuchlichen Namen Grönsteen (Gronstet, Mineral. § 88 und § 267) genannt, und in der That konnte auch keine bessere Bezeichnung gefunden werden. Werner trennt dann den Syenit davon, und Haüy den Diorit, von *dioplasen* unterscheiden, weil man darin noch Feldspath und Hornblende krystallinisch unterscheiden könne, obgleich die Theile sich oft schon sehr verwirren. Etwas Schwefelies ist außerdem sehr bezeichnend. Diorite gehen unmerklich über in Aphanite (*άφανιτες* verschwinden), worin man die Theile nicht mehr unterscheiden könne, wie in den grünen Porphyren, Mandelsteinen zc. Es ist nicht möglich, die Gränzen nach allen Seiten hin auch nur einigermaßen sicher zu ziehen. Man muß sich mit idealen Bildern begnügen. Die süd-

lichen Vogesen bei Giromagny sind besonders reich an hierher gehörigen Gesteinen, die Granitränder des Harzes, die Hordritsch bei Schemnitz und vor allem der Ural. Berühmt ist der Kugeldiorit von Corsica, Hornblende und grünlich weißer Feldspath treten fast in's Gleichgewicht, ein wahres Muster für Diorit. Doch enthält der Feldspath nach Delesse nur 48,6 Kiesel- und 12 Kalkerde, scheint also Anorthit zu sein. An einzelnen Stellen scheiden sich darin kugelförmige Absonderungen aus, die außen eine sehr regelmäßige Hülle concentrisch gelagerter Schichten von Hornblende und Feldspath haben.

6. Hornblendeschiefer.

Manche derselben bestehen blos aus rabenschwarzer Hornblende, die man an ihrer Feinstrahligkeit erkennt, auch wenn sie noch so compact beim ersten Anblick erscheinen: solche Gesteine sind jedoch nur sehr untergeordnet. Werner zeichnete besonders einen Hornblendeschiefer von Miltitz südwestlich Meissen aus, wo er mit Urkalk wechsellagert (Hoffmann Abb. Mineral. II. 2, pag. 157). Dagegen kommen in den Alpen, und folglich auch unter den Oberschwäbischen Gesehieben, sehr häufig Felsenmassen vor, die sich zum Diorit und Syenit gerade so verhalten, wie der Gneis zum Granit. Hier bedingt nicht der Glimmer, sondern die rabenschwarze Hornblende die Schichtung. Der Feldspath dazwischen sieht weiß aus, und scheint meist Natronfeldspath. Das Gewicht ruht bei den Hornblende-Gesteinen überhaupt nicht mehr auf den Feldspathen, denn wenn sie Orthoklas, Albit, Oligoklas und Anorthit sein können, ja wenn in ein und demselben Stein verschiedene vorkommen, dann dürfte man bald einsehen lernen, daß mit solchen minutiösen Gemischen Differenzen die Sache nicht getroffen ist. Schon Werner unterschied bei Gersdorf ohnweit Freiberg einen Syenitschiefer. Auch die Strahlsteinschiefer der Alpen kann man hier vergleichen, die jedoch meist nur als Beimengungen der Glimmer- und Talk-schiefer erscheinen. Eines der schönsten aber sehr untergeordneten Gesteine bildet Haug's

Eklogit (*ἐκλογή* Auswahl), worin sich rother Granat und smaragdgrüne Hornblende mit Augit (Omphacit pag. 262) mischen. Syenit, Glimmer, Quarz und andere Minerale fehlen nicht. Auch besonders schön im Fichtelgebirge. So könnte man jedoch in den Alpen noch eine Menge Gesteine unterscheiden.

e) Blättriger Augit stellt sich ein.

Es ist eine auffallende Erscheinung, daß der ächte schwarze Augit pag. 258 bei Gesteinen, die nur einigermaßen eine Rolle spielen, sich nie mit frischem Feldspath zusammen findet, sondern stets nur mit glasigem. Auch die Diopside in den Alpen sind wie der Strahlstein untergeordnet an Talk, Dolomit u. gebunden. Dagegen bilden die blättrigen Augite (Diallag pag. 260) mit frischem Kalkfeldspath die vortrefflichsten körnigen Gesteine. G. Rose (Pogg. Ann. 34. 1) suchte zu beweisen, daß Augit nur mit Kiesel- und Kalkerdearmem Feldspath (Labrador) vorkomme, Hornblende dagegen nur mit

Kieselerdeichem (Orthoklas und Albit). Später hat sich dann gezeigt, daß beide Hornblende und Augit auch mit Oligoklas auftreten, und daß der vermeintliche Albit und Labrador gar nicht selten Oligoklas sei. So ist auch diese längere Zeit für so trefflich gehaltene Regel wieder gefallen.

7. Gabbro.

Leopold v. Buch hat im Magazin der Gesellschaft der naturforschenden Freunde zu Berlin 1810. IV. 128 und VII. 234 darüber zwei Abhandlungen geschrieben, und ihren nahen Anschluß an das Serpentinegebirge bewiesen. Es ist ein körniges Gemenge von Labrador und Diassag, der Diassag häufig prachtvoll grün, darnach nannte Haüy das Gestein *Euphotid* (*eu* und *phos* Licht). Der Feldspath ist dagegen grau, nicht selten von zähem splittrigem Bruch (Saufsurit). Seit lange berühmt ist die Verde di Corsica, welche schon 1604 in Florenz zu prachtvollen Tischplatten verschliffen wurde: die breiten smaragdgrünen Blätter des Diassag stechen gegen das schädige Grau des Saufsurit vortheilhaft ab. Bei Le Prese im Veltlin ist der Diassag tombakbraun mit metallischem Schimmer, ebenso bei Wolpersdorf in Schlesien, auf der Wüste am Harz. Eine Unterabtheilung bietet der *Hypersthenfels*, worin statt Diassag Hypersthen liegt. Das grobkörnige Gestein von der Pauls-Insel bei Labrador, das feinkörnigere von Penig in Sachsen, vom Monzoniberge in Tyrol bilden Muster. In Beziehung auf Lagerung schließt sich Gabbro eng an Serpentin, und dieser wieder an Hornblendegesteine.

B. Porphyre.

Plinius hist. nat. 36. 11 sagt: *rubet porphyrites in Aegypto: ex eo candidis intervenientibus punctis Leptosephos vocatur*, und Agricola (natura fossil. 631) weiß schon, daß in der berühmten Sophienkirche zu Constantinopel nicht wenige Säulen aus Porphyry bestehen. Man verstand darunter nur den rothen Porphyry, während man die grünen und schwarzen Marmor nannte. Das Wesen eines ächten Porphyry macht die Grundmasse aus, welche durchaus homogen und unkrystallinisch sein muß. Sie kann glasig oder steinig sein, doch stellt man die glasigen besser zu den Gläsern. In der Grundmasse liegen alsdann Krystalle zerstreut, welche das Ganze bunt machen, worauf der Name deutet. Die Porphyre als halbkrySTALLINISCHE Gesteine scheinen entschieden jünger zu sein, als die krystallinisch körnigen Granite und Syenite, welche sie in kegelförmigen Bergen durchbrechen. Werner unterschied die Namen nach der Grundmasse: Hornsteinporphyry, Thonporphyry, Obsidianporphyry und Pechsteinporphyry.

8. Rother Porphyry.

Hat meist eine durch Eisenoxyd röthliche Grundmasse, die den splittrigen Bruch rauher Hornsteine zeigt. Da diese Masse feldspathartig ist, so schmilzt sie vor dem Löthrohr und entfärbt sich, daher auch *Eurit-Porphyry* genannt. Mehr oder weniger Feldspath scheidet sich in allen krystallinisch

aus, allein in Beziehung auf Kieselersde gibt es einen Quarzhaltigen und Quarzfreien.

Quarzhaltiger Porphyrr bildet im Thüringer Wald die höchsten Kuppen, den Schneekopf und Inselsberg. Auch der Auersberg auf dem Unterharze, der Petersberg bei Halle, viele Regel im Schwarzwalde namentlich bei Baden-Baden bilden Muster. Der Quarz tritt außerordentlich hervor, und ist nicht bloß wie im Granit krystallinisch, sondern um und um krystallisirt, so daß man Dihexaeder aus der Grundmasse heraus schlagen kann. Nach G. Rose kommt neben Kalifeldspath auch Oligoklas vor, und wenn Glimmer, so Magnesiaglimmer, so daß es nichts weiter als ein unvollkommen krystallinischer Granit sein würde. Werner unterschied noch einen Feldspathporphyrr (Emmerling Mineral. III. 66), der eine kleine und feinkörnige (theilweis schon dichte) Grundmasse von gemeinem Feldspath hat, worin sich dann größere gelblichweiße bis fleischrothe Feldspathkrystalle ausgeschieden haben. Sie sind ganz anders beschaffen als der Porphyrische Granit, und bilden in der That den vollkommensten Uebergang zum ächt körnigen Gestein. Sie treten daher z. B. im Schwarzwalde auf das Engste mit Gneis und Granit in Beziehung, und gar oft kommt man in Verlegenheit, ob man die Gesteine Granit oder Porphyrr nennen soll. Und sobald in einem Granit auch nur Spuren dichter Grundmasse vorkommen, so zeigt der Quarz gleich Dihexaederflächen, was bei ächtem Granite nie der Fall ist.

Quarzfreier Porphyrr (Porphyrit) scheint häufig jünger zu sein, als der Quarzführende. Seine Grundmasse ist zuweilen viel rother, als bei vorigem, selbst mit einem Stich ins Schwarz, wie die geschliffenen Stücke von Elfdalen und der Porfido rosso antico zeigen. G. Rose nennt ihn neuerlich Syenitporphyrr. Cotta's Glimmerporphyrr, Buch's Rhombenporphyrr und viele anders benannten gehören in seine Nähe.

Wenn man nun aber auch alles dieses glücklich bestimmen könnte, so kommt dann die Verwitterung dazu, zu welcher der Porphyrr ganz besondere Neigung hat: es bildet sich ein grauer, rauher, unansehnlicher Thonstein aus der Grundmasse, und die Krystalle darin zerfallen zu mehrlartiger Porzellanerde. Das ist Werner's Thonporphyrr, welchen andere Mineralogen vielleicht noch bezeichnender Porphyrrartiges Gestein genannt haben. Denn in der That weiß man häufig nicht, ob man es für einen Porphyrr halten solle, der von seiner Ursprünglichkeit an Ort und Stelle nur durch Verwitterung gelitten habe: oder ob es schon ein regenerirtes Gebilde (Porphyrr-Tuff) sei. Sehr eigenthümlich ist der Kugelporphyrr von Corsika, den man nicht mit dem dortigen Kugeldiorit verwechseln darf (Epochen pag. 137).

9. Grüner Porphyrr.

Er schließt sich zunächst eng an den Diorit an (Dioritporphyrr G. Rose). Die Grundmasse ist meist schwärzlichgrün, und darin scheiden sich dann die grünlichweißen Oligoklastkrystalle aus. Die Menge der Hornblende ist sehr verschieden, Quarz, Glimmer, Schwefelkies und Magneteisen gehören zu den mehr zufälligen Bestandtheilen. Wo Syenite und Diorite sich einstellen, da

pflegen auch diese schönen Porphyre nicht zu fehlen. Besonders reich ist die Gegend der südlichen Vogesen (Siromagny). Im Ural bildet der Dioritporphyr im Verein mit Diorit das hauptsächlichste Plutonische Gestein. Der Diorit ist weniger im Süden entwickelt, nimmt aber im mittleren Ural an Menge zu, und bildet im Norden die höchsten Erhebungen. Dioritporphyr kommt meist in seiner Nähe vor, „scheint aber noch verbreiteter am südlichen als am nördlichen Ural zu sein, wo er sich auch nicht zu so großen Höhen als der Diorit erhebt.“ Auch die Amerikanischen Gebirge liefern die vorzüglichsten Abänderungen. Im Alterthum war besonders der Lacedämonische geschätzt, Plinius hist. nat. 36. 11: *pretiosissimi quaedam generis, sicuti Lacedaemonium viride, cunctisque hilarius*. Das heitere Grün tritt lebhafter bei Benetzung hervor, daher fand er auch zu Brunnen- und Wasserbecken vorzugsweise Anwendung.

Diabas (Uebergangsgestein) nannte Brongniart eine andere Gruppe grüner Porphyre, worin die grüne Farbe von Chlorit herkommen soll, und außerdem finden sich Augitkrystalle eingesprengt, die zu den merkwürdigen Uralitkrystallen pag. 253 gehören. G. Rose nennt sie Augitporphyr (Uralitporphyr), sie sollen unter allen sogenannten Grünsteinen die häufigsten sein, namentlich am Ural in Begleitung der dortigen Magnetiseneisensteine. Die Uralitporphyre charakterisiren den Ural ganz besonders, doch kommen sie auch zu Travignolo bei Predazzo in Südtirol, zu Mysore in Ostindien u. dgl. Am Harze findet sich der Diabas vorzüglich an der Gränze, wo die Granite vom Thonschiefer absetzen, an der Roßtrappe, im Mühltal bei Elbingerode u. dgl. Ueberhaupt bildet der Thonschiefer des Uebergangsgebirges, worauf schon der Name hindeuten soll, die Mutter dieser merkwürdigen Gesteine, so namentlich auch im Dillenburgischen. Einerseits gehen sie zu den schwarzen Porphyren und wahren Mandelsteinen, was schon das hohe Gewicht beweist (Uralitporphyr von Mias 3,1 Gew.); andererseits schiefern sie sich, und lagern sich zwischen die Thonschiefer ein, so daß man nicht weiß, ob man sie für Wasser- oder Feuerproducte halten soll.

10. Gabbroporphyr.

Schließt sich eng an die Gabbro an, denn wo diese ausgezeichnet vorkommt, wie z. B. an der Vaste im Harzburger Forst am nordwestlichen Fuße des Brockengebirgs oder zu Todtmoos südlich vom Felsberge im Schwarzwalde, da fehlen auch diese schönen Porphyre nicht. Die Grundmasse ist außerordentlich homogen, hat einen feinsplittigen Bruch wie Serpentin, ist aber härter, bei dunkelfarbigem wird man auch wohl an Basalt erinnert. Darin scheiden sich dann die halbmetalisch schillernden Flächen des Diablas aus, deren Blättrigkeit an Glimmer erinnert. Durch Verwitterung seiner Grundmasse sind Serpentine entstanden.

C. Dichte Massen.

Dichte unkrystallinische Gebirge, die nicht das deutliche Gepräge eines Wasser- oder Trümmergebirges an sich tragen, kommen gerade nicht viel vor. Oder wenn sie auch vorkämen, so steht bei dem Mangel an krystallinischer Bildung immer für Zweifel ein großer Raum offen. Auch pflegt man die Sachen, wo es nur irgend angeht, immer zu den Porphyrn mit überwiegender Grundmasse zu stellen. So hat z. B. Werner's

Thonporphyr häufig das Ansehen eines Porphyrstufes, der auf secundärem Wege sich gebildet hat. Während andere wie der Hälleslinta pag. 227 von Dannemora so frisch aussehen, daß sie mit den frischesten krystallinischen Graniten wetteifern. Die Franzosen nennen solche Dinge **Surit**, nach ihrer Schmelzbarkeit vor dem Löthrohr.

Dichter Grünstein, die Grundmasse von den grünen Porphyrn, nähert sich in allen möglichen Uebergängen den ächten Porphyrn, entfernt sich dann aber durch Schichtung, Aufnahme von Kalkspath (Schaalstein) und kugelförmige bis erdige Absonderung so weit von aller ächten chemischen Bildung, daß wir es hier offenbar oft mit Trümmergesteinen zu thun haben. Die Franzosen bezeichnen es passend mit **Aphanit**, worin alle mineralogische Scheidung verschwindet. Nur der

Serpentin pag. 246 hat eine Gleichartigkeit des Bruchs und eine Frische des Aussehens, daß er sich den schönsten Gebirgsarten ebenbürtig zur Seite stellt. Um so mehr muß es befremden, wenn man ihn nicht zu den unmittelbaren chemischen Niederschlägen zählen könnte. Durch die Ausdehnung und Verbreitung seiner Vergluppen, die übrigens zu den unfruchtbarsten gehören, welche wir kennen, spielt er eine nicht unwichtige Rolle auf der Erdoberfläche. Schließt in Schlesien und Böhmen Opale und Kieselmassen verschiedener Art ein, bildet die Mutter der Pyrope, Chromeisensteine, guldigen Arsenitalkiese etc.

D. Melaphyre und Mandelsteine.

Sie treten hauptsächlich in der Steinkohlenformation auf. Durch ihre schwarze Farbe erinnern sie an den Basalt, allein der Olivin ist ihnen noch nicht wesentlich. Wenn Augit sich ausscheidet, so ist es gemeinlich der schwarze basaltische Augit. Daher schielen die Gesteine stets zu den Basalten hinüber, und man hat seine Noth, sie davon gehörig zu trennen. Die Schweden nennen sie auch Trapp. Trappa heißt nämlich Treppe, der Name soll auf die kuppelförmigen Gebirge anspielen, welche von den Schichten des Uebergangsgebirges treppenartig umgeben sind, wie z. B. die Kinnekulle am Wenernsee. Werner machte eine besondere Trappformation, die er passend dem Steinkohlengebirge unterordnete, und rechnete dahin den Grünstein, Mandelstein, Klingstein und Basalt. Der Name Melaphyr stammt von Alexander Brongniart (*melas* schwarz, und *phyr* die 2te Silbe von Porphyr)

daher übersezte ihn L. v. Buch in schwarzen Porphyr (Leonhard's Taschenb. 1824. 200), welcher nach seinen theoretischen Ansichten den Zura gehoben haben sollte. Nicht selten bilden sich darin runde Blasenräume aus (sogenannte Mandeln), die mit Chalcodon und Amethyst austapezirt zu sein pflegen, worin sich dann Kalkspath und Zeolithe verschiedener Art angehäuft haben. Verwittert das Gestein, wozu es große Neigung zeigt, so fallen die kieseligen Mandeln heraus. Diese sind vortrefflich gerundet, höchstens an einer Kante schneidig, und scheinen Gasentwickelungen ihren Ursprung zu danken. Das Kohlengebirge von Oberstein ist besonders reich. Mandeln können zwar auch in andern dichten und glasigen Gesteinen sich zeigen, besonders zahlreich treten sie jedoch nur in diesen Augitischen Bildungen auf. Eine grüne Farbe der Grundmasse ist nicht selten, sie rührt aber von beigemengtem Chlorit, und weniger von Hornblende her. Ja kleinere Mandeln sind zuweilen ganz mit Chlorit erfüllt, so stammt z. B. die Veronesische Erde aus den Mandelsteinen bei Verona. Auch bestehen nicht selten Asterskrystalle von Augit aus solcher Grünerde pag. 380. Alles das erschwert die scharfe Bestimmung außerordentlich. Auch hat es dann gar oft den Anschein, als wenn die Natur sich nicht so fest an Regeln gebunden hätte, wie wir sie gern in unserem Kopfe wünschten. Der Geognost darf hier nur wie Werner im Großen sondern, und muß das Einzelne der Mineralogischen Analyse überlassen, die dann aber nicht aus jeder Kleinigkeit besondere Felsenamen schaffen darf. Der Anschluß an den quarzfreien Porphyr pag. 777 oft sehr innig.

E. Basaltische Gruppe.

Sie gehört vorzüglich dem Gebirge nach der Steinkohlenzeit an. Wie bei den heutigen Vulkanischen Gesteinen Trachyt- und Basaltlaven, so gehen hier immer Basalt und Klingstein parallel. Der Feldspath ist wo er vorkommt, schon **glasig**. Die chemische Analyse unterscheidet zwischen einem in Säure löslichen und einem in Säure unlöslichen Antheil. Letzterer ist der Kieselbereichere.

Klingstein

Phonolith, bildet ein ausgezeichnet porphyrisches Gestein mit einer hellfarbigen Grundmasse, worin sich weiße glasige Feldspathkrystalle ausgeschieden haben. Und da er nicht selten eine Neigung zum Plattigen zeigt, so nannte ihn Werner Porphyrschiefer. Die große Homogenität dieser Platten beweist ihr Klang, worauf der Name des gemeinen Mannes hindeutet. Quarz findet sich nicht mehr frei darin, auch soll er niemals Augit, wohl aber Hornblende beigemengt enthalten. Neuerlich hat sich auch kleiner gelber Titanit darin gefunden. Gew. 2,57. Schon Klaproth (Beiträge III. 200) lieferte im Anfang dieses Jahrhunderts eine Analyse des Klingstein's vom Donnersberge bei Willechau, dem höchsten Berge im Böhmischem Mittelgebirge. Er wies 8,1 p. C. Natron darin nach, was Aufsehen erregte, da

man bis dahin dieses Alkali nur im Steinsalz gekannt hatte. Aber erst Ch. Gmelin (Pogg. Ann. 14. 257) zeigte, daß die Grundmasse einen mit Säure gelatinirenden Bestandtheil enthalte, denn das Pulver 24 Stunden mit Salzsäure übergossen, erzeugt bei manchen eine steife Gallerte, wie der Faerzeolith pag. 333. Daraus läßt sich nun leicht die große Menge von Natrolith erklären, wie er z. B. in den Felsen von Hohentwiel vorkommt. Der unlösliche Rückstand ist Kalifeldspath. Durch Verwitterung soll vorzugsweise die Zeolithmasse ausgelaugt werden. Das quantitative Verhältniß zwischen Zeolith- und Feldspathsubstanz wechselt aber außerordentlich. Der Klingstein vom Hohen-Krähen am Bodensee hatte 55 lösliche und 45 p. C. unlösliche Substanz; der von der Pferdekuppe in der Rhön dagegen nur 16 lösliche und 84 unlösliche Theile. Klingstein bildet häufig auffallend kühne Felsen, so im Höhgau den Hohentwiel und Hohen-Krähen, welche neben dem Basaltischen Hohen-Höwert und Hohenstoffeln jäh aufsteigen, oder geradezu wie im Böhmischem Mittelgebirge und in der Rhön „im Basalte zu schwimmen scheinen“ (Taschenbuch 1827. a. 104). Der Biliner Stein in Böhmen, die Klingsteine im Belag sind ausgezeichnet.

Nephelingestein pag. 353 wurde zuerst von Leonhard auf dem Katzenbuckel, dem höchsten Gipfel des Odenwaldes, erkannt. Seiner Farbe nach steht die Grundmasse zwischen Basalt und Klingstein, es scheiden sich darin aber viele Nephelinkristalle neben etwas Magneteisen und Augit aus. Schließt sich dem Melaphyr an.

Basalt.

Dieses berühmte Gestein war schon dem Agricola de natura fossilium 631 vortrefflich bekannt: quoddam marmor est ferrei coloris, qualis est basaltus ab Aegyptiis in Aethiopia repertus, cui non cedit Misenus, neque colore, quem eximie ferreum habet: neque duricia, quae tanta est, ut eo fabri ferrarii pro incude utantur . . . super hunc basalten Stolpa arx episcopi Miseni est extracta. Plinius hist. nat. 36. 11 erwähnt den Namen nur einmal, sonst heißt er Basanites Plinius 36. 38 (König Og von Basan, Josua 12, 4). Zu Werner's Zeit war es der wichtigste Streitpunkt, ob Basalt auf heißem oder nassem Wege entstanden sei. Die außerordentliche Häufigkeit, wenn auch nur in isolirten Bergkegeln, macht ihn zumal bei seiner Ravenähnlichkeit zu einem der wichtigsten Gesteine.

Er bildet eine schwarze harte schwere Grundmasse, in welcher sich klarer gelber Olivin pag. 263 krystallinisch ausgeschieden hat. Das Gewicht erreicht 3,1. Wenn Feldspath vorkommt, so ist es glasiger Kalifeldspath. Gar häufig findet man auch Körner von schlackigem Magneteisen darin, dem er theilweis auch seine Farbe dankt. Basaltischer Augit ist viel häufiger als Basaltische Hornblende. Die Analyse unterscheidet ebenfalls einen in Säure löslichen und einen unlöslichen Theil, jener ist zeolithisch, dieser augitisch, so daß man wohl Augit, Faerzeolith mit Magneteisen als die wesentlichen Bestandtheile der Grundmasse ansehen darf. Zum Verglasen zeigt er keine sonderliche Neigung, wohl aber zum Verschlacken: d. h. es erzeugen sich auf

der Oberfläche allerlei gedrängte eckige Poren in ihm. Schneeweißer Faserzeolith, krystallisirt bis dicht, bricht öfter auf schmalen Gängen und Drusenräumen. Das merkwürdigste Phänomen ist jedoch die regelmäßige Zerklüftung zu Säulen, die alle parallel neben einander liegen, und die in früherer Zeit wegen ihrer vortrefflichen Ausbildung allgemein für Krystalle gehalten wurden. Die Säulen selbst steigen aus der Tiefe unter den verschiedensten Richtungen heraus, doch behalten sie auf kleine Entfernung und bei kleinen Bergen gern die gleiche Lage bei. Bei diesem Berge nur wenige Zoll dick, bei jenem mehrere Fuß, 1'—2' ist mittlere Dicke. Durch Quersprünge sind sie gegliedert, so daß man leicht Stücke abheben kann. Schreitet die Verwitterung weiter vor, so runden sich die Klusflächen, und wir bekommen dann Kugelformen. Mancher plattet sich auch, wie der im Reiche des Königs Og. Werner unterschied daher einen Säulen-, Kugel- und Tafel-Basalt. Viele zeigen jedoch nichts von solcher Zerklüftung.

Am vorherrschendsten ist homogener Basalt, der sich an zahllosen Punkten findet: in Deutschland sind das Böhmisches Mittelgebirge, die Rhön, der Meißner, das Vogelsgebirge, der Westerwald, das Siebengebirge, die Eifel, das Hühnau bekannt. An der Schwäbischen Alp zwischen Reutlingen und Boll versteckt er sich unter den Basalttuffen. Die regelmäßigen Basaltsäulen der Burg bei Stolpen in Sachsen, mit 6—20 Zoll dicken und 30—40 Fuß langen Säulen, woraus dem Werner zwischen Dresden und Riesa ein Denkmal errichtet wurde, erwähnt schon Agricola; nicht minder ausgezeichnet finden sie sich bei Wittgendorf ohnweit Zittau, wovon Reichel (die Basalte und Säulenförmigen Sandsteine der Zittauer Gegend) so schöne Abbildungen gegeben hat. Am großartigsten trifft man sie am Riesenbamm (Giants Causeway) an der nördlichen Küste der Grafschaft Antrim in Irland. Die Säulen der Fingalsgrotte auf Staffa sollen mehr Grünsteinartig sein.

Wenn die Basalte an der Oberfläche verschliffen, dann kann man sie nicht von Augitischen Lavas unterscheiden. Oft werden sie auch ausgezeichnet porphyrisch, indem sich die Augitkrystalle in großer Regelmäßigkeit ausscheiden, wie z. B. bei Sasbach am Kaiserstuhl im Breisgau, neben welchen krystallinisch ausgebildeter Eisenolivin pag. 265 liegt. Freilich kann man diesen auch wegen der Mandeln zu den Mandelsteinen rechnen.

Dolorit (*doleros* trügerisch) nannte Haug die krystallinisch körnigen Gesteine, die untergeordnet im Basalte des Meißner in Hessen einbrechen, sie bestehen aus Augit und glasigem Labrador mit schlackigem Magneteisen, und können leicht in Handstücken mit Diorit verwechselt werden, worauf der Name deuten soll. Leonhard's

Anamesit (*ἀνάμεσος* in der Mitte) soll die feinkörnigen Abänderungen bezeichnen, die mitten zwischen Dolorit und dichtem Basalt inne stehen: dahin gehört z. B. der durch seinen Sphärosiderit pag. 423 berühmte Basaltstrom auf der linken Seite des Mains unterhalb Hanau, das Stadtplanaster von Frankfurt und das Straßenmaterial für die ganze Umgegend liefernd. Die schwärzliche Masse, in deren Drusen der braune Sphärosiderit liegt, hat ein gleichmäßiges Korn wie Dolomit. Olivin fehlt.

F. Trachyt und Lava.

Unter Lava versteht man ursprünglich Gesteine, die in glühendem Strome aus der Mündung eines Kraters hervorgeflossen sind. Da aus dem Strome Gase entweichen, so pflegt nicht blos die Oberfläche, sondern auch die Tiefe des Gesteins von unregelmäßigen Poren durchdrungen zu sein. Dasselbe ist aber nicht nothwendig. Da nun an einem Vulkanberge alles geschmolzene Feuerstein hervorgeflossen sein muß, so nennt man dann auch alles Lava. So lange die Berge brennen, liefert der Brand ein vortreffliches Bestimmungsmittel. Allein es kommen neben brennenden auch viele ausgebrannte Vulkane vor: Auvergne, Eifel, Kammerbühl bei Eger, in Italien die Rocca monfina, das Albanergebirge u. Da ist dann eine Vermischung und Verwechselung mit der Basaltgruppe unvermeidlich. Wie umgekehrt die Basaltgruppe auch viele ausgezeichnete Ströme zeigt.

Trachyt

(τραχυς *rau*) nannte Haug jene lichtfarbigen mit feinporöser Grundmasse versehenen Gesteine, den deutschen Trappporphyr (Buch Abhandl. Berl. Akad. 1819. 129), worin sich nicht selten glasige Feldspathkrystalle in großer Schönheit ausscheiden, neben Glimmer, Hornblende und andern Krystallen; nur Augit ist fremd. Das Gestein steht dem Klingstein in der Basaltgruppe parallel, und der Feldspath gehört nach Abich (Geol. Beobacht. über die Vulkanischen Erscheinungen und Bildungen in Unter- und Mittel-Italien) der kieselsäurereichen Abänderung $R\ Si + K\ Si^3$ an. Nach ihm kann sogar zwischen Klingstein und Trachyt keine Gränze gesteckt werden. Bimsstein, Obsidian und Perlstein sind wesentliche Begleiter echter Trachyte. Der Trachyt vom Drachenfels im Siebengebirge am rechten Rheinufer „kann in jeder Beziehung als eine wahre Normal-Felsart für den Begriff betrachtet werden.“ Es kommt darin großer Kali- und kleiner Natronfeldspath wie im porphyrischen Granit vor, dem er auch durch seine großen glasigen Feldspathzwillinge so auffallend gleicht. Freier Quarz ist nicht vorhanden, außer in kleinen Klüften. Nach Hr. vom Rath kommen allein in dem kleinen Siebengebirge drei Trachyt-Abtheilungen vor. Trachyt-Porphyr hat schon Deudant Ungarische Gesteine mit freiem Quarz genannt, welche ältern Porphyren überaus gleichen, aber durch ihr Vorkommen mit Perlstein sich als vulkanisch zu erkennen geben.

Domit nannte Buch (Geognost. Beobacht. II. 244) die erdigen zerreiblichen Trachyte, in welchen aber kleine glänzende Feldspathkrystalle inne liegen. Das Gestein findet sich besonders ausgezeichnet am Puy-de-Dôme. Nur untergeordnet kommt in vulkanischen Gegenden der Trachyte granitoide vor, der wie der Dolerit aus lauter Krystallen besteht, hauptsächlich aus glasigem Feldspath und Nadeln schwarzer Hornblende: die Findlinge am Rachersee mit Nosean, oder vom Vesuv u. sind sehr bekannt.

Andesit (Buch, Pogg. Ann. 37. 100) heißen die amerikanischen Trachyte,

welche die gewaltigsten Vulkangipfel der Erde in der Cordillerenkette bilden. „Es sind bald mehr bald weniger dichte, bisweilen beinahe zerreibliche Gesteine von grobkörnigem Bruch, welche in einer krystallinischen Grundmasse, von dunkelgrauer Färbung eine große Menge von kleinen, selten die Größe einer halben Linie erreichenden Krystallen, von Albit“ enthalten, wie sie auch im Trachyt des Drachensfels vorkommen. Die Albite erkennt man an dem einspringenden Winkel auf dem Blätterbruch P. Hin und wieder kommen zwar kleine Feldspäthe vor, aber dem Albit nur untergeordnet. Das Gestein bildet den Dom des Chimborasso, die zerrissenen Gipfel und zackigen Ränder eingestürzter so wie die Regelberge der noch thätigen Vulkane. Hr. Abich fand es auch am Elbrouz, Kasbek und Ararat.

Trachyt-Dolerit nennt Abich den Kranz von Felsen, der mit einer Höhe von 1000'—1800' den Pic von Teneriffa umgibt. Es ist ein Gemisch von Trachyt- und Augitlaven.

Lava.

Darunter versteht man hauptsächlich Augitlaven, deren graulich schwarze Masse auffallend an Basalt erinnert. Eine solche ausgezeichnete Lava bildet der Mühlstein von Niedermending bei Mehen in Rheinpreußen, durch den Hauyn pag. 356 den Mineralogen so bekannt. Schon Theophrast § 40 nennt solche „schwarzen Bimsteine“ von Sicilien lapis molaris, und Agricola 614 unterscheidet sie sehr wohl von den quarzigen Mühlsteinen. Denn Laven mit solchen edigen Poren eignen sich besonders zu Mühlsteinen. Wenn Feldspath vorkommt, so ist es Kieselbearmer Labrador oder Anorthit. An der Somma und im Albanergebirge spielen die Leucitlaven (Leucitophyre) eine bedeutende Rolle, sehr rauhe poröse Gesteine, in welchen die Leucitoeder ringsum gebildet in großer Menge zerstreut liegen. Unendlich groß ist die Zahl der Analysen, und mannigfach ihre Deutung, im Allgemeinen sind die Augitlaven aber Kieselbearmer als die Trachytlaven.

Der Gegensatz von Feldspath- und Augitgesteinen, welcher in der Basalt- und Lavengruppe so deutlich hervortritt, hat in neueren Zeiten Bunsen (Pogg. Ann. 88. 197) zu einer Hypothese verleitet, die viel Lockendes hat, so schwer auch die Durchführung des Beweises werden mag. Der geistreiche Chemiker, gestützt auf zahlreiche Analysen Isländischer Gesteine behauptet, daß es auf jener großen Vulkaninsel trotz der Mannigfaltigkeit der Laven nur zwei Hauptgruppen gebe, deren extreme Glieder seien normal

trachytisch oder pyrogenisch

Kieselerde	76,67	"	48,47
Al und Fe	14,23	"	30,16
Kalkerde	1,44	"	11,87
Magnesia	0,28	"	6,89
Kali	3,20	"	0,65
Natron	4,18	"	1,96

Die trachytischen entsprechen fast genau einem zweifach sauren Gemenge von Thonerde- und Alkali-Silicaten, in denen Kalk, Magnesia und Eisen-

oxydul bis zum Verschwinden zurücktritt. Der Sauerstoff der Säure verhält sich zu dem der Basen wie 3 : 0,596, in den augitischen wie 3 : 1,998, letztere sind also entschieden basisch. Durch Vermischung dieser beiden Extreme sollen nun sämmtliche Laven Islands entstanden sein, was auf einen doppelten Herd in der Tiefe hinweisen würde, deren Spiel seit dem Hervortreten der Insel fortgedauert haben mußte. Ja die Gänge scheinen dieß sogar handgreiflich zu machen: so setzt in einem der südöstlichen Thaleinschnitte des Esjagebirges, Mosfell gegenüber, ein Trachygang durch das dortige conglomeratistische Augitgestein. Der Trachyt in der Mitte des Ganges gehört zum normal trachytischen Gesteine von weißer Farbe, nach der umschließenden Gebirgsart hin wird er allmählig dunkeler und eisenhaltig, und am Salbande besteht er deutlich aus einem Gemisch von trachytischer und pyrogenischer Masse, wie chemische Analyse und Augenschein bewies.

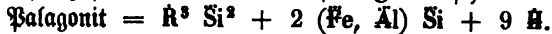
Würde diese Ansicht durchschlagen, die Bunsen noch mit mehreren Beispielen anderer Orte (Ararat) beweist, so hätte in Zukunft die Gesteinsbestimmung ganz andere Wege einzuschlagen: es käme dann nicht mehr auf diese oder jene unbedeutende Verschiedenheit in der Mengung an, die zu so vielen Namen die Veranlassung gegeben hat, sondern man müßte nach möglichst reinen Gesteinen suchen, die durch die Art ihres Auftretens z. B. im Centrum eines großen Gebirgsstockes zugleich einige Bürgschaft gäben, daß sie den ursprünglichen Bildungen möglichst nahe kämen, und von ihnen ausgehend müßte dann die Erklärung erst die minder wichtigen Gebirgsmassen treffen. Indes liegt hierin, wie in allen Hypothesen, die sich auf so schlüpfrigem Boden bewegen, auch wieder eine große Gefahr.

Die Gläser haben wir oben pag. 386 genügend abgehandelt.

G. Tuffe.

Das Wort Tuff wird doppelstinnig gebraucht: einmal versteht man darunter Niederschläge des Wassers, wie Kiestuff pag. 216, Kalktuff pag. 415; dann aber auch die sogenannten Vulkanischen Tuffe, welche in größter Menge und Mannigfaltigkeit auftreten. Speiende Vulkane ergießen nicht hlos glühende Lavenströme, welche zu Stein oder Glas erhärten, sondern sie werfen auch Schlackenstücke als Bomben, Lapilli, Asche in ungeheuren Massen aus, die sich um den Berg herum ablagern, und jene ganz eigenthümliche Art unkrystallinischer Trümmergesteine (Agglomerate) bilden, woran das Wasser keinen unmittelbaren Antheil nahm. Bunsen (Pogg. Ann. 88. 210) glaubt sogar nachweisen zu können, daß die Palagonittuffe pag. 331 metamorphische Bildungen seien, welche durch Einwirkung der glühenden Augitlaven auf Kalk- oder Alkalienreiche Gesteine gebildet würden. Denn es komme Palagonit, wenn man feingeriebenen Basalt in einen großen Uberschuß von geschmolzenem Kalihydrat einträgt, und das gebildete überschüssige Kalisilicat mit Wasser übergießt. Die ausgelaugte und durch Abschlämmen erhaltene hydratistische, nach dem Trocknen pulverförmige, schon mit der schwäch-

sten Säure gelatinirende, durch Kohlensäure und Schwefelwasserstoff leicht zersetzbare Substanz stimmt mit dem reinsten Isländischen



Dabei entwickelt sich eine namhafte Menge reinen Wasserstoffs, dessen Ausscheidung auf der Oxydation der Eisenoxydsilicate zu Eisenoxydsilicaten beruht, und die auf Kosten des im Kalihydrate enthaltenen Wasseratoms vor sich geht. Folge davon ist, daß in den Palagoniten jede Spur von Eisenoxydul fehlt. Daraus ließe sich das Vorkommen von gediegenem Kupfer pag. 574 in den Mandelsteinen erklären, was aus flüchtigem Chlorkupfer reducirt sein würde. Wenn also bloß durch Berührung der Augitlaven mit Kalkgebirgen sich Tuffe erzeugen, so würde die Erklärung der mächtigen Basalttuffe unserer schwäbischen Alp nicht mehr so unübersteigliche Schwierigkeiten darbieten.

Bunsen zeigt nun weiter, daß das Palagonitische Tuffgebirge wesentlich ein Gemenge von zweierlei Sachen sei: das eine seien wasserfreie Gebirgsbrocken, deren Zusammensetzung genau mit den normal pyrogenischen Gesteinen pag. 784 übereinstimmt; dieselben wurden von der andern Substanz eingehüllt, die von amorpher Beschaffenheit wesentlich aus zweierlei wasserhaltigen Silicaten von der Form



bestünden. Beide Glieder scheinen sich in verschiedenen Verhältnissen mit einander zu mischen: der Palagonit besteht aus $\text{R}^3 \text{Si}^2 + 2 \text{R}^3 \text{Si} + \text{aq}$ und ein Tuff der Chatham-Inseln aus $\text{R}^3 \text{Si}^2 + \text{AlSi} + \text{aq}$. Sie sind aber alle zwei ohne Wasser genommen nichts anderes als verändertes Pyroxengestein.

Wie die Basalte und Basaltischen Laven, so umgeben sich auch die Melaphyre mit Tuffen, was namentlich die zeolithischen Mandelsteinbildungen beweisen. Dieselben seien auf Island lediglich durch glühende Laven erhitzte Tuffe, wobei sich dieselben in ein eisenreiches Silicatgestein verwandelten, welches die Grundmasse der Mandelsteine bildet, und in ein eisenfreies: nämlich die schönen farblosen bis schneeweißen Zeolithe pag. 331. Die Spaltung in eisenfreie und eisenhaltige Silicate hat zwar etwas Auffallendes, läßt sich aber auch künstlich hervorbringen und verfolgen, wenn man Erbsen- bis Haselnußgroße Stücke erhitzt bis sie äußerlich glühen, und dann im Mikroskop bei 40facher Vergrößerung untersucht. Nimmt man dazu nun noch die zersetzende Wirkung der Gase, so sieht man wohl ein, wie Gesteine gänzlich ihren ursprünglichen Charakter aufgeben können, ohne daß Wasser einen wesentlichen Einfluß darauf geübt hätte.

Was den augitischen Gesteinen, Ähnliches widerfährt nun auch den feldspäthigen. Die Trachyte, die Klingsteine (Oberschwaben) umgeben sich ebenfalls mit ganzen Bergen von Trachyt- und Klingsteintuffen, selbst bei den Gläsern spricht man von einem Pechthonsstein, Bimstintuff u. Je älter jedoch das Gebirge wird, desto mehr wachsen die Schwierigkeiten in der Erklärung, zumal da hier Anzeichen vulkanischer Thätigkeit nicht ausgeprägt sind. Jedenfalls umgeben sich die rothen und grünen Porphyre mit

einem ganz tuffartigen Gestein. Die graulich weißen, graulich rothen zc. Thonsteine und Thonporphyre sind solche Dinge, über deren genaue Bestimmung man so häufig in Verlegenheit ist. Nicht minder lebhaft wird man bei den Grünsteinen, welche sich zu unförmlichen Kugeln absondern, erdig zerfallen, oder wohl gar geschichtet mit Thonschiefer wechseln (Dillenburg), an solche metamorphischen Gesteine erinnert. Dieselben werden sogar auch porös, nehmen in ihre Poren Kalkspath auf (Blatterstein), und was dergleichen Modificationen mehr sind.

In den Alpen, wo Glimmer und Talkschiefer eine große Rolle spielen, findet man eine Reihe sogar Petrefactenführender Bildungen, welche einige für durch Feuer verändertes Sedimentgestein halten, andere aber für Gebirgstrümmergesteine, die unter Einfluß von Wasser sich erzeugt haben. Endlich erleidet auch der

Granit nicht selten sehr großartige Zersetzung: das ganze Gebirge löst sich zu Grus und Sand, der wie Schutt übereinanderfällt, ohne daß die einzelnen Mineraltheile wesentlich gelitten hätten, obgleich sie dadurch sich etwas aufschließen, denn ein Theil wird bereits in Säure löslich, und kann zur Wassermörtelbereitung benützt werden (Explic. Cart. géol. France I. 121). Wenn solche Trümmer vom Wasser ergriffen aber ganz in der Nähe abgelagert werden, so bilden sich Gesteine, die dem ursprünglichen Granit außerordentlich nahestehen (Arcofe), wie z. B. in Centralfrankreich oder in der Steinkohlenformation des Schwarzwaldes. Das Auffallende bei solchen Verwitterungen ist das, daß nicht selten einzelne Parteen der Zerstörung widerstehen, andere nicht, und in Folge dessen die Granitberge sich mit mächtigen Blöcken überdecken (Steinmeere), die man auch wohl als Trümmer des bei der Erhebung zersplitterten Gebirges genommen hat.

Sobald die Feldspaththeile des Granites ihren Kaligehalt verlieren, zerfallen sie zu Porzellanerde, und sind so die Ursache jener weit verbreiteten Thonformation, die im Sedimentärgebirge eine der Hauptrollen spielt.

H. Sedimentärgebirge.

Dasselbe ist im wesentlichen ein Wasserablag aus zertrümmerten und abgerollten Gebirgsstücken, die oft weite Wege gemacht haben, ehe sie zur Ruhe kamen, zumal wenn sie als feiner Sand und Schlamm im Wasser sich suspendirt erhalten konnten. Sehen wir von den Blöcken, Geschieben und Geröllen ab, die nur in einigen wenigen Formationen (Diluvium, Nagelfluhe, Todtligendes) Bedeutung erlangen, so sind es hauptsächlich dreierlei

Sand, Kalk und Thon,

welche herrschen. Der Sand besteht vorzugsweise aus kleinen abgerollten Quarzstücken, und hin und wieder finden sich Feldspath, Glimmer, Magnet-eisen und andere Mineralreste darin zerstreut. Da der Quarz das härteste und unzersehbare unter den gewöhnlichen Gesteinen ist, so war auch er am geeignetsten, sich durch alle Revolutionen hindurch zu erhalten, und wenn er

auch als der feinste Staub in der Braunkohlenformation und als Flugsand an den Meeresküsten angekommen ist, so bleibt er doch immer Quarz, der vielleicht zum größten Theil schon zur Urgebirgszeit krystallisirte. Wenn

Sandsteine, die besonders rein in der Quadersandsteinformation und im Braunkohlengebirge auftreten, nicht Kieselrde selbst als Bindemittel haben, so sind die Körner durch Kalk oder Thon aneinander geheftet. Der Sandstein wird dadurch kalkig, thonig, mergelig. Die

Kalksteine wurden schon oben pag. 412 weitläufiger erwähnt, sie nehmen an der Bildung des Sedimentärgebirges einen wesentlichen Antheil, sind dann aber mit den Thonen und Sandsteinen auf das mannigfachste gemengt. Endlich kommen die

Thonschichten, welche aus Zersetzung der Silicate hervorgegangen als mechanischer Niederschlag von Schlamm und Schlick hauptsächlich die Schichtung und Schieferung repräsentiren, und gleichsam die Grundmasse des ganzen Flözgebirges bilden. Das Wichtigste davon haben wir oben pag. 375 abgehandelt, weil die Thone von jeher als eine besondere Sippschaft der Minerale angesehen wurden, und einige darunter treten allerdings so selbstständig auf, daß man sie wenigstens als Vermittler zwischen Felsen und Mineralen ansehen darf. Die Naturalien schließen sich nach keiner Seite hin völlig ab, und machen dem Systematiker um so größere Sorge, je mehr er sich in die Sache vertieft.

Krystallographische Uebersicht.

Da die Form für den Mineralogen das wesentlichste Kennzeichen bildet, so ist es nicht unpractisch, die Minerale auch nach ihrem Krystallsystem zu classificiren.

I. Reguläres System.

- 1) Granat pg. 274. Das Granatoeder herrscht vor. Uwarowit pg. 277.
- 2) Diamant pg. 292, octaedr. Blätterbruch, gerundete 48flächner herrschen.
- 3) Spinell pg. 307, Octaeder mit häufiger Zwillingbildung, schließt sich daher eng an Magnet Eisen pg. 608 an.
- 4) Nalcim pg. 340, das Leucitoeder herrscht, aber Würfel fehlt nicht.
- 5) Faujasit pg. 345 bildet zierliche Octaeder.
- 6) Leucit pg. 354, wenn krystallisirt nur im Leucitoeder bekannt.
- 7) Lasurstein pg. 355 nebst Sodalith pg. 357 mit sechsfläch blättrigem Bruch im Granatoeder. Lehnt sich dadurch an Blende pg. 587.
- 8) Helvin pg. 372, ausgezeichnet tetraedrisch.
- 9) Wismuthblende pg. 373, Pyramidentetraeder mit Zwillingen.
- 10) Flußspath pg. 459, der Würfel herrscht zwar, aber es zeigt sich daran das ausgezeichnetste blättrige Octaeder, was wir kennen. Pyrocerit pg. 462.
- 11) Würfelerg pg. 483, der blättrige Würfel herrscht.
- 12) Boracit pg. 502, Würfel und Granatoeder mit Anfängen tetraedrischer Hemiedrie. Rhodizit pg. 503.
- 13) Steinsalz pg. 510, Würfel mit deutlich blättrigem Bruch herrscht. Salzmiaß pg. 515; Hornerg und Jodsilber pg. 506; Embolit pg. 507.
- 14) Alaun pg. 532, unter den künstlichen Salzen wohl die wichtigsten Octaeder. Octaedrischer Borax pg. 504.
- 15) Gold pg. 556 (Electrum) nebst Silber und Kupfer, sich durch dendritische Zwillinge pg. 572 auszeichnend. Platin, Iridium und Palladium sollen ebenfalls regulär sein. Eisen pg. 580.
- 16) Amalgam pg. 571, ausgezeichnete Granatoeder mit vielen Flächen, daher auch Quecksilber regulär. Arquerit pg. 571. Zweifelhafter Blei und Zinn pg. 594.
- 17) Magnet Eisen pg. 608 und dessen Verwandte Frankinit, Chrom Eisen u. krystallisiren Spinellartig. Magnosferit, Periklas pg. 613.
- 18) Pyrochloer pg. 650, ausgezeichnete Octaeder. Pyrrhit pg. 651. Zweifelhast ist Uranpecherz pg. 651.

- 19) Rothkupfererz pg. 652 mit blättrigem Otktaeder. Granatoeberflächen.
- 20) Weißarsenit pg. 658 und Senarmontit pg. 657. ausgezeichnete Otktaeder.
- 21) Schwefelkies pg. 662, Typus für Pyritoeber, woran sich Glanzkobalt pg. 676, Hauerit pg. 673 (Manganglanz), Nickelglanz pg. 680 und Nickelantimonglanz pg. 680 anschließen. Vergleiche auch Salpetersaures Blei pg. 519 und Chlorsaures Natron pg. 551.
- 22) Speiskobalt pg. 674 nebst Tesseralkies pg. 676 vorherrschend würflich. Kobaltkies pg. 677 otktaedrisch. Arsenitnickel pg. 679 selten krysal-
lisirt.
- 23) Bleiglanz pg. 683, würfelig blättrig am ausgezeichnetsten unter allen Mineralen. Otktaeder und Würfel herrschen. Cuproplumbit pg. 686. Selenblei pg. 686, Selenqued Silberblei pg. 687 u. ebenfalls würfelig blättrig. Tellurblei pg. 601.
- 24) Blende pg. 687. Sechsfach blättriger Bruch im Granatoeder, die große Deutlichkeit einzig in ihrer Art. Granatoeder, Otktaeder mit Neigung zum Tetraedrischen. Meist Zwillinge.
- 25) Glaserz pg. 704, Otktaeder und Granatoeder rauchfölig. Selen Silber pg. 706 dreifach blättrig. Tellur Silber? pg. 601. Kupferglas pg. 717, Selenkupfer? pg. 719, Eufairit? pg. 719.
- 26) Buntkupfererz pg. 715, bauchige Würfel. Cuban pg. 715.
- 27) Fahlerz pg. 720, das ausgezeichnetste Tetraedrische Beispiel. Dufrenoyit pg. 696, Zinnkies pg. 728. Berzelin pg. 343, Glotalith pg. 348, Tritomit pg. 368, Voltait pg. 534, Perowskit pg. 642, Eisennickelkies pg. 670, Nickelwismuthglanz pg. 681, Kalium, Silicium pg. 606.

II. Viergliedriges System.

Findet sich nicht besonders häufig. Gewöhnlich gibt man den Endkantenwinkel eines Hauptotktaeders an.

- 1) Vesuvian pg. 277, $129^{\circ} 21'$. Zweite quadratische Säule etwas blättrig. Niemals Zwillinge. Gehört zu den ausgezeichnetsten.
- 2) Zirkon pg. 310, $123^{\circ} 19'$, der viergliedrige Edelstein bildet das zweite wichtigste Beispiel des Systems. Derstedtit pg. 311, Thorit pg. 369.
- 3) Ichthyophthalm pg. 343, 121° , sehr blättrige Geradenfläche, der viergliedrige Zeolith. Edingtonit pg. 438 soll tetraedrisch sein.
- 4) Skapolith pg. 350, $136^{\circ} 7'$, man sieht ihn meist nur in etwas blättrigen Säulen ohne Ende. Humboldtith, Sarkolith, Nuttalth, Wixzonit, Dipyrr sind selten ausgezeichnet, und Gehlenit pg. 353 bildet bloß würfelfartige Formen.
- 5) Chiolith pg. 463, $107^{\circ} 32'$; darnach könnte auch Kryolith 4gliedrig sein.
- 6) Kupferuranglimmer pg. 494, $95^{\circ} 46'$, ausgezeichnet blättrige Tafeln.
- 7) Gelbbleierz pg. 498, $99^{\circ} 40'$, meist Tafeln. Isomorph mit Scheelbleierz $99^{\circ} 43'$ und Lungstein $100^{\circ} 40'$, welche sich durch eine Hemiebie ihrer Vierkantner auszeichnen.
- 8) Hornqued Silber pg. 508, $98^{\circ} 8'$, künstliche Krystalle in deutlichen Säulen.
- 9) Hornblei pg. 508, $67^{\circ} 21'$, Matlockit pg. 509.
- 10) Zinn pg. 594, $140^{\circ} 25'$, künstliche Krystalle, deutliche Otktaeder. Einzig unter den gebiegenen Metallen. Isomorph mit Bor pg. 606.

- 11) Hartmangan pg. 630, $109^{\circ} 53'$, kleine Oktaeder den regulären ähnlich.
- 12) Scharfmangan pg. 631, $105^{\circ} 25'$, blättriger Querbruch, ausgezeichnete Fünflinge.
- 13) Zinnstein pg. 633, $121^{\circ} 35'$, fast stets Zwilling. Isomorph mit Rutil pg. 637, $123^{\circ} 8'$, dessen erste quadratische Säule die blättrigste des ganzen Systems bildet. Titanorhd trimorph.
- 14) Anatas pg. 640, $97^{\circ} 56'$, Oktaeder herrscht vor.
- 15) Fergusonit pg. 650, hemiedrisch, wie Scheelbleierz und Lungstein. Tyrit pg. 650.
- 16) Nidelspeise pg. 681, viergliedrige Tafeln, Kunstproduct.
- 17) Blättererz pg. 702, ausgezeichnet blättrige Tafeln.
Die geschwefelten Metalle haben kein sonderlich deutliches viergliedriges System aufzuweisen.
- 18) Kupferkies pg. 712, $109^{\circ} 53'$, tetraedrisch, streift aber an das reguläre System übermäßig nahe heran.
- 19) Honigstein pg. 764, $118^{\circ} 14'$, ausgezeichnete Oktaeder; Oralit? pg. 765. Phosphorsaure Utererde pg. 484, Romeit pg. 501, Azorit pg. 650, Melinophan pg. 374.

III. Dreieinaxiges System.

Zerfällt in eine dreigliedrige (rhomboedrische) und sechsgliedrige (diheraedrische) Abtheilung, die freilich sich beide nicht immer scharf von einander scheiden lassen.

a) **rhomboedrisch** in ausgezeichnetem Grade sind:

- 1) Turmalin pg. 323, $133^{\circ} 26'$, mit einer merkwürdigen Hemiedrie. Es ist der rhomboedrische Edelstein.
- 2) Chabasit pg. 338, $94^{\circ} 46'$, große Neigung zu Zwillingen, der rhomboedrische Zeolith. Vergleiche auch Lebyn, Omelinit, Herschelit.
- 3) Dioptas pg. 371, $95^{\circ} 33'$, einfache dreigliedrige Dodekaeder.
- 4) Kalkspath pg. 395, $105^{\circ} 5'$, das ausgezeichnetste aller rhomboedrischen Systeme, mit sicherer dreigliedriger Entwicklung. Isomorph mit Bitterspath, Spath Eisen, Manganspath, Galmei zc.
- 5) Beudantit pg. 483, Rhomboeder $91^{\circ} 18'$, Eranbergit.
- 6) Kupferglimmer pg. 492, $69^{\circ} 12'$, sehr blättrige Geradendfläche.
- 7) Natronsalpeter pg. 519, $106^{\circ} 33'$, ausgezeichnete künstliche Rhomboeder.
- 8) Rhomboedrische Metalle pg. 595: Wismuth, Antimon, Arsenit, Tellur. Vergleiche Tellurwismuth pg. 600, Palladium pg. 578, Osmiridium pg. 579.
- 9) Zinnober pg. 691, $71^{\circ} 47'$, blättrige Säule, Rhomboeder herrschen.
- 10) Rothgiltigerz pg. 707, $107^{\circ} 36'$ — $108^{\circ} 30'$, die Enden der Säulen häufig rundantig. Xanthokon pg. 710.

b) **Diheraedrisch** in ausgezeichnetem Grade sind:

- 1) Quarz pg. 188, $133^{\circ} 44'$. Die eigenthümliche Hemiedrie ist stets durch das vollflächige Diheraeder gestützt, mag dasselbe auch selbst wieder ein Dirhomoeder sein.
- 2) Beryll pg. 316, $151^{\circ} 5'$, Säulen herrschen, doch zeigen die Enden öfter ausgezeichnete Vollflächigkeit.

- 3) Nephelin pg. 353, $139^{\circ} 19'$, meist nur in Säulen bekannt.
- 4) Apatit pg. 465, $142^{\circ} 20'$, bildet das entwickeltste und unzweideutigste sechsgliedrige System, trotz der Anfänge von Hemiedrie. Isomorph mit Buntbleierz pg. 470, vielleicht auch Vanadinbleierz pg. 497.
- 5) Magnetkies pg. 609, Krystalle höchst selten. Geradenfläche blättrig.

c) Eine Mitte zwischen Rhomboeder und Dihæraeder bilden:

- 1) Korund pg. 300 mit blättrigem Rhomboeder, aber sehr ausgebildetem Dihæraeder. Damit isomorph.
- 2) Eisenglanz pg. 613, woran das Rhomboeder zwar herrscht, aber das Dihæraeder gewöhnlich nicht fehlt, wie beim Titaneisen pg. 619. Vergleiche auch das künstliche Chromoxyd pg. 613.
- 3) Phenakit pg. 321. Rhomboeder und Dihæraeder mischen sich in ausgezeichnete Weise.

d) Zweifelhafte oder unwichtig sind:

- 1) einariger Glimmer pg. 242: Chlorit pg. 242, Talk pg. 244 scheinen entschieden rhomboedrisch. Margarit pg. 249 und was daran hängt: Cronstedtit, Siderochisolith, Pyroxmalith u. Brucit pg. 249, Hydrargillit pg. 304.
 - 2) Cancrinit pg. 357, blättrige sechseckige Säule.
 - 3) Parasit pg. 368 dihexaedrisch.
 - 4) Willemit pg. 370 und Troosit sind rhomboedrisch.
 - 5) Eudialyt pg. 373, rhomboedrisch.
 - 6) Kataplexit pg. 374, dihexaedrisch.
 - 7) Fluocerit pg. 462, sechseckige Tafeln.
 - 8) Coquimbite pg. 530, Säule mit Dihæraeder.
 - 9) Alaunstein pg. 535, kleine Rhomboeder.
 - 10) Eis pg. 536 nebst Hagel und Schnee.
 - 11) Graphit pg. 605, in talkartigen Blättern.
 - 12) Rothzinkerz pg. 655, blättrige Säule mit korundartigem Dihæraeder.
 - 13) Plattnerit pg. 660, sechseckige Tafeln.
 - 14) Kupfernickel pg. 678, dihexaedrisch, Antimonnickel pg. 679, Haarfies pg. 680.
 - 15) Molybdän pg. 681, krummblättrige Tafeln.
 - 16) Greenockit pg. 691, blättrige Säule. Wurzit pg. 691.
 - 17) Polybasit pg. 707, dreigliedrige Tafeln, wie Eisenglanz.
 - 18) Kupferindig pg. 718, sechseckige Tafeln.
- Schwefelsaures Kali pg. 523, Cerit pg. 367.

IV. Zweigliedriges System.

Zur schnellen wenn auch unvollkommenen Einsicht genügt es, bloß den Säulenwinkel anzugeben. Ein wesentliches Merkmal liefern die Zwillinge. Das System kommt am häufigsten vor:

- 1) Olivin pg. 263, $130^{\circ} 2'$, meist gestreifte Oblongtafeln. Hyalofidrit, Monticellit, Eisenfrischschade, Humit pg. 266. Asterkrystalle von Serpentin pg. 247.
- 2) Dichroit pg. 269, 120° , daher von dihexaedrischem Aussehen. Pinit pg. 270, Libenerit, Gieserit u.

- 3) Staurolith pg. 286, $129^{\circ} 20'$, merkwürdige Durchkreuzungszwillinge herrschen, daher vielleicht hexaedrisch.
- 4) Andalusit pg. 290, $90^{\circ} 50'$, die einfachen Säulen erinnern an das viergliedrige System. Chiasolith pg. 291, Couzezanit.
- 5) Chrysoberyll pg. 305, $129^{\circ} 38'$, auffallend Olivin ähnlich, Drillinge.
- 6) Topas pg. 312, $124^{\circ} 20'$, der zweigliedrige Edelstein, blättriger Querbruch, großer Flächenreichtum. Gehört daher zu den ausgezeichnetsten Beispielen. Nie Zwillinge.
- 7) Faserzeolith pg. 332, 91° (Natrolith, Mesolith, Comptonit), wohl von 2 + 1gliedrigem Scolecit pg. 333 zu unterscheiden. Vergleiche auch Okenit pg. 345.
- 8) Strahlzeolith pg. 334, $94^{\circ} 15'$ zweigliedrige Dodecaeder, mit einem ausgezeichneten Blätterbruch, vorzugsweis der zweigliedrige Zeolith.
- 9) Kreuzstein pg. 341, Zwillinge bis Sechszlinge und durch letztere mit dem regulären System in Verwandtschaft tretend.
- 10) Prehnit pg. 346, 100° , meist tafelförmig mit Hahnenkamm bildung.
- 11) Zibait pg. 363, $111^{\circ} 12'$, langgestreifte Säulen mit oktaedrischen Enden.
- 12) Kieselzinkerz pg. 369, $103^{\circ} 56'$, hemiedrisch. Hopeit pg. 370.
- 13) Wöhlerit pg. 374, $90^{\circ} 18'$, vielblättrige gelbe Oblongtafeln.
- 14) Arragonit pg. 426, $116^{\circ} 16'$, Zwillinge bis Vierlinge herrschen, ein ausgezeichnet typisches System, woran sich schließen: Larnowikit pg. 432, Manganocalcit, Witherit, Alstonit pg. 434, Strontianit pg. 435, Weißbleierz pg. 436, Zinkbleispath pg. 438.
- 15) Anhydrit pg. 446, würfelige Stücke mit dreierlei Blätterbrüchen.
- 16) Schwefspath pg. 448, $101^{\circ} 42'$, tafelförmige Krystalle mit 2 + 1blättrigem Bruch, niemals Zwillinge. Ausgezeichneter Typus, woran sich Celestin pg. 452, Vitriolblei pg. 454 anschließen.
Vergleiche auch Breithaupt's zweigliedrigen Zinkosid Zn S.
- 17) Amblygonit pg. 472, $106^{\circ} 10'$, blättrige Säule; Herberit pg. 473.
- 18) Wavellit pg. 475, $122^{\circ} 15'$, nur excentrisch fasrig, Childrenit pg. 476.
- 19) Skorodit pg. 482, $99^{\circ} 30'$, meist verzogen. Haibingerit pg. 482.
- 20) Struvit pg. 485, mit auffallender Hemiedrie.
- 21) Olivenerz pg. 491, Oblongoktaeder. Zinseuerz pg. 492, Eudroit pg. 493, Brochantit pg. 493, Salzkupfererz pg. 509, Halblasurblei pg. 458, Mendipit pg. 509.
- 22) Salpeter pg. 517, 119° , Aragonitartige Zwillinge. Thermonitrit pg. 522.
- 23) Schwefelsaures Kali pg. 523, $120^{\circ} 24'$, mit dihexaedrischem Typus. Schwef. Natron pg. 524, chromsaures Kali pg. 553 u.
- 24) Bittersalz pg. 525, $90^{\circ} 38'$, tetraedrische Hemiedrie, wie Lauriscit pg. 526, Zinkvitriol. Nickelvitriol nach Mitscherlich trimorph: 4gl., 2gl. und 2 + 1gliedrig! Polyhalit pg. 527.
- 25) Unterschwefelsaures Natron pg. 549, $90^{\circ} 38'$. Salpetersaures Uranoryd pg. 550, Weinsäurehaltiger Kalk pg. 546.
- 26) Antimon Silber pg. 597, gestreifte Säulen, öfter Drillinge.
- 27) Schwefel pg. 601, $101^{\circ} 56'$, liefert die ausgezeichnetsten Rhombenoktaeder; Jod pg. 606.
- 28) Braunnangan pg. 627, $99^{\circ} 40'$, gestreifte Säulen, isomorph mit Brauneisen pg. 621 und Diaspor pg. 304. Vergleiche auch Graunangan pg. 629.

- 29) Brookit pg. 641, $99^{\circ} 50'$, gestreifte Tafeln. Arkanit pg. 642. Zweigliedriges Zinnorpd pg. 634.
- 30) Columbit pg. 647, $100^{\circ} 40'$, gestreifte Oblongsäulen. Vielleicht isomorph mit Wolfram pg. 644, Samarskit pg. 648. Vergleiche Polykraz, Eurenit, Mengit, Aeschynit pg. 643, Polymignit pg. 642. Tantalit pg. 649.
- 31) Weißspießglanz pg. 656, blättrige Tafeln, isomorph mit 2gliedriger arseniger Säure pg. 658.
- 32) Binarakt pg. 664, $106^{\circ} 2'$, Zwillinge herrschen. Isomorph mit Arseniktess pg. 670 (Kobaltarseniktess, Glaukobot). Arsenikaltess pg. 672, $122^{\circ} 26'$, Weisnidektess pg. 673.
- 33) Grauspießglanz pg. 694, $90^{\circ} 45'$, mit einem Hauptblätterbruch, und isomorph mit
Wismuthglanz pg. 699 und Raufgelb pg. 700.
Dimorphin pg. 702, Zinkenit pg. 697, Querspießglanz pg. 697.
- 34) Schrifterz pg. 703, $110^{\circ} 48'$, meist fehlen die Enden.
- 35) Sprödglasserz pg. 706, $115^{\circ} 39'$, häufig Zwillinge.
- 36) Weißgiltigerz pg. 711, Sternbergit pg. 711.
- 37) Kupferglas pg. 716, $119^{\circ} 15'$, Zwillinge, isomorph mit Akantit pg. 705 und Silberkupferglanz pg. 718. Scheerer vermutet einen Trimorphismus, da das Kupferglas von Bygland in Tellemarken einen deutlichen Blätterbruch hat.
- 38) Bournonit pg. 724, $93^{\circ} 40'$, Zwillinge machen die Krystalle schwierig; Schilfglasserz pg. 725. Kupferantimonglanz pg. 726, Enargit pg. 726.
- Fluellit pg. 463, Kalkuranglimmer pg. 494, Descloizit 497, Weinstein pg. 547, Cotunnit 509, Bleiglätte pg. 659.

V. Zweiundeingliedriges System.

Reich an ausgezeichneten Beispielen, und besonders wichtig für das Verständniß der Zonenlehre.

- 1) Feldspath pg. 217. Die blättrigen Brüche der Säule ungleich, was dem 2 + 1gliedrigen Systeme widerspricht. Zwillinge und Vierlinge.
- 2) Glimmer pg. 237, selbst beim Kali-, Lithion- und Magnesiasglimmer noch nicht ausgemacht. Knochlor pg. 238.
- 3) Hornblende pg. 252, $124^{\circ} 30'$, sehr blättrige Säule; Tremolith, Anthophyllit, Arfvedsonit.
- 4) Augit pg. 255, $87^{\circ} 6'$. Almit, Rhodonit schließen sich vollkommen an. Weiter entfernt sich Spodumen pg. 237, und noch weiter Diallag pg. 260.
Wollastonit pg. 262, Chondroit pg. 268.
- 5) Epidot pg. 280, gewendet 2 + 1gliedrig. Gadolinit pg. 364, Orthit pg. 365 (Alanit, Buxlandit) schließen sich an.
- 6) Euflav pg. 319, der 2 + 1gliedrige Edelstein, mit einem ausgezeichneten Blätterbruch.
- 7) Blätterzeolith pg. 335, der 2 + 1gliedrige Zeolith. Auch Epistilbit pg. 336 und Beaumontit pg. 337 zu vergleichen. Unter den Faserzeolithen ist Scolecit pg. 333 wohl entschieden 2 + 1gliedrig.
Brewsterit pg. 337, Lomonit pg. 345, Haydenit pg. 339.

- 8) Datolith pg. 348, ein ausgezeichnete Typus, Haytorit pg. 349.
- 9) Titanit pg. 358, der Alpische stets in Zwillingen.
- 10) Gyps pg. 439, 111° 26', drei ausgezeichnete Blätterbrüche. Schwalbenschwanzzwillinge. Barytocalcit pg. 434, Monazit pg. 484. TERNÄRBLEIERZ pg. 457 von rhomboedrischem Typus.
- 11) Vivianit pg. 477, 111° 6', isomorph mit Kobaltblüthe pg. 479 und Nickelblüthe pg. 481. Alle drei Gypsartig. Ähnlich der Pharmakolith pg. 481. Triphyllin pg. 478. Wagnerit pg. 469, Fureaulit pg. 478, Blauspath pg. 474.
- 12) Kupferlasur pg. 486, 99° 32', kurzsäulige verwickelte Krystalle. Malachit pg. 488. Phosphortupfererz pg. 490, Strahlerz pg. 493.
- 13) Rothbleierz pg. 495, 93° 30', leicht erkennbare Krystalle. Bauquelinit pg. 496.
- 14) Borax pg. 503, 87°, auffallend augitartig.
- 15) Soda pg. 520, Trona pg. 521, Gaylussit pg. 522, rothes Blutlaugensalz pg. 520, Glauberit pg. 527.
- 16) Eisenvitriol pg. 528, 82° 21', von rhomboedrischem Typus. Bortryogen pg. 530, Uranvitriol pg. 531.
- 17) Zucker pg. 543 und Weinsäure pg. 544 mit ihrer eigenthümlichen Hemiedrie; Grünspan pg. 547, Schwefelsaures Nickelorydalkali pg. 548, Asparagin pg. 549, Drallsaures Chromorydalkali pg. 550, Drallsäure pg. 554.
- 18) Schwefel pg. 602 aus dem Fluß erstarrt, Feldspathartige Zwillinge. Selen pg. 605.
- 19) Wolfram von Zinnwalde pg. 644, mit Verwandtschaft zum Viergliedrigen.
- 20) Rothspießglanz pg. 695, Blagionit pg. 697.
- 21) Kauschroth pg. 700, 74° 26', Krystalle zerfallen am Licht.
- 22) Miargyrit pg. 710, Feuerblende? pg. 710.
- 23) Drallsaurer Kalk pg. 766, 100° 36', Zwillinge. Hartit pg. 755.

VI. Eingliedriges System.

Bei weitem das ärmste, vielleicht in Folge seiner großen Unsymmetrie.

- 1) Natronfeldspath pg. 228 und Kalifeldspath pg. 234 schließen sich durch ihren Typus noch an Kalifeldspath an. Petalit pg. 236 soll nach G. Rose eingliedrig sein, vielleicht auch Zygabit pg. 237.
- 2) Baxingtonit pg. 255, Pajabergit, Fowlerit, Bustamit.
- 3) Arinit pg. 328 und Kupfervitriol pg. 531 bilden einen 2ten Typus.
- 4) Cyanit pg. 288 und doppelt chromsaures Kali pg. 553 sind durch einen ihrer Zwillinge eng verwandt. Sillimanit pg. 289.
- 5) Saffolin pg. 505. Danburit pg. 263. Bestan pg. 203, eingliedriger Quarz?

Literatur.

Abhandlungen der Königl. Akademie der Wissenschaften zu Berlin. Physikalische Abhandlungen. 1700 Leibnitz erster Präsident der Akademie. Anfangs erschienen die Abhandlungen als *Miscellanea Berolinensia*. Seit 1745 französisch: *Histoire de l'Académie royale des Sciences et belles lettres de Berlin*. Seit 1814 unentbehrlich durch die klassischen Abhandlungen von Prof. Weiß. Davon die wichtigsten:

Jahrg. 1814 pg. 289 Uebersichtliche Darstellung der verschiedenen natürlichen Abtheilungen der Krystallsysteme. 1816 pg. 231 Krystallographische Fundamentalbestimmung des Feldspathes; pg. 286 Bezeichnung der verschiedenen Flächen eines Krystallsystems. 1818 pg. 242 Theorie des Epidotsystems; pg. 270 über eine, ausführliche Bezeichnung der Krystallflächen. 1821 pg. 145 Feldspath; pg. 195 Krystallsystem des Gypses. 1823 pg. 261 Theorie der 6+6 und 3+3 Kantner. Fortsetzung im Jahrg. 1840 pg. 137. 1826 pg. 93 Lehrsatß über die Theilung des Dreiecks. 1829 pg. 63 Spathorit. 1831 pg. 313 Staurolithsystem. 1834 pg. 623 Projection des Gypses. 1835 u. 1838 pg. 253 Feldspath in verschiedenen Stellungen projectirt. 1837 pg. 139 Theorie des Heraklitaëders. 1841 pg. 249 Krystallsystem des Eulases. 1843 pg. 171 über das Maß der körperlichen Winkel.

Albertus magnus de mineralibus et rebus metallicis. 1569.

Agricola, de natura fossilium. Ich habe die Baseler Ausgabe von 1657 citirt, worin sämtliche Werke des berühmten Verfassers, der 1494—1555 lebte, abgedruckt sind, nämlich:

- 1) de re metallica libri XII.
- 2) de animantibus subterraneis liber I.
- 3) de ortu et causis subterraneorum libri V.
- 4) de natura eorum quae effluunt ex terra libri IV.
- 5) de natura fossilium libri X.
- 6) de veteribus et novis metallis libri II.
- 7) Bermannus sive de re metallica dialogus liber I.
- 8) Rerum metallicarum interpretatio, wegen der deutschen Namen interessant. Agricola's mineralogische Schriften, übersetzt und mit Anmerkungen begleitet von E. Lehmann. Freiberg 1806—12. 4 Theile.

Albinus, Meißnische Bergchronica: darinnen fürnämlich von den Bergwerten des Landes zu Meissen gehandelt wird. Dresden 1590.

- Annalen der Chemie und Pharmacie** von Wöhler und Liebig. Seit 1832. Jährlich 4 Bände in monatlichen Heften.
- Annales de Chimie.** Paris 1789. Sous le privilège de l'Académie. Bis 1815 erschienen 96 Bände. Seit 1816 nehmen sie den Titel an:
- Annales de Chimie et de Physique** von Gay-Lussac und Arago. Bis 1840 erschienen 75 Bände. Seit 1841 folgt die Troisième Série bis zum 65ten Bande. Jährlich 3 Bände in monatlichen Heften.
- Annales des Mines.** Paris 1816. 1827 erschien die 2te sér.; 1832 die 3te sér.; 1842 die 4te sér.; 1852 die 5te sér.
- Bauhinus, Historiae fontis Bollensis.** Montisbeligardi 1598. Deutsche Ausgabe 1602. Eine dritte lateinische 1612.
- Bergelius, Jahresbericht über die Fortschritte der Chemie und Mineralogie.** 1844 erschien der 23ste Jahrgang. Fortsetzung siehe bei Liebig.
- Bischof, Lehrbuch der chemischen und physikalischen Geologie** 1847—1855.
- Blum, Lehrbuch der Oryktognosie.** Mit Holzschnitten. 3te Auflage. Stuttgart 1854. Taschenbuch der Edelsteinkunde. Stuttgart 1832. Die Pseudomorphosen des Mineralreichs. Stuttgart 1843. Zweiter Nachtrag 1852. Lithurgie oder Mineralien und Felsarten nach ihrer Anwendung in ökonomischer, artistischer und technischer Hinsicht. Stuttgart 1840.
- Blumenbach, Handbuch der Naturgeschichte.** 12te Aufl. Göttingen 1830.
- Breithaupt, Vollständige Charakteristik des Mineralsystems** 3te Auflage. Leipzig 1832. Vollständiges Handbuch der Mineralogie. 1. Band. Allgemeiner Theil 1836. 3ter Band 1847. Die Paragenesis der Mineralien. Freiberg 1849.
- Brewster and Jameson, The Edinburgh Philosophical Journal** seit 1819. Beim 11ten Bande 1824 trennten sich die Schriftsteller: Brewster schreibt The Edinburgh Journal of Science und Jameson setzte die Schrift anfangs unter gleichem Titel, seit 1826 aber als Edinburgh new Philosophical Journal fort.
- Brüdmann, Abhandlung von Edelsteinen.** 2te Aufl. Braunschweig 1773. Zweite Fortsetzung 1783.
- Collini, Journal d'un voyage.** Mannheim 1776. Achatzschleiferei bei Oberstein.
- Comptes rendus hebdomadaires des séances de l'Académie des Sciences.** Jährlich 2 Bände. Größere Abhandlungen werden in den Mémoires de l'Académie royale des sciences de l'Institut de France bekannt gemacht. Sie sind die Fortsetzung der Histoire de l'Académie royale des sciences 1666. Anfangs erschienen sie unregelmäßig, seit 1699 aber alljährlich 1 Band.
- Crell, Chemisches Journal** 1778. Chemische Annalen. Helmstädt 1784. Schließt 1804.
- Dana, a System of Mineralogy,** 4. edit. New-York 1854. Macht uns besonders mit den Amerikanischen Vorkommen vertraut. Das 9te Supplement in Silliman's Amer. Journ. 1861. Band 31, pg. 351.
- Denkschriften der Kaiserlichen Akademie der Wissenschaften.** Wien 1850. Nebst Sitzungsberichten der Kais. Acad. der Wissenschaften. Wien 1848.
- Descloizeaux, Manuel de Minéralogie.** Paris 1862.
- Dufrénoy, Traité de Minéralogie.** 3 Bände nebst einem Bande Kupfertafeln. Paris 1844—47; 2 édit. 1858.
- Emmerling, Lehrbuch der Mineralogie.** Gießen 1793—97. Ein Schüler

- Werner's, und Lehrer der Bergwerkswissenschaften auf der Universität Gießen. Für seine Zeit sehr vollständig. Der 3te Theil handelt von den Gebirgsarten.
- Erdmann, Journal für Technische und Oekonomische Chemie. Leipzig 1823. Jährlich 3 Bände. Seit 1834 mit Schweigger's Journal für Chemie und Physik Nürnberg 1811—1833 verbunden unter dem Titel: Journal für praktische Chemie.
- Gilbert, Annalen der Physik. Halle 1799—1824. Band 1—76, worüber ein vollständiges Sach- und Namenregister von Heinrich Müller existirt. Sie bilden die Fortsetzung von Gren's Annalen und sind selbst wieder von Poggendorff fortgesetzt.
- Girard, Handbuch der Mineralogie 1861.
- Glocker, Handbuch der Mineralogie. Nürnberg 1831. Grundriß der Mineralogie mit Einschluß der Geognosie und Petrefactenkunde. Nürnberg 1839.
- Grailich, Kristallographisch-optische Untersuchungen. Wien. Preisschrift 1858.
- Greg and Lettsom, Manual of the Mineralogy of Great Britain and Ireland. London 1858.
- Gurlt, Uebersicht der pyrogeneten künstl. Mineralien. Freiberg 1857.
- Haidinger, Anfangsgründe der Mineralogie. Leipzig 1829. Handbuch der bestimmenden Mineralogie. Wien 1845.
- Hartmann, Handbuch der Mineralogie zum Gebrauche für Jedermann. 2 Bde. Weimar 1843. 1850 erschien ein Nachtrag. Nach den Vorlesungen von Prof. Weiß geordnet.
- Hausmann, Entwurf eines Systems der unorganisirten Naturkörper. Cassel 1809. Handbuch der Mineralogie. Göttingen 1813. Von der 2ten gänzlich umgearbeiteten Auflage erschien der 2te Theil mit 1660 Seiten 1847, und ist wegen der vollständigen Literatur geschrieben mit der ausgezeichnetsten Sachkenntniß für den Mineralogen von Fach eine unentbehrliche Hilfsquelle.
- Hill, Traité des pierres de Théophrast, traduit du Grec. Paris 1754.
- Hoffmann, Handbuch der Mineralogie, 4 Bände 1811—1817. Doch starb der Verfasser während der Herausgabe des 2ten Bandes den 15ten März 1813; es wurde dann von Breithaupt fortgesetzt. Am Ende ist Werner's letztes Mineral-System angefügt, aus dessen Nachlasse auf Ober-Berg-amtlische Anordnung herausgegeben. Werner's Art der Darstellung kann man daraus am vollständigsten erkennen.
- Jahrbuch der Kaiserlich-Königlichen Geologischen Reichsanstalt. Wien 1850. Jahrbuch schlechthin bedeutet Leonhard's Neues Jahrbuch.
- Karsten, Mineralogische Tabellen mit Rücksicht auf die neuesten Entdeckungen. Berlin 1800. 2te Aufl. 1808.
- Kayser, Beschreibung der Mineralien-Sammlung des H. Medicinalrath Bergemann in Berlin. Berlin 1834.
- Kenngott, Uebersicht der Resultate mineralogischer Forschungen in den Jahren 1844—49. Wien 1852; in den Jahren 1850 u. 51. Wien 1853; im Jahre 1852. Wien 1854. Bildet die Beilage zu dem Jahrbuch der K. K. geologischen Reichsanstalt. Erscheinen jetzt als selbstständige Fortsetzungen.
- Klaproth, Beiträge zur chemischen Kenntniß der Mineralkörper. 6 Bändchen.

- Berlin 1795—1815. Nicht bloß classisch wegen der ersten gründlichen Analysen, sondern auch für die Geschichte der Mineralogie großes Interesse darbietend.
- Kluge, Handbuch der Edelsteinkunde. Leipzig 1860.
- Kobell, Grundzüge der Mineralogie zum Gebrauche für Vorlesungen. Nürnberg 1838. Tafeln zur Bestimmung der Mineralien, 7te Aufl. 1861. Skizzen aus dem Steinreich. Geschrieben für die gebildete Gesellschaft. München 1850. Die Mineralogie. Populäre Vorträge. Frankfurt 1862.
- Köhler, Bergmännisches Journal 1788—1815. Werner nahm daran thätigen Antheil. Jährlich 2 Bände.
- Koscharow, Materialien zur Mineralogie Rußlands. Petersburg. 1853 u. 1859. Für genaue Messungen wichtig.
- Kopp, Einleitung in die Krystallographie. 2te Aufl. 1862.
- Kurr, Grundzüge der ökonomisch-technischen Mineralogie. 3te Aufl. Leipz. 1851.
- Leonhard, Taschenbuch für die gesammte Mineralogie mit Hinsicht auf die neuesten Entdeckungen. Frankfurt a. M. 1807. Jährlich erschien 1 Band. Die ersten 10 Jahrgänge wurden 1817 in einer 2ten Auflage nochmals unverändert abgedruckt. Nach Vollendung des 18ten Bandes nahmen 5 Bände von 1825—29 den neuen Titel „Zeitschrift für Mineralogie“ an. Seit 1830 hat sich Bronn dabei betheiligt, und es hieß jetzt Jahrbuch für Mineralogie. Aber erst seit 1833 nahm es seine heutige vollendete Gestalt an, und erscheint jährlich in 6—7 zweimonatlichen Heften unter dem Titel: Neues Jahrbuch für Mineralogie, Geognosie, Geologie und Petrefactenkunde. Stuttgart 1833—1862. Drei Repertorien über die Jahrgänge 1830—39, 1840—49 und 1850—59 erleichtern den Gebrauch. Schlechthin als Jahrbuch citirt. Beide Verfasser sind jetzt todt, aber der Fortgang ist gesichert.
- Leonhard, Handbuch der Oryctognosie. Heidelberg 1826. Wichtig für Litteratur. Populäre Vorlesungen über Geologie. Stuttgart 1836—44.
- G. Leonhard, Handwörterbuch der Topographischen Mineralogie. Heidelberg 1843.
- Lévy, Description d'une Collection de Minéraux, formée par M. Henri Heuland. Londres 1837. 3 Vol.
- Liebig u. Kopp, Jahresbericht über die Fortschritte der Chemie, Physik, Mineralogie und Geologie. Gießen 1848—61. Ersetzt die von Berzelius.
- Miller, a treatise on Crystallography. Cambridge 1839. Die Mineralogy siehe bei Phillips.
- Mohs, Leichtfaßliche Anfangsgründe der Naturgeschichte des Mineralreichs. 2te Aufl. Wien 1836. Der 2te Theil die Physiographie erschien nach Mohs Tode. 1839, bearbeitet von Zippe. Siehe pg. 8.
- Monticelli e Covelli, Prodomo della Mineralogia Vesuviana. Napoli 1825.
- Raumann u. Cotta, Geognostische Beschreibung des Königreichs Sachsen und der angrenzenden Länderabtheilungen. Zweite unveränderte Ausgabe. 5 Hefte. 1845.
- Raumann, Anfangsgründe der Krystallographie. Dresden 1841. Grundriß der Krystallographie 1826. Siehe pg. 9.
- Pfaff, Grundriß der Mineralogie. Nördlingen 1860.
- Phillips, an elementary introduction to the knowledge of Mineralogy. Wegen den mit dem Reflexionsgoniometer ausgeführten Messungen wichtig.

- Ich habe die 3te Auflage von 1823 benützt. Die neueste von Brooke und Miller, London 1852 hat eine ganz andere Gestalt angenommen. Miller führte darin seine Bezeichnungsweise ein.
- Philosophical Transactions of the Royal Society of London. Der erste Band erschien 1665 u. 1666. Jährlich ein Band.
- Poggendorff, Annalen der Physik und Chemie, schließen sich an Gilbert an. Seit 1824 erschienen 115 Bände. Ueber die ersten 60 Bände von 1824 bis 1843 existirt ein vollständiges Namen- und Sachregister, über die andern im 75ten und -84ten wenigstens Namenregister. Außerdem sind noch 4 Ergänzungsbände vorhanden. In monatlichen Heften. Dieses so vortrefflich redigirte Journal bildet für den Mineralogen eine wahre Fundgrube.
- Reuß, Lehrbuch der Mineralogie. Leipzig 1801—1805, 3 Theile.
- G. Rose, Mineralogisch-geognostische Reise nach dem Ural, dem Altai und dem Kaspiischen Meere. 2 Bände. 1837 u. 42. Das Krystallo-chemische Mineralssystem 1852. Elemente der Krystallographie, nebst einer tabellarischen Uebersicht der Mineralien nach den Krystallformen, 2. Aufl. 1838.
- Schröder, Elemente der rechnenden Krystallographie. Klausthal 1851. Wendet die Projectionsmethode an.
- Scheerer, Allgem. Journal der Chemie. Leipzig 1798. Von Gehlen, Berlin 1803, unter dem Titel: Neues allgemeines Journal der Chemie bis 1810 fortgesetzt.
- Silliman, The American Journal of Science and Arts. New-York 1818. Der 49ste Band erschien 1845. Der 50ste bildet den General-Index. Mit 1846 erschien die 2 series, wovon 1861 der 32te, der ganzen Reihe 82te, Band vorliegt.
- Schubert, Abriß der Mineralogie. Erlangen 1853. Populär. Für biblische Steinnamen ausführlich.
- Steffens, Vollständiges Handbuch der Oryctognosie. Halle 1811—24. 4 Bändchen und 1 Supplementband. Für seine Zeit sehr vollständig. Setzt manche interessante Seite der Wissenschaft hervor.
- Das Uebrige siehe in der Geschichte der Mineralogie pg. 1—9.

Register.

A.

Abichit 493.
 Abraumfalze 514.
 Abrazit 343.
 Achat 205.
 Achatjaspis 207.
 Achirit 371.
 Achroit 326.
 Achtaragbit 276. 373.
 Achtundvierzigstüchner 67.
 Actinot 254.
 Adamas 292.
 Adlerstein 625.
 Adular 225. 236.
 Adularisiren 131.
 Aegyrin 260.
 äquatorial 144.
 Äquinolith 388.
 aerugo nobilis 489.
 aes 571.
 — rude 716.
 Aeschynit 643.
 Aetites 625.
 Aethall 409.
 Aethertryalle 179.
 Agalmatolith 245.
 Agricola 2.
 Agstein.
 — schwarzer 732.
 à jour 293.
 Anthiphon 280.
 Anthit 705.
 Apmi 260.
 Alabandine 674.
 Alabaster 445.
 Alau 532.
 — neutraler 532.
 Alauenerbe 745.
 Alauenschiefer 533.
 Alaustein 535.
 Albertus 2.
 Albin 845.

Albit 227.
 Alexandrit 307.
 Algodonit 719.
 Aliponit 686.
 Allanit 366.
 Almontit 597.
 Alschroit 276.
 Allogonit 473.
 Allophan 381.
 Almandin 275.
 Almandinspinell 308.
 Alkifour 685.
 Alstonit 434.
 Altait 601.
 Alum 532.
 Alumen 532.
 Alumian 536.
 Aluminit 534.
 Alumocalcit 381.
 Alun 532.
 Alunit 535.
 Amalgam 571.
 Amalgamation 570.
 Amazonenstein 226.
 Amber 756.
 Amblygonit 472.
 Amethyst 201.
 Amiant 272.
 Ammoniafalaun 533.
 Ammoniaque muriatée 515.
 Amöbit 681.
 Amphibol 251.
 Amphigen 354.
 Amphitane 664.
 Analcim 339.
 Analyse 162.
 Anamesit 782.
 Anatas 640.
 Andalusit 290.
 Andesin 233.
 Andesit 783.
 Androdamas 894.
 Anglarit 478.
 Anglesit 454.
 Anhydrit 445.
 Ankerit 422.
 Anlaufen 130.
 Anlegegoniometer 12.
 Annabergit 480.
 Anorthit 234. 236.
 anorthotyp 97.
 Anthophyllit 255.
 — blättriger 261.
 Anthosiderit 364.
 Anthracit 731.
 — saßriger 733.
 Anthraconit 411.
 Anthrax 301.
 Antigorit 249.
 Antimoine.
 — oxidé 656.
 — sulfuré 694.
 — sulfuré plumbocupri-
 fère 724.
 Antimon 596.
 Antimonblende 695.
 Antimonblüthe 656.
 Antimonfahlerz 722.
 Antimonerglanz 694.
 Antimonit 694.
 Antimonkupferglanz 725.
 Antimonnidel 679.
 Antimonnidelglanz 680.
 Antimonoryb 656.
 — octaëdrisch 657.
 Antimonrothgölben 709.
 Antimon Silber 597.
 Antimolith 334.
 Apatelit 530.
 Apatit 465.
 Apatoib 593.
 Aphanit 774. 779.
 Apkrit 395.
 Apprigit 323.
 Approbit 246.
 Aplom 274.

- Ἀποψῦλλίτ 343.
 Aquae hepaticae 541.
 Aquamarin 314. 318.
 Ἀράδωρ 497.
 Arcanit 523.
 Arcanum duplicatum 523.
 Arcole 787.
 Ἀρσενιονίτ 255.
 Argent 564.
 — antimoiné sulfuré 707.
 — muriaté 506.
 — natif 564.
 — noir 706.
 — sulfuré 704.
 Argentum 564.
 — nigrum 720.
 — rude 704.
 — rude nigrum 706.
 — rude rubrum 707.
 — vivum 569.
 Argentit 704.
 Argile
 — glaise 382.
 — smectique 383.
 Aristoteles 1.
 Ἀρσανίτ 642.
 Ἀρτίγιτ 351.
 Arquerit 571.
 Arragon 426.
 Arragonit 426.
 Arsen 598.
 Arsenantimon 597.
 Arsenblende 699.
 Arseniate of Copper
 — 1ste Species 492.
 — 2te Species 492.
 — 3te Species 491.
 — 4te Species 493.
 Arseniate of Iron 483.
 Arsenic sulfuré
 — jaune 609.
 — rouge 700.
 Arsenical iron 670.
 Arsenige Säure 658.
 Arsenit 598.
 Arsenisulfides 672.
 Arsenisulfide 481. 658.
 Arsenisulfen 672.
 Arsenisulfeninter 484.
 Arsenisulfid 723.
 Arsenisulfid 599.
 Arsenisulfid 670.
 Arsenisulfid 673.
 Arsenisulfid 674.
 Arsenisulfid 678. 679.
 Arsenisulfid 680.
 Arsenisulfid 707.
 Arsenisulfid 464.
 Arsenisulfid 483.
 Arsenisulfid 484.
 Arsenisulfid 719.
 Ἀσβεστ 272.
 Ἀσβεστ gemeiner 272.
 — schillernder 248.
 Ἀσθεντρεν 323.
 Ἀσπαράγιτ 549.
 Ἀσπασίλιτ 271.
 Ἀσπασίτ 750.
 Ἀσπασίτ 751.
 Asteria 204.
 Astrakanit 527.
 Astrios 302.
 Atacamit 509.
 Atelastit 373.
 Athetastit 352.
 Atomgewicht 153.
 Atomvolumen 159.
 Atramentstein 530.
 Atramentum auturium 528.
 attractorisch 143.
 Auerbachit 312.
 Augit 255.
 Augitlaven 784.
 Augitpaar 95.
 Augitporphyrit 778.
 Aurichalcit 426. 489.
 Aurichalcum 575.
 Auripigment 699.
 Aurum 555.
 — graphicum 703.
 — paradoxum 599.
 Automolit 309.
 Autunit 494.
 Avanturin 208.
 Aventurinselfspath 233.
 Aven 29.
 — optische 114.
 Avenformel 55.
 Avenelemente 63.
 Avenzerstreuung 123.
 Arinit 328.
 arial 144.
 Axungia 379.
 Azorit 650.
 Azurit 486.
 83.
 Babingtonit 255. 260.
 Badstohle 736.
 Bagrationit 367.
 Balérine 647.
 Baikalit 259.
 Balasrubin 308.
 Balleneisen 587.
 Ballagius 308.
 Bamlit 290.
 Bandachit 206.
 Bandisen 587.
 Bandjaspis 209.
 Barnhardt 715.
 Barégine 517.
 Barfel 580.
 Barfionit 353.
 Bartholin 3.
 Baryt 448.
 Baryte sulfatée 448.
 Barytstein 342.
 Barytmehl 451.
 Barytocalcit 434.
 Barytocalcit 454.
 Barytocalcit 553.
 Bafalt 781.
 Basanites 781.
 Basanomehan 616.
 Basler Kaufflein 285.
 Bastit 248.
 Batrachit 265.
 Baunit 227.
 Baurit 626.
 Beaumontit 337.
 Beinbruch 415.
 Beinglas 391.
 Bell-metal-ore 728.
 Beraunit 476.
 Berengnung 44.
 Berengnit 762.
 Beretit 496.
 Bergballam 749.
 Bergblau 487.
 Bergbutter 535.
 Bergflach 272.
 Bergflach 272.
 Berggrün 488.
 Bergholz 273.
 Bergfort 272.
 Bergkrysal 189.
 Bergman 5.
 Bergmannit 333.
 Bergmilch 415.
 Bergsalmia 515.
 Bergseife 384.
 Bergtheer 749.
 Bergwach 752.
 Bernerbe 761.
 Bernstein 756.
 — schwarzer 732.
 Berthierit 698.
 Beryll 316.
 Beryllerde 322.
 Beryllid 83.
 Bergellit 472.
 Bergelin 343.
 Bergellus 7.
 Neubantit 483. 353.
 Dibarytocalcit 434.
 Diberit 529.
 Diberit 245.
 Diberit 388.
 Diberit 664.
 Diberit 696. 726.
 Diberit 234.
 Diberit 242.
 Diberit 377.
 Diberit 595.
 Bismuth natif 595.
 — plumbo-cuprifere 726.

- Bismuth sulfuré 699.
 Bismutin 699.
 Bismutit 439.
 Bitterfalk 419.
 Bittersalz 525.
 Bitterspath 417.
 Bitumen 747.
 — visqueux 751.
 Bituminöse Schiefer 747.
 Bituminöses Holz 744.
 Blackband 424.
 Black Tellurium 702.
 Blätteraugite 260.
 Blätterblende 690.
 Blätterbruch 10.
 Blättererz 702.
 Blätterfoble 734. 745.
 Blättertellur 702.
 Blätterzeolith 335.
 blanc fixe 451.
 Blaubleierz 471.
 Blaueisenerde 478.
 Blaueisenstein 273.
 Blauspath 474.
 Blei 594.
 — arsenifsaures 471.
 — chromsaures 495.
 — eissigsaures 547.
 — kohlenfaures 438.
 — molybdänfaures 498.
 — salpetersaures 519.
 — schwefelsaures 456.
 — selenigsaures 458.
 — vanadinsaures 497.
 — wolframfaures 499.
 Bleierde 438.
 Bleierze 682.
 Bleigels 498.
 Bleiglätte 659.
 Bleiglanz 682.
 Bleiglas 454.
 Bleigummi 472.
 Bleihorn 508.
 Bleisäure 456.
 Bleimulm 685.
 Bleiocker 659.
 Bleiorz 659.
 Bleisalz 495.
 Bleischmelz 499.
 Bleischweif 685.
 Bleispath 436.
 Bleispeise 681.
 Bleispießglanz 696.
 Bleisulphatocarbonat 456.
 Bleisulphatotricarbonat 457.
 Bleisuperorzb 660.
 Bleivitriol 454.
 Bleizucker 547.
 Blende 687.
 Bliggröhen 216.
 Blöbit 527.
 Blue carbonate of Copper 486.
- Blutaugenfaß
 — gelbes 519.
 — rothes 520.
 Blutstein 617.
 Bobenit 366.
 Bogbutter 761.
 Boghead 747.
 Bohnerz 625.
 Bol 379.
 Bologneser Spath 451.
 Boltonit 265.
 Borsborfitt 271.
 Bor 606.
 Boracit 502.
 Borate of Magnesia 502.
 Borar 503.
 — otaebrischer 504.
 Borarfalk 504.
 Bornin 600.
 Bornit 715.
 Borocalcit 504.
 Boronatrocalcit 504.
 Borsäure 501.
 Botryogen 530.
 Botryolith 350.
 Boulangerit 698.
 Bournonit 724.
 Bouteillenstein 387.
 Bovey Coal 742.
 Boyle 3.
 Brachydiagonale 91.
 Brandfitt 250.
 Brand 698.
 Brandfchiefer 385. 747.
 Braunbleierz 471.
 Brauneisen 621.
 Brauneisenoder 626.
 Brauneisenrahm 632.
 Braunkohle 742.
 — erdige 743.
 — gemeine 743.
 — muschelige 743.
 Braunit 630.
 Braunnangan 627.
 Braunmenaterz 360.
 Braunsphat 421.
 Braunstein 627.
 — granatförmiger 277.
 — grauer 628.
 — piemontesischer 285.
 — rother 424.
 — schwarzer 681.
 Braunsteinfalk 416.
 Braunsteinfiesel 277.
 Brechungsexponent 111.
 Brechweinstein 546.
 Breislakit 273.
 Breithaupt 127.
 Breithauptit 679.
 Breunerit 417.
 Brevicit 333.
 Brewsterit 387.
- Brillant 293.
 Brochantit 493.
 Bromargyrit 507.
 Bromit 507.
 Bromlit 434.
 Bromsilber 507.
 Brongniartit 527.
 Bronze 575.
 Bronzit 261.
 Brookit 641.
 Bruch 142.
 Brucit 249.
 Buchholzit 290.
 Budlandit 367.
 Buntbleierz 469.
 Bunte Thone 384.
 Buntkupfererz 715.
 Buntkupferkies 715.
 Buralit 490.
 Bustamit 255.
 Buttermilchsilber 506.
 Byssolith 273.
 Bytownit 353.
- C.
- Cäcolong 207.
 Cadmia 425.
 Caeruleum 488.
 — Berolinense 476.
 Caking Coal 736.
 Calamine 369. 424.
 Calchihuitl 473.
 Calcit 395. 453. 522.
 Calcoferit 476.
 Caldarius 652.
 Calcebonit 458.
 Callais 473.
 Calstronbaryt 452.
 Calx 394.
 — arsenici 658.
 Cancrinit 357.
 Canbit 308.
 Canneföhle 783.
 Cantonit 718.
 Caporcanit 346.
 Carbonate 299.
 — of Lime 395.
 Carbunculus 274. 301.
 Carminspath 472.
 Carnallit 515.
 Carnat 378.
 Carneol 206.
 Carolathin 765.
 Carrolit 677.
 Cassiteron 636.
 Castelnaudit 484.
 Cavolinit 353.
 Cementkupfer 532. 575.
 Cementkahl 582.
 Cementwasser 542.
 Cererit 367.

Gerin 366.
 Gerinslein 367.
 Gerit 367.
 Cerium 367.
 Cerussa 436.
 Geruffit 436.
 Gerwantit 655.
 Ceylanit 308.
 Chabasit 338.
 Chalcantum 531.
 Chalcedon 204.
 Chalcitis 712.
 Chalcolith 494.
 Chalcophyllit 492.
 Chalkopyrit 712.
 Chalkos 571.
 Chalybit 422.
 Chamoisit 626.
 Chantonit 593.
 Charakterfarbe 136.
 Chaux carbonatée 394.
 — fluatée 459.
 — tungstatée 500.
 Chemikalien 543.
 Chemische Analyse 162.
 — Constitution 156.
 — Formeln 155.
 — Kennzeichen 153.
 — Reactionen 168.
 Cherry Coal 736.
 Chert 210.
 Cheffylit 486.
 Chialolith 290.
 Chilibrenit 476.
 Chilisalpeter 519.
 Chiolith 462.
 Chiviatit 728.
 Chlabin 591.
 Chloanthit 679.
 Chlor 505.
 Chlorapatit 467.
 Chlorblei 508.
 Chlorcalcium 514.
 Chlorchromsäure 613.
 Chloride 505.
 Chlorit 242.
 Chloritoid 250.
 Chloritschiefer 243. 771.
 Chloritpath 250.
 Chloropal 214.
 Chlorophäit 364.
 Chlorophyllit 271.
 Chlorospinel 309.
 Chlorsaures Kali 552.
 — Natron 552.
 Chondroit 268.
 Christianit 234. 343.
 Chromalaun 534.
 Chromate of Iron 612.
 — lead 495.
 Chromeisen 593. 612.
 Chromgelb 496.

Chromgrün 613.
 Chromit 612.
 Chromoer 659.
 Chromoryb 613.
 Chromorybfali.
 — oralfaures 550.
 Chromroth 496.
 Chrysoberyll 305.
 Chrysocolia 488. 503.
 Chrysolith 263. 265.
 Chrysolithus 312.
 Chrysopras 210.
 Chrysopraserbe 210.
 Chrysolit 248.
 Chytrophyllit 258.
 Chytrophyllit 258.
 Cimolia 384.
 Cimolite 384.
 Cinnabaris 691.
 Cipollino 413.
 Circularpolarisation 121.
 Citrin 200.
 Cleavelandit 227.
 Cleiophan 690.
 Coaks 731.
 Cobalt gris 676.
 Coblestin 452.
 — fastiger 454.
 Cobasion 140.
 Collyrit 378.
 Collyrium 378.
 Colophonium 762.
 — succini 757.
 Colorados 507.
 Columbit 647.
 Common Coal 729.
 Comptonit 334.
 Conburrit 655. 719.
 Conistonit 767.
 Copal 762.
 Copalin 761.
 Copiapit 530.
 Copper 571.
 Copper Pyrites 712.
 Coquimbite 530.
 Coracit 651.
 Corbierit 269.
 Cornishstone 377.
 Cornwallit 491.
 Corundolith 250.
 Cottonerz 703.
 Cotunnit 509.
 Cougeranit 291.
 Covellin 718.
 Crebuerit 632.
 Creta 384.
 Cricktonit 620.
 Cronstedt 5.
 Cronstedt 250.
 Cronstet 390.
 Crucit 668.
 Crystallus Islandicus 394.

Cuban 715.
 Cubicystem 66.
 Cubicit 338.
 Cuivre 571.
 — arseniaté 492.
 — gris 720.
 — hépatique 715.
 — hydro-phosphaté 490.
 — muriaté 509.
 — oxydulé 653.
 — pyriteux 712.
 — sulfuré 716.
 Cuivre carbonaté
 — bleu 486.
 — vert 488.
 Cumingtonit 260.
 Cupreous arseniate of
 Iron 482.
 Cupreous sulphato carbo-
 nate of lead 458.
 Cuproplumbit 686.
 Cuprum Nicolai 678.
 Cyanit 287.
 Cyanochrom 528.
 Cyanos 302.
 Cyanose 531.
 Cymophan 305.
 Cyprin 279.
 Cyprische Umbra 380.

D.

Damourit 245.
 Danait 672.
 Danburit 263.
 Darwinit 719.
 Datolith 348.
 Davyn 353.
 Decrescenz 101.
 Deegenit 497.
 Deburction 37.
 Deffeit 244.
 Delphinat 280.
 Deltoeder 73.
 Deltoideobolaeber 73.
 Delvaureit 479.
 Demantpath 303.
 Demibovit 372.
 derb 182.
 Dermatin 249.
 Desclouit 497.
 Desmin 335.
 Devitification 224.
 Diabas 778.
 Diadochit 479. 535.
 Diallag 260.
 Diallogit 424.
 Diamagnetismus 144.
 Diamant 292.
 Diamanthor 606.
 Dianit 650.
 Dianium 649.
 Diaplor 304.

Dichroismus 128.
 Dichroit 268.
 Diethrotop 129.
 dich 142.
 Dichtigkeit 138.
 Dibym 368.
 Digenit 718.
 diagonal 47.
 Dihæder 83. 27.
 Dihydrit 490.
 diklin 97.
 Dillnit 304.
 Dimagnetit 363.
 Dimorphin 702.
 Dimorphismus 161.
 Diopside 259.
 Diopas 371.
 Diorit 774.
 Dioritporphyr 777.
 Diphanit 250.
 Diplagieder 90.
 Diploit 235.
 Dipyrr 352.
 Dirhomboider 27.
 Diskrasit 697.
 Dispersion 113.
 Disphen 82.
 Disthen 288.
 Dodekaeder 39.
 Dolerit 782.
 Dolomittesseln 420.
 Dolomithpat 419.
 Domeskit 719.
 Domit 783.
 Donarium 369.
 Doppelbrechung 113.
 Doppelsalze 548.
 Doppelschiefenfläche 18.
 Doppelspath 411.
 Doppelrit 746.
 Dornstein 444.
 Dreelit 452.
 dreigliedrig 84.
 Dreikantner 87.
 Drillinge 94.
 Drusen 178.
 Dufrenit 478.
 Dufrenoyt 696.
 Durchsichtigkeit 138.
 Dutenmergel 411.
 Dyakisdodekaeder 74.
 Dysclast 345.
 Dysluit 309.
 Dysobit 745.
 Dyslytit 587.

Ⓒ.

Edelopal 212.
 Edelsteine 291.
 Edingtonit 338.
 Edwarfit 484.
 Egeran 279.
 Ehlit 490.
 eingliedrig 97.
 Eintheilung 181.
 Eis 536.
 Eisen 580.
 — oralsaures 765.
 — fiberisches 582.
 — tellurisches 580.
 Eisenaalaun 584.
 Eisenamianth 199.
 Eisenammoniaalaun 534.
 Eisenapatit 469.
 Eisenaugit 259.
 Eisenbitterspath 418.
 Eisenblüthe 431.
 Eisenschlorid 510.
 Eisenschrom 612.
 Eisenerze.
 — geschwefelte 662.
 — oxydische 607.
 Eisenfrischschlacke 265.
 Eisenglanz 613.
 Eisenglimmer 616.
 Eisenglimmerschiefer 773.
 Eisengyps 477.
 Eisensiez 662.
 Eisensiefel 202.
 Eisennickelies 670.
 Eisenoolith 626.
 Eisenoryb.
 — schwefelsaures 530.
 Eisenorybulammoniaf.
 — schwefelsaures 548.
 Eisenpecherz 484.
 Eisenplatin 577.
 Eisenrosen 616.
 Eisensäuerlinge 541.
 Eisensinter 484.
 Eisenspath 422.
 Eisenspießglanzgerze 698.
 Eisensleinmark 379.
 Eisenthongranat 275.
 Eisenturmalin 327.
 Eisenvitriol 528.
 Eisenzinnspath 426.
 Eispath 227.
 Ekebergit 352.
 Eklogit 775.
 Elialith 354.
 Elastizitätsaren 120.
 Elaterit 751.
 Electrum 557.
 Electricität 145.
 Elektron 756.
 Elektrostop 145.
 Eliafit 652.
 Email 391.
 Embolit 507.
 Emerald 317.
 Emerald-Nickel 612.
 Emeraude 319.
 Emerylith 250.

Emmonit 435.
 Enargit 726.
 Enhydros 207.
 Enstatit 262.
 Entglasung 224.
 Epibot 280.
 Epiglaubit 468.
 Epimorphie 177.
 Epistilbit 336.
 Epsonit 525.
 Erbsenstein 415.
 Erbsobalt.
 — brauner 659.
 — gelber 659.
 — rother 480.
 — schwarzer 632. 659.
 Erbsoble 749.
 Erbsil 748.
 Erbspech 750.
 — elastisches 751.
 Eremit 484.
 Erinit 493.
 Erbsyit 234.
 Erythrin 479.
 Erythronium 497.
 Erblume 459.
 Erze.
 — geschwefelte 661.
 — oxydische 607.
 Esmarit 271. 348.
 Etain oxyde 633.
 — sulfuré 728.
 Eudroit 493.
 Eudialyt 373.
 Eudonophit 340.
 Eugenglanz 707.
 Eulairit 719.
 Eulass 319.
 Eulolit 374.
 Eulystit 265.
 Eulytin 373.
 Euphotit 776.
 Euphyllit 250.
 Eupion 750.
 Euphyroit 467.
 Eurit 779.
 Eusilbit 335.
 Eusynchit 497.
 Euxenit 643. 648.
 Euxenolith 335.

Ⓕ.

Fahlerz 720.
 Falunit 270.
 Farbe 134.
 Farbenzeichnung 138.
 Fasergerze 445.
 Faserfalk 411.
 Faserfiesel 204.
 Faserfoble 733.
 Faserquarz 204.

Faserzeolith 381.

faserig 142. 178.

Fassait 259.

Faujasit 345.

Favallit 265.

Fayence 383.

Federalaun 534.

Federerz 696.

Federharze 762.

Federweiß 445.

Feldspath 216.

— blumigblättriger 226.

— dichter 227.

— frischer 225.

— gemeiner 226.

— glasiger 226.

— Labradorifirenber 226.

— resinite 392.

Feldspathporphy 777.

Feldstein 227.

Fensterglas 389.

Fer arsenical 670.

— carbonaté 422.

— carburé 605.

— chromaté 612.

— oligiste 613.

— oxalaté 765.

— oxydulé 606.

— siliceo calcaire 363.

— sulfaté 523.

— sulfuré 662.

— sulfuré blanc 664.

— sulfuré magnétique 669.

Fergusonit 650.

Fettquarz 203.

Feuerblende 710.

Feueropal 213.

Feuerstein 209.

Fibrolith 204. 290.

Fichtelit 755.

Fischerit 476.

Fleches d'amour 622.

Flint 209.

Flintglas 389.

Fluclit 463.

Fluocerin 462.

Fluocerit 462.

Fluor 458.

Fluorapatit 467.

Fluoride 458.

Fluoriren 132.

Fluß 459.

Flußpath 458.

Forsterit 265.

Fouller's earth 383.

Fowlerit 255.

Francollit 467.

Franklinit 611.

Frauencis 444.

Freieslebenit 725.

Frittporzellan 377.

Frugabit 279.

Fuchsit 243.

Fülleisen 587.

G.

Gabbro 776.

Gabbroporphyr 778.

Gadolinit 364.

Gadoliniterde 364.

Gagat 732.

Gahnit 309.

Galaktit 334.

Galena 682.

— inanis 687.

— Wismuthi 699.

Galenit 683.

Galmey 424.

Garlandia 1.

Garnet 274.

Gaylussit 522.

Gebirgsarten 768.

Gebirgsquarz 772.

Geffis 712.

Gegentrapez 190.

Gehlenit 358.

Gefräßstein 448.

Gellbleierz 498.

Gelberde 618. 380.

Gelberz 708.

Gelbmenaterz 362.

Gemmen 291.

Geofronit 698.

Geognosie 6.

Geschichte 1.

geschmeidig 142.

Geschwefelte Metalle 661.

Gesner 8.

Gewicht 138.

Gibbsit 305.

Gieselit 271.

Giffies 670.

Gigantolith 271.

Gismondin 343.

Glanz 682.

Glanz 132.

Glanzbrownstein 631.

Glanzeisen 587.

Glanzeisenstein 624.

Glanzerz 704.

Glanzkobalt 676.

Glanzkohle 732.

Glas 386.

— künstliches 389.

Glaserit 523.

Glaserg 704.

— zweigliebriges 705.

Glastopf

— brauner 623.

— gelber 668.

— rother 617.

— schwarzer 631.

Glastopfsquarz 204.

Glasurerg 685.

Glasthränen 386.

Glaubapatit 468.

Glauberit 527.

Glauberfals 524.

Glaufodot 672.

Glaufolith 351.

Glaufonit 244.

gleichgliedrig 66.

Glessum 760.

Gletscherfals 526.

Glimmer 237.

Glimmerporphy 777.

Glimmerschiefer 771.

Glinkit 264.

Glockenmetall 575.

Glotallith 348.

Gmelinit 339.

Gneis 770.

Göfunit 279.

Göthit 621.

— dichter 624.

Gold 555.

Goldamalgam 571.

Goldberze 702.

Goldloth 488.

Goniometer 12.

Grammatit 255.

Granat 273.

— körnartiger 637.

Granatober 59.

Granatoib 285.

Granit 769.

— vainé 771.

Granitit 770.

Granular-tin 636.

Granulit 770.

Graphische Methode 108.

Graphit 606.

Graulitigerz 723.

Grauloberz 702.

Graumangan 628.

Graupeln 537.

Graulilber 439.

Graulpießglanz 694.

Grawerz 720.

Greenodit 691.

Grenovit 362.

Greifen 772.

Grénat 274.

Grésil 537.

Grey Copper 720.

Griffelschiefer 386.

Großkoble 734.

Grönlandit 647.

Gronollit 632.

Grossular 276.

Grundeis 536.

Grünbleierz 471.

Grüneisenerde 214. 660.

Grüneisenstein 478.

Grünerde 244.

— krySTALLISIRTE 380.

Grünglimmer 494.
 Grünfals 511.
 Grünspan 547.
 Grünsteine 774.
 — dicke 779.
 Grunerit 262.
 Guano 763.
 Guarnit 362.
 Guayaquilit 762.
 Gullweiz 556.
 Gummierz uranisches 652.
 Gurbosian 420.
 Gußeisen 581.
 Gumnit 249.
 Gyps 439.
 Gypsalaoid.
 — diatomes 482.
 — hemiprismatisches 481.
 Gyrolit 345.
 Gyroeder 74.

G.

Gaarkies 679.
 Gaarfals 525. 534.
 gadig 143.
 Galleflinta 227.
 Gammates 613. 617.
 Gamatofonit 416.
 Gärte 140.
 Gabel 537.
 Gaibinger 8.
 Gaibingerit 482.
 Galblasurblei 458.
 Galbopal 214.
 Galbschwefeleisenmangan 674.
 Galboitrioblei 456.
 Gallit 417.
 Galloyit 381.
 Galoidsteine 355.
 Galotrichit 534.
 Hammitis 415.
 Harmotom 340.
 Harringtonit 334.
 Harrisit 718.
 Hartgarze 762.
 Hartmangan 630.
 Hartin 761.
 Hartit 755.
 Garze 756.
 — nichtstosfle 762.
 Hatgettin 752.
 Hauerit 673.
 Hauptfarben 134.
 Haupttrapez 190.
 Hausmannit 631.
 Haun 97. 4.
 Haun 856.
 Haydenit 339.
 Hayefin 504.
 Haytorit 349.
 Hebenbergit 259.
 Hepphan 472.

Heliotrop 207.
 Helminth 243.
 Helvin 372.
 Hemiebrie 72.
 Hemimorphit 369.
 hemiorithetyp 94.
 hemiprismatisch 94.
 hemitrombitisch 94.
 Hendyoeber 18.
 Henhenoeber 18.
 Hepatit 452.
 Herapatit 118.
 Hercinit 309.
 Herberit 473.
 Herrerit 426.
 Herschelit 339.
 Hessonit 276.
 Heteromerie 161.
 Heteromorphit 696.
 Heterosit 478.
 Heulandit 335.
 heragonal 83.
 Heraid 17.
 Heraidbrechung 21.
 Herakistoeber 67.
 Herakistetraeder 73.
 Hjelmit 649.
 Highgate Resin 761.
 Hisingerit 364.
 Hochofenschladen 258.
 Hörnefit 482.
 Hohlspath 291.
 Holoebrie 66.
 Holzopal 214.
 Holzstein 211.
 Holzginn 636.
 Honigstein 764.
 Hopeit 370.
 Hornblei 508.
 Hornblende 251.
 Hornblendgesteine 773.
 Hornblendschiefer 775.
 Horners 505.
 Hornfels 251.
 Hornquedfilber 508.
 Hornsilber 505.
 Hornstein 210.
 Hornsteinporphyr 776.
 Houghite 310.
 Houille 729.
 — des calcaires 746.
 — grasse 736.
 — maigre 736.
 — sèche 736.
 Humboldtilit 258. 352.
 Humboldtin 765.
 Humboldtit 348. 765.
 Humit 266.
 Hureaulit 478.
 Hverfält 534.
 Hyacinth 311.
 — Compositella 202.

Hyacinthe cruciforme 341.

Hyalith 215.
 Hyalophan 225.
 Hyalofiberit 265.
 Hydrargyllit 304. 475.
 Hydroapatit 467.
 Hydroboracit 504.
 Hydroborocalcit 504.
 Hydroconit 409.
 Hydrobolomit 409.
 Hydrohalit 512.
 Hydroolith 339.
 Hydrophan 213.
 Hydrophit 249.
 Hydrotalkit 249.
 Hydrous Phosphate of
 copper 490.
 Hypersthen 261.
 Hypersthenfels 776.
 Hypochlorit 214. 660.
 Hypostilbit 337.
 Hystatit 620.

I.

Iade 251.
 Iadet 733.
 Ialpat 718.
 Jamesonit 697.
 Jargon 310.
 Jaspis 208.
 Jaspopal 214.
 Jaulingit 761.
 Jberit 271.
 Jäthhyophthalm 343.
 Jrofitetraeder 66.
 Jbofras 277.
 Jbralin 755.
 Jefferjonit 259.
 Jet 733.
 Jalestasit 438.
 Jgloit 431.
 Jlmenerit 619. 643.
 Jlmanium 648.
 Jlmenerzsil 639.
 Jlvait 362.
 Jndianit 235.
 Jndicolith 327.
 Jnflammabilien 729.
 Jod 606.
 Jodargyrit 506.
 Jodit 506.
 Jodolith 593.
 Jodquedfilber 507.
 Jodsilber 506.
 Jodannit 531.
 Johnstonit 636.
 Jolith 269.
 Jribium 579.
 Jridosmium 580.
 Jridplatin 580.
 Iris 200.
 Jristren 130.

Jrit 622.
Jserin 611.
isometrisch 66.
Jfomorphismus 158.
Jtabirit 616.
Jtacolumit 772.
Jttnerit 356.
Jubenpech 750.
Junderit 432.
Jrolyt 761.

R.

Radmiummoryb 656.
Raforen 476.
Ralaat 473.
Rali
— chlorfaures 552.
— chromfaures 553.
— doppelchromfaures 555.
— manganfaures 523.
— schwefelfaures 523.
— selenfaures 523.
Raliaun 533.
Raliselbspath 217.
Raliglimmer 240.
Raliun 606.
— Platinchaur 553.
Ralisalpeter 517.
Rall oralfaurer 766.
— weinsteinsaurer 546.
Rallboracit 503.
Rallcepidot 284.
Rallfelbspath 233.
Rallhalob.
— brachytypes 417.
Rallkreuzstein 343.
Rallfalpeter 519.
Rallfinter 411.
Rallfalapolith 352.
Rallfpath 394.
Rallstein 411.
Rallthongranat 276.
Ralltuff 415.
Rallfuranalimner 494.
Rallvolborthit 497.
Rallochrou 495.
Ralomel 503.
Rämmererit 243.
Ramacit 587.
Rammfies 665.
Rampylit 472.
Rambisjucker 543.
Raneelftein 276.
Raolin 375.
Rantenschnittformel 97.
Rantenwinkelformel 52.
Rantenzonengesetz 46.
Rapnicit 475.
Rapnit 426.
Rarellinit 660.
Rarrholith 348.
Rarsenit 446.

Raruba 756.
Rastendrußen 265.
Rastor 237.
Rataplejit 374.
Rasenaug 203.
Rasengold 241.
Rasensapphir 302.
Rasensilber 237.
Rasenzinn 644.
Rausimfies 668.
Rehrfalpeter 518.
Reilhaut 362.
Rentmann 3.
Rerat 505.
Rerolith 249. 381.
Reseph 564.
Ribdelophan 620.
Ries 662.
Rieselerde 186.
Rieselguhr 216.
Rieselfupfer 372.
Rieselmagnetit 419.
Rieselmergel 215.
Rieselschiefer 211.
Rieselfinter 216.
Rieseltuff 216.
Rieselwismuth 373.
Rieselsinker 369.
Rieselsinnspath 369.
Rieselsinn 637.
Rilbridenit 698.
Rillinit 271.
Rissaris 388.
Kisus 662.
Rlaproth 5.
Rlaprothin 474.
Rlebschiefer 215.
Rlingstein 730.
Rlinochlor 238. 243.
Rlinoflas 493.
Rlinometrisch 30.
Rlinorhombisch 94.
Rnebelit 265.
Rnisterfalz 511.
Rnochen 468.
Rnollenstein 214.
Rnorpel 743.
Rnottenery 684.
Robaltarsenitfies 671.
Robaltbeschlaf 480.
Robaltblüthe 479.
Robalterze 674.
Robaltglanz 676.
Robaltfies 677.
Robaltmetall 678.
Robaltmiedelfies 677.
Robaltfolution 167.
Robaltfpeife 677. 681.
Robaltfulfuret 677.
Robaltvitriol 529.
Robellit 728.
Rochfalz 510.

Rönlit 755.
Rörnig 178.
Röttig 481.
Rohinoor 298.
Rohlen 729.
Rohlenblende 731.
Rohleneisenstein 424.
Rohlenfäure 394.
Roffalith 259.
Rolphonit 276.
Ronichalit 492. 498.
Rorallenerz 693.
Rorund 299.
Rrablit 227.
Rrähenaugen 411.
Rraunlit 762.
Rraurit 478.
Rreide 415.
— fchwarz 385.
Rreittonit 309.
Rremersit 510.
Rreuzkryftallifation 340.
Rreuzstein 340.
Rrisuwigit 494.
Rrofoit 495.
Rrotybolith 273.
Rropolith 462.
Rryptolith 484.
Rryftallbildung 173.
Rryftallglas 389.
Rryftalloide 414.
Rryftallraum 11.
Rryftallsystem 66.
— biheracdrifches 83.
— bilfinoedrifches 97.
— dreigliedriges 84.
— eingliedriges 97.
— hemiprismatifches 94.
— ifometrisches 66.
— monobimetrisches 79.
— monoklinoedrifches 94.
— prismatifches 91.
— pyramidales 79.
— reguläres 66.
— rhombifches 91.
— fchösgliedriges 83.
— tetfulares 66.
— tetragonales 79.
— trifkinoedrifches 97.
— trimetrisches 91.
— viergliedriges 79.
— zweigliedriges 91.
— zweitumbeingliedriges 94.
Rryftallsymbole
— Haub 97.
— Willer 108.
— Mohs 81.
— Raumann 80.
— Raumann 107.
Rubigit 339.
Ruboit 340.
Rugebiorit 775.

Rugeljaspis 208.
 Rupper 571.
 — eiffigsaures 547.
 Rupperantimonglanz 726.
 Rupperblau 372.
 Rupperblende 723.
 Rupperblüthe 654.
 Rupperchlorür 510.
 Ruppererze 652. 712.
 Rupperfahlerze 722.
 Rupperglanz 716.
 — prismatoidischer 725.
 Rupperglas 716.
 — rothes 652.
 Rupperglimmer 492.
 Ruppergrün 372. 489.
 Rupperinbig 718.
 Rupperkieß 712.
 Rupperlasur 486.
 Ruppermanganerz 632. 659.
 Ruppernidel 678.
 Rupperpercherz 655.
 Rupperroth 652.
 Rupperfalte 486.
 Rupperfammterz 494.
 Rupperfchaum 492.
 Rupperfchwärze 655.
 Rupperfmaragd 371.
 Rupperuranglimmer 494.
 Ruppervitriol 531.
 Rupperwismutherz 728.
 Rupperwismuthglanz 728.
 Rupperzolith 347.
 Rupperzolith 331.
 Rupperzolith 668.

R.

Rabrador 233.
 Rabradoriften 182.
 Lac lunae 534.
 Rängsfläcke 95.
 Ragonit 505.
 Rambril 587.
 Ranarfit 456.
 Ranthan 368.
 Ranthanit 368.
 Lapis Comensis 245.
 — crucifer 285. 291.
 — electricus 325.
 — Lacedaemonius 238.
 — lazuli 355.
 — Lydius 212.
 — molaris.
 — mutabilis 218.
 — obsidianus 386.
 — plumbarius 682.
 — ponderosus 500.
 — specularis 444.
 Rarderellit 505.
 Rasionit 475.
 Rajurstein 355.
 Ratrobit 285.

Raukasteine 414.
 Raumontit 345.
 Rava 784.
 Ravestein 245.
 Razulith 355. 474.
 Razur 496.
 Ravierstein 629.
 Reabhillit 457.
 Reberkieß 668.
 Recontit 525.
 Rehm 384.
 Reymannit 495.
 Lemnia 379.
 Reimische Erde 379.
 Reonharbit 346.
 Repidofrofit 622.
 Repidolith 241.
 Retten 384.
 Rettenfohle 742.
 Rettfomit 494.
 Reuchtenbergit 243.
 Reucit 354.
 Reucitlava 784.
 Reucitoeder 66.
 Reucitophyr 354. 784.
 Reucorolith 344.
 Reutophan 374.
 Révy 104.
 Ribethenit 491.
 Ribethrupper 491.
 Richtschein 181.
 Ribenerit 271.
 Ribigut 652.
 Riborit 363.
 Lignites 742.
 Rialith 241.
 Rimonit 624.
 Rinarit 456.
 Rinftraubensäure 545.
 Rinné 3.
 Rinnéit 677.
 Rinfenerz 492.
 Rinfenstein 339.
 Liparaios 386.
 Rirofonit 492.
 Rithionalaun 534.
 Rithionglimmer 241.
 Rithionminerale 236.
 Rithographie 414.
 Roboit 279.
 Rölingit 672.
 Röß 384.
 Röweit 527.
 Röwigit 536.
 Romonit 345.
 Roroffas 225. 236.
 Ruchsfapphir 269.
 Ruffmörte 409.
 Lumachelle 413.
 Rumnit 490.
 Rynfurion 311.
 Rynr 324.

M.

Macle 290.
 Magnes 608.
 Magnesiaalaun 534.
 Magnesiaglimmer 242.
 Magnesiaghybrat 249.
 Magnesia-Limestone 420.
 Magnesiaalperit 519.
 Magnesia-Turmalin 327.
 Magnésie boratée 502.
 — sulfatée 525.
 Magnesit 418.
 Magnesitpath 417.
 Magnesiumplatincyanür 552.
 Magneteisen 608. 593.
 Magneteisenand 610.
 Magnetic iron pyrites 669.
 Magnetis 608.
 Magnetismus 143.
 Magnettes 590. 669.
 Magnosferrit 618.
 Majolica 383.
 Makrodiagonale 91.
 Malachit 488.
 Malakolith 260.
 Malakon 312.
 Maltha 751.
 Manrinut 371.
 Mandelstein 779.
 Manganaalaun 534.
 Mangankblende 673.
 Mangandryolith 265.
 Manganepeidot 285.
 Manganerz 626.
 — brachytipes 630.
 — erbiges 632.
 — pyramidales 631.
 — untheilbares 631.
 Manganglanz 674.
 Manganglasfopf 631.
 Mangangranat 277.
 Manganit 627.
 Mangankiesel 260.
 Mangankmetall 627.
 Mangankoralit 432.
 Mangankorybulalaun 534.
 Mangankfchaum 632.
 Mangankpath 424.
 Mangantalkalaun 534.
 Mangankvitriol 529.
 Marathonssteine 388.
 Marrafit 664.
 Marcasites 662.
 Marcellin 630.
 Marekanit 387.
 Margarit 249.
 Marienglas 240. 444.
 Marlefor 414.
 Marmatit 690.
 Marmolith 248.
 Marmor 412.

- Marmor metallicum** 459.
Martinit 526.
Martit 610.
Maschagnin 525.
 mas 292.
Masonit 250.
Matlockit 509.
Mauersalpeter 519.
Meblanebene 95.
Meerfalz 510.
Meerschäum 245.
Meerwasser 540.
Megabromit 507.
Melchzeolith 332.
Mejonit 352.
Melacconisa 655.
Melakonit 655.
Melanglanz 706.
Melanglimmer 250.
Melanit 277.
Melanochroit 496.
Melanterit 528.
Melaphyr 779.
Melilit 353.
Melinophan 374.
Melinum 245.
Mellit 764.
Menaccanit 611. 620.
Menafery 358.
Menbipit 509.
Meneghinit 698.
Mengit 484. 643.
Menilit 214.
Mennige 660.
Mercurblende 691.
Mercur 569.
 — muriaté 508.
 — sulfuré 691.
Mergel 414.
Mesitinspath 418.
Mesole 334.
Mesolith 334.
Mesotyp 333.
Messen 14.
Messing 575.
Metalle
 — gebiegene 555.
 — spröde 595.
Metallfarben 136.
Metallsteine 558.
Metallum
 — problematicum 599.
Metarit 243.
Metoreisen 582.
Metorsteine 589.
Meulière 212.
Miarggyrit 710.
Miascit 354. 774.
Mica 237.
Middletonit 762.
Miemit 420.
Miecit 472.
Mikrobromit 507.
Mikroflin 226. 236.
Mikrolith 651.
Milchopal 214.
Milchquarz 208.
 milbe 142.
Müller 107.
Müllerit 679.
Mimetesit 471.
Mina 1.
minera ferri specularis 613.
Mineralfermes 695.
Mine d'argent grise 725.
Mine d'argent rouge 707.
Mine de cuivre jaune 712.
Mine spéculaire 613.
Minium 691.
Mirabilit 524.
Misenit 523.
Mispidel 670.
Mispy 530.
Mitscherlich 7.
Mizgonit 352.
Mochasteine 207.
Modelliren 32.
Mohr 587.
Mohs 8.
Mohsit 620.
Molecule 100.
Molochites 488.
Molybdän 681.
Molybdänblei 498.
Molybdänglanz 681.
Molybdänit 681.
Molybdänocher 660.
Molybdänfilber 601.
Molybdate of lead 498.
Monazit 484. 643.
Monazitoid 484.
Monbschmalz 379.
Monbsstein 225.
monobimetrisch 79.
monoflin 94.
monotrimetrisch 83.
Monrabit 249.
Monrolith 290.
Monticellit 265.
Montmilch 415.
Moosachal 207.
Moorfohle 743.
Morasterz 624.
Morion 199.
Mororit 466.
Morvenit 341.
Mosambrit 362.
Mühlstein 212.
Mullcit 478.
Murchisonit 226.
Muria 510.
Muriacit 446.
Murio-carbonate of lead 508.
Muschelmarmor 413.
Musfit 260.
Mysorin 490.
N.
Nabeleisen 587.
Nabeleisenetz 622.
Nabelerz 726.
Nabzeolith 332.
Nagellalt 411.
Nagpazerz 702.
Nagpagit 702.
Naphtha 749.
Naphthagil 752.
Native Magnesia 249.
Natrocaltit 522.
Natrolith 333.
Natron
 — chlorfaures 551.
 — effigfaures 547.
 — schwefelfaures 524.
 — unterschwefelfaures 549.
Natronalaun 533.
Natronammonial
 — traubenfaures 545.
Natronfeldspath 227.
Natronfalspeter 519.
Natronspodumen 228.
Naudit 762.
Nebelstib 131.
Nechoschet 571.
Needle ore 726.
Neft-gil 752.
Negros 508.
Nemalith 249.
Néocèse 482.
Néolith 248.
Nephelin 353.
Nephelingsstein 781.
Nephrit 251.
Nepe 77.
Neumann 7. 107.
Nidel 681.
 — arsenical 678.
Nidelantimonglanz 680.
Nidelarsenitglanz 680.
Nidelarsenitfies 680.
Nideleisen 592.
Nidelerze 678.
Nideliglanz 680.
Nidelin 678.
Nidelfies 679.
Nidelocher 480.
Nidelorpbali
 — schwefelfaures 548.
Nidelmaragb 612.
Nidelspeife 681.
Nidelvitriol 526.
Nidelwismutthglanz 681.
Nicol 119.
Nierenfies 715.
Nigrin 639.
Nilsfeld 209.

Niobit 647.
Nitrates 517.
Nitrite 518.
Nitron 520.
Nitrum quartzosum 517.
Nörrenberg 118.
Nonius-Opal 213.
Nontronit 380.
Norerde 312.
Nosean 356.
Nusslerit 472.
Nuttallith 352.

O.

Oblongoktaeder 26.
Oblongsäule 19.
Obibian 386.
Oker 659.
Ochroiterde 368.
Oculus mundi 218.
Oftaeder 24.
Oftaederit 640.
Oftaide 23.
Oerstedt 311.
Olfanit 640.
Olenit 345.
Oligoklas 232. 236.
Olivenerz 491.
Olivinit 491.
Olivin 263. 598.
Omphacit 262.
Onegit 623.
Onofrit 693.
Onyxel 206.
Onyx 206.
Oolith 415.
Oosit 271.
Opal 212.
Opmerit 699.
Ophites 247.
Opit 111.
Orangit 368.
Organische Salze 763.
Orpheus 1.
Orpiment 699.
Orthit 365.
Orthoklas 217.
orthotyp 91.
Oryctognose 1.
Osmiridium 579.
— dunkles 580.
— liches 579.
Osteocolla 415.
Osteolith 468.
Ostranit 312.
Ottrelit 250.
Oxalate of Iron 765.
Oxalit 765.
Oxalsäure 554.
Oxalsaurer Kalk 766.
Oxalsäures Chromoxydhydrat 550.
Oxalsäures Eisen 765.
Oxaverit 344.

Oxide of tin 633.
Oxydulated Iron 608.
Oxiferit 752.
Oxon 462.

P.

Pacos 507.
Pajsbegit 255.
Paläonatriolith 338.
Palagonit 331.
Palagonithuff.
Palladgold 578.
Palladium 578.
Papiertafel 745.
Pappenbedel 745.
Paraffin 750. 752.
Paragonit 245.
Parallelraum 11.
Paralogit 351.
Paramorphose 162. 179.
Paranthin 351.
Parasit 502.
Parasitit 337.
Pargast 253.
Parist 368.
Patrinit 726.
Pauzit 261.
Pechblende 651.
Pecherz 651.
Pechföhle 732. 743.
Pechkupfer 655.
Pechstein 392.
Pechuran 651.
Peganit 476.
Pegmatit 770.
Pegmatolith 226. 236.
Pektolith 345.
Peliom 269.
Pelopium 646.
Pencatit 409.
Pennin 242.
Pentagonalbodaeder 73.
Peridot 263.
Periklas 249. 618.
Periklin 232. 236.
Perimorphosen 181.
Perlsimmer 249.
Perlsinter 216.
Perlspath 421.
Perlstein 391.
Perowskit 642.
Petalit 236.
Petrefacten 187.
Petrographie 768.
Petrolen 751.
Petroleum 748.
Petunse 375.
Pfeisenthon 383.
Pflästin 261.
Phalolith 339.
Pharmakokalcit 491.
Pharmakolith 481.
Pharmakofiberit 483.

Phenakit 321.
Phengites 447.
Phillipit 343.
Pholerit 380.
Phonolith 780.
Phosphate de fer 476.
— ferrico-calcique 469.
— of lead 470.
Phosphor 606.
Phosphorblei 470.
Phosphoreszenz 147.
Phosphoreiseninter 479.
Phosphorit 467.
Phosphorkupfererz 490.
Phosphornickelisen 587. 598.
Phosphorokalcit 490.
Phosphorsalz 166.
Phosphorsäure 394. 463.
Phosphorsäure
— Ammoniakalischer 485.
— Magnesia 485.
— Ottererde 484.
Phylloretin 756.
Piauit 761.
Pideringit 534.
Pierre d'Italie 385.
Pitrolith 247.
Pitromerit 527.
Pitropharmakolith 482.
Pitrophyll 249.
Pitrosmin 249.
Pimelith 210. 246. 381.
Pingos d'agoa 314.
Pinit 270.
Pinitoid 271.
Piselli del Vesuvio 416.
Pisophan 484. 535.
Pistagit 284.
Pistomesit 418.
Pittigit 484.
Plagiebor 90.
Plagionit 697.
Plafobin 681.
Plasma 207.
Plastischer Thon 381.
Plata verde 507.
Platin 576.
Plattner 151.
Plattnerit 660.
Pleochroismus 128.
Pleonast 308.
Perimorphose 180.
Plesit 587.
Plinian 672.
Plinius 2.
Plomb gomme 472.
— molybdaté 488.
— phosphaté 454. 470.
— sulfuré 683.
Plombierit 331. 345.
Plumbago 605.
Plumbocalcit 417.
plumbum candidum 636.

plumbum nigrum 636.
 — virens 470.
 Poix minérale 751.
 Polarisation 117.
 Polarisationsmikroskop 121.
 Polianit 629.
 Polirschiefer 215.
 Polysbait 707.
 Polysbait 527.
 Polytras 643.
 Polymignit 642.
 Polysphärit 472.
 Polypren 576.
 Ponce 388.
 Poonahtit 333.
 Porphyrit 776.
 — grüner 777.
 — quarzfreier 777.
 — quarzhaltiger 777.
 — rother 776.
 — schwarzer 780.
 Porphyrit 777.
 Porphyrschiefer 780.
 Porzellan 377.
 Porzellanerde 225. 375.
 Porzellanaspath 209. 392.
 Porzellanspath 876.
 Posidonien-schiefer 414.
 Potassa solfata 523.
 Potasse nitratis 517.
 Potter's clay 382.
 Pozzulanerde 410.
 Prase 202.
 Praseolith 271.
 Prasin 491.
 Prasopal 213.
 Prebazit 409.
 Prehnit 346.
 Prehnitoid 348.
 Primitivform 17.
 Prisma 11.
 prismatisch 91.
 Probierstein 212.
 Projektionslehre 32. 35.
 — Reumannsche 107.
 Prosopit 246. 463.
 Protoquin 770.
 Proust 710.
 Brunerit 397.
 Pseudopatit 467.
 Pseudocrysolith 387.
 Pseudogalena 687.
 Pseudomalachit 490.
 Pseudomorphosen 179.
 Psilomelan 631.
 Puddelstraße 266.
 Pumex 388.
 Pumice 388.
 Purple copper 715.
 Pyrit 315.
 pyramidal 79.
 Pyramidenramatoeber 67.
 Pyramidenotaoeber 67.

Pyramidentetraeder 73.
 Pyramidenwürfel 66.
 Pyrantimonit 636.
 Pyratgillit 271.
 Pyratgillit 707.
 Pyrite blanche arseni-
 cale 670.
 Pyrites 662.
 — aureo colore 712.
 Pyritoeber 73.
 Pyrochlor 650.
 Pyroelektricität 146.
 Pyrolusit 629.
 Pyromorphit 470.
 Pyroklasit 468.
 Pyrop 275.
 Pyrophan 213.
 Pyrophosphit 244.
 Pyrophosphatit 315.
 Pyropisit 747.
 Pyrrhotit 367.
 Pyrosmalit 251.
 Pyroxen 255.
 Pyrrhit 651.
 Pyrrhosiderit 622.
 Pyrrhotin 669.

D.

Quadratssäule 19.
 Quarz 187.
 — hyalin 199.
 — résinite 212.
 Quarzfeld 772.
 Quarzit 772.
 Quetzilber 569.
 Quetzilberchlorid 508.
 Quetzilberchlorür 508.
 Quetzilbererze 691.
 Quetzilberhomerz 508.
 Quetzilberjobid 507.
 Quetzilberlebererz 693.
 Quellsalz 510.
 Quellsasser 541.
 Querspiegelanz 697.
 Quinoyt 214.
 Quirinusöl 753.

R.

Radiolith 333.
 Räbelerz 724.
 Raf 756.
 Raffinatpeise 681.
 Rammelsberg 8.
 Randanit 215.
 Rapakivi 233.
 Rapidolith 351.
 Rassel 512.
 Ratoffit 462.
 Rauchquarz 208.
 Rauchtopas 199.
 Rauchgelb
 — gelbes 699.
 — rothes 700.

Rauchgros 700.
 Rautenspath 417.
 Reactionen 168.
 Realgar 700.
 Reichtstraubensäure 544.
 Red oxyd of Copper 653.
 Red oxyd of Zink 655.
 Rebruthit 716.
 Red Silver 707.
 Reflexionsgoniometer 13.
 Regenbogenachse 205.
 Regent 297.
 regulär 66.
 Reihle 605.
 Refinit 760.
 Retinalith 249.
 Retinasphat 760.
 Retinit 760.
 retractorisch 143.
 Reussin 527.
 Rhäcit 289.
 Rhobium 580.
 Rhobiumgold 580.
 Rhobit 503. 504.
 Rhobochroit 424.
 Rhobochrom 243.
 Rhodonit 255. 260.
 Rhombenporphyrit 777.
 rhombisch 91.
 Rhomboeder 18.
 — Hauptschnitt 87.
 Rhomboisssäule 19.
 Rhombssäule 19.
 Ringsysteme 121.
 Ripidolith 243.
 Risigallum 699.
 Rittingerit 710.
 Rämmerit 530.
 Röschgewäch 706.
 Röslerit 482.
 Rötbel 618.
 Rogenstein 415.
 Roheisen 581.
 Rohöl 747.
 Rohzucker 543.
 Rohstahl 582.
 Rohwanb 422.
 Romé de l'Isle 4.
 Romeit 501.
 Rose 7.
 Roselit 480.
 Rosenit 697.
 Rosenquarz 203.
 Rosenpath 424.
 Rosette 293.
 Rosettenkupper 719.
 Rothbleierz 495.
 Rothisenrahm 616.
 Rothisenstein 617.
 Rothgilligerz 707.
 Rothgilliten 707.
 Rothkupfererz 652.
 Rothnickelfies 678.

Rothspießglanz 695.
 Rothzinkerz 655.
 Rubellan 242.
 Rubellit 326.
 Rubicell 308.
 Rubin 301.
 — Bräsilianischer 315.
 Rubinblende 707.
 — hemiprismatische 710.
 Rubinglas 302.
 Rubinglimmer 622.
 Rubinschwefel 700.
 Rubinspinell 308.
 Rubrica 380. 618.
 Ruinenmarmor 414.
 Rußkohle 733.
 Ruthenium 577.
 Rutil 637.
 Rhyacolith 227.

S.

Saccharit 227.
 Säuerlinge 541.
 Säulen 11.
 — sechsseitige 16.
 — vierseitige 11.
 Sahab 556.
 Sal 510.
 — ammoniacum 515.
 — mirabile 524.
 — polychrestum 523.
 — Sylvii 514.
 Salarmoniak 515.
 Salinische Steine 393.
 — Erze 393.
 Salit 259.
 Salmiak 515.
 Salpeter 517.
 Salpetersaur. Daryt 519.
 — Blei 519.
 — Strontian 519.
 — Uranoryb 550.
 Salz 510.
 Salzblei 394.
 Salzkupfererz 509.
 Samarskit 648.
 Samische Erde 378.
 Samtblende 622.
 Sancy 297.
 Sandarach 700.
 Sandstein 788.
 Sanidin 226. 236.
 Sappare 287.
 Sapphir 302.
 — Bräsilianischer 326.
 Sapphirin 308.
 Sapphirquarz 203.
 Sapphirus 355.
 Sarda 206.
 Sardonyx 206.
 Sarkolith 339. 352.
 Saffolin 506.
 Satin-Spar 432

Saualpit 285.
 Sauerwasser 541.
 Saugschiefer 215.
 Saussurit 235.
 Savart 143.
 Savon de verriers 628.
 Saxum fissile 385.
 Schaalenblende 690.
 Schaalkstein 262.
 Schamir 303.
 Scharfmanganerz 631.
 Schaumkalk 395. 446.
 Scheelet 757.
 Scheelbleierz 499.
 Schéelin ferruginé 644.
 Scheelit 500.
 Scheererit 755.
 Schieferndfläche 18.
 Schiefertkohle 734.
 Schieferletten 384.
 Schieferöl 748.
 Schieferthon 385.
 Schiffsalaserz 725.
 Schillerfels 248.
 Schillererz 262. 248.
 Schistos 621.
 Schlangenalabaster 448.
 Schmelzbarkeit 150.
 Schmelzglas 391.
 Schmiedeeisen 581.
 Schneidentopas 315.
 Schnee 538.
 Schörl 251. 323.
 — blauer 288.
 — lenticulaire 328.
 — rother 637.
 Schörlfels 772.
 Schörlschiefer 772.
 Schorl 644.
 Schorlamit 362.
 Schorl bleu 640.
 Schreiberfit 587. 593.
 Schrifterz 703.
 Schriftgranit 770.
 Schriftellur 703.
 Schüßitt 452.
 Schwalbenschwanzwilling 441.
 Schwarzbleierz 438.
 Schwarzepstein 631.
 Schwarze Kreide 385.
 Schwarzer Porphy 780.
 Schwarzerz 673. 706. 722.
 Schwarzgülden 706.
 Schwarzgültigerz 723.
 Schwarzkohle 729.
 Schwarzkupfer 719.
 Schwarzspießglanz 724.
 Schwefel 601.
 Schwefeleisen 588. 593.
 Schwefelfies 662.
 Schwefelsäure 393.
 Schwefelsaures Eisenox. 528.
 — Kali 523.

Schwefelf. Kobaltorybul 529.
 — Kobaltorybulammonial 548.
 — Manganorybul 529.
 — Natron 524.
 — Nickeloryb 526.
 — Nickelorybkali 548.
 — Silberoryb 524.
 — Zinkoryb 526.
 Schwefelwasser 541.
 Schwererz 448.
 — bichter 452.
 — erdiger 452.
 — fastriger 452.
 — farnförmiger 451.
 — trummigaliger 451.
 — linsenförmiger 451.
 Schwerstein 500.
 Schwimstein 215.
 Scleretinit 762.
 Scoligit 333.
 Scoria 284.
 sechsagligedrig 83.
 sechsantner 83.
 Sectionslinienformel 46.
 Sedimentärgebirge 787.
 Seifenstein 246.
 Seignettefals 546.
 Selbit 439.
 Selen 605.
 Selenblei 686.
 Selenites 394. 445.
 Selenkobaltblei 687.
 Selenkupfer 719.
 Selenkupferblei 687.
 Selenmolybden 682.
 Selenqued Silber 693.
 Selenqued Silberblei 687.
 Selen Schwefel 605.
 Selen Schwefelqued Silber 693.
 Selen Silber 706.
 Sel gemme 510.
 Sémeline 362.
 Senarmontit 657.
 Serpentin 246. 779.
 Seybertit 250.
 Siberit 203. 422.
 — fastriger 273.
 Siderofomit 416.
 Sideropleit 424.
 Siderolith 250.
 Siegelrde 379.
 Silber 564.
 — Kohlenfaures 439.
 — unterschwefelsaures 549.
 Silberbeschlag 705.
 Silberblende 707.
 Silberbournonit 726.
 Silbererze 704.
 Silberfahlerz 723.
 Silberglanz 704.
 Silberhornerz 506.
 Silberkupferglanz 718.

Silbernadelerg 727.
 Silberphylinglang 682.
 Silberfchwärze 705.
 Silicate 186.
 Silicium 606.
 Sillimanit 289.
 Sinait 773.
 Sinopische Erde 390.
 Sismondin 250.
 Skalenoeber 84.
 Skapolith 350.
 Skleroflas 696.
 Sklerometer 140.
 Skorodit 482.
 Smalte 677.
 Smaragd 317.
 — brafilianifcher 326.
 Smaragdochalcit 509.
 Smirgel 303.
 Smithfonit 369.
 Soda 520.
 Sodolith 357.
 Sommervillit 352.
 Sommit 353.
 Sonnensfchmalz 379.
 Sonnenstein 225.
 Soole 510.
 Soolquellen 540.
 Soude boratée 503.
 — muriatée 510.
 Spadait 263. 249.
 Spärfies 665.
 Spargelfeine 466.
 Spath 10.
 — pesant 448.
 Spatheifenstein 422.
 Spatum 394.
 Spatum saxum 216.
 — scintillans 216.
 Specififches Gewicht 138.
 Spedstein 246.
 Spectralanalyse 164.
 Spectrum 112.
 Specular iron 618.
 Speife 674.
 Spreitfobalt 674.
 — geftrichter 676.
 — grauer 675.
 — weißer 675.
 Speffartin 277.
 Späroedriſch 66.
 Späroffiderit 423.
 Späroffilbit 337.
 Späruilit 391.
 Sphe 366. 361.
 — ſchwarzer 285.
 Spheoide 29.
 Spheonit 590.
 Spiegelglas 389.
 Spiegelglanzbleterg 724.
 Spiegelglanzglas 695.
 Spiegelglanzocher 657.
 Spiegelglanzweiß 656.

Spieglglas 694.
 Spinell 307.
 Spinellan 356.
 Spinellin 362.
 Splint Coal 736.
 Spodumen 237.
 Spreuſtein 333.
 Sprödglaſerg 706.
 Sprudelſtein 432.
 Spuma lupi 644.
 Stabeifen 581.
 Stängelfobalt 675.
 Stahl 582.
 Stahlerg 423.
 Stahlwaſſer 541.
 Stalactiten 411.
 Stalagmiten 412.
 Stangenfohle 734.
 Stangenſpath 452.
 Stannin 728.
 Staſſfurtit 502.
 Statuenmarmor 412.
 Staurolith 285.
 Stauroſſop 126.
 Staurotide 285.
 Steatit 246.
 Steingut 382.
 Steinheilſit 270.
 Steinfohle 729.
 Steinmannit 684.
 Steinmarz 378.
 Steinöl 749.
 Steinomarga 378.
 Steinfalz 510.
 Steintalg 752.
 Steno 3.
 Stephanit 706.
 Steppenfalz 510.
 Sterile nigrum 687.
 Sternbergit 711.
 Sternbiamant 294.
 Sternſapphir 302.
 Stibium 596. 694.
 Stibſith 657.
 Stidſtoffitan 595.
 Stilbir 334. 335.
 Stilpnomelan 250.
 Stilpnofiderit 624.
 Stinffluß 462.
 Stiniquarz 203.
 Stöchiometrie 153.
 Stolzit 499.
 Strahlenblende 690.
 Strahlenbrechung 111.
 — einfache 111.
 — doppelte 113.
 Strahlerg 493.
 ſtrahlig 178.
 Strahlſies 668.
 Strahlſtein 254.
 Strahlſteinfchiefer 775.
 Strahlzeolith 384.
 Straß 390.

Strich 138.
 Striegſan 475.
 Stroganowit 351. 358.
 Stromnit 435.
 Strontianit 435.
 Strontium 435.
 Structurleſere 10.
 Struvit 485.
 Stypſitrit 530.
 Succinum 756.
 Süßwaſſerſalf 414.
 Sulphate 522.
 Sulphate of lead 454.
 Sulphato-tricarbonat of lead 457.
 Sulphato-carbonate of Ba-
 rytes 434.
 Sulphofäuren 661. 693.
 Sulphur 601.
 Sulphuret of Antimony 694.
 — Copper 716.
 — Lead 683.
 — Mercury 691.
 — Silver 704.
 — Wismuth 699.
 Sumpferg 624.
 Superſulphuret of Lead 686.
 Surturbrand 746.
 Suſannit 457.
 Swanbergit 483.
 Swibla 601.
 Syenit 773.
 Syenitporphyr 777.
 Syenitſchiefer 775.
 Sylvanit 703.
 Sylvin 514.
 Symbole 155.
 Symmetrie 15.
 Sympleſit 482.
 Syſtem von Berzelius 183.
 — Hauy 182.
 — Mohs 184.
 — Roſe 184.
 — Weiß 183.
 — Werner 182.

Z.

Zobergit 243.
 Zachſapphaltit 374.
 Zachſbit 515.
 Zachſlyt 388.
 Zämit 587.
 Zafelfpath 262.
 Zafelfeine 293.
 Zagit 490.
 Zalf 244.
 Zalfapatit 469.
 Zalfgranat 277.
 Zalfſchiefer 771.
 Zalfſteinmarz 291. 373.
 Zantalerg 646.
 Zantalit 649.
 Zaranaki-Stahl 611.

Tartaroid 29.
Tartarus 547.
Tarnowitz 482.
Taurin 554.
Tauriscit 526.
Tecticit 535.
Teforetin 755.
Télésie 300.
Tellur 599.
Tellurblei 601.
Tellurglanz 702.
Tellur natif auroplobifère 702.
Tellurocker 660.
Tellur Silber 601.
Tellur Silbergold 601.
Tellurwismuth 600.
Tenacität 142.
Tennantit 723.
Tenorit 655.
Tephroit 265.
Ternärbleierz 457.
Terra de Siena 379.
— sigillata 379.
Terrae metallica 659.
Tesselit 344.
tesseral 66.
Tesseral kies 676.
tessular 66.
Tetartin 228. 236.
Tetartoebrie 75.
Tetartoid 75.
tetartoprismatisch 97.
tetartorhombisch 97.
Tetrabymit 600.
Tetraeber 72.
Tetraebrie 72.
Tetraebrit 720.
tetragonal 47. 79.
Tetraide 23.
Tetrafisheraeber 66.
Tetraphyllin 479.
Teralith 249.
Thallit 284.
Thallium 661.
Tharandit 420.
Theamedes 609.
Theer 747.
Theilung des Dreiecks 70.
Thenadit 524.
Theophrast 1.
Thermigut 533.
Thermonelectricität 146.
Thermonitrit 522.
Thermophyllit 244.
Thierschit 767.
Thomsonit 334.
Thon 375.
— bunter 384.
— plastischer 381.
Thoneisenstein 423.
— gelber 625.
Thonerdesulphat 534.

Thonporphyr 779.
Thonschiefer 385.
Thorerde 369.
Thorit 368.
Thraulit 364.
Thrombolith 490.
Thulit 285.
Thumerstein 328.
Thuringit 251. 364.
Tiemannit 693.
Timazit 703.
Tincal 503.
Tincalcit 504.
Tin Pyrites 728.
Titan 594. 637.
Titanate 642.
Titaneisen 618.
Titaneoxid 637.
— silicéo calcaire 358.
Titanerz 637.
Titanit 358.
Tiza 504.
Töpfertbon 382.
Töpfertwaare 382.
Tombazit 681.
Topas 312.
Topasfelsen 315. 772.
Topazolith 274.
Topstein 245.
Tophus ludus 414.
— Tubalcaini 624.
Towanit 712.
Trachy-Dolerit 784.
Trachyt 783.
— granitoide 783.
Trachytaven.
Trachyporphyr 788.
Trapezflächen 190.
Trapezoeber 66. 82.
Trapporphyr 783.
Traubensäure 545.
Travertin 415.
Tremolith 254.
Triakisoktaeder 67.
Trichalcit 492.
Trichroismus 161.
Triclastit 270.
trigonal 48.
Trigondobekaeber 73.
Trigonoeber 90.
triflin 97.
trimetrisch 91.
Trimorphie 161.
Tripel 215.
Triphan 237.
Triphylin 478.
Triplit 479.
Tritomit 368.
Tropa 521.
Troostit 370.
Trümmerachut 206.
Thermigut 533.
Thewsonit 362.

Türkis 473.
Tuff palagonitischer 786.
— vulkanischer 785.
Tungstate of Iron 644.
— lead 499.
Tungstein 500.
Turgit 624.
Turmalin 322.
Turmalinzeige 119.
Turquesia 473.
Turquoise 474.
Tyrit 650.
Tyrolit 492.

U.

Ueberschwefelblei 686.
Ultramarin 356.
Umbr 380.
— Glimmer 380.
— Gypische 380.
uneben 143.
Unghwarit 214.
Universalgoniometer 15.
Unterschwefelsäure
— Natron 549.
— Silberoxyd 550.
Uralit 253.
Uralitporphyr 778.
Uralorith 367.
Uranerz
— untheilbares 651.
Uran glimmer 494.
Uranin 651.
Uranit 494.
Uranocker 652.
Uranophan 652.
Uranotantal 648.
Uranoxyd salpetersäures 550.
Uranpecherz 651.
Uranvitriol 631.
Urao 521.
Urgyps 443.
Urtbonschiefer 771.
Uwarowit 277.

V.

Valentin 2.
Valentininit 656.
Vanadinbleierz 497.
Vanadin 497.
Vanadinhyperblei 497.
Vanadinocker 660.
Vanadinhyperblei 497.
Vasilit 474.
Varvirit 630.
Vasa murrhina 245. 462.
Vauquelininit 496.
Verde di Corsica 776.
Veskan 203.
Vesuvian 277.
viereckig 79.
Vierkantner 80.
Vierzonentkörper 23.

Villarsit 247.
 Vifirgrauen 684.
 Vitriol blauer 531.
 — grüner 528.
 — weißer 526.
 Vitriolblei 454.
 Vitriol de Plomb 454. 1
 Vitriologer 530.
 Vitrum Antimonii 695.
 Vivianit 476.
 Vösknerit 249. 310.
 Voglit 652.
 Volborthit 497.
 Vollaft 534.
 Voltzine 691.
 Volkit 691.
 Vulpinit 447.

W.

Wachfen 177.
 Wachsfohle 747.
 Wachsstein 249. 381.
 Wab 632.
 Wärme 148.
 Wärmecapacität 149.
 Wagerit 469.
 Walchowit 761.
 Walkererde 383.
 Wandstein 422.
 Warwidit 463. 643.
 Wasser 539.
 Wasserblei 681.
 Wasserfies 664.
 Wassermörtel 410.
 Wavellit 475.
 Websterit 535.
 Weichbraunstein 628.
 Weichgewächß 704. 706.
 Weichharze 762.
 Weinstein 547.
 Weinsteinfaure 544.
 Weisfigit 346.
 Weiß 6.
 Weißarsenit 658.
 Weißbleierz 436.
 Weißerz 670.
 Weißgültigerz 711.
 — kryftallifirtes 723.
 Weißgold 576.
 Weißit 270.
 Weißkupfererz 715.
 Weißnickelfies 673. 679.
 Weißpießglanz 656.
 Weißstein 770.
 Weißsylvanerz 703.
 Weißtellurerz 703.
 Weltange 213.
 Werner 5.
 Wernerit 351.
 Whewell 107.
 Whewellit 766.
 White iron pyrites 666.

Wiesenerz 624.
 Willemit 370.
 Williamfit 247.
 Wilit 279.
 Winkelberechnung 54.
 Wismuth 595.
 — kohlenfaures 439.
 Wismuthblei 727.
 Wismuthblende 373.
 Wismuthglanz 699.
 Wismuthfches Silbererz 727.
 Wismuthkupfer 728.
 Wismuthocher 660.
 Wismuthsilber 727.
 Wismuthspath 439.
 Withamit 285.
 Witherit 432.
 Wittichinit 728.
 Wöhlerit 374.
 Wölkit 725.
 Wörthit 290.
 Wolchonskoit 381. 659.
 Wolfram 644.
 Wolframbleierz 499.
 Wolframit 644.
 Wolframocher 646.
 Wolframstahl 646.
 Wolsäbergit 726.
 Wollastonit 262.
 Wolnyn 448.
 Wood-Tin 636.
 Würfelierz 483.
 Würfelspath 446.
 Würfelseine 502.
 Würfelzeolith 340.
 Wulfenit 498.
 Wundererde 379.
 Wurkit 691.
 Wuz 580.

X.

Xanthit 279.
 Xanthokon 710.
 Xanthophyllit 250.
 Xanthosiderit 622.
 Xanthus 621.
 Xenolith 290.
 Xenotim 484.
 Xylochlor 345.
 Xyloretin 761.

Y.

Yenit 362.
 Ytterbit 364.
 Yttererde 365.
 — phosphorsaure 484.
 Ytterit 364.
 Ytterspath 462.
 Yttrocerit 462.
 Yttroilmenit 648.
 Yttrotantalit 649.
 Yttrotitanit 362.

Z.

Zähne 468.
 Zaffer 677.
 Zahntürkis 474.
 Zamarrut 317.
 Zagonit 343.
 Zedenschiefer 385.
 Zeichnen 33.
 Zellfies 668.
 Zeolith 330.
 — dure 340.
 — efflorescente 345.
 — rhomboidische 338.
 Ziegelerz 654.
 Zinc sulfuré 687.
 Zink 601.
 Zinkbarit 369.
 Zinkbleispath 438.
 Zinkblende 687.
 Zinkfäthe 426.
 Zinkenit 697.
 Zinkerze 687.
 Zinkferit 611.
 Zinkglas 369.
 Zinkit 655.
 Zinkst 793.
 Zinkoryd 655.
 — chromsaures 527.
 — kohlenfaures 424.
 — schwefelsaures 526.
 — selenfaures 527.
 Zinkspath 424.
 Zinkspinell 309.
 Zinkvitriol 526.
 Zinn 594.
 Zinnerze 633.
 Zinngrauen.
 — weiße 500.
 Zinnfies 728.
 Zinnober 691.
 Zinnseifen 635.
 Zinnstein 638.
 Zinnwalbit 241.
 Zinnzwitzer 633.
 Zirkon 310.
 Zirkonsyenit 774.
 Zoisit 285.
 Zonenpunktformel 44.
 Zucker 643.
 Zundererz 696.
 Zuckfähe 165.
 Zwickelitz 91.
 Zwickelit 469.
 Zwillinge 76.
 Zwillinge dreigliedrige 89.
 — viergliedrige 84.
 — reguläre 76.
 — zweigliedrige 93.
 — zwiendringliebrige 96.
 Zwillingsaxe 83.
 Zygabit 257.



Im gleichen Verlage ist erschienen:

Dr. Fr. Aug. Quenstedt:
Epochen der Natur.
(Handbuch der Geognosie.)

Mit zahlreichen Holzschnitten.

54 Bogen Lex. 8. broch. Ladenpreis fl. 9. 30 kr. Rthlr. 5. 20 Ngr.

Handbuch der Petrefaktenkunde.

Mit Atlas von 62 Tafeln, 2700 Abbildungen umfassend, nebst Erklärung und vollständigem Register.

54 Bogen Lex. 8. broch. Ladenpreis fl. 13. 30 kr. Rthlr. 8.

Der Jura.

Mit in den Text gedruckten Holzschnitten, einem Atlas von 160 Tafeln, und 3 colorirten geolog. Charten.

53 Bog. Lex. 8. brochirt. Ladenpreis fl. 20. — Rthlr. 12.

Sonst und Jetzt.
Populäre Vorträge über Geologie.

Mit vielen Holzschnitten und 1 col. geolog. Charte.

gr. 8. broch. fl. 2. 24 kr. Rthlr. 1. 15 Ngr.

Eleg. gebunden fl. 2. 54 kr. Rthlr. 1. 25 Ngr.

Das Flözgebirge Württembergs.

Mit besonderer Rücksicht auf den Jura.

Zweite, mit Register und einigen Verbesserungen vermehrte Ausgabe.

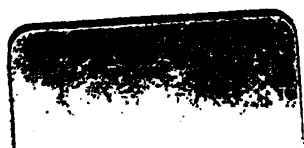
37 Bog. gr. 8. broch. fl. 5. 24 kr. Rthlr. 3. 8 Ngr.

Die Mastodonsaurier

im grünen Keupersandsteine Württembergs
sind Batrachier.

Mit vier Kupfertafeln.

gr. Fol. carton. — fl. 4. 48 kr. Rthlr. 2. 26 Ngr.



3 2044 102 955 705